







## Lehmann's medizinische Atlanten. Neue Folge in Quartformat.

Band V.

### Atlas typischer Röntgenbilder vom normalen Menschen.

Ausgewählt und erklärt nach chirurgisch-praktischen Gesichtspunkten, mit Berücksichtigung der Varietäten und Fehlerquellen, sowie der Aufnahmetechnik.

Von Professor Dr. med. Rud. Grashey, München.

Vierte verbesserte Auflage. Mit über 200 Tafelbildern (Autotypen) in Original-Größe und etwa 350 Textabbildungen (Umrisszeichnungen, Ansichten u. a.) Erscheint 1922.

Ärztl. Mitteilungen: Die Zahl der autotypischen Bilder ist von 96 auf 207 gewachsen, Skelett- und Situationssezionen, von Künstlerhand entworfen, sind hinzugekommen. Namentlich haben die Besonderheiten des kindlichen Körpers, einzelne Skeletteile und Variationen eine größere Berücksichtigung erfahren. Auch der einleitende Text ist sowohl in seinem technischen wie physikalischen Teil erweitert, doch liegt der Schwerpunkt des Atlases wie bisher in den praktischen Bildern und ihrer Erklärung. Durch die Summe technischer, künstlerischer und wissenschaftlicher Arbeit, verbunden mit vornehmer äußerer Ausstattung ist ein Werk von hervorragendem Wert geschaffen, das als zuverlässiger Ratgeber im Röntgenzimmer und als Zierde der ärztlichen Bibliothek seinen Platz behaupten wird.

### Band VI. Atlas chirurgisch-pathologischer Röntgenbilder.

Von Professor Dr. med. Rud. Grashey, München.

Zweite verbesserte Auflage mit etwa 400 Abbildungen auf Tafeln und im Text. Erscheint 1922.

### Band X: Atlas und Grundriß der Rachitis

von Dr. Franz Wohlaue,

Assistent a. d. Universitätspoliklinik für orthopädische Chirurgie in Berlin. Spezialarzt für Röntgenologie. Mit 2 farb. und 108 schwarz. Abbild. auf 34 autotyp. und 12 photograph. Tafeln und 10 Textabbildungen.

Preis in Leinwand gebunden M. 80.—.

Inhaltsübersicht: A. Grundriß: Ätiologie — Pathologie der Knochenveränderungen — Röntgenbefunde — Allgemeines. Wesen der rachitischen Veränderungen — Differentialdiagnose — Zeitfolge der Knochenkrankungen — Die Deformitäten im speziellen: Schädel, Zahnentwicklung, Thorax, Clavicula, Scapula, Wirbelsäule, Becken, Humerus, Ellbogengelenk, Vorderarm, Oberarm, Kniegelenk, Unterarm, Fuß. — Einfluß der Rachitis auf die Körpergröße — Klinische Erscheinungen von selten der anderen Organe — Therapie — Literaturverzeichnis. — B. Atlas: Abbildungen mit ausführlichen Erklärungen — Schlagwortregister. . . . Das Werk enthält eine nahezu erschöpfende Sammlung ungewöhnlich schöner Photographien rachitischer Kinder sowie rachitisch deformierter Skeletteile und gibt am Schluß auf 12 großen photographischen Tafeln das röntgenologische Verhalten der rachitischen Knochen in blauer unretischer Weise wieder. — Im begleitenden Text finden die orthopädische und chirurgische wichtigsten Verhältnisse der Rachitis eine ausführliche und gute Darstellung. . . .

Korrespondenzblatt für Schweizer Aerzte.

## Röntgen-Untersuchung bei Kriegsverletzten

Von Prof. Dr. Rudolf Grashey. Mit 184 Abbildungen: Preis gebd. M. 15.—.

„Der Verfasser nennt sein Buch „Kriegsersatz“ an Stelle der Neuaufgabe seines vergriffenen Chirurgisch-pathologischen Röntgenatlases. Wir können ihm das Zeugnis ausstellen, daß der Ersatz vorzüglich gelungen ist und auch während des Friedens eine Lücke auszufüllen berufen ist. Er wird insbesondere dazu beitragen, daß die zahlreichen Erfahrungen des Krieges nicht verloren gehen.“

(Deutsche med. Wochenschrift)

## Dosierungstafeln für die Röntgentherapie

von Dr. rer. nat. et phil. Friedrich VOLTZ,

Physikalischer Assistent der Strahlenabteilung der Universitäts-Frauenklinik München

Mit 16 Figuren auf Tafeln und 46 Tabellen.

Preis: in Steifdeckel M. 20.—

Die Dosierungstafeln bedeuten für jeden Röntgentherapeuten:

1. eine Erleichterung bei der Dosierung
2. eine Orientierung über die Dosenverhältnisse
3. ein Tabellenwerk für alle praktisch vorkommenden Fälle.

Sie unterstützen damit das Dosieren im praktischen Betriebe und sind infolge ihrer Handlichkeit und Uebersichtlichkeit ein wesentlicher Fortschritt in der Röntgentherapie und für jeden Röntgentherapeuten ein unentbehrliches Hilfsmittel.

## Die Orthoröntgenographie

Ableitung zum Arbeiten mit parallelen Röntgenstrahlen.

Von Dr. Franz M. Groedel, Bad Nauheim.

Mit 32 Abb. — Preis geh. M. 12.—, geb. M. 16.—.

## Die Orthodiagraphie

Ein Lehrbuch für Ärzte.

Von Dr. Karl Francke, München

Spezialarzt für innere Leiden.

Mit 75 Abb. u. 3 Tafeln. Preis geh. M. 16.—, geb. M. 20.—.

**Lehmanns medizinische Atlanten.** *Neue Folge in Quartformat.*

*Band II—IV.*

# Atlas der deskriptiven Anatomie des Menschen

von Dr. med. J. Sobotta, o. ö. Professor der Anatomie in Bonn.

I. Abteilung (Lehmanns medizinische Atlanten in 4<sup>o</sup>, Band II):

## Knochen, Bänder, Gelenke, Regionen und Muskeln des menschlichen Körpers.

*Vierte Auflage.*

Mit 166 farbigen und 143 schwarzen Abbildungen auf Tafeln, sowie 29 zum Teil farbigen Textfiguren nach Originalen von Maler K. Hajek. — *Preis gut gebunden M. 110.—.*

II. Abteilung (Lehmanns medizinische Atlanten in 4<sup>o</sup>, Band III):

## Die Eingeweide des Menschen einschließlich des Herzens.

*Vierte Auflage.*

Mit 99 farbigen und 93 schwarzen Abbildungen auf Tafeln, sowie 36 zum Teil farbigen Figuren im Text nach Originalen von Maler K. Hajek. — *Preis gut gebunden M. 110.—.*

III. Abteilung (Lehmanns medizinische Atlanten in 4<sup>o</sup>, Band IV):

## Das Nerven- und Gefäßsystem und die Sinnesorgane des Menschen nebst einem Anhang: Das Lymphgefäßsystem des Menschen.

*Vierte Auflage.*

Mit 148 farbigen und 128 schwarzen Abbildungen auf Tafeln, sowie 64 zum Teil farbigen Figuren im Text nach Originalen von Maler K. Hajek. — *Preis gut gebunden etwa M. 120.—.*

## Kurzes Lehrbuch der deskript. Anatomie des Menschen.

Ein Handbuch zu jedem Atlas der deskriptiven Anatomie mit besonderer Berücksichtigung und Verweisungen auf Sobottas Atlas der deskriptiven Anatomie. Von Professor Dr. med. J. Sobotta.

*I. Teil, 2. Aufl., geh. M. 32.— | II. Teil, 2. Aufl., geh. M. 30.— | III. Teil, 1. Aufl., geh. M. 24.—*

... Die Abbildungen sind von hervorragender Schönheit, Klarheit und Uebersichtlichkeit. Wenn man sich aus seiner Studentenzeit der primitiven Abbildungen aus dem Heltzmann erinnert, nach denen die ältere Generation präpariert hat, so beschleicht es einem mit Neid, daß die heutige Generation so vorzügliche Hilfsmittel zur Verfügung hat. Druck und Papier sind trotz der Zeitverhältnisse ausgezeichnet. Der Atlas wird immer einen hervorragenden Platz einnehmen. *Zeitschr. für ärztl. Fortbildung, Jena.*

---

Im Gegensatz zu ähnlichen Werken bringt die Sobotta'sche Anatomie die Nerven und Blutgefäße stets im gleichen Bild vereint dargestellt, so, wie sie der Student bei den anatomischen Präparierübungen auszuarbeiten genötigt ist. Es fällt also bei Benutzung dieses Werkes das so außerordentlich störende, vom Lernenden sehr unangenehm empfundene mehrfache Umläutern fort.

---

*Band IX.*

# Atlas und Lehrbuch der Histologie

und mikroskopischen Anatomie des Menschen

von Dr. J. Sobotta, o. ö. Professor der Anatomie in Bonn.

Dritte, unveränderte Auflage / Mit 400 zum größten Teil mehrfarbigen Abbildungen nach Originalen von Universitätszeichner W. Freytag | *Vergriffen!* Vierte Auflage erscheint 1922!

Aus einer Besprechung der zweiten Auflage:

Deutsche militärärztl. Zeitschrift: Die vorliegende Auflage läßt von der alten fast nichts mehr erkennen. Das Format ist geändert, der Text, die Abbildungen, Kunstwerke ersten Ranges, alles erscheint in neuer Fassung und Gestalt. 56 Tafeln zeigen in wundervoller Färbung die Gewebshilder, als sähen wir sie im Mikroskop. Gewöhnlich ist jedes Präparat in dreifacher Größe dargestellt. Ueber das Werk kann man nur ein Urteil fällen, es ist eben ein „Lehmannscher Atlas“.

LEHMANN'S MEDIZINISCHE ATLANTEN.

Band I.

# Atlas und kurzgefaßtes Lehrbuch der topographischen und angewandten Anatomie.

Von

Dr. med. Oskar <sup>Max Siegmund</sup> ~~Schultze~~

Professor der Anatomie in Würzburg.

Dritte umgearbeitete Auflage von

Dr. med. Wilhelm Lubosch

Professor der Anatomie in Würzburg.

Mit 419 meist farbigen Abbildungen nach Originalen  
der Maler A. Schmitson, R. Hajek und Franz Kotzian.



J. F. LEHMANN'S VERLAG, MÜNCHEN 1922

---

Urheber und Verleger behalten sich alle Rechte,  
insbesondere das der Übersetzung vor.  
Copyright 1922. J. F. Lehmann, München.

---

611  
529.1.1  
1002

Druck von Kastner & Callwey, München.

Medical Reel

gld

S. L. Haderen

2-24-47

## Der Erinnerung

an das

Sanitätskorps des ehemaligen kaiserlichen deutschen Heeres.

## Berichtigung.

Der Verfasser bittet, folgende ihm bei der Korrektur der Bürstenabzüge entgangenen Druckfehler vor der Benutzung des Buches zu verbessern.

---

- Fig. 14 (rechts unten) lies *Cartilago Meckeli* statt *Mackeli*.  
Fig. 15 (unten). Der Hinweisstrich neben *Sella turcica* ist zu tilgen.  
Seite 23, Fig. 28 (links). Statt Absatz lies Abschnitt.  
Fig. 53 (links oben) lies *Fila olfactoria* statt *olfuctoria*,  
Fig. 60 (rechts) lies *Rr. zygomatichi n. facialis* statt *fascialis*.  
Fig. 82 (unten) lies *N. utriculo-ampullaris* statt *saccularis*.  
Fig. 98 (links) lies *Lamina superior fasciae temporalls* usw. statt *fascia*.  
Fig. 99 (links). Neben *N. massetericus* zu setzen: et *M. pterygoideus externus*.  
Fig. 107 (links). Die Bezeichnungen *Tarsus superior* und *Conjunctiva bulbi* sind zu vertauschen.  
Seite 78, Fig. 111 (oben) lies Naht zwischen Tränenbein statt Tränenbasis.  
Fig. 113 (rechts). Statt *N.* lies *M. rectus lateralis*.  
Fig. 149 (rechts). Die Bezeichnungen *Cartilago thyreoides et cricoides* und *Corp. parathyroideum superius (IV)* sind zu vertauschen.  
Seite 106, Fig. 150 fehlt Angabe der Herkunft: aus Kollmanns Atlas der Entwicklungsgeschichte.  
Fig. 161 (links oben) lies *Trig. caroticum* statt *subclaviae*.  
Fig. 171 (rechts oben) lies *carotis* statt *corotis*.  
Fig. 178 (rechts unten). Neben *A. carotis comm.* zu setzen: et *vena jugularis int.*  
Fig. 197 (links unten) statt *parietali* lies *viscerali*.  
Fig. 204 (rechts) lies *A. mammaria int.* statt *inf.*  
Fig. 219 (rechts). Der Hinweisstrich, bezeichnet mit *Ventric. dext. et incis. cardiaca pulm. sinistr.*, ist nach der Mitte des Bildes zu um  $\frac{1}{3}$  cm zu verlängern.  
Fig. 220 (links unten). Statt *Cauda pancreatis* lies *Ren et glandula suprarenalis sinistra*.  
(rechts). Hinter *Ren dext.* füge hinzu et *duodenum*.  
Seite 206, Zeile 14 von unten lies *Bauchfell* statt *Zwerchfell*.  
Fig. 287 (rechts in der Mitte). Statt *Lamina peritonealis radices mesenterii* lies *Duodenum*.  
Seite 230, Fig. 315 (links). Die Bezeichnungen *Ampulla tubae* und *Colon sigmoides* sind zu vertauschen.  
Seite 245, Fig. 333. Oben rechts neben *N. femoralis* ist zu setzen: und *M. psoas*. Links oben lies *Lig. ile ofemorale*.  
Fig. 356 (rechts unten). Die Bezeichnungen *M. serratus post. sup.*  $\times$  und *M. splenius*  $\times$  sind zu vertauschen.  
Fig. 362 (links unten). Die Bezeichnungen *M. subscapularis* und *Fascia axillaris*  $\times$  sind zu vertauschen.  
Seite 323, Zeile 11 v. o. lies *abduciert* und *senkt*.
-

## Vorwort zur dritten Auflage.

---

Verfasser und Verleger waren der Ansicht, daß die dritte Auflage des Grundrisses eine umfangreiche Umarbeitung erfahren müsse. Hierzu nötigte der seit 10 Jahren namentlich in der angewandten Anatomie neu erwachsene Stoff und der von der Studentenschaft oft geäußerte Wunsch nach zahlreicheren Abbildungen. Professor Dr. *Oskar Schultze* trug mir im Einverständnis mit dem Verlage an, die Bearbeitung der neuen Auflage zu übernehmen. Ich tat es gern, um sein Werk zu erhalten, aber auch, weil sich mir dadurch die Möglichkeit darbot, dem Unterricht in der topographischen Anatomie eine literarische Grundlage zu schaffen, wie sie meiner Auffassung vom Wesen dieses Unterrichtszweiges entspricht. In dieser Auffassung durfte ich mich mit dem am 28. Juni 1920 entschlafenen Verfasser einig fühlen, der, wie die Vorrede zur 1. Auflage zeigt, seine Aufgabe als Lehrer vor allem darin sah, den Arzt, indem er ihn an die menschliche Anatomie band, vor der Hinwendung zur unwissenschaftlichen Routine zu bewahren. Auch *O. Schultzes* wissenschaftliches Lebenswerk, wie es abgeschlossen vor uns liegt, zeigt ihn wie in jener Vorrede, durchdrungen von der Überzeugung, daß menschliche Anatomie in ihrer Beschränkung auf den Menschen und im Dienste der Praxis keiner Entwicklung fähig sei, dies vielmehr nur auf der Bahn werde, die zuerst *Goethe*, dann *Johannes Müller* und zuletzt *Gegenbaur* unserer Wissenschaft gewiesen haben. Auf dieser schon so erfolgreich beschrittenen Bahn dürfen wir hoffen, dem Ziel der anatomischen Forschung nahe zu kommen: den Bau des menschlichen Körpers bis in sein feinstes Gefüge hin als gesetzmäßig zu begreifen aus der Gesetzmäßigkeit der Wirbeltiermorphologie heraus. Und wo wäre mehr Anlaß, diese Gesetzmäßigkeit, soweit wir sie kennen, darzustellen, als in der topographischen Anatomie, deren Wesen geradezu die erblich gefestigten konstanten Lagebeziehungen der Teile zueinander ausmachen, also das, worauf wir die Erkenntnis der Homologien begründen.

Als Lehrern der menschlichen Anatomie erwuchs uns die Aufgabe, den jeweiligen Gesamtzustand unserer Wissenschaft in möglichst einfachem Vortrage für den angehenden Arzt darzustellen; als Forscher treibt es uns, jenen Zustand zu verändern, die Kenntnisse zu vertiefen, Licht dahin fallen zu lassen, wo wir Dämmerung oder Dunkel gefunden haben. Daraus ergibt sich, daß Lehre und Forschung einander gegenseitig fördern: dort werden Bedürfnisse erweckt, hier ihre Befriedigung versucht. Darum wäre es ein Fehler, das wissenschaftliche Element aus dem Unterricht auszuschalten. Den Schaden davon hätte letzten Endes auf dem Umwege über die Praxis nur die Wissenschaft selbst, während sich zeigen läßt, daß gerade auch wieder auf dem Umweg über die Praxis die wissenschaftliche Anatomie den größten Nutzen daraus ziehen konnte, daß sie den wissenschaftlichen Sinn der Praktiker erweckte. Verfolgen wir nämlich die Geschichte der menschlichen Anatomie in den letzten 25 Jahren, so tritt uns die merkwürdige, kaum beachtete, jedenfalls nie betonte Tatsache entgegen, daß, während die Anatomen selbst ihren Sonderfragen lebten, alle wesentlichen Fortschritte in der Kenntnis des menschlichen Körpers der Arbeit von Praktikern zu verdanken waren. Der Bau des Groß- und Kleinhirns, die Leitungsbahnen, die feineren anatomischen Verhältnisse am Auge und seinen Hilfsapparaten, die Nebenhöhlen der Nase,

Schilddrüse, Halsfaszien, der Bau des Herzens, die Form des Magens und Dickdarms, zahlreiche Einzelheiten aus der Anatomie der Gefäße und der peripherischen Nerven, die Innervation der Muskeln und der Haut, die Segmentalanatomie, die mit der Leitungsanästhesie zusammenhängenden topographischen Fragen, die Anatomie des Grenzstranges, die Lymphbahnen — um nur ganz Weniges zu nennen; wer mehr finden will, durchforsche die großen Handbücher der klinischen Wissenschaften — sind unter wesentlicher Beteiligung von nicht zünftigen Anatomen erforscht worden. Wie grundlegend im strengen Sinne des Wortes dabei die Morphologie für Fragen der „praktischen“ Anatomie geworden ist, lehren zwei gerade heute klinisch sehr beachtete Kapitel, das des Reizleitungssystems im Herzen und das der Epithelkörperchen, jenes durch Kenntnis des Selachierherzens, dieses durch die Erfahrungen am Schlunddarm niederer Wirbeltiere zuerst unserem Verständnis näher gebracht. Die Beispiele lassen sich beliebig vermehren. Dem Studenten eine allgemeine Vorstellung wenigstens von diesen großen Zusammenhängen zu geben, war ein Wunsch, dessen Erfüllung ich mir um so lieber gestattete, als mich meine Erfahrungen bei Präparierübungen und in meinen Vorlesungen dazu ermutigten. Daß die diesem Zwecke dienenden Erläuterungen und Einschreibungen sehr knapp zu halten waren, lag im Plan des ganzen Buches begründet. Leider erlaubte es die an sich schon zeitraubende Vorbereitung der neuen Auflage nicht, sie in den genannten Teilen durch Originalabbildungen zu erläutern. Der Verlag gestattete für diese Auflage die Heranziehung geeigneter Abbildungen aus anderen Werken. Autoren und Verlegern dieser Werke sei für die Erteilung ihrer Genehmigung zur Benützung der Abbildungen gedankt.

Bei der Bearbeitung des Textes, der in seiner Kürze sehr beliebt und willkommen war, mußte jeder Neigung zu einem Ausbau in ein wissenschaftliches Lehrbuch widerstanden werden. Daß die neueste Literatur hineingearbeitet werden mußte, versteht sich von selbst. Autorennamen waren bisher nicht aufgenommen worden; sie aber da zu erwähnen, wo es sich um Angaben handelte, die noch nicht in Lehr- und Handbücher übergegangen sind, erschien doch gerecht und notwendig. Einige Kapitel waren bisher zu kurz gekommen, die auch in einem Grundriß nicht fehlen dürfen, so z. B. die von Gehörorgan, Kiefergelenk, Halsfaszien, Herzbeutel, Hernien. Ihre und einiger anderer Gebiete gründlichere Behandlung hatte sich mir gerade durch meine Erfahrungen im Verkehr mit den Benutzern des Buches als unumgänglich notwendig erwiesen. In der Anordnung des Stoffes, die durch ein stark gegliedertes Inhaltsverzeichnis verdeutlicht worden ist, sind manche Änderungen vorgenommen worden. Die Dinge prägen sich leichter ein, wenn sie an richtiger Stelle stehen. So sind z. B. die Schenkelhernien trotz ihrer nahen Nachbarschaft zu den Leistenhernien erst bei der Beckenwand abgehandelt, die Nieren bei der hinteren Bauchwand, nicht bei den Baueingeweiden. Fast ganz unverändert sind in ihren anatomischen Teilen die Abschnitte über die Extremitäten geblieben. Hinsichtlich der angewandten Anatomie schien es ratsam, sie von dem anatomischen Teile, in den sie bisher noch zum Teil hineingearbeitet waren, ganz zu trennen und zu voller Selbständigkeit zu bringen. Dadurch, daß das jetzt auch durch den Druck zum Ausdruck gelangt, wird, wie ich hoffe, die Benutzung des Buches erleichtert werden, da der Vorkliniker sein Augenmerk nicht auf Dinge zu richten braucht, die ihm noch fern liegen, ihm aber doch, wenn er ihnen Geschmack abgewinnt, stets in Reichweite bleiben, während der Klinizist zusammengestellt findet, was er braucht. Daß diese Teile der angewandten Anatomie durchweg völlig neu bearbeitet werden mußten, liegt in der Natur der



ache. Die Gefahr, auf einem Gebiet, wo der Anatom meist nur Dilettant ist, des Guten viel zu tun, ist groß. Maßgebend war daher, nur das zusammenstellen, was an anatomischen Vorkenntnissen in den Kliniken, am Krankenbett und in klinischen Kursen, wo überall in das Buch als Nachschlagewerk ein steter Begleiter sein möchte, stets gegenwärtig sein soll. Einigen Vertretern klinischer Fächer, meinen Kollegen *Burckhardt* (Gynäkologie), *Magus-Alsleben* (interne Medizin), *Wessely* (Ophthalmologie) bin ich für Ratschläge zu Dank verpflichtet, vor allem aber meinem Kollegen Dr. *E. Seifert*, Privatdozenten für Chirurgie, der an der Auswahl der Hinweise auf die Chirurgie einen wesentlichen Anteil hat.

Die neue Auflage enthält anstatt 205 Abbildungen 419; davon sind 112 neu hergestellt worden, zum Teil als Ersatz für ausgeschiedene Abbildungen der 2. Auflage. Die Teilung in „Tafeln“ und „Figuren“ ist aufgegeben worden. Es wurde von mir Wert darauf gelegt, keine Einzelfälle abzubilden. Ich habe daher nicht Photographien zur Grundlage der Bilder gemacht, weil hierbei die Gefahr besteht, das Individuelle zu sehr zu betonen. Vielmehr sind die Abbildungen nach einem oder mehreren Präparaten, auch unter Heranziehung von Modellen hergestellt worden. Hierfür hatte der Verlag den Kunstmaler Herrn Franz *Kotian* gewonnen, dem mein Dank für seine Hingabe an die Sache und seine unermüdliche Geluld gebührt. Sein schönstes Lob sind die Abbildungen, die dem Benutzer vorliegen. Topographisch-anatomische Abbildungen müssen bei planimetrischer Ausführung stets unbefriedigend bleiben. Die hier so wichtige Tiefendimension kommt nur bei stereoskopischen Atlanten zu voller Geltung. Verhältnisse, wie die der Arteria vertebralis am Nacken, der Arteria thyreoidea inferior oder des Dammes lassen sich in ebener Zeichnung niemals wiedergeben. — Röntgenbilder aus den Atlanten des Lehmannschen Verlages und Zeichnungen nach solchen durften in einem Atlas der topographischen Anatomie heute nicht mehr fehlen. Die Präparate, die den neuen Abbildungen zugrunde liegen, habe ich, soweit sie nicht Sammlungspräparate waren, zum größten Teil selbst hergestellt, zum kleineren Teil haben sie unter meiner Leitung die Kandidaten der Medizin *Banz*, *Kunkel*, *Mangold*, *Wertmann* angefertigt.

Herrn Dr. W. Brandt, Assistenten der anatomischen Anstalt, der sich an der Durchsicht der Revisionsbogen beteiligt hat, danke ich für seine Hilfe auch an dieser Stelle.

Ich habe die Pflicht, die Tatsache dankbar hervorzuheben, daß Herr Dr. *Heiß*, Privatdozent der Anatomie und Kustos der Anatomischen Sammlung am Münchener Institut mir auf meine Bitte hin seine noch unveröffentlichten Untersuchungen über die Topographie des Ureters nebst Abbildungen zur Verfügung gestellt hat. Die im Texte kenntlich gemachten Abschnitte sind fast wörtlich seinen Mitteilungen an mich entnommen, und die Figuren 344 und 345 sind Reproduktionen nach seinen Originalabbildungen. Die Figuren 213 und 214 sind mit Genehmigung des Verfassers dem Sobottaschen Atlas entnommen worden.

Dem Verlage, der es trotz des Umsturzes und der dadurch entstandenen unerhörten Verteuerung aller Verlagskosten für seine Pflicht gehalten hat, durch die Herausgabe dieser neuen Auflage dazu beizutragen, der deutschen Wissenschaft ihre Stellung auch auf dem Gebiete des anatomischen Unterrichts zu wahren, danke ich für alle Opfer, die er gebracht hat. Möge das junge Geschlecht der angehenden Ärzte, dem meine Arbeit gegolten hat, einigen Nutzen daraus ziehen. Der deutsche Arzt hat nach langen Jahren friedlicher Ausbildung die Probe der höchsten Anforderung als Sanitätsoffizier bestanden; tapfer und in edler Menschlichkeit, dabei kenntnis- und kunstreich, im Felde unbesiegt gleich seinen kämpfenden Kameraden, hat er den Ruhm des Sanitätskorps für spätere, dankbarere Geschlechter begrün-

det. Möge die Erinnerung an die Leistungen jener Männer auf Truppenverbandplätzen, in Ortskrankenstuben, Feld- und Kriegslazaretten, die ohne topographisch-anatomische Kenntnisse unmöglich gewesen wären, bei der Jugend lebendig bleiben; möge sie sich in harte Arbeit die Kenntnisse erwerben, die es ihr ermöglichen sollen, es dem älteren Geschlecht gleichzutun. Möge dies Hilfsmittel dabei das Studium auf dem wichtigsten Gebiet der Medizin erleichtern.

Würzburg, Johannistag 1921.

Professor Dr. W. Lubosch.

## Vorwort zur ersten Auflage.

Dieses Buch ist nicht für den Anatomen geschrieben, sondern für den, der ein Arzt werden und sein will. Es gibt meiner Auffassung und Methode des anatomischen Unterrichts Ausdruck, wie ich ihn, unterstützt durch erneute klinische Studien, für den älteren Medizin studierenden als richtig und praktisch erprobt habe. Ich mache also hier keinen Anspruch auf anatomische Vollständigkeit. Ich weiß aber auch, daß noch manches Anatomische fehlt, was für den Arzt von Bedeutung ist. Da es mein lebhafter Wunsch ist, den in der Praxis stehenden Arzt, ohne zu ausführlich zu werden, anatomisch zu unterstützen, so bin ich jedem Kollegen dankbar, der mir seine Wünsche ausspricht; hofft doch jeder auf Gelegenheit, die Mängel seines Buches zu verbessern. Dem Arzt „ohne Praxis“ wird es so eine Freude sein, wenn er auch in seiner Weise die Praxis fördern kann.

Dem jungen Kommilitonen, der mir zunächst am Herzen liegt, darf ich noch dieses sagen:  
*Denke anatomisch, wenn du ein Arzt werden willst!*

In der ersten Hälfte deiner medizinischen Universitätsarbeit lernst du Bau und Entwicklung deines Leibes kennen. So lernst du dich selbst von niederen Formen ableiten und gewinnst die richtige Auffassung deiner Stellung in der Natur. So lernst du bewundernd schätzen den Wert des Körpers, der sich dir später anvertraut und, wenn er erkrankt, deine Hilfe sucht. Trittst du dann an das Krankenbett, so fühlst du in jedem Augenblick die Unentbehrlichkeit deiner anatomischen Kenntnisse und lernst nur auf ihrer festen Basis deren Anwendung in der exakten Diagnose: *Dann liebe es, anatomisch zu denken, wenn du ein guter Arzt sein willst.*

*Der Verlagshandlung* danke ich für ihr stetes Entgegenkommen. Herr Maler *Schmitson* hat in bewährter Weise mit künstlerischem Sinne die Herstellung der Abbildungen vollzogen. Ein kleiner Teil der Bilder wurde von Herrn Maler *Hajek* in trefflicher Weise hergestellt. Herr Professor *Stöhr* hat in liebenswürdiger Weise die anatomische Sammlung zur Verfügung gestellt, wofür ich auch hier meinen Dank sage. Die den Abbildungen zugrunde liegenden Präparate habe ich zum größten Teil selbst angefertigt. Die Benutzung der Hisschen Modelle war mir von großem Wert in den Fällen, wo Originalpräparate fehlten.

Würzburg, den 18. Oktober 1902.

O. Schultze.

## Vorwort zur zweiten Auflage.

---

In der zweiten Auflage dieses Buches ist eine Vergrößerung des Textes auf vielen Gebieten, vor allem aber eine wesentliche Vermehrung der Abbildungen eingetreten.

Der Text ist insofern ganz umgearbeit worden, als ich die Bemerkungen zur angewandten Anatomie, welche in der ersten Auflage mit der topographischen Beschreibung innig verwebt waren, nunmehr in Schlußabschnitten, welche den betreffenden Kapiteln unter der Bezeichnung „*Anwendung*“ hinzugefügt sind, besonders berücksichtigt und gleichzeitig vermehrt habe. Diese Trennung schien mir insofern praktisch, als durch sie die vor dem *ersten* Examen stehenden Mediziner nicht gezwungen sind, die vornehmlich für die älteren Mediziner und Staatsexaminanden geschriebene angewandte Anatomie zu berücksichtigen. Durch diese eine Zusammenfassung der „*Anwendung*“ mit sich bringende Trennung wurden die in die erste Auflage aufgenommenen Schlußfragen überflüssig.

Die Abbildungen wurden um nicht weniger als 115 vermehrt. Alle neuen Originale wurden von Herrn Maler *K. Hajek* in bestbekannter Kunstfertigkeit hergestellt. Ihm, sowie dem Verlage, meinen besten Dank!

Würzburg, im Herbst 1908.

O. Schultze.

# Inhalts-Verzeichnis.

## Kurzer Abriß der allgemeinen topographischen Anatomie.

1. Einleitung . . . . .	1
2. Antimerenlehre (Lehre von den Symmetrieverhältnissen des Körpers) . . . . .	2
3. Metamerenlehre . . . . .	6
Das Myotom. — Das Nervensegment. — Die Hautsegmentzonen. — Segmentierung des Achsenskeletts. — Das Gefäßsegment. — Segmentierung am Kopfe . . . . .	
4. Sonderung des Körpers in seine Hauptabschnitte . . . . .	13

## Spezielle topographische und angewandte Anatomie des Menschen.

Topographische und angewandte Anatomie des Kopfes . . . . .	15
I. Morphologische Einleitung . . . . .	15
1. Entstehung des Kraniums aus 2 Komponenten . . . . .	15
2. Kranium und Viszeralskelett . . . . .	15
3. Primordiales und sekundäres Kranium . . . . .	15
4. Gehirn und Anordnung der Gehirnnerven . . . . .	16
5. Kopfmuskeln . . . . .	19
6. Kopfgefäße . . . . .	21
7. Drüsen am Kopfe . . . . .	22
8. Bildung des Gesichtes. — Anwendungen . . . . .	23
II. Schädeldach und Seitenwände des Schädels. . . . .	28
III. Die Basis cranii (interna). — Anwendungen . . . . .	32
IV. Die Kopfschwarte. — Schichtung. Arterien. Venen. Lymphgefäße. Nerven. — Anwendungen . . . . .	38
V. Die Hirnhäute . . . . .	41
a) Dura mater. Arterien. Sinus. Austrittsstellen der Hirnnerven. Zirkulation in der Schädelhöhle . . . . .	
b) Arachnoides und Pia mater. — Pacchionische Granulationen. Anwendungen . . . . .	46
VI. Topographie des Gehirns. Eingliederung in den Schädelraum. — Kraniozerebrale Topographie. — Anwendungen und innere Topographie des Gehirns. M Gefäße des Gehirns. Anwendungen . . . . .	49
VII. Gehörorgan. Äußeres, mittleres, inneres Ohr. — Anwendungen . . . . .	58
VIII. Regio mastoidea. — Anwendungen . . . . .	65
IX. Gesichtsteil des Kopfes. Gefäße und Nerven des Gesichtes. — Oberflächliche Gesichtsggend. — Topographische Anatomie des Kiefergelenks. — Tiefe seitliche Gesichtsggend. . . . .	66
X. Orbita. Wandung. Kommunikationen. Septum orbitale. Fascia bulbi Conjunctiva. Tränenapparat. — Bulbus oculi, Augenmuskeln, Gefäße und Nerven. — Anwendungen. Orbita und Nebenhöhlen der Nase . . . . .	74
XI. Nasenhöhle. Wandung. Kommunikationen. Schleimhaut, Gefäße und Nerven. Nebenhöhlen. — Anwendungen . . . . .	82
XII. Mundhöhle. Grenzen. Vestibulum oris. Cavum oris proprium. — Mundboden. Zunge. Seitliche paarige Teile des Mundbodens. — Dach der Mundhöhle, harter und weicher Gaumen. — Tonsille. — Anwendungen . . . . .	92
XIII. Pharynx. Pharynxwand. Septum parapharyngeum. Inneres des Pharynx. — Anwendungen . . . . .	99

	Seite
topographische und angewandte Anatomie des Halses. . . . .	105
I. Morphologische Einleitung in die topographische Anatomie des Halses . . . . .	105
Die Kiemenbögen und ihre Schicksale . . . . .	105
Die aus den Schlundtaschen entstehenden Organe . . . . .	106
Persistenz von Viszeralbögen. Halsfisteln. Abnorme Reste der Epithelgänge, Knorpel- versprengungen . . . . .	108
Schlundbogenarterien . . . . .	109
Halsrippen . . . . .	110
II. Allgemeines über die topographische Anatomie des Halses . . . . .	111
III. Halsfaszien . . . . .	113
IV. Die Regionen am Halse . . . . .	114
V. Allgemeines über den Verlauf der Gefäße und Nerven am Halse . . . . .	116
VI. Die Regio mediana colli. Regio hyoidea und subhyoidea. — Regio laryngea. Keh- kopf. Anwendungen. — Regio thyroidea. Schilddrüse, Epithelkörperchen. — Regio trachealis. Halsteil der Trachea und des Oesophagus. Anwendungen . . . . .	119
VII. Die Regio colli lateralis. Trigonum submaxillare. — Trigonum caroticum. — Regio sternocleidomastoidea. — Trigonum thyroideum. — Trigonum omotracheale. — Trigonum subclaviae. — Trigonum scalenovertbrale. . . . .	128
VIII. Lungenapitze und Pleurakuppel. — Anwendungen, die Regio colli lateralis betreffend . . . . .	133
topographische und angewandte Anatomie der Brust . . . . .	140
I. Grenzen. Besichtigung. Äußere Form. — Anwendungen: Anomalien, Mißbil- dungen. — Erworbene Verbildungen. — Konstitutionelle Verschiedenheiten. — Alters- und Geschlechtsunterschiede . . . . .	140
II. Die Brustwand. Sternalgegend. Anwendungen. — Seitliche Brustwand. Mamma: Anwen- dungen: Lymphbahnen der Mamma. Gefäße und Nerven der seitlichen Brustwand. — Hintere Brustwand: Anwendungen. — Untere Brustwand, Zwerchfell. Anwendungen: Zwerchfellhernien . . . . .	147
III. Inhalt des Thorax . . . . .	154
1. Allgemeines über die Topographie der serösen Säcke . . . . .	154
2. Einteilung der innerhalb des Thorax liegenden Teile . . . . .	155
3. Die Pleurasäcke. Pleura parietalis. Pleuragrenzen. Anwendungen . . . . .	156
4. Die Lungen. Form. Lappung. Hilus, Lungengrenzen bei Expiration und Inspiration. Anwendungen — Projektion der Lungenlappen. Bronchialbaum. Anwendungen. Lymph- bahnen, Infektionswege. Röntgenbilder . . . . .	159
5. Das Mediastinum. Allgemeines. Anwendungen . . . . .	163
a) Präperikardialer Teil des Mediastinums . . . . .	166
b) Herz und Herzbeutel. Lage des Herzens im Thorax. Projektion des Herzens, der großen Gefäßstämme und der einzelnen Abschnitte des Herzens auf die vordere Brustwand. Topographische Beziehungen der einzelnen Flächen des Herzens. Anwendungen: Alters- und Geschlechtsunterschiede, Röntgenbild. Relative und absolute Herzdämpfung. — Herzbeutel. Befestigung. Porta arteriosa und porta venosa. Sinus transversus pericardii. Anwendungen . . . . .	166
c) Supraparikardialer Teil des Mediastinums. Thymus. N. phrenicus. Vena cava superior, Vena anonyma, Aorta ascendens, Arcus Aortae und seine Äste. Nn. vagi. Arteria pulmonalis. Lig. Botalli und N. recurrens sinister. Linker und rechter Ast der A. pulmonalis. Venae pulmonales . . . . .	176
d) Retroperikardialer Teil des Mediastinums. Brustteil der Trachea und Bronchen. Brustteil des Oesophagus, Nn. vagi. — Aorta descendens. — Venae azygos und hemia- zygos. — Ductus thoracicus. — Grenzstrang und Nn. splanchnici — Anwendungen . . . . .	178

# Topographische und angewandte Anatomie des Bauches . . . . .

- I. Grenzen. Äußeres. Regionale Einteilung . . . . .
- II. Die vordere und seitliche Bauchwand in ihren Schichtungsverhältnissen . . . . .
  1. Die kutanen Schichten. Gefäße und Nerven . . . . .
  2. Die Binnenschichten. Fascia transversalis, Parietales Bauchfell . . . . .
  3. Die Muskelschichten. Gebiet der Linea alba. -- Nabel. Anwendungen. -- Gebiet der Mm. recti. -- Gebiet der seitlichen Bauchmuskeln. -- Gebiet des Trigonum lumbale. -- Tiefe Arterien und Venen der Bauchwand. -- Anwendungen . . . . .
- III. Topographische Anatomie der Leistenhernien. -- Anwendungen . . . . .
- IV. Die hintere Bauchwand und die retroperitoneal gelegenen Organe. Hintere Bauchwand. -- Aorta abdominalis. Äste der Bauchaorta. -- Artt. iliacae communes. -- Vena cava inferior. -- Bauchtell des Grenzstranges. -- Plexus lumbalis. -- Nieren. Gestalt, Lage, Hilus. -- Beziehungen zur Nachbarschaft. -- Nieren und Bauchfell. Anwendungen. Nebennieren. -- Ureter (pars abdominalis) Anwendungen . . . . .
- V. Bauchfell und innerhalb des Bauchfellsackes gelegene Organe . . . . .
  1. Bauchfell. Cavum peritonei und Bursa omentalis. -- Verlauf des Bauchfells. -- Topographie einzelner Verlaufsstrecken -- Recessus. . . . .
  2. Inhalt des Bauchfellsackes. Allgemeines über die Lage der Baueingeweide. Situs des Lebenden und Leichensitus . . . . .
    - a) Magen. Formen des Leichenmagens. Lage zum Skelett und Projektion. Lage zu den Nachbarorganen. Arterien, Venen, Nerven des Magens. Anwendungen: Röntgenbilder. Traubescher Raum. Lymphbahnen . . . . .
    - b) Leber und Gallenblase. Form der Leber, Lage zum Skelett und den Nachbarorganen. Projektionsfelder. Befestigung. -- Gallenblase, Ductus choledochus. Anwendungen . . . . .
    - c) Duodenum. Anwendungen . . . . .
    - d) Pankreas. Anwendungen . . . . .
    - e) Milz. Anwendungen . . . . .
    - f) Dünn- und Dickdarm. Variationen in der Lage und Befestigung des Dickdarms. Anwendungen. Gefäßversorgung des Dickdarms . . . . .

# Topographische und angewandte Anatomie des Beckens . . . . .

- I. Die Beckenwand . . . . .
  1. Die seitlichen Wände. Skelett. Weichteile. Fascia pelvis. Bauchfell. Gefäße und Nerven des Beckens. -- Vasa iliaca externa in ihren topographischen Beziehungen. -- Vasa iliaca interna, Arteriae umbilicalis, obturatoria, uterina. -- Fossa obturatoria, Fossa ovarica. -- Plexus sakralis. -- A. glutaea superior, inferior, pudenda communis . . . . .
  2. Weichteile des Beckenausganges. Diaphragma pelvis, diaphragma urogenitale. Cavum peritoneale, spatium subperitoneale, spatium ischio-rectale. -- Anwendungen: Beckenmessung . . . . .
  3. Durchlässe der Beckenwand. Aus dem Becken austretende Hernien. Foramen suprapiriforme. Foramen infrapiriforme. -- Canalis obturatorius. -- Lacuna musculorum und vasorum. Anwendungen: Herniae ischiadicae, perineales, obturatoriae, femorales. -- Senkungsabszesse . . . . .

II. Der Beckenraum. Sein Umfang. Cavum peritoneale und Spatium subperitoneale . .	217
-----------------------------------------------------------------------------------	-----

1. Männliches Becken. Rektum. Anwendungen: A. hämorrhoidalis superior. Venen des Rektums. Harnblase. Anwendungen. Pars pelvina des Ureters. Prostata, Samenblasen. Ampulle des Ductus deferens, Ductus deferens. Männliche Harnröhre. Anwendungen.	247
2. Weibliches Becken. Rektum. — Harnblase. Ureter. Harnröhre. — Uterus. Lage, Befestigungen. — Vagina. — Ovarium, Ovarialnische. — Tuba uterina. — Ligamentum latum. — Parametrium. — Anwendungen . . . . .	253

III. Der Damm. Ausdehnung. Muskulatur des Afters. Spatium ischiorectale. — Muskeln am Trigonum urogenitale. — Dammfaszien. — Gefäße und Nerven des Dammes. — Glandula bulbo-urethralis. Anwendungen: Atresia ani und recti. Angeborene Fisteln. — Epl- und Hypospadie. — Erworbene Fisteln, Abszesse . . . . .	262
----------------------------------------------------------------------------------------------------------------------------------------------------------------------------------------------------------------------------------------------------------------------------------------------------------------	-----

## niges über die topographische und angewandte Anatomie des Rückens

1. Äußere Formen. Regionale Einteilung. Schichtung der Weichteile. Arteria vertebralis am Nacken. Lage des Rückenmarks . . . . .	266
2. Anwendungen: Diagnose von Rückenmarksverletzungen hinsichtlich der Höhe des Sitzes — Lumbalpunktion — Epidurale Injektion — Laminektomie . . . . .	268

## topographische und angewandte Anatomie der Extremitäten . 270

I. Morphologische Einleitung in die topographische Anatomie der Extremitäten . . . . .	270
----------------------------------------------------------------------------------------	-----

1. Beziehungen der Extremitäten zum segmentalen Aufbau des Körpers. Muskeln. Nervenplexus. Hautsegmente und ihre Anordnung. Streck- und Beugennerven. — Gefäße, Entstehung der Hauptarterien. — Obere und untere Extremität miteinander verglichen .	270
2. Anwendungen. — Radikuläre und peripherische Lähmungen. — Collateralkreisläufe. — Accessorische Skelettelemente . . . . .	276

## II. Topographische und angewandte Anatomie der oberen Extremität . 278

1. Die Schulter. Äußeres. Vordere Schultergegend, Achselhöhle. A. axillaris. V. axillaris. Infraclavicularer Teil des Plexus brachialis. Hintere Schultergegend. Achselhöhlen. Schultergelenk. Anwendungen. Unterbindung der A. axillaris. Collateralkreislauf. Schultergelenksluxationen, Punktionen, Drainage. Schleimbeutel . . . . .	278
2. Der Oberarm. Schichtung. Muskeln. Fascie, Hautnerven, Hautvenen. Arteria brachialis. Collateralläste und Varietäten der A. brachialis. N. medianus, N. ulnaris, N. radialis. Anwendungen. Unterbindung der A. brachialis bei normaler und variabler Ausbildung. Collateralkreislauf. Aufsuchung des N. radialis . . . . .	285
3. Die Ellbogengegend. Äußeres. Hautvenen, Hautnerven. Tiefe Nerven und Gefäße. Ellbogengelenk. Anwendungen. Luxation des Ellbogengelenkes . . . . .	288
4. Der Unterarm. Äußeres. Fascien, Muskelgruppen, Gefäße. Nerven. Anwendungen. Radius, Ulna hinsichtlich ihrer Erreichbarkeit. — Lage des N. medianus oberhalb des Handgelenkes . . . . .	291
5. Die Hand. Äußeres. Fascia palmaris. Ligg. carpi. Canalis carpi. A. radialis nebst Ästen. Oberflächlicher Handbogen nebst Varietäten. Tiefer Handbogen. A. ulnaris. Nerven der Hohlhand. Sehnenscheiden. Handrücken. Gelenke an der Hand. Finger Dorsalaponeurose der Finger. Anwendungen. Tiefe Abszesse, collaterales Oedem. Dupuytren'sche Contractur. Sehnenscheiden. Lage der Gelenke. Aufsuchen der Arterien und Nerven. Symptomatologie der Lähmungen der Nn. medianus, ulnaris, radialis auf anatomischer Grundlage . . . . .	295

## III. Topographische und angewandte Anatomie der unteren Extremität

1. *Die Hüft- und Subinguinalgegend.* Äußeres. Hüftgelenk. Anwendungen. Roser-Nélatonsche Linie. Schenkelhalsfrakturen. Senkungsabscesse — Fossa ovalis und Umgebung. Hüftmuskeln. Foramina supra- und infrapiriforme. Anwendungen . . .
2. *Der Oberschenkel.* Muskelgruppen mit Nerven. Fossa ileopectinea. Adduktorenkanal. A. femoralis. V. femoralis. N. femoralis. N. ischiadicus. N. obturatorius. Anwendungen Unterbindung der A. femoralis . . .
3. *Die Kniegegend.* Äußeres. Vorderseite. Kniekehle, oberflächliche und tiefe Teile. Kniegelenk. Schleimbeutel. Bewegungen im Kniegelenk. Anwendungen. Ergüsse im Gelenk. Schwellung der Schleimbeutel. Lage der Patella . . .
4. *Der Unterschenkel.* Gruppierung der Muskulatur. Hautnerven. V. saphena parva. Gefäße und Nerven auf der Vorderseite des Unterschenkels; dsgl. auf der Rückseite. Regio malleolaris medialis. Vena saphena magna. Anwendungen. Aufführung der Arterien und Nerven. Regio malleolaris medialis. Unterbindung der V. saphena. Ulcera cruris . .
5. *Der Fuß.* Dorsalfläche. Besichtigung. Betastung. Arterien, Nerven. Plantarfläche. Fascia plantaris. Muskeln. Art. plantaris lateralis und medialis. Nerven der Fußsohle. Oberes Sprunggelenk. Unteres Sprunggelenk. Calcaneocuboidgelenk. Choparttasche und Lisfranksche Gelenklinien. Anwendungen. Verlauf der Lisfrankschen Gelenklinie. Statik des Fußgewölbes. Pes valgus, pes calcaneo-valgus und planus . . .

Alphabetisches Sachregister . . . . .

Druckfehler-Berichtigung . . . . .



# Kurzer Abriß der allgemeinen topographischen Anatomie.

## 1. Einleitung.

Gegenstand der menschlichen Anatomie ist die *Form* des Körpers. Die Anatomie ist *Morphologie des Menschen*; als solche hat sie die doppelte Aufgabe, die Form aller Bestandteile des menschlichen Körpers kennen zu lehren und die Lagebeziehungen aller einzelnen Teile zueinander darzustellen. Die erste Aufgabe fällt der systematischen Anatomie zu, die den Körper in seine Bestandteile (Systeme, Organe) *auföst* und diese, ohne Rücksicht auf ihre gegenseitige Lage beschreibt. Sie wird darin unterstützt durch die mikroskopische Anatomie, die da, wo das bloße Auge versagt, die Lupe und dann das Mikroskop zu Hilfe nimmt, um bis zu den kleinsten Elementen des Körpers, den Zellen und deren Bestandteilen, vorzudringen. Ihr Reich endet an den Grenzen des mikroskopisch Sichtbaren.

Der solchermaßen in seine Elemente aufgelöste Körper zeigt zwar diese Elemente in voller Klarheit. Aber die Aufgabe, die Form des Körpers darzustellen, wird dadurch noch nicht völlig gelöst. Auch wie die nunmehr bekannten Einzelteile sich im Raume nebeneinander lagern, bedarf der Erforschung und Darstellung. Bei der Lösung dieser Aufgabe verfährt die anatomische Wissenschaft nicht auflösend, sondern *aufbauend*. Sie wird zur topographischen Anatomie. Erst systematische und topographische Anatomie zusammen, die ja beide beschreibend vorgehen, bilden die *beschreibende Anatomie*.

Die Möglichkeit, topographische Anatomie als Wissenschaft zu treiben, beruht darauf, daß im Organismus keine Willkür, sondern strenge Gesetzmäßigkeit obwaltet. Nur dadurch, daß kein noch so winziger Teil des Körpers jemals willkürlich oder regellos seine Lage ändern kann, gewinnt der Arzt und besonders der Chirurg die Möglichkeit, Diagnosen zu stellen und sein Messer planmäßig in den Körper einzusenken. Könnten wir uns jemals vorstellen, daß z. B. der N. vagus am Halse nicht da liege, wo wir ihn zu finden gewohnt sind, so würde damit die topographische Anatomie unmöglich werden. Selbst die Abweichungen von einer als „normal“ bezeichneten Lage unterstehen strenger Folgerichtigkeit. Die sich aus diesen individuellen Abweichungen ergebende „Individualanatomie“, wie sie im Gegensatz zur „Durchschnittsanatomie“ genannt werden kann, ist, insoweit man sie ebenfalls auf Gesetze zurückzuführen versucht, noch Wissenschaft der Zukunft. In der auf die Erblichkeitslehre begründeten Konstitutionsforschung liegt ihr erster Beginn. (*Martius.*)

Die in der topographischen Anatomie zur Darstellung gelangende Gesetzmäßigkeit in der Lagerung aller Teile zueinander ist ein Speziesmerkmal der Spezies Homo. Sie wiederholt sich unter dem Einfluß der Erblichkeit, die in jedem Menschen wieder die gleiche Lagerung sämtlicher Teile herstellt. Die durch gleiche, stets erblich wiederkehrende Lagebeziehungen ausgezeichneten Teile nennt man *homolog*. Zahlreiche Homologien teilt der Mensch mit den Säugetieren, ja mit den Wirbeltieren, in vereinzelt Fällen sogar mit den Wirbellosen. Andererseits treten aber auch innerhalb der Spezies Homo erbliche topographische Verschiedenheiten als *Rassenmerkmale* auf, besonders in den Proportionen des Körpers, in der Lage des Gehirns und der Eingeweide. Diese Rasseneigentümlichkeiten der Weichteile des Körpers in topographischer Hinsicht sind aber noch wenig erforscht.

Dadurch, daß der Arzt durch die Beherrschung der topographischen Anatomie befähigt wird, in den menschlichen Körper, als wenn er durchsichtig wäre, hineinzublicken, gewinnt er auch dem kranken Körper gegenüber diejenige wissenschaftliche Selbstständigkeit, die dem Laien und Pfuscher fehlt. Die topographische Anatomie lehrt ihn in jedem Falle verstehen, nach welchen Gesetzen krankhafte Veränderungen eines Teiles die Nachbarschaft oder entferntere Gebiete beeinflussen müssen, oder welche Wege er selbst einzuschlagen hat, um bestimmte Teile des Körpers zu untersuchen oder operativ zu erreichen. Indem die topographische Anatomie gerade diese praktischen Fragen ins Auge faßt, wird sie zur *angewandten Anatomie*. Nach den einzelnen klinischen Fächern wird sie als chirurgische, ophthalmologische, otitrische usw. Anatomie bezeichnet.

Da die topographische und angewandte Anatomie nur verständlich wird, wofern die systematische Anatomie bereits bekannt ist, so muß deren Studium der Arbeit in der topographischen Anatomie vorausgehen, aber auch ständig mit ihr verbunden werden. Auch setzt die topographische Anatomie andere Methoden der Darstellung voraus als die systematische Anatomie. Ihr genügt nicht das gewöhnliche anatomische Präparat, in dem die Teile aus ihrer Lage gebracht, die Gefäße nicht natürlich gefüllt, die Nerven aus ihren Befestigungen gelöst, die Beziehungen der Faszien zu Muskeln, Gefäßen und serösen Häuten zerstört werden müssen. Hier werden Präparate benötigt an steif erhärtetem Material, Schnitte durch den ganzen Körper, schichtweis zugänglich gemachte Gegenden. Durch die Anwendung der Röntgenstrahlen ist ein besonders wichtiges Hilfsmittel gegeben.

Die topographische Anatomie wird in der Hauptsache als „*spezielle*“ topographische Anatomie dargestellt, indem die Verhältnisse der einzelnen Regionen des Körpers geschildert werden. Sie läßt aber auch eine *allgemeine* Behandlung zu, weil es bestimmte Gesetzmäßigkeiten gibt, die innerhalb des ganzen Körpers sichtbar werden und eben der Anlaß dazu sind, daß die gleiche Lagerung aller Teile im Embryo und Fötus stets wieder hergestellt wird. Für den, der die Kenntnis dieser allgemeinen Gesetzmäßigkeit besitzt, verliert die topographische Anatomie alles Zufällige. Sie ist uns das, was für den Sinn der Sprache Grammatik und Syntax ist. Wir werden durch Kenntnis dieser „*Formenlehre*“, wie sie die vergleichende Anatomie und Entwicklungsgeschichte lehren, in die Lage versetzt, dem Körper nicht mit dem Gedächtnis, sondern mit dem Verstande gegenüber zu treten, indem wir das *Planmäßige* seines ganzen Aufbaues erkennen. Das Wesentlichste hiervon soll in diesem kurzen allgemeinen Teil als Abriss dargestellt werden; weiteres in den Einleitungen zu den Schilderungen der großen Hauptabschnitte des Körpers.

Der menschliche Körper, wie alle Wirbeltierkörper, besitzt zwei Grundelemente seines topographischen Aufbaus (auch „*morphologische Individuen*“ [*E. Hückel*]) genannt: Die *Antimeren* (anti = gegen, meros = Teil), d. h. die spiegelbildlichen Gegenstücke, und die *Metameren* (meta = nach), d. h. die hintereinander folgenden, formal gleichwertigen Abschnitte des Körpers.

## 2. Antimerenlehre (Lehre von den Symmetrieverhältnissen des Körpers).

Der menschliche Körper läßt sich nicht, wie eine Kugel, mit zahlreichen, durch einen Punkt, auch nicht wie strahlig gebaute Tiere und Pflanzen mit zahlreichen durch eine Linie (Hauptachse) gelegten Schnitten in vielemals je zwei kongruente Teile zerlegen. Vielmehr läßt er sich nur mit einem einzigen, durch eine Ebene (Medianebene) gelegten Schnitt in zwei, nicht kongruente, aber einander ähnliche, annähernd spiegelbildlich gleiche Teile teilen. Diesen bilateral-symmetrischen Bau besitzt schon die befruchtete Eizelle, wahrscheinlich aber auch schon das unbefruchtete Ei. So ist der Mensch auf jedem Stadium seiner embryonalen Entwicklung in der Hauptsache ein bilateral-symmetrisches Wesen. Von dieser Anordnung seiner Teile treten indes schon sehr frühzeitig Abweichungen auf, die dahin führen, daß im ausgebildeten Zustande die beiden Hälften des

Körpers sehr starke Asymmetrien aufweisen, deren einzelne von bedeutendem Einfluß auf die topographische Lagerung der Teile sind.

Bei der äußeren Besichtigung des Körpers fällt die Asymmetrie oft erst bei genaueren Messungen ins Auge. Das Achsen skelett zeigt gewöhnlich eine Krümmung nach rechts oder links. Fast nie steht die Wirbelsäule in der Medianebene. Ist sie in der Brustgegend nach rechts gekrümmt, so in der Hals- und Lendengegend nach links, in der Beckengegend wieder nach rechts. Dann steht die rechte Schulter und das rechte Schlüsselbein tiefer, das rechte Darmbein höher als links. Der rechte Arm ist länger als der linke, das rechte Bein kürzer als das linke. Alle Rumpfabschnitte erscheinen dann auch rechts breiter und in der Richtung von vorn nach hinten größer (*Hasse*). Ist die Wirbelsäule in der Brustgegend nach links gebogen, so verhalten sich alle Beziehungen umgekehrt.

Die beiden Hälften des Schädels sind deutlich und in verschiedenem Grade asymmetrisch; im allgemeinen ist der Kopfumfang links um mehrere Millimeter (bis 1 cm) größer als rechts, desgleichen die Länge des Gehirnschädels. Auch die Kapazität scheint links größer als rechts. Die einzelnen Knochen des Schädels sind ungleich gestellt und gewölbt; die Koronarnaht, auch die Schenkel der Lambdaht verlaufen meist schief. Das linke Jochbein steht höher und ragt stärker hervor, als rechts. Die linke Orbita steht höher und hat eine mehr viereckige Form, während die rechte tiefer steht und mehr rundlich ist. (*M. J. Weber*). Die knöcherne Nase weicht regelrecht nach links, die knorpelige dagegen nach rechts ab. (*Welcker*.) Auch die Weichteile des Gesichtes sind asymmetrisch; der Kieferwinkel rechts von der Mittellinie beiderseits verschieden weit ab (Unterschied bis  $\frac{1}{2}$  cm.) Ohren, Augen, Nase zeigen Abweichungen, besonders im Höhenstande.

Auch an den übrigen Abschnitten des Körpers werden schon rein äußerlich auffällige Asymmetrien beobachtet. Am Halse steht der Knick zwischen der senkrecht verlaufenden Halslinie (entsprechend dem oberen Teil des M. sternocleidomastoideus) und der schräg nach außen und abwärts ziehenden Schulterlinie (M. trapezius) bald links, bald rechts höher (bis zu 1 cm). Auf der entgegengesetzten Seite fällt dann meist die Schulterlinie steiler ab, die Schulter steht tiefer. Durch den seitlichen Halsknick messen ist der Halsumfang links meist (bis  $1\frac{1}{2}$  cm) größer, als rechts; durch die Fossa jugularis messen ist der Unterschied noch größer (bis 3,8 cm).

Der Brustumfang ist beiderseits verschieden; die einzelnen Rippen sind auf beiden Seiten nicht gleich lang; unabhängig davon ist auch die Länge der Rippenknorpel beiderseits verschieden. Namentlich im Bereich der 1. Rippe kommen sehr beträchtliche Asymmetrien vor, die auf die Lage und Bewegung der Lungenspitzen Einfluß gewinnen können. (Siehe später beim Thorax.) Abweichungen in der Länge und Tiefe beider Thoraxhälften sind die Regel. Sie haben oft pathognostische und konstitutionelle Bedeutung. (Vgl. später beim Thorax.) Die Brustwarzen stehen zwar meist gleich hoch, aber in 75% aller Fälle sind sie von der Mittellinie ungleich weit entfernt.

Jedes Extremitätenpaar ist unter sich verschieden an Länge, im ganzen wie in den einzelnen Abschnitten. Auch die Dicke der beiden Extremitäten ist beiderseits verschieden. Gewöhnlich ist (bei Krümmung der Wirbelsäule) der rechte Arm länger und dicker als der linke, das rechte Bein kürzer als das linke. In dieser Übereinstimmung der Extremitäten übers Kreuz, wie auch in der übers Kreuz gleichsinnigen Bewegung (gleichzeitige Vorwärtsbewegung des rechten Armes und linken Beines) erinnert der Mensch an das Verhalten der vierfüßigen Tiere. Die Rechtshändigkeit des Menschen beruht wahrscheinlich letzten Endes auf einer Linkshirnigkeit, die ihre Ursache in asymmetrischer Gefäßversorgung hat (günstigere Stromrichtung der A. carotis interna sinistra). Der Gefäßverlust bei Linkshern ist indes aus begreiflichen Gründen noch nicht festgestellt. Die größere Dicke des rechten Armes ist dann als funktionelle Anpassung zu beurteilen, während die größere Länge der einen oder anderen oberen Extremität mit der Funktion nichts zu tun hat und aus den allgemeinen Asymmetrieverchiebungen zu erklären ist (*Gaupp*).

Die beiden Hälften des Scrotums und beide Labia majora sind ungleich lang.

Die paarig vorhandenen Eingeweide sind stets verschieden an Größe, vielfach auch an Gestalt und Lage. Am Gehirn ist die linke Hemisphäre größer, die rechte oft schwerer. Die beiden Lungen und Stammbronchien sind an Kapazität, Form und Lage höchst ungleich. Die beiden Lappen der Thymus zeigen sehr verschiedene Gestalt. Nieren und Nebennieren, Geschlechtsdrüsen unterscheiden sich beiderseits voneinander. Viel wichtiger ist aber diejenige Asymmetrie, die durch die Ausbildung der unpaarigen Organe entsteht. Von diesen unpaarigen Organen (Herz und große Gefäßstämme, Verdauungstraktus) ist nur das Darmrohr von Anfang an unpaarig vorhanden, während das Gefäßsystem (mit einziger Ausnahme der Vena cava inferior) anfänglich paarig ist, wenngleich auch auf diesem frühesten Zustande bereits Abweichungen zwischen rechts und links vorkommen.

Das Verdauungsrohr, anfangs symmetrisch in der Medianebene des Körpers gelegen tritt weiterhin mit seinem Anfangsteil (Oesophagus) nach links, so daß es unterhalb des Kehlkopfes *links* neben der Luftröhre sichtbar und erreichbar wird. Die Speiseröhre kreuzt schließlich weiterhin den *linken* Bronchus und tritt *links* von der Aorta durch das Zwerchfell. Der Magen tritt in die *linke*, das Duodenum in die *rechte* Bauchhälfte; das Jejunum liegt vorzugsweis wieder *links*, das Ileum rechts. Von den großen Drüsen des Darmkanals tritt die anfangs symmetrisch entfaltete Leber ganz nach *rechts*, das Pankreas nach *links*, die Milz wird ganz nach *links* verschoben. All diese Verschiebungen, die während der ersten Fötalzeit (bis zum 3. Monat) eintreten, haben weitgehende Folgen für die Ausbildung des Situs der Brust und Bauchorgane.

Das Herz tritt in die linke Hälfte des Thorax. Dadurch wird die linke Pleurahöhle in einer quereren Richtung enger, während die rechte zwar breiter wird, aber durch die Entwicklung der Leber an Höhe verliert. Der anfänglich in der Mitte vorn am Halse gelegene ansteigende Teil der Aorta entsendet arkadenförmig um den Schlund herum nach rückwärts die Kiemenarterien (sechs an Zahl), die sich rückwärts zu einem Längsstamm (Aorta descendens) vereinigen. Dieser Gefäßkorb wird stark asymmetrisch, indem ein einziger Bog (der vierte) sich links zum Aortenbogen ausbildet, während der uns bekannten großen Aorta dieses Bogens aus dem ursprünglichen Bogensystem gleichsam herausgeschmolzen wurde. Dies ist wieder von weittragenden Folgen für den Situs (Lage der Aorta links von der Wirbelsäule, Beziehungen zum linken Bronchus, größere Länge der rechten Interkostalarterien, Verlauf der A. anonyma von links nach rechts vorn über die Luftröhre hinweg). Die Lagerung des rechten Vorhofes des Herzens führt wegen des günstigeren Abflusses des Bluts zur stärkeren Ausbildung der rechts gelegenen Teile des Systems der oberen Hohlvene und der V. azygos; die zu ihr ursprünglich symmetrische linke Vene wird zum Teil in sie aufgenommen und dadurch zur „hemiazygos“. Die Verlagerung der Leber nach rechts führt auch die Pfortader in die rechte Seite des Bauches hinein. Die rechts verlaufene untere Hohlvene zwingt die V. spermatica sinistra zu dem Umweg über die V. renalis.

Nicht nur einfache Verlagerungen finden statt, sondern auch Drehungen dieser unpaarigen Eingeweide. Das Herz dreht sich um seine Längsachse nach links, kehrt also seine rechte Fläche nach vorn. Der Vorderarm dreht sich umgekehrt nach rechts, kehrt also auch seine linke Fläche nach vorne. Sehr kompliziert verlaufen die Drehungen im Mitteldarm. Das alles beeinflusst den Verlauf der Nerven. (Linker N. phrenicus tiefer im Mediastinum als rechts, linker Vagus vor der Speiseröhre und an der Vorderfläche des Magens, rechter hinter der Speiseröhre und an der Hinterfläche des Magens.) Erwähnt sei schließlich auch die durch asymmetrische Ausbildung der Endgebiete oder Durchgangsgebiete hervorgerufene Asymmetrie wichtiger Nervenstämmе. (Linker Vagus zur Leber, rechter zum Darm; linker N. recurrens am Halse tiefer als rechts, da er um den Aortenbogen in die Tiefe dringen muß, im Gegensatz zum oberflächlich sich um die A. subclavia schlingenden rechten.)

In seltenen Fällen tritt die gesamte Asymmetrie des Körpers umgekehrt auf; was normal rechts liegt, liegt links und umgekehrt. Dieser „Situs inversus“ (Fig. 1) ist in seinen Ursachen jetzt soweit aufgeklärt, daß man das Individuum, das ihn besitzt, wohl auffassen kann als den rechten zweier eineiiger Zwillinge, deren linker bereits auf frühesten Entwicklungsstadien (vielleicht schon auf dem Zweizellenstadium) zugrunde gegangen ist. Man weiß, daß von Doppelbildungen (bei Amphibienlarven) die am Schwanz zusammenhängende die rechte sehr oft den Situs inversus zeigt. Aller Wahrscheinlichkeit nach liegt bereits in jeder der beiden Hälften eines Eies, zumindest des befruchteten, die zwangsmäßig wirkende Anlage zu bestimmten Wachstumsrichtungen der späteren Organe. Die bei normaler Entwicklung eintretenden mechanischen Einwirkungen der Organe aufeinander unterstützen jene angeborenen Drehungs- und Verschiebungstendenzen nur, rufen sie aber nicht hervor (Spemann).

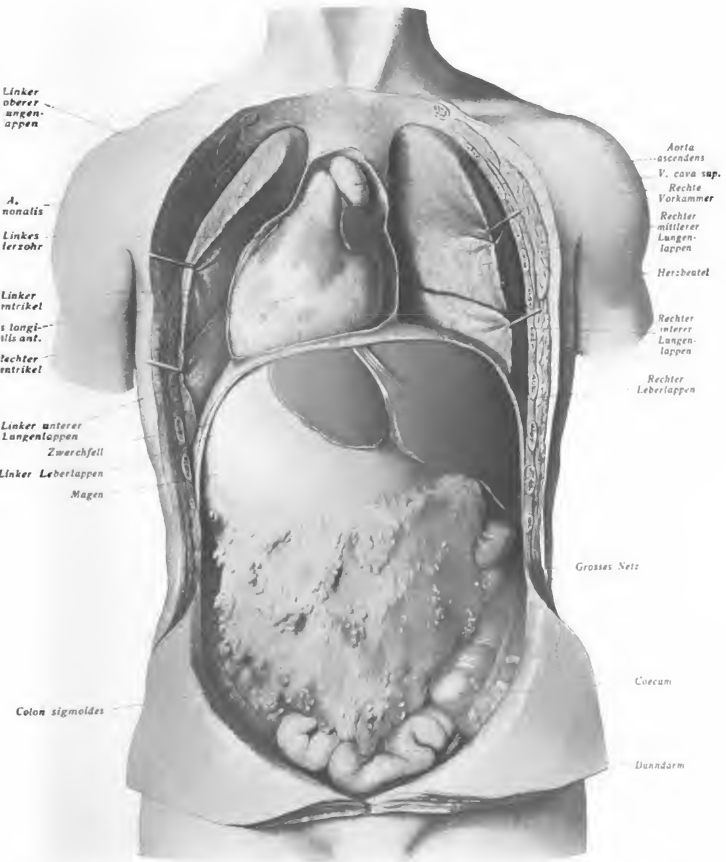


Fig. 1. Situs inversus. Das Präparat stammt von einem kräftigen jungen Manne. Mit rechts und links sind die Teile bezeichnet, welche den normalerweise rechts und links gelegenen entsprechen.

Fig. 2. Modell eines menschlichen Embryo von 7 Ursegmenten (2. Schwangerschaftswoche). Die rechte Wand des Körpers ist abgetragen. (Aus Entwicklungsgeschichte des Menschen von Franz Keibel und F. P. Mall).

Fig. 3. Rekonstruierte Körperwand eines 9 mm langen menschlichen Embryo (Ende des 1. Monats). Man sieht die Lage der Wirbel, Wirbelkörper, Rückenmark mit Spinalganglien, vorderer und hinterer Wurzel. Die Rami anteriores verlaufen nach vorwärts (links vom Beschauer) unterhalb der Rippen. Sichtbar ist außerdem der Plexus lumbalis und der Grenzstrang mit den Rr. communicantes. (Unter Zugrundelegung einer Figur von Mall aus Bromans Entwicklung des Menschen. Die Aorta mit ihren Segmentgefäßen ist schematisch hineingezeichnet worden.

### 3. Metamerenlehre.

Schon diese Umstände also führen zu komplizierten Lageveränderungen der einzelnen Teile. Nicht minder einflußreich ist aber die Komplikation, die durch die Umbildung der *Metameren* eintritt. Der menschliche Körper ist nicht nur der Länge, sondern auch der *Quere* nach ursprünglich und zum Teil dauernd gegliedert. Es folgen von vorn nach hinten eine große Anzahl Abschnitte aufeinander, deren jeder ein Stück sämtlicher Systeme des Körpers enthält, Skelett, quergestreifte Muskulatur, Nerven, Gefäße, Darm, Nieren und Geschlechtsorgane. Diese aufeinanderfolgenden, ihrem Inhalte nach einander gleichwertigen Elemente werden *Segmente*, *Metameren* genannt; man spricht von der *Segmentierung*, *Metamerie* des Körpers. Für das wirkliche Verständnis der Tatsachen der topographischen Anatomie des Erwachsenen ist die Kenntnis der Grundzüge dieser Gliederung unerlässlich. Der menschliche Körper allerdings zeigt die Gliederung nicht mehr in allen Teilen so klar wie sie andere Wirbeltiere aufweisen, aber dennoch finden sich Spuren von ihr überall. Die in jedem Segment nachweisbaren Bestandteile sind

1. das Myotom,
2. das Nervensegment,
3. das Hautsegment,
4. das Skelettsegment.
5. das Gefäßsegment.

Dazu kommen in einigen Bezirken des Körpers.

6. Segmente des Harnapparates,
7. Segmente des Geschlechtsapparates.

1. Im *Myotom* zeigt sich (Fig. 2) die auch beim Menschen am schärfsten hervortretende Sonderung des Körpers in quere Richtung. Es enthält die Anlagen der quergestreifte (willkürlichen) Skelettmuskulatur. Diese schon bei wenige Tage alten menschlichen Embryonen sichtbaren Elemente stellen die „Wirbel“ (die also nicht die Anlagen der „Wirbel“ sind) dar. Sie liegen anfangs nur auf der Rückenfläche des Körpers, wachsen dann aber nach seitwärts herab, um schließlich die ventrale Mittellinie zu erreichen. Sowohl an der ursprünglichen Stelle, wie auch an den Orten, wohin sie durch Auswachsen gelangen, entwickeln sich die späteren *Körpermuskeln*. Diese zerfallen dann nach in zwei große Gruppen:

- a) die dorsale Stammesmuskulatur, die ausschließlich die langen Rückenmuskeln liefert.
- b) die ventrale Stammesmuskulatur, aus der alle anderen Muskeln des Körpers (mit Ausnahme der viszeralen Muskeln, s. später S. 19) hervorgehen.

Die Grenze zwischen beiden Muskulaturen bildet ursprünglich der Querfortsatz des Wirbels.

Beim Menschen erfolgt dieses „Auswachsen“ der Myotome nach seitwärts und abwärts stellenweise bereits zu einer Zeit, in der die Muskelemente noch nicht deutlich sichtbar sind. Die ventralen Muskeln entstehen dann an solchen Stellen *scheinbar* ohne Zusammenhang mit den dorsalen Teilen.

2. Das *Nervensegment*. Eine Gliederung des Rückenmarks selbst in aufeinanderfolgende Abschnitte ist nicht vorhanden, ist aber am Gehirn angedeutet. Dennoch ist das Nervensegment nicht minder scharf gesondert, als das Muskelsegment. Soviel Muskel

Fig. 2.

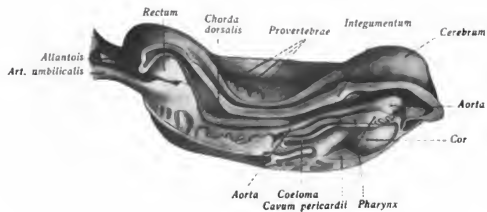


Fig. 3.

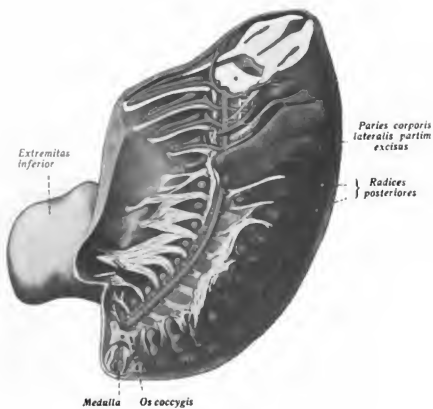


Fig. 4/5.

Fig. 4.

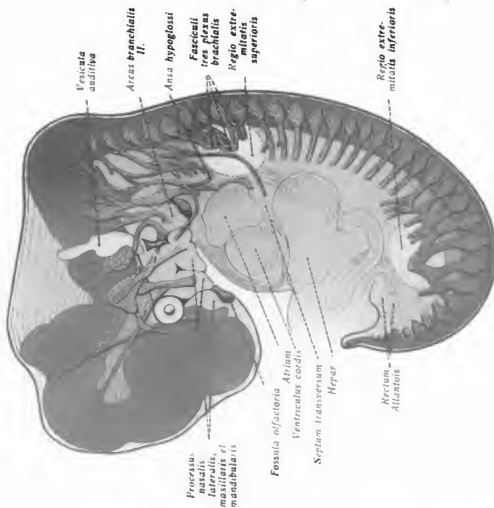


Fig. 5.

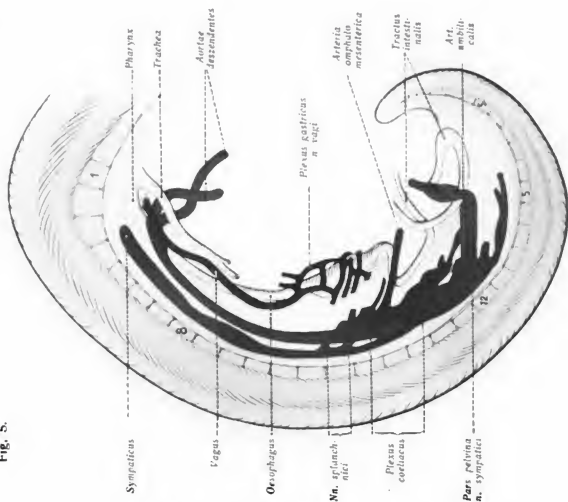




Fig. 4. Nervensystem eines menschlichen Embryo von 10,2 mm (Anfang des 2. Monats). Gehirn, Rückenmark, Darm, Leber schimmern durch die Haut hindurch. Die Lage der Extremitäten ist durch helle Kreise angedeutet. Zu beachten: Ansa hypoglossi, N. phrenicus, Plexus brachialis und seine Gliederung. (Mit geringen Abänderungen nach His aus Kollmanns Atlas der Entwicklungsgeschichte.)

Fig. 5. Vagus, Sympathikus. Verdauungsstraktus und Gefäße eines menschlichen Embryo von 10,2 mm Nackenlänge. (Anfang des 2. Monats.) Die eingesetzten Zahlen beziehen sich auf die Ursegmente. Die A. omphalo-mesenteric von einem sympathischen Nervenfasern begleitet. Die Nabelschlinge mit dem Ductus omphalo-mesentericus ist nicht gezeichnet. Nach His d. J. aus Kollmanns Atlas der Entwicklungsgeschichte.

segmente, soviel *Spinalganglien* kommen jederseits vor (Fig. 3, 4), soviel Wurzelfaare der *Spinalnerven*, soviel *Spinalnerven*. Spinalganglien, Nervenwurzeln und Spinalnerven liegen getrennt einwärts neben den Myotomen, und in jedes Myotom tritt ein gemischter Nerv hinein. Nerv und Muskelsegment stellen eine absolut untrennbare, konstante Einheit dar, das konstantivste Verhältnis im ganzen menschlichen Körper. Jedes Muskelsegment bleibt mit seinem Nerven in Zusammenhang; verlagert es sich, so nimmt es den Nerven mit, verschmelzen mehrere Muskelsegmente, so verwachsen auch die dazu gehörigen Nerven (Plexusbildung!) Die wichtigste Folge dieser Tatsache ist es, daß jeder Spinalnerv sofort nach seinem Austritt aus dem Wirbelkanal in zwei Äste zerfällt, den gemischten *R. dorsalis*, bei der ursprünglichsten, dorsal liegenbleibenden langen Rückenmuskulatur verbleibt und den gemischten *R. ventralis*, der den nach seitwärts und unten auswachsenden Muskeln folgt. Dieser Ast ist später, da die ventralen Muskeln an Masse beträchtlicher sind, die langen Rückenmuskeln, in den meisten Segmenten auch viel stärker, als der dorsale. Da nur die ventralen Muskeln zu höheren Einheiten verschmelzen, die dorsalen aber ihren Zackenbildungen die anfänglichen Myotome erhalten, so folgt daraus, daß nur die ventralen Äste der Spinalnerven Plexus bilden können.

Die Gliederung in Nervensegmente erstreckt sich auch in das Rückenmark selbst hinein. Die Ursprungskerne der motorischen Nerven bilden im Vorderhorn segmentale Gruppen. Wo viel Kerne sind, schwillt die graue Substanz an; so entsteht da, wo die Extremitätennerven austreten, die *Intuscentia cervicalis* und *lumbalis*. Diese beeinflusst die Gestalt der Hals-, Brust- und Lendenwirbel. Man kann dann geradezu sagen, daß die Extremitäten das Foramen vertebrale breiter machen.

Jedes Segment des Rumpfes enthält anfänglich auch ein *sympathisches* (Grenzstrang-) *Ganglion*, einen *R. intestinalis* und einen peripherischen sympathischen Nervenast; doch treten hierin später Verschiebungen auf. (Fig. 5.)

3. Die *Hautsegmente*. Aus der Anordnung der sensiblen Nerven geht hervor, daß auch die Haut selbst segmentale Anordnung zeigt, obwohl sich die Gebiete der einzelnen Segmente übereinanderschichten. Am klarsten wird die Segmentierung im Bereiche der Intersternalnerven, deren sensible Ausbreitungen Brust und Bauch gürtelförmig umziehen. Im Bereich der Extremitäten tritt mit der Plexusbildung eine komplizierte Übereinanderschichtung der ursprünglichen Segmente auf. Hier fällt dann nicht (vgl. Fig. 6 und 7), wie bei den Interkostalnerven, Hautnerven- und Segmentgebiet zusammen. Vielmehr enthält jedes Hautnervengebiet soviel Segmente, wie zur Bildung des Hautnerven beigetragen haben. So ist überall, wo z. B. ein Ästchen des N. cutaneus antibrachii lateralis (aus dem N. musculocutaneus) hinkommt, 5. 6. u. 7. Segment des Rückenmarks vertreten.

Diese Sensibilität im Bereich der Plexus hängt auf der einzelnen Hautstelle also nicht von einem Segmenten, sondern von mehreren Segmenten ab. Man hat hiervon therapeutisch Gebrauch gemacht, indem man bei abnormen Steigerungen der Sensibilität die hinteren Wurzeln einiger der zugehörigen Segmente durchschnitten hat. Auch für die Anwendung der Leitungsanästhesie ist das wichtig. Besonders ist es auch, daß gerade die Segmentgrenzen der Haut zu trophischen Störungen disponieren.

4. Im erwachsenen Körper ist die Segmentierung mehr als bei allen übrigen Organen ins Auge fallend beim *Skelettsystem*. Wirbelsäule und Rippen sind die Elemente dieser Gliederung. Dennoch ist sie nicht so ursprünglich, als die bisher genannten, denn die Wirbel entstehen später, als die Myotome und Neuromeren. Auch entsprechen die Wirbelsegmente nicht den Muskelsegmenten; diesen entsprechen vielmehr die *Intervertebral-*

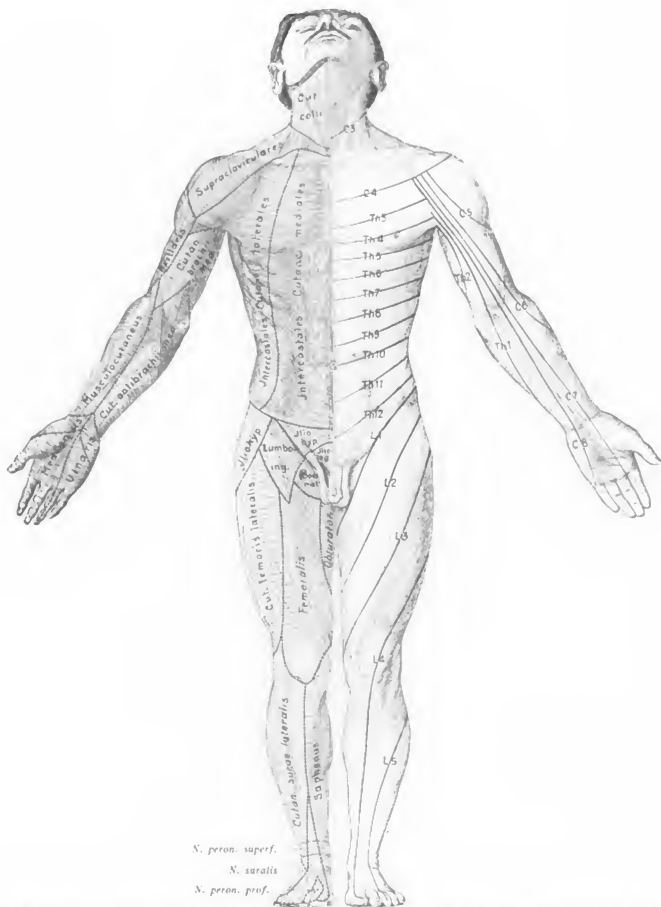


Fig. 6. Auf der linken Seite des Körpers sind die Segmente eingetragen, die der Ausbreitung der sensiblen Anteile der Spinalnerven entsprechen. Die Linie mit der Segmentzahl gibt die Mittellinie der Nervenausbreitung an.  
Aus: Villiger, Periph. Innervation.

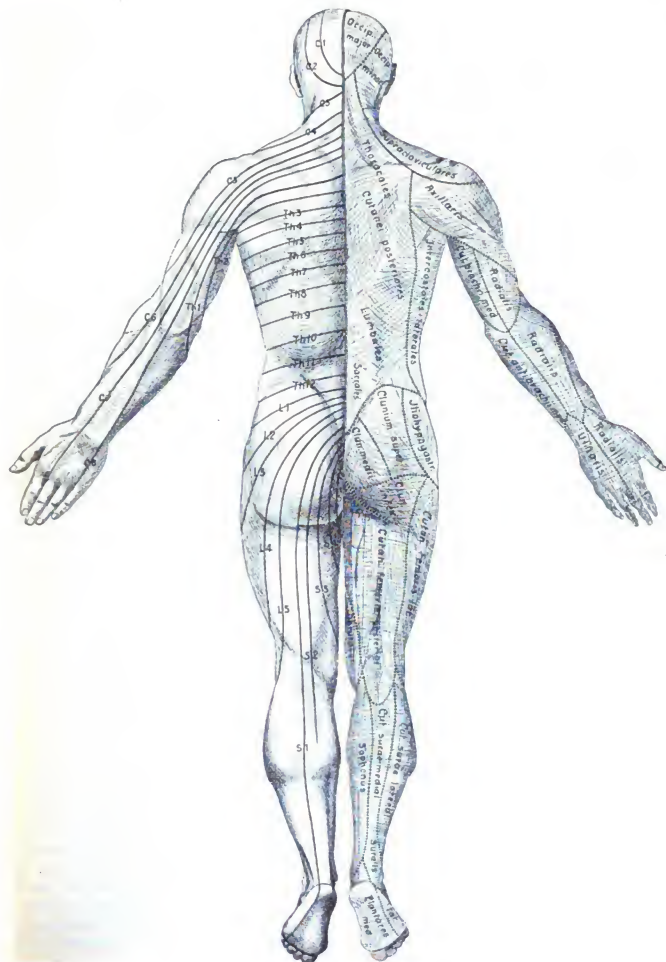


Fig. 7. Vgl. Fig. 6.

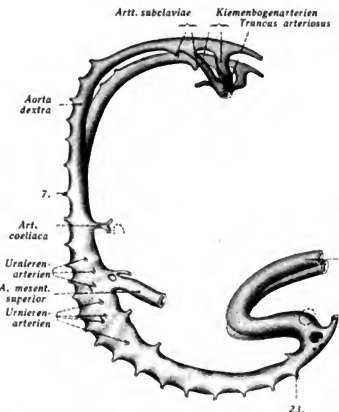


Fig. 8. Aorta eines 5 mm langen menschlichen Embryo. Mitte des 1. Monats. Aus Broman, Normale und abnorme Entwicklung des Menschen.

19. Segment ausgebildet. Im 1. bis 7. Segment entstehen aus ihrer Anlage die vorderen Spangen der Querfortsätze, im 20. bis 24. Segment die Lateralfortsätze der Lendenwirbel, im 25.—27. Segment die Massae laterales des Kreuzbeins. Hierin findet eine große Variabilität statt. Das 7. Segment kann eine Rippe tragen (Halsrippe), dem 8. Segment kann sie fehlen. Beide Vorkommnisse können topographisch-anatomisch sehr wichtig werden (Lungenspitze, A. subclavia, Pl. brachialis!). Am 12. Brustwirbel kann eine sehr lange, am 1. Lendenwirbel eine sehr kurze Rippe befestigt sein, oder am 12. Brustwirbel ist bereits ein mit dem Wirbel fest verbundener kurzer Lateralfortsatz vorhanden.

Da die Pleuragrenze quer zur 12. Rippe verläuft, kann (z. B. beim Nierenschnitt) dies Verhalten wichtig werden.

Das *Sternum* setzt sich aus einzelnen Segmenten (*Sternebrae*) zusammen. Seine Gestalt hängt von dieser Gliederung und der Ausbildung der einzelnen Segmente, namentlich der unteren, sehr wesentlich ab. (Vgl. das in den Anwendungen über die allgemeine Form des Brustkorbes S. 144 Gesagte.)

5. Das *Gefäßsegment* zeigt sich zwar beim Erwachsenen rein nur im Bereich der Interkostal- und Lumbalarterien. Seine gesamte Anordnung aber und wichtigsten Anomalien werden verständlich, wenn auf die primitive Gliederung zurückgegangen wird. Schon die Aorta zeigt, nachdem sie aus zwei paarigen Längsstämmen zusammengewachsen ist, segmentale Anschwellungen, die zwischen den Myotomen liegen (Fig. 8). Diese, bald verschwindende Gliederung ist deshalb bedeutsam, weil von jedem Segment auf jeder Körperhälfte 3, insgesamt also 6 Arterien abgehen: zwei sind nach abwärts, zwei zur Seite, zwei nach dorsal gerichtet (Fig. 9). Die *ventralen* verschmelzen bald zu je einem unpaarigen Gefäß; diese unpaarigen ventralen Gefäße treten dann miteinander in Anastomosen. Von diesen erhalten sich aber nur (Fig. 8, 10) die Stämme der 3 großen Eingeweideäste der Bauchaorta (A. coeliaca, mesenterica superior und inferior). — Die *lateralen* Äste sind die zur Urniere verlaufenden. Von

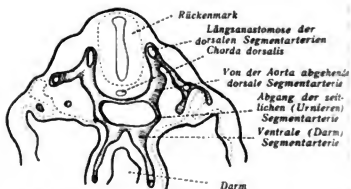


Fig. 9. Ein Körpersegment mit rekonstruierter Aorta und den 3 Gruppen der Segmentarterien. Aus einem menschlichen Embryo von etwa 18 Tagen. Aus Keibel-Mall's Handbuch. Von dem Längsstamm der dorsalen Segmentarterie zieht eine Anastomose zur Vena cardinalis posterior, die jederseits im Querschnitt getroffen ist.

scheiben. So erklärt sich z. B. die topographische Anordnung der Teile neben der Lendenwirbelsäule, in der der M. psoas von den Intervertebralscheiben entspringt und den Wirbelkörper selbst überbrückt, um unter dieser Brücke die segmental angeordneten Nerven und Gefäße hindurchtreten zu lassen.

Die *Rippen* gehören *jedem* Segment an, sind aber in der Regel nur vom 8. bis

nen erhalten sich die A. phrecae inferiores, suprarenales, reles und *spermaticae internae*. Die dorsalen Äste gelangen im Hals-, Brust- und Lendengebiet zur Entwicklung. Sie bilden (Fig. 10, 11) die A. intercostales und lumbales, während sie am Ende zu einem Längsstamm, der A. vertebralis verschmelzen. Die dorsalen Gefäße nehmen einen ähnlichen Verlauf wie die Spinalnerven, indem sie einen dorsalen und ventralen Ast entwickeln (Fig. 3). Jener versorgt Rückenmark, Wirbel und lange Rückenmuskulatur, dieser die seitliche Brust- und Bauchwand. Vorn neben der Mittellinie angelangt verschmelzen sie zu Längsstämmen: die Interkostalararterien zur A. mammaria interna (Fig. 11), die Lumbalararterien zur A. epigastrica inferior. Die aus dem Vorhandensein der A. vertebralis erkennbare Bildung eines Längsstammes findet auch im hintersten Teil des Thorax statt (A. intercostalis suprema).

Eine Segmentierung des Verdauungstrakts kommt nicht zustande; wohl aber zeigt die Zugehörigkeit segmentaler Arterien zu bestimmten Darmteilen eine solche direkt an. Die Gefäßversorgung des Darmkanals, an sich so auffällig, wird dadurch verständlich (vgl. Gefäßversorgung des Darmes S. 231).

Die Segmentierung des Harnapparates ist bei Tieren, die eine Vor- oder Urniere besitzen, vollkommen und zeigt sich auch noch deutlich in der Entwicklung dieser embryonalen Organe beim Menschen. Da die Produkte dieser Entwicklung aber in Beziehung zum Geschlechtsapparat treten, so spielt die Segmentierung bei diesem eine Rolle. Die

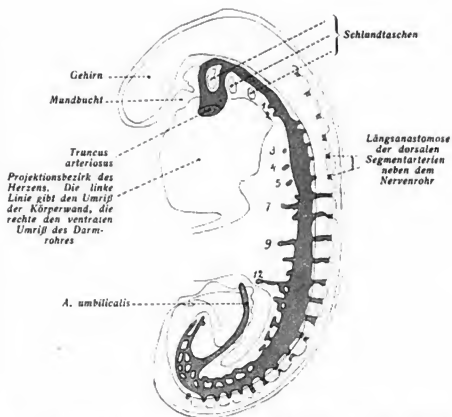


Fig. 10. Arteriensystem desselben Embryo (Fig. 9), rekonstruiert und auf die Körperoberfläche projiziert. Die Zahlen links neben der Aorta bezeichnen die Lage der anfanglich vorhandenen, später sich zum größten Teil zurückbildenden ventralen Segmentarterien. Nach W. Felix aus Keibel-Malls Handbuch.

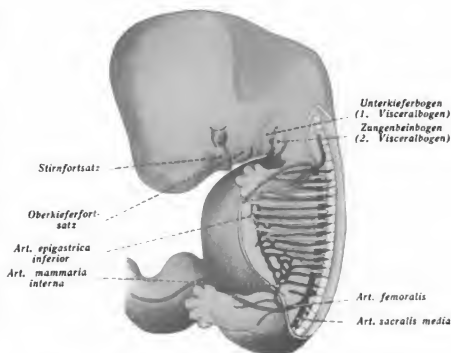


Fig. 11. Arteriensystem eines menschlichen Embryo von 13 mm Nackensteidlänge (Ende des 1. Monats). Nach Mall aus Keibel-Malls Handbuch.

mittleren Segmente der Urnierkanälchenreihe gehen in den Nebenhoden (Epoophoron) ein, die kranial davon gelegenen bilden rudimentäre Organe (Paradidymis, Paroophoron). Auch kaudal davon gelegene Reste kommen vor (Vas aberrans).

Von dieser ursprünglichen Segmentierung geht nun ein großartiger, sich meist bereits im ersten Fötalmonat abspielender Umbau aus, der zur Herstellung der endgültigen topographischen Verhältnisse führt. Am reinsten bleibt die Segmentierung im Bereich der dorsalen Muskulatur und im Thoraxgebiet erhalten (Rippen, Interkostalmuskeln, -nerven, -gefäße, Grenzstrangganglien). Auch die Bauchwand zeigt sie noch deutlich (Lumbalarterie, Grenzstrang, Inscriptiones tendineae des M. Rectus abdominis). Doch verschmelzen hier, da die Rippen fehlen, die den Interkostalmuskeln gleichwertigen Muskeln zu den Mm. obliquus und transversus. Die segmentalen Eingeweidearterien verändern ihre Lage und bilden sich auch teilweise zurück, ebenso die meisten seitlichen (Urnieren-) Arterien. Viele Organe verändern ihre Lage durch einen Descensus (Zwerchfell, Nieren, Geschlechtsdrüsen), so daß Nerven (N. phrenici!) und Gefäße (A. spermatica interna) einen lang ausgespannten Verlauf bekommen. Die wichtigsten Einflüsse sind aber die von den Extremitäten ausgehenden, die zur Entstehung der Nervenplexus führen und gewaltige Muskelmassen zur Befestigung im Thorax- und Bauchgebiet veranlassen, die, wie z. B. der M. latissimus dorsi, trotz ihrer Lage durch ihre Innervation von den Extremitätenplexus her ihre Zugehörigkeit zur Extremitätenmuskulatur erkennen lassen.

Hals und Kopf zeigen durch einen wichtigen Umstand noch besondere Verhältnisse in ihrer endgültigen Ausbildung. Die erwähnte Segmentierung nämlich erreicht nicht das vordere Ende des Körpers. Im Gebiete des Kopfes endet sie bereits in der Höhe des Türkensattels. Die Urwirbel sind am Kopfe nur in zwei Gruppen vorhanden, die eine in der Gegend des späteren Ganglion Gasserii (vor dem Gehörbläschen), die andere in der Hinterhauptsgegend (hinter dem Gehörbläschen). Aus jenen entstehen die Augenmuskeln, aus diesen die Zungenmuskeln. So ist es wenigstens bei primitiveren Wirbeltieren (Selachier, Reptilien, Vögel, Bonnet). Beim Menschen treten diese Muskeln scheinbar ohne Zusammenhang mit Urwirbeln auf, doch zeigt die Innervation ihre Sonderstellung deutlich genug an. In das Schema der „12 Gehirnnerven“ bringt diese Betrachtung die erste sinnvolle Ordnung. Denn es zeigt sich, daß der 3., der 6. und der 12. Gehirnnerv in ihrem Ursprung aus dem Hirnstamm in der exakten Verlängerung der vorderen (motorischen) Rückenmarkswurzeln liegen. (Siehe unten S. 18.) Sie sind also vorderen Wurzeln von Spinalnerven gleichwertig so wie auch Augen- und Zungenmuskeln den ventralen Körpermuskeln gleichwertig sind.

Tritt so die Segmentierung am Kopfe zurück, so findet sich hier dafür eine andere, deren Produkte für die Topographie und zahlreiche Mißbildungen an Kopf und Hals von Bedeutung sind. Es ist die Gliederung, die in Gestalt von *Kiemenbogen* und *Kiemen-spalten* den ventralen Teil des vorderen Körperabschnittes ergreift. Der Mensch besitzt vier Kiemenfurchen nebst dazu gehörigen Schlundtaschen; dazu kommt die Andeutung einer 5. und — wenn wir das Verhalten der Gefäße ins Auge fassen — sogar virtuell einer 6. Schlundtasche. Bei vollkommener Ausbildung besitzt jedes Kiemensegment (Viszeralsegment) folgende Bestandteile:

1. Einen Skelettbogen (Kiemenbogen).
2. Eine diesen Skeletteil bewegende Muskulatur.
3. Eine ihn versorgende Arterie.
4. Einen ihm zugehörigen Gehirnnerven mit sensiblen und motorischen Fasern.
5. Ein Segment des Pharynx.

Weiteres darüber folgt alsbald (Seite. 15 ff.).

Hier sei nur angedeutet: Es verdanken diesen Elementen ihre Entstehung der Unterkiefer, die Gehörknöchelchen, das Zungenbein, das Kehlkopfskelett, die Kaumuskeln und Gaumenmuskeln, das Platysma und die Hautmuskeln des Kopfes, Aortenbogen, Ductus Bo-

alli, A. pulmonalis und die vier großen Stämme des Aortenbogens, Pharynx, Kehlkopf samt ihren Muskeln, Schilddrüse, Epithelkörperchen und Thymus. Als Nerven gehören diesem Gebiete zu der 5., 7. 9., 10. und 11. Gehirnnerv.

Wie wir daraus ersehen, erstreckt sich dies eigentümliche Gebiet auf Kopf und Hals. Aber Wachstumsverschiebungen führen zu weiteren Verlagerungen. So rückt der Aortenbogen mit der A. pulmonalis und den vier großen Gefäßstämmen in den Thorax, also ins Rumpfgelände hinab. Der Vorderdarm wächst weithin sogar bis in die Bauchhöhle aus. (Seine Grenze liegt erst jenseits des Magens.) Die Thymus tritt ins Mediastinum, die Epithelkörperchen am Halse nach abwärts hinter die Luftröhre. Diesen Verlagerungen verliert der N. Vagus seinen sinnvollen Namen („herumschweifender“), der N. recurrens seinen seltsamen Verlauf.

#### 4. Sonderung des Körpers in seine Hauptabschnitte.

Die topographische Anatomie behandelt den Körper nach seinen großen Abschnitten: Kopf, Hals, Brust, Extremitäten. In jedem Abschnitt folgt sie mit ihrer Schilderung den „Regionen“. Diese letzteren sind oft, z. B. am Halse oder am Bauch, wirklich der Ausdruck auch innerer Abgrenzungen, oft aber sind es mehr äußerliche Hilfskonstruktionen, die in Hinsicht der tiefen Teile keine Berechtigung haben. Im großen und ganzen liegen die Dinge auch schon bei der Einteilung in Kopf, Hals, Rumpf, Gliedmaßen so. In Ermangelung irgend eines brauchbaren Einteilungsprinzips überhaupt, müssen wir von ihm Gebrauch machen. Aber wir müssen uns darüber klar sein, daß es eben ein rein äußerliches Einteilungsprinzip ist. Es gibt keine scharfe Grenze zwischen Kopf und Hals, da der Pharynx beider Gebieten angehört und die Regio submaxillaris in die Regio retro-mandibularis, diese in das Spatium parapharyngeum übergeht. Es gibt keine scharfe Grenze zwischen Hals und Brust, da die Halseingeweide und die großen Gefäßstämmen nebst dem Fazienspalt, in dem sie liegen, ins Mediastinum übergehen und die Lunge ins Halsgebiet hinauf reicht. Zwischen Brust und oberer Extremität vermittelt die Achselhöhle, die beiden Gebieten gemeinsam ist, zwischen Bauch und unterer Extremität die Hüftregion. Bauch und Brusthöhle sind zwar durch das Zwerchfell geschieden, aber Leber und Magen, Milz und Nieren ragen in die knöcherne Umwandlung des Thorax hinein. Der Rücken vollends erstreckt sich in gleichförmigem Aufbau über Bauch, Brust und Hals empor, gehört also allen Teilen gemeinsam an.

Eine Erklärung finden diese Tatsachen darin, daß der menschliche Körper in seiner ersten Anlage alles zugleich ist, Kopf, Rumpf und Gliedmaßen. Anfänglich besteht er nur aus dem Rücken. Die uhrglasartig auf dem Dottersack aufgelagerte Rückenfläche schnürt sich ab, es bilden sich die seitlichen Körperwände und die Bauchfläche, bis sich der Körper am Nabel schließt. Der Kopf wächst nach vorn hin aus, weil das Gehirn sich mächtig vorwölbt. Unter diesem gewölbeartigen Vorbau des Gehirns liegt dann die tiefe Bucht, die ins Verdauungsrohr führt. Hier lagern sich die Kiemenbögen an. Der Embryo besitzt anfangs gar keinen Hals; die Stirn ruht auf dem Bauch (Fig. 12).

Im Laufe des zweiten Monats wächst das Gesicht so stark aus, daß die Stirn emporgedrängt wird; am Ende des zweiten Monats ruht bereits das Kinn auf der Herzgegend, und das Wachs-



Fig. 12. Menschlicher Embryo von etwa 31 Tagen. Nach His aus Keibel-Mall



Fig. 13. Menschlicher Embryo von etwa 2 Monaten. Nach His aus Keibel-Mall.

tum des Gehirns hat Hinterhaupt- und Rücken annähernd in eine Linie gebracht. Hier ist dann ein sehr kurzer, gedrungener „Hals“ entstanden, der also Teile umschließen muß, die ihm anfänglich mit dem Kopfe gemeinsam sind (Fig. 13).

Bauch- und Pleurahöhlen schließen sich erst gegen Ende des zweiten Monats völli gegeneinander ab. Die Extremitäten wachsen in der dritten Embryonalwoche aus der seitlichen Körperwand heraus.

Nicht berücksichtigt wird in der topographischen Anatomie ein Körperabschnitt, der entwicklungsgeschichtlich bedeutsam ist und nicht selten zur Entstehung von Mißbildungen Anlaß gibt: *der Schwanz*. Dieser entsteht aus dem hinteren Ende des Körpers, hinter dem After. Er enthält also keine Fortsetzung des Darmes, sondern nur ein Schwanzskelett (Os coccygis), Schwanzmuskulatur (M. coccygeus und andere, rudimentäre Muskelanlagen) und eine Schwanzarterie (A. sacralis media). Der Schwanz ist noch am Ende des 2. Fötalmonats vorhanden (Fig. 13), dann verwächst er mit dem hinteren Körperende. In seltenen Fällen ist echte Schwanzbildung beim Erwachsenen vorhanden; man hat in ihm überzählige Steißbeinwirbel, eine dorsale Längsmuskulatur und einen überzähligen Steißbeinnerven gefunden.

---



# Spezielle topographische und angewandte Anatomie des Menschen.

## Topographische und angewandte Anatomie des Kopfes.

### I. Morphologische Einleitung in die Topographie des Kopfes.

Die topographische Anatomie des Kopfes bietet Komplikationen dar, wie sie sonst nirgends am Körper wiederkehren. Auf engem Gebiete drängen sich lebenswichtige Organe, Gefäße und Nerven; Nerven treten nach einem komplizierten Verlauf durch Knochenkanäle und Spalten in merkwürdige Verflechtungen; die Beziehungen der Nerven zu den Muskeln (Innervation) erscheinen dem Anfänger ganz unverständlich, so wichtig gerade sie für das Verständnis klinischer Symptome (Lähmungen) sind; die Übersichtung der Muskeln scheint irgend welche leitenden Gesichtspunkte nicht darzubieten. Und gerade das alles hellt sich zu übersichtlicher Klarheit auf, wenn wir auf die *Entstehung* des Kopfes und seiner Regionen zurückgehen. Wir wollen daher folgendes als *Leitfaden* für den Anfänger und als *Repetitorium* für den Klinikisten voranstellen.

#### 1. Entstehung des Kraniaums aus zwei Komponenten.

Ein Verständnis des Kraniaums ist nicht zu erlangen, wenn wir uns nicht klarmachen, daß das *Kranium* zum *Kopfe* gehört. Der Kopf ist aber nur zum Teil dem Rumpfe gleichartig, nur soweit nämlich, wie er das Gehirn enthält. Als Hülle dieses Organs bildet sich der sogenannte *Gehirnteil* des Schädels aus. Er umfaßt im ausgebildeten Zustand fünf Knochen: Os occipitale, os sphenoides, os temporale, os parietale, os frontale.

Der Kopf hat aber neben seinen Beziehungen zum Gehirn noch andere Beziehungen, dem Rumpf gänzlich fehlen. Im Kopfe liegen die *Sinnesorgane* und die Eingänge der *Atmungs-* und *Verdauungstraktus*. Die Knochen, die diese Organe und Eingänge umschließen, bilden den *Antlitzteil* des Schädels. An ihm unterscheidet man zweckmäßigerweise die *Nasenregion* (Os ethmoidale und turbinale nebst den sich ihm auflagernden Ossa maxilla, lacrymalia) und die *Kieferregion* (Ossa maxillaria, palatina und zygomatica).

Beide Teile bilden im ausgebildeten Zustande ein reichgegliedertes Skelett aus einem Knochen, das *Kranium*.

#### 2. *Kranium und Viszeralskelett.*

Der Eingang in den Verdauungskanal wird von rippenartigen Skeletteilen umscheidet, die als „Eingeweide“ (Viszeral-)bögen bezeichnet werden. Diese Bögen treten, mit Ausnahme des ersten Paares, das unmittelbar in einer Symphyse zusammenwächst, an ein sternumartiges Mittelglied heran. Dies Viszeralsternum ist das Zungenbein. Beim Menschen unterscheiden wir vier solcher Bögen, nämlich den Kieferbogen, den 2., 3. und 4. Viszeralbogen. Sie bilden im Gegensatz zum *Kranium* das *Viszeralskelett*.

#### 3. *Primordialkranium und sekundäres Kranium.*

Die Gesamtheit aller der Schädelskeletteile, die knorplig vorgebildet sind, heißt auf dem frühesten Stadium das „Primordialkranium“. Dies stellt eine Schale dar, die nach

Fig. 14. Modell der rechten Schädelhälfte eines Embryo vom Ende des 2. Monats. Die Figurenbezeichnung ergibt Nähere. Zu beachten die Lage des N. facialis, dessen Kanal noch nicht gebildet ist, außen an der knorpeligen Kapsel, einwärts vom Proc. styloides, an der Stelle des späteren For. stylo-mastoideum. Die Chorda tympani liegt dem noch außen am Schädel zwischen 1. und 2. Viszeralbogen (später zwischen Manubrium mallei und langem Ambolusatz). Die Fissura orbitalis sup. ist ein breiter Spalt; ein Foramen ovale existiert noch nicht. 1. und 2. Viszeralbogen stehen mit der Schädelbasis in Zusammenhang. Ein Teil der durch Bindegewebsverknöcherung entstehenden Knochen später in der Beschaffenheit, die sie in der Embryonalzeit haben (3. Monat), hinzukonstruiert. Knorpel blau, Knochen und Nerven gelb. (Nach Bardeen aus Kelbel-Mallis Handbuch und nach O. Hertwig aus Kolimanns Handatlas.)

oben offen und nur durch eine membranöse Decke abgeschlossen ist. Die Gliederung der Schale deckt sich nicht mit der Gliederung des späteren knöchernen Schädels. So ist ständig die Umhüllung des Labyrinths als *Ohrkapsel* und die gemeinsame Umhüllung des Geruchsorganes und der Nasenhöhle als *Nasenkapsel*. Erstere liefert später Felsenbein und Warzenfortsatz, letztere Siebbein und untere Muschel. Auch das Viszeralskelett ist anfangs knorpelig. Als primordialer Kieferbogen fungiert der *Meckelsche Knorpel* als zweiter Bogen eine Knorpelspange vom Schläfenbein ausgehend bis zur Kopula. Der Körper des Zungenbeins. (Vergleiche Seite 105.)

Durch endochondrale Verknöcherung entstehen die einzelnen Schädelknochen: occipitale in der Umgebung des Foramen magnum, Os sphenoides mit kleinen und großen Flügeln, Os petrosus nebst pars mastoidea, Os ethmoidale nebst Os turbinale). Im 1. Viszeralskelett entsteht aus dem kranialen Teil des Meckelschen Knorpels der knöchernen *Hammer*, während der Rest des Stabes untergeht. Der zweite Bogen verknöchert zu Steigbügel, zum Processus styloides und zum Cornu minus des Zungenbeins (s. Seite 106). Der dritte Bogen liefert die Cornua majora des Zungenbeins; der Teil des zweiten Bogens zwischen processus styloides und Zungenbein liefert das „Ligamentum stylo-hyoideum“, das gelegentlich verknöchern kann. (Vergleiche Seite 108.) Der vierte Bogen und die weiter hinten gelegenen Bögen liefern das Skelett des Kehlkopfes und der Luftröhre. Neben ihnen entstehen nun weitere Knochen, teils ohne jede Beziehung zum Knorpelskelett, teils außen auf die Knorpel von der Haut des Gesichtes oder der Schleimhaut der Mundhöhle her abgelagert. Jene ersteren bilden die Knochen des Schädeldaches (Os frontale, os parietale, die Schuppe des Os temporale nebst Processus zygomaticus und den größten Teil der Squama des Os occipitale. Wahrscheinlich ist auch ein Teil des großen Keilbeinflügels bindegewebiger Herkunft). Im Gesichtsteil des Schädels lagert sich auf die knorpelige Nasenkapsel das Os lacrymale und Os nasale auf, weiter nach unten das Os maxillare, intermaxillare und Os zygomaticum, während von der Schleimhaut der Mundhöhle her Gaumenfortsätze des Oberkiefers und des Os palatinum entstehen.

Der Meckelsche Knorpel wird außen, innen und unten hülsenartig vom Os dentarium umfaßt, der späteren Mandibula, während außen neben dem Hammer eine ringförmige Spange, das Os tympanicum entsteht, das weiterhin als Rahmen des Trommelfells der Schuppe des Schläfenbeins verschmilzt und zu einer Röhre, der Wand des äußeren Gehörganges auswächst.

Die Figuren 14, 15 zeigen das Primordialkranium eines menschlichen Fötus in topographischen Lagerung seiner Teile. In Figur 16 ist der ganze Schädel in seinen Komponenten sichtbar.

#### 4. Gehirn und Anordnung der Nerven. Gehirn- und Rückenmarksnerven.

Auf dem Primordialkranium als Boden liegt das Gehirn auf. Es stellt ein Rohr dar, dessen Krümmung die Folge seines mächtigen Längenwachstums ist. Die stärkste Krümmung liegt am Boden des Zwischenhirns. In diese Krümmung wächst die Schädelbasis hinein. Es ist die Stelle des späteren Türkensattels (Fig. 17). Bis hierher reicht die Chorda dorsalis. Aus dem rückwärts gelegenen Teil der Schädelbasis wird der *Clivus*. Vom Boden

Fig. 14.

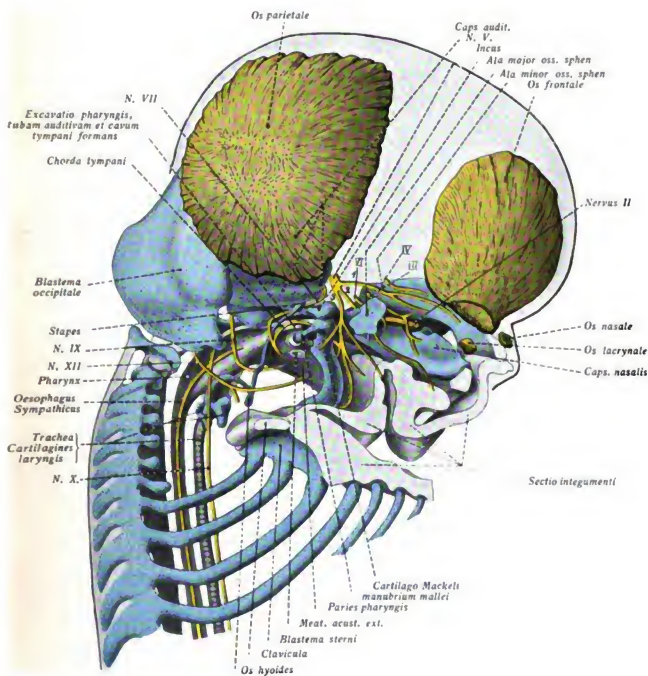


Fig. 15.

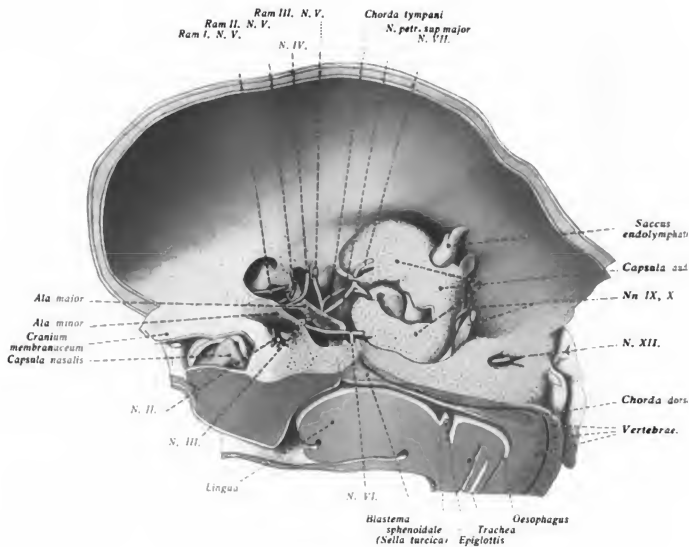


Fig. 16.

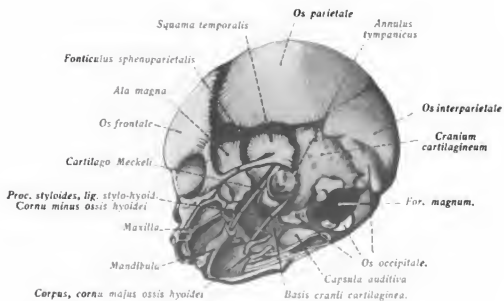


Fig. 15. Modell der rechten Schädelhälfte eines Embryo von 20 mm Länge. (Ende des 2. Monats.) Die Schädelkapsel ist knorplig, die Seitenwände teilweise, das Dach gänzlich membranös. Das Foramen jugulare ist ein großer Spalt, die Labyrinthkapsel zum Teil noch unverknorpelt. Lateral vom Saccus endolymphaticus liegt die Fossa subarcuata, nach unten davon der Bogengangs-, nach unten der Schneckenabschnitt. Der Facialiskanal ist noch nicht gebildet, sodaß die Stellung des Nerven klar wird. Die Stelle des Ganglion semilunare (dies ist nicht gezeichnet, sodaß nur die drei Geminusäste sichtbar sind) liegt noch nicht innerhalb des Schädelraumes. Die Fissura orbitalis superior ist ein breiter Spalt. (Nach Bardeen aus Keibel-Malls Handbuch.)

Fig. 16. Schädel eines menschlichen Embryo aus der Mitte des 5. Monats (16 cm Körperlänge) in der Ansicht von oben und unten mit den beiden ersten Visceralbögen. Der linke Unterkieferast ist abgetragen worden. (Aus Anatomie von Karl Toldt.)

Zwischenhirns her wächst die *Hypophyse* in den Türkensattel hinein, vorwärts davon überlagert das Vorderhirn mit seinem Riechlappen die Nasenkapsel. Das weitere Wachstum des Vorderhirns drängt den Hirnstamm seitlich und oben völlig von der Wand des Schädels ab. So drängt sich der Schläfenlappen bis zur Gehörkapsel, der Scheitellappen nach oben, der Hinterhauptslappen nach hinten vor. Nun wird das ganze vom Bindegewebe umhüllt, so zunächst die soeben aufgezählten Knochen des Schädeldaches entstehen läßt, während die innersten Schichten der fibrösen Hülle zu den Hirnhäuten werden. Platten der fibrösen Hülle dringen als Falx cerebri und Tentorium zwischen die Hemisphären des Gehirns und trennen das Groß- und Kleinhirn hinein (Fig. 17).

Vom Gehirn treten die 12 Gehirnnerven ab, deren Anordnung alsbald verständlich wird, wenn man sie mit den Rückenmarksnerven vergleicht. Auch hier nämlich, wie schon oben (S. 12) betont, ist ein Teil den Rumpfnerven vergleichbar (12., 6. und 3. Gehirnnerv), während ein anderer Teil (11., 10., 9., 8., 7., 5.) die Nerven des Viszeralapparates darstellt, so im Rumpfe seinesgleichen *nicht* besitzen kann. Jeder Rumpfnerv besitzt eine vordere motorische Wurzel, die aus dem Rückenmark kommt und eine sensible Wurzel, die aus dem Spinalganglion kommt, um mit einem Fortsatz ins Rückenmark, mit einem zweiten in die Peripherie zu ziehen.

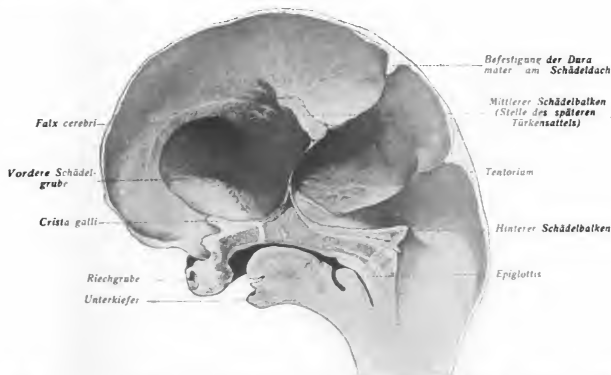


Fig. 17. Schädelquerschnitt eines menschlichen Embryo der 9. Woche. Sonderung der Dura mater von der Anlage des eigentlichen Schädels. Die Trennung der Dura mater vom Schädels ist an der Basis schon völlig deutlich. Falx cerebri und Tentorium sind angelegt und von Gefäßen durchzogen.

Aus Atlas der Entwicklungsgeschichte des Menschen von J. Kolliemann.

		Somato-	Sensibel	Viscero-	Dor-	Sen-
		mot		mot	sal	sor.
dem Spinal-Nerven	6	6	6			
	5	5	5			
	4	4	4			
	3	3	3			
	2	2	2			
	1	1	1			
	XI	XI	XI			
Gehirn - Nerven	XII					
	X		X			
	IX		IX			
	VIII					
	VII		VII			
	VI		VI			
	V		V			
	IV					
	III					
	II					
	I					

Fig. 18. Vergleich der Gehirn- und Rückenmarksnerven. — Schema. Die schwarz umrandeten Felder bilden einheitliche Gruppen von Nerven.

die bei der Eröffnung des Zentralkanals in den 4. Ventrikel stattfindet, nach abwärts gedrängt. Sie zieht also dorsal von der Olive nach vorn. Im Gegensatz zu den rein sensiblen hinteren Wurzeln des Rumpfes sind die Gehirnnerven dieser Gruppe aber *gemischt*. Sie führen motorische Bestandteile zu den Muskeln der Kiemenbögen (viszeromotorische Nerven) und sensible Fasern (von der Haut und Schleimhaut).

Die motorischen Fasern stammen nicht aus den Fortsetzungen der Vorderhörner, sondern aus einem besonderen Kern (Nucleus ambiguus, Facialiskern, motorischer Trigemuskern).

Der vorderste motorische Bestandteil ist die Portio minor des Trigemini (zu den Muskeln des Kieferbogens). Es folgt der Facialis (zu den Muskeln des Zungenbeinbogens der Glossopharyngeus (zu den Muskeln des Pharynx), der Vagus (zu den Muskeln des Pharynx und Kehlkopfes) und der N. accessorius, der soweit er aus der Medulla oblongata kommt, zum Kehlkopf geht, mit seinem Rückenmarksteil, der auch hier ursprünglich ein Bestandteil der hinteren Wurzeln ist, den M. sternocleidomastoideus und trapezius versorgt.

Die sensiblen Bestandteile dieser Nerven treten genau wie die sensiblen Wurzeln des Rückenmarkes aus „Spinalganglien“ hervor. Diese bipolare Ganglienzellen enthaltenden Ursprungskerne sensibler Nerven sind das Ganglion semilunare (Trigeminus), Ganglion genicatum (Chorda tympani und Pars intermedia), Ganglion petrosum (Glossopharyngeus) und Ganglion jugulare (Vagus). Die Figur zeigt die genaue Lage dieser Ganglien an und den Verla

Im Gehirn bleiben vordere und hintere Wurzeln selbständig, treten nicht zu einem Nerven zusammen. Ein Teil der Gehirnnerven ist ein vorderer Wurzel des Rückenmarkes gleichwertig. Es ist dies eben der 12., 6. und 3. Gehirnnerv. Ihr Gebiet ist die Zungen- und Augenmuskulatur, Muskeln also, die wie alle Rumpfmuskeln aus Myotomen entstehen (s. oben S. 12). Untersucht man ein erwachsenes Gehirn (Fig. 66a), so sieht man auch leicht, daß diese drei Nerven genau in der Verlängerung der Ursprungslinie der vorderen Wurzeln des Rückenmarkes aus dem Gehirn heraustreten. Die Linie führt an der Medulla oblongata zwischen Pyramide und Olive hindurch (N. hypoglossus), trifft an der Grenze von Medulla und Pons den Ursprung des N. abducens und wiederum an der Grenze von Pons und Pedunculus cerebri den N. oculomotorius.

In der Verlängerung des Austritts der hinteren Wurzeln liegen die Austrittsstellen der übrigen Gehirnnerven. Doch ist diese Linie wegen des Auseinanderweichens der Medulla oblongata nach beiden Seiten

er Nerven zu den Endgebieten, was alles beim Fötus übersichtlicher zutage tritt, als beim erwachsenen Menschen. Das hier gegebene Schema (Fig. 18) mag das Gesagte noch besonders erläutern.

Drei Gehirnnerven sind hierbei noch nicht erwähnt. Der N. trochlearis, der vom elum medullare anterius kommt, verdankt diesen ungewöhnlichen Ursprung möglicherweise seinen Beziehungen zum Parietalorgan. Der N. olfactorius ist, ebenso wie der Opticus ein „Gehirnnerv“, sondern eine „Leitungsbahn“. Dagegen ist der N. acusticus, der ja eine ganz andere Endigungsweise zeigt als der Geruchs- und Sehnerv, ein echter sensibler Nerv.

Diese Gehirnnerven zeigen nun bereits auf dem Stadium ihrer ersten sichtbaren Anlage ichtige Verflechtungen. So tritt (Figg. 4, 14, 15, 19, 22) der N. hypoglossus mit den ihm verwandten vorderen Wurzeln des 1., 2. und 3. Spinalnerven zusammen (Ansa hypoglossi!). Zwischen N. facialis (hinten) und 3. Trigeminusast (vor der Hammerambosverbindung) spannt sich die Chorda tympani aus, die folglich zwischen Hammer und Ambos hindurchlaufen muß. Zwischen Ganglion geniculi und 2. Trigeminusast ist der N. petrosus superficialis abjor ausgedehnt, wie in der Figur 14, 19 ersichtlich. Im späteren Zustande ist dies Verfilten erst durch schwierige Präparationen festzustellen, 1. weil inzwischen die Schädelknochen diese Nervenverbindungen umwachsen haben, 2. weil durch verschieden starkes Wachstum der einzelnen Regionen die anfänglich kurzen Anastomosen zu langen Bahnen isgesponnen werden.

Auch die Austrittsstellen der Nerven aus dem Schädel erfahren sekundäre Abänderungen. Mit der Entwicklung der Schädelbasis und der Dura mater nämlich schiebt sich an einigen Stellen zwischen die sogenannte „primäre“ Austrittsstelle (aus der Dura mater) und die „sekundäre“ Austrittsstelle (aus dem Knochen) ein längerer extraduraler (oder intrakraller) Verlauf ein, so daß sich die Austrittsstellen, die wir in der Osteologie am knöchernen Schädel kennen lernen, mit denen, die wir am feuchten Präparat der Schädelbasis studieren, nicht decken (S. unten 43.)

Die Gehirnnerven teilen wir in *topographischer* Hinsicht am zweckmäßigsten ein in die *Trigeminusgruppe* (III., IV., V., VI.), die *Facialisgruppe* (VII, VIII), die *Vagusgruppe* (X, XI) und den N. hypoglossus (Fig. 18). Näheres über primäre und sekundäre Austrittsstellen dieser Gruppen wird bei der topographischen Anatomie der Schädelbasis gesagt werden.

### 5. Kopfmuskeln. (Fig. 19).

Die systematische und topographische Anatomie unterscheidet *oberflächliche* und *tiefe* Kopfmuskeln, jene vom N. *facialis*, diese vom N. *trigeminus* innerviert. Die Einteilung reicht aber nicht hin, um einsehen zu können, warum die gleichen Nervengebiete auch auf gewisse Skelett- und Hautmuskeln am Hals übergreifen. Aufschluß gewährt wiederum das Verhältnis auf älteren Entwicklungsstadien.

1. *Die Trigeminusmuskulatur.* Sie entwickelt sich im Bereiche des ersten Viszeralorgans (Kieferbogen). Es gehen aus ihr alle Muskeln hervor, die

- a) den Meckelschen Knorpel
- b) den bleibenden Unterkiefer

bewegen. Als Muskel des Meckelschen Knorpels kommt der M. tensor tympani in Betracht und ein von ihm abgezwigter Bestandteil, der M. tensor veli palatini. Auch der M. pterygoideus internus ist ursprünglich (d. h. außerhalb der Klasse der Säugetiere) ein Muskel des Meckelschen Knorpels. Alle drei Muskeln haben daher beim Menschen das Gemeinsame, daß ihre motorischen Nerven gemeinsam aus dem Ganglion oticum entspringen.

Der Ramus masticatorius dagegen versorgt die Muskeln des bleibenden Unterkiefers, d. h. des zahntragenden Os dentale oder der Mandibula (Mm. masseter, temporalis, pterygoideus externus, mylohyoideus und Venter anterior des M. digastricus).

Fig. 19. Menschlicher Embryo von 11 mm Länge (2. Monat). Die Muskeln der Visceralbogen und ihre Nerven bezüge auf die Oberfläche des Körpers projiziert. Zungenmuskulatur mit durchschimmerndem N. hypoglossus. (Nach Malli aus Keibel-Malli's Handbuch mit kleinen Abänderungen).

Fig. 20. Das Umrißbild der Figur 19 ist benutzt, um auf ihr, ausgehend von der Urnagi der Facialismuskulatur im 2. Visceralbogen, schematisch die Ausbreitung dieser Muskulatur einzutragen. Das Bild, das entsteht, ist unnatürlich da die Ausbreitung zu einer Zeit stattfindet, wo der Embryo bereits anders aussieht. Fig. 21 zeigt das Ergebnis des Auswachsungsprozesses.

Der 3. Ast des Trigeminus allein kann es also nur sein, der motorische Elemente („Portio minor“) führt, da nur im Kieferbogen Visceralmuskeln zur Entwicklung gelangen. Der 2. Ast, der zum Oberkieferfortsatz (s. Fig. 14) und der 1. Ast, der durch die Orbita zum Stirn tritt, kann nur sensible Elemente enthalten.

2. *Die Fazialismuskulatur.* Diese liegt anfangs als ein dünnes fächerförmiges Plättchen (Fig. 20) im 2. Visceralbogen, also *hinter* der Kaumuskulatur. Jenes Plättchen ist das *Urpaltysma*. Zu ihm tritt im Bogen von vorn her der N. facialis, der sich gleichfalls fächerartig ausbreitet. Nur die vordere Kante dieses Muskelfächers liefert, indem sie dicker wird Skelettmuskeln, die unmittelbar hinter dem Unterkiefer liegen, den M. stylo-hyoideus und Venter posterior des M. biventer. Die ganze übrige Masse breitet sich im Laufe des 2. Fötalmonats von ihrem Mutterboden nach zwei Richtungen hin aus, einmal nach abwärts bis Brustbein und Schulter, sodann nach aufwärts auf den Kopf (Fig. 20, 21). Die Ausbreitung über den Kopf erfolgt auf zwei Bahnen, hinter und vor dem Ohr. Die vordere Bahn führt die Muskulatur ins Gesicht bis zum Auge, das von ihr schlingenförmig umgriffen wird, sodann hinab zur Nase und hinauf zur Stirn, ferner zur Unterlippe hin. So entstehen die Muskeln des Ohres (M. auricularis superior und anterior), die Mm. zygomaticus, quadratus labii superioris, orbicularis, frontalis, procerus nasi und quadratus labii inferioris. Hinter dem Ohr bildet sich der M. occipitalis und M. auricularis posterior. Die Muskelmassen beider Hälften berühren sich anfangs im Nacken und Scheitel; auch eine Galea aponeurotica besteht noch nicht, sondern bildet sich erst später als sehnige Unterbrechung der einheitlichen Muskulatur aus.

Im Bereiche des Gesichts entsteht sodann eine tiefere, quer verlaufende Muskelschicht als Abzweigung von der oberen, die den M. buccinator, den M. sphincter oris, M. triangularis nebst M. risorius (vgl. Fig. 21) liefert. Hierdurch ist das weit ausgedehnte Muskelgebiet der Fazialismuskulatur entstanden. Der dazu gehörige Nerv selbst wächst von seinem Stamm aus überall hin mit. Seine strahlige Verzweigung zum Hinterhaupt, zu Schläfen-, Stirn-, Wangen-, Kinn- und Halsregion wird verständlich; verständlich auch die Tatsache, daß seine Gesichtszweige *unter* den oberflächlichen, dagegen *über* den tieferen Schichten der Gesichtsmuskulatur verlaufen.

3. *Muskeln der Vagusgruppe* (Fig. 19). Sie ist es, die zum dritten und den folgenden Visceralbögen gehörig, vor allem den Konstriktor des Pharynx und die Kehlkopfmuskulatur liefert. Dem 3. Bogen im engeren Sinne gehört dabei der M. constrictor superior, die Mm. stylo-pharyngeus und palato-pharyngeus, wahrscheinlich auch der M. levator veli palatini an. Nach abwärts folgt dann das Gebiet des N. vagus, dem im engeren Sinne der M. constrictor medius und inferior und von Kehlkopfmuskeln der M. crico-thyroideus angehört (d. h. also auch das Gebiet des N. laryngeus superior). Quergestreifte Vagusmuskulatur erstreckt sich ferner bis weit gegen den Magen hinab.

Ob die weiter abwärts zum Oesophagus, Magen und Darm zur Lunge und zum Herzen tretenden Vagusfasern echte „Vagus“-elemente sind, ist zweifelhaft. Wahrscheinlich gehören sie dem „*autonom*“ System (Parasympathicus) an.

Die inneren Kehlkopfmuskeln sind Endorgane des XI. Gehirnnerven, soweit er aus der Medulla oblongata entspringt und als Ramus internus in die Bahn des Vagus tritt. Er liefert den N. recurrens Vagi. Der aus dem Rückenmark stammende N. accessorius im



Fig. 19.

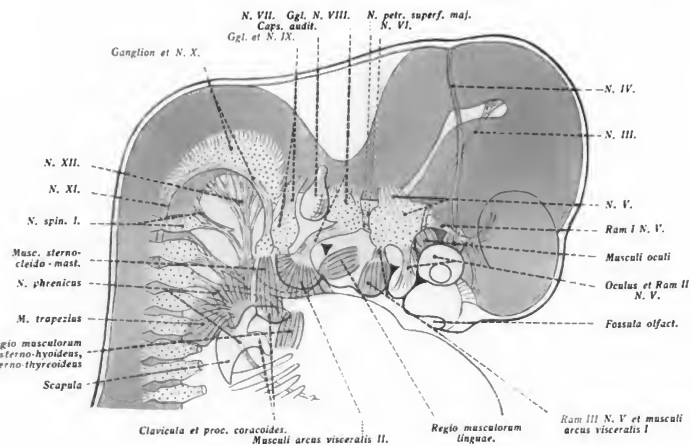


Fig. 20.

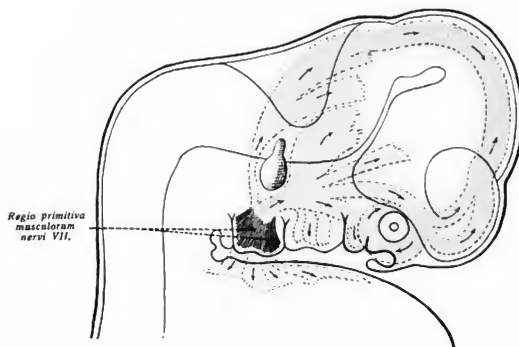


Fig. 21.

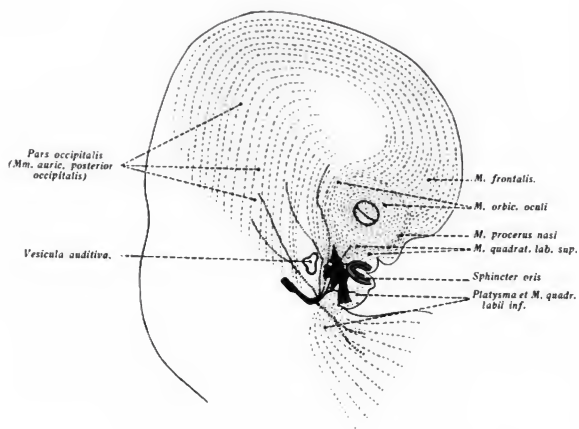


Fig. 22.

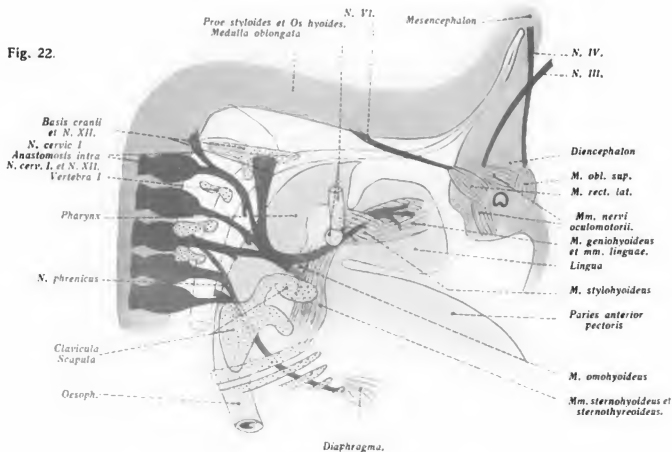


Fig. 21. Kopf und Hals eines Embryos von 6 Wochen, auf dessen Oberfläche die Ausbreitung der Fascialismuskulatur dargestellt ist (schematisiert). Der N. facialis liegt unter der Muskulatur, bis auf kleine Stellen in der Umgebung des Mundes, wo er auf dem späteren M. buccinator liegt. Sphinkterenmuskulatur und ihre Abkömmlinge (M. triangularis l. buccinator) dunkelrot. (Unter Zugrundelegung einiger Abbildungen aus Mall und Keibels Handbuch).

Fig. 22. Schematische Darstellung der vom N. oculomotorius, N. hypoglossus und dem Plexus cervicalis versorgten Muskeln. Die in der Tiefe gelegenen Teile erscheinen auf die Körperoberfläche projiziert. (Nach Mall aus Mall und Keibels Handbuch, leicht verändert.)

ngeren Sinne versorgt die gleichfalls dem Viszeralapparate zugehörigen Mm. trapezius und sternocleidomastoideus. — Diesen viszerale Muskeln stehen gegenüber

4. Die **Augenmuskeln** (Fig. 19, 22). Diese stehen mit drei Nerven (III., IV. und VI.) in Verbindung, sind daher in der Uranlage auch dreiteilig. Ihren Hauptanteil bildet die Muskulatur des Oculomotorius.

5. Die **Zungenmuskeln** (Fig. 19, 22). Sie entstehen als kraniale Fortsetzung der medialen Rumpfmuskeln und stellen die eigentliche Hypoglossusmuskulatur dar. Aus ihr gehen die Zungenmuskeln im engeren Sinne hervor (Mm. stylo-hyo-genioglossus, Mm. longitudinalis superior und inferior und transversus), während der M. genio-hyoideus und die unteren Zungenbeinmuskeln bereits aus dem Plexus cervicalis versorgt werden. (Siehe auch Fig. 4.)

### 5. Die Kopfarterien und Kopfvenen.

Von diesen soll hier nur die A. carotis interna und die A. vertebralis erwähnt werden, weil ihr merkwürdiger Verlauf, insbesondere der Circulus arteriosus Willisii eine Erklärung erheischt. Beide Arterien stehen von Anfang an in Verbindung miteinander (vgl. Fig. 23—25), nachdem die beiden Arteriae vertebrales zur unpaarigen A. basilaris zusammengetreten sind. Die Seitenäste (Art. cerebri posterior, media und anterior) reißen den Hauptstrom an sich, während (Fig. 25) die Anfangs-Verbindung als Ramus communicans posterior den Hauptanteil an der Bildung des Circulus arteriosus besitzt. Daß das Auge durch die A. oph-

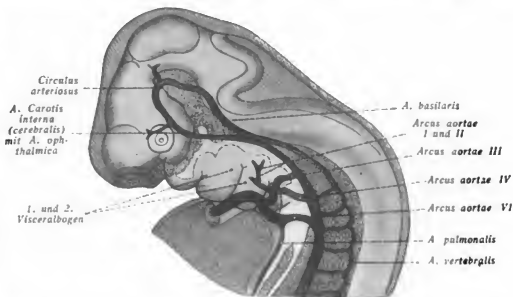


Fig. 23. Art. vertebralis und Carotis interna eines Embryo von 4 Wochen. Die A. vertebr. als Längsanastomose der dorsalen ersten 7 Segmentarterien entstehend. Bei etwas älteren Embryonen werden die segmentalen Verbindungen zurückgebildet; der Längsstamm bleibt allein bestehen. (Nach Kollmann.)

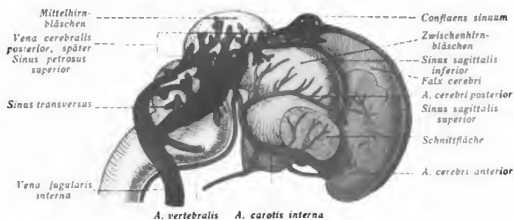


Fig. 24. Arterien und Venen des Gehirns eines Foetus aus dem 2. Monat. Nach Mall aus Kollmanns Handatlas.

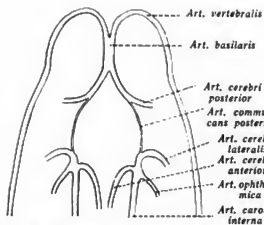


Fig. 25. Schema der Entstehung des Circulus arteriosus aus den beiderseitigen Carotis-Verteбрalis-Anastomosen. Unter Benutzung einer schematischen Abbildung von Broman. Vgl. Fig. 152.

*N. trigeminus*  
(*Ggl. semilunare*)

*N. facialis* u. *N. glossopharyngeus*



Fig. 26. Anfangszustand der Schädelvenen in ihren Beziehungen zu den Gehirnnerven und der Vena ophthalmica. (Aus Kollmann Handatlas)

thalmica aus der A. carotis interna versorgt wird, die sonst keinen weiteren Ast abgibt, erklärt sich daraus, daß das Auge als Ausstülpung des Zwischenhirns ein umgebildeter Gehirnteil ist.

Auch die Venen treten ursprünglich genau wie die Arterien an die Basis des Gehirns. Beim Erwachsenen ist das bekanntlich anders, da hier die Hauptvenenstämme an der oberen Fläche des Gehirns gelegen sind. Die späteren Sinus der *Dura mater* sind aber nichts anderes, als weitmaschige Anastomosen, die durch das enorme Wachstum des Großhirns auseinandergedrängt werden. Wir können dann einen *Basisteil* und einen *Dachteil* der Venenanastomosen unterscheiden, die nach ihren bedeutsamsten Stellen auch als *Cavernosus-* und *Falciformisteil* unterschieden werden können. Den Ausgang bildet ein Venenstamm, der von der V. jugularis interna am Gehörbläschen vorbei, einwärts vom Trigeminalganglion bis zum hinteren Ende des Großhirns verläuft. Hier verschmelzen die beiderseitigen Venenstämme mit einander und bilden ein Geflecht, den *Confluens sinuum*, von dem aus nach vorwärts der Sinus sagittalis superior ausgeht. (Vgl. Fig. 26 V. capill. lateralis und V. cerebri anterior.)

Die Vene einwärts neben dem Trigeminalganglion liefert den späteren Sinus cavernosus, der frühzeitig Abfluß durch die Venae ophthalmicae findet.

Oberhalb des Gehirns tritt dann eine Längsbahn als Kollateralvene auf, zu der Verbindungen der Hauptvene emporziehen (von der V. jugularis aus der spätere Sinus transversus, vom Sinus cavernosus aus der spätere Sinus petrosus superior). Die weitere Umbildung ist aus der Figur 27, 28 ersichtlich. Wichtig ist dabei, daß der *Confluens sinuum* mit dem Auswachsen des Großhirns nach hinten rückt, wobei der Sinus sagittalis superior immer länger wird. Die ursprüngliche Verbindung zwischen Sinus cavernosus und *Confluens sinuum* muß dabei natürlich verloren gehen und es entstehen als Endergebnis die beiden Venensinusgebiete, deren eines am Gehirndach (System des Sinus sagittalis) sein Blut vorzugsweise nach hinten in die V. jugularis, deren anderes (System des Sinus cavernosus) am Gehirnboden sein Blut vorzugsweise in die Orbitalvenen ergießt.

#### 7. Die Drüsen am Kopfe.

Sie nehmen ihren Ausgang sämtlich von der Mundschleimhaut, von der aus ihre Einsenkung in die Submucosa stattfindet. Sie stehen völlig gleich den kleinen regionären Schleim-Speicheldrüsen, die die beschreibende Anatomie als *Glandulae labiales, buccales, palatinae* usw. erwähnt. Die größeren, topographisch wichtigen Drüsen verlängern ihren

isführungsgang und  
ten dadurch außer-  
lb der Mundhöhle zu-  
ge. Am wenigsten  
achsen aus die kleinen  
s Glandulae sublingua-  
s minores bezeichne-  
n, der Glandula sublin-  
gualis zugehörigen Läp-  
pen; weiter entfernt  
h der Körper der  
andula sublingualis  
ajor, der aber noch  
ter der Schleimhaut  
r Mundhöhle liegen  
eibt (Plica sublingua-  
S. 95). Noch weiter  
m gemeinsamen Mut-  
rboden wächst der  
isführungsgang der Gl.  
bmaxillaris aus, die  
er gleichfalls noch  
he der Mundhöhle  
gen bleibt. Am weite-  
en entfernt sich die  
andula parotis, deren  
isführungsgang vom  
estibulum oris durch  
n M. buccinator hin-  
rhwächst und die  
rüse weitab von der  
undhöhle bis vor das  
ußere Ohr und hinter  
is Kiefergelenk hinge-  
ngen läßt.

### 8. Die Bildung des Gesichtes

und ihre Störungen  
(Figg. 29—34).

Das vorn überhän-  
nde Gehirn deckt den

ingang in das Verdauungsrohr zu; seitwärts wird dieser Eingang von den Oberkieferfort-  
ätzen, unten vom Kieferbogen umrandet; der mächtige aus Epidermis und Mesenchym be-  
stehende Wulst, der das Gehirn einschließt, heißt Stirnfortsatz. Nachdem die äußere Nasen-  
öffnung entstanden ist, wird sie von zwei Fortsätzen dieses Stirnfortsatzes umgeben, dem  
inneren und äußeren Nasenfortsatz. Die Mundöffnung junger Embryonen zeigt also anfangs  
nen fünfeckigen Rand (primäre Mundspalte); später, in der 5. Embryonalwoche, ist die  
Mundöffnung ebenfalls noch fünfeckig (Fig. 32, 33), aber die anfangs breite Spalte hat sich  
ark verengt (sekundäre Mundspalte); die seitlichen Bezirke (3, 4) sind zu anderer Ver-  
wendung gelangt, indem sie seitliche Teile des Gesichts haben bilden helfen.

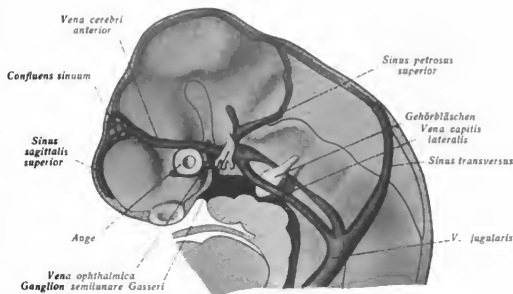


Fig. 27. Anfänglicher Zustand der Schädelvenen. (5. Woche.) Schematisch entworfen unter Benutzung eines Schemas von Mall (aus Bromans Lehrbuch) und einer Abbildung von Kollmann.

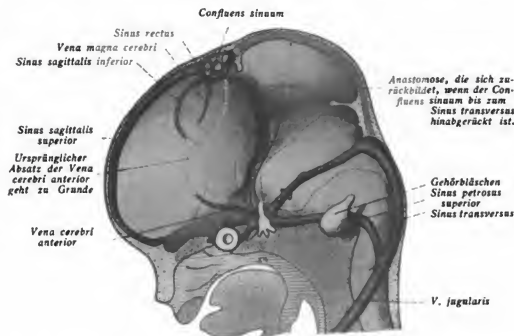


Fig. 28. Späterer Zustand der Schädelvenen. (7. Woche). Schema, entworfen wie in Fig. 27.



Fig. 29. Menschlicher Embryo, etwa aus der Mitte der 4. Woche. Das Gehirn hängt weit ventral hinab und begrenzt den Eingang in den Verdauungstraktus. Der Oberkieferfortsatz im Profil zu sehen, 1., 2. und 3. Visceralbogen im Sinus cervicalis sichtbar.

Aus Keibel-Malls Handbuch.



Fig. 30. Kopf eines 2.5 mm langen menschlichen Embryo (etwas weiter entwickelt als der in Fig. 29 abgebildete). Ansicht von vorn. (Nach Rabl aus Broman.)



Fig. 31. Kopf des gleichen Embryo (Fig. 30) von der Seite gesehen. (Nach Rabl aus Broman.)

Einwärts vom Nasenloch hat der innere Nasenfortsatz zwei Zipfel (1 und 2) entwickelt, der seitlicher (2, sog. Processus globularis) den starke Oberkieferfortsatz (4) berührt. Der seitliche Nasenfortsatz (3) hat die Verbindung mit der Mundöffnung verloren. Zwischen ihm und dem Processus globularis bleibt ein Spalt, wie auch zwischen ihm und dem Oberkieferfortsatz (4). Dieser letzte Spalt erstreckt sich bis zur Augenanlage. Auch innerhalb des inneren Nasenfortsatzes (1, 1) ist als Spalte vorhanden.

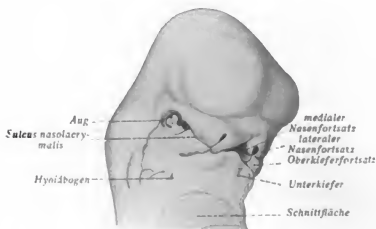


Fig. 32. Kopf eines menschlichen Embryo etwa vom Ende des ersten Foetalmonats (11.3 mm Länge) von vorn und rechts gesehen. Beginn der Gesichtsbildung. (Nach Broman.)

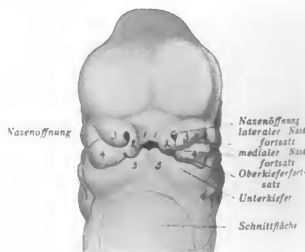


Fig. 33. Kopf desselben Embryo (Fig. 32) von vorn gesehen. (Nach Broman.)

Diese sogenannten „Fortsätze“ sind dicke, außen von Epithel überkleidete Mesenchymmassen. Sie liefern Haut, Schleimhaut und Knochen. Es liefert:

	Weichteile	Knochen
a) der mittlere Nasenfortsatz	1. den mittleren Teil der Oberlippe 2. das Nasenseptum 3. die Papilla palatina	1. Vomer 2. Zwischenkiefer
b) der Spalt in der Mitte zwischen beiden Hälften dieses mittleren Nasenfortsatzes	1. den Sulcus nasolabialis 2. das Tuberculum labii superioris 3. das Philtrum	
c) die seitlichen Nasenfortsätze	die Seitenwände der Nase	1. Nasenbein 2. Tränenbein
d) die Rinne zwischen seitlichem Nasen- und Oberkieferfortsatz	den Canalis nasolacrymalis	
e) der Oberkieferfortsatz	1. seitliche Teile der Oberlippe 2. das Hautgebiet darüber bis zum Auge	1. Jochbein 2. Oberkiefer

Die anfangs vorhandenen Spalten schließen sich bei weiterer Entwicklung, indem erst die Epithelränder verlöten, sodann nach Schwund des Epithels die Mesenchymmassen zusammenfließen. So entsteht die Oberlippe als Verwachsungsprodukt aus 3 Stücken (1+2 und 4) und die Wangenfläche jederseits als Verschmelzungsprodukt zweier Stücke (3 und 4). Im Bereich der seitlichen Nasenfortsätze hebt sich die Nase empor; das Nasenloch wird dabei von 2 und 3 umschlossen.

Um diese Zeit führt die Mundöffnung nur in eine große Höhlung, die primitive Mundhöhle hinein. Der Embryo besitzt noch keine Nasenhöhle und keinen Gaumen, auch kein Vestibulum oris. Letzteres bildet sich erst in der zweiten Hälfte des 2. Monats, indem im Bereich der verwachsenen Lippenränder eine Furche („Lippenfurche“) als epitheliale Einkerbung eindringt. Dadurch erhalten die Lippen ihren inneren Schleimhautüberzug und der von Schleimhaut überzogene Kiefferrand wird herausmodelliert. Dieser (Fig. 35) zeigt die Anlagen des Os intermaxillare (1,1) (Zwischenkiefer, Sitz der Dentes incisivi) und die Anlagen der processus palatini (2,2). Indem diese nach medial vorwachsen und sich in der Mittellinie mit dem den Vomer enthaltenden Teil des mittleren Nasenfortsatzes (3) vereinigen, entsteht der *Gaumen*, der, soweit in ihm Knochen zur Entwicklung gelangt, den *harten*, darüber hinaus den weichen Gaumen liefert. — Während also der Kiefferrand jederseits aus zwei Stücken (1 und 2 Fig. 35) *zusammenwächst*, schließt sich der Gaumen durch Vereinigung paariger Skelettstücke in der Mittellinie.

Diese äußerst komplizierte Entwicklung kann Störungen erleiden, so daß die Verwachsungen zwischen den Fortsätzen teilweise oder gänzlich unterbleiben. Die geringsten Grade stellen diejenigen Zustände dar, wo das Epithel an den Verwachsungsstellen erhalten bleibt. Hier entstehen dann *Epithelkerlen* und *Zapfen*, von denen *epitheliale Geschwülste* ihren Ausgang nehmen können, Fig. 36.

Bleiben die Verwachsungen vollständig aus, so entstehen *Spaltbildungen*, die plastische Operationen notwendig machen. Man unterscheidet: 1. Lippen- und Gesichtsspalten, 2. Kieferspalten, 3. Gaumenspalten. (Figg. 37–40.)

1. *Lippen- und Gesichtsspalten.* a) Mediane Lippenspalte eigentliche „Hasenscharte“, bei Säugtieren (Bulldoggen, Hasen) die Norm, entsteht durch mangelnde Verwachsung der inneren Teile des



Fig. 34. Gesicht eines menschlichen Embryo des 2. Monats. (Abbildung von Merkel Handbuch der topographischen Anatomie, Bd. I, Braunschweig, Vieweg.) Die Nasenspitze und der Nasenrücken gebildet, letzterer vom oberen Teil des Stirnfortsatzes durch die Supranasalfurche abgegrenzt. („Sattelnase“ des menschlichen Foetus). Nase und Oberlippe durch die seitlichen Nasolabialfurchen verbunden und schnauzenartig vorspringend.

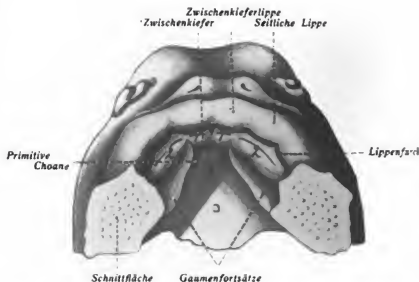


Fig. 35. Kopf eines menschlichen Embryo aus der 7. Woche. (Nach His aus Bonnerts Lehrbuch der Entwicklungsgeschichte.) Der Unterkiefer und die Zunge sind abgetragen. Man sieht durch die Gaumenspalte zwischen den eben auswachsenden Gaumenfortsätzen in die primitive Nasenhöhle hinein.

mittleren Nasenfortsatzes. Sie muß stets im Bereich des Philtrum liegen, kann sich bis ins Nasenseptum und zwischen die mittleren Schneidezähne des Oberkiefers ausdehnen. Ist selten.

b) Seitliche Lippenspalte, die gewöhnlich als „Hasenscharte“ bezeichnete Mißbildung, obwohl gerade den Hasen nicht eigentümlich (siehe a). Beginnt stets seitlich von der Oberlippe und dringt bis an den hinteren Umfang des Nasenloches vor oder in das Nasenloch hinein. Sie entsteht dadurch, daß der mittlere Nasenfortsatz (Proc. globularis 2, Fig. 33), mit dem Oberkieferfortsatz (4, Fig. 33) nicht verwächst. Dies ist die häufigste Mißbildung dieser Art.

c) Seitliche Nasenspalte. Kann eine Fortsetzung der vorigen bilden, entsteht dadurch, daß der mittlere und seitliche Nasenfortsatz (2 mit 3, Fig. 33) nicht verwachsen.

d) Schräge Gesichtsspalte. Entsteht durch Ausbleiben der Verwachsung zwischen mittlerem Nasenfortsatz, seitlichem Nasenfortsatz und Oberkieferfortsatz (2, 3, 4). Sie ist in vollständiger Ausbildung selten und verläuft dann als Hasenscharte beginnend entweder durch das Nasenloch oder seitlich davon

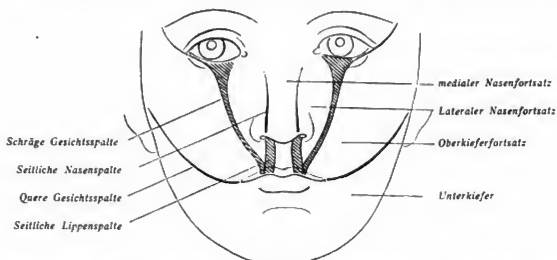


Fig. 36. Gesicht eines Erwachsenen mit eingezeichneten embryonalen Gesichtsspalten. (Aus Merckels Handbuch der topographischen Anatomie.)





37. Mittlere Oberlippenspalte mit unentwickeltem, aber schlecht entwickeltem Gaumenseitenkiefer. Nach Lexer, aus Bruns-Garré-Küttner's Handbuch, Bd. I.



Fig. 38a. Doppelseitige seitliche Lippenspalte (sog. Hasenscharte) ohne gleichzeitige Kieferspalte. Das Philtrum der Oberlippe (mittlerer Nasenfortsatz) ist erhalten. (Nach Lexer.)



Fig. 38b. Doppelseitige Hasenscharte mit Kieferspalte. Philtrum und Zwischenkiefer isoliert. (Nach Lexer.)

inneren Augenwinkel oder hinauf auch bis zum unteren Augenlid. Sie kann sich vom äußeren Lidrand auf die Stirn fortsetzen. Dringt sie tief ein, so ist der Knochen zwischen Zwischenkiefer und alveolarem Alveolarrand und weiterhin der Oberkiefer einwärts vom Foramen infraorbitale gespalten. Meist sind unvollständige Spalten (Hasenscharte) und Colobom des Augenlides.

e) Quere Gesichtsspalte. (*Macrostoma*.) Die Verwachsung zwischen 4 und 5 unterbleibt, kann geringer Verbreiterung der Mundspalte bis zu stärkeren Graden vorkommen, wo sie die Wange an den Tragus (oder in die Schläfengegend oder gegen den Unterkieferwinkel) durchsetzt.

2. Kieferspalten. Sie finden sich als Komplikationen der Lippenspalten und müssen — abgesehen von der oben erwähnten medianen Kieferspalte, die mit der medianen Lippenspalte verbunden sein kann — immer seitlich liegen (Mangel der Verwachsung von 1 und 2, Fig. 35). Die Spalte, meist mit Hasenscharte vergesellschaftet, geht stets zwischen seitlichem Schneidezahn und Eckzahn hindurch. Doppelseitigem Vorkommen wird dadurch der Zwischenkiefer in voller Ausdehnung freigelegt.

3. Gaumenspalte. Diese muß im Gegensatz zur Kieferspalte stets in der Mittellinie liegen. Die Verwachsung der beiden Gaumenfortsätze unterbleibt. Die Spalte muß daher stets hinter dem Zwischenkiefer, der unpaarig ist, Halt machen. Das Foramen incisivum, die Sutura palatina und die Raphe der Schleimhaut des harten Gaumens sind normale Reste dieser Verwachsung.

Die Gaumenspalte zerfällt in:

a) unvollständige (Uranocolobom). Die Verwachsung der Gaumenfortsätze mit dem Vomer unterbleibt nur stellenweise. Demnach können vordere und hintere Gaumencolobome bestehen.

b) Vollständige. Sie kann einseitig sein, wenn nur ein Gaumenfortsatz den Vomer nicht erreicht. Dann liegt im harten Gaumen neben der Mittellinie ein Spalt, der sich in einen medianen Spalt des weichen Gaumens fortsetzen kann. Oder sie ist doppelseitig. Hier ist der weiche und harte Gaumen gespalten; die Nasenhöhle kommuniziert mit der Mundhöhle. Verbindet sich dieser Spalt mit doppelseitig



Fig. 39. Seitliche Nasenspalte. (Nach Lexer.)



Fig. 40. Schräge (links) und quere (rechts) Gesichtsspalte. (Nach Lexer.)

Fig. 41. Schädel mit den eingezeichneten drei stärksten sensiblen Gesichtsnerven und der (an der Innenfläche der Schädelkapsel verlaufenden) A. meningea media.

Fig. 42. Schädelbasis mit den drei Schädelgruben. Vordere Schädelgrube blau, mittlere gelb, hintere rot.

seitiger Hasenscharte und Kieferspalte, d. h. frei vorstehendem Zwischenkiefer, so entsteht die als *Wolfsrachen* bezeichnete, folgenschwere Mißbildung.

Als Ursachen all dieser Hemmungsbildungen werden amniotische Stränge, Einlagerung anderer fötaler Organe (Gehirn, Finger, Zunge usw.) angegeben. Namentlich die abnorm nach oben gedrängte Zunge führt zu steiler Stellung der Gaumenfortsätze, die dann die Mittellinie und den Vomer nicht erreichen können. Hier ist übrigens ein Zustand realisiert, der in der Organisation der Reptilien und Vögel die Norm ist.

## II. Schädeldach und Seitenwände des Schädels.

Die wesentliche Grundlage für das Studium der topographischen und angewandten Anatomie des Kopfes bildet die Kenntnis des knöchernen Schädels, dessen Einteilung bereits oben (Seite 15) gegeben worden ist. Die Grenzen von Hirn- und Gesichtsschädel sind äußerlich durch den oberen Augenhöhlenrand, den Jochbogen und die äußere Ohröffnung gegeben. Der Aufbau der *Schädelkapsel* wird klarer, wenn man versteht, daß die zwei paarigen Knochen zusammen einen *sagittal* gerichteten, nach oben offenen, breiten Ring bilden, der durch die *frontal* gestellte nach unten offene breite Spange der paarigen Knochen zu der geschlossenen Kapsel ergänzt wird. An dem Hirnschädel unterscheiden wir den gewölbten Teil — das *Schädelgewölbe*, *Schädeldach* — und die untere, mehr flache *Schädelbasis*. Diese ist nach hinten geneigt und bildet gleichsam die Sohle eines Dreiviertelskreisbogens, der dem Gewölbe entspricht.

Von großer Bedeutung ist — vor allem mit Rücksicht auf die Beurteilung der Verletzungen — die *Dicke* der Schädelkapsel. Sie ist nach Alter, Individuum und besonders nach einzelnen Stellen sehr verschieden. Zwischen den Extremen des kaum 2 mm dicken sogenannten *Papierschädels* und dem 1 cm und darüber dicken Schädel, den man *hypertrophisch* nennt, kommen verschiedene Zwischenstufen vor. Im Mittel beträgt die Dicke des Schädels 5 mm. Abgesehen von den für die Beurteilung der Basisfrakturen besonders wichtigen dünnen Stellen der Basis (s. Seite 36) kommen *lokale Verdünnungen des Schädels* zustande:

1. Durch abnorm starke, vorwiegend neben der Mittellinie am Schädeldach gelegene *Foveolae granulares* (Pachionische Gruben [Fig. 43]), die durch stark gewucherte Zotten der Arachnoidea (s. Seite 47) entstehen. Diese Wucherungen können zur *Perforation des Knochens nach außen* führen, so daß sie sogar unter der Kopfschwarte als kleine, nach innen wegdrückbare Geschwülstchen zum Vorschein kommen. Nur selten buchten die Arachnoideawucherungen den Knochen nach außen vor und führen zu am Lebenden fühlbaren, unverschieblichen, harten Anschwellungen des Knochens (im Gegensatz zu den der Kopfschwarte gelegenen und mit dieser auf dem Knochen verschieblichen, von den Talgdrüsen ausgehenden Balggeschwülsten (s. unten bei den Anwendungen)).

2. Durch die tief in den Knochen eingebettete *Art. meningea media* (s. Fig. 41, und Seite 42), die bis dicht unter die Außenfläche des Schädeldaches gelangt oder sogar zu Perforationen der äußeren Knochen tafel und bei Verletzungen zu starken Blutungen nach außen führen kann. Auch können Aneurysmen (Erweiterungen) der Art. meningea media durch den Knochen bis nach außen gelangen.

3. Durch (allerdings seltene) variköse Erweiterungen der *Venae diploicae* (s. S. 30), welche den Knochen zum Schwund bringen, sowie durch tiefe Einlagerung des Sinus sphenoidalis.

Fig. 41.

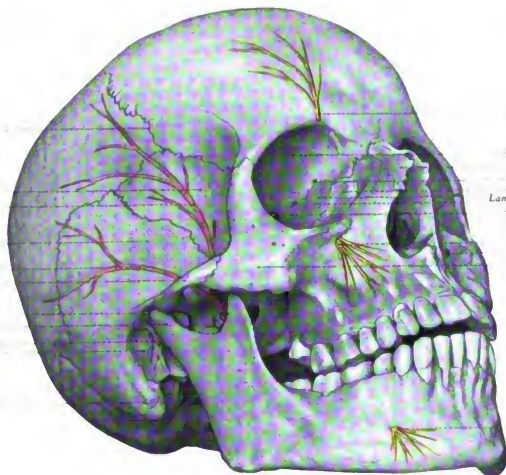
utura coronalis

la magna oss.  
sphen.  
ant. a. menin-  
geae mediae

ama temporal.  
post. a. men.  
med.  
oc. zygomatic.  
oss. temp.

ssa mandibul.  
titulum mandibulae  
Os tympanicum  
acusticus ext.

roc. mastoideus

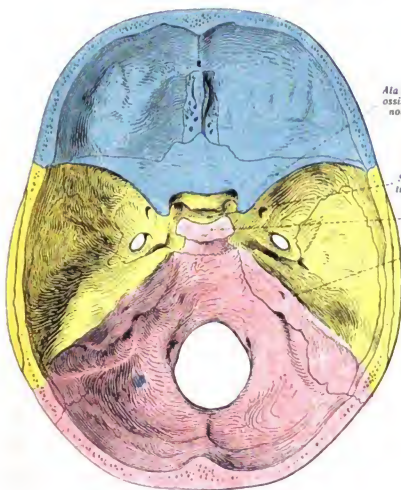


N. supraorbitalis

Pars orbitalis oss.  
front.  
Os nasale  
For. ethmoidale anter.  
Os lacrimale  
Lamina paryr. oss. ethm.  
For. ethm. posterius  
For. opticum

N. infraorbitalis  
For. infraorbitale sin.  
Os zygomaticum

N. mentalis



Ala parva  
ossia sphenoidalis

Sella  
tursica

Dorsum  
sellae  
Angulus  
superior  
pyrami-  
dis oss.  
temp.

Fig. 42.

Fig. 43.



Fig. 44.

Fig. 43. Schädeldach von innen, mit tiefen Foveolae granulares und bis zu hochgradiger Verdünnung des Knochens gebildeten Sulci meningei.

Fig. 44. Schädel mit freigelegten, aber noch geschlossenen Stirnhöhlen, nachdem die Tabula externa und die Diploë gemeißelt wurden.



Fig. 45. Querschnitt des Schädeldaches.

rietalis in das Schädeldach (etwas nach hinten von der Kranznaht. In Fig. 43 abgesägt; zt sich zum Rande des kleinen Keilbeinflügels fort.)

4. Bei *zunehmendem* Alter kann der Schädel bedeutend *dünnere, leichter und brüchiger* werden, so daß die von vorneherein dünnen Stellen durch Resorption zu Löchern werden, an der Pars orbitalis des Stirnbeins, am Tränenbein, der Lamina papyracea des Sieb- ins, der hinteren Schädelgrube, der medialen Wand des Sinus maxillaris.

Auf dem *Sägedurchschnitt* der Schädelkapsel (s. Fig. 45) erkennt man zwei kompakte

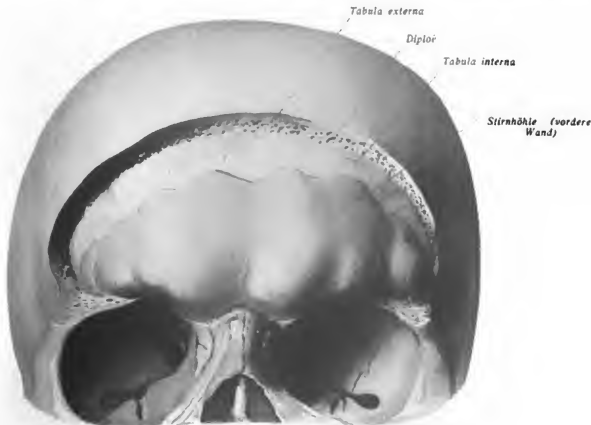


Fig. 46. Schädel mit enormen Stirnhöhlen, präpariert wie in Fig. 44.

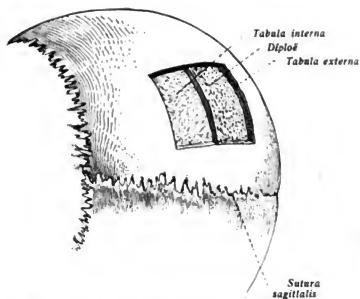


Fig. 47. Linkes Scheitelbein, auf dem terrassenförmig die 3 Schichten durch Abmeißelung dargestellt sind.

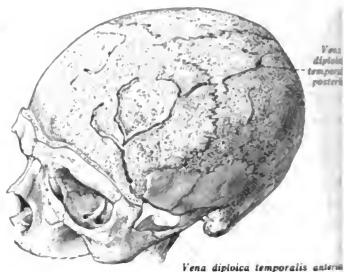


Fig. 48.

Knochenschichten (Tabulae), die eine spongiöse Lage einschließen. Die *Tabula externa* im Mittel 1,5 mm stark, besitzt, ebenso wie die zirka 0,5 mm starke *Tabula interna*, zahlreiche feine Poren zum Durchtritt der periostalen Gefäße. Beide Tafeln gehen ohne scharfe Grenze in die von ihnen umschlossene *Diploë* über, die mit rotem Knochenmark gefüllt ist. Brüche der *Tabula interna*, in Form der sogenannten *Sternbrüche*, oder Absplittungen von der *Tabula interna* ohne gleichzeitige Verletzung der *Tabula externa* sind *nicht* auf größere Sprödigkeit der *Tabula interna* zurückzuführen, sondern auf die geringe Dicke und den kleineren Krümmungsradius der *Tabula interna*.\*)

In der *Diploë* sammelt sich das venöse Blut des Knochens in besonderen, in den *Canales diploici* gelegenen Venen (Fig. 48, 49), nämlich: *V. diploica frontalis*, *V. dipl. temporalis anterior*, *V. dipl. tempor. posterior*, *V. dipl. occipitalis*. Sie variieren in ihrem Verlauf

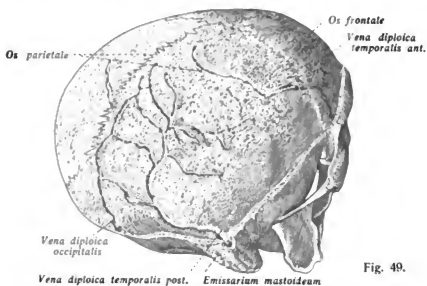


Fig. 49.

An den dünnen Stellen der Schädelkapsel fehlt die *Diploë*, indem die beiden *Tabulae* sich berühren, z. B. an der Schuppe des Schläfenbeins und den tiefsten Stellen der hinteren Schädelgrube. Auch bei alten Leuten kann die *Diploë* mehr oder weniger schwinden.

Im Bereich des *Os frontale* weichen rechts und links von der Glabella die beiden *Tabulae* auseinander und umschließen die in ihrer Ausdehnung variierenden *Stirnhöhlen*, *Sinus frontales*, nach

\*) Biegt man einen Stab, so platzt er zuerst an der konvexen Seite der Biegung. So kann die *Tabula interna* allein splittieren, wenn der Schädel von außen eingeebult wird.

den Kieferhöhlen die größten der luftgefüllten Nebenhöhlen der Nase (s. Fig. 44, 46, 50). Zwischen Tabula externa und vorderer Wand der Stirnhöhle, was mit der Art des Verlaufs der Stirnnaht zusammenhängt, noch eine dünne Schicht Diploë eingelagert, während die innere (hintere) Wand der Stirnhöhlen von der Tabula interna gebildet wird. Die Stirnhöhlen (s. auch Fig. 45, 50, 105) sind paarige Höhlen und sind durch ein oft nicht genau median gestelltes Knochenseptum getrennt. Sehr oft werden sie durch *unvollständige* nach innen vorspringende Septa mehrkammerig, wobei sie beträchtliche Größe annehmen können (s. Fig. 46 und 47). Die Mündung liegt im mittleren Nasengang als einfache Spalte oder als kurzere Öffnung und ist von der Nasenöffnung aus dem Lebenden *nur selten sicher zu sondieren.*\*)

Die *Fontanellen* sind häutige Stellen des Schädeldaches des Fötus und des Neugeborenen, an denen mehrere Knochen in Berührung treten und erst relativ spät knöcherner Anschluß eintritt. Man unterscheidet zwei unpaare und zwei paarige Fontanellen (s. Fig. 53).

Die unpaaren sind die wichtigsten:

1. *Die große oder Stirnfontanelle* (Fonticulus major). Sie besitzt die Gestalt eines Raupenkopfes und liegt zwischen den bei dem Neugeborenen noch durch die Stirnnaht getrennten beiden Hälften des Os frontale und den beiden Ossa parietalia. Sie *schließt sich*, wie die Stirnnaht, *erst im zweiten Lebensjahre*, kann aber auch viel länger bestehen bleiben.

2. *Die kleine oder Hinterhauptfontanelle* (Fonticulus minor). Sie hat die Gestalt eines stumpfwinkligen Dreiecks und liegt zwischen dem höchsten Punkt der Hinterhauptschuppe und den beiden Ossa parietalia.

Die paarigen, weniger wichtigen und beim Neugeborenen meist schon geschlossenen Fontanellen sind:

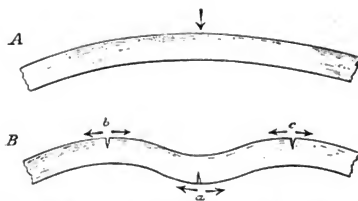


Fig. 51. Entstehung einer Schädelfraktur durch lokale Einbiegung des Schädeldaches von außen her. Schema nach Matti, Knochenbrüche. Rißfrakturen an den Stellen stärkster Biegung. Bei geringerer Beanspruchung wird lediglich bei a eine Trennung eintreten.

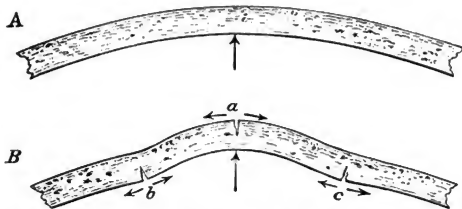


Fig. 51a. Entstehung einer Schädelfraktur durch Ausbuchtung des Schädeldaches von innen her. Schema nach Matti, Knochenbrüche. Rißfrakturen an den Stellen stärkster Biegung. Auch hier ist bei a die erste und unter Umständen einzige Stelle der Fraktur vorhanden.

\*) Weiteres über die Stirnhöhlen s. S. 88.

Fig. 50. Die großen Stirnhöhlen des Schädels von Fig. 46 horizontal aufgesägt, so daß man von oben hinein sieht. Das Septum steht extramedian. Die Höhlen sind durch zahlreiche unvollständige Knochensepten mehrkammerig. Nach hinten dehnen sie sich (bis zu der punktierten Linie) weit in das Dach der Orbita (also zwischen Schädelhöhle und Augenhöhle hinein) aus.

Fig. 52. Schädel vom Neugeborenen von oben und hinten gesehen.

1. Die vordere Ohr- oder Seitenfontanelle (Fonticulus sphenoidalis), zwischen Stirn- und Scheitelbein einerseits und großem Keilbeinflügel und Temporalschuppe andererseits.

2. Die hintere Ohr- oder Seitenfontanelle (Fonticulus mastoideus) zwischen Processus mastoideus des Schläfenbeins, Os parietale und Os occipitale. Von ihr aus erstreckt sich noch beim Neugeborenen eine Spalte in die Schuppe des Hinterhauptbeins hinein, welche noch die ursprüngliche Grenze zwischen dem oberen Bindegewebe und dem unteren knöchern Teil der Schuppe andeutet.

Der Hirnschädel des Neugeborenen unterscheidet sich in mancherlei Merkmalen von dem älteren Kindes und dem Erwachsenen.

a) Durch seine Proportionen. Die stark vorspringenden Tubera frontalia und parietalia lassen den Schädel stärker gewölbt erscheinen, als später, während die Schläfenschuppe und die Seitenflächen des Scheitelbeins noch geringe Dimensionen haben. Die Flächen wachsen dann später kräftiger nach, desgleichen die Basis des Hinterhauptbeins. Die Schädelgruben, vor allem die mittlere, werden tiefer. Bei der Geburt steht das Stirnbein fast senkrecht. Durch Abnahme der Stirnhöcker und Hervortreten der Gesichtsknochen tritt dann die obere Fläche mehr zurück. Erst vom 10. Lebensjahre an entfalten sich die Stirnsinus stärker.

b) Durch den Zustand der Knochen. Diese sind anfangs strahlig um das Wachstumszentrum (Tubera frontalia, parietalia) angeordnet und besitzen keine Kortikalis, auch keine Diploënen. Im Laufe der ersten Lebensjahre bildet sich erst die Diploë aus. Zur Zeit der Pubertät ist die volle Dicke der Diploë erreicht. Später wird sie dünner und zum Teil durchscheinend.

c) Durch die Verbindungen der Knochen. Bei Neugeborenen liegen die Knochen mit glatten Rändern, durch Bindegewebe getrennt nebeneinander, mehr oder minder gegeneinander verschieblich. Erst im zweiten Lebensjahre beginnen sich die Knochen zackförmig gegeneinander vorzuschieben; noch später erst tritt feste Verzahnung, aber keine Verwachsung ein. Der Fortbestand dieser Nähte ist Voraussetzung des Wachstums nach Länge und Breite. Frühzeitige, abnorme Obliteration der Nähte hemmt das Wachstum (Mikrocephalie). Das Verstreichen der Nähte beginnt für die Stirnnaht schon nach der Geburt. Diese soll im zweiten Lebensjahre bereits geschlossen sein (kann aber abnormerweise offen bleiben). Die übrigen Nähte beginnen vom zweiten Lebensjahrzehnt, meist aber erst später zu verstreichen, zuerst an der Innen-, dann an der Außenfläche. Gewöhnlich beginnt der Prozeß an der Sagittalnaht, dann folgt die Lambdannaht, dann die Koronarnaht, dann die Reihenfolge sehr schwankend.

### III. Die Basis cranii (interna). (Fig. 53.)

An der Schädelbasis, wie sie uns am mazerierten Schädel entgegentritt, unterscheiden wir (Waldeyer):

- a) Die Regio mediana,
- b) die Regiones laterales.



Fig. 50.

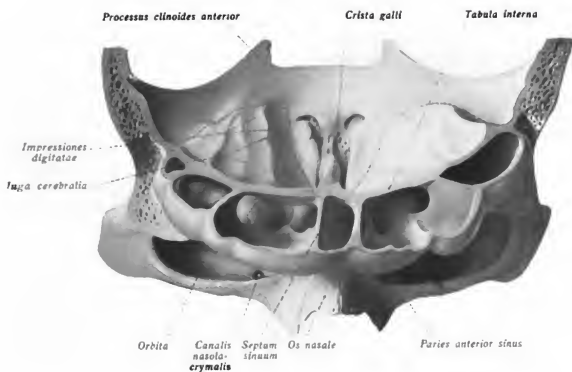


Fig. 52.

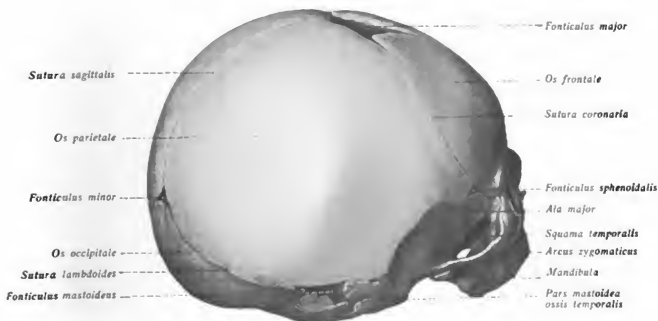


Fig. 53.

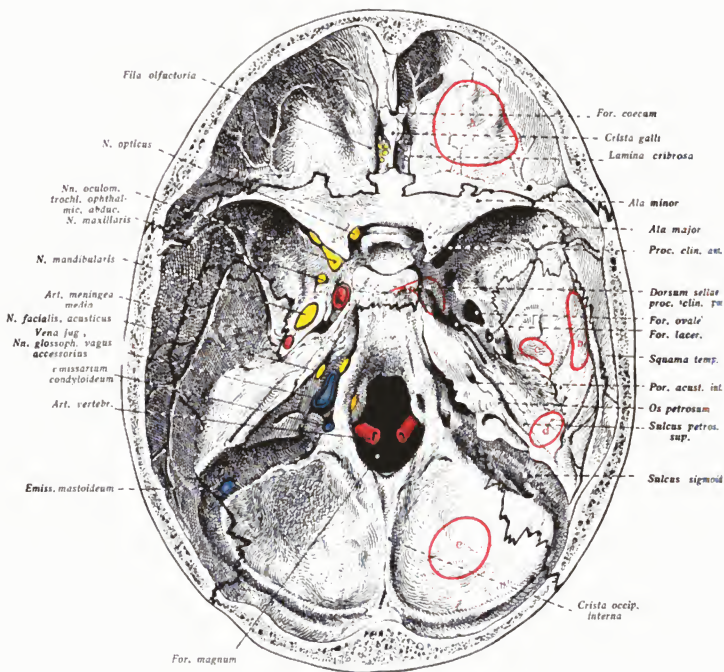


Fig. 53. Schädelbasis von innen gesehen. Auf der linken Seite sind die Nervendurchtrittsstellen gelb, die wichtigen Arterieneintrittsstellen rot, die Löcher für die Hauptvenen blau hervorgehoben. Auf der rechten Seite sind die röhrenförmigen Stellen der Basis rot umrandet.

#### a) Die Regio mediana.

Sie wird durch zwei Linien abgegrenzt, die dem Außenrande des Processus clinoides anterior und posterior anliegend, von vorn nach hinten durch die ganze Länge des Schädelgrundes gezogen werden. Was links und rechts davon liegen bleibt, bildet dann die seitlichen Grenzen der Schädelbasis mit ihren drei Gruben. Dieser medianen Gegend des Schädelgrundes entspricht der Hirnstamm, die größeren Arterien der Unterfläche des Gehirns, die Venensprünge und die Nervenaustritte, die nur zum Teil ein wenig die seitlichen Grenzen der Region überschreiten. In dieser Regio mediana liegen auch die dicken, spongiosen Teile des Schädels, die meisten lufthaltigen Räume und die Kommunikationen mit benachbarten Höhlen (Augenhöhle, Nasenhöhle, Wirbelkanal).

In der mittleren Region des Schädels liegt am weitesten vorn die paarige Fossa sphenoidalis, beiderseits von der Crista galli, vor dieser das Foramen coecum. Nach rückwärts folgt das Jugum sphenoidale, die Sella turcica und der Clivus; hierauf das Foramen sphenoidale magnum und die Crista occipitalis interna. Am Clivus kann man einen vorderen Teil unterscheiden, auf dem die Brücke mit der A. basilaris und einen hinteren Teil, auf dem der vordere Teil des verlängerten Markes ruht. Die Grenze zwischen den Teilen bildet das Tuberculum jugulare.

#### b) Die Regiones laterales cranii.

Sie stellen drei Gruben (Figg. 42, 53) dar, als vordere, mittlere und hintere bezeichnet. Im Lebenden aber etagenartig übereinander liegend, so daß die vordere die oberste, die mittlere die unterste ist. Jede der drei Gruben ist durch einen Abschnitt der Regio mediana mit der anderen Seite verbunden, die vorderen beiden durch die Fossa olfactoria mit dem Jugum sphenoidale, die mittleren durch den Türkensattel, die hinteren durch Clivus und Crista occipitalis interna.

1. Die *vordere Schädelgrube* wird gebildet von der Pars frontalis des Stirnbeins und dem kleinen Keilbeinflügel. An der Grenze gegen die mittlere Schädelgrube liegt die Crista orbitalis superior. In der vorderen Schädelgrube liegt der Stirnlappen des Großhirns. Die Orbita liegt darunter, der Sinus frontalis kann sich bis weit in ihr Gebiet nach hinten ausdehnen.

2. Die *mittlere Schädelgrube* wird gebildet vom großen Keilbeinflügel, der Schuppe des Schläfenbeins, dem untersten Teil des Scheitelbeins und der vorderen Fläche der Felsenbeinlaminae. Öffnungen: das Foramen rotundum (zur Flügelgaumengrube), das Foramen ovale (in das Gebiet der Kaumuskulatur), das Foramen lacerum (nur am mazerierten Schädel als „Loch“ vorhanden, sonst durch Faserknorpel verschlossen, durchsetzt von der A. petrosa interna und dem N. petrosus superficialis major). An der äußeren Schädelbasis liegt die knorpelige Tube. Nachbarlich gelegen ist die Paukenhöhle (unterhalb des Tegmen tympanicum). In der mittleren Schädelgrube liegt der Schläfenlappen des Großhirns.

3. Die *hintere Schädelgrube* wird gebildet von der hinteren Fläche der Felsenbeinlaminae, der Pars mastoidea des Schläfenbeins und dem Hinterhauptsbein. Öffnungen: Foramen acusticum interius (ins innere Ohr) die Öffnung für den Aqueductus vestibuli

(Saccus endolymphaticus), das Foramen jugulare, das Emissarium mastoideum, Foramen hypoglossi und Emissarium condyloideum. Der durch den Sulcus transversus und sigmoid abgegrenzte Bezirk ist die Fossa cerebelli; darüber liegt der Hinterhauptslappen des Gehirns.

Die Durchtrittsstellen für die zwölf Hirnnerven durch die Schädelbasis sind (in d. Figur 53 mit gelber Farbe bezeichnet):

1. Die *Lamina cribrosa* des Siebbeins für die Fila olfactoria, die von dem auf d. Lamina gelegenen Bulbus olfactorius nach abwärts ziehen. 2. Das *Foramen opticum* (s. Fig. 104) für den Nervus opticus (und die aus der Carotis interna kommende A. optica). 3. Die *Fissura orbitalis superior* (s. Fig. 104) für die Nn. oculomotorius, trochlearis, ophthalmicus (Ramus I. n. trigemini), und den N. abducens. 4. Das *Foramen rotundum* für den N. maxillaris (Ramus II. n. trigemini). 5. Das *Foramen ovale* für den N. mandibularis (Ramus III. n. trigemini). 6. Der *Porus acusticus internus* für die Nn. facialis und acusticus. 7. Das *Foramen jugulare, vorderer Teil*, für die Nn. glossopharyngeus, vagus und accessorius. 8. Der *Canalis hypoglossi* für den N. hypoglossus.

Die Eintrittsstellen der Hauptarterien sind (in der Figur mit rot bezeichnet): a) zum Gehirn: Durch das *Foramen occipitale magnum* die A. vertebralis, aus der A. scapularia und durch den *Canalis caroticus* des Felsenbeins und dann durch das *Foramen lacerum* neben dem Keilbeinkörper aufsteigend die Carotis interna. b) Zur Dura mater d. h. zum inneren Periost des Schädeldaches und also zu dem Schädeldach — mit keinem Ast zum Gehirn: Durch das *Foramen spinosum* des großen Keilbeinflügels die A. meningea media aus der A. maxillaris interna.

Die Austrittsstelle für das in den Sinus der Schädelhöhle (s. Fig. 62) gesammelte venöse Blut liegt in der hinteren Abteilung des *Foramen jugulare* (in der Figur b bezeichnet).

Hier ist auch der Emissarien zu gedenken. Die *Emissaria (Santorini)* sind Löcher in der Schädelkapsel, welche venöse Verbindungen zwischen äußeren Kopfvenen und

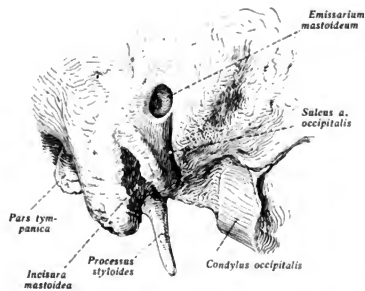


Fig. 54. Sehr großes Emissarium mastoideum. Ansicht des betreffenden Schädeltiles von hinten.

Venensinus enthalten. In ihnen strömt Blut von innen nach außen. Die Ausbildung der Emissarien ist sehr großen Variationen unterworfen. Man unterscheidet:

1. Das *Emissarium parietale* zu beiden Seiten der Sutura sagittalis, in der Verbindungslinie der Tubera parietalia. Es führt zum Sinus sagittalis superior. Fehlt einer- oder beiderseits.

2. Das *Emissarium mastoideum* Verbindung der Okzipitalvenen mit dem Sinus transversus; es führt auch einen verästelten Ramus meningeus aus der A. occipitalis zur Dura mater. Es liegt über der Wurzel des Processus mastoideus, zweifach so breit hinter der Ohröffnung und ist

stanteste und größte aller Emissarien (s. Fig. 53, innere Mündung und Fig. 54, äußere Mündung). Bei Verengerung der normalen Abflußöffnung des Venenblutes aus der Schädelkapsel — des Foramen jugulare —, z. B. bei rhachitischem Verschuß dieses Loches, wurde das Emissarium schon so erweitert gefunden, daß es das gesamte Venenblut aus der Schädelkapsel austreten ließ.

3. Das *Emissarium condyloideum* (Canalis condyloideus) in der Pars condyloidea des Hinterhauptbeins verbindet den Plexus venosus vertebralis externus mit dem Sinus transversus (s. Fig. 53).

4. Das *Emissarium occipitale* an der Protuberantia occipitalis externa, unbedeutend und oft durch viele kleine ersetzt, durch welche Verbindungen zwischen Occipitalvenen und dem Confluens sinuum verlaufen.

## Anwendungen.

1. *Kindlicher Kopf und Geburtsakt.* Die große Fontanelle ist diagnostisch wichtig für die Bestimmung der Lage des Kopfes. Die kleine Fontanelle ist zur Zeit der Geburt meist schon geschlossen. Doch ist sie zu fühlen, da sich die Hinterhauptsschuppe bei Kompression des Kopfes unter die Ränder der Scheitelschuppe schiebt. Die Knochen des Schädeldaches besitzen zur Zeit der Geburt starke Verschieblichkeit zueinander, hauptsächlich in der Längsrichtung des Schädels. Normalerweise tritt das Stirnbein oder Hinterhauptbein unter das Scheitelbein. Deformationen und abnorme Verschiebungen der einzelnen Knochen kommen bei schwierigen Geburten vor, meist der Scheitelbeine. Das nach hinten gekehrte Scheitelbein wird bei allgemein verengtem Becken durch den Druck am Promontorium unter das nach vorne

gekehrte disloziert, das vordere unter das nach hinten gelegene bei von vorn nach hinten abgeplatteten Becken durch Druck der Symphyse. Das mütterliche Becken (Promontorium) im Zustande der Verengung kann Impressionen am Scheitelbein herbeiführen, entweder seichte, rinnenförmige, die fast immer am Scheitelbein dicht an der Sutura coronaria, oder tiefe, trichterförmige, die zwischen Tuber frontale und Tuber parietale sitzen. Erstere werden durch längeren, letztere durch kurzen, intensiven Druck (Zangengeburt) erzeugt. Stärkere Dislokation des Scheitelbeines kann zu Zerreißen des Sinus sagittalis führen (tödliche meningale Blutung).

2. *Persistierende Nähte und Spalten.* (Fig. 55.) In dem Zeitalter der Röntgenuntersuchung ist es besonders wichtig, zu wissen, daß es zahlreiche Nähte und Spalten gibt, die nicht als abnorm zu gelten haben, insbesondere nicht als *Frakturen* aufgefaßt werden dürfen. Hierher gehören die zahlreichen Spuren überzähliger Knochen (Naht-, Fontanellknochen), vor allem die doppelten Stirnbeine infolge häufig persistierender Stirnnaht, die zahlreichen, besonders in der Lambdannaht vorkommenden Schaltknochen, das Os interparietale, das dem oberen, aus

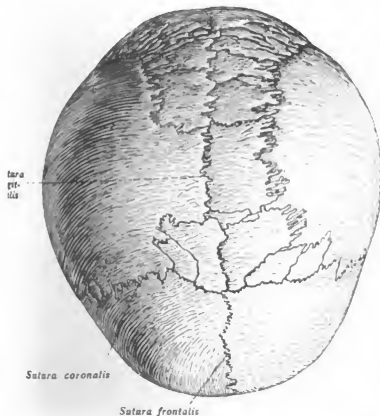


Fig. 55. Durch das Auftreten zahlreicher Schaltknochen wie frakturiert erscheinendes Schädeldach eines Erwachsenen in der Ansicht von oben. Auch ist die Sutura frontalis bestehen geblieben.

Fig. 56. Profilaufnahme. 1 Stirnhöhle (Höhen- und Tiefenausdehnung), 2 Orbita, 3 Kieferhöhle, 4 Keilhöhle, nach hinten Keilbinkörper, 5 Os zygomaticum (Ansatzstelle am Oberkiefer, teilt Kieferhöhle in vorderen u. hinteren Raum), 6 Orbitaldach und Boden der vorderen Schädelgrube, 7 Proc. clinoid. ant., 8 Sattellehne u. Proc. clinoid. post., 9 Sella turcica, 10 Pars petrosa des Schläfenbeins, 11 Processus mastoideus, 12 Sinus sigmoideus, 13 Siebbein zum Teil auch in die Orbita projiziert.

Fig. 57. Sagittale occipitofrontale Aufnahme. 1 Stirnhöhle gefächert mit extramedian stehendem Septum interfrontale (Höhen- und Breitenausdehnung), 2 Orbita mit Margo supra- und infraorbitalis, 3 Kieferhöhle, 4 Siebbein, 5 Crista Galli, 6 Nasenscheidewand, 7 untere Muschel, 8 Spina nasalis ant., 9. Recessus alveolaris, 10 Unterkiefer, 11. Mastoideus, 12 Schläfenbein und Occiput in Orbita projiziert.

bindegewebiger Anlage hervorgegangenen Teil der Hinterhauptschuppe entspricht, und Knochen, die Fontanellen entstehen. Diese können dann mit den Nachbarknochen verwachsen. Reste foetaler Nähte sind dann ferner die oben erwähnte, von der Ohrfontanelle in die Schuppe des Hinterhauptbeins dringende Spalte (s. o. S. 32), eine Spalte, die ganz oder teilweise die Schuppe des Hinterhauptbeins der Länge nach halbieren kann, und endlich paarige Spalten, die von der Sagittalnäht zu den Emissaria parietalia ausstrahlen.

3. Festigkeitsverhältnisse des Schädels und Mechanik der Schädelbrüche. Der Chirurg unterscheidet *Biegungs- und Berstungsbrüche* des Schädels, deren Erscheinungen in hohem Maße von der anatomischen Beschaffenheit des Schädeldgewölbes abhängen. Die *Biegungsbrüche* entstehen bei umschriebener Einwirkung, die *Berstungsbrüche* bei ausgedehnteren Einwirkungen infolge der Formänderungen des Schädels im ganzen. Hinsichtlich der Biegungsbrüche (Fig. 51, 51a) ist an die isolierte Verletzung der Tabula interna zu erinnern oder auch der Tabula externa bei intakter interna, falls die Gewalt von innen her wirkt (z. B. Schuß in den Mund). Wird das Schädeldach ganz durchschlagen, so entstehen *Spalt-, Stück-, Spinnbrüche*. Projektile mit *großer Geschwindigkeit* stanzen bei Durchschuß aus dem Schädeldach ein trichterförmiges Loch heraus (kleiner Einschuß in der Tabula externa, größerer Ausschuß in der Tabula interna an der entgegengesetzten Seite kleinerer Defekt der inneren, größerer der äußeren Tafel). Die lebende Kraft des Geschosses nimmt nämlich beim Durchdringen des Schädeldaches etwas ab, so daß bei weiterem Durchdringen auch den nächst benachbarten Knochenanteilen eine Beschleunigung erteilt wird, und nimmt die Breite dieser beeinflussten Zone nach der Innenfläche des Schädels etwas zu. Bei *Stückschüssen* kommt die hydraulische Wirkung (Vermehrung des Gesamtvolumens des festflüssigen Inhalts durch Eindringen des Geschosses) und die hydrodynamische Wirkung (Geschwindigkeit, die dem Schädelinhalt durch das Geschloß, vorzugsweise in der Schußrichtung erteilt wird) hinzu, um Sprengwirkungen herbeizuführen.

*Berstungsfrakturen* entstehen gesetzmäßig, weil der Schädel *elastisch* dem Druck der einwirkenden Gewalt ausweicht und hierbei über die Grenze des Elastizitätsmoduls gedehnt werden kann. Die Druckachse ist die Achse, in der der Schädel durch Druck zusammengepreßt wird; ihre Endpunkte sind die Druckpole. Sie liegen fronto-occipital (Fall oder Schlag auf Stirn oder Hinterhaupt), parieto-basal (Stoß auf den Kopf), bitemporal (Schädelverletzung in Seitenlage) oder auch schräg. Senkrecht zu den Druckachsen liegen die Äquatorialebenen, durch die Pole die Meridianebenen. Durch die Elastizität des in der Druckachse an den Polen abgeplatteten Schädels kommt es zu Zugspannungen in den Meridian- und den Äquatorial- und Breitenachsen. Wird der Schädel in den Meridianebenen zu stark gedehnt, so platzt er in der Richtung dieser Meridiane; wird er in den Äquatorialebenen überdehnt, so platzt er hier. Letzteres ist der Fall bei allen oben erwähnten *Biegungsbrüchen*. Die Flachlegung erfolgt hier an einer begrenzten Stelle und nimmt schnell bis zur Überschreitung der Elastizitätsgrenze zu.

Jener erstere Fall aber tritt bei ausgedehnter Gewalteinwirkung ein, so daß der Schädel in der Richtung der Meridiane, d. h. in der Richtung des Druckes einer Berstung unterliegt. Die Meridiane umfassen zwar den ganzen Schädel, aber nur bestimmte Stellen sind anatomisch zum Bersten disponiert. Es sind die *dünnen Stellen*, die vorzugsweise an der *Schädelbasis*, zum Teil an den Gesichtsknochen liegen. Daher sind Berstungsbrüche vielfach Basisbrüche, die entfernt vom Orte der Einwirkung auftreten. Sie verlaufen also bei querrer Einwirkung *quer* durch die Schädelbasis gehen, bei fronto-occipitaler Einwirkung *vorn nach hinten*, bei diagonalen Einwirkung *diagonal verlaufen*.) Maßgebend im einzelnen sind dabei die Festigkeitsverhältnisse. Wir unterscheiden (Fig. 56—58) die festen *Strebepfeiler* (1. vom Kiefernrande bis

\*) Parieto-basale Kompressionen (Fall auf den Kopf) führen zu Kombinationen von fronto-occipitalen Berstungsbruch und Biegungsbruch der Schädelbasis im Bereich des Foramen magnum (die nachfolgende Wirbelsäule drückt die Schädelbasis ein).

Fig. 56 57.



Fig. 58.

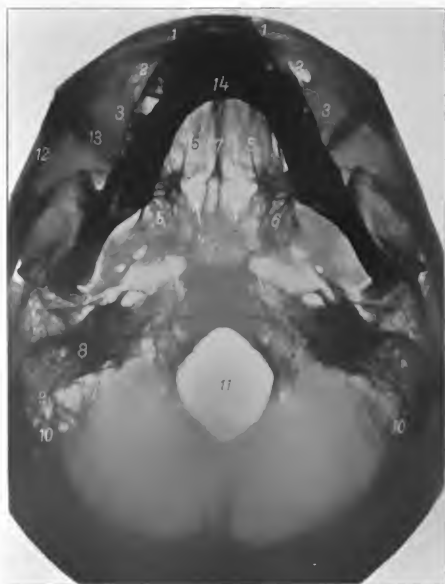




Fig. 58. Axiale Aufnahme (vertiko-submental). 1 Stirnhöhle (von oben), 2 Orbita, 3 Kieferhöhle, 4 Keilbein, 5 Siebbeinregion, 6 Proc. pterygoides, 7 Vomer, 8 Pars petrosa, 9 Pars mastoidea, 10 Sinus transversus und sig., 11 Foramen occip. magnum, 12 Arcus zygomaticus, 13 Seitliche Orbitalwand (aus Jochbein, Keilbein, Stirnbein), 14 Unterkiefer.

Seitenwand der Nase zum mittleren Teil der Stirn. — 2. Durch den Jochfortsatz des Oberkiefers, Joch-, Jochfortsatz des Stirnbeins zu den seitlichen Teilen der Stirn. — 3. Warzenfortsatz, Felsenbein. — (Istia occipitalis interna). Dazwischen die *Brücken* (Margo supraorbitalis, Arcus superciliaris, Margo orbitalis — Clivus, laterale Teile des großen Keilbeinflügels). Dadurch werden die Berstungsbrüche dünnen Stellen der Regio mediana, den zwischen den Strebepfeilern liegenden Flächen der Seitenwand gewissen dünnen Stellen der drei Schädelgruben zugeleitet.

Diese dünnen Stellen, die in der Fig. 53 durch punktierte Linien bezeichnet sind:

In der *vorderen* Schädelgrube: Die *Lamina cribrosa* des Siebbeins und das von der Pars orbitalis frontalis gebildete *Dach der Orbita*, besonders da, wo zwischen den stärkeren Jura cerebraalia die ersten Knochenblätter der Impressiones digitatae liegen.

In der *mittleren* Schädelgrube: Die *Basis des großen Keilbeinflügels* mit den Foramina rotundum, spinosum; die Fossa mandibularis des Os. temporale; die praktisch sehr wichtige Stelle des *des der Paukenhöhle* (Tegmen tympani) (s. S. 63) und die *Schuppe des Schläfenbeins*. Auch der von der Sella turcica und die Seitenwände des Keilbeinkörpers als *dünne Wandungen der großen sphenoidales* (s. S. 90) gehören hierher.

In der *hinteren* Schädelgrube sind die *tieftsten Teile* derselben oft stark verdünnt. Auch ist hier oft *sehr dünne Wandschicht des Sinus transversus* gegen die Cellulae mastoideae hin von großer fischer Bedeutung (s. S. 65).

Basisbrüche folgen daher mit Vorliebe bestimmten Richtungen. Für die queren Brüche kommt die Grenze der Felsenbeinpyramide in Betracht, Fortsetzung bis zum Foramen lacerum, dann quer in den Türkensattel hindurch. Längsbrüche in der vorderen Schädelgrube bevorzugen *Lamina cribrosa*, *men opticum* oder gehen mehr seitlich durch das Dach der Orbita.

In der mittleren Schädelgrube erleichtern die hintereinander liegenden Öffnungen Fissura orbitalis superior, Foramen rotundum, ovale und spinosum den Bruch. Wenig widerstandsfähig ist auch die Spitze Felsenbeinpyramide, die bis zum Foramen jugulare in der hinteren Schädelgrube abgesprengt sein kann. In der hinteren Schädelgrube birzt der Knochen vorzugsweise im Bereich der Fossa cerebelli.

Die topographisch-anatomischen Beziehungen dieser an lebenswichtigen Gefäßen und Nerven so reichend erklären die Gefahren der beschriebenen Basisfrakturen. Gefährdet sind in der vorderen Schädelgrube: N. opticus und A. ophthalmica; neben der Sella turcica: Sinus cavernosus mit Art. carotis interna, Augenmuskelnerven, N. trigeminus. — Hypophyse, Chiasma. In der mittleren Schädelgrube Pauken-, inneres Ohr. — An der Spitze der Felsenbeinpyramide: Art. carotis interna. In der hinteren Schädelgrube Foramen jugulare und Sinus sigmoides.

Man mache sich hier ferner klar: Frakturen im Bereich der *Lamina cribrosa* des Siebbeins, also des Daches der Nasenhöhle, können zu Blutungen aus der Nase oder bei gleichzeitigem Einreißen der Hirnhaut zu Ausfluß von Liquor cerebrospinalis aus der Nase führen. Dasselbe kann aber auch bei Frakturen in der mittleren Schädelgrube der Fall sein, wo nach Einreißen der Wand des Sinus sphenoidalis, der ja oben in die Nasenhöhle ausmündet (Fig. 65, 122), nicht nur Ausfluß von Cerebrospinalflüssigkeit aus der Nase, sondern sogar *schnelle Verblutung aus der Nase* nach Ruptur der der Wand des Sinus nah angelagerten *Carotis interna* (s. auch Fig. 65) beobachtet worden ist. Trifft die Fraktur die Linie des Foramen opticum, so kann aus der das Foramen durchziehenden A. ophthalmica ein stärkerer Bluterguß in die Augenhöhle stattfinden. Blutungen oder Ausfluß von Cerebrospinalflüssigkeit *aus dem Tegmentum des Tegmen tympani und Einreißen des Trommelfelles voraus*, oder das aus dem Ohr entweichende Blut entstammt dem *Sinus transversus*, der sein Blut in die Zellen des Warzenfortsatzes und hier aus in das Mittelohr und durch das Trommelfell nach außen ergossen hat (Fig. 86—89). Hierher ist auch zu bedenken, daß bei *intaktem Trommelfell* das in die Paukenhöhle ergossene Blut durch die *Tuba auditiva* in die Nasen- oder Mundhöhle und aus Nase oder Mund nach außen entweichen kann (s. Fig. 122). In diesem Fall stammt demnach das aus der Nase ausfließende Blut aus der *hinteren Schädelgrube*, und man sieht also, daß bei Frakturen im Bereich aller drei Schädelgruben Blut aus der Nase fließen kann.

Fig. 50. Querschnitt der Schichten des Hirnschädels.

Fig. 61. Die Schichten des Hirnschädels bis auf das Gehirn dargestellt.

Andererseits finden wir subkutane Blutungen am *Processus mastoideus* durch Zerreißung der Ven im Emissarium mastoideum.

Wenn auch natürlicherweise Verletzungen des Gehirns im allgemeinen nicht ohne solche des Hirnschädels vorkommen, so ist doch bei Betrachtung der Basis daran zu erinnern, daß durch dünne spitze Instrumente von der Augenhöhle aus durch die *Fissura orbitalis superior* und das *Foramen opticum* eine *Hirnverletzung eintreten kann ohne gleichzeitige Fraktur des Knochens*. Die dünne Beschaffenheit des Daches der Augenhöhle (s. Fig. 105 und 107) erklärt es endlich, daß *neben dem Bulbus nach oben e* dringende Stichverletzungen relativ leicht das *Dach der Orbita durchbohren* und in den Stirnlappen des Gehirns eindringen können.

Da im Bereich der *Sella turcica* nur eine relativ dünne Knochenplatte die Trennung der Keilbeinhöhlen von dem *Cavum cranii* vermittelt (s. Fig. 105, 107), so erklärt es sich, daß von diesen Höhlen ausgehende Geschwülste *in die Schädelhöhle hineinwachsen und zur Kompression des Gehirnes oder der hier gelegenen Nerven der Basis führen können*. Ähnliches gilt von Tumoren, die von den *Siebbeinzellen* ausgehen, denn diese werden beiderseits von der *Lamina cribrosa* nur durch je eine dünne Knochenplatte des *Os frontale* gegen die Schädelhöhle abgeschlossen (s. Fig. 127).

#### IV. Die Kopfschwarte.

Die größtenteils behaarte *Haut* des Hirnteiles des Kopfes (s. Fig. 59 und 61) bietet in mannigfacher Beziehung Unterschiede gegenüber der Haut anderer Körperstellen. Nicht nur ist sie besonders reich an Talgdrüsen (Haarbalgdrüsen), sondern vor allem fehlt hier das sonst vorhandene *lockere* subkutane Gewebe, in dessen Bereich die Haut mehr oder weniger verschieblich ist. Statt dessen ist ein *festes, fetterfülltes Stratum subcutaneum* vorhanden, das ohne weiteres in das Subkutangewebe des Ohres und der Lidregion übergeht. Mit der Haut (Epidermis und Corium) und dem untergelagerten, stark sehnigen *M. epicranii* bildet das *Stratum subcutaneum eine feste Schicht, die Kopfschwarte*, da die Galea wegen ihrer Wirkung auf die Kopfhaut eine feste Verbindung mit der Haut bilden muß. Hingegen ist die Kopfschwarte mit dem Schädeldach durch ein *sehr lockeres* und verschiebliches Bindegewebe, das *subepikraniale Gewebe*, verbunden, auf welchem sie ja leicht mit der Hand oder bei manchen Individuen willkürlich hin und her geschoben werden kann. Von daher rührt die Schwierigkeit, die Galea aponeurotica zu präparieren. Der Anfänger gerät gewöhnlich in das leicht nachgebende subepikraniale Gewebe, anstatt in dem festen Gewebe der Kopfschwarte zu bleiben. Die feste Verbindung von Kopfhaut und *M. epicranii*, dessen sehniger Teil den Namen *Galea aponeurotica* führt, geschieht durch straffe, das *Stratum subcutaneum* durchquerende Bindegewebsstränge (*Retinacula*).

Von einem *M. epicranii* kann man dann sprechen, wenn man ihn als einen zweibäuchigen, durch eine Zwischensehne unterbrochenen Muskel auffaßt. Der vordere Bauch ist der *M. frontalis*, der hintere der *M. occipitalis*. Der vordere Teil, *M. frontalis* (s. Fig. 93 und 94) empfängt nur indirekt (durch den *M. procerus nasi* und *M. orbicularis*) Beziehungen zum Supraorbitalrand. Er befestigt sich ausschließlich im Bindegewebe der Braue und des Glabellarrandes (*H. Virchow*). Hier ist die Haut, wegen der langen *Retinacula*, in groben Falten abhebbar. Der hintere, *M. occipitalis*, geht von der *Linea nuchae superior* aus; als seitliche Teile des *Epicranii* können auch im genetischen Sinne die zur Ohrmuschel verlaufenden rudimentären *Mm. auricularis anterior, superior und posterior* aufgefaßt werden. Die *Pars tendinea* (*Galea aponeurotica*) ist auf dem Scheitel derb sehnig, verliert aber diese Beschaffenheit an den Seitenteilen des Schädels, wo sie in c

Fig. 59.

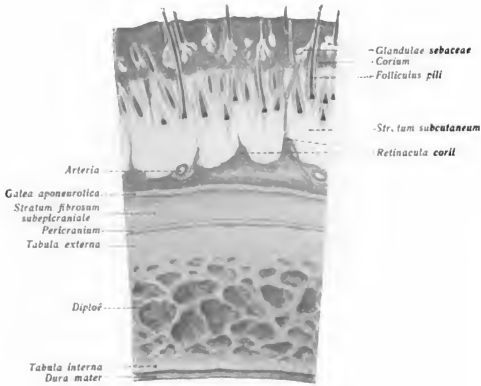


Fig. 61.

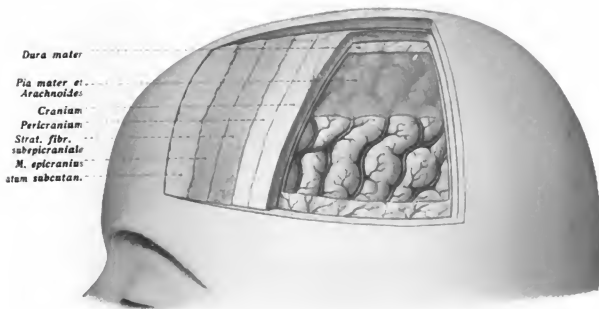


Fig. 60.

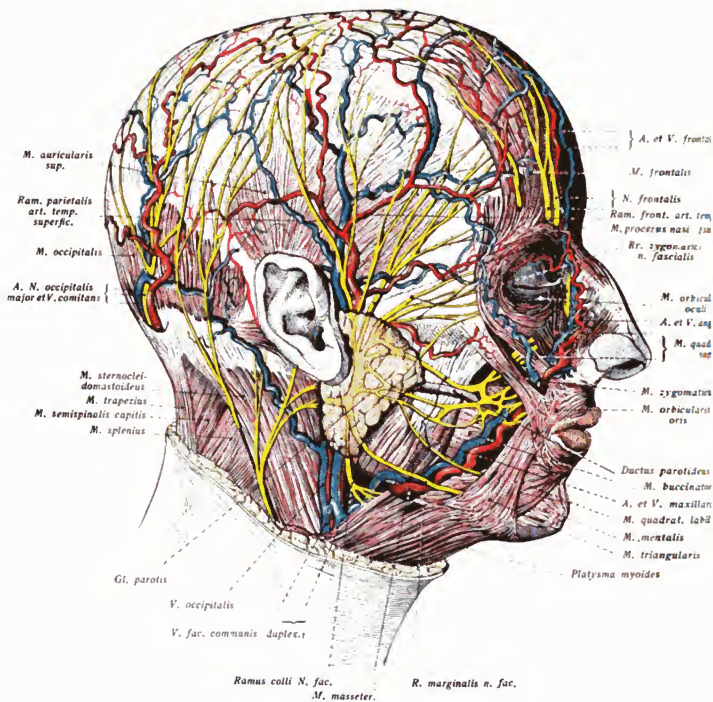


Fig. 60. Oberflächliche Gefäße und Nerven des Kopfes.

he des Margo supraorbitalis und der Linea temporalis mit dem Periost verwächst, aber h weiter nach abwärts zieht, um mit dünnen Platten in die Fascia temporalis überzu-  
zen.

Die Kopfschwarte ist *ausgiebiger, als irgendeine andere Stelle der Haut mit Blut ver-  
gt*. Es liegen hier ferner im Gegensatz zu dem sonstigen Verhalten Arterien, die in das  
be Unterhautbindegewebe fest eingelassen sind. Die Arterien geben auch reichlich Äste  
die Schädelkapsel ab.

Die Arterien der Kopfschwarte (s. Fig. 60 und 94) sind:

- |                                     |   |                                |
|-------------------------------------|---|--------------------------------|
| 1. Die A. temporalis superficialis; | } | aus der<br>A. carotis externa. |
| 2. die A. occipitalis;              |   |                                |
| 3. die A. auricularis posterior;    |   |                                |
| 4. die A. frontalis;                | } | aus der<br>A. carotis interna. |
| 5. die A. supraorbitalis.           |   |                                |

1. Die *A. temporalis superficialis* ist die gerade aufwärts gerichtete Fortsetzung der  
carotis externa; sie durchsetzt die Gl. parotis und steigt hinter dem Ramus mandibulae  
l dem Kiefergelenk aufwärts, läuft über den Jochbogen und teilt sich in wechselnder  
he (im Mittel 1,0 cm) über dem Jochbogen in ihren *Ramus frontalis* (oder anterior)  
l ihren *R. parietalis* (posterior). Ihre Hauptäste sind die in ihrer Ausbildung variierende  
transversa faciei (unterhalb des Jochbogens quer über den M. masseter nach vorn lau-  
d) und die schwächere (oberhalb des Jochbogens zur Gegend des äußeren Lidwinkels  
hende) A. zygomatico-orbitalis. Man fühlt die *Pulsation der A. temporalis* vor dem  
agus der äußeren Ohröffnung, an dem sie aus der Parotis austritt. In ihrer Begleitung  
läuft der N. auriculo-temporalis.

2. Die *A. occipitalis* (Fig. 93). Sie hat, nachdem sie den hinteren Umfang der Carotis ext.  
lassen hat, in einer (häufig fehlenden) Furche hinter dem Processus mastoideus des  
tätenbeins eine versteckte Lage unter den vier Muskeln, die am Processus mastoideus  
gen (M. sternocleidomastoideus, M. splenius, M. longissimus capitis, hinterer Biventer-  
sch) verläuft dann unterhalb der Insertion des M. splenius capitis und tritt neben  
r dorsalen Mittellinie durch die Sehne des M. trapezius gemeinsam mit dem N. occipi-  
is major auf den M. epicranii. Sie versorgt bei gut entwickeltem Emissarium masto-  
idum und E. parietale mit einem Ramus mastoideus und einem R. meningeus durch diese  
ide Emissarien hindurch auch die Dura mater.

3. Die relativ schwache *A. auricularis posterior* läuft vor dem Processus mastoideus  
ster dem Ohr aufwärts, gedeckt durch den M. auricularis posterior.

Die aus der *Carotis interna* stammenden Äste sind:

1. *A. frontalis* neben der Nasenwurzel aufwärts durch die Incisura frontalis ossis fron-  
lis und
2. *A. supraorbitalis*, lateral von der vorigen durch die Incisura supraorbitalis oder das  
ramen supraorbitale zur Haut der Stirn.

Beide anastomosieren mit den Ästen der A. maxillaris externa und (A frontalis) auch  
it der A. occipitalis.

Von den *Venen der Kopfschwarte* laufen nur die großen Stämme annähernd mit  
m ihnen entsprechenden Arterien; im übrigen gehen die Venenäste aus einem weit-

maschigen, auf der Galea gelegenen Netz hervor. Durch ihre Verbindungen nach innen (in den Emissarien) mit der Schädelhöhle und auch weil sie reichliche Äste aus der Schädelkapsel aufnehmen, gewinnen sie besondere Bedeutung. Wir bemerken:

1. *Vena frontalis*, häufig unpaarig, (die Zornesader) in der Stirngegend, mündet nach abwärts meist mit der *Vena angularis* des Gesichtes zusammen.

2. *Vena temporalis*, gewöhnlich hinter dem gleichnamigen Arterienstamm gelegen, sie geht in die *Vena facialis posterior* über.

3. *Vena auricularis posterior*, aus dem Gebiet der gleichnamigen Arterie, geht, ebenso wie die

4. *Vena occipitalis* in die *V. jugularis externa* über.

Die für die Ausbreitung von Entzündungen in der Kopfschwarte wichtigen *Lymphgefäße* treten 1. von der Gegend der Nasenwurzel und Glabella aus am oberen Augenlid und Orbitalrand entlang zu einer Lymphdrüse, die *typisch* subfaszial auf der Parotis liegt. Von hier aus strömt die Lymph teils in Lymphknoten, die tief in der Substanz der Parotis liegen, oder auch mit Umgehung dieser oberflächlichen Zervikalknoten (am vorderen Rande des *M. sternocleidomastoideus*);

2. von der oberen Stirn- und Schläfengegend ebendahin;

3. von höher gelegenen Teilen der Stirn- und Scheitelgegend zu Knoten zwischen Parotis und Gehörgang;

4. von einer Vertikalen ab, die man vor dem Ohr emporzieht, strömt die Lymphe hinter der Ohrmuschel zu den oberflächlichen Zervikalknoten, häufig kleine, auf dem Warzenfortsatz liegende Knoten vorher passierend;

5. vom Hinterhaupt meist zu seitlichen, tiefen Zervikalknoten (auf den *Mm. scaleni*). Eingeschaltete Knoten am Ursprung des *M. trapezius* fehlen häufig.

Auf dem Schädeldach *fehlen* Lymphknoten.

Die Nerven der Kopfschwarte (Fig. 60 und 94) sind motorisch (Äste des *N. facialis* zum *M. frontalis* und *M. occipitalis*) und sensibel. Letztere entstammen dem I. Trigeminusast (*N. frontalis* und *supraorbitalis*), dem III. Trigeminusast (*N. auriculo-temporalis* dem Plexus cervicalis (*N. occipitalis minor*) und dem Ramus posterior des 2. Zervikalnerven (*N. occipitalis magnus*).

Der *N. frontalis* (Fig. 106) aus dem *N. ophthalmicus* (Ramus I. n. trig.) wird 1 cm von der Mittellinie über dem medialen Lidwinkel am Supraorbitalrand gefunden, wo er die Augenhöhle verläßt, um zur Haut der Stirne zu gelangen. Der *N. supraorbitalis*, stärker als der vorige (gleichfalls aus dem *N. ophthalmicus*) und oft im Verlauf über den Supraorbitalrand in zwei Äste geteilt: er tritt durch das Foramen oder die Incisura supraorbitalis. Der *N. auriculotemporalis* (auch Fig. 99) [Ramus III. n. trig.] liegt zwischen der A. temp. superf. und der sie begleitenden Vene. Er versorgt die Haut der Schläfe und geht oft weit zum Scheitel empor. Er ist auch sekretorischer Nerv der Gl. parotis (*N. petr. sup. minor* und dem Ganglion oticum). Der *N. occipitalis minor* (Fig. 92) tritt meist am hinteren Rande des *M. sternocleidomastoideus* empor, während der *N. occipit. maj.* (Fig. 92) mit der A. occipitalis durch die Sehne des *M. trapezius* tritt und sich in mehrere Äste teilt, die bis zum Scheitel aufsteigen. Er ist in *derbes Bindegewebe eingeschlossen*. Man findet ihn hart neben den *M. trapezius* durchsetzenden A. occipitalis.

Das äußere Periost der Schädelkapsel, das *Pericranium*, ist dünn gegenüber der inneren (*Dura mater*). Es ist sehr gefäßreich und haftet nicht übermäßig fest an den Knochen mit Ausnahme der Nahtstellen, wo eine innige Verwachsung besteht. Es erhält seine Gefäße vorwiegend von den Gefäßen der Kopfschwarte, zum Teil auch von innen aus den Rami perforantes der *Dura mater* (s. S. 42).

## Anwendungen.

Die Beachtung der besonderen Verhältnisse der Weichteile des Schädeldaches ist zur sachgemäßen Verteilung und Behandlung zahlreicher Vorkommnisse gerade im alltäglichen Leben des praktischen Arztes nützlich. Hierher gehört die am behaarten Kopf besonders häufige Bildung von Atheromen (Ausgang der Haarbalgdrüsen), die Disposition des Erysipels der Kopfhaut, sich nach abwärts in die Haut der Augenlider und des äußeren Ohres fortzusetzen (Kontinuität des Stratum subcutaneum dieser Hautbezirke), die Verletzbarkeit von Entzündungsherden (die zwischen den straffen Retinacula eingepreßt liegen).

Die Faserspannung des Coriums, die am Kopf im allgemeinen der Faserrichtung der Hautmuskeln folgt und Wunden zum Klaffen bringt, kann sich auf dem Schädeldach nur geltend machen, wenn die Galea mit durchtrennt ist; auch dann folgen aber Haut und Galea öfters verschiedenem Zuge. Dagegen treten an der Stirn- und Schläfengegend auch oberflächliche Wunden, und zwar dort die horizontalen, dort die vertikalen. Da auch stumpfe Gewalt, wenn sie vorübergehend und mäßig einwirkt, den Schädel in einer Tangente berührt, können auch Quetschwunden linear und scharfrandig sein.

Die Starrheit des subkutanen Gewebes erschwert die Unterbindung von Gefäßen. Die reiche Vascularisierung der Haut begünstigt dagegen die Eingriffe bei plastischen Operationen. Die großen, zuführenden Arterien werden möglichst in die Stiele der Lappen eingeschlossen.

Ergüsse (seröse, eitrige, blutige) folgen in ihrer Ausbreitung den durch die Anatomie der Weichteile gegebenen Gesetzen. Sie können liegen

1. *Subkutan* („Beulen“). Diese können, da sie in der Kopfschwarte liegen, nie wesentliche Auswirkung gewinnen.

2. *Subaponeurotisch*, liegen zwischen Galea und Periost, im subepikranialen Gewebe, sie können sich leicht ausdehnen, bis sie die Verwachsung zwischen Galea und Periost erreichen (Margo supraorbitalis, Margo temporalis). Durchbrechen sie in der Schläfengegend diese Schranke, so bildet die weiter abwärts am Jochbogen) liegende abnormale Verlötung von Galea und Fascia temporalis die endgültige Grenze.

3. *Subperiostal* unterhalb des Periosts. Dies ist die Lage des *Kephalhämatoms*, das durch Geistesverletzung entsteht, meist über einem Scheitelbein. Es kann, da das Periost beim Neugeborenen mit dem Gewebe der Nähte verwachsen ist, nie über den Umfang des einzelnen platten Knochens hinausgehen. Im Gegensatz zu dieser Kopfblutgeschwulst ist die Kopfgeschwulst (Caput succedaneum) eine seröse Durchtränkung des subkutanen und subepikranialen Gewebes.

Für die Fortleitung von Entzündungen und die Lokalisation von Metastasen ist der oben beschriebene Lymphapparat von Wichtigkeit, besonders die leicht affizierbaren, für die Exstirpation schwierig zugänglichen Lymphknoten in der Parotis und zwischen ihr und dem Ohr. Diese Stellen können aber übergangen werden, es können unmittelbar die Zervikalknoten befallen werden, von wo aus Fortleitung in den tiefen Halslymphbahnen des Halses, neben der Vena jugularis interna stattfindet.

Wie Fig. 60 zeigt, treten die Hautnerven in einer Linie, die Augenbrauen und Protuberantia occipitalis externa umkreist, zum Schädeldach. Sie können hier also durch Lokalanästhesie leicht in beliebigem Abstande in dieser Linie oder weiter oberhalb erreicht werden. Diese Nerven versorgen nicht nur die Weichteile, sondern auch das Periost und die Knochen. Da die Dura mater nur gegen die Schädelbasis empfindlich und das Gehirn ganz empfindungslos ist, so gestattet die Lokalanästhesie der Weichteile des Schädeldaches weitgehend Operationen am und im Kopfe.

Die Lage des 1. Trigeminusastes (Exstirpation bei Trigeminusneuralgie) geht aus der Fig. 106 hervor: Die Austrittsstelle liegt senkrecht über dem inneren Rande der Hornhaut.

## V. Die Hirnhäute.

### *Dura mater.*

Das Rückenmark ist entsprechend der Beweglichkeit der einzelnen Wirbel gegeneinander von einer doppelten Lamelle der harten Haut umhüllt, deren äußere Periost des Rückenmarks, deren innere Schutz des Rückenmarks ist. Durch den Spalt des Epiduralspatium liegt das Rückenmark aller Zerrung durch die Bewegungen der Wirbelsäule entrückt: Die starre Schädelhaut hebt diese Sonderung auf. Die anfangs auch hier angelegten zwei Hüllen verschmelzen zu einer einheitlichen Haut. Im Epiduralspatium legen sich die Ge-

Fig. 62. Sinus Durae matris. Das Schädeldach ist mit Ausnahme einer median laufenden Leiste entfernt, so daß die Dura mit ihren Fortsätzen erhalten ist.

Fig. 63. Schematische Darstellung des Verhaltens der Hirnhäute im Bereiche des Sinus sagittalis superior und der Granulationes arachnoideales. (Aus dem Handbuch der Topographischen Anatomie von Frz. Merkel, Braunschweig Viewegs Verlag).

hirnvenen an, die demnach bei der Verlötung beider Blätter als *Sinus durae matris* ausgespart bleiben.

Die *Dura mater, harte Hirnhaut*, hat demnach eine *doppelte Bedeutung*: 1. für den Schädel, 2. für das Gehirn.

1. Für den *Hirnschädel* bildet die *Dura mater* das *innere Periost*. Da von diesem das Dickenwachstum des Knochens ausgeht, so ist die Dura bei dem Kind mit dem Schädeldach fest verwachsen, während sie bei Eröffnung der Schädelhöhle des Erwachsenen — nach Abschluß des Wachstums — unter Abhebung des Schädeldaches auf dem Gehirn zurückgelassen werden kann. Aber auch dann reißen die *zahllosen Gefäße, welche von der Dura in den Knochen treten, durch*. An der Basis haftet die Dura im allgemeinen fester, als an dem Dach, besonders an der Lamina cribrosa, der Sella turcica, dem Clivus und der Pars petrosa oss. temp. Legt man die herausgeschnittene Dura in Wasser, so sieht man die zahlreichen Gefäße an der *Außenfläche* der Dura, während die *Innenfläche* glatt erscheint und nur kapilläre Ausbreitungen enthält. In der Tat gehen auch *keine Gefäße aus der Dura zum Gehirn*. Sie ist von der darunterliegenden weichen Hirnhaut durch einen lymphherfüllten Spaltraum, das Spatium subdurale, vollkommen getrennt. Die Bedeutung der Dura als periostale Schicht zeigt sich deutlich auch darin, daß sie gelegentlich verknöchert.

Neben kleinen, praktisch bedeutungslosen *Arterien* (Aa. meningae anteriores [aus der A. ethmoidalis ant. der A. ophthalmica] und posteriores [aus der A. pharyngea ascendens] — gelegentlich ist der Ramus mastoideus aus der A. occipitalis relativ stark — ist das wichtigste arterielle Gefäß der Dura mater die aus der A. maxillaris interna (dem einen der beiden Endäste der Carotis externa) stammende *A. meningea media* (s. Fig. 41 und 73). Sie dringt durch das *Foramen spinosum* (s. Fig. 60) in die Schädelhöhle ein, läuft auf dem großen Keilbeinflügel in der Gegend seiner Nahtverbindung mit der Schuppe des Schläfenbeins nach vorn und oben und *teilt sich in wechselnder Entfernung von der Eintrittsstelle noch im Bereich der Basis des Schädels in ihren vorderen und hinteren Ast* (s. Fig. 73). Der vordere geht aufwärts dicht hinter der Kranznaht zur hinteren Stirngegend, der andere läuft bogenförmig über die Schläfenbeinschuppe fast horizontal nach hinten und mit seinen Ästen aufwärts an der Innenfläche des Parietale, wo er, wie die Arterien allgemein, die verschieden tiefen Sulci meningei arteriosi hinterläßt (s. S. 28). Die Äste der Arterie sind durch reichliche Anastomosen ausgezeichnet. Auch entsendet die Arterie Rami perforantes bis in die Kopfschwarte.

Über die Projektion der Arterie und ihrer Äste siehe weiter unten. Doch muß schon hier darauf hingewiesen werden, daß in seltenen Fällen die ganze A. meningea media intrakraniell aus der A. ophthalmica entspringt.

2. Dem *Gehirn* dient die *Dura mater* *erstens* als eine schützende und stützende *Hülle*. Als solche bildet sie die zwischen die Großhirnhemisphären eingelagerte *Großhirnsichel* Falx cerebri (Fig. 62, 66, 67), von der Crista galli bis zur Protuberantia occipitalis inferior und der oberen Fläche des Kleinhirnzeltels reichend. Dieses, das *Tentorium cerebelli* (s. auch Fig. 118), trennt die Occipitallappen des Großhirns von der oberen Fläche des Cerebelli.



Fig. 62.

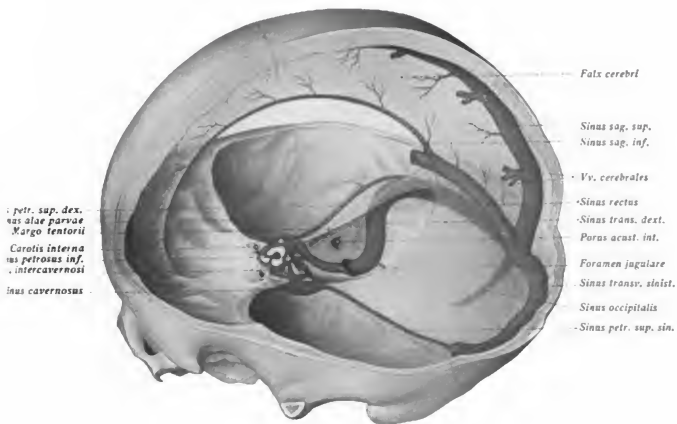


Fig. 63.

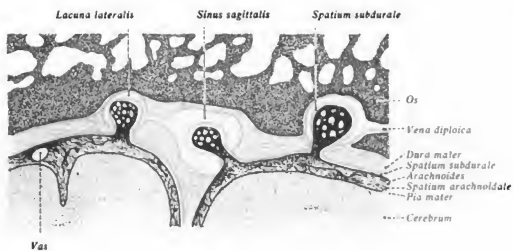


Fig. 64.

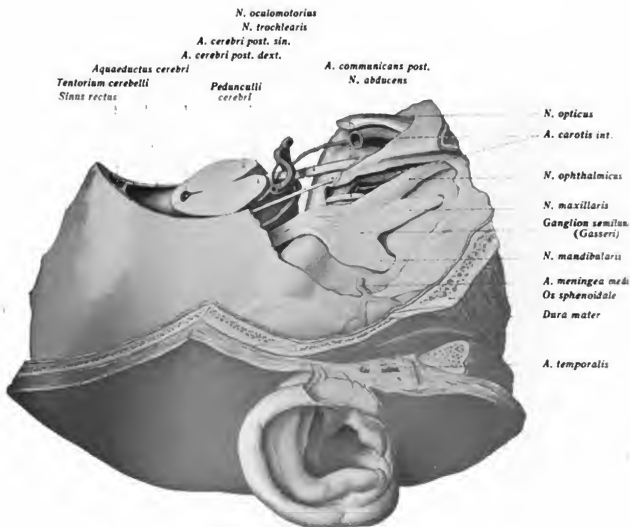


Fig. 65.

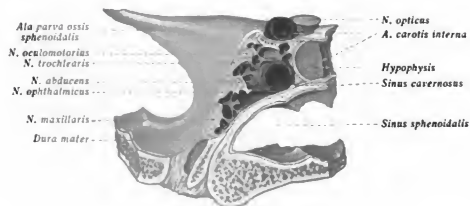


Fig. 64. Ganglion semilunare (Gasser) in der mittleren Schädelgrube nach Abtragung der Dura freigelegt.

Fig. 65. Frontalschnitt der Gegend des Sinus cavernosus.

n und ist längs der oberen Kante des Felsenbeins nach vorn bis zu dem Proc. clinoides sterior und anterior fixiert. Hinten entspricht seine Fixation dem Verlauf des Sulcus transversus. Dort, wo die Falx cerebri auf dem Tentorium aufruht, liegt der Sinus rectus, der sich nach vorn in die Vena cerebri magna fortsetzt. Will man Groß- und Kleinhirn voneinander trennen, so muß der Ansatz des Tentorium an dem Felsenbein vorher gelöst werden, da natürlicherweise das Kleinhirn nicht durch die nach Art eines schalenförmigen Spitzbogens gestaltete *Incisura tentorii* (s. Fig. 117), die die Hirnstiele (Pons und Medulla oblongata) durchtreten läßt, dem Großhirn folgen kann. Ein dritter, in seiner Ausbildung variabler Fortsatz der harten Hirnhaut, die *Falx cerebelli*, läuft längs der Crista occipitalis interna, der Furche zwischen den Kleinhirnhemisphären entsprechend (s. Fig. 67). Die Sella turcica wird mit der darin gelegenen Hypophysis durch das *Diaphragma sellae* der harten Hirnhaut gedeckt, das von dem Stiel der Hypophysis durchsetzt wird.

Eine zweite Bedeutung für das Gehirn gewinnt die Dura mater durch die Aufnahme des aus dem Gehirn abfließenden Blutes, das in den oben erwähnten venösen Sinus gesammelt wird. Die Sinus sind in der Dura gelegene starrwandige, klappenlose Blutgefäße, innen vom intimen Epithel der Gefäßwand ausgekleidet.

Unter den Hirnsinus sind für die topographische Anatomie besonders folgende hervorzuheben:

1. Der *Sinus sagittalis superior*, in exponierter Lage längs des Ansatzes der Falx cerebri (s. Fig. 62 und Fig. 67). Er tritt an der Protuberantia occipitalis interna, der Stelle des Confluentia sinuum, mit dem folgenden zusammen. Der Confluentia sinuum ist bei äußerlicher fühlbarer Protuberantia occipitalis externa (besonders beim Manne) seiner Lage nach leicht zu bestimmen, da er (innen) dicht oberhalb der Prot. externa liegt.

2. Der *Sinus transversus*, in seinem am Foramen jugulare liegenden Endabschnitt Sigmoides genannt, ist in einer, sehr oft rechterseits besonders tiefen Knochenfurche lagert (s. Fig. 66 und Fig. 83). Oft ist er nur durch eine dünne Knochenplatte von den Zellen des Warzenfortsatzes getrennt. Auch kann er sich von innen her sehr tief in den Processus mastoideus eindrängen (vgl. S. 48, 61, 65).

3. Der zu beiden Seiten des Keilbeinkörpers gelegene *Sinus cavernosus*. Seinen Namen hat er daher, daß er durch ein Balkenwerk von Bindegewebszügen in zahlreiche Höhlen, Kavernen, gesondert ist. Er liegt zu beiden Seiten des Türkensattels und erstreckt sich vorn bis zur Fissura orbitalis superior, seitlich bis jenseits des Foramen rotundum, hinten bis an die Spitze der Felsenbeinpyramide. Er wird dadurch wichtig, daß in ihm eingeschlossen die Art. carotis interna und die Nerven der Trigemini Gruppe liegen.

An der Schädelbasis erkennt man nach Herausnahme des Gehirns die Hirnnerven in ihrer Lage noch innerhalb des Duraalsackes (s. Fig. 14).

Ihre Austrittsstellen (vgl. oben S. 34) sondern wir in solche erster Ordnung (die Stellen, wo sie die Dura mater verlassen, auch primäre Austrittsstellen) und solche zweiter Ordnung (die Stellen, wo sie das knöcherne Kranium verlassen, auch sekundäre Austrittsstellen). Zwischen beiden liegt an einigen Stellen ein längeres extradurales Verlaufsstück. Die primären Austrittsstellen fallen mit den sekundären Austrittsstellen nur auf frühesten Stadien der Bildung des Primordialskeletts zusammen. Sie entsprechen hier zugleich den Stellen, an denen die Nerven den Schädel bei primitiven Wirbeltieren verlassen. Der Du-

salsack stellt annähernd den Umfang dieses primitiven Kraniums dar. Das knöcherne Kranium dagegen stellt in der Wirbeltierreihe keine konstante Größe dar. Bei den Säugtieren werden Bezirke zum Cavum cranii hinzugeschlagen, die bei anderen Wirbeltieren extrakranial liegen. Es ist dies 1. der Bezirk über der Lamina cribrosa, 2. der Bezirk des Sinus cavernosus (*Claupp*).

1. Der Bezirk über der Lamina cribrosa ist ursprünglich außen zwischen Augen- und

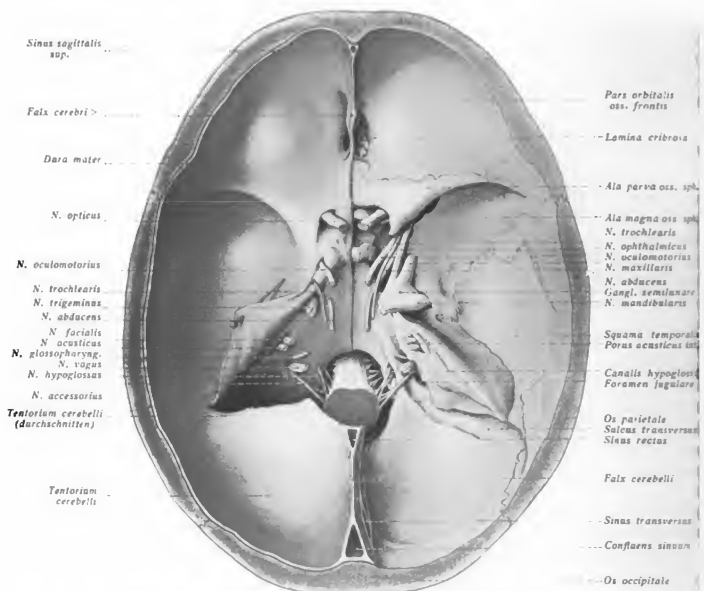


Fig. 66. Die Schädelbasis mit den Hirnnerven nach Herausnahme des Gehirns. Links ist die Dura mater erhalten und das Tentorium cerebelli eingeschnitten, so daß der Einblick in die hintere Schädelgrube möglich ist. Rechts ist die Dura entfernt, so daß die Durchtrittsstellen der Nerven durch die Basis sichtbar sind.

Nasenkapsel gelegen. Durch die Bildung der knöchernen Schädelwand wird er dem Cavum cranii einverleibt. So kommt der seltsame Verlauf des *N. ethmoidalis (anterior)* zustande, der durch das Foramen ethmoidale anterius aus der Orbita in die Schädelhöhle und von hier durch ein vorderes Siebloch in die Nasenhöhle tritt.

2. Der Bezirk des Sinus cavernosus ist gleichfalls ursprünglich Außenfläche. Die Nerven der Trigeminusgruppe und des Ganglion semilunare liegen anfangs nebst der

vischen ihnen hindurchgehenden Vena capitis lateralis (= Sin. cavern. S. 22) außerhalb des Schädels, um zwischen den knorpeligen Keilbeinflügeln hindurchzuziehen. So erklärt sich der lange extradurale Verlauf dieser Nerven, deren jeder in einem besonderen Kanälchen der Dura mater liegt. Den längsten extraduralen Verlauf besitzt der N. abducens. Sehr oft ist die Stelle am Klivus, über die der N. abducens hinwegzieht, knöchern umwandelt. Diese sog. „Abducensbrücke“ ist eine verknöcherte primäre Austrittsstelle, so daß in solchen Fällen der N. abducens zwei knöcherne Austrittsstellen besitzt (Voil).

Auch der *Canalis facialis* ist als extrakranielle Bahn aufzufassen. Die primäre Austrittsstelle des N. facialis aus dem Schädel ist der Porus acusticus internus. Der ursprüngliche Fazialiskanal öffnet sich da, wo der N. petrosus superf. major austritt (Hiatus canalis facialis). Der weitere Verlauf nach hinten und abwärts bis zum Foramen stylo-mastoideum entsteht im Zusammenhang mit der Bildung der Paukenhöhle. (Vgl. Fig. 15.)

Nur beim N. opticus, N. acusticus, den Nerven der Vagusgruppe und dem N. hypoglossus fallen primäre und sekundäre Austrittsstellen zusammen.

Die sekundären Austrittsstellen der Gehirnnerven sind oben (S. 34) beschrieben worden. Die primären sind (neben den sekundären) auf Fig. 66 dargestellt. Der Anfänger mache sich beim Studium dieser Figur und der dazu gehörigen Präparate klar, daß der Dural sack die Knochenöffnungen *völlig zudeckt* und nur soweit freiläßt, wie zum Durchtritt der Nerven, die er mit einer Scheide umgibt, nötig ist. Eine von Dura mater ausgekleidete Schädelbasis läßt sich also *nicht* ohne weiteres auf die knöcherne Basis (Fig. 66 rechts) beziehen. Der N. hypoglossus bietet, als einheitliches Stämmchen, nichts Bemerkenswertes. Die Nerven der Vagusgruppe treten einzeln durch kleine Öffnungen der Dura am vorderen Teil des — völlig verdeckten — Foramen jugulare. Der tief vom Rückenmark heraufziehende Stamm ist der N. accessorius. Der N. facialis ist drehrund und helllich und liegt in einer Halbröhre, die der grau erscheinende N. acusticus bildet. Beide Nerven treten mit der A. auditiva (aus der A. basilaris) in den inneren Gehörgang ein. Auf der Hinterfläche des Clivus liegt der Austritt des N. abducens. Hinter dem Proc. clivoides posterior liegt am freien Rande des Tentoriums die große Öffnung des Dural sacks, durch die der Trigeminus den Dural sack verläßt; weiter nach vorn, dicht neben der Spitze des Proc. clivoides posterior findet sich die stecknadelkopfgroße Öffnung für den N. oculomotorius. Zwischen ihr und dem Trigeminusloch tritt der N. trochlearis durch einen feinen Schlitz in sein Dura mater-Kanälchen ein.

Innerhalb des *Sinus cavernosus* lassen sich zwei Bezirke unterscheiden. Der mediale, oben dem Türkensattel gelegene enthält die Art. carotis interna und ihr unmittelbar seitlich angeheftet den N. abducens. Er liegt weiterhin am *tiefsten* unter den Nerven des Sinus cavernosus und zieht unter ihnen allen hinweg zum äußeren Teil der Fissura orbitalis.

Die *A. carotis interna* erleidet auf ihrem Verlauf durch und über den Schädelgrund vier Krümmungen: die *erste* liegt innerhalb des Canalis caroticus; sie ist nahezu rechtwinklig. Die *zweite* liegt dicht am Ende des Canalis caroticus; die Arterie tritt hier leicht nach aufwärts. Die *dritte* Krümmung liegt dicht daneben am Eintritt der Arterie in den Sinus cavernosus. Sie ist hier nach hinten konvex. Die *vierte* Krümmung liegt am vorderen Ende des Sulcus caroticus. Das Gefäß ist hier nach vorn konvex und wendet sich abwärts gegen das Gehirn. An dieser vierten Krümmung geht die A. ophthalmica ab.

Der seitliche Teil des Sinus cavernosus ist von den erwähnten Bindegewebsbalken durchzogen, die sich an die Gefäßscheide der A. carotis interna lateral und oben anheften so daß nur die mediale und untere Fläche des Gefäßes frei von venösem Blute umspült wird. In diesem seitlichen Bezirk liegt zunächst hinten das Ganglion semilunare, dann in das kavernöse Gewebe der lateralen Wand eingelagert, die Nerven III, IV und V, und zwar in der Reihenfolge, in der sie aus dem Gehirn entspringen, am weitesten oben der N. oculomotorius, dicht unter ihm der N. trochlearis, hierunter der erste, und am weitesten nach abwärts der zweite Ast des N. trigeminus. Der dritte Ast hat am Sinus cavernosus keinen Anteil mehr.

#### *Zirkulation in der Schädelhöhle.*

Außer den Vv. cerebrales münden in die Sinus die Vv. diploicae, Vv. auditivae internae aus dem Porus acusticus internus, Vv. meningaeae, V. ophthalmica superior und inferior und die Emissarien.

Es ergeben sich zwei Hauptabflußwege für das venöse Blut, nämlich durch das Foramen jugulare in die V. jugularis und durch die Orbitalvenen in das Gebiet der Antlitzvenen. Der wirksamste Abfluß ist der hintere. Die oft festzustellende stärkere Ausbildung des rechten Sinus transversus und sigmoides ist eine der Asymmetrien, die mit der Asymmetrie in der Ausbildung des Systems der V. cava superior überhaupt zusammenhängt. Nur die rechte der ursprünglich paarigen oberen Hohlvenen erhält sich. Hierdurch wird der Schwerpunkt für den Abfluß des Venenblutes auf die rechte Seite des Körpers verlegt.

Als Sicherungen für den ungestörten Abfluß des Venenblutes bestehen die Abflüsse durch den Knochen hindurch, und zwar 1. durch die Vv. diploicae und 2. unmittelbar nach außen durch die Emissaria.

#### *Weiche Hirnhäute und Pacchionische Granulationen.*

Die Arachnoides und die Pia mater stellen die Grenzlamellen einer einheitlichen bindegewebigen Hülle dar, die innerhalb der Dura mater das Gehirn umgibt. Zwischen den beiden Grenzlamellen ist ein Balkenwerk ausgespannt. Das äußere Blatt, Arachnoides, ist von der Dura mater durch den engen — im Wirbelkanal viel weiteren — Lymphgefäßkanal des Spalt des Spatium subdurale getrennt. Der von Balkchen durchzogene einheitliche Spalt zwischen Arachnoides und Pia, der sich leicht vermittelst eines unter die Arachnoides geschobenen Röhrchens mit Luftblasen füllen läßt, ist das vom Liquor cerebrospinalis angefüllte Spatium subarachnoidale. Auf der Höhe der Hirnwindungen sind Arachnoides und Pia mater inniger miteinander verbunden, aber doch voneinander trennbar. In den Sulci entfernen sich beide mehr voneinander. Denn während die gefäßlose Arachnoides die Sulci wenigstens an der oberen Fläche des Gehirns (s. weiter unten S. 51) zwischen den Windungen überbrückt, dringt die Pia als Trägerin der Blutgefäßverzweigung, der Oberfläche des Gehirns überall fest angelagert, in die Sulci ein. An manchen Stellen, besonders an der Basis, kommt es bei relativ großem Abstand zwischen Arachnoides und Pia zur Ausbildung tieferer Räume, der *Cysternae subarachnoideales*, z. B. über der Fossa interpeduncularis zur Bildung der Cysterna basalis. Subduralraum und Subarachnoidalraum stehen an keiner Stelle miteinander in Kommunikation, jedoch steht der Subarachnoidalraum

um in offener Verbindung mit dem Hohlraumssystem der Hirnventrikel, so daß also nach Öffnung des Subarachnoidealraumes der Liquor cerebrospinalis auch aus den Ventrikeln des Gehirns nach außen abträufeln kann.

Die Arachnoides entwickelt besonders in dem Bereich des Sinus sagittalis superior verschieden kräftig ausgebildete *Zotten*, die mehr oder weniger gruppenweise vereint in den Sinus oder in dessen seitliche, als *Lacunae laterales* bezeichnete Ausbuchtungen hineinwachsen. Nach Eröffnung des Sinus kann man sehen, wie sie in ihn hineinragen. Sie stellen normale Abflußstellen für den Liquor cerebrospinalis dar. Durch starke Wucherungen führen sie zur Bildung der *Granulationes arachnoideales* (*Pacchioni*), welche die Knochenüberflächen, die *Foveolae granulares*, ausfüllen (vgl. S. 28 und Fig. 43).

Hinsichtlich der Lage der Arachnoidealzotten ist zu bemerken, daß sie vor allem jederseits neben der oberen Kante des Großhirns besonders kräftig in der Nähe der Zentralwindung angeordnet sind. Sie flottieren dann im Blute des Sinus sagittalis superior und dessen *Lacunae laterales*. Sodann finden sie sich ohne Beziehungen zu diesem Blutleiter auf den seitlichen Bezirken der Hemisphären; diese sind es, die unter Durchbohrung der *Dura mater* in den Knochen einwuchern, um sich innerhalb der *Diploë* in eine *diploica* einzusenken unter Einbuchtung ihres Wandbelages. Endlich finden sich auch solche Zöttchen auch an der Basis des Gehirns, und zwar hier fast ausschließlich im Bereich der mittleren Schädelgrube. Stets suchen die Arachnoidealzotten das Venenblut auf. Innerhalb der Zotte liegt eine Ausbuchtung des Arachnoidealraums; dessen Liquor cerebrospinalis vermag durch die Arachnoides und das Epithel des Venensinus in die Blutbahn zu fließen.

## Anwendung.

Die mit Schädelfrakturen verbundenen Verletzungen der *A. meningea media* werden mit Recht als gefährlich angesehen. Denn nicht nur können — natürlich nur bei komplizierten Frakturen — erhebliche Blutungen nach außen entstehen, sondern es kann sich das Blut, wie das viel häufiger der Fall ist, zwischen Kieferknochen (extradural) oder in das Spatium subdurale (subdural) und bei gleichzeitiger Verletzung der Arachnoides in das Spatium subarachnoideale ergießen. Am häufigsten ist der extradurale Erfluß, bei dem es zu einer Ablösung der *Dura mater* im Bereich der *Fossa temporalis* kommt. Hämatome entstehen durch Verletzung nur des vorderen Astes, liegen mehr im Bereich der unteren Stirnwindungen, welche durch Verletzung des hinteren Astes im Bereiche des Scheitel- und Hinterhauptlappens. Da die intrakranielle Blutung erst nach „Selbsttamponade“ zum Stehen kommt, so entwickelt sich das klinisch bedeutsame Symptom, der Hirndruck, erst allmählich, nach dem sog. „freien Intervall“. Anatomisch erklärt sich aus der Lage des Hämatoms die Störung der motorischen Zone (*Gyrus praecentralis*). Hinsichtlich der Unterbindung der Arterie ist zu berücksichtigen, daß ihr Stamm, als an der Basis gelegen, nur schwer zugänglich ist und es sich besonders um die Freilegung des Gebietes der beiden Äste, besonders am häufigsten betroffenen vorderen Astes handelt. Die beiden Äste werden mit Hilfe der Krönlein-Linien gefunden. Diese sind (Fig. 73)

1. *Linea horizontalis auriculo-orbitalis* (verbindet unteren Orbitalrand mit oberem Rande des äußeren Gehörganges);
2. *Linea horizontalis supraorbitalis*, parallel mit der ersten durch den Margo supraorbitalis;
3. *Linea verticalis zygomatica*, steht senkrecht auf der Mitte des Jochbogens;
4. *Linea verticalis articularis* steht senkrecht auf dem Kiefergelenk;
5. *Linea verticalis retromastoidea* steht senkrecht auf dem hinteren Ende des Warzenfortsatzes.

Die Trepanationsstelle für den vorderen Ast liegt am Schnittpunkt von 2 und 5, die für den hinteren Ast am Schnittpunkt von 2 und 3. Trotz variablen Verlaufes der Äste gibt dies Schema einen sicheren Anhalt, da die Hauptaufgabe der Operation die Ausräumung des Hämatoms ist.

Man kann den hinteren Ast auch direkt 2 cm über der äußeren Ohröffnung freilegen. Die seitlichen Anastomosen der Äste erfordern bei einer Unterbindung des Hauptastes natürlich *doppelte* Ligaturen.

Verletzungen der Sinus durae matris treten leicht ein bei Verletzungen der Schädelkapsel, *sind jedoch relativ ungefährlich*, da die Blutung leicht gestillt wird und nur in Ausnahmefällen von dem eröffneten Sinus aus Luft in die Gefäßbahn eintritt. Gefährlicher ist natürlich die vollständige Perforation eines Sinus nach innen mit *Bluterguß in den Subduralraum* und den Erscheinungen des Hirndrucks. Die Lage des Sinus sagittalis superior begünstigt die Vornahme intravenöser Injektionen bei Säuglingen.

Beim Erwachsenen erfordert die mediane Lage dieses Sinus Berücksichtigung bei Trepanation in der Scheitelgegend, Punktionen, Balkenstich.

Die Lagebeziehung des Processus mastoideus zum Sinus transversus erklärt, daß der Sinus im Anschluß an eine auf den Warzenfortsatz von dem Mittelohr fortgepflanzte Eiterung nicht selten miterkrankt (Sinusthrombose). Von außen gelangt man auf den Sinus von einem Punkte aus, der an der Basis des Processus mastoideus 2 cm in horizontaler Richtung nach hinten vom hinteren Rande der äußeren Ohröffnung gelegen ist. Der zum Aufsuchen mehrfach benutzte hintere Rand des Processus mastoideus kann nicht für alle Fälle als Orientierungslinie gebraucht werden, da die wechselnde Größe des Processus mastoideus und die sehr verschiedenen tiefe Incisura digastrica dieses Fortsatzes zu Täuschungen führen können. Man kann so zu *weit nach vorn* und dadurch in die Pars petrosa des Schläfenbeins gelangen (vergl. S. 43, 61, 65).

Da der Sinus cavernosus nur durch eine sehr dünne Knochenplatte von den luftgefüllten, in die Nasenhöhle ausmündenden Sinus sphenoidales getrennt wird (s. Fig. 65. und S. 90), erklären sich gelegentlich beobachtete tödliche Blutungen aus der Nase infolge *Ruptur des Sinus cavernosus und der in ihm gelegenen Karotis nach Frakturen der Schädelbasis*. Die Verletzung der Karotis in dem Sinus, die aus von vorn her durch die Fissura orbitalis superior hindurch möglich ist, kann zur Bildung eines *Aneurysm arterio-venosum* und zu einer sich daran anschließenden Stauung in der V. ophthalmica superior führen. Indem sich die Pulsationen der Karotis so auf die Venenstauung in der Augenhöhle fortpflanzen und der Bulbus nach vorn drängen, kommt es zu dem Symptom des *pulsierenden Exophthalmus*. Die Verbindung von Sinus cavernosus mit Sinus transversus durch den Sinus petrosus superior erklärt den gelegentlich beobachteten *Übergang der Sinusthrombose des Sinus transversus auf den Sinus cavernosus*. Andersseits kann von vorn her eine Thrombose der V. ophthalmica superior sich nach hinten auf den Sinus cavernosus ausdehnen.

Bei *Freilegung des Ganglion (Gasseri) am Lebenden* zur Exstirpation bei sehr hartnäckigen Trigeminusneuralgien von der Schläfengegend aus unter vorsichtigem Aufwärtsdrängen des Schläfenlappens des Großhirns ist außer der A. meningea media (Unterbindung) vor allem der Sinus cavernosus mit der Carotis interna gefährdet. Die Exstirpation des Ganglions führt neben der Beeinflussung der Sensibilität, der kleinere motorische, dem Ganglion dicht angelagerte Teil des Nerven zugleich entfernt wird, zu einseitiger Kaumuskellähmung; auch sind Hirndruckserscheinungen nach der Operation nicht selten. Leicht zugänglich als das ganze Ganglion ist der Stamm des Trigeminus kurz vor dem Eintritt in das Ganglion.

Aus dem Verlauf der Hirnnerven in und auf der Basis folgt ohne weiteres, daß bei Fraktur oder Karies der Basis dieser oder jener Nerv in Mitleidenschaft gezogen werden kann und daß aus den Störungen, welche in dem Gebiet bestimmter Nerven zur Beobachtung kommen, Rückschlüsse auf den Sitz der Erkrankung gewonnen werden können. Hier kommen besonders in Betracht: Störungen im Gebiet des N. facialis (Gesichtsmuskellähmung) und N. acusticus bei Frakturen oder Karies des Felsenbeins; ferner des N. abducens, N. oculomotorius, N. trochlearis, N. trigeminus und N. opticus bei Verletzungen im Bereiche des Sinus cavernosus. Außer Lähmungen der Augenmuskeln kommt klinisch die Anästhesie der Kornea als Symptom einer Schädigung des N. ophthalmicus in Betracht. Für die Lösung der Aufgabe, den Sitz einer Schädigung des N. opticus festzustellen, ist es wesentlich zu wissen, daß die ungekreuzten Fasern die temporale Seite, die gekreuzten die nasale Seite der Netzhaut versorgen. Schädigung der gekreuzten Bahnen, die zur bitemporalen Hemianopsie führt, ist das wesentlichste Symptom für Hypophysentumoren. Aus dem sub- und intraduralen Verlauf der Nerven ergibt sich auch, daß an der Hirnbasis gelegene Tumoren, indem sie die Nerven komprimieren oder an die Schädelbasis andrücken, zu *verschiedenen, manchmal hochgradigen Druckscheinungen* in dem Gebiete der betreffenden Nerven führen müssen. So werden Störungen im Bereich des Geruchs- und Gesichtssinns



ter Umständen auf Tumoren im Bereich der vorderen *Schädelgrube*, Druckerscheinungen im Gebiet des Ganglion semilunare (Gasser) und Augenmuskelerkrankungen auf Sitz in der *mittleren Schädelgrube* hindeuten lassen. Findet Kompression des Stammes des Trigeminus vor dem Eintritt in die Dura und keine solche des VI. bis XII. Hirnnerven an der Basis statt, so erlaubt dies ebenso, wie Symptome im Bereich der Brücke und des Kleinhirns, einen Schluß auf Sitz der Erkrankung in der *hinteren Schädelgrube*. Da die Teilung des fünften Hirnnerven in seine drei Äste noch *innerhalb* der Schädelhöhle liegt, können die Äste *einzelne* bei Erkrankungen an der Innenfläche der Basis Störungen unterliegen.

Hinsichtlich der Arachnoidealzotten ist auf die erst in neuerer Zeit bekannt gewordenen sogenannten „physiologischen Hirnhernien“ hinzuweisen, die in vielen Fällen *normale* Sektionsbefunde darstellen. Es handelt sich um kleine Flöckchen von Hirnmasse, die nach der Herausnahme des Gehirns der *mittleren Schädelgrube* (nur da!) in Grübchen der Schädelbasis stecken bleiben. Sie stecken gewöhnlich in einem Überzug der Arachnoidea, während, im Gegensatz zu pathologischen Hirnhernien, die *Pia mater*, über dem Flöckchen fehlt. Sie bildet einen Ring, durch den die Gehirnmasse (normale Hirnmasse) hindurchtritt. Oft stehen diese physiologischen Hernien neben Pacchionischen Granulationen, oft ist auch eine Pacchionische Granulation in ihrem basalen Teil von Hirnsubstanz erfüllt. Die Bedeutung und Entstehung dieser Gebilde ist noch dunkel.

## VI. Topographie des Gehirns.

### 1. Eingliederung in den Schädelraum.

Durch das *Tentorium cerebelli* (s. Fig. 45, 66, 117, 130a) wird der von dem Hirnteil des Schädels umschlossene Raum in zwei, *nur an der Incisura tentorii miteinander zusammenhängende Räume getrennt*: der größere vordere entspricht an der Basis der vorderen und mittleren Schädelgrube und nimmt das Großhirn auf, der kleine hintere enthält das Kleinhirn, die Brücke und das verlängerte Mark und umfaßt das Gebiet der hinteren Schädelgrube. An einem durch den Hinterkopf — nach hinten von der Incisura tentorii — gelegten Frontalschnitt (s. Fig. 67) entsteht das eigenartige Bild von *vier scheinbar nicht miteinander zusammenhängenden Räumen*, indem die Groß- und Kleinhirnsichel mit dem einhinzelt eine kreuzförmige Scheidewand bilden, die die Hemisphären des Groß- und Kleinhirns gegenseitig abgrenzt. Man mache sich die Richtung eines solchen Durchschnittees bei Betrachtung anderer Bilder (Fig. 66) klar.

In der *vorderen Schädelgrube* (Fig. 68) liegt der *Frontallappen* des *Großhirns*; hier oben auf der dünnen Pars orbitalis des Stirnbeins die Gyri und Sulci orbitales den Grund der starken Ausbildung der Joga cerebrales und der Impressiones digitatae. Medialwärts ruht auf der Lamina cribrosa der *Bulbus olfactorius*, der hier die Fila olfactoria in die Nasenhöhle sendet.

Die *mittlere Schädelgrube* nimmt den *Schläfenlappen* auf. Sein hinterer und lateraler Teil tritt in wichtige Lagebeziehung zu dem Dach des Mittelohrs (Tegmen tympani). Hier in der mittleren Schädelgrube ist vorn medial die wichtige Stelle, wo das große *Ganglion semilunare* mit seinen drei Hauptästen gefunden wird (s. S. 45). Der hintere Rand des einen Keilbeinflügels entspricht der zwischen Stirn- und Schläfenlappen gelegenen tiefen *ossa cerebri lateralis* (Sylvii). In dem schmalen medianen Teil der mittleren Schädelgrube liegt vorn das *Chiasma nervorum opticorum*, das die Nn. optici entsendet. Weiter hinten bettet sich die *Hypophysis cerebri* in die Fossa hypophyseos der Sella turcica ein.

In der Incisura tentorii fällt der sogenannte *Isthmus cerebri*, der ventral durch die Hirnstiele, dorsal durch die Corpora quadrigemina gebildet wird. Auf dem Tentorium liegen die *Okzipitalappen* des Großhirns; die untere Fläche des Tentorium deckt die

Fig. 68. Gehirnbasis mit den 12 Hirnnerven und Hirnarterien in dem horizontal durchsägten Schädel gelegen.

obere des *Kleinhirns*, dessen Hemisphären die tiefsten Teile der *hinteren Schädelgrube*, die Fossae occipitales, in geschützter Lage ausfüllen. Auf dem Klivus liegt die *Brücke* derart, daß ihr vorderer Rand *fast* die Höhe des Dorsum sellae turcicae erreicht und sie selbst ungefähr die beiden oberen Drittel des Klivus in Anspruch nimmt; auf dem unteren Klivus drittel bis zum Foramen occipitale magnum ruht der vordere Teil der *Medulla oblongata*, die sich nach abwärts bis zum oberen Rand des hinteren Atlasbogens erstreckt. Der Me

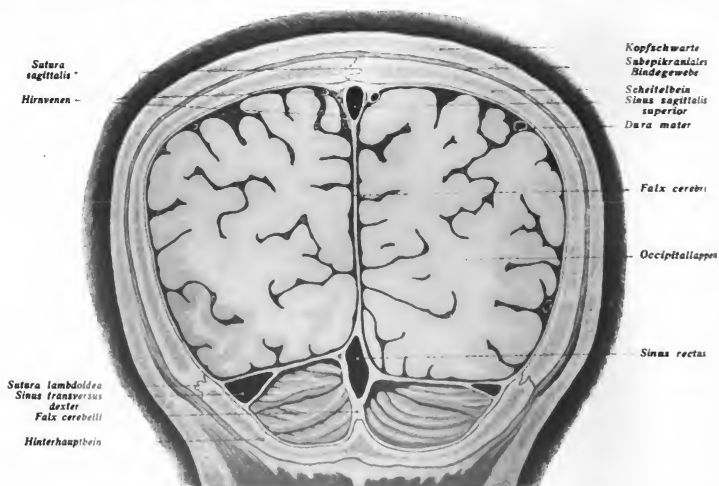


Fig. 67. Frontalschnitt durch den Hinterkopf (Gefrierschnitt). Ansicht von vorn. Der Schnitt trifft die Falx cerebri, Falx cerebelli und Tentorium cerebelli derart, daß sich vier scheinbar getrennte Räume in der Schädelhöhle finden, in denen die beiden Großhirn- und die beiden Kleinhirnhemisphären sichtbar sind.

dianschnitt (s. Fig. 129) lehrt die *fast vertikale Stellung* der Brücke und der Medulla oblongata. Auch beachte man, daß das Großhirn äußeren Verletzungen viel mehr ausgesetzt ist, als das geschützter liegende Kleinhirn.

## 2. Kraniozerebrale Topographie.

Die untere Grenze des Gehirns, auf die Außenwand des Schädels projiziert, liegt in einer Linie, die durch die Margines supraorbitales und die Protuberantia occipitalis externa (Inion) verläuft. Nur der Schläfenlappen liegt unterhalb dieser Linie.

Das Gehirn ist im Schädel *schwebend* aufgehängt, und zwar schwebend im Liquor des Arachnoidalraumes. Schwebend wird es erhalten durch die Bälkchen, die sich zwischen

Fig. 68.

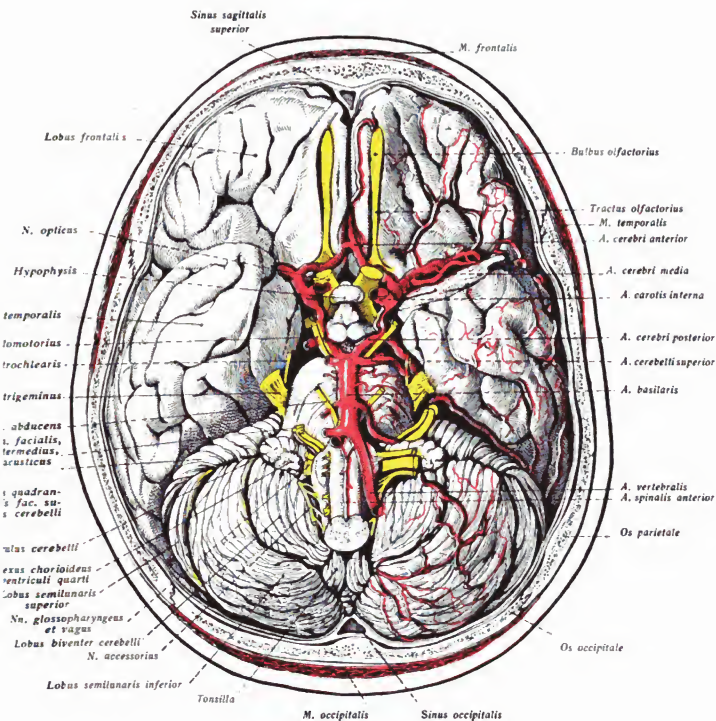


Fig. 69.

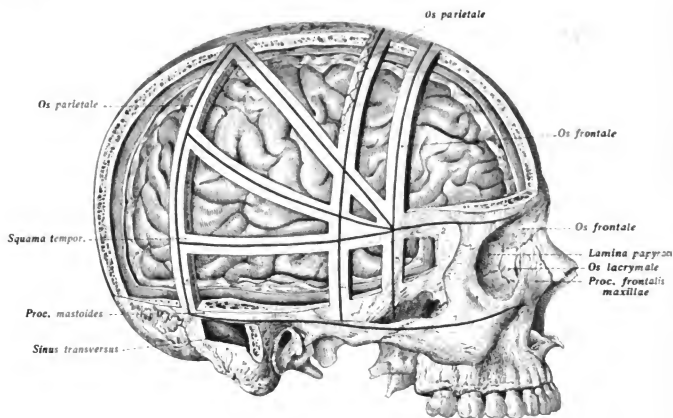


Fig. 70.

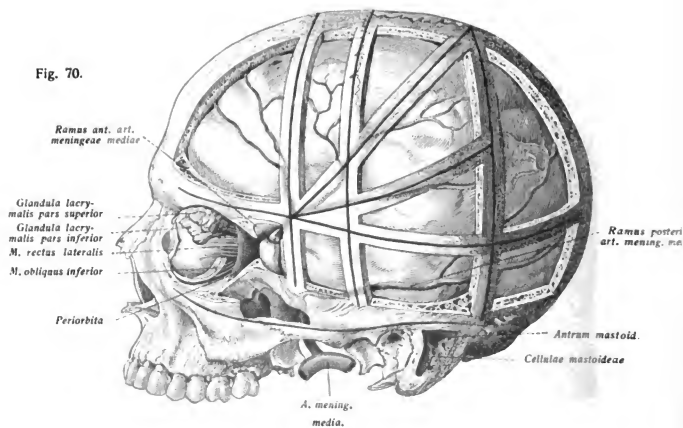


Fig. 69 u. 70. Schädel (konserviert durch Einspritzung starker Formollösung in die A. femoralis) mit herausgehenden Spangen, die den Krönleinschen Linien entsprechen. Ansicht von links zeigt bei erhaltener Dura mater die Aus-  
 ng des Gehirns, Situs des Bulbus oculi mit Periorbita und Tränendrüsen, Antrum mastoideum, Zellen des Warzen-  
 zes und den Verlauf der A. meninges media, Ansicht von rechts die Lage des Gehirns.

hnoides und Pia ausspannen. Nur an der oberen Fläche zieht die Arachnoides glatt  
 die Furchen und Windungen hinweg; an den Seiten und der Basis senkt sie sich  
 ein Weniges in die Furchen ein, wiederholt also bei praller Füllung des geschlos-  
 sen Subduralraumes vergrößert das Windungsrelief. Auch die Oberfläche der Arachnoides  
 hrt die Innenfläche des Schädels nicht, ist vielmehr durch die Dura mater und den  
 luralraum davon getrennt. Die an der Oberfläche des Gehirns verlaufenden Arterien

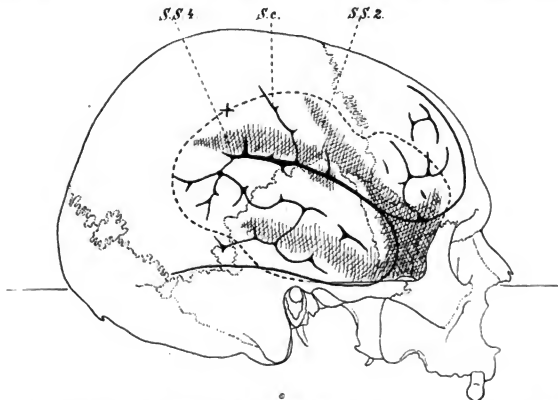


Fig. 71. Kraniozerebrale Topographie nach Fr. W. Müller (Archiv f. Anat. u. Physiol. 1908).  
 Der Schädel ist auf die Ohr-Augenhorizontale orientiert. Die Grenzen der Schädelknochen sind  
 punktiert. Durch + bezeichnet ist die Stelle des Tuber parietale. Schraffiert ist die im Text  
 erwähnte Grube im Bereich des großen Keilbeinflügels, unten eine nach hinten ziehende Furche,  
 die im Allgemeinen der 1. Schläfenfurche des Gehirns entspricht. Die mit SS<sub>1</sub> und SS<sub>2</sub> bezeich-  
 neten, schraffierten Flächen stellen zwei Grenzfälle von Einsenkungen des Schädeldaches dar, also  
 variable Mulden am Schädeldach, in die die Grube ausläuft. Es kann also die Mulde entweder  
 steil (SS<sub>1</sub>) oder gebogen (SS<sub>2</sub>) verlaufen. Nur im letzteren, sehr seltenen Falle, würde sie sich  
 mit dem Ramus posterior der Fossa Sylvii decken. Es ist also allein aus dem Windungsrelief  
 der Schläfengegend des Schädels kein Schluß auf die Lage der Fossa Sylvii möglich. Sc. =  
 Sulcus centralis. Für dessen Projektion gilt natürlich das Gleiche.

also vor Kompressionen geschützt, wenn sich das Gehirn unter dem Einfluß der Puls-  
 e gegen die Schädelwand bewegt. Diese Pulsation findet ihren Ausgleich in der  
 hnoidealflüssigkeit, die nach dem Rückenmark hin ausweichen kann. Die Joga cere-  
 a und Impressiones digitatae sind nicht unmittelbare „Abdrücke“ des Gehirneliefs,  
 vielmehr Produkte der unter gleichmäßigem Druck rhythmisch die Schädelwand treffen-  
 Arachnoides. Durch diese Joga und Impressionen werden innerhalb der einzelnen

Schädelgruben, in denen die Hauptlappen fixiert sind (s. oben), die einzelnen Bezirke des Arachnoides und mit ihr des Gehirns wiederum für sich festgelegt. Verschiebungen des Arachnoides gegen die Dura selbst werden dadurch verhindert (Fr. W. Müller).

Eine Übereinstimmung des Windungsreliefs des Gehirns mit äußerlich am Schädel abtastbaren Furchen und Wölbungen besteht demnach als Regel *nicht* (Fig. 71). Wo aber gibt es einige wenige tastbare Unebenheiten, die im Groben Beziehungen zum Gehirn besitzen, obwohl auch sie nicht bei allen Menschen gleich gut ausgebildet sind. Bei Kindern und Frauen sind sie oft leichter nachweisbar als bei Männern, wo die ebenfa-

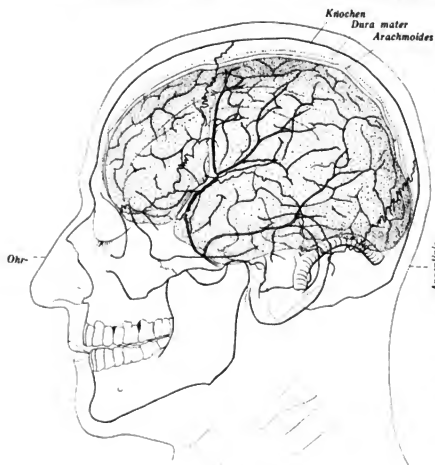


Fig. 72.

tenwand des Schädels liegen, als später. Das Scheitelbein reicht beim Kinde relativ weiter nach abwärts, die Schuppe des Schläfenbeins ist niedrig und liegt nicht in der Seitenwand des Schädels, sondern gehört der Schädelbasis an; der M. temporalis bedeckt daher eine sehr viel schmalere Fläche als später. Die Schläfenbeinschuppe und der M. temporalis steigen mit zunehmendem Schädelwachstum in die Höhe und schieben sich dabei über die Gehirnoberfläche hinweg.

Eine Lokalisation der Gehirnoberfläche auf der Schädelwand ist durch die wenig konstanten abtastbaren Unebenheiten aber nur in großen Zügen möglich. So verläuft die Fossa Sylvii von der oben erwähnten Grube sanft nach rückwärts gebogen bis unterhalb des Tuber parietale. Die mehr oder weniger abgerundete Spitze des Schläfenlappens (Folius temporalis) liegt hinter der oben erwähnten Grube im großen Keilbeinflügel. Einige Anhaltspunkte gewähren dann weiterhin folgende Beziehungen. Es liegt

als Vorsprünge abtastbaren Vorsprünge des M. temporalis das Gehirnrelief vordecken. Im Bereich des großen Keilbeinflügels, nahe dem Scheitelbein ist konstant eine Grube abtastbar (Fig. 71), die über sich im Bereich des Stirnbeins und unter sich, also im Bereich der Schuppe des Schläfenbeins und Scheitelbeins eine wulstige Hervorragung abgrenzt. Diese Grube entspricht der Stelle der Fossa Sylvii, die breit zwischen Stirn- und Schläfenlappen liegt (Trunc. foss. S. 5). Der obere Wulst entspricht dem Gyrus frontalis III, der untere Wulst dem Gyrus temporalis I und II. Letzterer kann bei manchen Menschen auch gesondert als starker Wulst durch den M. temporalis hindurchgetastet werden. Konstant ist auch die Lage des Tuber parietale unter dem Gyrus supramarginalis. Dieser Punkt ist zugleich der einzige, der bereits beim Kinde diese Lage besitzt, während im übrigen beim Kinde ganz andere Teile des Gehirns unter den Knochen der S-

- Die Teilung der Fossa Sylvii in einen  
Ramus anterior und posterior . . . 4,0—4,5 cm über der Mitte des Jochbogens.
- Das untere Ende des Sulcus centralis etwa 5 cm senkrecht über dem Kiefergelenk.
- Der Gyrus frontalis I und II . . . unter dem Tuber frontale.
- Die Fissura parieto-occipitalis . . . 6 cm oberhalb der Protuberantia occipitalis externa (mit dem Zirkel gemessen).

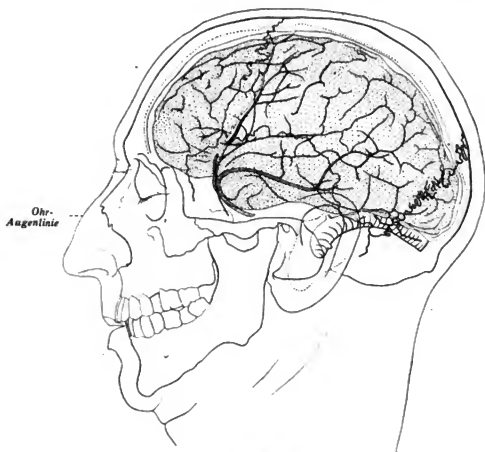


Fig. 73.

Fig. 72, 73. Frontopetaler Typus der Gehirnlage bei kurzem Schädel (Fig. 71) und occipitopetaler Typus bei langem Schädel (Fig. 72). Nach *Froriep*. Man studiere diese Bilder im Einzelnen durch, indem man die Lage identischer Bezirke (Zentralfurche, Fossa Sylvii usw.) und die Lage der gleichen Gefäße (A. meningea, Sinus transversus) zum Skelett prüft.

Diese Angaben (*Froriep*) haben indes nur relativen Wert und bedürfen in jedem Falle der *Korrektur nach den Verhältnissen der Schädelform*. Bei langen Schädeln mit stark nach hinten vortretendem Hinterhaupt liegt das Gehirn mehr nach hinten und abwärts gesenkt (occipitopetaler Typus, s. Fig. 73), während bei kurzen Schädeln, wenig nach hinten vortretendem Hinterhaupt und nach aufwärts schauender Protuberantia occipitalis externa das ganze Gehirn (Fig. 72) nach vorn verschoben liegt (frontopetaler Typus). Unter „langen“ und „kurzen“ Schädeln ist hier nur die *absolute Länge* verstanden, während der Längen-Breitenindex, d. h. ob Lang- oder Kurzschädel, keinen Einfluß besitzt.

Wichtig ist dagegen das Maß, das die Entfernung der *Protuberantia occipitalis externa* vom äußeren Gehörgang angibt. Die Unterschiede in der Lage des Gehirns können in äußersten Fällen, wie die Figuren zeigen, beträchtlich sein. Sie kommen am besten zum Ausdruck in dem Verlauf der unteren Grenze. Diese verläuft im ersten Grenzfall, wie ihn Figur 72 dartut (frontopetaler Typus) so, daß sie mit der horizontalen einen nach unten offenen Winkel von  $10^\circ$  bildet, im zweiten, wie ihn die Figur 73 zeigt (occipetaler Typus), mit der gleichen Linie einen nach vorn offenen Winkel von  $15^\circ$ . Lage der Gehirne in den beiden Schädeln zeigt im ersten Falle die höchste Erhebung unter dem Tuber parietale mit steilem Abfall nach hinten, im anderen Falle liegt unter der Koronarnah und senkt sich in sanftem Bogen nach hinten. Die Zentralfurche steigt im ersten Falle steil empor, im anderen Falle geht sie schräg nach hinten. Grenzfälle differieren hier um einen Winkel von  $11^\circ$ .

### Anwendung.

Für das praktische Bedürfnis werden all diese Bestimmungen am besten durch das Krönleinsche Schema zusammengefaßt (s. oben und Fig. 69). Verbindet man den Schnittpunkt der Linien 2 und 3 mit dem Punkt, wo die Linie 3 den Scheitel schneidet, so erhält man Zentralfurche. Halbirt man diesen Winkel, den diese Linie mit der Linie 2 bildet, so erhält man die Verlaufsrichtung der F. Sylvii. Der von den Linien 1, 2, 3 und 5 eingeschlossene rechteckige Bezirk enthält dann den Schläfenlappen (Abszesse. Eindringen in die mittlere Schädelgrube). Auf diese Weise ist es möglich, sich die Eröffnung der Schädelhöhle über die Lage der Hauptgebiete des Gehirns klar zu werden, um je nach der Indikation die Stelle der Eröffnung zu bestimmen. Die exakte Anlage des Liniensystems wird durch besondere Apparate erleichtert.

Das Kleinhirn ist einseitig oder doppelseitig nach Abtragung der Nackenmuskulatur und bestimmter Teile der Hinterhauptsschuppe zugänglich. Beim Eingriff am Knochen soll die Lage des Transversus beachtet werden. Um ihn zu schonen, darf man die Höhe des Processus mastoideus aufwärts nicht überschreiten (Fig. 78).

Die Lokalisationsverhältnisse der Großhirnrinde sind durch das Studium der Kopfverletzungen im Kriege in vieler Hinsicht genauer bekannt geworden, als es bis dahin der Fall gewesen ist (Klein). Die beifolgenden Skizzen geben das klinisch Wichtige wieder (Fig. 74, 75).

Die *Stirnwindungen* enthalten vor allem Apparate, die im Dienste der *Affekte* stehen. Affektstörungen folgen den Verletzungen dieser Zone. Abnorme Haltungen und zwangsmäßige Ausdrucksbewegungen sind an Verletzungen oberer oder tieferer Teile des Stirnhirns geknüpft. Die 3. Stirnwindung (*Broca*) enthält Apparate zur Regelung des Gebrauchs der motorischen Zentren, insbesondere solche für die benachbarten Zentren des Gesichts und der Zunge. Diese sind *einseitig links* (bei Rechten) ausgebildet.

Die *vordere Zentralwindung* enthält die motorischen Zentren (Ursprünge der Pyramidenbahn) gruppiert nach Gelenkgebieten; es folgen sich vom Scheitel ab nach abwärts Zehen- und Fußgelenk, Knie- und Hüftgelenk; dann Hals und Rumpf, Schulter- und Ellbogengelenk, Handgelenk, ulnare und radiale Finger, Gesichtsmuskeln, Zunge. Im obersten Teil der Zentralwindung und im Lob paracentralis liegt das Zentrum für die Regelung der Harnentleerung. — Die kinetischen Engramme der Handfertigkeiten liegen beiderseits in der vorderen Zentralwindung. Die das Handeln der linken Hemisphäre regelnden Anleitungen, die dem rechten Gehirn zufließen, stammen aus dem linken Scheitellappen oder aus Balkenfasern des linken Scheitellappens oder dem Balken selbst (und umgekehrt).

Am hinteren Rande der *Zentralfurche*, bereits der *hinteren Zentralwindung* angehörig, ist Schmerz- und Temperatursinn lokalisiert, während in der hinteren Zentralwindung, auch noch den Sulcus paracentralis überschreitend, Gelenk- und Berührungsempfindlichkeit lokalisiert ist, zu oberst für Fuß- und Unterschenkel, dann Oberschenkel, dann Rumpf, dann Oberarm, Unterarm, Hand, Daumen, Trigemini. Der hintere Teil des Scheitellappens enthält oberhalb des Endes der Fossa Sylvii Apparate, deren Schaltung zu Bewegungslosigkeit oder Bewegungsarmut mit Katalepsie führt.





Im Lobulus parietalis superior und inferior liegt hinter der sensiblen Zone eine Zone für den Muskelsinn. Auch diese scheint nur einseitig links entwickelt zu sein.

Im *Schläfenlappen*, und zwar im Gyrus temporalis superior, mehr vorn, liegt das Zentrum für das Wortsinverständnis weiter hinten ein solches für den Sprachimpuls.

Der *Hinterhauptslappen* enthält auf beiden Lippen der Fissura calcarina die Lokalisation der Optikusbahn, und zwar oberhalb der Fissur für die aus der unteren Hälfte der Netzhaut stammenden Reize, unterhalb ihrer für die aus der oberen Hälfte des Gesichtsfeldes. Die von der Makula stammenden Reize scheinen in der Tiefe der Fissura calcarina selbst lokalisiert zu sein.

Unterhalb dieses Sehentrums wird das Zentrum für die Verengerung der Pupille vermutet. Die optisch-räumlichen Erinnerungsbilder werden im Cuneus lokalisiert, können auch in 10 Prozent der Fälle auf die Konvexität des Hinterhauptslappens übergreifen.

Im *Gyrus supramarginalis*, dort wo Scheitel- Schläfen- und Hinterhauptslappen zusammenstoßen, scheinen Apparate für das Denken vorhanden zu sein. Rechenstörungen sind hier lokalisiert. Für das Rechnen hat die linke Hemisphäre kein Übergewicht. Das höhere (produktive) Rechnen als höhere optische Funktion ist wohl im Hinterhauptslappen lokalisiert.

### 3. Innere Topographie des Gehirns. (Fig. 79, 80.)

Die für den Klinikisten wichtigsten Verhältnisse deren Kenntnis unerlässlich ist (Lokalisation des Sitzes von Geschwülsten, Blutungsherden usw.), seien hier kurz zusammengestellt.

1. *Lage der Pyramidenbahn.* Sie sammelt die von den Pyramidenzellen der vorderen Zentralwindung ausgehenden Nervenfasern. Die vom oberen und seitlichen Teil der Zentralwindung kommenden Fasern reichen bis ins Rückenmark (kortiko-spinale Bahn), die von den Zentren für Gesicht, Zunge usw. kommenden endigen an den Ursprungskernen der motorischen Gehirnnerven (kortiko-bulbäre Bahn). Die kortiko-bulbäre Bahn tritt in der Medulla oblongata auf die kontralaterale Seite über und endet in den motorischen Kernen der Gehirnnerven. (Über die kortiko-bulbäre Fazialisbahn s. unten Seite 73.) Die kortiko-spinale Bahn erleidet eine unvollständige Kreuzung (Pyramidenseiten- und Pyramidenvorderstrang). Die gesamte Pyramidenbahn liegt zunächst in der weißen Substanz des Centrum semiovale und tritt in einige Bündel gesondert, in die *innere Kapsel*. Hier liegt genau im Kern die Bahn des N. hypoglossus dicht davor die des Fazialis. In den vorderen zwei Dritteln des hinteren Schenkels liegt die kortiko-spinale Bahn. Weiter nach abwärts liegt die Pyramidenbahn in der Mitte des Hirnschenkelfußes.

2. *Lage der Schleifenbahn.* Wichtig ist vor allem die sog. *mediale Schleife*. Sie ist das Gegenstück zur Pyramidenbahn, indem sie die mit den hinteren Wurzeln in das Rückenmark eintretenden Reize zum Gehirn leitet. Die langen, aus dem Rückenmark aufsteigenden Bahnen sind solche für Berührungs-, Schmerz-, Temperaturempfindung an Rumpf und Extremitäten und solche für den Muskelsinn der gleichen Gebiete. Erstere (zweites Neuron) kreuzen sich und liegen im Seitenstrang. Sie führen die in die graue Substanz des Rückenmarks (erstes Neuron) gelangten Reize weiter nach aufwärts, letztere endigen in den Hinterstrangkernen der Medulla oblongata (erstes Neuron) und laufen (zweites Neuron) sich kreuzend in der Medulla oblongata weiter. Hier treten die zweiten Neurone der sensiblen Hirnnerven hinzu. Das ganze Bündel der zweiten sensiblen Neurone bildet die mediale Schleife. Sie liegt im Dach des Hirnschenkels und endet im ventralen Teil des Thalamus. Die von hier ausgehenden Bahnen verbinden den Thalamus mit der Körperfühlsphäre im Scheitellappen und der hinteren Zentralwindung. Diese das dritte Neuron bildenden Bahnen liegen teils im hinteren Drittel des hinteren Schenkels der inneren Kapsel, teils durchsetzen sie den Linsenkern.

Die laterale Schleife, die hauptsächlich zentrale Akustikusbahn ist, tritt zum Corpus geniculatum mediale und hinteren Vierhügel, von wo ein Endneuron zum Gehörzentrum zieht, ebenfalls in den hintersten Teil der inneren Kapsel liegend.

3. Bahnen, die das Stirnhirn mit der Brücke verbinden (frontale Brückenbahn), liegen im vordersten Teil der inneren Kapsel und im medialen Teil des Hirnschenkelfußes. Bahnen, die Scheitel- und Hinterhauptslappen mit der Brücke verbinden, liegen im hinteren Teil der inneren Kapsel und im seitlichen Drittel des Hirnschenkelfußes. Sie sind sensibel und ziehen nach Umschaltungen in der Brücke in die kontralaterale Kleinhirnhemisphäre. Im hintersten Teil der inneren Kapsel liegt endlich die von da in den Occipitallappen ausstrahlende *Schbahn*.

Das *Kleinhirn* ist das Tonusorgan des Körpers. Es steht mit allen zentripetalen Bahnen, die uns die Lage des Körpers im Raum orientieren (Muskel-, Gelenk- usw. Empfindungen, N. vestibularis, Muskeln usw.) in Verbindung und besitzt zentrifugale, auf die Innervation der Muskeln einwirkende Bahnen. Von den drei Stielen des Kleinhirns führen die Brückenarme und Corpora restiformia zentripetalen Bahnen, während die zentrifugalen durch die Bindearme gehen; weiterhin liegt in der Bahn der Nucleus ruber. Dessen Bahnen, vor allem der Tractus rubro-spinalis, schließen sich an.

#### 4. Gefäße des Gehirns.

Die *arteriellen Zuflußbahnen für das Gehirn* liegen in der A. vertebralis und der A. carotis interna und bilden an der Basis des Gehirns den in der Cisterna basalis der weichen Hirnhaut gelegenen typischen *Circulus arteriosus (Willst)* (s. Fig. 68).

Die A. vertebralis tritt, bald nach ihrem Ursprung aus der A. subclavia (s. Fig. 164, 179, 183), in das For. transversarium des Querfortsatzes des 6. Halswirbels, durch die Querfortsätze aller nach oben sich anschließenden Halswirbel, verläuft in dem aus art. vert. des Atlas medianwärts (Fig. 92, 93), durchbohrt die Membrana atlantooccipitalis posterior, dann die Dura, gelangt vor die Medulla oblongata und vereinigt sich an ihrem vorderen Rande mit der gleichnamigen Arterie der anderen Seite zu der A. basilaris. Diese liegt in dem Sulcus basilaris des Pons und teilt sich an dem vorderen Rande der Brücke in ihre Endäste, die beiden Artt. cerebri posteriores.

Die A. carotis interna (s. Fig. 94, 162, 174), in der Höhe des oberen Schildknorpels aus der Teilung der Carotis communis hervorgegangen, läuft, ohne Äste abzugeben, neben der lateralen Wand des Pharynx zur Schädelbasis, von der Carotis externa durch die Mm. styloglossus und stylopharyngeus getrennt. Ihr Verlauf durch die Schädelbasis ist bereits oben beschrieben worden (Seite 45).

Nach Durchtritt durch die Dura gelangt die Carotis interna in den Winkel zwischen Tractus opticus und Tractus opticus an die Basis des Gehirns (s. Fig. 68). Hier teilt sie sich in die Hauptsätze, die A. cerebri anterior und die A. cerebri media.

Die von der A. vertebralis (A. basilaris) zum Gehirn verlaufenden Hauptäste sind:

1. A. cerebelli inferior posterior, aus der A. vertebralis zur unteren Kleinhirnhirnfläche.
2. A. cerebelli inferior anterior aus der A. basilaris zur unteren Kleinhirnhirnfläche.
3. A. cerebelli superior; entsteht aus der A. basilaris am vorderen Brückenrand und stellt sich an der oberen Kleinhirnhirnfläche.
4. A. cerebri posterior, der paarige Endast der A. basilaris, von der vorigen durch N. oculomotorius am Ursprung getrennt, zum Hinterhauptlappen und dem größten des Schläfenlappens. Mit der A. carotis interna ist sie durch die A. communicans posterior verbunden.
5. A. auditiva interna aus der A. basilaris, die durch den Meatus auditorius internus in das innere Ohr gelangt.

Von der Carotis interna verlaufen zum Gehirn:

1. A. cerebri anterior; sie läuft dorsal vom N. opticus, diesen kreuzend, medialwärts und nach vorn zu der gleichnamigen Arterie der anderen Seite, mit der sie sich durch die A. communicans anterior verbindet; sie umzieht dann das Genu corporis callosi und läuft auf dem Balken, diesen versorgend, nach hinten und verästelt sich an der medialen Hemisphärenfläche.
2. Die A. cerebri media; dringt in die Fossa cerebri lateralis (Sylvii) ein und tritt in den Mittel-, Scheitel- und Schläfenlappen sowie zur Insel.

Fig. 78. Kleinhirn von hinten her durch Abrägung des Hinterhauptbeins freigelegt; Sinus transversus, *du pia mater*.

Fig. 79. Schema der Pyramiden- und Schleifenbahn unter Zugrundelegung des Schemas von Hermann mit ringen Modifikationen. (Aus dem Lehrbuch der Topographischen Anatomie von Frz. Hermann.)

Fig. 80. Schema der Schleifenbahn nach Hermann.

3. *A. chorioidea*; läuft längs des Tractus opticus nach hinten zum unteren Horn Seitenventrikels, um in den Plexus chorioideus lateralis einzutreten.

4. *A. communicans posterior* s. oben.

Die *Venen* des Gehirns, deren Übergang in die Sinus oben besprochen wurde, laufen nicht in Begleitung der Arterien, sondern *unabhängig* von ihnen. Dies Verhältniß ist in der Entwicklungsgeschichte der Sinus begründet (s. oben S. 22). Teils zieht er aufwärts zum Sinus sagittalis superior, teils zu dem Sinus der Basis. Aus dem letzteren tritt nach hinten in den Sinus rectus die *V. cerebri magna* (Galen), die aus dem Zusammenfluß der in die Tela chorioidea des 3. Ventrikels eingeschlossenen *Vena chorioidea* und der *V. terminalis* entsteht.

### Anwendung.

Die aus der *A. cerebri* stammenden, zur Hirnrinde gehenden Äste treten nicht in nennenswerter Anastomose und sind als *Endarterien* aufzufassen. Hieraus folgt, daß bei Verschuß eines Astes (B. durch Embolie) das von dem Ast versorgte Rindengebiet außer Ernährung gesetzt wird. Störungen in dem innervierten Teile sind die Folge.

Der *Circulus arteriosus Willisii*, der ja entwicklungsgeschichtlichen Vorgängen sein Dasein dankt (S. 21, 109), reicht als Mittel zur Ausgleichung von Druckschwankungen nur bei jugendlichen Personen hin. Nicht aber genügt er, um die schweren Folgen aufzuhalten, die sich an einseitiger Unterbindung der *A. carotis interna* älterer Leute angeschlossen haben, so daß in der Praxis vor dem Eingriff gewarnt wird. Dagegen ist einseitige Unterbindung der *A. vertebralis* statthaft.

## VII. Gehörgang.

An den knorpeligen Gehörgang grenzt *vorn* die *Gl. parotis* mit ihrem als *Processus retromandibularis* bezeichneten Teil. Die *vordere* und untere Wand des knöchernen Gehörganges ist von der dünnen Platte der *Pars tympanica* (*Os tympanicum*) des Schläfens gebildet. Sie ist gleichsam die Scheidewand zwischen dem Kiefergelenk und dem äußeren Gehörgang (s. Fig. 83), gemeinsam mit der vorderen Wand des knorpeligen

*K* Knorpel.  
*i. S.* = incisura Santorini.  
*m. t.* Trommelfell.  
*a + b* = knorpeliger,  
*c* = knöcherner Gehörgang.

Fig. 76. Metallausguß des äußeren rechten Ohres von oben und Fig. 77 Querschnitte des äußeren Gehörganges (letztere mit Maßangaben des großen und kleinen Durchmessers nach Bezold). Der Ausguß in der Stellung gezeichnet, als ob er aus dem rechten Ohre herausgezogen wäre. (Nach Brühl).

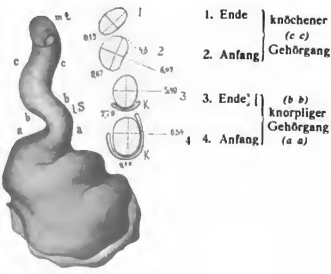
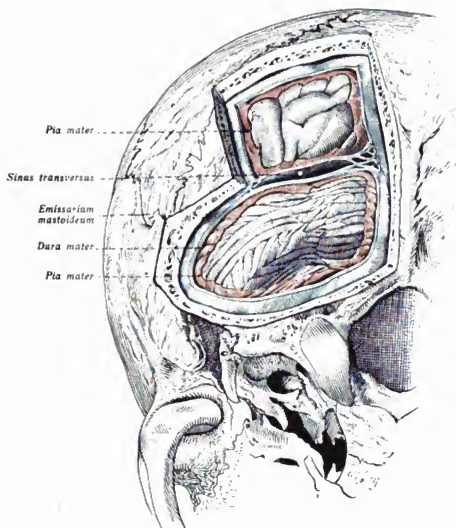


Fig. 76 77.

hörganges. Von dieser Beziehung überzeugt man sich leicht, indem man den kleinen Finger in den Gehörgang führt und gleichzeitig lebhafte Bewegungen ausführt. Man fühlt dann durch den knorpeligen Gehörgang hindurch deutlich die Bewegungen des Unterkiefers im Gelenk. Die obere Wand trennt den Gehörgang von der mittleren Schädelgrube und ist von spongiöser Knochensubstanz gebildet.

Fig. 78.



79.

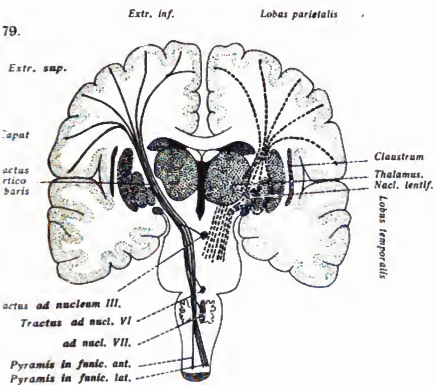


Fig. 79 80.

Fig. 80.

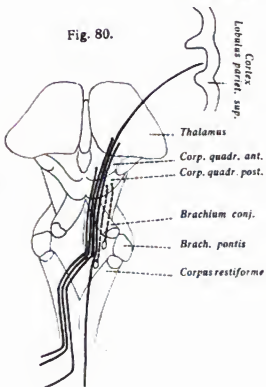


Fig. 81.

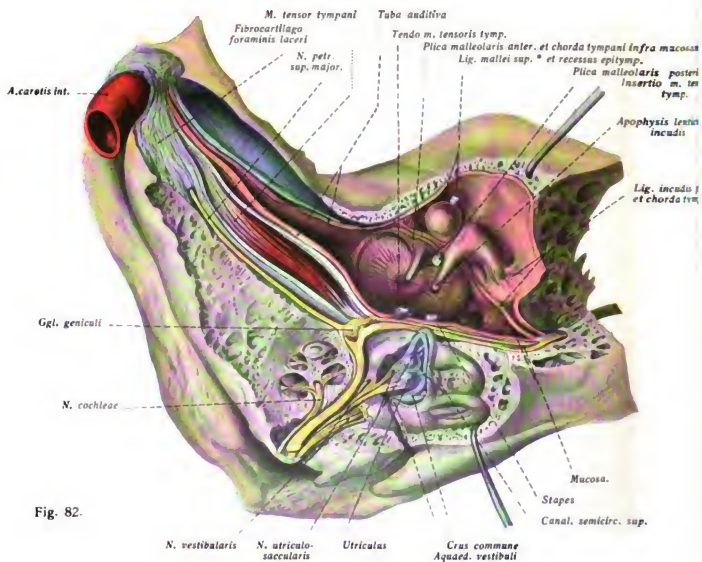
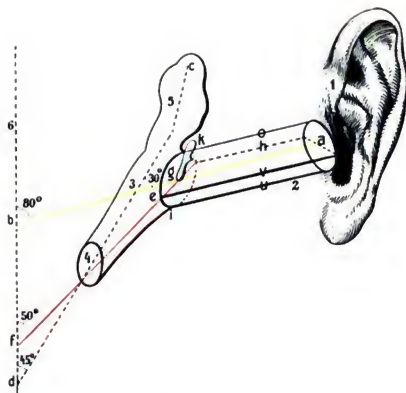


Fig. 82.

Fig. 81. Schematische Übersicht über die Lage des Gehörganges im Schädel: Linkes Gehörorgan von vorne gesehen (nach Brühl). 1. Ohrmuschel, 2. Gehörgang, 3. Paukenhöhle, 4. Tuba Eustachii, 5. Antrum, 6. Medianebene, o obere, u untere, v vordere, h hintere Gehörgangswand, a b Gehörgangsschneise, c d Antrum—Pauken—Tubenachse, e f Durchschneider der nach vorn verlängerten Trommelfellebene, g Schnittpunkt der Gehörgangsschneise mit dem Trommelfell, k i vertikale Trommelfellschneise. (Nach Brühl.)

$\angle$  g e f b = Deklination des Trommelfells ( $50^\circ$ ),

$\angle$  a g k = Inklination des Trommelfells ( $45^\circ$ ).

Fig. 82. Situs des Inneren und Mittelohres. Das Präparat war in Formalin gehärtet und ist dann in Salzsäure entkalkt worden. Die Zeichnung gibt die Verhältnisse eines rechten Gehörganges wieder; die Sehne des *M. tensor tympani* durchgeschnitten, der Stapes vom Incus gelöst. Die vordere Hälfte des weichen Präparates ist nach vorn, die hintere nach hinten herangezogen, um die Tuba auditiva zu demonstrieren.

licht selten setzen sich die Cellulae mastoideae in die obere Wand fort. Die *hintere Wand* des knöchernen Gehörganges ist sehr verschieden stark; oft ist sie nur eine dünne Knochenlamelle, so daß die Zellen des Warzenfortsatzes dicht angrenzen (s. Fig. 83, 86).

Die Abbildung 76/77 zeigt die Krümmungen des rechten äußeren Gehörganges, von denen die mit a und b bezeichneten dem knorpeligen, die mit c bezeichnete dem knöchernen Gehörgang angehören. Um beide Teile des Gehörganges in eine Ebene zu bringen, muß man demnach die Ohrmuschel nach hinten und oben ziehen.

Das *Trommelfell*, das die innere Wand des Gehörganges und zugleich die äußere Wand der Paukenhöhle bildet, liegt im Kopf so, daß 1. beide Trommelfellebenen sich vorn in einem Winkel von  $50^\circ$  schneiden (Deklination s. Fig. 81, Winkel zwischen *later* Linie und gestrichelter Medianlinie)

und 2. sich beide Trommelfellebenen *unten* in einem Winkel von  $45^\circ$  schneiden (Inklination; s. Fig. 81 Winkel zwischen gelber und blauer Linie). In den Umfang des Trommelfelles ragen die schlanken Teile der Gehörknöchelchen hinein (Hammergriff, der in der Mitte des Trommelfells verwachsen ist, *Umbo*, Processus brevis und langer Ambossfortsatz), während die Hauptteile der beiden Knöchelchen und das Hammer-Ambossgelenk oberhalb des Trommelfells liegen. Die Unterscheidung des linken und rechten Trommelfells ergibt sich aus der Lage des *Hammergriffs* (Stria malleolaris). Am rechten Trommelfell liegt er rechts oben, am linken links oben.

Die Ausdehnung des *Mittelohres* (Paukenhöhle, *Cavum tympani*) in *querer Richtung* ist sehr gering, so daß die laterale Wand der Paukenhöhle, d. h. das Trommelfell, in der medialen Wand an der engsten Stelle nur ungefähr 2 Millimeter entfernt ist. Nach aufwärts treten die Wände weiter auseinander.

An der Paukenhöhle haben wir *sechs Wände* zu unterscheiden, die als äußere und innere, vordere, untere, hintere und obere bezeichnet werden können. Ganz exakt ist das nicht, da auch die innere Wand der Paukenhöhle sowie das Trommelfell Inklination und Deklination besitzt. Die „äußere“ Wand sieht also eigentlich schräg nach vorn und unten und so weiter.

Die seitliche Wand bildet das Trommelfell; die *mediale* Wand wird von der knöchernen Umwandung des Labyrinths gebildet (Promontorium mit Fenestra vestibuli, in der die Fußplatte des Steigbügels beweglich angeheftet ist, und Fenestra cochleae, einer membranösen verschlossenen Öffnung in der Wand der Scala tympani). Der vorderen Wand liegt das Knie des Canalis caroticus nahe. Die Arterie liegt im Canalis caroticus im Felsenbein (s. S. 45) und ist im Bereich der *rot* (Fig. 88) dargestellten Gegend nur durch eine dünne Knochenlamelle von der Paukenhöhle getrennt. Die vordere Wand ist

an der medialen Seite unvollständig, da hier die *Tuba auditiva* in die Paukenhöhle einmündet. Die untere Wand wird von der Unterfläche der Felsenbeinpyramide gebildet, besonders von dem Teil dieser Fläche, der sich der *Bulbus* der V. jugularis anlegt. Dicht auswärts von dieser mündet der *Aquaeductus cochleae* aus.

Nicht selten ist die an der unteren Fläche des Felsenbeins gelegene *Fossa jugularis*, welche den oberen *Bulbus* der V. jugularis aufnimmt, so stark ausgebildet, daß dadurch die mediale und die untere Wand der Paukenhöhle bedeutend verdünnt und durchscheinend, gelegentlich sogar durchbrochen werden. Diese Stelle war in dem Präparat der Fig. 86 stark ausgebildet. Sie ist blau hervorgehoben.

Die hintere Wand der Paukenhöhle bildet die Verbindung zu den lufthaltigen Räumen des Warzenfortsatzes, deren niemals fehlender das *Antrum mastoideum* ist (Fig. 70). Die obere Wand endlich ist das sehr dünne, in der mittleren Schädelgrube gelegene Dach

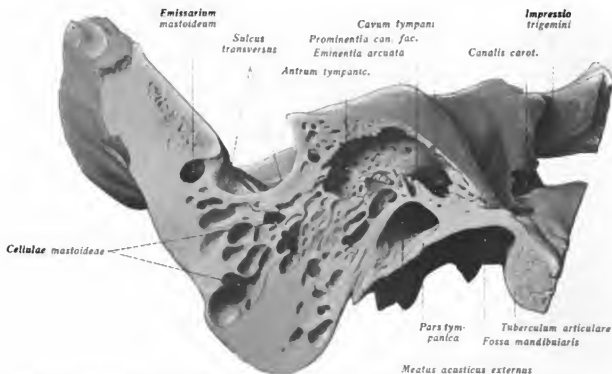


Fig. 83. Sagittalschnitt durch den Warzenfortsatz, äußeren Gehörgang und die Fossa mandibularis.

des obersten, als Kuppelraum (*Recessus epitympanicus*) bezeichneten Teiles der Paukenhöhle, das *Tegmen tympani*. Es deckt auch noch einen Teil des *Antrum mastoideum*. In der Platte des *Tegmen tympani* finden sich gelegentlich kleine Lücken. Dann grenzt die Schleimhaut der Paukenhöhle unmittelbar an die *Dura mater*.

Die *Cellulae mastoideae* sind lufthaltige Räume, die sich an das *Antrum mastoideum* anschließen. Beim Neugeborenen ist nur das *Antrum* vorhanden; es kann zeitlebens einziger Hohlraum bleiben. Meist entstehen (bis zum Ende des dritten Lebensjahres) daraus die Zellen des Warzenfortsatzes, die sich nach hinten (bis zum *Sulcus sigmoides*) und ins Hinterhauptbein erstrecken, nach abwärts bis in die Spitze des Warzenfortsatzes, nach oben und vorn bis in den *Proc. zygomaticus*. Die *Tube* und das *Antrum* liegen in einer geraden, die Paukenhöhle durchsetzenden Linie (vgl. Fig. 85), die schräg gegen die Schädelbasis abfällt.



Die Figur 83 macht eine praktisch wichtige Lagebeziehung des Warzenfortsatzes im Durchschnitt deutlich. Man sieht die nahe Lagebeziehung des (den venösen Sinus transversus aufnehmenden) Sulcus transversus zu den Cellulae mastoideae. Deutlicher noch ergibt sich diese Lagebeziehung aus den Fig. 87—89. Sie sind nach Präparaten gezeichnet, in denen die äußere Wand des Warzenfortsatzes und ein Teil seiner Zellen bis auf die *Außenwand des Sulcus transversus* fortgenommen sind. Der Verlauf dieses Sulcus ist durch die Einzeichnung des (natürlich an der Innenfläche des Präparates) verlaufenden Sinus transversus (sigmoides) in blauer Farbe hervorgehoben. Der Sinus und der Sulcus transversus kann so weit in den Processus mastoideus vorspringen, daß er seine Außenwand fast *berührt* und nur durch eine dünne Knochenschicht nach außen gedeckt wird. Die Lagebeziehung des Sinus transversus zum Proc. mastoideus ist zunächst insofern wechselnd, als der Sinus an der Innenfläche des Processus sehr verschieden weit herunter reicht (vgl. Fig. 48 und 49). Ferner fällt auch der Sinus bald mehr in den Bereich des Processus, bald



Fig. 84 (nach Brühl).

1. Hypotympanum; 2. Mesotympanum; 3. Epitympanum (innere Abt.); 4. Hammer und Amboß; 5. membr. Strappelli; 6. lig. mal. lat.; 7. laterale Hammer-Amboßfalte; 8. lig. mal. sup.; a Prussakscher Raum; b untere, c obere Hammer-Amboßbucht (äußere Abt. des Epitympanum).

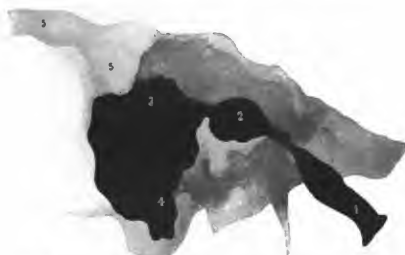


Fig. 85. Radiogramm eines Gehörorganpräparates, bei dem Quecksilber durch die Tuba Eust. in die Mittelohrräume gegossen wurde (nach Brühl).

1. Tuba Eustachii (durch Quecksilber im knorpligen Teil ausgedehnt); 2. cavum tympani; 3. antrum mastoideum; 4. cellulae mastoideae; 5. sinus transversus.

st er mehr nach hinten gelagert und dadurch von dem äußeren Gehörgang entfernter (vgl. Fig. 87, 89).

Die *Gehörknöchelchen* liegen zum größten Teil in der oberen Ausbuchtung der Paukenhöhle (Recessus epitympanicus (vgl. Fig. 82 und 84). Sie liegen ganz von der Paukenhöhlenschleimhaut umhüllt (ähnlich, wie die Baueingeweide vom Bauchfell). Zwischen Hammergriff und langem Amboßfortsatz verläuft die Chorda tympani (vgl. oben S. 19).

In der hinteren Wand der Paukenhöhle liegt der Teil des Fazialiskanals, der unmittelbar hinter dem *Knie* gelegen die Verbindung mit dem abwärtssteigenden Teil des Kanals herstellt, dicht dahinter und oberhalb der durch den *seitlichen Bogengang* gebildete Wulst, beides praktisch äußerst wichtige Stellen. Die Figur 86 zeigt den erwähnten Teil des Fazialiskanals.

Er springt in der gelb gehaltenen Gegend oberhalb der zum Vestibulum labyrinthi führenden Fenestra ovalis mehr oder weniger in die Paukenhöhle vor. Die Wand des

Fig. 86. Schläfenbein mit freigelegter Paukenhöhle, Antrum tympanicum und Cellulae mastoideae. Man sieht die Lagebeziehung des N. facialis, der V. jugularis und der A. carotis interna zur Wand der Paukenhöhle. Die betreffenden Stellen sind gelb, blau und rot hervorgehoben.

Fig. 87. Schläfenbein mit aufgemeißeltem Processus mastoideus und Eintragung der Lagebeziehung des Sinus transversus (blau konturiert) zum Processus mastoideus.

Kanales ist hier dünn, oft durchscheinend, gelegentlich sogar perforiert, so daß der Nerv dann *nur von der Schleimhaut* der Paukenhöhle bedeckt ist. Die Lage des horizontalen Bogenganges ist aus der Fig. 88 ersichtlich, wo der Bogengang aufgemeißelt und grün dargestellt ist.

Vom *Labyrinth (inneren Ohr)* ist für uns nur die allgemeine Lage von Belang. Man kann sich hier leicht folgendermaßen orientieren. Verlängert man am knöchernen Schädel die Achse des schräg nach außen ins Felsenbein eintretenden inneren Gehörganges, so erhält man den Verlauf des Fazialiskanals bis zum *Knie*. Aus der hier gelegenen Öffnung (Hiatus canalis facialis) tritt der N. petrosus superficialis major heraus. *Außen* vom Fazialiskanal liegen die Bogengänge und das Vestibulum, *innen* vom Fazialiskanal liegt der Hauptteil der Schnecke. Vom Bogengangssystem sieht man deutlich stets die Kuppe des *vorderen* Bogenganges. Topographisch und praktisch wichtig ist eine kleine Delle unter dieser Kuppe, die der Rest des bei Kindern vorhandenen, später ganz von schwammiger Knochensubstanz ausgefüllten Loches unter dem Bogengang ist (Recessus subarcuatus). Der hintere Bogengang ist dann leicht zu konstruieren; er liegt parallel der hinteren Fläche des Felsenbeins.

Um die Lage der *Schnecke* zu bestimmen, unterrichte man sich über die Lage des von den Nervenöffnungen durchbohrten Bodens des inneren Gehörganges. Diese Bodenplatte stellt die Basis der Schnecke dar; auf ihr steht der Modiolus der Schnecke annähernd senkrecht.

In dem Winkel zwischen Schnecke und Bogengängen liegt das Tegmen tympani.

Die *Tube* ist in ganzer Ausdehnung in Fig. 82 sichtbar. Wichtig ist, daß die knöcherne Tube nicht am Boden, sondern an der Decke der vorderen Wand in die Paukenhöhle eintritt (Fig. 85), so daß ihre Mündung für den Abfluß von flüssigem *Inhalt* der Paukenhöhle unzweckmäßig liegt. Auch die Tube hat eine Inklinaton und Deklination, die in ihren Winkeln zur Medianebene und Horizontalebene annähernd denen des Trommelfells entsprechen. Die Verbindung der knöchernen mit der knorpeligen Tube ist, wie man an jedem Präparat mit der Metallsonde feststellen kann, die engste Stelle des Kanals, denn die Sonde findet hier einen Widerstand. Der Beginn der knorpeligen Tube liegt unterhalb des das Foramen lacerum erfüllenden faserknorpeligen Gewebes; sie tritt hier in Beziehung zu den Gaumenmuskeln (Fig. 139) und senkt sich, um unter allmählicher Verbreiterung die seitliche Wand des Nasenrachenraums zu durchsetzen.

### Anwendung.

*Außeres Ohr.* Die Lagebeziehung des knorpeligen Gehörganges zur Glandula parotis macht es verständlich, daß *Schwellungen und Tumoren der Drüse zu Verengerungen des Ganges und Beeinträchtigung des Gehörs* führen können. Von dem Kiefergelenk können Erkrankungen auf den Gehörgang übergehen. Auch *bricht gelegentlich das Os tympanicum* und dringt in den Gehörgang ein, wenn bei *Sturz* auf das Kinn das Köpfchen des Unterkiefers nach hinten ausweicht. Infolge der Lagebeziehungen zwischen der hinteren und auch gelegentlich der oberen Wand des Ganges zu den Cellulae mastoideae kann bei Eiteransammlungen in diesen (nach Mittelohrentzündung) der *Eiter in den Gehörgang durchbrechen*.

Die oben erwähnte Möglichkeit, den äußeren Gehörgang zu strecken, spielt bei der Einführung des Ohrenspekulums eine Rolle. — Das *Caerumen* ist eine Mischung des flüssigen, pigmentierten Se-

Fig. 86.

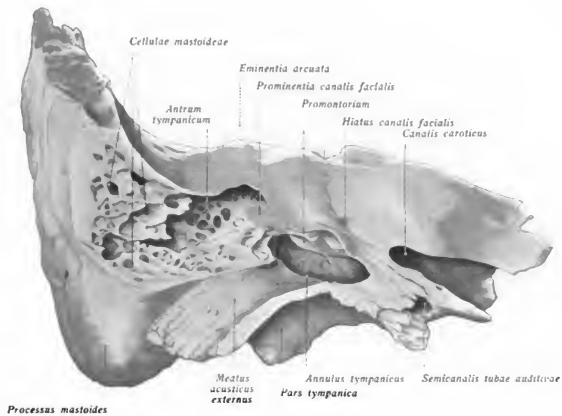


Fig. 87.

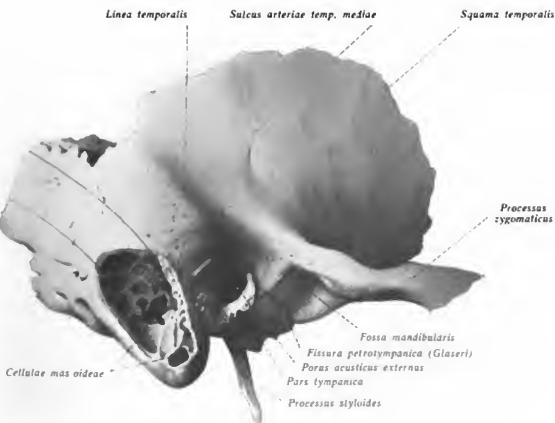


Fig. 88.

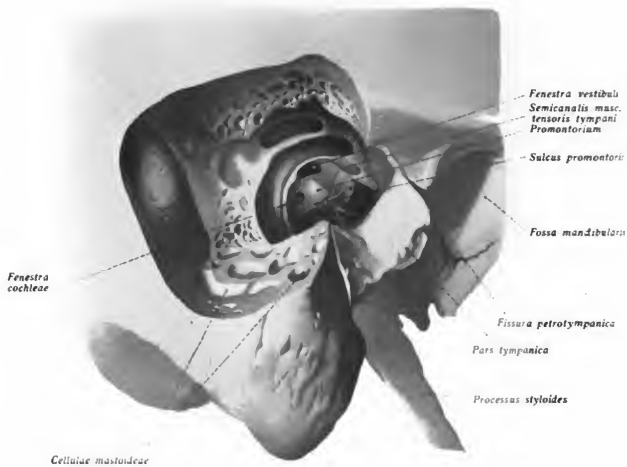


Fig. 89.

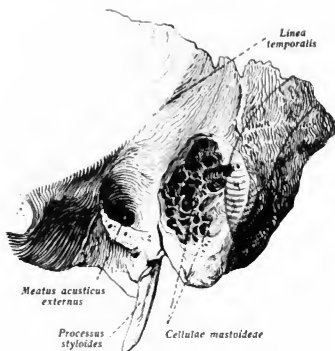


Fig. 88. Cellulae mastoideae, Antrum mastoideum und Cavum tympani mit Meatus acusticus externus unter Ausnahme der Gehörknöchelchen und des Trommelfelles geöffnet. Auch der Canalis facialis (gelb) und darüber der frontale Bogengang (grün) sind aufgemessen. Die Anlagerungsfläche des Sinus transversus ist blau, die der Carotis a. rot hervorgehoben. Nach einem Berliner Präparat aus der Ohrenklinik von Prof. Kirchner.

Fig. 89. Wie Fig. 87. Der Sinus projiziert sich nach außen, aber mehr auf die hintere Region der Basis des osseus mastoideus.

des der Cacrimaldrüsen (Knäueldrüsen der Haut des äußeren Gehörs) mit dem von Haarbalgdrüsen gelieferten Talg. — Hustenreiz bei Verletzung des Trommelfells erklärt sich durch die Verästelung des N. auris n. vagi, der zum Trommelfell tritt.

Die schiefe Lage des Trommelfells und seine durch den Hammergriff eingezeichnete Einnabelung hat zur Folge, daß nur ein kleiner Sektor parallel Eingangsebene des Gehörganges steht. Einfallendes Licht kann also von diesem Sektor zurückgeworfen werden (Lichtreflex Fig. 90. Seine Veränderungen bei Änderung der Lage und der Spannung des Trommelfells!).

Da der Umbo dem Promontorium am nächsten liegt und exzentrisch vorn gerückt ist, so ist der hintere untere Quadrant am weitesten vom Licht entfernt, ist also als Stelle für die Parazentese am meisten geeignet. Pars flaccida des Trommelfells entsteht dadurch, daß hier der faserförmige Randring, in den das Trommelfell eingefalzt ist, fehlt. Es gibt demnach auch keine Membrana propria des Trommelfells, die Schleimhaut der Paukenhöhle und das Integument der oberen Wand des Gehörganges liegen hier dicht aneinander. Die verschiedene Spannung der Pars tensa und Pars flaccida führt zur Bildung der beiden *Grenzfallen* (Fig. 91). Die Pars flaccida ist normal niemals durchbohrt. Sie bildet zusammen mit dem innersten Teil der oberen Wand des knöchernen Gehörganges die vordere Wand des Recessus epitympanicus.

Die vier Quadranten des Trommelfells (Fig. 91) gestatten es, wichtige dahinter liegende Teile des Mittelohres zu bestimmen. Es projizieren sich auf den *vorderen oberen* Quadranten das Ostium tympanicum tubae; auf den *vorderen unteren* Quadranten der Canalis caroticus; auf den *hinteren unteren* Quadranten die Fenestra cochleae, auf den *hinteren oberen* Quadranten außer dem langen Amboßfortsatz und Steigbügel die Fenestra vestibuli und Chorda tympani.

Die *Lymphbahnen* des äußeren Ohres und des Trommelfelles, sogar auch ein Teil der Lymphbahnen des Mittelohres, die durch das Trommelfell hindurch mit jenen des Gehörganges kommunizieren, haben gemeinsame Wege. Unmittelbar *vor* dem äußeren Gehörgang gelegene Drüsen und solche innerhalb der Ohrmuschel nehmen die Lymphe aus den genannten Gebieten auf. Auch können die Lymphknoten auf und in der Gl. parotis erreicht werden. Hier liegen also die regionären Schwellen und Abszesse bei Otitis externa, Furunkeln des äußeren Gehörganges, Myringitis und Otitis media. Andere Bahnen, nur vom hinteren Teil der Ohrmuschel ziehen zu Drüsen hinter dem Ohr. Diese Etappen, die auch *direkt* erreicht werden können, sind die submaxillaren, oberflächlichen und Zervikaldrüsen.

**Mittelohr.** Die Dünne des Tegmen tympani erklärt die Möglichkeit der Zerstörung des Knochens bei Mittelohreiterungen und Durchbruch unter die Dura mater oder den Übergang der Entzündung in die Hirnhäute auf präformierten Bahnen (Gefäßkanälchen). Geht die Eiterung auf das Gehirn über, so bildet sich der *Schlafenlappenabszess*, da der Lobus temporalis auf dem Tegmen tympani aufliegt. Der Übergang der Eiterung aus dem Mittelohr auf die Hirnhäute ist dann besonders leicht, wenn infolge kleiner Defekte im Tegmen tympani die Schleimhaut der Paukenhöhle unmittelbar von der Dura überlagert wird (s. o.). Die Karies des Felsenbeins hat ebenso wie die Basisfraktur im Bereich des Felsenbeins schon zu starken Blutungen aus der Carotis interna im Mittelohr und von hier durch das Trommelfell oder die Tuba auditiva und den Mund nach außen geführt. Durch die Beziehungen zum Bulbus venae jugularis droht die Gefahr einer Sinusthrombose. Bei Eiterungen im Mittelohr besteht die Möglichkeit der Fortleitung in die Zellen des Kieferhöhlenraums, während nach innen, besonders bei chronischen Mittelohreiterungen die Gefahr der Eiterung ins Labyrinth zu beachten ist. Der Einbruch ins Labyrinth vollzieht sich in der Mehrzahl



Fig. 90. Normales Trommelfell (nach Brühl).

1. kurzer Fortsatz; 2. Hammergriff; 3. Umbo; 4. Reflex; 5. Amboß-Steigbügelgelenk.

der Fälle durch die Fenestra vestibuli oder den hinteren Bogengang (s. o.), seltener durch Fisteln d. Promontorium.

**Inneres Ohr.** Labyrintheiterungen haben auf mehreren Wegen die Möglichkeit, zum Schädelinneren durchzubrechen. Hierbei sind in fast 50 Proz. aller Fälle die Nervenbahnen der Weg der Infektion (zum Porus acusticus internus). In fast einem Drittel der Fälle schreitet die Infektion durch den Aqueductus vestibuli fort und führt zum Empyem des Saccus endolymphaticus. Daneben kommt der Aqueductus cochleae, der in den Arachnoidalraum führt und Bogengangsfisteln in Betracht. Alle Wege haben das Gemeinsame, daß sie in die hintere Schädelgrube führen, somit Kleinhirnsabszesse zur Folge haben können.

Der Saccus endolymphaticus, der als lymphdruckregulierendes Organ mit der Endolymphe in V

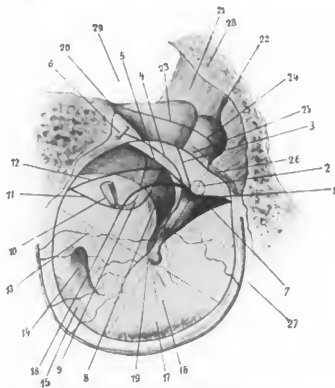


Fig. 91 Das Trommelfell und die Gehörknöchelchen (Schema) (nach Brühl).

1. Vordere Grenzfalte; 2. processus brevis; 3. obere Falte; 4. a. manubrii mallei; 5. hintere Grenzfalte; 6. Ast d. a. auricularis profunda; 7. vordere, 8. hintere Trommelfelltasche; 9. langer Amboßschenkel; 10. Steigbügel; 11. tendo m. stapedii; 12. chorda tympani; 13. Anastomose der a. manubr. mall. mit peripherischem Gefäßkranz; 14. fenestra cochleae; 15. bulla jugularis; 16. Lichtreflex; 17. cellulae tympanicae; 18. hintere Falte; 19. Umbo; 20. lig. incudis posterior; 21. lig. incudis superior; 22. lig. mallei superior; 23. laterale Amboßfalte (Ursprungslinie); 24. laterale Hammerfalte; 25. lig. mallei externum; 26. lig. mallei anterior; 27. peripherer Gefäßkranz; 28. tegmen tympani; 29. limes antri.

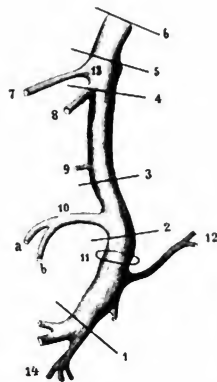


Fig. 91a.

n. facialis von der Schädelbasis bis zum pes anserinus (nach Strümpell aus Brühl).

- 1—6. Grenzen der Verletzungsstellen; 7. n. petrosus superficialis major; 8. Anastomose mit n. petrosus superficialis minor; 9. n. stapedius; 10. chorda tympani; a) Geschmackfasern, b) Speichelsekretion; 11. foramen stylomastoideum; 12. n. auricularis posterior; 13. ganglion geniculi; 14. pes anserinus.

bindung steht, liegt nach lateral vom inneren Gehörgang, durchschnittlich 3 cm von der Außenfläche der Pars mastoidea entfernt. Der Sack liegt zwischen die beiden Blätter der Dura mater eingeschlossen ist 1,0 bis 1 1/2 cm lang und erstreckt sich von innen oben nach außen und unten, so daß sein Fundus in unmittelbare Nähe, ja hie und da in Kontakt mit der Wand des Sinus sigmoides kommt (Sigmoidsinusthrombose!).

Die Nervenschädigungen bei Mittelohr- und Labyrinthkrankungen betreffen natürlich den N. facialis und N. acusticus (cochlearis und vestibularis). Ein Schema des N. facialis gibt beistehende Figur 91a. Die Symptome der peripherischen Lähmungen gestatten die Bestimmung, an welcher Stelle der

cialis geschädigt ist. Lähmungen der Gesichtsmuskulatur: Sitz am Austritt aus dem Foramen stylo-mastoideum. — Lähmung der Gesichtsmuskulatur nebst Geschmackstörungen und verminderter Speicherkretion: Sitz in der Paukenhöhle am unteren Teil des absteigenden Verlaufsstückes (Chorda tympani); die gleichen Symptome nebst Gehörstörungen (Feinhörigkeit): Sitz distal vom Ganglion geniculi (Chorda und N. stapedius). Die gleichen Symptome nebst Gaumenmuskellähmung (Sitz am Ganglion geniculi. Chorda, N. stapedius N. petros. sup. major).

Erkrankungen des *N. vestibularis* führen zu Bogengangssymptomen (Nystagmus) und Gleichgewichtsstörungen. Im Kleinhirn kennt man jetzt bereits bestimmte Herdsymptome. Im Wurm liegen tonischen Zentren für die Rumpfmuskulatur, in den Hemisphären die tonischen Zentren für die gleichseitigen Extremitäten. (Lobus semilunaris superior und inferior *Auswärtstonus* und *Abwärtstonus* Lobus biventer *Einwärtstonus*.) Der *N. vestibularis* zieht mit einem Teil seiner Fasern ungekreuzt im Wurm und den Kernen des Kleinhirns (*Baranys* „Zeigerversuch“). Die *Lymphbahnen* der *Paukenhöhle* und *Tube* vereinigen sich mit denen des Rachens (siehe S. 92). Die Lymphbahnen des inneren Ohres stehen mit dem Subarachnoidalraum in Verbindung (Fortleitung von Entzündungen!).

### VIII. Regio mastoidea. (Fig. 55a, 73, 74, 86—89, 92, 93.)

Sie ist von außen her durch *vier Muskeln* überlagert. Diese sind: die Insertion des sternocleidomastoideus, unter dieser die Insertion des *M. splenius capitis*, darunter die Insertion des *M. longissimus capitis*. Alle drei liegen an der Außenfläche des Warzenfortsatzes. Mehr in der Tiefe liegt der aus der Incisura mastoidea entspringende hintere Bisternfortsatz. Unter diesen vier Muskeln in sehr versteckter Lage fließt die starke *A. occipitalis*. Der *Processus mastoideus*, bei Kindern schwach entwickelt, enthält in *wechselnder Ausbildung* Warzenfortsatzzellen, die mittelst des *Antrum mastoideum* mit der Paukenhöhle kommunizieren. Auch bei fehlenden Zellen ist das *Antrum* stets ausgebildet. Seine Projektion nach außen liegt hart nach außen und hinten am äußeren Gehörgang und unterhalb des Bisternfortsatzes der Linea temporalis. Gegen das Schädelinnere hin (hintere Schädelgrube) springt die Konvexität des Sinus sigmoides gegen die Incisura mastoidea vor. Seine Projektion liegt in der Norm in der Mitte zwischen höchster Erhebung des Proc. mastoideus und seinem hinteren Rande.

### Anwendung.

Das *Antrum mastoideum* bildet, da es eingeschaltet ist zwischen der Paukenhöhle und den Cellulae mastoideae, die Bahn, auf welcher oft die Eiterungen des Mittelohres nach hinten sich auf die Cellulae mastoideae fortpflanzen. Die äußere Wand des Warzenfortsatzes muß dann eröffnet werden, da sie nur selten so dünn ist, daß der Eiter *spontan* nach außen durchbricht und eine Eitersenkung längs des *M. sternocleidomastoideus* eintritt.

Bei der Eröffnung des Warzenfortsatzes ist zu berücksichtigen, daß gelegentlich die *Zellen des Warzenfortsatzes* sehr gering entwickelt sind oder fehlen (s. Fig. 92). Ferner ist hierbei die gelegentlich oberflächlich, d. h. weit nach außen gedrängte Lage des Sinus transversus zu bedenken, da es zu

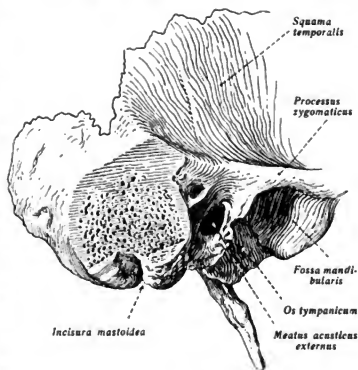


Fig. 92.

Schläfenbein mit aufgesägtem Processus mastoideus, in welchem die Cellulae mastoideae kaum ausgebildet sind.

Fig. 93. Situs der Arteria vertebralis im tiefen Nackendreieck.

Fig. 94. Situs der Art. occipitalis in der Regio mastoidea.

plötzlichen unerwarteten Blutungen aus dem Sinus kommen kann. Diese Lage des Sinus in Betracht zu ziehen ist gleichfalls bei den nicht selten nötigen operativen Eingriffen am Sinus von Bedeutung (z. B. Sinusthrombose und nachfolgender Pyämie von den mit Eiter erfüllten Zellen des Warzenfortsatzes aus mit oder ohne die Komplikation des Kleinhirnbruchs). Die Figuren 87–89 geben eine Vorstellung von der Lage des Sinus hinter dem Ohre. Die Angabe, daß der Sinus zwischen dem meist prominentesten Punkte der Basis des Processus mastoideus und dem häufig (aber nicht immer) prominenten und palpablen Unterende der Linea temporalis am sichersten gefunden wird, trifft allgemein zu, wenn man von dieser Stelle aus *nach hinten* eindringt. Andernfalls gelangt man in das Cavum tympani (vgl. S. 48). Obigens ist das untere Ende der Linea temporalis an der genannten Stelle durchaus nicht immer ausgeprägt und daher nicht immer fühlbar. Auch ist zu bedenken, daß der Sinus recht weit hinten (nahe dem Hinterrande des Processus) liegen kann. Dringt man weit nach vorn bis in die Paukenhöhle vor (z. B. bei Radikaloperation der Otitis media), so kommen der horizontale Bogengang und der *N. facialis vor allem in Gefahr* (s. Fig. 88), dessen bei Mittelohrentzündungen oder Caries des Felsenbeins bedrohter Lage bereits oben gedacht worden ist.

### IX. Gesichtsteil des Kopfes.

Das Gebiet ist nach aufwärts gut abgrenzbar durch die Margines supraorbitales und die Jochbögen. Seitlich bildet der vordere Rand des *M. sternocleidomastoideus*, unter der Unterkiefer die Grenze.

Das gesamte Gebiet läßt sich topographisch in die Regio orbitalis, nasalis, auricular und mastoidea sondern. Diese, von denen die beiden letztgenannten schon abgehandelt worden sind, besitzen nähere Beziehungen zu Sinnesorganen. Die Regio oralis umschließt den Eingang in den Verdauungstraktus. Den Rest bildet die eigentliche Gesichtsgegend, die wiederum in ein oberflächliches und tiefes Gebiet geschichtet ist.

#### a) Gefäße und Nerven des Gesichtes. (Fig. 60 und 94.)

##### Arterien des Gesichtes:

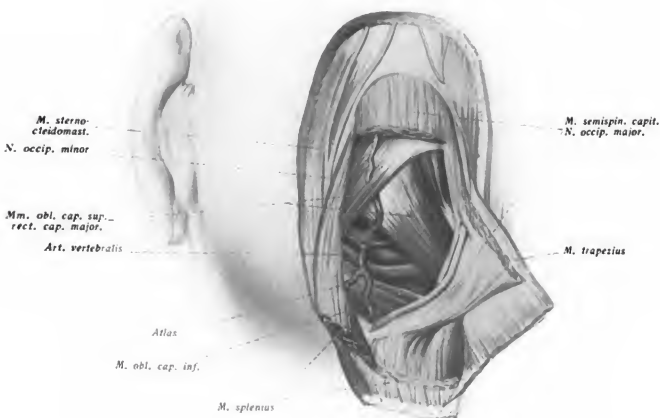
1. *A. maxillaris externa* aus der *A. carotis externa*.
2. *A. temporalis superficialis*.
3. Äste der *A. maxillaris interna*.
4. Äste der *A. ophthalmica*.

1. Die *A. maxillaris externa* betritt am *vorderen Rand des M. masseter* über den Rand des Unterkiefers hinweg das Gesicht. Sie verläuft von diesem Punkte aus in einer Linie zum inneren Augenwinkel. Längs dieses Verlaufes liegt sie, stark geschlängelt auf dem *M. buccinator* und *M. caninus* zur Seite der Nase, wo sie als *A. angularis* mit der aus der Orbita kommenden *A. dorsalis nasi* (aus der *A. ophthalmica*) anastomosiert. Vorher bildet sie in der Ausbildung wechselnde Anastomosen mit der *A. buccinatoria* und der *A. infraorbitalis* (also mit dem Gebiet der *A. maxillaris interna*). Im Gesicht gehen aus der Arterie die in der Mittellinie mit denen der anderen Seite anastomosierenden *Aa. faciales inferior et superior* hervor.

2. Die *A. temporalis superficialis* tritt zwischen Unterkiefer und Insertion des *M. sternocleidomastoideus* auf das Gesicht, durchsetzt die *Glandula parotis* und teilt sich in Endäste (*Ramus frontalis*, *Ramus parietalis*) dicht oberhalb der Ohrmuschel. Der Hauptast ist die *A. transversa faciei*.



Fig. 93.



*Arcus tendineus inter m. trapeziam et  
sternocleidomastoideum*

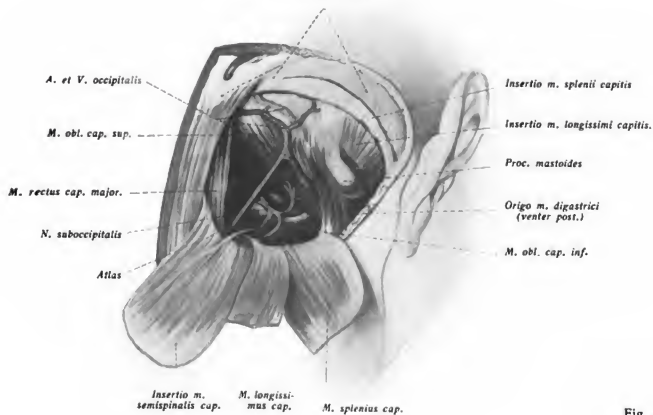


Fig. 94.

Fig. 95.

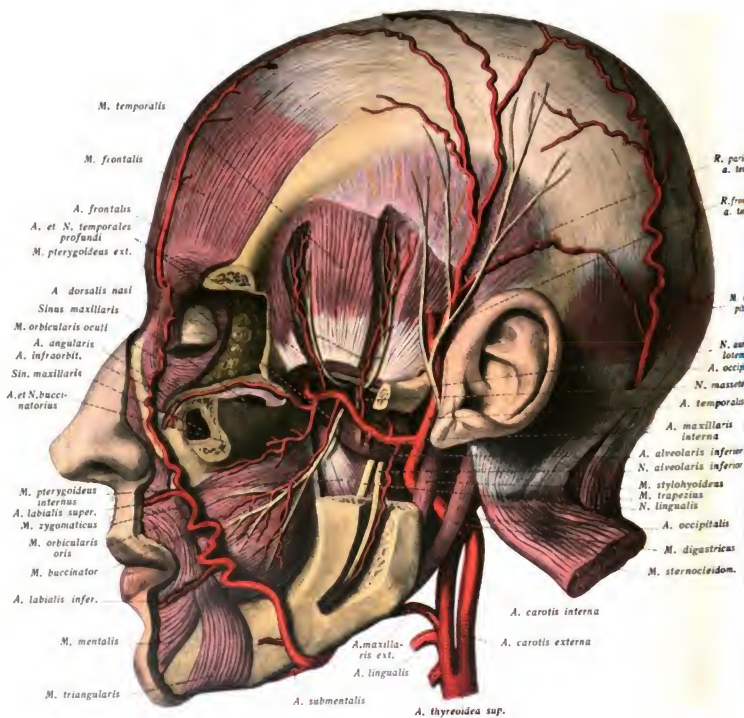


Fig. 95. Ausbreitungsgebiet der Aa. maxillaris externa und interna, sowie des Ramus III mandibularis n. trigemini.

3. Äste der A. maxillaris interna, die auf das Gesicht treten, sind die A. infraorbitalis, oberhalb des Jochbogens austretende kleine A. zygomatico-orbitalis und die A. mentalis, Endast des A. alveolaris inferior. Der Stamm der A. maxillaris interna findet beim Kiefergelenk, der tiefen Gesichtsregion und der Nasenhöhle Besprechung.

4. Gesichtszweige der A. ophthalmica sind die zu den Augenlidern (Aa. palpebrales mediales superior und inferior) und die A. dorsalis nasi (s. A. maxillaris externa).

Die Hauptvene des Gesichtes ist die an der Nasenwurzel als Vena angularis aus der A. maxillaris externa und V. supraorbitalis hervorgehende *Vena facialis anterior* (s. Fig. 59a), die hinter der A. maxillaris externa und oberflächlicher als diese, doch unter dem M. zygomaticus hindurch zum Unterkieferwinkel verläuft, wo sie sich mit der V. facialis posterior, die in die V. jugularis interna mündenden V. facialis communis vereinigt. Die V. facialis posterior stellt die in der Parotis verlaufende Verlängerung der V. temporalis dar, die unter dem Hals des Unterkiefers aus der Fossa pterygopalatina den Abfluß des Plexus pterygoideus empfängt. Über die Vv. ophthalmicae s. S. 79.

Von den Nerven des Gesichtsteiles des Kopfes kommen, abgesehen von den bei dem Urteil des Kopfes erwähnten (s. S. 40), sensible und motorische in Betracht.

1. *Sensible Nerven.* Sie stammen vor allem vom Trigeminus her, aber auch vom Nervus auricularis magnus (Plexus cervicalis), der die Haut über der Parotis und die Außenfläche der Ohrmuschel versorgt.

Alle drei Äste des Trigeminus beteiligen sich an der Versorgung des Gesichtes mit sensiblen Nerven.

a) Der N. ophthalmicus entsendet Äste zum oberen Augenlid und zur Nasenwurzel (s. supraorbitalis), ferner versorgt er die Nasenspitze und angrenzende Teile des Nasenrückens.

b) Der N. infraorbitalis ist der starke am Foramen infraorbitale austretende Zweig des zweiten Trigeminusastes; er verläuft, durch die Fissura orbitalis inferior in die Augenhöhle gelangend, in deren Boden, also im *Dach des Sinus maxillaris* nach vorn, eingelassen in den gleichnamigen Sulcus und Canalis infraorbitalis (s. Fig. 41, 127 und 131). Er versorgt das untere Augenlid, die Seitenfläche der Nase, die Oberlippe und Wangengegend.

c) Der N. alveolaris inferior (s. Fig. 94) durchzieht als ein vom 3. Trigeminusast stammender Zweig den Canalis mandibulae, versorgt die Zähne des Unterkiefers und tritt am Foramen mentale unterhalb des ersten Backzahnes zur Haut der Kinngegend (s. Fig. 41). Ein weiterer starker Ast ist der N. auriculo-temporalis, der um das Kiefergelenk herumtretend zur Schläfen- und Parotisgegend zieht.

Die Hautgebiete dieser drei Nerven lassen also grundsätzlich ein sehr einfaches Zonengebiet erkennen. Eine Horizontale durch die Lidspalte und von hier zur Nasenspitze gezogen, grenzt den ersten und zweiten Ast voneinander ab. Eine Horizontale durch die Lidspalte und von da über das Jochbein nach aufwärts, etwa in die Linea temporalis mündend, umgrenzt das Gebiet des 2. Trigeminusastes. Die Kinn-Scheitellinie (vom Kinn, längs des Unterkieferrandes zur Ohrmuschel, vor dem Tragus vorbei und von da zum Scheitelhöcker empor) grenzt das Gebiet des 3. Trigeminusastes gegen die Halsnerven ab. Von diesen treten Äste des Plexus cervicalis (Rami anteriores) in die Haut un-

Fig. 96. Situsbild der Regio infraorbitalis. Formalinhärtung des Präparates.

Fig. 97. Regio facialis profunda. Aus der Glandula parotis ist ein Stück nebst dem Ductus parotideus herausgeschnitten und nach rechts hinübergelegt. Die Schnittfläche links im Präparat sichtbar, nebst dem sie durchsetzender facialis. Der M. masseter ist nebst seinem Nerven nach oben zurückgelegt, aus dem Unterkiefer soviel herausgemeißelt, daß die in den Canalis alveolaris eintretenden Gebilde sichtbar werden. Formalinhärtung des Präparates.

ter, vor und hinter dem Ohr (N. auricularis magnus und N. occipitalis minor). Bei dies grundsätzlichen Abgrenzung ist aber für die Praxis die Überschichtung der Hautnervengebiete in Betracht zu ziehen (siehe weiter unten).

2. *Motorischer Nerv* ist der N. facialis. Er versorgt sämtliche Hautmuskeln an Kopf und Hals, ferner den hinteren Bauch des M. biventer und den M. stylohyoideus. Es ist also unrichtig, zu sagen, daß er nur die „mimische Gesichtsmuskulatur“ versorge. Nach dem Austritt aus dem Knochen bettet sich der Nerv bald in die Gl. parotis ein, an deren vorderem Rande alsdann die zahlreichen Äste aus dem Plexus facialis auf dem M. masseter nach vorn und oben zu den Gesichtsmuskeln verlaufen. Auf die Außenfläche projiziert der N. facialis nach dem Austritt aus dem Foramen stylo-mastoideum in der Höhe der Wurzel des Ohr läppchens vor dem fühlbaren Vorderrand des Proc. mastoideus. (Weiteres s. unten.)

Die Haut des Gesichtes gibt dem Arzt wegen ihrer Dünnhcit und ihres Gefäßreichtums ein wichtiges diagnostisches Hilfsmittel bei Beurteilung des Ernährungszustandes oder der Kreislaufverhältnisse seines Patienten (z. B. Rötung, Blässe, Zyanose). Sie ist im Gegensatz zu der Haut der Kopfschwarte (s. S. 38) sehr verschieblich, was wiederum zugleich mit dem Gefäßreichtum ihre Verwendung bei plastischen Operationen sehr begünstigt. In dem im Gegensatz zur Kopfschwarte lockeren Subkutisgewebe finden Blutergüsse diffuse Ausbreitung, so daß die Bildung von scharf umschriebenen Beulen nach Kontusionen unterbleibt und bei Wassersucht Gedunsenheit des Gesichtes eintritt.

#### b) Oberflächliche Gesichtsgegend.

Unterhalb der Haut liegt eine derbere Faszie nur an den Stellen, wo keine Hautmuskeln vorhanden sind. Da Faszien stets durch Verschiebung von Muskeln gegeneinander oder gegen die deckende Haut entstehen, so ist es klar, daß Muskeln, die sich mit der Haut verschieben, keine Faszie über sich haben können. Mithin liegt nur über der Parotis und dem M. masseter eine Faszie (Fascia parotideo-masseterica) sowie über der ganzen Schläfengegend (F. temporalis).

Wichtig ist es, daß auch am Gesicht eine stärkere Fettmasse konstant vorkommt, das Cor. adiposum malae zwischen M. masseter und M. buccinator. Es ist besonders bei Kindern kräftig ausgebildet (Fig. 98), ist aber auch beim Erwachsenen nicht ohne Bedeutung für den Gesichtsausdruck. Die volle Wange ist, wie die gewölbte Schläfe (Fig. 98), die Folge der Existenz dieser Bildungen, erst bei höheren Graden der Abmagerung schwinden. Dann erst entstehen die eingefallenen Schläfen und Wangen der Kachektischen. Auch das Orbitalfett gehört hierher (eingefallene Augen bei extremer Abmagerung).

Gewöhnlich teilt man die oberflächliche Gesichtsgegend in fünf einzelne Regionen ein: Die Regiones infraorbitalis, zygomatica, buccalis, mentalis und parotideo-masseterica. Die Regio infraorbitalis ist wichtig wegen des hier austretenden N. infraorbitalis. Die Austrittsstelle liegt dicht unterhalb des Margo infraorbitalis, etwa in seiner Mitte, oberhalb des ersten Prämolard Zahnes. Mit ihm tritt die A. infraorbitalis aus. Der M. orbicularis und quadratus labii superioris liegt über beiden Gebilden. Äste des Facialis kreuz ihren Verlauf (Fig. 96).

Die Regio buccalis umfaßt die Wange, eine von Haut und Schleimhaut gebildete bis zur Mundspalte reichende Falte, die den M. buccinator in sich faßt. An diesem

Fig. 96.

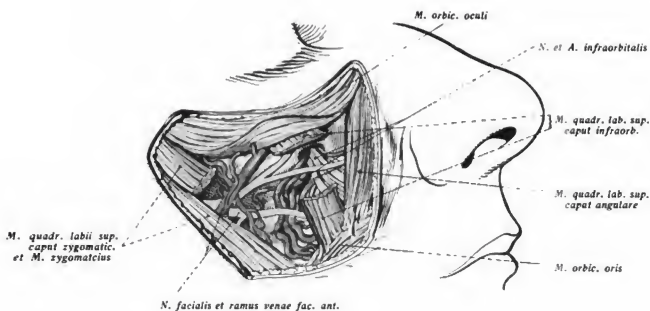


Fig. 97.

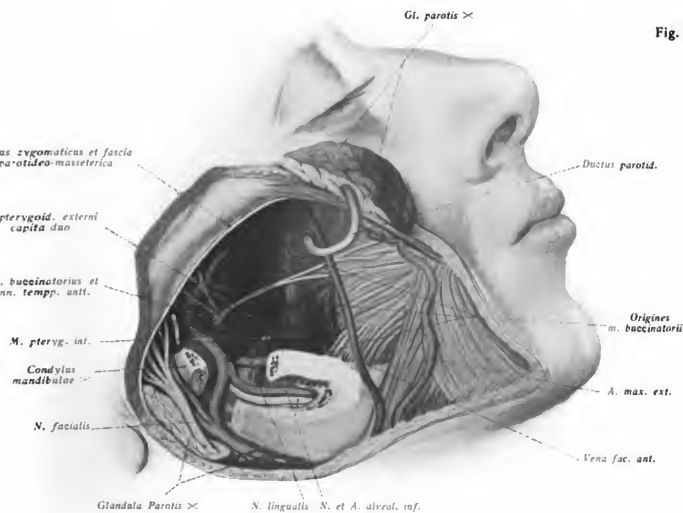


Fig. 98.

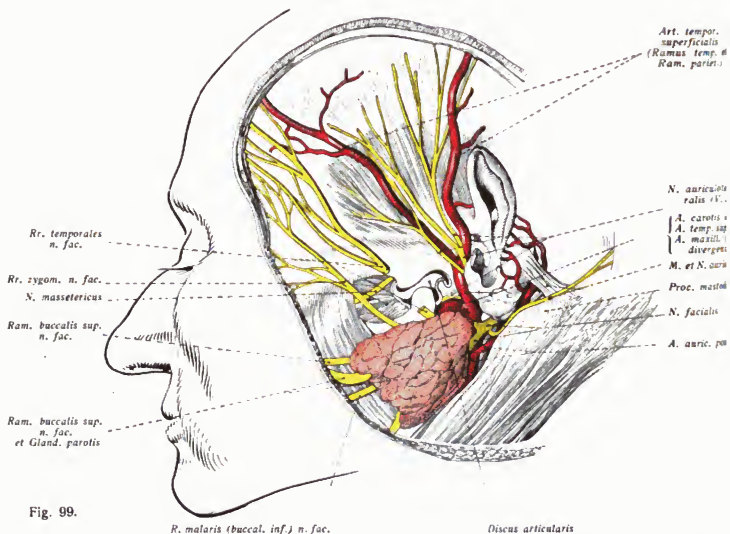
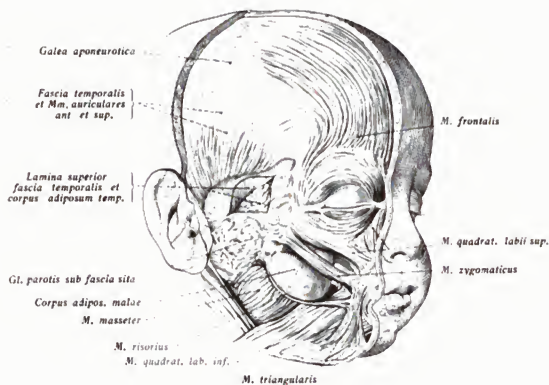


Fig. 99.

Fig. 98. Das Corpus adiposum malae eines einjährigen Kindes. Gleichzeitig zur Demonstration des Temporalisfettes sind die beiden Blätter der Schläfenfascie und der Gesichtsmuskeln. Besonders deutlich der aus dem M. triangularis gezweigte über dem M. quadratus lab. inf. liegende M. risorius.

Fig. 99. Topographie des Kiefergelenkes.

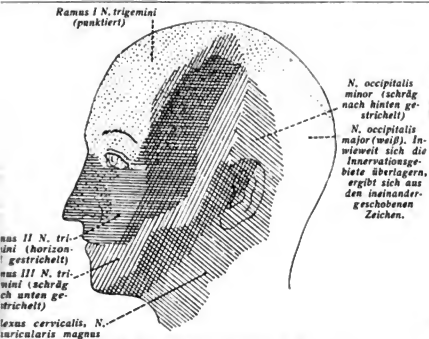


Fig. 100. Die sensiblen Bezirke am Kopfe.



Fig. 101. Glandula parotis aus einem durch Formalininjektion erhärteten Kopfe herauspräpariert, in der Ansicht von innen.

Die obere, vom Hamulus des Flügelfortsatzes und Alveolarrand des Oberkiefers kommende, eine untere, vom Alveolarfortsatz des Unterkiefers kommende und eine breite mittlere, von der Raphe pterygo-mandibularis kommende Portion zu unterscheiden. Der sensible N. buccinatorius durchsetzt ihn, um zur Wangenschleimhaut zu treten, ferner findet man hier in der Höhe des 2. oberen Mahlzahnes den Durchtritt des Ductus parotideus (siehe unten). Seitlich liegt zwischen M. buccinator und M. masseter das bereits erwähnte Corpus adiposum malae. In der sich unten anschließenden *Regio mentalis* liegt der Austritt des N. mentalis, der gewöhnlich unterhalb des Zwischenraums zwischen 1. und 2. Prämolargraben gelegen ist.

Die wichtigste Gegend ist die, in der die Glandula parotis liegt (*Regio parotideo-masseterica*). Die Fascia parotideo-masseterica erstreckt sich, als Fortsetzung der Temporalisfascie, vom Jochbogen nach abwärts über die Drüse und den Masseter hinweg. Nach unten setzt sie sich auf den M. sternocleidomastoideus fort, *entsendet aber ein tiefes Blatt*, das am Rande des M. sternocleidomastoideus und vor dem Processus mastoideus in die Tiefe dringt, hier bis zur Seitenwand des Pharynx vordringt und an der Innenfläche des M. pterygoideus internus vorbei, am Unterkieferast und Kiefergelenk wieder Anschluß an das oberflächliche Blatt gewinnt. Diese von Fascie ausgekleidete, tiefe Bucht ist die Fossa retromandibularis. Jeder vermag sie am eigenen Kopfe abzutasten, wenn er den Finger vor den äußeren Gehörgang legt und dann den Mund weit öffnet. Der tastende Finger sinkt dann alsbald in die Grube ein. Nach abwärts erstreckt sich diese Räumlichkeit bis in die Regio submaxillaris, wie sie in der Tiefe bis gegen die seitliche Pharynxwand vordringt. Hier ist also eine scharfe Abgrenzung des „Gesichtes“ nicht vorhanden.

Die Glandula parotis (s. Fig. 60) deckt den hinteren Teil des M. masseter sowie das Kiefergelenk zu. Mit einem retromandibularen Teil erstreckt sie sich in die erwähnte

tiefe Fossa mandibularis hinein. Die Drüse hat daher, wenn sie in ihrer natürlichen Lage erhärtet ist, auch eine deutlich rechtwinklig geknickte Form (Fig. 101). Vielfach erstreckt sie sich auch in die Fossa submaxillaris hinein, wird also auch topographisch hier, an der Halsgegend, aufgefunden.

Der *Ductus parotideus*, öfters von einer *Glandula parotis accessoria* begleitet, kreuzt 1—2 cm unterhalb des Jochbogens in Begleitung der aus der A. temporalis kommende A. transversa faciei nach vorn verlaufend, den M. masseter. Er verläuft in der Linie, die die Anwachsstelle des Ohrknorpels mit dem Mundwinkel verbindet. Am vorderen Rand des M. masseter verläßt er diese Linie, schlingt sich um den Rand herum in die Tiefe und durchbohrt den M. buccinator, um in der Höhe des zweiten oberen Mahlzahnes in die Mundhöhle auszumünden. Hier ist von dem Munde aus die Mündung der Sondierung zugänglich, wenn man die Wange vom Mundwinkel aus nach außen und vorn von den Zähnen abzieht.

Die teils oberflächlichen, teils tiefen in die Drüse eingebetteten *Lymphknoten der Parotisgegend* sind oben (S. 40) erwähnt worden. In die Substanz der Parotis ist die A. carotis externa eingelagert, die hier innerhalb der Drüse hinter dem Unterkieferrand ihre Endteilung in die A. temporalis superficialis (in Begleitung des N. auriculo-temporalis) und die A. maxillaris interna erfährt. Mit der A. carotis externa finden wir die nach oben in die V. temporalis übergehende V. facialis posterior. Tiefer noch zwischen der Drüse und der Pharynxwand liegen die A. carotis interna und V. jugularis interna nebst den großen Nervenstämmen (s. spätere Regio parapharyngea). Der Nerv der Parotis ist der N. auriculo-temporalis, der seine sekretorischen Fasern aus dem Ganglion oticum (N. petrosus superfic. min.) bezieht. Der N. facialis (Fig. 60) teilt sich innerhalb der Drüse in zwei Äste, die bei Kindern in spitzem, bei Erwachsenen in sehr stumpfem, oft fast gestrecktem Winkel auseinandertreten. Sie bilden miteinander den Plexus parotideus; mit dem oberen Ast geht der N. auriculo-temporalis eine Anastomose ein. Aus dem stärkeren oberen Ast gehen die Rami temporales, zygomatici und buccales hervor. Sie treten am Gesichtsrande der Parotis zutage und ziehen über den Jochbogen zu den Muskeln des äußeren Ohres, M. frontalis und M. orbicularis (Rr. temporales), — Mm. orbicularis, zygomaticus, quadratus labii sup. (Rr. zygomatici), Muskeln des Mundes, der Wange, der Nase (Rr. buccales). — Der untere Ast gibt gleichfalls einige Rami buccales ab, sodann den R. marginalis (M. quadratus inferior und mentalis) und den R. colli (Platysma). Topographisch wichtig ist, daß die Facialisast zwischen Muskeln und Haut tritt. Die Nerven liegen zwischen oberflächlicher und tiefer Muskelschicht (s. o. S. 20).

### c) Topographische Anatomie des Kiefergelenkes.

Seine knöchernen Komponenten sind der Condylus mandibulae und das Schläfenbein, an diesem die Fossa glenoidalis und das nicht immer gleich stark ausgebildete Tuberculum articulare. Der Gelenkspalt ist völlig in zwei Etagen getrennt durch den Discus articularis. Die Gelenkkapsel ist an der hinteren Seite schlaff und spannt sich erst, wenn der Unterkiefer nach vorne gleitet. Seitlich ist sie sehr straff und durch das Lig. collaterale externum verstärkt. Der Discus articularis bildet die eigentliche Gelenkpfanne. In ihr steht der Condylus in der Ausgangsstellung so, daß er gegen die Hinterfläche des Tuberculi articulare drückt. Die Fossa glenoidalis ist daher, weil dem Belastungsdruck entzogen, ganz dünn und bildet eine durchscheinende Stelle in der mittleren Schädelgrube, wenn man



den Schädel gegen das Licht hält. Im Kiefergelenk sind zwei Hauptbewegungen möglich: Öffnung und Schließung (Scharniergelenk), 2. Vorwärts- und Rückwärtsgleiten (Schiebe-  
 gelenk). *Beide Bewegungen sind am Lebenden aber nur kombiniert möglich*, so daß —  
 ie am eigenen Kopf abtastbar (Finger in den Gehörgang!) der Condylus mandibulae  
 im Öffnen des Mundes nach vorn gleitet und zugleich tiefer, auf das Tuberculum arti-  
 culare tritt. Bei einseitig-abwechselnder Vor- und Rückwärtsschiebung entsteht die Mahl-  
 bewegung. Öffnende Kräfte sind, außer der eigenen Schwere des Unterkiefers, der vore-  
 re Biventerbauch, der M. mylo-hyoideus und M. genio-hyoideus, Antagonisten die Mm.  
 masseter, pterygoideus internus und vorderer Teil des M. temporalis. Der M. pterygoi-  
 deus externus zieht den Unterkiefer nach vorn; er zieht auch den Discus articularis mit,  
 den er wie in eine Endsehne mit einem Bündel seiner Fasern einstrahlt. Antagonistisch  
 wirken die von hinten parallel dem Jochbogen nach vorn ziehenden Bündel des M. tem-  
 poralis.

Das Kiefergelenk (Fig. 99) wird bedeckt: Nach außen von der Gl. parotis und den  
 oberen Ästen des N. facialis (Rami temporales). Auch die A. transversa faciei zieht seit-  
 lich von dem Gelenk vorbei. Unmittelbar *vor* dem Gelenk liegt auf der Insertion des M.  
 pterygoideus externus der N. massetericus und die gleichnamige Arterie. *Hinter* dem Kie-  
 ergelenk liegt unmittelbar die Pars tympanica des Schläfenbeins, die in der Norm aber  
 mechanisch durch das Gelenk nicht beansprucht wird. Medial schlingt sich der mächtige  
 Stamm der A. maxillaris interna um das Kiefergelenk herum, der hier die beiden wich-  
 tigsten Äste dieser Verlaufsstrecke (A. meningea media und A. alveolaris inferior) abgibt.  
 Gleichfalls medial vom Kiefergelenk liegt der N. auriculo-temporalis und die Chorda tym-  
 pani. Nach Abtragung des M. masseter und Entfernung des Jochbogens wird der gesamte  
 Kiefergelenkapparat darstellbar. Wird die Insertion dieses Muskels am Processus coronoides ab-  
 gelöst, so kann man nach Abtragung eines Teiles des Unterkiefers

*d) die tiefe seitliche Gesichtsgegend (Fig. 94 u. 97)*

bersehen. Sie zeigt als muskulöse Hauptbestandteile den M. pterygoideus externus, des-  
 sen beide Ursprungsköpfe (vom Planum infratemporale des großen Keilbeinflügels und  
 der äußeren Lamelle des Flügelfortsatzes) zwischen sich einen Spalt lassen und den M. pte-  
 rygoideus internus. Die vorliegende Gegend enthält das Ausbreitungsgebiet der A. maxilla-  
 ris interna. An ihr unterscheiden wir vier Verlaufsstrecken, nämlich 1. die hinter dem Col-  
 lum mandibulae, 2. die zwischen den Kaumuskeln, und zwar gewöhnlich längs der Außen-  
 fläche des M. pterygoideus externus (oder in selteneren Fällen zunächst an der Innenfläche  
 dieses Muskels), 3. die einen nach vorn konvexen Bogen am Tuber maxillare bildende und  
 4. die das Endstück in der Fossa pterygo-palatina bildende Strecke. Aus der *ersten Strecke*  
 kommen:

1. *A. auricularis profunda* zum Kiefergelenk und äußeren Gehörgang.
2. *A. tympanica* (ant.) durch die Fissura petrotympanica zur Paukenhöhle.
3. *A. alveolaris inferior* zum Canalis mandibulae für die Zähne des Unterkiefers. Sie  
 tritt am Foramen mentale mit dem gleichnamigen Nerv als A. mentalis aus.
4. *A. meningea media*, das stärkste Gefäß der ersten Strecke, durch das Foramen spi-  
 rosum in die Schädelhöhle (s. S. 42).

Aus der *zweiten Strecke* kommen vornehmlich Muskeläste.

Der *dritten Strecke* entspringen eine oder auch zwei Artt. alveolares superiores posteriores, die, in Knochenkanälchen eintretend, die Molar- und Prämolazähne des Oberkiefers versorgen (Fig. 136).

In der Flügelgaumengrube zerfällt die Arterie in ihre beiden Endäste, und zwar:

1. *A. infraorbitalis* nach vorn im Sulcus und Canalis infraorbitalis bis zum Austritt aus dem Foramen infraorbitale; gibt Artt. alveolares superiores anteriores zu den oberen Schneidezähnen und zum Eckzahn ab.

2. *A. sphenopalatina*, medialwärts durch das gleichnamige Loch aus der Flügelgaumengrube in die Nasenhöhle (s. später).

Die *Nerven* dieser tiefen Gegend gruppieren sich um den M. pterygoideus externus. Über ihn hinweg tritt der Ramus masticatorius (zu Masseter und Temporalis). Zwischen seinen beiden Köpfen tritt der N. buccinatorius hindurch, um mit mehreren Ästen den M. buccinator zu durchsetzen.

Am unteren Rande des Muskels erscheinen die Endäste des 3. Trigeminusastes. Der N. alveolaris inferior liegt nach hinten und tritt mit der A. alveolaris in das Foramen alveolare ein. Der N. lingualis, der hoch oben (s. Fig. 135) die Chorda tympani aufgenommen hat, läuft an der Außenfläche des M. pterygoideus internus fort in die Regio submaxillaris (s. Seite 129).

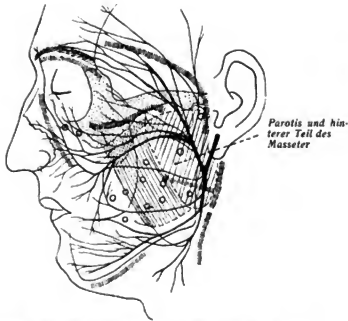
## Anwendungen.

### *Hinsichtlich der oberflächlichen Gesichtsgegend.*

Daß bei entzündlichen Schwellungen der Parotis besonders Kaubewegungen und Versuche, den Mund zu öffnen, Schmerzen hervorrufen, erklärt sich ohne weiteres aus ihren Lagebeziehungen zu Fossa retromandibularis. Da diese in der Tiefe auf den Pharynx führt, so erklärt es sich, daß größere von der Parotis ausgehende Geschwülste durch Kompression des Pharynx zu Schlingbeschwerden führen. Die Begrenzung durch den äußeren Gehörgang erklärt den gelegentlichen Durchbruch von Parotisabszessen in den äußeren Gehörgang.

Für die *Schnittführung* im Gesicht ist die Lage der Fazialisäste von entscheidender Bedeutung. Hierfür gilt auf Grund der anatomischen Verhältnisse Folgendes (Fig. 102). Alle oberflächlichen Inzisionen, die die Gesichtsmuskulatur oder die Parotis nicht erreichen, können ohne Rücksicht auf den Verlauf der Fazialisäste vorgenommen werden (siehe oben, Lagerung der Äste). Tiefe Inzisionen, die durch die Muskulatur gehen, oder die Parotis spalten oder solche, die in dem Gebiete zwischen Drüse und hinterem Rande der Gesichtsmuskulatur geführt werden (tiefe Abszesse, plastische Operationen, Tumoren, Exstirpationen, Resektionen usw. müssen den Verlauf der Fazialisäste berücksichtigen. Projektion des Stammes vom tiefsten Punkte der Incisura intertragica bis zur Mitte des Unterkieferastes. Nachteilig werden bei Fazialisverletzungen die Aufhebung des Lidschlusses und Beeinträchtigung der Bewegungen von Mund, Lippen, Wangen, Nase. Für den Lidschluß verantwortlich sind die Rami zygomatici und rami temporales, die die Nerven von seitwärts und die Rr. buccales, die sie von medial und innen heraufführen (zum M. procerus nasi und M. corrugator supercilii). Die gesamte Muskulatur der Oberlippe, Nase, nebst M. triangularis wird von den Nn. buccales versorgt. Der R. marginalis versorgt den M. quadratus labii inf. und mentalis. Der wichtigste Ast ist mithin der große, sich parallel dem Jochbogen und Infraorbitalrand, überall etwa 3 cm vom Knochen entfernt hinziehende Stamm, der Mund- und Nasenbewegungen vorsteht und Lidschluß bewirken kann, selbst nach Ausschaltung der Rr. zygomatico-temporales. Eine Anzahl Stellen sind *fazialisfrei* (Kreise in Fig. 102). Solche sind: die hintere Gegend des Kiefergelenks, die untere Parotisgegend, der muskulöse Teil des Masseter. Besonders gefährlich, weil reich an Fazialisästen, sind auf der anderen Seite die vordere Gegend des Kiefergelenks, der schräge Teil des Masseter, der Lauf des Ductus parotideus, die Mitte des Jochbogens. Zur Vermeidung der Fazialisstämme sind zahlreiche Schnittführungen angegeben worden, deren Indikationen die Praxis lehrt. Hier sind eine ganze Anzahl von ihnen abgebildet.

Die peripherischen Lähmungen des N. facialis gehören zu den häufigsten Lähmungen überhaupt.



Parotis und hinterer Teil des Masseter

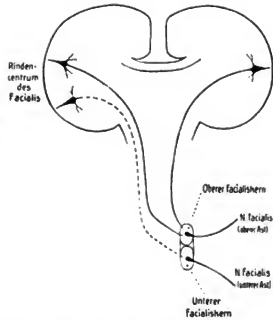


Fig. 103. Schema der zentralen Bahn des Facialis. Nach Villiger, die periphere Innervation. Leipzig, Engelmann.

Fig. 102. Lage der Facialisäste auf die Oberfläche des Gesichts projiziert; die von Facialisästen freien Stellen durch Kreise angedeutet; die wichtigsten Schnittführungsmethoden gestrichelt. (Nach Bockenheimer.)

unterscheiden sich von den zentralen Lähmungen (d. h. solchen des 1. Neurons) dadurch, daß bei der oberen Äste (Rami zygomatici und rami temporales) freibleibt, wahrscheinlich weil der Kern doppelseitig, der untere nur einseitig mit der motorischen Rinde in Verbindung steht.

Die Kenntnis der Austrittsstellen (s. o.) des 2. und 3. Trigeminusastes sind wichtig für Einleitung der Lokalanästhesie oder Exstirpation (Trigeminusneuralgie). Anästhesie des 2. Trigeminusastes Foramen infraorbitale ist bis auf den Nasenrücken hin wirksam, ferner unteres Augenlid, Oberlippe, Nasenflügel (Haut und Schleimhaut), Zahnpulpa der Incisivi und Caninus, sowie Zahnfleisch Periost dieser Gegend. Das Foramen ist zugänglich entweder von außen her durch Einstich oder durch die Haut, oder — für blutige Aufsuchung besser — vom Vestibulum oris her. Auch oberhalb des Orbitalrandes kann der Nerv am Boden der Orbita erreicht werden. Weitergehende Anästhesie (übrige Zähne, Gaumen, Highmorshöhle, ist nur durch Einstich und Einspritzung in die Fossa sphenopalatina zu erreichen. Wenn man aber die einzelnen Zähne behandeln will so genügt Injektion in das Zahnfleisch her, weil der Plexus dentalis superior (nicht der inferior!) nur durch eine dünne Knorpelplatte von der Schleimhaut getrennt ist.

**Hinsichtlich des Kiefergelenkes.** Aus den anatomischen Verhältnissen erklären sich die Symptome der Luxation. Die normale Bewegung bei der Öffnung (s. o.) ist bereits als physiologische Luxation aufzufassen. Eine völlige Luxation tritt ein, wenn der Kondylus nicht auf dem Tuberculum articulare stehen bleibt, sondern weiter vorn an ihm wieder in die Höhe tritt. Wo kein Tuberculum articulare ist (bei Kindern und individuell beim Erwachsenen, dagegen kein Greisenmerkmal), kann keine Luxation auftreten. Die Kapsel reißt nicht (Schlaffheit, Nachgiebigkeit ihres hinteren Teils). Unterkiefer steht vorn wie verhakt (Kontraktion vor allem der vordersten Fasern des M. temporalis und Spannung des lateralen Seitenbandes) und läßt sich nicht schließen. Die Mm. masseter pterygoideus internus müssen bei dem nach vorn luxierten Kiefer den Kieferwinkel heben, also im Sinne stärkerer Abhebelung der Zahnreihen voneinander wirken. Die Fossa glenoidalis ist, wie von außen fühlen kann, leer. — Bei Exartikulation und Resektion ist die Lage der A. maxillaris interna zu beachten! Die Insertion der Muskeln am Unterkiefer macht die schräge Durchtrennung des Kieferknochens bei Resektionen nötig.

**Hinsichtlich der tiefen Gesichtsregion.** Vom Munde aus wird durch Einstich das Gebiet des Lingualis und N. alveolaris unempfindlich gemacht, wenn man außerhalb des Einganges in den Canalis alveolaris beginnend und dann in den Kanal eindringend das Anästhetikum einspritzt. Die beiden

Fig. 104. Begrenzung der knöchernen Augenhöhle. Stirnbein rot, Keilbein braun, Tränenbein grün, Siebbein u. Proc. orbitalis des Gaumenbeins blau, Oberkiefer orange, Jochbein gelb.

Fig. 105. Frontalschnitt, der knöchernen Augen-, Nasen- und Kieferhöhlen.

Fig. 106. Austritt des I. Trigeminusastes und der Stirnäste der A. ophthalmica.

Nervenstämme liegen hier etwa  $1\frac{1}{2}$  cm auseinander. Einstichstelle ist das kleine dreieckige Feld, das man am eigenen Munde zwischen letztem unterem Molaren und der scharfen Kante des Proc. coronoides fühlen kann. Es wird hierdurch Anästhesie der halben Zunge, des Zahnfleisches und der Zähne erreicht. Außen erstreckt sich die völlige Anästhesie nur auf einen kleinen Teil der Lippe wegen des Ausstrahlens des N. auricularis magnus in das Gebiet des N. mentalis. (Fig. 100.)

Die Lymphbahnen der Wange, des Kinns, der Schläfen- und Stirngegend sind in ihren weiteren Verlauf von denen der Nase, der Lippen und des äußeren Ohres nicht scharf zu sondern; die der Wange und des Kinnes ziehen zu den submental und submaxillaren Drüsen hin, können auch zu den Drüsen der anderen Körperseite hinübertreten. Die Lymphgefäße der oberen Teile des Gesichtes ziehen zu den Lymphknoten der Parotis, können auch unter Überspringung dieser Drüsengruppe zu den oberflächlichen oder tiefen Zervikaldrüsen ziehen (am vorderen Rande des M. sternocleidomastoideus oder unter diesem Muskel neben der Vena jugularis interna).

### X. Die Augenhöhle. (Fig. 104, 105, 123, 127.)

Die *knöcherne Augenhöhle* wird von *sieben* Knochen begrenzt (Os frontale, Os ethmoidale [lamina papyracea], Os maxillare, Os lacrymale, Os zygomaticum, Os sphenoidale [Ala major, facies orbitalis und Ala minor] und Os palatinum [Proc. orbitalis]). Sie kann ihrer Gestalt nach mit einer *vierseitigen Hohlpyramide* verglichen werden, deren Basis im Bereich des Margo supra- und infraorbitalis (Aditus orbitae) und deren Spitze am Foramen opticum (für N. opticus und A. ophthalmica) gelegen sind.

Die *laterale Wand* besteht vorn aus der Orbitalfläche des Jochbeins, hinten aus der Facies orbitalis des großen Keilbeinflügels, oben und vorn aus dem Processus zygomaticus des Stirnbeins. In dieser Fläche liegt das kleine Foramen zygomatico-orbitale (für den N. zygomaticus des 2. Trigeminusastes). Es führt nach außen in zwei Kanäle: Canalis zygomaticofacialis zur Wange und C. zygomatico-temporalis zur Schläfengegend für die gleichnamigen Äste des N. zygomaticus. Die laterale Wand trennt die Orbita von der Schläfengrube.

Außer durch das zur Aufnahme des Sehnerven und der A. ophthalmica bestimmte Foramen opticum wird die Verbindung der knöchernen Augenhöhle mit der Schädelhöhle durch die *Fissura orbitalis superior* vermittelt (für die Nn. oculomotorius, trochlearis, ophthalmicus und abducens und die V. ophthalmica).

Die *untere Wand* wird von der Orbitalplatte des Oberkiefers (Facies orbitalis maxillaris) eingenommen, die hier den vorn unterhalb des Margo infraorbitalis durch das Foramen infraorbitale ausmündenden Canalis und Sulcus infraorbitalis enthält (für den gleichnamigen Nerven [aus dem R. maxillaris trigemini] und die Arterie [aus der maxillaris interna], s. Fig. 127). Vorn seitlich trägt zur Bildung der unteren Wand noch ein Teil der Facies orbitalis ossis zygomatici und ganz hinten noch der Processus orbitalis des Gaumenbeins bei. Die untere Wand trennt die Orbita von der Kieferhöhle (vgl. S. 51).

Die *obere Wand*, gebildet von der sehr dünnen Pars orbitalis des Stirnbeins (s. Fig. 41, 104 und 127) und hinten zum kleineren Teil von dem kleinen Keilbeinflügel, bildet vor seitlich unter dem Processus zygomaticus die für die Aufnahme der Tränendrüse bestimmte *Fossa glandulae lacrymalis*, vorn medial dagegen die kleine Fovea trochlearis (gelegentlich auch eine Spina trochlearis), die Fixationsstelle der Sehne des M. obliquus superior. Medial liegt in dem Margo supraorbitalis die *Incisura* oder das *Foramen supraorbitale* für

Fig. 104.

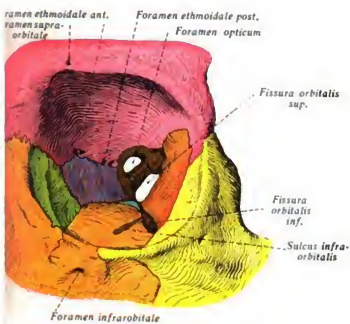


Fig. 106.

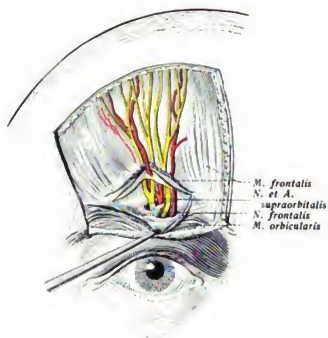


Fig. 105.

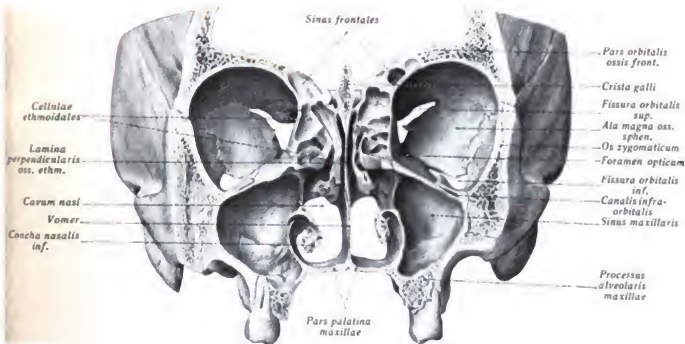


Fig. 107.

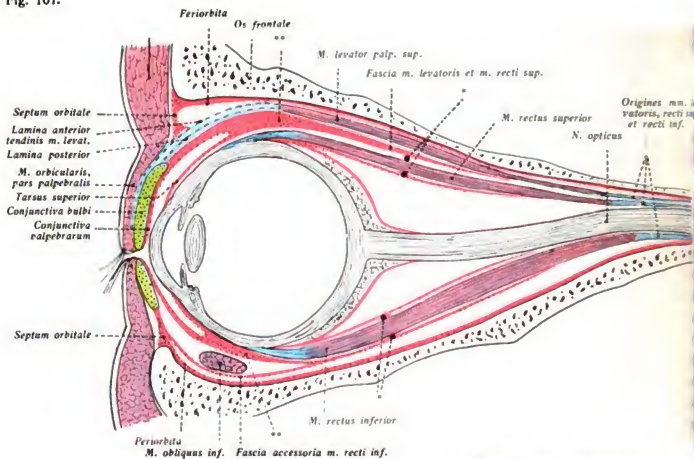


Fig. 108.

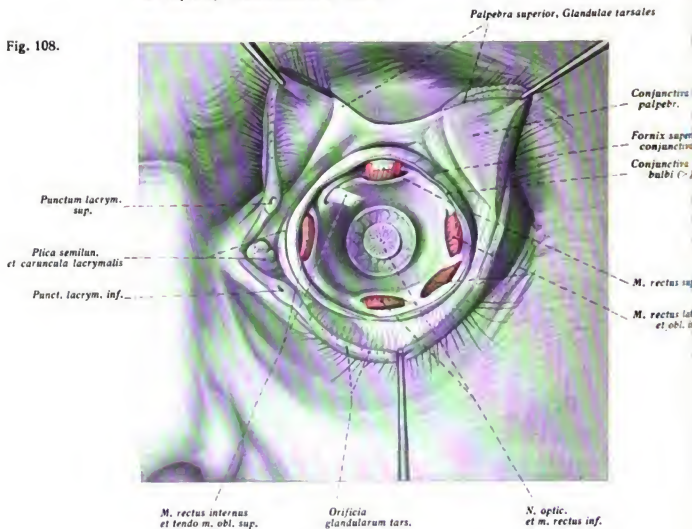


Fig. 107. Schematischer Längsschnitt durch den Bulbus innerhalb der Orbita. Änderung des von O. Schultze gegebenen Schemas nach der Darstellung von H. Virchow (Abhdg. der Berl. Akademie 1902). Sehnenplatten des M. levator palpebrae superioris blau, Fascia bulbi und sonstige bindegewebige Hüllen rot.

\*) Verbindungen zwischen Muskeln und Fascienseiden.

\*\*) Verbindung der Tenonschen Kapsel mit dem Fornix conjunctivae.

Fig. 108. Fascia bulbi mit hindurchtretenden Muskeln. Beziehungen der Fascia bulbi zum Fornix conjunctivae.

n Nerven und die Arterie gleichen Namens. Die obere Wand trennt die Orbita von der Schädelhöhle, öfters auch von der nach hinten weit ausgedehnten Stirnhöhle (s. S. 88).

Die *mediale* Wand wird von dem zarten Os lacrymale, weiterhin von der Lamina pyramidealis des Siebbeins und hinten von einem Teil der lateralen Fläche des Keilbeinrumpfes gebildet. Vorn liegt, begrenzt von der Crista lacrymalis anterior maxillae, d. i. im medialen Ende des Margo infraorbitalis, und der Crista lacrymalis posterior des Siebbeins die *Fossa sacci lacrymalis* zur Aufnahme des Tränensacks; von hier aus sonoriert man leicht nach abwärts den unter der unteren Nasenmuschel ausmündenden *Canalis lacrymalis*. Weiter hinten an der medialen Wand liegen die Foramina ethmoidalia anteriora et posteriora, von denen das erstere in die Schädelhöhle (für N. et A. ethmoidalis ant.), das letztere in die hinteren Siebbeinzellen führt (für N. et A. ethmoidalis post.). Der größte Teil der medialen Wand trennt die Orbita von den Cellulae ethmoidales. Hier findet man sehr dünne Knochen (besonders bei alten Leuten) zum Schwund kommen, so daß nun dem Periost der Orbita die Schleimhautauskleidung der Cellulae ethmoidales streckenweise unmittelbar anliegt.

Am *stärksten* ist die laterale Wand der Orbita. Die übrigen Wände sind *schwächer* und dadurch zu Perforationen vorgebildet (s. Fig. 105).

Das die Orbita auskleidende Periost (Fig. 107) ist die *Periorbita*. Eine vom Periost des Orbitalrandes ausgehende derbe Bindegewebsplatte findet, in frontaler Richtung septumartig ausgespannt, am freien Rande des Tarsus der beiden Lider ihr Ende. Sie dient zur Verstärkung des Abschlusses der Lider gegen den Orbitalinhalt. Sie heißt *Septum orbitale*. Die aus der Orbita zur Stirngegend verlaufenden Nerven und Gefäße durchbohren dieses Septum orbitale, das von der Endsehne des M. levator palpebrae superioris durchsetzt wird. Lateral heftet sich diese septale Bindegewebsplatte an den knöchernen Orbitalrand, die Raphe palpebralis lateralis bildend. Medial befestigt sich das Septum an der Crista lacrymalis posterior und verwächst hier mit dem Ligamentum palpebrale mediale.

Das *Orbitalfett* (Corpus adiposum orbitae) findet nach dem Bulbus zu seine glatte Begrenzung durch die *Fascia bulbi* (*Tenonsche Fascie* [s. Fig. 107]), in der der Bulbus in seinen Bewegungen, wie in einer Gelenkpfanne, rollt. Zwischen der Fascie und dem Bulbus liegt ein von Lymphe erfüllter Spaltraum, *Spatium interfasciale* (*Tenoni*) oder der Tenonsche Raum. Die Fascie verliert sich nach der Hornhaut hin allmählich in das der Sklera aufgelagerte Bindegewebe, entsendet aber Faszikel zum Fornix conjunctivae und zum Septum orbitale, so daß die mit der Fascia bulbi verlöteten Augenmuskeln direkt auch eine Spannung jener fibrösen Apparate vornehmen können. Die sechs Augenmuskeln nämlich werden dort, wo sie mit ihren Sehnen zur Sklera treten, von Scheiden der Fascia bulbi umhüllt, so daß nach Herausnahme des Bulbus die Stümpfe der sechs Muskeln durch je einen Schlitz der Fascie hindurchtreten (Fig. 108).

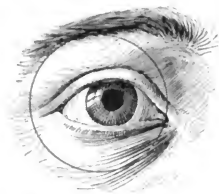


Fig. 109. Ausdehnung des Konjunktivalsackes durch einen schwarzen Kreis bezeichnet.

Die Fascia bulbi sondert den gesamten Inhalt der Orbita in zwei Teile, den präfaszialen und den retrofaszialen. Zum präfaszialen Teil gehören Lider, Konjunktiva, Tränenrüse, Tränenwege und der Bulbus selbst. Retrofaszial liegen die Augenmuskeln und die Gefäße und Nerven der Orbita.

Die *Augenlider* (s. Fig. 107) gehen aus Hautfalten hervor, die den anfangs freiliegenden Bulbus während des Embryonallebens überwachsen. An der *Lidkante* geht die äußere Haut in die Bindehaut oder Konjunktiva über, die als *Conjunctiva palpebrarum* die Innenfläche der Lider überzieht und sich am *Fornix conjunctivae* auf die *Conjunctiva bulbi* umschlägt. Diese reicht bis zum Kornealrande. Unter der fetten Haut liegt der *M. orbicularis oculi*, der sich über den

vorderen Orbitalrand ausdehnt und aus der Pars orbitalis, Pars palpebralis und den kleinen Bündeln der Pars lacrymalis, die hinter dem Tränensack verlaufen, besteht. Ihn Festigkeit erhalten die Lider durch die Bindegewebsplatte des Lidknorpels, *Tarsus* (Fig. 107, 108), der oben stärker als unten ausgebildet ist. Er schließt im oberen Lid 20—30 im unteren etwas weniger *Glandulae tarsales (Meibomi)* ein, alveoläre, den Talgdrüsen nahestehende Drüsen, die vor der Lidkante, also noch im Bereich der äußeren Haut, ausmünden. Vor ihnen ragen die in 2—3 Reihen angeordneten Zilien aus dem Lidrande heraus. Die Endsehne des *M. levator palpebrae sup.* liegt, nachdem sie das Septum orbitale durchsetzt hat, der Vorderfläche des Tarsus locker auf und reicht bis zur unteren Lidkante.

*Conjunctiva palpebrarum*, *C. bulbi* und vordere Fläche der Hornhaut begrenzen den bei Lidschluß geschlossenen, spaltförmigen *Konjunktivalsack*, der mit dem *Fornix conjunctivae* unter den Lidern abschließt und der Mitte der Lidränder gegenüber am tiefsten ist, so daß der auf die Außenfläche linear projizierte Fornix ungefähr einer *Kreislinie* (s. Fig. 109) entspricht, deren Durchmesser vom lateralen zum medialen Lidwinkel verläuft. Die mehr oder weniger leukozytenreiche *Conjunctiva palpebrarum* ist fest mit dem *Tarsus* verwachsen.

Die in der *Fossa lacrymalis* des Stirnbeins gelegene *Tränenrüse* (Figur 73), besteht aus einem größeren oberen (Pars orbitalis) und einem kleinen unteren (Pars palpebralis), von dem ersteren nicht immer scharf abgegrenzten Teil, schmiegt sich mit einer konvexen Fläche der Fossa an und erreicht mit ihrem vorderen Rand den Margo superior orbitalis. Zwischen beiden Drüsenkomplexen zieht sich ein Teil der Endsehne des *M. levator palpebrae superioris* vor seiner Ausbreitung auf dem Tarsus hindurch. In der *Fornix conjunctivae* münden oberhalb des lateralen Lidwinkels ungefähr zehn feine Gänge des Drüsenapparates ein. Die beiden *Tränenröhrchen* (Fig. 110), von denen das untere etwas weiter und kürzer als das obere ist, sind ungefähr 0,5 mm dick, aber durch Sonden bis zum dreifachen Durchmesser erweiterungsfähig. Sie beginnen am medialen Ende der Lidränder mit dem *oberen und dem unteren Tränenpunkt*, *Puncta lacrymalia*, die man leicht am eigenen Auge im Spiegel sehen kann. Diese liegen auf den niedrigen *Fornices lacrymales*. Sie tauchen in den die Tränenflüssigkeit sammelnden *Tränensee*, *Lacus lacrymalis*, ein, aus dem sie sich füllen, um die Flüssigkeit in den in der *Fossa sacri lacrymalis* gelegenen *Tränensack*, *Saccus lacrymalis*, medialwärts abzuleiten. Dieser gewinnt



seinem oberen Teil  
ne Lagebeziehung zu  
m medial angelagerten  
teren Ende der Stirn-  
hle. Hinten wird er  
griffen von der Pars  
rymalis des M. orbis-  
laris, deren Kontrak-  
on zur Entleerung des  
änensackes nötig ist  
gl. Figg. 110, 111).  
m ihm läuft der *Duc-  
s nasolacrymalis* in  
m knöchernen gleich-  
migen Kanal nach ab-  
wärts, um *unter dem vor-  
eren Ende der unteren  
senmuschel*, also in  
m unteren Nasengang,  
szumünden (siehe Fig.  
0). Die Richtung des  
nges ist nicht genau  
rtikal abwärts, sondern  
as medial und rück-  
wärts, wobei jedoch geringe Variationen vorkommen. Der Verlauf des Ganzen entspricht  
ter von dem medialen Lidwinkel nach dem Zwischenraum zwischen dem 2. Prämolarm  
und dem 1. Molarzahu gezogenen Linie.

Der den wichtigsten Teil des Orbitalinhaltes bildende *Bulbus* füllt die Orbita nicht  
llig aus. Er liegt derart in dem vorderen weiten Teil der Augenhöhle, daß die Kuppe der  
ornhaut bei geradeaus gerichtetem Blick im Mittel in eine Höhe mit der vertikalen Ver-  
ndungslinie der Mitten des oberen und unteren Orbitalrandes fällt (s. Fig. 107). Hierbei  
ührt er nirgends den Orbitalrand; vielmehr bleibt allenthalben zwischen dem Bulbus  
d dem Orbitalengang ein Raum um den Bulbus. Wie man es am eigenen Auge leicht  
stellen kann, liegt außen der Bulbus vom Knochen unbedeckt, also ungeschützt. Ins  
nere des Auges projiziert, liegt der Knochen hier in der Höhe der *Processus ciliares*.  
ch von medial ist der Bulbus wenig geschützt, am meisten von oben, weniger von  
ten her. Der durch den *Canalis opticus* eintretende *Sehnerv* verläuft ungefähr in der  
ngsachse der Orbitalpyramide zur hinteren Bulbusfläche, die er einige Millimeter nasal-  
wärts von dem hinteren Pol (s. Fig. 127) erreicht; während dieses Verlaufes verläuft der  
n der Pia- und Durascheide umgebene Nerv nicht genau geradlinig, sondern in Krümmun-  
n (s. Fig. 117). Ein horizontaler günstiger Gefrierschnitt trifft die Nerven in einer  
ene liegend und in fast gestrecktem Verlauf.

Der Raum hinter der *Fascia bulbi* wird von dem orbitalen Fett, den willkürlichen  
genmuskeln, den Blutgefäßen, Nerven und Faszien ausgefüllt.

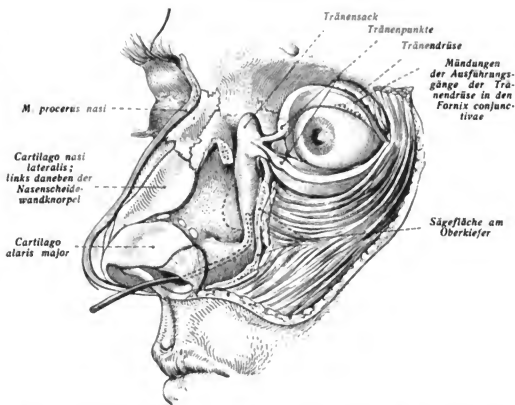


Fig. 110. Abführende Tränenwege. Kombination eines Präparates, bei dem durch Abtragung des Nasenbeines, des Stirnfortsatzes, des Oberkiefers und eines Stückes des Flügelknorpels die Nasenschleimhaut von außen freigelegt worden ist, mit der Originalabbildung von O. Schultze. Durch die ovale Öffnung des Tränennasenkanales ist eine Sonde eingeführt.

Fig. 112. Muskeln des Bulbus. Ansicht von oben.

Fig. 113. Hindurchtritt der Orbitalnerven durch die Fissura orbitalis superior, ihre Beziehungen zum Annulatus tendineus Zinnii. Farben wie in Fig. 116.

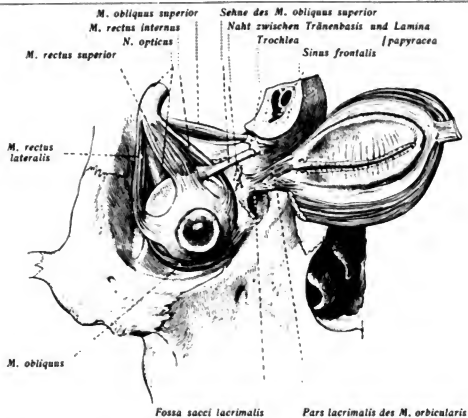


Fig. 111. Rechter Bulbus oculi in situ mit Augenmuskeln; pars lacrimalis des M. orbicularis oculi von innen.

bus liegt. Die *Mm. recti superior, lateralis, inferior* und *medialis* setzen an dem oberen, lateralen, unteren und medialen Umfang des Bulbus vor dessen Äquator mit weißglänzenden platten Sehnen an, derart, daß im Mittel der *M. r. sup.* 7,7 mm, der *M. r. later.* 6,9 mm, der *M. rectus inf.* 6,5 mm, der *M. rectus medial.* 5,5 mm vom Kornealrand entfernt in das Bulbusgewebe der Sklera übergehen. Der *M. obliquus superior*, durch seine lange Sehne der Trochlea an die Fovea trochlearis fixiert, läuft mit seiner Sehne unter dem *M. rectus superior* hindurch, um auf der oberen Bulbusfläche hinter dem Äquator zwischen der Insertion des oberen und des lateralen *M. rectus* zu inserieren. Der *M. obliquus inferior* verläuft lateralwärts und nach hinten gerichtet, verläuft unter dem *M. rectus inferior* und schließlich hinter dem Äquator, und zwar an der temporalen Bulbusseite zwischen der Insertion des *M. rectus lateralis* und Opticuseintritt an. Der *M. levator palp. superioris* bedeckt den *M. rectus superior* fast ganz und strahlt in den Tarsus des Oberlides aus. Die Sehnen durchbohren die Fascia Tenoni, nachdem die Faszien der Muskeln mit dieser verwachsen sind (Fig. 107, 108).

Die *Arteria ophthalmica* ist der einzige nicht das Gehirn versorgende Ast der Carotis interna. Da aber die Netzhaut entwicklungsgeschichtlich ein „Lobus opticus“ des Gehirns ist und ihre Hüllen den Gehirnhüllen morphologisch gleichwertig sind, so wird die Versorgung durch einen Ast der Gehirnarterie erst recht als gesetzmäßig erkannt. Die *A. ophthalmica* geht aus der letzten nach vorn konvexen Krümmung der Carotis interna (s. S. 77) hinter dem Canalis opticus hervor und tritt mit dem *N. opticus* durch das Foramen opticum

### Die Augenmuskeln

Fig. 107, 111, 112, 113) entspringen mit Ausnahme des von dem Bogenmuskel der Orbita hinter dem medialen Teil des Margo inferior orbitalis entspringenden *M. obliquus inferior* alle von der Umrandung des Canalis opticus. Ihre Ursprungssehnen sind hier zu einer einheitlichen sehnigen Scheide (Annulus tendineus Zinnii) vereinigt, die den Sehnerven in seinem Hindurchtritt durch das Foramen opticum umhüllt. Die Muskeln bilden ihrem Verlauf bis zum Bulbus eine, wenn auch nicht völlig geschlossene Hemisphäre, deren Basis ungefähr in dem Äquator des Bulbus

*M. obliquus superior*    *M. rectus medialis*

Fig. 112.

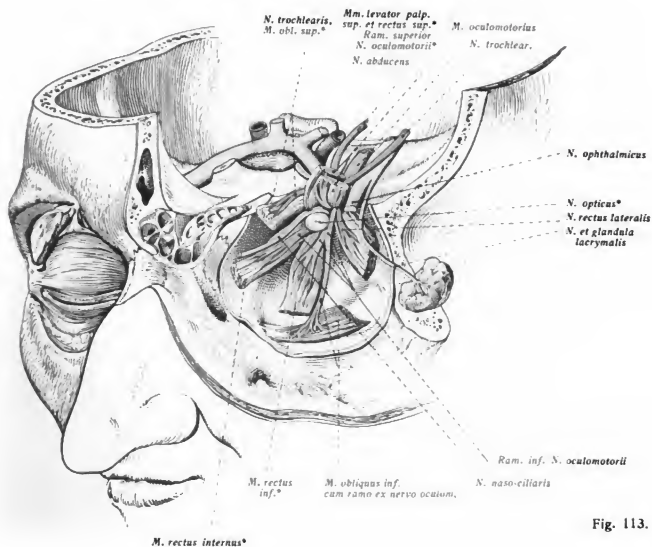
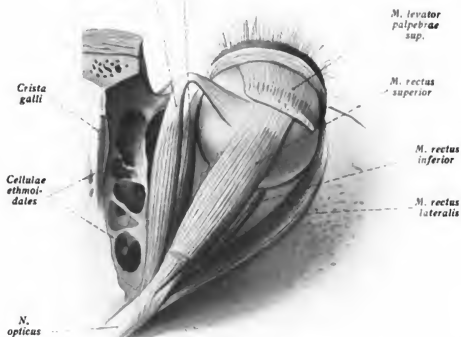


Fig. 113.

Fig. 114.

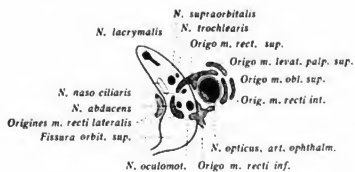


Fig. 115.

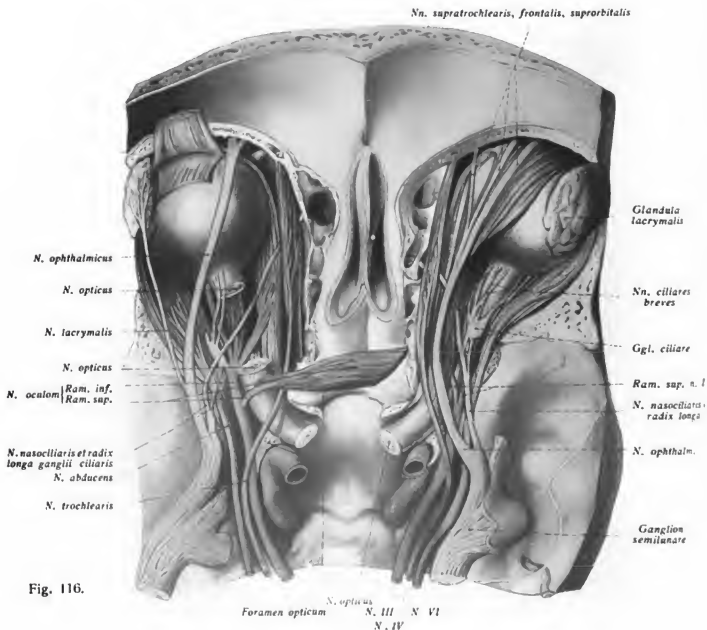
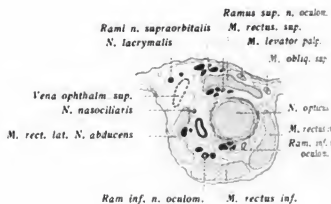


Fig. 116.

Fig. 114. Fissura orbitalis superior, Ursprung der Augenmuskeln, Situs der Nerven. Nach Merkel, aus dessen Handbuch der topographischen Anatomie.

Fig. 115. Situs der Nerven und Gefäße im hinterem Drittel der Orbita. Nach Merkel, ebendaher.

Fig. 116. Nerven der Orbita, rechts in situ, links auseinandergelegt. N. ophthalmicus gelb, N. abducens rot, N. oculomotorius blau, N. trochlearis grün.

die Augenhöhle, zuerst nach unten, dann lateral von diesem gelegen. Sie zieht dann zwischen N. opticus und M. rectus superior medialwärts über den N. opticus und weiterhin des M. obliquus superior nach vorn. Unterhalb der Trochlea verläßt sie die Orbita und zerfällt in ihre Äste, die A. dorsalis nasi (zur Anastomose mit der A. angularis, Endast der A. maxillaris externa) und die A. frontalis sowie die A. palpebrales mediales zu den Lidern. Äste sind: A. lacrymalis zur Tränendrüse und nach außen zu den Artt. palpebrales laterales; A. supraorbitalis, der stärkste Ast, dicht unter der Periorbita gelegen und durch Foramen oder Incisura supraorbitalis nach außen; Artt. ethmoidales anterior und posterior durch die gleichnamigen Löcher, die erstere, wichtigere mit N. ethmoidalis anterior zur Schädelhöhle (A. meningea anterior) und Nasenhöhle (A. alaris anterior); ferner Muskeläste und die wichtigen inneren Augenarterien Artt. ciliares anteriores breves et longae, Artt. ciliares anteriores und die kleine wichtige Endarterie, A. centralis retinae, deren Verlauf in der Achse des Sehnerven durch die entwicklungs-  
schichtliche Tatsache erklärt wird, daß sie bei der Einstülpung des anfangs hohlen Augenblasenstiels von ihm umschlossen wird.

Die Venen der Augenhöhle sammeln sich in zwei stärkeren Stämmen. Die Vena ophthalmica superior, die stärkere von beiden, liegt zunächst medial, geht dann zwischen N. opticus und M. rectus superior hindurch lateralwärts und mündet durch die Fissura orbitalis superior hindurch in den Sinus cavernosus. Am medialen Augenwinkel steht sie in Anastomose mit der Vena angularis (von der V. facialis anterior) und der Vena frontalis. V. ophthalmica inferior entsteht am medialen Teil des Bodens der Orbita und mündet in die V. ophthalmica superior kurz vor deren Austritt aus der Orbita, teils durch die Fissura orbitalis inferior in die Flügelgaumengrube zum Plexus venosus pterygoideus und zur V. facialis posterior und anterior. Auch mit den Venen der Nasenhöhle bestehen Verbindungen. Die untere Vene kann auch fehlen. Alle Venen sind klappenlos.

Die Nerven der Augenhöhle, der sensible erste Trigeminusast, N. ophthalmicus, mit drei Ästen und die Augenmuskelnerven, Nn. oculomotorius, trochlearis und abducens (s. Fig. 64, 103–117) treten sämtlich durch die Fissura orbitalis superior in die Augenhöhle ein, und zwar daß drei Nerven außerhalb des Annulus tendineus durch den von Dura mater erfüllten Hohlraum der Fissura orbitalis superior hindurchziehen, drei andere aber innerhalb des Kegels der Augenmuskeln ihren Weg in die Orbita nehmen. Jene ersten sind am weitesten außen, N. lacrymalis, dann der N. supraorbitalis. Dicht neben ihm am weitesten medial der trochlearis. Durch den Annulus tendineus treten die Nn. oculomotorius und abducens und zwischen ihnen der N. nasociliaris. Weiter nach vorn (Fig. 115), wenn die Pyramide der Augenmuskeln sich weiter entfaltet, treten die Nerven auch weiter auseinander. Am oberflächlichsten und nach Aufmeißelung der Orbita von der Schädelhöhle aus unter der Periorbita sofort auffindbar ist der N. frontalis (auf dem M. levator palpebrae superioris), aus dem N. ophthalmicus, dessen bereits oben bei der Kopfschwarte gedacht worden ist. Dicht medial von ihm, ihm teilweise eng angelagert, zieht der N. trochlearis zum M. obliquus superior. Gleichfalls oberflächlich aber weit lateral liegt der N. lacrymalis (zur Tränendrüse).

Unterhalb der beiden oberen Muskeln (Levator palpebrae und Rectus superior) findet man zunächst den diese beiden Muskeln versorgenden oberen (schwächeren) Ast des N. oculomotorius. Der N. nasociliaris liegt eine Etage tiefer. Er hat sich nach medial gewendet, um zusammen dem hinteren Teil des M. rectus superior und dem N. opticus in Beziehung zum Ganglion ciliare zu treten und die Nn. ciliares longi abzugeben; alsdann zerfällt er in die Nn. infratrochlearis (zum oberen Augenlid, Tränensack, medialen Augenwinkel), ethmoidale posterior (schwach, Schleimhaut des Siebbeinlabyrinthes, durchs. For. ethmoidale poster.) und N. ethmoidalis anterior. Letzterer ist die Fortsetzung des Stammes und tritt zwischen den Mm. obliquus superior und Rectus medialis zum Foramen ethm. ant. (s. o. S. 44). einer dritten Etage, unterhalb des Sehnerven und erst nach dessen Beiseitedrängung oder Exstirpation (s. Fig. 115, 116) gut sichtbar zu machen, liegt der N. abducens, der von Anfang an neben seinem Muskel (R. lateralis) liegt, überhaupt die tiefste Lage von allen Nerven bei Eintritt einnimmt und der tiefe Ast des N. oculomotorius. An diesem sieht man alsbald zwei kräftige, pinselartig aufgeteilte Äste zu den Mm. Rectus internus und inferior treten, während der starke Ast zum M. obliq. inferior hart am inneren Rande des M. rectus inferior nach vorne zieht.

Das Ganglion ciliare ist dem Sehnerven seitlich aufgelagert und wird vom M. rectus lateralis überdeckt. Zu ihm tritt die Radix longa (sensitiva). Sie wird durch ein oder mehrere Fädchen aus dem N. nasociliaris dargestellt. Als Radix brevis (motorica) fungieren kurze dicke Stämmchen aus dem unteren Ast des N. oculomotorius. Diese führen die (autonomen!) Fasern für die Verengung der Pupille und die Akkommodation. Die sympathischen Verbindungen treten aus dem Geflecht der A. carotis interna aus dem Sinus cavernosus hinzu. Sie führen unter anderem die Fasern der Erweiterung der Pupille mit sich. Hier wird das Ggl. ciliare zu einem kleinen Zentralorgan für den Bulbus, das mit diesem durch die N. ciliares breves verbunden ist. Schließlich finden wir zwei Zweige des zweiten Trigeminusastes, des N. maxillaris, nämlich den schwachen mit dem N. lacrymalis anastomosierenden N. zygomaticus zwischen Knochen und Periorbita und den wichtigen N. infraorbita (s. S. 67) ebenfalls noch im Bereich der Orbita. Der erstere ist wichtig, weil er die Basis darstellt, auf dem die sekretorischen Reize zur Tränendrüse gelangen (durch den N. periorbit. sup. major und das Ganglion sphenopalatinum).

### Anwendung.

Hinsichtlich des Lidapparates besitzen die Drüsen praktische Bedeutung als Sitz der Hordeoliträger Entzündungen von Lidranddrüsen oder Meibomschen Drüsen. (Hiernach werden Hordeola externa und interna unterschieden.) Chalazien sind kleine Geschwülste. Sie gehen von den Meibomschen Drüsen und ihrer Umgebung aus, veranlaßt durch Sekretverhaltung.

Normale Funktion des Orbicularis palpebrarum ist Voraussetzung eines normalen Abflusses der Tränenflüssigkeit, da die Muskelwirkung den Tränensack erweitert und die Flüssigkeit aspiriert. In hinten gelegenen Pars lacrymalis kommt dabei eine auspressende Wirkung zu. Für Sondierung des Tränensacks bietet das untere Tränenröhrchen durch Kaliber und Verlauf (s. o.) den geeigneten Weg.

Die Fascia bulbi ist durch ihre Verbindung mit dem Bindegewebe der Konjunktiva an deren Faltungen und durch die innigen Beziehungen zum Septum orbitale wie auch zu den Augenmuskeln eine feste Einrichtung, die den Bulbus fixiert und sein Hervortreten nach vorn unter normalen Umständen verhindert, während durch die Nachgiebigkeit des Fettgewebes und die leichten Krümmungen des Sehnerven eine Rückwärtsverlagerung des Bulbus in geringen Grenzen möglich ist. Der normal gelegene Bulbus überschreitet mit dem Scheitel der Hornhaut nie die Ebene des Septum orbitale. Ist dies

l, so liegt *Exophthalmus* vor. Bei der normalen Lage ist zu beachten, daß der knöcherne Rand der Orbita dem Bulbus nur mangelhaften Schutz gewährt; am besten von oben her, wo der Margo supralibitalis den Bulbus deckt, weniger von unten her, noch weniger von der nasalen, am wenigsten von den temporalen Seiten. Nasal entspricht die Knochenwand etwa dem Hornhaut-Iriswinkel, temporal so erst der Ora serrata des Bulbus. Von seitwärts kommende Einwirkungen können demnach am leichtesten zu schweren Verletzungen führen.

Verengerungen der Orbita (Geschwülste der Wandungen und Nebenhöhlen der Nase) oder Verengung des Orbitalinhaltes (Tumoren, Ergüsse, Eiterungen) führen zum Exophthalmus.

Symptomatisch sind Lidschwellungen bedeutsam, da sie auftreten können als Folge weiter zuzuliegender Veränderungen vor allem an den abführenden Blutbahnen (Thrombose der Orbitalvenen, Sinus cavernosus). Die Beziehungen der Dura mater-Sinus zueinander machen es verständlich, daß Symptome gleichzeitig Ödeme der Warzenfortsatzgegend auftreten können (Sinus transversus, Emissum mastoideum). Hämatome der Augenlider, besonders des unteren sind symptomatisch von grober Bedeutung (basale Schädelbrüche!). Die V. orbitalis superior sammelt das Blut aus den Lidern Stirn, der Nase und den Tränenwegen. Sie zieht ganz außen durch die Fissura orbitalis superior den Sinus cavernosus. Die V. orbitalis inferior sammelt das Blut aus den übrigen Teilen der Orbita steht mit den Venen des Gesichts und der Nasenhöhle in Verbindung, nach rückwärts mit der V. thalamica superior. Entzündungen im Gesicht (Furunkel, Karbunkel) können so zu Venenthrombosen führen, die sich in die Orbita und die Stirnsinus fortsetzen.

Der Ausbreitung entzündlicher Prozesse und Eiterungen nach außen hin gebietet das Septum orbitale. Dies Septum darf aber gleichwohl nicht als starre Platte angesehen werden, wird es doch durch Heben des Lides faltenartig nach oben emporgerafft. Nur der ringartige Wulst am Knochenrand ist unnachgiebig und unverschieblich.

Auch für Operationen (Exstirpation des Bulbus) ist die Anatomie der Tenonschen Kapsel von großer Bedeutung, da sie nebst der Conjunctiva bulbi erhalten wird und dadurch nebst den in den Kapilliten befestigten Stümpfen der Augenmuskeln den Prothesen Beweglichkeit gibt.

Von großer Bedeutung für das Verständnis von Orbital- und Sehnervenerkrankungen sind im letzten Jahrzehnt die Kenntnisse geworden, die wir von den Varietäten der *Nebenhöhlen der Nase* erhalten haben (Fig. 117). Schon in der Norm treten die Nebenhöhlen topographisch zur Orbita in enge Beziehungen. Die untere Wand bildet die oft sehr dünne Decke des Sinus maxillaris; in medialen Wand liegen die vorderen Siebbeinzellen, im innersten Teil der oberen Wand der Sinus sphenoidalis. Entzündungen der Nebenhöhlen können, zumal bei den in etwa 3 auf Tausend vorkommenden Anomalien der Knochenwand zu Orbitaleiterungen unmittelbar hinführen. Abnorme Sekretfüllungen der Nebenhöhlen können ihre Wandungen so stark vorbuchen, daß in der Orbita Raumbeengung mit Exophthalmus eintritt. Viel wesentlicher aber sind die außerordentlich häufigen Varietäten in der Ausgestaltung der Höhlen, deren Kenntnis für den praktischen Arzt heutzutage unerlässlich ist, wenn er in diagnostische Irrtümer verfallen und die Notwendigkeit rhinologischer Behandlung scheinbar Orbitalleiden außer acht lassen will. Die hier in Betracht kommenden Verhältnisse sind folgende:

1. Der Stirnsinus kann sich weit über die Orbita hin ausdehnen, bis an die Grenze des kleinen Schädels.

2. Die Keilbeinhöhle, die in der Regel vom Boden der Orbita durch eine dicke Schicht von Knochen getrennt ist, kann sich so weit ausdehnen, daß sie von unten her bis an die Durchtrittsstelle des Sehnerven reicht. Es kann sogar eine so starke Ausdehnung einer (z. B. der rechten) Keilbeinhöhle vorkommen, daß sie die Durchtrittsstelle des linken N. opticus erreicht.

3. Die hinterste Siebbeinzelle, die gewöhnlich vor der Keilbeinhöhle und in der horizontalen Ebene des Stirnbeins liegt (Frontoorbitalzelle), kann eine große Kavität darstellen und sich bis zur Durchtrittsstelle des Sehnerven, ja medial um ihn herum an seine untere Seite ausdehnen, so daß dann der Sehnerv in einer zarten, papierdünnen, dem Keilbein angehörigen Knochenhülle durch einen weiten Hohlraum, eben die Frontoorbitalzelle, hindurch verläuft. Wie bei der Keilbeinhöhle ist auch hier die Abgrenzung bis zum kontralateralen Sehnerven beobachtet worden.

Treffen solche anatomische Verhältnisse mit Entzündungen der Nebenhöhlen zusammen wie sie

Fig. 117. Horizontalschnitt des Kopfes in der Richtung der Lidspalten (Gefrierschnitt). Die beiden Augenbälle sind so getroffen, daß die Sehnerven in der ganzen Länge bis zu dem teilweise noch erhaltenen Chiasma opticum h. liegen. Das Kleinhirn liegt noch unter dem vollkommen erhaltenen Tentorium cerebelli in der hinteren Schädelgrube. In der Incisura tentorii sind die beiden Pedunculi cerebri (Hirnstiele getroffen; das Großhirn ist ganz entfernt.

1 = Duralscheide des Sehnerven, 2 = Vierhügel, 3 = Kopfschwarte.

bei Erkrankungen der Nasenhöhle eintreten können, so kann ein Übergreifen des Prozesses auf die gleichseitigen oder kontralateralen oder auch auf beide Sehnerven (Blindheit!) die Folge sein.\*)

Die *Lymphwege* der Orbita zerfallen in zwei in praktisch-klinischer Hinsicht zu sondernde Abteilungen. Nur allein die Konjunktiva (bulbi, palpebrarum) und die Lider haben Lymphgefäße, während Bulbus und Orbita nur Lymphspalten besitzen, die (namentlich Spatium Tenoni vermittelt durch die Scheiden des Sehnerven) in Beziehung zu den Spalträumen der Hirnhäute stehen. Der Bulbus verhält sich auch hierin, wie es seine Entwicklung dartut, als *Gehirnteil*. Fortleitungen krankhafter Veränderungen finden also hier vorzugsweise gegen die Hirnhäute hin statt.

Der integumentale Anteil dagegen (Lider, Konjunktiva, Tränenapparat) steht auch mit dem integumentalen Lymphgefäßsystem in Verbindung. Die Hauptbahn führt seitwärts zu den Lymphknoten auf und innerhalb der Gl. parotis und weiterhin zu den oberflächlichen zervikalen Drüsen am unteren Pol der Gl. parotis. Ein kleinerer Bezirk (medialer Teil des unteren Augenlids, Tränenapparat, innerer Winkel des oberen Augenlids sendet seine Lymphe mit der Vena facialis anterior nach abwärts zu den Gl. submaxillares). Diese Bahnen spielen bei Tumoren und Tuberkulose der Lider usw. eine wichtige Rolle.

## XI. Die Nasenhöhle.

Das *Knochengestütze* (vgl. Fig. 105, 118, 119) der Nasenhöhle besteht aus 14 Knochen: vier unpaarigen (Keilbein, Siebbein, Stirnbein, Vomer) und fünf paarigen (Nasenbein, Tränenbein, Oberkiefer, Gaumenbein, unteres Muschelbein). Die *Apertura piriformis* wird gebildet durch den unteren Rand der Nasenbeine, die Incisura nasalis des Oberkiefers und die medialen Teile des Processus alveolaris maxillae. Die *Choanen* sind begrenzt durch die hinteren kurzen Kanten des Vomer, dem Processus pterygoideus des Keilbeins und der Pars horizontalis des Gaumenbeins.

An der Bildung des *Daches* (s. Fig. 118) oder der oberen Wand der knöchernen Nasenhöhle beteiligen sich vorn die *Nasenbeine*, dann die Pars ethmoidalis des *Stirnbeins*, die nach der Schädelhöhle den dünnwandig-porösen Abschluß bildende *Lamina cribrosa* des Siebbeins (für den Durchtritt der Riechnervenfaser), hinten endlich der die großen Keilbeinhöhlen einschließende *Körper des Keilbeins*.

Der *Boden* oder die untere Wand der Nasenhöhle fällt bei geradeaus gerichteter Blick sanft nach hinten ab und ist schwach rinnenförmig ausgehöhlt. Er besteht aus dem *Processus palatinus des Oberkiefers* und der *Pars horizontalis des Gaumenbeins*, die sich in der Sutura palatina transversa vereinigen.

Die *mediale Wand* oder die *vertikale Scheidewand* der beiden Höhlen ist fast senkrecht nach der einen oder der anderen Seite verbogen, gelegentlich so stark, daß dadurch die Nasenhöhle einseitig stark verengt oder sogar durch Anlagerung an die Seitenwand verschlossen werden kann.

Das Septum osseum setzt sich zusammen aus der *Lamina perpendicularis des Siebbeins* und dem *Vomer*, der sich mit seinen Alae der unteren Fläche des Keilbeinkörpers ansetzt.

\*) Entgegen dem Charakter dieses Grundrisses muß an dieser Stelle der Praktiker doch auf die wichtigste Quelle hingewiesen werden, die ihn über alle hier auch nicht annähernd zu berücksichtigenden Einzelheiten belehrt. Es ist die Abhandlung von A. Onodi: Die topographische Anatomie der Nasenhöhle und ihrer Nebenhöhlen im Handbuch der speziellen Chirurgie des Ohres und der oberen Atemwege, herausgegeben von Katz, Preysing und Blumenfeld. Würzburg 1912.



Fig. 117.

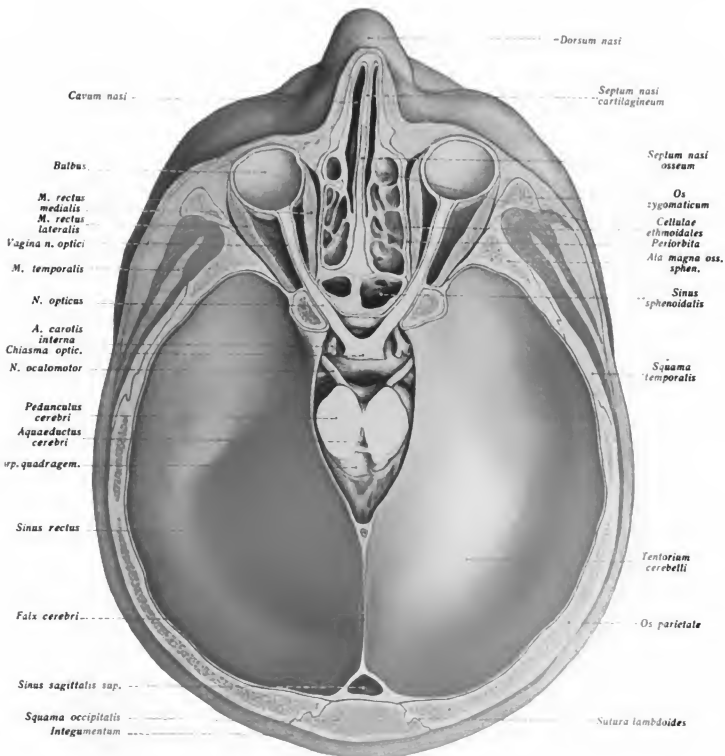


Fig. 118.

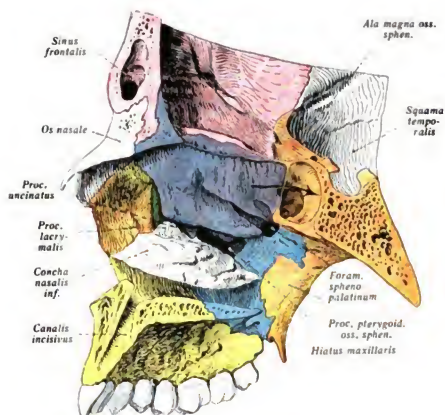


Fig. 119.

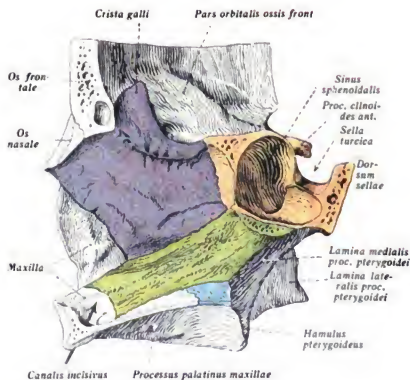


Fig. 118. Knöcherne Nasenhöhle; Seitenwand. Stirnbein rot, Siebbein violett, Keilbein braun, Oberkiefer gelb, untere Muschel weiß, Gaumenbein blau.

Fig. 119. Mediale Wand der knöchernen Nasenhöhle. Keilbein braun Siebbein violett, Vomer grün, Processus horizontalis des Gaumenbeins blau.

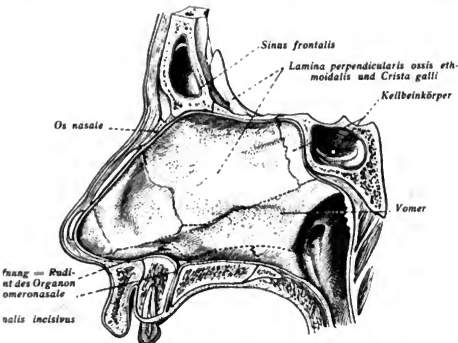


Fig. 120. Sinus des Organon vomeronasale. Nasenscheidewand von Schleimhaut überzogen, Knochengrenzen hindurchschimmernd gedacht und punktiert.

in der *Nasenmuschel* und die Mündungsstellen zahlreicher *Nebenhöhlen* (s. Fig. 122) sind komplizierter Bau. Oben und vorn kommen in Betracht das *Nasenbein*, der *Processus frontalis maxillae* und das *Os lacrymale*, weiter innen die mediale Fläche des *Corpus axillae* mit der weiten Mündung (Hiatus) des Sinus maxillaris, das *Siebbeinlabyrinth* (s. g. 105 und 117) mit den beiden (seltener drei) *Siebbeinmuscheln* (mittlere und obere Nasenmuschel) und hinten die *Pars perpendicularis* des Gaumenbeines und der *Processus erygoides* des Keilbeins. Die untere *Nasenmuschel*, an der *Crista conchalis* des Oberkiefer- und Gaumenbeins angeheftet, stellt einen selbständigen Knochen dar. (Vgl. die Aufzählung der Gesichtsknochen S. 16.)

Zwischen dem Boden der Nasenhöhle und der unteren Nasenmuschel liegt der *untere*, zwischen unterer und mittlerer Muschel der *mittlere*, zwischen mittlerer und oberer der *obere Nasengang*. Die Nasengänge kommunizieren unterhalb der freien Ränder der Nasenmuschel nach dem Septum hin *breit* mit dem Hauptraum der Höhle, sind natürlich von vorn nach hinten gerichtet und nehmen von unten nach oben an Länge und Weite ab (s. Fig. 122).

**Kommunikationen der Nasenhöhle.** Mit der Mundhöhle hängt die Nasenhöhle am efferierten Präparat durch den knöchernen *Canalis incisivus* zusammen, der vorn am Boden der Nasenhöhle neben dem Septum doppelt beginnt und vorn am harten Gaumen in einfacher Mündung in die Mundhöhle ausmündet. Dieser Kanal ist indes obliteriert; seine Mündung ist am harten Gaumen durch die *Papilla palatina* bezeichnet (mit der Spitze hinter den mittleren Dentes incisivi abtastbar). Von der Augenhöhle führt der *Canalis nasolacrymalis* herunter, der vorn im unteren Nasengang mündet; mit der Schädel-

anlegt, mit seinem unteren Rand der *Crista nasalis* des harten Gaumens aufliegt, mit dem hinteren freien Rand die beiden Choanen trennt und sich mit dem hinteren Teil seines vorderen Randes der *Lamina perpendicularis* des Siebbeins anfügt. Vorn wird das Septum durch das *Septum cartilagineum*, die *Cartilago quadrangularis* (*Cartilago sept. nasi*), vervollständigt. An der Nasenscheidewand ist des dort liegenden Rudimentes des Organon vomero-nasale zu gedenken (s. Fig. 120).

Die *laterale* Wand gewinnt durch das Vorhanden-

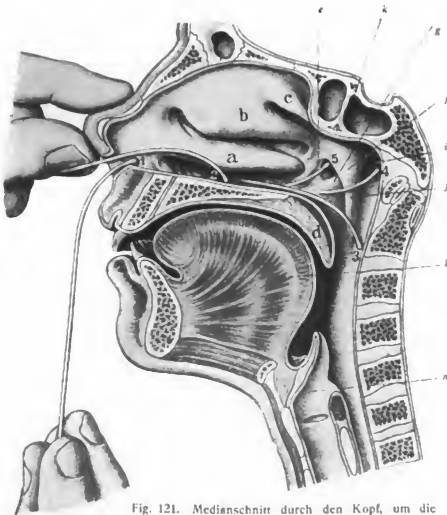


Fig. 121. Medianschnitt durch den Kopf, um die Einführung des Katheters in das Tubenostium zu zeigen (nach Brühl).

1. Der Katheterschnabel ist auf dem Nasenboden aufgesetzt.
2. „ „ „ ist gebogen und im unteren Nasengang vorgeschoben.
3. „ „ „ hat die hintere Nasenwand erreicht.
4. „ „ „ ist nach außen, in die Rosenmüllersche Grube herumdrehend.
5. „ „ „ ist aus der Rosenmüllerschen Grube über den Tubenwulst herübergezogen und dann in das Tubenostium hineingefallen, wobei er sich etwas nach außen und oben gedreht hat.

a) untere Muschel,  
b) mittlere Muschel,  
c) obere Muschel,  
d) uvula,

e) Plica salpingo-  
palatina,  
f) Plica salpingo-  
pharyngea,  
g) Levatorwulst,

h) Tubenwulst,  
i) Rosenmüllersche Grube,  
k) Kellbeinhöhle,  
l) Zunge, m) Epiglottis,

höhle besteht Verbindung durch die zahlreichen Löcher der *Lamina cribrosa* (für die *Fila olfactoria*), und in die Flügelgaumengrube (*Fossa sphenopalatina*) führt das *Furca sphenopalatinum* [siehe Fig. 118] (für die *A. sphenopalatina* und die *Nn. nasales posteriores superiores*).

Der an dem isolierten Oberkieferbein sehr weit *Hiatus maxillaris* wird durch An- und Überlagerung benachbarter Knochenteile bedeutend eingengt. Diese sind: die *Pars perpendicularis ossis palatini*, die untere Nasenmuschel mit dem *Proc. maxillaris* und *ethmoidalis* und der *Proc. uncinatus* des Siebbeins.

Die *Haut der äußeren Nase* ist da, wo sie auf knöcherner Grundlage ruht, verhältnismäßig; mit der *knorpeligen* äußeren Nase (*Cartilago lateralis nasi*, *Cartilago alar major*) dagegen ist sie je mehr verwachsen. Die Haut ist verhältnismäßig im Bereich der Flügel reich an großen, zum Teil mit bloßem Auge sichtbaren Talgdrüsen. Am Nasenloche geht die äußere Haut mit der

Haaren (*Vibrissae*) und den Talgdrüsen in die Schleimhaut der Nasenhöhle über und behält unter allmählichem Schwund der Drüsen und Haare den Charakter der Epidermis bis in die Gegend der *Apertura piriformis*. Dieser Teil der inneren Nase wird als *Vestibulum nasi* bezeichnet.

Nur die *Schleimhaut* der auf die obere und öfters auch auf kleine Regionen der mittleren Muschel, sowie auf die gegenüberliegenden Teile des *Septum nasi* beschränkten, kleinen *Regio olfactoria* trägt Riechepithel. Die Schleimhaut der *Regio respiratoria* haftet ohne daß sich ein submuköses Gewebe findet, direkt dem Periost an und besitzt durch Reichtum an Venengeflechten den Charakter *kavernösen* Gewebes, das besonders auf den freien Rändern der unteren und mittleren Muschel gut ausgebildet ist. An den Mündungen

der Nebenhöhlen setzt sich die Schleimhaut unter fast vollständigem Verlust der Drüsen und starker Verdünnung in die Auskleidung der Höhlen fort.

**Gefäße und Nerven der Nasenhöhle.** Der stärkste arterielle Ast ist die von der Flügelgaumengrube aus durch das Foramen sphenopalatinum eintretende *A. sphenopalatina* aus der *A. maxillaris interna* zur lateralen und medialen Wand der Höhle. Dazu kommen die kleinen *Aa. ethmoidales* (anterior et posterior) aus der *A. ophthalmica*, sowie Anastomosen mit der *A. maxillaris externa* im Bereich der Nasenflügel und mit den Gaumenarterien.

Die **Venen** der Nasenhöhle sind besonders stattlich entwickelt und bilden oberflächliche und tiefe Netze, sowie das kavernöse Gewebe auf den Muscheln. Nach der Augen-

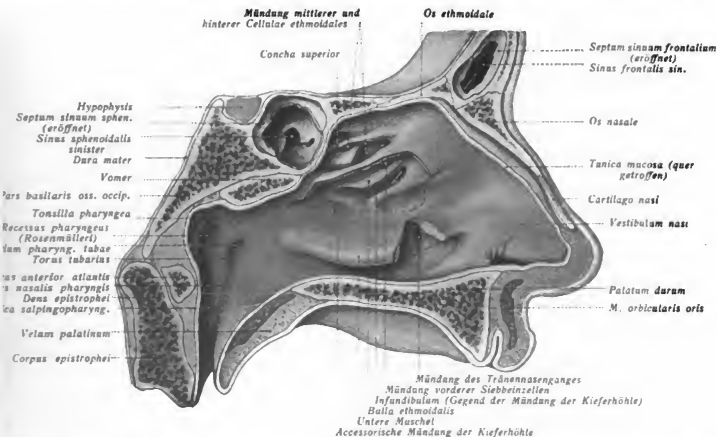


Fig. 122. Seitenwand der linken Nasenhöhle. Die mittlere Muschel ist fast ganz abgeschnitten, um die darunter gelegenen Teile und Mündungen zu sehen. Aus der unteren ist vorn ein Stück herausgenommen. Der ursprüngliche Rand der Muscheln ist punktiert. Die obere Muschel ist intakt. Die Mündungen der linken Keilbein- und Stirnhöhle sind durch Pfeile deutlich gemacht.

höhle findet durch *Venae ethmoidales* (in Begleitung der gleichnamigen Arterien) Abfluß der *V. ophthalmica superior* statt. Auch bestehen durch die *Lamina cribrosa* Verbindungen mit dem *Sinus longitudinalis superior* und den Venen der Schädelhöhle. Mit der *A. sphenopalatina* laufen Venen, die durch das *For. sphenopalatinum* aus der Nasenhöhle in den Venengeflechten der Flügelgaumengrube führen. Das *Foramen coecum* ist nur im Kind, nicht mehr beim Erwachsenen, ein Emissarium.

Unter den Nerven der Nasenhöhle ist, abgesehen von den spezifischen Sinnesnerven, die *Fila olfactoria* (s. S. 34), der sensiblen vom 1. und 2. Ast des Trigeminus stammenden Schleimhautnerven zu gedenken. Von dem *N. ophthalmicus*, dem 1. Ast des *N. trigeminus*, gelangt der *N. ethmoidalis anterior* (vom *N. nasociliaris*) durch das *Foramen ethm.*

anterior und nach kurzem subduralem Verlauf durch die Schädelhöhle und die Lamina cribrosa nach dem Vestibulum nasi und mit einem äußeren Ast am unteren Rand des Os nasale zur Haut des Nasenrückens. Die Hauptästchen kommen von dem in der Flügelgaumengrube gelegenen Ganglion sphenopalatinum des Ramus (II.) maxillaris n. trigemini und treten durch das gleichnamige Loch als *Nn. nasales posteriores superiores* zur seitlichen und medialen Wand der Nasenhöhle. Auf dem Septum läuft einer von ihnen nach vorn als *N. nasopalatinus Scarpa* bis zum Canalis incisivus und durch den Kanal zu

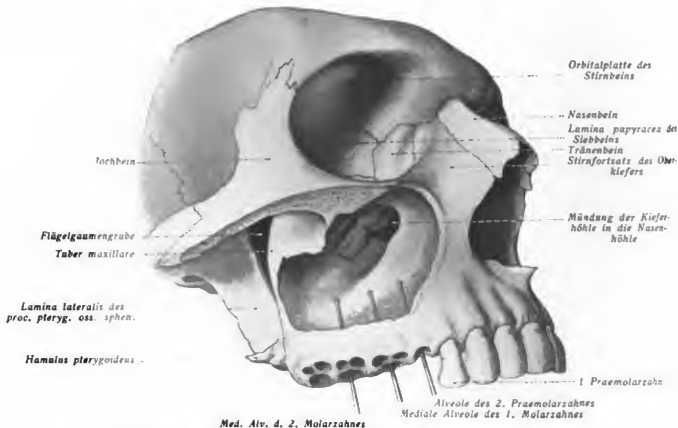


Fig. 123. Schädelteil mit von außen aufgemeißelter Kieferhöhle, um deren Mündung in die Nasenhöhle und die Beziehungen der Zahnalveolen zu dem Boden der Höhle zu zeigen. Die Alveolen sind von unten durchbohrt.

Gaumenschleimhaut. Die *Nervi nasales posteriores inferiores* gehen von dem im Canalis pterygopalatinus nach abwärts ziehenden *N. palatinus anterior* nach vorn zur Schleimhaut der Nase ab.

**Nebenhöhlen** (Sinus paranasales) der Nase. Sie sind Räumlichkeiten, die mit der Nasenhöhle in unmittelbarer Verbindung stehen. Die Schleimhaut der Nasenhöhle setzt sich unmittelbar in sie fort (s. o.). Wir unterscheiden:

1. Die Oberkieferhöhle (Sinus maxillaris, Highmori) geht vom mittleren Nasengang aus
2. Die Stirnhöhle (Sinus frontalis) geht ebenfalls vom mittleren Nasengang aus
3. Die Siebbeinzellen gehen vom oberen und mittleren Nasengang aus.
4. Die Keilhöhle geht vom oberen Nasengang aus. Sämtliche Nebenhöhlen entstehen erst nach der Geburt und erreichen ihre volle Ausbildung erst zur Zeit der Pubertät. Die topographischen Verhältnisse liegen also bei Kindern anders, als bei Erwachsenen und bei Kindern verschiedenen Alters wiederum verschieden.

Die *Kieferhöhle* ist beim Neugeborenen eine sehr enge Tasche, die sich lateralwärts zum Canalis infraorbitalis erstreckt. Bis zum siebenten Lebensjahre bleibt sie klein, beginnt mit dem Auftreten der bleibenden Zähne stärker zu wachsen und erreicht, während die Backzähne hervorkommen und der Oberkiefer an Höhe zunimmt, ihre endgültige Größe.

Die *Stirnhöhle* beginnt ihre Entwicklung erst im ersten bis dritten Lebensjahre und im zwölften Lebensjahre völlig ausgebildet.

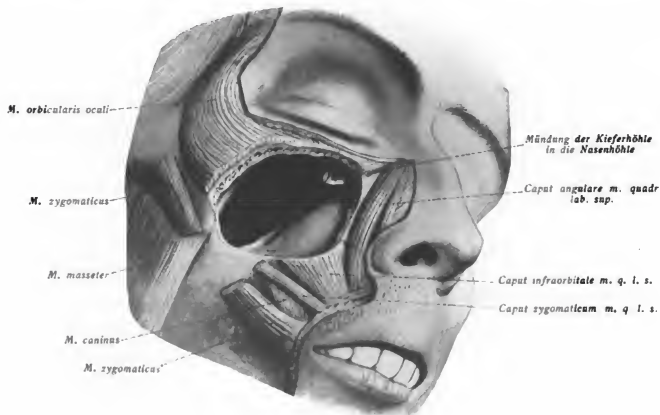


Fig. 124. Kieferhöhle von außen geöffnet.

Die *Keilbeinhöhle* ist beim Neugeborenen stecknadelkopfgroß, um die Pubertätszeit sie bis zur Sphenookzipitalfuge ausgedehnt. Die Entwicklung all dieser Höhlen geht vor sich, daß das Knochengewebe resorbiert wird und die Schleimhaut den weichen Knochenwänden folgt. Die lufthaltigen Räume entstehen auf Grund des mechanischen Einflusses des Knochenbaues, daß möglichste Festigkeit mit möglichster Leichtigkeit verbunden werde. Die Knochenmasse kann hier fehlen, weil mechanische Beanspruchung durch Muskelzug nicht stattfindet. Bei Tieren mit schwerem Kopf (Wiederkäuern) oder Vögeln, die besonders gering an Gewicht sein müssen (Vögeln) ist dies Prinzip der Pneumatisation in höchster Vollendung durchgeführt.

Topographisch-anatomisch ergeben sich beim Erwachsenen sehr komplizierte Verhältnisse, da diese Höhlen gegen die Nachbarschaft (Orbita, Schädelhöhle, Sinus cavernosus, Gehirnhirn, Mundhöhle) vorgetrieben sind und dadurch die Schleimhaut der Nasenhöhle mit diesen Organen in sehr innige, aber individuell äußerst wechselnde Beziehungen bringen.

1. Die *Kieferhöhle* ist gegen die Augenhöhle durch die Orbitalplatte des Oberkiefers begrenzt (vgl. Fig. 105, 123), dehnt sich nach hinten weit aus und erfüllt das Corpus

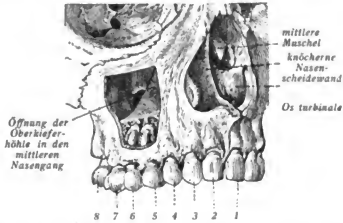


Fig. 125. Situs der Zahnwurzeln zur Oberkieferhöhle. Die Wurzeln des 2. dens praemolaris und des 1. dens molaris ragen, nur von dünnen Spongiosablättern überkleidet gegen die Oberkieferhöhle vor. 1. 2. Incisivi, 3. Caninus, 4. 5. Prämolares, 6—8. Molares.

maxillae; am Boden bilden die Zahnalveolen (Fig. 125) hinterer Backzähne, besonders der letzten, öfters in die Höhle vorspringende bukkelförmige Erhabenheiten, oder die Alveolen sind gelegentlich am höchsten Punkt gegen die Kieferhöhle hin geöffnet, so daß die Spitze der Zahnwurzel *nur von der Schleimhaut* der Kieferhöhle bedeckt wird. Die tiefste Stelle der Kieferhöhle ist über der Wurzel des ersten Molarzahnes gelegen; der zweite Prämolazahn reicht mit seiner Alveolarkappe meist bis an die Bodenlamelle des Antrum Highmori. Nach vorn davon hebt sich der Boden der Höhle, so daß der erste Prämolazahn und der Caninus in der Regel bereits durch dickere Spongiosamassen von der Höhlung getrennt sind; nach hinten steht der zweite Molaris und auch der Weisheitszahn im Bereich der Höhlung.

Die *Mündung der Höhle* (s. Fig. 124, 125, 126) liegt in dem unter der mittleren Nasenmuschel gelegenen Infundibulum, ist also erst nach Abtragung der mittleren Muschel deutlich zu sehen. Sie wird hier nach vorn hin knöchern umrandet durch den Processus uncinatus des Siebbeins (Fig. 118). Oft finden sich hinter der Hauptmündung eine *zweite* oder auch mehrere akzessorische Mündungen am Rande oder unter dem Rande der mittleren Muschel (s. Fig. 126). Das ganze Gebiet in der Umgebung des Processus uncinatus ist in mannigfacher Weise unvollständig verknöchert, so daß fontanellenartige Bildungen entstehen, die gelegentlich zu akzessorischen Öffnungen werden können.

2. Die *Stirnhöhle* (vgl. auch oben S. 75) liegt *paarig* in der Pars frontalis des Stirnbeins, so daß man an ihr eine vordere (frontal), hintere (zerebral) und mediale (Septum interfrontale) Wand, sowie die Basis unterscheiden kann. Letztere trägt die Öffnung, die in den mittleren Nasengang führt. Nicht immer bleibt die Stirnhöhle auf diesen Raum beschränkt. Sie kann sich in die Pars orbitalis ausdehnen (Recessus orbitalis) oder gegen die Lamina papyracea, so daß sie die Orbita von oben umfaßt. Andererseits kann sie beiderseits sehr klein sein oder fehlen. Ist sie einseitig klein, so kann sie



Fig. 126. Oberkieferhöhle, von Schleimhaut ausgekleidet. Neben der normalen, rechts sichtbaren Öffnung eine abnorme kleine, kreisrunde links im Bilde inmitten der Schleimhaut.



durch eine stärkere Höhle der anderen Seite ersetzt sein. Die Ausbildung der *Arcus superi-  
liaris* hat niemals etwas mit der Ausbildung der Stirnhöhlen zu tun. Die Mündung der  
Stirnhöhle (Ostium frontale) liegt meist am Ende eines trichterförmigen Kanals (Duc-  
tus naso-frontalis) im vorderen Teil des Hiatus semilunaris (zwischen Processus uncina-  
tus und Bulla ethmoidalis). Doch ist das keineswegs die Regel; es kann auch der Duc-  
tus naso-frontalis unabhängig von jener Stelle weiter nach vorn in einer besonderen Rinne  
(Recessus frontalis) ausmünden, auch kommen doppelte Ausmündungen an beiden  
Seiten vor.

Die das Siebbeinlabyrinth erfüllenden, an Größe und Zahl sehr wechselnden *Cellulae  
ethmoidales*, die den oberen Teil der seitlichen Nasenhöhlenwand gegen die Orbita hin

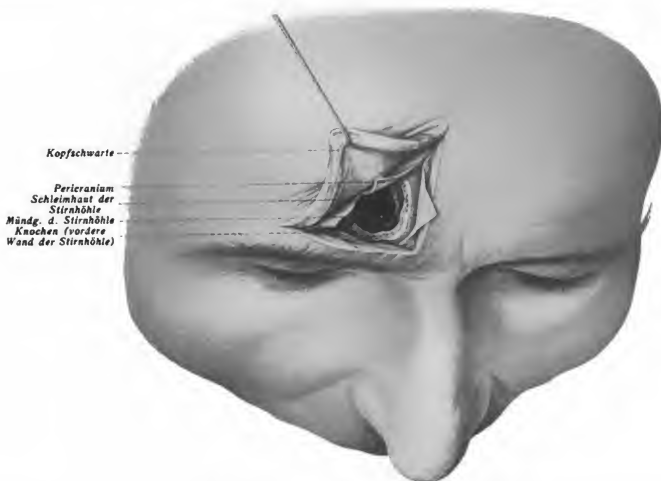


Fig. 127. Rechte Stirnhöhle von vorn geöffnet.

füllen, werden in solche des mittleren („vordere“) und solche des oberen („hintere“) Sinus-  
ganges gesondert. Gegen die Schädelhöhle wird das Siebbeinlabyrinth durch die  
Horizontale Lamina des Stirnbeins abgeschlossen. In der obigen Fig. 122 ist  
die mittlere Muschel nah an ihrem Ansatz abgetragen, so daß man den nach vorn  
gerichteten länglichen Schlitz des Hiatus semilunaris gewahrt. In dem vorderen  
Teil ist eine von der Stirnhöhle aus eingeführte Sonde sichtbar. Weiter hinten gelangt  
man in der Tiefe des Hiatus in die normale Mündung der Kieferhöhle. Oberhalb dieses  
Ortes pflegt eine der Siebbeinzellen stärker vorgewölbt zu sein; so entsteht die *Bulla*

Fig. 128. Frontalschnitt des Kopfes (Gefrierschnitt) durch die Augen- und Kieferhöhlen.

Fig. 129. Medianschnitt des Kopfes. Gefrierschnitt.

*ethmoidalis*, und oberhalb dieser münden die *vorderen* Siebbeinzellen. Die *mittleren* und *hinteren* Siebbeinzellen dagegen münden in den *oberen* Nasengang. Manchmal findet sich noch eine vierte Nasenmuschel weiter oberhalb; die mittleren Zellen können dann in den oberen Nasengang, die hinteren zwischen der dritten und vierten Muschel ausmünden.

Im einzelnen herrschen hinsichtlich der Ausmündung große Schwankungen. Besonders wichtige Bedeutung kommt, wie schon oben (S. 81) beschrieben, der *hintersten* Zelle (*Cellula fronto-orbitalis*) zu.

In dem hintersten Teil des Daches der Nasenhöhle und der Schädelbasis sehr gelegen liegt die paarige *Keilbeinhöhle*. Ihre *obere* Wand, im Bereich der Sella turcica gelegen, ist *sehr dünn* (sog. *Trigonum praesellare*). Hier liegt das Chiasma nervorum opticorum und die Hypophyse der Höhle unmittelbar an. Die untere Wand, meist dick, oft aber auch papierdünn, bildet den obersten, hintersten Teil des Daches der Nasenhöhle und in wechselnder Ausdehnung auch des Pharynx. Die seitlichen Wände tragen die *Carotis interna* und stehen zum Sinus cavernosus und seinen Nerven in Beziehung. Hinten kann sich der Sinus bis gegen das Os occipitale ausdehnen. Die *vordere* Wand enthält die natürliche Öffnung der Keilbeinhöhle. Sie liegt gewöhnlich im Recessus sphenothmoidalis, d. h. eine Furche zwischen vorderer Keilbeinhöhlenwand und hinterem Ende des Siebbeins.

In der Figur 122 findet sich auch noch die Mündung des *Ductus nasolacrymalis* (S. 77) dargestellt, indem ein Teil der unteren Nasenmuschel vorn entfernt wurde. Sie ist beim Lebenden allenfalls von dem Nasenloch aus zugänglich. Die Mündung der Tubus auditiva liegt 1 cm hinter dem hinteren Ende der unteren Nasenmuschel, nach hinten durch den die Auffindung mit der Sonde erleichternden *Tubenwulst* (*Torus tubarius*) begrenzt (s. auch Fig. 129). Vom Nasenloch ist die Tubenmündung 6 bis 7 cm entfernt; 1 cm hinter dem Tubenwulst liegt der *Recessus infundibuliformis* (Rosenmüllersche Grube).

### Anwendungen.

Die praktische Bedeutung der Nebenhöhlen für die Pathologie der Orbita und des Sehorgans sind oben im Zusammenhang erwähnt worden (vgl. Fig. 129a, 129b). Hinsichtlich der *Untersuchung* der Nasenhöhle ist vom topographisch-anatomischen Standpunkt zu bemerken, daß die Räumlichkeit, in die wir *ohne* weitere Maßnahmen unmittelbar Einblick besitzen, der *mittlere* Nasengang ist. Durch die Rhinoscopia posterior dagegen werden alle drei Nasengänge, Septum und Muscheln sichtbar. Es ist zugleich das Beste, was nach Eröffnung der hinteren Pharynxwand am anatomischen Präparat vor uns sehen (Fig. 13). Erschwert wird die Rhinoscopia anterior durch die so häufigen Verbiegungen der Nasenscheidewand, die haben zum Teil ihren Grund in *Wachstumsstörungen* und sind zu unterscheiden von denjenigen, die gelegentlich entstehen, indem von der Schädelbasis durch die Lamina cribrosa Tumoren in die Nasenhöhle vorwachsen und das Septum nach der gesunden Seite *verdrängen*. Die Sondierung der Nebenhöhlen sind am Lebenden nicht immer ausführbar.

Zahlreiche Variationen der Mündungsverhältnisse machen sie oft unmöglich. Die Mündung der Oberkieferhöhle liegt sehr versteckt, ist oft doppelt und mehrfach vorhanden. In die Stirnhöhle gelangt man bei normaler Ausbildung, wenn man die Sonde von der Spina nasalis externa am vorderen Rande der mittleren Muschel vorbeiführt. Mündet die Stirnhöhle aber durch Vermittlung einer Siebbeinzelle aus, so kann die Sondierung unmöglich werden. Zur Keilbeinhöhle gelangt die Sonde von der Spina nasalis externa über die Mitte der mittleren Muschel. Der Canalis naso-lacrymalis wird am besten von oben her sondiert; der Katheterismus der Tube erfolgt durch den unteren Nasengang. der Rosenmüllerschen Grube fängt sich der Tubenkatheter (vgl. Fig. 121).

Für die *Kieferhöhle* sind die Beziehungen zu den Zähnen wichtig. Nicht nur können Zahnschmerzen Anfangssymptome von Veränderungen der Höhlenwand sein (Tumoren), sondern — was viel häufiger

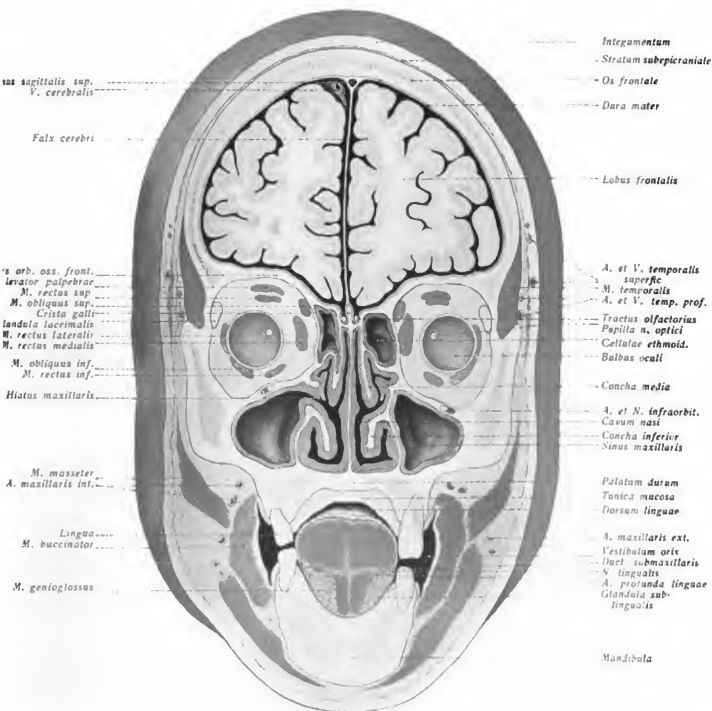


Fig. 129 a.

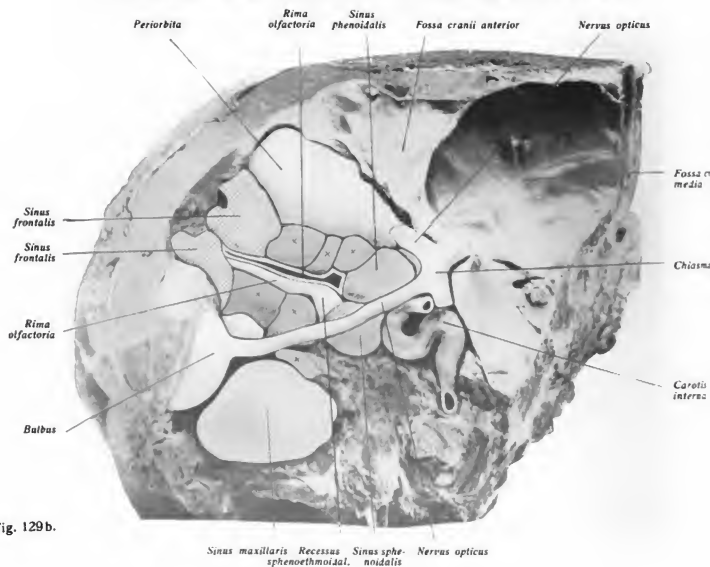
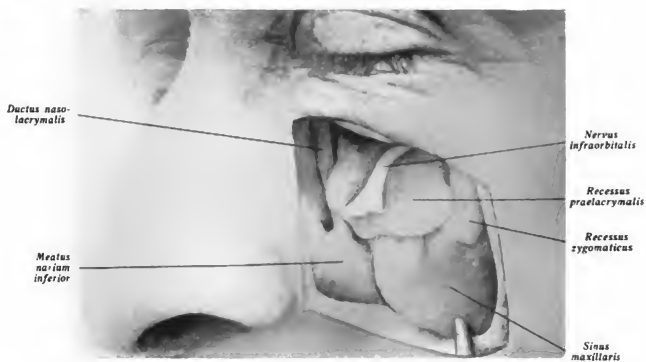


Fig. 129 b.

Fig. 129.

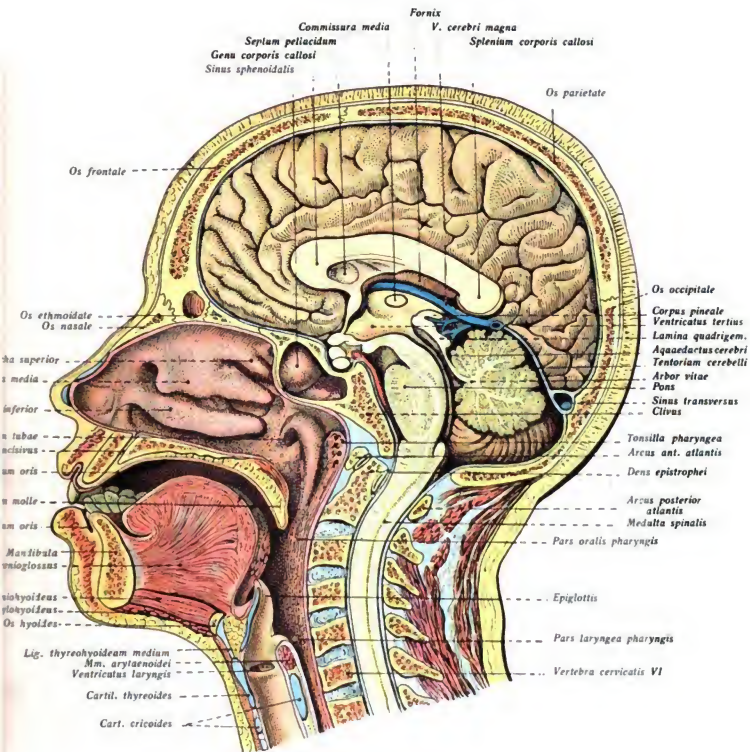


Fig. 130.

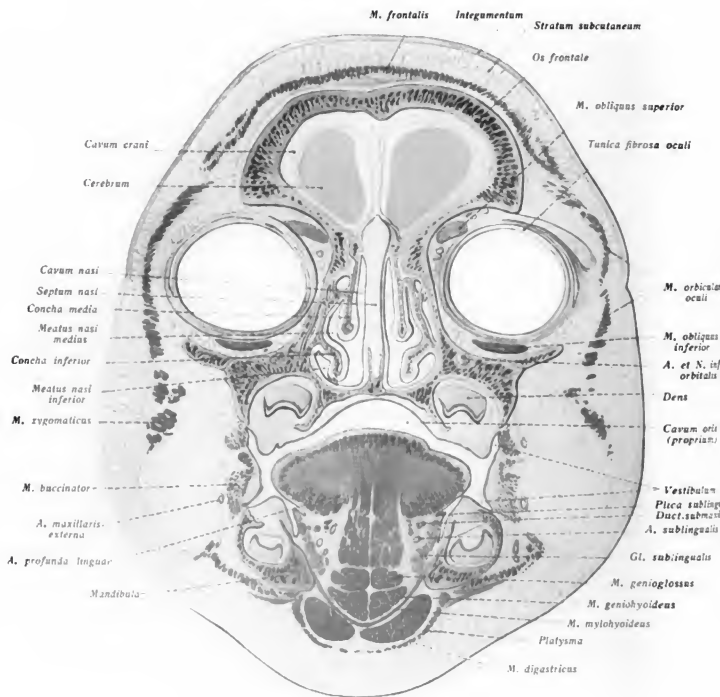


Fig. 129a. (Aus Onodi, Topogr. Anat. der Nasenhöhle u. ihrer Nebenhöhlen.) Die Knochenwände der Nasenhöhle der Kieferhöhle sind entfernt. Die Schleimhaut der Kieferhöhle, des ductus nasolacrymalis und der Nasenhöhle sind erhalten. Natürliche Größe.

Fig. 129b. Die Knochenwände der Augenhöhle, der vorderen Schädelgrube und der Nebenhöhlen sind entfernt. Die Nebenhöhlen sind blasenförmig erhalten.  $\times \times \times \times \times$  cellulae ethmoidales anteriores et posteriores. Beziehungen des Sehnervs zur linken Keilbeinhöhle. Natürliche Größe.

Fig. 130. Frontalschnitt des Kopfes vom Neugeborenen (Mikrotomschnitt.)

der Fall ist — Erkrankung der Zahnwurzeln können die Oberkieferhöhle überfluten (Empyem). Die Bestimmung des tiefsten Punktes ist die Ausführung der Radikaloperation erforderlich. Eröffnen der Oberkieferhöhle innen vorgenommen werden nach Exzision des 1. Molars oder der Nachbarzähne durchbohrung der etwa 1 cm darüber liegenden Knochenhaut, 2. von der Fossa maxillaris aus (Inzision in der Oberlippe zwischen Wange und Nasenfortsatz vom Eckzahn zu den hinteren Molaren), vom mittleren Nasengange

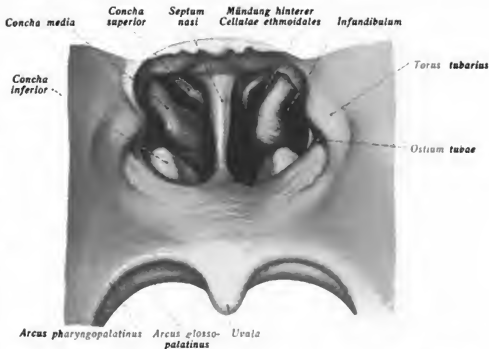


Fig. 131. Eingang in die Nasenhöhle von der Pars nasalis pharyngis aus (Bild der Rhinoscopia posterior).

Die Stirnhöhle wird bei Stirnhöhlenkatarrh gelegentlich in der Fig. 127 dargestellten Weise eröffnet, wobei die aus der Figur ersichtlichen Schichten zu durchtrennen sind. Hierbei hat man zu beachten, daß die vordere Wand der Höhle viel stärker ist als die hintere. Indessen ist doch für die Indikationen diese Eröffnung nicht ausreichend. Es gibt Verfahren (Killiansche Radikaloperation), bei denen die untere Wand einer in die Pars orbitalis ausgedehnten Stirnhöhle gleichfalls reseziert und eine freie Kommunikation mit der Nasenhöhle hergestellt wird. Bei diesem Verfahren bleibt die Margo supraorbitalis, vor allem aus kosmetischen Gründen, erhalten. Besondere Schwierigkeiten bietet die Behandlung der seitlichen Rezesse (s. o. Recessus orbitalis). Auf dem gleichen Wege ist das Siebbeinlabyrinth zugänglich, dessen chirurgische Behandlung aber meist von der Nasenhöhle aus in der Regel unter Abtragung der mittleren Muschel — her erfolgen kann.

Die Wichtigkeit der Lagebeziehung der Keilbeinhöhle zu dem Sinus cavernosus und der A. carotica interna wurde bereits auf S. 48 hervorgehoben. Hier sei hinzugefügt, daß Eiterungen in der Keilbeinhöhle (Empyem) durch die dünne Wand der Höhle hindurch seitlich auf den Sinus cavernosus überfließen und hier zu Sinusthrombose führen können. Diese Thrombose wird dann die in den Sinus cavernosus und seine Wand eingelagerten Nerven (s. S. 46) in Mitleidenschaft ziehen können.

Eröffnung der Keilbeinhöhle erfolgt von der Nasenhöhle aus. Zugleich ist dieser Weg der einzig gangbare, um durch die Keilbeinhöhle hindurch zur Hypophysis zu gelangen.

Bei Betrachtung der Seitenwandbilder der Nasenhöhle (s. Fig. 105, 117, 118, 122, 127 und 129) sieht man sich auch klar, daß der chronische Schnupfen auf die Tube, die Stirn- und Kieferhöhlen nach hinten auf den Rachen übergehen kann, und daß von der Nasenhöhle ausgehende Tumoren durch die Choanen nach dem Schlundkopf und in die Mundhöhle, ferner in die Kieferhöhle, in die Siebbeinzellen, in die Orbita auch durch den hinteren Teil der seitlichen Nasenwand, in der Gegend der Foramina sphenopalatina in die Flügelgaumengrube und von ihr nach außen hin bis in die Schlundröhre oder durch die Fissura orbitalis inferior in die Augenhöhlen ausdehnen können. In der

Fig. 132. Blick von oben her auf den Mundboden. An dem in Formalin gehärteten Präparat wurde die Zunge getragen. Man sieht auf den Stumpf des *M. genioglossus*. Die Zungenwurzel und die Epiglottis ist erhalten. Die Äste Unterkiefers sind durchgesägt, der freie Rand des *M. mylohyoideus* ist sichtbar gemacht. Rechts *Caruncula salivae* in natürlicher Lage, links 2 Sonden in den Ausführungsgängen. *Plica sublingualis* rechts erhalten.

Fig. 133. *N. hypoglossus* und *Arteria lingualis* in ihren wichtigen Beziehungen zum *M. hypoglossus* von oben dargestellt.

seitlichen Nasenwand kann es vorn durch Katarrhe und durch Neubildungen zu Störungen im Ber. des Tränennasenkanals kommen.

Die *Lymphbahnen* der Nase sind äußere und innere. Die äußeren, die von der äußeren Fläche der Nase und aus der Schleimhaut im Bereich der knorpeligen Teile (Vestibulum) herkommen, begreifen sich zu den submaxillaren und den in der Parotisgegend gelegenen Lymphknoten, um dann zu den tiefen Zervikalknoten zu ziehen. Die Hauptmasse der Lymphe strömt in den Nasengängen nach hinten und abwärts bis zur Tubenöffnung. Hier tritt eine Teilung des Stromes ein, indem eine kleinere von Lymphgefäßen quer durch die Pharynxwand nach außen zieht zu einem tiefen Zervikalknoten, Winkel zwischen *Vena jugularis interna* und *Vena fac. communis* (Fig. 177) oder auch vorher zu Lymphknoten neben der *Tuba auditiva* und zu den weit außen liegenden oberflächlichen Zervikalknoten. Eine andere Bahn führt weiter nach abwärts zu einer oder mehreren Lymphknoten im *Spatium parapharyngeum* (Retropharyngealdrüse), von wo aus dann der Abfluß zu den tiefen Zervikalknoten erfolgt. Infektionen dieser wichtigsten Station der Nasenlymphbahnen von der Nase her können möglicherweise auch für die Entstehung des Retropharyngealabszesses in Frage kommen.

Lymphbahnen der Nebenhöhlen sind nur vom *Sinus maxillaris* bekannt. Die Hauptmasse der Gefäße schließt sich den übrigen Lymphgefäßen der Nasenwand an, wie es auch von den übrigen Nebenhöhlen auf Grund ihrer Genese angenommen wird. Im *Sinus maxillaris* hat man indessen Kommunikationen mit den Lymphgefäßen des Periosts, ja Verbindungen durch den Knochen nach außen hin, ferner Bahnen, die in die Zahnalveolen hineinführen, wahrgenommen.

Vom Arachnoidalraum sind Lymphbahnen zur *Regio olfactoria* und dem obersten Teil des Gehirns festgestellt worden, mehr bei Kindern als bei Erwachsenen. Man hat sie in Verbindung mit Infektionsweg bei Meningitis epidemica gebracht.

## XII. Die Mundhöhle.

In Übereinstimmung mit ihrer Funktion, die Nahrungsaufnahme zu vermitteln, scheint die Mundhöhle nicht in dem Maße wie die Nasenhöhle von knöchernen Wänden umgeben; vielmehr bilden vielfach nur *dehnbare* und *verschiebbliche* Weichteile die Begrenzung. Zur knöchernen Stütze tragen der harte Gaumen (*Processus palatinus maxillaris* und *Proc. horizontalis ossis palatini*) mit den die Zähne bergenden Alveolarfortsätzen die der Unterkiefer bei. Als *hintere Grenze* der Mundhöhle gegen den Pharynx bezeichnet man an der Zunge die an dem Foramen caecum und dem Sulcus terminalis gelegene *Grenze* von Zungenrücken und Zungenwurzel (Zungengrund [s. Fig. 137 und 142]), seitlich oben den *Arcus palatopharyngeus* (s. Fig. 144) und die Uvula. Diese Stelle nennen die *Rachenenge*, *Isthmus faucium*. Die *obere Grenze* — das Dach der Mundhöhle — in einfacher Weise durch den weichen und den harten Gaumen gegeben. Als *untere Grenze* — gegen den Hals ist der *M. mylohyoideus* (s. Fig. 131, 132) aufzufassen, der allerdings nur vorn eine Abgrenzung bildet, während nach hinten von ihm der Inhalt der Mundhöhle ohne scharfe Grenze in die Halsorgane fortgesetzt erscheint (s. Fig. 132). Die seitliche und vordere Abgrenzung geschieht durch die Wangen- und Lippenschleimhaut, den *buccinator* und die diesem aufgelagerten Teile (Fig. 135).

Wir unterscheiden den Vorraum der Mundhöhle, das *Vestibulum oris*, von der Mundhöhle im engeren Sinne, dem *Cavum oris* (proprium).

1. *Vestibulum oris*. Der hufeisenförmige Spalt wird nach vorn von den Lippen und Wangen, nach lateral von den Wangen begrenzt. Die Grundlage der Wangen bildet



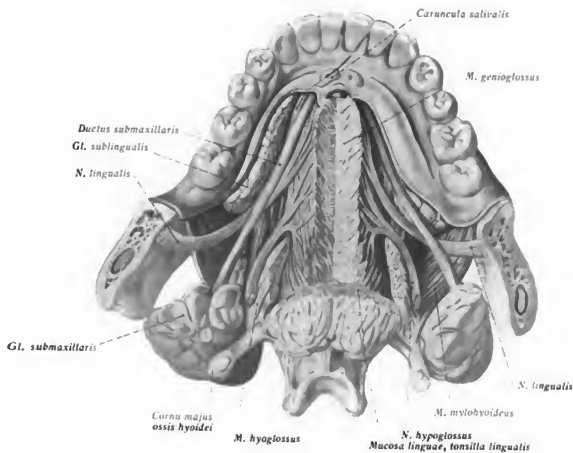


Fig. 132.

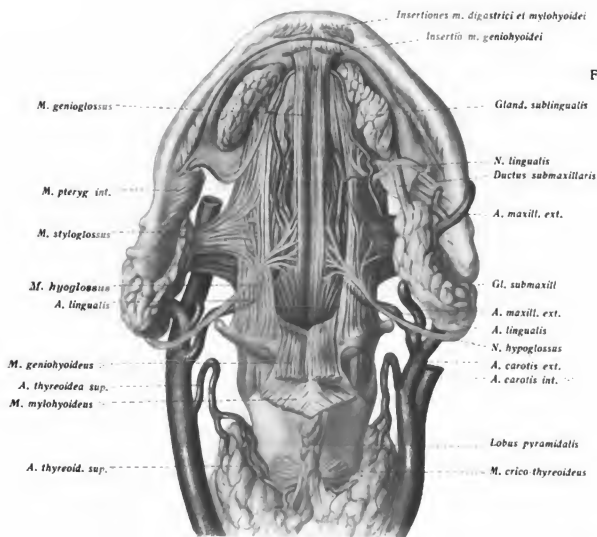
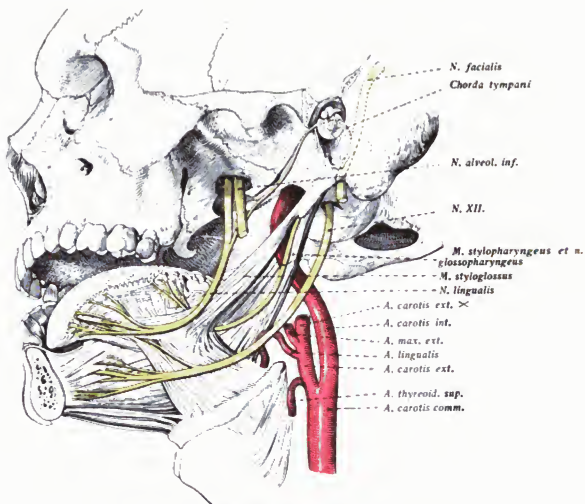


Fig. 133.

Fig. 134.



*N. buccinatorius et ductus parotidens* • *M. pteryg. externi capita* *Art. max. int. n. alveol. inf. \**  
*Artt. alveolares supp. postt.* *A. temp. superf.*

Fig. 135.

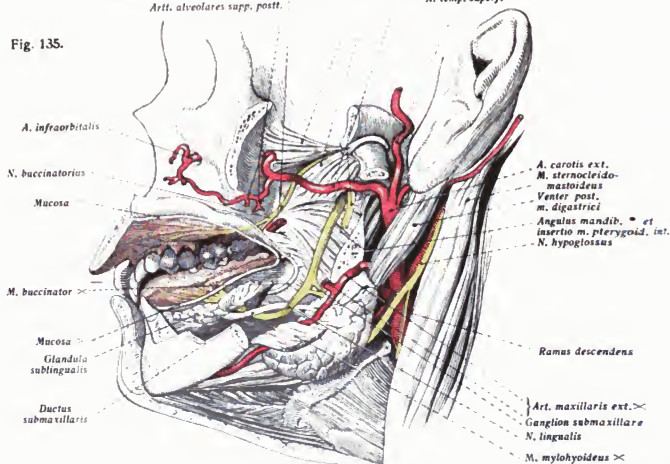


Fig. 134. Die drei Zungennerven von links her nach Wegnahme des Unterkiefers dargestellt (schematisiert).

Fig. 135. Plica sublingualis von außen präpariert. Die gesamte Wange mit M. buccinator ist am Unterkiefer abtragen und nach aufwärts geschlagen worden. Der gesamte Unterkiefer ist abgemeißelt bis auf den Gelenkteil, eine dünne Knochenplatte am Angulus (Insertion des M. pterygoideus internus) die Symphyse und ein Stück des unteren Randes. Der vom Ursprunge beraubte M. mylohyoideus ist nach unten gedrängt. Sichtbar auch die Fossa retromandibularis und das Studium pharyngeum.

buccinator; innen liegt die Wangenschleimhaut, auf der sich der N. buccinatorius (Ramus III. N. trigemini) ausbreitet. Außen liegt dem Muskel der Wangenfettpfropf auf (s. oben Seite 68 und Fig. 98). Der Ausführungsgang der Gl. parotis durchsetzt den Muskel und bildet gegenüber dem zweiten oberen Molarzahn eine feine, jedoch am Lebenden nicht merkbare Öffnung. Die mediale Begrenzung des Vestibulum oris bildet der Proc. alveolaris des Oberkiefers mit den Zähnen. Führt man bei aufeinander geschlossenen Zähnen den Zeigefinger bis nach hinten in den Vorraum ein, so stößt man hinten auf den harten Vorderrand des *Ramus mandibulae*, vor welchem man um den hintersten Mahlzahn herum in eine *Lücke* gelangt. Durch diese besteht bei vollständig erhaltenem Gebiß die *einzige Kommunikation* — abgesehen von feinen Spalten zwischen den Zähnen — zum Cavum oris. Wird die Spitze des Zeigefingers dem fühlbaren Vorderrand des *Ramus mandibulae* an genannter Stelle aufgelegt und werden gleichzeitig die Zähne ruckweise fest aufeinander gepreßt, so fühlt man deutlich den nach vorn vorspringenden Vorderrand des sich kontrahierenden M. masseter.

2. *Cavum oris*. Wir unterscheiden topographisch den *Boden* der Mundhöhle, die *Wand* und den *hinteren Abschluß*. Das Studium all dieser Teile ist leicht am eigenen Munde vor dem Spiegel unter Benützung vollen Sonnenlichtes möglich und sollte nicht vernachlässigt werden.

Der *Boden* der Mundhöhle wird hauptsächlich von dem M. mylohyoideus (von der Linea mylohyoidea bis zur Raphe und dem Zungenbeinkörper) gebildet, während der M. geniohyoideus (von der Spina mentalis interna zum Zungenbeinkörper) nur unterhalb der Zunge, dicht neben der Mittellinie Anteil am Boden der Mundhöhle hat. Den oben von der Wangenschleimhaut, unten von der Haut des Halses überkleideten M. mylohyoideus (Diaphragma oris) fasse man zwischen Daumen und Mittelfinger der eigenen Hand. Man trennt dadurch die *Seitenteile* des Mundbodens ab, zwischen denen ein unpaariger, mittlerer Spalt den in die Zunge ausstrahlenden M. genioglossus und damit die Zunge selbst trägt. Ein Querschnitt (Fig. 130) zeigt diese Verhältnisse sehr klar. Man sieht zugleich die Wände der wichtigsten Gefäße (im Querschnitt). Die Art. profunda linguae (Endast der Art. lingualis) liegt außen neben dem M. genioglossus und einwärts-aufwärts vom M. lingualis inferior. Dicht neben der Arterie liegt der Stamm des N. hypoglossus (in der Fig. nicht gezeichnet). Die Art. sublingualis liegt mehr in der Tiefe in dem nischenförmigen Spalt jederseits neben der Zunge. Dicht über ihr liegt der Ductus submaxillaris und — nicht eingezeichnete — Stamm des N. lingualis. Sehr gut übersieht man die Verhältnisse auch bei dem Blick von oben her, wenn die Zunge selbst abgetragen worden ist. (Fig. 132.)

Wir betrachten zunächst die Zunge, sodann die paarigen seitlichen Teile des Mundbodens.

Die *Zunge* liegt bei geschlossenem Munde dem Gaumen an. Ihre Basis reicht bis zum Kehldeckel. Nach Erhebung des freien Teiles der Zunge gewahrt man (am eigenen

Fig. 137. Zunge und aufgeschnittener Schlundkopf mit farbiger Bezeichnung der Innervierungsgebiete. N. ling. rot, N. glossopharyngeus blau, N. laryngeus superior n. vagi violett.

Fig. 138. Harter Gaumen, an einem Formalinpräparat schichtweise dargestellt.

Munde vor dem Spiegel) in der Mitte die als *Frenulum* bezeichnete, mediane Schleimhautfalte und die Enden der beiderseitigen vorspringenden Sublingualwülste (*Plicae sublinguales*) mit den *Carunculae salivales* (Fig. 132, 136). Man mache sich klar, daß die Zunge funktionell eine dreifache Bedeutung besitzt (als motorisches Organ — als Organ feiner Sensibilität — als Sitz des Geschmacksorgans), und daß daher an ihr drei verschiedene Apparate und Nerven in Betracht kommen (Muskeln und N. hypoglossus, eine in den Endigungen des N. lingualis verschene Schleimhaut und Papillae vallatae mit den Endigungen des N. glossopharyngeus; allerdings verlaufen durch die Chorda tympani auch Geschmacksfasern zum N. lingualis). Die Muskeln der Zunge zerfallen in die beiden Gruppen der von Skeletteilen kommenden und in der Zunge nur endigenden Muskeln („Außenmuskeln“: genio-, stylo-, hyoglossus und die in der Zunge springenden und endigenden Muskeln („Binnenmuskeln“: M. longitudinalis superior, inferior und transversus). Alle genannten Muskeln werden von eben Hypoglossusfasern aus der Medulla oblongata versorgt (Über den R. descendens hypoglossi s. später S. 11).

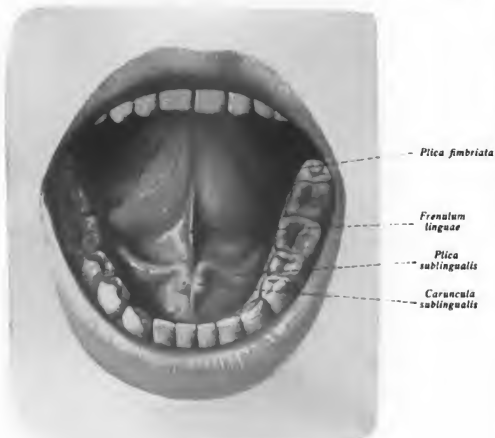


Fig. 136. Regio sublingualis bei erhobener Zungenspitze dargestellt.

schreibt den kleinsten Bogen, der N. lingualis liegt weiter abwärts und bildet einen großen Bogen, der N. hypoglossus liegt am weitesten abwärts und beschreibt den größten Bogen. Die drei Nerven liegen mit der Konvexität ihrer Bögen außerhalb der Mundhöhle, der N. glossopharyngeus reicht ins Spat. parapharyngeum (Fig. 143), zwischen den Mm. stylo-glossus und stylo-pharyngeus, der N. lingualis reicht bereits ins Gebiet des Halses (Trigonum submaxillare [Fig. 163]), der N. hypoglossus weit an den Hals (Trig. carotic. und submax. [Fig. 178]). Auch hierin ist also die Grenze zwischen Kopf und Hals nicht scharf (s. oben S. 1).

Der N. glossopharyngeus durchbohrt die Pharynxwand (mit seinem R. lingualis liegt unterhalb der Tonsilla palatina und zieht im Bogen gegen das Foramen coecum hin Äste zu den Papillae vallatae abgebend).

Bei der Betrachtung von der Seite (Fig. 1) verlaufen die drei genannten Nerven in drei Bögen zur Zunge. Der N. glossopharyngeus liegt am weitesten schädelwärts und

Fig. 137.

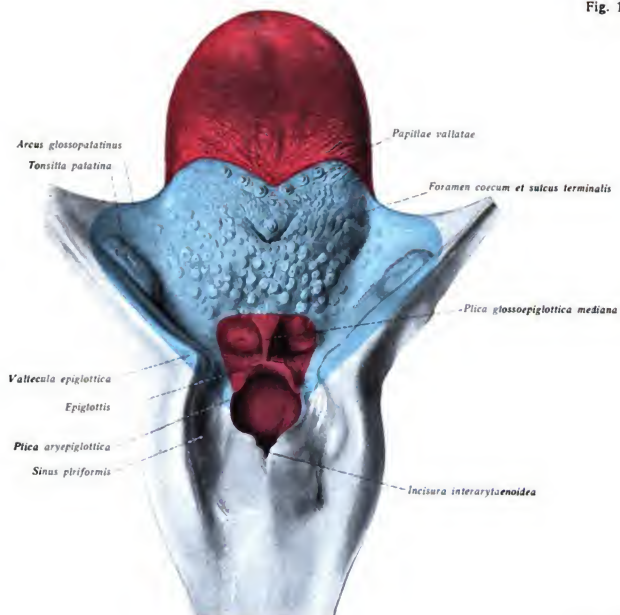


Fig. 138.

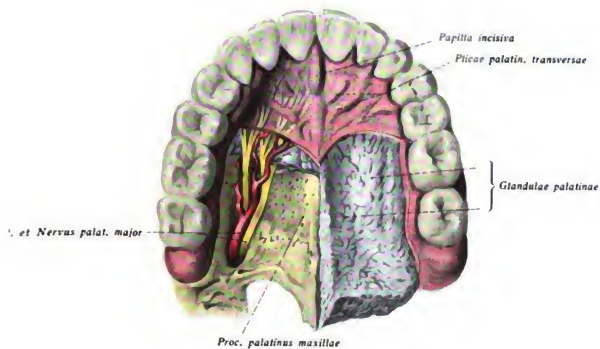


Fig. 139.



Fig. 140.

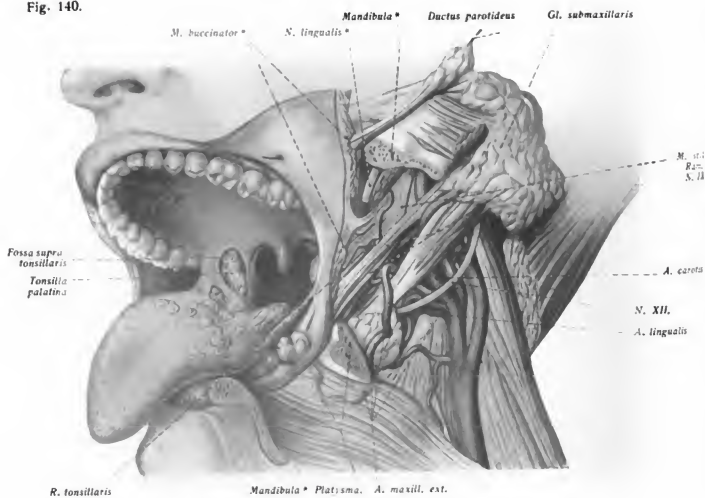


Fig. 139. Ursprünge der Gaumenmuskeln in ihren Beziehungen zur Tuba auditiva. (Aus Brühl, Ohrenheilkunde.) Das Keilbein in Verbindung mit beiden Schläfenbeinen, von vorne gesehen: Die Tuba Eustachii mit ihren Muskeln. Schläfenbrüne punktiert. Es bedeuten: 1. Schläfenbein; 2. Keilbeinkörper; 3. superficies orbitalis; 4. ala minor, 5. ala major; 6. fiss. orbit. sup.; 7. Spitze des durch die fiss. orbit. sup. durchscheinenden Felsenbeins mit der Zacke des m. levator veli palatini; 8. m. levator veli palatini (petrosalpingostaphylinus) (blau); 9. Tuba Eustachii (vorprieger Teil); 10. m. tensor veli palatini (sphenosalpingostaphylinus) (rot), um den hamulus pend.; 11. Ursprung des m. tens. veli palat. an der Tube, der spina angularis und der Umgebung des for. ovale u. spinum; 12. m. azygos uvulae; 13. uvula; 14. mm. palatopharyngei; 15. mm. glosso-palatini; 16. canalis caroticus; 17. velum atinum.

Fig. 140. Tonsilla palatina und Art. palatina ascendens. Links ist die Wange nebst M. buccinator durchgeschnitten, nach oben zurückgeschlagen, der M. constrictor pharyngis superior ist erhalten. Der Unterkiefer ist durchgesägt, das obere Kiefergelenk weit nach oben und außen hinaufgeschoben.

Der N. lingualis betritt die Mundhöhle oberhalb des M. stylohyoideus in Begleitung des Ductus submaxillaris. Er liegt zunächst lateral von ihm, kreuzt ihn dann, indem er unter ihm hinzieht, und gelangt zur Zungenschleimhaut (Fig. 132, 135).

Der N. hypoglossus betritt das Gebiet der Zunge *außen auf* dem M. hypoglossus und zieht quer über ihn hinweg zur Außenfläche des M. genioglossus. Der vor dem Kehlkopf gelegene Teil des Zungengrundes (Valleculae linguae) erhält noch sensible Fasern aus dem N. laryngeus superior N. vagi. In der Fig. 137 sind die verschieden innervierten Zungenregionen mit verschiedener Farbe bezeichnet (s. Figurenerklärung).

Die Arterien der Zunge stammen von der Arteria lingualis. Aus der Carotis externa am Halse entsprungen (s. S. 129/30), tritt die Arterie oberhalb des großen Zungenbeinhornes unter den M. hyoglossus und läuft in der Zunge als A. profunda linguae zwischen M. genioglossus inf. und M. genioglossus geschlängelt nach vorn (vgl. Fig. 134, 163, 174, 178). Gesehen von der zur Zungenwurzel aufwärts bis in die Gegend der Papillae vallatae liegenden schwachen A. dorsalis linguae ist ihr Hauptast die A. sublingualis (Fig. 135, 141), die unter der Gl. sublingualis nach vorn bis zum Zahnfleisch der Schneidezähne verläuft. Unterhalb und beiderseits vom Frenulum linguae liegt die A. profunda linguae relativ tiefer unter der Schleimhaut. Starke Anastomosen zwischen beiden Arterien sind nicht vorhanden.

Jederseits neben der Zunge (Fig. 132) liegt ein Spalt, der seitlich von einer individuell verschieden kräftig ausgebildeten Schleimhautfalte begrenzt wird. Es entspricht diese Falte der oberen Kante der Glandula sublingualis. Die Schleimhaut schlägt sich von den Seitenflächen der Unterfläche der Zunge auf die Plica sublingualis hinüber, um dann von da aus, durch eine innigere Verwachsung mit dem Periost des Alveolarfortsatzes als Zahnfleisch (Gingiva) weiter zu laufen.

Der M. mylohyoideus (Fig. 132) bildet eine gebogene Platte mit freiem hinterem Ende. Unten ist dieser Platte die Glandula submaxillaris angelagert, die mit einem freien ihrer Masse den freien Rand des Muskels hinten überragt, auch oft mit einem hakenförmigen Fortsatz umgreift (Fig. 132, 135); von da aus zieht der Ductus submaxillaris hart nach vorn, oberhalb des Muskels liegenden Gl. sublingualis nach vorn. Im vorderen Drittel seines Verlaufes gesellt sich der Ductus sublingualis hinzu; beide bleiben bis zur Mündung hin gesondert. Diese liegt auf der pilzhutförmigen Erhabenheit (Fig. 132) der Caruncula salivaris.

Das Verhältnis zwischen Ductus submaxillaris und N. lingualis zeigt in den Fig. 132, 135 zur Ansicht. Außer der Hauptmasse der Glandula sublingualis kommen, über ihr gelegen, kleine Läppchen vor, deren Ausführungsgänge gesondert (Ductus sublinguales minores) neben der Plica sublingualis ausmünden.

Zahlreich sind am Boden der Mundhöhle die regionären kleinen Schleimdrüsen; eine Gruppe von ihnen liegt auf beiden Seiten der Unterfläche der Zunge, neben dem Frenulum. (Gll. linguales anteriores, auch *Nuhn'sche Drüse* genannt.)

Das *Dach der Mundhöhle* bildet *harter und weicher Gaumen*. Am harten Gaumen bildet die Schleimhaut eine Längserhebung (Raphe palati), die vorn in die Papilla incisiva ausläuft (vgl. Fig. 138). Quere Erhabenheiten (Plicae transversae) stellen mechanisch beim Kauakt wirksame Stellen stärkerer Verhornung dar. Ein mächtiges, zusammenhängendes Lager von Schleimdrüsen liegt zwischen Schleimhaut und Knochen. Die Gefäße des harten Gaumens stammen aus der A. palatina major. (Endast der A. palatina descendens aus der A. maxillaris interna.) Als Nerven verzweigen sich die Nn. palatinus anterior und medius (vom Ganglion sphenopalatinum) zur Schleimhaut des harten Gaumens, während vorn die Gegend der Papilla incisiva von Ästen des N. nasopalatinus (Scarpae) versorgt wird.

Die Grenze der Mundhöhle gegen den Pharynx bildet der weiche Gaumen (Gaumensegel, Zäpfchen und die beiden Gaumenbögen mit der zwischen ihnen liegenden Tonsillarnische, Recessus tonsillaris).

Die dem weichen Gaumen zugrunde liegende Muskulatur (Fig. 139) besteht aus dem vorderen und seitlich gelegenen M. tensor veli palatini (Innervation aus dem Gl. oticum durch die Portio minor des 3. Trigeminiastes), dem mehr rückwärts gelegenen M. levator veli palatini (Innervation zweifelhaft, entweder aus dem Facialis (N. petr. sup. major) oder dem Glossopharyngeus) und dem M. uvulae (Inn. wie der Levator). Nach abwärts ziehen der M. palato-glossus seitlich zur Zunge und der M. palato-pharyngeus zur Pharynxwand. Letztere bilden die Grundlage der gleichnamigen beiden Gaumenbögen. Die Mm. tensor veli palatini (Ursprung vom großen Keilbeinflügel) und Levator veli palatini (Ursprung von der Unterfläche der Felsenbeinpyramide) gewinnen durch Ursprünge an der *Tubenwand* wichtige funktionelle Beziehungen zur Tube und zum Mittelohr (s. weiter unten S. 101ff., auch über ihre Rolle beim Schluckakt s. unten).

Diese Muskulatur wird vorn von Mundschleimhaut, hinten von Rachenschleimhaut überragt und gezogen. Der Isthmus faucium stellt die Verbindung zwischen Mund- und Rachenhöhle her.

Das praktisch wichtigste Gebilde dieser Gegend ist die Gaumenmandel (Tonsilla palatina [Fig. 140, 142, 144]). Normal tritt sie nicht oder nur wenig über die Fläche der Schleimhaut als ein grubchentragendes Feld hervor, so daß sie, weil in die Nische zwischen den beiden Gaumenbögen gelegen, am Lebenden oft nicht sehr ins Auge fällt. *Sie liegt dem hinteren Gaumenbogen an.* Mit den Balgdrüsen der hinter dem Foramen caecum senkrechten nach abwärts gerichteten Oberfläche der Radix linguae gehört sie in die Gruppe der *lymphoiden Organe* hinein. Die Grübchen und Gruben an der Oberfläche der Tonsilla sind die Öffnungen blinder Buchten (Einsenkungen des Epithels) in deren Wand (also an der epithelialen Lymphfollikel\*) gelegen sind. Die in den Keimzentren dieser Follikel existierenden Lymphozyten treten in das Epithel ein oder durch es hindurch in die Mundhöhle hinein. Hier bilden die abgestorbenen Lymphozyten die sogenannten Speichelskörperchen.

Die Gefäße und Nerven des weichen Gaumens stammen aus den gleichen Quellen wie die des harten Gaumens. Die *Tonsille* besitzt eine besondere Arterie, die A. tonsillaris.

\*) Sprachrichtig wäre die epitheliale Einsenkung als „Follikel“ zu bezeichnen, da Folliculus „Säckchen“ bedeutet.



llaris aus der A. palatina ascendens (A. maxillaris externa). Sie ist in Fig. 140 besonders dargestellt. Die A. palatina ascendens tritt zwischen den M. stylo-glossus und stylo-pharyngeus, also mit dem N. glossopharyngeus hindurch und verästelt sich zwischen den Mm. levator und tensor veli palatini. Sie gibt die erwähnte A. tonsillaris ab.

## Anwendungen.

Die in physiologischer Hinsicht wichtigen Abflußwege des Speichels zeigt Fig. 141. Bei ruhigerhaltung der Zunge findet der Speichel seinen Abfluß 1. aus dem Vestibulum durch den Spalt hinter dem letzten Molarzahn (Cavum salivale parotideum, nach der Hauptquelle). 2. Dorsal in der Rinne, die der Zungenrücken median mit dem harten Gaumen bildet (Cav. saliv. linguale) durch Isthm. fauc. Unter der Zungenspitze sammelt sich der Speichel im Cavum salivale sublinguale, beiderseits vom Enulum bis zu den Incisivi hin. Von hier Abfluß das 4. Cavum salivale laterale, seitwärts zwischen Zunge und Plica sublingualis. Jenseits des Isthmus faucium findet Vereinigung aller Ströme neben der Epiglottis statt; von da aus durch den Sinus piriformis in die Speiseröhre. (Hasse.)

Der Mißbildungen an Lippe und Gaumen ist bereits gedacht worden (S. 23 ff.). Desgleichen der im Vestibulum ausgehenden Operationen am N. maxillaris (S. 73) und an der Highmorshöhle (S. 91). Ebenso der Eingriffe zur Einleitung der kälteanästhesie der Mundschleimhaut. In der Mundhöhle wird der N. lingualis neben dem 2. unteren Molarzahn gefunden.

Die Lücke, welche zwischen dem Ramus mandibulae und dem hintersten Molarzahn die vom Vestibulum oris aus fühlbare Kommunikation zwischen Nasenraum und dem Cavum oris proprium darstellt, kann durch eine Kieferklemme zur Einführung flüssiger Nahrung benutzt werden, wenn nicht nach Ausfall von Zähnen eine andere Kommunikation zwischen Vestibulum und Cavum oris bestehen.

Topographisch-anatomische und entwicklungsgeichtliche Kenntnisse sind erforderlich zum Verständnis der häufigen Zysten der Mundhöhle, vornehmlich der Zysten der Zunge. Die Klinik unterscheidet der Hauptthe nach (abgesehen von Angiomen, Lymphomen):

1. Zysten von Schleim- oder Speicheldrüsen ausgehend (Retentioncysten). Sie können von der Glandula sublingualis anterior (Nuhn) ausgehen, oder in der Nähe der Papillae vallatae liegen, wo die starken in den Gräben der umwallten Papillen einmündenden serösen (Ebnerschen) Drüsen die Grundlage abgeben; oder im Bereich der Radix linguae, wo tief in die Zunge eingebettete Schleimdrüsen, neben den Follikeln, vorkommen.

2. Zysten in nicht drüsigen Spalträumen. Hierher gehören die in Resten des Ductus thyroglossus stehenden Zysten (über diesen s. später S. 107). Charakteristisch ist bei diesen die Auskleidung der Zystenwand mit Flimmerepithel. Entsprechend der Verästelung des Duktus können sie oberflächlich oder tief, bis hinab zum Mundboden oder zur Epiglottis in die Substanz der Zunge eingebettet sein.

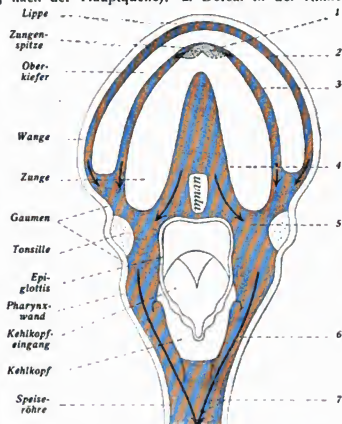


Fig. 141. Schema zur Darstellung der Abflußwege des Speichels. (Nach Hasse.) 1. Sammelstelle für das Sekret der Glandula submaxillaris und Sublingualis. 2. Vestibulum oris für den Speichel aus der Parotis. 3. Abfluß seitlich neben der Zunge für den Sublingualis- und Submaxillarspeichel. 4. Abfluß oberhalb des Zungenrückens. 5. Vereinigung der drei Abflüsse im Isthmus faucium. 6. Dessen weitere Bahn neben der Epiglottis im Sinus piriformis. 7. Vereinigung der beiderseitigen Ströme im Oesophagus.

3. *Ranula* liegt stets unter der Zungenspitze, scheint anatomisch nicht einheitlich zu sein (Reste des Ductus thyroglossus [Flimmerepithel!], Nebenausführungsgänge der Gl. sublingualis [Ductus sublinguales minores], Hauptausführungsgänge der Gl. submaxillaris oder sublingualis). Das Hinabreichen in die Regio submaxillaris wird durch den seltenen Befund erklärt, bei dem die Gl. sublingualis durch die Substanz des M. mylohyoideus Drüsenläppchen hindurchtreten läßt. 4. *Dermoidzysten* (s. unten S. 108).

Für die Operationen an der Zunge oder um inoperable Tumoren im Wachstum zu hemmen, wird vielfach die doppelseitige Unterbindung der A. lingualis nötig (s. darüber weiter unten S. 138).

Die *Tonsillen* sind Sitz der Tonsillitis und Peritonsillitis („Angina“, „Enge“ ist der umfassendere Begriff = akut entzündliche Erkrankungen des weichen Gaumens; wird aber nach dem vornehmlich erkrankenden Teil auch mit „Tonsillitis“ gleichbedeutend gebraucht). Disponierend ist besonders das Vorhandensein der tiefen Buchten (Lakunen) für die Entstehung lakunärer Entzündungen, ferner die normale Existenz mikroskopischer Wunden im Epithel (Hindurchwandern der Lymphozyten!) für die Entstehung parenchymatöser Entzündung (Tons. phlegmonosa) und der Peritonsillitiden. Letztere breiten sich in dem lockeren Gewebe zwischen beiden Platten des Gaumensegels nach oben und unten aus (Kehlkopfödem!). Nachbarschaft der A. carotis interna (Arrosion)! Senkungsabszesse am Hals. Die Ausbreitung eines Tonsillarabszesses ins peritonsilläre Gewebe tritt vorzugsweis in der Fossa supratonsillaris (vgl. Fig. 140) ein, weil hier die Substanz der Tonsille am schmalsten ist. Auch können, da hier die Lakunen unmittelbar bis ins peritonsilläre Gewebe reichen, lakunäre Entzündungen auch unmittelbar in peritonsillären führen. Bei der *Inzision* soll die Mitte der Verbindung zwischen Basis der Uvula und letztem Molaren als Einstichstelle gewählt und dann das Messer streng in der Sagittalebene geführt werden, um größere Gefäße (A. palatina asc., A. pharyngea asc., A. palatina posterior) zu vermeiden.

Bei der Exstirpation hyperplastischer Gaumenmandeln sind stärkere Blutungen in der Norm nicht zu erwarten (Fig. 140). Doch kann der Ramus tonsillaris der A. palatina ascendens abnorm stark sein, auch kann an Stelle dieser Arterie die A. maxillaris externa selbst eine ungewöhnliche Krümmung besitzen. Man sieht an der Tonsille heran beschreiben und dadurch zu Komplikationen der einfachen Operation Anlaß geben.

Die Kenntnis der Abflußwege der *Lympe* und die Lage der *regionären Lymphknoten* ist für die Diagnose und Behandlung entzündlicher Prozesse und bösartiger Tumoren an Lippen, Zunge und Tonsillen unerlässlich.

*Lippen und Wangen* entsenden ihre Lympe unmittelbar zu den zunächst gelegenen submentalen und submaxillaren Lymphknoten, d. h. den auf dem vorderen Biventerbauch und seitlich am Ramus des Unterkiefers bis zum Kieferwinkel hin gelegenen. Auch die unterhalb der Parotis gelegenen Lymphknoten (Gl. cervic. superficiales) werden von den Lippen aus erreicht. Weiter nach abwärts sammeln sich die Lymphgefäße in tiefen, neben der Vena jugularis gelegenen Lymphknoten (Gl. cervic. profundae).

*Die Zahnpulpen selbst sind ohne Lymphgefäße.* Entzündungen der Pulpa ohne Beteiligung der Periosts führen nie zu Lymphdrüenschwellungen. Von der Wurzelhaut der Zähne und dem Zahnfleisch dagegen ziehen die Lymphbahnen ebenfalls zu den submentalen und submaxillaren Drüsen. Die submentalen scheinen lediglich die Lympe aus dem Gebiet der vier unteren Inzisivi aufzunehmen.

*Die Lymphbahnen der Zunge* sind marginale, hintere und tiefe. Sie folgen den Blutgefäßen und Nerven und dringen durch den Mundboden hindurch, oder ziehen mit dem Ductus submaxillaris ins Submaxillardreieck oder durchbohren weiter hinten die Pharynxwand. Die regionären Drüsen sind die submaxillaren, die submentalen und die oberflächlichen Zervikaldrüsen. Vor allem aber erreichen sie die Drüsen an der Vena jugularis interna neben der Karotisteilung. Von hier kann der Lymphstrom aufwärts der Vena jugularis zu höher gelegenen Knoten folgen und abwärts bis zu den supraclavicularen Drüsen gehen. Auch ist festgestellt worden, daß direkte Verbindungen zwischen der Zunge und supraclavicularen Drüsen bestehen. Verhängnisvoll (für die Verbreitung des Zungenkarzinoms) ist die Tatsache, daß von jedem Gebiet der Zunge alle, auch die entfernter liegenden Lymphknoten erreicht werden können, und ferner, daß die Lympe von jeder Stelle der Zunge auch zu allen Lymphknoten der anderen Seite des Halses fließen kann. Es gibt auch Lymphknoten auf dem Diaphragma oris dicht neben der Glandula sublingualis so daß bei Zungenkrebs frühzeitige Infektion der Glandula sublingualis eintreten kann.

Die Lymphbahnen des Mundbodens folgen in ihrem Verhalten im allgemeinen dem der Zungenbahnen.

Die Tonsillen vereinigen ihre Lymphbahnen mit denen des Rachens (s. u.). Sie insbesondere lassen die Lymphe zu den tiefen Lymphknoten neben der Vena jugularis strömen oder unter Durchbrechung der Pharynxwand zu retropharyngealen Drüsen, von denen aus dann die tiefen zervikalen (parapharyngealen) Lymphknoten erreicht werden. Diese Bahnen sind insofern von klinischer Bedeutung, als nicht nur tiefe Halsphlegmonen, akute Lymphadenitiden und der akute Retropharyngealabszess von Eiterungen der Tonsillen ausgehen können, sondern vor allem, weil die Tonsillen zweifellos auch eine Eingangspforte für Tuberkelbazillen bilden, so daß tuberkulöse Schwellungen der Halslymphknoten von da aus aetiologisch verständlich werden.

### XIII. Pharynx.

Der nach hinten an die Mundhöhle angeschlossene *Schlundkopf, Pharynx*, geht vom Kehlkopf ohne scharfe Grenze in den Hals über (s. Fig. 129 u. 142). Mit seiner Beschreibung treten wir also bereits in das Gebiet des Halses ein. Der *Pharynx* besitzt 1. eine eigene fibrös-muskulöse Wandung. Neben der Pharynxwand liegt 2. ein charakteristisch gestaltetes, topographisch bedeutsamer Spaltraum, das *Spatium parapharyngeum*. 3. Das Innere des Pharynx zeigt wichtige Verbindungen zur Nasenhöhle, zum Mittelohr, zur Mundhöhle und zum Kehlkopf.

1. *Pharynxwand*. (Fig. 143.) Sie stellt im Querschnitt eine gebogene, nach vorn konkave Wand dar, die mit ihren Endpunkten an Skeletteilen des viszeralen Gebietes (Unterkiefer, Zungenbein, Kehlkopf) befestigt ist. Die oberste Strecke der Befestigung tritt vom Unterkiefer auch zur Schädelbasis (längs der Raphe pterygomandibularis von der Lingula des Unterkiefers bis zum Hamulus des Flügelfortsatzes) empor. An der Schädelbasis heftet sich die Pharynxwand ebenfalls längs einer gebogenen Linie an, die durch folgende Punkte bestimmt wird (hier ist eine Schädelbasis zum Studium heranzuziehen!): Hamulus des Flügelfortsatzes, mediale Lamelle des Flügelfortsatzes, Foramen lacerum (wo der Felsenknorpel überbrückt wird). Spina angularis des Keilbeins, Spitze der Felsenbeinramade, Körper des Hinterhauptbeins bis zum Tuberculum pharyngeum, sodann auf der anderen Seite rückläufig wieder bis zum Hamulus des Flügelfortsatzes. Der oberste Teil der Pharynxwand ist fibrös (Fascia pharyngobasilaris); nur in der hinteren Mittellinie und am Hamulus pterygoideus tritt die Muskulatur unmittelbar an die Schädelbasis heran. Die Ausgestaltung der Pharynxwand als eines Hohlmuskels, der vorn an festen Skeletteilen springt, erklärt seine Funktion, da bei der Kontraktion, die reflektorisch von oben nach unten abrollt, die Wand an die viszeralen Skeletteile herangezogen wird. (*Konstriktoren*.)

Der vom Unterkiefer (und der Schädelbasis) entspringende Teil wird als Constrictor superior, der vom Zungenbein kommende als Constrictor medius, der vom Kehlkopf kommende als Constrictor inferior bezeichnet. Diese drei Muskeln überlagern sich von unten nach oben dachziegelartig. Der M. constrictor superior nebst dem M. stylopharyngeus wird vom N. IX, die beiden anderen vom N. X. versorgt (R. pharyngei und N. pharyngeus superior). Doch treten all diese Nerven erst in einen, mit sympathischen Nerven vermischten Plexus pharyngeus ein, ehe sie zum Pharynx treten. Die Arterien stammen von der A. pharyngea ascendens und A. thyroidea superior.

Nach oben reicht der Pharynx bis an die Schädelbasis, nach unten bis in die Höhe des VI. Halswirbels (bei Kindern und jüngeren Personen nicht so tief). *Hinter* dem Pharynx liegt die Fascia pharyngea. Samt dieser ist der Pharynx durch *lockeres, verschiebliches*, an

Fig. 142. Medianschnitt des Pharynx und der angrenzenden Teile. Pars nasalis pharyngis gelb, Pars oralis grün, Pars laryngea blau.

Lymphbahnen reiches und in der Höhe der oberen Halswirbel einige Lymphknoten bergen. Das Bindegewebe, an die *Fascia praevertebralis* geheftet, die nur durch die dünne Schicht der prävertebralen Muskulatur (mm. longus capitis et colli) von der Wirbelsäule getrennt ist. In diesem lockeren Gewebe, das eigentlich den Namen „Faszie“ zu unrecht führt (s. Fig. 169), erfährt der Pharynx bei Schlingbewegungen seine Verschiebungen. Dieses Gewebe setzt sich nach abwärts vor der Wirbelsäule bis in den Thorax (in das Mediastinum) hinab fort und endet am Zwerchfell.

Seitlich vom Pharynx liegt

2. das *Spatium parapharyngeum*. Es ist namentlich neben Constrictor superior und medius tief und erscheint bei der Betrachtung von hinten her (Fig. 143) als ein annähernd prismatischer Raum, dessen innere Fläche der Pharynx, dessen seitliche Fläche der Unterkiefer mit dem M. pterygoideus internus, der M. sternocleidomastoideus und der hinter Biventerbauch nebst dem M. stylohyoideus bildet; die Kante des Prismas liegt vorn an der Raphe pterygomandibularis. Dieser von einer Faszie ausgekleidete Raum setzt sich (vgl. oben S. 69) vor dem M. sternocleidomastoideus hinter das Kiefergelenk und in die Regio parotideomasseterica, wie auch nach vorwärts in die Regio submaxillaris fort. Außen oben (bei der Betrachtung der Figur, d. h. von hinten) ragt der Proc. styloideus in die Gegend hinein und es ziehen von ihm aus die Mm. styloglossus und stylopharyngeus quer durch das Spatium parapharyngeum hindurch.

Hier sind dicht aneinandergeschlossen lebenswichtige Gebilde gelagert: am weitesten nach außen (immer bei der Betrachtung von hinten her) die Vena jugularis interna; außen daneben der Insertionsteil des M. sternocleidomastoideus mit dem ihn durchsetzenden Ramus externus des N. accessorius. Einwärts von der Vene liegt die A. carotis interna; vorwärts von dieser die A. carotis externa mit ihren Halsästen, von denen die A. pharyngea ascendens nach innen an die Pharynxwand tritt. Hinter der Carotis interna (dem Beobachter des Präparates Fig. 143 am nächsten) liegt der N. vagus mit dem Ganglion nodosum und der Grenzstrang des Sympathicus mit dem Ganglion cervicale supremum. Außen zwischen Vene und Arterien liegt der Stamm des N. hypoglossus, der nach vorn hin abbiegt, und ganz in der Tiefe, zwischen den Mm. styloglossus und stylopharyngeus, der N. glossopharyngeus, dessen Ramus pharyngeus zum Konstriktor zieht, während der Ramus lingualis nach vorn abbiegt. An keiner anderen Stelle des Körpers findet sich auf kleinem Gebiete eine solche Anzahl wichtiger Arterien und Nerven zusammengedrängt.

Weiter nach abwärts vereinfacht sich das Bild. Der N. glossopharyngeus, N. hypoglossus und N. accessorius sind abgebogen; anstatt beider Karotiden liegt nur die A. carotis communis und die A. thyroidea superior da. Der Grenzstrang ist hinter der A. carotis geblieben, während der N. vagus zwischen Karotis und Vene mehr nach vorn getreten ist. Im unteren Teil hat der Pharynx die Seitenlappen der Schilddrüse und die Epithelköpfe hinter sich.

3. Das Innere des Pharynx besitzt, wie nach der Eröffnung von hinten (s. Fig. 144) deutlich wird, eine dreifache Verbindung nach vorn hin. Der obere, an die Schädelbasis angeschlossene Teil öffnet sich in die Nasenhöhle durch die Choanen. Dieser Teil bildet die Pars nasalis pharyngis (Epipharynx). Sie wird von der Seitenwand der Nase durch

Fig. 142.

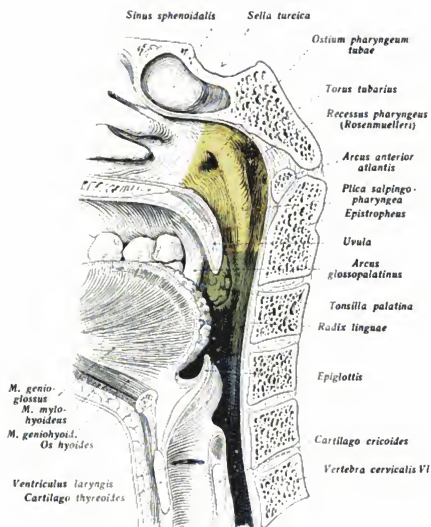


Fig. 143.

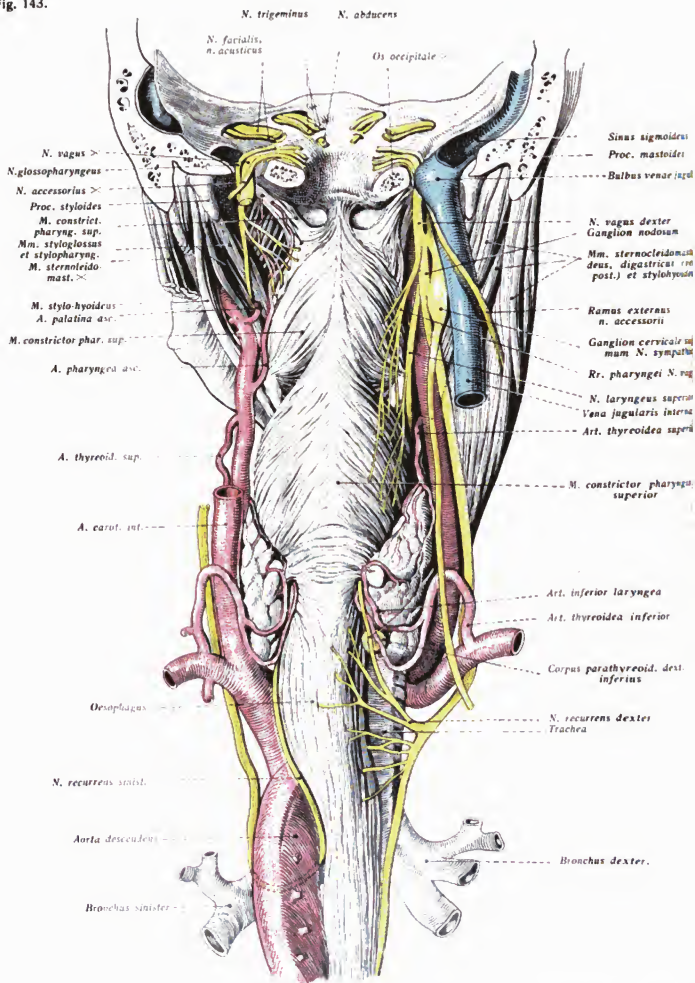


Fig. 143. Pharynx von hinten präpariert, Spatium parapharyngeum mit Gefäßen und Nerven. Rechts ist die Vena carotis interna abgetragen. Präparat aus einem mit Formol injizierten Körper. — Die Innervation des Pharynx ohne den Plexus pharyngeus vereinfacht dargestellt.

den verschieden ausgeprägten, von der Tubenmündung vertikal abwärts verlaufenden Sulcus nasopharyngeus abgegrenzt. Seine untere Grenze ist durch das Gaumensegel gegeben. In der Pars nasalis finden wir genau in der Verlängerung des hinteren Endes der unteren Nasenmuschel die *Mündung der Tuba auditiva* (s. S. 62 und Fig. 122 und 142). Von hier nach hinten begrenzenden, durch das Ende des Tubenknorpels hervorgerufenen *Tubenwulst* (Torus tubarius) läuft nach abwärts die *Plica salpingopharyngea* (s. Fig. 122, 129 und 142). Hinter dem Tubenwulst liegt die taschenartige Rosenmüllersche Grube, Recessus pharyngeus, und näher der Medianlinie die individuell verschieden ausgebildete *Tonsilla pharyngea*, die bis in die Rosenmüllersche Grube reicht. Sie liegt *auf der festen Unterlage* des Hinterhauptbeins an der Schädelbasis. Über ihr grenzt noch der Sinus sphenoidalıs an den höchsten Teil der oberen Rachenwand an.

Die *Pars oralis* (Mesopharynx) schließt sich als zweiter Teil nach abwärts an. Er geht nach vorn durch die Rachenenge (s. S. 96) in unmittelbarer Verbindung mit der *Mundhöhle*. Die untere Grenze dieses Teiles gegen den dritten Teil des Pharynx (*Pars laryngea*) liegt in einer durch die aufgerichtete Kehldeckelspitze gelegten Horizontalebene.

Die *Pars laryngea* (Hypopharynx) steht mit dem *Kehlkopf* in Verbindung. Sie reicht bis zu dem in der Höhe des sechsten Halswirbels (s. Fig. 142) gelegenen Übergang des Kehlkopfes in den Schlund, in derselben Höhe, in der auch am unteren Rand des Ringknorpels, die Grenze von Larynx und Trachea liegt. Der Aditus laryngis wird (s. Fig. 137 und Fig. 130) oben von dem *Rand der Epiglottis*, seitlich von den *Plicae aryepiglotticae* begrenzt, in denen die mehr oder weniger vorspringenden Tubercula cuneiformia et corniculata — hervorgerufen durch die gleichnamigen Knorpelchen — im laryngoskopischen Bild verschieden ausgeprägt erscheinen (s. Fig. 167). Hinten in der Medianlinie schließt der Kehlkopfeingang ab mit der *Incisura interarytaenoidea* (Interarytanoidealspalt). Vom Rande der Epiglottis geht zum Pharynx die *Plica pharyngoepiglottica*. Seitlich liegen medial von den Platten des Schildknorpels die *Recessus* (Sinus) *piriformes* (s. Fig. 137), in deren oberem Teil eine *Plica nervi laryngei* sichtbar sein kann (durch den N. laryngeus superior hervorgerufen).

## Anwendungen.

Der Medianschnitt der Mundhöhle und des Pharynx macht ohne weiteres klar, daß die Zunge, wenn sie anschwillt, die *Epiglottis* auf den Kehlkopfeingang *herabdrücken* kann, so daß die Tracheotomie nötig wird. Auch ist verständlich, daß durch Lähmung der Muskulatur bei tiefer Narkose die *Zunge mit dem Kehldeckel nach hinten sinken kann, so daß die Atmung gestört wird*.

Gleichfalls ist aus dem Medianschnitt verständlich, daß es bei dem Lebenden durch die Untersuchung mit dem Finger möglich ist, von der *Mundhöhle aus das Gaumensegel nach oben zu umreißen* und an der oberen Fläche abzutasten, wie auch den Vomer, die Umgebung der Choanen und die hintere Rachenwand mit der *Rachentonsille* abzutasten. Auch ist zu begreifen, daß man durch die genannte *Rhinoscopia posterior* unter Einführung eines Spiegels vom Munde aus bis an die hintere Rachenwand das Reflexbild der Choanen und der Nasenmuscheln von der Mundhöhle aus gewahren kann (vgl. Fig. 130). Auch der Weg, auf dem die Rachentonsille extirpiert wird, ist hiernach anatomisch klar.

In der Pars nasalis des Pharynx spielt praktisch die Tubenmündung eine große Rolle (Fortleitung von Entzündung, Möglichkeit des Katheterismus, Lufteinblasen [Valsalva, Politzer]). Den Vorgang der Einführung des Katheters stellt in seinen einzelnen, durchaus von den anatomischen Verhält-

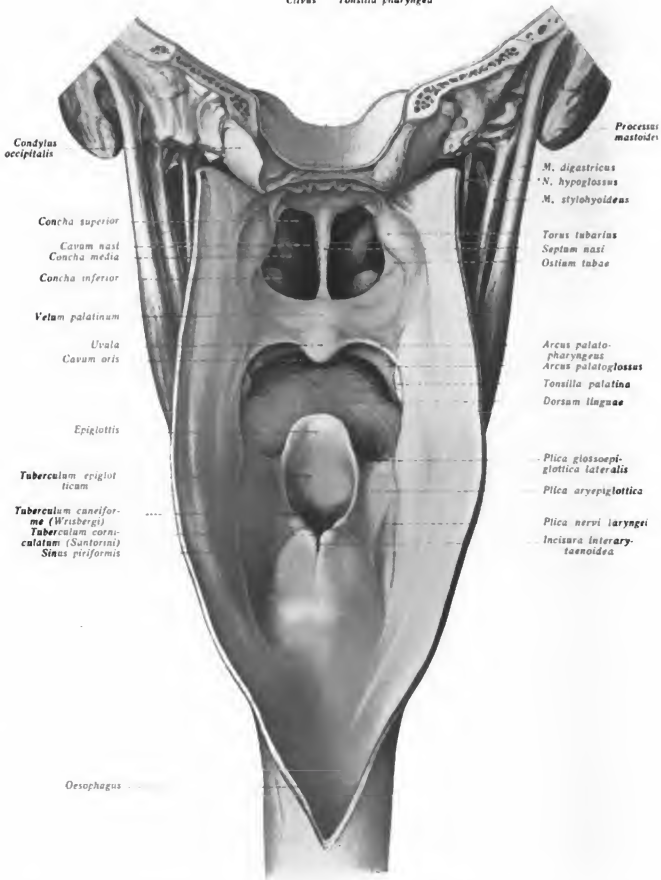


Fig. 144. Schlundkopf, von hinten der Länge nach aufgeschnitten, mit den drei Kommunikationen nach vorn hin: zur Nasenhöhle, zur Mundhöhle, zum Kehlkopf.



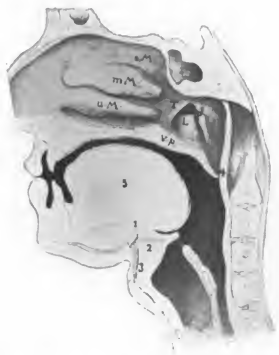


Fig. 145. Medianschnitt durch den Kopf beim Schlingen (nach Brühl).

- |                         |                           |
|-------------------------|---------------------------|
| a. M. antere Muschel.   | L. Levatorwulst (stark).  |
| m. M. mittlere "        | 1. Zungenbein.            |
| o. M. obere "           | 2. lig. hyo-epiglotticum  |
| v. p. velum palatinum.  | 3. lig. thyreo-hyoideum.  |
| T. Tuba Eustachii       | 4. Passavant'scher Wulst. |
| P. Plica salpingo-phar. | 5. Zunge.                 |

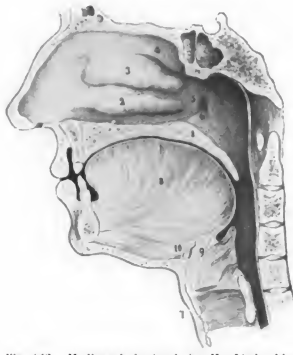


Fig. 146. Medianschnitt durch den Kopf bei ruhiger Atmung (nach Brühl).

- |                                       |                           |
|---------------------------------------|---------------------------|
| 1. velum palatinum bei ruhiger Atmung | 6 Levatorwulst (schwach). |
| 2. antere Muschel.                    | 7. Kehlkopf               |
| 3. mittlere "                         | 8. Zunge                  |
| 4. obere "                            | 9. Epiglottis.            |
| 5. ostium pharyngeum tubae Eustachii. | 10. Zungenbein.           |

sen abhängigen Phasen die Fig. 121 dar. Während des Schluckaktes erweitert sich die pharyngeale Mündung der Nase (Wirkung des Levator veli palatini), der durch diesen Muskel hervorgerufene Levatorwulst springt stark hervor. Daher geschieht das Einblasen der Luft im Momente des Schluckens).

Die Pars oralis ist bedeutsam wegen der sich hier kreuzenden Kreuzung des Atmungs- und Speiseweges (Gehirn des Verschluckens). Die verschiedene Stellung der Regulierungsapparate zeigt Fig. 145 und Fig. 146. Anders liegen die Verhältnisse beim Säugling und jungen Kindern. Die Kürze des Halses führt hier zu einem Hochstand des Kehlkopfes, so daß die Epiglottis in den Nasenrachenraum vorragt und Schlucken bei offenem Atmungswege möglich ist. (Kontinuierliches Sagen der Kinder. Hasse.)

Das Retropharyngealgewebe ist der Sitz der Retropharyngealabszesse. Seines Ausgangs von Abszessen der retropharyngealen Drüsen ist bereits oben gedacht worden. In der Nähe der Wirbelsäule gemahnt auch an andere Ursachen (Karies der Wirbelkörper). Der Retropharyngealabszess kann durch Druck von hinten auf Pharynx, Choanen, Rachenwulst, Kehlkopfengang und Trachea zu Schlingenscheidungsbeschwerden führen und bei günstiger Lage von der Mundhöhle aus eröffnet werden. Da dieses lockere Bindegewebe den Oesophagus bis in den Brustraum betreibt, bildet es eine Bahn, auf der sich die Retro-



Fig. 147. Die venösen Geflechte des Pharynx, der ventrale auf dem Ringknorpel gelegene, der dorsale in der Höhe des M. constrictor inferior; Reproduktion einer Abb. von Elze (Anat. Anz. Bd. 51. 1918).

pharyngealabszesse nach *abwärts bis in das Mediastinum ausbreiten*, mit der Pleura in Berührung kommen und in die *Pleurahöhle durchbrechen* oder durch Übergang auf das Perikardium zu Perikarditis führen können. Die *Lage des Pharynx* zu den *Halswirbeln* ermöglicht es, bei Frakturen und Luxationen der Wirbel die stattfindenden Veränderungen durch die Digitaluntersuchung und Inspektion von dem Munde aus zu diagnostizieren; so lehrt z. B. die Lage des vorderen Atlasbogens zur hinteren Pharynxwand (s. Fig. 129, 142) ohne weiteres, daß bei *Luxation des Atlas nach vorn dieser als harte Prominenz in der hinteren Rachenwand* fühlbar wird. Von der Vorderfläche der Halswirbelsäule dem Clivus, dem Keilbeinkörper ausgehende Geschwülste finden (Medianschnitt Fig. 129) *nach dem Pharynx hin geringen Widerstand* und können durch die *Choanen* in die *Nasenhöhle* und von hier in deren *Nebenhöhlen* oder durch die *Lamina cribrosa* in die *Schädelhöhle*, ferner gegen den weichen Gaumen nach der *Mundhöhle* hin wachsen.

Die Lymphgefäße der Pharynxwand ziehen fast alle zu den tiefen Zervikaldrüsen, die außen neben der Vena jugularis interna liegen. Abgesehen von der oben (S. 92) erwähnten retropharyngealen Drüse kommen auch eine Anzahl kleinerer hinter dem Pharynx bis gegen den oberen Pol der Schilddrüse hin vor (über Venengeflechte im Hypopharynx vergleiche später S. 124 und Fig. 147).

## Topographische und angewandte Anatomie des Halses.

### I. Morphologische Einleitung in die Topographische Anatomie des Halses.

Wie beim Kopfe, so bieten sich auch beim Halse dem Praktiker oft Abweichungen von den normalen Verhältnissen dar, die nur auf Grund besonderer entwicklungsgeschichtlicher und vergleichend-anatomischer Kenntnisse richtig beurteilt und demgemäß behandelt werden können. Zu den Punkten, die hier zu besprechen sind, gehören die Schicksale der Kiemenbögen, die Entstehung der epithelialen Auswüchse des Schlunddarmes und die auf genetischer Basis beruhenden Anomalien der Wirbelbildung am Halse.

1. *Die Kiemenbögen und ihre Schicksale.* Unter Hinweis auf früher gegebene Abbildungen ist an die Anordnung der Kiemenbögen des menschlichen Embryo zu erinnern. Die zwischen den Bögen liegenden Gewebsteile sind beim Menschen in der Regel niemals durchbrochen. Es nähert sich vielmehr nur die epitheliale Auskleidung des Schlunddarmes (des späteren Pharynx) der epithelialen Hautdecke, indem sich vom Schlund her *Verwachsungen* zwischen die Kiemenbögen erstrecken (Schlundtaschen), denen von außen *Furchen* entgegenwachsen (Kiemenfurchen). Zwischen Schlundtaschen und Kiemenfurchen bleiben Substanzbrücken erhalten, aus zwei Epithelplatten bestehend (Verschlußplatten). Der menschliche Embryo besitzt fünf Schlundtaschen, aber nur vier Kiemenbögen, deren erster vor der ersten, deren letzter hinter der dritten Schlundtasche liegt, und sechs Gefäßbögen, deren fünfter rudimentär bleibt. Nur die beiden ersten Schlundtaschen und die beiden ersten Kiemenbögen sowie die erste Kiemenfurcha gewinnen für die äußere Ausgestaltung des Halses Bedeutung. Die beiden Bögen wachsen stark aus und schieben sich über die sehr klein bleibenden folgenden Bögen (den dritten und vierten) hinüber, wie die Züge eines Fernrohres übereinander“ [Fig. 148]). Mit dem sie medial verbindenden Hautbezirk senkt sich der zweite Bogen so weit nach abwärts, daß er mit der Brustwand verwächst. Dadurch gerät jederseits ein spaltförmiger, allseitig von der Anlage der äußeren Haut überkleideter Rezeß in die Tiefe des Halses. Dieser versenkte Spaltum ist die *Halsbucht* (Sinus cervicalis, praecervicalis). Vorübergehend liegt also die zweite Kiemenfurcha in der äußeren Mündung dieser Bucht, die sich dann durch Verwachsung mit der Brustwand schließt. Von den fünf Schlundtaschen muß demzufolge die zweite die fünfte im Bereiche der Halsbucht, in der Tiefe ihre *blinde* Endigung finden. Die übrigen Kiemenfurchen 2—5 bleiben zeitweilig zu Gängen (Ductus branchiales) ausgezogen, erhalten. Diese Ductus müssen demnach anfangs eine gemeinsame Mündung nach außen besitzen (Fig. 149 links). Sehr bald lösen sich die Verbindungen zur 4. und 5. Tasche, später auch die zur 3. und 2. ab, die gesamten Epithelstränge lösen sich auf und verschwinden (Fig. 149 rechts). Normalerweise schließt sich auch die Halsbucht, wenigstens beim Menschen, durch Verwachsung spurlos, die epithelialen Wände verkleben und gehen zugrunde. Aus dem, was oben (S. 16) über die aus den Kiemenbögen hervorgehenden Teile gesagt wurde, folgt, daß das Gebiet der Kiemenfurchen und Kiemenbögen beim Erwachsenen *in der Höhe des Zungenbeins und darüber im Trigonum submaxillare* zu suchen ist. Ein sogenannter Sulcus cervicalis bezeichnet hier eine Zeitlang als Spur der Halsbucht die Grenze zwischen Kopf und Brust. Die in der Tiefe verborgenen Teile des 3. und 4. Kiemenbogens tragen bei der Bildung des Zungenbeins und bilden ferner (4. Bogen) auch das Skelett des Kehlkopfs.

Fig. 149. Schematische Darstellung der Schlundtaschen und ihrer Derivate. Links (vom Beschauer) ist ein früheres Stadium dargestellt. Rechts ist die Halsbucht (Sinus cervicalis) und die von da ausgehenden Verbindungen zu den Schlundtaschen (gelb) als zurückgebildete Epitheirreste dargestellt. a Spitze der ersten, b Spitze der 2. Schlundtasche. Lage des *M. sternocleidomastoideus* ist — obwohl er in dieser Entwicklungsphase noch nicht so weit ausgebildet ist in seiner endgültigen Lage durch einen Querschnitt und durch punktierte Linien dargestellt. Zum Teil unter Benützung einer Abbildung von Koilmann.

Fig. 151 und 151a. Ein Fall von vollständig erhaltenem 2. und 3. Viscerabogen bei einem Erwachsenen (v. Eggeli 1919). Es bedeutet 1 Körper des Zungenbeins, 2 processus styloides, 3 kleines, 4 großes Zungenbeinhorn. Knochen Teile schwarz. Kehlkopfknorpel punktiert, Bindegewebe gestrichelt. Rechts ist der 2. 3. und 4. Bogen vollständig erhalten, auch das obere Horn des Schildknorpels erreicht den 3. Bogen. Links ist die Bildung des 3. Bogens unvollständig.

kopfs; ihre Muskulatur liefert die Pharynx- und Kehlkopfmuskulatur, ihre Nerven sind die Glossopharyngeus (dritter Bogen) und Vagus (vierter Bogen).

2. Die aus den Schlundtaschen entstehenden Organe. Die Spitzen der fünf Schlundtaschen liegen, auf den Erwachsenen bezogen, an folgenden Stellen: 1. im Grunde der Paukenhöhle am Trommelfell; 2. in der Fossa supratonsillaris; 3. im Sinus piriformis des Kehlkopfes oberhalb der Plica nervi laryngei; 4. und 5. unterhalb des *N. laryngeus* im unteren Teil des Sinus piriformis. Ihre Entwicklung ist mit der Ausbildung ihrer an die Verschlussplatten anstoßenden blinden Enden nicht abgeschlossen, vielmehr bilden sich zwischen diesen blinden Enden und dem Pharynx engere Röhren aus, die bei der 2. Tasche kurz sind, bei der 3., 4. und 5. dagegen zu längeren, nach abwärts gegen das Sternum anwachsenden Bildungen werden. Die (Fig. 149 rechts) blinden Enden geraten dadurch in weitere Entfernung vom Pharynx und kommunizieren vermittelst dieser Gänge mit ihm durch den vorher genannten Stellen durch enge Öffnungen. Später obliterieren diese als Duct pharyngo-branchiales bezeichneten Kanäle und schmelzen ein. So verlieren die ursprünglichen Aussackungen ihre Beziehungen zum Schlunde und bleiben noch eine Zeitlang als allseitig geschlossene Säckchen („Schlundtaschenreste“) bestehen, bis auch sie zugrunde gehen. Diese Entwicklung ist in der Norm gegen Ende des 1. Fötalmonats abgeschlossen.

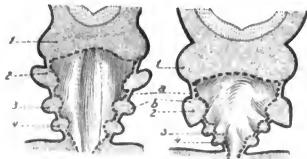


Fig. 148. Schematische Darstellung der Kiemenfurchen, Schlundtaschen und Viscerabögen. Nach Abbildungen von Testut und O. Hertwig. 1, 2, 3, 4 Kiefer-, Zungenbein-, 3. u. 4. Kiemenbogen, a Verschlussplatte zwischen 2. Schlundtasche u. 2. Kiemenfurchen, b Besonders hervorgehoben der 2. Visceral-(Zungenbein-)bogen, der brustwärts auswachsend die folgenden Kiemenbogen überlagert. Die Halsbucht entsteht, wenn b die Brustwand erreicht hat. Die Verschlussplatten der 3. und 4. Spalte und der 3. und 4. Kiemenbogen liegen dann von der Oberfläche abgedrängt in der Tiefe. Die Abbildungen zeigen ein früheres (links) und ein späteres (rechts) Stadium. Die hintere Pharynxwand ist entfernt, man sieht auf die vordere Pharynxwand.

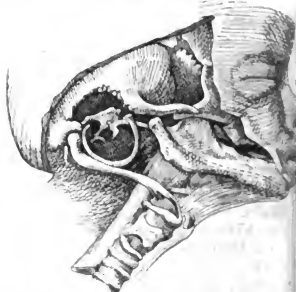


Fig. 150. Schilddrüsen skelett in seiner natürlichen Lage am Schädel. Der Annulus tympanicus ist erhalten, Trommelfell entfernt; der Unterkiefer ist nach oben geschoben, um den Verlauf des Meckelschen Knorpels bis zum Hammer zu zeigen. Sichtbar sind: Hammer und Meckelscher Knorpel (1. Viscerabogen), Proc. styloides, Lig. stylo-hyoideum (2. Viscerabogen), großes Zungenbeinhorn (3. Viscerabogen), Cartilago thyreoides, cricoides und Trachealringe.

Fig. 149.

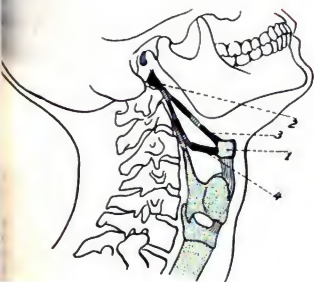
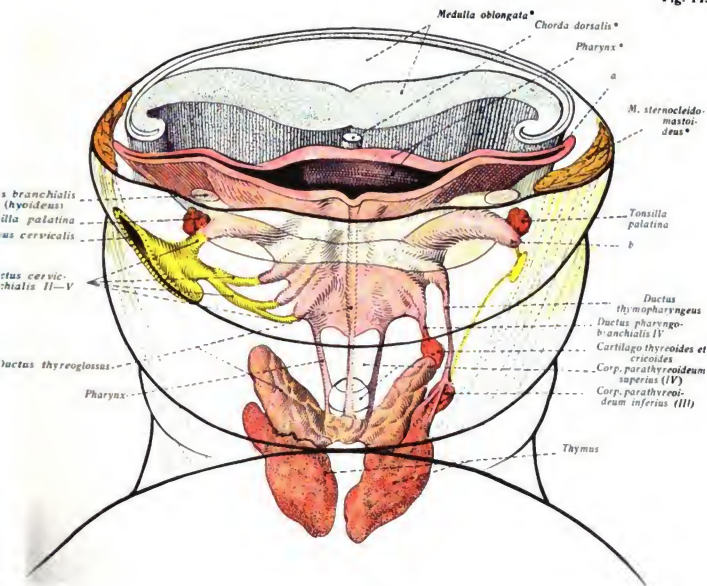


Fig. 151.

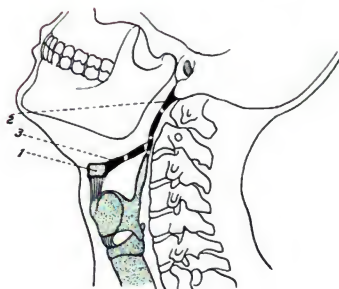


Fig. 151 a.

Fig. 152.

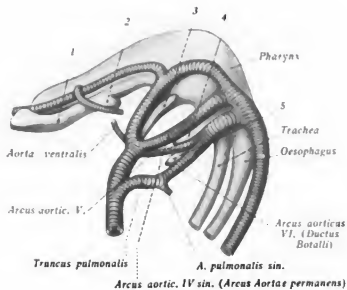


Fig. 152a

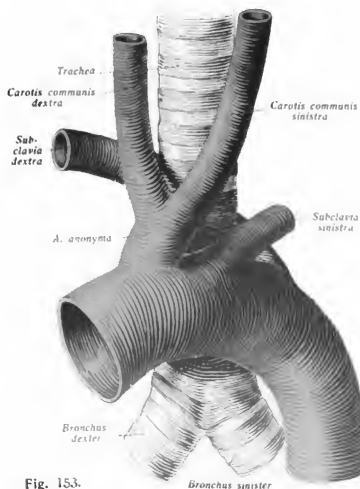
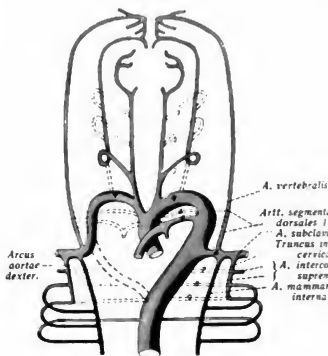


Fig. 153.

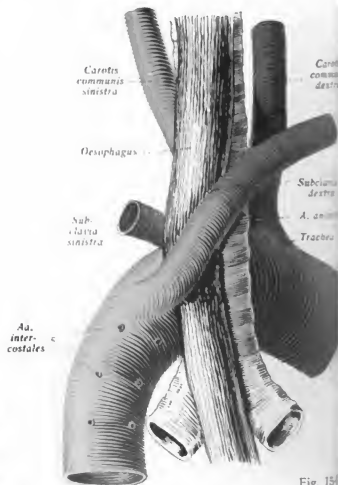


Fig. 154.

Fig. 152. Aortenbogen der linken Seite eines menschlichen Embryo von 9 mm größter Länge (Ende des 1. Monats). Der Pharynx ist isoliert dargestellt. Die Aortenbögen liegen in Vertiefungen der Wand des Kopfdarms, die Schlundtaschen treten deutlich hervor. Am Truncus arteriosus hat sich der Truncus pulmonalis von dem Truncus Aortae abgespalten. 2, 3, 4, 5 erste bis fünfte Schlundtasche. Zwischen 1 und 2 der zweite, zwischen 2 und 3 der dritte Aortenbogen.

Fig. 152a. Schematische Darstellung der Umbildungen im Gebiet der Kopf-, Hals- und Thoraxarterien, kombiniert aus den Schemata Fig. 445 und 446 von Broman. Anastomose zwischen A. carotis interna und A. vertebralis schematisch nander stark genähert (vgl. Fig. 25).

Fig. 153. Abnormer Ursprung der aus dem Aortenbogen kommenden Hauptstämme, wobei die A. subclavia dextra am weitesten nach links aus dem Bogen entspringt und hinter Trachea und Oesophagus (vor der Wirbelsäule) nach rechts überläuft. Ansicht von vorne.

Fig. 154. Das Präparat der Figur 153 von hinten dargestellt.

Die Bedeutung der blinden Schlundtaschen und damit der Schlundtaschenreste bleibt aber darin, daß ihr Epithel das Material für die *Thymus* und die *Epithelkörperchen* liefert. Es ist eine in ihren letzten Gründen nicht aufgeklärte Besonderheit dieser seitlichen Gegenden des Schlunddarms, daß sie lymphoiden Bildungen den Ursprung geben. Die Spitze der 2. Tasche liefert die epithelialen Buchten, in deren Umgebung die Follikel der Tonsilla palatina (aus dem Mesenchym) entstehen. Aus dem blinden Ende der 3. Schlundtasche, und zwar aus ihrem ventralen Teil, geht die Thymus als eine epitheliale Wucherung hervor. Wenn, was entgegen der älteren Ansicht (*Stöhr*) wahrscheinlich ist, auch das lymphoide Gewebe der Thymusrinde mesenchymatöse Herkunft hat, so würde der epitheliale Anteil der Thymus dem Epithel der Tonsillarbuchten gleichwertig sein. Die großen lymphatischen Körperchen der Thymus mit ihrem Inhalt wären dann als vom Mutterboden abgesprengte Follikelbuchten aufzufassen. Tonsille und Thymus wären dann gleichwertige „lymphoepitheliale“ Organe (*Mollier*). Auch die 4. Schlundtasche liefert an gleicher Stelle bei vielen Säugetieren, aber nicht beim Menschen, Thymusgewebe. Die 3. und 4. Schlundtasche ist ferner in ihrem mehr dorsal, d. h. rückwärts von der Thymus gelegenen Bezirk der Mutterboden für die eigentümlichen Epithelkörperchen (*Maurer*), die trotz ihrer Unscheinbarkeit lebenswichtige Organe sind. Auch aus der 5. Schlundtasche (oder — es ist nicht ganz sicher feststeht — unmittelbar hinter ihr aus der Pharynxwand) entsteht ein unscheinbares Gebilde, das in weiterer Entwicklung Ähnlichkeit mit Schilddrüsen Gewebe gewinnt, ohne indes echtes Schilddrüsen Gewebe zu liefern. Es liegt im Inneren der Schilddrüsen Substanz.

Die Thymus schließt sich beim Menschen also in ihrer Entwicklung an jenen oben genannten Ductus pharyngo-brachialis tertius an, den man daher auch Ductus thymo-pharyngeus genannt hat. Sie stellt ein paariges Organ dar, das jederseits vor den Venae jugulares und den Karotiden gelegen, beim Längenwachstum des Halses schließlich in die obere Thoraxapertur und ins Mediastinum hineinrückt. Ebenso weit nach abwärts, d. h. also zum oberen Pol der Thymus wird demnach auch der Ductus thymo-pharyngeus ausgegossen; Reste von ihm sind nach neueren Untersuchungen sogar bei jedem siebenten bis achten Menschen erhalten.

Das erste, oberste Epithelkörperchen rückt mit der Thymus ebenfalls weit hinab und kommt, auf den Erwachsenen bezogen, in die untere Gegend der Schilddrüse zu liegen, während das zweite, distale Epithelkörperchen, der vierten Schlundtasche angehörig, am Ende des kürzeren Ductus pharyngo-brachialis IV und V („communis“) gelegen, im endgültigen Zustande oberhalb des ersten liegen bleibt.

Die Schilddrüse selbst entsteht als eine Aussackung des Schlundes vorn in der Mitte. Diese Aussackung ist das spätere Foramen coecum der Zunge. Von hier aus wächst ein langer Gang, der Ductus thyreo-pharyngeus zwischen erstem und zweitem Viszeralbogen nach abwärts. Dieser Gang läuft also hinter dem Zungenbein und zieht vor dem Kehlkopf nach abwärts. Unterhalb des Kehlkopfes bildet der Gang einen queren Wulst, den späteren Thymus der Schilddrüse und unter starker seitlicher Entfaltung ihre seitlichen Lappen.

Man vergleiche für die Schilderung die schematische Skizze (Fig. 148) und die folgende Figur 149, die links (vom Beschauer) schematisch den ursprünglichen Zustand, rechts den nach Untergang der Halsbucht und der Ductus cervico-branchiales bestehenden zeigt.

Das hier Vorgetragene eröffnet wenigstens zum Teil das Verständnis für die topographische Anatomie der Halsfisteln und mancher anderer abnormer Erscheinungen am Halse. Einiges davon ist trotzdem auch heute noch genetisch nicht ganz klar (s. u.).

1. *Persistenz von Viszeralbögen.* Oft findet der Chirurg zwischen Processus styloides und kleine Zungenbeinhorn einen knorpeligen, oder auch knöchernen Stab, der zwischen den Mm. styloglossus und stylopharyngeus liegt. Es ist der sich in der Norm (Fig. 150) zum Lig. stylohyoideum umbildende Teil des 2. Viszeralbogens. Sehr viel seltener ist völlige Persistenz der gesamten Anlage, wie sie die bestehenden Skizzen 151a und b (v. Eggeling) zeigen.

2. *Halsfisteln.* Diese werden eingeteilt in mediale und laterale Fisteln. Die *mediale* Halsfistel ist die abnorme Öffnung des abnormerweise ganz oder in einzelnen Bezirken erhalten gebliebenen Ductus thyreopharyngeus. Der Anfangsteil dieses Kanals bleibt oft bestehen und kann zystische Geschwülste im Zungengrund oder unterhalb des Zungenbeins bilden (Bochdaleksche Schläuche). Es kann auch, und zwar sehr häufig — der ganze Gang zwar obliterieren, aber Schilddrüsengewebe ausbilden. Dann entsteht die als „Lobus pyramidalis“ der Schilddrüse bekannte Hemmungsbildung (Fig. 172). Reste des Anfangsteils des Ganges sind in über 30 Prozent der Fälle nachgewiesen worden. Diese Gänge oder Zysten sind, da sie vom Zungengrunde ausgehen, meist mit geschichtetem Plattenepithel, Schleimdrüsen, lymphoiden Zellen versehen; auch Flimmerepithel ist nachgewiesen worden, das dann vom Material der Pars nasalis des Pharynx stammt. Auch Kröpfe können sich aus diesen Resten entwickeln. Öffnet sich ein solcher Gang nach außen, so entstehen die medialen Halsfisteln, deren Öffnung stets in der Mittellinie des Halses, bis in die Gegend der Schilddrüse hinab liegt.

Die *seitlichen* Halsfisteln sollten als „*Kiemenfisteln*“ nur bezeichnet werden, wenn sie wirklich Durchbrechungen der Verschlussmembranen darstellen. Nach der ganzen Sachlage kann das nur im Bereich der beiden ersten Spalten vorkommen, da nur diese beiden unmittelbare Beziehungen zur Hautoberfläche behalten. Solche Fisteln können äußere, innere und komplette sein. Fisteln im Bereich der 1. Spalte werden ihre innere Mündung in der Gegend des Ostium pharyngeum tubae haben und werden im Bereiche des Kieferwinkels, unterhalb oder innerhalb der Ohrmuschel ausmünden. Tu und äußeres Ohr sind dabei meist mangelhaft ausgebildet. Innere Fisteln der 2. Spalte werden von der Supratonsillarbucht oder deren nächster Umgebung ausgehen müssen. Die äußere Mündung kann nur oberhalb des Zungenbeins, im Submaxillardreieck liegen (Persistenz und mangelnder Verschluss des Sinus cervicalis). Im allgemeinen sind aber diese Fisteln der 2. Spalte seltener. In der Regel öffnen sich die seitlichen Halsfisteln nach abwärts vom Zungenbein, seltener neben dem Kehlkopf, fast immer dicht oberhalb des Sternoklavikulargelenkes. Die Öffnungen liegen stets am vorderen Rande des M. sternocleidomastoideus. Diese Lage (am vorderen Rande des Muskels und oberhalb des Sternoklavikulargelenkes) kann nur durch Zurückführung der Fisteln auf die erwähnten blinden, von den unteren Schlundtaschen hinabwachsenden Gänge erklärt werden (Ductus pharyngo-branchialis III = Ductus thyreo-pharyngeus, und Ductus pharyngo-branchialis IV + V [communis]). Es handelt sich also hier eigentlich um inkomplette, dann nach außen durchbrechende Fisteln der 3. (seltener 4. und 5.) Schlundtasche. Ein solcher Fistelgang muß vor den großen Halsgefäßen liegen und müßte distal vom Ductus thyreo-pharyngeus (Nerv des III. Bogens) in den Pharynx, und zwar im Sinus piriformis einmünden. Dies scheint aber nicht immer der Fall zu sein; die innere Mündung der seitlichen Halsfisteln liegt vielmehr in vielen Fällen in der Gegend der Mandel in der Tonsillarbucht oder im Arcus palatopharyngeus, also im Bereich der 2. Schlundtasche. Daß hier Kombinationen von Störungen vorliegen können ist anzunehmen, obwohl über solche nichts bekannt ist.

Noch andere abnorme Verhältnisse finden durch die Entwicklungsgeschichte des Halses ihre Aufklärung. Hierzu gehört vor allem die Tatsache, daß oft die Schilddrüse weiter nach abwärts verlagert ist als in der Norm. Der Ductus thyreo-pharyngeus hat sich in diesen Fällen weiter nach abwärts ausgedehnt als oben beschrieben. So findet man die Schilddrüse gelegentlich an der oberen Thoraxapertur liegen oder teils am Halse, teils im Mediastinum oder auch ganz im Mediastinum. Das wird wichtig bei der Strumabildung, wo dann retrosternale Strumen mit ihren bedrohlichen Verdrängungsercheinungen entstehen oder auch die selteneren Formen eines *Tauchkropfes*, d. h. von Strumen, c



ter dem Manubrium sterni gelegen, bei der Respiration oberhalb des Sternums emportreten und wieder verschwinden.

Schließlich gehen von den zahlreich angelegten und zugrundegehenden Epithelgängen auch Zysten und Geschwülste (Karzinome) aus. Da das zugrunde liegende Epithel der Anlage der äußeren Bedeckung des Körpers (Ductus cervico-branchiales, Sinus cervicalis) entstammt, so sind die Karzinome nach dem Charakter der Hautkrebse gebaut. Auch die Kiemenbögen können abnorme Bildungen hervorbringen lassen; ihr Anlagematerial kann zersprengt und verlagert werden. Als solche Bildungen sind zu nennen: Knorpel einschüsse der Tonsille, Knorpelgeschwülste in der Tiefe des Halses oder in tieferen Halsanhängen, überzählige Teile der Ohrmuschel (deren Material wohl dem Hyoidbogen entstammt), Verdoppelung der Ohren, Ohr läppchen am Halse usw.

Die *Gefäße* der Kiemenbögen sind die sechs primitiven Aortenbögen, die schematisch der Figur 152, in einem späteren Stadium in Fig. 152a dargestellt sind. Das Schema Fig. 152a zeigt, wie aus dem Stamm der Kiemenarterie die A. carotis comm. und als deren Fortsetzung die A. carotis externa entsteht. Aus dem dritten Aortenbogen entsteht die A. carotis interna, die im endgültigen Zustande meist hinter der A. carotis externa liegt, aber auch mannigfache andere Lagerungen aufweisen kann. Gehirnwärts setzt sie sich in aufsteigend förmigem und rückläufigem Verlauf fort und bildet so den Kopfteil der A. vertebralis. Diese setzt sich dann mit dem Halsteil der A. vertebralis in Verbindung, deren komplizierte Entstehung alsbald beschrieben werden wird.

Der 4. Aortenbogen liefert links den bleibenden Aortenbogen, rechts den aufsteigenden Teil der A. subclavia. Die 5. Gefäßbögen gehen rechts und links zugrunde, während die 6. Bogen den Ductus arteriosus Botalli und die Äste der Lungenarterie entstehen läßt. Aus dem vierten Bogen und dem Stamm der gemeinsamen Aorta gehen nun die dorsalen Segmentarterien des Rumpfes hervor (s. oben S. 10). Deren gibt es acht zervikale und danach folgend die Interkostalarterien. Die ersten fünf Zervikalarterien gehen als Stämmchen zugrunde, liefern aber einen Längsstamm, den Halsteil der A. vertebralis, der mittelst der nächsten Segmentarterie aus einem größeren Gefäß entspringt. Diese sechste Segmentarterie liefert links die gesamte A. subclavia, rechts deren absteigenden Bogenabschnitt. So kommt die A. vertebralis dazu, aus der A. subclavia zu entspringen und so erklärt es sich, daß erst vom sechsten Halswirbel ab ihren Verlauf durch die Foramina transversaria der Halswirbelsäule beginnt. So erklärt sich aber auch die Gleichwertigkeit (Homotypie) der rechten A. subclavia und des Aortenbogens, was wiederum das Verständnis für den Verlauf des N. vagus und N. recurrens eröffnet.

Aber auch die so verwickelte Gruppierung der Äste der A. subclavia erfährt ihre Vereinfachung durch die Umbildungen der folgenden Segmentarterien (7–9). Diese bleiben ebenfalls nur, wie 1–5 in ihren Längsverbindungen erhalten und es entsteht daraus der Truncus intercosto-cervicalis, der die A. cervicalis profunda und die A. intercostalis profunda liefert. Erst die zehnte Segmentarterie liefert die typische A. intercostalis dorsalis des 3. Interkostalraumes. Nach Umkreisung des Thorax liefern dann die achte und die folgende Arterien ein vorderes anastomotisches Längsgefäß, das als A. mamma interna aus der A. subclavia hervorgeht.

In den Figuren 153 und 154 ist eine eigenartige, seltene Anomalie des Ursprunges aus dem Aortenbogen kommenden Stämme dargestellt, bei der vor allem der ganz abnorme Verlauf und Ursprung der A. subclavia dextra in hohem Grade auffällt. Das Gefäß, das in der Regel aus der A. anonyma hervorgeht, entspringt hier als *letzter* aus dem Arcus Aortae und läuft am Halse *hinter* Trachea und Oesophagus auf der Halswirbelsäule nach rechts herüber.

Man hat früher irrthümlich geglaubt, daß ein solcher Verlauf der A. subclavia dextra durch Druck des Oesophagus zu starken Schlingbeschwerden Veranlassung gebe (Dysphagia lusoria).

Die Entstehung dieser Anomalie ist aus der gegebenen Darstellung noch nicht erklärbar. Es muß dazu weiter berücksichtigt werden, daß die A. subclavia auf früheren

Entwicklungsstadien nicht der sechste Ast, sondern erst der neunte Segmentast ist und erst durch komplizierte Lageverschiebungen ihren endgültigen Anschluß an den vierten Aortenbogen findet. Behält sie (rechts) diesen tieferen Ursprung, so unterbleibt die Ausbildung des vierten Bogens (rechts) und das Anfangsstück der „Subclavia“ ist dann ein kürzeres oder längeres Stück einer eigentlich zum Untergang bestimmten Strecke. Erreicht die Subclavia dabei die Stelle der 7. Segmentarterie, so entspringt sie aus dem Aortenbogen hinter der A. carotis dextra; erreicht sie nur die Stelle der achten Arterie, so geht sie hinter beiden Karotiden entlang; bleibt sie neunte Segmentarterie, so geht sie vom Ende des Arcus aortae aus zwischen Speiseröhre und Luftröhre, oder hinter der Speiseröhre nach rechts hinüber, wie im abgebildeten Fall, der aus dem Schema 152a verständlich wird wenn man die Arterie in den — gestrichelten — Arcus Aortae dexter verlegt.



Fig. 155. Halsrippen. Der mit 7 bezeichnete 7. Halswirbel trägt links eine kleine, rechts eine vollkommene Halsrippe, die bis zum Sternum reicht. 1 und 2 bezeichnen die beiden ersten Brustwirbel.

Es kann aber auch vorkommen, daß die Subclavia noch tiefer, aus der Aorta thoracica entspringt. Dann muß sie hinter der Luftröhre zur rechten Schlüsselbeingegend empor treten. Links werden nach der ganzen Sachlage so komplizierte Verlaufsverhältnisse nicht eintreten können. Hier wird sich aus den erwähnten Hemmungsbildungen nur ein weit distal gelegener Ursprung ergeben. In all diesen Fällen braucht der Ursprung der A. subclavia der A. subclavia nicht gestört zu sein; sie können aber auch einzeln oder alle aus dem Arcus aortae entspringen.

Andere Anomalien (in der Gruppierung der Äste des Arcus aortae) sind sehr häufig und aus der Genese leicht erklärbar. Im abgebildeten Fall (Fig. 153) läßt z. B. die Anonymia die beiden Karotiden aus sich hervorgehen.

Die Halswirbel bieten in nicht seltenen Fällen Anlaß zur Ausbildung einer Halsrippe (Fig. 155). Die vordere Spange des Querfortsatzes, die das For. transvers. vorn begrenzt, ist entwicklungsgeschichtlich den Thorakalrippen gleichwertig. Oft entfaltet sich dieses Skelettelement schon am siebenten Wirbel, nicht erst am achten. Es kann dann beiderseitig oder einseitig der siebente Halswirbel eine mehr oder weniger gut entwickelte Rippe tragen. In den vollständigsten Zuständen erreicht diese Rippe durch ligamentöse Verbindung das Brustbein, oder sie ist mit der ersten Thorakalrippe verbunden. Meist endet sie stummelförmig frei. Eine Halsrippe am sechsten und siebenten Wirbel ist nur zweimal, eine solche am fünften, sechsten und siebenten Wirbel nur einmal beobachtet worden. Bei bestehender Rippe am siebenten Wirbel befestigt sich der M. scalenus anterior

mit Teilen seiner Fasern an ihr; auch der *M. scalenus medius* kann an ihr inserieren. Die *A. subclavia* zieht stets über die Halsrippe hinweg; die Halsrippe liegt natürlich zwischen dem siebenten und achten Halsnerven.

Klinisch ergeben sich aus der Anwesenheit einer Halsrippe Störungen durch Zerrung und Kompression der *A. subclavia*, die bis zu Gangränerscheinungen an den Fingern führen können. Reizung des *xus brachialis* führt zu Sensibilitätsstörungen. Bei Skoliose der Wirbelsäule an der zerviko-thorakalen Grenze ist die Halsrippe oft auf der konvexen Seite gefunden worden. Auch schreiben einige Kliniker der Halsrippe wegen minderer Beweglichkeit der oberen Thoraxapertur einen Einfluß auf die Entstehung von Lungenspitzenkrankungen zu. Sehr wichtig ist die Halsrippe für die *Gutachterigkeit*, da Fälle bekannt geworden sind, in denen eine Beschwerde erst durch ein Trauma herbeigeführt und die Halsrippe erst bei diesem Anlaß entdeckt worden ist. Normalerweise brauchen diese Beschwerden nicht zu bestehen, können aber, auch ohne Trauma, spontan beim Wachstum des Körpers, nach der Pubertät hervortreten. Die Halsrippe ist im Röntgenbilde stets, bei stärkerer Ausprägung auch durch Besichtigung und Betastung nachzuweisen. Sie kann dann als harter Tumor die Gegend der *Fossa supraclavicularis* hervorwölben.

## II. Allgemeines über die topographische Anatomie des Halses.

Als Verbindungsstück von Kopf und Rumpf stellt der Hals ein *Durchgangsgebiet wichtiger Organe vom Kopf zum Rumpf und vom Rumpf zum Kopf* dar und enthält auf *hältnismäßig kleinem Raum außerordentlich viele bedeutungsvolle Teile*, die einmal gestellt werden durch die *Halseingeweide* (Kehlkopf, Pharynx, Trachea, Ösophagus, Schilddrüse und Epithelkörperchen), sodann durch die Gefäße und Nerven, die den seitlich von den Eingeweiden liegenden *Gefäßnervenstrang* bilden. Die Anordnung am Halse im allgemeinen so getroffen, daß Eingeweide und Gefäßnervenstrang innerhalb eines *Faszien* ausgekleideten *Spaltraumes* liegen. Dieser Spaltraum nebst Inhalt setzt sich unterbrochen nach abwärts in den *Thorax* fort und wird dort, umgeben von den beiden Pleurasäcken, zum Mediastinum. Am Halse wird der Spaltraum seitlich und vorn von der Halswand umhüllt, die seitlich eine dicke, vorn dagegen nur eine sehr schwache Wandung hat. Nach hinten wird der Spaltraum durch die tiefen medialen Halsmuskeln und die Wirbelsäule begrenzt.

Diese Lage der Halseingeweide und des Gefäßnervenstranges bietet Nachteile und Vorteile. Als Vorteile hat man ihre leichte Verschieblichkeit aufzufassen, wie sie durch die Schluckfunktion (Schluckakt) nicht nur, sondern auch durch die Beweglichkeit der Halswirbelsäule erfordert wird. Dem steht die leichte Verletzbarkeit der nirgends durch Knochenwände umhüllten Eingeweide, Gefäße und Nerven nachteilig entgegen.

Das vom N. facialis innervierte *Platysma* liegt oberhalb der Halsfaszien zu beiden Seiten der Mittellinie. Es steigt zum Unterkiefer empor, wo es sich teilweise befestigt (Wirkung beim Öffnen des Mundes.) Darunter liegt, quer von außen oben nach innen verlaufend, der vom N. accessorius versorgte *M. sternocleidomastoideus*. Beide Muskeln sind zwar topographisch als „Halsmuskeln“ zu bezeichnen, gehören aber ihrer Morphologie (Innervation!) nach zum *Viszeralskelett*. Die eigentlichen Halsmuskeln sind die motorischen Äste des Plexus cervicalis und brachialis versorgten Zungenbeinmuskeln, *Mm. scaleni* und *Mm. longi* (colli und capitis). Zu diesen Muskeln kommen dann noch die dem Viszeralskelett angehörigen *Mm. biventer*, *stylohyoideus* und *mylohyoideus*. *Halsmuskeln* lassen eine sehr zweckmäßige topographische Einteilung zu, nämlich die oberflächliche (vordere) und tiefe (hintere). Jene liegen *vor* den Halseingeweiden, diese *seitlich* und nach hinten von ihnen.

Fig. 156 u. 157. Schematisierte Querschnitte durch den Hals, nach Gefrierschnitten, unter Benutzung von Abbildungen aus Pirogoffs topographischem Atlas. Fig. 156. Durch Schilddrüsenschilddrüse und IV. Halswirbel. Fig. 157. Durch I. Trachealring und VI. Halswirbel. Blick von oben auf die oberen Schnittflächen. Fascia colli media, Gefäßscheide und Schilddrüsenschilddrüse rot. Epithelkörperchen grün.

Die oberflächlichen Halsmuskeln gliedern sich nach ihrer Lage zum Zungenbein in *obere* und *untere* Zungenbeinmuskeln. Die *oberen* Zungenbeinmuskeln verbinden das Zungenbein mit der Schädelbasis (M. stylohyoideus und hinterer Biventerbauch N. facialis) und mit dem Unterkiefer (vorderer Biventerbauch und M. mylohyoideus Ramus tertius N. Trigemini und M. geniohyoideus, Ramus descend. XII). Sie wirken bei fixiertem Zungenbein auf den Unterkiefer, den sie nach abwärts ziehen. Die unteren Zungenbeinmuskeln verbinden die obere Thoraxapertur und den Schultergürtel mit dem Kehlkopf und Zungenbein. (Mm. sternohyoideus, sternothyroideus, thyrohyoideus und omohyoideus.) Sie werden sämtlich vom Ramus descendens hypoglossi versorgt. Die tiefen Halsmuskeln zerfallen in die lateralen (Mm. scaleni) und medialen (Mm. longus colli und longus capitis), auch prävertebrale Halsmuskeln genannt. Von diesen ist vornehmlich für die Topographie wichtig die Anordnung der beiden vorderen Mm. scaleni, die oberhalb der ersten Rippe auseinanderweichen und mit dieser Rippe einen dreieckigen Spalt bilden („hintere Scalenuslücke“). Durch diese Lücke tritt die A. subclavia und der Plexus brachialis hindurch. Zwischen dem Ansatz des M. scalenus anterior, der ersten Rippe und der Unterfläche des von seiner Faszie (Fascia coracoclavicularis) bedeckten M. subclavius bleibt ein enger Spalt offen, der der Vena subclavia zum Durchtritt dient (vordere Scalenuslücke).

Als *obere* Grenze des Halses bezeichnen wir den unteren und hinteren Rand des Unterkiefers den Processus mastoideus, die Linea nuchae superior und die Protuberantia occipitalis externa. Die *untere* Grenze ist durch den oberen Sternalrand (Incisura jugularis sterni), das Sternoklavikulargelenk, die Klavikulae, das Akromion und eine von dem letzteren zum Dornfortsatz der Vertebra prominens (Vert. cervicalis VII.) gezogene Linie gegeben. Die Grenzen sind am eigenen und an anderen Halsen, auch vor dem Spiegel, zu sehen und zu fühlen; ebenso folgendes: Die *Kopfnickerwülste* (M. sternocleidomastoidei), besonders bei Drehung des Kopfes nach der Seite, der vordere Rand des M. trapezius (s. Figg. 159–161, 184, 185), die *Fossa supraclavicularis (major)* oberhalb der Klavikula, die *Fossa juguli* über dem oberen Sternalrand, die *Fossa supraclavicularis minor*, nur bei deutlicher Trennung der beiden Ursprungsköpfe des M. sternocleidomastoideus zwischen diesen oberhalb der Articulatio sternoclavicularis deutlich. Hier ist die (seltener) Stelle der *Unterbindung der Karotis* (nach Zang) und die Auskultationsstelle von *Venengeräuschen* in der Vena jugularis communis. Die *Vena jugularis externa* (s. Fig. 182). bei guter Füllung durch die Haut sichtbar, kann durch Kompression auf ihr Endstück lateral von dem Ursprung des M. sternocleidomastoideus *stark gefasst* und so, z. B. um sie bei Operationen zu vermeiden *deutlich* gemacht werden. Der untere Bauch des M. omohyoideus tritt in der Fossa supraclavicularis bei mageren Individuen bei Schluckbewegungen häufig hervor.

Besonders wichtig ist die *Palpation* der vorn gelegenen Teile des Respirationsapparates (s. Fig. 166, 172, 176). Man palpiert und umgreift das *Zungenbein* nach hinten bis zu den großen Hornern, nachdem man vorn von der *Incisura thyreoidea superior* am oberen Ende der *Prominentia thyroidea* ausgegangen ist, unterscheidet deutlich das Zungenbein von dem oberen Rand des Schilddrüsenschilddrüse, indem man Daumen und Zeigefinger einer Hand auf die Gegend der *Membrana thyreoidea* legt. Nach abwärts von der Incisura thyreoidea fühlt man die stumpfe vordere Kante des Schilddrüsenschilddrüse, die ihr nach abwärts bis zu der *Spange des Ringknorpels*, die mit dem Schilddrüsenschilddrüse durch die *straffe* aber deutliche *Ligamentum cricothyroideum medium* (L. conicum) verbunden ist. Nach unten schließen sich die *obersten Trachealringe*, noch weiter abwärts der bei guter Entwicklung keilförmig vorspringende *Isthmus der Schilddrüse* (s. Fig. 166) an. Die *Pulsation der Carotis communis* ist neben dem Kehlkopf am medialen Rand des M. sternocleidomastoideus leicht, die Pulsation der in der Tiefe der Fossa supraclavicularis über die erste Rippe hinwegziehenden *Arteria subclavia* nicht immer deutlich zu fühlen.

Fig. 156.

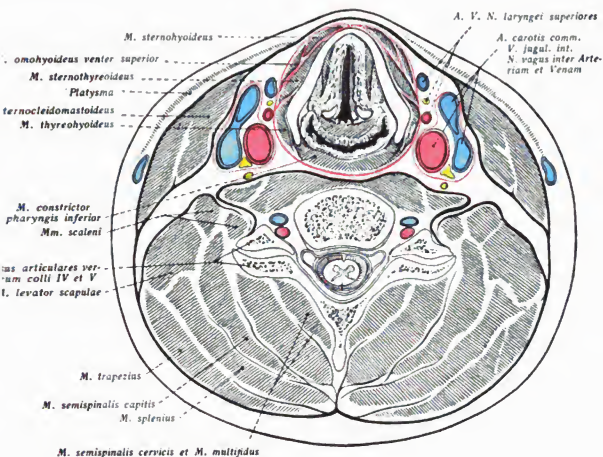


Fig. 157.

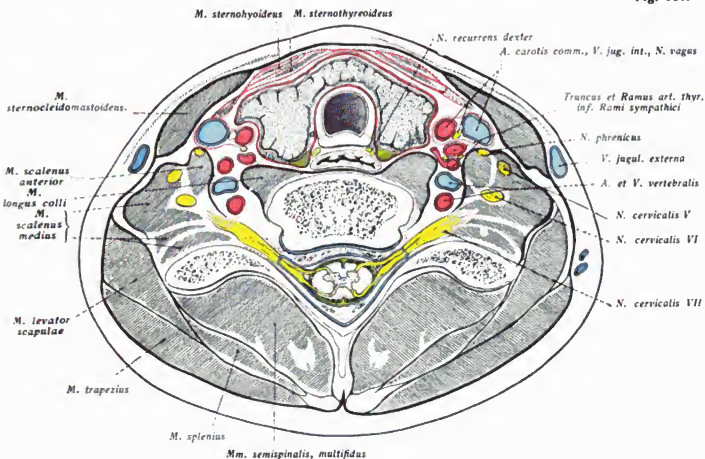


Fig. 158.

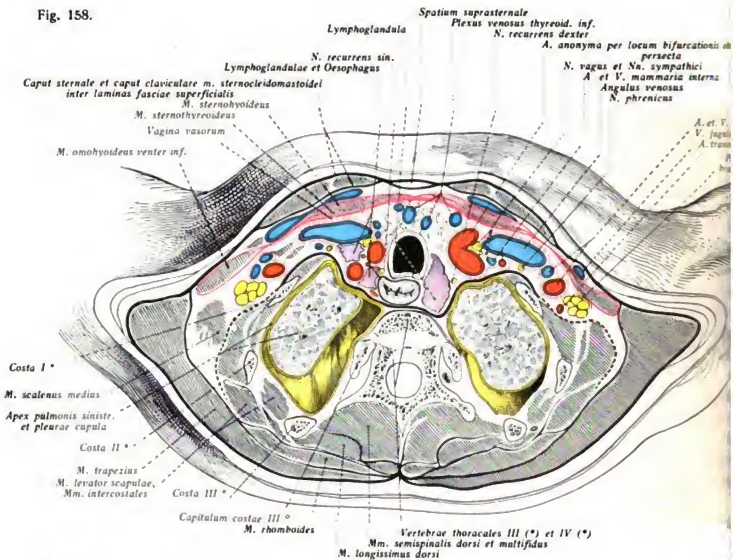


Fig. 159.

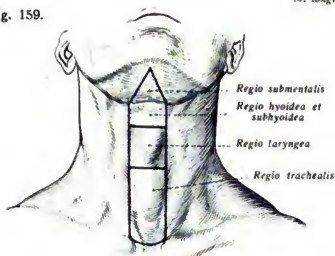


Fig. 160.



Fig. 161.



Fig. 158. Wie Fig. 156 u. 157. Schnitt durch die Teilungsstelle der *A. anonyma* und durch die Intervertebralscheibe zwischen 3. und 4. Brustwirbel. Blick von oben her. — Links sind die *A. carotis* und *A. subclavia*, die der *A. anonyma* angeschlossen sind, nicht bezeichnet.

Fig. 159. Grenzen und Bezirke der *Regio mediana colli*.

Fig. 160. *Regio colli lateralis* } mit Unterabteilungen.

Fig. 161. *Regio colli lateralis* }

### III. Die Halsfaszien.

Die *Haut* der vorderen Halsgegend ist mit der darunter gelegenen Hautmuskulatur, *subcutaneus colli* (*Platysma*), fest verwachsen, ähnlich dem Verhalten von *Haut* und *epicranius*. Die *Haut* folgt sonach allen Bewegungen des *M. subcutaneus colli* und entsprechend der Faserrichtung des Muskels, besonders in vertikaler Richtung, in tiefen Falten abhebbar. Die Verschieblichkeit der *Haut* macht sie für plastische Operationen geeignet. Für das Verständnis der Lagerung der Teile am Halse ist die genaue Kenntnis der *Halsfaszien* unerlässlich. Nicht minder ist das der Fall für den Praktiker, der mit Eindringen in die Tiefe auf diese Faszien stößt; auch die Prognose der Ausbreitung von Eiterungen und Entzündungen hängt von ihrer Lage zu den Halsfaszien ab.

Der Verlauf dieser Faszien ist sehr verschiedenartig beschrieben, ihr Zusammenhang ist mannigfach beurteilt worden. Bei der Untersuchung zahlreicher Hälse zeigt sich aber der Stärke und dem Zusammenhang der einzelnen Blätter eine nicht geringe Variabilität, so daß die mannigfachen Angaben von daher verständlich werden. Als konstant erscheinen sich indes drei Blätter der Halsfaszie, die als oberflächliches, mittleres und tiefes bezeichnet werden können. (Fig. 156—158.)

Das *oberflächliche* Blatt der Halsfaszie (*F. colli superficialis*) liegt unter dem *Platysma* (dieses, als Hautmuskel, kann kein Faszienblatt über sich liegen haben) und umhüllt den gesamten Hals und Nacken. Vom vorderen Rande des *M. trapezius* aus zieht sie weiter nach vorn und umhüllt den *M. sternocleidomastoideus* mit zwei kräftigen Blättern. Entfernt man das den Muskel bedeckende Blatt und hebt den Muskel heraus, so läßt sich hinter ihm und vor dem Gefäßnervenstrang liegende untere Blatt leicht darstellen. Das oberflächliche Blatt zieht es dann über die unteren Zungenbeinmuskeln hinweg zur anderen Seite hinüber. Nur im Bereich der Mittellinie und seitwärts davon ist es gespalten. Die vordere Lamelle ist am vorderen Rande der *Incisura jugularis* des *Manubrium sterni* verwachsen und gibt dadurch der gesamten Faszie ihren Halt. Durchschneidet man diese Befestigung, so sinkt die Faszie tief ein. Da das *Manubrium sterni* bei der thorakalen Atmung recht erhebliche Verschiebungen erfährt (*R. Fick*), so wird die oberflächliche Halsfaszie dauernd in Spannung erhalten. Das *Bindegewebsgerüst des Halses nimmt den Atembewegungen teil*. Eine hintere Lamelle dieser oberflächlichen Halsfaszie setzt sich am hinteren Rande der *Incisura jugularis* an. Zwischen beiden Lamellen bleibt ein Spaltraum bestehen (*Spatium suprasternale*), der sich bei der Sondierung als oft sehr dünn erweist.

Als *mittleres* Blatt der Halsfaszie (*Fascia colli media*) wird ein von der oberflächlichen Faszie unabhängiges System von Lamellen bezeichnet, das seine Hauptstütze in den derben, sehnigen, hinter den unteren Zungenbeinmuskeln ausgebreiteten Blättern findet. (In den Figg. 156—158 rot.)

Dieses Blatt spannt sich über die annähernd dreieckige Fläche aus, die zwischen den *Mm. omohyoidei* liegt. Es beginnt an den medialen Rändern dieser Muskeln, be-



festigt sich weiter abwärts an den beiderseitigen Zwischensehnen und folgt seitwärts den unteren Rändern der auseinanderweichenden unteren Muskelbäuche. Nach abwärts heftet sich das Blatt an den Schlüsselbeinen an und geht hinter den Articulationes sternoclaviculares und hinter dem Sternum in das diesen Knochen hinten überkleidende fibröse Gewebe über; auch hier findet also Beteiligung an den Atembewegungen statt.

Die Fascia colli media ist weniger als eine „Faszie“ denn vielmehr als Sehnenplatte aufzufassen, die wenigstens teilweise einem beim Menschen zurückgebildeten Schlüsselbeinansatz des M. omohyoideus entspricht. In nicht seltenen Fällen ist diese vielen Säugetieren eigentümliche Ansatz des Muskels auch beim Menschen erhalten, oder die Faszie ist hier durch Muskel- oder Sehnenfasern verstärkt. Der Muskel ist in diesem Fall nicht zweibäuchig, sondern es besteht der obere Bauch als M. cleidohyoideus selbständig, und der untere Bauch, wenn vorhanden, entspringt von der Faszie selbst. Zahlreiche Zwischenstufen kommen vor. Die Bedeutung der Fascia colli media besteht vor allem darin, daß sie die *vordere Umscheidung* des Eingeweide- und Gefäßnervenstrang abgibt. Ferner ist sie wichtig, weil sie konstant sehnig auf die Scheide der Halsgefäße übergeht. Diese straffen Züge gehen vor allem von der Zwischensehne des M. omohyoideus aus. Die Bewegungen des Muskels übertragen sich demnach auf die Gefäßscheide und begünstigen den Blutabfluß in der Vena jugularis.

Hierin liegt die Erklärung für die Gefährdung des Lebens bei Verletzung der Vene (Luftembolie). Jede Bewegung des Schultergürtels im Augenblick einer solchen Verletzung dehnt die Venenwand und kann zur Aspiration von Luft führen.

Mit diesem Blatt stehen Lamellen in Zusammenhang, die nach vorn um die M. sternohyoidei und sternothyreoidei herumgehen und diese Muskeln einzeln mit Scheide umgeben. In der bald stärkeren, bald schwächeren Ausbildung dieser Lamellen besteht die oben erwähnten individuellen Verschiedenheiten des Fasziennapparates.

Bildet diese Fascia colli media die vordere und seitliche Wand des Spatium viscerale colli so wird die hintere Wand durch die *Fascia colli profunda* (praevertebralis, retropharyngea, retrooesophagea) gebildet.

Ein einfaches Faszienblatt stellt diese Schicht keineswegs dar. Sie ist vielmehr eine ziemlich dicke, in sich locker gefügte verfilzte Bindegewebsmasse, die die Halseingeweide mit der Sonderung der tiefen Halsmuskeln (Scaleni und Longi) verbindet, stellt also eigentlich einen von lockeren Bindegewebsmassen erfüllten *Spalt* dar, der einerseits zwar die Verschiebungen des Pharynx und der Speiseröhre ermöglicht (Schluckakt), andererseits aber die Ausbreitung von Abszessen (retropharyngeale, retrooesophageale) sehr begünstigt (Senkungsabszesse).

Die Fascia colli profunda heftet sich seitlich an den Querfortsätzen der Halswirbelsäule an und strahlt mit sehnig-derben Zügen auf die Pleurakuppel aus, die dadurch in ihrer Lage festgehalten wird. Die Figg. 156—158 veranschaulichen das über die Halsfaszien Verhältnissen.

#### IV. Die Regionen des Halses (Figuren 159, 160, 161).

An keiner Gegend des Körpers ist die Einteilung in *Regionen* so gut begründet und gleichzeitig so berechtigt, wie am Halse. Die Muskulatur liefert die Begründung dieser Einteilung; berechtigt ist sie deshalb, weil die kleinen Bezirke, in die wir die Oberfläche des Halses einteilen, von außen leicht konstruierbar sind und konstante Beziehungen zu den wichtigen Teilen der Tiefe zulassen. Abweichend von der meist üblichen Einteilung



lung sei das Gesamtgebiet eingeteilt in die unpaarige *Regio mediana colli* und die paarigen *Regiones laterales colli* (Waldeyer).

1. *Die Regio mediana colli.* Sie wird dadurch abgegrenzt, daß man jederseits in der *Articulatio sternoclavicularis* eine Senkrechte errichtet und bis zum Rande des *M. biverter* hinaufführt. Diese Abgrenzung ist vor allem durch die praktische Wichtigkeit der Gegend geboten. Alle Eingriffe zur Eröffnung des Atmungstraktes finden innerhalb der *Regio colli mediana* statt. Die erwähnten Linien grenzen genau die Halseingeweide von den seitlich liegenden Gefäßnervenstrang ab. Von oben nach unten ist die Reihe der den Eingeweiden entsprechenden Gegenden zu unterscheiden. Der oberste Zipfel des Zungenbeins zwischen den Biventerbäuchen spitz zulaufende Zipfel enthält die *Regio lingualis*. Es folgt die *Regio hyoidea* und *Regio subhyoidea* (letztere vor dem *A. laryngis*, der *Epiglottis* und dem *Pharynx* gelegen). Daran schließt sich die *Regio laryngea* (*thyreoidea*, *cricothyreoidea* und *cricoidea*) mit ihren bei Operationen sich bietenden Zugängen zum Kehlkopf. Nach abwärts davon folgt die *Regio trachealis*, die durch den Isthmus der Schilddrüse in einen oberen engen und unteren langgestreckten Teil zerlegt wird.

2. Seitwärts liegt die *Regio lateralis colli*, die eine annähernd trapezförmige Gestalt besitzt (oben der Unterkieferrand, unten das Schlüsselbein, seitlich der Rand des *M. trapezius*, innen die oben erwähnte Senkrechte, die die *Regio mediana* begrenzt). Innerhalb dieser seitlichen großen Fläche läßt sich zunächst abgrenzen

a) das *Trigonum submaxillare*. Es wird vom Unterkiefer und dem *M. biverter* begrenzt. In ihm liegt als Hauptorgan die *Glandula submaxillaris*; von Gefäßen finden sich die *A. maxillaris externa*, den Stamm der *A. lingualis*, weiter seitlich die *Artt. carotis externa* und *interna*. Von Nerven enthält das Dreieck die Endstrecke des *N. hypoglossus*, weiter den *N. lingualis* und *N. glossopharyngeus*.

b) Weiterhin bildet der breite Bauch des *M. sternocleidomastoideus* eine äußerlich sichtbare Fläche, innerhalb derer sich unten der Spalt zwischen seinen beiden Bäuchen als *Trigonum supraclaviculare* minus abzeichnet. Es empfiehlt sich, diesen ganzen Bezirk als *Regio sternocleidomastoidea* aufzufassen. Ihre Bedeutung beruht darauf, daß der Muskel der Leitmuskel für das große Gefäßnervenbündel ist, vor allem für die *A. carotis communis*.

Konstruiert man den Verlauf des *M. omohyoideus*, der den *M. sternocleidomastoideus* kreuzt, so erhält man vier kleine, dreieckige Bezirke.

c) Zwischen *M. sternocleidomastoideus*, *M. biverter* und oberem Bauch des *M. omohyoideus* liegt das *Trigonum caroticum*; seinen Namen verdankt es der Tatsache, daß in ihm die Teilung der *A. carotis communis* in ihre beiden Äste erfolgt und daß in ihm dann der Ort der *A. carotis externa* ihre Hauptäste abgibt. Von Nerven findet man in ihm vor allem die Anfangsstrecke des *N. hypoglossus* samt dem *Ramus descendens*, sowie den *N. laryngeus superior*.

d) Nach abwärts schließt sich daran das *Trigonum thyreoideum*. Es liegt zwischen dem *Omohyoideus*, *M. sternocleidomastoideus* und der *Regio mediana* begrenzt durch die Senkrechten. Das Hauptgebilde in ihm ist der seitliche Teil der Schilddrüse; seitlich und hinter ihm der Gefäßnervenstrang des Halses.

e) Seitwärts liegt dann zwischen *M. trapezius*, *M. sternocleidomastoideus* und unterem

Fig. 162. Die vordere Halsgegend. (Der N. hypoglossus ist etwas nach abwärts verlagert).

rem Omohyoideusbauch das *Trigonum omotracheoideum*, dessen wichtigste Inhaltsbestandteile die großen aus dem Plexus cervicalis stammenden Äste, sowie der Ramus externus des N. accessorius sind.

f) Nach abwärts sodann liegt zwischen unterem Omohyoideusbauch, Schlüsselbein und M. sternocleidomastoideus das *Trigonum subclaviae*, so genannt, weil in ihm das distale Stück der A. subclavia auf der 1. Rippe nebst den Endstücken einer Anzahl ihrer Äste gefunden wird. Der Ursprung der A. transversa colli liegt ganz in diesem Dreieck, fern von der Plexus brachialis und vor allem die *Lungenspitze*.

g) Sehr versteckt, schwer zugänglich und von außen nicht abgrenzbar liegt endlich das *Trigonum scalenovertbrale* (Corning) zwischen dem seitlichen Rande der unteren Hals- und oberen Brustwirbel und dem inneren Rande des M. scalenus anterior. In ihm liegt das proximale Stück der A. subclavia und ihre gesamte Verästelung (mit Ausnahme des Ursprungs der A. transversa colli). Hier wird also von praktisch wichtigen Gebilden die A. thyroidea inferior und A. vertebralis aufgefunden; von Nerven der Grenzstrang des Sympathikus und — rechts — der N. recurrens.

## V. Allgemeines über den Verlauf und die Anordnung der Gefäße und Nerven am Halse.

Der Hals wird von zwei Arteriensystemen durchströmt, die hier eine einzige, wichtige Anastomose durch die Verbindung zwischen oberer und unterer Schilddrüsenarterie besitzen. Das System der A. carotis nimmt den medialen Teil der seitlichen Halsgegend ein (*Trigonum thyroideum* und *caroticum*) und liegt auch im *Trigonum submaxillare*. Das System der A. subclavia nimmt den lateralen Teil der seitlichen Halsgegend ein (*Trigonum subclaviae* und *omotracheoideum*), liegt auch im *Trigonum scaleno-vertbrale*.

Gebiet der A. carotis (Fig. 162—163). Rechts liegt die Teilung der A. anonyma in die A. carotis communis und A. subclavia hinter dem rechten Sternoklavikulargelenk; links treten beide Stämme, die ja gesondert aus dem Arcus Aortae (also innerhalb des Thorax) entspringen, hinter der Sternalinsertion der 1. Rippe heraus.

Der Leitmuskel der Arterie ist der M. sternocleidomastoideus; ihre Lage wird durch eine Linie angegeben, die vom Proc. mastoideus zum Sternoklavikulargelenk verläuft. (Cf. näheres später.) In der Höhe des oberen Randes des Schildknorpels teilt sich das Gefäß in die A. carotis interna und A. carotis externa. Nur die letztere gibt Äste ab. Diese, soweit sie am Halse liegen, lassen sich einteilen in:

1. solche, die nach *vorn* laufen (A. thyroidea superior, A. lingualis, A. maxillaris interna);
2. solche, die nach *hinten* laufen (A. occipitalis, A. auricularis posterior);
3. solche, die nach *innen* ziehen (A. pharyngea ascendens);
4. solche, die nach *außen* ziehen (A. sternocleidomastoidea).

Die A. subclavia beschreibt ihren großen Bogen so, daß der höchste Punkt zwischen den Mm. scalenus ant. und medius oberhalb der ersten Rippe liegt. Die Äste lassen sich einteilen in:

1. Solche, die aus dem aufsteigenden Teil des Bogens hervorgehen; sie entspringen alle dicht nebeneinander kurz vor dem Durchtritt durch die Scalenuslücke.

Fig. 162.

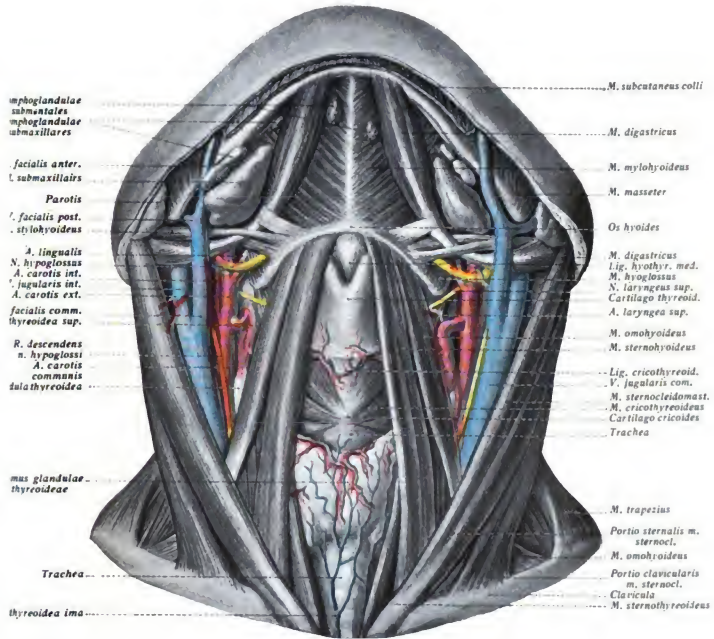


Fig. 163.

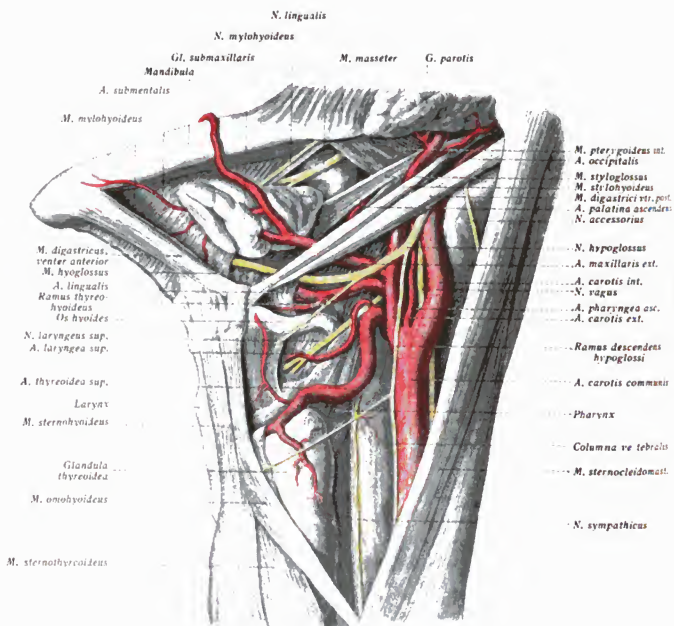


Fig. 163. Trigonum submaxillare und Trigonum caroticum.

2. Die *A. transversa colli*, die als einzige innerhalb des Muskelschlitzes oder jenseits des Durchtritts durch die Lücke entspringt. Jene ersteren sind folgende:

1. *A. vertebralis*, s. Fig. 164, 179, 183.

2. *A. mammaria interna*, s. Fig. 179, 203, 203.

3. *Truncus thyroecervicalis*; er löst sich gleich nach dem Ursprung auf, und zwar in

a) *A. thyreoidea inferior* (s. Fig. 143, 164, 174, 179, 183), Hauptast des *Truncus* läuft auf- und dann medianwärts auf der Wirbelsäule hinter der *A. carotis communis* und gelangt unter gleichzeitiger Versorgung des Pharynx, Oesophagus, der Trachea und des Kehlkopfes (*A. laryngea inferior*) zur hinteren Fläche der Schilddrüse.

b) *A. cervicalis ascendens*, oft sehr schwach, verläuft aufwärts auf den Ursprüngen der *Mm. scaleni* (Fig. 164, 183).

c) *A. cervicalis superficialis*, tritt quer über die *Mm. scaleni* durch die *Fossa supraclavicularis* vor den Stämmen des *Plexus brachialis* bis zum *M. trapezius*.

d) *A. transversa scapulae*, nicht selten auch ein selbständiger Ast der *A. subclavia*. Sie biegt sich vom Ursprung ein wenig nach abwärts und zieht versteckt hinter der Klavikula zum oberen Rand des Schulterblattes, geht über das *Ligamentum transversum scapulae* (*superius*) in die *Fossa supraspinata* und dann um das *Collum scapulae* herum in die *Fossa infraspinata* zur Versorgung der gleichnamigen Muskeln und zur Anastomose mit der *A. circumflexa scapulae* aus der *A. axillaris* (s. S. 282 und Fig. 364). Der mit ihr über den oberen Rand der Scapula tretende *N. supra-scapularis* geht unter dem *Lig. transversum scapulae* (*superius*) zu den *Mm. supra- und infraspinatus*.

4. *Truncus costocervicalis*, unbedeutend, verläuft als kurzer Stamm nach hinten und zerfällt in:

a) *A. intercostalis suprema* (s. S. 150) für den ersten oder die beiden ersten Interkostalräume und

b) *A. cervicalis profunda*; sie geht über den Hals der ersten Rippe nach hinten zur tiefen Nacken- und Rückenmuskulatur.

Die Äste der *A. subclavia* lassen noch eine andere, bessere Einteilung zu, indem man terscheidet:

1. Äste, die nach aufwärts ziehen (*A. vertebralis*, *thyreoidea inferior*, *cervicalis ascendens*, *cervicalis profunda*);

2. Äste, die quer nach außen ziehen (*Aa. transversa scapulae*, *transversa colli*, *cervicalis superficialis*);

3. Äste, die nach abwärts ziehen (*Aa. mammaria interna*, *intercostalis suprema*).

Das System der Halsvenen bildet ein großes Stromgebiet, mit reichlichen, keineswegs konstanten Anastomosen, das in die *V. jug. int.* abfließt (Fig. 164, 175, 176, 182, 183, 206). Diese tritt mit der *Vena subclavia* hinter dem Sternoklavikulargelenk zur Bildung der *Vena anonyma* sammen. Die *Vena jugularis interna* führt das Blut aus der Schädelhöhle ab. Sie stellt in tiefliegenden Teil des Halsvenensystems dar und empfängt stärkere Zuflüsse von der ungengegend (*V. lingualis*), Schilddrüse (*V. thyreoidea superior*), Pharynx und Kehlkopf. Die venösen Gefäße dieser beiden Organe bilden starke Geflechte, ehe sie in die Vene einmünden. Das oberflächliche Halsvenensystem umfaßt zunächst die *Vena facialis communis*

(vom Gesicht und Hinterhaupt). Sie bildet aus den beiden Venae faciales (anterior und posterior) zusammenfließend einen in die Tiefe tretenden starken Zufluß zu der V. jugularis interna. Konstant ist ferner die Vena jugularis externa, ein Verbindungsgefäß zwischen Vena occipitalis und Vena facialis posterior einerseits und der Vena jugularis interna oder aus dem Venenwinkel zwischen ihr und der V. subclavia andererseits. Sie senkt sich erst oberhalb des Schlüsselbeins in die Tiefe ein. Weniger konstant ist die V. jugularis anterior, die das Gebiet der Vena facialis anterior mit dem Venenwinkel verbindet. Sie ist mit der V. jugularis externa verbunden und oberhalb des Brustbeins mit der Vena jugularis anterior der anderen Seite (Arcus venosus juguli). Das Gefäß ist oft beiderseits verschieden stark ausgebildet. Die nach abwärts liegenden Halseingeweide senden ihr Venenblut zum Angulus venosus oder in die Vena anonyma (Vena vertebr., Fig. 183, V. thyreoidea inf., Fig. 166).

All diese Gefäße sieht man an den Leichen des Präpariersaales meist zusammengefallen und mehr oder weniger leer. Nur in selteneren Fällen strotzen sie von Blut, wie man es am Lebenden findet; sie bilden bei Operationen am Halse desto wichtigere Teile. Man hüte sich davor, die beim Präparieren erworbenen Vorstellungen in die Praxis hinüberzunehmen.

Die Nerven des Halses sind:

1. Gehirnnerven;
2. Spinalnerven (Plexus cervicalis und Plexus brachialis).

Die *Gehirnnerven*, die zum Halse treten, sind:

- a) Äste des N. trigeminus (N. lingualis und N. mylohyoideus im Trigonum submaxillare).
- b) Ein Ast des N. facialis (Ramus colli, zum Platysma).
- c) Ein Ast des N. glossopharyngeus (R. pharyngeus zum Plexus pharyngeus für den M. constrictor pharyngis superior).
- d) Der gesamte N. vagus mit seinem auf dem M. longus capitis liegenden Ganglion nodosum. Er liegt im Gebiet der *geteilten* Karotiden *hinter* der A. carotis interna weiter nach abwärts zwischen der A. carotis communis und der Vena jugularis interna. Seine wichtigsten Äste am Halse sind der N. laryngeus superior (sensibler Ast für den Kehlkopf, motorischer Ast für den Stimmbandspanner (M. cricothyreoideus und den M. constrictor pharyngis superior), der R. cardiacus superior und der N. laryngeus inferior, der rechts ganz und gar, links nur mit dem Endstück am Halse liegt. Da der rechte N. recurrens sich von vorn her um die A. subclavia schlingt, der linke dagegen im Mediastinum von vorn her um den Aortenbogen, treten sie, muß am Halse der linke Nerv etwas tiefer als der mehr oberflächlich verlaufende rechte Nerv zu liegen kommen.
- e) Der äußere Ast des N. accessorius, der den M. sternocleidomastoideus durchbohrend in die seitliche Halsgegend tritt. Seines Anfangsstückes ist bereits bei Pharynx (s. o. S. 100) gedacht worden.
- f) Der N. hypoglossus, der mit dem Anfangsteil und der Konvexität des von ihm gebildeten großen Bogens im Trigonum submaxillare und Trigonum caroticum liegt. Seine wichtige Lage ist dadurch fest bestimmt, daß er *außen über die gesamte Astfolge der A. carotis externa* hinwegzieht.

2. Die *Spinalnerven* am Halse werden durch die Rami anteriores der acht Zervikalnerven gebildet (Fig. 165, 363a). Diese Rami ant. stellen gemischte Nerven dar, die sich in zwei Gruppen, einer oberen, als Plexus cervicalis und einer unteren, als Plexus l.

chiales verflechten. Alle acht Nerven treten in einer Muskelplatte zutage, die hinten in ganzer Ausdehnung vom *M. scalenus medius* begrenzt wird, während vorn der *M. longus capitis* oben und der *M. scalenus anterior* unten die Grenze bilden. Nach abwärts gegen das Schlüsselbein erweitert sich der Spalt zwischen den beiden *Mm. scaleni* schlitzartig (hintere Skalenuslücke). Die Zusammensetzung der beiden Plexus ist aus beistehendem Schema (Fig. 165) ersichtlich. Vom Plexus cervicalis spielen die für die tiefen Halsmuskeln bestimmten motorischen Äste topographisch-anatomisch keine Rolle, während der auf dem *M. scalenus anterior* neben der *A. cervicalis ascendens* liegende *N. phrenicus* als motorischer Nerv des Zwerchfells Bedeutung besitzt. Die sensiblen Äste des Plexus cervicalis treten am hinteren Rande des *M. sternocleidomastoideus* in das *Trigonum omotracheoideum* ein. Der Plexus brachialis kommt für die Topographie des Halses nur in seinem oberen Teil in Betracht. Er liegt im *Trigonum subclaviae*. Von seinen Ästen liegen am Halse nur der *N. dorsalis scapulae* ( $C_5$ , *Mm. rhomboides* und *levator scapulae*), der *N. thoracalis lateralis* ( $C_5$ ,  $C_6$ ,  $C_7$ , *M. serratus anterior*) und der *N. suprascapularis* ( $C_5$ ,  $C_6$ ,  $C_7$ , *Mm. supra- und infraspinatus*).

Der *Halsteil* des Sympathikus liegt in ganzer Ausdehnung hinter der *A. carotis interna* | *A. carotis communis*, desgleichen treten die *Rami communicantes* von den acht Zervikernervendorthin in die Tiefe. Gegen die obere Thoraxapertur hin liegt der Grenzstrang *Trigonum scalenovertebrale* und tritt hier in Beziehungen zur *A. thyroidea inferior* und dem Anfangsbogen der *A. subclavia*.

Die Lymphknoten des Halses liegen vorzugsweise längs der *Vena jugularis interna* bilden hier eine Kette, die bis zum Venenwinkel hinabreicht. Hier liegt ein größerer plex von Lymphknoten (*Lymphoglandulae supraclaviculares*). In diesem Venenwinkel | et sich auch *links* die Ausmündung des gesamten Lymphgefäßsystems des Körpers | uestalt des gänsekielartigen *Ductus thoracicus* (Fig. 243). Er zieht zwischen *A. carotis comm.* | *A. subclavia* hindurch zum Venenwinkel. Die Supraklavikularknoten entsenden ihre | a efferentia in den Ductus, oder auch selbständig in den Venenwinkel. Rechts be- | en selbständige Ausmündungen der Lymphbahnen in den Venenwinkel. Die Strö- | gungsrichtungen der Lymphe sind am Halse im allgemeinen die, daß die Lymphe des | fes und Halses durch die Kette der *Lymphoglandulae jugulares* und *supraclaviculares* | die Venen fließt. Aber auch die Lymphe der Achselhöhlen und mediastinalen Kno- | steigt gegen die Supraklavikularknoten zum Halse empor, um mit der Lymphe des | ses vereinigt in die Vene abzufließen.

Eine genauere Darstellung des Lymphsystems am Halse für die Bedürfnisse des Praktikers folgt | er unten.

## VI. Die *Regio colli mediana* (Fig. 166).

Die unterhalb des Zungenbeins gelegene, bis zum oberen Sternalrand reichende, ge- | ckt rautenförmige *Regio mediana colli* wird oben seitlich von den medialen Rändern | *Mm. sternohyoidei*, unten seitlich von den *Mm. sternothyroidei* begrenzt, die hier mit | naler dreieckiger Fläche freiliegen (s. Fig. 162). Die größte Breite der schmalen | end liegt ungefähr in der Mitte zwischen Zungenbein und Sternum und beträgt etwa | n. In dieser wichtigen Gegend liegen die *Luftwege frei*, nur von Haut und Faszie be- | ct. Hier sind deshalb *Verletzungen* der Luftwege durch Schnitt, besonders bei Selbst-

Fig. 164. Situs supraclavicularis. Der M. sternocleidomastoideus und die Unterzungenbeinmuskeln sind ent-

Fig. 165. Schema des Plexus cervicalis und brachialis. Sensible Anteile des Plexus cervicalis punktiert, N. hypoglossus und dorsaler Teil des Plexus brachialis schwarz, Grenzstrang weiß. Unter Benutzung einer Abbildung v. Toltds Atlas.

mördern, häufig; hier hat der Arzt unter Umständen durch *Tracheotomie* ein Leben retten. Die hier durch die Haut abtastbaren Teile (s. S. 112) führen zu einer Einteilung in die oben (S. 115) aufgeführten Regionen.

Nach Ablösung der Haut tritt die wichtige *weiße Linie* zutage. Sie entsteht dadurch, daß hier die Blätter der oberflächlichen und mittleren Halsfaszie zwischen den seitlich an grenzenden Zungenbeinmuskeln unmittelbar übereinander liegen. Die Ränder der M. sternohyoidei und sternothyreoidei schimmern neben der Linie rötlich hindurch.

Die große Bedeutung dieser Linie besteht darin, daß sie stets die *Mittellinie* des Halses angibt, auch dann, wenn die Halseingeweide durch Geschwülste, Narben, Abszesse aus ihrer Lage verdrängt worden sind. Die weiße Linie macht alle Verschiebungen der Halseingeweide mit. Innerhalb ihrer befindet man sich also stets auch in der Mittellinie des Kehlkopfs und der Luftröhre.

In der Mittellinie des Halses läuft gelegentlich eine oberflächliche unpaarige V. *anonyma colli* herab. Meist jedoch liegen seitlich auf der Fascia colli in der Region anterior, die sehr verschieden stark ausgebildeten Vv. *jugulares anteriores* (s. Fig. 181 und 182). Sie kommen von der Kinngegend, liegen auf den Unterzungenbeinmuskeln und treten von der medialen Seite her unter die Ursprünge des M. sternocleidomastoideus, mit der Vena jugularis externa in die Vena subclavia zu münden. In der Mittellinie sind beide Venen oberhalb des Sternums durch den in dem Spatium suprasternale der Fascia colli (s. S. 113) neben kleinen Lymphoglandulae suprasternales gelegenen *Arcus venosus juguli* (s. Fig. 176) verbunden.

Die V. anonyma sinistra (s. S. 176 und Fig. 183) überragt nur ausnahmsweise den oberen Sternumrand, kommt also bei Operationen in der Regel nicht in Gefahr.

In der dreieckigen Gegend oberhalb des Zungenbeins und zwischen den beiden vorderen Biventerbäuchen gelangt man auf den Mundboden (M. mylohyoideus, M. geniohyoideus) und dann zur Zunge (s. o. S. 93). Das Zungenbein selbst, durch die Bewegungen der oberen und unteren Zungenbeinmuskeln in wechselnder Lage, befindet sich in ruhender Muskulatur und normaler Haltung des Kopfes in der Höhe des 4. Halswirbels. Am oberen und unteren Rande des Knochens laufen kleine Arterien entlang, die sich in der Mittellinie vereinigen (R. hyoideus der A. lingualis; R. hyoideus der A. thyroidea superior).

Die Regio *subhyoidea* dehnt sich vom Zungenbein bis zum Rande der Incisura thyroidea aus. Die oberflächlichen Venen und Arterien sind ohne praktische Bedeutung. Zwischen Zungenbein und Schildknorpel liegt die Membrana thyroehyoidea, die in der Mitte und seitlich durch die elastischen Ligg. thyroehyoideum mediale und laterale verstärkt werden. Die Membran heftet sich am oberen Rande des Zungenbeins an, so daß zwischen Knochen und Membran ein Spalt bleibt, der von einem Schleimbeutel (Bursa thyroehyoidea) ausgefüllt wird.

Er kann auch weiter nach abwärts bis auf den Schildknorpel reichen und gelegentlich zur Verwachsung von Hygromen führen.

Unter der Faszie liegen die unteren Zungenbeinmuskeln in zwei Schichten (M. sternohyoideus und M. omohyoideus, darunter M. thyroehyoideus). Durchtrennt man sie, so gelangt man auf die erwähnte Membran, durch die (bereits im Trigonum caroticum) die



Fig. 164.

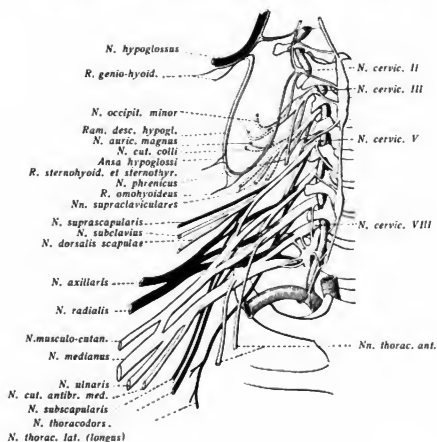
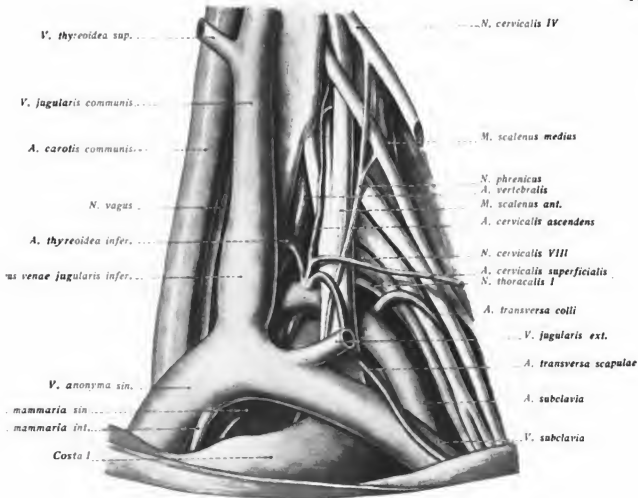


Fig. 165.

Fig. 166.

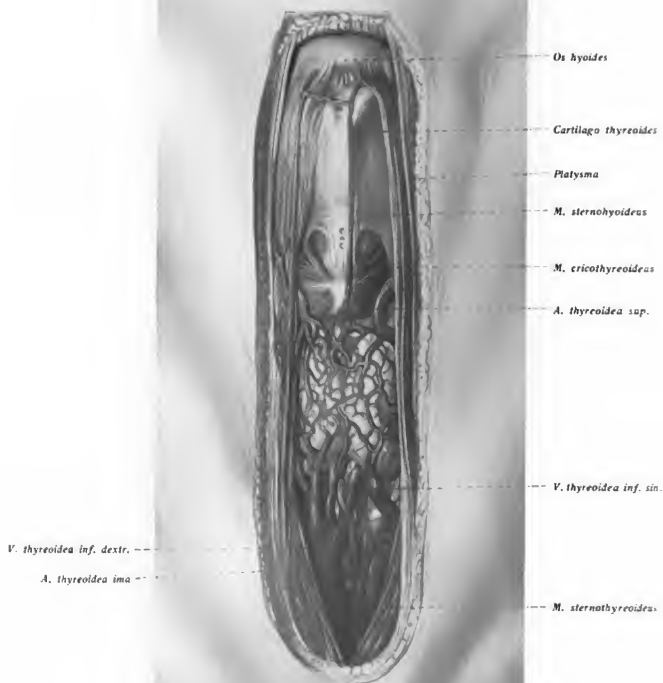


Fig. 166. Regio mediana colli schichtweis freigelegt. An dem mit starkem Formalin vorbehandelten Präparat war e Art. thyreoidea ima vorhanden.

ryngea super. und der gleichnamige Nerv in den Kehlkopf treten. Durchs Lig. hyothyreoidium medium gelangt man nicht ohne weiteres in die Luftwege (s. Fig. 169). Hinter dem ande liegt vielmehr eine relativ dicke *Fettmasse*, die nach innen erst durch das von der Epiglottis zum Zungenbein verlaufende Lig. hyoepiglotticum und den Stiel der Epiglottis seinen Abschluß findet und in sagittaler Richtung zirka 1 cm tief sich ausdehnt. Sie verläßt das in den Vorraum des Kehlkopfes (Vestibulum laryngis) vorspringende *Turriculum epiglotticum* (Fig. 167 und 168). Kompliziert wird die Lage der Teile in dieser Gegend durch das Vorhandensein eines Lobus pyramidalis der Schilddrüse (s. o.).

Die Regio *laryngea* entspricht dem in der Höhe des 5. und 6. Halswirbelkörpers gelegenen Kehlkopf. Diese Angabe gilt aber nur für den Erwachsenen und auch hier keineswegs für alle Fälle. Abgesehen von dem Einfluß, den die Länge des Halses darauf hat, steht der Kehlkopf bei Föten und Kindern viel höher (Neugeborene zwischen Atlas und 4. Halswirbel, beim sechs Monate alten Kind etwa vom 2. bis 4. Halswirbel, beim zweijährigen Kind etwa bis zum 5. Halswirbel), der Kehlkopf vollzieht einen Deszensus, der von der Geburt bis zum Zustande des Erwachsenen für die Epiglottis zwei Wirbelhöhen, für den unteren Rand des Ringknorpels zwei Wirbelhöhen und die Breite einer Zwischenwirbelscheibe beträgt. Auch Lagen vor dem 7. Halswirbel sind bei Kindern wie bei Erwachsenen nicht selten. Untersuchungen mit Röntgenstrahlen bei normaler Haltung des Kopfes sollen nach bestimmten Angaben sogar folgende Lage als normal ergeben. Oberer Rand des Schildknorpels: Zwischenbandscheibe zwischen 5. und 6. Halswirbel, unterer Rand des Ringknorpels: 1. Thorakalwirbel.

Die Ursachen dieser Verschiebungen sind einmal das Wachstum der Wirbelsäule, des Zungenbundes und des Nasen- und Gaumenskeletts, dann aber auch im höheren Alter eintretende Erschlaffung des Bindegewebsapparates, der zu einer Senkung aller Körpereingeweide führt. — Die Bedingungen für Schlucken und Atmen (Kreuzung von Luft- und Speiseweg) liegen für Kinder und Erwachsene verschieden (s. o.).

Den größten Teil dieser Gegend nimmt vorn der Schildknorpel ein, der hier beim männlichen Geschlecht die Prominentia laryngea trägt. Knapp 1 cm unterhalb der tiefsten Stelle der Incisura thyreoidea liegt die Stelle, an der sich die Stimmbänder innen befestigen. Nach abwärts schließt sich das Lig. cricothyreoideum (s. conicum) an, das die rauhe Verbindung mit dem Ringknorpel vermittelt und zwischen den beiden Mm. cricothyroides frei zutage liegt. Die kleine A. cricothyreoidea auf dem Lig. cricothyreoideum ist praktisch ohne große Bedeutung.

Die Platte des Schildknorpels ist so breit und hoch, daß sie alle innen gelegenen Teile des Kehlkopfes (Stimmbänder, Aryknorpel, Ventriculus laryngis) völlig bedeckt. Lediglich der oberste Teil des Kehlkopfeinganges ragt in die Regio subhyoidea empor, umgeben von den Plicae aryepiglotticae.

Der Kehlkopf ist vorn bedeckt lediglich von der Haut und der oberflächlichen Halszitze (Bursa subcutanea prominentiae laryngeae) im unteren Teil liegen die Mm. cricothyroides (N. laryngeus superior) über dem Lig. cricothyreoideum und den unteren Eilen des Schildknorpels. Weiter seitlich liegen unter der Faszie, den Kehlkopf überdeckend, die unteren Zungenbeinmuskeln. Neben dem Kehlkopf befestigt sich an ihm die Wand

des Pharynx (*M. constrictor pharyngis inferior*). Daneben liegt der seitliche Lappen der Schilddrüse. Zwischen der Schilddrüse und dem Ringknorpel ist der *N. laryngeus inferior* und die gleichnamige Arterie (Ast der *A. thyroidea inferior*) zu finden. Hinter dem Kehlkopf liegt die *Pars laryngea* des Pharynx; hinter diesem das retropharyngeale Bindegewebe und die Körper der Halswirbel.

Innen (Fig. 168, 169) beginnt die *Regio laryngea* an dem durch den Rand der Epiglottis, die aryepiglottischen Falten und die *Incisura interarytenoidea* begrenzten, nach hinten und oben gerichteten *Kehlkopfeingang* (*Aditus laryngis*). Die an die *Pars laryngea*

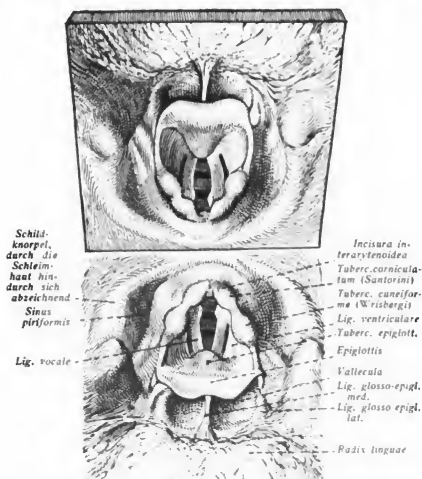


Fig. 167. Kehlkopfeingang von oben gesehen. Ein darüber angebrachter Spiegel entwirft das Bild, wie es im Kehlkopfspiegel erscheint.

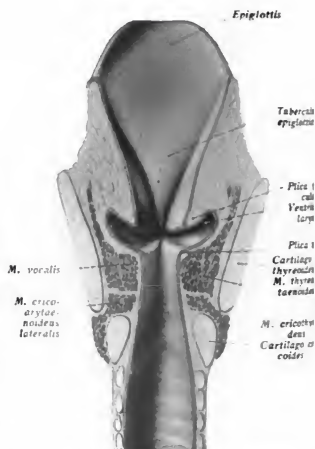


Fig. 168. Frontalschnitt des Kehlkopfes.

des Pharynx grenzende Hinterwand des Kehlkopfes (Fig. 137) wird durch die Aryknorpel und die Ringknorpelplatte und die ihnen hinten aufgelagerten Muskeln dargestellt. Seitlich bildet der Pharynx die als *Sinus piriformes* bezeichneten Ausbuchtungen (s. Fig. 137 und 167).

Das *Cavum laryngis* ist von der mittleren durch die Stimmbänder (*Ligamm. vocalia*) begrenzten Enge aus nach oben und nach unten trichterförmig erweitert, wie sich am deutlichsten aus dem frontalen Durchschnitt ergibt (s. Fig. 168). Hiernach unterscheidet man zwei Hauptteile des Kavum, welche durch die *Rima glottidis* (*Plicae vocales*, Stimmritze) getrennt sind. Der unterste Teil des oberhalb der Stimmbänder gelegenen Abschnittes ist zwischen den Stimmbändern und den darüber gelegenen Taschenbändern (*Plicae ventriculares*) in verschiedenem Maße nach lateral und oben beiderseits ausgebuchtet: *Ventri-*

*lus laryngis* (s. Fig. 167 und 168). Die *Arterien des Larynx* sind die *A. laryngea superior* aus der *A. thyroidea superior* (s. S. 116) und die *A. laryngea inferior* aus der *A. thyroidea inferior* (s. S. 117). Sie tritt von hinten hinter der *Articulatio cricothyroidea* zum Kehlkopf. Beide Arterien anastomosieren miteinander.

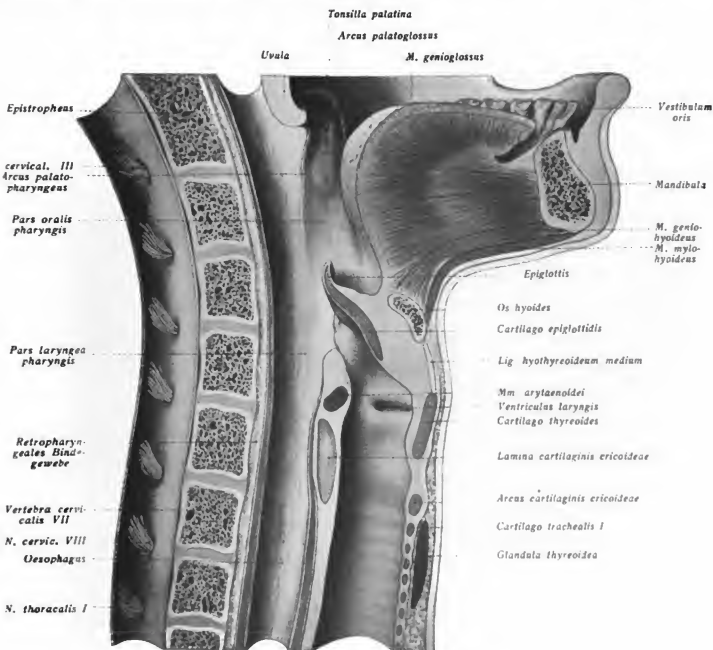


Fig. 169. Medianschnitt des Halses (Formalinpräparat).

Diese Anastomose ist von Bedeutung für die Gefäßversorgung der Schilddrüse, da durch sie Blut von der *A. thyroidea superior* in die *A. thyroidea inferior* gelangen kann, selbst dann, wenn die *Stämme* aller vier Schilddrüsenarterien dicht an der Drüse unterbunden werden; notwendig ist es, daß die Ligatur der *A. thyroidea inferior* nach außen vom Abgang der *A. laryngea inferior* angelegt wird.

Die *Venen* des Kehlkopfes folgen im allgemeinen den Arterien; sie haben Anastomosen mit den Venen des Zungengrundes und des Plexus pharyngeus. Ihre Quellgebiete beziehen in der vorderen und namentlich hinteren Wand der *Pars laryngea* des Pharynx

mächtige Venengeflechte; das vordere Geflecht liegt auf den Mm. interarytaenoidei unmittelbar über dem oberen Teil der Ringknorpelplatte. Das hintere Geflecht liegt etwas mehr kaudal im Bereich des M. constrictor pharyngis inferior. Beide Geflechte, schwellkörperartig vorwiegend, engen während des Lebens die Lichtung des Pharynx ein; die Sin. piriformes bleiben davon frei.

Der durch das hintere Geflecht hervorgerufene Schleimhautwulst (Fig. 170) spielt bei der Ösophagoskopie eine Rolle. Er ist unter dem Namen der „Ösophaguslippe“ bekannt, wird aber nicht wie bisher irrig angenommen, durch die Pharynxmuskulatur hervorgerufen (Elze).

Die Nerven des Larynx stammen von dem N. vagus und sind der (mit Ausnahme des zu dem M. cricothyreoideus und zur unteren Pharynxmuskulatur ziehenden Ramus externus) ganz sensible N. laryngeus superior zur Schleimhaut des Kehlkopfes (s. Fig. 167, 174 und 163) und der motorische N. laryngeus inferior (s. Fig. 174, 183, 204, 206).



Fig. 170. Venenplexus des Pharynx (vgl. Fig. 147).

des Schildknorpels; c) die partielle Laryngotomie (Ringknorpel und Lig. cricothyreoideum).

Bei der Laryngoskopie ist genaue Kenntnis der Anatomie des Kehlkopfenganges zum Verständnis des Kehlkopfspiegelbildes (Fig. 167) erforderlich. Was im Körper vorn liegt, liegt im Spiegel oben; die hinteren Teile des Aditus liegen im Spiegel unten.

Die Beurteilung der Lähmungen ist an die Kenntnis des Verlaufs der Nerven und des Abganges der Äste geknüpft. Zentrale Lähmungen können nur bei doppelseitiger Erkrankung zu Lähmungen führen. Periphere Lähmungen betreffen den N. vagus oder seine Äste. Oberhalb des Abganges des N. laryngeus superior unterbrochen: Totale gleichseitige motorische und sensible Lähmung und Pulsbeschleunigung. Unterhalb des Abganges des N. laryngeus superior und oberhalb des N. laryngeus inferior: Die sensible Lähmung fehlt, sonst ebenso; unterhalb des N. laryngeus inferior: Nur Herzsymptome. Lähmungen des N. laryngeus superior führen (neben anderen, auf Lähmung des M. cricothyreoideus zurückzuführenden Symptomen) zur Anästhesie des Kehlkopfes. Lähmungen des N. laryngeus inferior sind die häufigsten Kehlkopflähmungen. Sie sind links dreimal so häufig als rechts, was durch die Lage des Stammes im Mediastinum und die dort möglichen Schädigungen erklärt wird. Aus noch nicht völlig übersehbaren Gründen erkranken nicht alle Fasern des N. laryngeus gleichzeitig

### Anwendungen.

Das Kehlkopf skelett kann verknöchern, ein Vorgang, der keineswegs als „Alterserscheinung“ aufzufassen ist. Man findet ebensogut Kehlköpfe jüngerer Personen ossifiziert wie die älterer Leute knochenfrei (Röntgenbilder). Der Selbstmörderschnitt eröffnet, wenn er oberhalb des Schildknorpels eindringt, nicht nur den Atemweg, sondern auch den Speiseweg (Hypopharynx). Der Schildknorpel selbst ist schwerer verletzbar; er gewährt in solchen Fällen aus den seitwärts liegenden großen Gefäßstämmen Schutz.

Für Operationen am Kehlkopf bieten sich den anatomischen Verhältnissen gemäß folgende Wege zum Eindringen dar (Fig. 166, 169):

1. Der Raum zwischen Zungenbein und Schildknorpel (Pharyngotomia subhyoidea = Laryngotomia suprathyroidea). Quere Durchtrennung der Membran und Eröffnung des Hypopharynx dicht oberhalb der Epiglottis.

2. Der Raum zwischen Schild- und Ringknorpel (Laryngotomia intercricothyroidea) = Spaltung des Ligaments cricothyreoideum.

3. Die Kehlkopfknorpel selbst für Längsspaltungen, und zwar: a) die totale Laryngotomie = Laryngofissur, mediale Durchschneidung von Epiglottis, Schildknorpel, Ringknorpel und Membrana cricothyroidea; b) die Thyreotomie, Spaltung des Ringknorpels (Ringknorpel und Lig. cricothyreoideum).

e zum M. crico-arytaenoideus posterior und zum M. thyreo-arytaenoideus inertus verlaufenden sind besonders empfindlich (*Rosenbach-Semonsches Gesetz*). Daher gibt es isolierte „Postis“-Lähmungen, „Internus“-Lähmungen usw. Auch isolierte „Transversus“- und „Lateralis“-Lähmungen kommen vor (betroffen sind die Fasern zum M. arytaenoideus transversus oder zum M. crico-arytaenoideus lateralis). Die *partiellen* Rekurrenslähmungen sind von den sich ihnen meist anschließenden *totalen* zu unterscheiden. Die Symptome all dieser „organischen“ Lähmungen aus der Anatomie und Physiologie der Kehlkopfmuskeln zu erklären und ihre Unterschiede von den „funktionellen“ Lähmungen zu erläutern, ist an dieser Stelle nicht möglich.

Sehr merkwürdig verhalten sich die *Lymphbahnen* des Kehlkopfes. Nahezu ganz frei von Lymphgefäßen ist das Stimmband (günstige Prognose der Karzinome dieser Gegend hinsichtlich der Metastasen). Die Lymphgefäße des oberhalb gelegenen Schleimhautgebietes ziehen der Hauptsache nach zu den Vasa laryngea superiora zu den Jugularknoten, oft mit einzelnen Gefäßchen sofort weit nach unten abwärts; die Lymphbahnen des unteren Gebietes (Conus elasticus) dringen *vorn* oberhalb des Ringknorpels hinaus und treten in 1—2 vor dem Schildknorpel liegende Drüsen (zwischen den Mm. cricothyroidei). Von hier aus strömt die Lymphe zu den Jugularknoten, oder auch prätracheal hinab. *Hinten* ziehen die Lymphbahnen unterhalb des Ringknorpels mit den Nn. laryngei inferiores nach unten abwärts. Die prälaryngealen kleinen Drüsen gehören zum Quellgebiet der Epiglottis und der Sinus laryngis, werden also vorzugsweise bei Tumoren befallen, die ihren Sitz außerhalb des Kehlkopfes haben.

Die *Regio thyreoidea* ist durch den Isthmus der Schilddrüse gekennzeichnet. Zwischen diesem und dem Ringknorpel liegt der oberste Teil der Luftröhre, derjenige, der bei der *oberen Tracheotomie* aufgesucht wird.

Die *Schilddrüse* lagert mit ihrem Isthmus in der Regel vor den oberen Trachealringen, so daß der oberste frei bleibt und der 4. erreicht wird. Der Isthmus ist aber von wechselnder Breite und kann den Ringknorpel berühren, bei jungen Kindern ihn sogar becken. Er kann sich mit seinem unteren Rande aber auch tiefer nach abwärts erstrecken und bis zum Brustbein, auch hinter dieses reichen. (Bei alten Leuten.) Die seitlichen Lappen („Hörner“) liegen bereits im Bereich des Trigonum thyroideum. Der mediale Lappen pyramidalis ist oben erwähnt worden (S. 108).

Die Schilddrüse besitzt eine besondere *Faszie* (Fig. 171), die mit der Fascia colli medial locker zusammenhängt. Außerdem wird die Schilddrüse von einer besonderen *Kapsel* umgeben. Zwischen *Kapsel* und *Faszie* verlaufen die größeren Arterien und Venen der Schilddrüse. Es liegen ferner die *Epithelkörperchen* stets außerhalb der Schilddrüsenkapsel.

Bei der *Enukleation* der Schilddrüse aus der Kapsel bleiben also diese lebenswichtigen Körperchen unberührt. (Vgl. Fig. 157 grün.)

Die Schilddrüse hat *vor* sich, abgesehen von ihrer Sonderfaszie, zunächst das Bindegewebe der Fascia colli media, dann die drei unteren Zungenbeinmuskeln, die — namentlich der M. sternothyroideus — bei Schilddrüseneschwülsten sehr stark gedehnt und hypertrophiert sind; darüber folgt die Haut. *Seitlich* haben die Lappen der Schilddrüse sich außen von den unteren Zungenbeinmuskeln auch den medialen Rand des Kehlkopfes vor sich. Neben den seitlichen Lappen und hinter ihnen zieht der Gefäß-Nervenstrang in die Höhe. *Hinter* der Schilddrüse liegen die Epithelkörperchen und das retro-laryngeale Bindegewebe (Fascia praevertebralis). Nach *innen* von der Schilddrüse liegt der Ringknorpel, ein Teil des Schildknorpels und der unterste Teil des Pharynx (Pars *uniformis*“ so genannt wegen der schleuderartigen Anordnung der untersten Konstriktoren [Fig. 143]) nebst dem Anfang der Speiseröhre. Bei Betrachtung von hinten (Fig. 143) tut gut zu erkennen, wie die Schilddrüse den Pharynx nahezu wie ein Ring umfaßt. Zwi-

Fig. 171. Schematischer Querschnitt durch die Schilddrüsengegend zur Darstellung der Schilddrüsenfaszie- und kapsel. Situs der A. thyroidea inferior. Nach de Quervain. Fascia colli media und Schilddrüsenfaszie rot, Fascia colli superior Fascia praevertebralis und Schilddrüsenkapsel schwarz. Längs des Pfeiles Richtung des Eindringens zur Aufschneidung der A. thyroidea inferior. (Vgl. auch Fig. 157.)

Fig. 172. Schilddrüse mit Lobus pyramidalis (mittlerer Lappen).

Fig. 173. A. thyroidea ima (Abnormität) aus der A. anonyma. (Vgl. auch Fig. 166.)

schen Schilddrüse und dem Anfang der Speiseröhre, in dem Winkel zwischen dieser und der Luftröhre steigt der N. laryngeus inferior mit dem gleichnamigen Ast der A. thyroidea inferior aufwärts.

In ihrer Lage wird die Schilddrüse durch fibröse Züge erhalten, die vom Isthmus und von den unteren Flächen der Seitenlappen zum Kehlkopf und (seitlich) zu den obersten Trachealringen ziehen (Ligamenta glandulae thyroideae). Diese Verbindungen sind besonders bei Kindern besonders fest. Das Ligamentum glandulae thyroideae medium spaltet sich, vom Ringknorpel kommend, in zwei Blätter, die den Isthmus zwischen sich fassen.

Die Schilddrüse erhält vier starke Arterien. Die A. thyroidea superior ist jederseits der erste Ast, den die A. carotis externa abgibt. Sie zieht in einem nach medial konvexen Bogen zum oberen Pol der Schilddrüse und verästelt sich auf der Vorderfläche der Drüse. Ihr wichtigster Ast ist die A. laryngea superior zur Membrana thyreo-hyoidea. Beide Arterien anastomosieren meist durch die A. crico-thyreoidea. Die A. thyroidea inferior tritt über Ursprung und Verlauf weiter unten (S. 136) tritt mit ihrem Endstück an den unteren Pol des seitlichen Lappens heran und versorgt die dem Kehlkopf zugekehrte Innenfläche und die Hinterfläche der Schilddrüse, also auch die Epithelkörperchen. In der Regel (etwa in 33 Prozent der Fälle [Enderlen und Hotz]) teilt sie sich dicht vor der Drüse in drei Äste, deren wichtigster die aufsteigende A. laryngea ist. Hinter dem Pharynx verlaufende Anastomosen stellen einen Kollateralkreislauf zur A. laryngea superior her. (Enderlen und Hotz.)

Selbst nach Unterbindung aller vier Hauptstämme kann auf diesem Wege die Schilddrüse neben Epithelkörperchen ausreichend mit Blut versorgt werden. Ligatur aller vier Arterien bei Struma.

In nicht seltenen Fällen (Fig. 166 und 173) kommt eine dann gewöhnlich aus der Aortenbogen, aber auch aus der A. anonyma oder einer A. carotis communis entspringende A. thyroidea ima vor.

Die Venen der Schilddrüse sind zunächst die Vv. thyroideae superiores und mediae, die zur Vena jugularis communis ziehen. Topographisch sehr wichtig sind sodann der nach abwärts ziehende Venenplexus (Pl. venos. thy. impar), sich gewöhnlich in zwei Hauptstämme sammelnd, die vor der Luftröhre zur Vena anonyma sinistra ziehen, und die jederseits unten seitlich zur Vena jugularis verlaufende V. thyroidea inferior.

Die Epithelkörperchen sind in der Norm in der Vierzahl vorhanden, zwei oben und zwei unten (s. o. S. 107). Das obere liegt auf der Speiseröhre in der Höhe des Ringknorpels, das untere tiefer zwischen Schilddrüse und Luftröhre. Sie liegen außerhalb der Kapsel der Schilddrüse. Versorgt werden sie von Ästen der unteren Schilddrüsenarterie. Verminderung ihrer Zahl (drei oder zwei oder nur ein einziges) kommt vor. Doch können die unteren sich dem Blick auch dadurch entziehen, daß sie in die Substanz der Schilddrüse, aber auch da außerhalb der mit ihnen eingebuchteten Kapsel gelegen sind.

Die Regio trachealis schließt das Gebiet der Trachea und des Halsteils der Speiseröhre ein.



Fig. 171.

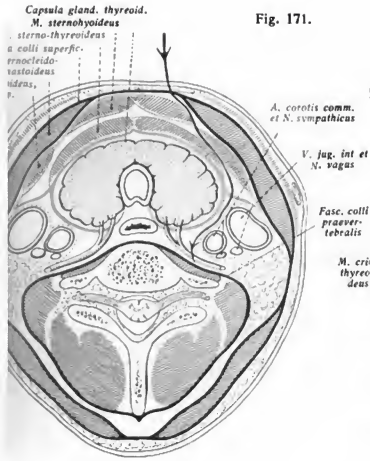


Fig. 172.

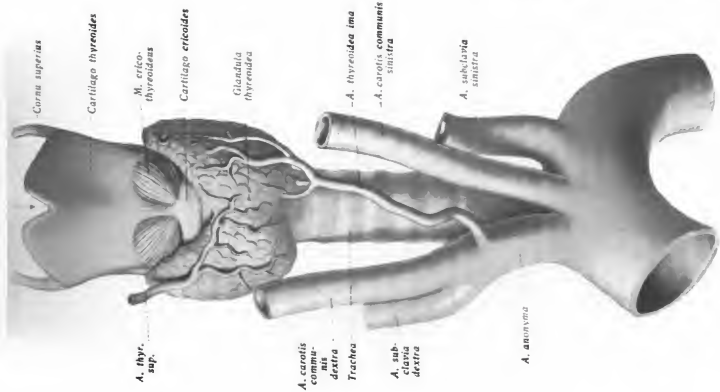
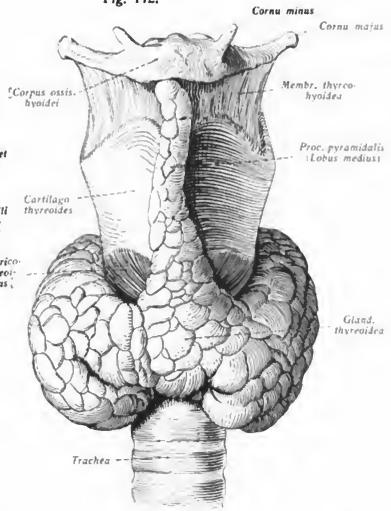


Fig. 174.

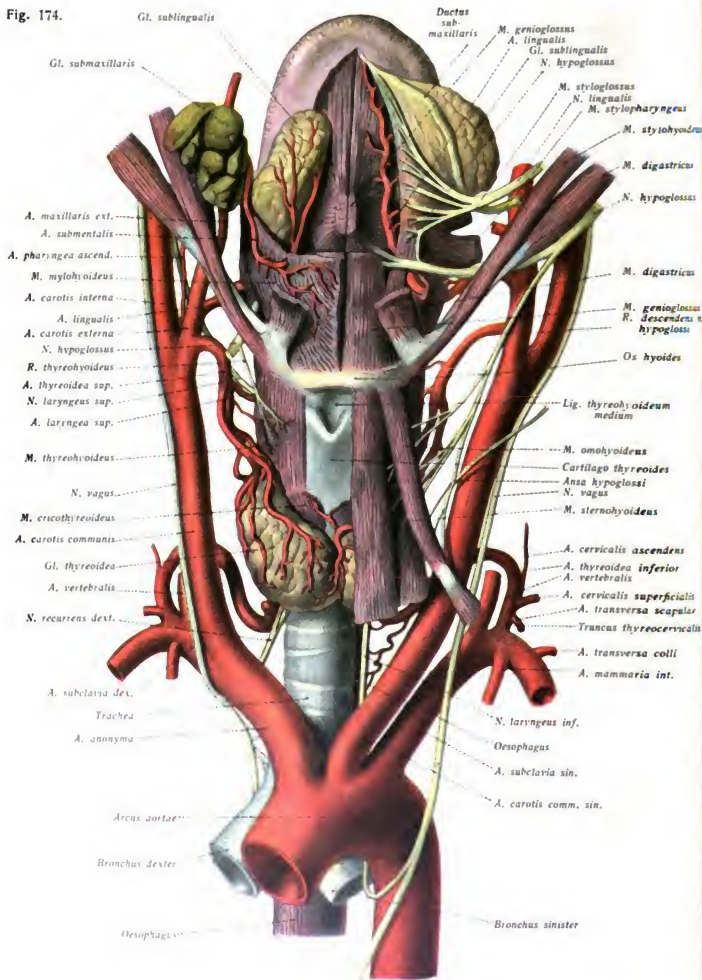


Fig. 174. Arterien und Nerven der Zunge und des Kehlkopfes. Aeste der A. subclavia. Arcus aortae mit den Äpfeln.

Die *Trachea* beginnt am unteren Rand des Kehlkopfes, da wo der Schlundkopf in den Schlund übergeht. Diese Stelle liegt in der Höhe des 6. Halswirbels. Ihre Teilung in die beiden Bronchen liegt am 4. Brustwirbel, also bereits im Bereich des Brustraums (S. 170); demnach kann man einen Halsteil und einen Brustteil der Luftröhre unterscheiden, deren Grenze am 1. Brustwirbel liegt. Am Halse werden in der Mittellinie durch die Auflagerung der Schilddrüse auf die Luftröhre ein von dieser Drüse bedeckter, ein oberhalb der Drüse gelegener *kurzer* und ein unterhalb der Drüse gelegener *längerer* Teil abgegrenzt. Indem die *Trachea* nicht nur nach abwärts, sondern auch nach hinten verläuft, entfernt sie sich immer mehr von der Haut des Halses, durch die sie oberhalb der Schilddrüse verhältnismäßig leicht zu erreichen ist. Unterhalb der Drüse liegt sie so tief, je mehr wir ihr nach abwärts folgen. Mit diesem Verlauf stimmt überein, daß die *Trachea* bei aufrechter Körperhaltung nicht senkrecht verläuft, sondern von der Senkrechten nach hinten abweicht. Um auf die Luftröhre oberhalb des Brustbeins zu gelangen, zunächst die Haut zu durchtrennen mit den subkutanen Venen (*V. jugularis anterior*, *cus venosus juguli*), sodann die oberflächliche und mittlere Halsfaszie in der weißen Linie. Hierauf folgt das Fettgewebe der *Fossa juguli* und in dieses eingebettet die unteren Schilddrüsenvenen nebst einer etwa vorhandenen *A. thyreoidea ima*. Erst dann, durchschnittlich in 4 cm Tiefe, gelangt man auf die Luftröhre. Weiter kehlkopfwärts trifft man in geringerer, unterhalb des Isthmus der Schilddrüse in 1 cm Tiefe an. Oberhalb des Isthmus ist sie bei dem Kinde noch von der mehr oder weniger weit aus der oberen Brustgegend herausragenden *Thymus* bedeckt. Seitlich lagern sich der *Trachea* in ihrem obersten Teil die Lappen der Schilddrüse an, weiter unten der Gefäßnervenstrang. In der Furchung zwischen der *Trachea* und Oesophagus stößt man auf den wichtigen *N. laryngeus inferior* (s. oben) und auf *Lymphoglandulae tracheales* (s. S. 163).

Der hinter der Luftröhre gelegene *Oesophagus*, dessen Beginn an dem Ringknorpel im allgemeinen 15 cm von den Schneidezähnen entfernt liegt (Ringknorpelenge) (s. S. 179), wendet sich in seinem Halsteil nach links aus, so daß er den linken Rand der *Trachea* erragt. An der Wirbelsäule ist der *Oesophagus* (wie der *Pharynx*) durch lockeres Bindegewebe (s. Fig. 169) befestigt. An die *Trachea* ist der *Oesophagus* nur locker durch Bindegewebe angeheftet. Zwischen *Trachea* und *Oesophagus* verlaufen die beiden motorischen Kehlkopfnerve (s. oben), *Nn. laryngei inferiores* aufwärts zum Kehlkopf.

Der Halsteil der Speiseröhre wird versorgt von motorischen (parasympathischen) Nerven aus dem *N. laryngeus inferior* und von sympathischen Ästen, die entweder direkt in den Halsteil des Grenzstranges oder auf dem Wege über den *N. laryngeus inferior* zum Hals gelangen (Grevig).

### Anwendungen.

Die leichte Verschieblichkeit des Eingeweidestranges auf der Wirbelsäule im Bereich des retropharyngealen Bindegewebes bringt es mit sich, daß seitlich gelegene Geschwülste des Halses leicht in den Kehlkopf, die Luftröhre und den Oesophagus nach der entgegengesetzten Seite verdrängen. Ansonsten werden Schwellungen im Bereich des Eingeweidestranges leicht zu Druckerscheinungen an den Gefäßen und Nerven führen.

Aus der Lage der Schilddrüse ergibt sich, daß Schwellungen und Geschwülste der Drüse vornehmlich zu Druckerscheinungen an der *Trachea*, mit Veränderungen der Trachealknorpel, ferner an den offenen Gefäßen und den Halsnerven (*N. vagus* und *N. laryngeus inferior*) führen müssen.

Infolge der straffen Befestigung der Schilddrüse am Knorpelgerüst des Kehlkopfes und der Trachea muß die Drüse alle Bewegungen (Schlucken) des Kehlkopfes mitmachen, ein Hauptsymptom von Schilddrüsentumoren. Extra- und intrakapsuläre Operationen an der Schilddrüse sind zu unterscheiden. Letztere sind für die Epithelkörperchen die weniger gefährlichen. Unter den Folgerscheinungen der Thyreodektomie, besonders solcher nach Rezidiven, steht die *Tetanie* obenan. Sie tritt nach völliger Ausrottung der Epithelkörperchen ein. Gefährdet ist bei der Operation der *N. laryngeus inferior* besonders bei der Unterbindung der *A. thyroidea inferior* nahe der Schilddrüse (s. unten S. 135). Zu beachten sind auch die akzessorischen Schilddrüsen, die unterhalb, oberhalb oder hinter der Schilddrüse liegen können. Jene beiden können zu suprasternalen, retrosternalen oder endothorakalen Kröpfen führen, diese zu retroviszeralen (zwischen Schlund und Wirbelsäule). Die oberhalb gelegenen stehen mit dem Ductus thyreoglossus in genetischem Zusammenhang (Lobus pyramidalis, Zysten am Zungenbein, Zungenkropf s. oben S. 108). Die Nebenkörpfe sind *falsche*, wenn sie durch Schilddrüsenengewebe mit der Hauptdrüse vereinigt sind (Schluckbewegungssymptome positiv); sie sind *echte*, wenn sie ganz isoliert sind (kein Schluckbewegungssymptom); als *alliierte* werden sie bezeichnet, wenn sie durch Bindegewebe, nicht aber durch Schilddrüsenengewebe mit der Hauptdrüse verbunden sind. Die unteren Nebenschilddrüsen werden von der *A. thyroidea superior* versorgt (meist aus der *A. cricothyroidea*).

Die Ausführung der Tracheotomie erfordert genaue Kenntnis der anatomischen Verhältnisse. Die *Tracheotomia superior* wird von der *Tracheotomia inferior* unterschieden. Jene wird zwischen Ringknorpel und oberem Rande des Isthmus, diese zwischen unterem Rande des Isthmus und der Incisura jugularis ausgeführt.

Für die obere Tracheotomie stellen sich aus den anatomischen Verhältnissen als *Vorteile* dar: die oberflächliche Lage der Luftröhre und die Abwesenheit größerer Gefäße. Sie wird *erschwer* oder *unmöglich* durch einen breiten Isthmus (Kinder s. oben) und durch feste Verwachsung des Isthmus mit dem Kehlkopf und der Luftröhre. Da die Schilddrüse eine besondere Faszie hat, so kann nach Spaltung dieser Faszie die Isolierung eines breiten Isthmus leichter vorgenommen werden.

Für die untere Tracheotomie ergeben sich aus den anatomischen Verhältnissen als *Vorteil* die lang ausgedehnte Operationsgegend (bei Kindern etwa 6 cm, bei Erwachsenen ebensoviel, da die Schilddrüse mit Kehlkopf trotz Wachstums der Halswirbelsäule tiefer tritt). *Nachteilig* sind: 1. Die große Tiefe der Wunde. 2. Die großen Gefäße (Plexus venosus, *A. thyroidea ima* in etwa 10 Prozent der Fälle). 3. Die oft bei Kindern noch hochliegende Thymus. 4. Die Nähe der *A. anonyma* (nur bei Kindern, wo sie fast regelmäßig 0,5—1 cm oberhalb des Brustbeins von links nach rechts über die Luftröhre zieht).

Die *Oesophagotomia cervicalis* wird am inneren Rande des linken *M. sternocleidomastoideus* begonnen. Schichten: *Platysma*, *Vena jugularis externa*, oberflächliche Halsfaszie, mittlere Halsfaszie. Die Öffnung der links von der Trachea hervortretenden Speiseröhre an ihrem linken Rande, da man hier den Winkel zwischen ihr und der Luftröhre verlaufenden *N. laryngeus inferior* vermeidet. Die *A. thyroidea inferior* kreuzt die Wand der Speiseröhre (s. unten S. 136). Dieselbe Schnittführung wäre vorzunehmen, wenn es sich um Entleerung von *Retropharyngealabszessen* handelt, die von der Mundhöhle aus nicht zu erreichen sind. Der Ausbreitung dieser Abszesse nach abwärts, unter Umständen bis zum Diaphragma, setzt das lockere Bindegewebe vor der Wirbelsäule nur geringen Widerstand entgegen. Die dem Oesophagus angelagerten Lymphknoten können durch Schwellungen und Tumorbildung zu *Kompressionsstenosen* führen; vereiternde Lymphdrüsen und Schilddrüsen können zur *Perforation des Oesophagus* führen. Über die Ringknorpelenge des Oesophagus s. S. 179.

## VII. Regio colli lateralis.

Sie wird zunächst vom *Platysma* überkleidet, das den *M. sternocleidomastoideus* nicht vollständig bedeckt, ihn vielmehr in seinem oberen Abschnitt und in seinem Ursprungsgebiet oberhalb des Schultergürtels freiläßt. An allen wichtigen Stellen des seitlichen Halsgebietes wird man daher beim Eindringen in die Tiefe Fasern dieses Muskels antreffen. (Vg. die Präparate, denen die Figg. 177, 178, 180, 181 angehören.) Der *M. sternocleidomastoideus* zieht breit durch die seitliche Halsgegend hindurch. Annähernd parallel mit den Fasern

das Platysma und schief zum M. sternocleidomastoideus zieht die starke V. jugularis externa hinab, um am hinteren Rande des Muskels dicht über dem Schlüsselbein in die Tiefe zu dringen. Über dem M. sternocleidomastoideus und unter der Vene liegt die obere Lamelle der oberflächlichen Halsfaszie, die sich zur hinteren Grenze des Halses, d. i. zu dem vorderen Rand des M. trapezius fortsetzt. Auch zwischen Unterkiefer und M. sternocleidomastoideus liegt eine kräftige Faszie, die medialwärts am Zungenbein befestigt ist und nach vorn von diesem Knochen in die oberflächliche Faszie der Regio colli mediana übergeht. — Gemäß der oben (S. 115) gegebenen Einteilung gehen wir zur topographischen Schilderung der einzelnen Gegenden des großen Gebietes über.

1. Das *Trigonum submaxillare* (Fig. 177) zwischen dem Unterkieferrand und den beiden Bäuchen des M. digastricus. Nach Entfernung von Haut, M. subcutaneus colli und Fascie finden wir als größtes Gebilde dieser Gegend die *Glandula submaxillaris* (s. Fig. 172 und 174). Der sie deckende Teil der Fascia colli ist ziemlich derb. In der Tiefe ist der kleine Submaxillardreieck zugrunde liegende M. mylohyoideus gleichfalls von einer starken Faszie überkleidet, die oberhalb des M. biventer mit der oberflächlichen Faszie in Zusammenhang steht. So wird die Submaxillardrüse von einer Faszientasche („Loge“) aufgenommen. Der untere Rand der Drüse überragt nicht selten den vorderen Bauch des M. digastricus. Ihrem oberen Rande und zugleich dem Kieferrand legen sich einige Lymphoten, die *Lymphoglandulae submaxillares* (Fig. 162), teilweise unter Einbettung in die Glandula submaxillaris, teilweise auch ganz von ihr bedeckt, an, die ebenso wie die mehr medial gelegenen *Lymphoglandulae submentales*, da sie die Lymphe von dem Gesicht her aufnehmen, bei Erkrankungen im Gesicht (z. B. bei Lippenkrebs) leicht mitbefallen werden (vgl. oben S. 74). Die Submaxillardrüse erhält reichliche Äste von der *A. maxillaris interna*, die von hinten her unter dem M. stylohyoideus und dem hinteren Bauch des M. digastricus über die Drüse nach vorn zieht; sie verläßt die Halsregion am vorderen Rande des M. masseter, wo sie dicht auf dem Rande des Kiefers in Begleitung der gewöhnlich schon hinten von ihr gelegenen V. facialis anterior liegt. Ihr Hauptast in dieser Gegend ist die *A. submentalis*, die, von der Drüse bedeckt, auf dem M. mylohyoideus zur Kinngegend verläuft und durch diesen Muskel hindurch mit der *A. sublingualis* (diese kann gelegentlich auch ein Ast der *A. maxillaris externa* werden) anastomosiert, begleitet von dem kleinen motorischen *N. mylohyoideus* für den gleichnamigen Muskel und den vorderen Bauch des M. digastricus aus dem dritten Trigeminusast. Am Kieferwinkel findet dieser Region der Zusammenfluß von Vena facialis anterior und posterior zur *V. facialis communis* statt (s. Fig. 162, 175). In der Tiefe des Dreiecks kann man nach Aufheben der Drüse vorn den unter dem M. mylohyoideus verschwindenden, in die Regio sublingualis ergehenden *Ductus submaxillaris* finden. Er ist meist von einem bis zur Gl. sublingualis hin erstreckenden Fortsatz der Gl. submaxillaris begleitet und legt sich an die mediale Seite der Gl. sublingualis an, um schließlich an der *Caruncula sublingualis* (s. Fig. 133 und 136) auszumünden. Noch tiefer und zugleich höher liegt der *N. lingualis* mit nach hinten gerichteter Konvexität der Submaxillardrüse und dem kleinen Ganglion submaxillare. In dem untersten Winkel des Trigonum wird auf dem M. hyoglossus der von der Gl. sublingualis (die *A. lingualis* liegt unter dem M. hyoglossus [s. Fig. 163 und 134]) begleitete *N. hypoglossus* sichtbar bis zu der Stelle, wo er unter dem M. mylohyoideus verschwindet in die Mundhöhle tritt. Man beachte die außerordentlich wichtige und ganz typische

Fig. 175. Sehr starke in die V. facialis ant. et post. übergehende Vena jugularis anterior.

Fig. 176. Zwei sehr starke, parallel neben der Mittellinie herablaufende Vv. jugulares anteriores.

Lage dieser Teile: Der N. hypoglossus bildet mit der atlasglänzenden Zwischensehne des M. biventer ein schrägliegendes Kreuz. Die beiden spitzen Winkel dieses Kreuzes werden halbiert von der A. und Vena lingualis. Der obere spitze Winkel liegt im Trigonum submaxillare, der untere im Trigonum caroticum. Im oberen Winkel erscheinen zwischen Nerv und Zwischensehne Muskelfasern, die dem M. hyoglossus angehören. Die Vena lingualis liegt sichtbar auf dem M. hyoglossus, die A. lingualis wird dagegen erst gefunden, wenn man die Fasern des Muskels durchtrennt. Hier liegt die typische Unterbindungsstelle der A. lingualis. Der relativ schwache N. glossopharyngeus wird bereits dem Pharynx nahe in der Tiefe zwischen Mm. styloglossus und stylopharyngeus gefunden.

Das Trigonum submaxillare hat aber noch eine nach rückwärts gewendete, spaltförmige Fortsetzung. Diese dehnt sich längs des vorderen Randes des M. sternocleidomastoideus aus und wird vorn vom Kieferwinkel und dem Aste des Unterkiefers begrenzt. Der Spalt geht hier in die, bereits dem Kopf angehörige Regio retromandibularis über (s. oben S. 69), während sie nach einwärts ihre Fortsetzung in die Regio parapharyngea findet, die die Fascia parotideo-masseterica sich zum Proc. mastoideus und M. sternocleidomastoideus fortsetzt, und da die tiefe Faszie des Submaxillardreiecks nach einwärts auf die Pharynxwand übergeht, so bildet Submaxillar-, Retromandibular- und Nebenpharynxgegend einen einheitlichen großen Bindegewebsspaltraum. Im hinteren Teil des Submaxillardreiecks liegt gewöhnlich ein Teil der Gl. parotis, und wenn man nach Spaltung der Faszie neben der vorderen Rande des M. sternocleidomastoideus eindringt, so stößt man auf den hier nach Abgabe seiner Halsäste schon schlanken Stamm der A. carotis externa, die alsbald in die Substanz der Glandula parotis eindringt. Nackenwärts von ihr liegt die A. occipitalis; in der Tiefe A. carotis interna, V. jugularis interna, ferner die Stämme des X., XI. und XII. Gehirnnerven (Fig. 163, 178).

2. Das Trigonum caroticum enthält als wichtigsten Inhalt die Teilungsstelle der A. carotis communis (s. Fig. 162, 163 und 178). Am vorderen Rand des M. sternocleidomastoideus in der Höhe des Kehlkopfes fühlen wir leicht die Pulsation der A. carotis communis. Diese Stelle entspricht der Höhe des Tuberculum anterius des Querfortsatzes des sechsten Halswirbels (Tuberculum caroticum), das nach Freilegung des Vorderrandes des M. sternocleidomastoideus zu fühlen ist, und zugleich der Höhe des Lig. cricothyroideum. Die gewöhnliche Angabe, daß die A. carotis communis von dem unteren Winkel des Dreiecks aufwärts steige, ist nicht ganz zutreffend. Die Teilungsstelle und vielfach auch die Abgangsstelle der Äste der A. carotis externa ist vielmehr fast immer bei normaler Lage des M. sternocleidomastoideus unter ihm verborgen (Hermann). (Nur vom Proc. mastoideus zur Articulatio sternoclaviculäris s. oben S. 115.) Nur bei gedrehtem Hals (bei Linksdrehung rechts und umgekehrt) tritt das Gefäß unter dem Muskel hervor. In Fig. 178 ist der Muskel stark zurückgeschlagen. Die A. carotis communis teilt sich in der Höhe des oberen Schildknorpelrandes in die Artt. carotis externa und interna. Die A. carotis interna ist bei normaler Lage zunächst von der A. carotis externa bedeckt, liegt aber auch sehr häufig nach außen von ihr. Lateral von der A. carotis comm. liegt die starke V. jugularis communis, die bei guter Füllung mit ihrem medialen Rand die Karotis

Fig. 175.

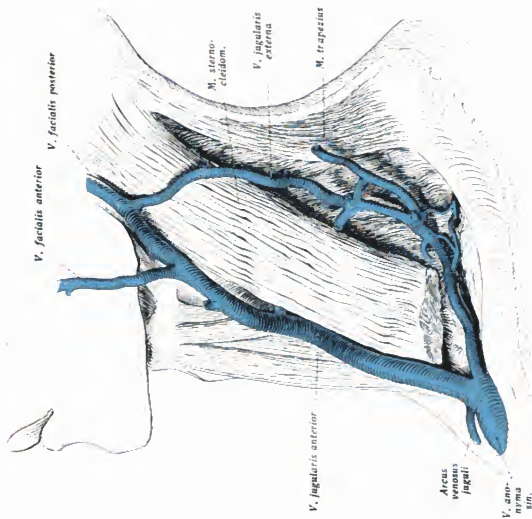


Fig. 176.

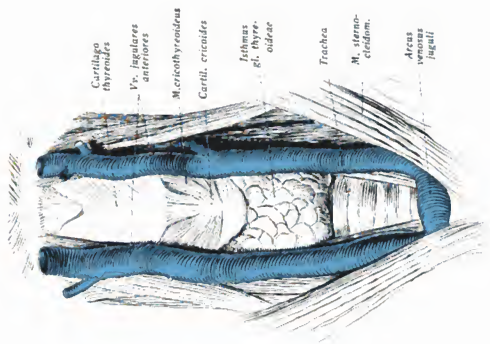


Fig. 175/176.

Fig. 177.

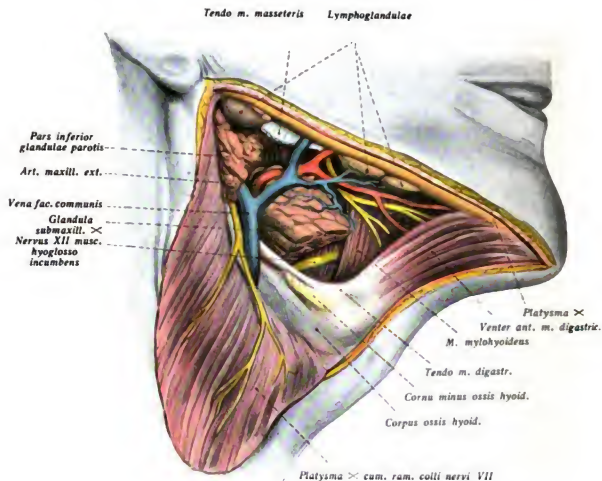


Fig. 178.

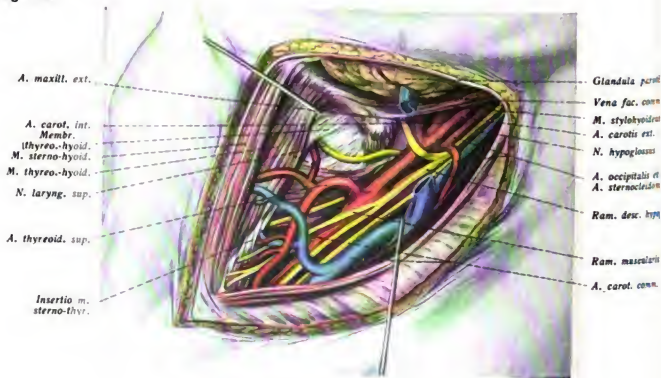




Fig. 177. Präparation des Trig. submaxillare an einer mit Formol injizierten Leiche. Vgl. das Übersichtsbild Fig. 160.  
 Fig. 178. Präparation des Trig. caroticum am gleichen Halse. Vgl. das Übersichtsbild Fig. 161.

berlagert, so daß also die Arterie zugleich tiefer als die Vene liegt. Zwischen beiden Gefäßen, mit ihnen in eine Bindegewebsscheide eingeschlossen und zugleich mehr nach unten, daher bei der Präparation zunächst verdeckt, läuft der *N. vagus* (s. Fig. 163, 174, 179, 204, 240, 241) herab zur oberen Brustapertur. Auf der Karotis zieht der dünne *R. descendens hypoglossi* (s. Fig. 163, 174, 178, 179) nach abwärts. Er bildet mit kleinen Ästen des 2. und 3. Zervikalnerven die über die Vena jugularis interna hinwegziehende *Ansa hypoglossi*, aus der die Unterzungenbeinmuskeln ihre motorischen Äste beziehen. In annähernd querer Richtung laufen über die Karotis 1—2 *Venae thyreoideae superiores* (s. Fig. 164) zur Vena jugularis communis. An dem Rand des M. omohyoideus tritt die *Schildküse*, je nach der Massenentwicklung in verschiedener Größe, in den Bereich des Dreiecks. Zu ihr verläuft der erste Ast der A. carotis externa, die *A. thyreoidea superior* (s. Fig. 162, 163), von oben bogenförmig nach abwärts. Sie gibt eine kleine *A. laryngea superior* ab, die mit dem oberen (sensiblen) Kehlkopfnerven, dem *N. laryngeus superior* aus dem *N. vagus* durch die Membrana thyreohyoidea unterhalb des großen Zungenbeinhornes in den Kehlkopf tritt. Oberhalb der A. thyreoidea läuft von der A. carotis externa ausgehend die *A. lingualis* dicht oberhalb des großen Zungenbeinhorns nach vorn. Man findet sie hier leicht, wenn man folgende Angaben berücksichtigt. Einmal genügt es, das große Zungenbeinhorn mit der Pinzette anzuheben. Die Arterie liegt dann hart über dem Öpfchen des Hornes. Sodann ist ihre Lage bestimmt durch das Kreuz zwischen M. hyopossus und Zwischensehne des M. biventer. Sie liegt genau in der Halbierungslinie des am Karotisdreieck angehörigen unteren spitzen Winkel des Kreuzes. Die Arterie verwindet (vom liegenden Menschen gesehen) unter dem M. hyoglossus, während die sie begleitende Vene unterhalb dieses Muskels bleibt. Der M. hyoglossus aber ist nur mit einem kleinen, dreieckigen Flächenstück sichtbar, da er vom M. mylohyoideus überlagert wird. Der Verlauf der A. lingualis unter dem M. hyoglossus wird von Fig. 134 gezeigt. Die A. lingualis gibt den R. hyoideus (*A. hyoidea*) ab, der auf dem Zungenbein medial nach vorn zieht zur Anastomose mit der Arterie der anderen Seite. Dicht oberhalb der A. lingualis (und oft mit ihr zu einem kurzen Stamm am Ursprung vereint) entspringt der mittlere der drei nach vorn gehenden Äste der A. carotis externa, die *A. maxillaris externa*, das Hauptgefäß des Submaxillardreiecks (s. oben), in das die Arterie unter dem M. digastricus und dem M. stylohyoideus hindurch gelangt. Weitere Äste der Carotis externa in dem Trigonum caroticum sind die medianwärts zur Schädelbasis hinaufziehende *A. pharyngea ascendens* und die nach hinten abgehende *A. occipitalis*. Sie ist leicht aufzufinden, wenn man beachtet, daß sie das erste Gefäß ist, das an der hinteren Kante der A. carotis externa ihren Stamm verläßt (s. Fig. 178, 183). In Begleitung der A. carotis liegen die häufig stark veränderten tiefen Lymphknoten des Halses.

In dem oberen Teil der Gegend finden wir den motorischen Zungennerve, den *N. hyoglossus*, in einem nach unten konvexen Bogen nach vorn ziehen, der die gesamte Astgabel der A. carotis externa von außen her kreuzt, und begleitet von der Vena lingualis, unter dem M. digastricus hindurch auf dem M. hyoglossus in die Submaxillargegend übertritt. Hier die bereits oben erwähnte wichtige Kreuzung zwischen Nerv und Zwischensehne. Der Stamm des Nerven ist leicht auf folgende Weise zu finden: Man hebt den Rand des M.

Fig. 179. Tiefe Teile der seitlichen Halsgegend. M. sternocleidomastoideus und M. omohyoideus sind größtenteils entfernt. Die Klavikula ist herabgedrängt.

sternocleidomastoideus auf und findet die sich zwischen ihm und der A. carotis externa ausspannende kleine A. sternocleidomastoidea. Unter ihr zieht der Nerv hinweg, dicht unter der Faszie, die gespalten werden muß. Von dem Trigonum caroticum aus kann man, den medialen Rand des M. sternocleidomastoideus folgend, schließlich bis auf den *Oesophagus* (und den unteren Teil des Pharynx) vordringen (s. S. 100).

3. Die *Regio sternocleidomastoidea* umfaßt das Gebiet dieses Muskels. Unter den Platysma verläuft die Vena jugularis externa über den Muskel so hinweg, daß der *sternal* Kopf stets frei bleibt. Es folgt dann das obere Blatt der Faszien Scheide, die den Muskel umhüllt, und dicht unter diesem Blatt die Gruppe der Hautnerven, die von der Mitte des hinteren Randes des Muskels strahlenförmig über den Muskel hinwegziehen, und zwar kopfwärts der N. occipitalis minor (zur Haut hinter dem Ohr und zur Seitenfläche des Hinterhauptes, aus C<sub>2</sub> und C<sub>3</sub>), zum Kieferwinkel hinziehend der N. auricularis magnus (zur Haut des Kieferwinkels bis gegen die Unterlippe hin, Haut über der Parotis, Ohrmuschel, aus C<sub>3</sub>) und quer nach vorn der N. cutaneus colli (unter Durchbohrung des Platysma zur Haut des Halses, aus C<sub>2</sub> und C<sub>3</sub>; Anastomose mit dem R. colli des N. facialis). Am vorderen Rande des Muskels zieht die (inkonstante) Vena jugularis anterior herunter.

Unterhalb des Muskels und nach dessen Entfernung leicht darstellbar folgt zunächst das tiefe Blatt seiner Faszien Scheide. Sodann erblickt man als wichtigstes Gebilde den Gefäßnervenstrang, die Anfangsverflechtung des Plexus cervicalis und dessen tief gelegene motorische Äste: den N. cervicalis descendens und den N. phrenicus, außerdem die tiefen zervikalen Lymphknoten. Das ganze Gebiet wird durch den M. omohyoideus in zwei Teile geteilt. Die *Zwischensehne* des Muskels kreuzt den Gefäßstrang; die Fascia colli medialis überdeckt das Halsgebiet unterhalb des Muskels.

Der Gefäßstrang, der auch den N. vagus einschließt, ist von einer Gefäßscheide umhüllt, die mit der Fascia colli media und der *Zwischensehne* des M. omohyoideus verwachsen ist. Gefäßstrang und Plexusnerven werden voneinander durch die Linie der *Querfortsätze* der Halswirbel geschieden. Jener liegt vor, diese auf und hinter den Querfortsätzen. Die Querfortsätze selbst (und mit ihnen die ganze Halswirbelsäule) kreuzen die Richtung des M. sternocleidomastoideus, so daß sie oben vorwärts, unten rückwärts von ihm liegen. Nur in der Mitte seiner Länge deckt er sie, und zwar hier auch unmittelbar, während weiter abwärts die Mm. scaleni sich zwischen ihn und die Wirbel schieben.

Der *Gefäßstrang* verhält sich hinsichtlich seiner Lage und seiner Beziehungen in seinem mittleren Teile etwas anders, als in seinem unteren. Im mittleren Teil zeigt eine typische Zusammensetzung (Fig. 156—158, 162, 163, 179, 180): A. carot. comm. innen, V. jugul. int. außen; sie kann oft die Arterie teilweise bedecken. In der gemeinsamen Scheide liegt eingeklemt in dem Winkel zwischen beiden Gefäßen der N. vagus. Medial wird der Gefäßstrang von der Schilddrüse überlagert; lateral liegen die Querfortsätze der Halswirbel dahinter liegt der Halsteil des Grenzstrangs des Sympathikus, davor der R. descendens hypoglossi. Dieser entsendet seine Anastomose zum R. descendens cervicalis über die Vena jugularis lateralwärts. Wichtig ist die Kreuzung des Gefäßstranges mit der A. thyroidea inf., die in der Höhe des Querfortsatzes des 6. Halswirbels stattfindet (Fig. 183). Im unteren Teil sind eine Anzahl von Beziehungen für beide Körperteile gleich, andere sind

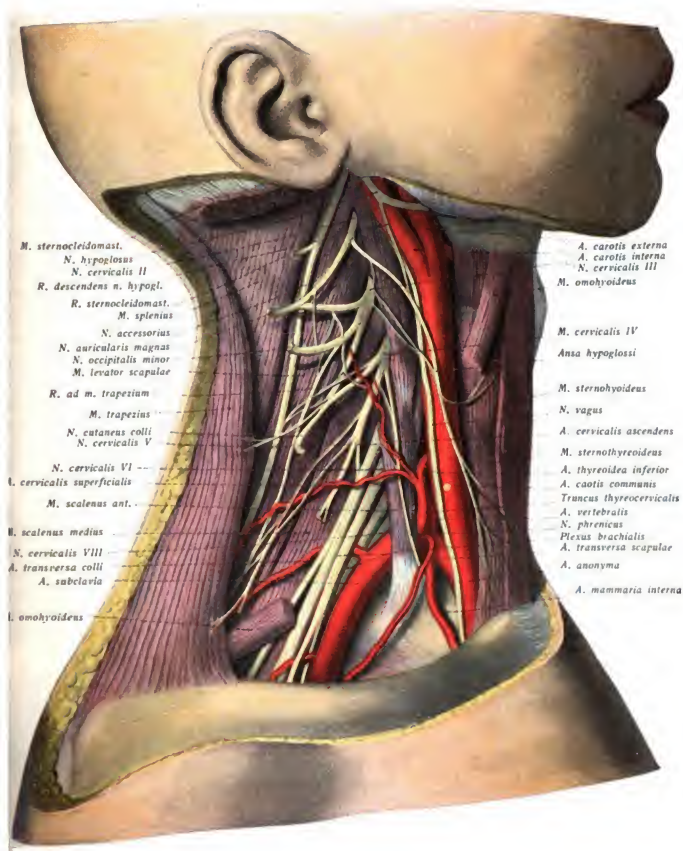


Fig. 180.

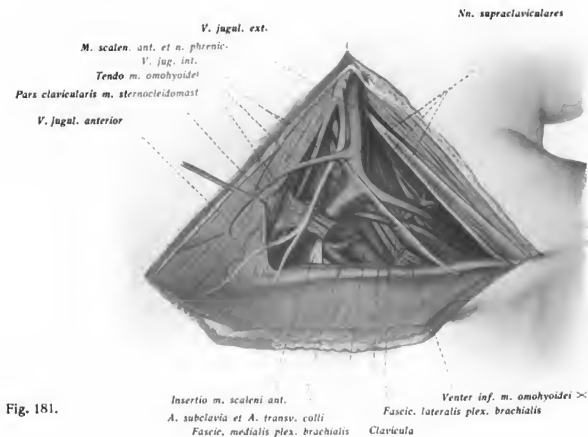
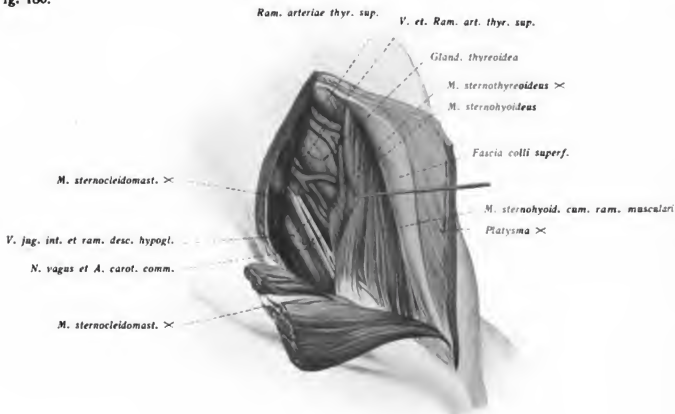


Fig. 181.

Fig. 180. Präparation des Trig. thyroideum an einer mit Formol injizierten Leiche. Vgl. das Übersichtsbild Fig. 160.

Fig. 181. Präparation des Trig. subclaviae am gleichen Halse. Vgl. das Übersichtsbild Fig. 161. Der N. suprascapularis liegt vom mittleren N. supraclavicularis teilweise verdeckt und ist, wie die A. cervic. superficialis nicht bezeichnet. Die „transversa colli“ zieht hier etwas ungewöhnlich über den Fasc. medialis hinweg.

links und rechts verschieden. Beiderseits *gleich* ist die Lage neben der Luftröhre und der Speiseröhre innen und der Pleurakuppel außen. Auf beiden Seiten schieben sich der M. sternohyoideus und M. sternothyroideus über den Gefäßstrang teilweise hinweg. Beiderseits lagert sich die Vena jugularis vor die Arterie. Die Lage des N. vagus bleibt unverändert. *Verschieden* ist die Lage der beiderseitigen Karotiden infolge ihres asymmetrischen Abganges vom Aortenbogen (Fig. 183). Die rechte liegt der Mittellinie näher unter dem kranialen Kopf des M. sternocleidomastoideus als die linke, während die linke mehr in das Interstitium zwischen beiden Köpfen gerückt ist. Ferner liegt die rechte Arterie oberflächlicher, während die linke mehr in der Tiefe neben der Luftröhre liegt. Diese Lage erreicht die rechte Arterie erst weiter oben. Die Teilung der A. anonyma in die A. carotis communis und A. subclavia erfolgt hinter dem oberen Rand des Manubrium sterni. Links reiten beide Stämme hinter der Sternalinsertion der 1. Rippe heraus. Bei Kindern reicht regelmäßig die A. anonyma noch etwa  $\frac{1}{2}$ —1 cm weit am Halse empor. Die Gefäße liegen also hier bedeckt vom M. sternocleidomastoideus und teilweise von den unteren Zungenbeinmuskeln. Sie sind ferner geschützt durch die starke Fascia media, die man zu durchschneiden hat, wenn man auf die Gefäße gelangen will (Fig. 158).

Während der Gefäßstrang vorwärts von den Querfortsätzen der Halswirbel liegt, liegt auf und hinter ihnen, ebenfalls völlig vom M. sternocleidomastoideus gedeckt der Plexus cervicalis, die Mm. longus colli und capitis sowie die Mm. scaleni. Im unteren Drittel des Halses kann der äußere Rand des M. scalen. ant. (Fig. 181) als Grenze der Regio sternocleidomastoidea angesehen werden. Neben dem R. descendens cervicalis (aus C<sub>1</sub>, C<sub>2</sub> und C<sub>3</sub>), der die Verbindung mit dem R. descendens hypoglossi herstellt, ist als wichtigstes Gebilde der N. phrenicus zu nennen (C<sub>3</sub> und C<sub>4</sub>), der schräg von außen oben nach innen unten über den M. scalenus anterior hinabzieht, innen begleitet von der A. cervicalis ascendens. Schiebt man den M. sternocleidomastoideus nach innen (bei erschlafftem Muskel), so findet man den Nerven leicht unter der den M. scalenus bedeckenden Faszie (Fig. 181).

Von der zentral gelegenen Regio sternocleidomastoidea ergeben sich Anschlüsse zu den übrigen Gegenden des Halses. Nach einwärts von ihm gelangt man in das Trigonum thyroideum, nach außen in das Trigonum omotracheale. Das Trigonum subclaviae schließt sich oberhalb des Schlüsselbeins nach lateral hin an, während das Trigonum caleno-vertebrale die Teile einschließt, die von dem unter dem M. sternocleidomastoideus verborgenen Gefäßstrang bedeckt, in der Tiefe liegen, also erst nach Entfernung des Muskels und Gefäßstranges völlig klar sichtbar werden.

4. Das *Trigonum thyroideum* (Fig. 180) ist jener kleine Spalt, der zwischen den unteren Zungenbeinmuskeln, dem oberen Bauch des M. omohyoideus und dem inneren Rand des M. sternocleidomastoideus gelegen ist. Es ist nur künstlich von der soeben beschriebenen Regio sternocleidomastoidea zu sondern, zumal der M. sternocleidomastoideus bei starker Entwicklung es meist ganz zudeckt. Seinen Namen verdankt es den hier liegenden Seitenteilen der Schilddrüse. Der Gefäßstrang liegt hier dicht hinter den seitlichen Lappen der Drüse verborgen. Darunter liegt das Endstück der A. thyroidea inferior und der N. laryngeus inferior.

Fig. 182. Oberflächliche Teile der seitlichen Halsregion nach Entfernung von Haut, *M. subcutaneus colli* (*Platysma*) und *Fascia colli*.

5. Nackenwärts vom *M. sternocleidomast.* (Fig. 182) liegen Ausbreitungen sensibler Äste des Plexus cervicalis (Nn. supraclaviculares antt., medd. und postt. zur Haut der Brust und Schulter,  $C_3$  und  $C_4$ ), vor allem aber der Ramus externus des N. accessorius, der unter der oberflächlichen Halsfaszie in einer Linie gefunden wird, die man vom Tragus der Ohrmuschel zum Akromion zieht. Er steht mit dem 3. Zervikalnerven in Verbindung. Den Boden dieses Dreiecks bildet der *M. splenius capitis et cervicis* und *M. levator scapulae*. In der Rinne zwischen letzterem und dem *M. scalenus medius* läuft der N. dorsalis scapulae aus dem Plexus brachialis ( $C_5$ ) für die Mm. rhomboidei und levator scapulae hinab. Auch der starke Ramus ascendens der A. transversa colli (oft ein Ast der A. cervicalis superficialis) liegt oberhalb des unteren Omohyoideusbauches im Gebiete des Dreiecks.

6. Seitwärts vom Ursprung des *M. sternocleidomastoideus* gelangen wir in das *Trigonum subclaviae* (Fig. 181). Schon der Name deutet an, daß wir hier ins Gebiet der zweiten großen Halsarterie kommen. Bedeckt wird die Gegend vom *Platysma*; unter diesem liegt die oberflächliche Halsfaszie, unter dieser die vorderen und mittleren Nn. supraclaviculares und der untere Bauch des *M. omohyoideus*. Ist dieser, wie meist, hier bereits dem Schlüsselbein enger angelagert, so liegt der obere Teil der Gegend kopfwärts von diesem Muskel, besonders die Stämme des Plexus brachialis. Zwischen ihm und dem Schlüsselbein spannt sich die derbe *Fascia colli media* aus.

In der Tiefe dieser Gegend, gleichsam ihren Boden bildend, liegen oberhalb der Klavikula zunächst die *Mm. scaleni*. Der von den Querfortsätzen des dritten bis sechsten Halswirbels zu dem Tuberculum scaleni der ersten Rippe ziehende *M. scalenus anterior* bildet mit dem sich an seinen hinteren Rand anschließenden, von den Querfortsätzen aller Halswirbel zur Außenfläche der ersten Rippe ziehenden *M. scalenus medius* die (hintere) Skalenuslücke, einen schmalen langgezogenen Spalt, dessen Spitze nach oben, dessen Basis nach unten gerichtet ist. Weiter nach hinten folgt der *M. scalenus posterior* (von dem fünften bis siebenten Querfortsatz zur Außenfläche der zweiten Rippe). Nach oben schließen sich dann der *M. levator scapulae* an, von den Querfortsätzen der vier oberen Halswirbel zum Angulus medialis der Scapula und der *M. splenius capitis et cervicis*, vom Lig. nuchae und den Dornfortsätzen des ersten bis sechsten Brustwirbels zum Proc. mastoideus und den Querfortsätzen der 2—3 oberen Halswirbel (Fig. 164, 179, 182, 183).

Unterhalb der Faszie liegen in reichliches Fett eingehüllt die supraklavikulären Lymphknoten, die, falls sie vergrößert sind, starke Rami glandulares aus den benachbarten Arterien empfangen. Unter diesen Knoten ist besonders stark die im Winkel zwischen Vena jugularis interna und V. subclavia gelegene. Die Supraklavikularknoten bilden den Sammelpunkt für die Lymphe des Halses und die von den Axillardrüsen zum Halse aufsteigende Lymphe der oberen Extremität und Brustwand (der Brusteingeweide nur zum allerkleinsten Teil).

Die weitere Orientierung hat stets vom *M. scalenus anterior* auszugehen. Vor ihm liegt die Vena subclavia, die weiterhin einwärts von der Mitte des Schlüsselbeins zwischen Schlüsselbein, *M. subclavius* und 1. Rippe hindurchzieht („vordere“ Skalenuslücke). Die A. subclavia folgt als am weitesten abwärts liegendes Gebilde in den Spalt zwischen beiden *Mm. scaleni*. Hier, wo ihre Pulsation in der Fossa supraclavicularis oft zu fühlen ist,

Fig. 182.

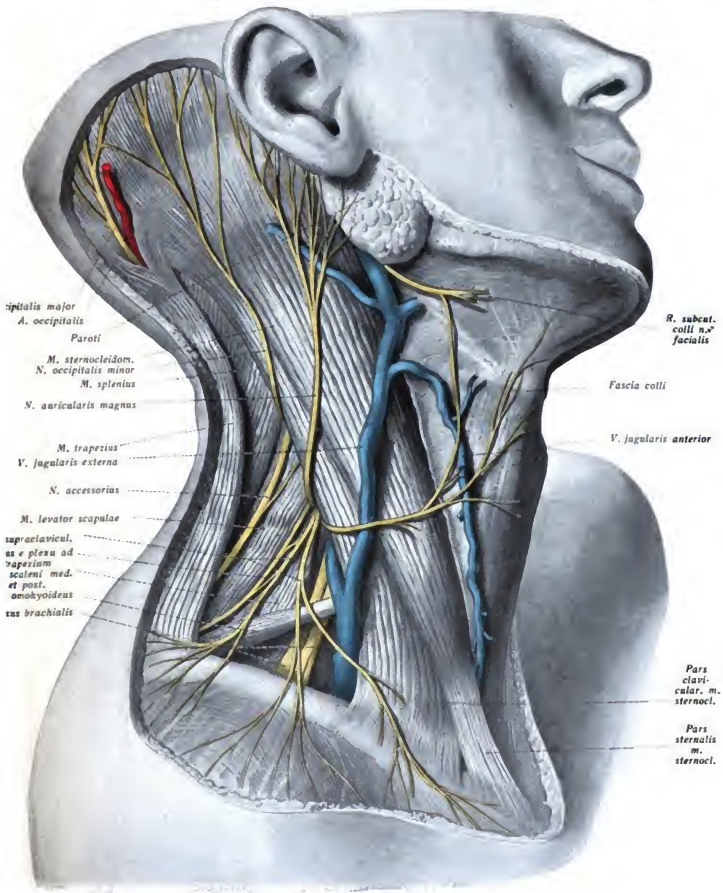


Fig. 183.

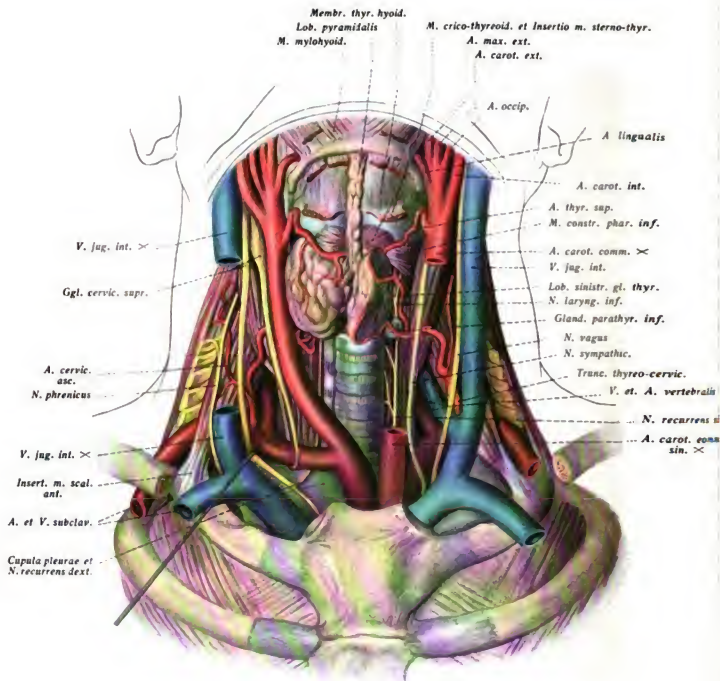




Fig. 183. Präparation des Trigon. scaleno-vertebrale und der benachbarten Teile des Halses. Der M. sternocleidomastoideus und die Zungenbeinmuskeln sind entfernt, die Claviculae in der Artic. sternoclavicularis exarticuliert und jenseits der 1. Rippe durchgesägt. Das Sternum ist ein wenig nach abwärts gezogen. Der linke Lappen der Schilddrüse ist nach hinten herumgeschlagen. Links ist aus der A. carotis communis ein Stück exstirpiert, die Vena jugul. interna nach links hingezogen. Rechts ist die V. jugul. interna abgetragen und ihr zentraler Stumpf nebst dem N. vagus nach außen verschoben, so, dass sie, nicht mit Formol injiziertes Präparat mit injizierten Arterien und Venen. Zur völligen Ausnützung der Abbildung um sie, namentlich was die Lage der großen Gefäßstämme an der Thoraxapertur anlangt, mit dem Text in Einklang bringen zu können, verfertigt man sich auf Pauspapier ein Deckblatt, auf dem die angegebenen Verschiebungen der A. carotis am. sinistra und Vena jug. int. dextra rückgängig gemacht werden. — Die Pleurakuppel ist grün gemalt.

geht sie der 1. Rippe auf am Tuberculum scali und gelangt ungefähr in der Mitte des Schlüsselbeins unter dieses und den M. subclavius, lateral von der Vena subclavia. Kopfwärts von der Arterie liegen die fünf Stämme des Plexus brachialis, gruppiert in zwei vordere Faszikuli (Beugenerven) und einem hinteren Faszikulus (Strecknerven). Zwischen den beiden vorderen und dem hinteren Faszikulus zieht *konstant an Lage, aber inkonstant Kaliber* die A. transversa colli hindurch. Ist diese Arterie schwach, dann ist die vom Plexus verlaufende A. cervicalis superficialis desto stärker. Die A. transversa scali ist durch das Schlüsselbein völlig verdeckt, an dessen hinterer Fläche entlang sie zur Skapula zieht. Von peripherischen Ästen des Plexus brachialis besitzt seiner GröÙe wegen nur der N. suprascapularis Bedeutung, der genau am oberen Rande des M. omohyoideus (Fig. 181) liegt und mit ihm zum Schulterblatt verläuft. Ganz einwärts, schon am inneren Rande des M. scalenus anterior und vom Sternocleidomastoideus zugedeckt, findet man die A. mammaria interna, an deren lateralen Rand sich der N. phrenicus, zwischen A. und V. subclavia hindurchziehend, anlagert. Beide (Fig. 204) gelangen zur Thoraxapertur. Die Symmetrie der Venen führt zu beiderseits verschiedener Lagebeziehung des N. phrenicus, dem er rechts an die äußere Kante der V. anonyma dextra und weiterhin der V. cava superior tritt, links dagegen unter der V. anonyma sinistra hinwegzieht.

7. Nach Abtragung des M. sternocleidomastoideus (Fig. 183, 204) und der A. carot. communis und Vena jugularis interna ist der Zugang zu dem tief liegenden *Trigonum scaleno-vertebrale* (Corning) erschlossen. Es ist eigentlich ein schmaler Spalt, der sich zwischen den Körpern der unteren Hals- und obersten Brustwirbel und dem medialen Rande des M. scalenus anterior ausdehnt. Einwärts liegen die Halseingeweide der Regio colli mediana (vorderer Teil der Schilddrüse, Trachea, Oesophagus) in demselben Spalt. Vorn bildet die 1. Rippe und Articulatio sternoclavicularis die Grenze; die Fascia colli media, die sich unter dem Schlüsselbein nach abwärts fortsetzt und die vor den tiefen Halsmuskeln verlaufende Fascia praevertebralis kleiden den Spaltraum aus, *der sich von hier aus mit den Halseingeweiden in das Mediastinum fortsetzt* (Fig. 206, 216).

Hier finden sich: die Anfangsstücke der großen Halsschlagadern, die Venae anonymae, die Ursprünge sämtlicher Äste der A. subclavia (mit Ausnahme der A. transversa colli), der N. vagus, N. recurrens und der Grenzstrang des Sympathikus. Die A. subclavia tritt in ihrem Anfangsteil rechts und links verschiedenen Verlauf. *Links* liegt sie in der Tiefe neben den obersten Brustwirbeln und vor dem M. longus colli. *Rechts* ist sie oberflächlicher gelegen und kürzer. Sie erreicht den Skalenusspalt links in steilem Bogen, rechts in sanfterem Verlauf. *Rechts* tritt der N. vagus vor ihr hinab und gibt da, wo er die A. recurrens kreuzt, den N. recurrens ab, der, sie umschlingend, schräg nach innen und oben zieht. *Links* liegt der Vagus nicht in so inniger Nachbarschaft zu ihr, hält sich vielmehr an die vorn liegende A. carotis communis, in deren Begleitung er zum Arcus aortae gelangt.

Beiderseits liegt die V. jugularis interna und der Beginn der V. anonyma vor der A. subclavia. Der Grenzstrang des Sympathikus, der bis dahin hinter der A. carotis lag, trennt sich von der Arterie und umfaßt mit zwei Stämmchen die A. subclavia (Ansa Vieusseni). Hier findet man auch links das Endstück des Ductus thoracicus, der zwischen A. carotis communis und A. subclavia hindurch zum Venenwinkel tritt (Fig. 243).

Zwei praktisch wichtige Arterien sind hier vor allem zu erwähnen, beides Äste der A. subclavia: die A. thyroidea inferior und die A. vertebralis. Sie liegen in ihrem Ursprung nahe beieinander, verlaufen aber gleichsam in zwei Etagen übereinander, so daß die oben gelegene und nach medial gerichtete A. thyroidea inferior die tief gelegene A. vertebralis kreuzen muß.

Die Aufsuchung der A. thyroide. inf. (Fig. 183) ist leicht, wenn man am inneren Rand des M. scalenus anterior der neben dem N. phrenicus liegenden A. cervicalis ascendens bis zu dem ihr und der Schilddrüsenarterie gemeinsamen Truncus thyrocervicalis folgt. Von da aus steigt die A. thyroidea inferior bis in die Höhe des Querfortsatzes des 6. Halswirbels empor, wendet sich steil nach abwärts bis zum unteren Rande der Schilddrüse, und dicht neben ihr unter abermaliger Krümmung nach aufwärts in ihre Endäste zu zerfallen. Die untere Schilddrüsenarterie hat drei wichtige Kreuzungen. 1. Mit der A. und V. vertebralis etwa 1 cm oberhalb ihres Ursprunges aus dem Truncus thyrocervicalis, wobei sie vorn liegt. 2. Mit der A. carotis communis und dem N. vagus in der Höhe des Querfortsatzes des 6. Halswirbels, wobei sie hinten liegt. Hier muß sie auch den Grenzstrang kreuzen, der ja hinter der Karotis liegt. Seine Beziehung zur Arterie ist inkonstant; er findet sich bald vor, bald hinter ihr; ist er in mehrere Nerven aufgelöst, so kann die Arterie von ihm umfaßt werden. Ist ein Ganglion cervicale medium da, so liegt dies mit seinen Rami communicantes vor der Arterie. 3. Mit dem N. laryngeus inferior, der sie dicht an der Schilddrüse bereits in ihre Äste geteilt trifft und zwischen den Ästen hindurch zieht.

Die A. vertebralis liegt innen von dem Anfangsteil der Schilddrüsenarterie und mehr in der Tiefe. Sie ist nicht sofort sichtbar, vielmehr wird sie noch überlagert von der starken V. vertebralis (Fig. 183). Sie zieht zum Querfortsatz des 6. Halswirbels, um dann in den von den Querfortsatzlöchern gebotenen Kanal aufwärts zu laufen. Trägt man die Insertions- und Ursprungsschnitten des M. longus colli und die vorderen Mm. intertransversarii ab, so kann man sie zwischen je zwei Halswirbeln darstellen, nach Abtragung der vorderen Spangen der Querfortsätze auch in längerem, kontinuierlichem Verlauf.

### VIII. Die Lungenspitze und Pleurakuppel.

Die beiden zuletzt besprochenen Gegenden (Fig. 183, 204) haben deswegen noch besonderen Wert, weil sie topographische Beziehungen zur Lungenspitze haben. Der Halbkugel, den jede Lunge bildet, fällt von hinten nach vorn genau so ab, wie die Ebene der oberen Thoraxapertur. Bei entferntem Schlüsselbein bildet die Lungenspitze daher eine schief aufsteigende Ebene, die vorn an der 1. Rippe beginnt, hinten ihren höchsten Punkt am Hals der 1. Rippe oder auch in der Höhe des Dornfortsatzes des 7. Halswirbels besitzt. Ohne das Schlüsselbein würde also eine nahezu vier Finger breite Fläche des Atmungsorganes vorn frei in den Weichteilen des Halses stecken. Das Schlüsselbein versieht die Lungenspitze aber wenigstens zum Teil mit knöchernem Schutz, so daß nur

etwa zwei Finger breiter Teil vorn von Weichteilen allein bedeckt ist. Seitwärts und besonders hinten ist die Lungenspitze knöchern umgrenzt. Die Pleurakuppel liegt hier der Lungenspitze innig an, so daß alle folgenden Angaben für Pleurakuppel und Lungenspitze gemeinsam gelten.

Die Lungenspitze ragt (vgl. auch. Fig. 219—221a) in das Trigonum subclaviae hinein, während das medial gelegene tiefe Gebiet (Trigonum scaleno-vertebrale) von Lunge eingenommen bleibt. Die hier liegenden großen Gefäß- und Nervenstämme (A. anonyma, A. carotis communis sinistra, A. subclavia sinistra, N. vagus) liegen also sämtlich *medial* von der Lungenspitze. Besonders ist es dann aber die A. subclavia, die innige Beziehungen zur Lungenspitze gewinnt, indem ihr Bogen dicht vor dem höchsten Punkt der Lunge verläuft, so daß sie hinweg zieht. Desgleichen lagert sich der Plexus brachialis über der Lungenspitze. Da vom höchsten Punkt des Subklaviabogens die A. mammaria interna entspringt, zieht dies Gefäß, und mit ihm der N. phrenicus, *vor* der Lunge zum Sternoklavikularknoten. Die beiden Mm. scaleni fassen die Lungenspitze zwischen sich.

Die Pleurakuppel wird in ihrer Lage, abgesehen von bindegewebigen Zügen zu den Rippenkörpern, vor allem durch Faserbündel festgehalten, die von der Fascia praevertebralis zu ihr ausstrahlen.

Die Projektion der Lungenspitze auf die Oberfläche des Halses ergibt, daß ihr Gebiet *nahezu ganz vom Ursprung des M. sternocleidomastoideus bedeckt wird*. Medial spricht der Spalt zwischen beiden Köpfen der Lage der A. anonyma und A. subclavia sinistra. Hier ist demnach auch der mediale Rand der Lunge zu suchen. Lateral wird die tiefe Konkavität der 1. Rippe von der Lunge ausgefüllt, ein Gebiet das projiziert etwa mit der Mitte der Klavikula zusammenfällt. Nach aufwärts liegt die Spitze 2—3 Finger breit vor dem Schlüsselbein hinter dem M. sternocleidomastoideus. Vom Rücken her liegt die Spitze der Lunge in der Höhe des Köpfchens der ersten Rippe, in einer Ebene, die durch den Dornfortsatz des 7. Halswirbels gelegt wird. Der seitliche Rand kreuzt den innersten Rand der Fossa supraspinata; die medialen Ränder beider Lungen konvergieren gegen den Dornfortsatz des 2. Brustwirbels und ziehen dann weiter an den Rändern der Wirbelsäule nach abwärts.

Bei Neugeborenen und Kindern bis zum 6. Lebensjahr liegt die 1. Rippe nicht so tief wie beim Erwachsenen. Obwohl die Lunge zur Wirbelsäule nahezu die gleiche Größe einnimmt wie beim Erwachsenen, kommt doch vorn ein minder hoher Bezirk als Projektionsfeld am Halse in Betracht (Fig. 224).

## Anwendungen.

Man beachte die durch die Faszien des Halses begrenzten *Spalträume*. 1. Das Spatium subclillare. 2. Das Spatium prä- und retroviszerale, die beide als Teile eines einheitlichen, sich ins Mediastinum fortsetzenden Spaltes aufzufassen sind. 3. Das Spatium suprasternale. 4. Das Spatium inneres der Gefäßscheide, das sich teils ins Mediastinum, teils in die Achselhöhle fortsetzen muß. — In den Schichten des Halses ist das Platysma wichtig wegen seines Einflusses auf die Narbenbildung, Verwundung der Lymphknoten des Halses vor allem an drei Stellen lokalisiert (in der Fossa subclillaris, längs der großen Gefäße und innerhalb der Gefäßscheide, endlich in der Fossa supraclavicularis) bilden oft die Indikation zu ihrer operativen Entfernung mit allen in den innigen Beziehungen zu den Gefäßen und Nerven begründeten Schwierigkeiten eines solchen Eingriffes.

Im Trigonum submaxillare bildet der Faszienapparat eine Scheidewand gegen die Ausbreitung von Abszessen (Mundbodenphlegmonen), die andererseits, gerade da sie nicht leicht nach außen durchbrechen können, frühzeitige Eröffnung des Spatiums (Spaltung der Drüsenkapsel) erfordern. Bei

Drüsenexstirpationen, die wegen Metastasen bei bösartigen Erkrankungen notwendig werden, muß auf die in der Glandula submaxillaris gelegenen Lymphknoten Rücksicht genommen werden, d. h. Exstirpation auch dieser Drüse wird nötig, wobei natürlich die Operation der A. max. ext. notwendig werden kann. Im Submaxillardreieck erfolgt auch die Unterbindung der A. lingualis. Nach Anlegung des Hautschnittes (dicht oberhalb des Zungenbeins) Durchschneidung des Platysma und Spaltung der Drüsenkapsel hat man den Zugang zur Tiefe durch Zurückschlagen der Drüse (in Fig. 177 durchschnitten freizulegen). Die Lagerung der maßgebenden Teile (N. hypoglossus, Biventersehne) ist aus Fig. 178 zu ersehen. Die oberflächlich liegende Vena lingualis (eigentlich nur ein Ast der V. lingualis, die comitans N. hypoglossi) ist während des Lebens sehr dick. An der Leiche fällt sie meist nicht ins Auge. Die Arterie liegt vom M. hyoglossus zwischen Nerv und Sehne verdeckt. — Auch die Unterbindung der Carotis externa nach Kocher unterhalb des Kieferwinkels (s. oben S. 130) erfolgt in diesem Dreieck.

Im Trigonum caroticum wird die A. carotis communis (nach Cooper) und die A. carotis externa und interna aufgefunden. (Schnitt am inneren Rande des M. sternocleidomastoideus.) Zu beachten ist, daß in der gleichen Gefäßscheide die Vena jugularis interna und der N. vagus liegen. Für die Prognose einer Carotis communis-Ligatur hat man sich an die Anatomie des Circulus arteriosus zu erinnern. Da dieser nicht selten (A. communicans posterior) unvollständig ist und die Gehirnarterien Endarterien sind, ist jede Ligatur der Carotis communis ein Wagnis, an das nur bei unausweichbarer Indikation heranzutreten ist. Bei alten Leuten hindert oft auch arteriosklerotische Veränderung die Entstehung des Kollateralkreislaufes. Leicht stellt sich bei Unterbindung der A. carotis externa ein Kollateralkreislauf her, indem von der A. thyroidea inferior Blut in die A. thyroidea superior fließen und dadurch die A. carotis externa aufs Neue speisen kann. Soll vollkommene Blutleere erzeugt werden, so muß also entweder die Ligatur jenseits des Abganges der A. thyroidea superior gelegt, oder der Stamm dieser Arterie selbst mit unterbunden werden.

Weiter abwärts in der Regio sternocleidomastoidea kann die A. carotis communis unterhalb des M. omohyoideus unterbunden werden (Schnitt am inneren Rande des Muskels, untere Zungenbeinmuskeln nach medial verlagern, Fig. 180). In der Höhe des Querfortsatzes des 6. Halswirbels, dicht unter dem Muskel liegt, kann die Arterie beim Lebenden durch Druck gegen die vordere Spalte dieses Fortsatzes komprimiert werden (Chassaignacscher Höcker). Solch ein Druck auf die Carotis kann zu Hirnanämie, bis zur Ohnmacht, führen.

Rückwärts im Trigonum omotracheale ist bei Lymphknotenexstirpationen der N. accessorius gefährdet, wenn karzinomatöse usw. Drüsen ihn fest umwachsen haben. (Lähmung des M. trapezius). Auch beim Eindringen auf die A. vertebralis (s. unten) kann die Operation des N. accessorius notwendig werden.

Praktisch von großer Bedeutung ist die Supraklavikulargegend. Die A. subclavia kann man im herabgezogenem Arm gegen die erste Rippe lateral von dem M. scalenus anterior bei weiter distal stattfindenden Blutungen oder zur Vermeidung von solchen komprimieren. Pulsation ist meist von außen zu sehen, rechts häufiger als links, weil sie links tiefer liegt (s. oben). Bei der Freilegung der A. subclavia müssen vornehmlich berücksichtigt werden: V. jugul. externa, A. cervicalis superficialis, A. transversa scap., A. transversa colli, Plexus brachialis, V. subclavia (s. Fig. 164, 179, 181, 182). Die Arterie ist das erste Gebilde, das man am inneren Rande des M. scalenus anterior auf der 1. Rippe antrifft. Hat man die Wahl, so ist die Unterbindung der Arterie unterhalb des Schlüsselbeins in der Mohrenheimschen Grube sehr viel einfacher, da hier das Gefäß leicht freizulegen und zu isolieren ist.

Unter den Ästen des Plexus brachialis, deren Lähmung praktisch bedeutungsvoll ist, ist der thoracalis longus (M. serratus anterior!) an erster Stelle zu nennen. Er ist gefährdet durch seinen Verlauf durch den M. scalenus medius hindurch (Zerrungen, Druck bei Lastträgern). Drüsenexstirpationen sind wegen der Nähe der großen Venenstämme (Luftaspiration) hier oft besonders schwierig. — Über die Halsrippe s. oben S. 110.

Für die Perkussion der Lungenspitzen spielt das Trigonum supraclaviculare eine entscheidende Rolle. Die Perkussionsgebiete der Lungenspitzen werden nicht überall gleichmäßig angegeben. In allen Fällen aber handelt es sich nicht um direkte Perkussion, denn da, wo perkutiert wird, liegt keine Lunge. Aus den oben geschilderten anatomischen Verhältnissen ergibt sich vielmehr die Berechtigung der Annahme, daß Abklopfung aus nächster Nähe feinere Resultate ermögliche (Goldscheider). Hiernach läge die günstigste Stelle zwischen den Köpfen des M. sternocleidomastoideus und unter seinem lateralen

n Kopf. Seitlich davon kann die erste Rippe oberhalb des Schlüsselbeins gleichsam als Plessimeter offen und noch weiter seitlich, namentlich bei erhobenem Arm (steil gestelltem Schlüsselbein), die ge in dem 1. Interkostalraum perkutiert werden. Hinten liegt die Lunge *nicht* in der Fossa supracostata, sondern einwärts davon (s. oben). Die Lage der Lungenspitze innerhalb der Weichteile (Plexus chialis, Mm. scali) und des Ringes der 1. Rippe erklärt ihre Unverschieblichkeit. Ossifikation Verbindung der ersten Rippe mit dem Brustbein, kongenitale Enge des Thoraxeinganges, Asymmetrie beider Seiten ist häufig und wird (*Freund*) im Verein mit der geringen Verschieblichkeit als diszierendes Moment für die Entstehung von Spitzenerkrankungen angesehen. Oft findet man an der le der 1. Rippe Furchen in der Lunge (Schmorlsche Furche), in deren Bereich die ersten krankhaften Veränderungen um die Bronchien herum nachweisbar sind.

Die schwer zugängliche Gegend des *Trigonum scalenovertebrale* ist die Stelle der Unterbin- g zweier wichtiger Gefäße: der A. thyreoidea inferior und der A. vertebralis. Erstere spielt Kropfoperationen eine wichtige Rolle. Um an sie zu gelangen, ist ein weiter Weg in die Tiefe einzu- legen, dessen Verlauf und Richtung aus Fig. 171 ersichtlich ist. Zu vergleichen ist hierzu das S. 125 über den Faszienapparat der Schilddrüse Gesagte. Die untere Schilddrüsenarterie kann rhalb oder außerhalb der Schilddrüsen-(Kropf)faszie unterbunden werden. Die Nähe der Epithel- verchen und des N. recurrens hat veranlaßt, die extrafasziale Unterbindung möglichst weit von der lddrüse als Regel aufzustellen. Der Weg führt zwischen M. sternocleidomastoideus und M. sternodeus in die Tiefe, dann unter den M. omohyoideus, wobei man zwischen die Lamellen der *Fascia media* gelangt. Ihre tiefe Lamelle, die zugleich die Schilddrüsenfaszie bildet, bleibt erhalten. schen ihr und der A. carotis communis gelangt man auf die untere Schilddrüsenarterie, die vor n Eintritt in die Faszie unterbunden wird. Wird so die Scylla des N. recurrens vermieden, so droht wärts als Charybdis die Schädigung des Hals sympathikus. In dem hinteren Teil der die A. oidea umgreifenden Schlinge verlaufen die okulopupillären Fasern zum Ganglion ciliare (Miosis Ptoxis nach Sympathikusverletzungen, letztere als Folge der Lähmung des M. tarsalis superior).

Die Verletzungen der A. vertebralis im ersten Teil ihres Verlaufes bis zum Eintritt in den fortsatz des 6. Halswirbels sind schon wegen der Verletzungen der wichtigen Nachbarteile fast im- tödlich. Nur wenig Fälle kommen rechtzeitig zur Unterbindung. Häufiger ist das bei dem zwei- Teil des Verlaufes, innerhalb des Canalis transversalis der Fall; am häufigsten im dritten Teil der Hinterhauptsggend (s. S. 267). Neuerdings ist auch auf die nicht seltenen Aneurismen der ertebralis hingewiesen worden, die diagnostisch mit Karotisaneurismen verwechselt werden können. rativ ist die A. vertebralis in ihren beiden ersten Verlaufsstrecken vom hinteren Rande des M. ocleidom. (N. accessorius) aus zugänglich; Gefäßnervenstrang und N. phrenicus bleiben medial en. Bei der Unterbindung der A. vertebralis ist vor allem die mühselige Entstehung eines Kolla- kreislaufes (durch den Circulus arteriosus her) zu beachten. Indiziert ist also stets Unterbindung des kopfwärts gelegenen Stumpfes. Gleichzeitige Unterbindung der A. carotis communis ist für Versorgung des Gehirns von ersten Folgen.

Für die segensreiche Anwendung der *Lokalanästhesie* bietet der Hals infolge seiner einfachen enverhältnisse ein günstiges Feld. Hier sei nur erwähnt, daß Infiltration längs der Querfortsatzlinie n hinteren Rande des Processus mastoideus über das Tuberculum caroticum) die gesamten Hautnerven Halses trifft. Infiltration der Membrana thyreo-hyoidea trifft ferner den N. laryngeus superior. den Halshautnerven vorzugsweis aus erfolgt (mit Ausnahme des Gebietes des N. laryngeus superior) die sensible Innervation der Halseingeweide. So gelingen alle Eingriffe am Hals in Lokal- thesie, wenn jenen Infiltrationen noch regionäre Hilfseinspritzungen angeschlossen werden. Ober- des Schlüsselbeines wird der Plexus brachialis unempfindlich gemacht, wodurch Eingriffe an der en Extremität schmerzlos ermöglicht werden. Der Einstich erfolgt am oberen Rande des Schlüssel- s in der Mitte ihrer Länge, wo die 1. Rippe das Schlüsselbein kreuzt.

# Topographische und angewandte Anatomie der Brust

## I. Grenzen. Besichtigung. Äußere Form. (Fig. 184, 185.)

Die *äußeren* Grenzen der *Brust* werden am Lebenden leicht in folgender Weise bestimmt:

Die *obere* Grenze der Brust ist vorn in der Mitte gegeben durch den oberen Rand des Manubrium sterni (Incisura jugularis sterni), seitlich durch die Schlüsselbeine und hinten durch eine vom Akromion zum Dornfortsatz des 7. Halswirbels (Vertebra prominens) gezogene Linie.

Die *untere* Grenze der Brust wird vorn in der Mitte gebildet durch den Schwertfortsatz des Brustbeins (Processus xiphoides), seitlich durch den Rippenbogen und hinten durch eine von dem ungefähr in der Axillarlinie gelegenen tiefsten Punkt des Rippenbogens nach dem Dornfortsatz des 11. Brustwirbels gezogene Linie.

Die *inneren* Grenzen der Brust, d. h. die Abgrenzung des *Brustraumes* (s. unten) gegen den Inhalt des Halses und des Bauches, fallen nicht mit den äußeren Grenzen zusammen; sie sind am Lebenden weniger leicht zu bestimmen.

Die *obere* Grenze des Brustraumes liegt bei aufrechter Körperhaltung in einer Horizontalenebene, die man bei Expirationsstellung der Brust durch einen 4 cm über der Mitte des oberen Brustbeinrandes gelegenen Punkt legt. Die Ebene fällt mit der Bandscheibe zwischen letztem Hals- und erstem Brustwirbel zusammen. Sie überragt die Mitte der Klavikula durchschnittlich um 2 cm, so daß der *Inhalt des Brustraumes noch oberhalb der Schlüsselbeine* untersucht werden kann.

Die *untere* Grenze des Brustraumes ist durch das Zwerchfell bestimmt. Seine kuppelförmige Wölbung fällt in der Expirationsstellung rechts in der Mammillarlinie (s. unten) in den vierten Interkostalraum, links einen Finger breit tiefer, entsprechend dem oberen Rand der 5. Rippe. Dies gilt für den erwachsenen Menschen mittleren Alters. Bei dem Kinde steht das Zwerchfell einen Interkostalraum höher, beim Greis in gleichem Maße tiefer.

Zur Bestimmung der normalen oder krankhaft veränderten Lage der Organe des Brustraumes bedürfen wir bestimmter vertikaler und horizontaler Orientierungen.

*Vertikale* Orientierungslinien sind (s. Fig. 219): Die durch die Brustwarze gelegene *Linca mammillaris*; die *L. sternalis* längs des Sternalrandes; die *L. parasternalis* in der Mitte zwischen den beiden eben genannten; die *L. axillaris* von dem höchsten Punkte der Achselgrube nach abwärts; man nennt diese Linie wohl auch die mittlere Axillarlinie. Die „vordere“ Axillarlinie geht in vertikaler Richtung von dem Punkte aus, an dem sich der untere Rand des M. pectoralis major gebildete Wulst von der Brustwand abhebt, die „hintere“ Axillarlinie von dem entsprechenden Punkt des M. latissimus dorsi. Von der Articulatio sternoclavicularis nach der Spitze der 11. Rippe läuft die *L. costoclavicularis*, deren Bestimmung z. B. für die normale Lage der Milz verwendet wird; durch den unteren Winkel

der Skapula geht die *L. scapularis*; dazu kommen die *vordere* und die *hintere Medianfurche*.

*Horizontale Orientierungen* bilden die *Interkostalräume*. Man sieht oder fühlt auf dem oberen Teil des Sternum den *Angulus sternalis* (Ludovici) in Form eines queren Wulsts. Er entspricht der Synchronrose zwischen Manubrium und Corpus sterni und dem Ansatz der 2. Rippenknorpels. Man findet so leicht den 2. Interkostalraum und zählt unter steter Palpation von hier nach außen und unten weiter. Der 3. Interkostalraum ist am weitesten, dann folgen der 1. und 2.; alle anderen Interkostalräume sind schmaler, die ersten am schmalsten. Außerdem sind sie vorn weiter als hinten.

*Besichtigung und Abtastung der Brust* fallen sehr verschieden aus, je nachdem man mit muskelkräftigen, fettreichen oder abgemagerten Personen zu tun hat. In der vorderen Mittellinie sieht man die auf dem Sternum verlaufende, beim Manne nur bei starker Entwicklung der Ursprünge des *M. pectoralis major* gut ausgebildete, breite und flache *vordere Medianfurche* (s. Fig. 184). Am oberen Sternalrand geht sie in die *Fossa juguli*, am unteren Sternalende in die sogenannte *Herz- oder Magengrube*, *Scrobiculus cordis*, eine schlechte Bezeichnung, da hier weder Herz noch Magen, sondern Leber unter der Bauchwand liegt. In der manchmal sehr tiefen Grube kann der *Processus xiphoideus* des Sternum nach vorn prominieren oder auch unter Gefährdung der Leber nach innen gekrümmt sein. An der Grenze von Manubrium und Corpus sterni tritt der *Angulus sternalis* (Ludovici) verschieden stark hervor; er entspricht dem Ansatz der 2. Rippe (von hier aus Palpation der Interkostalräume, s. oben). Bei dem Weib führt die Entwicklung der Mammæ zu einer tieferen Einsenkung der vorderen Medianfurche (Sinus). Die *Brustwarze* liegt in der Mitte der 4. Rippe oder des 4. Interkostalraumes. Die *hintere Medianfurche* (s. Fig. 185) streckt sich von der Vertebra prominens aus nach unten. Sie ist hauptsächlich durch die Verwulstung der langen Rückenmuskulatur verursacht. In ihr fühlt oder sieht man bei starker Abmagerung die *Dornfortsätze der Brustwirbel*. Sie springen bei starker Abmagerung so stark vor, daß an Stelle des *Sulcus medianus posterior* eine *Crista* tritt. Man orientiert sich oben leicht über den Verlauf der *Klavikula*, über ihr verdicktes Sternalende über die *Articulatio sternoclavicularis*. Unterhalb der Klavikula, da wo die Klavikulararterien des *M. pectoralis major* und des *M. deltoideus* aneinander grenzen, ist die *Fossa claviculæ* (Mohrenheimsche Grube) um so deutlicher, je mehr hier an der Klavikula die Ränder der beiden Muskeln auseinander weichen, was individuell verschieden ist. Lateral ist, vom Rand des *M. deltoideus* gedeckt, der *Proc. coracoideus* fühlbar oder bei sehr dünnen Individuen sichtbar. Indem man der Klavikula seitlich folgt, gelangt man zum *Acromion* und palpiert nach hinten die *Spina scapulae* sowie den *Angulus medialis* und *anterior* der Skapula. Nach abwärts von dem unteren Winkel ist die 8.—11. Rippe abzupalpieren. Seitlich hebt sich vorn der Rand des *M. pectoralis major* von der Brustwand ab; er bildet die *vordere Achselfalte*; hinten läuft der Rand des *M. latissimus dorsi* aufwärts; er bildet die *hintere Achselfalte*. Nach abwärts von der *Achselgrube* tritt mehr oder weniger deutlich die gezackte Muskellinie hervor, in deren Bereich die Zacken des *M. serratus anterior* in die Ursprünge des *M. obliquus abdominis externus* eingreifen. Hinten am Rand mag man bei nicht zu fetten Individuen den seitlichen Rand des *M. trapezius* bis zum *Inforsatz* des 12. Brustwirbels unter Umständen zu sehen, wenn der Muskel angezogen wird.

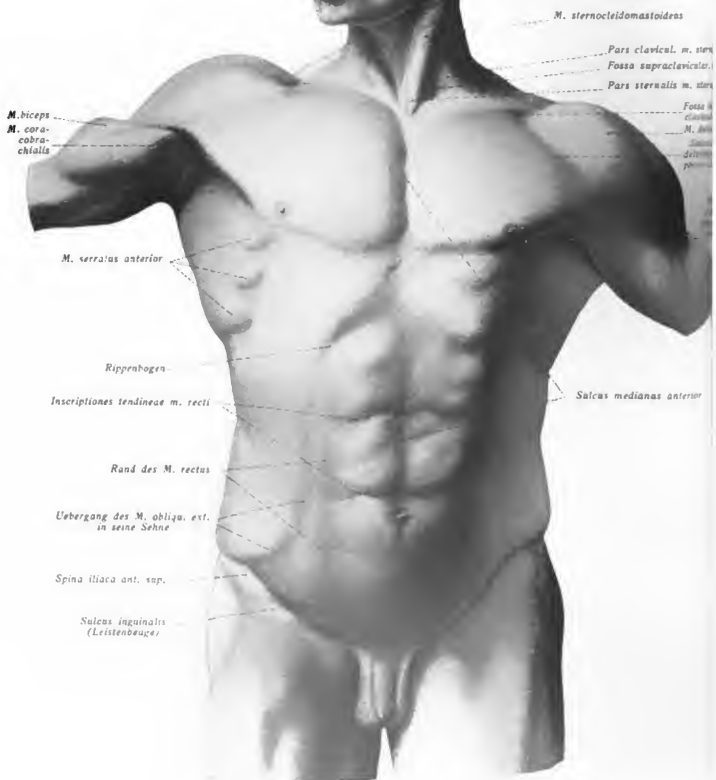


Fig. 184. Kräftiger Rumpf mit angrenzenden Teilen von vorn.



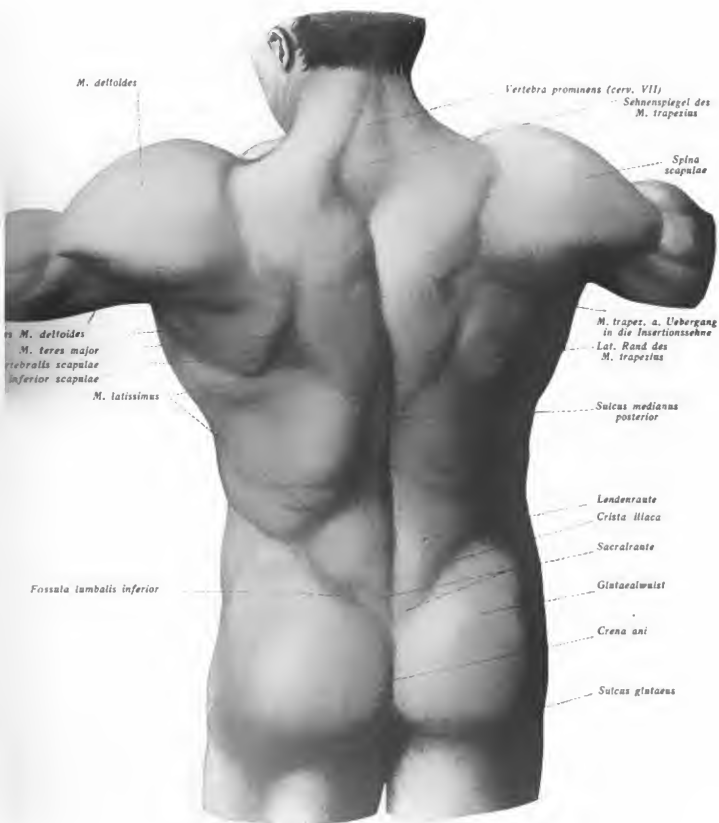


Fig. 185. Kräftiger Rumpf mit angrenzenden Teilen von hinten.

Der *Brustkorb* (Brustkasten, knöcherner Thorax) (s. Figg. 204, 210, 211), das feste Gerüst der Brust, erscheint in der Gestalt eines abgestumpften Kegels mit nach unten gerichteter Basis und längerem frontalem, aber kürzerem sagittalem Durchmesser. Er öffnet sich nach oben in der nach vorn geneigten, von dem oberen Rand des Sternum, dem ersten Rippenpaar und dem oberen Rand des 1. Brustwirbels gebildeten *oberen Thoraxapertur*, deren verhältnismäßige Enge in sagittaler Richtung wohl zu beachten ist. Nach unten



Fig. 186. Sternum mit Loch im unteren Teil des Corpus sterni.

der normale Brustkorb durch die *untere Thoraxapertur* weit geöffnet. Sie wird vom Schwertfortsatz des Brustbeines, dem Rippenbogen, dem freien Enden der 11. und der 12. Rippe sowie dem Körper des 12. Brustwirbels begrenzt und liegt im Gegensatz zu der oberen Apertur in zwei Ebenen, die in der Gegend des tiefsten Punktes des Rippenbogens in einem nach oben offenen Winkel zusammenstoßen.

Die Festigkeit des Brustkorbes ist insofern beschränkt, als von außen oder von innen wirkender Druck zu *vorübergehenden oder dauernden Gestaltveränderungen* führen kann. Äußerer Druck zeigt sich verderblich vor allem durch die übertriebene Wirkung des Korsetts. Da der Brustkorb mit seinem unteren weiten Teil auch Organe des Bauches einschließt, so wirkt übermäßiges Schnüren verderblich auf Brust- und Baueingeweide. Vorübergehender *äußerer* Druck kann sehr stark sein, ehe die normale Elastizität des Brustkorbes überwinden wird.

Die zwischen den Rippen ausgespannten *Mm. intercostales externi und interni* tragen zunächst zur Vervollständigung der Brustwand bei. Hierzu kommen die dem Brustkorb *außen* aufgelagerten kräftigen, das Gebiet des Nackens und der oberen Extremitäten überziehenden Muskeln (*M. trapezius*, *M. rhomboides*, *M. latissimus*, *M. serratus anterior*, *Mm. pectorales major et minor*), sowie die Ursprungsportionen des *M. obliquus abdominis externus*.

Hinsichtlich der Innervation dieser Muskeln ist (s. unten S. 271) daran zu erinnern, daß sie *sämtlich* als Gliedmaßenmuskeln vom Plexus brachialis versorgt werden. Lediglich die Interkostalmuskeln, *Mm. levatores costarum* und die beiden hinteren *Mm. serrati* werden von den Interkostalnerven versorgt.

Die den Muskeln aufliegende *Fascia superficialis*, das subkutane Fett und die Haut vervollständigen die Wand nach außen. Den unteren

Abschluß des Thoraxraumes bildet das Zwerchfell (s. u.) Innen wird der Thoraxraum durch die als *Fascia endothoracica* (s. Fig. 193) bezeichnete Bindegewebsschicht abgeschlossen, die sich von der Wirbelsäule bis zum Sternum erstreckt, Rippen und Interkostalmuskeln umzieht und unten auf die obere Zwerchfellfläche übergeht. Vor der Wirbelsäule und hinter dem Brustbein geht dieses Bindegewebe kontinuierlich in das Mediastinum (s. u.) über, nach obenwärts in das Bindegewebe des Eingeweide- und Gefäßstranges des Halses.

### Anwendung.

Die größere Enge der Interkostalräume an der Dorsalseite erklärt es, daß Stich- oder Schußverletzungen hinten leichter mit Rippenverletzungen verbunden sind als vorn.

Infolge der Elastizität des Brustkorbes können Herz, Lungen und Leber nach starken Querschnitten der Brust einreißen *ohne gleichzeitige Frakturen am Brustkorb*. Solche treten natürlich



Fig. 189. Vordere Brustwand von innen gesehen. Die Pleura ist weggenommen.  
 Fig. 190. Schema der segmentalen Arterien und Nerven der Brustwand.

auf den weichen Thorax. Die Folgen sind keilförmiges Vorspringen des Brustbeins, seitliche Einsenkung des Thorax, Verbiegung der untersten Rippen nach außen, Hervortreten der stark verdickten Rippenknorpel. Kyphose und Lordose wirken auf den Thorax ein, erstere indem sie den Thorax in Inspirationsstellung zwingt, letztere indem sie die Rippen kompensatorisch entgegengesetzt der Wirbelsäule verdreht. Bei Linksskoliose verlagern die rechten Rippen ihren Winkel weiter zurück und biegen stärker. So entsteht der *Buckel* der Skoliotiker, der also nicht von der Wirbelsäule sondern von den Rippen herrührt. Zu gedenken ist der Mißgestaltung, die der Thorax durch intensive Schnüren



Fig. 188. Phocomelos mit angeborener Trichterbrust und Defekt des M. pectoralis major. Photographie von Prof. Rieger. Aus Schurig, Morphol. Jahrbuch 1921.

führt (Schädigung der oberen Baucheingeweide). Winkeländerungen in der Manubrium-Korpusgrenze des Brustbeins bei Atmung sind nur scheinbar vorhanden, sich vielmehr das Brustbein in seiner Gesamtheit so dreht, daß das Manubrium während der Inspiration nach rückwärts, der Korpus nach vorn tritt (R. Fick). Stärkere Vorspringen dieser Verbindung ist wie eine Alterserscheinung, noch Symptom Erkrankungen der Atmungsorgane, bei vielmehr auf individuell verschieden stark Knochenproduktion neben der Fuge nach erfolgter Verwachsung in ihr. Die Verwachsung bleibt aber meist, selbst höherem Alter aus.

#### 4. Konstitutionelle Verschiedenheiten

Der angeborene primäre Thorax phthisis ist Teilerscheinung einer besonderen Skelettschaffenheit, die als „Infantilismus“ aufgefaßt wird (mangelhafte Neigung des Beckens zum Krümmen der Wirbelsäule, Zunahme der Höhe der Wirbelkörper). Infolgedessen starke Senkung der Rippen, breite Interkostalräume. Hier häufig verbunden die Aperturstenose (s. S. 139) (Freund, Hart und Harras). Thorax paralyticus ist durch extrathoraxale wirkende Ursachen entstehender Thorax phthisicus. Hierbei ist vielfach die 10. Rippe bereits eine „Costa fluctuans“. Frühzeitige Erstarrung der Ringknorpel durch Verkalkung oder Verknöcherung halten den Thorax zwangsmäßig in inspiratorischer Stellung („starr dilatierter Thorax“). Er findet sich vielfach als Ausgang für das Emphysem

pulmonis, wie man überhaupt gelernt hat, die erwähnten Formen des Thorax als Zustände zu betrachten, die zur Entstehung gewisser Lungenkrankheiten disponieren (konstitutionelle Disposition), nicht wie lange Zeit geschehen war, als Folgen der Veränderungen des Thoraxinhaltes.

Der Thorax bietet nach Alter und Geschlecht bemerkenswerte Verschiedenheiten. Der Thorax des Fötus neigt wie der der Säugetiere mehr zur stärkeren Entwicklung des sternovertebralen Durchmessers. Beim Neugeborenen ist der Transversaldurchmesser (9,8 cm) und Sagittaldurchmesser (8,7 cm) nahezu gleich groß; der Thorax ist also nahezu zylindrisch. Bis zum Pubertätsalter nimmt der transversale Durchmesser mehr und mehr zu, aber der Thorax bleibt dabei oben und unten in seinen Dimen-

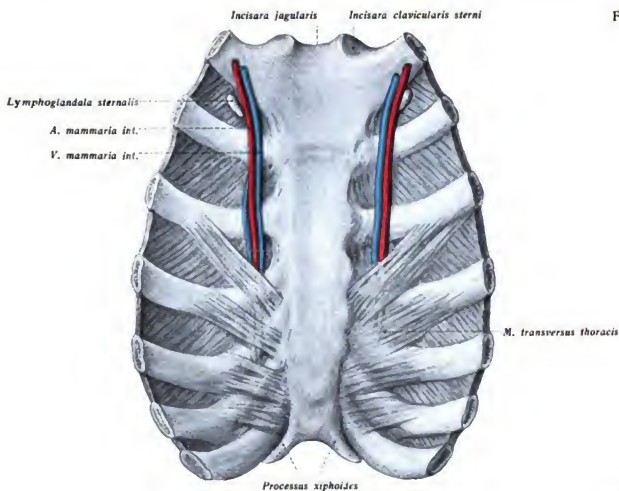


Fig. 189.

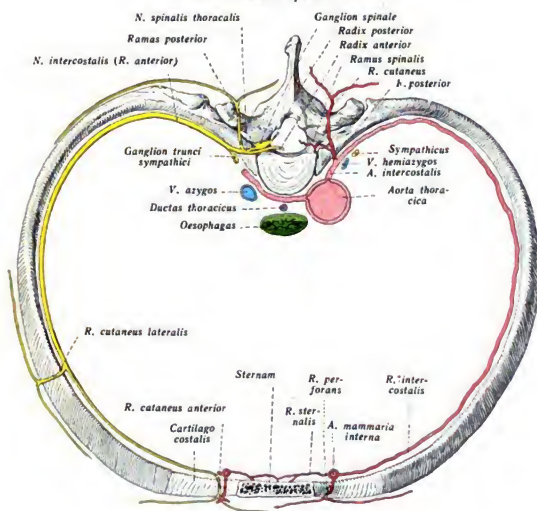


Fig. 190.

Fig. 191.

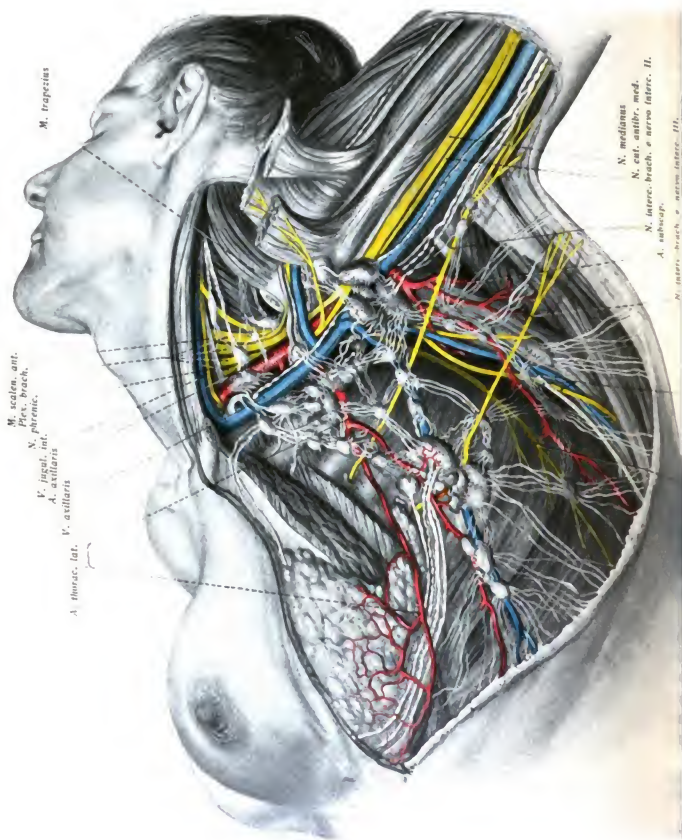


Fig. 191. Linke Achselhöhle einer weiblichen Leiche mit dem Situs der axillaren Lymphknoten. Eingetragen sind stichliche in 24 Einzelpräparationen nachgewiesene Lymphknoten nebst ihren Verbindungen (Quecksilberinjektion). Aus Mm. pectoralis major und minor sind die mittleren Stücke exstirpiert, ihre Insertionen emporgeschlagen. Die Klavikula durchgesägt, ein Stück entfernt.

nahezu gleich. Beim weiblichen Thorax bleibt dies Verhältnis bestehen, während beim Manne von da der Thoraxumfang nach unten sehr stark zunimmt. Der vom Schultergürtel befreite männliche Thorax ist kegelförmig nach abwärts ausgedehnt; der weibliche ist oben und unten nahezu gleich stark. Bei der Bestimmung des Brustumfanges tritt dieses Verhältnis nicht zutage, da wir den Thorax über dem Brustumfange von der Gliedmaßenmuskulatur messen. Diese läßt „die Brust“ oben breiter erscheinen als unten, da die Muskulatur beim Manne sehr viel kräftiger ist als bei der Frau, so nimmt der Brustumfang beim Manne gemessen, von oben nach unten stark ab, während er bei der Frau nur geringe Unterschiede zeigt.

Normal(Durchschnitts-)zahlen dafür sind etwa:

	Männer	Frauen
Brustumfang gemessen in der Atempause durch die höchsten, erreichbaren Punkte der Achselhöhlen . . . . .	89.5	81.9
Desgl. durch die Brustwarzen	86.5	81.0
Desgl. durch das Ende des Brustbeinkörpers . . . .	81.9	78.0
Gesamtabnahme . . . . .	7.6	3.9

## II. Die Brustwand.

In der *Sternalgegend* findet man unter der relativ wenig verschieblichen, beim Manne stark behaarten Haut ein spärliches fettarmes Bindegewebe. Eine stärkere Faszie bildet ebenso, wie auf dem M. pectoralis major. Dieser nähert sich mit seinen Ursprüngen so mehr der Mittellinie, je stärker er entwickelt ist. Indem die Haut fester mit dem Perikardium verwachsen ist, entsteht zwischen den beiden Mm. pectorales die proportional der Stärke des Muskels ausgebildete vordere Medianfurche.

Das von der fibrösen Membrana sterni — der Ausstrahlung der Kapseln der Sternosternalgelenke in das Periost — bedeckte *Sternum* ist durch die geringe Entwicklung seiner kompakten Rinde und das Überwiegen der spongiösen Substanz ausgezeichnet. Deshalb ist das Sternum relativ leicht durch von innen andrängende Geschwülste oder Aortenaneurysmen zum Schwund gebracht. Durch die im Corpus sterni vorkommenden auf Entwicklungsstörungen beruhenden *Löcher* (s. Fig. 186) verschiedener Größe können Abszesse des Mediastinalraumes durchbrechen.

Praktische Wichtigkeit kann der gar nicht so seltene Mangel des M. pectoralis major ergeben (Fig. 187, 188), der einseitig oder doppelseitig, partiell oder total sein kann. Der Plexus brachialis und die A. axillaris liegen dann in der Axilla ungeschützt und werden durch Druck von Tragriemen leicht gereizt. Symptomatisch ist neben dem Mangel der vorderen Achselfalte und der Abflachung der Brustwand vor allem, daß beim Heben und Senken der Schulter die Brustwarze still steht, während sie normalerweise mit dem M. pectoralis mitgeht, weil die Hinterfläche der Brustdrüse mit der Faszie des Muskels verlötet ist. Auch auf das häufige Vorkommen eines M. sternalis, der oft schon außen sichtbar sein kann, ist aufmerksam zu machen. —

Die wichtigste Arterie dieser Gegend, die *Arteria mamma interna* (s. Fig. 189 u. 204), verläuft abgesehen von kleinen Ästen (Aa. mediastinales anteriores, Aa. thymicae) und



der auf dem Herzbeutel mit dem Nervus phrenicus verlaufenden Art. pericardiacophrenica nur in der Brustwand (und Bauchwand) aus. Sie entsteht als erster Ast aus der Art. subclavia, läuft mit dem N. phrenicus über die Lungenspitze und Pleurakuppel, kreuzt das Sternoklavikulargelenk und zieht 1 cm vom Sternalrand entfernt, an der Innenfläche der Brustwand bis in den 6. Interkostalraum, wo sie in ihre Endäste, die A. musculophrenica und die A. epigastrica superior (zur Anastomose mit der A. epig. inf. aus der A. iliaca externa), zerfällt. Ihre wichtigsten Äste sind die Rami intercostales (zur Anastomose mit den Aa. intercostales aus der Aorta) und die zur Zeit der Laktation bei dem Weibe besonders starken Rami mammarii perforantes, welche zwischen den Rippenknorpeln nach vorn verlaufen (s. Schema Fig. 190). Nach innen ist die Arterie oben nur von der Pleura, in der Mitte ihres Verlaufes auch von den Zacken des M. transversus thoracis bedeckt (s. Fig. 202); an ihrer medialen Seite liegt die oben meist einfache Vene. Weiter abwärts liegen die doppelten Venen zu beiden Seiten der Arterie.

Die Ligatur der A. mammaria interna (am besten im 2. Interkostalraum) erfordert Durchschneidung der Haut, der Fascie, des M. pectoralis major, Lig. intercostale externum, M. intercostalis internus. Da in den oberen Interkostalräumen hinter der Arterie nur die Pleura, in den unteren aber außerdem noch der M. triangularis sterni liegt, so können Verletzungen der Arterie in den oberen Interkostalräumen leichter zu Bluterguss in die Pleurahöhle (Haematothorax) führen, als in den unteren. Das Zustandekommen eines Ergusses nach Verletzungen dieser Gegend muß, wie die tiefe Lage der Arterie lehrt, immer erwogen werden, auch wenn die Blutung äußerlich nur gering ist. Wenn auch bei der geschützten Lage der Arterie ihre Verletzungen nicht sehr häufig sind, sind doch tödtliche Blutungen beobachtet worden, die nicht rechtzeitig erkannt worden sind. An der linken Seite kann neben dem Sternalrand in der Höhe der 4. bis 6. Rippe eine Verletzung der Arterie zu Blutung in den Herzbeutel führen, da in diesem Bereich nicht mehr die Pleura, sondern das Perikardium sich von innen her der Arterie auflagert.

Am oberen Sternalende ist die Lagebeziehung der Articulatio sternoclavicularis zu den großen Gefäßen und dem Inhalt der oberen Brustapertur (Fig. 83, 204) besonders mit Rücksicht auf die Luxation der Klavikula nach hinten (Lux. retrosternalis) zu beachten. Bei dieser können infolge des Druckes des sternalen Endes der Klavikula auf die hinter ihr gelegenen Teile (A. und V. subclavia, A. carotis communis, Vena jugularis, Trachea, Oesophagus) Gefäßkompressionen und Atem- und Schlingbeschwerden entstehen.

Die seitliche Brustwand. Die Brustdrüse des Weibes — die des Mannes hat kaum praktisches Interesse — liegt auf dem Musc. pectoralis major und zum Teil noch auf dem M. serratus ant., von diesen Muskeln durch die Fascia superficialis getrennt, in der Höhe der dritten bis siebenten Rippe und besitzt 15–20 baumförmig verzweigte und nach der Brustwarze hin konvergierende Ausführungsgänge.

Der im Wochenbett stets anschwellende, zu Gefühlen der Spannung in der Achselhöhle Anlaß gebende Achsellappen ist eine normale Bildung. Es ist ein dem Randgebiet der Brustdrüse angehöriges Lappen, der sich von Fettgewebe umhüllt, hakenförmig um den Rand des M. pector. major herumschlingt und oft bis zu den mittleren Lymphknoten reicht (Fig. 191).

Die Arterien der Brustdrüse (Rami mammarii) sind auf der Höhe der Laktationsperiode am stärksten entwickelt. Sie stammen aus zwei Quellen: 1. Aus den Rami perforantes der A. mam. interna im Bereich der oberen fünf, besonders aber des zweiten und dritten Interkostalraumes; 2. aus der A. thoracica lateralis s. longa von der Axillaris (Fig. 191). Die ersten versorgen die Drüse von der medialen und hinteren, die zweite von der lateralen Seite her. Die Venen sind tiefe mit den Arterien verlaufende und subkutan verlaufende ein weites Maschenwerk bilden und nicht selten bei der Frau durch die Haut hindurchschimmern. Sie bilden um die Warze den Plexus venosus mamillae (Circulus venosus)



s Halleri) und münden nach oben in die Vena jugularis externa, ferner in die Vena thoracica lateralis, die Venae thoracicoepigastricae und die V. mammaria interna.

Die tiefen Nerven der Drüse folgen den größeren Milchgängen und sind viel spärlicher als die Hautnerven. Diese stammen, teils noch von oben kommend, aus den Nervi praclaviculares des Plexus cervicalis, vor allem aber aus den von der lateralen und medialen Seite herantretenden Rami cutanei laterales und anteriores des zweiten bis sechsten Interkostalnerven.

### Anwendung.

Die Lymphgefäße der Mamma sind stark entwickelt und bilden oberflächliche und tiefe Netze. Ein kleiner Teil der Lymphe fließt medialwärts zu den innen neben dem Sternum gelegenen Lymphoglandulae sternales ab. Der Hauptabfluß der Lymphe findet durch einige Stämmchen zu den Lymphknoten der Achselhöhle statt. Diese erkranken nicht nur bei Erkrankungen der Mamma der gleichen Seite, weshalb man sie zugleich mit der Mamma exstirpiert, sondern in selteneren Fällen auch bei solchen der entgegengesetzten Seite, da die Lymphgefäße beider Mammæ über die Mittellinie hinweg miteinander anastomosieren. Auch zu den unter dem M. pect. major und minor bis herauf unter die Klavikula hin erstreckenden Lymphoglandulae pectorales, infraclaviculares und zu den Lymphoglandulae supraclaviculares bestehen direkte Verbindungen. Es sind endlich auch Abflußwege beobachtet worden, die durch die Interkostalräume hindurch zu den mediastinalen Lymphknoten führen. Die genannten reichlichen Verbindungen der Lymphbahnen der Brustdrüse erklären die Notwendigkeit ausgiebiger Entfernung der Lymphknoten bei Operationen an der erkrankten Mamma, speziell des Karzinoms. Der gewöhnlich zuerst (karzinomatös) erkrankende Lymphknoten liegt unter dem Rand des M. pectoralis major auf der 3. Zacke des M. serratus anterior. Die Verbindung des lateralen Hautastes des 2. (und manchmal auch des 3.) Interkostalnerven (N. intercostobrachialis) mit dem Nervus cutaneus brachii medialis erklärt die bei Erkrankungen der Mamma (Geschwülsten, Neuralgie der Mamma) gelegentlich bis in den Ellenbogengegend oder noch weiter ausstrahlenden Schmerzen. Bei der Exstirpation der kranken Mamma und der sich anschließenden Ausräumung der Achselhöhle sind besonders zu berücksichtigen: der N. V. axillaris, A. thoracica longa, A. subscapularis mit A. thoracodorsalis, Nerv. thoracodorsalis und der Nervus thoracalis lateralis s. longus. Die hier gegebene Abbildung (Fig. 191) der axillären Lymphknoten ist nach Injektionen kombiniert hergestellt worden. Sie enthält sämtliche in 24 verschiedenen Fällen beobachtete Lymphknoten. Im einzelnen Falle brauchen sie nicht sämtlich da zu sein. Der Lymphstrom in der Achselhöhle verläuft in zwei Richtungen; einmal von der Brustdrüse her zu den eigentlichen Glandulae mammae, sodann von der oberen Extremität zu den Glandulae brachiales. Die Lymphströme vereinigen sich in den Glandulae infraclaviculares. Diese werden aber auch von der Brustdrüse und vom Arm her (mit der V. cephalica) direkt durch die Mohrenheimische Grube erreicht. Von da geht die Lymphe weiter über und unter dem Gefäßstrang und unter dem Schlüsselbein zu den supraclaviculären Lymphknoten. Da Lymphbahnen normal durch den M. pectoralis major dringen und hinter der Brustdrüse liegende Lymphknoten neben der A. thoracalis suprema erreichen, so ist die totale Exstirpation der Sternalportion des Muskels stets mit der Amputation mammae verbunden; die durch die Thoraxwand zu mediastinalen Lymphknoten ziehenden Gefäße lehren, daß eine totale Ausräumung aller metastatischen Geschwülste undurchführbar ist. — Bei der Ausräumung der Achselhöhle sind die motorischen Nerven gefährdet, deren Resektion unter Umständen notwendig wird. Durchtrennung des N. thoracalis longus führt zu Serratuslähmung. Da dieser Nerv dem M. serratus eng liegt, ist er weniger bedroht. Mehr schon der N. thoracodorsalis, der den M. latissimus dorsi und M. serratus major versorgt. Der M. latissimus rollt den Arm einwärts und adduziert ihn. (Bewegung beim Anheben der Schürzenbänder, „Schürzenknotenerv“.) Vielfach ist diese Bewegung den operierten Frauen unmöglich. Unterbindung der Venae axillares führt zu einem sich später ausgleichenden Stauungsödem des Armes.

Die Außenfläche der seitlichen Brustwand wird vorwiegend von den Ästen der A. axillaris versorgt (s. Fig. 362). Es kommen in Betracht:

1. Die A. thoracicoacromialis. Sie liegt unter der Fossa infraclavicularis, wo sie mit reichlichen Verzweigungen bei der Unterbindung der A. axillaris („A. subclavia unter-

Fig. 192. Situs intercostalis dexter. In dem oberen der drei dargestellten Interkostalräume ist noch die Pleura stehen geblieben; in dem zweiten ist sie entfernt; in dem dritten ist außer der Pleura auch der M. intercostalis internus fortgenommen.

Fig. 193. Schema der Schichten der Brustwand.

Fig. 194. Verlauf der Intercostalnerven nach Jäger (Ztschr. f. angew. Anat. 1910).

halb der Klavikula“, wie die Chirurgen zu sagen pflegen) angetroffen wird. Sie entsteht am oberen Rand des M. pectoralis minor und zerfällt gleich in eine Anzahl von Ästen. Rami pectorales verästeln sich an den Brustmuskeln; entspringt ein solcher Ast höher oben aus der A. axillaris — ein seltener Fall — so nennt man diesen A. *thoracica suprema*. Ein Ramus acromialis verläuft quer nach außen und endet nach Durchbohrung des M. deltoideus im Rete acromiale: ein Ramus deltoideus begleitet die Vena cephalica im Sulcus deltoideopectoralis eine Strecke weit nach abwärts.

2. Die A. *thoracalis lateralis* (A. th. longa) entsteht aus der A. axillaris unter dem M. pectoralis minor, unter dessen lateralem Rande sie hervortritt, um etwas dorsal von dem Rand des M. pectoralis major auf dem M. serratus anterior, den sie versorgt, herabzulaufen bis in den fünften oder sechsten Interkostalraum. Sie ist von wechselnder Stärke und fehlt nicht selten. Sie wird dann durch Äste der Artt. thoraco-acromialis und thoraco-dorsalis ersetzt. Ihrer Rami mammarii wurde oben gedacht. Der Nervus thoracalis lateralis (s. longus) für den M. serratus anterior läuft *nicht* mit dieser gleichnamigen Arterie, sondern weiter dorsal, gedeckt vom M. latissimus dorsi.

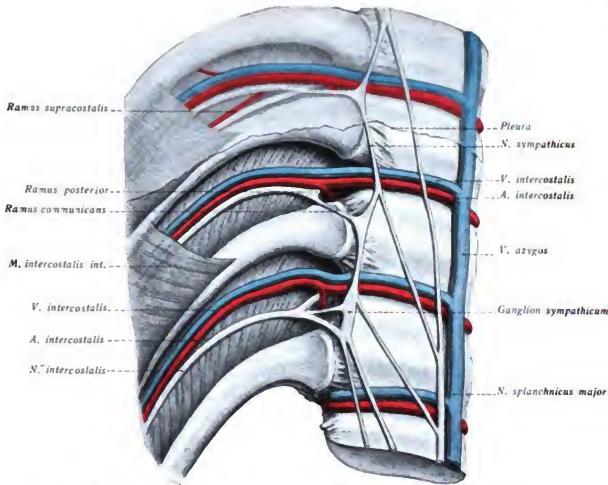
3. Die A. *subscapularis*, der stärkste Ast der A. axillaris, entsteht aus dieser lateral von der vorigen am Margo axillaris der Skapula. Sie ist bedeckt von dem M. latissimus dorsi und kommt bei Operationen in der Achselhöhle demnach erst in Gefahr, wenn man unter den Rand dieses Muskels eingedrungen ist. Von ihren beiden Teilästen läuft der eine, die A. *thoracicodorsalis*, in der Richtung des Hauptstammes weiter, um, als *stärkste* Arterie der seitlichen Brustwand, zwischen M. serratus anterior und M. latissimus dorsi (und M. teres major) diese Muskeln zu versorgen. Der andere Teilast, die A. *circumflexa scapulae*, gelangt um den Margo axillaris der Skapula nach hinten durch die mediale Achsellücke (s. S. 283) auf die dorsale Fläche der Skapula.

Die an der *Innenfläche* der Brustwand verlaufenden Arterien heißen Interkostalarterien. Es kommen drei Bezugsquellen in Betracht:

1. Aus dem *Truncus costocervicalis* der A. subclavia (s. S. 117 und Fig. 203) stammt die kleine, ventral von dem Hals der beiden ersten Rippen unter der Pleura herabsteigende A. intercostalis suprema; sie versorgt die beiden oberen Interkostalräume.

2. Die Aorta *thoracica* entsendet die neun *Rami intercostales* für den dritten bis elften Interkostalraum und einen zehnten Ast für den unteren Rand der zwölften Rippe. Die Rami intercostales bilden die direkte Fortsetzung der Aa. intercostales. Diese entspringen aus der dorsalen Fläche der Aorta thoracica; die *rechten, längeren* Arterien — die Aorta liegt ja *links* an der Wirbelsäule — laufen dorsal von dem Oesophagus, der Vena azygos und dem rechten sympathischen Grenzstrang über die Wirbelkörper nach rechts (Fig. 190); die *kürzeren linken* liegen dorsal von der Vena hemiazygos und dem linken Sympathikus. Die Arterien senden am Rippenhals einen Ramus posterior nach hinten, der sich in einen durch das Foramen intervertebrale zum Rückenmark ziehenden Ramus spinalis und in Rami musculares und cutanei teilt. Die Fortsetzung der Arterie oder der Ramus anterior, *gewöhnlich einfach Interkostalarterie genannt*, läuft am unteren Rand der Rippe in dem Sulcus costalis, anfangs nur von der Pleura bedeckt, dann zwischen der

Fig. 192.



193.

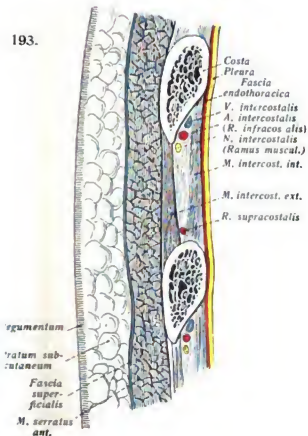


Fig. 194.

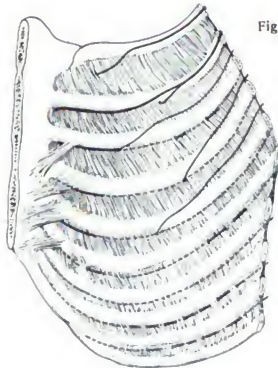


Fig. 195.

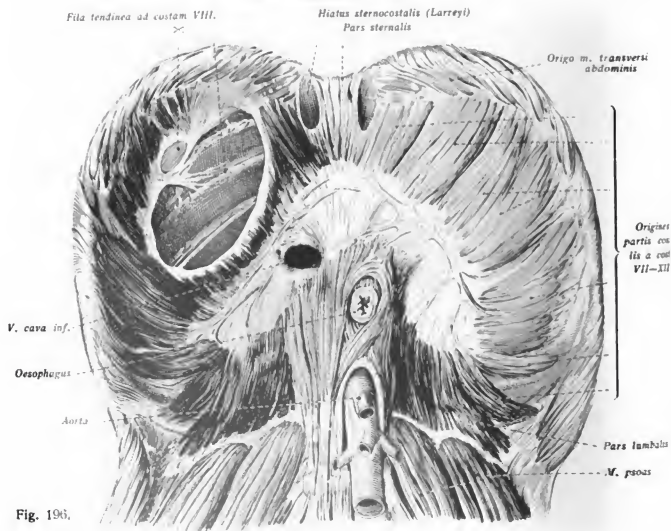


Fig. 196.

Fig. 195. Zwerchfell und untere Hälfte des Herzbeutels von oben gesehen. Formalinpräparat (Kind).

Fig. 196. Zwerchfell mit angeborenem Defekt in der rechten Pars costalis. Bei  $\times$  kleinerer Defekt, schnig umrandet.

. *intercostalis internus* und *externus* ventralwärts, sendet einen schwächeren Ast zum oberen Rand der nächstunteren Rippe, gibt nach außen durchtretende *Rami cutanei* (mit *Rami ummarii* s. S. 148) ab und anastomosiert mit den aus der *A. mamma interna* kommenden *Rami intercostales*. Die Interkostalarterien liegen zwischen den nach oben (kopfrwärts) angelagerten Venen und den nach unten folgenden Interkostalnerven (s. Fig. 192).

Nicht selten ist das Vorkommen einer quer über die Innenfläche der Rippen und der Interkostalmuskeln verlaufenden, aus der *A. mamm. interna* nahe an ihrem Ursprung hervorgehenden *A. mamma lateralis* (s. Fig. 203). Sie kann bis zum Diaphragma herauf laufen.

3. Die oben genannten *Rami intercostales* der *A. mamma interna* anastomosieren, ventralwärts längs der Rippenränder laufend, mit den *Rami intercostales* aus der Aorta (Fig. 190). Sie laufen in den oberen sechs Interkostalräumen; die unteren Räume werden von der *A. musculophrenica* mit entsprechenden Ästen versorgt.

Die *Venen* der *Brustwand* sind teils solche, die die Arterien begleiten — z. B. *intercostales* (s. Fig. 192, 193) — und gleichbenannt sind, teils Hautvenen. Die Interkostalvenen münden rechts in die *V. azygos*, links in die *V. hemiazygos* und durch diese Venen die *V. cava superior*. Sie anastomosieren vorn mit den *Vv. mammae internae*. Besondere Ästvenen im Bereich der oberen Interkostalräume sind die *Venae costoaxillares*, welche hauptsächlich Abflußbahnen der Interkostalvenen nach der Achselvene darstellen. Von Bedeutung sind auch die *Venae thoracoepigastricae*, unter denen die *Vena thoracoepigastrica umentosa longa* zu nennen ist, die eine in der vorderen Axillarlinie verlaufende subcutane Verbindung der *Vena femoralis* und der *Vena axillaris* herstellt.

Die *sensiblen Nerven* der *Brustwand* stammen im Bereich des Rückens neben der Mittellinie aus den *dorsalen Ästen* der Thorakalnerven; im übrigen aus den Interkostalnerven, abgesehen von der Infraklavikulargegend, deren Haut noch von den aus dem *Plexus cervicalis* stammenden *Nn. supraclaviculares* versorgt wird. Die *Nn. intercostales* (s. Figg. 191, 192) sind die *ventralen Äste* der *Nn. spinales thoracales* (oben Seite 7). Hinten neben der Wirbelsäule verlaufen die Interkostalnerven, *außers von der Pleurahöhle nur durch die Pleura getrennt*, an der Innenfläche des *M. intercostalis externus*. Am *Angulus costae*, wo der *M. intercostalis internus* mit freiem Ende beginnt, tritt der hauptsächlich *sensible* Teil in die Substanz des *M. intercostalis internus* ein (*Jäger*), der die *Muskeln* versorgende Ast tritt zwischen beide Interkostalmuskeln. Er liegt hier neben der Arterie und der Vene am weitesten kaudal. Der innen liegende hauptsächlich *sensible* Teil durchbohrt neben dem Sternum, wo er vor die Zacken des *M. transversus thoracis* tritt, die Interkostalmuskeln. Die Endäste treten als *Rami cutanei anteriores* zwischen den Rippenknorpeln hindurch zur Haut der Sternalgegend. In der seitlichen Brustgegend senden die sensiblen Äste die *Rami cutanei laterales* zur Haut, zwischen den Zacken des *M. serratus anterior* hindurchtreten und sich in einen vorderen und hinteren Ast teilen. Die hinteren Äste des 1., 2. und 3. *Ramus cut. lateralis* erreichen als *Plexus intercosto-brachialis* die Haut des Armes. (s. später obere Extremität S. 362 und *Anwendungen* S. 149).

Die *motorischen Nerven* der *Brustwand* sind, abgesehen von den die Interkostal-

muskeln versorgenden *Interkostalnerven* und den Ästen zu den langen Rückenmuskeln Äste aus dem *Plexus brachialis*. In diesen Plexus tritt auch fast der ganze Ast des *ersten* Brustnerven. Über den auf dem *M. serratus anterior* fest aufgelagerten *N. thoracalis lateralis* aus dem *Plexus brachialis* und den mit der *A. thoracodorsalis* verlaufenden *A. thoracodorsalis* (für den *M. latissimus dorsi*) vgl. S. 282 u. Fig. 362. Die Äste für den *M. pectoralis major, minor* und den *M. subclavius* findet man in der *Fossa infraclavicular* gelegentlich der Unterbindung der *Arteria axillaris* (s. S. 282 und Fig. 361).

Die hintere Brustwand erhält außer durch die zwölf Rippen weiterhin noch ihre knöchernen Stütze durch die zwölf das Dorsalmark umschließenden Brustwirbel. Ihre Körper springen stark nach innen vor, so daß zu beiden Seiten der Brustwirbelsäule innen die tief zur Aufnahme der hinteren, stumpfen Lungenränder bestimmten *Sulci pulmonales* zustande kommen (vgl. Fig. 190). Außen lagern sich in die von den Dornfortsätzen der Wirbel bis zu den Anguli costarum reichenden *Sulci dorsales* des Brustkorbes die langen Rückenmuskeln als kräftige Ausfüllungsmasse. Die Arterien dieser Gegend sind die *Rami dorsales* der *Interkostalarterien*, die Nerven die *Rami dorsales (posteriores)* der *Nervi thoracales*, deren *Rami ventrales (anteriores)* die *Interkostalnerven* sind.

### Anwendungen.

Die *Ligatur der Interkostalarterien* (auf der Rückseite des Thorax) erfolgt am unteren Rippenrand nach Spaltung des *M. intercostalis externus*, der nach unten verschoben wird. Die Arterie liegt also kopfwärts von dem *N. intercostalis*.

Die innige Anlagerung der *Aa. intercostales* an den *Sulcus costalis* der Rippen, der der Arterie einen knöchernen Schutz nach außen bietet, erklärt: 1. Warum bei Punktion pleuritischer Exsudate die Einstich am oberen Rande einer Rippe vorgenommen werden soll; zweckmäßigerweise nicht sternwärts von der vorderen Axillarlinie, da hier die Anastomosen mit den vorderen *Interkostalarterien* gewöhnlich inmitten des *Interkostalraumes*, ohne Schutz durch die Rippen, liegen. 2. Daß Verletzungen der *Interkostalarterien* ohne gleichzeitige Verletzung der Rippen zu den Seltenheiten gehören. 3. Daß bei Resektion eines Rippenstückes die Arterie sorgfältig vermieden werden soll, was durch Herausheben des Rippenstückes aus dem *Periost*, (besondere Vorsicht am unteren Rand der Rippe), erreicht wird (*subperiostale Resektion*). 4. Daß man bei Eröffnungen der *Pleurahöhlen* den Rand der Rippe zu vermeiden und in der Mitte des *Interkostalraumes* einzudringen hat. 5. Daß bei *Rippenfrakturen* gelegentlich die Arterien zerreißen; in seltenen Fällen ist es unter gleichzeitigem Zerreißen des *M. intercost. internus* und der *Pleura* zu tödlichem Bluterguß in die *Pleura* (*Haemathorax*) gekommen. 6. Daß man beim Aufsuchen der *Interkostalarterien* von außen her ein *Rippenstück resezier*en muß. Obgleich es sich auch das aus der Lage der *Interkostalgefäße* und Nerven, daß man zur Eröffnung der *Pleurahöhle* nach *Rippenresektion* sehr zweckmäßig das zurückgelassene *Periost* der Rippe und darunter gelegene *Pleura* in der Mitte der Länge nach spaltet, da hier keine Blutung zu befürchten ist.

Durch die reichliche *Anastomosenbildung* der vorderen und der hinteren *Interkostalarterien* wird es möglich, daß bei Kompression oder Stenose der *Brustaorta* (z. B. durch Geschwülste) das Blut in der Innenfläche der vorderen Brustwand aus unter Erweiterung der *A. mam. int.* und jener *Anastomose* längs der Rippe in das unterhalb der Kompressionsstelle der *Aorta* gelegene *Gefäßgebiet* gelangt.

Die Lage der *Interkostalnerven* wird in den Lehrbüchern und Atlanten der menschlichen Anatomie mit ganz wenigen Ausnahmen nicht zutreffend geschildert. Das, was zwischen den *Interkostalmuskeln* liegt, ist der motorische Ast. Der Hauptteil des Nerven läuft in den beiden ersten *Interkostalnerven* stets in ganzer Ausdehnung *subpleural (Gegenbaur)*, der erste schieft aufwärts immer über den Hals der ersten Rippe zum *Plexus brachialis* (Fig. 203). Die folgenden liegen entweder *subpleural* oder partiell oder völlig in der Substanz des inneren *Interkostalmuskels* (*Bolk, Forster, Mysberg, Jäger*). Diese Lage ist beim Aufsuchen von außen her (*Resektionen* bei *Interkostalneuralgie* zu beachten). Die nahe Beziehung der Nerven zur *Pleura* kann bei Entzündungen dieser sensiblen Haut zu Reizungen der Nerven führen. Der erste Nerv kann durch Tumoren komprimiert

naß zu starken Schmerzen im Arm geben. Rippenfrakturen können mit Interkostalneuralgien einhergehen. Die Unterbrechung der Nervenleitung (Lokalanästhesie) ist neben der Wirbelsäule leicht möglich (paravertebrale Leitungsanästhesie). Die Nadel wird 3—4 cm neben der Mittellinie unter den Querfortsätzen hindurchgeführt (Braun). Das Ergebnis ist völlige Unempfindlichkeit des Segments. Da die „Interkostalnerven nach vorn vom Rippenbogen die *Bauchhaut* versorgen und sich das Gebiet des 12. Interkostalnerven bis eine Hand breit über der Symphyse hinüberstreckt, so ist es verständlich, daß zu Operationen in der Unterbauchgegend (Herniotomie) die Unterbrechung schon im Bereich der Thorakalnerven erfolgen muß.

**Die untere Wand des Brustraumes.** Das Zwerchfell (Diaphragma) bildet in Form einer muskulösen, kuppelförmigen Scheidewand die untere Wand des Brustraumes. Der rechte Teil der Kuppel, welcher die Leber deckt, wölbt sich *nach oben stärker vor*, als der linke (Figg. 195, 210, 211, 219, 233). Das Centrum tendineum ist flach — Herzboden — und nimmt am wenigsten an den Atembewegungen teil. Am muskulösen Teil sind die drei Portionen: Pars lumbalis, P. costalis und P. sternalis zu unterscheiden (Fig. 196). Vom Brustraum die Bauchhöhle treten (Fig. 271) durch das Zwerchfell nach abwärts: Die Aorta desc. (Fig. 196) durch den *Hiatus aorticus*, der Oesophagus mit den Nn. vagi durch den *Hiatus oesophageus* und Nn. splanchnici aus dem Sympathikus zwischen Crus mediale und Crus intermedium der Pars lumbalis, der Grenzstrang des Sympathicus zwischen Crus intermedium und laterale der Pars lumbalis, die A. epigastrica sup. aus der A. mam. int. zwischen P. sternalis und P. costalis (durch die sog. Larreysche Spalte). Von der Bauchhöhle in den Brustraum treten hindurch: die Vena cava inferior durch das Foramen venae cavae im rechten Teil des Centrum tendineum (begleitet von dem R. phrenicoabdominalis n. phrenici lateralis); die V. azygos (rechts) und die V. hemiazygos (links) durch die Pars lumbalis mit den Nn. splanchnici; der Ductus thoracicus durch den Hiatus aorticus; die Vv. epigastricae superiores durch die Larreysche Spalte.

Die Arterien des Zwerchfells sind: *Oben*: A. pericardiophrenica, mit dem N. phrenicus verlaufend, A. musculophrenica, der eine der beiden Endäste der A. mam. int. *Unten*: A. phrenicae inferiores, aus der Aorta im Hiatus aorticus entstehend.

Die Nerven sind: Die Nervi phrenici aus dem Plexus cervicalis (s. Hals S. 315 und laterales Mediastinum S. 166).

Die obere Fläche des Zwerchfells ist beiderseits mit dem zugehörigen Pleurasack Pleura diaphragmatica —, in der Mitte mit dem Herzbeutel verwachsen. Die Verwachsungsfläche mit dem Herzbeutel im Bereich des Centrum tendineum greift aber links nicht auf die Pars carnosa des Zwerchfells über (s. Fig. 195). Die linke Pleura diaphragmatica besitzt demgemäß (in Übereinstimmung mit dem geringeren Volumen der linken Lunge) eine geringere Ausdehnung, als die rechte.

### Anwendungen.

Die feste Fixation der Vena cava inf. in dem Foramen venae cavae bringt es mit sich, daß bei einem linksseitigem pleuritischen Erguß wegen der nach rechts verschobenen Lage des Herzens die Vene fast rechtwinklig abgelenkt werden kann. Hierdurch können Erscheinungen der Oehirnanämie entstehen. Gleichzeitig kommen natürlich venöse Stauungserscheinungen in der unteren Körperhälfte zu. Auch vergesse man nicht, daß das Zwerchfell an der Wirbelsäule viel tiefer herunter reicht als an dem Sternum, so daß z. B. von vorn durchdringende horizontale Stich- oder Schußwunden vorn in die Bauchhöhle und hinten eine Pleurahöhle eröffnen können (vgl. Fig. 199). Die direkte Auflagerung des Zwerchfells auf die Leber ermöglicht es dem Chirurgen, von der rechten Pleurahöhle aus durch das Zwerchfell hindurch an die Leber zu gelangen.

Das Zwerchfell bietet in seiner Zusammensetzung aus drei Portionen und in seinen Durchlässen große Eingeweide und Gefäße mehrere Prädispositionsstellen für den Durchtritt von Baucheingewei-

Fig. 197. Situsbild aller serösen Säcke des Körpers, Ansicht von vorn. Präparation an der mit Formalin injizierte Leiche eines Neugeborenen. Alle knöchernen und muskulösen Teile der Körperwand sind abgetragen.

den in den Brustraum. Solche Stellen sind vor allem die dreieckige Lücke zwischen Pars sternalis und Pars costalis (Larrey'sche Spalte) und die ebenfalls dreieckige, von der 12. Rippe und den Rändern der Partes costalis und lumbalis begrenzte Lücke (Bochdalek. Fig. 196.) Im Gebiet der Larrey'schen Spalte liegen normalerweise die Pleura und das Peritoneum aufeinander. Die Bochdaleksche Spalte wird von den Nennieren und oberen Polen der Nieren eingenommen. Außer diesen beiden Stellen ist das Zwerchfell auch noch locker an die Speiseröhre gefügt, so daß, besonders rechts, Spalten zwischen Zwerchfell und Wand der Speiseröhre bestehen. Dazu kommt, daß das Zwerchfell aus drei Teilen zusammenwächst und daß Störungen im normalen Ablauf der Verwachsung zu kongenitalen Defekten führen können. Das Zwerchfell entsteht aus einem vorderen unpaarigen Teil (Septum transversum) und zwei hinteren paarigen Teilen (Zwerchfellpfeiler). Der letzte Verschluss erfolgt gegen Ende des 2. Fötalmonats in der Gegend seitlich vom späteren Centrum tendineum, das zu dieser Zeit völlig muskulös ist. Dieses Urzwerchfell entspricht an Ausdehnung nur der Pars horizontalis und verliert im 3. Monat seine Muskelbündel im Bereich der Herzbeutel- und der Leberligamente, so daß hier das sehnige Centrum tendineum entsteht. Die Partes verticales entstehen erst im 3. Monat bei der Ausweitung der Pleurahöhlen durch Abspaltung von der seitlichen und vorderen Brustwand.

Durch jene normalen Spalten und durch kongenitale, auf Defekten beruhende Lücken können Eingeweide aus dem Bauchraum austreten (Herniae diaphragmaticae). Da zum Begriff der *Hernie* die Existenz eines Bruchsackes (= parietales Bauchfell) gehört, so unterscheidet man:

1. Herniae diaphragmaticae verae (mit Bruchsack) und 2. Herniae diaphragmaticae spuriae (ohne Bruchsack).

In beiden Kategorien kommen vor:

a) Herniae congenitae und b) Herniae acquisitae;

denn die oft geltend gemachte Unterscheidung, daß angeborene Zwerchfellhernien ohne Bruchsack seien, trifft nicht zu; 10 Prozent aller kongenitalen Hernien besitzen einen Bruchsack (*Keck*). Herniae spuriae werden dann eintreten können, wenn außer der Muskulatur auch die beiden serösen Blätter Pleura und Peritoneum, defekt sind. Dann gehen am Rande des Defektes die serösen Blätter und damit Bauch- und Pleurahöhle ineinander über, wie es beim Fötus und im ausgebildeten Zustande bei Fische, Amphibien, Reptilien und Vögeln der Fall ist. Unter den erworbenen *echten* Hernien werden *typischen* (Larrey'sche, Bochdaleksche und paroesophageale) Hernien von den *atypischen* traumatischen unterschieden. Die erworbenen falschen Hernien sind nur traumatischer Herkunft, da alle anderen, auch wenn sie erst später *entstehen*, doch kongenitale Defekte zum Durchtritt benützen. In der Fig. 196 ist ein Zwerchfell mit kongenitalem Defekt abgebildet. Die meisten Zwerchfellhernien liegen *links*, da *rechts* die Leber einen Verschluss auch bei Defekten bildet. Larrey'sche Hernien liegen im Mediastinum vor dem Herzbeutel. Eine übersichtliche Gruppierung der möglichen Formen von Zwerchfellhernien ist folgend:

I. Herniae diaphragmaticae verae

1. congenitae.

2. acquisitae

a) typicae	{	sternales (Larrey)
		lumbales (Bochdalek)
		parösophageale

b) traumaticae

II. Herniae diaphragmaticae spuriae

1. congenitae

2. traumaticae.

Über die Herkunft des Bruchsackes bei angeborenen Hernien bestehen Unklarheiten. *Broman* vermutet, daß es sich um das aufs Äußerste verdünnte, aber nicht defekte Zwerchfell selbst handle.

### III. Der Inhalt des Thorax.

#### 1. Allgemeines über die Topographie der serösen Säcke.

Die beim Fötus ursprünglich einheitliche Leibeshöhle (Coelom) sondert sich (Fig. 19, 198, 199) in einen kopfwärts gelegenen Teil (die *Pericardialhöhle*) und die gemeinsame



Fig. 197.

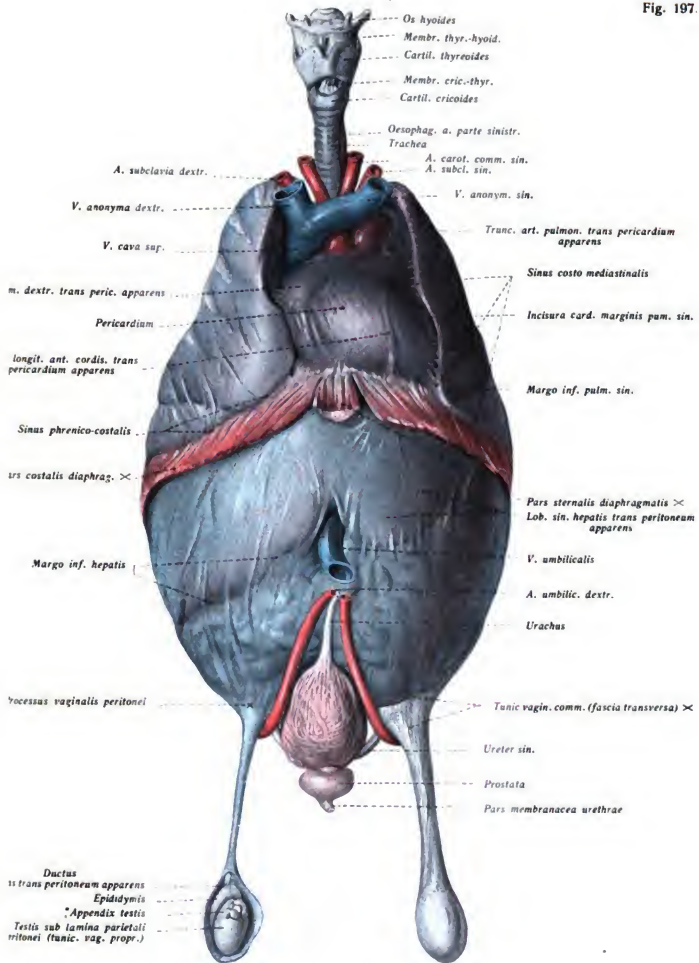


Fig. 198.

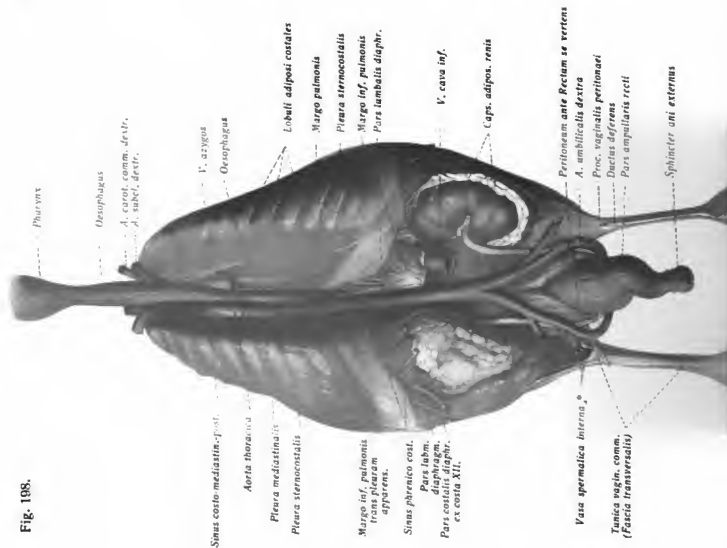


Fig. 199.

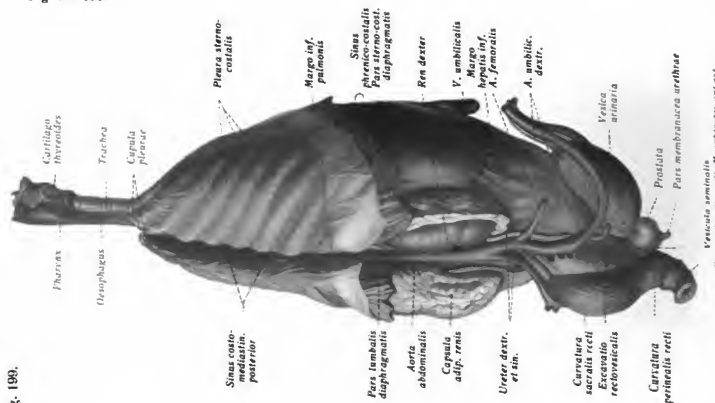


Fig. 198. Das Präparat der Fig. 197 von hinten.

Fig. 199. Dasselbe Präparat von rechts und hinten.

euoperitonealhöhle; auf diesem Zustande findet sich die Leibeshöhle bei primitiven Irbeltieren (*Fischen*). Die Herzbeutelhöhle verändert mit dem Herzen die Lage und nkt sich in den kranialen Teil der Pleuraperitonealhöhle ein, die dadurch paarig wird. auzustand bei *Reptilien* und *Vögeln*. Endlich schnüren sich die paarigen Pleurahöhlen n der Peritonealhöhle ab. Als Ausstülpungen der Peritonealhöhle entstehen die *Skrotal- hlen*. So haben wir sechs seröse Höhlen im Körper, von denen drei innerhalb des Tho- x eingeschlossen sind.

In den serösen Höhlen sind die Eingeweide enthalten, entweder eingesenkt (Lungen, ucheingeweide, Hoden) oder hindurchgeführt (Herzschlauch, *Gaupp*). Die seröse Haut tt von der Wand (parietales Blatt) auf das Eingeweide über, um dies zu überkleiden iszerales Blatt). Bei den eingesenkten Organen haben wir *eine* Umschlagstelle (Lungen- us und Lig. pulmonale, Mesogastrium, Mesenterium, Mesorchium usw.), beim Herz- lauch dagegen zwei Umschlagstellen, dort wo der Schlauch in die seröse Höhle ein- tt und dort, wo er austritt (s. unten S. 172). Die Eingeweide füllen die Höhlen in allen llen ganz aus; die „Höhle“ (Bauch-, Brust- usw.) ist nur virtuell vorhanden, ist ein pillarer Spalt zwischen den sich gegeneinander verschiebenden Oberflächen der serösen ätter.

Die seröse Haut besteht aus einer derben, aus dem Mesenchym stammenden Binde- weblage und ist von einer aus dem Mesoderm stammenden Lage einschichtigen Plat- epithels überkleidet. Sie sondert das Serum ab und ist im normalen Zustande glatt d spiegelnd. (Anfänger bezeichnen oft nur das Epithel als „seröse Haut“. Das Irrige ser Vorstellung lehrt die Präparation, da man die serösen Häute mit Pinzetten greifen d — bei Operationen — nähen kann.) Auch ihre isolierte Darstellung ist leicht, wie die gg. 197—199 dartun. Alle deckenden Teile, Haut, Muskeln, Rippen, sind entfernt. Man ennt zunächst, wie die vier serösen Säcke zueinander liegen. Der Herzbeutel ist über n Bauchfellsack gelegen. Sein parietales Blatt ist auf dem Zwerchfell festgewachsen. e beiden Pleurasäcke liegen jederseits auf dem Zwerchfell und über dem Bauchfellsack. i der Betrachtung von der Seite und von hinten sieht man, daß die Pleurasäcke den achfellsack von hinten her überlagern. Die Pleurasäcke liegen ferner seitlich um den rztbeutel herum. Sie sind mit ihm verwachsen. Oberhalb des Herzbeutels, nach vorn l nach hinten von ihm liegt ein Spalt, der, wenn nicht, wie hier, die Weichteile ausge- mt sind, von Bindegewebe und zahlreichen Organen erfüllt ist. Es ist dann kein Spalt, dern eine *massive* Wand, die *Mediastinum* genannt wird. Die serösen Säcke sind ver- telst derber Bindegewebslagen an die Brust- und Bauchwand angeschlossen und bil- l selbst einen Teil dieser Wände. An vielen Stellen liegt in diesem „subserösen“ Ge- be reichliches Fett, so vor allem im Bereich des Peritoneums. Nicht überall aber gren- die serösen Säcke unmittelbar an die Körperoberfläche. Die gesamte Rückfläche des achfellsackes ist von Organen (Nieren, Nebennieren, Pankreas, Duodenum usw.) über- ert (Fig. 199 und 220).

## 2. Einteilung der innerhalb des Thorax liegenden Teile.

Aus der soeben gegebenen Schilderung und den Abbildungen 197—199 geht hervor, i innerhalb des knöchernen Thorax drei völlig voneinander getrennte seröse Säcke lie-

Fig. 200. Schematischer Querschnitt der Brust mit den drei Höhlen. Pleura costalis gelb, Pleura mediastinalis rot, Pericardium blau.

Fig. 201. Schematischer Frontalschnitt der Brust mit den drei Höhlen. Pleura costalis gelb, Pleura mediastinalis rot, Pleura diaphragmatica grün, Pericardium blau.

gen, die *drei* nirgends miteinander in Verbindungen stehende seröse Höhlen umschließen. Darin besteht ein Unterschied vom *Bauch*, wo nur *eine einzige* Höhle da ist. Während man also von jedem Punkte der Bauchwand aus in die „Bauchhöhle“ gelangt, kann man durch die Thoraxwand hindurch entweder nur in eine von den drei Höhlen oder auch wenn man den Spalt zwischen den Pleurasäcken trifft, in gar keine Höhle gelangen. Es ist also ungenau, den Inhalt des Thorax als „die Brusthöhle“ zu bezeichnen. Die drei serösen Höhlen werden als *Cava* bezeichnet (*Cava pleurae*, *Cavum pericardii*). Denkt man sich in den Figg. 197 und 199 den Spalt zwischen den Pleurasäcken von Bindegewebe erfüllt, so ergibt sich, daß von der Wirbelsäule bis zum Sternum reichend eine massive Wand (Figg. 200, 213, 214) (*Mediastinum* = Zaun) die Thoraxlichtung in zwei ungleich große Räumlichkeiten sondert. In jeder dieser Räumlichkeiten liegt ein Pleurasack, während der Herzbeutel innerhalb des *Mediastinums* selbst gelegen ist. Denkt man sich die Pleurasäcke vorn durch je einen Längsschnitt eröffnet und die Lungen herausgenommen (Fig. 205, 206), so liegt dem *Mediastinum* zugekehrt jederseits eine Fläche der Pleura parietalis (= Pleura mediastinalis), deren epitheliale Fläche gegen das Innere der Pleurasäcke schaut, deren fibröse Unterlage mit dem Bindegewebe des *Mediastinums* und der Oberfläche des Herzbeutels verlötet ist. Somit ist das *Mediastinum* eine jederseits von Pleura überzogene massive Scheidewand. An ihm unterscheiden wir den seine Hauptmasse bildenden Herzbeutel nebst dem in ihm liegenden Herzen, ferner die drei Bezirke, die sternal, kranial und vertebral vom Herzbeutel liegen (vorderes, oberes, hinteres *Mediastinum*).

### 3. Die Pleurasäcke und ihr Inhalt (Fig. 204—206).

Die Pleurasäcke sind ungleich groß (vgl. oben S. 3). Betrachten wir zunächst die Pleura in ihren topographischen Beziehungen, so ergeben sich jederseits im allgemeinen gleichartige Verhältnisse, im besonderen aber Abweichungen in der Lage zu Nachbartheilen, die sich aus der Asymmetrie beider Seiten erklären.

Die Pleura (Fig. 200, 201). An jeder Pleura parietalis haben wir drei Wandbezirke. Da wo die Pleura die Innenfläche der Rippen und der Interkostalräume überzieht, heißt sie *Pleura costalis*; auf der oberen Zwerchfellfläche liegt die *Pleura diaphragmatica*. Je bildet also die *laterale*, diese die *untere* Wand des Pleurasackes. Die *mediale* Wand heißt *Pleura mediastinalis*; sie erstreckt sich in sagittaler Richtung von der Wirbelsäule nahe dem Sternum und geht hinten an der Wirbelsäule und vorn am Sternum in die Pleura costalis über. An eben dieser Stelle liegt der *Sinus costomediastinalis anterior* (Fig. 233). Der *Sinus phrenicocostalis* (s. auch Fig. 215) findet sich an dem Umschlag der Pleura costalis in die Pleura diaphragmatica. Da wo die Pleura mediastinalis sich in die Pleura diaphragmatica umschlägt, liegt der *Sinus phrenicomediastinalis*. Die Sinus sind komplementäre Räume zur Aufnahme der Lungenränder bei der Inspiration. Bei der Atmung verschiebt sich die Lunge an der glatten Innenfläche der Pleura ohne Reibung. Die Pleura mediastinalis und Pleura sternocostalis laufen kranialwärts in der Pleurakuppel zusammen (vgl. Hals S. 136).

Pleura costalis, diaphragmatica und mediastinalis bilden zusammen die Pleura parietalis im Gegensatz zu der Pleura pulmonalis (visceralis), die die Oberfläche der

Fig. 200.

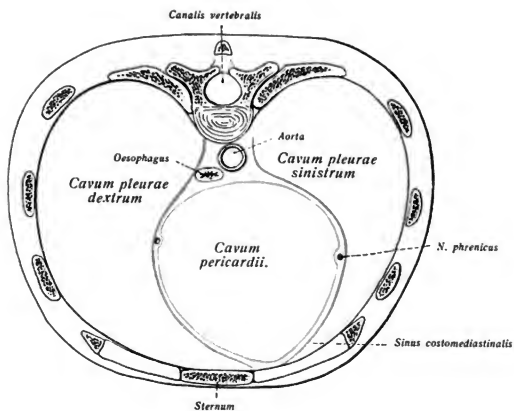


Fig. 201.

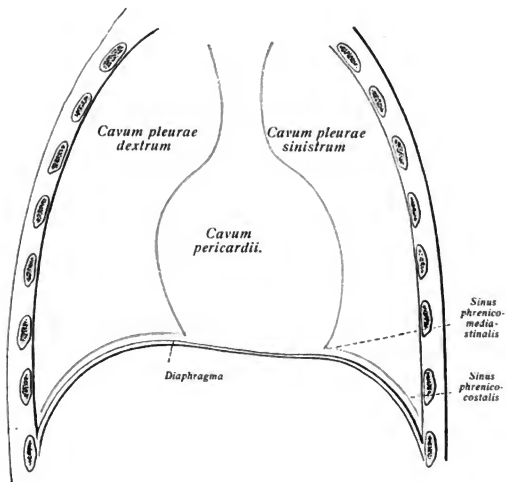


Fig. 203.

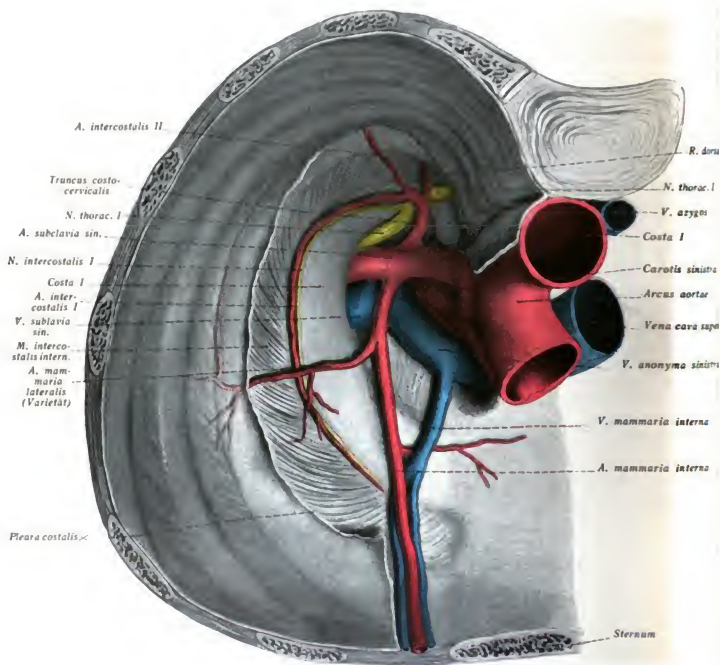


Fig. 203. Situs oberhalb der linken Pleurakuppel von der Pleurahöhle aus gesehen. Ansicht von unten und außen. Pleura ist zum größten Teil abpräpariert. Fig. 202 und 203 sind dem gleichen Thorax entnommen.

nge fest überzieht und am Stiel der Lunge (Radix) in die Pleura parietalis (mediastinalis) übergeht (Fig. 215).

Die *Pleura mediastinalis* übersieht man am besten, wenn man die beiden seitlichen utwände zugleich mit dem größten Teil der Pleura costalis entfernt und die Lungen ch Durchschneidung des Stieles (und des schwachen und unbedeutenden Lig. pulmonale, sich vom Stiel nach abwärts bis oberhalb des Zwerchfells erstreckt) aus den Pleuralen herausnimmt (Fig. 215).

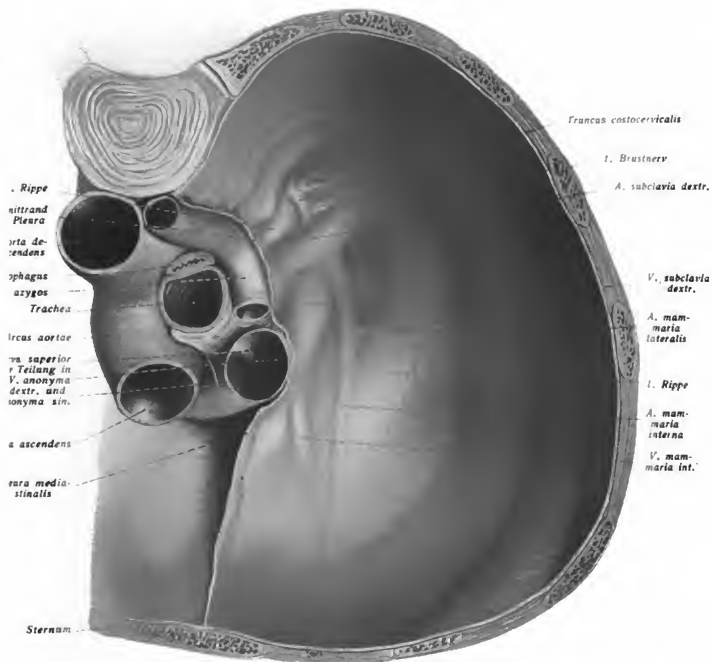


Fig. 202. Situs oberhalb der rechten Pleurakuppel von der Pleurahöhle aus gesehen. Ansicht von unten und außen. Die Pleura ist an der Pleurakuppel erhalten, sodaß die betreffenden Teile durch die Pleura hindurchschimmern. Nach einem mit Wachsmasse injizierten Formalinpräparat. Vergl. Fig. 203.

Fig. 204. Sirius der Brustorgane I. Schicht. Frisches Präparat mit injizierten Arterien. Venen entfernt. Klavikula entfernt. Haut, Brustmuskeln und Interkostalmuskeln abpräpariert, Corpus sterni z. T. herausgesägt. A. anonyma und A. carotis comm. sinistra entspringen abnormer Weise aus einem Stamm.

Die *Pleurakuppel*, deren Topographie bereits beim Halse besprochen worden ist, zeigt Fig. 202 von der Innenfläche. Noch deutlicher wird die Topographie auf der Pleurakuppel, wenn man die Pleura abpräpariert (s. Fig. 203). Linkerseits springt die A. subclavia sinistra besonders stark nach innen vor. Hier hinterläßt sie an der Lungenspitze den Sulcus A. subclaviae (s. Fig. 209). Wichtig ist auch die Stelle, wo der erste Brustnerv über die Innenfläche der 1. Rippe läuft, bevor er den Plexus brachialis übergeht (s. auch die Fig. 20 und 203).

*Pleuragrenzen* nennt man die Stellen, an denen die drei Wandstrecken der Pleura parietalis ineinander übergehen. Solcher Grenzen gibt es vier: die *vordere* kostomediastinale und die *hintere* kostomediastinale, längs welcher die Pleura mediastinalis vorn und hinten in die Pleura sternocostalis übergeht; die phrenikomediastinale, längs welcher die Pleura mediastinalis in die Pleura diaphragmatica übergeht, und die phrenikokostale, längs welcher der Umschlag der Pleura diaphragmatica in die Pleura sternocostalis erfolgt. Diesen vier Umschlagstellen entsprechen vier Sinus pleurae, die als Sinus costomediastinalis anterior, Sinus costomediastinalis posterior, Sinus phrenicomediastinalis und Sinus phrenicocostalis bezeichnet werden. Von diesen vier Umschlagstellen sind zwei stumpfwinklig und so gelegen, daß sie keine topographischen Beziehungen zur Brustwand gewinnen; es ist dies der Sinus costomediastinalis posterior und der Sinus phrenicomediastinalis. Dagegen sind die beiden anderen spitzwinklig gestaltet der vorderen Brustwand angelagert und haben eine praktisch sehr wichtige Bedeutung. Die von der Pleurakuppel kommende vordere (kostomediastinale) Umschlagstelle geht kontinuierlich in die phrenikokostale Umschlagstelle über, desgleichen die beiden dazu gehörigen Sinus pleurae. Dies von der Pleurakuppel längs des Brustbeins nach abwärts und von da annähernd horizontal bis zur Wirbelsäule herum verlaufende Umschlagstelle bezeichnet man kurzweg als „Pleuragrenzen“. Die *vordere* Pleuragrenze entspricht, wie jetzt leicht verständlich ist, dem tiefsten Teil des Sinus costomediastinalis anterior und bezeichnet die Stelle, an der sich die Pleura mediastinalis in die Pl. costalis hinter dem Sternum umschlägt. Die *untere* Pleuragrenze bezeichnet die tiefste Stelle des Sinus phrenicocostalis. Da die Lungen die Pleurahöhle nahezu vollständig ausfüllen, so fallen die Pleuragrenzen bei der Inspiration mit der vorderen und unteren Lungenrand *nahezu* zusammen. Unten reicht übrigens die Pleuragrenze nicht ganz bis zu den Zwerchfellsrümpfen. In der Figur 219ff ist die Pleuragrenze durch rote Linien eingetragen. *Rechts* schneidet die Grenze vorn die Mitte der Artic. sternoclavicularis, berührt dann eine Linie, die von der Mitte der Fossa jugularis bis zur Insertion der linken 2. Rippe gezogen wird und läuft links von der Mittellinie hinter dem Sternum nach abwärts. Von der 6. Rippeninsertion ab weicht sie nach außen ab, zieht längs des unteren Randes des 6. Rippenknorpels hin, schneidet die 7. Rippe in der Mammillalinie und trifft in der Axillarlinie den unteren Rand der 9. Rippe, um in der Skapularlinie die 11. Rippe, an der Wirbelsäule die Grenze zwischen oberen und mittleren Drittel der Höhe des 12. Brustwirbels zu erreichen. *Links* erreicht die Pleuragrenze, die ebenfalls hinter dem linken Sternoklavikulargelenk beginnt, am Beginn des Corpus sterni den rechten Pleurasack. Dicht neben ihm läuft sie hinab bis zur 4. Rippe. Hier weicht sie — anders als an dem rechten Rande — nach außen ab, so daß sie am 7. Rippenknorpel be-



Fig. 204.

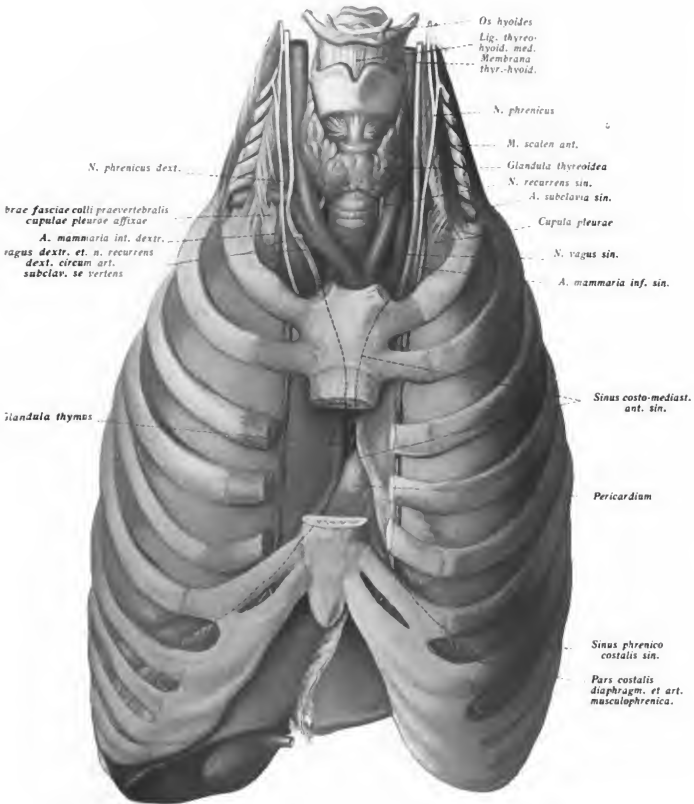


Fig. 205.

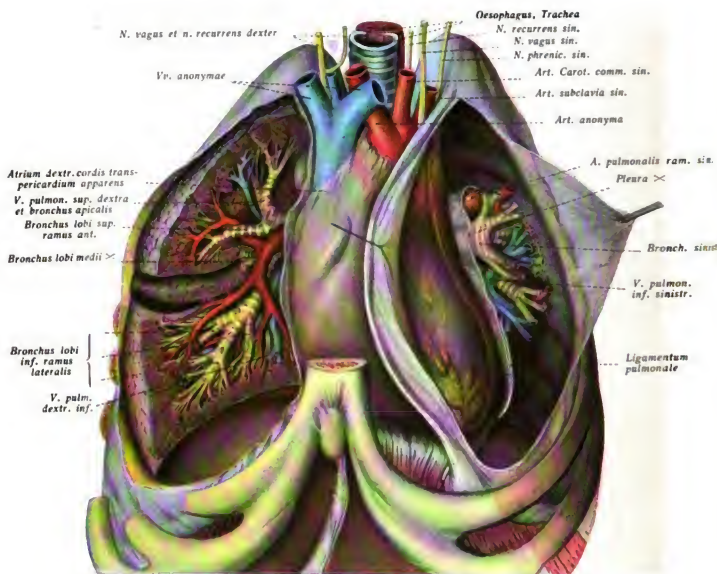


Fig. 205. Situs der Brustorgane, tiefere Schicht, Formolpräparat. Der Thorax ist von dem steif erhärteten Präparat unter Schonung der Pleura entfernt. Die Pleurasäcke sind eröffnet. Rechte Lunge bis auf den Hilus herauspräpariert, linke Lunge gänzlich entfernt unter Schonung der Bronchen, Arterien und Venen. Bronchen gelb, A. pulmonalis rot, Vv. pulmonales blau.

rechts zirka 5 cm von der vorderen Medianlinie in horizontaler Richtung entfernt ist. Weiterhin verläuft sie wie rechts, doch reicht sie in der Axillarlinie eine Spur tiefer hinab. Wichtig ist, daß nur hinter dem Manubrium und vom Bereich des 4. bis 7. Rippenknorpels *links* die beiden Pleurasäcke auseinandertreten. Die Pleuragrenzen *schwanken* aber im Bereich ziemlich weiter Grenzen, so daß auf die untere, pleurafreie Strecke *nicht in jedem Falle mit Sicherheit zu rechnen ist*, dann nämlich, wenn der rechte Pleurasack weiter nach links oder der linke weiter nach rechts hinübergreift.

Der tiefste Teil des Sinus phrenicocostalis wird auch bei tiefer Inspiration von der Lunge nicht ausgefüllt; vielmehr liegt bei ruhigem Atmen das Zwerchfell im Bereich dieses Sinus der Innenfläche der Brustwand an.

### Anwendungen.

Daß beide Pleurasäcke hinter dem Manubrium sterni auseinanderweichen, ist für die *Perkussion* der dort liegenden großen Gefäßstämme von Bedeutung. Es ist ein Teil der aufsteigenden Aorta und der Aortenbogen, ferner ein Stück der linken Vena anonyma, die hier zum Teil ganz frei, zum Teil nur von dünnen Lungenrändern überdeckt vorliegen, während die Vena cava superior schon weiter rechts, neben dem Sternalrande, von massiverem Lungengewebe überlagert ist. (Fig. 219.) So läßt sich die aufsteigende Aorta und der Beginn des Aortenbogens perkutorisch abgrenzen.

Das dreieckige Feld zwischen den Pleurasäcken links unten neben dem Sternum, das in der Norm da ist, besitzt Bedeutung deswegen, weil hier der Herzbeutel unmittelbar der vorderen Brustwand anliegt und punktiert werden kann, ohne daß die linke Pleurahöhle verletzt wird. Freilich sind die erwähnten Variationen in der Ausdehnung der Pleurasäcke hierbei nicht außer acht zu lassen.

Klinisch wichtig ist der Verlauf der Pleuragrenzen am Rücken (*Heiß*). Hier findet man *links* einen gradlinigen Abstieg der Umschlagstelle von dem Köpfchen der 2. Rippe an entlang der Wirbelkörper bis zum 12. Brustwirbel. *Rechts* aber läuft die Umschlagsstelle von dem 3. Wirbel an über die Mittellinie hinüber und liegt vom 3.—10. Brustwirbel dem linken Rande bis auf 1 cm genähert an. Erst vom 10. Brustwirbel ab tritt sie dann wieder auf die rechte Seite zum Köpfchen der 12. Rippe. Beide Pleuraränder sind auf der genannten Strecke durch derbes fibröses Gewebe fest vereinigt. Vena azygos und Ductus thoracicus liegen (von hinten gesehen) *vor* der Pleura, der Oesophagus aber wird durch sie zugedeckt, so daß seine Aufsuchung von hinten (Oesophagotomia posterior) mit großen Schwierigkeiten verknüpft ist (*Heiß*, Fig. 207 u. Seite 166).

Durch abnorme Flüssigkeitsansammlung in der Pleurahöhle kann das Zwerchfell *ab- und herabgedrängt werden*; wird aber die Flüssigkeit von außen durch Einstich (Thorakozentese) entleert, so *steigt das Zwerchfell wieder empor* und legt sich der Brustwand an. Es kann so die Stichoöffnung *wieder verschließen und den Abfluß behindern*. Deshalb soll man im allgemeinen in der hinteren Axillarlinie nicht unter den 6. Interkostalraum hinuntergehen. Punktiert man im Bereich des Rückens, so kann man bis zum 9. Interkostalraum gehen. Die Aufsaugung des entzündlichen Exsudates wird übrigens durch den sehr reichlichen Gehalt der Pleura an Lymphgefäßen erleichtert.

### 4. Die Lungen.

Die *Lungenspitze* (Apex pulmonis) füllt die Pleurakuppel aus; ihre Lage zur oberen Thoraxapertur ist bereits beim Halse beschrieben worden. Mit der *Facies costalis* liegt sie der Innenfläche der Rippen, der Interkostalmuskulatur und der sie bedeckenden Fascia endothoracica nebst Pleura costalis an; die *Facies diaphragmatica* bildet die Basis und liegt auf der Pleura diaphragmatica und dem Zwerchfell. Die dritte Fläche, *Facies mediastinalis*, grenzt an das Mediastinum; sie ist durch das im Mediastinum gelegene Herz konkav ausgehöhlt. Der *vordere scharfe Rand* wird von dem Sinus costomediastinalis anterior aufgenommen; der *untere gleichfalls scharfe Rand* ist in den

Fig. 206. Situs der Brusteingeweide. Das gleiche Präparat wie in Figur 205. Beide Lungen vollständig entfernt. Man übersieht die Wandungen der Pleurahöhlen, insbesondere Pleura costalis, diaphragmatica und mediastinalis, Herzbeutel, vorderes und oberes Mediastinum.

Sinus phrenicocostalis und in den Sinus phrenicodiastinalis gerichtet. Der *hintere stumpfe Rand* wird im Bereich der Anguli costarum von den neben der Wirbelsäule gelegenen *Sulci pulmonales des Thorax* umfaßt und füllt den Sinus costodiastinalis posterior aus (s. Fig. 222 und 236). Im Bereich der mediastinalen Fläche treten an der *Lungenpforte* (Hilus pulmonis) die Arterien und Bronchen ein und die Venen aus (Fig. 205, 208, 209). Die

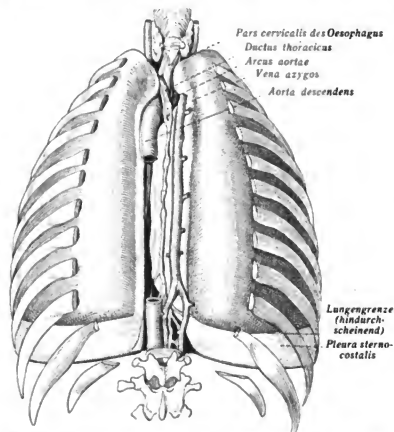


Fig. 207. Pleurgrenzen von hinten. Reproduktion einer Abbildung von HeiB. Wirbelkörper und Rippen abgetragen, Ansicht von hinten. Vgl. auch Fig. 198 und 233.

den unteren Rand der rechten Lunge ungefähr eine Handbreite lateral von seinem vorderen Ende. An der rechten Lunge läuft vom Hilus aus über die mediastinale Fläche noch eine zweite Furche, die, den vorderen Rand der Lunge kreuzend, horizontal über die Facies costalis bis zur Einmündung in die Incisura interlobaris zieht. Sie grenzt von oben den Mittellappen ab, der nur der rechten Lunge zukommt. Der vordere Rand der linken Lunge besitzt einen medialwärts konkaven Ausschnitt, die *Incisura cardiaca*. Im Hilus liegt der Ast der A. pulmonalis am weitesten nach oben, dann folgt der Bronchus. Die beiden Lungenvenen liegen teils nach unten von den Bronchen, teils vor ihnen. (s. Fig. 205, 208, 209).

Die weitere Verästelung dieser Teile ist die, daß *rechts* zu oberst (am meisten kranialwärts) der Ast der A. pulmonalis zum Oberlappen liegt. Der Arterienast deckt meist von vornher den Bronchus des Oberlappens. Kaudal folgen dann die Gebilde in der Reihe: Arterie, Bronchus, Vene des Mittellappens, Arterie Bronchus Vene des Unterlappens. *Links* ist die Anordnung beim Oberlappen wie rechts beim Mittellappen. Für den Unterlappen ist die Anordnung die gleiche wie rechts.

Fig. 206.

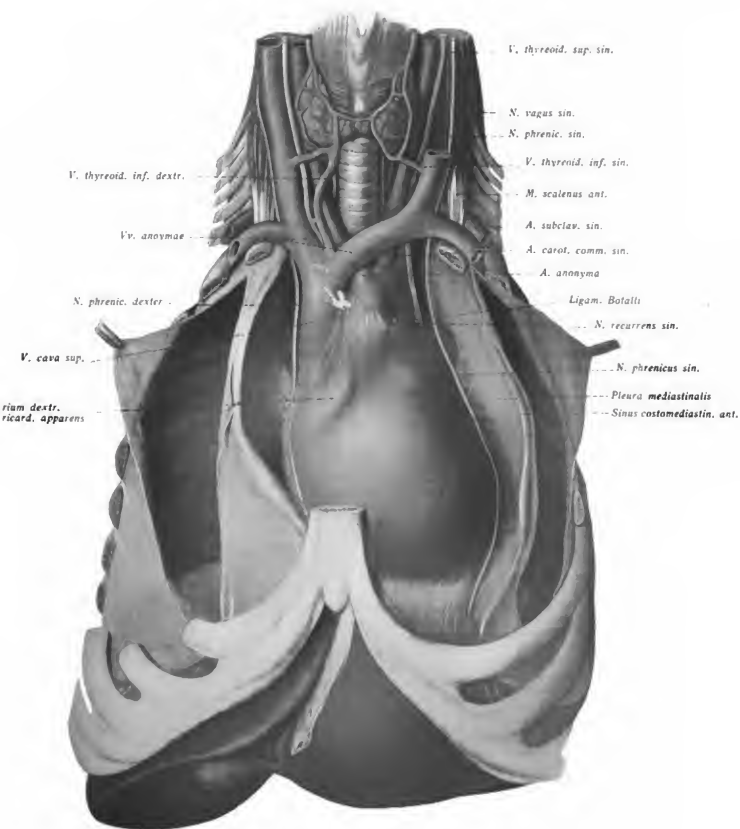


Fig. 208.

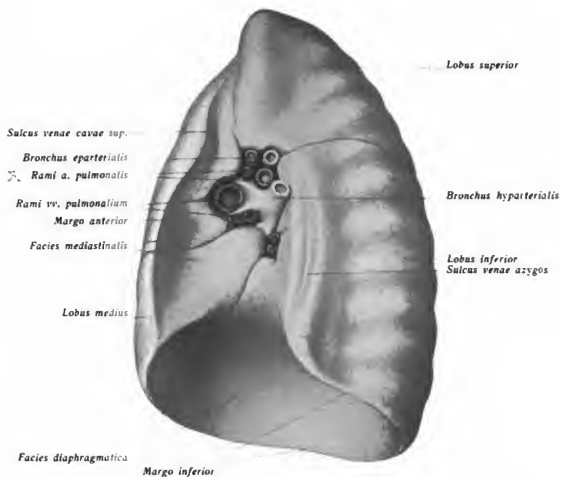


Fig. 209.

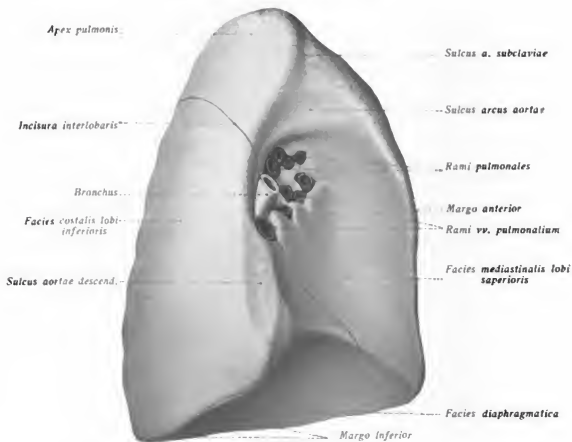


Fig. 208. Rechte Lunge, von der medialen Seite aus gesehen. } Nach Gipsabgüssen (His).  
 Fig. 209. Linke Lunge, von der medialen Seite aus gesehen. }

An dem Lungenhilus treten auch die kleinen ernährenden Gefäße der Lungensubstanz (Aa. et Vv. bronchiales) ein und aus; ebenso verlassen hier die von reichlichen Lymphknoten begleiteten *tiefen* Lymphgefäße die Lunge im Gegensatz zu den *oberflächlichen*, die unter der Pleura visceralis liegen.

Die Beziehungen der Lungen zu den Organen der Nachbarschaft sind rechts und links verschieden. Links bettet sich Herzspitze, ein großer Teil des linken und ein Teil des rechten Ventrikels in die mediale Fläche der Lunge ein (Fossa cardiaca). Die links von der Wirbelsäule verlaufende Aorta thoracica liegt der Lunge an; im dorsalen Teil der mediastinalen Fläche findet sich demnach bei in situ gehärteten Lungen ein „Sulcus aortae descendens“ und „Sulcus arcus aortae“; ferner zieht vorwärts von der Spitze der linken Lunge die linke A. subclavia über die Lunge hinweg und hinterläßt einen „Sulcus art. subclaviae sinistrae“. Die rechte Lunge nimmt in einer flacheren Grube den rechten Vorhof des Herzens und in einer damit in Zusammenhang stehenden Furche die obere Hohlvene auf; dahinter liegt ein „Sulcus venae azygos“ symmetrisch zu dem Teil der linken Lunge, der den Sulcus aortae descendens trägt. Die Speiseröhre *kann* gelegentlich von dem hinteren Rande der rechten Lunge erreicht werden. Sulcus art. subclav. wie links.

Die mit der *Atmung vor sich gehende Verschiebung der Lage der Lunge* äußert sich am deutlichsten an dem vorderen und dem unteren Rande der Lunge. Die Verschiebung des vorderen Randes vollzieht sich durch die Ausdehnung der Lunge von hinten nach vorn (kostale Atmung); der untere Rand wird durch die Ausdehnung von oben nach unten (die Zwerchfellatmung) verschoben.

In der *Expirationstellung* läuft der vordere Rand der *rechten Lunge* von dem Ansatz des 2. Rippenknorpels bis zum unteren Rand der 5. Rippe längs des rechten Sternalrandes. Der untere Rand liegt in der Mammillarlinie in der Höhe der 6. Rippe, in der Axillarlinie fällt er mit der 7. Rippe, in der Skapularlinie mit der 9. Rippe zusammen und erreicht die Wirbelsäule in der Höhe des Proc. spinosus des 10. Brustwirbels. Der vordere Rand der *linken Lunge* läuft von dem Ansatz der 2. Rippe bis zum oberen Rand der 4. Rippe etwas lateral von dem linken Sternalrand. Vom 4. Interkostalraum an weicht er (Incisura cardiaca) bogenförmig nach außen ab, nähert sich dann im 5. Interkostalraum wieder dem Sternum und geht am Übergang des Knorpels der 6. Rippe in deren Knochen in den unteren Rand über. Der untere Rand läuft von hier nach außen und hinten wie rechts, allerdings eine Spur tiefer. In der tiefen, bei der klinischen Untersuchung verwerteten *Inspirationstellung* fällt der vordere Rand der Lungen mit der vorderen Pleuragrenze zusammen. Er ragt also rechts im allgemeinen etwas über die Mittellinie hinaus, ohne diese links zu erreichen. Hier ist die Stelle, wo die beiden Lungen, nur durch das hier sehr dünne Mediastinum geschieden, in nächste Berührung treten. Der untere Rand verläuft bei Inspiration vom unteren Rand der 6. Rippe an schief nach außen und abwärts. Er liegt in der Mammillarlinie in der Höhe des oberen Randes der 7. Rippe, kreuzt in der Axillarlinie die 8. Rippe, in der Skapularlinie die 10. Rippe und erreicht die Wirbelsäule in der Höhe des Proc. spinosus des 11. Brustwirbels. Bei dem Kinde steht der untere Rand der Lunge eine Rippenbreite höher, bei dem Greise eine Rippenbreite tiefer. (s. Fig. 224 und unten S. 170).

## Anwendungen.

Es ist leicht zu verstehen, daß bei der Dünnhcit der Brustwand krankhafte Veränderungen in dem Luftgehalt oder der Konsistenz der Lungen oder *abnormer Inhalt des Pleurasackes*, der sich zwischen Lungenoberfläche und Pleura finden kann — z. B. *Luft* (Wunde von außen, häufiger aber von der Luftröhre aus durch die Bronchen nach Verletzung der Lunge, Pneumothorax), *seröses Transsudat* (Hydrothorax), *Eiter* (Empyem) oder *Blut* (Hämatothorax) — aus typischen *Abweichungen von dem normalen Lungenschall* erkannt werden können.

Ist das *Zwerchfell* durch starke Gasansammlung in den Därfen (Meteorismus), durch abnorme Flüssigkeitsmenge in der Bauchhöhle (Aszites) oder durch Geschwülste in der Bauchhöhle *stark nach oben gedrängt*, so wird sich das durch erhöhten Stand des *unteren Lungenrandes* kundgeben, ebenso wie abnorme *Volumenzunahme der Lunge*, bei Lungenemphysem, den unteren Rand die normale Grenze *nach unten überschreiten* läßt. Es ist zu bemerken, daß *rechts* die untere Lungengrenze dem Schalle *nach leichter* zu bestimmen ist, da hier die luftthaltige, hell schallende Lunge an die kompakte, dumpf schallende *Leber* angrenzt, während *links* der Lungenschall an den tympanitischen Magenschall grenzt.

Die zwischen dem Lungenrande und der Pleuragrenze gelegene Strecke, in der beide Pleurablätter aufeinander liegen, wird in den verschiedenen Vertikalebeneu von verschiedener Größe gefunden. Bei ruhigem Atmen bleibt in der Parasternallinie ein Abstand von 2 cm, in der Mammillarlinie von 4 cm,

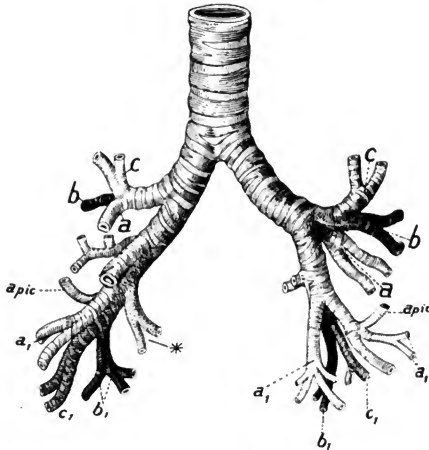


Fig. 209a. Schema des Bronchialbaumes nach den Darstellungen von Hasselwander und Heiß.

Rechter und linker Oberlappen: a ventraler, b dorsaler, c apikaler Bronchus. Rechter und linker Unterlappen: apic ein bis in die oberen Teile des Unterlappens aufsteigender Bronchus, a, ventrale, b, dorsale, c, laterale Bronchen, \* ein nur rechts vorkommender, zur mediastinalen Fläche ziehender Bronchus.

Rechter Mittellappen, ohne Bezeichnung: vorn ein starker, noch in den Unterlappen ziehender, sowie kleinere ventrale und dorsale Bronchen.

ia der Axillarlinie von 9 cm, neben der Wirbelsäule von 3 cm. Dieser im ganzen also sichelförmige Raum wird in der Axillargegend selbst bei tiefster Einatmung nicht klanghaltig, während an den übrigen Stellen bei tiefster Einatmung der Lungenschall nahezu bis an die Pleuragrenze tritt. Im Bereich der Lungenspitze und oben hinter dem Sternum ist die Verschieblichkeit der Lungenränder aufgehoben oder jedenfalls nur gering.

Zu den unerläßlichen Kenntnissen gehört es für den Arzt, von außen her zu wissen, welchem Lungenlappen er gegenübersteht. Dies wird durch die Kenntnis des Verlaufes der Sulci interlobares ermöglicht. Rechts wie links beginnen diese in der Höhe des Fortsatzes des 3. Brustwirbels. Dieser liegt in der *Interskapularlinie* (verbunden bei gerade herabhängenden Armen die medialen Enden der Spina scapulae). Links läuft die Grenze zwischen Ober- und Unterlappen in der Axillarlinie über die 4., in der Mammillarlinie durch die 6. Rippe. Rechts verläuft die Inzurs zwischen Ober- und Unterlappen ähnlich wie links bis zur 4. Rippe. Hier zweigt sich, parallel zur 4. Rippe laufend, die Inzurs zwischen Ober- und Mittellappen ab, während die 1. Furche weiter nach abwärts in der Mammillarlinie den 6. Interkostalraum erreicht. Daraus folgt: Man untersucht *vorn* nur den Oberlappen



und (rechts) den Mittellappen; *hinten* vorzugsweise den Unterlappen. Oberhalb der Interskapularlinie liegt beiderseits Oberlappen; von *links* seitlich werden beide, von *rechts* alle drei Lappen, der Mittellappen allerdings nur zum kleinen Teil, angetroffen. (Fig. 219—221).

Abweichend vom Erwachsenen liegen in mancher Hinsicht die Dinge bei Kindern. Die Pleurasäcke berühren sich unter dem Brustbein *nicht*. Im Bereich des Manubriums sind sie durch die Thymus weit auseinander gedrängt, die Aorta ascendens liegt in größerer Breite frei, auch der Anfang der Vena cava superior ist zugänglich. Herzbeutel und Herz liegen links in breiterer Fläche überdeckt; der untere Lungenrand verläuft mehr horizontal als beim Erwachsenen und steht in den einzelnen Phasen höher, als in den entsprechenden beim Erwachsenen (vgl. später Fig. 224).

Hinsichtlich des inneren Baues der Lungen ist der Architektonik des Bronchialbaumes zu gedenken. Neuere Forschungen (*Heiß, Hasselwander*) haben ergeben, daß das übliche Schema eines „Stammbronchus“ nebst „Seitenbronchen“ keine Gültigkeit besitzt. Aus den mannigfachen Varietäten läßt sich als Wesentlichstes hervorheben, daß der Bronchus zum rechten Oberlappen je einen Ast für die vordere und hintere Fläche und für die Spitze besitzt; ähnlich verhält sich links der Bronchus zum Oberlappen. Der Bronchus zum rechten Mittellappen beteiligt sich durch einen sehr selbständigen Ast an der Versorgung des rechten Unterlappens. Das System der Unterlappenbronchien läßt im allgemeinen drei Äste unterscheiden, einen für die vordere, einen für die hintere Fläche und einen, der den Unterlappen mehr in der Quere versorgt (vorn-seitlich und medial-hinten). Diese Tatsachen verdienen bei Sektionen der Lunge Beachtung. (Fig. 209 a.)

Hinsichtlich der Gefäße ist, anknüpfend an das oben Gesagte, zu bemerken, daß beim Eintritt in die Lappen die Reihenfolge von kranial nach kaudal stets: Arterie, Bronchus, Vene ist, und daß diese Folge weiterhin stets beibehalten wird. Biegen also (Fig. 205) die Bronchen nach abwärts, so liegt die Arterie außen, die Vene innen. Biegen die Bronchen nach aufwärts, so liegt die Arterie innen, die Vene außen (*Hasselwander*). Am rechten Oberlappen ist der oft genannte „*aparterielle*“ Bronchus höchstens dadurch nachzuweisen, daß die Arterie den Bronchus von vorne deckt. Bei der Durchleuchtung wird sich also für den rechten Oberlappen eine *dichtere Gefäßzeichnung* ergeben.

Die *Lymphbahnen* der Lunge sind als Verbreitungswege von Infektionserregern, vor allem der Tuberkelbazillen praktisch wichtig. Eine Trennung der Lymphgebiete der einzelnen Lappen existiert sowenig, wie eine Trennung oberflächlicher und tiefer Lymphbahnen. Die Lymphbahnen der Lunge bilden ein großes Netz, aus dem die regionären Lymphknoten gespeist werden. Diese liegen längs der Bronchen (*Glandulae bronchopulmonales*), weiter nach außen am Hilus und an den Hauptbronchen (*Lymphoglandulae bronchiales*), an der Bifurkation (*Lymphoglandulae broncho-tracheales*) und längs der Trachea (*Lymphoglandulae tracheales*). Die Lymphe dieses ganzen Systems zieht zu den Supraklavikulardrüsen, *bleibt aber unabhängig* von den Zervikaldrüsen. Beide Ströme vereinigen sich erst kurz vor der Einmündung in die Venen. Primäre Infektion der Lunge kann also, wenn aërogen, nur so erfolgen, daß entweder die Erreger primär in der Lunge haften oder durch den Lymphstrom zu den Bronchial- (und Supraklavikular-)drüsen verschleppt werden, um durch die Saugwirkung bei der Entleerung in die Lunge zurückzugelangen; oder aber sie erfolgt hämatogen (von Halseingeweiden, Tonsillen) aus durch die obere Hohlvene, rechtes Herz, Lungenarterie. — Konstant scheint ferner eine Lymphverbindung von der Lunge ins Mediastinum zu den hinter dem Pankreas liegenden Lymphknoten zu sein, die gewisse klinische Symptome (Schmerzen bei Pneumonie) zu erklären imstande ist.

Das normale Bild einer Lunge bei der Durchleuchtung zeigt Fig. 210—211. Die sogenannte „*Lungenzeichnung*“ ist ein zartes, vom Hilus ausgehendes *Schattenwerk*, das im Bereich des Hilus auf Bronchial- und Gefäßwände, weiter peripherisch nur auf Gefäßwände zu beziehen ist. Die Figuren zeigen zugleich den Unterschied zwischen Inspirium (gehobene Rippen, völlig aufgehellter, spitzwinkeliger Sinus phrenico-costalis) und Expirium. Ein zum Vergleich gegebenes Bild zeigt stärkere Schattenbildung, die bei krankhaften Veränderungen der Lunge auftritt. (Fig. 212.)

## 5. Das Mediastinum.

Hat man nach Entfernung der rechten und der linken seitlichen Brustwand die beiden Lungen nach Durchtrennung ihrer Wurzel am Mediastinum (s. S. 155) abgeschnitten und die beiden Pleurahöhlen entleert, so überblickt man von links und von rechts das

Fig. 210. 20 jähr. gesunder Mann. (Einzelschlag-Aufnahme von Dr. F. M. Groedel.) Tiefe Inspiration. Die Rippen sind fast zur Horizontalstellung gehoben, die Zwischenrippenräume, namentlich zwischen den unteren Rippen, verbreitert, die supraklavikulären Lungenfelder sind durch die gehobene Schlüsselbeinstellung klein. Zu beachten ist die Erweiterung der unteren Brustkorböffnung durch Hebung der unteren Rippen nach außen. Das Zwerchfell steht tief, aber mit bogenförmiger Abgrenzung. In den lateralen Teilen verläuft die Schattengrenze leicht gewellt (Zwerchfellfurchen). Das Herz ist steil gestellt.

Fig. 211. 20 jähr. gesunder Mann. (Einzelschlagaufnahme von Dr. F. M. Groedel von der gleichen Versuchsperson wie oben.) Expiration. Die Rippen fallen stärker nach außen ab als bei der Einatmung. Die Zwischenrippenräume sind schmaler und verjüngen sich lateral erheblich. Die Lungenfelder sind außen nach unten hin eingezogen, nicht erweitert wie bei der Inspiration. Das Zwerchfell ist wesentlich höher und zeigt eine etwas stärkere Krümmung. Die Lungenfelder sind im ganzen viel kleiner in der Projektion und viel weniger hell als bei der Inspiration. Der Unterschied des Luftgehalts kommt in den Bildern namentlich beim Vergleich der Lungenfelder mit der luftgefüllten Magenblase zum Ausdruck. Der Herzschatten ist breiter, voller und mehr quergestellt. Die supraklavikulären Lungenpartien erscheinen durch die Senkung des Schlüsselbeins größer. (Aus Groedel, Röntgendiagnostik, 3. Aufl. 1921.)



Fig. 212.

Mediastinum (s. Fig. 213, 214). Da wo die Lunge entfernt wurde, sieht man (Fig. 205) in dem Querschnitt der Lungenwurzel die durchschnittenen *Bronchen*, *Aa. pulmonales* und *Vv. pulmonales*, die hier aus dem Mediastinum austreten und zur Lunge verlaufen.

Der Inhalt des Mediastinum ist natürlich da am reichlichsten, wo die beiden Pleurasäcke in der Mittellinie am weitesten voneinander abstehen. Das ist vor allem da der Fall, wo hinter dem Körper des Brustbeins zwischen den beiden Mediastinalblättern der Pleura das in dem *Herzbeutel* eingeschlossene *Herz* gefunden wird. Entfernt man auch die vordere Brustwand, indem man den Ansatz des Mediastinum am Sternum abtrennt und dann die beiden Pleurae mediastinales zurückschlägt (Fig. 206), so legt man leicht den Herzbeutel frei. Man schneidet ihn auf (Fig. 216) und schneidet das Herz heraus (Fig. 234). Jetzt erkennt man leicht, daß zugleich mit den beiden Pleurahöhlen und den Lungen

die Perikardialhöhle und das Herz fast den ganzen Brustraum für sich in Anspruch nehmen. Außer dem Herzbeutel mit dem Herzen bilden den Inhalt des Mediastinums Reste der *Thymusdrüse*, ein großer Teil der *Lufttröhre* mit ihren Ästen, viele große und kleine *Gefäße* und *Nerven*, der *Oesophagus*, sowie *Lymphgefäße* — darunter der Hauptstamm, der *Ductus thoracicus* — und viele wichtige *Lymphknoten*. Diese Teile werden durch *lockeres Bindegewebe* verbunden, das sich ohne Grenze in das lockere Bindegewebe des Halses und der *Fascia endothoracica* vor der Wirbelsäule und hinter dem Sternum auf die Innenfläche der Rippen und Interkostalmuskeln fortsetzt.

Da die Pleura mediastinalis — wie die ganze Pleura — eine dünne, *durchscheinende* Haut ist, so sieht man, falls sie nicht nach einer Entzündung getrübt und verdickt ist, durch sie hindurch von den entleerten Pleurahöhlen aus die Hauptbestandteile des Mediastinums; noch deutlicher werden sie, wenn man die Mediastinalblätter abpräpariert.

Man sieht (Fig. 213, 214) durch die Pleura *rechterseits*: Außer den mehr oder weniger

Fig. 210.

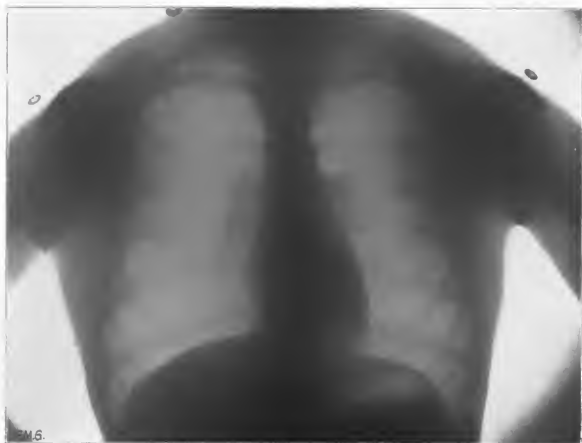


Fig. 211.



Fig. 213.

Art. subclavia

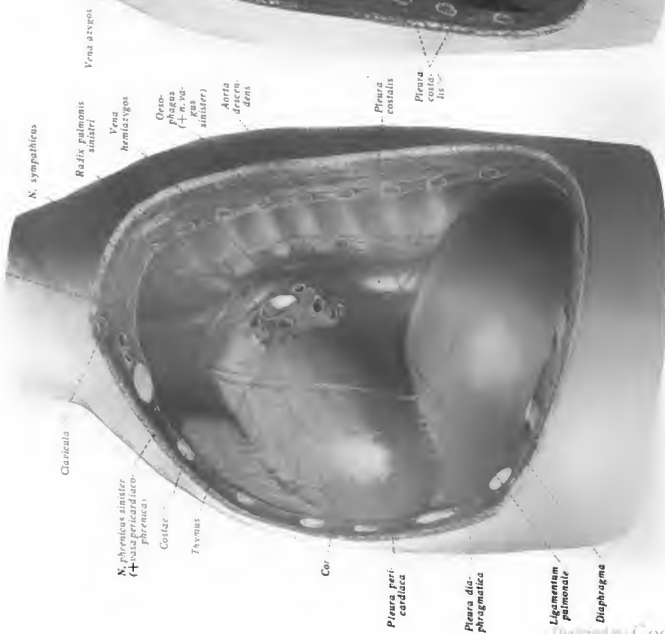


Fig. 214.

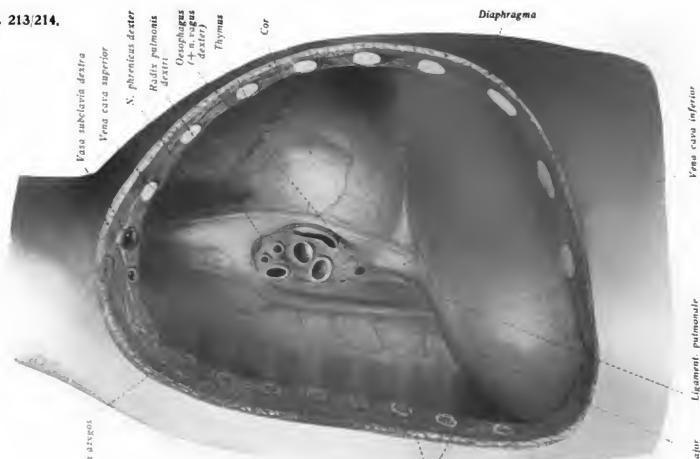


Fig. 213/214.

Fig. 213. Linke Pleurahöhle } eines Kindes ( $\frac{1}{4}$ ).  
 Fig. 214. Rechte Pleurahöhle }

Durch sagittale Schnitte sind die Rippen nebst der Klavikula durchgeschnitten und damit die laterale Wand der Pleurahöhlen entfernt. Die Lungen sind dicht am Hilus abgeschnitten. Man blickt daher in die leere Pleurahöhle, auf die alle Wandabschnitte der Höhle überziehende Pleura parietalis. (Aus Sobotta, Atlas der deskriptiven Anatomie.)

durch den Herzbeutel hindurch (wenigstens beim Kind) sichtbaren Teilen des Herzens die V. cava superior, auf ihr den N. phrenicus, der sich auf dem Herzbeutel bis zum Zwerchfell verfolgen läßt; die V. azygos und deren Einmündung in die V. cava sup., die Vasa intercostalia, den Oesophagus, den N. vagus, den Grenzstrang des N. sympathicus mit den Nn. splanchnici und die Lymphknoten an der Lungenwurzel.

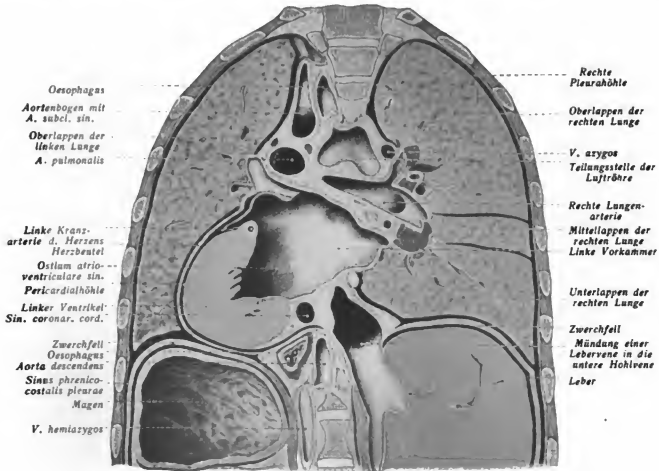


Fig. 215. Frontalschnitt der Brust. Ansicht von hinten.

Und *linkerseits*: Außer dem Herzen den N. phrenicus sinister und, wie auch rechts, die Vasa pericardiophrenica, die Aorta descendens, die A. subclavia sinistra mit abgehender A. mammaria interna, die V. anonyma sinistra mit einmündender V. hemiazygos (in dem Fall der Abbildung Fig. 213, nach oben eine sehr starke V. intercostalis suprema fortgesetzt), den N. vagus, den Grenzstrang des N. sympathicus sin., die Vasa intercostalia sin., sowie zahlreiche Lymphoglandulae. Vor allem halte man also fest, daß von rechts die *Speiseröhre*, und die *Vena azygos* von links die *Aorta descendens* zu sehen und zu erreichen ist.

Beiderseits sieht man besonders beim Kind die vor und über dem Herzen gelegene Gl. thymus (Fig. 239).

Fig. 216. Situs der Brusteingeweide, dritte Schicht. Dasselbe Präparat wie Fig. 206. Herzbeutel ist eröffnet, Herz in situ.

## Anwendungen.

Da das Mediastinum nicht eine *starre*, zwischen den beiden Pleurahöhlen eingeschaltete Scheidewand, sondern eine solche von *nach rechts und links verschiebbarer und dehnbarer Beschaffenheit* darstellt — wie das ja schon die kostale Atmung verlangt, bei der sich das Sternum von der Wirbelsäule entfernt —, so erhellt, daß, wenn eine *Pleurahöhle durch abnormen Inhalt* (z. B. durch Pyothorax oder Pneumothorax) ausgedehnt wird, oder eine *Lunge mehr Platz einnimmt als normal*, das Mediastinum mit dem Herzen *nach der entgegengesetzten Seite verdrängt* werden muß (Verschiebung der Herzdämpfung!). *Linksseitiges Pleuraexsudat* kann die rechte Grenze der normalen Herzdämpfung *nach rechts* weit über den Sternalrand hinaus *verlagern*. Und ferner: Nimmt die Lunge *einen geringeren Raum* ein, als der Norm entspricht, z. B. *nach Lungenschrumpfung* unter Verwachsung der Lunge mit der Pleura mediastinalis, so wird das Mediastinum *nach derselben Seite verzerrt* und der *entgegengesetzte* Pleurasack vermag sich, wenn seine Lunge gesund ist, kompensatorisch auszudehnen. Handelt es sich darum, bei dem Lebenden von *vorne* her in das Mediastinum einzudringen, so kann dies *am ausgiebigsten nur durch Resektion des Sternums* geschehen. Von *hinten* in entsprechender Weise zwischen den beiderseitigen Umschlagstellen der Pleura costalis in die Pl. mediastinalis in den Mediastinalraum zu gelangen, ist nach dem oben (S. 159) Gesagten nicht ohne weiteres möglich. Die anatomischen Verhältnisse erklären es, daß Eröffnung des Mediastinums von hinten her ohne Pleuraverletzung kaum ausführbar ist. Geschieht die Eröffnung der Pleura dabei *absichtlich*, so gelangt man zur transpleuralen Methode der Oesophagotomie. (Fig. 207.)

### a) Präperikardialer Teil des Mediastinums (Fig. 204, 206).

Es ist dies der schmale Spalt, der zwischen den beiden mediastinalen Pleurablättern und dem Herzbeutel besteht. In natürlicher Lage berühren sich beim Erwachsenen rechte und linke Pleurakante nahezu. Links liegt der 4. Rippenknorpel und der 4. und 5. Interkostalraum unmittelbar vor dem Herzbeutel. Die Pleurae mediastinales liegen beiderseits dem Herzbeutel locker angeheftet und lassen sich stumpf von ihm ablösen. Weiter seitlich macht diese Anheftung einer festen Verwachsung Platz. Von hier ab ist eine isolierte Darstellung der Pleura mediastinalis unmöglich bis gegen die Wirbelsäule hin, wo die mediastinalen Blätter wieder selbständig werden. Jenen mit dem Herzbeutel verwachsenen Bezirk nennt man „Pleura pericardiaca“ (Fig. 233). In dem spitzen Winkel zwischen Herzbeutel und Pleura mediastinalis dicht vor dem Lungenhilus liegt der N. phrenicus. Der rechte Nerv liegt mehr oberflächlich, der linke liegt tiefer im Thorax und beschreibt, da er um die Konvexität des linken Ventrikels herumzieht, einen nach links konvexen Bogen. Er tritt in der Gegend der Herzspitze durch das Zwerchfell an seine Unterseite, während der rechte in der Gegend der Vena cava inferior auf die obere Fläche des Zwerchfells tritt.

### b) Herz und Herzbeutel.

Die Hauptbedeutung besitzt innerhalb des Mediastinums das *Herz*, dessen durch Perkussion und Auskultation ermöglichte Untersuchung am Lebenden uns als einer der schönsten, ewig dauernden Erfolge ärztlicher Kunst bekannt ist.

Vorbedingung für das Studium der Lage des Herzens ist natürlich eine gründliche Kenntnis seines Baues. Hierbei sind auch die Gefäße der Herzwand zu berücksichtigen (s. Fig. 217 und 218). Die beiden aus dem Anfangsteil der Aorta entstehenden Aa. coronariae cordis (Kranzarterien) haben einen verschiedenen Verlauf. Die A. coronaria cordis dextra verläuft im Sulcus coronarius dexter auf die hintere (untere) Herzfläche und verläuft in dem Sulcus longitudinalis posterior als R. descendens posterior nach abwärts bis

Fig. 216.

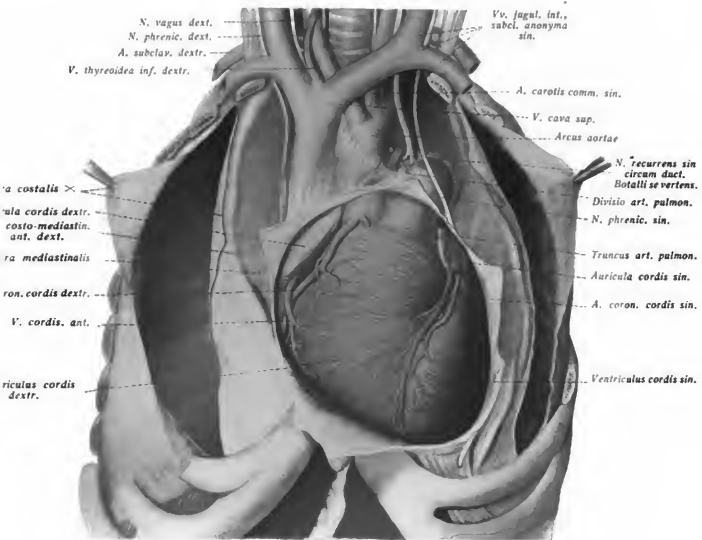


Fig. 217.

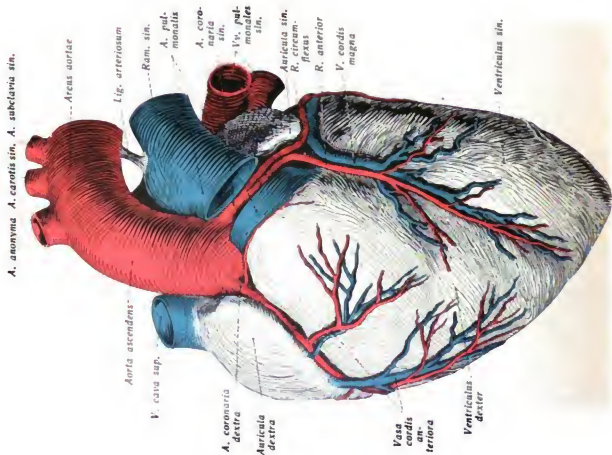


Fig. 218.

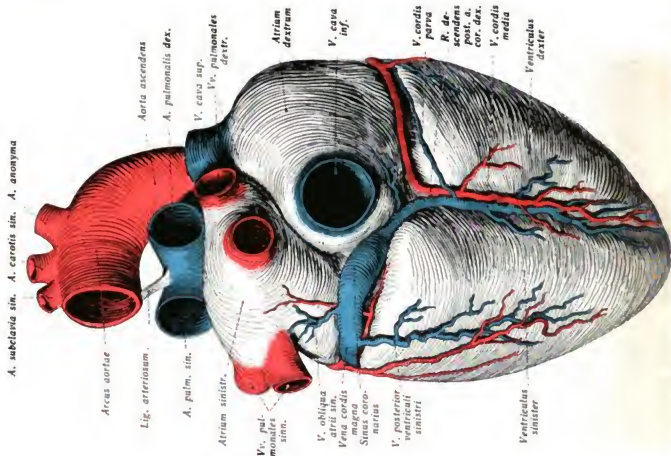




Fig. 217. Gefäße des Herzens. Ansicht von vorne

Fig. 218. Gefäße des Herzens. Ansicht von hinten.

ur Herzspitze. Die *A. coronaria cordis sinistra* läuft hinter dem Stamm der *A. pulmonalis* nach links und teilt sich am Ursprung in den Ramus anterior (descendens) zum Sulcus longitudinalis anterior und in den R. circumflexus, der unter dem linken Herzohr im Sulcus coronarius dexter nach hinten zieht, ohne den Sulcus longitudinalis posterior zu erreichen.

Das Venenblut des Herzens sammelt sich in dem unterhalb der V. cava inferior in die rechte Vorkammer mündenden Sinus coronarius (s. Fig. 218). In ihn münden von der hinteren Fläche die Vv. cordis parva, cordis media, posterior ventriculi sinistri, V. obliqua sinistri und von vorne her die V. cordis magna, die in dem Sulc. longit. ant. von der Herzspitze aufsteigt und sich nach links wendet. Die kleinen Vv. cordis anteriores und Vv. minimae münden direkt in das rechte Atrium (foramina venarum minimarum [Thebesii]).

Als Herzachse bezeichnet man für unseren Zweck eine von der Herzspitze nach der Herzwurzel gezogen zu denkende Linie. Man nehme einen nicht zu kurzen, gespitzen Bleistift zur Hand, der dieser Achse entsprechen soll, und halte diese „Achse“ vertikal mit den Fingern vor das Brustbein mit der Spitze nach unten unter der Annahme, daß das rechte (venöse) Herz genau in die rechte, das linke (arterielle) Herz genau in die linke Körperhälfte fällt, die Herzscheidewand also median stünde. Nun beachte man folgende vier Punkte bei gleichzeitiger Ausführung der Achsenverschiebungen mit dem Bleistift.

1. Die Achse liegt nicht vertikal, sondern derart schief, daß die Spitze nach links, die Basis (das stumpfe Bleistiftende) nach rechts gerichtet ist.
2. Die Achse und damit das ganze Herz ist ferner nach links verschoben, so daß die Medianebene des Körpers die Herzachse nicht in der Mitte schneidet, sondern derart, daß nur ein Drittel des Herzens in die linke und nur ein Drittel in die rechte Körperhälfte fallen.
3. Die Spitze des Herzens tritt nach vorn an die Innenfläche der Brustwand, die Basis nähert sich der Wirbelsäule. Dadurch wird die bis dahin vordere Herzfläche zur hinteren, die bis dahin hintere zur vorderen, dem Zwerchfell aufgelagerte Fläche.

Nach den drei angegebenen Abweichungen der Herzachse von der ursprünglich angenommenen Stellung würde die Herzscheidewand in der Ansicht des Herzens von vorn die Trennungslinie zwischen den rechten und linken Herzmassen erkennen lassen.

4. Das Herz ist nun aber noch derart um die Achse gedreht (bei Betrachtung einer Ansicht von vorn her im Sinne des Uhrzeigers), daß der weitaus größte Teil des rechten Herzens vorn (und oben), der größte Teil des linken hinten (und unten) liegt. Infolge dieser Drehung nähert sich die Scheidewand, wie am besten Gefrierschnitte lehren (s. Fig. 215), ihrer Richtung bedeutend der Frontalebene.

Es ergibt sich (Figg. 216, 219—221, 223). Die Vorhöfe liegen kopfwärts und mehr medial, die Ventrikel sind der Brustwand näher gelagert und liegen zugleich kaudal. Durch diese unter 4 erwähnte Drehung ist der rechte Vorhof und der rechte Ventrikel ganz nach vorn gelangt; der linke ist nach lateral und hinten gerückt. Am weitesten nach vorn liegt der rechte Ventrikel, rechts der rechte Vorhof, links der linke Ventrikel, ganz hinten der linke Vorhof (s. Fig. 222). In der Ansicht von vorn sind sichtbar (s. Fig. 216): Der linke Ventrikel mit dem Ursprung der A. pulmonalis, Conus arteriosus, eine schmale

Fig. 219. Projektion der Brust- und Bauchorgane auf die Oberfläche des Körpers. Ansicht von vorn. Die Beziehung zwischen Milz und linker Niere (Milznierenwinkel) ist durch den Magen überlagert.

Fig. 220. Projektion der Brust- und Bauchorgane auf die Oberfläche des Körpers. Ansicht von hinten.

Zone des linken Ventrikels, das vordere Ende des linken Herzohres, ein guter Teil des rechten Vorhofes, vor allem das rechte Herzohr; jedes Herzohr ist der Wurzel des aus der entgegengesetzten Ventrikel stammenden Arterienrohres angelagert, d. h. das rechte Herzohr der Aorta, das linke der A. pulmonalis.

Die *Projektion des Herzens auf die vordere Brustwand* wird durch folgende Linie auf der Außenfläche der Brustwand bestimmt (Fig. 223):

1. Die *untere Herzlinie* beginnt mit dem Punkte des Spitzenstoßes. Dieser liegt in 5. linken Interkostalraum in der Mitte zwischen Mammillarlinie und Parasternallinie am unteren Rande der 5. Rippe. Sie endigt, schief nach rechts aufsteigend, am unteren Rande des 5. rechten Rippenknorpels, 2 cm vom Sternalrand entfernt. Bei diesem Verlauf schneidet sie die Spitze des 6. Rippenknorpels. Von hier läuft aufwärts

2. die *rechte Herzlinie* zum oberen Rand der 3. rechten Rippe, 2 cm vom Sternalrand entfernt. Von ihrem oberen Ende zieht

3. die (keine *scharfe* Grenze bezeichnende) obere Herzlinie zur Mitte des 2. linken Interkostalraumes, wo sie 3 cm vom Sternalrand ihr Ende findet. Dort beginnt

4. die *linke Herzlinie*, die nach unten zur Herzspitze verläuft.

Im Zusammenhang mit dieser Projektion müssen die Projektionen der großen Gefäßstämme vorgenommen werden, weil die Übersicht über die Beziehungen zwischen der Brustwand und den einzelnen Teilen des Herzens erst dann vollständig wird. Die Einmündungen der beiden *Hohlvenen* liegen am 3. und 6. Rippenknorpel rechts vom Sternalrand. Dadurch ergibt sich die Längenausdehnung der rechten Kante des rechten Vorhofs, die ab parallel dem rechten Sternalrand liegt. Die Vena cava superior reicht von der Insertion der 3. Rippe bis zu der der 1. Rippe empor. Hier nimmt die Projektion der kurzen V. anonyma dextra ihren Anfang, die bis zur Articulatio sternoclavicularis dextra reicht. Die Projektion der linken V. anonyma erstreckt sich von der Insertion der 1. Rippe rechts längs des oberen Brustbeinrandes zur linken Articulatio sternoclavicularis.

In der Höhe der 3. Rippe links am Sternum liegt das *linke Herzohr* auf dem Rippenknorpel an der Knorpelknochengrenze. Von da an bis zur Mitte des Brustbeins und nach aufwärts bis zum oberen Rande der 2. Rippe liegt die Projektion der A. pulmonalis, die in den 2. Interkostalraum hineinragt. Ebenfalls in Höhe der 3. Rippe, aber hinter der rechten Hälfte des Sternums, zwischen der Projektion der A. pulmonalis und der Vena cava superior liegt die Projektion der Aorta ascendens; der Arcus aortae liegt in 1 cm Entfernung vom oberen Brustbeinrande und am unteren Rande der Vena anonyma sinistra. *Seit der Projektion reicht bis in den 1. Interkostalraum links.* Zieht man von der Mitte des Brustbeins in der Höhe der 3. Rippe eine Linie zur Insertion der 6. Rippe rechts, so gibt die ungefähr die Grenze zwischen rechtem Vorhof und rechtem Ventrikel an. Hiernach ergeben sich ganz kurzgefaßt folgende topographische Beziehungen:

1. Alles, was *rechts* vom Brustbein liegt, gehört dem rechten Vorhof an. Das rechte Herzohr liegt hinter der rechten Hälfte des Brustbeins in Höhe des 3. Interkostalraums.

2. Den linken Rand der Herzprojektionsfigur nimmt etwa einen Finger breit die Projektion des linken Ventrikels ein.

3. Alles, was dazwischen liegt, gehört dem rechten Ventrikel an.

Fig. 220.



Fig. 221.

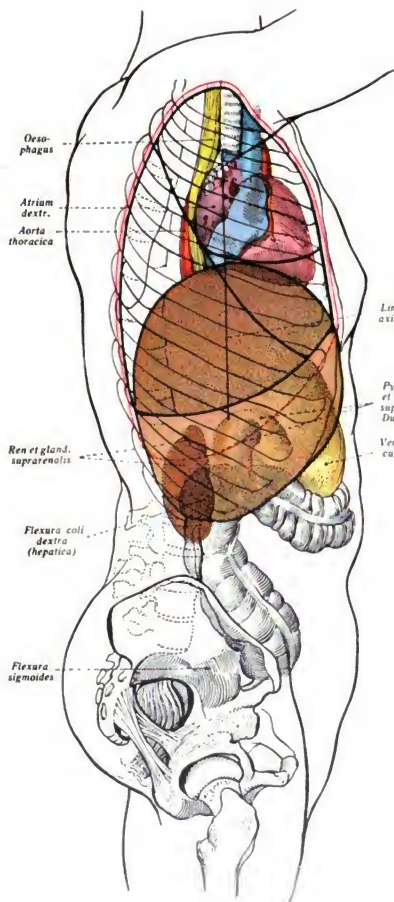


Fig. 221 a.

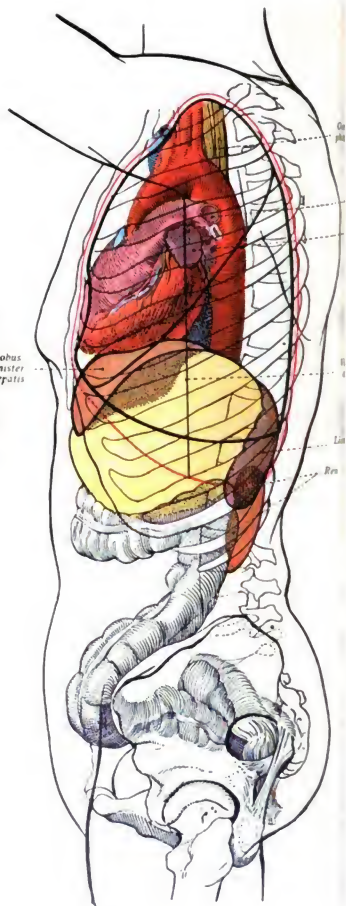


Fig. 221. Projektion der Brust- und Baueingeweide auf die Körperoberfläche. Ansicht von rechts.

Fig. 221a. Projektion der Brust- und Baueingeweide auf die Körperoberfläche. Ansicht von links.

Entsprechend dieser Lage müssen sich die Herzklappen sehr unsymmetrisch projizieren. Oberflächlich liegen die Klappen des rechten Herzens, und zwar die *Valvula tricuspidalis* am Ansatz der 5. Rippe rechts am Sternum, die *Semilunarklappe der A. pulmonalis* am oberen Rande des 3. Rippenknorpels und zum Teil hinter dem Sternum. Tief liegen die Klappen des linken Herzens, und zwar unmittelbar dorsal von der Pulmonalisklappe, ein wenig tiefer hinter dem Brustbein die *Semilunarklappe der Aorta* und ganz dorsal in der Höhe des 3. Interkostalraumes die *Mitralklappe*, Mitralklappe und Tricuspidalklappe lie-

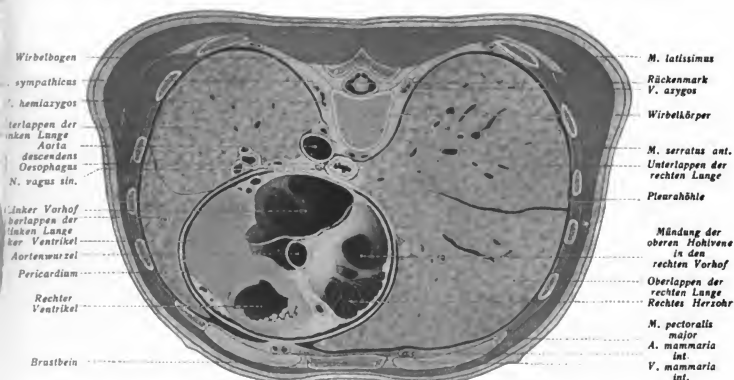


Fig. 222. Querschnitt der Brust in der Höhe der Brustwarzen. (Die rechte Lunge ist auf Kosten der linken etwas vergrößert.) Obere Schnittfläche von unten gesehen.

gen auf einer Linie, die von der Insertion der 6. Rippe rechts zur Insertion der 3. Rippe links zieht; die arteriellen Ostien links oberhalb dieser Linie.

Abgesehen von der *Facies sternocostalis* des Herzens, die bei der Projektion unmittelbar auf die vordere Brustwand fällt und dort die Herzfigur bildet, kommen der *Facies diaphragmatica* des Herzens andere Beziehungen zu: Der hintere Teil liegt unten auf dem Zwerchfell; oben liegt er, nur durch den Herzbeutel getrennt, vor der Speiseröhre und dem Geflecht des linken N. vagus. Durch seine Lagerung auf dem Zwerchfell erhält das Herz unmittelbare nachbarliche Beziehungen zum linken Leberlappen und dem Fundus des Magens. Der seitliche Teil der *Facies diaphragmatica* nebst dem linken „stumpfen“ Rande des Herzens und der Herzspitze lagert sich in die *Facies mediastinalis* der linken Lunge ein. Von den Vorhöfen ist der rechte in die *Facies mediastinalis* der rechten Lunge eingebettet, der linke ist mit seiner linken Kante dem Hilus der linken Lunge zugewendet. Beide Vorhöfe lassen eine gemeinschaftliche obere Fläche erkennen, die dem Sinus transversus pericardii zugewendet ist, und eine untere, die den Hauptteil der Herzbeutelhöhle von oben her abgrenzt. (Vgl. beim Herzbeutel weiter unten.)

Fig. 223. Projektionsfigur des Herzens.

Fig. 224. Situs der Brust- und Baueingeweide eines 6jährigen Kindes nach Symington.

## Anwendungen.

Die als Norm bezeichnete Projektion des Herzens behält ihren Wert trotz der vielfachen Abweichungen, die durch die Gestalt der Projektionsfläche (Thoraxwand) gegeben sind (vgl. oben S. 145). Insofern am Skelett sexuelle Unterschiede bestehen (größere Breite und geringere Länge des Brustbeinkörpers, Steilheit des Rippenbogens beim weiblichen Thorax), werden die äußeren Umrisse der Herzfigur nicht immer auf die angegebenen Skelettpunkte fallen. Hierzu kommen Verschiedenheiten, die sich aus der Form des Herzens selbst ergeben. Das kindliche Herz, das relativ größer ist, als das des Erwachsenen und sich in dem kleineren Thorax anders einlagern muß, führt zu anderer Projektion, die dem *Kinderarzt* geläufig sein muß (Fig. 224). Das Herz liegt hier mehr horizontal und erscheint breiter, der Spitzenstoß liegt weiter auswärts (bei Neugeborenen bis zur Mammillarlinie), aber wegen der Kürze des Thorax auch — auf die Rippen bezogen — etwas tiefer als beim Erwachsenen.

Die durch parallelgerichtete Röntgenstrahlen (Orthodiagraphie) entworfene *Herzsilhouette* ergänzt die topographisch-anatomischen Vorstellungen. Die Figuren (225—228) zeigen, wie die Form des Herzens in der Silhouette zum Ausdruck gelangt. Das Röntgenbild lehrt besser, als die Untersuchung an der Leiche die natürliche Lagerung des Herzens, da postmortale Einflüsse (Erschlaffung, Totenstarre, Drehungen) wegfallen. Die Neigung der Herzachse und die Einteilung der Herzspitze zwischen Zwerchfell und vordere Brustwand ist erst durch die Röntgenographie in ihren natürlichen Verhältnissen festgestellt worden. Als wichtige Abweichung ist zu nennen, daß der wahre Ort der Herzspitze weiter innen liegt, als die makroskopisch sichtbaren und fühlbaren Stellen des „Spitzenstoßes“. Das Herz paßt sich dem ihm zur Verfügung stehenden Raum an. Bei schlankem, hohem Brustkorb normal oder abnorm bei paralytischem oder phthisischem Habitus (s. o. S. 146) steht das Herz steil, erscheint im Röntgenbild gleichsam als „Tropfen“ an der Aorta. Bei gedrungem Thorax steht es weniger steil, liegt sich daher mehr in die Quere. Die Röntgensilhouette gestattet Ausmessung und dadurch exakte Vergleichung. Gemessen wird ihr Längsdurchmesser (von der Spitze bis zur Vereinigungsstelle der beiden rechten Herzbögen) und der Transversaldurchmesser. Nur dies Maß ist praktisch verwertbar und ausdeutend, da die Meßpunkte gegeben und leicht zu nehmen sind, und da der Transversaldurchmesser das einzige Maß ist, das bei der Projektion nicht verzerrt wird. Bei der schrägen Lage der Herzachse ist es natürlich, daß das Herz kürzer erscheint, als es in Wirklichkeit ist. Die feine optische Projektion des lebenden Herzens durch die Orthodiagraphie ergänzt auch hinsichtlich der Umriss die grobe Projektion des Leichenherzens (Fig. 229 und 230). Die einzelnen Wandstrecken der Herzhöhlen und der großen Gefäße zeichnen sich als *bogenförmige Linien* ab, zwischen denen scharfen Einziehungen bestehen. Fig. 229 zeigt diese Bögen in der Silhouette, Fig. 230 ihre Beziehungen zu den Herzabschnitten. Besonders ist aufmerksam zu machen auf die Bögen I und II links, die dem Vorsprung des Aortenbogens in den 1. und dem Vorsprung des Stammes der A. pulmonalis in den 2. Interkostalraum entsprechen.

Die *Pekussion* stellt annähernd die oben angegebenen Herzgrenzen fest (*relative Herzdämpfung*). Da aber die Lage des Herzens dem Zwerchfell folgt, so wird bei der Inspiration das Herz tiefer in den Thorax sinken. Die Lungen treten dann zwischen Brustwand und Herz. Da außerdem rechts das Herz an sich schon tiefer im Thorax liegt, wird die Herzdämpfung rechts vom Brustbein und auch hinter der rechten Sternalhälfte mehr und mehr mit Lungenschall vermischt sein. Als *absolute Herzdämpfung* wird der Bezirk bezeichnet, der den leeren Herzklang, ohne Beimischung von Lungenschall ergibt. Er wird begrenzt (Fig. 223): *rechts* vom linken Sternalrand von der 4. Rippe ab; *oben* vom unteren Rande der 4. Rippe bis jenseits der Parasternallinie, *links* von einer von diesem Punkte nach abwärts gezogenen Senkrechten. *Unten* ist eine Grenze nicht vorhanden, da die absolute Herzdämpfung hier mit der durch den linken Leberlappen erzeugten Dämpfung zusammenfließt. Die obere und linke Grenze können auch im Bogen zusammenstoßen, es kann auch statt dessen eine gerade Linie, von der Insertion des 4. Rippenknorpels schräg nach außen unten als Grenze auftreten, so daß die absolute Herzdämpfung dann ein gleichschenkliges Dreieck mit der Spitze im Schnittpunkt von Parasternallinie und 6. Rippe ist. Im allgemeinen fällt die linke Grenze der absoluten Herzdämpfung mit der Incisura cardiaca der linken Lunge *nicht* zusammen, da sich ein feiner Saum der Lunge, der den Schall nicht beeinflusst, über das Herz hinüberschiebt.

Fig. 223/24.

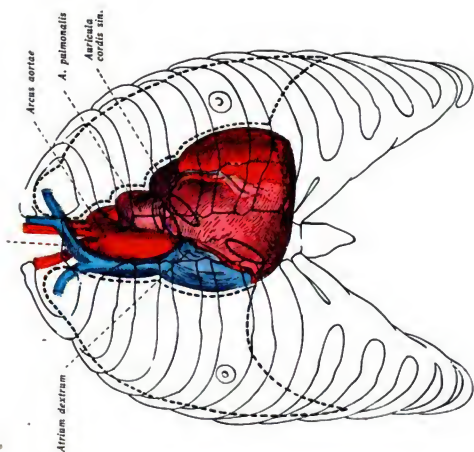
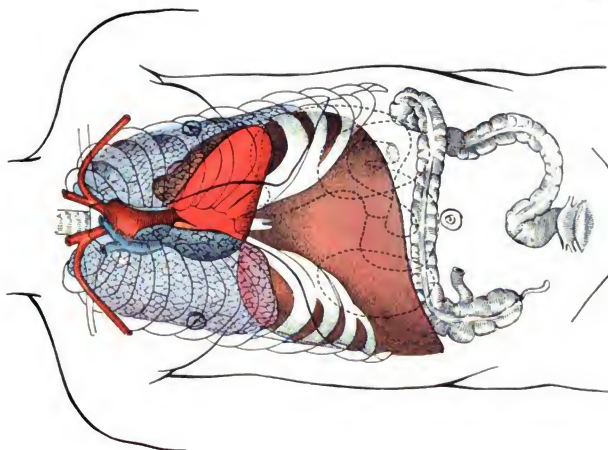




Fig. 225/228.

Fig. 226.



Fig. 225.





Fig. 225. Normales Herz. 18jähr. Student. Herz gesund, leicht asthenischer Habitus (Tropfenform). Sämtliche Lungbogen stark ausgebildet, besonders der Pulmonalbogen. Links unten das Perikard als helleres Dreieck sichtbar. Verkleinerung auf  $\frac{1}{10}$ .

Fig. 226. Normales Herz. 24jähr. vollkommen gesunder Mann. Rechter Pfeil Aorta ascendens. Mittlerer Pfeil Aorta descendens, innerhalb des Pulmonalschattens sichtbar. Linker Pfeil Grenze zwischen Pulmonalis und linkem Herz. Aufnahme-technik: 60 cm-Induktor. Wehnelt-Unterbrecher, Modifikation nach Groedel. Schleußner-Film mit 2 Verstärkungsschirmen, Expositionszeit etwa  $\frac{1}{100}$  Sek. Verkleinerung auf  $\frac{1}{10}$ .

Fig. 227. Sagittaltbild des Herzens und Injektion des rechten Herzens in situ von der rechten Vena subclavia aus. Man kann folgende Teile verfolgen: Vena cava superior, rechter Vorhof, Vena cava inferior, rechter Ventrikel, Ort der Pulmonalklappen ( $\rightarrow$ ), Conus arteriosus, Lungenarterien.

Fig. 228. Insuffizienz und Stenose der Mitralklappen, Insuffizienz der Aortenklappen. 12jähr. Junge mit subakutem Rheumatismus. Das Herz ist diagonal gelagert. Sämtliche Herzbogen sind stark ausgeprägt, die Vena cava inf. ist in röhrender Ausdehnung sichtbar, ebenso die untere Herzgrenze, die Leber- und Milzkonturen. Verkleinerung auf  $\frac{1}{10}$ . (Aus Groedel, Röntgendiagnostik, 3. Aufl.)

Die Anordnung der Klappen begründet die Methode der *Auskultation*. Nur die Valvula tricuspidalis kann da, wo sie sich auf den Thorax projiziert, auch auskultiert werden. Die drei anderen Klappen würden, am 3. Rippenknorpel auskultiert, ihre Töne vermischen. Man untersucht daher an solchen Stellen, wo die Töne der einzelnen Klappen fortgeleitet isoliert zu hören sind. Da die Ventrikel des Herzens mit der Herzspitze mehr nach vorn liegen, als die Vorhöfe, sind *Verletzungen der Ventrikel relativ häufiger, als solche der Vorhöfe*; auch kann infolge dieser Lage eine horizontal eindringende Verletzung vorn Ventrikel und hinten Vorhöfe zugleich treffen. Da ferner die Ventrikel der Innenfläche der Brustwand in der Sternalgegend anliegen, so kann bei starker Herzhypertrophie die Pulsation im Epistrium (unter dem Proc. xiphoideus) gefühlt werden. Es ist klar, daß, wenn die Lungen, z. B. durch Emphysem, gebläht sind, die absolute Herzdämpfung an Umfang *abnehmen*, ebenso wie bei Zurückweichen oder Zurückdrängen der Lungenränder, z. B. durch ein *zu großes Herz*, die Dämpfung *zunehmen* muß (s. den Querschnitt Fig. 222).

Das Herz liegt in dem Mediastinum nicht frei, sondern innerhalb der Perikardialhöhle, umhüllt vom *Herzbeutel*. Dieser ist mit seinem Inhalt zwischen die beiden Pleurae mediastinales derart eingeschaltet, daß er, der nach links gerückten Lage des Herzens entsprechend, gegen die linke Pleurahöhle stärker vorspringt als gegen die rechte, wobei man sich erinnert, daß die linke Pleurahöhle (wie auch die linke Lunge) kleiner ist als die rechte, und die linke Lunge eine tiefer ausgehöhlte Facies mediastinalis besitzt als die rechte Lunge.

Der Herzbeutel besitzt eine innere *seröse* und eine äußere *fibröse* Schicht. Durch diese äußere fibröse Schicht wird die Verbindung des Herzbeutels mit der Nachbarschaft hergestellt, und zwar: 1. Seitlich durch die Pleura mediastinalis („pericardiaca“ s. oben S. 166 und Fig. 233; 2. unten mit dem Zwerchfell; 3. oben mit den großen Gefäßen, in deren Scheide und adventitielles Gewebe das fibröse Gewebe des Herzbeutels übergeht. Da Zwerchfell und Pleurae mediastinales durch die Atembewegungen in Spannung gehalten werden, so ist der Herzbeutel im Leben nicht wie in der Leiche in schlaffer Sack, sondern allseitig angespannt. Da die großen Gefäße ihrerseits wieder an der oberen Thoraxapertur befestigt sind, so bildet

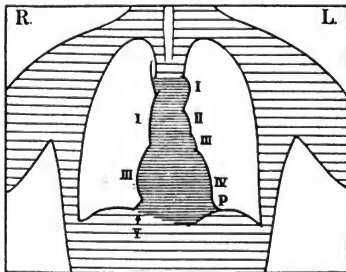


Fig. 229. Dorsoventrales Sagittaltbild des Herzens. Rechts: I rechter Gefäßbogen, II rechter Vorhofbogen, V Vena cava inf. Links: I Aortenbogen, II Pulmonalisbogen, III linker Vorhofbogen, IV linker Ventrikelbogen.

Fig. 233. Die untere Schnittfläche der Figur 222 von oben her gesehen und plastisch ergänzt zur Demonstration der Lagebeziehungen von Lungen, Herz, Leber und Magen. Die Organe sind durchsichtig gedacht.

Fig. 234. Situs der Brusteingeweide vierte Schicht. Dasselbe Präparat wie Fig. 206. Herz herausgenommen. Bei eine Sonde unterhalb des Mesostrium.

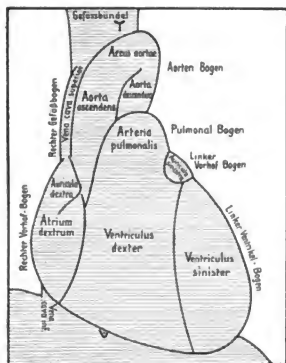


Fig. 230. Anteil der verschiedenen Herz- und Gefäßteile am Mittelschatten des Sagittalbildes. Auf Grund röntgenanatomischer Untersuchungen zusammengestellt.

(Aus: Groedel, Die Röntgendiagnostik der Herz- und Gefäßkrankheiten. H. Meußner, Berlin 1912.)

stande wäre der Herzbeutel eine Hülle, die an zwei Stellen auf das Rohr übergeht und als Höhlung einen zylindrischen Spalt umfaßte. Biegt man nun das Rohr so, daß bei festgehaltener linker Hand die Rechte dicht vor die Linke tritt, so erhält man die Verhältnisse des ausgebildeten Herzbeutels. Das Rohr ist jetzt nach Art kommunizierender Röhren U-förmig gebogen; porta arteriosa und porta venosa liegen zwar *dicht voreinander*, sind aber überall *scharf voneinander getrennt*. Anstatt eines zylindrischen Spaltes besteht die Höhlung jetzt aus zwei verschiedenen geräumigen Spalten, erstens dem großen, der die Konvexität des Rohres umgibt, und dem kleinen, der zwischen den Schenkeln des U-förmig gekrümmten Rohres liegt; dies ist der Sinus transversus pericardii. Die Fig. 231 u. 232 geben die Dinge schematisch wieder. Zugleich erhellt daraus, wie auch aus dem Modell, warum die Arterien ringsum zu umfassen sind, die Venen dagegen, die von der hinteren Brustwand und der mediastinalen Fläche

det der Herzbeutel zugleich Stütze und Hülle, in der das Herz frei beweglich und sanft an seinen Wänden sich verschiebend, seine Bewegungen ausführen kann.

Auch am Perikardium unterscheidet man ein parietales Blatt („Herzbeutel“) von einem viszeralem (Epikard).

Die Einlagerung des Herzens in seine seröse Höhle unterscheidet sich aber grundsätzlich in einem Punkte von der Einlagerung der Eingeweide in die Pleura- und Bauchhöhlen (*Gaupp*). Während z. B. die Lunge an *einer* Stelle in die seröse Höhle eingesenkt ist und demnach nur *eine* Umschlagstelle besteht (am Hilus), ist das Herz ein Schlauch, der durch seine seröse Höhle *hindurchgeführt* ist. Man kann sich dies Verhältnis leicht an einem Modell klar machen, wenn man ein Gummirohr an zwei Stellen mit der linken und rechten Hand umfaßt. Die linke Faust werde mit der Daumenseite neben dem umfaßten Rohr vor die Brust gehalten; sie stelle die Eintrittsstelle der *Venen* dar. Die hier entstehende (durch die umfassende linke Hand markierte) Umschlagstelle ist die „Porta venosa“. Distal umfaßt die rechte Hand den Schlauch. Hier liegt die Austrittsstelle der Arterien; die hier entstehende Umschlagstelle ist die „Porta arteriosa“. In diesem Zu-

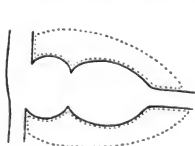


Fig. 231.



Fig. 232.

2 Schemata zur Erläuterung der Beziehungen zwischen Herz und Herzbeutel. (*Gaupp*, Anatom. Anz. 1912.) Erklärung im Text.

Fig. 233.

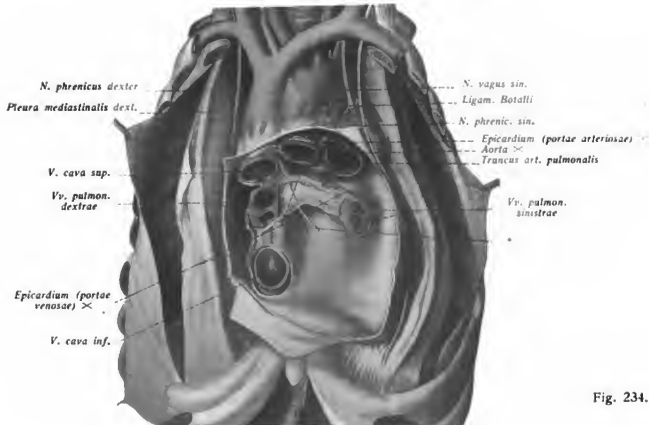
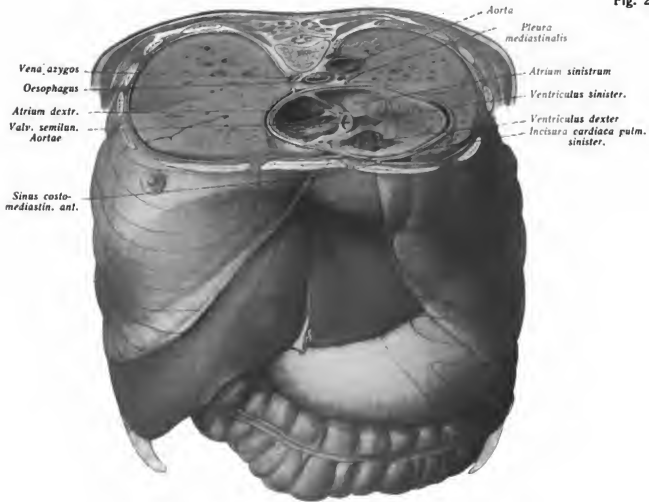


Fig. 234.

Fig. 235.

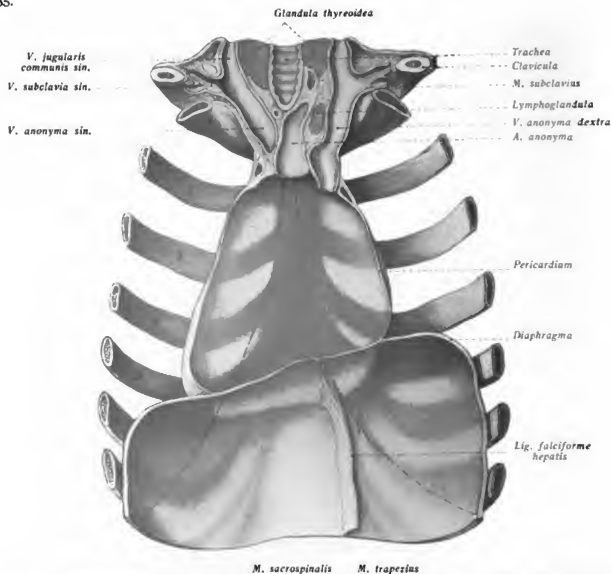


Fig. 236.

Fig. 235. Vordere Thoraxwand mit Herzbeutel und Zwerchfell von innen gesehen. Die beiden gestrichelten und punktierten Linien stellen die vorderen Pleuragrenzen dar; zwischen ihnen liegt in der Höhe des Ansatzes des 5. linken Rippenknorpels die Stelle für die Punktion des Herzbeutels. Formalinpräparat.

Fig. 236. Querschnitt der Brust (Gefrierschnitt) in der Höhe der Teilungsstelle der Luftröhre. Die linke Lunge an der Spitze erkrankt und im ganzen verkleinert, die rechte entsprechend vergrößert.

antraten, nicht. Die venöse Pforte hat eben die Merkmale eines sich von der Wand erhebenden Mesenteriums (Mesokardium, besser Mesoatrium), an dem die Vorhöfe aufgehängt sind.

Die arterielle, wie die venöse Pforte umfassen anfänglich nur je ein Rohr. Wenn das Herz sich in rechtes und linkes Herz gliedert, schreitet diese Sonderung auch auf Venen und Arterien fort. So kommt es, daß in der arteriellen Pforte Aorta und Art. pulmonalis von einer gemeinsamen epikardialen Umhüllung umfaßt werden und daß andererseits auch beide Hohlvenen und alle vier Lungenvenen in einer gemeinsamen Umschlagsstelle liegen. Diese letztere wird, da die linken Lungenvenen räumlich von den rechten weit entfernt liegen, und da obere und untere Hohlvene durch die Höhe des rechten Vorhofes getrennt sind, wie ein liegendes T. gestaltet (|—) Oben und unten auf dem kurzen (senkrechten) Balken liegen die Hohlvenen, rechts und links auf dem langen (horizontalen) Balken liegen die Lungenvenen (Fig. 234).

Die Perikardialhöhle zeigt also zunächst ihren Hauptteil, der vor der Facies sternosternalis des Herzens liegt und nach aufwärts bis zur Umschlagsstelle auf die Arterien reicht. Sie trennt dann auch die Facies diaphragmatica des Herzens vom Perikardium und wird hier nach aufwärts von der unteren Fläche der Vorhöfe begrenzt. Der kleinere Teil der Perikardialhöhle ist dann der Sinus transversus pericardii (Fig. 237), vorn von den Arterien, hinten und unten von der oberen Fläche der Vorhöfe und oben von einem Stück des Pericardiums begrenzt, das sich von den Arterien zu den Vorhöfen hinüberschlägt. Die Umschlagsstelle an den Arterien beginnt vorn auf der Aorta ascendens etwa 1 cm vor Abgang der A. anonyma, läuft um die Aorta rechts herum, steigt auf der hinteren Aortenwand noch ein Stück nach aufwärts, geht nach links hinab unter die Teilungsstelle der A. pulmonalis hinweg und läuft vorn wieder zur Aorta zurück. Der rechte Ast der A. pulmonalis ist weit nach abwärts gerichtet, daß er auf seiner unteren Fläche vom viszeralen Perikardium überzogen wird. Nach dem oben Gesagten ist es verständlich, daß man hinter den Arterien den Finger durch den Sinus transversus pericardii hindurchführen kann. Dadurch ist die „Porta arteriosa“ ohne weiteres sichtbar zu machen.

Die Porta venosa muß an der Leiche dadurch sichtbar gemacht werden, daß man die mündenden Venen kräftig anspannt. Man findet die Vena cava superior oben rechts oben der Aorta in der Ansicht von vorn, die Vena cava inf., wenn man das Herz nach unten links drängt; die Vv. pulmonales sinistralae, indem man das Herz an der Spitze hebt und nach oben rechts umschlägt; die rechten Lungenvenen werden in der Mitte zwischen den Hohlvenen sichtbar, wenn man das Herz kräftig nach links zieht. Durchschneidet man die Arterien, so kann die venöse Pforte allseitig in ihrer |—-Form leicht übersehen werden. Durchschneidet man auch die Venen, so wird nach Herausnahme des Herzens die hintere Wand des Herzbeutels sichtbar (Fig. 234), mit den beiden zwar nahe beieinander liegenden, aber allseitig scharf gegeneinander abgegrenzten Umschlagstellen. In der Fig. 234 sieht man die abgeschnittenen Arterien und um sie die Schnittlinie des Epikardiums. Die arterielle Umschlagsstelle selbst liegt weiter von der Schnittebene der Gefäße entfernt und ist in dieser Figur nicht, wohl aber in den Figg. 237 u. 238 zu erkennen. An

der Hinterwand des Herzbeutels liegt, der Begrenzung des Sinus transv. pericardii entsprechend, eine schmale Fläche des Herzbeutels zwischen Aorta und Vena cava superior. Weiter nach abwärts drängt die Speiseröhre die Wand des Herzbeutels vollständig vor

### Anwendungen.

Sehr wichtig ist die Tatsache, daß vorn der Herzbeutel in einer relativ kleinen Ausdehnung sich unmittelbar der Innenfläche der Brustwand anlagert. Diese Stelle liegt dort, wo die beiden vorderen Pleuragrenzen auseinanderweichen, in der Höhe des 5. bis 7. Rippenknorpels dicht neben dem linken Sternalrand. Durch die innige Verbindung eines großen Teiles des Herzbeutels mit der Pleura mediastinalis (Pl. pericardiaca) erklärt es sich, daß sich Entzündungen des Herzbeutels leicht auf die Pleura fortpflanzen, wie auch, daß sich an eine Pleuritis eine Perikarditis anschließen kann. Die Pleurahöhlen sind also von der Perikardialhöhle nur durch ein dünnes Septum beiderseits getrennt; dasselbe gilt auch

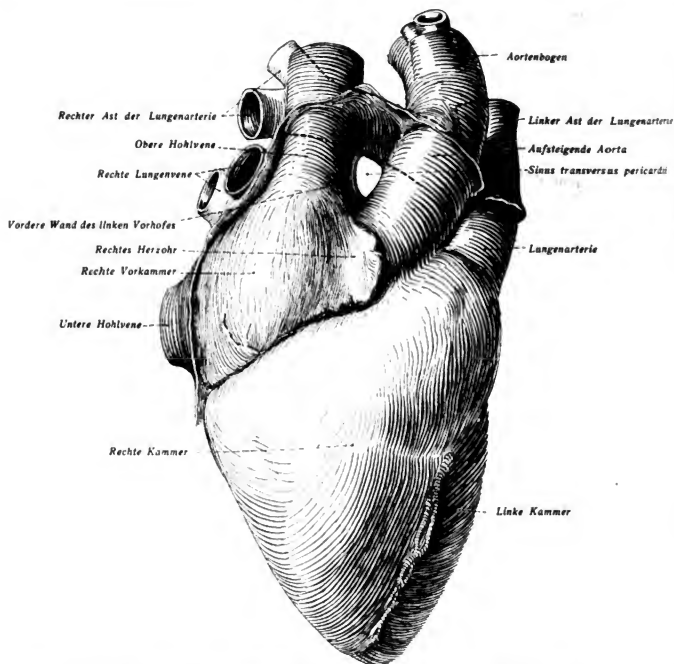


Fig. 237. Herz von rechts gesehen. Während der Konservierung (Formalin) war in den Sinus transversus ein Glasrohr eingelegt worden, sodaß er etwas erweitert erscheint.

1 Lungen und Herz. So erklärt es sich, daß *von der Lunge aus Erkrankungen* (z. B. Tuberkulose) *auf Pleura und den Herzbeutel übergreifen*. Auch kann das Septum durchbrechen, so daß Eiter aus dem Urasack (bei Pyothorax) oder Luft aus perforierten Lungenkavernen *in den Herzbeutel tritt* (Pneumothorax). Da wo der Oesophagus hinten in direkte Berührung mit dem Herzbeutel tritt (s. Fig. 238), die Stelle, wo im Herzbeutel angehäuftes Exsudat durch *Druck auf den Schlund zu Schlingbeschwerden* (Dysphagie) führen kann. Durch *Reizung des N. vagus sinister* können hier Erbrechen, Singul- sowie Stimmbandlähmung ausgelöst werden.

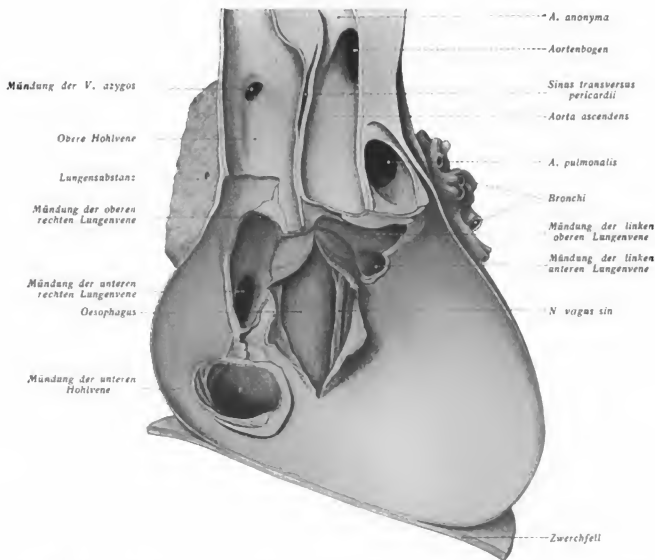


Fig. 238. Dorsale Hälfte eines Frontalschnittes des Herzbeutels mit den großen Gefäßen. In die Dorsalwand des Herzbeutels ist ein Fenster geschnitten, sodaß der Oesophagus freiliegt. Formalinpräparat.

Wie aber oben schon gesagt, variieren die Pleuragrenzen in ihrer Lage hinter der vorderen Brust- sehr stark. Daher kann die Stelle der Anlagerung des Herzbeutels an die Innenfläche der Brust- nicht absolut konstant sein. Will man daher den Herzbeutel sicher erreichen und ist er nicht, wie bei Ergüssen in die Herzbeutelhöhle, deutlich an der Brust nachweisbar, so ist es am sichersten, 4.—6. Rippenknorpel links zu resezieren und die linke Umschlagsstelle der Pleura stumpf zurück- zulegen. Man kann dann die Vasa mammaria unterbinden, den M. transversus thoracis durchtrennen so den Herzbeutel in ausgiebiger Weise *ohne* Eröffnung der Pleurahöhlen eröffnen.

Fig. 239. Thymus und Thyreoidea vom neugeborenen Kind in der Lage. Die beiden Hälften der Thymus sind durch eine winkelig geknickte Furche getrennt. Die Pleurasäcke sind von der Thymus und von dem Perikardium ab präpariert und lateralwärts zurückgedrängt. Die Thyreoidea liegt verhältnismäßig höher als bei dem Erwachsenen.

### c) Supraperikardialer Bezirk (oberes Mediastinum).

Dicht hinter dem Sternum finden wir, eingeschlossen von lockerem Bindegewebe und den beiden Pleurae mediastinales vor dem Herzbeutel und nach oben bis zum Hals ausgedehnt, die *verfetteten* Reste der Thymus, die noch in der Form *die ursprünglich paarige Beschaffenheit des Organes* erkennen lassen. Beim Kinde schimmert die graurote Drüse durch die Pleura mediastinalis hindurch. Sie liegt hier als ein *scheinbar unpaares*, durch die Präparation aber stets als paarig nachweisbares stattliches Organ mit ihrem oberen Teil auf der Vena anonyma sinistra und dem Aortenbogen, überragt das Sternum und reicht, der Trachea aufgelagert, nicht selten bis zur Schilddrüse (Fig. 239). Ihre Rückbildung, d. h. der Stillstand des Wachstums, Verfettung und zugleich Zunahme des Längendurchmessers unter Abnahme des Querdurchmessers beginnt nach den ersten Lebensjahren. Strangartige Fortsetzungen nach dem Halse und Nebenthymus sind häufig vorhanden (s. oben S. 107).

Beim Kinde werden oft abnorm große Thymusdrüsen beobachtet, die mechanische Behinderung der Atmung durch Druck auf die Trachea herbeiführen können. Ob der als „Thymustod“ beschriebene Vorgang eine rein mechanische Ursache hat oder toxischen Ursprungs (Hyperfunktion) ist, ist zurzeit nicht eindeutig entschieden. — Eine *völlige* Rückbildung der Thymus findet nicht statt. Auch der Erwachsene hat im Inneren des Fettkörpers Reste des Organes.

Dringen wir (Fig. 206), indem wir die Mediastinalblätter zurückpräparieren, in dem Gewebe des Mediastinums vor, so legen wir oberhalb des Herzens rechts leicht die Vena cava superior mit dem ihr außen aufgelagerten N. phrenicus dexter frei. Sie verursacht hier einen tiefen Eindruck an der medialen Seite der rechten Lungenspitze (s. Fig. 206). Sie entsteht in der Höhe des Sternalansatzes der ersten rechten Rippe aus der längeren linken und der kürzeren rechten Vena anonyma. Jede V. anonyma bildet sich hinter der Articulatio sternoclavicularis aus dem Zusammenfluß der V. jugularis communis und der V. subclavia (s. Fig. 83 u. a.). Die linke V. anonyma überragt den oberen Sternalrand nicht, sie nimmt die V. thyreoidea ima auf (s. Fig. 239). Von der Wirbelsäule her tritt als dritte Wurzel der V. cava sup. die V. azygos (Fig. 215, 238, 243) über den rechten Bronchus um von hinten in die Hohlvene dicht oberhalb ihres Eintritts in den Herzbeutel einzufließen.

Die Vena cava superior bildet ein kleinfingerdickes Rohr, das senkrecht hinabsteigt, um im Herzbeutel zu verschwinden. Links daneben parallel zu ihr liegen zwei andere Rohre in der Mitte die aufsteigende Aorta, links der Stamm der A. pulmonalis. Beide Gefäße liegen innerhalb des Herzbeutels, so daß man nach Entfernung der Thymus neben der oberen Hohlvene von der Aorta ascendens nur ein kleines Stück, vom Stamm der A. pulmonalis nichts sieht (Fig. 206). Erst die Eröffnung des Herzbeutels (Fig. 216) zeigt mehr. Man mache sich klar, daß die Aorta an ihrem Ursprung *hinter* der A. pulmonalis verläuft und diese *kreuzt*, so daß die Aorta, obwohl sie aus dem *linken* Ventrikel stammt, *rechts* von der A. pulmonalis liegt und von den drei Hauptstämmen an der Herzbase die *mittlere* ist. Die aufsteigende Aorta ist bis 1 cm unterhalb der Abgangsstelle der A. anonyma, wo der Aortenbogen beginnt, also *fast ganz*, im Herzbeutel gelegen. Sie verläuft bei einer Länge von ungefähr sechs Zentimetern von hinten links und unten, nach v



Fig 239.

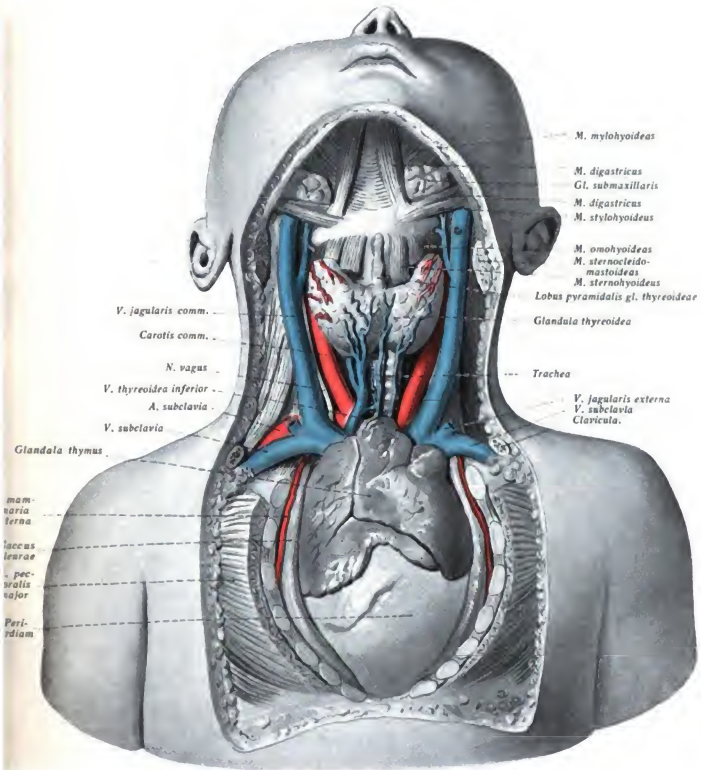


Fig. 240.

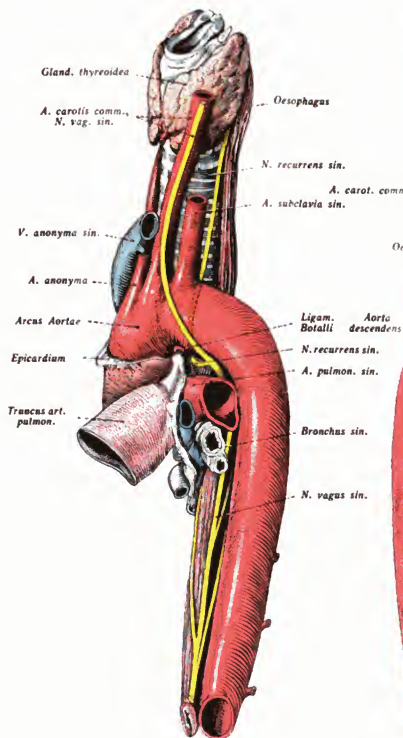


Fig. 241.

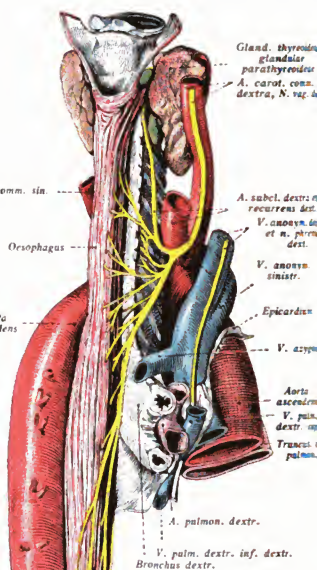


Fig. 240. Organe des Mediastinums in der Ansicht von links. (In situ mit Formol gehärtet und dann herausgenommen).  
 Fig. 241. Dasselbe Präparat von rechts.

rechts und oben, so daß sie sich immer mehr der Innenfläche der Brustwand nähert. Am Ursprung — in der Höhe des oberen Randes des Sternalansatzes des 3. Rippenknorpels — liegt sie demnach sechs Zentimeter, in der Höhe des 1. Interkostalraumes aber nur zwei Zentimeter hinter dem Sternum (Fig. 223). Mit ihrem rechten konvexen Rande reicht sie bis zu dem rechten Sternalrand. Die wichtigsten Äste der aufsteigenden Aorta sind die beiden aus dem rechten und linken Sinus aortae (Valsalvae) entspringenden *Kranzarterien* des Herzens (s. S. 166).

Der Arcus Aortae beginnt dicht unterhalb der Abgangsstelle der Art. anonyma und reicht bis zum Übergang in die Aorta descendens an der linken Seite des 3.—4. Brustwirbelkörpers. Er verläuft über die linke Lungenwurzel *in sagittaler Richtung* (vgl. Fig. 240, 41, 242), *entfernt* sich also — im Gegensatz zur aufsteigenden Aorta — von Beginn an immer mehr von der vorderen Brustwand. Zuerst geht er über die A. pulmonalis dextra, dann, der Trachea von links her angelagert, über den linken Bronchus. Zugleich legt er sich an die linke Seite des Oesophagus. Das Gefäß erreicht die Wirbelsäule links neben dem 4. Brustwirbel. Über dem oberen konvexen Rand liegt vorn die V. anonyma sinistra, die in nach links schief aufsteigender Richtung die drei aus dem Bogen kommenden Hauptäste — A. anonyma, A. carotis sinistra, A. subclavia sinistra — an ihrem Ursprung kreuzt (Fig. 206 u. a.). Nach oben überragt der Bogen nicht den Sternalansatz der 1. Rippe und endet mit dem höchsten Punkt ungefähr in der halben Höhe des *Manubrium sterni* (Fig. 223). Aus dem Verlauf des Bogens ergibt sich schon, daß die drei großen Gefäße, die hier entspringen, anfänglich alle *links* von der Mittellinie liegen (vgl. die Figg. 206, 216, 234), und zwar die A. anonyma ganz vorn, dann hinter ihr die A. carotis communis sinistra, dann die A. subclavia sinistra ganz in der Tiefe. Die A. anonyma muß, um auf die rechte Seite zu gelangen, an der oberen Thoraxapertur *die Luftröhre kreuzen*. Diese liegt also hier in einer Hohlkehle, die von der A. anonyma und der A. carotis communis sinistra gebildet wird. Die A. subclavia sinistra springt von oben in die linke Pleurakuppel vor (s. Fig. 203) und hinterläßt der linken Lungenspitze die früher erwähnte Furche (s. S. 161 u. Fig. 208, 209). Der rechte N. vagus tritt hinter der V. jugularis communis und vor der A. subclavia dextra in das Mediastinum. Nachdem er den N. laryngeus inferior dexter um die A. subclavia dextra zurückgesandt hat, tritt er an die rechte Seite der A. anonyma; dann verläuft er längs der Trachea und verschwindet *hinter* dem rechten Bronchus. Der *linke* N. Vagus gelangt zwischen A. carotis sinistra und A. subclavia sinistra an die linke Seite des Aortenbogens und verschwindet hier gleichfalls *hinter* dem Lungenhilus (A. pulmonalis sinistra und linker Bronchus). Um den Bogen läuft rückwärts nach oben der N. laryngeus inferior aus dem N. vagus sinister (s. S. 135 u. 178, 174, 204, 206, 216). Er ist der *motorische* Kehlkopfnerf.

Die *Arteria pulmonalis* liegt, mit der Aorta descendens bindegewebig verwachsen (s. S. 173), *fast ganz* im Herzbeutel (s. Fig. 216). Die Aorta ascendens liegt an ihrer rechten Seite. Sie reicht von dem Sternalansatz des linken 3. Rippenknorpels bis zu dem des 2., also im 2. Interkostalraum links am leichtesten zugänglich (Fig. 223); am Ursprung nur 2 cm von der vorderen Brustwand entfernt, läuft sie *nach hinten* aufwärts, etwas nach links gerichtet und zerfällt nach ungefähr 5 cm langem Verlauf außerhalb des Herzbeutels in

den rechten und linken Ast. Von der Teilungsstelle oder von dem Anfang des linken Astes läuft zur Konkavität *stromabwärts vom Ursprung der A. subclavia sinistra* des Aortenbogens das *Ligamentum arteriosum* (s. Fig. 217) (der Ductus Botalli des Fötus stellt eine feine Lichtung behält, *Gräber*). Unter ihm hinweg zieht der N. recurrens sinister, der also an dieser Stelle leicht und sicher aufzufinden ist. Von den beiden Ästen der A. pulmonalis liegt der *linke*, von keinem anderen verdeckt, ganz oberflächlich vor dem Bronchus sinister und der Aorta descendens. Der *rechte* dagegen liegt ganz tiefer und nicht ohne weiteres zugänglich. Er verläuft *quer unter dem Aortenbogen hindan und hinter der Aorta ascendens und der Vena cava superior* zum Hilus der rechten Lunge (s. Fig. 237).

Die (jederseits doppelten) *Venae pulmonales* (s. Fig. 240—242) werden als je eine obere und eine untere unterschieden, wobei die oberen zugleich mehr vorn, die unteren mehr hinten liegen (s. Fig. 218). Die *rechte obere* Lungenvene liegt hinter der Mündung der Vena cava superior in den rechten Vorhof; hinter ihr trifft man die rechte Lungenarterie und den rechten Bronchus. Die *rechte untere* liegt zwischen dem rechten Bronchus und der Mündung der unteren Hohlvene in den rechten Vorhof. Die *obere linke* Lungenvene findet man *vor* und die *untere linke* *unter* dem linken Bronchus.

#### d) Retroperikardialer Bezirk (hinteres Mediastinum).

Eine scharfe Abgrenzung besitzt dieser Bezirk gegen den vorigen natürlich nicht. Dagegen bildet die Lungenwurzel eine Grenze zwischen ihm und dem vorderen Mediastinum. Als Inhaltsgebilde des hinteren Mediastinums haben wir zu betrachten: Luftröhre und Bronchen, Speiseröhre, Nn. vagi, Aorta thoracica, Vena azygos, Vena hemiazygos und Ductus thoracicus.

Die gerade an der Grenze zwischen vorderem und hinterem Mediastinum gelegene *Trachea* — d. i. der Brustteil im Gegensatz zu dem Halsteil (s. S. 127) — entspricht dem von dem unteren Rand des letzten Brustwirbels bis zum 4. Brustwirbel verlaufenden Strich. Am 4. Brustwirbel findet die *Teilung der Trachea* in den rechten und linken Bronchus statt. Die Teilungsstelle liegt, auf die hintere Brustwand projiziert, in der *Verbindungsline der medialen Enden der Spinae scapulae* (Interskapularlinie), d. i. in der Höhe des Dornes des 3. Brustwirbels. Der *rechte Bronchus* ist, dem größeren Volumen der rechten Lunge entsprechend, *weiter als der linke*; auch verläuft er etwas *mehr in der Richtung der Trachea*, also steiler als der linke. Über den linken Bronchus läuft nach hinten der Aortenbogen („reitet“ auf ihm), über den rechten tritt von hinten nach vorn die V. azygos hinüber. *Vor* dem unteren Ende der *Trachea* liegt der *Aortenbogen*, oberhalb des Bogen wird sie in der *Gabel zwischen A. anonyma und A. carotis sinistra* gefunden. *Hinter ihr* läuft, etwas nach links verschoben, der *Oesophagus* (s. Fig. 174, 242, 243).

Der Teilungswinkel der Trachea ist von einer wechselnden Menge (20—30) meist stark pigmentierter *Lymphknoten* ausgefüllt und umgeben (Lymphoglandulae bronchotracheales dextrae, sinistrae, inferiores), die den Bronchen bis in den Lungenhilus folgen (oben S. 163).

Der *Oesophagus* (Fig. 143, 243) liegt beim Eintritt in das Mediastinum hinter der Trachea und schaut etwas links von ihr hervor. Er ist durch lockeres Bindegewebe auf der Wirbelsäule befestigt und wird alsbald nach seinem Eintritt ins Mediastinum auf eine kurze Strecke v

• *linken* Pleura mediastinalis überkleidet. Seine Längsachse liegt in einer Linie, die die Richtung nach *links* gegen die linke Seite des 11. Brustwirbels innehält. Indem er sich gleichzeitig von der Wirbelsäule nach *vorn* entfernt (in den freiwerdenden Raum tritt dann die steigende Aorta), gelangt er zum Hiatus oesophageus des Zwerchfells. Wegen seiner nach *links* abweichenden Richtung kreuzt er in der Höhe des 4. Brustwirbels den *linken* Bronchus, von dem er einen Eindruck empfängt. Er zieht sich hier zwischen linkem Bronchus und Aortenbogen hindurch. Weiterhin folgt er der *rechten* Seite der absteigenden Aorta, verläßt die Wirbelsäule in der Höhe des 8.—9. Brustwirbels, tritt vor die Aorta und erreicht das nach vorn und links vom Hiatus aorticus gelegene Foramen oesophageum. 3 cm oberhalb dieser Öffnung geht er in der Höhe des 11. Brustwirbels in die Kardia über. Außer in genannten Teilen hat er nachbarliche Beziehungen zur Vena azygos (vgl. oben S. 159), nach rechts und nach hinten von ihm, und zum Ductus thoracicus, der hinter ihm liegt. Die beiden Nn. vagi legen sich, nachdem sie hinter dem Lungenhilus hinabgetreten sind, dem Oesophagus an und zwar der linke an seine vordere, der rechte an seine hintere Seite. Die obere Hälfte des Brustteils der Speiseröhre wird dabei von einem aus den Nervenstämmen stehenden Geflecht umgeben, in das auch unmittelbar vom Grenzstrang stammende sympathische Nerven eintreten.

Bemerkenswert ist das Verhalten der rechten Pleura mediastinalis zur Speiseröhre. Am 5.—10. Brustwirbel an bildet sie, ihn teilweise von rechts umhüllend, einen tiefen Sinus thoracosternalis posterior, s. oben S. 159), durch den die Vena azygos und der Ductus thoracicus von der Speiseröhre getrennt werden (*Heiß*).

Der Oesophagus besitzt *drei enge Stellen*: 1. die *Ringknorpelenge* am Beginn, also im Bereich des Halses, die der Einführung der Schlundsonde durch Kontraktion des unteren constrictor pharyngis Widerstand entgegensetzen kann; 2. an der Stelle, wo er zwischen dem Bronchus und Aortenbogen liegt (Aortenenge); 3. am Foramen oesophageum des Zwerchfells. Die *erste* Enge liegt 15 cm von der Zahnreihe entfernt; an der *zweiten* Enge, die von der ersten Enge 10 cm entfernt ist, kommen die dem Oesophagus vorn anliegenden reichlichen Lymphknoten (Bronchialdrüsen, s. Fig. 242) besonders in Betracht. Die Entfernung der *dritten* Enge von der zweiten beträgt wieder 15 cm. Die Gesamtentfernung dieser Enge von der Zahnreihe beträgt demnach 40 cm. Der Durchmesser der engen Stellen beträgt  $1\frac{1}{2}$  cm, die dazwischen gelegenen weitesten Stellen (am 7. Brustwirbel)  $2-2\frac{1}{2}$  cm.

Die Aorta descendens (thoracalis) reicht von der linken Seite des dritten bis vierten Brustwirbelkörpers bis zum Hiatus aorticus des Zwerchfells am elften Brustwirbelkörper, wo in der Regel die Medianlinie erreicht hat. Nach Herausnahme oder Herausdrängen der linken Lunge ist sie demnach *links neben der Wirbelsäule* durch die Pleura mediastinalis hindurch zu sehen. Anfangs hat sie an ihrer *rechten*, weiter unten an ihrer *vorderen Seite* den Oesophagus als Begleiter (s. Fig. 240—243), mit dem sie durch Bindegewebe verbunden ist. Sie gibt die Interkostalarterien, die aus der hinteren Fläche der Aorta nebeneinander entspringen, ab (s. S. 150) (neun Paare für die unteren neun Interkostalräume, ein Paar zum vorderen Rand der letzten Rippe).

Zum Inhalt des Mediastinums gehören schließlich noch die paarigen Venen an der Wirbelsäule, die V. azygos und V. hemiazygos und der Ductus thoracicus.

Die V. azygos tritt aus dem Bauchraum, wo sie neben der Lendenwirbelsäule Verbin-

inferior besitzt (Fig. 243 und 253), zwischen Pars lateralis und intermedia des Zwerchfells hindurch und läuft an der rechten Seite der Wirbelsäule aufwärts (s. Fig. 243), um nach Aufnahme der Interkostalvenen am dritten Brustwirbel nach vorn über den rechten Bronchus zu treten und von hinten in die obere Hohlvene einzumünden (s. Figg. 238 und 243). Durch die Verbindung mit der V. cava inferior ist ein bei Verödung oder Kompression der V. cava inferior zur Geltung kommender *Kollateralkreislauf in der hinteren Brustwand* ermöglicht, durch den das Blut aus der unteren Körperhälfte durch die Vena cava superior zum Herzen abfließen kann (s. Fig. 253).

Die V. *hemiazygos* (Figg. 213 und 253) hat ein wechselndes Verhalten. Links neben der Wirbelsäule gelegen, bezieht sie ihr Blut aus den linken Interkostalvenen und tritt bei der Aorta durch einen einfachen, in der Höhe des neunten Brustwirbels gelegenen, seltener durch einen doppelten Ast in Verbindung mit der V. *azygos*. Bei doppelten Verbindungen spricht man von einer V. *hemiazygos superior et inferior*. Häufig findet eine quer über den Aortenbogen nach vorn verlaufende, zum Gebiet der V. cava superior tretende Verbindung statt, die als Vena *intercostalis suprema* bezeichnet wird (s. Fig. 213, wo diese Vene stark ist).

Der aus dem Receptaculum chyli am ersten und zweiten Lendenwirbel entstandene Ductus thoracicus durch Teilungen und Geflechtbildungen variable Verhältnisse darbietende *Ductus thoracicus* (s. Fig. 243), der der Hauptstamm des Lymphgefäßsystems ist, begleitet die Aorta, nach hinten von ihr gelegen, durch den Hiatus aorticus des Zwerchfells und verläuft in dem fetthaltigen Bindegewebe auf der Wirbelsäule unten zwischen Aorta und V. *azygos*, weiter aufwärts hinter dem Oesophagus. Vom dritten Brustwirbel an wendet er sich allmählich nach links, wird bedeckt vom Aortenbogen und tritt in der Höhe des siebenten Halswirbels nach vorn, um zwischen *A. subclavia* und *A. carotis sinistra* hindurchzugehen und in den *Angulus venosus* zwischen V. *jug. communis sinistra* und V. *subclavia sinistra* einzumünden.

Lateral von den Vv. *azygos* und *hemiazygos*, bereits von der Pleura costalis bedeckt, schimmert hindurch der *Brustteil des Grenzstranges des N. sympathicus* (s. Fig. 213, 214). Er tritt vor dem Köpfchen der ersten Rippe unter Bildung des Ganglion cervicale inferius in den Brustraum, bildet dicht seitlich davon das erste Brustganglion und elf weitere Ganglien vor den Capitula costarum. Er läuft vor den Interkostalnerven, mit denen er durch die *Rami viscerales s. communicantes* verbunden ist, und vor den Interkostalarterien. Außer den Ästen zum Plexus cardiacus und zur Lunge kommen vom sechsten oder siebenten bis zum elften Thoracalganglion die *Nn. splanchnici major und minor*, schief medial und abwärts verlaufen und infolge ihrer weißen, markhaltigen Beschaffenheit meist durch die Pleura hindurch an der Wirbelsäule gesehen werden können. Sie gelangen durch das Zwerchfell zum Plexus coeliacus.

### Anwendungen.

Zwar ist die Trachea ein im lockeren Bindegewebe des Mediastinums immerhin nicht unverschiebliches, durch das Gerüst der Knorpelringe ziemlich starrwandiges Rohr, so daß sie durch Geschwülste des Mediastinums nach rechts oder links aus der normalen Lage verschoben werden kann, doch kann besonders bei Kompression gegen die Wirbelsäule, das Rohr bis zum Verschuß durch Geschwülste zusammengepreßt werden.

Der geringere Winkel, den der rechte Bronchus mit der Trachea macht, mehr aber des größeren Weite, erklären, daß in die Trachea gelangte Fremdkörper leichter in den rechten als

Fig. 242.

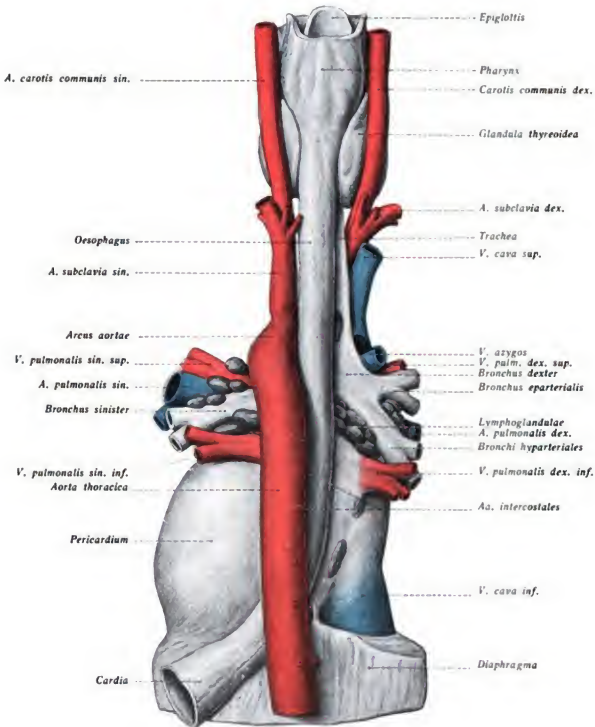


Fig. 243.

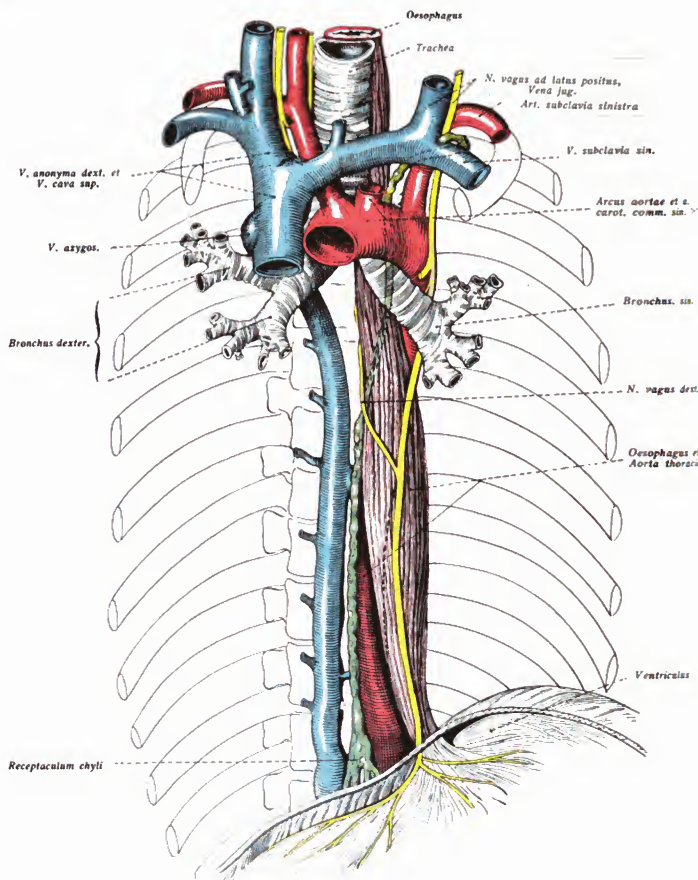




Fig. 243. Situs des Ductus thoracicus. Nach einem frischen Präparat.

1 linken Bronchus fallen. Die — besonders bei Tuberkulose — häufigen Erkrankungen der Lymphnodulae bronchiales führen zu Schwellungen, außerordentlich festen Verwachsungen und Perforation: *Eiterergüssen in die Trachea und die Bronchen* (s. Fig. 242). Ihre krankhafte Veränderung macht 1 auf Röntgenogrammen frühzeitig geltend (s. o. S. 163). Dieselben Lymphknoten treten zum Teil h vorn in direkte Lagebeziehung zu dem hinteren, nicht von der Pleura mediastinalis bedeckten l des Herzbeutels. Ihre Erkrankungen können daher nach vorn *auf den Herzbeutel übergreifen*. selben Lymphknoten haben weitere praktische Bedeutung durch ihre Lage *zum Oesophagus* und zum recurrens sinister (Kehlkopfmuskellähmung). Über die Perkussion der Aorta vgl. oben S. 159. Aortenaneurysmen im Anfangsteil der Aorta können sich perkutorisch als eine Dämpfung im 2. Inter- talraum rechts vom Sternum und hinter dem Sternum bemerkbar machen. Dabei kann die Dämpfung der Herzdämpfung zusammenhängen oder isoliert von ihr sein.

Die Lage der *Aorta ascendens* innerhalb des Herzbeutels erklärt die *Perforation von Aneurys-* 7 der Aorta ascendens unter tödlicher *Blutung in den Herzbeutel*. Da wo die Aorta ascendens in Höhe des Ansatzes des 2. rechten Rippenknorpels den rechten Sternalrand erreicht, liegt die Stelle, bei Aneurysmen der Aorta ascendens die *Brustwand vornehmlich nach vorn vorgewölbt* wird und *Durchbruch nach außen eintreten kann*; hier erfolgt auch gelegentlich bei gleicher Erkrankung Perfo- n in die *rechte Pleurahöhle*. Ein solches Aneurysma wird nach *rechts* zur Kompression der oberen hlvne und sich anschließenden Stauungserscheinungen in ihrem Gebiet, nach *links* zu Druckerschei- gen auf A. pulmonis mit folgender Hypertrophie des rechten Ventrikels führen können. Perfora- en in diese beiden Gefäße sind gleichfalls beobachtet worden. Sehr wichtig ist auch die Lage des en N. laryngeus inferior zum Arcus aortae. Hier wird der Nerv durch Aortenaneurysmen oft der- komprimiert, *daß als eines der ersten Symptome dieser Erkrankung linksseitige Stimmbandlähmung tritt* (vgl. oben S. 124). (Für dies alles vgl. Figg. 240—243).

Die *Lagebeziehung der Aorta descendens zur Wirbelsäule* kann für die Wirbelsäule ebenfalls ch Aneurysmenbildung verderblich werden. Die Geschwulst kann bei starker Entwicklung *die Wir-* und *angrenzenden Rippen teilweise zum Schwund bringen*; das Aneurysma kann so *bis zum Rücken-* neben der Wirbelsäule vordringen (Verwechslungen mit Abszessen). Durch *Druck auf die Inter-* talnerven und das Rückenmark können Begleiterscheinungen auftreten.

In den *Oesophagus* eingedrungene Fremdkörper (z. B. spitze Instrumente) oder geschwürige zesse (Karzinome) in dem Schlunde, können durchbrechen: In die Trachea oder den linken Bron- s, den Arcus aortae und die Aorta descendens, in beide Pleurasäcke, in den Herzbeutel; *in die urahöhlen kann so durch den Mund Luft eintreten* (Pneumothorax), *ebenso in den Herzbeutel* neumoperikardium), z. B. bei Durchbruch eines Speiseröhrenkrebses. *Verengerungen des Oesopha-* (Stenosen) können, abgesehen von dem oben erwähnten Druck durch ein Aortenaneurysma, z. B. ch *Schwellungen der bronchialen Lymphknoten* an der Teilung der Trachea entstehen, wo auch selben Drüsen durch Narbenschrumpfung zur Bildung der vornehmlich in der Vorderwand des Oeso- gus liegenden, sogenannten *Traktionsdivertikel* führen, ferner durch Karzinom der Lunge oder Pleura, Tumoren im hinteren Teil des Mediastinum u. a. Mukosa und Muskularis des Oesophagus den durch ein sehr *lockeres submuköses Bindegewebe* vereinigt; in ihm können sich Eiterungen t ausbreiten und Fremdkörper, die durch die Schleimhaut hindurchgedrungen sind, *neue Bahnen* fffen; in ihm *kann die Schlundsonde falsche Wege bilden*. Die Falten verstreichen bei Füllung der iseröhre, da die Muskularissschichten in die Falten nicht mit eindringen.

# Topographische und angewandte Anatomie des Bauches.

## I. Grenzen. Äußeres und Regionale Einteilung.

Die *obere* äußere Grenze des Bauches gegen die Brust hin wird bei äußerer Betrachtung und Palpation durch die *untere Thoraxapertur* (s. S. 144) bestimmt (s. Fig. 184). Die *untere* äußere Grenze ist durch die *Cristae iliacae* gegen die Beckengegend, die in ihrem Verlauf mit dem Ligam. inguinale (Pouparti) übereinstimmende *Leistenbeuge* und die Symphyse gegen den Oberschenkel gegeben. Die *inneren* Grenzen oder die Grenzen des *Bauchraumes* gegen den Brust- und Beckenraum fallen nicht mit den äußeren zusammen. Erstreckt sich doch die Zwerchfellkuppel nach oben weit über die untere Thoraxapertur hinaus; die obere Grenze des Bauchraumes fällt also mit der unteren des Brustraumes, d. h. der Zwerchfell, zusammen. Auch nach unten dehnt sich der Bauchraum *weiter* aus, als es die äußere Grenze der Cristae iliacae entspricht; wir bezeichnen gewöhnlich, obwohl eine scharfe Grenze gegen den Inhalt des Beckenraumes nicht vorhanden ist, die *Linea terminalis*, die Grenzlinie zwischen großem und kleinem Becken, als untere Grenze des Bauchraumes gegen den Beckenraum hin, rechnen also das *große* Becken noch mit zum Bauchraum.

Die *Inspektion* und *Palpation* läßt — abgesehen von der Palpation einzelner innerer Organe — noch folgendes erkennen (s. Fig. 184, 244): Die an der vorderen Brustwand sichtbare, gegen den Bauch hin in die sogenannte Magengrube (s. S. 141) auslaufende, vordere Medianfurche (Sulcus medianus anterior) setzt sich bei nicht fettreichen, muskelstarken Individuen in eine in der Richtung der *Linea alba* zum Nabel verlaufende, oft bis zum behaarten Mons Veneris über der Symphyse fortgesetzte Furche fort, zu deren Seiten die beiden Längswülste der Mm. recti abdominis hervortreten. Die lateralen Ränder dieser Muskeln sind durch mehr oder weniger sichtbare, flache Furchen (Rektuslinien) erkennbar. In querer Richtung auf den Rektuswülsten verlaufende Furchen entsprechen den in dem Muskel vorhandenen, sich nicht kontrahierenden *Inscriptiones tendineae*, während die vor ihnen begrenzten Teile des Muskels als kräftige *Wülste* äußerlich hervortreten können. Seitlich von dem lateralen Rektusrand beobachtet man eine nach unten und lateralwärts ausbiegende Linie oder einwärts daneben eine Furche. Linie und Furche entsprechen der Stelle, an der der M. obliquus abdom. ext. in seine Aponeurose übergeht. Diese Linie biegt in der Höhe der Grenze zwischen 3. und 4. Viertel des Rectusrandes nach außen. Hier liegt die den Muskelfasern entsprechende „Muskelecke“. Die Abgrenzung des Schambergs (Mons pubis) nach oben erfolgt durch die (in der Fig. nicht dargestellte) nach oben konkave Schamfurche (Sulcus pubis). Sie läuft seitlich in die Leistenfurche aus. Bei abgemagerten Individuen ist die Bauchgegend flach eingesunken, die Cristae iliacae treten deutlich hervor und an Stelle des Sulcus inguinalis (Leistenbeuge) bildet das Lig. inguinale eine straffe Leiste. Bei der Frau ist infolge des reichlichen Fettgewebes und der von Natur etwas stärkeren Wölbung des Bauches von alledem nichts zu sehen — die vordere Mittellinie in der Bauchgegend wird hier nur zur Zeit der Schwangerschaft durch die *Pigmentbildung* in der Richtung der *Linea alba* direkt erkennbar. Bei genügend schlaffen und nicht zu kräftigen Bauchdecken

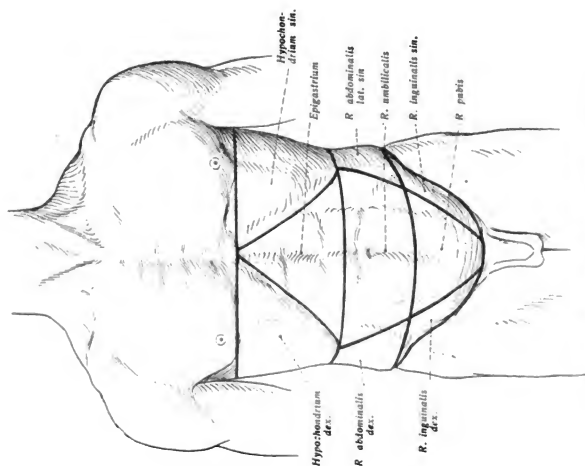


Fig. 244. Regionen des Bauches. Ansicht von vorn.

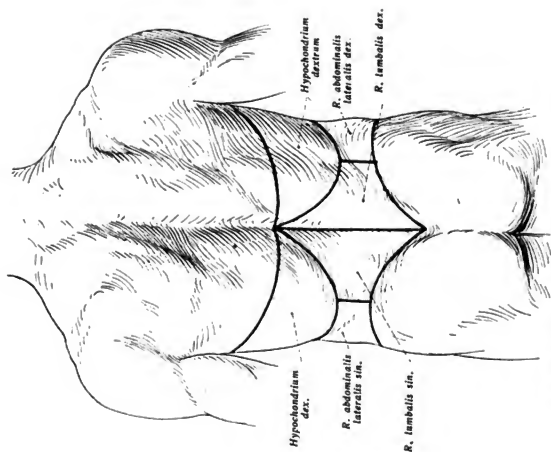


Fig. 245. Regionen des Bauches. Ansicht von hinten.

vermag man durch diese hindurch bei Rückenlage die Wirbelsäule und auf ihr die *Pulsation der Bauchaorta* zu fühlen.

Die untere Grenze des Bauches kommt in charakteristischer, meist stilisierter Form in den plastischen Bildwerken der Antike zum Ausdruck (vgl. Fig. 246). Sie ist hier fünfteilig (Rand des Muskelfleisches des *M. obliq. abd. ext.* — Leistenband — Schamfurche — Leistenband — Muskelfleisch).

Für die *äußere regionale Einteilung* des Bauches (s. Fig. 244 und 245) bedient man sich folgender Linien: Eine durch die Wurzel des *Proc. xiphoideus sterni* gelegte Umfangslinie



Fig. 246. Statue des Diomedes aus der Münchener Glyptothek. Reproduktion aus Gaupp-Duvals Grundriß der Anatomie für Künstler. 4. Aufl. Stuttgart, Enke.

des Rumpfes wird als Grenzlinie von Brust und Bauch benutzt. Eine zweite Linie verbindet vorn die tiefsten Punkte des Rippenbogens in horizontaler Richtung und folgt hinten dem unteren Rippenrand bis zum zwölften Brustwirbel. Zwischen beiden Linien liegt die *Regio epigastrica*. Der vordere, unpaare, beiderseits vom Rippenbogen begrenzte Teil ist das *Epigastrium*, den Rest der *Regio epigastrica* bilden die beiden *Rg. hypochondriacae* (Hypochondrien); sie entsprechen den von den Rippen bedeckten Bauchorganen. Nach unten an die *Regio epigastrica* ist die *Regio mesogastrica* angeschlossen; sie reicht

orn bis zu einer die beiden Spinae iliacae anteriores superiores verbindenden Linie, itlich und hinten unten bis zu den Cristae iliacae, hinten bis zur Mittellinie. Was rn unterhalb der Verbindungslinie der Spinae iliacae anteriores superiores bis zur Leisten- uge und der Symphyse liegt, entspricht der *Regio hypogastrica*. Von dem tiefsten Punkt s Rippenbogens bis zu den Tubercula pubica gezogene Linien führen zur Unterschei- ng der *Regio umbilicalis* und der paarigen *Rg. abdominales laterales* im Bereich der ggio mesogastrica, der *Regio pubica* und den paarigen *Regiones inguinales* in der *Regio* pogastrica. Die *Regiones lumbales* sind die hinteren Bezirke der *Regio mesogastrica* edial von einer Linie, die beiderseits den geringsten Entfernungen des Rippenbogens n der Crista iliaca entspricht. Sie reichen bis zur Wirbelsäule.

## II. Die vordere und seitliche Bauchwand.

Das Verständnis der Schichtung der Bauchwand ist von Wichtigkeit für eine klare nsicht in alle Zustände, die die Bauchwand verändern können (Wunden, Hernien) wie ch zur sachgemäßen Beurteilung aller an der Bauchwand vorgenommenen Operationen. e Bauchwand zeigt — anders als die Brustwand — an verschiedenen Stellen sehr verschie- nartige Schichtung. Um diese zu verstehen, ist es zweckmäßig an der Bauchwand drei uppen von Schichten zu unterscheiden.

- |                          |                                                                                                |
|--------------------------|------------------------------------------------------------------------------------------------|
| 1. Die kutanen Schichten | { Haut<br>Unterhautfettgewebe<br>Fascia superficialis.                                         |
| 2. Die Muskelschichten   | { Seitliche (platte) { Bauchmuskeln<br>Mediale (gerade) {<br>nebst ihren Sehnen (Aponeurosen). |
| 3. Die Binnenschichten   | { Fascia transversalis (nebst subserösem Fettgewebe).<br>Parietales Bauchfell.                 |

in merke sich nun grundsätzlich, daß alle Verschiedenheiten der Bauchwand hinsichtlich er Schichtung einzig und allein auf Verschiedenheiten der *Muskelschicht* beruhen, daß aber : *kutanen* und die *Binnenschichten* an allen Stellen in gleicher Weise vorhanden sind. igen wir, mit Ausnahme des Nabels (s. unten), die Bauchdecken durchschneiden, wo auch mer und in welcher Richtung auch immer: stets wird man die Binnenschichten in der Tiefe : Schnittes antreffen. Wir werden die kutanen und die Binnenschichten daher zuerst be- ehen und dann die Muskelschichten nach ihren regionären Verschiedenheiten.

### 1. Die kutanen Schichten.

Die *Haut des Bauches* ist relativ dünn und, ausgenommen am Nabel, verschieblich, glich *sehr dehnbar*, wie der durch Tumoren, Aszites oder Schwangerschaft ausgedehnte uch zeigt.

Die sogenannten *Striae gravidarum* treten nicht nur in der Haut der Schwangeren, sondern auch st nach stärkerer Ausdehnung der Bauchhaut auf, sind also *kein sicheres* Zeichen vorausgegangener wangerschaft.

Das oft sehr reichliche Fett des Unterhautbindegewebes erschwert die Palpation in- er Organe.

Der *Nabel* (Fig. 248), der einzige bleibende, äußerlich sichtbare Rest des ursprünglichen Zusammenhanges von Mutter und Kind, stellt ein Grübchen dar (Nabelgrube), in dem sich die *Papilla umbilicalis* erhebt. Im Bereiche der Nabelgrube erfahren auch die subkutane Fettschicht und die *Fascia superficialis* eine *Unterbrechung*. Infolgedessen wird durch stärkeren Druck (z. B. durch Flüssigkeitsansammlung in der Bauchhöhle [Aszites]) von innen her die Nabelgrube abgeflacht („der Nabel *verstreicht*“), oder der Nabel wird an dieser weniger Widerstand bietenden Stelle nach außen *vorgetrieben*.

Von *Gefäßen* dieser Schichten sind praktisch wichtig die subkutanen *Venen*. Es sind dies die *V. epigastrica superficialis* und die *V. circumflexa ilium superficialis*; beide münden unterhalb des Poupartschen Bandes in die *V. femoralis*. Sie sind bedeutend stärker als die gleichnamigen Arterien. Die *V. epigastrica superficialis* geht nach oben durch die *V. thoracicoepigastrica* in die *V. thoracalis lateralis (longa)* über, wodurch in der seitlichen Bauch- und Brustwand eine *subkutane Venenbahn zwischen V. axillaris und V. femoralis* gegeben ist.

Diese oberflächlichen Bauchwandvenen bilden ein subkutanes Venennetz, das durch mehrfache, die Bauchwand durchsetzende Anastomosen mit dem Gebiet der *Vv. epigastricae profundae* zusammenhängt (s. das Schema Fig. 254). Sie stehen ihrerseits wieder durch (4—5) kleine, längs des Lig. teres hepatis verlaufende *Vv. parumbilicales* (akzessorische Pfortaderäste) mit der *Pfortader* an der unteren Leberfläche in unmittelbarer Verbindung. Das *Wurzelgebiet* der an der Porta hepatis in die Leber eintretenden *V. portae* liegt in den Venen des Magens, des Darmes, der Milz und des Pankreas.

Die *oberflächlichen Arterien* sind die aus der *A. femoralis* stammenden schwachen *A. epigastrica superficialis* (s. Fig. 390), die die *Fascia lata* unterhalb des Lig. inguinale durchbricht und über dieses Band in der Richtung zum Nabel aufwärts zieht, ohne ihn zu erreichen, und die *A. circumflexa ilium superficialis* (s. Fig. 390); sie durchbohrt ebenfalls die *Fascia lata* und läuft parallel dem Lig. inguinale zur Haut bis in die Gegend der Spina iliaca anterior superior. Beide Arterien versorgen die *Leistendrösen*, *Lymphoglandulae subinguinales* und gewinnen dadurch praktische Wichtigkeit.

Als sensible *Nerven* der Bauchwand kommen die Interkostalnerven VI—XII und die Hautäste der aus dem Plexus lumbalis stammenden Nn. ilio-hypogastricus und ilio-inguinalis in Betracht. Das Gebiet der Interkostalnerven reicht bis eine Hand breit über die Symphyse hinab; der N. iliohypogastricus versorgt die Haut über dem subkutanen Leistenring; der N. ilioinguinalis die Haut des Mons veneris.

## 2) Die Binnenschichten.

Die *Fascia transversalis* überkleidet den M. transversus abdominis an seiner Innenfläche; da dieser Muskel den allergrößten Teil der Bauchwandfläche bildet, so bildet auch die genannte Faszie eine ausgedehnte Hülle, die sich nach vorn hinter dem M. rectus, nach unten bis zum Leistenband, nach oben bis zu den Ursprüngen des Zwerchfells fortsetzt. An der hinteren Bauchwand zieht sie vor dem M. psoas und M. quadratus lumborum und hinter den Nieren weiter, geht auf das Zwerchfell als *Fascia diaphragmatica* und vom Leistenband ins kleine Becken als *Fascia pelvis* hinab. Im Bereich des Nabels liefert sie die *Fascia umbilicalis*.

Das *parietale Blatt* des *Bauchfells* liegt an der vorderen und seitlichen Bauchwand der *Fascia transversalis* stets an, allerdings, namentlich in der Unterbauchgegend, von ihr

ft durch subseröses Fett getrennt. An der hinteren Bauchwand und vorn im Bereich der Harnblase schieben sich dagegen einige Eingeweide, Gefäße und Nerven zwischen die Faszie und das parietale Bauchfell. Daher ist es an diesen Stellen möglich, Nieren, Ureter, Harnblase, aber auch Vena cava inferior und Aorta zu erreichen, ohne den Peritonealsack eröffnen zu müssen.

### 3. Die Muskelschichten (Fig. 247).

Sehen wir von der hinteren Bauchwand ab, die besonders abgehandelt werden wird, so wird der Bauchraum oben durch das Zwerchfell, seitwärts und vorn durch die Bauchmuskeln abgeschlossen. Die Bauchmuskeln zerfallen in

- a) seitliche (platte)
- und b) vordere (lange)

sind von außen nach innen der M. obliquus abdominis externus, (Ursprung: Außenfläche der sieben bis acht unteren Rippen; Ansatz: Linea alba, Labium externum cristae iliace, Lig. inguinale), den M. obliquus abdominis internus (Ursprung: Fascia lumbodorsalis, Linea intermedia cristae iliace, Lig. inguinale; Ansatz: Enden der zehnten bis zwölften Rippe, Linea alba) und der M. transversus abdominis (Ursprung: Innenfläche der sechs unteren Rippenknorpel tiefes Blatt der Fascia lumbodorsalis, Labium internum cristae iliace, Lig. inguinale; Ansatz: Linea alba). Diese Muskeln besitzen entsprechend ihrer platten Form auch *latte Sehnen (Aponeurosen)*; vom Anfänger leider meist mit „Faszien“ verwechselt). Anstatt eines gesonderten Verlaufes der drei Aponeurosen bis zur vorderen Mittellinie finden wir eine Verwachsung zwischen ihnen neben dem M. rectus abdominis und zwar zu zwei Lättern, die als vorderes und hinteres Blatt der Rektusscheide diesen Muskel umhüllen. Die Aponeurose des M. obliquus externus geht nur in die vordere Wand der Rektusscheide über; die des M. obliquus internus in die vordere und die hintere Wand, die des M. transversus verstärkt oberhalb der Linea Douglasi die hintere, unterhalb dieser Linie die vordere Wand der Rektusscheide. In der vorderen Mittellinie verwachsen die beiden Blätter der Rektusscheide untereinander und mit denen der anderen Körperhälfte zur *Linea alba*.

Entsprechend der verschiedenen Beschaffenheit und Schichtung unterscheiden wir an der Bauchwand eine ganze Reihe verschiedener Bezirke.

a) Das Gebiet der *Linea alba*. Diese ist oberhalb und unterhalb des Nabels verschieden gestaltet. Eine „*Linie*“ ist sie nur unterhalb des Nabels, während sie oberhalb des Nabels eine breite Fläche darstellt (Fig. 249).

Beim Bauchschnitt in der Linea alba kann man daher oberhalb des Nabels eingehen, ohne die Leber des M. rectus zu Gesicht zu bekommen, was unterhalb des Nabels nicht möglich ist.

b) Innerhalb der Linea alba findet sich eine ringförmige Unterbrechung der gesamten Sehnenhaut. Die Schichtung am Nabel ist daher folgende (Fig. 248). Nur die äußere Haut läuft außen, die beiden Binnenschichten innen ununterbrochen weiter. Subkutane Fettschicht und Fascia superficialis erfahren eine Unterbrechung. Je stärker das Fett der Umgebung wird, desto tiefer wird der Nabel. Unter der Nabelgrube folgt dann in der Linea alba die erwähnte ringförmige Lücke, der *Nabelring*, d. i. die Stelle, an der ursprünglich die Nabelgefäße des Fötus durch die Bauchwand zum Nabelstrang verliefen. Der Nabelring wird von locker gefügtem subserösem Bindegewebe, der *Nabelplatte*, ausgefüllt, das hier die einzige verbindende Schicht zwischen Haut und Binnenschichten dar-

Fig. 247. Vordere Bauchwand, von innen gesehen, kleines Becken mit mäßig stark gefüllter Blase, nach Durchsägung in der Höhe der beiden Acetabula von hinten. Das Präparat ist die vordere Abteilung des in Fig. 287 abgebildeten Situspräparates.

Fig. 248. Schematischer Querschnitt der Nabelgegend.

stellt. Die Fascia transversalis bildet an der Innenfläche des Nabels ein derberes Blatt (Fascia umbilicalis), das nach oben und unten zarter wird.

Der Nabel ist die Stelle, an der sich bis zur Geburt die Verbindung zwischen Kind und Mutter erhält. Die vordere Bauchwand enthält hier die Lücke für den Durchtritt der Nabelschnurgebilde. Hier endigt sie mit scharfer Grenze, während die Nabelschnur vom gefäßlosen Amnion überzogen wird. Wird der Nabelstrang abgebunden, so vertrocknet die gefäßlose Hülle und stößt sich ab; die Wundfläche *vernarbt* und weil die Nabelstelle eine *Narbe* ist, so fehlt ihr das Unterhautbindegewebe und die Fascia superficialis (s. o.).

Durch den Nabel hindurch steht embryonal im ersten Beginn der Entwicklung der Darm mit dem Dottersack (Nabelbläschen) in offener Verbindung. Der Verbindungsgang wird zum Ductus omphalo-entericus, der von dem höchsten Punkt der Nabelschleife ausgeht und normalerweise im Lauf des 2. Monats verschwindet. Im 2. Monat liegt ein Teil der Darmschlingen in der Nabelschnur (physiologischer Nabelbruch). Im 3. Monat wird dieser Teil des Darmes in die Leibeshöhle zurückgezogen. Der primäre Nabelkreislauf (Dotterkreislauf) ist an den Ductus omphalo-entericus geknüpft (Vasa omphalo-enterica). Der sekundäre Nabelkreislauf (Allantoiskreislauf) ist an die Entfaltung der Allantois geknüpft. Diese stellt eine röhrenförmige Verlängerung der Harnblase dar, die an der inneren Bauchwand bis zum Nabel aufsteigt (Urachus) und sich außerhalb des Nabels eine kurze Strecke hohl fortsetzt. Das diese Röhre umhüllende Bindegewebe bildet den Grundstock des Nabelstranges. In ihm (Whartonsche Sulze) verlaufen die beiden Umbilicalarterien und die Vena umbilicalis. Jene steigen (Fig. 247) von der A. hypogastrica neben der Harnblase auf, diese verläuft vom Nabel an der inneren Bauchwand aufwärts zur Leber hin. Nach der Unterbrechung des bis zur Geburt bestehenden Allantoiskreislaufes wandeln sich die Gefäße in derbe Stränge um (Ligamenta umbilicalia lateralia, Lig. teres hepatis). Der Urachus hat sich schon früher vom Scheitel der Harnblase an geschlossen (Lig. umbilicale medium). Die Gefäßscheide der beiden Arterien verwächst mit dem Nabelnarbengewebe; auch die Vena umbilicalis wird in dies Narbengewebe einbezogen.

Topographisch liegt innerhalb des Nabelringes das Arterienpaar unten, die Vene darüber. Durch die erwähnte Verwachsung der Gefäße mit dem Narbengewebe empfängt die Nabelplatte unten eine größere Festigkeit als oberhalb der Vene. Hier besteht in den ersten Lebensmonaten zwischen oberem Umfang des Nabelringes und dem Venenrest eine nachgiebige, mit lockerem Bindegewebe erfüllte Stelle. Später verwächst die ganze Narbe so fest, daß nachgiebige Stellen nicht mehr existieren.

Am Nabel bilden die erwähnten Vorgänge im Verein mit der Anatomie des Nabels die Grundlage zu typischen Erkrankungen, von denen folgende hier zu erwähnen sind.

1. Persistenz des Ductus omphalo-entericus; a) vom Darm bis in die Nabelschnur oder b) nur außerhalb des Nabels oder c) nur innerhalb der Leibeshöhle ohne Verbindung mit dem Darm oder endlich d) lediglich als Ausstülpung des Darmes. Letzteres ist ein auch beim Erwachsenen oft konstatiert Befund (wahres Darmdivertikel, Meckelsches Divertikel, sitzt 1 m oberhalb der Ileocecalklappe am Ileum). Verwechslung von b) ohne Fistel mit a) mit Fistel kann verhängnisvoll werden.

2. Persistenz des Urachus (Harnfistel).

3. Nabelschnurhernien (Vordringen von Eingeweiden in die Nabelschnur hinein).

4. Nabelbrüche der kleinen Kinder. Eingeweide treten in den ersten Lebensmonaten durch die schwache Stelle des Nabelringes, oberhalb des Ligamentum teres hindurch. Sie treiben das parietale Bauchfell und die Fascia umbilicalis (transversalis) vor sich her.



Fig. 247.

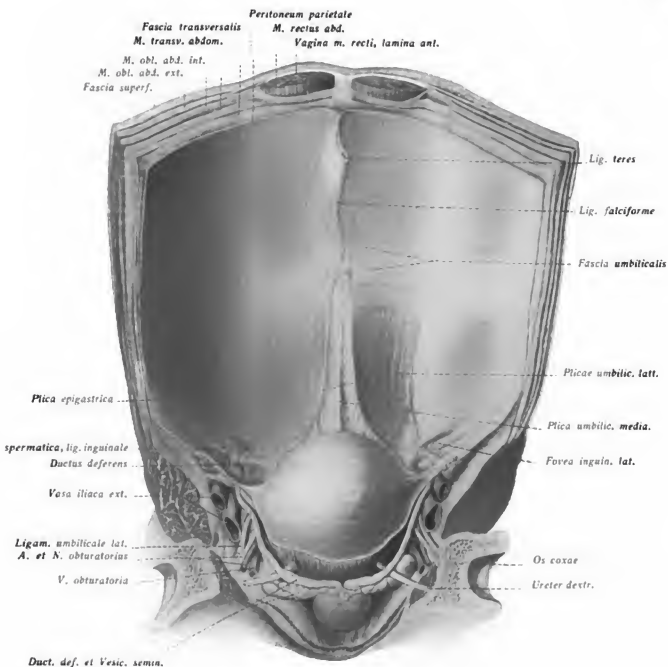


Fig 248

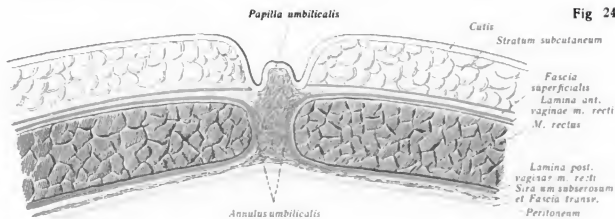


Fig. 249.

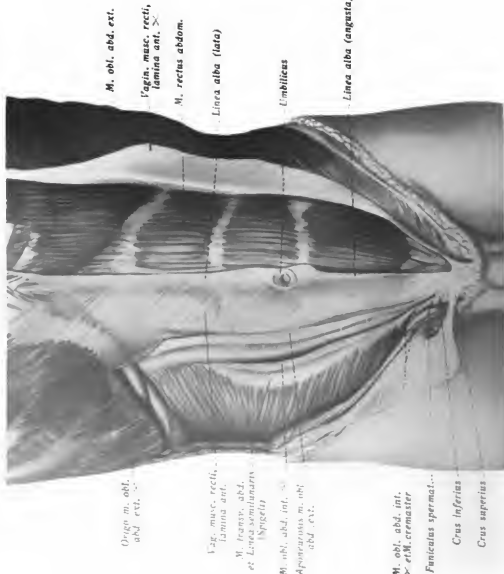


Fig. 250.

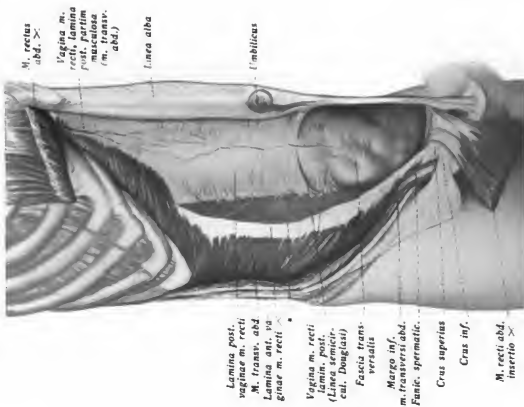


Fig. 249. Vordere Bauchwand, Muskelschichten, obere Lagen.

Fig. 250. Dasselbe Präparat, tiefe Lage. Situs der *Art. epigastrica inf.* Bei \* Verwachsungsrand des vorderen und hinteren Blattes der Rektusscheide.

5. Nabelhernien Erwachsener (besonders Frauen). Hier ist die disponierende Sachlage nicht die primitive Schwäche der Nabelnarbe, sondern ihre sekundäre Dehnung und Schwächung (Graviditäten, Geschwülste, Wassersucht). Das Bild 251 zeigt einen Nabelbruch von innen her; zu erkennen sind die *Plicae umbilicales laterales* und der stark gedehnte Nabelring.

c) Das Gebiet der *Mm. recti*. Hier ist wiederum zu unterscheiden das Gebiet oberhalb und das unterhalb der *Linea semicircularis (Douglasii)*. Oberhalb ist die Schichtung: Vorderes Blatt der Rektusscheide, *M. rectus*, hinteres Blatt der Rektusscheide Binnenschichten. — Unterhalb der erwähnten Linie folgen auf den *M. rectus* unmittelbar die Binnenschichten. Die Douglassche Linie liegt etwa eine Hand breit über der Symphyse. Das vordere Blatt der Rektusscheide ist, da es ja vorzugsweise durch die Sehne des *M. obliq. abd. ext.* gebildet wird, dieser aber oben schwach ist und nach abwärts immer mächtiger wird, oben sehr zart, unten dagegen derb und dick. Umgekehrt ist das hintere Blatt oben derb, ja sogar durch die obersten Ursprungszacken des *M. transversus abdominis* muskulös, während es nach abwärts gerade wie die *Mm. obliq. abd. internus* und *transversus abd.* immer schwächer wird und an der Douglasschen Linie aufhört. (Vielfach nicht mit einem Male, sondern allmählich sich verdünnend, (Fig. 250).

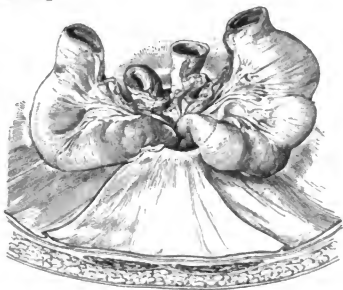


Fig. 251. Auspräparierter Nabelbruch. Der Nabelring teilweise punktiert gezeichnet. Man sieht die *Plicae umbilicales laterales* und den Querschnitt der *Mm. recti*. Zwei Darmschlingen haben sich durch den Nabelring hindurchgedrängt. Eigene Beobachtung.

Hinter dem *M. rectus abdominis* verläuft die *A. epigastrica inferior*. Diese liegt anfangs zwischen *Fascia transversalis* und parietalem Bauchfell, tritt dann durch die Faszie und vor das hintere Blatt der Rektusscheide (Fig. 250).

d) Das Gebiet der seitlichen Bauchmuskeln. Hier finden wir nach Durchtrennung der cutanen Schichten stets drei durch Verlauf ihrer Fasern und durch dazwischen gelagerte Fasziablätter deutlich voneinander geschiedene Muskelschichten. Gegen das Leistenband zu wird die Abgrenzung der beiden tiefen Muskelschichten voneinander schwierig, und es wird die obere Muskellage durch die Sehne des *M. obliq. abd. externus* ersetzt.

e) Das Gebiet des *Trigonum lumbale (Petiti)*. Hier fehlt der *M. obliq. abdom. externus*. Der Boden dieses vom hinteren Rande des *M. obl. abd. ext.*, dem seitlichen Rande des *M. latissimus dorsi* und dem Darmbeinkamm gebildeten Dreiecks wird vom *M. obliq. abd. internus* und der Ursprungssehne des *M. transversus abdominis* (tiefes Blatt der *Fascia umbodorsalis*) dargestellt.

Die tiefen Arterien der Bauchwand sind:

1. Die sieben untersten *Aa. intercostales*, überschreiten den Rippenbogen und enden in den Bauchmuskeln und in der Haut.

2. Die *A. epigastr. inf.* (s. Fig. 257, 259, 335, 342), das praktisch wichtigste Gefäß

der vorderen Bauchwand, stammt aus der A. iliaca externa, aus deren Ende sie hinter dem Lig. inguinale hervorgeht. Sie verläuft anfangs in einem lateralwärts konkaven Bogen, medial von dem inneren Leistenring (Annulus inguinalis abdominalis) aufwärts nahe am Peritoneum, wo sie die *Plica epigastrica* (s. S. 195 und Fig. 247, 258) bildet, tritt an der Linea Douglasi in die Rektusscheide und anastomosiert mehrfach oberhalb des Nabels mit der A. epigastrica superior (s. S. 148). Die A. *epig. inf.* entspricht in ihrem Verlauf einer Linie, die man von der Grenze zwischen medialem und mittlerem Drittel des Poupartschen Bandes nach einem Punkte zieht, der daumenbreit lateral von dem Nabel liegt.

3. A. *circumfl. ilium prof.* (Fig. 320), der zweite der beiden Äste der A. iliaca externa, läuft innen längs der Crista iliaca lateral- und aufwärts zur Versorgung der Bauchmuskeln und anastomosiert auf dem M. iliacus mit dem R. iliacus der A. iliolumbalis (aus der A. hypogastrica).

4. Die vier paarigen Aa. *lumbales* aus der Aorta abdominalis treten vor den Körpern des 1. bis 4. Lendenwirbels unter die Ursprungssehnenbögen des M. psoas major (s. Fig. 320) und gelangen, teils vor, teils hinter dem M. quadratus lumborum verlaufend, zur Muskulatur der seitlichen Bauchwand.

**Tiefe Venen** sind: Die doppelten, die A. epigastrica inferior begleitenden Vv. *epigastricae profundae*, die, wie die Arterie, nach oben mit den Vv. *epigastricae superiores* und dadurch mit den Vv. *mammariae interna* anastomosieren, ferner die doppelten Vv. *circumflexae ilium profundae* und die einfachen, oberhalb der gleichnamigen Arterien verlaufenden Vv. *lumbales*. Hinter dem M. psoas gelegene vertikale Anastomosen der Vv. *lumbales* bilden beiderseits die V. *lumbalis ascendens*, d. i. das Anfangsgebiet der Vv. *azygos* und *hemiazygos*. Hierdurch kommen venöse Verbindungen zwischen V. cava sup. und V. cava inferior an der hinteren Rumpfwand zustande, auf deren Wichtigkeit schon (s. S. 180) hingewiesen wurde. Aber auch in der vorderen Rumpfwand können Stauungen im Gebiet des Stammes der V. cava inf. durch die Haut hindurch sichtbar werden, wobei das Blut der V. cava inferior durch die erweiterten Vv. *epigastricae superficiales* nach oben zur V. cava sup. abzufließen sucht (s. Fig. 252, 254).

### Anwendungen.

Auf Grund der hier gegebenen Darstellung der Schichtungsverhältnisse mache man sich in jedem einzelnen Falle von Laparotomie klar, welche Schichten der Schnitt durchschneidet und welche mechanische Bedeutung die Schichtenfolge für die Naht der Bauchwand besitzt. Die oben S. 180 und hier soeben) beschriebenen venösen Verbindungen erklären, daß Lebererkrankungen, z. B. Cirrhosis hepatis, leicht Stauungen in dem Wurzelgebiet der Pfortader und Transudation aus den Gefäßen der genannten Bauchorgane bewirken; es kommt zu Ascites. Dazu kommen die folgenden nur auf Grund der Kenntnisse der normalen Venenbahnen verständlichen Krankheitsbilder im Bereiche von drei weiteren Wurzelgebieten der Pfortader:

1. Das Blut staut sich in dem venösen Plexus *haemorrhoidalis* in der Umgebung des Rectums, aus dem die V. haemorrh. superior in die V. mesenterica inferior und dadurch zur Pfortader fließt. Aus dem gleichen Plexus fließt das Blut durch die mittleren und unteren Haemorrhoidalvenen in die V. pudenda interna und schließlich zur V. cava inferior (s. unten S. 248).

2. Es tritt Stauung an der kleinen Krümmung des Magens und am unteren Ende des Oesophagus ein auf dem Wege der V. gastrica sinistra. Es kann so zu Venenerweiterungen (Oesophagusvaricen) und sogar durch Platzen der Venen zu Blutbrechen kommen; doch ist auch Abfluß durch die zu der Vena azygos ziehenden Vv. oesophageae möglich.

Fig. 253.

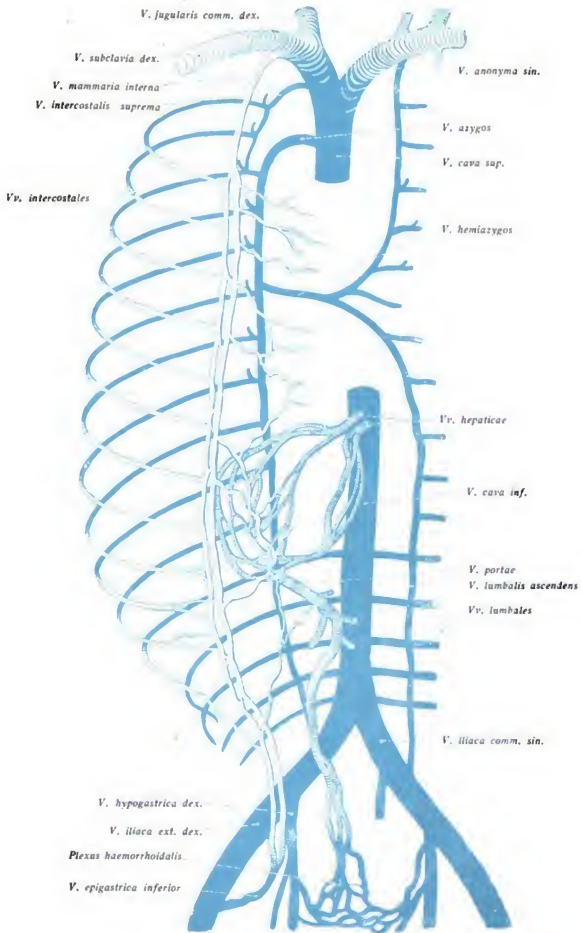


Fig. 254.

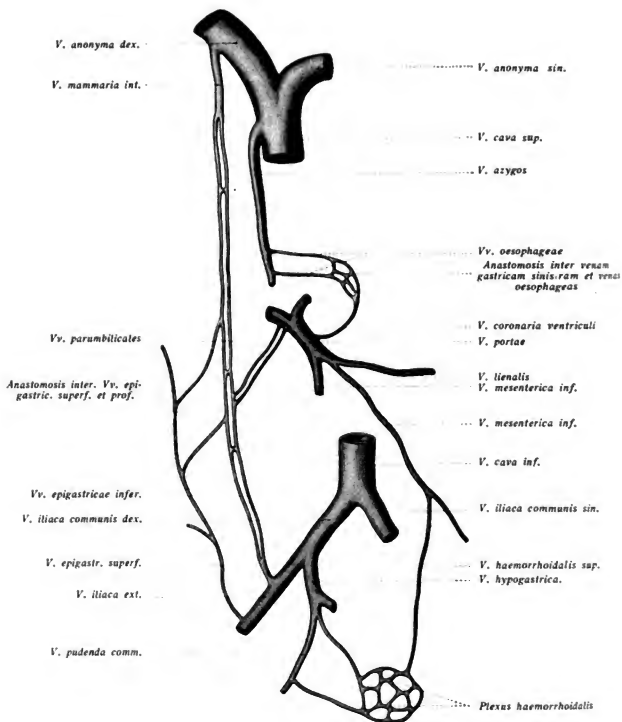


Fig. 254. Schematische Darstellung der Kommunikationen zwischen den beiden Hohlvenen und der Pfortader.

3. Unter starker Erweiterung der Vv. parumbilicales erweitern sich die Venen der Bauchwand, die in Teil radiär um den Nabel angeordnet sind und so das Bild des sogenannten *Caput Medusae* um den Nabel verursachen (s. Fig. 252).

Die Anastomose zwischen A. epigastrica superior und inferior an der Innenfläche der Bauchwand führt bei Behinderung der Zirkulation in der Aorta descendens durch sekundäre Erweiterung zu einer



Fig. 252. Starke Erweiterungen der oberflächlichen Bauchwandvenen nach andauernder Kompression des Stammes der V. cava inferior. Nach Photographie.

*Hauptbahn werden, auf der reichlich Blut aus der A. subclavia an der Innenfläche der Brust und Bauchwand zu der unteren Extremität gelangt.*

Um die A. epigastrica inferior bei Punktion von Ascites zu vermeiden, geht man entweder in die Mitte der von der Spina il. ant. sup. nach dem Nabel gezogenen sogenannten *Richter-Monroschen Linie* — also lateral von der Arterie — durch die Bauchwand (Monroscher Punkt) oder (*nach Naunyn*) in die Mitte zwischen Nabel und Symphyse etwa 3 cm lateral von der Linia alba, also medial von der Arterie, durch den M. rectus abdominis hindurch. Dieser letztgenannte Punkt ist sicherer als der andere, bei dessen Wahl gleichwohl tödliche Blutungen beobachtet worden sind.

Die *Leitungsanaesthesie* kann entweder nach den oben (S. 153) angegebenen Gesichtspunkten erfolgen (paravertebral im Bereich von D<sub>3</sub>—<sub>12</sub> und L<sub>1</sub>—<sub>3</sub>) oder weiter distal in der Umgebung der Stelle des Eingriffs. Sie genügt für alle Operationen an den Bauchdecken und in ihnen, vor allem bei Herniotomien. Die Lage der sensiblen Nerven in der Leistenregionen zeigt Fig. 270. Das höchst empfindliche parietale Bauchfell wird durch die Leitungsanaesthesie sicher schmerzempfindlich gemacht. Nichts dagegen genügt die Leitungsanaesthesie für intraabdominale Operationen, obwohl man über die Bahnen, in denen sicherlich vorhandene Schmerznerven verlaufen, noch keine abgeschlossenen Kenntnisse hat. Manche Beobachtungen sprechen dafür, daß sie im N. vagus nicht verlaufen. Das würde auf die sympathischen Bahnen (Ganglion semilunare) hinweisen.

### III. Topographische Anatomie der Leistenhernien.

Durch das im vorigen Abschnitt unter a) bis e) geschilderte Verhalten der Bauchwand sind nicht alle Verschiedenheiten erschöpft. Es bleibt vielmehr eine letzte Gegend zu besprechen, die zu den wichtigsten im ganzen Körper gehört und die Grundlage für die sachgemäße Beurteilung der *Leistenhernien* bildet: Das Trigonum inguinale und die hier vorliegende Schichtung der Bauchwand.

Als Trigonum inguinale bezeichnen wir ein über dem Leistenband gelegenes dreieckiges Feld. Seine Grenzen sind: *unten* das Leistenband, *innen* der äußere Rand des M. rectus abdominis, *oben* diejenige Linie, die von der Muskecke des M. obliq. abd. ext. horizontal gegen den Rektus gezogen wird. Nach Ablösung der kutanen Schichten treten die *Muskelschichten* in folgender An-



Fig. 255. Trigonum inguinale, obere Schicht. Aus der Aponeurose des M. obliq. abd. ext. ist ein Dreieck herausgeschnitten. Die Verlaufsrichtung der A. epigastrica inferior punktiert.

ordnung zutage. Zu oberst liegt die Aponeurose des M. obliq. abd. externus, die parallel zur Richtung ihrer Fasern den dreieckige Schlitz des Annulus inguinalis *subcutaneus* zeigt (Crus superius, Crus inferius), und den oberen Abschluß dieses Schlitzes durch die Fibrae obliquae (intercruales). Durch den Annulus subcutaneus tritt der Samenstrang nach außen. Man sieht aber zu nächst weder den Leistenring noch den Samenstrang scharf; vielmehr ist beide



urch die Spezialfaszie des A. obliq. abd. ext. (Fascia remasterica) verhüllt, die ich am Rande des Ringes ester anheftet und von da b die äußere Hülle des amenstranges (und weierhin des Hodens) bildet.

Spaltet man (Fig. 255) ie Aponeurose, unter der er Hautast des N. ilioypogastricus verläuft, so egt die Muskelmasse des l. obliq. abd. internus vor, nd zwar deren horizontal on der Spina il. ant. sup. nd den äußeren zwei Driteln des Leistenbandes zum

ande des M. rectus verlaufende Portion. *Dieser Muskel reicht aber nicht bis zum Leistenande hinab; vielmehr bleibt hier zwischen dem unteren freien Rande des Muskels und em Leistenbande ein etwa einen Finger breiter muskelfreier Bezirk, innerhalb dessen also nter der Externusaponeurose unmittelbar die Binnenschichten liegen. Einzig das Bündel des M. cremaster tritt hier scheidenartig auf den Samenstrang.*

Trägt man auch den M. obliq. abd. internus ab, so liegt der M. transversus abdominis tage, der noch weniger weit nach abwärts reicht, als der ihn deckende M. obliq. abd. internus (Fig. 256).

In dem nach abwärts von den Muskelrändern liegenden, durchschnittlich etwa einhalb Finger breiten, dreieckigen Gebiet liegt demnach die Fascia transversalis und das arietale Bauchfell (die Binnenschichten) nur von der Externusaponeurose bedeckt; dies ebiet ist völlig frei von Muskelfasern, nur sehnig zugedeckt und auch diese Sehne (Aponeurose) fehlt an der Stelle des subkutanen Leistenringes. Die von den beiden Binnenschichten gebildete Fläche ist dünn, aber nicht überall gleichmäßig dünn. Vielmehr estehen zwei sehnige Verstärkungen (Fig. 256) der Fascia transvers., die den Raum vom unren Transversusrand bis zum Schambein überbrücken. Der mediale Zug ist die Falx inguinalis, die vom M. transversus längs des seitlichen Randes der Rektusscheide hinab eht; der laterale Zug zweigt sich weiter seitlich vom unteren Rande des M. transversus im Schambein ab. Somit bleiben zwei schwache Stellen der Binnenschichten bestehen, e sich durch den abdominalen Druck sanft nach außen vorwölben und auf der Innenseite ei Grübchen bilden, die Fovea inguinalis medialis und lateralis (Figg. 247, 258, 259, 260 s. 262). Der erwähnte laterale Verstärkungszug liegt zwischen beiden Foveae und wird daz als *Ligamentum interfoveolare* (Hesselbach) bezeichnet. Es kann auch muskulös sein, enn Fasern des M. transversus es verstärken.

Das Verständnis für diese Bildung ist dadurch zu gewinnen, daß man sich die ganze uskellage hier zurückgebildet vorstellt. Sehnige oder muskulöse *Reste* der Muskulatur eiben auf der Fascia transversalis erhalten.

M. obl. abd. internus <

Aponeurose des M. obl. abd. ext.  
Unterer Rand des M. transvers. abd.



Aponeurose des M. transversus

1  
Ligamentum interfoveolare  
2  
Funic. spermatic.  
M. cremaster <

Fig. 256. Trigonum inguinale tiefe Schicht, nach Durchschneidung des Ursprunges des M. obl. abd. int., Verlaufsrichtung der A. epigastr. inf. punktiert. 1 Stelle der Fovea ing. lat., nach aussen vorgebuchtet. 2 Stelle der Fovea ing. med., einwärts davon die Falx inguinalis.

Fig. 257. Links sind in der Fossa iliaca die Schichten der Bauchwand dargestellt bis zu dem freigelegten *Coecum sigmoides*. Die *Mm. recti* sind durchtrennt und die Harnblase ist (ohne Verletzung des Peritoneums) über der Symphyse sichtbar gemacht. Rechts besteht ein medialer (innerer) Leistenbruch.

Fig. 258. Vordere Bauchwand mit sehr starken Foveae femorales. Links Bruchpforte einer Kanalhernie.

Die erwähnten Verstärkungszüge gewinnen nun topographisch noch dadurch besondere Bedeutung, daß abdominal von ihnen, zwischen der *Fascia transversalis* und dem Bauchfell zwei feste Stränge aufwärts ziehen, nämlich die *Vasa epigastrica inferiora*.

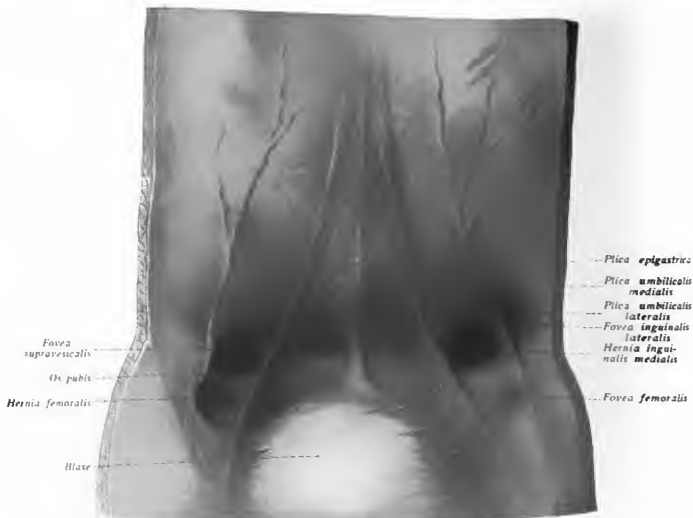


Fig. 260. Innenfläche der Bauchwand der Regio inguinalis mit drei Bruchpforten, d. s. zwei mediale (innere) Leistenbrüche und ein linksseitiger Schenkelbruch. Nach Enderlen und Gasser.

unter dem *Ligamentum interfoveolare*, das *Lig. umbilicale laterale* in der Gegend des seitlichen Rektusrandes.

Die beiden dünnen Stellen der *Fascia transversalis* verhalten sich verschieden. Die mediale nach innen von der *Arteria epigastrica* ist glatt und dünn ausgespannt genau gegenüber dem subkutanen Leistenring (Fig. 262 rechts). Die laterale (nach außen von der *A. epigastr.*) bildet eine handschuhfingerartige Ausstülpung, die durch den subkutanen Leistenring hindurchgeführt ist. Sie schließt die inneren Gebilde des Samenstranges (*Ductus deferens*, *Vasa spermatica*) scheidenartig ein und verläuft als *Tunica vaginalis communis* um Hoden und Nebenhoden herum. Die Stelle, wo sich die Faszie ausstülp (die Öffnung

Fig. 257.

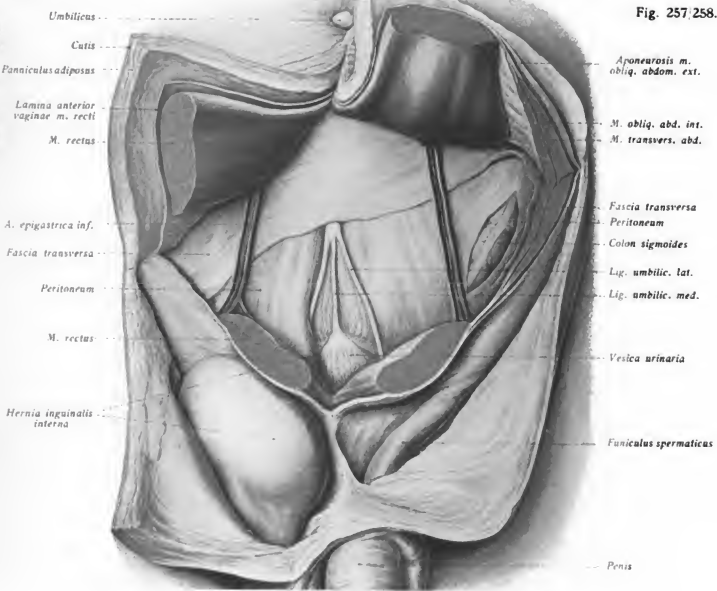


Fig. 257/258.

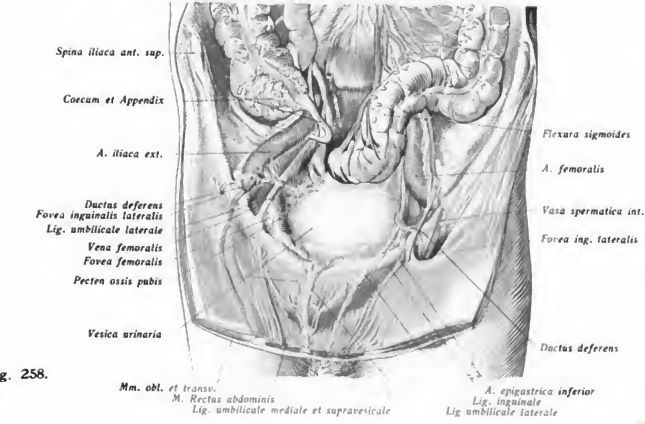


Fig. 258.

Fig. 259.

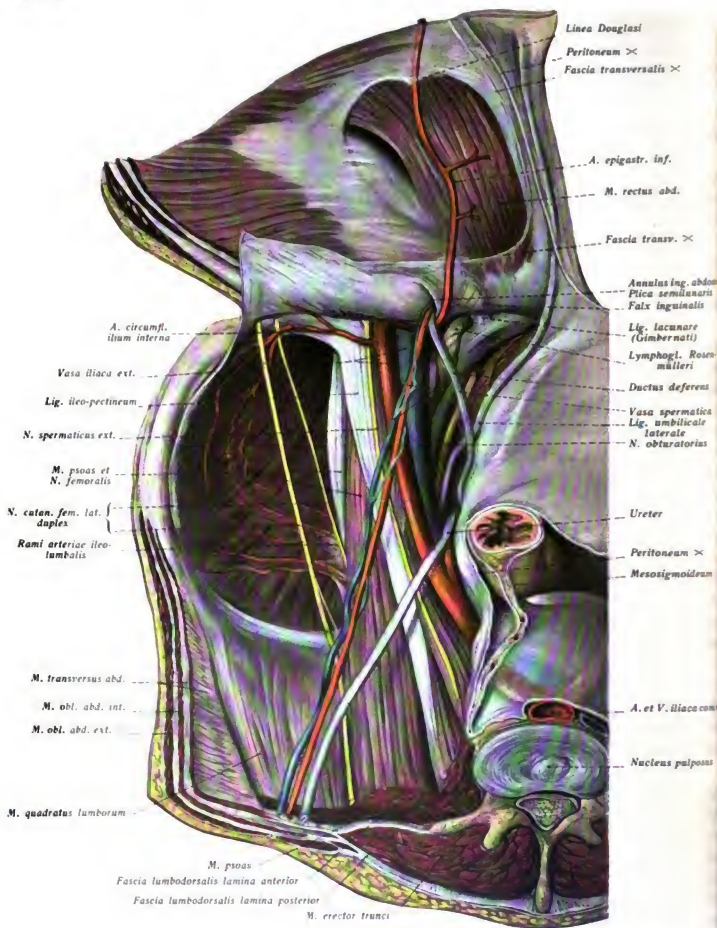


Fig. 250. Vordere Bauchwand, Annulus inguin. abdominalis, Lacuna vasorum und musculorum. Die Leiche war mit arker Formalinlösung injiziert. Untere Rumpfhälfte in der Höhe der Intervertebralscheibe zwischen 3. und 4. Lendenwirbel in der oberen getrennt. Vordere Bauchwand an der Crista iliaca abgeschnitten und nach oben geschlagen; das Bauchfell gelöst und nach rechts hinübergelegt; Fascia transversalis nur im Bereich des Trigon. inguinale erhalten, so daß man unmittelbar auf den M. rectus und das in der Linea Douglasi endigende hintere Blatt der Rektusscheide sieht.

es Handschuhfingers) ist der *Annulus inguinalis abdominalis*. Der *Annulus inguinalis abdominalis* liegt etwa 5 cm seitlich und oben vom *Annulus inguinalis subcutaneus*.

Denkt man sich diesen Handschuhfinger herausgenommen, so bleibt ein Spalt übrig, der als *Leistenkanal* bezeichnet wird. Der Leistenkanal ist also ein etwa 5 cm langer, indgewebiger Spalt in der muskelfreien Stelle der vorderen Bauchwand. Er wird begrenzt vorn von der Aponeurose des M. obl. abd. externus, unten von der rinnenartigen Vertiefung des Lig. inguinale, oben von den freien Muskelrändern der Mm. obl. abd. internus und transversus, hinten von den Binnenschichten. Durchsetzt wird er von einer fadenförmigen Ausstülpung der Fascia transversalis, die bauchhöhlenwärts mit einer Öffnung, dem abdominalen Leistenring, beginnt.

Das Bauchfell zieht glatt über die Gegend hinweg, läßt aber die Niveauverschiedenheiten, die hier bestehen, hervortreten. So entsteht, von der Innenseite betrachtet, ein typisches Bild (Fig. 247 u. a.): Von der Blase verläuft median aufwärts zum Nabel die *Plica umbilicalis media*, verursacht durch das unter dem Bauchfell gelegene *Ligamentum umbilicale medium* (dem Urachus des Embryo). Seitlich von der Blase bilden die obliterierten Reste der Aa. umbilicales des Embryo, jetzt *Ligamenta umbilicalia lateralia* genannt, die *Plicae umbilicales laterales*. Weniger ausgeprägt erscheinen die noch weiter lateralwärts liegenden *Plicae epigastricae*, unter denen die *Vasa epigastrica* verlaufen (Aa. et Vv. epigastricae inferiores). Oft aber besitzt die Plica epigastrica zwischen beiden Foveae einen in zugeschärften Rand. Auch der Samenleiter, *Ductus deferens*, ist subperitoneal lateral von der Plica epigastrica, vom Bauchfell bedeckt, an der Innenfläche der Bauchwand sichtbar. Hier verläßt er den Leistenkanal, um hinter der Blase in das kleine Becken zu gelangen (Fig. 247, 335). Die (lateral von der A. epigastrica inferior gelegene) *laterale Leistengrube*, Fovea inguinalis lateralis, entspricht also der abdominalen Öffnung des Leistenkanals. Medial von der A. epigastrica inferior liegt die *mediale Leistengrube*, Fovea inguinalis medialis, also zwischen der Plica epigastrica und der Plica umbilicalis lateralis; sie liegt genau gegenüber der außen an der Bauchwand gelegenen subkutanen Öffnung des Leistenkanals. Noch weiter medial zwischen der Plica umbilicalis lateralis und der Plica umbilicalis media liegt die *Fovea suprapubesicalis*. Die drei genannten Foveae liegen innerhalb des Lig. inguinale (Poupart), das an der Innenfläche der Bauchwand gesehen und gefühlt werden kann (Fig. 247).

Der Leistenkanal und die Fascia transv. (Fig. 266a—d) (Tunica vagin. comm.) haben entwicklungsgeschichtlich und topographisch Beziehungen zum Hoden, weil in der ersten Hälfte des fötalen Lebens der Hoden und Nebenhoden noch in der Leibeshöhle liegt, während nicht nur die Fascia transversalis, sondern auch das parietale Bauchfell sackartig nach außen treten (Fig. 263 rechts). Hier steht also die Scrotalhöhle (Proc. vag. periton.) mit der Leibeshöhle in offener Verbindung. Der Hoden tritt weiterhin, retroperitoneal nach abwärts sitzend, in die Skrotalhöhle ein, worauf sich eine Trennung der Skrotalhöhle von der Leibeshöhle vollzieht (Fig. 262 rechts). Die Fovea inguin. lat. bezeichnet später die Stelle der Ausstülpung, während sich das Bauchfell um den Hoden als Tunica vagin. propria schließt.

Fig. 262—265. 7 Schemata zur Erläuterung der Anatomie der Leistengegend und der Leistenhernien. Die Zahlen bedeuten: 1 Lig. umbilicale medium, 2 Fascia cremasterica, 3 M. rectus abdominis, 4 (schwarz) Peritoneum parietale, 5 Aponeurose des M. obl. abd. ext., 6 Ligam. umbilicale laterale, 7 A. epigastrica inferior. — Fascia transversalis (= tunica vaginalis communis) rot.

Der Hoden und der Kopf des Nebenhodens (Fig. 197, 198) nebst dem lateralen Rande des Körpers des Nebenhodens liegt in der Skrotalhöhle wie ein retroperitoneales Eingeweide. Das parietale Bauchfell ist die Tunica vaginalis propria; das viszerale Bauchfell liegt an dem Kopfe des Nebenhodens und dem ganzen Hoden als epithelüberkleidete Albuginea. Der größte Teil des Nebenhodens liegt extraperitoneal, aber innerhalb der handschuhfingerartigen Scheide, der Tunica vaginalis communis, so daß der Ductus deferens und die Vasa spermatica von außen an den Nebenhoden herantreten können (Fig. 262 rechts).

Aus dem Gesagten ergibt sich folgende Parallelisierung zwischen Bauchwand und Hodenhüllen.

1. Kutane Schichten	Äußere Haut	Äußere Haut	} Skrotum des Mannes und des Weibes
	Unterhautfettgewebe	Tunica dartos	
	Fascia superficialis	Fascia cremasterica	
2. Muskelschichten	Faszie des M. obliq. abd. ext.	fehlt	} Hodens
	M. obliq. abd. ext. bildet den Annulus ing. ext.		
	M. obliq. abd. int.	Kremaster	
3. Binnenschichten	M. transvers. abd.		
	Fascia transversalis	Tunica vag. comm.	
	Parietales Bauchfell	Tunica vag. propria	

### Anwendungen.

Die 4 Schemata zeigen die Verhältnisse der Regio inguinalis und die Besonderheiten der hier entstehenden typischen Hernien. (Fig. 262—265.)

Allen Leistenbrüchen ist gemeinsam, daß sie über dem Leistenbunde liegen (im Gegensatz zu den Schenkelhernien, die unter dem Leistenband hindurchtreten).

Leistenhernien können durch die Fovea inguinalis medialis austreten oder ihren Weg durch die Fovea inguinalis lateralis nehmen. Darnach unterscheidet man mediale (innere, direkte, grade) und laterale (äußere, indirekte, schräge) Leistenbrüche. Die beste, jede Verwechslung ausschließende Bezeichnung für jene: *innere* Hernien, für diese: *Kanalhernien* (Waldeyer).

Die *inneren* Hernien treten in die Fovea inguinalis medialis ein; sie befinden sich hier genau gegenüber dem subkutanen Leistenring, dringen durch ihn hindurch und wölben die Haut über ihm schwellenartig vor. (Sie heißen „direkte“, weil sie auf dem kürzesten Wege durch die Bauchwand hindurchtreten. (Fig. 260, 261, 267 rechts.)

Sie liegen stets *außen* vom Lig. umbilicale laterale und *innen* von der A. epigastrica. Beziehung zum Leistenkanal können sie nie gewinnen.

Der *Bruchinhalt* findet zwischen sich und der kutanen Schicht das parietale Bauchfell und die Fascia transversalis vor. Beide werden mit ausgestülpt; jenes bildet den Bruchsack, diese die Fascia propria herniae.

Die *Kanalhernien* (Fig. 261, 267 rechts) treten in die Fov. ing. lat. ein. Sie befinden sich hier 5 cm lateral vom subkutanen Leistenringe und geraten durch den abdominalen Leistenring in das Innere des Samenstranges. Bei weiterer Senkung geraten sie in das Skrotum.

Sie liegen stets *außen* von der A. epigastrica und oberhalb des Ductus deferens und der Vasa spermatica.

Das Verhalten der Bruchhüllen ist im einzelnen verschieden, je nach dem Zustande des Processus vaginalis. Hier lassen sich zwei extreme Zustände unterscheiden. Entweder der Processus vaginalis

Fig. 262  
bis 265.

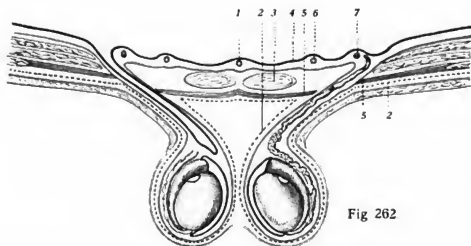


Fig 262

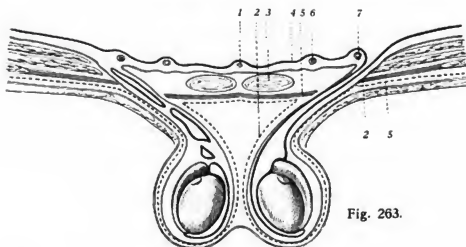


Fig. 263.

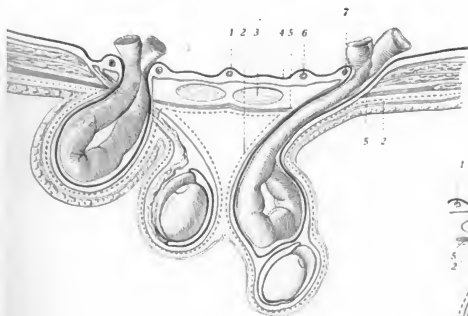


Fig 264.

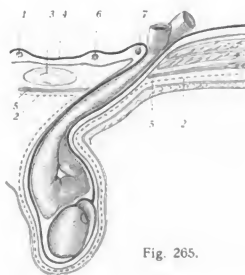


Fig. 265.

Fig. 266.

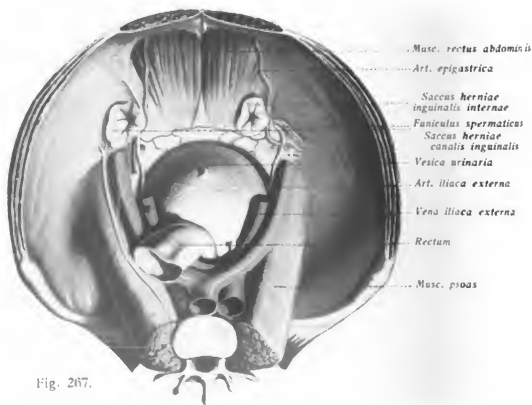
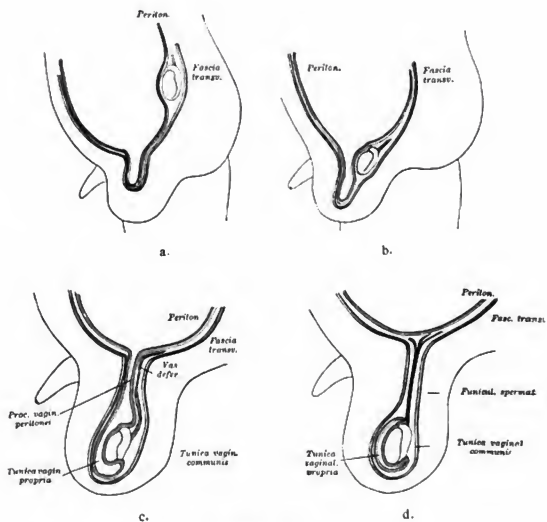


Fig. 267.



Fig. 266. Descensus testiculi (nach Stieda-Pansch aus Sultan).

Lage des Hodens etwa im vierten Fötalmonat.

c) im 9. Fötalmonat. Entstehung der Proc. vagin. peritonei.

" " " " im sechsten bis siebenten Fötalmonat. d) bei der Geburt. Entstehung der Tunica vaginalis propria.

Fig. 267. Äußerer und Innerer Leistenbruch, von innen gesehen. Nach Sultan.

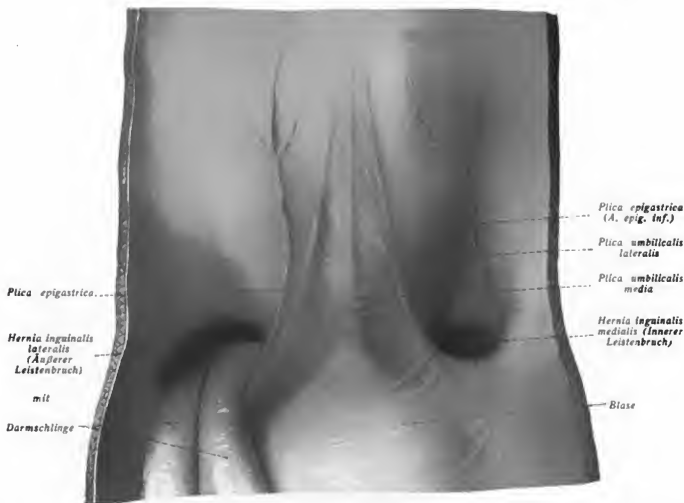


Fig. 261. Leistenbrüche. Man sieht von der Innenseite der Bauchwand aus in die Bruchsäcke. Links ein lateraler Leistenbruch (Kanalhernie) mit einer Darmschlinge als Inhalt. Rechts ein innerer (medialer) Leistenbruch (leerer Bruchsack). Nach Enderlen und Gasser.

mal geschlossen (Fig. 262 rechts) oder der foetale Zustand ist erhalten geblieben und die Skrotalhöhle gegen die Bauchhöhle ohne Abschluß (Fig. 263 rechts). Dazwischen sind andere Zustände möglich und häufig vorhanden. Entweder die Skrotalhöhle ist abgeschlossen, aber es setzt sich ein Fortsatz der Bauchhöhle in den Samenstrang fort (Fig. 262 links) oder Bauchhöhle und Skrotalhöhle sind zwar völlig abgeschlossen, aber es bestehen Reste der Höhle längs des Samenstranges (Fig. 263 links).

Tritt ein Eingeweide bei normalem Verschuß in den Leistenkanal ein, so entsteht ein Bild wie in Fig. 264 rechts. (Typische Form der Kanalhernie.) Die Skrotalhöhle ist gegen die Bruchhöhle völlig abgeschlossen; die Hernie hat ihren eigenen Bruchsack und dringt in ihm soweit nach abwärts, wie es unten liegende, die Skrotalhöhle abschließende Tunica vaginalis propria gestattet (Fig. 268). Dasselbe Bild kann aber entstehen, wenn ein Eingeweide die Verhältnisse Fig. 262 links antrifft. Man kann also einer Kanalhernie solch einer Art nicht ansehen, ob sie aus einem Zustand, Fig. 262 links oder Fig. 262 rechts, hervorgegangen ist, d. h. die Unterscheidung zwischen einer erworbenen Hernie und einer erworbenen Hernie mit anlagebedingtem Bruchsack ist unmöglich.

Tritt ein Eingeweide in einen Kanal vom Zustande Fig. 263 rechts ein, so wird kein eigener Bruchsack bestehen. Bruchinhalt und Hoden werden in der gleichen Höhle liegen. Diese Form kann stets

nur einem angeborenen Bruche eigentümlich sein (selbst wenn der Austritt des Eingeweidcs erst während des individuellen Lebens erfolgt).

All diese Verschiedenheiten betreffen aber nur die Tunica vaginalis propria d. h. das parietale Bauchfell (Bruchsack). Bei Kanalhernien jeder denkbaren Form verhält sich die Tunica vaginalis communis (Fascia transversalis) stets in der gleichen Weise: sie wird *nie* mit aufgestülpt, weil sie schon *draußen* liegt und bildet in jedem Falle die Fascia propria der Hernie.

Die allgemeine differential-diagnostische Regel, die aus der Anatomie der Kanalhernie folgt: daß stets neben dem Eingeweide der Hoden zu fühlen sein muß, erleidet Ausnahmen, wenn der Hoden selbst, z. B. durch eine Hydrozele, der Betastung entzogen ist. Ein Beispiel dieser Art zeigt Fig. 269.

#### IV. Die hintere Bauchwand und die retroperitoneal gelegenen Organe.

Die hintere Wand der Bauchhöhle erfordert eine besondere Besprechung, weil ihr außerhalb des Bauchfells wichtige Organe angelagert sind. Die Wirbelsäule, vom 12. Brust-

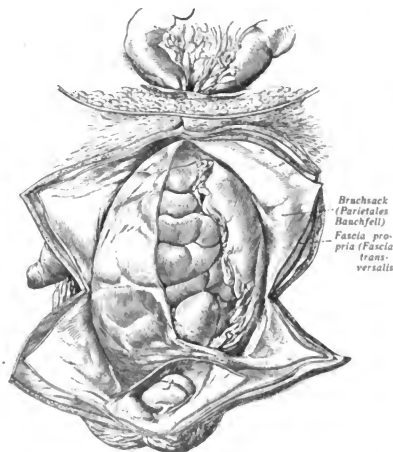


Fig. 268. Typische Kanalhernie. Bruchsack und Fascia propria gespalten, Bruchinhalt freigelegt. Skrotalhöhle eröffnet. Den Bruchinhalt bildete Dünndarm und — kenntlich an den Appendices epiloicae — Flexura sigmoidea.

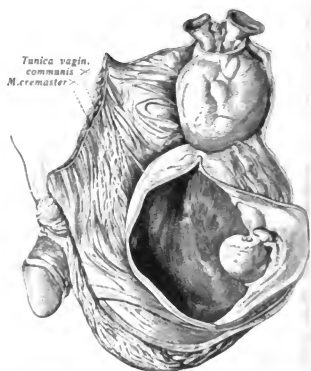


Fig. 269. Kanalhernie, kompliziert durch gleichzeitig vorhandene Hydrocele. Der Bruchsack ist klein und reicht bis zu der völlig geschlossenen, aber stark ausgedehnten Skrotalhöhle. Letztere ist eröffnet. Hoden und Nebenhoden atrophisch. Die Muskelfasern des M. cremaster, nach außen von der Tunica vagin. communis gelegen, sind, da sie Hydrocele und Hernie zu tragen haben, stark hypertrophiert. Eigene Beobachtung.

wirbel an bis zum 5. Lendenwirbel bildet den ebenso festen wie beweglichen Strebepfeiler der, auf dem Boden des Beckens aufruhend, die höheren Abschnitte des Körpers trägt. Überkleidet wird die Wirbelsäule vom vorderen Wirbellängsband und den Zwerchfelpfeilern, d. h. den Ursprüngen der Pars media des Lendentheils des Diaphragmas. Zwischen diesen sehnig-muskulösen Pfeilern liegt der Hiatus aorticus, dessen oberster Teil in der Höhe des 12. Brustwirbels liegt. Seitlich von der Wirbelsäule (Fig. 271) liegt der M. psoas (Ursprung: die Zwischenwirbelscheiben und benachbarten Ränder der Wirbelkörper).

1—4, die Processus laterales der Lendenwirbel 1—5). Auf ihm kann häufig ein *M. psoas minor* vorhanden sein (Ursprung: 12. Brustwirbel), der sehnig in die Beckenfaszie einstrahlt (Fig. 259). Nach außen vom *M. psoas* liegt der *M. quadratus lumborum* zwischen 12. Rippe, Lateralfortsätzen und Darmbeinkamm der Lendenwirbel. Dorsal von diesem Muskel liegt das tiefe Blatt der *Fascia lumbodorsalis*, das seitlich neben dem *M. quadratus lumborum* hervortritt, wo es den Muskelfasern des *M. transversus abdominis* den Ursprung gibt (Fig. 259). Nach aufwärts ist der *M. psoas* und der *M. quadratus* von den Ursprüngen der *Pars lumbalis* des Zwerchfells überlagert. — Die *Psoasursprünge* lassen zwischen sich Spalten frei, die durch Sehnenbögen überbrückt sind. Jeder Spalt entspricht der Mitte eines Lendenwirbels. Unter den Sehnenbögen treten die *Aa. lumbales* und die *Rami intestinales* des Grenzstranges hinweg.

Die *Aorta abdominalis* liegt der Lendenwirbelsäule dicht auf und teilt sich am 4. Lendenwirbel in die beiden *Aa. iliacae communes* (s. Fig. 271). Bei nageren Individuen und leerem Darm gelingt es, von vorn her durch die Bauchdecken die *Pulsation der Bauchaorta* zu fühlen, besonders auch wenn durch Lortose der Wirbelsäule diese der vorderen Bauchwand genähert ist. Am 2. Lendenwirbel liegt vor ihr der sie kreuzende Körper des Pankreas, weiter unten die *Pars ascendens duodeni*; unterhalb dieser Stelle ist sie von Peritoneum bedeckt und leicht freizulegen. Die Äste der Bauchaorta werden in drei Gruppen geteilt:

1. Paarige Äste der Bauchwand (= dorsale Segmentarterien [S. 10]);
2. paarige Eingeweideäste (= laterale Segmentarterien, Urnierenarterien [S. 10, 11]);
3. unpaarige Eingeweideäste (= ventrale Segmentarterien).

Von den dorsalen Segmentarterien sind die vier Lumbalarterien zu merken, die unter den Sehnenbrücken des *M. psoas* hindurch zur Muskulatur der Bauchwand ziehen. Die Nieren- und Nebennierenarterien und die *A. spermatica* gehören zur zweiten, die *Aa. coeliaca*, *mesenterica superior* und *inferior* zu der dritten Gruppe. Topographisch ist über die Lage der Hauptäste zu sagen: Die *A. coeliaca* und *A. mesenterica superior* entspringen dicht hintereinander aus der Vorderseite der Aorta in der Höhe des 12. Brustwirbels, am oberen Rande des Pankreas. Die *A. mesent. sup.* tritt hinter dem Pankreas (Fig. 304, 305) hinab und wischen ihm und dem Duodenum in die *Radix mesenterii*. Vor dem 1. Lendenwirbel treten die beiden *Aa. renales* aus dem seitlichen Umfang der Aorta zum Nierenhilus. Die *A. mesenterica inferior* entspringt vor dem 3. Lendenwirbel. Zwischen 1. und 3. Lendenwirbel tritt die *A. spermatica interna* paarig aus der Aorta. Sie zieht in Begleitung ihrer Venen



Fig. 270. Innervation der Leiste als Überblick für die Anwendung der Lokalanästhesie bei Herniotomie, aus Braun die Lokalanästhesie. Verlauf der Hautnerven punktiert. Es bedeutet 1 *N. genitofemoralis*; dessen Äste, 2 *N. spermaticus externus*, 3 *N. lumbinguinalis*, 4 *N. ilio-inguinalis*, 5 *N. ilio-hypogastricus*, 6 Hautast des XII. Interkostalnerven.

Fig. 271. Situs retroperitonealis. Ansicht von vorn.

nach außen unten und kreuzt den Ureter. Dann gelangt sie auf dem M. iliacus zum abdominalen Leistenring (Fig. 247, 259, 321).

Die *A. iliaca communis* reicht bis zur Articulatio sacroiliaca und liegt medial vom M. psoas. Sie liegt auf beiden Seiten vor und links von der begleitenden V. iliaca communis retroperitoneal.

Gelegentlich muß sie unterbunden werden. Das geschieht ohne Verletzung des Bauchfells. Man kann 3 cm oberhalb des Poupart'schen Bandes diesem parallel (s. Fig. 394) eindringen, durch Haut, Fett, Bauchmuskulatur und Fascia transversalis bis auf das Bauchfell und drängt dies von der Fossa iliaca ab, indem man nach oben immer mehr auf den Vasa iliaca bis zu dem Stamm der A. iliaca communis retroperitoneal vordringt. Erst gelangt man auf die A. iliaca externa; weiterhin auf die A. iliaca communis, wobei der vor den Gefäßen verlaufende Ureter zu vermeiden ist. Der Schnitt darf nicht zu weit medial ausgedehnt werden, da sonst die *Art. epigastrica inferior* in Gefahr kommt (s. S. 190).

An der rechten Seite der Bauchaorta liegt die V. cava inferior (s. Fig. 271, 279, 305). Sie liegt distal neben der Aorta und entsteht rechts von deren Teilungsstelle am 4. Lendenwirbel durch Zusammenschluß der beiden Vv. iliaca communes. Dabei zieht die linke Vena iliaca communis hinter der rechten A. iliaca communis. Anfänglich liegt sie oberflächlich, nur vom Bauchfell bedeckt, und nimmt die beiden Nierenvenen, auch die rechte V. spermatica auf (die linke geht in die linke Nierenvene). Die linke V. renalis läuft vor der Aorta, die rechte A. renalis hinter der V. cava. Dann nimmt die Vene aber einen sehr tiefen Verlauf, dicht vorbei an der rechten Nebenniere, mit der ihre Gefäßscheide verwachsen ist (siehe Fig. 287). Über ihr liegt zunächst die Pars ascendens duodeni, der Kopf des Pankreas und die Pfortader; weiter nach aufwärts liegt sie bedeckt von der Leber, eingelagert zwischen Zwerchfell und hinterer Leberfläche. Hier treten die Vv. hepaticae in sie ein. Von den Nieren an entfernt sich die V. cava von der Aorta nach rechts und oben. Da die Aorta die Bauchhöhle schon vor dem 12. Brustwirbel betritt, die V. cava inferior aber bis zum Foramen venae cavae ins Centrum tendineum hinaufreicht, so ist der venöse Hauptstamm der Bauchhöhle viel länger als der arterielle.

Der Bauchteil des sympathischen Nervensystems besteht aus dem Grenzstrang, der durch den Zwerchfellopfiler (s. oben S. 153) hindurchtritt und zwischen Psoasursprüngen und Aorta gelegen ist, durch Rr. communicantes mit dem 12. Thorakal- und den Lumbalnerven verbunden. Die Rr. communicantes laufen mit den Aa. lumbales unter dem Psoas hindurch. Rechts und links neben dem Ursprung der A. coeliaca liegen die Ggl. semilunaria auf den Zwerchfellopfilern. Beide stehen miteinander in Verbindung und können auch enger verwachsen sein (Ggl. solare). Nach aufwärts stehen die Ganglien in Verbindung mit den Nn. splanchnici und dem rechten (hinteren) N. vagus. Aus den Ästen dieses Ganglion und den Rr. communicantes des Grenzstranges entwickelt sich der Plexus aorticus, der an der Teilungsstelle der Aorta den paarigen Plexus hypogastricus superior bildet. Mit den Ästen der Aorta ziehen sympathische Plexus zu Darm, Nieren, Leber, Milz usw.

Der sich aus den vier oberen Lumbalnerven entwickelnde Plexus lumbalis wird anfänglich durch den Psoas bedeckt. Nur seinen Verbindungsast zum Plexus sacralis (aus dem 4. Lumbalnerven) kann man zwischen Psoas und Wirbelsäule leicht aufsuchen. Die Äste des Plexus treten durch den Psoas oder hinter ihm in oberflächliche Lage. Topographisch wichtig sind: 1. der N. iliohypogastricus und N. ilioinguinalis, die beide hinter der Niere nach außen ziehen, um zwischen die Bauchmuskeln zu treten. 2. Der N. femoralis,

Fig. 271.

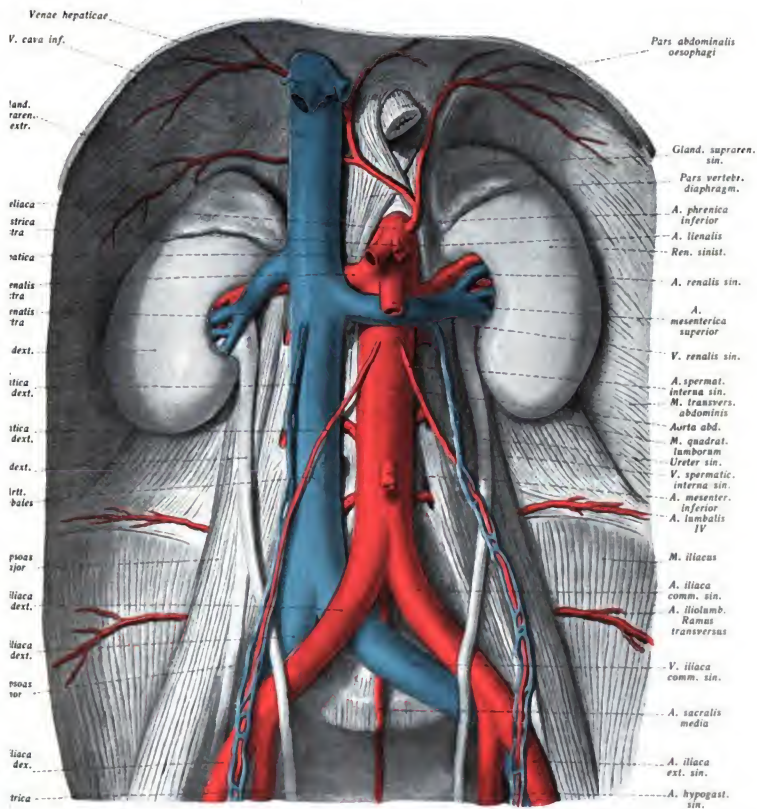


Fig. 272.

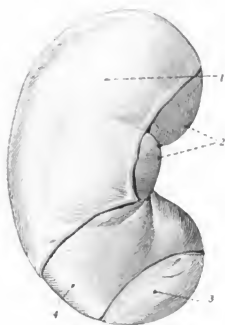


Fig. 273.

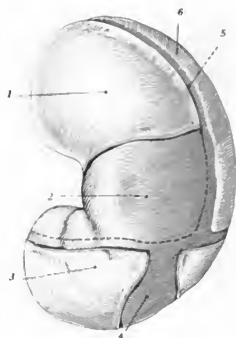


Fig. 274.

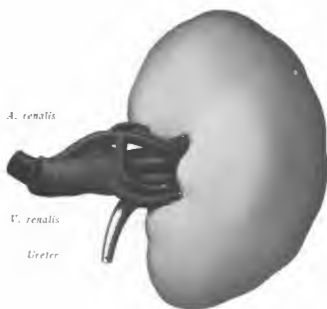


Fig. 275.

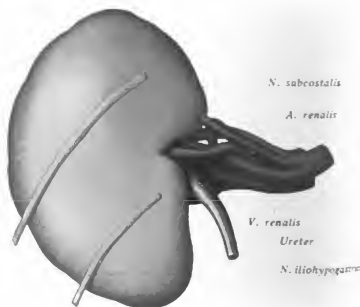


Fig. 272. Rechte Niere nach Entfernung von Duodenum und Flexura coli dextra.

eritonealüberzug, gegen die Impressio renalis der Leber gekehrt und von ihr bedeckt. 2 Stelle, an der der Bauchfellzug auf das — entfernte — Duodenum tritt. 3 Bauchfell auf dem unteren Nierenpol. 4 Stelle, auf der die Flexura dextra, zwischen Niere und Leber liegt.

Fig. 273. Linke Niere nach Entfernung vom Pankreas, Flexura coli sinistra und Milz.

eritonealüberzug, in die Bursa omentalis schauend. 2 Stelle, wo die Cauda des Pankreas lag (jetzt ohne Bauchfell). 3 Nierenpol vom Bauchfell überkleidet, in die linke Kolonnische schauend. 4 Anlagerungsstelle für die Flexura sinistra (jetzt ohne Bauchfell). 5 Ansatz des Lig. phrenicolicum. 6 Bauchfellüberzug gegenüber der Facies renalis Milz.

Fig. 274. Linke Niere von vorne gesehen.

Fig. 275. Linke Niere von hinten gesehen.

in dem Spalt zwischen M. psoas und M. iliacus nach abwärts zur Lacuna musculorum (Fig. 259, 278, 320). 3. der N. spermaticus externus ist ein Ast des N. genitofemoralis. Er tritt zu den Vasa spermatica.

Der hinteren Bauchwand sind die *Nieren* und *Nebennieren* angelagert.

Jede Niere hat einen oberen und einen unteren Pol, einen lateralen konvexen und einen medialen konkaven Rand, sowie eine vordere und eine hintere Fläche. Die Niere liegt in der Regio lumbalis zu *beiden Seiten der Wirbelsäule* (s. Fig. 271) auf dem M. psoas major, M. quadratus lumborum und M. transversus abdominis, sowie auf den Fortsätzen des Crus laterale der Pars lumbalis des Zwerchfells, derart, daß die Längsachsen der Nieren, d. i. die Verbindungslinien der beiden Pole, nicht parallel der Wirbelsäule liegen, sondern nach unten ein wenig divergieren. Die *Querachse*, d. i. die Verbindungslinie der Mitten der beiden Ränder, liegt nicht frontal, sondern die beiden Querschnitte schneiden sich, verlängert gedacht, vor der Wirbelsäule ungefähr rechtwinklig; ist die *vordere Fläche zugleich die laterale, die hintere zugleich die mediale*. Der *äußere Rand* liegt also *am weitesten hinten*. Die Nieren reichen vom unteren Ende des 12. Brustwirbels bis zum 3. Lendenwirbel; die rechte liegt in Zweidrittel der Fälle einen Zentimeter breit tiefer (s. Fig. 271, 278). Der obere Pol liegt also im Bereich des letzten Interkostalraumes. Nicht selten beobachtet man abnormen Tiefstand der Niere, bei dem die rechte mit ihrem unteren Pol die Crista iliaca erreicht oder sie sogar überragt. Ein peritonealer Überzug ist nur an der *vorderen Fläche* vorhanden. Die hintere Fläche wird von dem fettreichen Bindegewebe der vorn nur gering ausgebildeten *Capsula adiposa* an den oben genannten Muskeln locker fixiert. In diesem Fett verlaufen über die hintere Fläche der 12. *Thoracalnerv* (N. subcostalis) sowie der *N. iliohypogastricus* aus dem Plexus lumbalis (s. Fig. 278).

Der mediale, konkave Rand jeder Niere trägt den *Hilus*. Hier liegen die Nierenarterie, vorn die Vena renalis, unter ihr die Art. renalis, zu hinterst der Ureter. Die Nierenarterie teilt sich meist im Sinus renalis in zwei starke Äste, deren jeder als *Endarterie* für je eine Hälfte der Niere bestimmt ist. Oft treten bereits zwei Äste an die Niere an, wobei dann der vordere vor der Vena renalis liegt.

Die Lagebeziehungen, die beiden Nieren gemeinsam sind, sind die zum Zwerchfell und zur Pleurahöhle. Da die Nieren über die 12. Rippe nach aufwärts ragen, liegt der obere Pol der Niere in der Höhe der 12. Rippe und ein Teil des kostaalen Ursprungs des Zwerchfells, insbesondere die Bochdalek-Lücke (S. 153) hinter der Niere. Da ferner die untere Pleuragrenze die 12. Rippe kreuzt, wird der oberste Pol der Niere vor den Sinus phren.-cost. treten (Fig. 198, 199, 278). Die rechte Lungengrenze wird nur im Zustande kräftiger Inspiration hinter die Niere geraten

Fig. 276. Zur Erläuterung der Lage der rechten Niere. Ansicht von vorn.

Fig. 277. Zur Erläuterung der Lage der linken Niere. Ansicht von vorn.

können. Hinter jeder Niere sind also drei Zonen zu unterscheiden, die unterste, in die Niere unmittelbar der Bauchwand anliegt: *sie wird durch den lateralen Teil der 12. Rippe abgegrenzt*. Es folgt die Zone, hinter der das Zwerchfell liegt, sodann die, hinter der die Pleurahöhle (Sinus phrenicocostalis) hinabsteigt. Neben der Wirbelsäule liegt die Grenze dieser Zone *unterhalb der 12. Rippe*.

Jede Niere hat dann infolge der Asymmetrie der Baueingeweide besondere Lagebeziehungen (vgl. auch Fig. 219—221).

Die *rechte Niere wird leicht gefunden*, wenn man die Leber aufhebt, deren rechter Lappen an der Unterfläche von der Niere die Impressio renalis (s. S. 219 und Fig. 300, 301) empfängt. Medial grenzen an die rechte Niere (s. Fig. 276, 305) die *V. cava inferior* und die *Pars descendens duodeni*. Auf dem unteren Pol liegt die *Flexura coli dextra*. Demnach unterscheidet man an der vorderen Fläche dieser Niere eine Facies hepatica und eine Facies colica (s. Fig. 272).

Die *linke Niere liegt versteckter* als die rechte. Mit dem kranialen Teil ihres äußeren Randes grenzt sie an die Milz, die diesem Rande und dem angrenzenden Teil der Vorderfläche der Niere aufgelagert ist. Den unteren Pol der Niere findet man in dem Winkel zwischen der Flex. coli sin. (Fig. 317); er ist an dieser Stelle, besonders bei Tiefstand der Niere, oft größerer Ausdehnung zu sehen. Im übrigen ist die Niere von der *hinteren Magenfläche* und von der *Cauda pancreatis* im Bereich der Bursa omentalis (Fig. 284, 299) überlagert. Unterhalb des Pankreas liegen ihr die *Flexura coli sinistra* und der Anfangsteil des Colon descendens an (s. Fig. 277). Man unterscheidet demnach an der Vorderfläche der linken Niere die Facies gastrica, F. pancreatica, F. colica und F. lienalis sowie den meist freiliegenden unteren Pol unterhalb der Flexura coli sinistra (s. Fig. 317), auf der der Dünndarm mit der Niere in Berührung kommt.

Auf der Vorderseite liegt vor den Nieren das parietale Bauchfell. Da aber eine große Zahl von Organen der Niere, *gleichfalls retroperitoneal*, aufgelagert sind, so bleibt nach Ablösung dieser Organe die Niere selbst nur streckenweise vom Bauchfell bedeckt, während da, wo die auf ihr lagernden Organe abgetragen sind, die fibröse Kapsel der Niere freigelegt wird. Die Figg. 272, 273 zeigen die Berührungsflächen, ihre nach Abtragung der Organe von Bauchfell entblößten und die auch nach Abtragung dieser Organe noch vom Bauchfell überkleideten Stellen. Rechts liegt größtenteils die Leber vor der Niere, die hier einen bis zur Umschlagstelle auf die Leber reichenden serösen Überzug hat. Auf dem Hilus liegt das Duodenum, auf dem unteren Pol die Flexura coli dextra, die beide außerhalb des Bauchfells liegen. Links ist die obere Hälfte, die hinter dem Magen liegt (in der Bursa omentalis) von Bauchfell bedeckt, desgleichen der laterale Rand. Zwischen Facies gastrica und Facies lienalis heftet sich auf der Niere das Lig. phrenico-lienale fest. Die untere Hälfte ist von der Cauda pancreatis bedeckt, ist also nur vom Peritoneum dieses Organes von Peritoneum überzogen. Der untere Pol ist von Bauchfell überkleidet, während seitlich die Anlagerungsstelle für die Flexura coli sinistra liegt. Von dieser Stelle, als deren Fortsetzung nach links, liegen die Anheftungsstellen der beiden Lamellen des Lig. phrenico-colicum.

Die *Nebennieren* (Fig. 219—221) sitzen auf dem oberen Pol der Nieren und dem dem



Fig. 276.

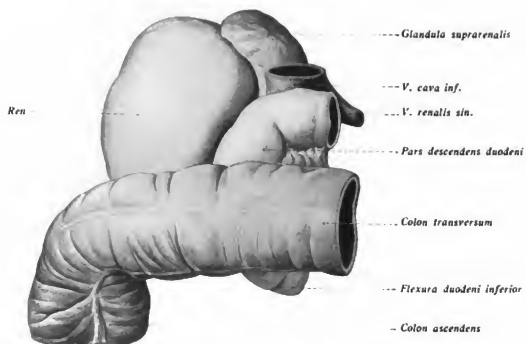


Fig. 277.

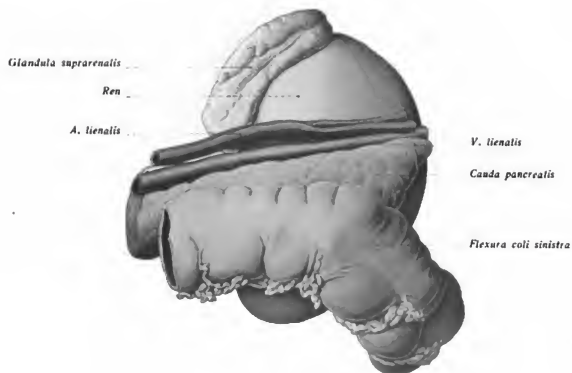


Fig. 278.

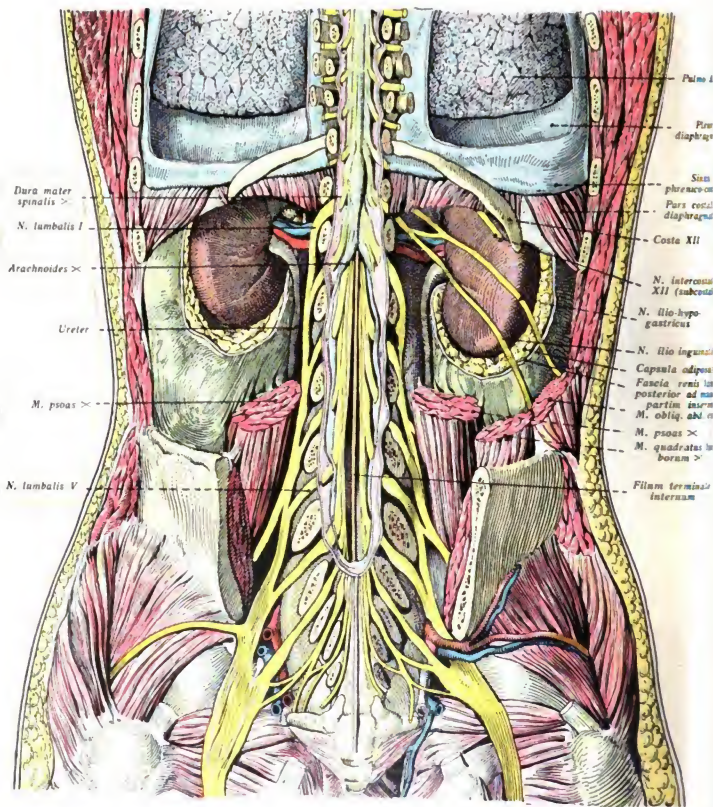


Fig. 278. Situs des Rückenmarks und der Nieren. Ansicht von hinten. Teilweise unter Benutzung eines Hisschen'selles.

n medialen Nierenrände. Die linke liegt etwas tiefer als die rechte. Sie liegen außerdem r Pars lumbalis des Zwerchfells auf. Die mehr dreieckig gestaltete rechte Nebenniere renzt an die Leber und die V. cava inf. (s. Fig. 276, 303), die halbmondförmige linke ebenniere grenzt an den Magen und die Aorta abdominalis (vgl. Fig. 294). Zu der rech- n Nebenniere gelangt man, wenn man die Umschlagstelle des Bauchfells von der Niere r Leber durchschneidet. Sie liegt völlig retroperitoneal und ist mit der bauchfellfreien elle der Leber (Impressio suprarenalis S. 219) sowie mit der Gefäßscheide der Vena

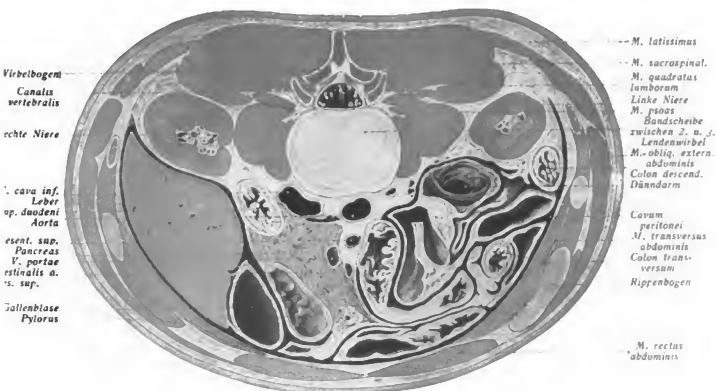


Fig. 279. Querschnitt des Bauches in der unteren Nierengegend.

ra inferior fest verwachsen. Die linke Nebenniere liegt in der hinteren Wand der rsa omentalis, hinter dem Magen und ist von Bauchfell überzogen. Sie ist mit der fäßscheide der Aorta abdominalis verlötet.

## Anwendungen.

Die an der steilgestellten hinteren Bauchwand haftenden Nieren besitzen wichtige Befestigungs- tel. Die Fettkapsel (Fig. 278), die hinten und am unteren Pol entfaltet ist, bildet ein raumfüllendes lster, in dem die Niere, von ihrer Capsula fibrosa (propria) umhüllt, ruht. Außen vom Fettpolster sind röse Platten ausgespannt, die als „Nierenfaszie“ die Verbindung der Niere und Nebenniere mit der iteren Bauchwand und dem parietalen Bauchfell herstellt. Diese „Faszie“ ist keine einheitliche Bil- ng. Das hinter der Niere liegende Blatt reicht bis zum Zwerchfell und zur bauchfellfreien Stelle der er, ferner bis zum M. psoas, wo besonders feste Verwachsungen mit dem Perimysium dieses Muskels ttfinden. Nach abwärts geht dies Blatt in die Beckenfaszie über. Die vor der Niere liegende fibröse itte steht in engerer Beziehung zum Bauchfell, besonders links, und ist (Vogt) die ursprünglich zwischen ere und Kolon gelegene Doppellamelle des Bauchfells, die bei der Verwachsung des Colon ascendens und

descendens mit der hinteren Bauchwand ihre ursprüngliche Bedeutung verliert (s. S. 207 u. Fig. 282 283). Nach abwärts steht dieses Blatt mit dem hinteren nicht in engerem Zusammenhange.

Diese Befestigung der Niere ist aber nicht absolut. Die Niere unterliegt nachweisbaren respiratorischen Verschiebungen. Schwund des Fettes der Fettkapsel, Lockerung des Fasziensbindegewebes u. der Verbindungen zwischen Nebennieren und Gefäßen (Vena cava für die rechte, Aorta für die linke Nebenniere) können zu Senkungen der Niere führen (Wanderniere). Nicht zu verwechseln damit sind angeborene Verlagerungen der Nieren, die zu großen diagnostischen Schwierigkeiten Anlaß geben können. Von Abnormitäten der Nierengestalt ist die Hufeisenniere zu nennen. Die Ureteren treten hier meist von der Vorderfläche der Niere heraus.

Hinsichtlich der Zugänglichkeit der Niere von hinten und seitwärts ist hier zu dem oben Erwähnten (Pleura, 12. Rippe) hinzuzufügen, daß die Niere mit ihrem seitlichen Rande der dünnsten Stelle der hinteren Bauchwand anliegt. Neben dem Erector trunci liegt sie nur von der Fascia lumbodorsalis (tiefes Blatt) und dem M. latissimus dorsi bedeckt. Die Operationsschnitte zur Freilegung der Niere tragen diesen Verhältnissen Rechnung. Über die Art und Weise, wie die Niere durch den *Nierenschnitt* von hinten erreichbar ist, kann man sich an der Fig. 279 unterrichten. Man durchtrennt die Haut, das subkutane Bindegewebe, das hintere Blatt der Fascia lumbodorsalis mit dem M. latissimus dorsi und erreicht den lateralen Rand des M. sacrospinalis, der medialwärts verschoben wird. Nach Durchtrennung des obliquus externus und internus wird auch das tiefe Blatt der F. lumbodorsalis mit dem M. transversus abdominis durchgeschnitten. So gelangt man zu dem M. quadratus lumborum, dessen Rand den Rand des M. sacrospinalis etwas überragt. Lateral vom M. quadratus lumborum wird die Fascia renalis und die Capsula adiposa erreicht. Da die *Pelvis am weitesten dorsal* liegt, ist sie ohne Verletzung der Vasa renalia am Hilus erreichbar, ebenso ist der obere Teil des Ureter zugänglich.

Bei Erkrankungen der Niere und bei Operationen an ihr spielt die *Gefäßverteilung* in dem Organ eine Rolle. Die Äste der A. renalis verhalten sich innerhalb der Niere als *Endarterien*; die vordere u. hintere Fläche des Organes, oft auch der obere und untere Pol stellen eigene Versorgungsgebiete dar, so daß z. B. Keilexzisionen und überhaupt partielle Eingriffe vorgenommen werden können, ohne daß die stärkeren Äste der Nierenarterie bluten, oder es kann durch Abklemmung eines Astes ein erkranktes Gebiet blutleer gemacht werden. Die Fettkapsel der Niere erhält aber selbständige Gefäße aus den Nierenarterien, auch aus der 1. Lumbalarterie.

Die Lage der Nn. ilio-hypogastricus und ilio-inguinalis zur Hinterfläche der Niere erklärt die Schwellungen der Niere und bei Nierentumoren auftretenden *neuralgischen Schmerzen*, die bis in den *Schenkel und in die äußeren Genitalien* ausstrahlen können.

Nierentumoren der rechten Seite führen gelegentlich zu Kompressionen der V. cava inferior u. des Duodenum. Ein rechter Nierentumor wird die Flexura coli dextra *nach vorn* drängen können, daß der Tumor *scheinbar* tympanitischen Schall gibt, der nach geeigneter Entleerung des Darmes verschwinden wird. Dasselbe gilt auch für die Lage des Kolons zur linken Niere. Milz- und Nierentumoren können dadurch voneinander unterschieden werden, daß beim Einblasen von Luft in den Dickdarm die Blase tympanitischen Schalles in dem einen Falle den Tumor verdeckt (Niere), im anderen (Milz) nicht. Für die rechte Niere ist wegen des variablen Verhaltens des Kolons und seiner Lage lediglich unteren Nierenpol dieses Verfahren diagnostisch durchaus unzulänglich.

Auch entferntere Organe können durch große Nierentumoren in Mitleidenschaft gezogen werden. Indem die rechte Niere sich bedeutend vergrößert, kann sie die *Leber nach oben und vorn drängen* u. so auf die rechte Lunge *behindernd* wirken. Ein großer linksseitiger Nierentumor wird, abgesehen von der Wirkung auf Magen und Milz, *nach oben auf die linke Lunge und das Herz komprimierend* wirken können. In allen diesen Fällen ist es natürlich, daß eine *Vergrößerung nach der dorsalen Seite* wegen der durch starke Muskulatur und Knochen gebildeten festeren Unterlage der Niere gegenüber der Vergrößerung nach vorn, oben und unten *hin wenig in Betracht kommt*. Von erkrankten Nachbarorganen kann auf die Nieren und deren Umgebung übergehen: der Leberabszeß, die Wirbelkarie, die Psoasabszeß u. a.

Die Lage des Nierenbeckens, also des *hinter* den großen Gefäßen gelegenen Teiles, ist günstig für die Entfernung von Nierensteinen aus dem Becken von hinten her, wobei in der Regel die großen Gefäße, weil sie vorn liegen, unverletzt bleiben. *Blutungen aus den Nierengefäßen sind in der Regel retroperitoneale*, eine intraperitoneale Blutung setzt Zerreißung des Bauchfells voraus. Perforiert die

Nierenbecken, so bildet sich infolge des nicht mehr auf normalem Wege durch den Ureter abfließenden Urins ein *retroperitonealer Harnabszeß*, also auf dem M. quadratus lumborum. Solche und andere erinephritischen Abszesse hinter der Niere können sich *nach oben* ausbreiten, die Pleura beeinflussen (Pleuritis) oder der Abszeß *senkt sich* auf die Fossa iliaca und findet subperitoneal ähnliche Ausbreitungsbahnen wie der retrocoecale (perityphlitische) Abszeß (s. S. 232). Diese Abszesse liegen *oberhalb* der Beckenfaszie im Gegensatz zu den Senkungsabszessen der Wirbelsäule, die mit dem M. psoas *unter* der Beckenfaszie liegen, also auch *unter* dem Leistenbunde durch die Lacuna musculorum zum Oberchenkel treten müssen.

Der Ureter reicht mit seiner Pars abdominalis vom Nierenbecken bis zur Linea terminalis des Beckens. Er liegt hier retroperitoneal, läuft auf dem M. psoas ab- und etwas medianwärts, *kreuzt die Vasa iliaca communia* nahe an deren Teilungsstelle, indem er *vor* den Gefäßen liegt. Hier kann man den Ureter leicht von der Bauchhöhle aus freilegen, doch gelingt es auch retroperitoneal durch einen oberhalb des Lig. inguinale geführten Schnitt den Ureter zu erreichen auf die gleiche Weise, wie die A. iliaca communis unterunden wird (s. S. 311). *Vor* dem Ureter verlaufen die *ihn gleichfalls kreuzenden Vasa permatica interna* ebenfalls retroperitoneal. Diese Kreuzung findet weiter oben, als die mit den Vasa iliaca statt, ungefähr der Mitte des M. psoas entsprechend. Der Ureter beschreibt schwache, aber typische Krümmungen während seines Verlaufes. Auf dem obersten Teil des rechten Ureter liegt die Pars descendens duodeni, auf dem gleichen Teil des linken Ureters das Endstück des Colon transversum. Ferner wird der rechte Ureter distal von dem Endstück des Ileums, der linke distal von der Flexura sigmoidea bedeckt (Fig. 317).

Da der Ureter sich entwicklungsgeschichtlich vom Wolffschen Gange abspaltet, so kommen Hemmungsbildungen von ernster, klinischer Bedeutung vor: blinde Endigung oder Einmündungen an abnormen Stellen, so im Sphinkterengebiet der Harnröhre, in die pars prostatica des ductus deferens; oder beim Weibe in den abnorm persistierenden Wolffschen Gang (Gartnerscher Kanal). In all diesen Fällen entstehen Harnstauungen. Die Mißbildungen können mit Ureterenverdoppelungen verbunden sein, was die Schwierigkeiten der Diagnose auch bei Cystoskopie erhöht, da einer der doppelten Ureteren normal smünden kann. Verdoppelungen an sich sind häufig und können ganz symptomlos bleiben.

Über die Zugänglichkeit des Ureters vom Bauchraum aus vgl. weiter unten.

## V. Bauchfell und innerhalb des Bauchfellsackes gelegene Organe.

### 1. Das Bauchfell.

Der von der Bauchwand umschlossene *Bauchraum* enthält im Gegensatz zu den *drei* Höhlen einschließenden Brustraum — *eine einzige große Höhle, die von dem Bauchfell ausgekleidete Bauchhöhle*. Das Bauchfell liegt jedoch der Innenfläche der Bauchwand nicht überall dicht an, so daß also die Bauchhöhle den Bauchraum nicht völlig ausfüllt. Das Bauchfell vornehmlich dorsal vor und seitlich von der Lendenwirbelsäule der Fall. Hier bleibt zwischen der Bauchwand und dem Bauchfell ein als Retroperitonealraum (Spatium retroperitoneale) bezeichneter (in Fig. 284 gelb gemalter) Spalt übrig. In ihm liegen die bisher beschriebenen *retroperitonealen Organe*, die nur an ihrer vorderen (ventralen) Fläche teilweise einen peritonealen Überzug haben. Außer den beschriebenen Organen gehören dazu noch das Pankreas und Teile des Duodenums und Kolons.

Das *Bauchfell, Peritoneum*, ist an der Innenfläche der Bauchwand mehr oder weniger *verschieblich*.

Auch ist es sehr *dehnbar und elastisch*, wie sich aus seinem Verhalten bei starker Auftreibung des Bauches durch Ascites, Gravidität oder Tumoren und nach Rückbildung dieser Zustände ergibt. Das hier gedehnte Bauchfell bildet dabei keine bleibenden Falten.

Das Verhalten des Bauchfelles zu den Eingeweiden hat man sich so vorzustellen, wie das Verhalten der Pleura zu den Lungen, d. h. man unterscheidet ein *parietales*, die Bauch-

Fig. 280. Schematischer Längsschnitt durch die Bauchhöhle zur Demonstration des Bauchfellverlaufs im ausgebreiteten Zustand. Die in Fig. 281 vorhandenen Lamellen sind, soweit sie bei Erwachsenen zugrunde gehen, punktiert gezeichnet. Großer Bauchfellsack rot, Auskleidung der Bursa omentalis blau.

Fig. 281. Fötaler Zustand des Bauchfells. Schematischer Längsschnitt. Großer Bauchfellsack rot, Auskleidung der Bursa omentalis blau. Foramen Winslowii schematisch angedeutet.

wand innen bedeckendes und ein *viscerales*, die Eingeweide fest überziehendes Blatt. Indem wir uns die meisten Eingeweide von der dorsalen Seite der Bauchwand in die Bauchhöhle, d. i. in das Cavum peritonei, *hineingewachsen* oder *eingestülpt denken*, bleiben diese durch doppelblättrige Platten (Duplikaturen) des Bauchfells an der hinteren Bauchwand befestigt. Diese Platten nennen wir allgemein *Ligamenta, Bauchfellbänder*; bei dem Dünndarm heißt die Platte *Mesenterium*, bei dem Dickdarm *Mesokolon*. Ist das Band sehr lang, so ist das Organ natürlich beweglicher, z. B. bei dem Dünndarm; ist es kurz und breit, so ist die Beweglichkeit geringer, z. B. an der Leber das *Lig. coronarium*. Solche Bänder verbinden aber auch Organe unter sich (z. B. Leber und Magen, Magen und Colon). Hierüber und für das Folgende vergleiche zunächst das einfache Schema der Fig. 281).

Eröffnen wir die Bauchhöhle von vorn und dringen in sie ein, so finden wir unter der Leber, und zwar hinter dem von der unteren Leberfläche zu dem Zwölffingerdarm verlaufenden *Lig. hepatoduodenale* ein Loch, das *Foramen epiploicum* (s. Fig. 286, 287, 314). Es führt in einen zweiten, von dem Cavum peritonei getrennten Raum, die *Bursa omentalis* oder den *Netzbeutel*, der sich hinter dem Magen nach abwärts, und zwar ursprünglich bis in den freien Rand des großen Netzes, Omentum majus, später bis hinter das Colon transversum hinein erstreckt.

Die Baucheingeweide füllen die Bauchhöhle normalerweise derart aus, daß sie nur durch *spaltförmige Räume* getrennt sind und nicht, wie bei der Pleurahöhle, komplementäre Räume (Sinus) besitzen. *Spärliche Peritonealflüssigkeit* erfüllt normalerweise die Spalten zwischen den Organen.

Ihre *pathologische* Zunahme ist als *Bauchwassersucht, Ascites*, bekannt.

Bei der folgenden kurzen Übersicht über den Verlauf des Bauchfells soll zum Zwecke einer klaren eindeutigen Beschreibung zwischen „Platten“ und „Lamellen“ streng unterschieden werden: Jede Platte (Ligament) besteht aus zwei Lamellen.

Das parietale Blatt des Bauchfells geht in der *Mittellinie* (s. Fig. 280 und 281 rot) oberhalb des Nabels von der Innenfläche der vorderen Bauchwand auf die *untere Zwerchfellfläche* über, die es bis zum Foramen venae cavae und Foramen oesophageum überzieht.

Da nur das *dünne* Diaphragma das Bauchfell von der Pleura und dem Perikardium trennt, so begreift man, daß *peritoneale Entzündungen durch das Zwerchfell auf Pleura und Perikardium übergehen* können.

In der Medianebene bildet das Zwerchfell von dem Nabel an aufwärts an der Innenfläche der Bauchwand und der Unterfläche des Zwerchfells das *Lig. falciforme hepatis*, das Aufhängeband der Leber, in dessen freiem hinterem Rande das von dem Nabel zur Porta hepatis verlaufende *Lig. teres*, die ursprüngliche Nabelvene, eingeschlossen liegt. Von der unteren Zwerchfellfläche gelangt das Bauchfell auf die hintere, der hinteren Bauchwand angelagerte Leberfläche und bildet so (rot) die vordere Lamelle einer breiten, die Leber hinten und oben fixierenden Platte, des *Lig. coronarium hepatis*. Im Bereiche des linken Leberlappens erstreckt sich diese Platte bis zu ihrem freien Rande, dem *Lig. triangulare*, wobei die hintere Lamelle sich im Sulcus ductus venosi zu einer neuen, auf dem *Lig. coronarium* spitzwinklig aufstehenden Platte formiert, die bis zur Porta hepatis fortläuft, dort die Gefäße am Hilus umfaßt und als Omentum minus (s. unten) weiterzieht, dessen hintere (untere) Lamelle jetzt gegen die Bursa omentalis schaut. Im Bereich des rechten Leberlappens treten die beiden Lamellen des *Lig. coronarium* so auseinander, daß die vordere (rot) die Richtung des *Lig. coronarium* fortsetzt, die hintere (blau) Lamelle

Fig. 280.

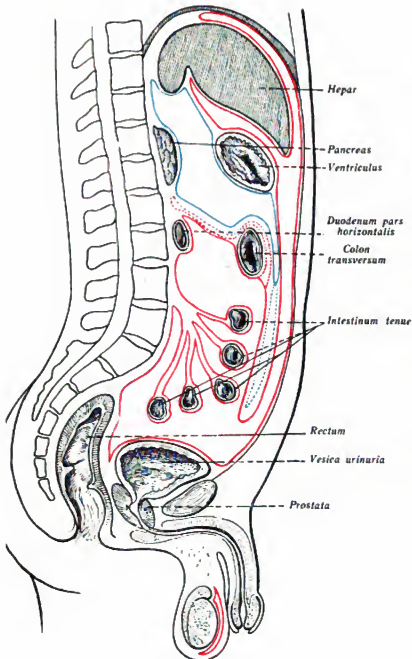


Fig. 281.

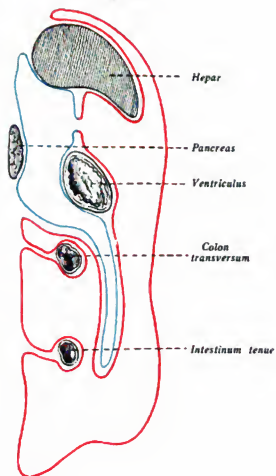




Fig. 282.

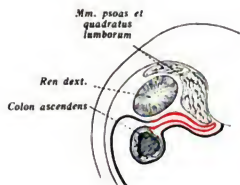


Fig. 283.

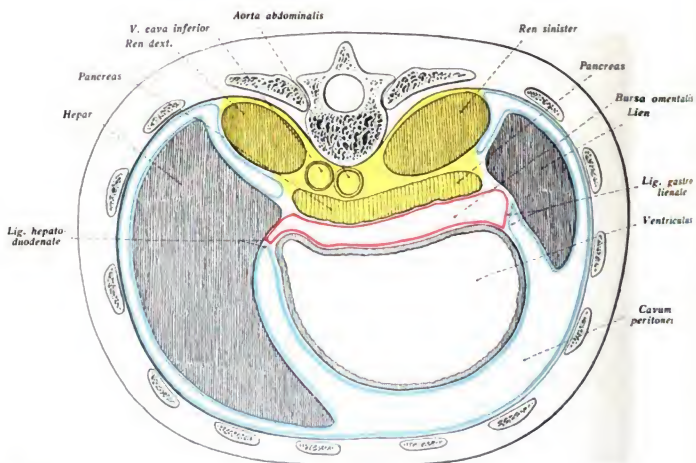
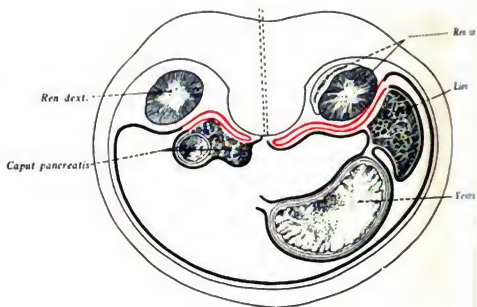


Fig. 284.



Fig. 282. Schema zur Erläuterung des Vorganges, durch den das Colon ascendens seine sekundäre Befestigung an der hinteren Bauchwand findet („aus der Bauchhöhle ausgeschaltet wird“). Die später obliterierenden Lamellen (primäres intestinales Bauchfell und hintere Lamelle des primären Mesokolons) rot.

Fig. 283. Schemata zur Erläuterung der Vorgänge, durch die Duodenum und Pankreas ihre sekundäre Befestigung an der hinteren Bauchwand finden („aus der Bauchhöhle ausgeschaltet werden“) und die Milz ihre endgültige Befestigung erhält. Links im Bilde ist Pars descendens duodeni und Kopf des Pankreas dargestellt, die ursprünglich im Mesoduodenum beweglich liegen. Durch Verwachsung und Verödung der beiden roten Lamellen wird die vordere schwarze Lamelle sekundär zum „parietalen“ Bauchfell. Rechts im Bilde ist das ursprünglich frei bewegliche dorsale Mesogastrium dargestellt, in das die Milz eingeschaltet ist. Das dorsale Mesogastrium wird dadurch in die beiden Platten des Lig. gastrocolicæ (schwarz, schwarz) und des phrenico-lienale (schwarz, rot) zerlegt. Indem die beiden roten Lamellen miteinander verwachsen und dann veröden, entsteht der endgültige Zustand der Fig. 284. Es bleibt nur die innere schwarze Lamelle (Fig. 284 rot) und die äußere schwarze Lamelle (in Fig. 284 blau) übrig. Das Pankreas ist in dem Schema nicht mitgezeichnet. Es würde mit seiner Cauda zwischen der roten und schwarzen Lamelle liegen und demnach in seine hintere (Fig. 284) extraperitoneale Lage geraten.

Fig. 284. Schematischer Querschnitt des Baues mit Cavum peritonei (blau umrandet) und Bursa omentalis (rot umrandet). Gelb ist das Spatium retroperitoneale mit seinem Inhalt.

gegen am rechten Rande des Lobus caudatus, dann vor der Vena cava inferior am unteren Rande der Leber anwächst, um sich erst weiter lateral mit der vorderen Lamelle wieder zu vereinigen und hier unter Umständen eine Platte ein Lig. coronarium dextrum zu bilden. Vom Lig. coronarium aus breitet sich auf beiden Leberlappen die vordere (rot) Lamelle als viszerale Peritoneum über die obere Leberfläche aus und setzt sich um den vorderen Leberrand herum auf die untere Leberfläche bis zur Porta hepatis fort, tritt von hier (rot) auf die kleine Krümmung des Magens und den oberen Teil des Duodenum über und bildet so die vordere Lamelle des kleinen Netzes, Omentum minus (Lig. hepatogastricum und Lig. hepatoduodenale); es bedeckt dann (rot) die vordere Fläche des Magens und gelangt vor der großen Krümmung zum Colon transversum. Von diesem setzt es sich nach abwärts in die vordere Lamelle der vorderen Platte des großen Netzes, Omentum majus, fort und geht vom freien Rand des Omentum majus wieder nach abwärts, die hintere Lamelle der hinteren Platte (rot) des Omentum majus bildend, zum Colon transversum und über dieses und das Mesocolon transversum zur hinteren Bauchwand, wo der aufsteigende Teil des Duodenum an der vorderen Fläche von dem Bauchfell bedeckt wird. In unmittelbarem Anschluß daran bildet das Bauchfell nun die Platte (rot) des Mesocolon transversum, die aber beim ausgebildeten Situs nicht selbstständig, sondern mit der hinteren Lamelle der hinteren Platte des Omentum majus verwachsen ist. Weiter nach unten (rot) setzt sich das Bauchfell von der Wirbelsäule in die Platte des Mesenteriums fort, bildet zunächst dessen obere Lamelle, dann nach Umhüllung des Dünndarmes dessen zur Wirbelsäule zurückkehrende untere Lamelle. Die Ansatzstelle der Mesenterialplatte an der hinteren Bauchwand — Radix mesenterii — verläuft vom linken Rand des 2. Lendenwirbelkörpers nach rechts unten zur Articulatio sacroiliaca dextra.

Infolge dieses schiefen Verlaufs gehen z. B. Blutextravasate, die auf der rechten Seite des Mesenteriums entstehen, auf die rechte Regio iliaca über, solche der linken Seite dagegen finden einen offenen Abzug in die Beckenhöhle. Der längste Teil des Mesenteriums ist ungefähr 20 cm oberhalb des Blinddarms gelegen, der daran befestigte Teil des Ileum ist daher am häufigsten in Brüchen zu finden.

Nachdem das Bauchfell teilweise die Beckenorgane umhüllt hat, geht es von der obersten Fläche der Blase auf die Innenfläche der Bauchwand über und verläuft aufwärts zum Nabel.

Rechterseits (Fig. 286) geht das Bauchfell von der Leberpforte auf die Pars sup. duodeni über und bildet das vordere Blatt des Lig. hepatoduodenale. Dieses setzt sich ohne scharfe Grenze in das Lig. hepatogastricum fort, ist aber von diesem durch seine größere Dicke ausgezeichnet, denn es enthält in seinem rechten freien Rand den Ductus choledochus, der links schließt es die Art. hepatica ein, während die gleichfalls zur Porta hepatis

ziehende *Vena portae* zwischen beiden genannten Teilen und zugleich dorsalwärts von ihnen liegt. Weiter nach rechts (Fig. 287) tritt das Bauchfell von der unteren Leberfläche auf die rechte *Niere* über (Lig. hepato-renal) und überkleidet die Pars descendens duodeni. Von hier aus (Fig. 284 rot) ist das Bauchfell in die Bursa omentalis hinein zu verfolgen, während es weiter nach abwärts (Fig. 287) die Befestigung für das Colon asc., das Coecum und den Wurmfortsatz liefert. Vom Kolon aus zieht es zur Radix mesenterii. Unter dem Lig. hepatoduodenale tritt — von dem Foramen epiploicum (Winslow) aus — das Bauchfell *die Bursa omentalis hinein*. Ihre Ausdehnung ist in dem schematischen Bild (Fig. 284) durch die rote Umrandung kenntlich gemacht. Zunächst wird die *hintere* Lamelle des Omentum minus gebildet, dann mittels dieser gleichen Lamelle die *hintere* Fläche des Magens überkleidet und von der großen Krümmung aus die *hintere* Lamelle des schmalen, zum Kolon verlaufenden *Lig. gastrocolicum* (Fig. 280) gebildet. Die Lamelle läuft bei Föten und Kindern (Fig. 281) von hier aus als hintere Lamelle der vorderen Platte des Oment. majus nach abwärts und biegt am freien Rande des Omentum majus nach aufwärts, um die vordere Lamelle der hinteren Platte zu liefern. Zwischen den beiden Platten erstreckt sich beim Kinde die Bursa omentalis hinab (Fig. 313, 315). Beim Erwachsenen ist das meist nicht mehr der Fall, weshalb sie in dem Schema der Fig. 280 nur als blau *punktierte* Linie angedeutet ist. Es tritt hier nach Schwund der Lichtung der Bursa omentalis eine *Verlötung* der beiden Platten des großen Netzes sowie eine *Verwachsung der hintersten Lamelle* (rot punktiert) mit der *oberen Lamelle des Mesocolon transversum* (rot punktiert) ein (vgl. die beiden Schemata 280 u. 281). Dadurch bildet dann die vordere Lamelle der hinteren Platte des Omentum majus (blau) zugleich die *obere* Lamelle des Mesocolon transversum, geht auf die Wirbelsäule über, bedeckt die vordere Fläche des *Pankreas*, die obere Hälfte der linken Niere und linke Nebenniere und endet als die oben bereits erwähnte untere (hintere [blau]) Lamelle des *Lig. coronarium dextrum*. Von da aus überkleidet sie den Lobus caudatus und läuft in sich selbst (hintere Lamelle des Omentum minus) zurück. Der Lobus caudatus der Leber ist daher in den spitzen Rezeß zwischen Omentum minus und hinterer Lamelle des *Lig. coronarium* eingelagert (Fig. 286, 302, 303). Man sieht, wenn man die Leber nach oben verdrängt, *durch das Omentum minus hindurch den Lobus caudatus in der Bursa omentalis liegen*, ebenso wie es nicht schwer ist, durch das gleiche Band in der hinteren Wand der Burs. oment.; indem man den Magen nach abwärts drängt, *das Pankreas zu sehen* (Fig. 287). Auch der obere Teil des Duodenums erhält noch in kurzer Ausdehnung einen peritonealen Überzug von der Burs. oment., die sich *nach links bis zur Niere und zur Milz* (Fig. 286) ausdehnt, und deren vordere Wand zwischen Magen und Milz von der *hinteren Lamelle des Lig. gastrolienale* (Fig. 284 rot) gebildet wird.

*Linkerseits* schlägt sich das Peritoneum parietale von der unteren Zwerchfellfläche auf den Magen um, ferner gelangt es unter Bildung des *Lig. phrenicocolienale* zur Milz, die fast vollständig umhüllt ist und von der sich zum Magen das *vordere Blatt des Lig. gastrolienale* (blau Fig. 284) fortsetzt. Am unteren Pol der Milz finden wir das *Lig. phrenicocolicum* von dem Zwerchfell zur *Flex. col. sinist.* verlaufend (Fig. 287); es ist das Band, welches die Milz von unten her stützt. Nachdem die linke Flexur des Kolon bedeckt ist, findet nach unten der Übergang des Bauchfells, auf das Colon desc. statt (Fig. 287), das, ebenso wie das Colon ascendens, *nur vorn und seitlich eine peritoneale Bekleidung* besitzt im Gegensatz zu dem Colon sigmoides, dessen langes Mesosigmoideum ihm eine freiere Beweglichkeit gestattet, derart daß dieser Darmteil in der Leiche nicht selten sogar rechts von der Mittellinie gefunden wird.

Nach dieser Übersicht seien die topographisch wichtigen Stellen des Bauchfellverlaufes nochmals hervorgehoben,

1. Oberhalb der Leber dringt die Hand vor bis zu dem Abschluß durch das *Lig. coronarium hepatis*. Links schneidet der freie Rand dieses Bandes mit dem Rand des linken

berlappens ab; rechts ragt der rechte Leberlappen über den Rand des Ligamentes hervor und ist allseitig vom Bauchfell umkleidet, läßt sich also allseitig umgreifen.

2. Unterhalb der Leber unter Anspannung des Magens wird das Omentum minus sichtbar. Dessen rechter Rand ist frei, verdickt und enthält die Gefäße der Leberpforte. Durch den mittleren dünnen Teil kann der Lobus caudatus der Leber und das Pankreas erblickt werden. Nach links sieht man das Omentum minus bis zur Kardie des Magens gehen. Hier tritt es in das Ligamentum coronarium aus.

3. Zwischen Leber und rechter Niere liegt eine Umschlagsfalte. Es ist die hintere Lamelle des rechten Lig. coronarium (extrabursaler Teil). Eine dicht am Foramen Winslowii verlaufende stärker vorspringende Falte ist oft als Lig. hepato-renaie ausgebildet.

4. Das Foramen Winslowii wird vorn vom Lig. hepato-duodenale, hinten vom Lig. hepato-renaie, oben vom rechten Leberlappen, unten von der Pars superior des Duodeni begrenzt.

5. Die Bursa omentalis (Fig. 286) ist ein Raum, in den man durch das For. Winslowii gelangt. Man fühlt zunächst den Lobus caudatus, der vorn bis zur Insertion des Omentum minus und hinten im Recessus hepaticus bis zur Befestigung des Bauchfells an der hinteren Fläche der Leber abgetastet wird. Hat man diese Anwachsungsstelle erreicht (Fig. 303), so ist man gewöhnlich an der hinteren Lamelle des rechten Lig. coronarium (intrabursaler Teil) angelangt. Die Figur 303 zeigt diese, die Bursa omentalis hinten abschließende Lamelle dunkel gefärbt.

Die Bursa omentalis kann außer durch den natürlichen Eingang durch künstliche Wege zugänglich gemacht werden. Erstens durch Spaltung des Omentum minus (Leber nach aufwärts, Magen + Colon transversum nach abwärts). Zweitens durch Spaltung des Lig. gastrocolicum (Fig. 280 rot-blau, Leber + Magen nach aufwärts — Colon transversum nach abwärts). Drittens durch Spaltung des Mesocolons (Fig. 280 blau, rot punktiert, rot, Leber, Magen, Colon transversum nach aufwärts). In allen drei Fällen legt man die hinter dem Magen gelegene Höhlung frei und sieht den linksgelegenen kleinen Bezirk (Vestibulum, mit Recessus hepaticus, der hinter den Lobus caudatus führt) und den Hauptraum, der vom Vestibulum durch die Plica gastropancreatica (mit der A. gastrica sin., Fig. 286) geschieden wird. Wenn links dringt man bis zur Milz vor und kann das Lig. gastro-lienale zwischen beiden fassen. Das innen gelegene Blatt (rot, Fig. 284) läuft vom Magen aus an der Milz vorbei zum Pankreas, weiter oben tritt es auf die kraniale Hälfte der linken Niere (Fig. 284 u. 283).

6. Umfaßt man die Milz, so fühlt man hinten die Verbindung zwischen ihr und dem Bauchfell (Lig. phrenico-lienale), eine Lamelle, die zur Kardie hin zur vorderen Lamelle des Lig. phrenico-gastricum, (dorsales Mesogastrium) wird. Als die innere Lamelle des Lig. phrenico-lienale kann die soeben erwähnte Fortsetzung der inneren Lamelle des Lig. gastrocolicum betrachtet werden. Zwischen beiden Lamellen des Lig. phrenico-lienale schiebt sich das Pankreas ein. Unterhalb der Milz wird durch Anspannung der Pars superior des Duodeni das Lig. phrenico-colicum sichtbar und fühlbar gemacht (Fig. 287).

7. Unterhalb des rechten Leberlappens liegt der Übergang des Bauchfells von der Pars superior der rechten Niere zur Pars descendens duodeni.

Dieser Übergang muß gespalten werden, wenn man an die Ausmündung des Ductus choledochus gelangen will.

8. Indem man das Omentum majus emporschlägt, wird das Colon transversum mit erfaßt (Fig. 307) und dessen Befestigung, das Mesocolon transv. sichtbar. Indem man seine Anheftung an der hinteren Bauchwand feststellt, findet man rechts von der Wirbelsäule und der Radix mesenterii die retroperitoneal gelegene Pars inferior duodeni durch das parietale Bauchfell durchschimmernd. Unter dem Mesocolon transversum hindurch treten die Vasa mesenterica superiora (die V. rechts, die Art. links) in die Radix mesenterii (Fig. 287). Endlich stellt die Platte des Mesocolon transversum eine Scheidewand zwischen der Oberbauchgegend (mit Magen, Leber, Milz, Pankreas, Duodenum) und der Unterbauchgegend (mit Dünndarm, Colon ascendens und descendens) dar. (Vgl. auch beim Kolon unten S. 228.)

9. Die Radix mesenterii läßt sich leicht mit ganzer Faust umfassen und nach rechts wie nach links hinüberlegen. Von der linken Seite betrachtet wird besonders sichtbar die A. mesenterica inferior.

10. Die folgenden taschenförmigen Ausbuchtungen des Bauchfells, *Recessus*, deren Ausbilden außerordentlich variiert, können gelegentlich unter gleichzeitiger Erweiterung Darmteile aufnehmen und so zur Bildung von Brüchen, den sogenannten *Retroperitonealhernien*, führen.

a) *Recessus duodenojejunalis*, links von der Flexura duodenojejunalis. Er ist nach vorn geöffnet und wird rechts begrenzt von der Pars ascendens duodeni, links von der Plica duodenojejunalis des Bauchfells (in der die V. mesenterica inferior liegt). Er ist in der Regel so weit, daß er eine Fingerkuppe aufnehmen kann. Man findet ihn, wenn man Colon transversum und Omentum majus nach oben legt und den Dünndarm mit dem Mesenterium nach rechts schlägt.

b) *Recessus ileocecalis superior*, dicht oberhalb des Überganges von Ileum in das Coecum; er wird vorn begrenzt von einer Bauchfellfalte, die vom Mesenterium über das Dünndarmende zum Coecum nach rechts unten zieht und ist nach links geöffnet. (Fig. 287.)

c) *Recessus ileocecalis inferior*, dicht unterhalb des Ileumendes, nach links geöffnet und zwischen dem Mesenterium des Processus vermiformis und einer von dem Dünndarmende zum Blinddarm ziehenden Falte, der Plica ileocecalis. (Fig. 287.)

d) *Recessus intersigmoideus*, unterhalb der Anheftungslinie des Mesocolon sigmoideum.

Auch die Bursa omentalis kann in seltenen Fällen Sitz einer retroperitonealen Hernie werden; die Bruchpforte ist in diesem Fall das Foramen Winslowii.

## 2. Der Inhalt des Bauchfellsackes.

Bei normaler Lage der Eingeweide ist nach Eröffnung der Bauchhöhle ein Teil der Vorderfläche der Leber und — meist — ein Teil der Vorderfläche des Magens sichtbar; in übrigen bedeckt das große Netz die Darmschlingen. Rechts und links können Teile der auf- und absteigenden Dickdarms zutage treten. Durch Emporschlagen des großen Netzes können die oberflächlichen Dünndarmschlingen sichtbar gemacht werden. Auch die Flexura sigmoidea tritt dann meist zutage. Vom Duodenum ist, ohne eine Lageveränderung herbeizuführen, überhaupt nichts zu sehen. *Will man es sichtbar machen, so genügt es, die Leber nach oben, das Colon transversum unter der Leber nach abwärts zu drängen; es erscheint dann die Pars superior duodeni.*

Auf die vordere Bauchwand bezogen liegt im rechten Hypochondrium die Leber, Flexura coli dextra und Anfang des Duodenums. Im linken Hypochondrium liegt ein kleiner Teil der Leber, der fornix und das corpus des Magens, die Milz und die Flexura coli sinistra. Im Epigastrium liegt die Leber, corpus, vestibulum und pars pylorica des Magens. Im Mesogastrium liegen Dünndarmschlingen, Colon ascendens, descendens und transversum. In der rechten Regio iliaca liegt das Coecum mit der Appendix, in der linken die Flexura sigmoidea. In der Regio pubica finden sich Dünndarmschlingen und die — gefüllte — Harnblase.

Die Lage der Dünndarmschlingen ist in eiten Grenzen gesetzmäßig. Die mit kurzen esenterialstrecken versehenen Schlingen lie- n tief, von außen nicht sichtbar, und zwar ks von der Wirbelsäule mehr längs verlau- nd; weiter abwärts und rechts waltet quere iordnung vor. Die an langen Mesenterial- ecken aufgehängten, an der Oberfläche htbaren Schlingen (nur etwa ein Drittel des samten Dünndarms) gehören teils dem Je- um, teils dem Ileum an. In Fig. 285 ist ihre iordnung sichtbar. 10, 11, 9, 8 und 3 sind junumschlingen, 2, 5, 6, 7, 4 und 1 sind umschlingen. Zwischen den durch Zahlen eichneten Schlingen liegen kürzere oder gere versenkte Strecken. Es folgt daraus, ß die Mehrzahl der oberflächlichen Schlin- n dem Ileum, die neben dem Colon descen- is und nahe dem linken Hypochondrium ge- enen Schlingen dem Jejunum angehören.

Eine Unterscheidung zwischen Dün- m- und Dickdarmschlingen ist an jedem, bst dem kleinsten Wandbezirk (beispiels- n aus einer Stichwunde der Bauchwand her- tretenden) makroskopisch möglich, da der kldarm durch die *Taenien* und die *Appendices epiploicae* ausgezeichnet ist.

Die Unterscheidung zwischen Jejunum- und Ileumschlingen ist nur möglich, wenn die en höher oben, die anderen tiefer unten gelegenen Darmabschnitten angehören. Für das fühl ist eine gut ausgebildete Jejunumschlinge massiger, als eine dünne Ileumschlinge. : Wandung ist durch die Kerkringschen Falten verdickt. Für das Auge ist die Wand erer Ileumschlingen so dünn, daß sie durchscheinend ist und Gas- oder Flüssigkeitsblasen Inneren erkennen läßt.

### Anwendungen.

Die Bauchorgane lassen mehr als irgend ein anderer Körperteil den Unterschied zwischen Leben- und Leiche hervortreten. Die topographische Anatomie des Inhalts der Bauchhöhle ist fast ausschließlich die der auf dem Rücken liegenden Leiche. Erst die Untersuchung des lebenden Körpers in chiedenen Haltungen mit Röntgenstrahlen hat wichtige Ergänzungen zu dem Leichenbilde gege-

Eine ganze Reihe von Einflüssen trägt dazu bei, die Lage der Teile in der Leiche — nament- wenn sie zur Sektion eröffnet ist — von der beim Lebendigen verschieden zu gestalten. Es fal- in der Leiche zunächst fort alle Einflüsse, die die Teile während des Lebens aufeinander aus- , als da sind: der Druck, der von der vorderen Bauchwand auf das Innere ausgeübt wird; die iratorischen Verschiebungen, die vom Zwerchfell ausgehen und auf Leber, Magen, Milz, Darm einwir- besonders die Spannungen, die bei geschlossener Bauchhöhle dadurch entstehen. Es fehlt die Wir- g der Schwere (Magen) und die Einwirkung verschiedener Füllungszustände der einzelnen Eingeweide die Nachbarorgane. Es fehlen aber auch die Wirkungen, die die aktiven Veränderungen der Organe ben (Peristaltik des Darmes, Kontraktionszustände des Magens und Darmes).

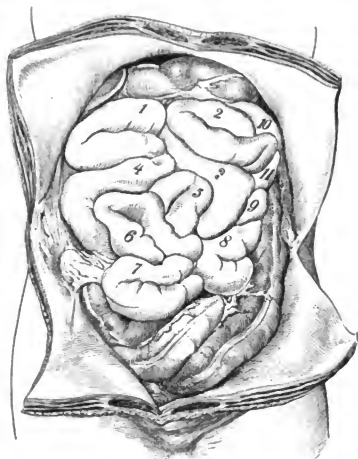


Fig. 285. Situs der Dünndarmschlingen eines Abdomens unmittelbar nach der Eröffnung. Erklärung im Text.

Fig. 286. Situs der Baucheingeweide, obere Lage. Von der Leber ist der linke Lappen vorwärts von der Insertion des Ligamentum hepatogastricum abgetragen. Die Bursa omentalis ist eröffnet, indem die vordere Platte des Omentum majus längs der großen Kurvatur des Magens durchschnitten worden ist. Durch das Foramen Winslowii ist eine Sonde bis in den Recessus inferior geführt.



Fig. 288. Muskulatur des Magens als Grundlage seiner Gliederung. Fibrae obliquae („Stützschnüre“) dunkel gezeichnet. Nach Hasselwander.

Längsmuskulatur an der großen Kurvatur

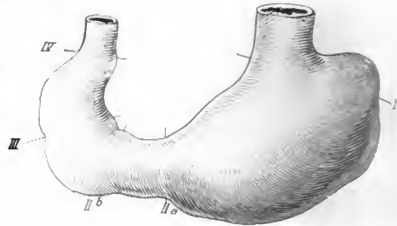


Fig. 290.

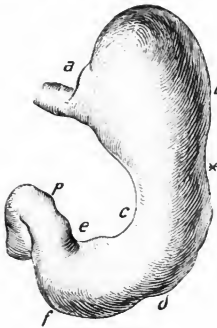


Fig. 289.

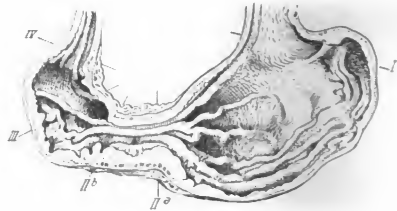


Fig. 291.

Fig. 289. Systolisch kontrahierter Magen kurz nach dem Tode beobachtet ab, cd, ef Sulcus sup. med. inf. p. Pylorus. Bei \* Beginn der Bildung einer Magenenge.

Fig. 290. Desgl. I Ebene des Sulc. sup. III des Sulc. inf. IV des Beginns des Duodenum. Zwischen IIa und IIb Magenenge ausgebildet.

Fig. 291. Derselbe Magen im Längsschnitt. (Alle 3 Bilder aus Aschoff)

Für die Chirurgie, der die Bauchhöhle nicht, wie uns an der geöffneten Leiche, sondern nur durch kleinere Öffnungen in den Bauchdecken zugänglich ist, wird die Bestimmung, welcher Teil des Darmes eine bestimmte Schlinge angehört, und in welcher Richtung ihre Peristaltik verläuft, zu einer wichtigen und schwierigen Aufgabe. Zu ihrer Lösung sind zahlreiche Methoden angegeben worden, deren Mitteilung hier zu weit führen würde (vgl. die Handbücher und Lehrbücher der Operationslehre). Für den Klinizisten genügt es zunächst, die Aufgabe als solche zu erkennen. Am sichersten wird aus am Lebenden die Abtastung des gesamten Darmes sein, der nach und nach aus der Wunde herausgenommen wird. Für die Orientierung von außen ist wertvoll das Schema von Monk. Man projiziert die Ansatzlinie der Radix mesenterii auf die vordere Bauchwand und errichtet in den beiden Endpunkten

Fig. 286.

alciforme

itis lobus  
sin. X

ss caudatus  
tis in vesti-  
bulo bursae  
ment. situs

A. hepatica

u portarum  
epaticus et  
cysticus se-  
njungentes  
ed. a parte  
idemi tecta

suodenalis  
stro epipl.  
t a. pan-  
soden. su-  
e dividens

ten dexter

Lig. triangulare  
sinistr.

Pars abdom.  
oesophagei  
trans peritoneum  
apparens

Vasa gastro epi-  
ploica sinistra.  
inter laminas  
peritoneales

Plica gastro-pan-  
creatica, inter  
vestibulum et  
cavum bursae  
omentalis sita

Vasa mesenterica  
superiora, trans-  
peritoneum  
apparentia

Paries anterior  
bursae  
omentalis  
X

Fig. 287.

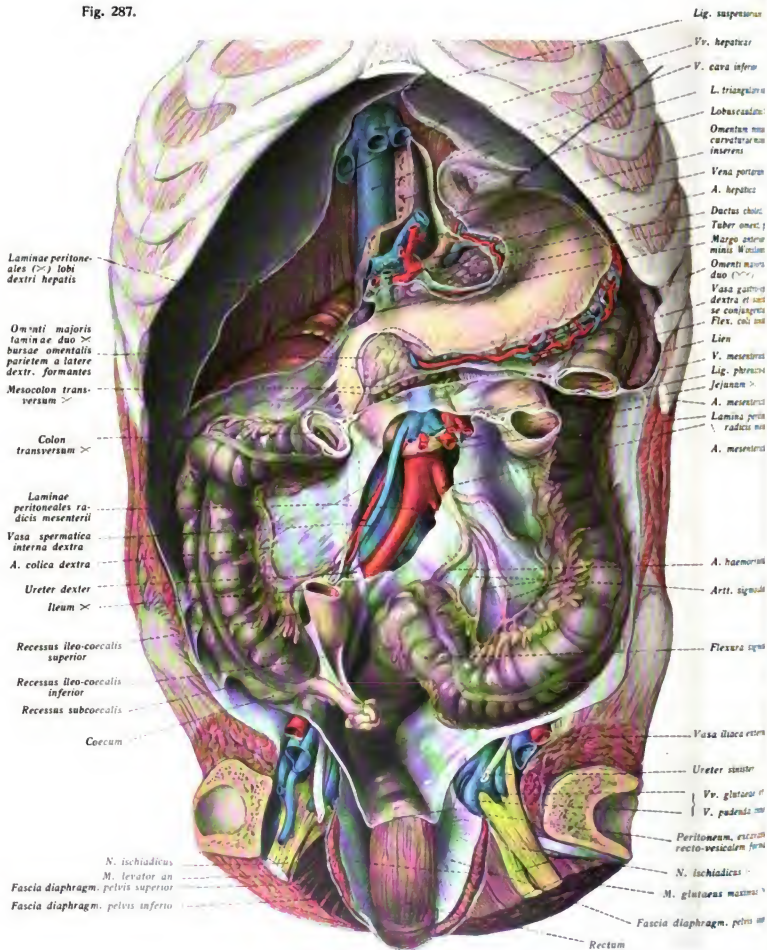




Fig. 287. Situs der Baucheingeweide, tiefe Lage. Die Leber ist bis auf den Lobus caudatus extirpiert, das dorsale Mesogastrium in ganzer Ausdehnung von der Kardia längs der großen Kurvatur abgetragen. Aus dem Colon transversum ist ein mittleres Stück entfernt, das dazugehörige Mesocolon transversum ist an der Haftlinie abgetragen. Der gesamte Dünndarm ist an der Radix mesenterii herausgeschnitten, die beiden Peritoneallamellen der Radix mesenterii sind an der hinteren Bauchwand ein wenig abgehoben. Kaudal ist das Peritoneum durchgeschnitten (vgl. Fig. 247), das Becken in der Höhe des Acetabulums durchgesägt. Man beachte das untere Ende des Cavum peritoneale, das Spatium subperitoneale und das Spatium ischiorectale und vgl. dazu das Schema der Fig. 324.

2 eine Senkrechte. Diese beiden Linien verlaufen dann schräg von rechts außen oben nach links außen unten. Oberhalb der oberen Linie liegt dann das obere Drittel, unterhalb der unteren Linie das untere Drittel, zwischen beiden Linien das mittlere Drittel des Dünndarms.

Die Topographie des Leichensitus, selbst die nach einer unmittelbar nach dem Tode vorgenommenen, guten Konservierung festgestellte (s. Fig. 286/7) wird also nicht ohne weiteres auf die Verhältnisse des lebendigen anzuwenden sein. Es betrifft dieser Vorbehalt vor allem zwei Organe: Magen und Colon transversum; im übrigen wiegen die Unterschiede nicht so schwer.

#### a) Magen.

Am Magen konnte die bisher übliche Einteilung (Fundus, Pylorus), die sich allein auf den Bau der Schleimhaut gründete, für die Erfordernisse der gröberen Anatomie nicht aufrecht erhalten werden. Man ist im allgemeinen darin einig geworden, am Magen zu unterscheiden (Fig. 288): 1. den Fornix (oberhalb der Kardia gelegener, von Fibrae obliquae noch nicht mit umfaßter Teil); 2. das Korpus (Gebiet der Fibrae obliquae); 3. das Vestibulum, von Längsmuskeln und Fibrae obliquae freien Bezirk) und 4. die Pars pylorica, auch Canalis pyloricus (zusammenhängende Längs- und Ringmuskulatur, Gefäßgebiet der A. gastrica dextra und von einem besonderen Aste des linken Vagus, wie auch selbständigen sympathischen Pylorusnerven versorgt). Nur der Pylorusteil und der kurze Vestibularteil sind als „tätig“ anzusehen (Hinausbe-  
drängen des Inhalts in das Duodenum). Fornix und Korpus sind als „ruhend“ zu betrachten, indem sie nur geringe Wellenbewegungen der Wand zeigen, die vor allem zur Mischung des Mageninhalts beitragen. Die einzelnen Abschnitte sind am Leichten oft durch Furchen von einander gesondert, die als Formmerkmale des in der Systole d. h. dem jeweiligen Kontraktionszustande) stehen gebliebenen Magens aufzufassen sind (Aschoff). Zwischen Fornix und Korpus liegt in solchem Fall ein Sulcus superior, zwischen Korpus und Vestibulum kann ein Sulcus medianus auftreten, zwischen Vestibulum und Pylorus-

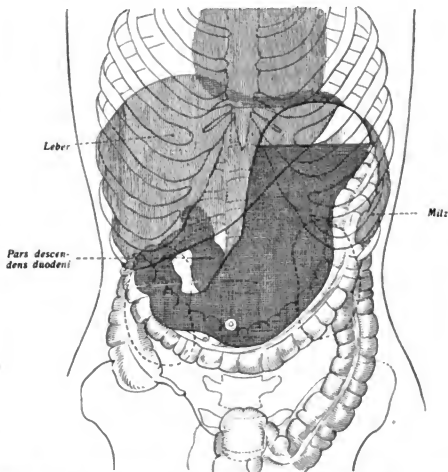


Fig. 292. Das Röntgenbild der Figur 295 (vgl. Erklärung dieser Figur) in ein Skelett eingetragen nebst den Projektionen von Herz, Leber, Duodenum, Dickdarm und Milz, um den Situs dieses normal gelagerten Magens zu demonstrieren.

kanal ein Sulcus inferior. Dieser ist die beständigste Furche, die im Anfang des tätigen Magenanteils liegt. Wenn zahlreiche, während des Lebens am unteren Korpusende ablaufende Kontraktionen systolisch konserviert werden, so zeigt der Magen kurz nach dem Tode das Bild eines funktionellen Sanduhrmagens (*Aschoff*). Die enge Stelle nennen wir *Magenenge* (vgl. Fig. 289—290).

Der in Systole stehen gebliebene Magen kann mannigfache Kombinationen von Kontraktionen zeigen. Das häufigste Bild ist das des erschlafften Fornix und Korpus und des kontrahierten tätigen Pylorus, wie es die meisten Mägen kurz nach dem Tode bei eröffneter Leibeshöhle zeigen (Fig. 286). Nach Ablauf der Totenstarre und unter Gasentwicklung entstehen dann die typischen Leichenmägen (fast alle vorhandenen Lehrbuchabbildungen von Mägen).

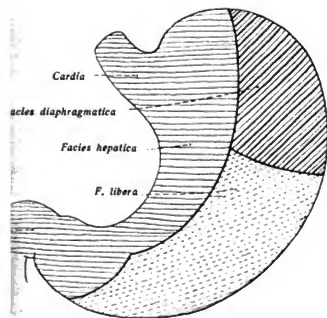
Der Magen bei normaler Füllung (Fig. 292) stellt beim stehenden Menschen einen siphonartig gekrümmten Schlauch dar, der zu zwei Drittel links, zu einem Drittel rechts von der Mittellinie liegt. Der höchste Punkt wird vom *Fornix* gebildet, der in der Wölbung des Zwerchfells liegt. Den tiefsten Punkt bildet nicht der Pylorus, sondern die Konvexität des Vestibulums. Er liegt in der Höhe des Nabels oder ein wenig unterhalb davon. Die Pars pylorica ist nach aufwärts gebogen. Auf das Skelett bezogen liegt die Kardia links von der Mittellinie in der Höhe des elften Brustwirbels, weit entfernt (im Mittel 12 cm) von der vorderen Bauchwand. Auf die vordere Körperoberfläche projiziert, liegt die Kardia *einen Finger breit unterhalb des Sternalansatzes des linken 7. Rippenknorpels* (Figg. 219, 220).

Der Pylorus liegt bei normaler Füllung des Magens rechts von der Mittellinie in der Höhe des Körpers des 1. Lendenwirbels; das entspricht in der Sternallinie der Höhe des vorderen Endes des 9. Rippenknorpels. Die Verbindungslinie des höchsten und tiefsten Punktes des Magens verläuft von oben nach unten steil hinab und zugleich von hinten nach vorn. Die kleine und große Krümmung verlaufen nahezu parallel und ebenfalls steil nach abwärts. Bei stärkerer Füllung *behält die kleine Krümmung ihre Lage* bei, während das Korpus sich nach unten und links sackartig erweitert; zugleich nimmt der Tiefendurchmesser des Magens zu und der Pylorus rückt mehr nach rechts (bis zu 5 cm von der Mittellinie entfernt). Bei leerem Magen (dessen Normalbild wir im Lebenden natürlich nicht durch Röntgenstrahlen feststellen können, weil die Durchleuchtung nur bei Mägen mit Kontrastfüllung wirken kann) scheint der Pylorus sich der Mittellinie in der Höhe des ersten Lendenwirbels zu nähern; die Vorder- und Hinterwand des Korpus legen sich platt aufeinander.

Dem gefüllten Magen machen die Nachbarorgane (Leber, Milz) Platz; ihre Oberflächen empfangt dadurch seichte Eindrücke, die an Leichenorganen nach guter Fixierung als „Impressionen“ bestehen bleiben. Andererseits wird der Magen durch das Colon transversum vor allem die Flexura coli sinistra verdrängt. Dessen mit festerem Inhalt oder mit Gas gefüllte Schlingen bilden ein in seiner Form veränderliches Bett für den Magen.

Die Kardia (Figg. 219—221, 233) liegt in einer Mulde des linken Leberlappens (Impressio oesophagea). Ein Wulst des linken Leberlappens (Tuber omentale) greift hier über die kleine Krümmung nach hinten. Ein ähnlicher Wulst (Fig. 287) der oberen Kante des Pankreas (Tuber omentale) ragt von rückwärts herüber, so daß hier die kleine Krümmung zwischen den beiden Tubera omentalia hindurchgeht.

Die *vordere Fläche* des Magens wird im Bereich der kleinen Krümmung und eine Strecke nach abwärts davon von dem linken und einem Teil des rechten Leberlappens *bedeckt* (Facies hepatica) (s. Fig. 293). In dem Epigastrium, unterhalb des Proc. xiphoideus sterni, grenzt demnach der Magen *nicht unmittelbar an die vordere Bauchwand*, wohl aber mehr



Berührungsflächen der Vorderfläche des Magens.

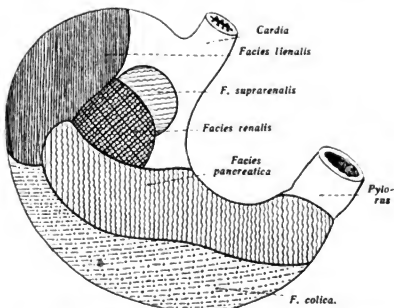


Fig. 204. Berührungsflächen der hinteren Fläche des Magens.

ch links und abwärts, wo die Vorderfläche des Magens die Innenfläche der Bauchwand *ührt* (Magenfeld) (Facies libera). Sie wird begrenzt rechts von dem unteren Leber-  
ks vom 8.–10. Rippenknorpel und unten vom Colon transversum. Unter den Rippen (ini  
pochondrium sinistrum) decken außer den Rippen und den Interkostalmuskeln noch die  
ke Lunge und das Zwerchfell (Facies diaphragmatica), also auch die linke Pleurahöhle,  
1 Magen. Links und hinten grenzt an das Korpus die Facies gastrica der Milz (Facies  
ialis des Magens Fig. 221 a, 233, 294).

Die *hintere* Fläche des Magens *grenzt an die Bursa omentalis* (s. Fig. 284, 286, 299)  
l ist durch diesen spaltförmigen Raum von der vorderen Fläche des Pankreas (Facies  
icreatica), dem oberen Pol der linken Niere (F. renalis) und der linken Nebenniere (F.  
rarenalis) getrennt. Der *untere* Teil der hinteren Fläche ruht auf dem Colon transversum  
colica) und dem Mesocolon transversum. Die Flexura coli sinistra liegt zwischen Magen  
l Milz einerseits, Niere andererseits und kann im Zustande stärkerer Füllung zwischen  
sen Eingeweiden bis zum Zwerchfell emportreten (s. unten S. 232).

Der diastolisch erschlaffte und mit erhärtenden Flüssigkeiten in seiner Lage fixierte  
chenmagen gibt ein Bild, das einigermaßen dem Zustande gleicht, den ein stärker gefüllter  
gen bei Rückenlage darbietet. Die Verhältnisse sind in den Fig. 286 u. 287 sichtbar.  
ereinstimmend ist mit der bisherigen Beschreibung die Lage der Kardia der kleinen Kur-  
ur und des Pylorus. Die große Kurvatur hat sich nach links und unten ausgeweitet. Sie  
t mit ihrem tiefsten Punkte jetzt in der Verbindungslinie der tiefsten Punkte der beider-  
igen 10. Rippen.

Wichtig sind die *Befestigungen* des Magens. Diese finden sich vor allem an der  
nen Kurvatur, wo zwischen den Lamellen des Omentum minus derbe, sehnige Bindege-  
splatten den Magen halten, die auch auf die Vorder- und Hinterflächen des Magens  
rgreifen (Elze).

Die *Arterien des Magens* (Fig. 286, 287) entstammen der *A. coeliaca*, dem ersten der  
i unpaaren Äste der Aorta abdominalis. Sie entspringt dicht am Hiatus aorticus des

Fig. 295. Normaler Magen. Vollkommen gesundes 17jähr. Mädchen. Aufnahme sogleich nach Einnahme der Barium-Normal-Mahlzeit. Ausgesprochen normotonischer, siphonförmiger Magen. Der kaudale Magenpol steht unterhalb des Nabels (N). Sphincter antri (↓) fast vollkommen geschlossen, Pylorus (→) kontrahiert, Antrum (s) fast vollkommen entleert (Auspreßbewegung), die einzelnen Teile des Duodenums deutlich zu differenzieren. Verkleinerung  $\frac{1}{4}$ . Aufnahmetechnik: Unipulsinduktor, Einschlagsaufnahme =  $\frac{1}{2} \times 50'$ , Platte mit Sinegran-Verstärkungsschirm.

Fig. 296. Frontalaufnahme des normalen Magens, von einem 14jähr. gesunden Mädchen. Die oberen Magenteile erscheinen stärker ausgedehnt wie die unteren. Kaudaler Pol etwas unterhalb des Nabel. Verkleinerung  $\frac{1}{4}$ .

Fig. 297—298. Verdauungsbilder von einem 16jähr. magengesunden Mädchen. Wismut-Normal-Mahlzeit. Aufnahmetechnik: Film mit zwei Verstärkungsschirmen, Induktor mit Wehneltunterbrecher,  $\frac{1}{3}$  s Expositionszeit. Bei Verwertung der Bariummahlzeit würden sich die Leerungszeiten von Magen und Dünndarm um die Hälfte reduzieren.

Fig. 297.  $\frac{1}{2}$  Stunde nach der Mahlzeit. Geringe Intermediärzone. Dünndarm wenig gefüllt. Unterer Leberrand sichtbar.

Fig. 298. 1 Stunde nach der Mahlzeit. Dünndarm stärker gefüllt. Intermediärzone größer.

(Aus Groedel, Röntgendiagnostik in der inneren Medizin, 3. Aufl.)

Zwerchfells aus der vorderen Fläche der Aorta abdominalis (s. auch Figg. 305, 271) und teilt sich sofort in ihre drei Äste, *A. gastrica sinistra*, *A. hepatica* und *A. lienalis*. Die *A. gastrica sin.*, die *erste* Magenarterie, verläuft von links her längs der kleinen Kurvatur am Ansatz des Omentum minus. Die *A. hepatica* entsendet die *zweite* der beiden Magenarterien an der kleinen Kurvatur, die *A. gastrica dextra*, die vom Pylorus her nach rechts läuft und mit der vorigen anastomosiert. Sie ist als Ernährungsarterie der Pars pylorica anzusehen. Die aus der *A. hepatica* stammende *A. gastroduodenalis* zerfällt in *A. pancreaticoduodenalis superior* für den Kopf des Pankreas und das Duodenum und die *dritte* der Magenarterien, die *A. gastroepiploica dextra*, längs der großen Kurvatur des Magens nach links. Die *vierte* Magenarterie entspringt dem dritten Teilst der *A. coeliaca*, d. h. der *A. lienalis*, die längs des oberen Pankreasrandes, also hinter dem Magen (vgl. S. 225 und Fig. 304, 305) in dem Lig. phrenicocoliale zum Hilus der Milz zieht, und die *A. gastroepiploica sinistra* durch das Lig. gastrolienale zur großen Kurvatur und zum Omentum majus entsendet; diese tritt in Anastomose mit der *A. gastroepiploica dextra* und schickt die *Aa. gastricae breves* vom Hilus der Milz aus durch das Lig. gastrolienale zum Magenfundus.

Von den *Venen* des Magens sind die an der großen Kurvatur gelegenen *Vv. gastroepiploica sinistra et dextra* sowie die *V. coronaria ventriculi* (längs der kleinen Kurvatur) zu merken. Die letztere hängt an der Cardia mit den Venen des Oesophagus und dadurch mit der *V. azygos* zusammen, worüber in praktischer Hinsicht S. 190 und Fig. 254 zu vergleichen sind. Die Venen münden sämtlich in das Pfortadergebiet. Der Magen empfängt sympathische und autonome (Vagus-) Fasern. Letztere stammen aus dem linken Vagus (Vorderfläche) und dem rechten Vagus (Hinterfläche). Ein Ast des linken Vagus geht besonders zur Pars pylorica hin. Durch Vermittlung der Ganglia semilunaria treten Vagus- und Sympathikusfasern in gemeinsamen Bahnen zum Magen. Die Kardia empfängt einen besonderen sympathischen Nerven, der auch unmittelbar aus dem *N. splanchnicus sinister* entspringen kann (Brandt).

## Anwendungen.

Die kleine Kurvatur des Magens bildet vermöge ihrer straffen Befestigungen gleichsam das Rückgrat des Magens, um das sich seine Bewegungen vollziehen (Aschoff, Elze). Neben anderen scheinen diese mechanischen Einflüsse (Zerrungen bei herabhängendem, ptotischem Magen, Fettschwund usw.) von Einfluß auf die Entstehung des Magengeschwürs zu sein, so daß Magenruhe bei liegender Haltung auf Heilung günstig einwirkt (v. Krempelhuber).

Die Lage des Magens im ganzen ist abhängig von der ihm in der Bauchhöhle gebotenen Räumlichkeit und vom Zustande seiner Wandungen. Die Lage des tiefsten Punktes zum Nabel erlaubt *keinen*

Fig. 295—298.



Fig.  
296



Fig.  
298

Fig. 300.

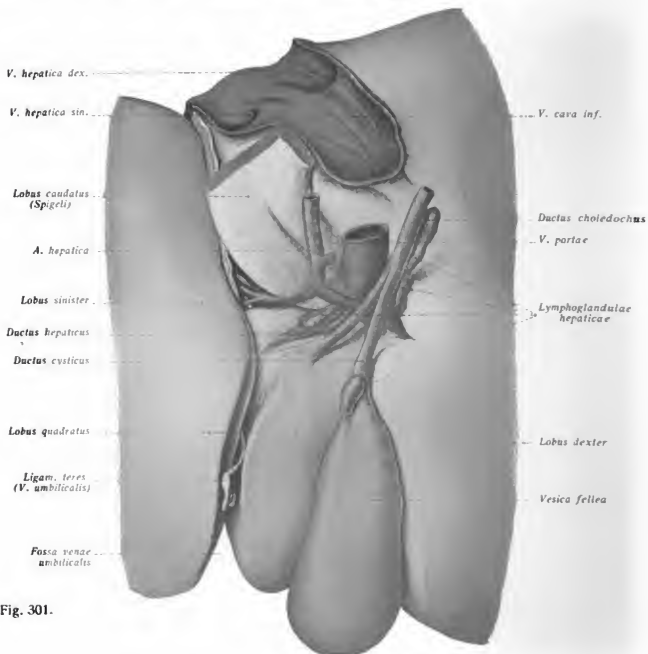
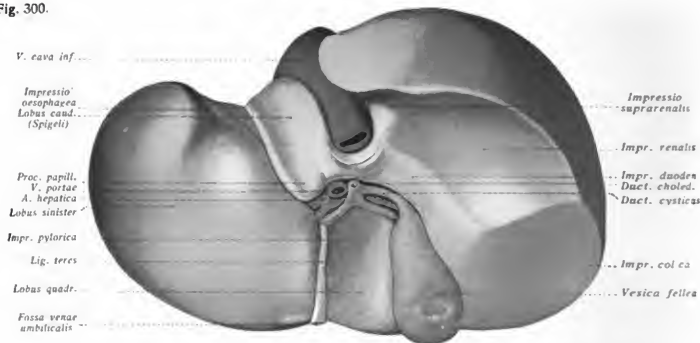


Fig. 301.

Fig. 300. Leber, von unten gesehen.

Fig. 301. Lage der Teile an der Leberpforte.

Schluß auf abnorme Senkung. Hierfür ist die Entfernung dieses Punktes von der Symphyse geeigneter (bei Männern im Mittel 10,5 cm, bei Frauen 7,5 cm). Doch kommen auch hier Schwankungen erheblicher Art vor. Entscheidend sind hier klinische Symptome und Röntgenbild (Fig. 295—298), worauf hier nicht näher eingegangen werden kann. Die Bauchhöhle ist bei gleicher absoluter Länge doch absolut schmaler, also relativ höher bei Frauen, als bei Männern, so daß bei Frauen der Magen steiler steht als bei Männern. Verminderung des intraabdominalen Druckes (Hängebauch, Fettschwund usw.) führt zu Senkungen des Magens, Steigerung des Druckes (Aszites, Tumoren) zu Hochstand. Das Schnüren übt einen röntgenologisch deutlich nachweisbaren Einfluß auf die Gestalt des Magens aus. Senkung des



Fig. 209.

Magens durch die erwähnten mechanischen Einflüsse (mechanische Ektasie) ist zu unterscheiden von Atonie, einem Zustande, wo die Magenwand als solche erschläft ist und den Inhalt nicht mehr normal umfassen kann. Die Luft im Magen sammelt sich im obersten Teil (Fornix) an und bildet die „Magenblase“ des Röntgenbildes. Perkutorisch liegt das Gebiet in dem sogenannten *Traubeschen Raum*, der begrenzt wird vom linken Leberrand, Rippenbogen, unterem Rande der linken Lunge und vorderem Rande der Milz (Fig. 221 a). Die Begrenzung des „Magenfeldes“ zu kennen, ist wichtig, besonders wenn es sich um Operationen handelt, da in diesem Bereich der Magen natürlich am leichtesten durch die *Gastrotomie* eröffnet werden kann. Die Lagebeziehung des Magens zur linken Pleurahöhle macht verständlich, daß bei Verletzungen die linke Pleurahöhle, die linke Lunge und der Magen zugleich getroffen werden können und durch das Zwerchfell Mageninhalt in die Pleurahöhle fließen kann.

Wichtig für klinisches Verständnis ist, daß der Magen in der Norm vorn und hinten von den Nachbarorganen durch *Spalträume* getrennt ist, jedoch derart, daß direkte Anlagerung und Berührung möglich ist und im Lebenden mehr oder weniger stattfindet. So erklären sich die in pathologischen Fällen (z. B. bei Magengeschwüren) eintretenden *Verwachsungen des Magens mit den Nachbarorganen* mit ihren mannigfachen Folgezuständen. So werden möglich: Nach Verwachsung mit dem Pankreas und den an dessen Oberrand verlaufenden *Vasa lienalia tödliche Blutungen aus der A. lienalis in den Magen* nach *Ulcus ventriculi*; dasselbe Geschwür kann nach vorheriger Verlötung mit dem Colon trans-

Fig. 302. Leber in der Ansicht von unten und hinten. Die von Peritoneum freien Stellen sind (ebenso wie die Schnittflächen des Peritoneums) gelb gehalten.

Fig. 303. Darstellung der Bursa omentalis von hinten. Zwerchfell, beide Nieren und rechte Nebenniere sind weggenommen. Das Bauchfell im Bereich der Bursa omentalis dunkelblau. Die in Fig. 302 markierten Schnittränder des Bauchfells sind hier Ausgangslinien des parietalen Bauchfells, das bei der gewöhnlichen Ansicht von vorn her auf dem Zwerchfell liegt. Rechts schlägt sich die vordere Lamelle des Lig. coronarium zum Zwerchfell hinüber (>), während die hintere, von der vorderen getrennt vor die Niere (*Impressio renalis*) und vor die Vena cava inferior tritt, dann rechts am Lobus caudatus in die Höhe geht, an seiner oberen Grenze entlang läuft, um dann längs des Sulcus ductus venosi in die Bildung des Omentum minus überzugehen (Fig. 302). Hier, (Fig. 303) sieht man nur den Zusammenritt der beiden, von der hinteren Lamelle des Ligam. coronarium sich zusammenfaltenden Lamellen, die sich zur Bildung des Omentum minus anschließen. Man sieht ferner (vgl. auch Fig. 287) wie die Kardia und die Pars abdominalis der Speiseröhre vom Bauchfell umkreist wird; von links her (rechts im Bilde) tritt das Omentum minus (ventrales Mesogastrium) heran, nach rechts (links im Bilde) zieht das dorsale Mesogastrium weiter. Dessen eine Lamelle zieht nach abwärts, um die hintere Wand der Bursa omentalis zu bilden, dessen andere Lamelle zieht am Zwerchfell aufwärts, um weiterhin im Lig. coronarium wieder zur Leber zu treten. Diese Strecke des parietalen Bauchfells ist herausgeschnitten. Hier blickt man also links oben im Bilde in die jetzt offene Bauchhöhle auf den vom viszeralen Bauchfell überkleideten Magen. Der linke oberhalb der Milz gelegene Wulst ist vordere Magenfläche in der Ansicht von hinten und oben. Zum besseren Verständnis der Verhältnisse links im Bilde ziehe man noch Fig. 284 heran. Die dort blau gezeichnete, von der Milz an der Niere vorbei zur hinteren Bauchwand ziehende Lamelle ist hier als „Lig. phrenico-lienale“ abgeschnitten dargestellt. Das rot gezeichnete, vor dem Pankreas liegende hintere Blatt der Bursa omentalis ist in Fig. 303 die tiefblau getönte, sich zwischen Kardia und Pankreas dem Beschauer entgegenwölbende Fläche. Vom Lig. gastrolienale der Fig. 284 ist die blaue Lamelle in Fig. 303 (hier allerdings schon kranial von der Milz) abgeschnitten gezeichnet; die rote Lamelle der Fig. 284 ist in Fig. 303 tiefblau getönt. Die A. gastrica sinistra bildet die Grundlage Plica gastro-pancreatica und bezeichnet die Grenze zwischen Vestibulum und Cavum bursae omentalis. Im Bereich des Vestibulum schimmert der Lobus caudatus durch.

versum in dieses perforieren, oder es kann nach Verwachsung mit dem Diaphragma Perforation in die Pleurahöhle, auch in die Perikardialhöhle eintreten. Ist gleichzeitig die Lunge mit der oberen Zwerchfellfläche verwachsen, so kann unter Übergreifen der entzündlichen Vorgänge auf die Lunge und die Bronchen der Mageninhalt in die Bronchen gelangen und ausgehustet werden. Verlötet die vordere Fläche des Magens mit der Innenfläche der Bauchwand, so ist ein Übergreifen von Entzündungen auf die Bauchwand bis zur Perforation nach außen möglich gemacht.

Die Lymphbahnen des Magens, in die an der großen und kleinen Krümmung die Lymphoglandulae gastricae inferiores et superiores eingeschaltet sind, fließen nach drei Richtungen ab, indem sie vom Magen aus in der Richtung der drei Hauptäste der A. coeliaca die Lymphe zu den an der Wurzel der A. coeliaca gelegenen Lymphoglandulae coeliacae und von hier zum Ductus thoracicus leiten. Aus dem Versorgungsgebiet der A. gastrica sinistra strömt sonach die Lymphe mit dem Verlauf dieser Arterie von der kleinen Krümmung her ab. Von der großen Krümmung strömt sie vorwiegend nach rechts mit der A. gastro-epiploica dextra in der Richtung zur A. hepatica und von dem Fundus durch das Lig. gastro-lineale zum Hilus der Milz und längs des oberen Pankreasrandes zur Wurzel der A. coeliaca. In diese letzte Bahn sind die vom Hilus der Milz längs des Pankreas hinziehenden Lymphoglandulae lienales eingeschaltet.

#### b) Leber und Gallenblase.

Die Leber (Figg. 219—221a, 286, 287, 300—303). Sie liegt im Hypochondr. dextr., und im Epigastrium und reicht bis in das linke Hypochondrium hinein. Die Gestalt der Leber wird in hohem Maße durch die Räumlichkeit bestimmt, die ihr von den Nachbarteilen (Zwerchfell, Rippen, Magen, Duodenum, Nieren, Nebenniere, Kolon, Vena cava) zur Entfaltung gewährt wird. Dieser Raum ist von den Phasen der Respiration und dem Füllungszustand der Eingeweide abhängig. Die Härtung der Leber in situ giebt die Form wieder, die das Organ im Zustande tiefster Expiration inmitten seiner Nachbarorgane besitzt.

An einer derartig behandelten Leber unterscheiden wir drei Flächen: die obere, die hintere, die untere. Die obere grenzt gegen die untere Fläche mit einem scharfen Rande; die obere und hintere, wie die hintere und untere Fläche gehen mit sanften Wölbungen ineinander über.



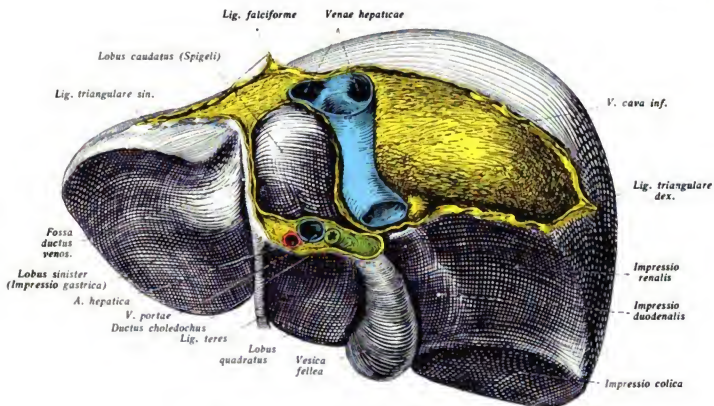


Fig. 303.

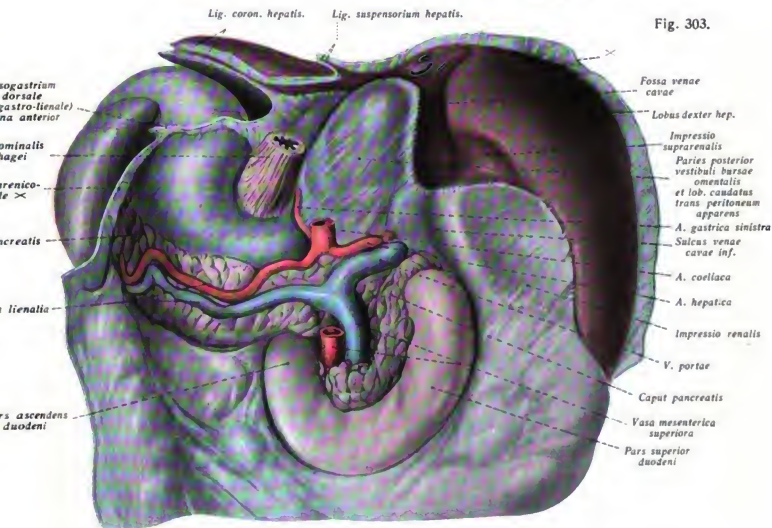


Fig. 304.

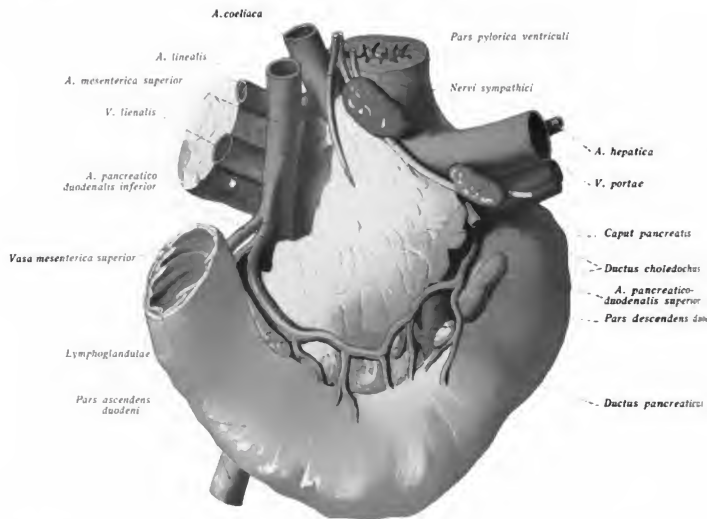


Fig. 305.

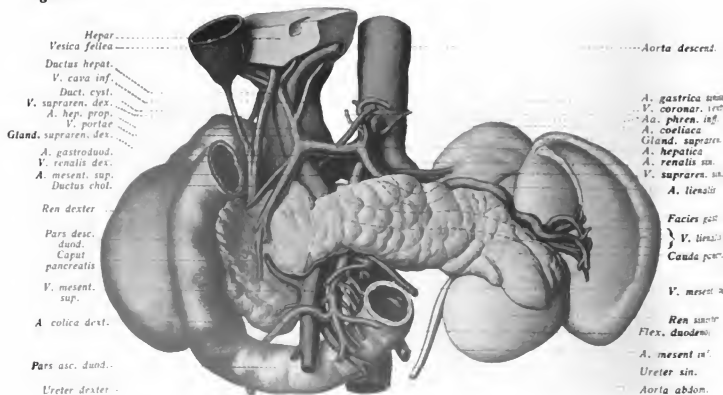


Fig. 304. Pankreaskopf, Duodenum und angrenzende Teile in der Ansicht von hinten.

Fig. 305. Leberpforte, Pankreas, Duodenum, Nieren, Milz und Nebennieren mit den Gefäßen (Formalinpräparat).

Die obere konvexe Fläche, durch das Lig. falciforme in den rechten und den linken Lappen geteilt, grenzt unmittelbar an das Zwerchfell (s. Fig. 302, 303). Indem dieses hoch in den Thorax hineinragt, ist die Leber zum großen Teil von den Rippen umschlossen, doch liegt sich die rechte Pleurahöhle (s. Fig. 233, 299) zwischen Leber und Brustwand. Nicht nur die rechte Lunge grenzt von oben unter Zwischenlagerung des Zwerchfells die Leber, sondern auch das Herz mit der Perikardialhöhle (Fig. 233) und noch ein Teil der linken Lunge.

Der hinteren Fläche gehört an ein großer Teil des rechten Leberlappens, der obere Teil des Lobus caudatus (Spigelii) und ein von hinten betrachtet scharf zulaufender, sich nach links spitz ausziehender Teil des linken Leberlappens (Fig. 302). Diese ganze hintere Fläche schaut gegen das Zwerchfell. Rechts liegt der rechte Leberlappen ohne Bauchlüberzug der Fascia diaphragmatica an. Der Lobus caudatus liegt vor der Wirbelsäule und begrenzt von vorn den Recessus hepatic. der Bursa omentalis (Fig. 303). Der linke Leberlappen reicht nach links bis in die Gegend des unteren Schulterblattwinkels. Von hinten gesehen (Fig. 220) nimmt die Leber ein Gebiet ein, welches unten begrenzt wird durch die Verbindungslinie zwischen unterem Schulterblattwinkel links und 12. Brustwirbel rechts. Von oben folgt der untere Rand der rechten 12. Rippe. Oben wird das Feld begrenzt durch eine Linie, die den unteren Schulterblattwinkel links mit einem Punkte verbindet, der etwa die halbe Länge des herabhängenden rechten Oberarmes entspricht (Hasse). Dicht oberhalb der 12. Rippe, neben der Wirbelsäule liegt zwischen Zwerchfell und Leber die rechte Nebenniere (Facies suprarenalis). Dicht daneben am rechten Rande der Wirbelsäule bettet sich die V. cav. inf. in die Substanz der Leber ein (Fossa venae cavae [Fig. 302, 303]). Hart an dem linken Rande heftet sich das Bauchfell, das die Bursa omentalis von hinten begrenzt, am oberen Rande des Lob. caudat. an (Fig. 303). Links vom Lob. caudat. liegt die Abgangsstelle des Omentum minus in der Fossa ductus venosi. Wird mit Erhaltung des Bauches das Zwerchfell entfernt und rechte Niere, rechte Nebenniere, Aorta und Vena cava inferior getragen, so kann man, wie Fig. 303 zeigt, bei der Betrachtung von hinten den obersten Abschluß des Peritonealsackes im Bereich der Bursa omentalis übersehen. Dicht neben dem Abgang des Omentum minus links liegt das Tuber omentale, und dies wiederum benutzt die Stelle, an die sich die Pars abdominalis des Oesophagus an den linken Leberlappen anlegt (Impressio oesophagea [Fig. 302]).

An der unteren Leberfläche liegt die Fossa sagittalis sinistra (mit dem Lig. teres), bis zur Fossa duct. venosi auf der Hinterfläche durchläuft und die Grenze zwischen rechtem und linken Leberlappen bildet. Rechts davon liegt in der Fossa sagittalis dextra die Gallenblase, während der hintere Teil der Fossa sagittalis mit der darin liegenden Vena cava inferior bereits der Hinterfläche der Leber angehört. Die Impressio renalis in der Mitte der Unterfläche des rechten Leberlappens gelegen, rührt von der rechten Niere (vgl. Fig. 302). Vor ihr ist die Impressio colica, verursacht durch die Flexura colica, zu bemerken. Duodenum und Pylorus führen zu der Impressio duodenalis und pylorica, letztere zwischen Gallenblase und linker Sagittalfurche gelegen, während das Tuber omentale hepatis oberhalb der kleinen Krümmung des Magens dem Omentum minus gegenüberliegt und durch dieses von dem Tuber omentale des Pankreas getrennt wird. Im Bereich des linken Leberlappens bildet ein Teil des Magenkörpers die Impressio gastrica.

An der *Porta hepatis* liegt die Arterie am weitesten nach links, der Ductus cholecysticus am weitesten rechts und die Pfortader zwischen beiden und mehr hinten (s. Fig. 286, 287, 300, 301). Praktisch wichtig (Fig. 219) ist vor allem die Projektion der Leber auf die vordere Bauchwand. Oben fällt die Grenze dieser Projektionsfigur mit der Projektionslinie des Zwerchfells zusammen. Bei tiefster Expiration liegt der höchste Punkt des rechten Leberlappens in der Mammillarlinie im 4. Interkostalraum, der des linken Leberlappens in der Parasternallinie im 5. Interkostalraum. In der Mittellinie liegt die Lebergrenze dem Centrum tendineum entsprechend ungefähr an der Basis des Schwertfortsatzes. Variationen der Länge der einzelnen Brustbeinteile lassen hier keine exakte Angabe zu. *Der untere Rand der Leber folgt vom 12. Brustwirbel ab dem Rippenbogen bis zur rechten Mammillarlinie.* In der Axillarlinie fällt der untere Rand in die Höhe der 11. Rippe; in der rechten Mammillarlinie verläuft der untere Leberrand den Rippenbogen. Die Leber ist also im normalen Zustande hier nicht palpabel. Der Rand verläuft dann nach links schräg aufwärts, liegt in der Medianlinie mitten zwischen Nabel und Basis des Schwertfortsatzes des Brustbeins und trifft links auf den Rippenbogen in der Parasternallinie. Hieraus ergibt sich die Lage des Teiles der Leber, der unterhalb des Brustbeins unmittelbar der muskulösen Bauchwand anliegt („Scrobiculus cordis“ s. S. 141). Von da ab zieht der untere Rand in sanftem Bogen nach aufwärts, um in der Höhe des Spitzenstoßes des Herzens mit der Projektion des oberen Randes zusammenzutreffen.

Der untere Rand der Leber erleidet respiratorische Verschiebungen, die bei sehr tiefer Inspiration festgestellt werden können. Bei ruhiger Atmung entziehen sie sich der Feststellung aber deswegen, weil der Rippenbogen gleichzeitig nach vorn und außen tritt und die Leber nicht tiefer tritt, sondern breiter wird, in Anpassung an den ihr gebotenen Raum (*Hasse*).

Von Nachbarorganen liegt die Flexura coli dextra (hepatica) in der Nische zwischen rechter Niere und Leber; die Anfangsstrecke des Colon transversum liegt am vorderen Rande des rechten Leberlappens; die rechte Niere liegt mit ihrem von Bauchfell überkleideten oberen Pol der unteren Fläche des rechten Leberlappens an. Ihre obere Grenzlinie fällt mit dem hinteren (stumpfen) Rande zwischen unterer und hinterer Leberfläche zusammen. Zwischen Porta hepatis und Gallenblase lagert sich der Pylorus, an die Unterflache des linken Leberlappens die Vorderfläche des Magenkörpers.

*Oben und vorn* wird die Leber durch das Lig. falciforme hepatis fixiert, das von der oberen Leberfläche zum Zwerchfell und zur vorderen Bauchwand verläuft (s. S. 206). Am dem hinteren Rande des Bandes liegt das vom Nabel zur unteren Leberfläche gelangende Lig. teres. Von der unteren Leberfläche zieht zur kleinen Krümmung des Magens und zur Pars superior duodeni das Omentum minus, bestehend aus dem zarten, durchsichtigen Lig. hepato-gastricum und dem nach rechts sich anschließenden dicken Lig. hepato-duodenale (s. S. 207). Das Omentum minus verläuft nicht nur zur Porta hepatis, sondern setzt sich nach hinten auf die Fossa ductus venosi fort (vgl. oben S. 206 und Fig. 302). Die hintere Leberfläche (der sogenannte stumpfe Rand) wird durch das Lig. coronarium an das Zwerchfell fixiert. Die vordere Lamelle dieser Platte geht von der unteren Zwerchfellfläche hinten auf die obere Leberfläche über, ist aber durch das Lig. falciforme, auf das sie sich medial von beiden Seiten her umschlägt, in zwei Hälften geteilt (s. Fig. 302). Die hintere Lamelle des Lig. coronarium geht am rechten Lappen von der unteren Leberfläche auf die vo-

ere Fläche der rechten Niere über. Der *rechte* Lappen wird so in *breiter* Ausdehnung (n 302 gelb gehalten) durch das Lig. coronarium bindegewebig an die hintere Bauchwand fixiert. Von der unteren Fläche des rechten Leberlappens und der vorderen Fläche der rechten Niere gelangt die hintere Lamelle des Lig. coronarium durch das Foramen Winslow in den Bereich der Bursa omentalis, indem sie am Eintritt in den Netzbeutel die ihr verschiedn ausgebildete, das Foramen epiploicum von hinten begrenzende Duplikatur des Lig. hepatorenale (Fig. 314 u. a.) bildet. Die Lamelle bildet dann, auf die vordere Wand des V. cava inferior und die Vorderfläche des Pankreas übergehend, die hintere Wand der Bursa omentalis, von der sie sich dem linken Rand der V. cava inferior folgend auf den Lobus caudatus der Leber umschlägt (vgl. Fig. 302). Von hier aus läuft die Lamelle zum linken Leberlappen und geht hier, wie beschrieben und abgebildet (Fig. 302 und 303) als Omentum minus weiter. Weiter links verwachsen beide Lamellen des Lig. coronarium miteinander und bilden das Lig. triangulare sinistrum, das mit freiem Rande nach der Cardia gerichtet ist. Ein „Lig. triangulare dextrum“ ist nicht immer ausgebildet. Es kommt dann zustande, wenn beide, hier ja weit voneinander getrennte Lamellen sich noch zu einer gemeinsamen Platte vereinigen.

Die Gallenblase überragt den unteren Leberrand *ein wenig* und liegt mit diesem Teil normalerweise in der rechten Parasternallinie einen Finger breit unterhalb des Rippenbogens. Nicht selten jedoch findet man sie auch weiter lateral gelegen.

Die Gallenblase grenzt an dem eben bezeichneten Punkt *direkt an die Innenfläche der Bauchwand*. Von ihr aus verläuft in dem rechten (freien) Rand des Lig. hepato-duodenale eingeschlossen der Ductus cysticus, in dessen Verlängerung der Ductus choledochus sich Aufnahme des aus der Porta hepatis kommenden Ductus hepaticus. Der Ductus choledochus tritt dann an die *hintere Seite* der Pars superior des Duodeni (Pars retroduodenalis). Von deren unterem Rande aus nähert er sich, meist (in 70 Proz. der Fälle) den Kopf des Pankreas eingeschlossen, dem medialen Rande der Pars descendens, um der Regel unmittelbar vor seiner Mündung in das Duodenum das Ende des Ductus pancreaticus aufzunehmen (s. Fig. 304 und 309). In dem Rest der Fälle läuft der Ductus choledochus neben dem Pankreaskopf entlang, zwischen ihm und dem konkaven Rande der Duodenalschlinge. Man kann demnach von einem supraduodenalen, retroduodenalen und intraduodenalen (terminalen, intraparietalen [in der Wand des Duodeni gelegen]) Teil des Ductus choledochus sprechen (s. Fig. 309). Der retroduodenale Teil kann pankreatisch oder intrapankreatisch liegen.

## Anwendungen.

Die Lagerung der rechten Pleurahöhle und der rechten Lunge über der Leber sind die Ursache, daß sich Leberverletzungen sehr häufig mit Eröffnung der rechten Pleurahöhle und der rechten Lunge kombinieren. Auch können Leberabszesse in die Pleurahöhlen und in den Herzbeutel durch die Zwerchfell durchbrechen. Ein solches Vorkommnis setzt aber vorherige peritonitische Verwachsung der oberen Leberfläche mit der unteren Zwerchfellfläche voraus. Auch in die Bronchen kann ein Leberabszeß schließlich perforieren — *so kommt es zu Expektion von Eiter aus der Leber*: in diesem Fall muß die untere Fläche der Lunge mit dem Zwerchfell abnorm verlötet gewesen sein. Erfolgt sich aber eine Pleurahöhle mit pleuritischem Exsudat oder mit Luft (Pneumothorax), so muß die Lunge das Zwerchfell und zugleich die *Leber herabdrängen*. Hinsichtlich der Perkussion ergibt sich aus der Lagerung des Lungenrandes zur Leber die Berechtigung, eine *absolute* und eine *relative* Leberdämpfung zu unterscheiden. Eine Abgrenzung der absoluten Herzdämpfung gegen die absolute Leberdämpfung ist nicht möglich.

Die Lage der *Pleuragrenzen* ist wichtig für die Vornahme solcher Eingriffe, die eine Freilegung der Leber verlangen. Bleibt man unterhalb der *Pleuragrenzen*, so kann ausgedehnte Rippenresektion oder Bildung von Haut-Muskel-Rippenlappen den Zugang eröffnen. Unter Hinaufschubung des *Sinus phrenico costalis* wird das Zwerchfell zugänglich und durch seine Spaltung kann sogar die Leberkuppe erreicht werden. Die Unterfläche der Leber kann dadurch zugänglich gemacht werden, daß die Leber nach aufwärts geschlagen wird.

Die *Gallenblase* grenzt an dem oben bezeichneten Punkt *direkt an die Innenfläche der Bauchwand* ist hier also dem Chirurgen leicht zugänglich. Hier kann sie auch mit der Bauchwand verwachsen um nach entzündlichen Vorgängen können aus der *Gallenblase Gallensteine durch die Bauchwand* hervortreten, sodaß die Galle an jener Stelle herausläuft — *Gallenfistel*. Ein Blick auf die Unterfläche der Leber mit den *Impressionen* in der Umgebung der *Gallenblase* (Fig. 286) lehrt, daß durch die Wand der *Gallenblase* hindurch *Gallensteine* oder Eiterungen (*Empyem der Gallenblase*) in das *Duodenum*, das *Colon* und den *Magen*, ja sogar in das *Nierenbecken* durchbrechen können. Das setzt immer vorherige peritonitische *Verwachsung* der *Gallenblase* mit diesen Teilen voraus, da die untere (hintere) Fläche und der *Fundus* der *Gallenblase* einen vollständigen *Peritonealüberzug* besitzen.

Die hohe Ausbildung der Chirurgie der *Gallenwege* verlangt eine *genaue Kenntnis des Verlaufs des Ductus choledochus*. In dem rechten Rande des *Lig. hepato-duodenale* läßt er sich leicht freilegen

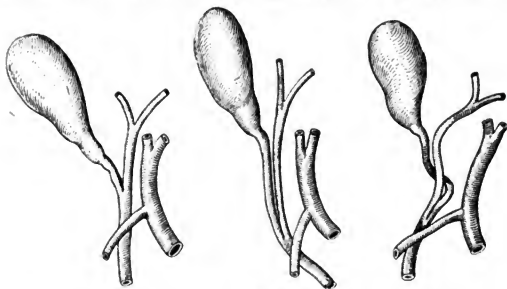


Fig. 306.

Fig. 307.

Fig. 308.

Fig. 306—308. Varietäten in dem Verlauf des *Ductus hepaticus* nach E. Ruge. Fig. 306. Das typische Verhalten. Fig. 307. *Ductus hepaticus* und *Ductus cysticus* laufen eine längere Strecke nebeneinander. Fig. 308 beide Gänge umschlingen sich in einer Spiralwindung. Die *A. hepatica* gibt die *A. gastro-duodenalis* ab, die den *Ductus choledochus* kreuzt.

Hier ist die günstigste Stelle für seine Eröffnung. *Er wird von der A. gastro-duodenalis gekreuzt* (S. 302). Hinter der *Pars superior duodeni* und dem *Pankreaskopf* ist der Gang von vorn nicht zugänglich. Schmettet man jedoch lateral von der *Pars descendens duodeni*, bevor sie von dem *Colon transversum* überlagert wird, (s. unten S. 224) einwärts von der Niere das *Peritoneum* ein, so kann man das *Duodenum* aufheben und von hinten zu dem *Ductus choledochus* gelangen (s. Fig. 304, 309), auch wird die *transduodenale Eröffnung* geübt. (*Eröffnung des Duodenums*, *Schlitzung der Papilla duodeni*). Erkrankung des para- oder intrapancreatischen Teiles des Duktus, z. B. durch hier festgekeimte Gallensteine, werden durch Druck auf den nahegelegenen *Pankreasgang* zu Störungen innerhalb des *Pankreas* führen können wie auch andererseits Erkrankungen des *Pankreas* dann zu Stauungen im *Gallengangssystem* führen können. Nur wenn beide Gänge weiter entfernt voneinander einmünden, was in höchstens 20% der Fälle stattfindet (Ruge), wird ein in der Mündung des Gallenganges eingeklemmter Stein das *Pankreas* nicht beeinflussen lassen. Münden beide Gänge, wie es Fig. 309 zeigt, nebeneinander innerhalb der Wand ein, so wird durch einen Stein im *Ductus choledochus* zugleich auch Verlegung des *Pankreasganges* stattfinden. Vereinigen sich beide Gänge (Fig. 304) schon außerhalb der Wand des *Duodenums*, so wird, wie

er Stein in der Mündung sitzt, die Passage zwischen beiden Gängen außen von dem Stein möglich bleiben und dadurch die Gefahr einer Infektion des Pankreas gegeben sein (*Ruge*). Besonders aufmerksam muß darauf gemacht werden, daß in der Einmündung des Ductus cysticus in den Ductus hepaticus wichtige Varietäten vorkommen, die es oft nicht leicht, oder gar unmöglich machen, den Cysticus aus dem hepaticus zu sondieren. In vielen Fällen (mehr als 30%) schlingt sich nämlich der Ductus hepaticus spiralig um den Ductus cysticus herum, ehe er in ihn einmündet. Ebenso häufig ist es, daß beide Gänge fast bis zum Darm hin parallel nebeneinander herlaufen. Schwerwiegend in ihren Folgen ist die seltene Varietät, bei der kein Hepaticus communis besteht, sondern die drei Gänge an einem Punkt isammentreten. Hierdurch wird z. B. die Drainage des gesamten Hepatikusgebietes sehr erschwert, wenn nicht unmöglich gemacht (Fig. 306—308).

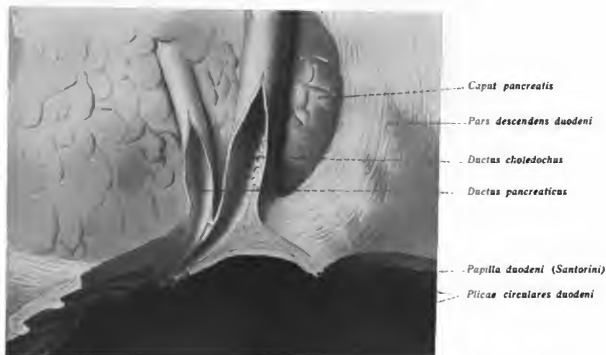


Fig. 309. Mündung der vereinigten Ductus choledochus und pancreaticus in das Duodenum. Dieses, sowie der untere Teil der beiden Gänge sind aufgeschnitten. Intramurale (intraparietale) Strecke der beiden Gänge.

Die Lymphe der oberen Leberfläche fließt teils durch das Foramen venae cavae, teils durch den Hiaesophageus des Zwerchfells nach oben ab. An der Porta hepatis treten die tiefen Lymphgefäße aus, verlaufen mit der Art. hepatica zum Stamm der Art. coeliaca und den Lymphoglandulae coeliacae, passieren zum Teil die nicht sehr zahlreichen, in Zahl und Anordnung variierenden Lymphknoten an Leberpforte und in dem Lig. hepato-duodenale (s. Fig. 301, 304), welche durch gelegentliche Schwellungen zu sehr folgenschweren Kompressionen der Gallenwege und zu Gallenstauung (bis zum Tode), so zu entzündlichen Druckerscheinungen auf die Pfortader (Pyelophlebitis) führen können.

#### c) Duodenum.

Das Duodenum (Fig. 219—221a) hat vom Pylorus bis zur Flex. duodenojejuna eine Länge von ungefähr 30 cm. Der Beginn am Pylorus ist als Einschnürung oft zu sehen, sicher aber als Verdickung infolge der hier reichlicheren Muskulatur (Sphincter pylori) zu fühlen.

Die Pars superior, der kürzeste Teil, liegt rechts von der Mittellinie in der Höhe des ersten Lendenwirbels; sie ist durch das Lig. hepatoduodenale an die Leberpforte befestigt. Das Band begrenzt von vorn den Eingang in die Bursa omentalis. Von dem Bande geht das Bauchfell auf die vordere Fläche der Pars superior über; auch die hintere, der Bursa omentalis zugewendete Fläche dieses Teiles ist vom Bauchfell bedeckt. Die übrigen Teile des Duodenums besitzen dagegen nur vorn einen Bauchfellüberzug, doch fehlt

dieser an zwei schmalen Stellen vollständig, nämlich an der Kreuzung mit dem Mesocolon transversum, und an der Kreuzung mit der Radix mesenterii nebst den Vasa mesenterica superiora (s. Fig. 287). Bei *leerem* Magen verläuft das obere Stück des Duodenum mehr in frontaler, bei *vollem* Magen mehr in sagittaler Richtung. Auf ihm liegt der Lobus quadratus der Leber.

Die *Pars descendens* (s. Figg. 276 und 305) liegt an der rechten Seite des zweiten Lendenwirbelkörpers und wird in *querer* Richtung von dem Mesocolon transversum gekreuzt. An dem rechten Leberlappen hinterläßt die Pars descendens die Impressio duodenalis (s. Fig. 300); der laterale (konvexe) Rand dieses Darmteiles grenzt an den medialen Rand der *rechten Niere* (s. Figg. 277, 287, 305), auf die der Bauchfellüberzug von dem Duodenum übergeht; der mediale Rand grenzt an die V. cava inferior.

Die *Pars ascendens* steigt quer aufwärts und nach Kreuzung der V. cava inferior nach links über den 3. Lendenwirbel und die Aorta abdominalis (s. Figg. 305, 287, 317) und geht rechts von der Wirbelsäule in der Höhe des 2. Lendenwirbels in die *Flexura duodenojejunalis* über. Dieser Teil wird in annähernd *vertikaler* Richtung von der Radix mesenterii gekreuzt (s. Fig. 287), welche hier die A. mesenterica superior und rechts von dieser die V. mesenterica superior enthält (s. auch Fig. 305). Um uns über die Lage des Duodenum im Bauchraum stets leicht zu unterrichten, können wir ohne Rücksicht auf die übliche Dreiteilung an ihm fünf Stücke unterscheiden (Fig. 310). Stück 2 umfaßt Stück 4 werden überlagert durch das Mesocolon transversum (2) und die Radix mesenterii (4). Stück 1 wird sichtbar zwischen Leber und Flexura coli dextra; Stück 3 nach Emporschlagen des Colon transversum zwischen diesem und der Radix mesenterii. Stück 4 wird sichtbar, wenn die Radix mesenterii nach rechts gelagert wird. Dies Stück geht ins Jejunum über.

### Anwendung.

Der obere Teil des Duodenum ist der hauptsächlichste Sitz der Duodenalgeschwüre. Da dieser von der vorderen und hinteren Bauchfell überkleidet ist, so können sowohl die in der hinteren, als auch die in der vorderen Wand des Duodenum gelegenen Geschwüre in die Bauchhöhle durchbrechen (die von der hinteren Wand ausgehenden in die Bursa omentalis). Doch kann Perforation in die Bauchhöhle durch vorherige Verwachsung des Duodenum mit der Leber, der Gallenblase oder der hinteren Bauchwand verhütet werden. Über die Freilegung des Ductus choledochus von dem lateralen Rande der Pars descendens duodeni vgl. oben S. 222. Die Kreuzung der Pars inferior duodeni durch die Radix mesenterii (Strecke 4 des Schemas) kann Anlaß zu einer Abklemmung des Duodenum durch das Dünndarmmesenterium, besonders durch die A. mesenterica superior werden („arteriomesenterialer Darmverschluß“). Atonisch herabhängende Darmschlingen können durch ihr Gewicht dieses Ereignis herbeiführen, als dessen Folge natürlich auch Auftreibung und Lähmung des Magens entstehen muß. Es ist diese Erscheinung eine Folge der aufrechten Haltung des Menschen, da beim Vierfüßler diese unzweckmäßige Verlaufsrichtung des Dünndarmgekröses mit den nach abwärts lastenden Darmschlingen nicht obwaltet. Einnehmen der Knieeliege bogenlage hebt einen solchen Darmverschluß leicht auf. Umgekehrt kann auch ein primär atonischer Magen durch sein Gewicht die Entstehung des Duodenalverschlusses am Übergang vom Pylorus zum Duodenum begünstigen.

### d) Pankreas.

Das Pankreas (s. Fig. 277, 286, 303, 305) sieht und fühlt man entweder durch das Omentum minus hindurch in der Hinterwand der Bursa omentalis (s. Fig. 286), oder man legt es auf dreifache Weise frei, nämlich 1. nach Durchschneidung des Omentum minus um Abwärtsdrängen des Magens, 2. nach Durchschneidung des Lig. gastrocolicum (s. S. 286) und Aufwärtsdrängen des Magens und 3. nach Durchschneiden des Bodens der Bursa omentalis.



lis, d. h. des Mesocolon transversum von unten her und aufwärtsschlagen des Colon transversum und des Magens. Das lange platte Organ liegt *retroperitoneal*, nur vorn von dem Bauchfell der Bursa omentalis bedeckt, aber vor der Wirbelsäule in der Höhe des 2. Lendenwirbels. Die vordere Fläche wird größtenteils von dem Magen verdeckt (Facies pancreatica des Magens s. Fig. 294). Aber die kleine Krümmung schaut das Tuber omentale hervor. Der Kopf liegt in der Konkavität des Duodenums (s. Fig. 286, 287, 305), füllt diese jedoch nicht völlig aus; ein Ausschnitt bleibt (Processus uncinatus), durch den am unteren Rande die Vasa mesent. sup., rechts die Vena, links die Arterie über die Pars ascendens duodeni hindurchtreten können. Die Cauda liegt auf der vorderen linken Nierenfläche (s. Fig. 277 und 305), bald etwas höher, bald etwas tiefer, und reicht bis zur Milz. Die hintere Fläche ist von der Wirbelsäule durch die Pars lumbalis des Zwerchfells, die Vena cava inferior und die Bauchorta getrennt. Das Pankreas hat wichtige Beziehungen zu folgenden Gefäßen. Hinter ihm liegt die Aorta abdominalis und die Vena cava inferior. Die A. coeliaca und A. mesenterica superior, die beide oberhalb des Pankreas entspringen, fassen das Organ wie in eine Zwing: die A. coeliaca bleibt am oberen Rande, die A. mesenterica superior tritt hinter dem Pankreas nach abwärts, zwischen ihm und dem Duodenum hindurch. Am oberen Rande des Pankreas ziehen die Vasa lienalia zum Hilus der Milz, den sie durch das Lig. phrenico-colicum erreichen. Vena lienalis und Vena mesenterica bilden hinter dem Kopf des Pankreas die Vena portarum. Über die Topographie des Kopfes vergleiche Fig. 304 und 309 und Fig. 219 und 220.

### Anwendung.

Die tiefe Lage des Pankreas erklärt, daß die sichere Diagnose von krankhaften Veränderungen, wie Zysten, Abszessen oder Geschwülsten so lange schwierig ist, wie diese Gebilde eine tiefe Lage beibehalten. Oberflächlich gelagerte Zysten werden meist zwischen Magen und Colon transversum nachweisbar werden; in seltenen Fällen oberhalb des Magens unter Vorwölbung des Omentum minus, oder unterhalb des Colon transversum zwischen die Platten des Omentum majus eintreten. Die innigen Beziehungen zu dem Colon transversum, Duodenum, Pylorus und zur Porta hepatis machen es begreiflich, daß Erkrankungen des Pankreas, besonders das Karzinom des Kopfes, die sichere Diagnose sehr erschweren. Neubildungen am dem Kopf des Pankreas können zu schweren Behinderungen des normalen Abflusses der Galle durch Druck auf den Ductus choledochus führen. Der günstigste und zugleich ausgedehnteste Zugang zum Pankreas am Lebenden wird unter Durchtrennung des Lig. phrenico-colicum längs der großen Krümmung des Magens erreicht. (Fig. 287). Auch die beiden anderen genannten Wege kommen in Betracht, beim Eingehen unterhalb des Colon transversum ist die A. coeliaca sinistra zu beachten (Fig. 317). Je nach den Indikationen ist das Pankreas auch retroduodenal, ja retrocolic wie bei Operationen an den Nieren, retroperitoneal zugänglich.

### c) Milz.

Die Lagebeziehungen der tief im linken Hypochondrium gelegenen Milz kommen in der Bezeichnung der drei Flächen des Organs zum Ausdruck. Die größte, konvexe Fläche, die Facies diaphragmatica, grenzt unmittelbar an die untere Zwerchfellfläche an (s. Fig. 299).

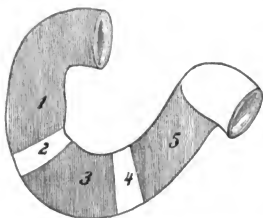


Fig. 310. Schema der Beziehungen des Duodenums zum Mesocolon transversum und zur Radix mesenterii. Erklärung im Text.

Hier wird die Milz (vgl. Fig. 221 a) nach außen von der linken *Pleurahöhle* und dem Unterrand der linken Lunge im Bereich des Sinus phrenicocostalis pleurae überlagert. Die *Facies gastrica* der Milz (s. Fig. 305 und 286) grenzt an das Corpus des Magens (s. Fig. 294) und ist *konkav*; auf ihr liegt der *Hilus* für den Eintritt der A. lienalis (aus der A. coeliaca) und den Austritt der V. lienalis, die von hier durch das Lig. phrenicolienale längs des oberen Pankreasrandes nach rechts ziehen, und zwar die Vene unterhalb der Arterie. Unterhalb des Hilus tritt die Cauda pancreatis in Berührung mit der Milz. Die kleinste Fläche der Milz ist die lange und schmale *Facies renalis*, mit der die Milz dem konvexen Rand der *linken Niere* auflagert (s. Fig. 305). Man fühlt diese Fläche in der Leiche, wenn man der Facies diaphragmatica nach hinten folgt.

Die Milz (Fig. 221 a) liegt mit der kurzen Achse zwischen 9. und 11. Rippe, mit der Längsachse verläuft sie annähernd parallel der 10. Rippe. Der obere Pol nähert sich dem 10. Brustwirbelkörper bis auf etwa 2 cm. Der untere Pol überschreitet nach vorn die Linea costo-articularis nicht (Linie von der linken Art. sternoclavicularis zur Spitze der 11. Rippe). Dieser untere Pol liegt normalerweise hinter der Spitze des 11. Rippenknorpels. Er ist in der Regel *nicht*, jedoch bisweilen bei sehr tiefer Inspiration *fühlbar*. Kann man ihn unter dem Rippenbogen fühlen, so ist die Milz *vergrößert*. An den unteren Pol grenzt die *Flexura coli sinistra*. Diese ist hier durch das Ligamentum phrenico-colicum an das parietale Bauchfell geheftet. Dies Band bildet eine Stütze für die Milz (Fig. 287).

Die Milz besitzt mit Ausnahme des Hilus und der Anlagerungsstelle des Pankreas *einen vollständigen Peritonealüberzug*. Ihre Lage wird in geringem Grade von dem Füllungszustande des Magens und des Kolons und durch die Respirationsbewegungen beeinflusst. Ihre Fixation geschieht durch das Lig. phrenicolienale am Zwerchfell und der rechten Niere, durch das Lig. gastrolienale am Fundus des Magens. In dem ersteren Bande verlaufen die Vasa lienalia von der Cauda pancreatis aus dem Hilus, in dem letzteren von Hilus aus die Arteria gastropiploica sinistra zum Magen (Fig. 287).

### Anwendung.

Da die Milz dorsal zum größten Teil von der linken Pleurahöhle und auch von dem unteren linken Lungenrand überlagert wird, so ist leicht einzusehen, daß die meisten *Milzverletzungen mit Eröffnung der linken Pleurahöhle verbunden* sind. Die „Milzdämpfung“ bei der Perkussion erscheint als „absolute“ (oben begrenzt durch den Lungenschnitt) und „relative“, die sich 1–2 cm oberhalb der oberen Grenze der absoluten Dämpfung abgrenzen läßt. (Abschwächung des Lungenschalls durch die darunter gelegene Milz). Das Lig. phrenico-colicum (nur sehr selten fehlend) hindert die Milz, sich nach *abwärts* zu vergrößern. Ihre Vergrößerung erfolgt demnach bei Anschwellungen in der Richtung ihrer Längsachse. Daher werden Milzschwellungen zuerst am Rippenbogen palpirt. Zwischen den perkutorisch feststellbaren Rändern der Lunge und der Milz liegt der „Milzlungenwinkel“, in dem der klanghaltige Schall des Magens auftritt (Fig. 221 a). Zwischen unterem Rande der Milz und vorderem Rande der Niere liegt der „Milznierenwinkel“, in dem man den klanghaltigen Schall der Flex. col. sinistra findet (Fig. 219). Gegen die Niere ist keine perkutorische Abgrenzung möglich. Ist die an den unteren Milzpol grenzende Flexura coli sinistra nicht mit Kot gefüllt, so daß sie hellen Schall gibt, so ist es möglich, die Milzgrenze in der Richtung der Längsachse durch die Perkussion zu bestimmen. Auch kann sich bei Milztumoren die geblähte Flexura coli sinistra zwischen die Facies diaphragmatica der Milz und das Zwerchfell einlagern. Luft einblasen in das Colon dient auch als diagnostisches Hilfsmittel zur Feststellung, ob ein Tumor im linken Hypochondrium der Milz oder Niere angehört. Der Milztumor bleibt *vor* der Gasblase liegen.

### f) Dünn- und Dickdarm.

Die zahlreichen Schlingen des 6 bis 8 Meter langen *Dünndarms* (Jejunum etwa Zweifünftel, Ileum etwa Dreifünftel der Gesamtlänge; extreme Länge oder Kürze des Jejunum

anten Dünndarms 9,5 m — 4,5 m) (s. Fig. 211) erfüllen den Raum unterhalb des Mesocolon und des Colon transversum, überlagern mehr oder weniger das aufsteigende und das absteigende Colon und liegen auf den Fossae iliacae und auf und zwischen den Leckeneingeweiden. Das große Netz (s. Fig. 286) hängt von dem Colon herab und trennt in sehr verschiedener Ausbildung den Darm von der Innenfläche der Bauchwand. Der Verlauf der Schlingen läßt im ganzen Regelmäßigkeit erkennen, die jedoch großen Schwankungen unterworfen ist (s. oben S. 211).

Der Dünndarm ist an zwei Stellen fester an die hintere Bauchwand angeheftet, am Anfang und am Ende (Fig. 287). Am Anfang ist es die Flex. duodenojejunal., links neben dem Lendenwirbel, am Ende die Flexura ileocolica in der rechten Darmbeinschaukel. Dazwischen liegen kürzer oder länger an der Radix mesenterii befestigte, also mehr oder weniger bewegliche Darmschlingen, die zum Teil bis ins kleine Becken hinabreichen.

In die Radix mesenterii tritt die *A. mesenterica superior*, der zweite der unpaaren viszeralen Äste der Bauchaorta, am unteren Rande des Pankreas ein (Fig. 287, 305). Sie ist das Gefäß für den ganzen Dünndarm, das Colon ascendens und Colon transversum bis zur Flexura coli sinistra. Die Äste sind:

1. *A. pancreaticoduodenalis inferior* zu Duodenum und Caput pancreatis;
2. *Aa. intestinales*, bis zu 15, im Mesenterium zu den Dünndarmschlingen;
3. *A. ileocolica* zum Übergangsgebiet von Dünn- und Dickdarm;
4. *A. colica media* zum Colon ascendens und transversum (über die *A. colica dextra* s. unten S. 233).

Die *Vena portae* (s. Fig. 302, 304, 305) ist der kurze, nur 3 cm lange, aber sehr starke Venenstamm, der an der Porta hepatis in die Leber eintritt und das Blut aus dem Verdauungskanal von der Kardia bis zum After, dem Pankreas, der Milz und der Gallenase, also das aus den drei unpaaren Ästen der Bauchaorta stammende Blut auf dem Umwege durch die Leber und die Venae hepaticae in die V. cava inferior führt, während das Blut aus den paarigen (viszeralen und parietalen) Ästen der Bauchaorta in Venen gelangt, die direkt in die V. cava inferior münden. Der Stamm der Pfortader liegt im Lig. hepatoduodenale (s. S. 207, 220) und entsteht hinter dem Kopf des Pankreas (vgl. Fig. 304, 305) aus dem Zusammenfluß der *V. lienalis*, der *V. mesenterica superior* und der *V. mesenterica inferior*. Über die wichtigen Anastomosen des Pfortadergebietes s. S. 190. In der Gegend der Pfortader liegen so viele große Blutgefäße auf relativ kleinem Raum zusammengedrängt wie an keiner anderen Stelle des Körpers (s. Fig. 305).

Der Dickdarm, Kolon, beginnt mit dem Blinddarm, Coecum, und dessen Processus vermiformis (Fig. 287). Das Coecum liegt auf der Fossa iliaca dextra, und zwar auf der scia iliaca und dem M. iliacus; nach links reicht es bis zum lateralen Rand des rechten Iliopsoas major. In abnormen Fällen liegt es tiefer, bis in das kleine Becken hinein, in anderen, sehr viel häufiger zu beobachtenden Fällen aber liegt es viel höher, sogar unterhalb der Leber auf der rechten Niere. Das Ileum hat dann vor der Einmündung einen aufsteigenden Verlauf (s. auch weiter unten S. 230). Das Coecum besitzt in der Regel, ebenso wie der Processus vermiformis (Appendix), einen vollständigen Bauchfellüberzug und verhält daher als beweglicher Darmteil, sobald es mit Gasen oder Kot gefüllt ist, im Gegensatz zu dem sich nach oben anschließenden Colon ascendens meist die Innenfläche der Bauchwand. Es kann jedoch hinten des Bauchfellüberzuges entbehren, so daß es dann

Fig. 311. 4 Stunden nach der Bariummahlzeit ist der Magen leer, das Colon aber noch nicht sichtbar, eine Jejunumschlinge ist stärker dilatiert. Nach 22 Stunden scheinen in dieser Schlinge noch Kontrastmittelreste retiniert zu sein. Am nächsten Tag befinden sich die Bariumreste noch an gleicher Stelle (→) und es läßt sich durch einen Röntgenaufnahmehinweis, daß dieser Schattenteil dem Dickdarm nicht angehört. Flexura ileo-coecalis, Coekum, Colon ascendens und transversum mit stark ausgebildeten Haustren. Flexura lienalis mit zwei Schenkeln bis zum Zwerchfell ausgedehnt. (S. 215 und S. 232). N. = Nabel. Verkleinerung  $\frac{1}{4}$ .

Fig. 312. Kongenital abnorm langes Colon mit hochgradigster Ptose des Querdarms — bei hoher Flexurstellung. Schlingenbildung im Descendens und abnorm langes Ascendens.\* 26 Jähr. an Obstipation leidender Mann. Verkleinerung  $\frac{1}{4}$ .

durch Bindegewebe in breiter Ausdehnung, wie es für das Colon ascendens die Regel ist, an die Fossa iliaca fixiert ist. Der in der Länge (3—20 cm) variierende Processus vermiformis ist in der Regel frei beweglich, nur durch sein eigenes Mesenteriolum befestigt, in der Regel zum Teil von dem Blinddarm bedeckt und über die Linea terminalis ins kleine Becken hinabreichend. Doch kann er auch ganz hinter dem Coekum versteckt liegen und dabei an der hinteren Bauchwand angeheftet sein. Die Stelle, an der die Appendix aus dem Coekum hervorgeht, liegt normalerweise, auf die vordere Bauchwand projiziert, auf einer Linie von dem Nabel nach der Spina iliaca anterior superior dextra gezogenen Linie, 6 cm von der Spina entfernt (Mac Burneyscher Punkt).

Das Colon ascendens (s. Fig. 287) verläuft von dem oberen Teil der Fossa iliaca dextra aufwärts zum unteren Pol der rechten Niere. Unterhalb der Niere oder auf ihrer Facies colica der rechten Niere s. Fig. 272, 276) geht es durch die Flexura coli dextra in das Colon transversum über. Hier verursacht es an dem ihm aufgelagerten rechten Leberlappen die Impressio colica (s. S. 219). Es liegt auf dem M. quadratus lumborum, lateral von dem M. psoas und ist meist nur vorn und seitlich vom Bauchfell überzogen, mit der hinteren Wand daher mehr oder weniger breit durch Bindegewebe an die hintere Bauchwand befestigt. Daher ist es nicht frei beweglich und ist — besonders im kontrahierten Zustand — vorn von Dünndarmschlingen überlagert und verdeckt. (Für dies und das Folgende s. auch Fig. 219—221 a.)

Das Colon transversum (s. Fig. 286, 287) verläuft von der Flexura coli dextra in quere und aufsteigender Richtung nach links bis in das linke Hypochondrium, wo es durch die Flexura coli sinistra in das absteigende Colon übergeht. Einer leichten Konkavität nach oben entspricht eine Konvexität nach unten in Anpassung an die dem Colon oben aufgelagerte große Kurvatur des Magens. Rechts wird das Colon transversum von der Leber und der Gallenblase bedeckt, links grenzt es an den unteren Pol der Milz und ruht am Übergang in das Colon descendens auf dem unteren Teil der vorderen Fläche der linken Niere oder dem unteren Nierenpol (Fig. 273, 277). Unten grenzen Dünndarmschlingen an. Der Lagebeziehung zum Duodenum wurde oben (S. 224) gedacht. Auch erinnern wir uns an das langen und breiten Mesocolon transversum (s. S. 210), wodurch das quere Colon viel beweglicher ist als der auf- und absteigende Teil und die Innenfläche der vorderen Bauchwand berührt.

Das Colon descendens (s. Fig. 287) ist länger als das Colon ascendens und beginnt an der linken Niere. Es wendet sich, von der Medianebene etwas weiter entfernt als das Colon ascendens, auf dem M. quadratus lumborum nach abwärts, gelangt auf die Fossa iliaca sinistra und geht nach kurzem, medialwärts gerichtetem Verlauf auf der Fossa iliaca sinistra in das Colon sigmoides über. Die Befestigung an der hinteren Bauchwand verhält sich ähnlich der des Colon ascendens.

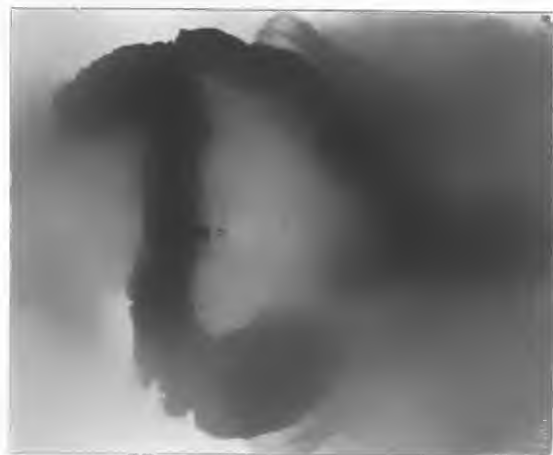


Fig. 313.

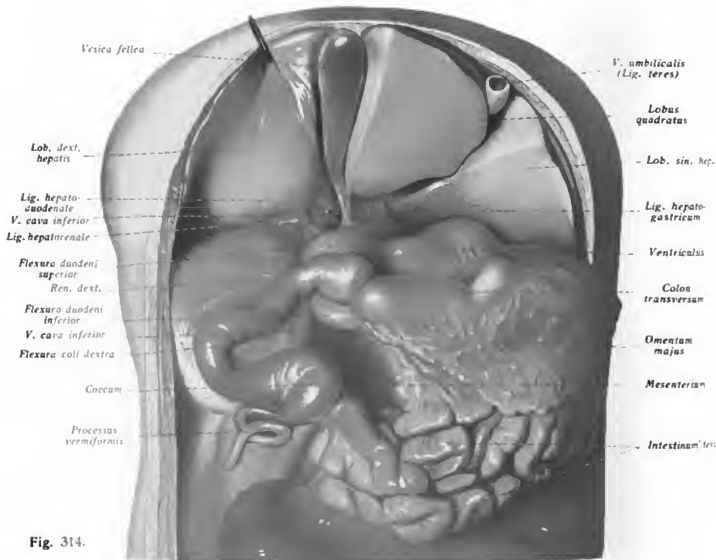
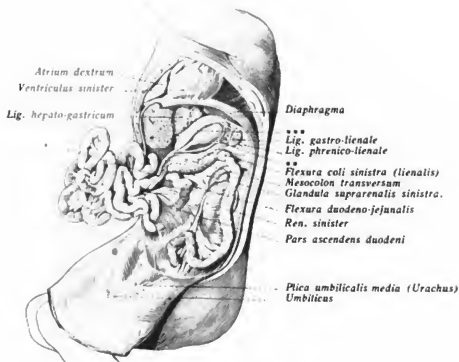


Fig. 314.

Fig. 313. Situs der Baueingeweide eines menschlichen Foetus aus der ersten Hälfte der Schwangerschaft. Das *mentum majus* ist noch kurz. Sein freies Ende (Umschlag der vorderen in die hintere Platte) (\*) hat sich über den Anfang des Dünndarmes gelegt. Bursa omentalis eröffnet. Ihre hintere (\*\*) und vordere (\*\*\*) Platte.

Fig. 314. Baueingeweide vom neugeborenen Kind in der Ansicht von vorn. Die Leber ist nach oben geschlagen und erscheint verhältnismäßig größer, als beim Erwachsenen. In das Foramen epiploicum (Winslow) ist eine Sonde eingeführt. Der Blinddarm ist aus der Fossa iliaca nach oben hinaufgeschlagen, so daß man den für das Kind typischen lichterförmigen Uebergang des Wurmfortsatzes in das Coekum sieht.

Das *Colon sigmoides* bildet den vornehmlich in der Regio iliaca gelegenen Überangsteil zum Mastdarm und ist durch sein langes Mesosigmoideum vor dem Colon descend. ausgezeichnet. Es erstreckt sich bis zum 2. Sakralwirbel, wo das Rektum beginnt (vgl. . 247). Oberhalb des linken Poupartschen Bandes liegt es der *Innenfläche der Bauchwand in der Regel an und kann hier freigelegt und eröffnet werden*. In der Fig. 257 ist das Colon sigmoides sichtbar. Von außen nach innen sind bis auf das Colon sigmoides durchschnitten: Haut mit Fettschicht und oberflächlicher Faszie der Bauchwand, die drei flatten Bauchmuskeln, die Fascia transversalis und das Bauchfell; zu vermeiden sind nach ben (S. 192) gegebener Regel die Vasa epigastrica inferiora.

Für gewöhnlich ragt die von dem Colon sigmoides gebildete Schleife bis in das kleine Becken hinein, und es überschreitet dieser Darmteil die Medianebene nach rechtshin nicht. Über die gesamten Lageanomalien des Dickdarms, die *sehr* häufig sind, s. das Folgende.)

*Variationen in der Lage und Befestigung des Dickdarms.* Kein Teil des menschlichen Körpers variiert in seiner Lage so stark wie der Dickdarm. Dies ist wichtig zu wissen nicht nur beim Studium des normalen Situs an der Leiche, sondern auch für die Beteiligung der Verhältnisse bei klinischen Sektionen und beim Studium der *Röntgenbilder*. Die Ursache dieser so überaus häufigen Abweichungen von der als typisch geschilderten Lage liegt in der Entwicklung der Dickdarmbefestigungen (Fig. 282, 283).

Die als „Mesokolon“ bezeichneten Bauchfellplatten sind ebenso wie das Dünndarmgekröse nicht von Anfang an gegeben, sondern entstehen erst sekundär. Der Aufhängeapparat des gesamten Dün- und Dickdarms bis zur späteren Flexura coli sinistra besteht anfänglich nur aus einer zirkumskripten Befestigung in der Höhe des 1. Lendenwirbels, so daß der Darm hier an einem runden Stiel aufgehängt ist. In diesem Stiel tritt die A. mesenterica superior ein. Dieser Darmteil bildet die Nabelschlinge, in der die zuführende Dünndarmschlinge vorn, die abführende Dickdarmschlinge hinten liegt. Das Colon descendens wird dann weiterhin durch eine vor der Wirbelsäule liegende Befestigung an die Bauchwand angeheftet (Fig. 313). Oberhalb des Stiels gewinnt das Duodenum samt dem Jejunum, indem es sich nach rechts an die Bauchwand anlegt, seine sekundäre Befestigung (s. Fig. 283). Unterhalb des Stiels dreht sich die Nabelschlinge entgegen dem Uhrzeigersinn so, daß der Dickdarmschenkel vor den Dünndarmschenkel tritt und schließlich mit der späteren Coecalgegend die hintere Bauchwand zwischen Niere und Leber berührt (Vogt). Von dieser Stelle aus tritt der nun quer gelagerte vordere Dickdarmschenkel über Leber und Magen hinweg in die Lage des späteren Colon transversum zur linken Bauchseite, während auch das, anfänglich median gelegene (s. oben) spätere Colon descendens aus dieser medianen Lage nach links rückt. Der Dünndarmschenkel ist zu dem stark geschlängelten Jejunumrohr geworden, das aber gleichfalls nur an dem Stiel der Nabelschlinge hängt. Die ältere Ileocoecalgegend ist mitsamt dem Coekum nach rechts verlagert. Stellt man sich den Darm zwar in endgültiger Lage, aber ohne weitere Befestigung als jenen Gekrösestiel vor, so erblickt man in Gedanken einen Zustand, der als Hemmungsbildung tatsächlich existieren kann. Die Figg. 315, 316 zeigen ihn bei einem Neugeborenen. Besonders die Fig. 316 zeigt, daß der Dünndarm noch keine Radix mesenterii und die Coecalgegend noch

keine Befestigung besitzt. Lediglich das Colon transversum ist bereits an der unteren Fläche des Omentum majus, das Colon descendens in seiner endgültigen Lage festgewachsen.

Dadurch, daß die einander zugekehrten Peritoneallamellen miteinander verkleben und verwachsen (Fig. 282, 283) finden die Darmteile sekundäre Befestigung: das Coecum

Pfortaderast (Daneben Art. und Gallengangsquerschnitt)

Lebersvenast (liegt isoliert)

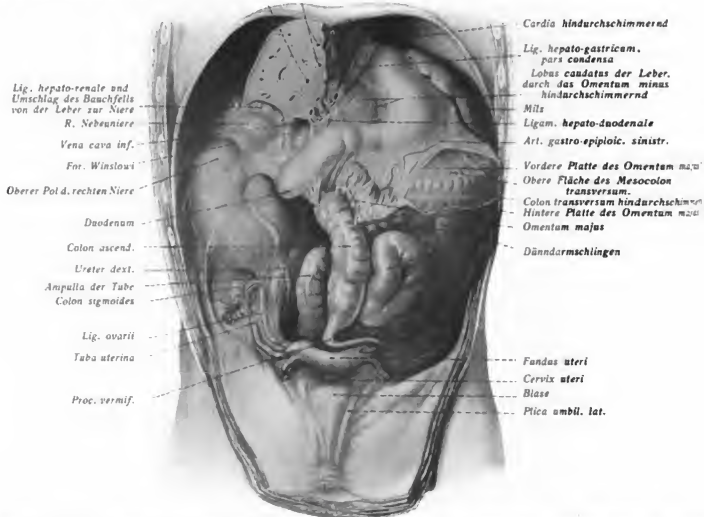


Fig. 315. Ein Fall von unvollkommener Ausbildung der Darmbefestigung. Colon transversum und descendens sind norman an der hinteren Bauchwand befestigt; der gesamte Dünndarm und das Colon ascendens, sind wie bei frühem foetalen Zustande (Nabelschlinge) nur am Durchtritt der Vasa mesenterica sup. unterhalb des Pankreas angewachsen. — Bar omentalis eröffnet. — Eigene Beobachtung.

wächst auf der rechten Niere fest, das Colon transversum an der Unterfläche des Omentum majus, der Dünndarm an der hinteren Bauchwand.

Es gibt anfänglich kein Colon ascendens. Dieses entsteht erst in der späteren Fötalzeit durch einen *Descensus coeci*.

Aus diesen Vorgängen erklären sich die praktisch so bedeutsamen Variationen, aus deren großer Zahl folgende hervorgehoben seien:

1. Hochstand des Cökums. Es fehlt das Colon ascendens, das Cökum liegt unterhalb der Leber. Ein Descensus coeci ist ganz ausgeblieben.
2. Abnorme Kürze des Colon ascendens. Es liegt nicht in der rechten Darmbeinschaufel sondern höher oben. Der Descensus ist unvollkommen erfolgt (Fig. 314).



3. Abnorme Beweglichkeit des Colon ascendens. (Die sekundäre Befestigung ist ganz ausgeblieben oder nicht normal weit erfolgt.)
4. Lagerung des Colon transversum unter der Radix mesenterii. Das Colon ist nicht nach vorn über den Dünndarm, sondern hinter ihm vorbeigetreten.

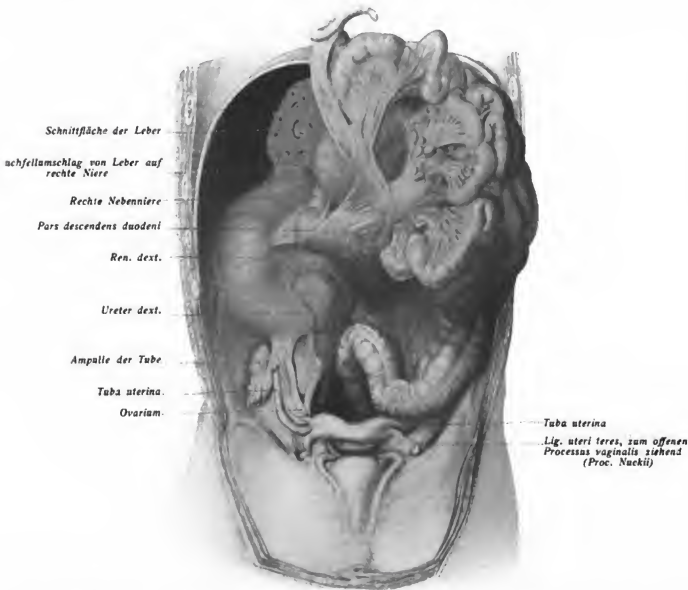


Fig. 316. Dasselbe Präparat, Dünndarm und Colon ascendens emporgeschlagen. Man sieht, daß auch die pars inferior des Duodeni ohne Befestigung an der hinteren Bauchwand geblieben ist.

5. Ein abnorm langes und weit nach abwärts gekrümmtes Colon transversum ist sehr häufig, ohne daß dieser Befund als an sich als krankhafte Lageveränderung gedeutet werden darf (Fig. 312). Auch dabei liegt, wie hier nicht näher ausgeführt werden kann, das Ergebnis vor eines ungewöhnlichen, aber nicht seltenen Ablaufes der Drehungsvorgänge, durch die das Coecum an die hintere Bauchwand geführt wird (Vogt). Auch hinsichtlich der *Gefäßversorgung* ist die entwicklungsgeschichtlich bedeutsame Mesenterialschlinge selbständig. Ihr Gefäß ist die *A. mesenterica superior*, deren Versorgungsgebiet bis zur Flexura coli sinistra reicht. Von da an tritt die *A. mesenterica inferior* als Versorgungsgefäß auf.

## Anwendungen.

Die Lageanomalien des Dickdarms sind für die Diagnostik von Entzündungen und Tumoren von Bedeutung. Vor allem ist hier auf den Hochstand des Coekums aufmerksam zu machen. Die Möglichkeit einer abnormen Lage dieses wichtigen Darmteiles muß der Untersucher bei jedem Menschen in Betracht ziehen. Nicht minder variabel ist die Lage der Appendix. Besonders verhängnisvoll für die Diagnostik können diejenigen Fälle werden, wo der Wurmfortsatz retroperitoneal liegt. Es sind solche beschrieben worden, wo er, zugleich abnorm lang, hinter dem Bauchfell bis zur linken Niere verlief.

Der Processus vermiformis wird für gewöhnlich leer gefunden; auch die Kontrastfüllungen bei Röntgenaufnahmen dringen nicht in ihn ein.

In selteneren Fällen hat man indes auch in ihm eine Kontrastfüllung gefunden. Es hängt dies möglicherweise mit besonderen Formen dieses Anhanges zusammen. Beim Fötus geht das Cökum trichterförmig in die Appendix über (Fig. 314). Auch beim Erwachsenen persistiert dieser Zustand nicht selten.

Ist das Colon transversum stark nach abwärts gekrümmt, so ist auch das Lig. gastro-colicum zu einer breiten Platte ausgezogen.

Die Stellung der *Flexura coli sinistra* im Lebenden bietet oft für den, der nur das Situsbild der Leiche kennt, etwas Überraschendes (Fig. 311). Eine Gasblase in dieser Flexur ist häufig und könnte mit der Magenblase verwechselt werden, wenn nicht die Haustra coli mit ihr verbunden wären. Anatomisch handelt es sich um die Lage der Flexur zwischen Milz und Magen vorn, linker Niere hinten (s. oben), die aber meist nicht als dauernde aufgefaßt werden darf, sondern mehr als Anpassung an Füllungs- und Raumzustand. Oft indes ist in der Tat die linke Flexur mit zwei durch eine Bauchfellduplikatur verbundenen Schenkeln eine auch in der Leiche feststellbare Bildung. Beim Lebenden kann hierdurch ein Verschuß des Dickdarmes entstehen.

Zu diagnostischen Irrtümern könnte bei Unkundigen schließlich auch noch die abnorm lange Schlinge der Flexura sigmoidea Anlaß geben. Sie kann weit nach rechts, ja bis gegen die Leber hinüberreichen. Man hat sich hier der oben (211) angegebenen Unterscheidungsmerkmale zwischen Dünndarm und Dickdarm zu erinnern.

Sitzt im Wurmfortsatz ein Fremdkörper fest und bilden sich Retentions- und Entzündungsvorgänge, so kann Perforation erfolgen. Da der Fortsatz frei liegt, so fließt der Inhalt in die Bauchhöhle, während der Fortsatz nicht durch vorausgegangene entzündliche Verlötnungen an die Fossa iliaca oder an Nachbarorgane angewachsen ist. Kommt es in solchen Fällen zur Entzündung der Appendix, so kann es zu den gefährlichen retrocoecalen Eiterungen (Abszessen) in dem retroperitonealen Bindegewebe kommen, die sich auf die Fossa iliaca ausdehnen. Von hier aus kann sich die Entzündung und Eiteransammlung in zwei Richtungen ausbreiten:

1. nach oben unter die Nieren bis zum Zwerchfell;
2. nach unten und medialwärts über die Linea terminalis des Beckens in das kleine Becken;

Da aufsteigender und absteigender Teil des Dickdarms an ihrer hinteren Fläche breit durch Bindegewebe an die hintere Bauchwand befestigt sind, so ist es möglich, von der dorsalen Seite her die Darmteile ohne Eröffnung der Bauchhöhle zu eröffnen. Das kann z. B. bei der Anlage eines widerstandsfähigen Alters durch die *Colotomia lumbalis* lateral vom M. quadratus lumborum oberhalb der Crista iliaca sinistra im Bereich des Colon descendens geschehen. Es ist jedoch zu bemerken, daß auch bei diesen Kolonteilten gelegentlich ein kurzes Mesokolon vorkommt, der Bauchfellüberzug also ziemlich vollständig wird, wodurch natürlich der obige Eingriff ohne Eröffnung der Bauchhöhle sehr erschwert ist. Günstiger und im allgemeinen bevorzugt für die Ausführung dieser Operation — z. B. wenn ein Mastdarmkrebs den Darm oberhalb des Anus verschließt — ist das Colon sigmoideum (s. Fig. 257).

Die von der A. mesenterica superior und inferior stammenden Gefäße des Dickdarms zeigen einen ganz bestimmten Typus ihrer Anordnung, der auch bei den häufigen Variationen stets zutage tritt, es gibt ab

- |                                |   |                           |
|--------------------------------|---|---------------------------|
| 1. die A. mesenterica superior | { | a) die A. ileo-coecalis   |
|                                |   | b) die A. colica media    |
| 2. die A. mesenterica inferior | { | a) die A. colica sinistra |
|                                |   | b) die Aa. sigmoideae.    |

ihr Endstück = A. hämorrhoidalis superior.

1 diesen konstanten Ästen treten zwei akzessorische Äste, die als selbständige Gefäße der A. mesenterica superior nicht immer vorhanden, sondern meist Äste der A. colica media sind, nämlich die A. colica extra und A. colica media accessoria. Alle Arterien stehen durch große Arterienbögen miteinander in Zusammenhang (Fig. 317).

Chirurgisch-topographisch sind diese Arterienbögen dadurch bemerkenswert, daß sie konstante Beziehungen zu den retroperitonealen Organen besitzen. Deshalb können die *Arterienfelder* als Orientierungspunkte in den Fällen dienen, wo das Bauchfell fettreich und undurchsichtig eine unmittelbare Inspektion der dahinter liegenden Organe nicht gestattet (Waldeyer). Die wichtigsten Felder mit ihren Lagebeziehungen sind folgende (Fig. 317):

1. Zwischen A. ileocolica und der A. colica dextra (oder einem ihr entsprechenden Aste) liegt das Blinddarm, in dem der untere Nierenpol und die pars inferior des Duodenum liegt.
2. Hinter der A. ileocolica liegt der rechte Ureter.
3. Zwischen A. colica media und der A. colica sinistra liegt (bei emporgeschlagenem Colon) der Leber und das Pankreas.
4. Zwischen A. colica sinistra und ihrem abwärts zunächst folgenden Aste liegt die linke Niere.
5. Zwischen diesem Aste und den Aa. sigmoideae liegt der linke Ureter.

Da die Wirbelsäule und die vor ihr liegenden Organe (Pankreas, Duodenum, Aorta, Vasa mesenterica) in das Innere des Bauchraumes vorspringen, da ferner auf- und absteigendes Colon ähnliche Vorwölbungen links und rechts bilden, so entsteht unterhalb des Mesocolon transversum und Colon transversum rechts und links von der Wirbelsäule je eine *Nische* („Colonnische“ Waldeyer), die insofern erhebliche topographische Bedeutung besitzt, als von der rechten Nische aus die rechte Niere, Duodenum und Pankreaskopf, von der linken aus linke Niere, Nebenniere und Pankreaskörper zugänglich gemacht werden können. Die „Arterienfelder“ geben dabei noch sicherere Anhaltspunkte.

Fig. 317. Arterien des Darmes, Kolonnischen und Arterienfelder der hinteren Bauchwand, unter freier Benützung einer Figur von Waldeyer. Genauere Erklärung im Text.

## Topographische und angewandte Anatomie des Beckens.

Eine scharfe Abgrenzung der Beckengegend nach dem Bauche hin existiert nicht. Wie bei der Brust und dem Bauch unterscheiden wir auch bei dem Becken die Wandung und den von der Wandung umschlossenen Beckenraum. Die Wandung erhält ihre Stütze durch das knöcherne Becken, jedoch ergab sich schon bei der Betrachtung des Bauches, daß ein großer Teil des knöchernen Beckens — der oberhalb der Linea terminalis gelegene — also die Darmbeinschaufeln mit den innen aufgelagerten Mm. iliopsoas zur Bauchwand hinzugerechnet werden. Genauer ausgedrückt umfaßt die Beckengegend nur den unterhalb der Linea terminalis gelegenen Bereich des *kleinen* Beckens oder des Beckenkanals. In der folgenden Beschreibung wird die Beckenwand und der Inhalt des Beckens unterschieden. Beim Inhalt des Beckens ist das Verhältnis beim Manne und das beim Weibe gesondert zu behandeln. Hierzu tritt als letzter Abschnitt der Damm.

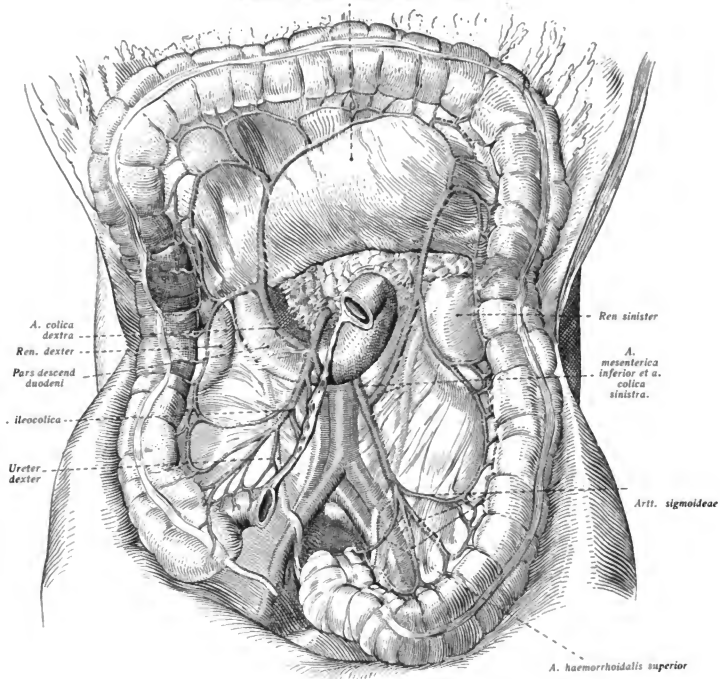
### I. Die Beckenwand.

Die Wandung des Beckens wird hinten zu beiden Seiten des Kreuz- und Steißbeins durch die Gesäßgegend gebildet. Diese Gegend wird aus praktischen Gründen nicht hier, sondern bei der unteren Extremität besprochen. Die Grundlage des Studiums der Beckenwand bildet das Hüftbein (= Beckengürtel der Osteologie) und das Kreuzbein. Die beiderseitigen Hüftbeine nebst dem Kreuzbein bilden das *Becken*.

Es müssen, abgesehen von den in Fig. 318 angegebenen Bezeichnungen folgende auch das *ganze Becken* bezüglich Bezeichnungen verständlich sein: *Großes Becken* und *kleines Becken* oder *Beckenkanal*. Beide werden voneinander abgegrenzt durch die *Linea terminalis*. Sie entspricht der Ebene des Beckeneinganges (Apertura pelvis superior). Ferner: Arcus pubis, Angulus pubis, Apertura pelvis inferior, Acetabulum mit Incisura und Fossa acetabuli, Foramen obturatum, Canalis obturatorius, Articulatio sacro-iliaca, Lig. arcuatum pubis.

Das kleine Becken beginnt mit der nach vorn geneigten, durch die Linea terminalis bestimmten Ebene, dem *Beckeneingang* oder der *oberen Beckenapertur*; es öffnet sich unten durch den *engeren herzförmigen Beckenausgang*, die *untere Beckenapertur*. Die letztere setzt sich aus zwei im Winkel zueinanderstehenden Ebenen zusammen; die eine steigt von der Symphyse zu den Tubera ischii nach abwärts, die andere von da zur Steißbeinspitze wieder aufwärts. Auf die Weichteile des Beckenausgangs bezogen, entspricht *jene* Ebene dem Trigonum urogenitale (Diaphragma urogenitale), *diese* dem Diaphragma pelvis. Die Form des von der Wandung des kleinen Beckens umschlossenen Beckenkanals ist die eines *abgestumpften* und unten verengerten *Trichters* oder Kegels. Die *vordere* Wand des Beckenkanals wird von der Symphysis ossium pubis, den beiden Schambeinästen (R. superior et inferior) und den unteren Sitzbeinästen gebildet. Die großen *Foramina* ob-

*Mesocolon transversum a parte inferiori visa*



**Fig. 319.**

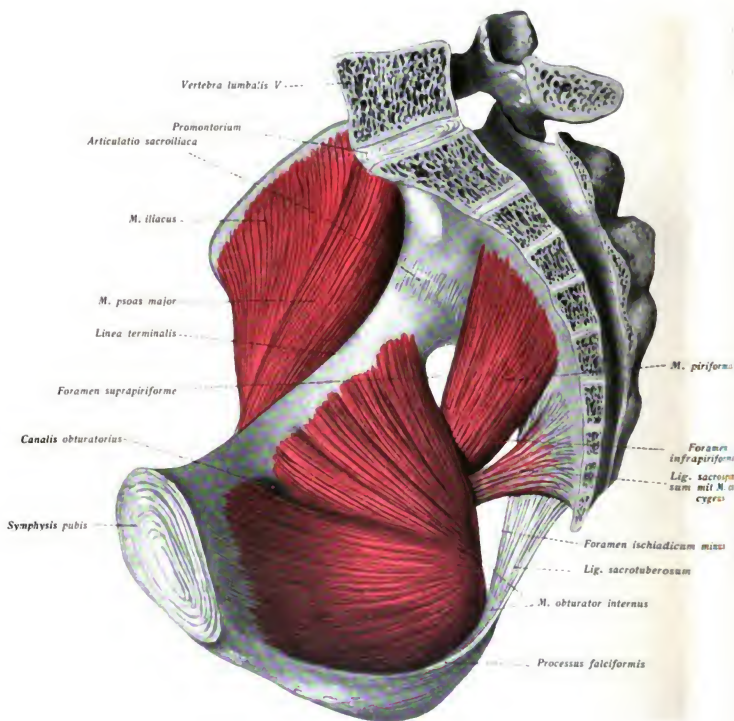


Fig. 319. Rechte Beckenhälfte mit Muskeln und Bändern.

ata sind von der Membrana obturatoria verschlossen, die nur oben medial den kleinen *malis obturatorius* freiläßt.

### 1. Die seitlichen Wände.

Die *seitlichen* Wände werden durch die Pfannenteile des Os coxae, Körper und Ast des Sitzbeins und das *Lig. sacrospinum* und das *Lig. sacrotuberosum* ge-  
det. Die *hintere* Wand entspricht dem Os sacrum und coccygeum und ist nach hinten stark  
gehöhlt. Die Steißwirbel sind unter sich (normalerweise bis zur Pubertät) durch Faser-

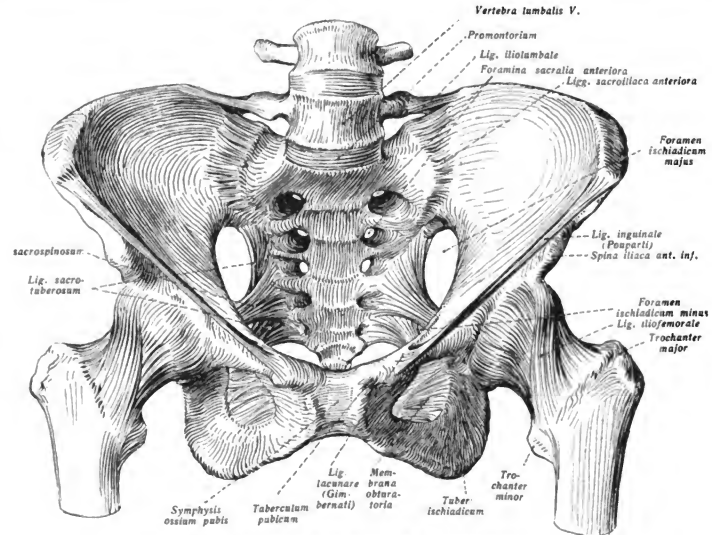


Fig. 318. Weibliches Becken von vorne in Normalstellung.

orpelscheiben verbunden, die eine Beweglichkeit besonders nach hinten ermöglichen. Im  
achsenen Zustand tritt Synostose ein, doch bleibt die Synchondrose zwischen ihnen  
d dem untersten Kreuzbeinwirbel häufig erhalten.

Bei dem Weibe ist der Beckenkanal kürzer und weiter, als bei dem Manne. Die obere  
ertur ist oval gegenüber dem durch stärkeren Vorsprung des Promontoriums mehr herz-  
mig gestalteten Beckeneingang des Mannes. Der Angulus pubis wird bei dem weib-  
hen Becken zu einem Arcus pubis. Die Darmbeinschaufeln sind flacher, der Abstand  
r Spinae anteriores superiores daher größer.

Fig. 320. Gefäße und Nerven im Bereich der Fossa iliaca.

Der knöchernen Wandung lagern sich innen Weichteile an (Bänder, Muskeln, Fa-  
zien). Durch die die Seitenwand verstärkenden Ligg. sacrotuberosum und sacrospinosa  
kommt es zur Bildung der *Foramina ischiadica majus und minus*. Das For. ischiadicum  
majus wird vom *M. piriformis* (Ursprung Vorderfläche des 2.—4. Kreuzbeinwirbels, Ansatz  
Spitze des Trochanter major) zum Austritt aus dem Becken benutzt und nahezu ganz ver-  
schlossen, so daß nur am oberen und am unteren Rand des Muskels enge Lücken übrig  
bleiben — *Foramen supra- und infrapiriforme* —, durch die wichtige Gefäße und Nerven das  
Beckenraum verlassen. Durch das Foramen suprapiriforme treten A. et N. gluteus super-  
rior, durch das F. infrapiriforme A. und N. gluteus inferior, A. und N. pudendus, N. ischi-  
adicus und N. cutaneus femoris posterior nach hinten (vgl. S. 307). Durch das For. ischi-  
adicum minus verläßt der von der Innenfläche der Membrana obturatoria und deren Um-  
gebung kommende *M. obturator internus* das Becken, um am Trochanter major zu  
inserieren.

Die bei der Bauchwand beschriebenen „Binnenschichten“ (s. oben S. 186) finden  
sich an der Beckenwand nicht durchweg in gleichen Beziehungen wieder; die Ab-  
weichungen beruhen vor allem auf dem Verlauf des Bauchfells im kleinen Becken. Die *Fa-*  
*scia transversalis* geht von der vorderen Bauchwand über das Leistenband hinweg ins kleine  
Becken; von der seitlichen und der hinteren Bauchwand tritt sie als *Fascia iliaca* auf den  
*M. iliacus* ins große Becken und von da ins kleine Becken hinein. Überall, wo sie hier  
auf Weichteile trifft, bildet sie ein stärkeres Blatt. Sie empfängt hier besondere Namen,  
z. B. *Fascia obturatoria*, *Fascia piriformis*; wo sie aber auf Periost aufliegt, wird sie  
sehr zart (z. B. im Bereich des Sitzbeins und hinter der Symphyse). An den Öffnungen  
(s. unten S. 241) bildet sie trichterförmige Scheiden, um die austretenden Gebilde (z.  
Foramen suprapiriforme, und infrapiriforme, im Canalis obturatorius und an der *Lacuna*  
*vasorum*). Von der *Fascia obturatoria* aus zweigt sich das Doppelblatt der *Fascia di-*  
*aphragmatis pelvis* an einem kräftigen *Sehnenbogen* ab, und von der oberen Lamelle dieses  
Doppelblattes tritt die Faszie als *Fascia endopelvina* auf alle Beckeneingeweide, sie ist  
einer Kapsel umgebend (Kapseln für Rektum, für Blase und für die Prostata nebst Samen-  
blase und Ampullen [Fig. 324, 325]).

Das *Bauchfell* ist vorn durch die Harnblase, hinten durch das Rektum von der Becken-  
wand abgehoben; seitlich liegt es der Beckenwand, durch die Gefäße und Nerven von  
getrennt, eng an, allerdings nur in der Nähe des Beckeneinganges, da der Bauchfellsack  
nicht tiefer hinabreicht. In der Gegend des Beckeneingangs schimmern bei nicht zu starker  
Fettentwicklung die Gefäße und andere Gebilde durch das Bauchfell hindurch (s. wei-  
ter unten und Figg. 280, 335, 341—343).

Die für die Topographie der Beckenwand besonders in Betracht kommenden Gefä-  
ße und Nerven sind (Fig. 320—322, 339, 341, 343):

1. Die A. iliaca externa nebst ihren Ästen (A. epigastrica inferior und A. circumflexa  
iliacum interna).
2. Die A. iliaca interna (hypogastrica) nebst ihren Ästen (a) *parietale*: A. umbilicalis,  
obturatoria, glutea superior, glutea inferior, pudenda, ileo-lumbalis und sacra  
lateralis — b) *viszerale*: A. vesicalis inferior, hämorrhoidalis media und uterina).
3. Die Vena iliaca externa.



Fig. 320.

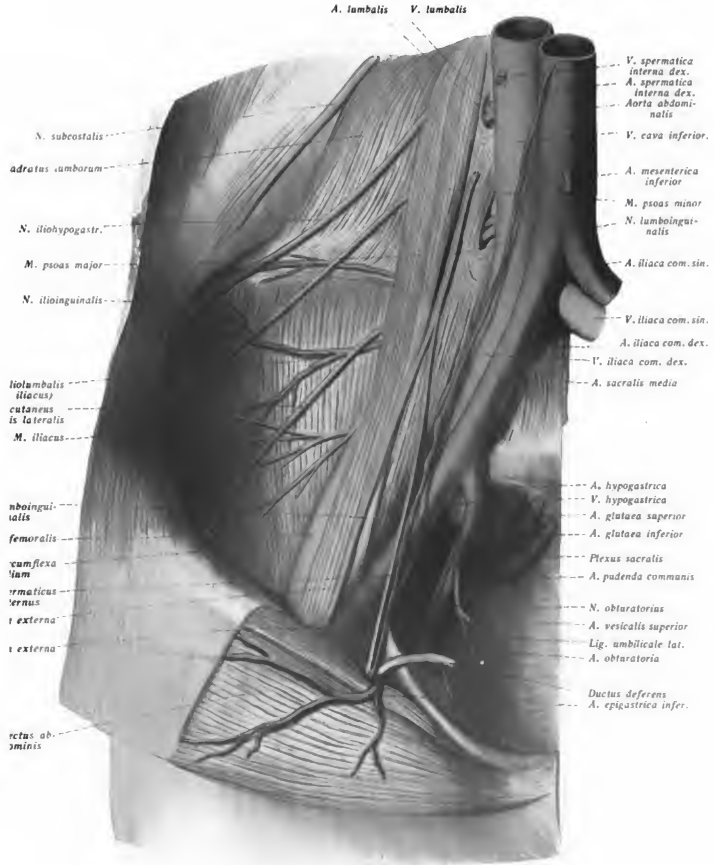


Fig. 321.

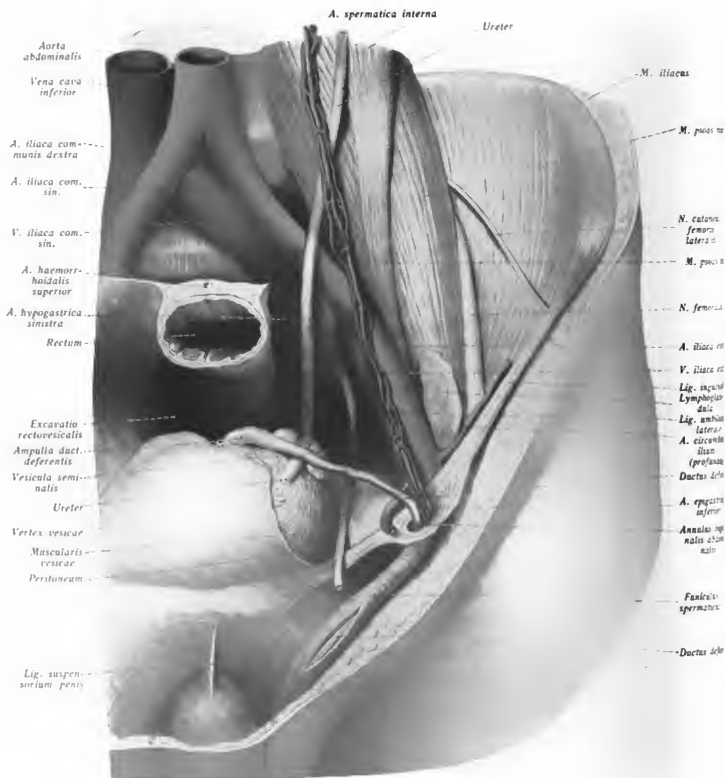


Fig. 321. Lage von Ureter, Ductus deferens und innerer Leistenöffnung mit Samenstrang.

4. Die die Art. hypogastrica und deren Äste begleitenden Venen.
5. Der N. obturatorius aus dem Plexus lumbalis.
6. Die den Plexus sacralis zusammensetzenden Rami anteriores des 5. Lumbal- und des 1. bis 3. Sakralnerven. Dazu tritt der Beckenteil des Ureters.

Die Art. iliaca externa verläuft längs der Linea terminalis des Beckeneingangs, einwärts vom M. psoas von der Teilungsstelle der A. iliaca communis (s. oben S. 200) bis zur Mitte des Lig. inguinale. Sie ist deutlich durch das Bauchfell hindurch zu erkennen. Nachwärts von ihr liegt die gleichnamige Vene. Dicht am Ursprung des Gefäßes, oft auch schon im Bereich der A. iliaca communis tritt der Ureter über das Gefäß hinweg. Zwischen den Vasa iliaca externa und der Beckenwand zieht der N. obturatorius hinweg zum Eingang des Canalis obturatorius. Er wird also unterhalb der Gefäße sichtbar. Weiter zum Lig. inguinale hin tritt beim Weibe über die Arterie hinweg die ins Lig. suspensorium ovarii eingeschlossene A. ovarica. Noch weiter nach vorn kreuzt der Ductus deferens die A. iliaca, wenn man durch das Bauchfell hindurch als einen hellen Streifen aus dem kleinen Becken heraustreten sieht. Er vereinigt sich oberhalb der Arteria iliaca externa mit den Vasa spermatica, die nach außen von der Art. iliaca externa über den M. psoas herab nach einwärts ziehen. Diese Gefäße fehlen beim Weibe an dieser Stelle, während an Stelle des Ductus deferens das breite Lig. uteri teres die Vasa iliaca kreuzt. (Vergleiche für dieses Fig. 335, 342.)

Der kurze dicke Stamm der A. iliaca interna hat auf der linken Körperseite die begleitende Vene medial neben sich, während auf der rechten Körperseite die Vene unter der Arterie liegt. Topographisch wichtig sind von den Ästen der Arterie die Aa. umbilicalis, obturatoria und uterina. Die A. umbilicalis des Fötus verwandelt sich nach der Geburt in den dicken Strang des Lig. umbilicale laterale. Durch kräftigen Zug an der Harnblase macht sich dieser derbe Strang leicht durch das Bauchfell hindurch sichtbar. Der Strang entspringt nahe dem Winkel, den die A. iliaca interna mit der externa bildet, läuft annähernd parallel den Vasa iliaca externa nach vorn zur Blase. Auf diesem Verlauf kreuzt er spitzwinklig den N. obturatorius, während die Vasa obturatoria parallel mit ihm und dicht unter ihm verlaufen. In geringer Entfernung vom seitlichen Rande der Harnblase zieht der Strang als Grundlage der Plica umbilicalis lateralis zur vorderen Bauchwand empor (Fig. 259).

Die A. obturatoria entspringt dicht unterhalb der Abgangsstelle des Lig. umbilicale und zieht parallel mit ihm zum Eingang des Canalis obturatorius. Die Vene liegt innen neben der Arterie, oft verdoppelt, so daß eine Vene oberhalb der Arterie liegt.

Die A. uterina entspringt zwischen den Ursprüngen des Lig. umbilicale und der obturatoria und schließt sich bald eng an den Ureter an. Dabei liegt sie an dem Ureter zwar näher zur Beckenwand, während der Ureter mehr peritonealwärts gelegen ist. Die Arterie tritt dann, etwa 5 cm unterhalb ihres Ursprungs in die Basis des Ligamentum uterinum und zieht dabei quer und oberhalb über den Ureter hinweg, der seine Richtung nach unten und abwärts beibehält.

Bei Betrachtung dieser Teile zeigt sich ein topographisch sehr wichtiges Feld: die Vasa obturatoria (Waldeyer). Diese wird begrenzt nach oben von den Vasa iliaca, nach unten vom Ligam. uteri teres (Ductus deferens), nach hinten vom Ureter (und der A. uterina).

Fig. 322. Sagittal halbiertes weibliches Becken mit Arterien und Nerven. (Linke Hälfte). Rektum, Vagina, Uterus, Ovarium und Blase sind nach unten herausgedrängt.

Der hintere Teil dieser Grube ist beim weiblichen Becken die Stelle, an der bei typischer Situs das Ovarium liegt (*Fossa ovarica*) (Fig. 342, 343).

Unterhalb der geschilderten Teile, erst nach Ablösung des Bauchfells sichtbar, werden die übrigen, oben genannten Gefäße und Nerven sichtbar. Die sicherste Orientierung gewährt der Plexus sacralis, dessen Stränge sich oberhalb des *M. piriformis* nach auswärts begeben. Die große Arterie, die fast stets zwischen *N. lumbalis V* und *N. sacralis I* (d. h. durch die erste Ansa sacralis) hindurchzieht, ist die *A. glutea superior*. Die *A. glutea inferior* und *A. pudenda* ziehen über den Plexus sacralis zum unteren Rande des *M. piriformis*.

## 2. Die Weichteile des Beckenausganges.

(Fig. 319, 322, 325—327, 335, 342.)

Seine Grundlage bildet eine fleischige und sehnige Platte von Trichterform, das *Diaphragma pelvis*. Sein Hauptteil ist der *M. levator ani*. Daran schließt sich hinten der *M. coccygeus*. Der Levator ani entspringt von einem Sehnenstreifen innerhalb der den *M. obturator internus* bedeckenden Faszie (*F. obturatoria*), dem *Arcus tendineus m. levatoris ani*, der sich von der Rückseite des oberen Schambeinastes nach der *Spina ischiadica* erstreckt. Der Muskel setzt sich hinten an das Steißbein an, ferner läuft er an der Harnröhre und der Scheide vorbei zum Mastdarm. Hinter dem Rektum, zwischen ihm und dem Steißbein verflechten sich die Fasern beider Seiten miteinander. Die obere Fläche des *M. levator ani* wird von der *Fascia diaphragmatis pelvis superior*, die untere von der *Fascia diaphragmatis pelvis inferior* bedeckt. Die erstere schlägt sich an Blase, Vagina und Mastdarm als *Fascia endopelvina* um (s. Fig. 324). Diese Figur zeigt die Verhältnisse im schematisierten Längsschnitt. Die in diesem Schema gelb und blau umrandete Platte ist in Fig. 325 durchschnitten, so daß man in das *Spatium ischio-rectale* sehen kann. Figur 325 zeigt den Beckenboden von oben mit erhaltener *Fascia diaphragmatis pelvis superior*. Figur 326 zeigt die Anordnung des *M. levator ani*. Die *Fascia diaphragmatis pelvis superior* ist zum Teil weggenommen. Man sieht den vorderen Teil des Muskels (*pubo-coccygeus*), der seitlich am Rektum vorbeizieht und den hinteren Teil (*ischio-coccygeus*), der unterhalb des ersteren (vom stehenden Menschen aus gedacht) hinweg zum Anus zieht. Der vordere Teil des Muskels entspringt von dem erwähnten Sehnenstreifen, der letztere von der Seitenwand des Os ischii bis zur *Spina ischiadica* hinab. An ihn schließt sich, den Beckenboden vervollständigend, nach hinten der *M. coccygeus* an. Zwischen den vorderen Rändern des *M. lev. ani* (Fig. 326) bleibt ein Spalt, auf dem die *Prostata* liegt (Fig. 325). Dieser Spalt wird nach unten durch eine zweite Scheidewand verschlossen, die als *Diaphragma urogenitale* bezeichnet wird. Auch dies ist eine muskulös-sehnige Platte, deren Hauptbestandteil der *M. transversus perinei profundus* ist. Auch er wird von zwei Faszieblättern umgriffen, die als oberes und unteres Blatt der *Fascia perinei profunda* bezeichnet werden. Das *Diaphragma urogenitale* ist in dem *Arcus pubis* ausgespannt. Durch das *Trigonum urogenitale* tritt beim Mann die *Pars membranacea urethrae* (Fig. 335); durch diese umgebende Muskelteil heißt *M. compressor urethrae*. Außerdem sehen wir hindurchgehen die in die *Corpus cavernosum penis* eintretenden *Venae profundae penis* (Fig. 335). Beim Weib tritt außer der Harnröhre auch die Scheide hindurch (Fig. 342).

Fig. 322.

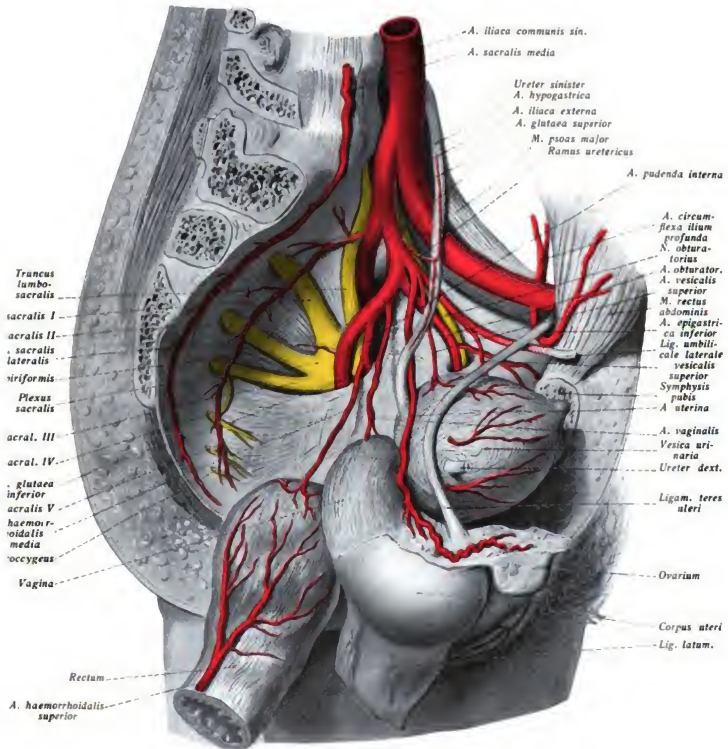


Fig. 324/325.

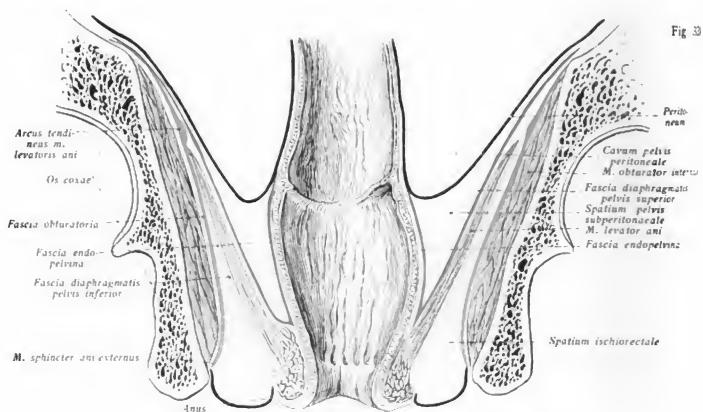


Fig. 33

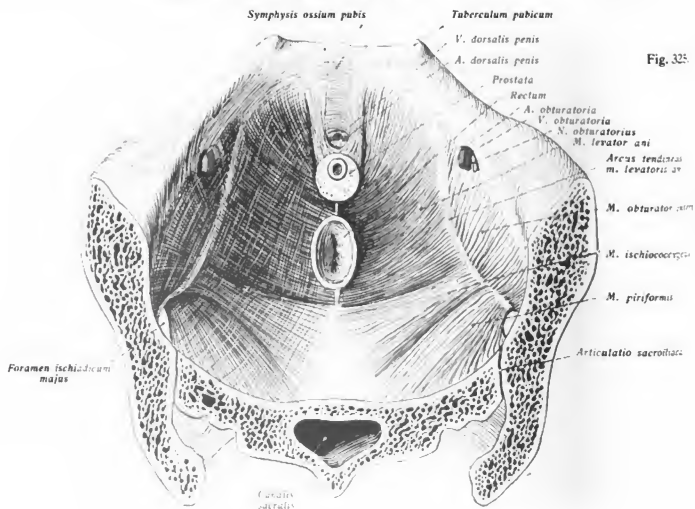


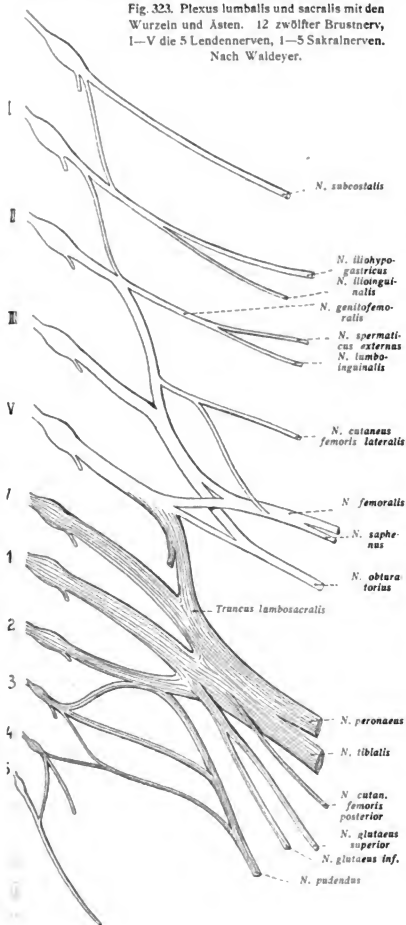
Fig. 325

Fig. 324. Schematisierter Frontalschnitt durch den Beckeninhalt.

Fig. 325. Beckenboden (Diaphragma pelvis) in der Ansicht von oben. (Nach Testut).

Fig. 323. Plexus lumbalis und sacralis mit den Wurzeln und Ästen. 12. zwölfter Brustnerv, 1—V die 5 Lendennerven, 1—5 Sakralnerven.

Nach Waldeyer.



Das Diaphragma pelvis trennt den größeren oberen Teil des Beckenraumes von einem kleineren unteren. Der erstere enthält vor allem die Beckeneingeweide und kann deshalb der *viszerale* Teil des Beckenraumes genannt werden. Auch die Baueingeweide (Dünndarm, Coecum, Colon sigmoides) dringen zum Teil und mehr gelegentlich bis in diesen tiefsten Teil des Cavum peritonei vor, werden aber je nach dem Raum, den die Beckeneingeweide beanspruchen, nach oben aus dem Becken mehr oder weniger hinausgedrängt. Der unterhalb des Diaphragma zwischen ihm und dem unteren Teil der seitlichen Beckenwand (Sitzbein und M. obturator internus) gelegene, *extra-viszerale* Teil des Beckenraumes ist hauptsächlich durch Fett ausgefüllt; er bildet das *Spatium ischio-rectale* (Spatium pelvis subcutaneum (Fig. 324).

Der viszerale Teil des Beckenraumes wird fast ganz von dem tiefsten Teil des Cavum peritonei, das sich über die Linea terminalis nach abwärts ausdehnt, ausgefüllt. Dieser Teil des Beckenraumes wird als *Cavum pelvis peritoneale* bezeichnet. Zwischen diesem, d. h. dem Peritonäum, und dem Diaphragma pelvis bleibt jedoch ein von Bindegewebe, Gefäßen und Eingeweide teilen ausgefüllter Raum übrig, das *Spatium pelvis subperitoneale*. Als dritter Teil des gesamten Beckenraumes folgt dann (unterhalb des Diaphragma pelvis) das *Spatium ischio-rectale* (s. Fig. 324, 325, 342).

## Anwendung.

Das kleine Becken ist bei der Frau von der Vagina aus dem untersuchenden Finger oder der ganz Hand für die Diagnose und operative Behandlung zugänglich (Fig. 342/343). Gestalt und Dimensionen sind für die Beurteilung des Geburtsvorganges von Wichtigkeit.

Die *Palpation* des Beckens von außen erstreckt sich auf die hintere Fläche des Kreuz- und Steißbeins, die Tubera ischiadica, Cristae iliacae, Spinae ill. ant. superiores, Tuberculum pubicum, Symphyon ossium pubis. Von innen palpiert man von der Vagina und dem Rectum aus die konkave Innenfläche des Kreuz- und Steißbeins, das Promontorium, das Sitzbein und Schambein und die Innenfläche der Pfanne.

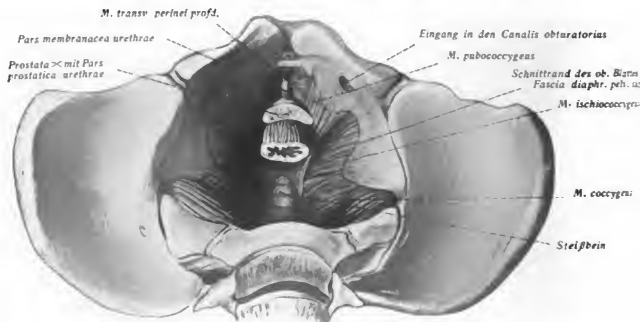


Fig. 326. Beckenboden eines neugeborenen Knaben nach Wegnahme des oberen Blattes der Fascia Diaphragmatis pelvis.

des Hüftgelenks. Bei einem normalen weiblichen Becken haben die einzelnen Durchmesser bestimmte Maße. Die Linien, die in verschiedenen Ebenen die Symphyse mit dem Kreuzbein verbinden, heißen *Conjugatae* (grade Durchmesser). Senkrecht zu ihnen stehen die *queren* Durchmesser. Daneben sind die *schrägen* Durchmesser beachtenswert. Bei weitem das wichtigste Beckenmaß ist der grade Durchmesser des Beckeneinganges (*Conjugata vera*), das im allgemeinen darüber entscheidet, ob der Kopf des Kindes in das mütterliche Becken eintreten kann. Die einzelnen *Conjugatae* nach Lage und Maß sind folgende (Fig. 329):

1. Der *gerade Durchmesser des Beckeneinganges* ist die kürzeste Entfernung zwischen Promontorium (*Synchondrosis lombo-sacralis*) und Symphyse. *Conjugata vera* (geburtshilfliche *Conjugata*), Mittel 11,0 cm; diese Linie trifft die Symphyse ein wenig unterhalb des oberen Randes.
2. *Conjugata diagonalis*, vom Promontorium bis zum unteren Symphysenrand (Ligam. arcuatum pubis), an der lebenden Frau meßbar, 12,5 cm;
3. Der *gerade Durchmesser des Beckenraumes* oder der Beckenweite, von der Mitte der Symphyse bis zur Mitte des dritten Kreuzwirbels oder auch der Synostose zwischen zweitem und drittem Kreuzwirbel 12,5 cm; die Beckenweitenebene geht durch diese Linie und die Mitte des Acetabulums.
4. Der *gerade Durchmesser der Beckenhöhle*, vom unteren Symphysenrand zur Bandscheibe zwischen dem letzten Kreuz- und erstem Steißwirbel, 11,5 cm; die dazugehörige Ebene geht durch diese Linie und die Spitzen der Spinae ischiadicæ.
5. Der *gerade Durchmesser des Beckenausganges* (*Apertura pelvis inferior*), von dem unteren Symphysenrand zum Ende des Steißbeins, 10–12 cm. Er ist durch die Fähigkeit des normalen Steißbeins nach hinten auszuweichen, um 2 cm variabel. Der Beckenausgang ist keine einzelne Ebene sondern setzt sich aus zwei Dreiecken zusammen, die in der Linea interischiiadica (Verbindung der Mitte der hinteren



nder der Tubera ischii) zusammenstoßen. Die Spitze des vorderen Dreiecks liegt im Schambogen, die s hinteren am Steißbein.

*Beckenachse* (A in Fig. 329) oder *Führungslinie* des Beckens ist die bogenförmige Linie, die die Mittelpunkt der sagittalen Durchmesser verbindet. Sie bezeichnet die Richtung, in welcher der Kopf des Kindes bei der Geburt nach außen tritt. Von anderen Linien sind zu nennen: der *quere* Durchmesser des Beckeneingangs, d. i. die längste Linie, die zwei symmetrische Punkte der Linea terminalis verbindet und der *schrägen* Durchmesser des Beckeneingangs, von der Artic. sacro-iliaca bis zur Eminencia ileopectinea auf der anderen Seite. Der *rechte* (von der rechten Artic. sacro-iliaca ausgehend) wird *erster*, der *linke* *zweiter* träger Durchmesser genannt.

Von den Ebenen des Beckenkanals ist die des Beckeneingangs (Beweglichkeit in den Ileosakralgelenken, Dehnbarkeit der Synchondrosis pubica) und die des Beckenausgangs (Beweglichkeit des Steißbeins) der Erweiterung fähig; die anderen sind starr.

Die meisten dieser und viele andere angegebenen Maße sind nur am skelettierten Bänderbecken zu stimmen. Von Wichtigkeit sind daher Maße, die auch an der *Lebenden* genommen werden können und einen Schluß auf die nicht unmittelbar meßbaren, entscheidenden Maße gestatten. Außer der oben genannten *Conjugata diagonalis* kommt hier in Betracht die *Conjugata externa* (Baudelocque). Sie verbindet die obere Kante der Symphyse mit der meist sichtbaren Grube am Proc. spinosus des letzten Lendenwirbels. Sinkt die Größe dieser *Conjugata* unter 19 cm, so entsteht der Verdacht von Beckengehenge.

Die größte Entfernung der Spinae iliacae ant. sup. beträgt bei der Lebenden durchschnittlich 26 cm (am Skelett 23—25 cm).

Die größte Entfernung der Cristae iliacae beträgt bei der Lebenden durchschnittlich 29 cm (am Skelett 25—27 cm).

Bei normalem Becken besteht also zwischen beiden Maßen eine Relation von etwa 26:29. Ändert sich diese Relation erheblich, so entsteht der Verdacht einer abnormen Beckengestalt.

*Knochenerweiternde Operationen* können bei engen Becken vorgenommen werden, indem man den Beckenring an der Symphyse oder seitlich an der Articulatio sacro-iliaca durchtrennt.

### 3. Durchlässe der Beckenwand (Fig. 322, 331, 391).

#### *Aus dem Becken austretende Hernien.*

An mehreren Stellen besitzt die Beckenwand Durchlässe, durch die Gefäße und Nerven nach außen treten. Nach dem oben (Seite 236) über die Schichtung der Beckenwand Gesagten ist es klar, daß das Bauchfell stets einwärts von den austretenden Gefäßen und Nerven liegt und im normalen Zustande glatt über die Durchlässe hinweg zieht. — sind zu unterscheiden:

1. Das *Foramen suprapiriforme* (durchtretende Teile: die A. glutea superior und der gleichnamige Nerv) führt oberhalb des M. piriformis in die Glutaealregion.
2. Das *Foramen infrapiriforme* (durchtretende Teile sind vier Nerven: N. ischiadicus, N. cutaneus femoris posterior, N. gluteus inferior und N. pudendus und zwei Arterien: A. glutea inferior, A. pudenda) führt unterhalb des M. piriformis in die Glutaealregion.
3. Der *Canalis obturatorius* (durchtretende Teile: Vena und Art. obturatoria, N. obturatorius) führt in die Adduktoren-muskelgruppe des Oberschenkels.
4. Die *Lacuna musculorum* (durchtretende Teile: M. iliopsoas und N. femoralis) führt unterhalb der Fascia iliaca zum Oberschenkel. Der Durchlaß endet *subfaszial* blind am Trochanter minor.
5. Die *Lacuna vasorum* (durchtretende Teile: Art. und Vena iliaca externa) führt oberhalb der Fascia iliaca zum Oberschenkel und weiterhin *interfaszial* in die Fossa ileopectinea.

Der *Canalis obturatorius* ist ein etwa 2 bis 3 cm langer Kanal, der schräg von lateral oben nach medial und vorn unter dem oberen Schambeinast hinwegzieht. Am skelettier-

Fig. 327. Plexus sacralis, Artt. glutea sup. inf. und pudenda. Spatium ischiorectale dadurch sichtbar gemacht, in der Fascia obturatoria und dem M. levator ani je ein Fenster angelegt worden ist.

Fig. 328. Canalis obturatorius von oben eröffnet.

ten Hüftbein entspricht der Sulcus obturatorius des Schambeins der oberen Wand diese Kanäle. Die untere Wand wird von der Membrana obturatoria und den beiden Mm. obturatores gebildet. Der am skelettierten Präparat vorhandene, freie Knochenrand des Foramen obturatum bildet den Rahmen für die Membrana obturatoria. Da der Knochenrand gestaltet ist wie ein *Schlüsselring*, dessen Enden auseinandergebogen sind, so wird

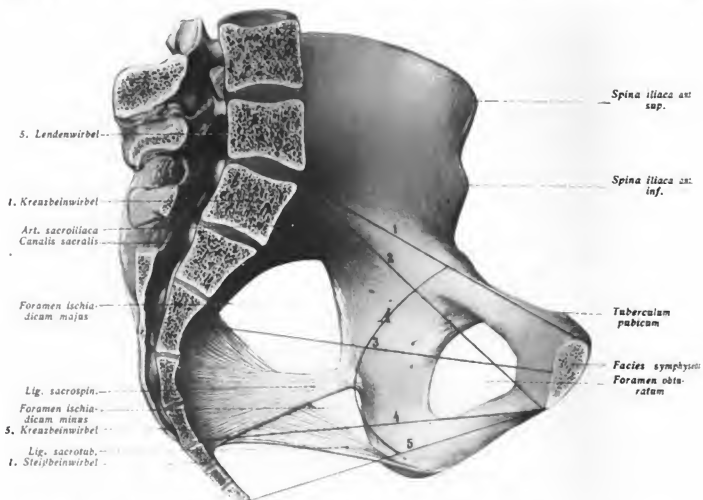


Fig. 329. Sagittalschnitt des weiblichen Beckens mit den geraden Beckendurchmessern. 1. Gerader Durchmesser des Beckeneinganges (Conjugata vera). 2. Conjugata diagonalis. 3. Gerader Durchmesser der Beckenweite. 4. Gerader Durchmesser der Beckenenge. 5. Gerader Durchmesser des Beckenausganges. A Beckenachse oder Führungslinie des Beckens.

sich auch die Membrana obturatoria nach oben in eine (im Querschnitt Y-förmige) breite Rinne auseinanderlegen müssen. Diese Rinne (in der Gabel des Y) ist der Boden des Kanals. Da ferner der M. obturator externus und internus eine erhebliche Dicke haben, so tragen auch die oberen, von sehnigen Fortsätzen der Membrana obturatoria überdeckten Flächen beider Muskeln zur unteren Begrenzung des Kanals bei. Eingang und Ausgang des Kanals werden von Sehnenringen scharf umgrenzt. An der Bildung des Ringes am Eingang ist die Fascia obturatoria beteiligt. Im Kanal liegt zu oberst der N. obturatorius, darunter die Arterie; dann folgt die Vene. Diese Gebilde werden von einem Fettkörper umhüllt und gestützt. Fig. 325, 326 zeigt den Eingang in den Kanal, Fig. 328 zeigt ihn von

Fig. 327.

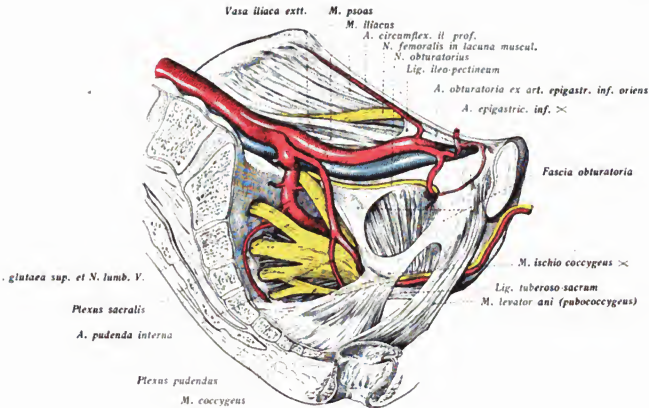


Fig. 328.

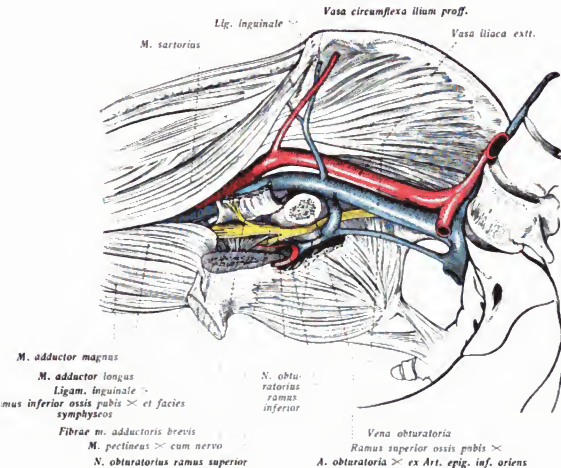


Fig. 330—332.

Fig. 330.

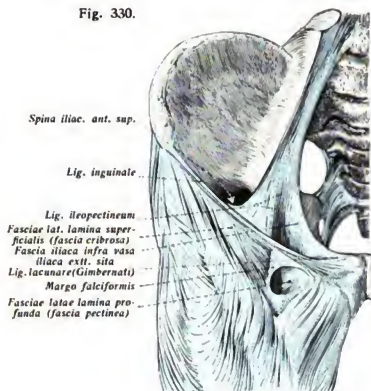


Fig. 332.

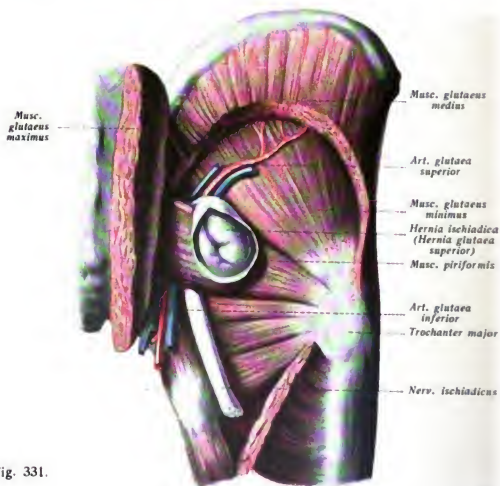
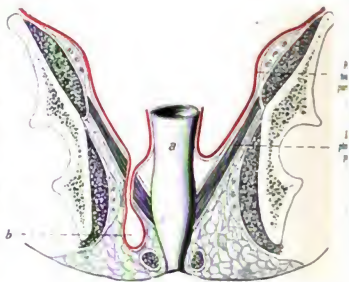


Fig. 331.

Fig. 330. *Lacuna vasorum* und *musculorum* nach Entfernung der Muskeln, Gefäße und Nerven.

Fig. 331. *Hernia ischiadica* (*Hernia glutaea superior*) von der Seite gesehen. Der *Musc. glutaeus* ist durchschnitten bei Seite geklappt, der *Musc. glutaeus medius* z. T. weggeschnitten, der eine Darmschlinge enthaltende Bruchsack net. Das mittlere von den 3 unterhalb des *Musc. piriformis* gelegenen Muskelbündeln, stellt den *Musc. obturator* in- is dar, welcher ober- und unterhalb von den *Musculi gemelli* begrenzt wird. (Aus Sultan.)

Fig. 332. Schematischer Frontalschnitt durch das Becken, durch den der Mastdarm (a) der Länge nach sichtbar. Von der Innenfläche des kleinen Beckens zieht der vom *Diaphragma pelvis* gebildete Muskeltrichter nach dem re- Mastdarmde hin, an einer Stelle durchbrochen von einer Bruchsackausstülpung (b), welche noch innerhalb der a ischiorectalis gelegen ist. (Aus Sultan.)

n durch Wegnahme des Schambeins eröffnet. In beiden Fällen ist die *A. obturatoria* abnormem Ursprung abgebildet. Auch in Fig. 327 ist dieser sehr häufige, in einem ttel der Fälle vorkommende abnorme Ursprung der *A. obturatoria* wiedergegeben. Sie springt hier nicht, wie es die Regel ist, aus der *A. hypogastrica*, sondern aus der *A. gastrica inferior*. Diese Varietät entsteht durch abnorme Ausbildung einer hinter dem pubis gelegenen Anastomose zwischen dem *R. obturatorius* der *A. epigastrica inferior* l dem *R. pubicus* der *A. obturatoria* unter gleichzeitiger Rückbildung der normalen Urungsstrecke der *A. obturatoria*. Diese abnorme Arterie wird in den meisten Fällen medial dem *Annulus femoralis* gefunden.

Die *Lacunae vasorum* und *musculorum* sind die Durchlässe, die unter dem Leisten- d vom Becken zum Oberschenkel führen. Sie sind in Fig. 330 so dargestellt, wie sie 1 ergeben, wenn alle Weichteile bis auf die Faszien entfernt werden. Das Leistenband nnt sich von der *Spina anterior superior* zum *Tuberculum pubicum* aus. Die den *M. ilio-* as überkleidende *Fascia iliaca* verwächst mit dem Leistenband und befestigt sich medial 1 Muskel am Scham-Darmbein; besonders kräftig ist der zur *Eminentia ileo-pectinea* ende Zug (*Lig. ileo-pectineum*). Oberschenkelwärts folgt die *Fascia lata* der Richtung M. *psaos* und umhüllt ihn bis zu seiner Insertion. So entsteht ein trichterförmiger, id endigender Spalt, *Lacuna musculorum*, der ganz vom *M. iliopsoas* und dem *N. femo-* s ausgefüllt wird. Er bietet, abgesehen von der derben Faszienumhüllung, nichts, was von anderen, die Muskeln umgebenden Spalträumen unterschiede.

Anders ist der mediale Durchlaß zu beurteilen. Dieser ist ein zwischen Faszienblät- 1 liegender, mächtiger Gewebsspalt, der die Schenkelgefäße zum Oberschenkel leitet, gleichbar etwa dem interfaszialen Gefäßspalt am Halse. Wie dieser sich nach abwärts Mediastinum fortsetzt, so dieser weithinab zum Oberschenkel. Der Eingang in diesen lt ist die *Lacuna vasorum*. Sie wird oben vom Leistenbande begrenzt, das von der Ver- sungsstelle mit der *Fascia iliaca* ab bis zum *Tuberculum pubicum* frei über die Schen- gefäße hinwegzieht („*Arcus cruralis*“). Lateral bildet das *Lig. ileopectineum* die Grenze, lial eine dreieckige Verbreiterung des Leistenbandes, das beim stehenden Menschen hori- tal gelagerte *Lig. lacunare* (*Gimbernati*). Unten bildet die Fortsetzung der *Fascia iliaca*

Abschluß, die hier, weil sie bereits auf dem *M. pectineus* liegt, als *Fascia pectinea* be- hnet wird. In der Verlängerung dieser Lücke kommt man am Oberschenkel in einen rförmig gestalteten Raum, der, weit zwischen *M. iliopsoas* und *M. pectineus* gelegen, *Fossa ileo-pectinea* bezeichnet wird. Begrenzt wird dieser Raum innen von der *Fascia* tinea, außen von der Fortsetzung der *Fascia illaca*. Beide Faszien vereinigen sich im l des kahnförmigen Spaltes und bilden zusammen ein tiefes Blatt der *Fascia lata*. Zu- eckt wird der Raum von einem oberflächlichen Blatt der *Fascia lata*, das vom Rande M. *psaos* zum Leistenbande geht. Das oberflächliche Blatt wird durch zahlreiche klei-

nere Gefäße und Nerven siebartig durchlöchert (in Fig. 333 nicht gezeichnet), so daß sie mit Recht *Fascia cribrosa* heißt (Fig. 390). Das größte dieser Löcher, entsprechend dem größten hier in die Tiefe tretenden Gefäße, der *Vena saphena magna*, wird durch den *Margo falciformis* umgrenzt. Der unmittelbar darunter gelegene Teil der Fossa ileo-pectinea ist die *Fossa ovalis*.

In der Lac. vasorum (Fig. 259, 392) liegen die Schenkelgefäße so, daß die *A. femoralis* das laterale Drittel einnimmt. Sie liegt dabei *genau unter der Mitte des Leistenbandes*. Das mittlere Drittel der Lacuna nimmt die *Vena femoralis* ein, während das innere Drittel nur durch Bindegewebe der Fascia transversalis (s. unten) und einen konstanten größeren Lymphknoten (*Lymphoglandula Rosenmülleri*) verschlossen wird. Wahrscheinlich ist während des Lebens, wo die Vene stark gefüllt ist, diese schwache Stelle sehr schmal, zumal wenn das Lig. lacunare kräftig ausgebildet ist. Dieser das mediale Drittel der Lacuna einnehmende Bezirk wird als *Annulus femoralis* bezeichnet.

Die Gefäße liegen unter dem Leistenband nicht frei, sondern sind durch ihre Gefäßscheide fest mit den umgebenden Faszien verwachsen. Die Fascia transversalis zieht über das mediale Drittel der Lacuna vasorum ununterbrochen weiter, verschließt also den Annulus femoralis. Im Bereich der Vasa iliaca verwächst sie mit deren Gefäßscheide und begleitet sie (wie schon oben S. 236 für die Beckenfaszie ganz allgemein festgestellt) nach außen. Der gesamte, aus der Gefäßscheide und der Fascia transversalis bestehende Bindegewebsverschluß der Lacuna vasorum heißt *Septum femorale*.

Bei intaktem Bauchfell wölben sich die Gefäße, ehe sie unter das Leistenband treten, stark vor, während die Stelle des Annulus femoralis eine mehr oder weniger tiefe Grube bildet, die *Fovea femoralis*. Sie liegt genau senkrecht unter der Fovea inguinalis medialis, zwischen der Plica umbilicalis lateralis und dem Ductus deferens (Fig. 258, 260). Eine *abnorme A. obturatoria* (s. oben) umkreist von medial her Fovea und Annulus femoralis.

Bei der großen praktischen Bedeutung dieser Stelle ist es wichtig, alle einzelnen Teile, die in ihre Bildung eingehen, begrifflich klar zu bezeichnen.

Man hat demnach zu unterscheiden:

1. die Fovea femoralis = der grubchenartigen Einsenkung des Bauchfells;
2. den Annulus femoralis = dem medialen Drittel der Lacuna vasorum (wird sichtbar nach Ablösung des Bauchfells, Fig. 259);
3. das Septum femorale = dem von der Fascia transversalis und der Gefäßscheide gebildeten Verschluß der gesamten Lacuna vasorum;
4. die Lacuna vasorum = dem nach Durchtrennung des Septum femorale und Herausnahme der Gefäße darstellbaren Spalte zwischen den Faszienblättern;
5. die Fossa ileo-pectinea = der langgestreckten Grube am Oberschenkel zwischen oberflächlichem und tiefem Blatt der Fascia lata;
6. die Fossa ovalis = dem unmittelbar durch das oberflächliche Blatt zugänglichen Teil der Fossa ileo-pectinea;
7. den Margo falciformis = dem diesen Zugang umrahmenden, sichelförmigen Ausschnitt im oberflächlichen Blatt der Fascia lata.

Bei intaktem Situs besteht also *nirgends eine unmittelbare Verbindung* zwischen dem Bek-

kenraum und dem Oberschenkel mit Ausnahme des völlig durch die Schenkelgefäße ausgefüllten Spaltes.

### Anwendungen.

Alle oben (S. 289) aufgezählten Durchlässe können Sitz von Hernien werden. Durch das Foramen supra- und infrapiriforme wie auch durch das For. ischiadicum minus kann eine Hernia ischiadica ausreten (Fig. 331). Die seltenen Herniae perineales (Fig. 332) können den Beckenboden durchsetzen und

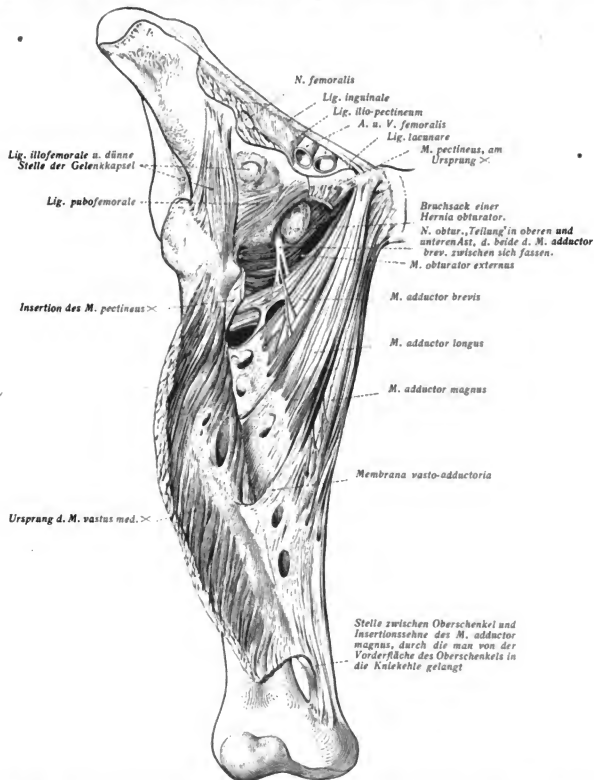


Fig. 333. Lacuna vasorum und mu colorum von vorn, Hüftgelenk, Insertionen der Adduktoren, Adduktorenkanal. Am Präparat eine Hernia obturatoria. Eigene Beobachtung.

dabei zwischen den beiden Portionen des *M. levator ani* (Fig. 326) oder zwischen diesem und dem *M. coxae* hinabtreten. *Herniae ischiadicae* und *perineales* treten zwar beide am unteren Rande des *M. glutaei maximus* zutage, aber diese liegen unterhalb, jene oberhalb des *Lig. sacro-tuberosum* (Fig. 330).

Von großer Bedeutung sind die *Herniae obturatoriae* und *Herniae femorales*. Beide sind häufig bei Frauen als bei Männern, wozu die größere Breite des *Canalis obturatorius* bei der Frau und die durch Graviditäten und Entbindungen stärker gedehnten Weichteile disponieren.

Die *Hernia obturatoria* setzt als disponierendes Moment den Schwund des in dem Kanal liegenden Fettpfropfs voraus. Sie folgt dem *Canalis obturatorius* und kann oberhalb des *M. obturator externus* treten (vgl. Fig. 333) oder zwischen die Fasern dieses Muskels oder in die Substanz der *Membrana obturatoria*.



Fig. 334. Untere rechte Hälfte der vorderen Bauchwand mit der Bruchgegend von innen und oben gesehen. An der Fovea femoralis findet sich ein Bruchsack einer *Hernia femoralis*. Die mediale Leistengrube ist medialwärts von einer scharfzrandigen Strang, der dem *M. transversus abd.* angehört (*Falsa inguinalis*), begrenzt. Gefrier-Formalinpräparat.

toria hinein, dann nämlich, wenn sie zwischen den beiden Schenkeln der Y-förmig auseinanderweichende Platte ihren Weg nimmt. Der Bruchsack (*Peritoneum parietale*) kann hier keine *Membrana propria* tragen, da ja die *Fascia obturatoria* ringförmig den Eingang in den Kanal umsäumt und sich von da aus in die Scheide der Gefäße verliert. Die Nachbarschaft des *N. obturatorius* erklärt ein charakteristisches Symptom dieser Hernien, Parästhesien im Bereich des Hautastes dieses Nerven, d. h. an der inneren Fläche des Oberschenkels bis zum Knie hinab. Dieses Symptom, mit allgemeinen Herniensymptomen zusammen tretend, sichert die Diagnose einer *H. obturatoria* (*Romberg'sches Symptom*).

Die *Herniae femorales* können an allen Stellen der *Lacuna musculorum* und *vasorum* hindurchtreten. Ein gemeinsames anatomisches Merkmal aller Femoralhernien aber ist ihre Lage unterhalb des Leistenbänders. Dies Merkmal unterscheidet sie grundsätzlich von den Leistenhernien. Von allen möglichen Femoralhernien ist die häufigste die in die Fovea femoralis ein- und durch den *Annulus femoralis* hindurchtretende. Das gegen die Bauchwand andrängende Eingeweide treibt das Bauchfell in der Fovea femoralis vor sich her; desgleichen das der *Fascia transversalis* angehörige Bindegewebe des im *Annulus femoralis* liegenden Teiles des *Septum femorale*. Die Hernie liegt folglich medial von der Vena femoralis und lateral von der Arterie. Gimbernat, tritt in die Fossa ileopectinea und im Bereich des *Margo falciformis* unter die Haut (Figg. 260, 334, 338).



Ist eine abnorm entspringende A. obturatoria vorhanden, so ist die Durchtrittsstelle der Hernie lateral, oben und medial durch große Arterien umgeben (*Corona mortis*), während unten das Schambein den Kranz schließt.

Die *Lacuna musculorum* ist wichtig als Durchtritt der Senkungsabszesse (Psoasabszesse), die von der Wirbelsäule kommend, unterhalb des Leistenbandes zum Oberschenkel treten und hier erst am Trochanter minor eine Grenze finden. Auch Abszesse des Hüftgelenks können diesen Weg nehmen (vgl. unten S. 308).

## II. Der Beckenraum.

Er umfaßt die beiden Etagen, die oben als Cavum peritoneale und Spatium subperitoneale unterschieden wurden. Die in ihm liegenden Teile sind das Rektum und Organe des Urogenitalsystems. Bei beiden Geschlechtern liegen diese Gebilde also zum Teil innerhalb, zum Teil außerhalb des Bauchfellsackes (vgl. Fig. 324, 335, 342, 343). Einige Organe, wie die Prostata, Samenblasen und Ductus deferens, liegen völlig extraperitoneal.

### 1. Männliches Becken.

(*Rektum — Harnblase — Prostata — Samenblasen — Ductus deferens*).

Das Verhalten des Bauchfells zu diesen Organen und ihre Zugehörigkeit zum Cavum peritoneale und Spatium subperitoneale ist aus der Fig. 335 zu ersehen.

Der *Mastdarm, Rectum*, beginnt am Ende des 2. Sakralwirbels, wo die Lamellen des Mesosigmoideum, die den Beckenteil des Colon sigmoides an das Kreuzbein fixieren, auseinanderweichen. Am Rektum wird die *Pars ampullaris* von der *Pars analis* unterschieden. Erstere ist der Kotbehälter, der leer ist und zusammengefallen, wenn eine Stuhlentleerung stattgefunden hat, dagegen im anderen Falle blasig aufgetrieben ist. Da die Erweiterung nach hinten wegen des Kreuzbeins nicht möglich ist, so erfolgt sie nach vorn gegen die Harnblase hin. Die *Pars ampullaris* reicht bis zum Diaphragma urogenitale (Levator ani). Hier beginnt die *Pars analis*, die von da bis zum Anus reicht. Die *Pars analis* ist stets geschlossen und wird nur beim Hindurchtreten des Darminhalts geöffnet. Das Rektum verläuft in doppelter Krümmung (Fig. 335, 336, 337). Die *erste, lange Krümmung* liegt der Höhlung des Kreuzbeins an, ist also nach vorn konvex und heißt *Kreuzbeinkrümmung — Flexura sacralis —*; sie reicht bis zur Steißbeinspitze und zur Prostata. Die *zweite, kurze Krümmung* liegt im Bereich des Dammes, also unterhalb des Diaphragma pelvis — *Flexura perinealis —*, ist nach vorn konvex, nur ungefähr 3 cm lang und wird am Ende von dem Sphincter ani externus umschlossen. Die Beziehungen zwischen beiden Krümmungen und den beiden Abschnitten des Rektums sind die, daß die *Pars ampullaris* bis um Beginn der *Flexura perinealis* reicht. Die *Pars analis* ist durch besondere Merkmale der Wandung ausgezeichnet (Columnae und sinus rectales, Verdickung der Ringmuskulatur zum Sphincter ani internus, Anlagerung des Sphincter ani externus, zwischen beiden die Ausbreitung des Levator ani). Der Sphincter internus beginnt mit der *Pars analis* und reicht bis zur Grenze des Zylinderepithels gegen das verhornte Plattenepithel der Haut. Auch dieser unterste mit Epidermis ausgekleidete Teil ist, soweit er ein geschlossenes Rohr bildet, noch zum Rektum zu rechnen. Die *hintere Wand* des Rektum ist durch lockeres Bindegewebe am Kreuzbein fixiert; in ihm liegen einige bis zur Art. sacrospinale hinaufreichende *Lymphknoten*.

Die *Sakralkrümmung* kann hinsichtlich ihrer Beziehungen zum Bauchfell in zwei Abschnitte geteilt werden; der untere liegt unterhalb der Excavatio rectovesicalis, ist also frei

Fig. 335. Sirus der männlichen Beckenorgane. Profilsicht von rechts her. Die Gefäße der linken Seite durch das Bauchfell hindurchscheinend.

von *peritonealer Bekleidung*; er grenzt vorn an den Blasengrund, die Samenleiterenden und die Samenblasen. Der obere Teil der Sakralkrümmung ist unten nur vorn, weiter aufwärts auch seitlich vom Bauchfell bedeckt.

Die *Perinealkrümmung* grenzt vorn an die Prostata (s. u.).

### Anwendung.

An der Stelle, wo vorn die Pars perinealis recti an die Prostata grenzt, kann der Mastdarmkrebs auf die Prostata, auf den Blasengrund und die Samenblasen übergehen; hier kann man durch die vordere Rectumwand hindurch die Prostata chirurgisch behandeln; hier können Prostatahypertrophie (s. u. S. 252 Anwendungen) und im Fundus der Blase gelegene Steine durch Druck auf das Rektum zu Beschwerden bei der Stuhlentleerung führen, hier kann man auch von der vorderen Rektumwand aus in den Blasengrund gelangen, ohne zugleich die Bauchhöhle zu eröffnen.

Operiert man in dem Rektum hoch oben, so muß man sich erinnern, daß hier von unten nach oben die Gefahr der Eröffnung des Peritonealsackes immer größer wird; man gibt die Entfernung des tiefsten Punktes des Excavatio rectovesicalis von dem After, längs der vorderen Rektalwand gemessen, mit 6–8 cm an. Die Entfernung schwankt etwas mit dem Füllungszustand von Blase und Rektum. Sind diese gefüllt, so liegt der tiefste Punkt der Excavatio rectovesicalis etwas höher, als bei leerer Blase und Rektum. Die Stelle, wo der Mastdarm auch seitlich einen peritonealen Überzug erhalten hat, liegt 12 bis 14 cm über dem Anus. Die Lage des Rektums zum Kreuzbein und Steißbein macht deutlich, daß es auch von hinten nach Resektion des Steißbeins und eines Teiles des Kreuzbeins zugänglich wird. Auf jeden Fall ist es von großer Wichtigkeit, daß man totale Entfernungen des Rektums (Amputatio, einschließlich des Anus), Resectio (mit Erhaltung des Anus)) vornehmen kann, ohne die Bauchhöhle zu eröffnen.

Für den Erfolg der Operation ist wesentlich die Erhaltung der A. haemorrhoidalis superior, weil nur durch sie der gesunde, nach abwärts gezogene Stumpf des Rektums ernährt wird. Auch ist diese Arterie noch an der Versorgung der Schleimhaut der pars analis beteiligt. Sie ist der unpaarige Endast der A. mesenterica inferior, der sich aber am oberen Rande des Rektums in zwei Äste teilt. Beide laufen — der eine vorn links, der andere hinten rechts — im perirektalen Bindegewebe nach abwärts. Die anderen arteriellen Gefäße des Rektums (Aa. haemorrhoidales mediae aus der A. hypogastrica und Aa. h. inferiores aus der A. pudenda) sind vorzugsweis für die Muskulatur der Pars analis bestimmt.

Von großer praktischer Bedeutung sind die Venen des Rektums. Sie folgen in ihren größeren Stämmen den Arterien. Es besteht somit ein Abfluß nach zwei Richtungen hin: einmal zur Pfortader (durch die V. haemorrhoidalis superior und V. mesenterica inferior), sodann zur Vena cava inferior (durch die Vv. haemorrhoidales mediae zur V. hypogastr. und durch die Vv. haemorrhoidales inf. (Fig. 352) zur V. pudenda und durch diese gleichfalls zur V. hypogastrica). Es besteht also auch hier eine Verbindung zwischen Pfortader- und Vena cava-Kreislauf (vgl. Venen der Bauchwand, S. 186 und Venen des Magens, S. 216). Alle Venen des Rektums nehmen ihren Ursprung aus starken Geflechten, die submukös liegen (besonders stark entfaltet am Annulus haemorrhoidalis) und weiter subfaszial entfaltet sind. Vom Annulus haemorrhoidalis aus ziehen die Venae haemorrhoidales inferiores zum Gebiet der Vena pudenda; weiter aufwärts bestehen Anastomosen mit dem großen Venengeflecht um Blase und Prostata herum.

Stauungen im Pfortaderkreislauf können sich also geltend machen in Erweiterungen der submukösen Venengeflechte und bis in die unteren Haemorrhoidalvenen fortpflanzen. Im normalen Zustand fließt das Blut leichter zu den unteren und mittleren Haemorrhoidalvenen ab, als zu den oberen. Kontraktionen der Muskulatur der pars analis aber, wie sie reflektorisch durch die Stauung entstehen, können diesen Abfluß erschweren, so daß als Folge wiederum Steigerung der Stauung eintritt.

Die männliche Harnblase (s. Fig. 335) nimmt in gefülltem Zustande den größten Teil des männlichen Beckenraumes ein. Sie liegt der vorderen Beckenwand an. Ihre Lage wechselt mit der Füllung, indem sich die volle Blase besonders nach oben und hinten, doch auch nach der Seite ausdehnt. Der Füllungszustand der Blase wird von der Füllung des Rektums beeinflusst. Bei leerem Rektum vermag sich die Blase mehr auszudehnen als bei

Fig. 335.

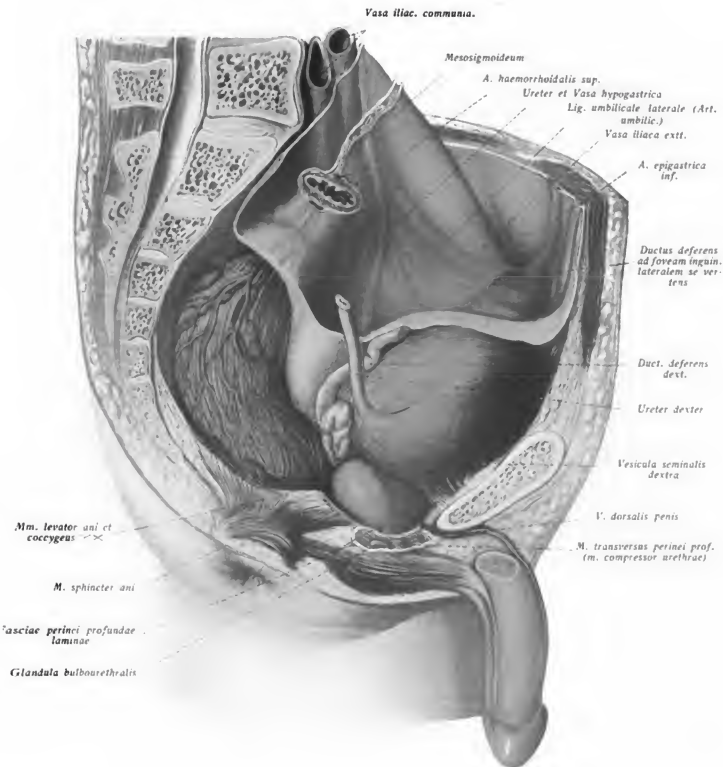


Fig. 338/339.

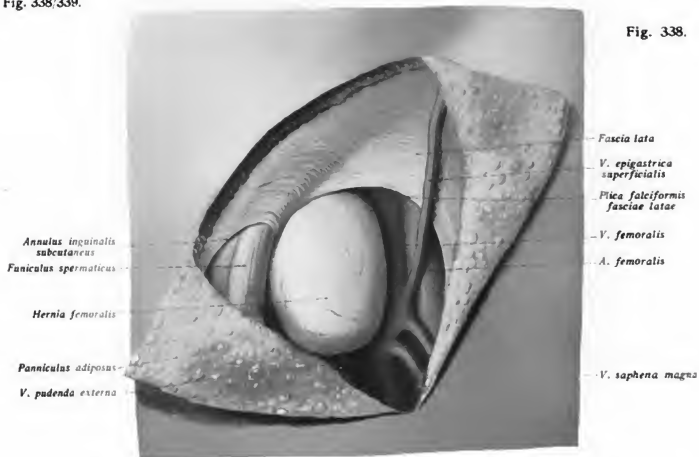


Fig. 338.

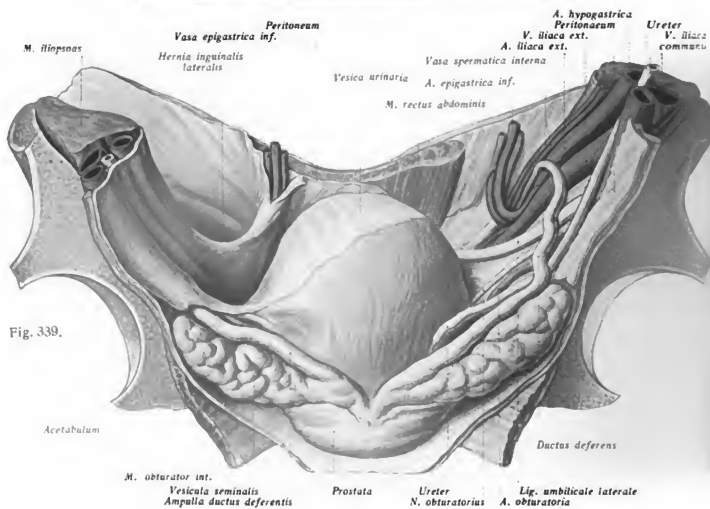


Fig. 339.

Fig. 338. Hernia femoralis, freigelegt. Nach Enderlen und Gasser.

Fig. 339. Blase, Ureteren, Samenblasen u. a., von hinten nach frontaler Halbierung des Beckens freigelegt. Links stand ein lateraler Leistenbruch. Das Bauchfell ist rechts fast ganz fortgenommen.

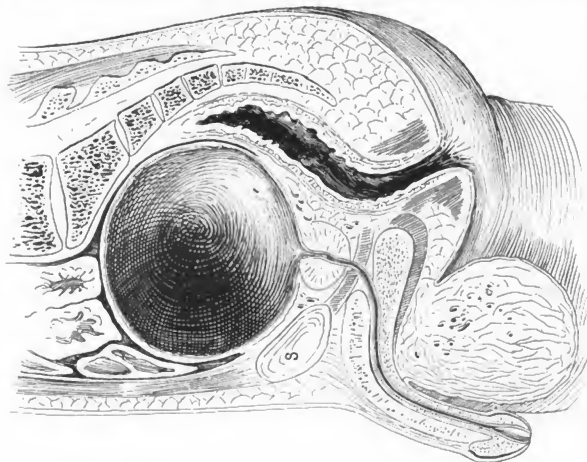


Fig. 337. Sagittalschnitt des männlichen Beckens bei leerem Mastdarm und gefüllter Blase. Nach Merkel.

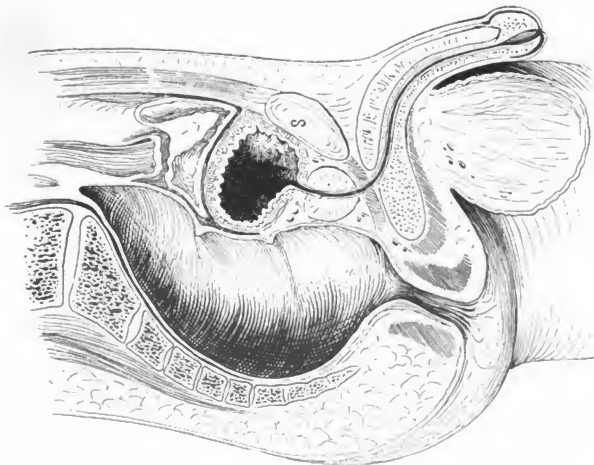


Fig. 338. Sagittalschnitt des männlichen Beckens bei gefülltem Mastdarm und fast leerer Blase. Nach Merkel.

vollem Rektum (s. Fig. 336 und 337). *Leer überragt sie nicht oder kaum den oberen Rand der Symphyse*, während sie bei starker *Füllung fast den Nabel erreichen kann*, wobei sie die nach hinten von ihr gelegenen Darmteile komprimiert oder verdrängt. Das Officium vesicae liegt in der Medianlinie ungefähr 3 cm hinter der Mitte der Symphyse. Mit der unteren Wand ruht die Blase auf der Prostata. Die vordere Fläche ist durch lockeres Bindegewebe an die Beckenwand befestigt. Dadurch wird es möglich, daß die Blase bei der Füllung aufsteigt und in den oberhalb der Symphyse gelegenen *supra-vesicalen*, gleichfalls von lockerem Bindegewebe erfüllten *Raum* (Spatium praevesicale) tritt. Die obere Fläche ist aufwärts und nach hinten gerichtet und grenzt an den Dünndarm und das Colon sigmoides, bei Tiefstand des Coekums auch an dieses. Sie besitzt im Gegensatz zu der vorderen Fläche einen peritonealen Überzug (s. Fig. 339, wo der Überzug zum Teil noch vorhanden ist), der über der Symphyse auf die Innenfläche der Bauchwand übergeht. Da der Stand der Blase *über der Symphyse nicht konstant ist, sondern mit der Füllung wechselt*, so ist auch die Lage der Übergangsstelle des Bauchfells von der Bauchwand auf die Blase nicht konstant, sie liegt vielmehr je nach dem vollen oder leeren Zustand der Blase *höher oder tiefer*. Auch die Seitenflächen sind größtenteils vom Bauchfell überzogen, das nach abwärts noch über das Lig. umbilicale laterale (s. S. 237) hinaus reicht. Die hintere und untere Fläche ruhen auf der Kreuzbeinkrümmung des Rektums (s. S. 247). Die hintere besitzt wenigstens noch im oberen Teil einen Bauchfellüberzug. Zwischen Blase und Rektum bildet das Bauchfell die *Excav. rectovesicalis* (Fig. 335). In diesen Raum legen sich bei leerer Blase und leerem Rektum von oben her Dünndarmschlingen und Colon sigmoides hinein, um bei Füllung der beiden Organe mehr oder weniger nach oben verdrängt zu werden. Unterhalb der Umschlagstelle des Bauchfells von der Blase zum Rektum befinden wir uns bereits im Spatium subperitoneale (s. oben S. 239). Hier ist zwischen hinterer Blasenfläche und vorderer Wand des Rektums lockeres Bindegewebe eingelagert, das auch auf die untere Blasenfläche (im Bereich des Fundus vesicae) übergeht. In diesem Gewebe — also zugleich im Spatium pelvis subperitoneale — liegen die *Vesiculae seminales* (s. Fig. 339), die bei guter Ausbildung nach oben bis zur Umschlagstelle des Bauchfelles von der Blase auf das Rektum reichen und auch im oberen Teil noch einen peritonealen Überzug besitzen. Zwischen beiden verlaufen die Enden — Ampullen — der Samenleiter, um sich oberhalb der Prostata mit den Ausführungsgängen der Samenblasen zu den *Ductus excretorii* zu vereinigen.

### Anwendung.

Da die leere Blase die Symphyse nicht oder kaum überragt, so gilt, wenn man von vorn über die Symphyse in die Blase eindringen will, als Regel, dies nur bei (*künstlich*) *mäßig gefüllter Blase* zu tun, da sonst Gefahr besteht, in die Bauchhöhle zu gelangen. Da bei gefüllter Blase die Umschlagstelle des Bauchfells von der vorderen Bauchwand auf die Blase 5 cm und mehr oberhalb der Symphyse liegt, so kann man *große Schnitte* in die vordere Blasenwand machen, ohne die Bauchhöhle zu eröffnen. Man kann so aus der Blase Steine und Geschwülste entfernen, die Harnröhre von der Blase aus katheterisieren (Catheterismus posterior), die Prostata von oben und vorn her herauslösen.

Da die hintere Wand der Blase im Gegensatz zur vorderen einen Bauchfellüberzug besitzt und auch nach an das Cavum pelvis peritoneale grenzt, sind Blasenrupturen in der hinteren Wand der Blase am ernstesten, als solche in der vorderen Wand zu beurteilen, weil bei *ihnen zugleich das Bauchfell einreißt* (Peritonitis). Die Ampullen der Samenleiter, die Samenblasen, Ductus excretorii, Prostata und Fundus der Blase sind wegen der Lagebeziehung zu der vorderen Rektumwand von dem Rektum aus zu

*Digitaluntersuchung* zugänglich. Diese ist also sehr wertvoll zur Untersuchung der Blase, der Prostata, namentlich deren Hypertrophie, und der Samenblasen, deren Inhalt unter Umständen durch Druck gegen die vordere Rektumwand aus der Harnröhre entleert werden kann.

Die *Lage des Rektum zur Blase* kann in der Praxis dazu benutzt werden, durch künstliche Füllung des Rektums mit Luft oder Flüssigkeit oder durch Tamponade die gefüllte Blase *nach vorn und oben* gegen die vordere Bauchwand anzudrängen und die Blase so oberhalb der Symphyse leichter zugänglich zu machen. Ist das Bauchfell auch entfernter von der Blase, z. B. bei Perityphlitis, durch Entzündung gereizt, so können beim Urinlassen durch die Verschiebungen des Bauchfells *peritonitische Schmerzen* entstehen.

Die *Pars pelvina des Ureters (Heiß)* gelangt nach Überschreitung der Linea terminalis unmittelbar an die peritoneale Auskleidung des Beckens. Diese subperitoneale Lage des Ureters ist für ihn charakteristisch. Erst kurz vor der Einmündung in die Blase verläßt er das Bauchfell. Bei (stumpfer) Ablösung des Bauchfells folgt er dieser Membran. Der Beckenwand tritt er nicht näher, bleibt vielmehr stets durch subperitoneales Bindegewebe und Fettgewebe von ihr getrennt. Er liegt besonders von der Spina ischiadica (Fig. 344 und 345) median- und ventralwärts ein beträchtliches Stück entfernt. Nur bei kachektischen Zuständen, bei denen das Fettgewebe geschwunden ist, kann eine Annäherung an die Spina ischiadica erfolgen. Nach dem Füllungszustand der Blase kann der Ureter Verengerungen erfahren. Medialwärts wird er dicht oberhalb der Einmündung in die Blase durch den Ductus deferens gekreuzt, wobei der Ureter hinten liegt.

Die *Prostata*, beim Erwachsenen von der Basis zur Spitze 3 cm lang, liegt zwischen Blasengrund, Diaphragma urogenitale und den beiderseitigen Mm. levatores ani. Die obere Fläche der Prostata, die sogenannte Basis, legt sich von unten her an den Blasengrund an (Fig. 335) so, daß sich in die eingedellten vorderen zwei Drittel dieser Fläche die Harnröhre einsenkt, während der nach rückwärts davon gelegene, erhabene Bezirk des letzten Drittels dem im Durchschnitt (Fig. 340) keilförmigen Lobus medius angehört. Auf ihm ruhen die Ampullen des Ductus deferens und die Samenblasen auf. Die vordere Wand liegt hinter der Symphyse, und zwar etwa bis zu einer durch die Mitte der Symphyse gelegten Ebene. Zwischen dem Knochen und der Prostata liegt ein starker Venenplexus (pudendalis). Die seitlichen Flächen der Prostata liegen zwischen den trichterförmig nach abwärtsziehenden Platten des M. levator ani, die neben dem Organ mit freiem Ende endigen (Fig. 326). Hier liegt auch der mächtige Plexus venosus vesico-prostaticus, der zugleich die untere Fläche der Harnblase umhüllt. Die untere Fläche der Prostata reicht zwischen den Mm. levatores ani hindurch bis auf das Diaphragma urogenitale. Der Schnabel der Prostata mit der Urethra dehnt sich in den M. trigoni urethralis (transversus perinei profundus) hinein aus. Praktisch die wichtigste Beziehung der Prostata besitzt die hintere Fläche, nämlich zum *Rektum*. Die beiden Organe grenzen hier subperitoneal dicht aneinander. Die Anlagerung beginnt etwa 3 cm oberhalb des Anus.

*Samenblasen und Ampulle des Ductus deferens* (Fig. 339) liegen dem Fundus der Harnblase an und folgen den Seitenrändern der Blase, so daß zwischen den beiderseitigen Ampullen ein dreieckiges Feld der Blasenmuskulatur zutage tritt, das ungefähr dem Trigonum vesicae des Blaseninneren entspricht. Unten ruhen beide Ampullen und Samenblasen auf dem gewölbten hinteren Drittel der Prostata; seitlich berührt die Samenblase den Ureter, ehe dieser sich in die Blasenwand einsenkt. Hinten liegen beide Organe jederseits der vorderen Rektalwand an, wobei sie deren Flexura perinealis folgen, also schief von hinten oben nach vorn und unten gelagert sind. Samenblasen und Ampullen sind in

Fig. 340. Längsschnitt durch Blase und Prostata mit leichter allgemeiner Hyperplasie.

Fig. 341. Normaler Situs der weiblichen Beckeneingeweide von oben gesehen.

eine, der Fascia endopelvina (S. 238) angehörige Kapsel gehüllt, die sie gegen Rektum und Harnblase abgrenzt und nach unten in die Prostatakapsel übergeht. Das Bauchfell erreicht mit seiner Einsenkung von der Excavatio vesico-rectalis aus das obere Drittel der Samenblasen und die Spitze der Ampullen, so daß also diese Teile der Organe durch die Bauchhöhle vom Rektum geschieden sind.

Der *Ductus deferens* kommt hier topographisch nur mit seiner Pars pelvina in Betracht (vom inneren Leistenring bis zur Ampulle. Seiner ist oben (S. 237) bereits Erwähnung getan. Zusammenfassend sei bemerkt, daß er, in seinem ganzen Verlauf durch das Bauchfell hindurch sichtbar, da, wo er in die Bauchhöhle tritt, zunächst mit den Vasa spermatica ein Stück gemeinsam verläuft, dann senkrecht abbiegt und die Vasa iliaca externa, die Arteria umbilicalis und die Vasa obturatoria, schließlich den Ureter kreuzt. Überall liegt er an der medialen Seite dieser Gebilde (Fig. 247, 259, 335).

Die männliche Harnröhre (Fig. 335) bildet bei hängendem Penis eine S-förmige Krümmung und ist 15—20 cm lang. Die erste nach vorn und oben konkave Krümmung liegt hinter der Symphysis — *Curvatura postpubica*. Sie wird durch Erheben des Penis nicht ausgeglichen. Dies ist bei der zweiten unter der Symphyse gelegenen und nach unten und hinten konkaven Krümmung — *Curvatura subpubica* — der Fall. Zu beachten sind die drei Abschnitte der Harnröhre: *Pars prostatica*, *membranacea* und *cavernosa urethrae*. Die Harnröhre besitzt drei weite und zwei enge Stellen:

Die drei weiten sind: 1. Die *P. prostatica* (Fig. 340), 2. der in dem Anfangs der *Pars cavernosa* gelegene *Recessus bulbosus* (Fossa bulbi), die Erweiterung, in der sich gelegentlich das Ende des eingeführten Katheters fängt, und 3. die *Fossa navicularis* dicht hinter der Mündung nach außen.

Die engeren Stellen sind vor allem die *Pars membranacea*, deren im oberen Teil muskulöse Wand (*M. compressor urethrae*, *Pars muscularis* s. *trigoni urethrae* [Waldeyer]) durch reflektorische Kontraktion dem Einführen der Instrumente vorübergehend störend entgegenwirkt, und das *Orificium externum*.

### Anwendung.

(Fig. 354). Hinsichtlich der *Prostata* ist hier auf den Weg hinzuweisen, auf dem man sie vom Damm aus erreichen kann. Es genügt hier — nach Durchschneidung der Haut- und Fettschicht — zwischen Sphincter ani externus und dem hinteren Rande des Diaphragma urogenitale einzugehen. (Vgl. auch Fig. 352). Die Muskelzüge, die vom *M. bulbocavernosus* zum Sphincter ani ziehen, müssen dabei durchschnitten werden. Zwischen den beiden *Mm. levatores ani* (Fig. 354) gelangt man dann auf die Unterfläche der Prostata und die davon ausgehende *Pars membranacea* der Urethra.

Die Hypertrophie des medialen Lappens der Prostata — die aber möglicherweise nur eine solche eingelagerter Drüsen, nicht des eigentlichen Prostatagewebes ist — führt zur Behinderung der Harnentleerung. In Fig. 340 ist ein leichter Grad allgemeiner Vergrößerung der Prostata gezeichnet. Man sieht, wie die Uvula des Trigonum vesicae hier stärker in die Lichtung der Blase vorspringt. Länge, Lumen und Richtung der Urethra können sich in solchem Fall stark ändern. Die Fig. 340 zeigt auch, indem sie den Verlauf des linken *Ductus excretorius* darstellt, daß bei Exstirpationen des Lobus medius Verletzungen dieses Kanales zustande kommen können. Die nach Prostatotomien schon seit langer Zeit beobachteten Veränderungen des Gesamthabitus des Operierten können auf diese — unbeabsichtigte — einer Unterbindung des *Ductus deferens* in ihren Folgen gleichwertige Verletzung zurückgeführt werden.

Die Lage der Prostata zum Rektum erklärt, daß Entzündungen und Abszesse der Prostata in das Rektum nach hinten durchbrechen können. Der Hauptsitz der Harnröhrenstriktur ist der Übergang der *Pars*



Fig. 340.

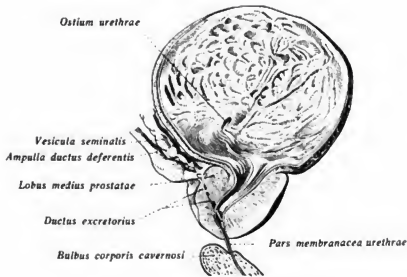


Fig. 341.



**Fig. 342.**

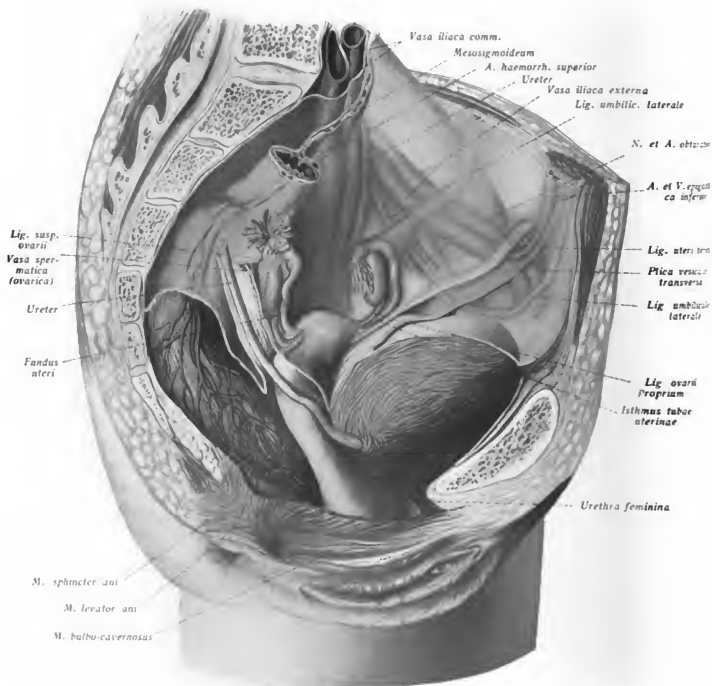


Fig. 342. Situs der weiblichen Beckenorgane. Profilsicht von rechts her; die links an der Beckenwand gelegenen Gefäße schimmern durch das Bauchfell hindurch.

ivernosa in die Pars membranacea. Man mache sich (am Medianschnitt Fig. 336) klar, daß durch den Harnstrahl oberhalb der Striktur *stauenden* und *zersetzenden* Harn Entzündungen und Eiterungen entstehen können, die nach dem Rektum, dem Skrotum oder dem Damm *perforieren* können, und daß man *von dem Damm aus*, (von der Raphe perinei in der Mittellinie nach Durchtrennung der Haut, der Tunica dartos, der oberflächlichen Darmfaszie, des M. bulbocavernosus und des Bulbus urethrae) *die Harnröhre eröffnen kann*. Schließlich vergesse man nicht, daß bei Gonorrhoe die anatomischen Verhältnisse einer Ausbreitung des Prozesses aus der Harnröhre *weiter nach innen* auf den ganzen Harn oder Genitalapparat sehr günstig sind.

## 2. Weibliches Becken.

Rektum — Blase — Ureter — Uterus — Vagina — Ovarium — Tube — Parametrium.)  
(Fig. 341—343, 346.)

Der wesentliche Unterschied gegenüber dem Verhalten beim Manne ist dadurch gegeben, daß der Genitalapparat beim Manne einen geringeren Raum einnimmt und zum großen Teil unterhalb des Beckens gelegen ist. Beim Weibe aber schieben sich Ovarien, Uterus, Uterus und Vagina zwischen Blase und Rektum in die Höhe, zum großen Teil umhüllt von einer quer im Becken ausgespannten Bauchfellduplikatur, dem *Lig. latum*. Das Gefäßführende Bindegewebe zwischen den beiden Lamellen dieser Platte heißt *Parametrium* (Perimetrium = seröser Überzug des Uterus). Das Parametrium geht ohne scharfe Grenze in das subperitoneale Bindegewebe des Uterus und das zwischen Bauchfell und ascia diaphragmatis pelvis gelegene Bindegewebe des *Spatium subperitoneale* über.

Die Figuren 341, 342 geben eine allgemeine Übersicht über die Topographie der Beckenorgane, insbesondere über die Lage und den Verlauf des Bauchfells. Fig. 341 zeigt die Blase mäßig gefüllt, den Uterus in typischer Lage leicht anteflektiert, das linke Ovarium in situ, das rechte mit emporgeschlagener Tube. Man blickt in die tiefe Excavatio recto-uterina (*Douglasii*) hinein, während die Excavatio vesico-uterina durch den Uterus verdeckt ist. Figur 342 zeigt das Profilbild der Beckeneingeweide. Man sieht Rektum, Vagina und Uterus, sowie die Blase nebst Urethra als drei voreinander liegende, sich teilweise innig berührende Hohlorgane. Das Bauchfell ist rechts abgetragen. Man sieht, wie es an der vorderen Scheitel und die hintere Fläche der Harnblase, dann die vordere, obere und hintere Fläche des Uterus überkleidet, um dann tiefer hinter dem Uterus hinabzusteigen, wo es das hintere Beckenwandgewölbe erreicht. Dann tritt es auf die vordere Seite des Rektums über. Das Ligamentum latum ist rechts durchschnitten; man erkennt seine beiden Lamellen, das dazwischen liegende Bindegewebe und den hier in das Ligamentum latum eingeschlossenen Uterus; endlich (Fig. 346) zeigt sie die Organe im medianen Längsschnitt; hier ist besonders auf die an der weißen Schnittlinie kenntlichen, verschieden tiefen Einsenkungen des Bauchfells vor und hinter dem Uterus zu achten.

*Rektum.* Während über Form, Krümmungen, Lage, Gefäßversorgung und Bauchfellüberzug dem beim männlichen Beckenraum Gesagten nichts hinzuzufügen ist, ergeben sich für das weibliche Becken typische Beziehungen zu den Nachbarorganen (*Uterus und Vagina*). Die zwischen Uterus und Rektum liegende Excavatio recto-uterina wird seitlich von den Plicae recto-uterinae (Douglasschen Falten) begrenzt, die hinter der Cervix in einer Querfalte zusammentreten (Fig. 341). In dieser Exkavation liegende Dünndarmschlingen trennen das Rektum vom Uterus. Oberhalb der Flexura perinealis des Rek-

Fig. 343. Medianschnitt durch das weibliche Becken mit Präparation der seitlichen Beckenwand, unter Benützung einer Abbildung aus Schröder-Hofmeier. Nach einem Formalinpräparat.

tums tritt die Vagina in enge Beziehungen zur vorderen Wand des Rektums (Fig. 342). Die Wände beider Kanäle sind durch derbe Verwachsungen vereinigt. Dies „Septum recto-vaginale“ samt der Dicke der Wandungen ist etwa 1 cm dick. Indem weiter abwärts die Vagina ihre Richtung schräg nach vorn und abwärts fortsetzt, das Rektum aber nach rückwärts biegt, wird das Septum zu einer keilförmigen Platte, die sich schließlich zum *Damm verbreitert* (Fig. 343, 346).

**Harnblase.** Sie ist in ihrer äußeren Form durchschnittlich breiter und weniger spitz als die des Mannes und zeigt eine obere und hintere Fläche, die, namentlich bei entleertem Blase (Fig. 343), in einem Winkel zusammenstoßen. Dieser *Blasenwinkel* legt sich in einen *Uteruswinkel* hinein, so daß der Fundus des Uterus auf der *oberen Fläche* der Blase liegt. Im entleerten Zustande befindet sich die Blase völlig hinter der Symphyse.

Die Lage hinter der *vorderen* Beckenwand und das Verhältnis des Peritoneums zur Blase stimmen mit dem Verhalten bei dem Mann überein. An der *hinteren* Wand der Blase dagegen ergeben sich durch das Vorhandensein von Uterus und Vagina ganz andere topographische Beziehungen. Der Scheitel grenzt an die Cervix uteri. Hier dient mehr *lockeres* Bindegewebe zur Verbindung beider Teile. Die hintere Fläche, unterhalb des Blasenwinkels (Fig. 343, 346) grenzt an die vordere Vaginalwand. Hier ist *strafferes* Bindegewebe — *Septum vesicovaginale* — eingeschaltet. Die Verbindung zwischen vorderer Zervixwand und hinterer Blasenfläche ist derart fest, daß der Uterus den durch wechselnde Füllung der Blase herbeigeführten Bewegungen der hinteren Blasenwand folgt. Das Bauchfell überzieht die Blase oben und hinten bis zur Mitte der hinteren Fläche, um von hier auf das Grenzgebiet von Korpus und Zervix, also in der Höhe des inneren Muttermundes, überzugehen. So entsteht die *Excavatio vesicouterina*.

Für den *Ureter* des Weibes gelten die oben angegebenen (S. 251 u. Fig. 342, 345) Merkmale. Im einzelnen ist hinzuzufügen: Er kreuzt beim Eintritt in das kleine Becken die *Vasa illiac. ext.* an ihrem Ursprung und läuft lateral von der *A. hypog.* herab (Fig. 342, 343). Er tritt dann an die mediale Seite der *A. uterina*, indem er an deren Ursprung *über* sie hinwegzieht (s. Fig. 343, 345) und verläuft hinter dem Margo liber des Ovariums. Ungefähr 2 cm lateral von der Cervix uterina tritt die Arterie *von der lateralen Seite her über den Ureter* und steigt im *Parametrium* am Uteruskörper empor (Fig. 341). In der Nähe dieser Kreuzung geht der *R. cervicovaginalis* aus der *A. uterina* nach unten hin. Der Ureter ist in lockeres, seitlich von der Zervix gelegenes, venenreiches Bindegewebe eingebettet. In der Höhe der vorderen Lippe der Portio vaginalis treten die Ureteren an die Vaginalwand nahe heran und münden etwas unterhalb des Orificium uteri externum in die Blase ein (Fig. 342).

Die nur 3 cm lange *Harnröhre* (Fig. 342) ist *weiter* als die männliche und so erweiterungsfähig, daß man mit dem Finger von der Harnröhre aus das Innere der Blase abtasten kann. Der Verlauf ist fast gerade nach vorn und unten mit unbedeutender Konkavität nach vorn. Sie liegt auf der vorderen unteren Scheidenwand auf, von der sie durch das relativ breite, aus lockerem Bindegewebe bestehende *Septum urethrovaginale* getrennt ist. Die engste Stelle liegt am Orificium externum, da also, wo die Harnröhre in Form eines meist sagittalen Spaltes in das Vestibulum vaginae ausmündet.

Der *Uterus* ist im Bereich seines zwischen Blase und Rektum frei in die Bauchhöhle

Fig. 343.

*Vena cava inf. < et. A. iliaca comm. >*

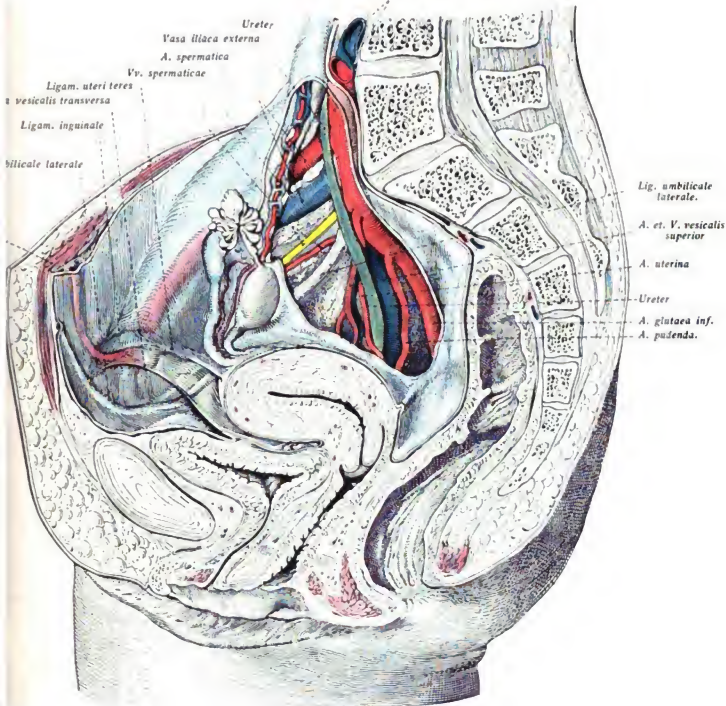


Fig. 344.

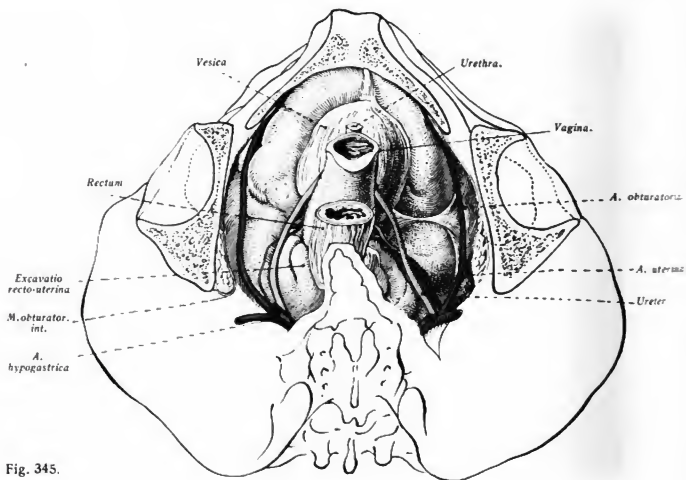
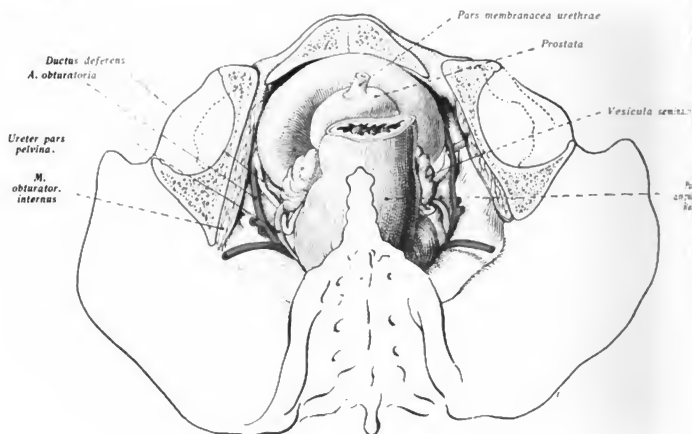


Fig. 345.

Fig. 344. Spatium subperitoneale beim Manne von unten her präpariert, Cavum peritonei vorher mit Wachsmasse gefüllt. Peritoneum nach unten gegen den Beschauer vorgebuchtet. Pars pelvina des Ureters. Präparat und Abbildung Privatdozenten Dr. Heiß.

Fig. 345. Spatium subperitoneale beim Weibe, von unten her präpariert, Cavum peritonei vorher mit Wachsmasse gefüllt; Peritoneum nach unten gegen den Beschauer vorgebuchtet. Pars pelvina des Ureters, seine Beziehungen zur Uterina. Präparat und Abbildung von Privatdozenten Dr. Heiß.

einragenden Korpus sehr beweglich und wird in seiner Lage fortwährend vom Füllzustande dieser beiden Nachbarorgane beeinflusst. Die Lage in der Leiche gestattet einen Schluß auf die Lage in der Lebenden, da der intraabdominale Druck und jegliche Muskelwirkung fehlen und die retroponierte Lage des Uterus bei Rückenlage der Leiche nie weiteres durch das Gewicht des toten Uterus erklärt wird.

Als *Normallage* des Uterus ist diejenige anzusehen, bei der der Uterus mit seinem *os uterini* in der Höhe des oberen Symphysenrandes liegt; das Organ liegt dann in der Mitte des kleinen Beckens, die Achse der Zervix in der Führungslinie des Beckens (S. 241). Bei dieser Lage schaut also die Portio vaginalis nach hinten. Die dadurch durch die Einstellung des ganzen Organs mit der Zervixachse in die Führungslinie) enthaltene Neigung heißt *Anteversio*. Eine Winkelbildung zwischen Zervix und Korpus, wie bei nulliparen Uteris die Regel ist, heißt *Anteflexio*. Die Gesamtlage eines solchen Uterus zeigt eine *Anteversio-flectio*. Die *Anteversio* ohne *Anteflectio* pflegt nach mehreren Geburten mehr oder weniger vorzuherrschen. *Retroversio* und *Retroflexio* sind immer abnorme Lagen.

Der Fundus liegt bei leerer Blase und leerem Rektum hinter der Symphyse meist etwas oberhalb von ihr (Fig. 342), die Portio vaginalis mit dem *os uterini* sieht gegen das Rektum. Es ergibt sich, daß dann die Längsachse bei aufrechter Körperhaltung fast horizontal gelegen ist (s. Fig. 347, 348). Bei gefüllter Blase jedoch liegt der Uterus steil (Fig. 349), der Fundus dem Promontorium genähert, um bei Entleerung der Blase wieder die *Anteversio-Anteflexionsstellung* überzugehen. Bei Entleerung der Blase wird beim nulliparen Uterus das Nachvornsinken des Fundus uteri wesentlich durch *Anteflexio* (s. Fig. 347), bei der Frau, die geboren hat, durch *Anteversio* (s. Fig. 348) erreicht. Der Winkel zwischen Zervikalkanal und Lumen der Vagina ist dann spitzer als beim nulliparen Uterus. Der gefüllte Mastdarm (s. Fig. 349) schiebt die Vaginalportion nach vorn; ist gleichzeitig die Blase gefüllt, so nimmt der Uterus eine steile Lage an (s. Fig. 349). Bei stark gefüllter Blase und leerem Rektum wird die Lage noch steiler (s. Fig. 350).

Außer den bereits erwähnten Beziehungen des Uterus zu Rektum und Blase sind auch zu erwähnen die zum Ureter und zur A. uterina. Über den Ureter s. oben S. 251. Die A. uterina kreuzt den Ureter in der Höhe der Portio vaginalis 2 cm vom Uterus entfernt.

Als Befestigung des Uterus kommt vor allem die Vagina in Betracht, die ihrerseits durch die Septa recto-vaginale, vesico-vaginale und urethro-vaginale fixiert wird. Zu ihrer Fixierung trägt ferner die straffe Spannung des Beckenbodens, des Diaphragma pelvis und Diaphragma urogenitale bei. Indem Rektum und Vagina durch diese muskulösen Platten durchtreten, werden sie besonders fixiert. Von der fixierten Vagina aus überträgt sich die Befestigung auf den Uterus, vor allem auf dessen Zervix. Ist die Uteruswand nicht so beweglich, so bewegt sich der Fundus gegen die fixierte Zervix wie in einem Scharniergelenk. Auf diese Weise kommt es zur *Anteflectio* und zur Aufrichtung, wenn die Blase sich füllt. Die übrigen Befestigungsmittel haben nur unterstützende Bedeutung, so vor allem das

Bindegewebe, das mit dem Ligamentum latum an die Seitenkanten des Uterus herantritt, insbesondere auch die Gefäßscheide der A. uterina (Lig. cardinale). Die *Ligg. recto-uterina* wirken im Sinne einer Erhaltung der Anteversion. Das *Lig. teres* entspringt aus dem Winkel zwischen Uterus und Tube und besteht aus einer breiten Peritonealfalte mit bindgewebiger Grundlage, in die vom Uterus stammende glatte Muskelzellen eingelagert sind.

Vertebrae sacrales    Nervi sacrales

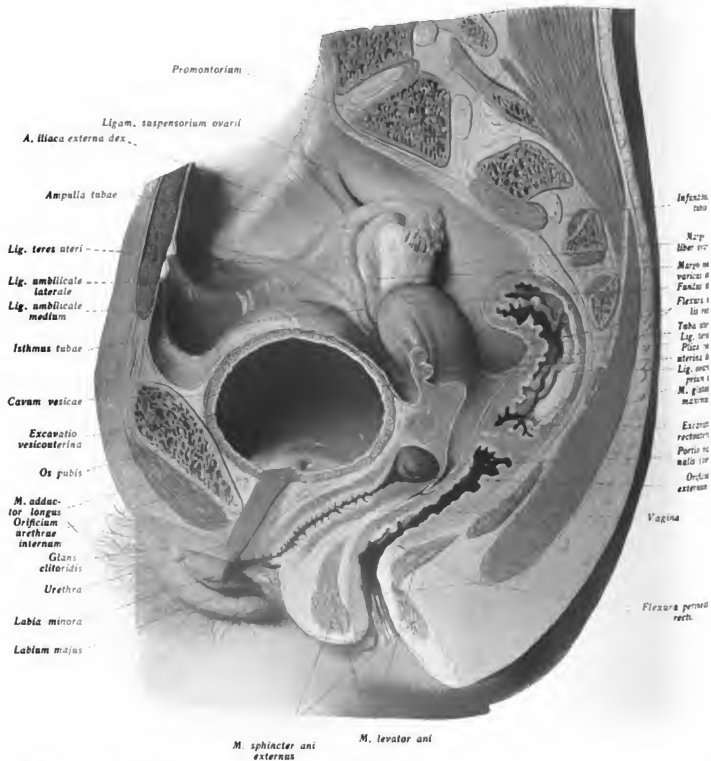


Fig. 346. Sagittal halbiertes weibliches Becken mit den Eingeweiden in der Lage (Rechte Hälfte). Der Schnitt ist etwa 1 cm links von der Medianebene geführt. Blase in mittlerem Füllungszustand, Rektum fast leer.



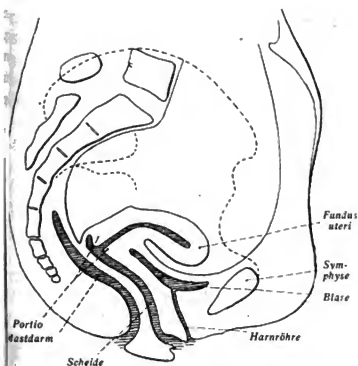


Fig. 347. Anteфлекionsstellung bei leerer Blase.

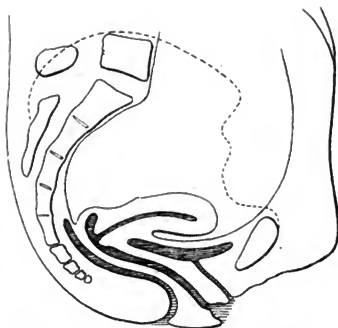


Fig. 348. Anteversionsstellung bei leerer Blase.

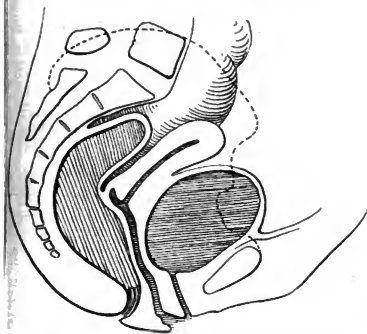


Fig. 349. Anteversio bei voller Blase und vollem Rektum (steile Lage).

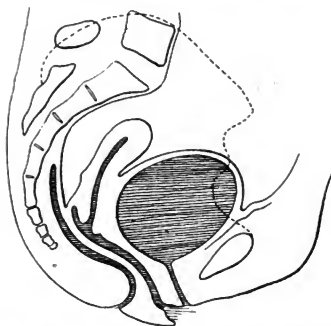


Fig. 350. Höchste Stellstellung bei voller Blase und leerem Rektum.

Fig. 347—350. Schemata zur Darstellung der Lage des Uterus. Nach B. S. Schultze.

Es zieht über die Arteria uterina hinweg und hat weiterhin dieselben Lagebeziehungen wie der Ductus deferens (Fig. 341, 342).

Die Vagina verläuft in der Richtung der Beckenachse schräg *von oben und hinten nach unten und vorn* mit leichter Konkavität nach vorn. Der nach vorn offene, in seiner Größe nicht konstante Winkel, den sie mit der Zervix bildet, beträgt bei Nulliparen im Mittel einen rechten (Fig. 343, 346). Die vordere Wand ist *kürzer* als die hintere (1—2 cm),

weil die hintere Wand an der Zervix höher hinaufreicht, als die vordere. Das *Scheidengewölbe*, d. i. der ringförmige, die Vaginalportion der Zervix umgebende oberste Teil der Scheide, steht vorn tiefer als hinten, wo dieser Raum zugleich tiefer und die Vaginalportion länger ist. Die vordere „Lippe“ der Vaginalportion ragt also, wenn sie auch kürzer als die hintere ist, tiefer herunter. Der weitaus größte Teil der Scheide liegt im *Spatium pelvis subperitoneale*, das Endstück durchsetzt das *Diaphragma pelvis* (s. Fig. 343, 346).

Die *vordere* Wand der Vagina grenzt an die Blase — hier findet sich lockeres Bindegewebe — und an die Harnröhre — hier liegt festeres Bindegewebe. An der *hinteren* Vaginalwand unterscheiden wir drei Strecken:

1. Eine kleine obere, d. i. die Gegend des hinteren Scheidengewölbes. Hier besteht ein peritonealer Überzug und dieser Teil grenzt an den tiefsten Punkt der *Excavatio rectouterina*.

2. Eine mittlere, die längste, Strecke; hier grenzt die Scheide an die Kreuzbeinkrümmung des Rektums. Sie wird von ihr durch das derbe Bindegewebe des *Septum rectovaginale* geschieden.

3. Eine kurze, unterste Strecke, wo sich der Mastdarm durch die nach hinten gerichtete *Flexura perinealis* mehr von der Vagina entfernt. Sie liegt unterhalb der Durchtrittsstelle der Vagina durch das *Diaphragma urogenitale*. Hier trennt der Damm die Vagina und deren Vestibulum von dem Mastdarmende.

Die Lage der *Eierstöcke* (Figg. 341—343, 346) bringt die einzelnen Teile dieses platten Körpers (d. h. seine Flächen, Ränder, Pole) in so typische Beziehungen zur Nachbarschaft, daß man ihnen von daher eindeutige Namen beilegen konnte. Man unterscheidet eine *laterale* und eine *mediale* Fläche, einen *oberen* und einen *unteren* durch das *Lig. ovarii proprium* an den Uterus fixierten Pol (*Extremitas tubaria* und *E. uterina*) und einen *vorderen* und *hinteren* Rand (*Margo mesovaricus* und *M. liber*). Der vordere Rand entspricht dem *Hilus ovarii*, wo die Gefäße ein- und austreten und der Eierstock durch ein kurzes *Mesovarium* an die (mediale) Fläche des *Lig. latum* befestigt ist. Der hintere Rand schaut gegen das Kreuzbein. Die mediale Fläche ist gegen das Innere des Beckens gerichtet, die laterale Fläche gegen die Beckenwand, insbesondere gegen das hier mit seiner medialen Lamelle breit in das parietale Bauchfell übergehende *Lig. latum*. Der obere Pol steht fast senkrecht über dem unteren. Die Befestigung des Ovariums erfolgt vor allem durch die Verbindung seines *Margo mesovaricus* mit der hinteren Lamelle des *Lig. latum*, weiterhin durch das *Lig. suspensorium ovarii* und die darin verlaufenden *Vasa ovarica*. Mit dem Uterus ist der untere Pol des Ovariums durch das *Lig. ovarii proprium* verbunden, dem mechanische Bedeutung nicht zukommt. Das Ovarium liegt in der sogenannten *Ovarialnische* einer nicht erst durch das Ovarium entstandenen, sondern auch ohne dieses vorhandenen Grube, die entstehen muß, weil sich die begrenzenden Gefäße durch das Bauchfell hindurch emporwölben. Diese Ovarialnische wird oben von den *Vasa iliaca*, hinten vom Ureter und der *A. uterina* begrenzt. Sie ist ein Teil der oben erwähnten *Fossa obturatoria* (s. o. S. 237). Man kann sich daher auch leicht merken, daß dem freien Rande des Ovariums benachbart der Ureter liegt. Über den *Margo mesovaricus* zieht die Tube hinweg; die laterale Fläche des Ovariums ist frei und schaut gegen die Beckenwand, die mediale wird von Tube und *Mesosalpinx* ganz oder teilweise überdeckt (vgl. Fig. 342). Bei der Betrachtung eines normalen Situs von oben her sieht man also vom Ovarium wenig

ler gar nichts, da die einzige, unmittelbar dem Auge entgegengerichtete Fläche, die mediale, von der Tube und dem Mesoalpinx überlagert wird (Fig. 341 links). Man muß diese Teile emporschlagen (Fig. 341 rechts), um das Ovarium besichtigen zu können.

Das wichtigste arterielle Gefäß des Ovariums ist nicht die A. ovarica, sondern der Ast der A. uterina stammende Ramus ovaricus, der längs des Margo mesovaricus verläuft und eine Anastomose mit der A. ovarica bildet (Fig. 341, 343). Bezeichnend für den Margo mesovaricus und den Hilus des Ovariums ist die sogenannte *Farresche Linie*, die dadurch entsteht, daß das einschichtige Plattenepithel des Bauchfells mit *scharfer* Grenze dem bishigen Keimepithel des Ovariums Platz macht. Gegenüber dem glatten, spiegelnden rötlichen Bauchfellblatt sieht das Ovarium rötlich-weiß und matt aus. (Die Linie ist in Fig. 341 rechts sichtbar.)

Die *Tuba uterina* ist im freien Rand des Lig. latum gelegen. Wir unterscheiden drei Abschnitte ihres Verlaufes: Der *erste*, dem Isthmus entsprechend, verläuft vom Uterus *horizontal* lateralwärts bis zum Uterinpol des Eierstocks; der *zweite* biegt von diesem schrägwinkelig ab und wendet sich *aufwärts* an dem vorderen Rand des Eierstocks zum oberen Pol des Ovariums; hier geht die Tube unter nochmaliger Umbiegung in das *Endstück* über, das in spitzem Winkel gegen das vorige Stück nach *hinten* und *abwärts* läuft und mit dem Ostium abdominale nach dem hinteren freien Rand und der medialen Fläche des Ovariums gerichtet ist.

Das *Ligamentum latum* besitzt an den aus dem Becken herausgenommenen und flach ausgebreiteten Eingeweiden zwei Flächen, eine vordere und hintere (in Fig. 351 ist die hintere Fläche dem Beschauer zugekehrt). Zu unterscheiden sind zwei Lamellen, eine hintere und eine vordere. Das Ligamentum latum zerfällt in zwei Abschnitte, den unteren (a, b, d) und den oberen (b, c, f, g); an der Grenze beider heftet sich das Mesovarium (h, i) an.

Der untere Abschnitt (Mesometrium a, b, c, d, e) ist unregelmäßig viereckig gestaltet und bis auf die Strecke c, d überall angewachsen; und zwar an der seitlichen Kante des Uterus (a, b) am Beckenboden (a, e) und an der seitlichen Beckenwand (d, e). Längs der Strecke b, c geht der untere Abschnitt in den oberen über. Der obere Abschnitt (Mesosalpinx b, c, g, f) ist im künstlich ausgebreiteten Zustande etwa dreieckig gestaltet. Längs der Strecke b, c ist er mit dem unteren Abschnitt verwachsen; die Strecken c, f und f, g sind ebenso wie die Strecke c, d des unteren Abschnittes *freie Ränder*. Die Strecke g, f ist der *Margo tubarius*. Hier läuft das vordere Blatt des Lig. latum in seine hintere weiter, so wie es das Bauchfell um eine Darmschlinge herum tut. Ebenso geschieht ist der freie Rand c, d. Er stellt die als Lig. suspensorium ovarii bezeichnete Bauchfellsduplikatur dar. Längs der Strecke c, f würde ebenfalls ein freier Rand bestehen, wenn er nicht *spaltartig* die *Fimbria ovarica* mit dem Ostium abdominale den einheitlichen Bauchfellüberzug unterbräche; — dieser Unterbrechung wegen kommt man also in der Strecke c, f *nicht* von der vorderen Lamelle auf die hintere Lamelle des Lig. latum. Die Strecke der Fimbria ovarica gehört bereits teilweise dem Mesovarium an, das sich von dem Lig. latum abhebt; es ist ein Produkt der Faltung lediglich des hinteren Blattes des Lig. latum (h, rechts), das vordere ist daran nicht beteiligt. Die Stelle, an der das Keimepithel beginnt (weiße Linie der Fig. 341), ist rechts im Schema zu erkennen. Die Eintrittsstellen und der Verlauf der Aa. uterina ovarica und des Ureters sind gleichfalls aus der schematischen Skizze zu entnehmen.

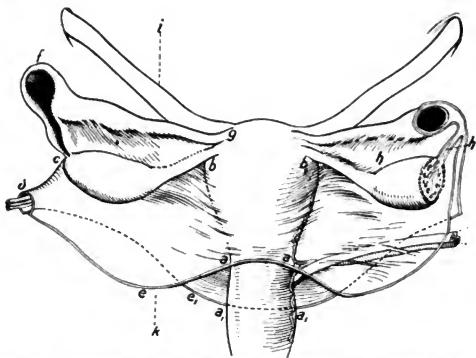


Fig. 351. Schematische Skizze des Ligamentum latum. Links vollständig ausgebreitet, rechts senkrecht durchgeschnitten, um die Beziehungen des Mesovariums zu demonstrieren. Links ist das Ostium abdominale tubae vereinfacht gezeichnet, indem von den Fimbriae nur die Fimbria ovarica angegeben ist. Erklärung im Text.

einer — auf die Beckenwand bezogen — *medialen* geworden.

Auch durch das Hinüberhängen der Tube über die mediale Fläche des Ovariums kommt topographisch eine Inversion der Flächen des Mesosalpinx zustande, indem dessen eigentlich *vordere* Fläche nach *hinten* (medial) schaut, während die eigentlich *hintere* (in der Skizze 351 dem Beschauer zugekehrte) Fläche nach außen (lateral, gegen die Facies medialis des Ovariums) schaut. In dieser Spaltbildung zwischen Facies medialis des Ovariums und der ihr zugewendeten Fläche der Mesosalpinx erkennen wir die Andeutung einer Ovarialtasche, die beim Menschen gering ausgebildet, bei vielen Säugetieren das ganze Ovarium einschließt.

An dem vertikal gestellten seitlichen Teil des Lig. latum hat nur die Strecke c d wirklich noch zwei Lamellen. Dadurch ist diese Strecke als *Falte* charakterisiert, die sich in das Lig. ovarii und nach vorn in das Lig. uteri teres fortsetzt. Alle drei Falten sind selbständig gewordene Strecken einer ursprünglichen Falte, die als Urnierenfalte im fötalen Zustande einheitlich ist. Das Lig. uteri teres (s. o. S. 256) ist in seinem Verlaufsstück außerhalb des Leistenkanals praktisch von Bedeutung (s. u. Anwendungen).

Das *Parametrium* ist das Beckenbindegewebe in der Umgebung des Uterus zwischen Bauchfell und Fascia pelvis. Ebenso wird die Blase durch ein *Parazystium* (kystos = Blase) und das Rektum durch ein *Paraproktium* (proctos = Steiß, After) umhüllt; alle drei sind Bindegewebsmassen mit Fetteinlagerungen und Venenplexus zwischen der Wand der Organe und der Fascia endopelvina. Parametrium, Parazystium und Paraproktium stehen miteinander in unmittelbarer Verbindung; im Horizontalschnitt bilden sie eine Doppellicht ( $\infty$ ). Nach hinten steht dies Beckenbindegewebe mit dem unter der Fascia pelvis gelegenen Bindegewebe der Beckenwand in Verbindung, nach vorn mit dem Bindegewebe

Im natürlich gestellten Becken ist der Hauptteil des Ligamentum latum horizontal gelagert; etwa längs der Ebene i, k (der winkligen Biegung der Tube entsprechend) biegt das Ligamentum senkrecht um und tritt an die seitliche Beckenwand. Dabei läuft die hintere Lamelle allein weiter, um die seitliche Beckenwand zu überkleiden, während die vordere, die viel kürzer ist, alsbald nach vorn zur Blasegegend weiter läuft. An der seitlichen Beckenwand kann also von einem „doppelblättrigen“ Ligamentum latum gar nicht gesprochen werden. Die *hintere* Lamelle, an der das Ovarium hängt, ist hier

es prävesikalen Spaltes; um die Vasa iliaca interna herum und längs dieser setzt es sich große Becken fort. Nach abwärts besteht ein Abschluß durch den Beckenboden.

## Anwendungen.

Der Uterus des neugeborenen Mädchens unterscheidet sich durch seine Gestalt von der des reifen erwachsenen. Anfänglich ist die Zervix ein langgestrecktes Rohr, das Korpus nur ein unbedeutender Anhang. (Cervix 2 cm, Korpus 1 cm). Auch bei älteren Kindern sind diese Verhältnisse noch ähnlich. Bei Eintritt der Pubertät tritt starkes Wachstum des Korpus auf. Dies wird gegen die Zervix selbständiger und richtet sich winklig gegen sie ab.

Die gegenüber der normalen Anteversio-flexio als wichtigste Lageanomalie, *Retroversio*, (*-flectio*) benannte Lage entsteht der Hauptsache nach durch Erschlaffung der normalen Befestigungsapparate im Pouch of Douglas (Lig. cardinale, besonders dessen elastischer Elemente). Diese Retroversio-flexio ist die Hauptursache der *Senkungen* (Prolapse) indem bei der veränderten Lage die vordere Scheidenwand verdrängt und nach abwärts gedrängt wird. Ihr folgt die Portio vaginalis. Begünstigend kommt für die Entstehung der Senkungen die Erschlaffung des Beckenbodens (Levator ani, Fascia diaphragmatis pelvis) in Betracht, die nach Ansicht anderer auch an sich als Ursache der Prolapse in Betracht kommt. Ätiologisch davon zu sondern sind solche Vorfälle, die als Folge großer Perinealhernien, z. B. solcher des unglässchen Raumes entstehen (vgl. oben S. 245).

Von den Befestigungsapparaten kommt dem Lig. teres in operativer Hinsicht große Bedeutung zu. Er wird nach Spaltung der Aponeurose des M. obliq. abd. im Leistenkanal aufgesucht, und nach Eröffnung des Processus vaginalis (Nuckii) aus der Bauchhöhle herausgezogen, teilweise exstirpiert und mit seinem Ende in die Naht der Aponeurose eingenäht, so entsteht eine kräftige Fixation des Uterus nach vorn hin (Operation nach Alquié, Alexander-Adams).

Von den peritonealen Umschlagsstellen ist die vordere, zwischen Blase und Uterus durch sehr lockere Anheftung an das subseröse Gewebe ausgezeichnet. *Hier gelingt also, z. B. bei der vaginalen Totalexstirpation die stumpfe Abhebung des Bauchfells am leichtesten.* Es ist auch klar, daß die vordere Wand der Cervix nach der Blase hin ohne Gefahr, das Peritoneum zu verletzen, eingeschnitten werden kann, wenn es sich z. B. darum handelt, die Cervix zu erweitern, während an der hinteren Wand durch das Cavum peritonei eröffnet werden kann. Auch kann man von der vorderen Vaginalwand in das lockere Gewebe zwischen Cervix und Blase nach oben vordringen und von hier zu operativen Zwecken den Genitalorganen innerhalb der Bauchhöhle diese Höhle von der Excavatio vesicouterina aus eröffnen. Im gleichem Zweck dringt man von dem oberen Teil der Scheide aus, und zwar von dem hinteren Scheidengewölbe, in den Peritonealsack vor unter Eröffnung der Excavatio rectouterina; im allgemeinen scheint hier das Vordringen leichter, weil man nicht erst noch die Cervix von der Blase zu isolieren hat.

Die Kreuzung des Ureters mit der A. uterina ist für die Operationen am Uterus eine der allerwichtigsten anatomischen Tatsachen. Ihre Kenntnis und Beachtung bewahrt davor, bei Unterbindungen der A. uterina (z. B. bei Totalexstirpationen) oder bei der Naht von Cervixrissen den Ureter zu verletzen (vgl. S. 345). Seine Lage am oberen Teil der Vagina ist zu beachten; seine leichte Verschieblichkeit ermöglicht bequeme, stumpfe Isolierung. Für die Unterscheidung eines durchschnittenen Ureters von einer durchschnittenen A. uterina ist wichtig die Tatsache, daß der Ureter ein sternförmiges Lumen besitzt, die Arterie nicht.

Die lockere Beschaffenheit des Parametrium und seine Verbindung mit Paracystium und Paraproctum erklärt die gefährliche Ausbreitung von Beckenabszessen. Sie beeinflussen auch die Lage des Uterus, sie ihn anfänglich mechanisch zur Seite drängen (Lateropositio nach der gesunden Seite), später nach abgetretener narbiger Sehrumpfung zur kranken Seite herüberziehen.

Die hintere Vaginalwand ist durch ihre Lagebeziehung zur vorderen Rektumwand von großer Bedeutung. Es trennt unterhalb des Diaphragma pelvis der Damm die Vagina und ihr Vestibulum von dem Mastdarm. Hier können geringe Grade des *Dammrisses bei der Geburt* zur Zerreißung der Wand des Vestibulum vaginae unter verschieden starker Beteiligung des Dammgewebes und der äußeren Haut führen. Ist der Riß vollständiger, so zerreißt auch die *vordere Mastdarmwand*.

Die nahe Beziehung der Scheide zum Rektum hinten und zur Blase und Urethra vorn erklärt anatomisch die Lage der *Scheidenfisteln*. Man unterscheidet Vesikovaginal- und Urethrovaginalfisteln. Noch seltener aufwärts kommen Vesikozervikalfisteln vor. Abgesehen von Wunden und Neubildungen ist es das

Fig. 352. Muskeln, Gefäße und Nerven des männlichen Dammes.

Fig. 353. Trigonum urethrale. Corpus cavernosum urethrae durchschnitten, hinterer Teil zurückgeschlagen. Nach einem Formolpräparat unter Benützung einer Abbildung aus Waldeyer „Das Becken“.

lange Verharren des vorliegenden Kindsteiles, besonders des Kopfes bei engem Becken im Beckeneingang wodurch Druckangrän des Septum vesico-cervicale, vesico-vaginale oder urethro-vaginale entsteht. Traumen, Dammrisse und Neubildungen führen zur Entstehung von Rektovaginalfisteln.

Über die angeborenen Fisteln (vgl. unten S. 264). Hinsichtlich der Lymphbahnen des Uterus der wichtigen Tatsache zu gedenken, daß die der Cervix mit den vaginalen Lymphbahnen zu den *Leisten-drüsen* hinziehen (Cervix-Karzinom!) während die Lymphbahnen des Korpus zu den Lymphknoten im Innern des Beckens führen.

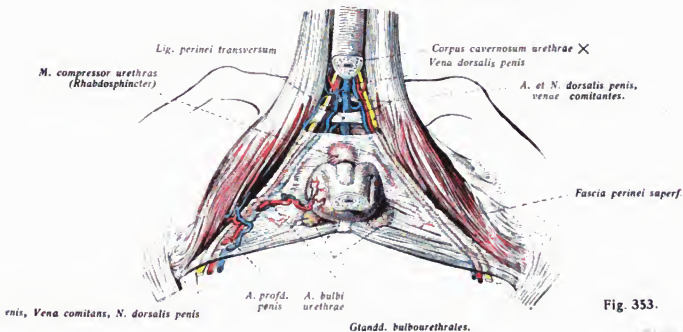
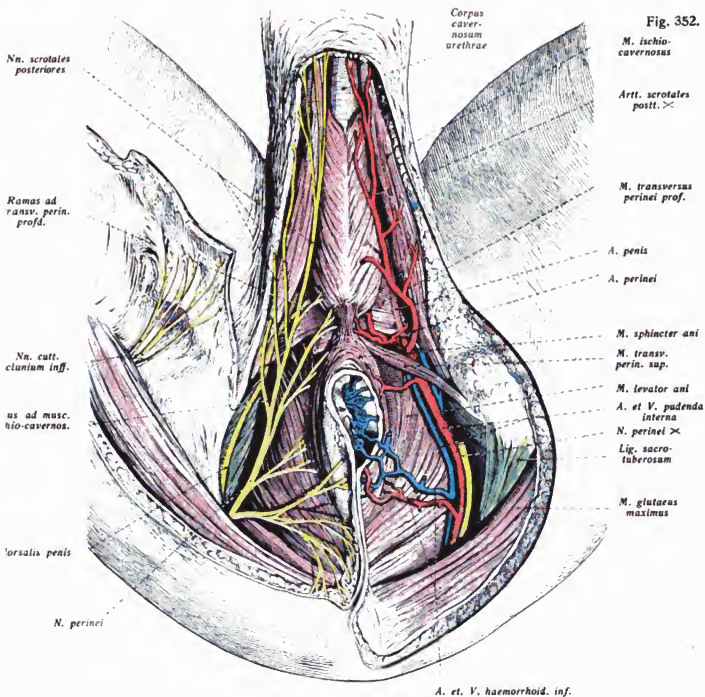
### III. Der Damm (Fig. 352—354).

Als „Damm“ (perineum) bezeichnet man das Gebiet zwischen der Ausmündung des Verdauungs- und des Urogenitalsystems. Beim weiblichen Geschlecht trägt dieser „Damm“ seinen Namen völlig zu recht, da er in der Tat nur die schmale Brücke zwischen After und Vagina umfaßt. Beim Mann entsteht durch röhrenförmige Verwachsung der Genitalfalten (= Labia minora) das Corpus cavernosum urethrae, und die Genitalwülste (= Labia majora) bilden sich zum Skrotum um, so daß beim Manne der Damm viel breiter ist und das Gebiet vom After bis zur Harnröhrenöffnung des Penis umfaßt. (Über Mißbildungen dieser Teile s. unten S. 264).

*Topographisch* umfaßt das Gebiet des Dammes die gesamte unterhalb des Beckenausgangs liegende Region. Sie entspricht in ihrer Tiefenausdehnung der III. Etage in dem schematischen Bilde Seite 239, (Fig. 324). Beim stehenden Menschen schaut die Gegend nach abwärts. Die anatomischen Präparationen und anatomischen Abbildungen zeigen sie nach aufwärts gekehrt. In solcher Lage sind die knöchernen Grenzen des Gebietes vorn die Symphyse und der Arcus pubis, seitlich die Tubera ischii, hinten die Spitze des Steißbeins. Zwischen den Tubera ischii und dem unteren Ende des Kreuzbeins vervollständigen die Ligg. sacro-tuberosa den unregelmäßig rautenförmigen Umriss. Durch diesen Umriss werden zwei Ebenen begrenzt, die mit den oben (S. 234) erwähnten Ebenen des Beckenausgangs zusammenfallen: Vorn die Ebene des Schambogens, hinten die Ebene durch Sitzbeinhöcker und Steißbein. Beide Ebenen stoßen in einer durch die beiden Tubera ischii gezogenen Linie in einem nach oben offenen Flächenwinkel zusammen. Diesen Ebenen entsprechend finden wir vorn einen Komplex von Muskeln, der dem Urogenitalapparat angehört, hinten einen solchen zum Rektum gehörigen Komplex.

Betrachten wir letztere zunächst, so finden wir (Fig. 352) den M. levator ani in der Ansicht von unten her (vgl. Fig. 326, die ihn von oben zeigt) mit seinen beiden Portionen. Ihm schließt sich eng anschließend den M. coccygeus. Beide bilden zusammen einen Trichter, dessen Spitze um den Anus herum liegt. Der Anus wird durch den M. sphincter ani umkreist (Fig. 335, 342, 352), der durch Fasern mit dem Steißbein (M. ano-coccygeus) und (Fig. 352) mit dem M. bulbocavernosus verbunden ist. Von diesem Verbindungsstrang aus zieht der M. transversus perinei superficialis zur Innenfläche des Tuber ischii. Der von Fett erfüllte Spalt, der außen vom M. levator ani liegt, ist das *Spatium ischio-rectale*; dessen tiefstes (d. h. vom stehenden Menschen *höchstgelegenes*) blindes Ende liegt am Sehnbogen der Fascia obturatoria (Fig. 324—326). Die seitliche Wand des Spatium ischio-rectale wird vom M. obturator int. (bedeckt von der Fasc. obturat. Fig. 324 rot) gebildet.

Im Trigonum urogenitale bildet der M. transversus perinei profundus einen Verschluss nach abwärts. In Fig. 326 ist dieser zwischen den vorderen Enden des M. levator



**Fig. 353.**

Fig. 354.

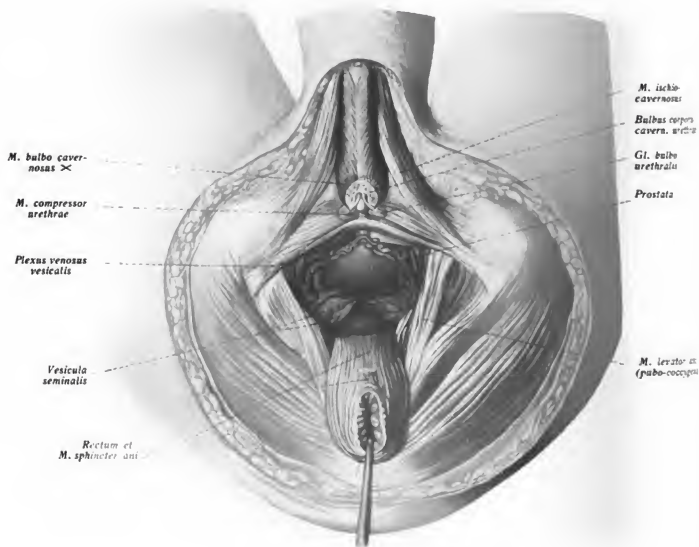




Fig. 354. Zugang zur Prostata vom Damm aus dargestellt, Nach einem frischen Präparat.

ni sichtbare Muskel von oben dargestellt, in den Figg. 352 u. 353 von unten her. Er besitzt unten einen freien Rand und wird von der Pars membran. der Urethra (Fig. 335) (bei der rau Vagina und Urethra [Fig. 346]) durchsetzt. Der die Urethra umgebende Abschnitt heißt l. sphincter urethrae membranacea. Er stellt einen *willkürlichen* Schließmuskel der Harn-*öhre* dar. Beim weiblichen Damm ist das Trigonum urogenitale zwar breiter als beim Manne, aber viel weniger muskulös und dafür fibrös umgebildet. Die dem Schließmuskel im Manne gleichwertigen Muskelfasern sind schwach und umfassen die getrennten Mündungen von Vagina und Urethra mit einer einheitlichen Schlinge (M. sphincter urogenitale). Dem Diaphragma urogenitale unten aufgelagert finden sich die Corpora cavernosa penis, die, von den Tubera ischii kommend, unterhalb der Symphyse (Fig. 353) eng zusammentreten. In diesem engen Spalt liegen die Aa. dorsales penis (Fig. 353). Zwischen ihnen liegt das nach hinten zum Bulbus angeschwollene Corpus cavernosum urethrae. Die drei Corpora cavernosa sind von ihren Muskeln überlagert (vgl. Figg. 352, 353).

Starke Faszien umgrenzen die einzelnen Regionen des Dammes. Im hinteren Gebiet wird der M. levator ani unten von dem unteren Blatt der Fasc. diaphragmat. pelv. überkleidet. In den Figuren nicht gezeichnet; vgl. aber den schematischen Schnitt in Fig. 324 gelb). Seitwärts schließt die Fascia obturatoria das Spatium ischio-rectale ab (vgl. Fig. 324). Im Trigonum urogenitale wird der M. transversus perinei profundus von zwei Faszienblättern der *oberen Dammfaszie* eingeschlossen, die sich hinten und vorn zu starken Sehnenstreifen verdicken (Fig. 335). Der vordere kurze Sehnenbogen, der unter dem Arcus (Angulus) pubis quer hinüberläuft, heißt Ligamentum perinei transversum. Zwischen ihm und dem Lig. sacrospinale, das den Winkel zwischen den beiderseitigen Schambeinen auskleidet, tritt die *vena dorsalis penis* aus dem Becken heraus. In Fig. 353 ist das Diaphragma urogenitale unten in situ dargestellt; man sieht es jederseits zwischen M. ischio-cavernosus und M. bulbo-cavernosus von seinem Faszienblatt überkleidet in einem dreieckigen Bezirk freiliegen, wenn die genannten Muskeln, wie in Fig. 352 geschehen, leicht auseinander gedrängt werden. In Fig. 353 ist das Corpus cavernosum urethrae durchgeschnitten und nach hinten und vorn zurückgelegt. Man sieht das Lig. transversum und ein Stück des unteren Blattes der tiefen Dammfaszie. Die *oberflächliche Dammfaszie* überzieht die gesamten Muskeln des Penis und den M. transversus perinei superficialis. Um den Rand dieses Muskels tritt die oberflächliche Faszie zu dem eben genannten Sehnenstreif, der das Diaphragma urogenitale hinten abschließt. Hier verwächst die oberflächliche Faszie mit der tiefen. Es entsteht also ein Faszienpalt zwischen oberflächlicher Dammfaszie und Diaphragma urogenitale, in der die drei Corpora cavernosa des Penis mit ihren Muskeln, die als membranacea urethrae und die Glandulae bulbo-urethrales (Cowperi) liegen. Dieser Palt ist nach vorn gegen das Skrotum und den Penis und dadurch auch gegen die Bauchhaut geöffnet, weil sich die Fascia perinei superficialis in die Fascia superficialis der behaarten Hautgegenden fortsetzt.

Gefäße und Nerven der Regio perinealis sind der N. pudendus und die A. pudenda interna. In ganzer Ausdehnung ist der Verlauf dieser Gebilde aus Fig. 352 zu ersehen. Der Nerv entsteht aus dem Plexus pudendus ( $S_2-S_4$ ). Er ist motorischer Nerv für sämtliche Dammuskeln mit Ausnahme des M. levator ani, der vom Plexus sacralis versorgt wird, und sensibler Ast für die Haut des Dammes, des Skrotums und des Penis (und der

entsprechenden weiblichen Teile). Nerv und Arterie (Fig. 327, 391) treten am unteren Rande des M. piriformis aus dem Becken heraus, umkreisen die Spina ischii und treten durch das Foramen ischiadicum minus wieder ins Becken zurück. Sie liegen dann an der Innenfläche des M. obturator internus, von dessen Faszie bedeckt.

Vom Damm aus betrachtet (Fig. 352) trifft man die beiden Gebilde tief aus dem Winkel zwischen Rand des M. gluteus maximus und Lig. sacrotuberosum herauskommen. Sie werden nach Spaltung der Fascia obturatoria knapp einen Finger breit vom unteren Rande des Sitzbeinhöckers entfernt gefunden. Der Nerv liegt außen, die Arterie darunter und medial. Im Bereich des Spatium ischiorectale verlassen Nerven und Gefäße zur Haut von Damm und Skrotum sowie zu den Muskeln des Afters die Stammgefäße (A. und N. perinei). Die Hauptstämme laufen als A. penis und N. dorsalis penis fort. Sie kommen in tiefere Lage und werden gefunden in dem Winkel zwischen M. bulbo- und ischiocavernosus. Doch liegen sie dabei *eingeschlossen in das Diaphragma urogenitale*. Erst unterhalb des Schambogens durchsetzen sie den M. transversus perinei profundus, um als A. und N. dorsalis penis weiterzulaufen. Sie nehmen dabei (Fig. 353) die unpaarige V. dors. penis zwischen sich, die getrennt von ihnen zwischen Lig. arcuatum und transversum hindurchzieht.

Für die Muskeln des Trigonum urogenitale gehen die Nerven aus dem N. perinei hervor (Fig. 263), während die A. penis noch eine weitere Teilung entsprechend den Teilen des Penis erfährt. Zum Corpus cavernosum urethrae, zur Prostata und den Glandulae bulbo-urethrales tritt die A. bulbi urethrae von der A. penis ab. Diese selbst zerfällt in ihre Endäste A. profunda penis zum Corpus cavernosum penis (tritt etwas weiter nach vorn von der A. bulbi urethrae ab) und die A. dorsalis penis. Die Venen begleiten, einfach oder doppelt, die Arterien und bilden starke Plexus, von denen in Fig. 352 nur ein Teil (Plexus haemorrhoidalis inferior s. oben S. 248) dargestellt ist.

Von wichtigen topographischen Beziehungen zu den Organen des Beckens sei hier nur nochmals die zur Prostata erwähnt (Fig. 354, vgl. oben S. 251) sowie die Lage der Glandula bulbo-urethralis, die in der Substanz des M. transversus perinei profundus liegt (Fig. 353), während ihr Ausführungsgang, dem der anderen Seite sich stark nähernd, nach vorwärts zieht und an der Unterseite der Urethra ausmündet.

### Anwendungen.

Wichtige Entwicklungsstörungen spielen vor allem beim männlichen Damm eine Rolle. Zu erwähnen sind:

1. *Atresia ani und recti*. Der Enddarm hängt im ersten Fötalmonat ohne eine äußere Öffnung nur mit der Harnblase (Allantois) zusammen. Gegen Ende der 4. Woche bildet sich die Aftereinstülpung, die sekundär mit dem Enddarm in Zusammenhang tritt. Die beiden Hauptformen der hier entstehenden Mißbildungen, auf deren Vorhandensein den Arzt schon die äußere Untersuchung des neugeborenen Kindes sofort, zu mindest aber die bald auftretenden Symptome der Kotverhaltung aufmerksam machen müssen, sind die Atresia ani (es fehlt bei ausgebildetem Enddarm die Afteröffnung) und die Atresia recti (es fehlt bei vorhandenem Anus die Verbindung mit dem Rektum; Anus und Rektum enden blind).
2. Kommunikationen zwischen Rektum und Blase beim Manne, Rektum und Vagina beim Weibe (*angeborene Fisteln*) entstehen dadurch, daß die normaler Weise bis zur 10. Fötalwoche erfolgende Scheidewandbildung zwischen Rektum und Allantois nicht oder unvollkommen eintritt. Die Dammbildung erfolgt in Fortsetzung jener Scheidewandbildung im 4. Monat. Auch hier ist Gelegenheit zur Entstehung abnormer Kommunikationen, z. B. zwischen After und Scheide, gegeben.
3. Die Anlage der äußeren Geschlechtsorgane ist anfänglich für beide Geschlechter die gleiche (*homaphroditisch*). Die *Genitalfalten* bilden die Labia minora, die *Genitalwülste* die Labia majora.

Beim Manne verwachsen die Genitalfalten röhrenförmig und bilden mit ihren Schwellkörpern die Pars cavernosa und das Corpus cavernosum urethrae. Die Genitalfalten bilden durch Verwachsung das Skrotum. Die paarigen Corpora cavernosa penis wachsen über dem corpus cavernosum zum Rücken des Penis zusammen. Epispadie und Hypospadie sind die Folgen von Störungen im Verwachsen dieser Gebilde. *Epispadie* ist diejenige Mißbildung, bei der der Harn aus einer abnormen Öffnung an der oberen Seite des Penis entleert wird. Sie ist meist mit Symphysen- und Blasenpalten verbunden (*Epispadia penis*) oder beschränkt sich auf die Spaltung der Glans, die genetisch dem Corpus cavernosum urethrae zugehört. *Hypospadie* ist die Mißbildung, bei der die abnorme Öffnung an der unteren Seite des Penis liegt (*H. glandis, penis, scrotalis, perinealis*). Bei hohen Graden dieser Mißbildung besitzen die Geschlechtsteile weiblichen Habitus (*Pseudohermaphroditismus externus*).

Das fetthaltige Bindegewebe des Spatium ischio-rectale begünstigt die Ausbreitung *periproktitischer* Abszesse. Sie findet eine Grenze am M. levator ani und seinem Fascien, kann aber diese Grenze durchbrechen, besonders leicht am Darmansatz des M. levator ani. Der Abszeß gerät dann ins Spatium subperitoneale. Folgt der Abszeß der unteren Fläche des Levator nach vorn, so kann er zwischen den vorderen freien Rändern beider Muskeln ebenfalls ins Spatium subperitoneale und zwar zur Prostata hingen (Fig. 326).

*Fistelbildungen* des Anus können inkomplette innere (die nicht nach außen durchbrechen) inkomplette (die die Darmlichtung nicht erreichen) und komplette (mit äußerer und innerer Mündung) sein. Die letztere durchsetzt meist den M. sphincter ani; die innere Mündung liegt dann dicht oberhalb dieses Muskels (ca. 3 cm vom After entfernt), die äußere dicht neben dem After.

Die Verhältnisse des oberflächlichen Blattes der Dammfaszie machen es verständlich, daß Abszesse, von der Urethra ausgehend, sich *nicht nach hinten* ausbreiten. Sie liegen in dem Faszienpalt zwischen dem oberflächlichen und dem den M. transversus perinei profundus bedeckenden Blatt. Ihre Ausbreitung erfolgt daher nach vorn auf den Penis und sogar die Bauchhaut (Öedeme).

## Einiges über die topographische und angewandte Anatomie des Rückens.

(Fig. 92, 355, 356, 357)

Der Rücken umfaßt die in ihrer Schichtung äußerst gleichförmige Fläche, die sich vom Kopf längs des gesamten Rumpfes nach abwärts ausdehnt. Ihr oberster Bezirk gehört als „Nacken“ dem Halse an, kaudal schließen sich die zu Brust, Bauch und Becken gehörigen Bezirke an. Bei nicht allzu fettreichen Körpern sind die Umrisse der Muskulatur und einige Skeletteile deutlich wahrzunehmen (Fig. 185). Von letzteren ist die zum mindesten tastbare Vertebra prominens zu erwähnen, deren Bestimmung für das Abzählen der Wirbel wichtig ist. Sie ist die erste Knochenerhebung, auf die der von oben längs der Mittellinie hinabastende Finger stößt, weil die Dornfortsätze der oberen Halswirbel kurz sind und in der mächtigen Nackenmuskulatur (Figg. 156—158) stecken. Die Abzählung der tiefer gelegenen Dornfortsätze ist oft, namentlich in der Thorakalgegend, sehr erschwert. Deutlich heben sich die Cristae iliacae ab. In der Gegend der Spinae iliacae posteriores superiores ist die Haut fester mit dem Periost verwachsen; durch die ringsum fettreichere Haut werden jene Punkte als Fossulae lumbales vertieft. Beide Fossulae nebst den unteren Rändern der Crista iliaca bis in die Crenula an der Spitze des Kreuzbeins hin begrenzen das Kreuzbeindreieck, das durch grubchenartige Einziehung des Dornfortsatzes des 5. Lendenwirbels zur *Sakralraute* werden kann. Weiter aufwärts liegt die *Lendenraute*, seitwärts durch Einziehungen begrenzt, die durch Zusammenfluß der beiden Lamellen der Fascia lumbodorsalis, außen vom Erector trunci, entstehen.

Auf die Bedeutung der Kreuzbeinraute für die Beckenmessung ist oben (S. 241) hingewiesen worden.

Von Skeletteilen ist weiterhin die 12. Rippe und das Schulterblatt, namentlich dessen *Angulus inferior* und der *Margo vertebralis* mit dem Beginn der *Spina scapulae* abtastbar. Die topographisch wichtigen Beziehungen für die Bestimmung von Organgrenzen besitzen (s. u.).

Hinsichtlich der Muskulatur ist der Sehnen Spiegel des M. trapezius zu erwähnen (Fig. 185) im Bereich der sich bei der Kontraktion des Muskels nicht mit zusammenziehen den Ursprungsseline des Muskels, vor allem aber der jederseits von der Mittellinie vorspringende, besonders im Lendentheil deutliche Wulst der langen Rückenmuskeln. In der Mittellinie dazwischen ist die Haut, weil mit den Dornfortsätzen fester verwachsen, als Sulcus medianus posterior gegen die Tiefe eingezogen.

Für die *regionale Einteilung* des unteren Rückengebietes vergl. Fig. 245, aus der zu ersehen ist, daß wir vor allem die Nierengegend zu beachten haben, in der auch (Fig. 220) auf- und absteigender Dickdarm gelegen sind. Leber und Milz treten (Fig. 220) in den Hypochondrien zur Oberfläche in Beziehung, während für die Lungenlappung Fig. 221 und 221a und das S. 162 Gesagte in Erinnerung zu bringen ist.

Die *Schichtung der Weichteile* im Bereich des Rückens ist durchweg einfach (vgl. S. 259). Unter der sehr derben Haut liegen zunächst die breiten Rückenmuskeln, deren oberflächlichster, der *M. trapezius*, vom *N. accessorius* versorgt wird, während alle anderen (*M. latissimus dorsi*, *rhomboides*, *levator scapulae*) aus dem *Plexus brachialis* und (*M. rati posteriores*) von ventralen Spinalnerven (Interkostalnerven) versorgt werden. Zwischen den kräftigen Blätter der *Fascia lumbodorsalis* (Fig. 259) eingeschlossen liegt der *Erector trunci*, der medial den Lateralfortsätzen der Lendenwirbel und den Rippen aufgereiht ist. Einwärts vom tiefen Blatt der *Fascia lumbo-dorsalis* findet sich dann der *M. hydratus lumborum* (Fig. 259), während seitlich der hintere Umfang der breiten Bauchmuskeln in die Wandung des Rückens eingeht.

Im Bereich des Thorax bilden nach innen vom *Erector trunci* Rippen und Interkostalmuskeln die Wandung des Rückens (Fig. 192), während in der Nackengegend die komplizierte Schichtung der Nackenmuskeln (*M. splenius*, *iliocostalis longissimus*, *seminalis*, *multifidus*) vorliegt (Fig. 156 bis 158). Die langen Rückenmuskeln werden von medialen Spinalnerven in segmentaler Anordnung versorgt. Fig. 356 gibt für den oberen Teil des Rumpfes ein Bild dieser Schichtung. Die sensiblen Anteile dieser Nerven treten zur Haut des Rückens; der 2. Nerv der Reihe entwickelt den starken *N. occipitalis magnus*, der sich mit seinem Hautgebiet bis zum Scheitel empor erstreckt (Fig. 92).

In topographisch-anatomischer Hinsicht beanspruchen zwei Stellen des Rückens besondere Beachtung. Es sind dies das tiefegelegene Nackendreieck, in dem das dritte Verästelungsstück der *A. vertebralis* gelegen ist (vgl. S. 136, 139) und der median gelegene Streifen, innerhalb dessen wir das Rückenmark finden.

Um auf die *Arteria vertebralis* zu gelangen, sind die Nackenmuskeln schichtweis abzuräumen (Fig. 92 und 355). Nachdem die oberflächlichen Muskeln (*M. trapezius*, *splenius capitis*, *longissimus capitis* und *semispinalis capitis*) zurückgelegt sind, gelangt man in das tiefe Nackendreieck, das von den beiden schrägen Hinterhauptsmuskeln (*M. rectus capitis superior* und *inferior*) und dem *M. rectus capitis major* begrenzt wird. Innerhalb dieses von Fettmassen erfüllten Dreiecks bildet der hintere Bogen des Atlas eine glatte und deutlich fühlbare Knochenplatte. Unmittelbar am oberen Rande dieser Platte findet man das Endstück der Arterie, die aus dem Foramen transversarium des Atlas kommt und von lateral nach medial zieht. Sie läuft hier nahezu genau quer im Sulcus arteriae vertebralis des Atlas. Hierbei ruht sie auf der *Membrana atlanto-occipitalis posterior*, um dann zu durchbohren.

Die Arterie ist nicht leicht zu erreichen, da das Dreieck, in dem sie sich findet, in beträchtlicher Tiefe liegt. Außerdem ist sie durch einen kräftigen Ast der *A. occipitalis* (Fig. 355) überlagert, und es fließt, ihr parallel und nach außen von ihr, eine *Vena vertebralis*, die in Beziehung zu einem starken, in der Figur nicht abgebildeten Venenplexus (*plexus vertebralis posterior*) steht. Dieser Venenplexus verbindet außerdem die Venen der Rückenmuskeln, Schädelvenen, *Vena occipitalis* und *Vena occipitalis profunda*, so daß der Bereich der *A. vertebralis* ein dichtes, blutreiches Netz bildet. Der *N. suboccipitalis* tritt zwischen ihr und dem Bogen des Atlas in das tiefe Nackendreieck.

Das Rückenmark liegt durch mannigfache Einrichtungen allen durch die Bewegungen der Wirbelsäule entstehenden Zerrungen entrückt, in geschützter Lage im Wirbelkanal.

Fig. 355. Situs der Arteria vertebralis im tiefen Nackendreieck.

Fig. 356. Rami posteriores der oberen Spinalnerven.

Um zu ihm zu gelangen, ist zunächst die Freilegung der Wirbelbögen erforderlich, was durch Abtragung der langen Rückenmuskeln geschieht. Besonders im Halsgebiet stark ausgebildete Venengeflechte (Plexus venosi vertebrales externi) bedecken die Außenfläche der Wirbelbögen. Diese Venengeflechte stehen durch Knochenvenen und durch die Foramina intervertebralia mit den innerhalb des Wirbelkanals im Epiduralraum liegenden Venengeflechten in Verbindung. Durchtrennt man (Fig. 357) die Bögen und entfernt sie samt dem Periost, so gelangt man in den Epiduralraum. Das Rückenmark ist von einem Doppelblatt der Dura mater umgeben (vgl. S. 41), deren äußeres als Periost den Wirbelkörper anliegt. Zwischen beiden Blättern liegt der Epiduralspalt, von Fett und Venenplexus erfüllt. Das innere Blatt der Dura mater bildet einen derbwandigen Sack, der bis in die Höhe des 2. Kreuzbeinwirbels hinabreicht. Er besitzt röhrenförmige Ausstülpungen, die als Duralscheiden den austretenden Spinalnerven folgen. Innerhalb des Duralsackes befindliche Flüssigkeiten können also längs der Spinalnerven in den von der Dura gebotenen Scheiden nach außen treten.

Unterhalb der Dura mater gelangt man in den Subduralraum, einen Lymphspalt, und als dessen innere Abgrenzung auf die Arachnoides (Fig. 357). Auch diese Haut reicht so weit nach abwärts, wie der Duralsack. *Dagegen erstreckt sich das innerhalb der Arachnoides gelegene Rückenmark nur bis zum 1. oder 2. Lumbalwirbel hinab, so daß nach abwärts von diesem Punkte der Arachnoidalraum kein Rückenmark mehr umschließt.* Das Rückenmark verkümmert nach abwärts vom Conus terminalis zum Filum terminale, das, soweit es im Duralsack liegt als Filum termin. intern. bezeichnet wird, während es, von einer fibrösen Scheide der Dura mater umschlossen, als Filum terminale externum aus dem Sakralkanal heraustretend, auf der dorsalen Seite des Steißbeins endigt. Die aus dem Rückenmark heraus tretenden Nervenwurzeln verlaufen, solange (beim Fötus) das Rückenmark den Wirbelkanal vollständig ausfüllt, genau quer unmittelbar zum Foramen intervertebrale. Sobald der Wirbelkanal stärker wächst, muß sich ein schräger und schließlich steiler Verlauf bei den unteren Spinalnerven, den Nervenwurzeln herausbilden. So entsteht die *Cauda equina*, die das Filum terminale allseitig umgebend, im Arachnoidalraum gelegen ist.

### Anwendungen.

Für die Diagnose von Rückenmarksverletzungen erinnere man sich, daß Zerstörungen des II. (spino-muskulären) Neurons der motorischen Bahn schlaffe Lähmungen der betroffenen Muskeln ergeben, Zerstörungen des I. sensiblen Neurons zu Ataxie führen, Zerstörungen des I. motorischen Neurons (cortico-spinale Bahn, Pyramidenvorder- und -seitenstrang) bei erhaltenem Reflexbogen spastische Lähmungen zur Folge haben. In Betreff der Unterscheidung, ob bei einer Läsion des II. motorischen Neurons die Ganglienzellen oder vorderen Wurzeln, oder aber der periphere Nerve betroffen ist, desgleichen ob die Schädigung den sensiblen Nerven oder die sensible Wurzel getroffen hat (radikuläre, periphere Lähmung) vgl. weiter unten S. 276.

Von Symptomen totaler Rückenmarkszerstörungen sind als wichtigste zu erwähnen: Läsionen des Halsmarkes sind im oberen Teil sofort tödlich (Phrenicus, Atemmuskeln) im unteren Halsmark und Thorakalmark tritt der Tod nicht sofort ein, sondern erst sekundär durch Lähmung der Atemmuskeln. Im Halsmark werden sympathische Störungen auftreten (Verengerung der Pupille wegen Lähmung des Dilator, Verengerung der Lidspalte wegen Lähmung der Mm. tarsales [vgl. oben S. 139]). Unterbrechung der Pyramiden- und der aufsteigenden sensiblen Bahnen, endlich die Störungen in der Innervation der Blase und des Mastdarms führen bei allen Totalläsionen früher oder später zum Tode (Zystitis, Dekubitus usw.).

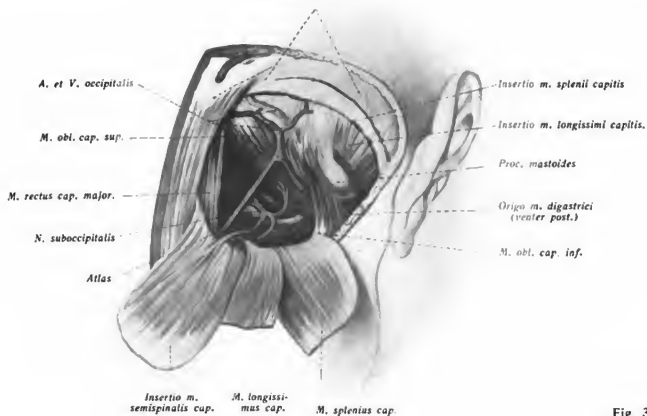


Fig. 356.

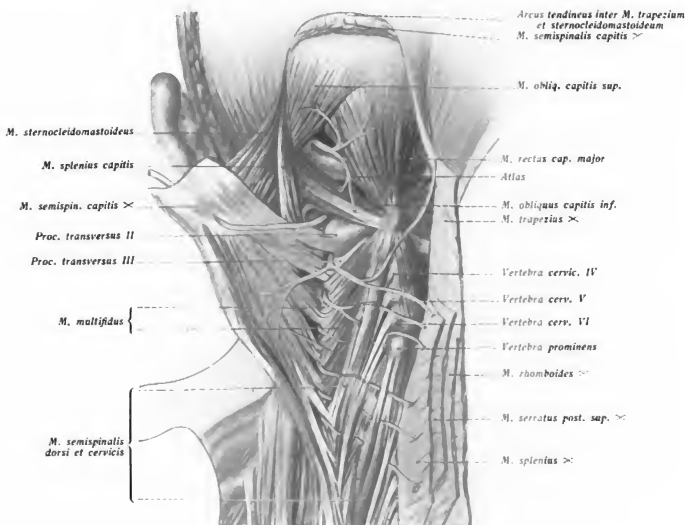


Fig. 357.

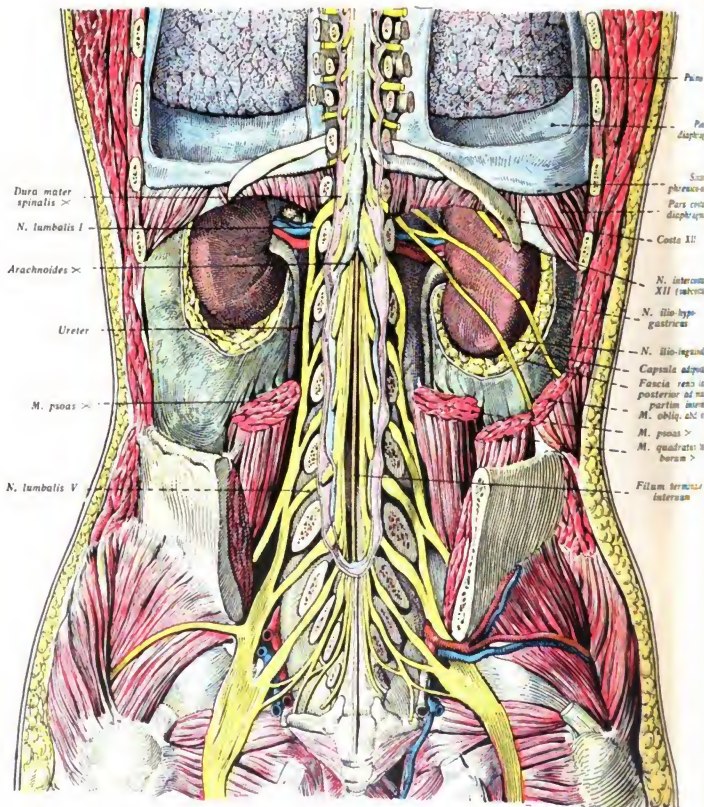




Fig. 257. Situs des Rückenmarks und der Nieren. Ansicht von hinten. Teilweise unter Benutzung eines Hisschen'schen.

Die Höhe der Verletzung läßt sich hieraus in weiteren Grenzen bestimmen. Zur genaueren Lokalisation dient die Feststellung der Störungen der Hautsensibilität und Muskelinnervation. Hat man die Höhe diagnostiziert, so ist damit der Ort, an dem eine Operation die Störung (Blutung, Tumor, Wirbelfraktur usw.) aufsuchen muß, noch nicht bestimmt, da sich Rückenmarkssegment und Austritt aus der Wirbelsäule nicht decken. Hat man z. B. den Sitz eines Tumors im Gebiet des 9. Thorakalsegmentes ignoriert, so muß die Höhe dieses Segmentes in bezug auf die Dornfortsätze festgestellt werden. Anhaltspunkte geben folgende Daten. Es liegt

Das 8. Zervikalsegment	im Bereich des Dornfortsatzes des 7. Halswirbels
„ 6. Thorakalsegment	„ „ „ „ 5. Thorakalwirbels
„ 9. „	„ „ „ „ 7. „
„ 12. „	„ „ „ „ 9. „
„ 5. Lumbalsegment	„ „ „ „ 12. „
„ 5. Sakralsegment	„ „ „ „ 2. Lumbalwirbels.

Bei Kindern liegt das Rückenmarksende tiefer; erst im 12. Lebensjahr ist die endgültige Lage erreicht.

Die *Lumbalpunktion* bezweckt Eröffnung des Arachnoidalraumes unterhalb der Endigung des Rückenmarks, im Bereiche der Cauda equina (Entlastung bei Hirndruck, zu diagnostischen Zwecken, Einnahme von Anästhetika). Ort des Einstiches sind die Spalten zwischen den Bögen der unteren Lumbalwirbel, bei Erwachsenen bis zum 2. Lumbalwirbel, bei Kindern nicht über den 4. Lumbalwirbel hinaufwärts. Die Kanüle dringt durch das Lig. interspinale, durch den Subduralraum und durch das Arachnoides in den Arachnoidalraum ein, wobei sie die Nervenwurzeln zur Seite schiebt. Beim Erwachsenen liegt der für den Einstich günstigste Ort, d. h. der Zwischenraum zwischen 4. und 5. Lumbalwirbelbogen, in der Linie, die die höchsten Punkte der Darmbeinkämme verbindet.

Die *epidurale* Injektion vermeidet das Eindringen in den Arachnoidalraum, wodurch gewisse Gefahren in der Ausbreitung des eingeführten Anästhetikums vermieden werden. Sie läßt sich vom Hiatus sacralis aus ausführen; die Nadel dringt aufwärts bis zum 3. Sacralwirbel, wo der Duralsack endet, durch gelingt die Anaesthetisierung der unteren Sacralnerven.

Die Durchschneidung einzelner hinterer Wurzeln setzt (z. B. bei spastischen Lähmungen der Arme und Beine) die Reflexerregbarkeit der vorderen Wurzeln herab (vgl. unten S. 277). Die Eröffnung des Wirbelkanals, die dazu notwendig ist, nimmt den gleichen durch die oben geschilderten anatomischen Verhältnisse (Fig. 357) gewiesenen Gang, wie die *Laminektomie* überhaupt.

## Topographische und angewandte Anatomie der Extremitäten.

### I. Morphologische Einleitung in die topographische Anatomie der Extremitäten.

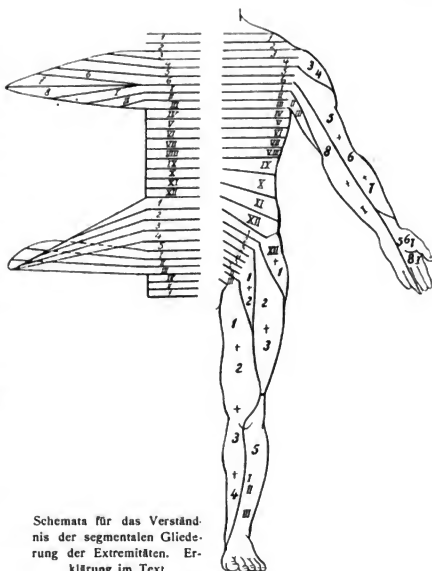
Für das Verständnis des gesamten Aufbaues der Extremitäten, vor allem für die Nervenversorgung und alle damit zusammenhängenden Fragen der Diagnostik und Therapie ist es wichtig, sich klar zu machen, daß die Extremitäten Knospen der *ventralen* Körperwand sind. Alle Muskeln, die wir in den Extremitäten finden und alle Nerven, die sie und die Haut versorgen, sind also der *ventralen* Körperwand entsprossen (s. oben S. 7). Daher sehen wir in den Extremitäten eine bestimmte Anzahl von ventralen Anteilen der Körpersegmente in stark umgebildetem Zustande vor uns. Da jedes Körpersegment die Anlagen für Skelett, Muskeln, Nerven und Gefäße enthält, so müssen diese Anlagen auch in bestimmter *serialer Anordnung* in den Extremitäten wiederkehren. Beim Menschen ist für die obere Extremität das 5. bis 9. Körpersegment, für die untere Extremität das 21. bis 28. Segment der typische Mutterboden des Aussprossens, wie es das Schema in Fig. 358 links zu zeigen versucht. Das embryonale Material, das diese Segmente für die genannten Systeme in sich schließen, bleibt aber, wenn die Extremitäten zur weiteren Entwicklung gelangen, nicht gesondert, schließt sich vielmehr für das Skelett, für die Muskeln, Gefäße, Nerven und Haut zu größeren Komplexen zusammen und es entstehen dadurch die *höheren Einheiten*, die wir als Knochen, Muskeln, Gefäße, Nerven und Integument der Extremitäten vor uns sehen. Die segmentale Zusammensetzung läßt sich indes durch Verfolgung der Entwicklungsgeschichte und durch Analyse des ausgebildeten Zustandes noch deutlich nachweisen. Für diese Analyse ist vor allem die Nervenversorgung bedeutsam.

Sehen wir von den im einzelnen recht schwierig deutbaren Verhältnissen des Skelettes hier ab, so ist zunächst der *Muskeln* zu gedenken. Die Muskeln der Extremitäten stellen nicht mehr niedere Einheiten (Myotome) dar, sondern höhere Einheiten, die aus Verschmelzungen weniger oder zahlreicher Myotome hervorgegangen sind. Da zu frühembryonaler Zeit, schon bei der Anlage der Urwirbel zu jedem Myotom der segmentale Nerv unmittelbar herantritt, und da bei dem Auswachsen der Extremitätenknospen die einmal hergestellte Verbindung zwischen Myotom und Spinalnerv nicht mehr gelöst wird, so hat die Verschmelzung der Myotome zu „*Muskeln*“ auch die Verschlingung der Spinalnervenzwurzeln zu „*Plexus*“ zur Folge. Aus der Zahl der für einen „Muskel“ bestimmten Rückenmarksegmente kann also die Zahl der den Muskel zusammensetzenden Myotome erschlossen werden. So entstammen z. B. die Schultermuskeln dem 5. und 6. Myotom, die Beuger des Oberarms dem 5., 6. und zum Teil 7. Myotom, die Strecker des Oberarms dem 6. bis 8. Myotom. Das Schema der Figur 358 links zeigt, wie an der oberen Extremität die mittleren Segmente distalwärts verschoben und wie an der unteren Extremität die Segmente der Oberschenkelstreckmuskulatur den höheren, die Segmente der gesamten Beugemuskeln des Beines den tieferen Segmenten entstammen.

Alle diese Muskeln sind „ventrale“ Muskeln. Sie werden von ventralen Nervenästen versorgt. Die Verschmelzung der Myotome zu Muskeln führt zur Bildung der „Plexus“ (brachialis, lumbosacralis). Das mächtige Wachstum der Extremitäten erklärt die Stärke der Plexusnerven; diese wirkt auf die graue Substanz des Rückenmarks (Intumescentia cervicalis und lumbalis) zurück. Aus dem erwähnten Zusammenhang zwischen ventralen Muskeln und ventralen Ästen der Spinalnerven ist es als gesetzmäßig zu erkennen, daß auch Muskeln, die topographisch auf dem „Rücken“ liegen, dennoch von Nerven des Plexus brachialis (Mm. latissimus, rhomboideus, levator scapulae usw.) und des Plexus lumbosacralis (Mm. quadratus lumborum, glutei usw.) versorgt werden.

Diese für die Beziehungen der Extremitäten zu ihren Muttersegmenten (5.—9., 21.—28. s. o.) gültigen Regeln können indes Ausnahmen erleiden, indem sich gelegentlich die Extremitätenknospe auf ein tieferes oder höheres Segment verschiebt. Das hat dann zur Folge, daß auch Unregelmäßigkeiten in der Plexusbildung eintreten. Am häufigsten findet sich das bei der unteren Extremität, wo dann zugleich Vermehrung oder Verminderung der Lendenwirbel, verbunden mit Verkürzung oder Verlängerung des Kreuzbeins oder (bei normaler Fünfzahl der Kreuzbeinwirbel) Verminderung oder Vermehrung der Steißbeinwirbel ein Anzeichen für die abnorme Gruppierung der Segmente abgibt. Auch an der oberen Extremität kommt Ähnliches vor (z. B. Entstehung des N. phrenicus aus dem 5. Lenden des N. subclavius aus dem 4. Zervikalsegment).

Von besonderer Bedeutung ist die segmentale Anordnung des Materials bei den Hautnerven. Die Ausbreitung der sensiblen Nerven folgt während der Entwicklung den durch e motorischen Nerven im Plexus gebotenen Bahnen (*Braus*). Das Wachstum der Haut aber bringt es mit sich, daß die einzelnen Segmente sich schichtweis überlagern und, genau wie bei den Muskeln, führt demnach jeder „Hautnerv“ seinem Endgebiet Fasern zahlreicher Spinalganglien (Segmente) zu. Man hat also (Figg. 358a und 358b) zu unterscheiden zwischen dem *Hautnerven* einer Gegend und den Segmenten (Spinalganglien und unteren Wurzeln), die sie versorgen. So versorgt z. B. der N. cutaneus antibrachii late-



Schemata für das Verständnis der segmentalen Gliederung der Extremitäten. Erklärung im Text.

Fig. 358.

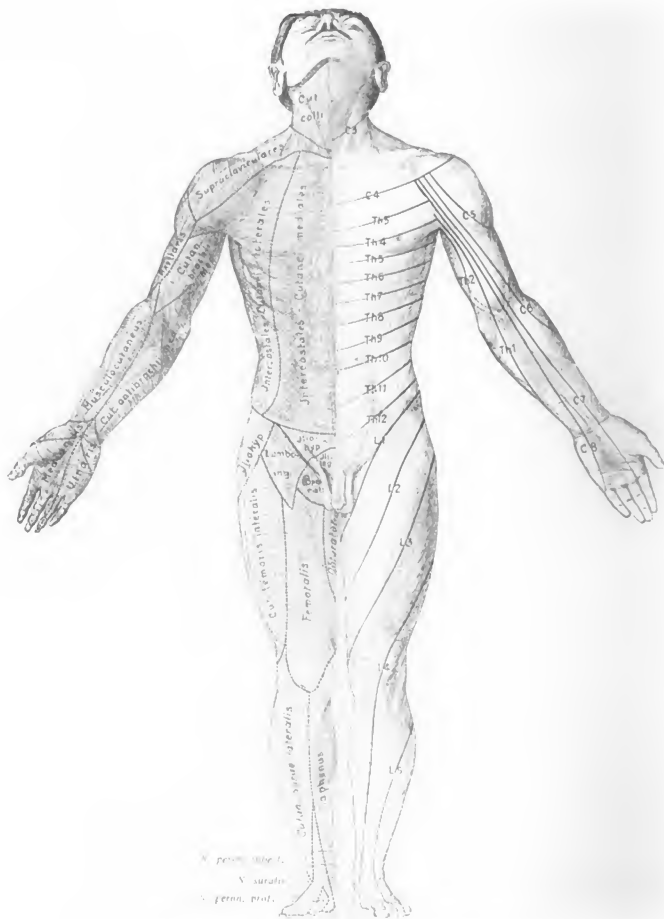


Fig. 358a.

Aus: Villiger, Periph. Innervation, Verlag W. Engelmann, Leipzig.

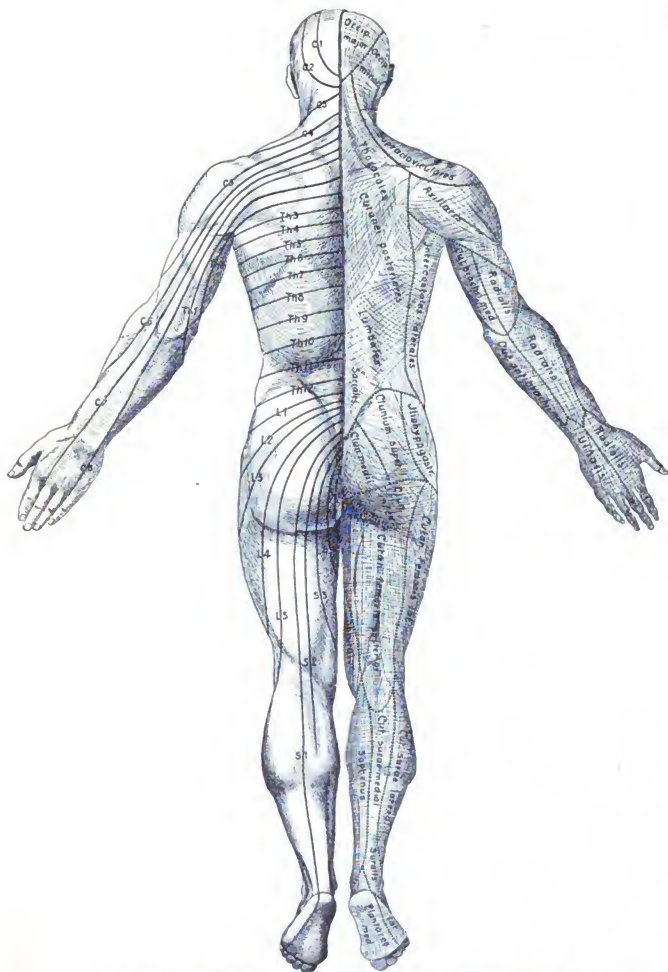


Fig. 358b. Aus: Villiger, Periph. Innervation, Verlag W. Engelmann, Leipzig.

ralis die radiale Seite der Beugefläche des Unterarms. Da aber der N. musculo-cutaneus dessen Endast jener Hautnerv ist, aus dem 5., 6. und 7. Zervikalsegment stammt, so müssen sich überall, wohin der Nerv sensible Fasern bringt, auch Neuriten der 5., 6. und 7. hinteren Wurzel ausbreiten. Vom Standpunkt der Metamerenlehren ausgedrückt, bedeutet das, daß im ausgebildeten Zustand die Hautsegmente (Dermatome) übereinander gewachsen („geschichtet“) sind. Sorgfältige Untersuchung der Hautsensibilität, vor allem bei Nervenkrankheiten, kann die Überschichtungsverhältnisse feststellen. Nun ist aber der N. cutaneus antibrachii nicht der einzige Hautnerv, der Elemente des 5., 6. und 7. Zervikalsegmentes enthält; auch im N. medianus und N. radialis verlaufen Bestandteile dieser Segmente. Es werden also auch an anderen Stellen der Haut von Arm und Hand diese Segmente vorhanden sein, z. B. an der radialen Hälfte der gesamten Extensorenseite (Nn. cutaneus brachii dorsalis, antibrachii dorsalis, Ramus superficialis N. radialis) und an der Hohlhand im Bereiche der  $3\frac{1}{2}$  radialen Finger (N. medianus). In der Anordnung dieser Segmente läßt sich die Gesetzmäßigkeit, die sich aus der Bildung der Extremitäten aus Knospen bestimmter Gegenden der Körperwand ergibt, leicht erkennen (Fig. 358 links). Bei der oberen Extremität liegen die höheren Segmente (5—7) an der radialen, die tieferen (8 und I) an der ulnaren Fläche des Armes. Die in die Bildung des Plexus brachialis nicht mehr eingehenden Segmente sind die benachbarten 3 und 4 (Nn. supraclaviculares) und die Nn. intercostales II und III. Diese oberen und unteren Nachbarsegmente beteiligen sich, wie aus der Skizze ersichtlich, ebenfalls noch oben und unten an der Innervation der Haut der oberen Extremität. So kann die Innervation der Haut der oberen Extremität formal begriffen werden (Figg. 358a und b rechts): Die Haut der Schulter gehört den Nn. supraclaviculares ( $C_3, C_4$ ) an; eine durch die Mitte des Armes gezogene Linie scheidet das radial liegenden Gebiete der Nn. musculo-cutaneus und radialis ( $C_{5,6,7}$ ). Distal liegt das Gebiet des N. medianus ( $C_5—C_8, Th_1$ ). Ulnarwärts von der Mittellinie liegt das Gebiet der Nn. cutanei brachii und antibrachii medialis und des N. ulnaris ( $C_8, Th_1$ ). In der Achselhöhle endlich (Fig. 362) treten die Nerven des Plexus intercosto-brachialis ( $Th_1$  bis  $Th_3$ ) zur Haut und vermitteln zwischen der Hautinnervation des Armes und der Rumpfwand.

An der unteren Extremität wird durch das Schema (Fig. 358 links) verständlich, wie das Gebiet des Plexus lumbalis ( $L_1—L_4$ ) die Haut des Oberschenkels versorgt, aber auch (N. saphenus) ein sich keilförmig von der Patella bis zum medialen Knöchel hinüberstreckendes Hautgebiet besitzt.

Die endgültige Überschichtung der Hautsegmente gelangt in den Figg. 358a und b insofern zum Ausdruck, als die schwarzen Linien die mittleren Zonen der Segmente angeben, von denen aus die Überlagerung sich vollzieht. In anderer Weise, mehr schematisch, ist diese Überlagerung in Fig. 358 rechts zur Darstellung gebracht.

In der Anordnung der Muskeln und Nerven kommt in den Extremitäten aber noch eine ganz andere Gesetzmäßigkeit zum Ausdruck; es ist die der Anordnung in *Beuge-* und *Streckmuskeln*. Für die obere Extremität ist der N. radialis *Strecknerv*, was bereits in seiner Lage im Plexus brachialis zum Ausdruck gelangt, wo er den Fasciculus *posterior* bildet. *Kein Neurit* aus den Ganglienzellen der Radialiskerne geht zu Beugemuskeln; und wenn dies scheinbar, z. B. für den M. brachialis, nicht so selten der Fall ist, so zeigt genauere Untersuchung, daß hier Nerven vorliegen, die sich schon im Plexus vom vorderen Fascikel

den hinteren verirrt haben und distal ihr normales Endgebiet aufsuchen. Für die untere Extremität ist der N. peroneus *Strechnerv* für Unterschenkel und Fuß, der im allgemeinen mit dem N. tibialis zum N. ischiadicus zusammengeschlossen ist. Daß auch er *dorsal* vom tibialis liegt, zeigen die nicht so seltenen Fälle, in denen im Foramen infrapiriforme der M. piriformis *durch* den N. ischiadicus hindurchdringt und ihn bereits hoch oben in den tibialis und den dorsal vom Muskel gelegenen N. peroneus zerspaltet.

In wesentlich anderer Richtung liegt der Wert der formalen Betrachtung für die *Gefäße* der Extremitäten. Hier sind es die so überaus häufigen *Varietäten*, vor allem der *Arterien* und ihre chirurgische Bedeutung, deren Verständnis uns die vergleichende Anatomie und die Embryologie der Extremitätengefäße erschlossen hat. Auch für die *Arterien* und Gliedmaßen sind in Frühstadien der embryonalen Entwicklung mehrere segmentale Gefäße nachgewiesen. Eines dieser Gefäße reißt dann die gesamte Blutversorgung an sich; die obere Extremität ist es das Gefäß des 6. oder 7. Segmentes („Subklavia“), für die untere Extremität das Gefäß des 23. oder 24. Segmentes (4. und 5. Lumbalsegment „Ichiadia“). Beide Gefäße haben das Eigentümliche, daß sie auf den *Beugeseiten* der Gliedmaßen hinablaufen. Bei der oberen Extremität ist das dauernd der Fall, bei der unteren Extremität ändert sich das Verhalten.

Die „*A. subclavia*“, die beim Erwachsenen rechts und links formal nicht gleichwertig (vgl. oben S. 109), ist links vollständig, rechts dagegen erst in ihrem *absteigenden* Teil ein Segmentgefäß (der *aufsteigende* Teil ist hier rechtseitiger 4. „Aortenbogen“). Im Bereich der Extremität durchbohrt sie die Nervenanlage (Umschlingung durch den Plexus brachialis beim Erwachsenen, S. 282), folgt dann dem N. medianus an seiner radialen Seite und setzt sich als *A. interossea* auf den Unterarm fort. Diese gibt die nach dorsal perforierende *A. interossea dorsalis* ab. Die Hauptgefäßstämme entwickeln sich aus Anastomosen, aus denen sie gleichsam herausmodelliert werden, unter, wie es scheinen möchte, dem Einfluß bestimmter mechanischer Faktoren, vor allem der Blutströmung. Das erste bleibende Gefäß ist die *A. ulnaris*, die durch Anastomosen (*A. collateralis ulnaris*, *A. recurrens ulnaris*) mit dem Hauptstamm dauernd verbunden bleibt. Diese bleibende *A. ulnaris* leitet den Blutstrom der *A. interossea* zum großen Teil zu sich selbst hin ab, so daß sie das Hauptgefäß des Unterarms wird. Die *A. radialis* und die *volaren* Handbögen sind ebenfalls wegsam gebliebene Hauptstrecken von Arteriengeflechten. Vorzüglich muß eine von diesen Geflechten erwähnt werden, die den obersten Bezirk der *A. subclavia* vor ihrem Austritt durch den Plexus mit dem distalen Bezirk in der Ellenbeuge verbindet. Dies ist das *oberhalb* des N. medianus fließende *A. brachialis anterior*, deren Persistenz Ausgangspunkt für wichtiger Anomalien wird (s. unten S. 287).

An der unteren Extremität setzt sich die *A. ischiadica* als *A. peronea* auf den Unterschenkel fort und endet mit einem zwischen Tibia und Fibula auf die Streckseite hindurchgehenden Ast, der als *A. dorsalis pedis* endet. Dieser Zustand ist als Varietät nicht selten im Erwachsenen zu beobachten. Ein höher abgehender Ast der *A. ischiadica* ist die gleichfalls perforierende *A. tibialis anterior*. In starken Anastomosen vorgebildet, entwickelt sich schon im 2. Fötalmonat vorn die *A. femoralis*, die den Blutstrom auf die vordere Seite zu sich hin ablenkt. Die Spur der *A. ischiadica* bleibt dann (abgesehen von den Fällen, wo abnormerweise bestehen bleibt) in jenen Anastomosen erhalten, die beim Erwachsenen der Hinterfläche des Oberschenkels zwischen den Aa. gluteae, den Aa. perforantes und

der *A. poplitea* nachweisbar sind. Ebenso lenkt die später entstehende *A. tibialis posterior* das Blut aus der *A. peronea* zu sich hin ab und führt als *A. plantaris lateralis* das Blut auf den Fußrücken. Dadurch, daß das ursprüngliche dorsale Endstück der *A. ischiadica* nach oben hin Anastomosen mit der *A. tibialis anterior* eingelit, wird die *A. peronea* ganz ausgeschaltet bis auf ihren schwachen perforierenden Ast zur *A. tibialis anterior*, wo es entsteht der endgültige Zustand. Gelegentlich kommt eine *A. saphena* zur Ausbildung, die mit dem *N. saphenus* durch den Adduktorenkanal tretend, bis zum unteren Drittel des Unterschenkels reichen kann.

*Bei den Versuchen, die Entstehung des normalen Endzustandes oder die Ausbildung der zahlreichen Varietäten an den Extremitätengefäßen aus mechanischen Ursachen allein zu erklären (Blutstrom, Muskeltätigkeit, unbekannte Faktoren) darf man natürlich die bemerkenswerteste Tatsache nicht außer acht lassen, daß gerade die wichtigsten Varietäten der Extremitätenarterien atavistische Befunde darstellen. Die frühembryonale A. interossea volaris als Hauptstamm, die gelegentlich auch als Varietät als direkte Fortsetzung der A. brachialis erhalten bleibt, existiert in dieser Rolle bei den meisten Säugetieren. Eine oberflächliche A. brachialis (A. brachialis anterior) besitzen viele Primaten als Norm. Der frühembryonale Zustand der Arterien der unteren Extremität, von dem her sich eine A. ischiadica oft als Varietät erhält, ist der Dauerzustand bei Nichtsäugern usw.*

Soweit es sich also nicht um reine *Hemmungsbildungen* handelt, kommt den mechanischen oder ganz allgemein den äußeren Faktoren auch bei der Entstehung der Varietäten der Extremitätenarterien nur die Bedeutung eines auslösenden Reizes für die Verwirklichung mannigfacher in der Anlage schlummernder ererbter Entfaltungsmöglichkeiten zu.

*Oft ist die Frage laut geworden, inwieweit man die Extremitäten auch direkt miteinander vergleichen könne, und man hat versucht, z. B. die untere Extremität als eine auf die Streckseite gedrehte obere aufzufassen, die Patella gleich dem Olekranon zu setzen usw. Diese Art der Vergleichung geht von falschen Voraussetzungen aus; denn die Ähnlichkeit zwischen beiden Extremitäten ist keine andere, als diejenige, die z. B. zwischen zwei aufeinanderfolgenden Rippen oder Wirbeln besteht; auch zwei Wirbel, zwei Rippen, zwei Kiemenbögen zeigen aber trotz ihrer Ähnlichkeiten, die sie als segmentale Bestandteile schlechthin besitzen, doch Verschiedenheiten, die ihnen als selbständigen Organen zukommen. So sind auch die beiden Extremitäten trotz gleicher Skelettelemente, voneinander doch sehr verschieden, so daß unmittelbare Vergleichung unmöglich ist. Das ist schon bei den Tieren mit terrestrischer Lokomotion so, wo die vordere Extremität den Körper nach sich zieht, die hintere ihn vorwärts stößt. Jene besitzt im Ellbogengelenk einen nach vorn offenen, diese im Kniegelenk einen nach hinten offenen Winkel. Der Vorderarm steht in Pronationsstellung (mit radialer oberer Kante), die Hohlhand schaut nach innen. Die untere Extremität kehrt ihre Streckseite nach vorn, der Unterschenkel ist gegen den Oberschenkel winklig geknickt, der Fuß steht dorsal flektiert und berührt mit der Sohle den Boden. Beim Menschen liegen die Dinge ähnlich, und keine Brücke eines Vergleichs führt von Knie- zum Ellbogengelenk, von den Fuß- zu den Handgelenken.*

## Anwendungen

Das über die segmentale Innervation der Muskeln und der Haut Gesagte ist wesentlich für die Diagnose von Lähmungen. Ist die motorische Leitung (von der motorischen Vorderhornzelle bis zum Muskel) an irgend einer Stelle unterbrochen, so kann die Lähmung radikulär und peripherisch sein.



lär ist sie, wenn die Ganglienzellensäule, die den Neuriten eines Nerven, den Ursprung gibt, oder nn, was in der Wirkung das gleiche ist, eine oder mehrere Wurzeln betroffen sind; *peripherisch* dagegen, wenn der Nervenstamm irgendwo jenseits des Plexus unterbrochen wird. Die Symptome werden in beiden Fällen verschieden und so charakteristisch sein, daß aus ihnen der Sitz der Läsion genommen werden kann. Die Folge peripherischer Läsionen wird die Lähmung sämtlicher, z. B. vom radialis versorgter Muskeln sein. Es ist nicht denkbar, daß bei Zerstörung der Kontinuität des radialis in der Achselhöhle irgend ein Streckmuskel am Arm in Funktion bleibt. Sitzt die Läsion einer Wurzel des N. radialis, so wird nur Ausfall der Fasern eines Segmentes stattfinden. Um Lähmungen eines Muskels herbeizuführen, müssen dann schon mehrere benachbarte Wurzeln befallen in, z. B. wird Zerstörung der Radialiswurzeln im 5. und 6. Segment nur den M. supinator und den brachioradialis außer Funktion setzen. Ist andererseits z. B. ein Tumor vorhanden, der die Segmente C<sub>8</sub> und Th. 1 schädigt, so werden hinsichtlich des N. radialis nur die Mm. supinator und die achioradialis in Funktion bleiben, weil nur sie noch Fasern vom 5. intaktem Segment beziehen.

Ähnlich liegen die Dinge für die sensiblen Gebiete. Eine periphere Lähmung, z. B. des N. cutaneus antibrachii lateralis wird durch ein scharf umschriebenes anästhetisches Gebiet am Vorderarm nentlich sein. Radikuläre Lähmungen dagegen werden die Sensibilität diffus herabsetzen, z. B. bei Zerstörung der hinteren Wurzel im 5. Segment überall da, wo dieses Segment in der Haut vertreten ist, nun aber jeder Bezirk der Haut durch mehrere Segmente versorgt wird, so wird völlige Unempfindlichkeit z. B. auf der Radialseite von Arm und Hand erst dann eintreten, wenn mindestens drei hintere Wurzeln (3—7) zerstört sind. Ist noch eine erhalten, so ist die Sensibilität im Endgebiet nur herabgesetzt, nicht aufgehoben. Von diesem Verhalten hat man praktisch da Gebrauch gemacht, wo die Herabsetzung der Reflexerregbarkeit zur Aufgabe wurde. (bei spastischen Lähmungen). Durchschneidung der hinteren Wurzeln im Bereich des Plexus brachialis und lumbosacralis setzt die Sensibilität der Gliedmaßen stark herab, ohne, sofern man nur eine Wurzel intakt erhält, zur Anästhesie zu führen. (Förster.)

Der oben erwähnte Gegensatz zwischen Beuge- und Strecknerven ist kein absoluter, was sich daran ergibt, daß man bei Lähmungen eines Beugemuskels diesen mit dem Stumpf eines gesunden Streckmuskels reinigen kann. Das gleiche wird erreicht, wenn man einen gesunden Nerven anstelle des erkrankten den gelähmten Muskel einpflanzt, oder auch gesunden Muskel auf gelähmten Muskel aufnäht, wonach die Nerven des gesunden Muskels in den gelähmten einwachsen. In solchen Fällen ist Übung erforderlich, um zu lernen, daß ein bestimmter (z. B. als Beugebewegung) gewollter und erteilter Impuls als Streckbewegung abläuft.

Die in neuerer Zeit mehrfach besprochene Frage, ob die Nervenfasern innerhalb eines Nerven (z. B. des N. medianus) eine bestimmte und konstante Lagerung zeigen, scheint im negativen Sinne entschieden werden zu müssen. Jeder Nerv ist in sich selbst makroskopisch und mikroskopisch bis in die feinsten Erstelungen ein Plexus gröberer, feinerer und feinsten Bündel und Fasern, so daß also von den Nervenwurzeln im Rückenmark bis zur Peripherie ein ununterbrochenes Geflecht der Nervenfasern besteht. In welcher Weise die einzelnen, zusammengehörigen Nervenfasern ihren Weg durch dies Geflecht nehmen, ist zu bestimmen noch nicht gelungen.

Hinsichtlich der Extremitätenarterien sei bemerkt, daß grade denjenigen Anastomosen, die im fötalen Zustande als primitive auftreten, im ausgebildeten Zustande besonderer Wert für Kollateralzirkulation zukommt. Endarterien, d. h. solche, die keine oder nur schwache präkapillare Anastomosen zeigen, kommen an beiden Extremitäten vor. An der oberen Extremität gelangt durch die A. profunda brachii, an der unteren Extremität durch die A. profunda femoris kein Blut in die distalen Abschnitte des Gliedes, existens nicht in solchem Maße, daß daraus Kollateralbahnen entstehen können.

Die Kenntnis der normalen Anatomie des Extremitätenskelettes genügt bei dem gegenwärtigen Stande der Ontogenologie nicht, um den Kliniker vor folgenschweren Fehldiagnosen (Gutachtertätigkeit!) zu bewahren. Es muß bekannt sein, daß — namentlich an Hand- und Fußwurzel — außer den in Lehrbüchern abgebildeten Skeletteilen — zahlreiche accessorische Knochenelemente vorkommen, auch Zweiteilungen der normalen Knochen auftreten können. Auch muß die Art der Epiphysenbildung bekannt sein, um Röntgenbilder richtig beurteilen zu können. Von den zahlreichen Vorkommnissen seien hier nur erwähnt: Elbständigkeit des Akromion (Os acromiale); an der Handwurzel ein Os trapezoides zwischen Os ulnangulum majus, minus und metacarpale II, ein einfaches oder doppeltes Os centrale zwischen Os ulnangulum majus, minus und naviculare; an der Fußwurzel das Os trigoni lateral und hinten am Talus,

das Os peroneale an der Insertionsstelle des *M. peroneus brevis*, das Os tibiale externum medial zwischen Talus und Navikulare. Ein weiteres Eingehen auf diese unscheinbaren, praktisch sehr wichtigen Verhältnisse, durch die der Unkundige zur Annahme von Frakturen veranlaßt werden kann, ist im Rahmen dieses Grundrisses unmöglich, auch insofern überflüssig, als es nur dieses Hinweises bedarf, um den Praktiker aufmerksam zu machen. Im gegebenen Fall wird er eine sachgemäße, röntgenologische Darstellung zu Rate zu ziehen haben.\*)

## II. Topographische und angewandte Anatomie der oberen Extremität.

### 1. Die Schulter (Fig. 359, 360).

Die Grenzen der *Schulter* nach dem Halse hin sind gegeben durch die *Klavikula*, das *Akromion* und die vom Akromion nach dem Dornfortsatz des 7. Halswirbels gezogene Linie. Gegen den Arm ist die Abgrenzung durch den Ansatz des *M. pectoralis major* (Ursprung: Pars claviculæ von der *Extremitas sternalis claviculae*, Pars sternocostalis von der vorderen Fläche des Sternum und der sechs oberen Rippen, Pars abdominalis vom vorderen Blatt der Scheide des *M. rectus abdominis*; Ansatz: *Crista tuberculi majoris humeri*, Nn. *thoracales anteriores* C<sub>5</sub>—C<sub>7</sub>) und des *M. latissimus dorsi* (Ursprung: Proc. *spinosi* vom 7. Brustwirbel an bis auf Os *sacrum*, *Crista iliaca*, oberflächliches Blatt der *Fascia lumbodorsalis* und Außenfläche der letzten Rippen; Ansatz: *Crista tuberculi minoris*, N. *thoraco-dorsalis* C<sub>6</sub>—C<sub>8</sub>) bestimmt. Die charakteristische Wölbung der Gegend ist bedingt durch das *Caput humeri* und den aufgelagerten *M. deltoideus* (Ursprung: Pars *acromialis claviculae*, *Akromion*, *Spina scapulae* und *Fascia infraspinata*; Ansatz: *Tuberositas deltoidea humeri*, N. *axillaris* C<sub>5</sub>C<sub>6</sub>). Durch den Deltamuskul hindurch fühlt man bei Abduktion des Armes mehr oder weniger deutlich das *Caput humeri* mit *Tuberculum majus*, *Tub. minus* und den die Sehne des *M. biceps* enthaltenden *Sulcus intertubercularis*. Weiter medialwärts, noch gedeckt von dem Rande des *M. deltoideus*, ist der Proc. *coracoides* fühlbar. Bei hochgradiger Abmagerung werden diese Teile auch sichtbar. Der Proc. *coracoides* liegt etwas lateral von dem die *Vena cephalica* enthaltenden *Sulcus deltoideopectoralis*, der sich nach der *Klavikula* hin zu dem *Trigonum deltoideopectorale* an der Stelle erweitert, wo die *Klavikula* in verschiedenem Grade von Muskulatur frei bleibt. Die Haut bildet hier die *Fossa infraclavicularis* (Mohrenheimsche Grube). Am akromialen Ende der *Klavikula* ist als kurzer, sagittal gerichteter Spalt die Gegend des *Akromioklavikulargelenkes* fühlbar. In der Achselgrube ist bei erhobenem Arm der Kopf des Humerus zu palpieren oder auch als flacher Wulst zu sehen.

Legt man in der vorderen Schultergegend unter Durchschneidung der Haut, des *M. subcutaneus colli* und der Enden der Nn. *supraclaviculares*, sowie der dünnen Faszie zwischen *M. deltoideus* und *M. pectoralis major* verlaufenden *Sulcus deltoideopectoralis* frei, so findet man leicht die von dem Oberarm aus in der lateralen Bizepsfurche heraufkommende *Vena cephalica* (s. Fig. 361), welche begleitet von dem *Ramus deltoideus* der A. *thoraco-acromialis* (s. unten und S. 149), oberhalb der Sehne des *M. pectoralis minor* (Ursprung: Außenfläche der 2. bis 5. Rippe; Ansatz: Proc. *coracoides*) medialwärts verläuft, um nach Durchbohrung der tiefen Faszie (*Fascia coracoclavicularis* s. *pectoralis profunda*) in die *Vena axillaris* einzumünden. Entfernen wir die tiefe Faszie, indem wir zugleich die Portio

\*) Als solche sei verwiesen auf das kleine Werk von Köhler: Grenzen des Normalen und Anfänge des Pathologischen im Röntgenbilde 2. Auflage 1915.



Fig. 359. Obere Extre-  
mität, Streckseite. Nach  
dem Lebenden.

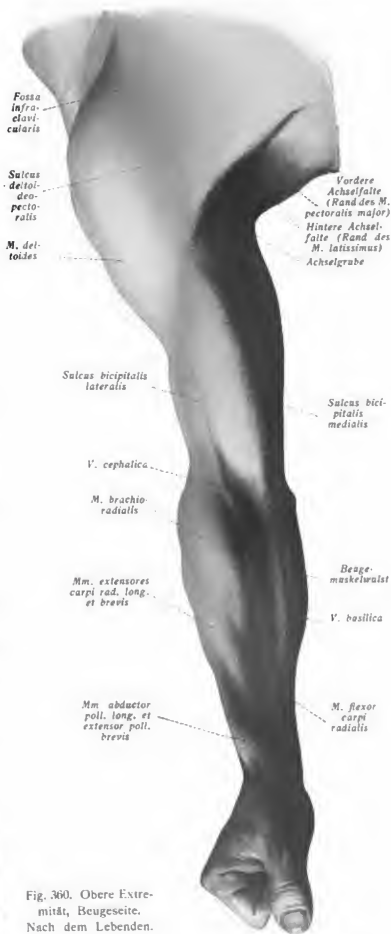


Fig. 360. Obere Extre-  
mität, Beugeseite.  
Nach dem Lebenden.

Fig. 361. Oberflächlichere Teile der Fossa infraclavicularis (Sulcus et Trigonum deltoideopectorale).

Fig. 362. Achselhöhle, an einer mit starkem Formalin injizierten Leiche dargestellt. Die Venae axillares sind wie bei der Ausführung der Unterbindung der A. axillaris nach abwärts gezogen. In der Achselhöhle ist der mit einzelnen Ästen zu den Zacken des M. serratus ant. ziehende N. thoracalis lateralis ohne Hinweisstrich.

clavicularis des M. pectoralis major an der Klavikula abtrennen und nach unten zurück schlagen, so gelangen wir in den schmalen Raum zwischen oberem Rand des M. pectoralis minor und dem M. subclavius (Ursprung: Knochen- und Knorpelgrenze der 1. Rippe; Ansatz: Untere Fläche der Extremitas acromialis clavicularae) [s. Fig. 363]. Indem wir der Vena cephalica folgen, erreichen wir medial und relativ weit vorn die Vena axillaris, lateral die Stämme des Plexus brachialis und zwischen beiden Gebilden und zugleich mehr hinten den Stamm der Arteria subclavia, die von hier an den Namen A. axillaris führt. Bei dem Freilegen der Arterie begegnen wir dem 1. Ast der A. axillaris, der A. thoracico-acromialis mit ihrem Ramus deltoideus (Seite 278), R. acromialis zum Rete acromiale und Rami thoracici zwischen M. pectoralis major und minor. Gelegentlich entspringt ein R. thoracicus selbständig aus der A. axillaris, der dann den Namen A. thoracica suprema führt. Auch finden wir hier die N. thoracici anteriores, d. s. die motorischen Nerven für die M. pectoralis major und minor. Der Gefäßnervenstrang kreuzt die Klavikula derart, daß die Arterie ungefähr der Mitte des Schlüsselbeins entspricht. Sie liegt hier bis zum M. pectoralis minor frei zwischen Vene und Plexus, während sie da, wo sie unter den Pectoralis minor tritt, in die Umschlingung des Plexus brachialis gerät.

Am unteren Rande des M. subclavius treten die für den Arm bestimmten Gefäße und Nerven in den als Achselhöhle bezeichneten Raum (Figg. 191 und 362). Dieser liegt oberhalb der von der Haut gebildeten Achselgrube, während die Achselhöhle einen von Gefäßen, Nerven, Fett und Lymphknoten ausgefüllten pyramidenförmigen Raum darstellt, an dem wir eine Spitze, die Gegend des Proc. coracoides, wo die A. subclavia über die 1. Rippe verlaufend in die A. axillaris übergeht, eine Basis, d. i. die Haut der Achselgrube und die Fascia axillaris und vier Wände unterscheiden. Die vordere Wand wird von den Mm. pectoralis major et minor gebildet. Die mediale Wand entspricht dem oberen Teil der seitlichen Thoraxwand mit dem aufgelagerten M. serratus anterior (Ursprung: Außenfläche der acht bis neun oberen Rippen; Ansatz: Margo vertebralis scapulae, N. thoracalis lateralis C<sub>5</sub>, C<sub>6</sub>). Dieser Wand liegen in der Gegend der 2. bis 4. Rippe und in den drei oberen Interkostalräumen acht bis zehn Lymphoglandulae axillares mehr oder weniger nahe an (s. Fig. 191 und oben Seite 149), sie stehen mit den Lymphgefäßen der Brust und des Armes in Verbindung. Die hintere Wand entspricht dem der vorderen Skapulafläche aufgelagerten M. subscapularis (Ursprung: Fossa subscapularis; Ansatz: Tuberculum minus humeri, Nn. subscapulares) und dem M. teres major (Ursprung: Margo axillaris scapulae und Fascia infraspinata; Ansatz: Crista tuberculi minoris zugleich mit der Sehne des M. latissimus dorsi, Nn. thoracodorsales). Die laterale Wand bilden das Schultergelenk und das Collum chirurgicum humeri. Diesen Teilen ist das Caput breve des M. biceps und der M. coracobrachialis aufgelagert.

Die Arteria axillaris liegt anfangs der hinteren, dann der lateralen Wand der Achselhöhle an; hier fühlt man nach einwärts von dem durch den M. coracobrachialis hervorgerufenen Muskelwulst die Pulsation der Arterie deutlich, hier dringt man auch hart am Rande des Muskels am sichersten ein, um bei erhobenem Arm die Arterie zu unterbinden. Gelegentlich wölbt sich hier ein flacher Wulst bei erhobenem Arm vor, welcher dem (häufig

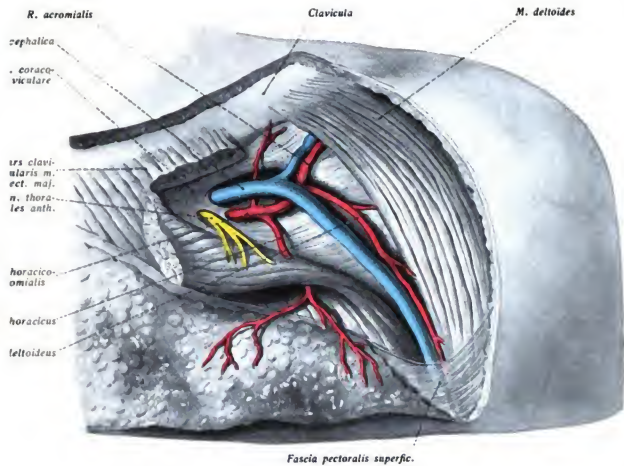


Fig. 361.

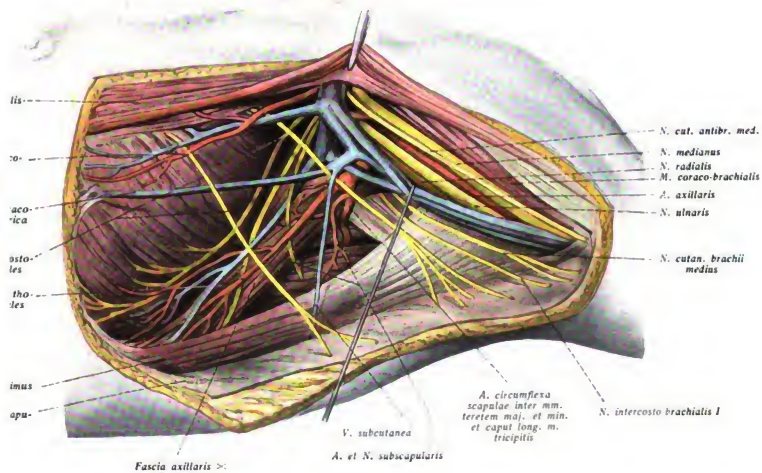


Fig. 362.

Fig. 363.

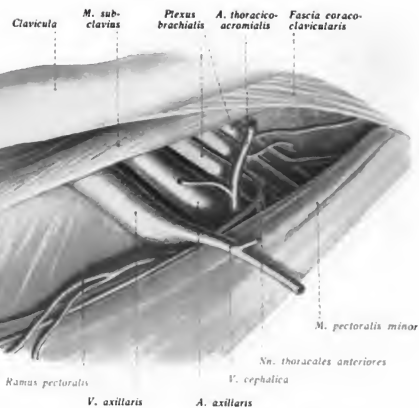


Fig. 364.

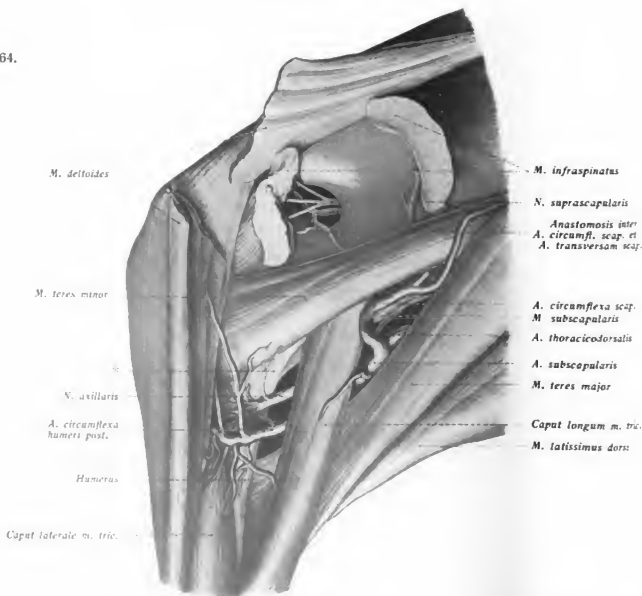


Fig. 363. Situs infraclavicularis.

Fig. 364. Hintere Schultergegend mit der lateralen und der medialen Achsellücke. Bei \* schwache Stelle der Kapsel.

lbaren) Gefäßnervenbündel der Achselhöhle entspricht. Dem Schultergelenk liegt die Arterie relativ nah. Wir können an der Arterie drei Strecken unterscheiden: 1. Vom Beginn an (in der Mitte der Klavikula) bis zum oberen Rand des *M. pectoralis minor*. 2. Unter dem *M. pectoralis minor*. 3. Vom unteren Rand des *M. pectoralis minor* bis zum unteren Rand des *M.*

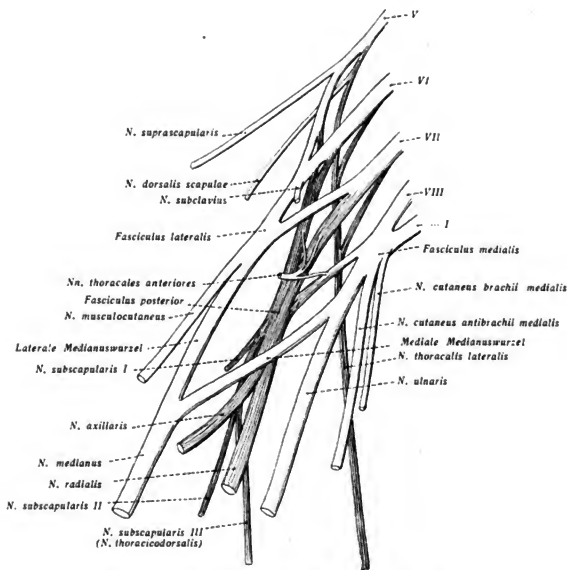


Fig. 362a. Der Plexus brachialis mit seinen Wurzeln und Ästen.

oralis major, wo die Arterie in die A. brachialis übergeht. In diesem letzten Teil legt sich an den medialen Rand des *M. coracobrachialis*. Die Arterie gibt Äste nur auf der ersten und dritten Verlaufsstrecke ab. Ihre Äste sind:

1. Die A. thoracoacromialis aus der 1. Strecke (s. S. 149 und Fig. 361).
2. Die inkonstante A. thoracalis lateralis (s. Fig. 362) (A. thoracica longa) liegt nach (mehr ventral) von der A. thoracodorsalis und entspringt oberhalb der A. subscapularis.
3. Die A. subscapularis (s. Fig. 362, 364 und 367); sie entspringt ungefähr in der Mitte der Arterie, also in der Mitte zwischen Klavikula und unterem Rand des *M. pec-*

toralis major, wo die Arterie den Namen *A. brachialis* annimmt. Die *A. subscapularis* fällt in zwei Hauptäste: a) Die *A. circumflexa scapulae*, um den lateralen Rand der Scapula auf die Dorsalfläche dieses Knochens, wo sie in der Fossa infrapinnata nach Versorgung der angrenzenden Muskeln mit der *A. transversa scapulae* (aus der *A. subclavia*) eine starke Anastomose bildet. b) Die *A. thoracodorsalis*, das stärkste Gefäß der seitlichen Thoraxwand (s. S. 150), welche, vom Rande des *M. latissimus* gedeckt, am Margo axillaris scapulae herabläuft und vornehmlich die *Mm. teres major, latissimus* und *serratus anterior* versorgt.

4. *A. circumflexa humeri anterior* (s. Fig. 367), schwach, zieht lateralwärts über die vordere Fläche des Humerushalses.

5. *A. circumflexa humeri posterior* (s. Figg. 362, 364 und 367), stark; sie entspringt neben der vorigen und geht durch die laterale Achsellücke (s. S. 283), dem Knochen anlagert, nach hinten in Begleitung des *N. axillaris*, um mit diesem vornehmlich zum *M. deltoideus* zu ziehen. Die Äste 2—5 entstammen der 3. Strecke der Arterie.

Die *Vena axillaris* (s. Fig. 362) liegt, wie die *V. subclavia*, medial und zugleich unmittelbar vorn von der Arterie, deckt also die Arterie je nach ihrer Füllung mehr oder weniger. In vielen Fällen kommt sie in der Achselhöhle doppelt oder mehrfach vor. Außer den den Arterienästen entsprechenden Venen nimmt sie die *V. cephalica* auf (s. S. 288). Über die Lymphknoten der Achselhöhle vgl. S. 149.

Die dicht unterhalb der Klavikula lateral von der Arterie gelegenen drei Nervenstämme des *Plexus brachialis*, die beiden vorderen (lateralen und medialen) und der hintere, gruppieren sich unter dem *M. pectoralis minor* so um die Arteria axillaris, daß diese zwischen die beiden vorderen Stränge und vor den hinteren tritt. Bedeckt vom *M. pectoralis minor*, gehen die beiden vorderen Stränge eine weitere, die *A. axillaris* umfassende Plexusbildung ein (s. Fig. 362a und 367). Der laterale Strang gibt den *N. musculocutaneus* und die laterale Wurzel des *N. medianus* ab. Aus dem medialen Strang entsteht die mediale Wurzel des *N. medianus*, welche mit der lateralen gabelförmig von vorn die *A. axillaris* umfaßt; ferner entsendet der mediale Stamm den *N. ulnaris* sowie den *N. cutaneus antibrachii medialis* und den *N. cutaneus brachii medialis*. Der hintere Strang entsendet den *N. axillaris* und die *Nn. subscapulares* und läuft als *N. radialis* fort. Damit klärt sich in weiterer Verfolgung des oben (S. 274) Ausgeführten die Segmentbezüge der genannten Haut- und Muskelnerven des Armes. Der vordere laterale (radiale) Strang führt Nerven der Segmente  $C_5, C_6, C_7$ . Der vordere mediale (ulnare) Strang solche der Segmente  $C_8$  und  $Th_1$ . Der hintere Strang enthält alle 5 Segmente. Es führt also weiterhin der *N. musculocutaneus* nur Nerven der Segmente  $C_5—C_7$ ; der *N. ulnaris* und die genannten Hautnerven nur Nerven der Segmente  $C_8$  und  $Th_1$ . Dem *N. medianus* aber werden durch die Plexusbildung Nerven aller fünf Segmente zugeführt, die der *N. radialis* bereits von oben herab mit sich führt.

Von den weiteren aus dem Plexus kommenden Ästen ist, abgesehen von den *Nn. thoracales anteriores* (s. S. 152), praktisch besonders wichtig der *N. thoracalis lateralis* (*thoracicus longus*), der motorische Nerv für den *M. serratus anterior* (s. Fig. 362). Er liegt dicht auf dem *M. serratus anterior* in Begleitung der *A. thoracodorsalis*, gedeckt vom Rande des *M. latissimus dorsi*. Ziemlich oberflächlich durch die Achselhöhle verläuft das gegen der *N. subscapularis* zum *M. latissimus dorsi* (*N. thoracodorsalis*, s. Fig. 362). Das



den anderen Subscapularnerven (zum *M. teres major* und *M. subscapularis*) liegen tiefer. Der *N. suprascapularis*, welcher durch die *Incisura scapulae* auf die dorsale Fläche der Scapula zu den *Mm. supra- und infraspinatus* verläuft, ist am Halse (S. 135) erwähnenswert. Auf die Abbildung des Plexus brachialis (Fig. 165) wird neben der hier (Fig. 164a) gegebenen verwiesen.

In der hinteren Schultergegend (s. Fig. 364) wird durch die Anordnung der Muskulatur ein typisches topographisches Bild erzeugt, das für das Auffinden der tiefen Gefäße und Nerven der Gegend von Belang ist. Abgesehen von den bereits erwähnten *Mm. deltoideus* und *teres major* sowie dem hinten aufgelagerten *M. trapezius*, erinnere man sich an folgende Muskeln: *M. supraspinatus*, entspringt aus der *Fossa supraspinata* und zieht über das Akromion und *M. trapezius* hindurch zum *Tuberculum majus humeri* (*N. suprascapularis*); *M. infraspinatus* aus der *Fossa infraspinata*, teils vom *M. deltoideus* bedeckt, zum *Tuberculum majus humeri* (*N. suprascapularis*); *M. teres minor*, dem unteren Rand des vorderen Muskels angeschlossen vom *Margo axillaris scapulae* zum *Tuberculum majus humeri*, (*N. axillaris*). Sein unterer Rand läuft annähernd parallel dem oberen Rand des *M. teres major*. Indem beide von dem an der *Tuberositas infraglenoidalis scapulae* entspringenden *langen Kopf des M. triceps* in der aus der Abbildung (s. Fig. 364) ersichtlichen Weise genutzt werden, kommt es zur Ausbildung der sogenannten Achsellücken:

1. Die laterale (viereckige) *Achsellücke* wird begrenzt vom Hals des Humerus, dem *M. teres minor*, *M. teres major* und dem langen Kopf des *M. triceps* (s. Fig. 364). In ihr verläuft man den Stamm der *A. axillaris* von hinten freilegen und findet außerdem die von der Oberfläche des *M. deltoideus* aus in diesen Muskel eindringenden Gefäße und Nerven: *circumflexa humeri posterior* und *N. axillaris* (s. S. 282).

2. Die mediale (dreieckige) *Achsellücke* wird begrenzt von dem langen Kopf des *M. triceps*, dem *M. teres major* und *M. teres minor*. In ihr erscheint der eine der beiden Teile der Subscapulararterie (s. S. 282), die *A. circumflexa scapulae*. Sie biegt sich um den *Margo axillaris scapulae* auf die hintere Fläche der Scapula, gedeckt von dem *M. infraspinatus*, um, aufwärts laufend, unter der Wurzel des Akromion mit der *A. transversa scapulae* zu anastomosieren (s. S. 135).

Im Schultergelenk (s. Fig. 365), dem freiesten Gelenk des Körpers, artikuliert das knorpelartige *Caput humeri* mit der *Cavitas glenoidalis der Scapula*, deren Gelenkfläche durch den Ansatz des faserknorpeligen *Labium glenoidale* eine Verbreiterung erfährt. Infolge der Inkongruenz der Gelenkflächen ragt die überknorpelte Fläche des *Caput humeri* über den Rand des *Labium glenoidale* weit hervor.

Die schlaffe *Gelenkkapsel* geht aus von dem *Labium glenoidale* und setzt sich vorn lateral oberhalb der *Tubercula* an das *Collum anatomicum*, d. h. an die Grenzfurche überknorpelten Fläche, hinten und medial etwas unterhalb des *Collum anatomicum* an. Sie überbrückt den *Sulcus intertubercularis*, in welchem die Sehne des langen Bizepskopfes verläuft. Das *Cavum articulare* bildet um die Sehne eine von einer scheidenartigen Auskleidung der Kapsel ausgekleidete Ausstülpung: *Vagina mucosa intertubercularis*. Sie bildet (bei aufrechter Körperhaltung) den tiefsten Teil des Gelenkes dar. *Tuberculum majus humeri* und *Tuberculum minus* bleiben außerhalb des Gelenkes. Eine zweite Ausstülpung bildet die Gelenkkapsel am Ansatz des *M. subscapularis*: *Bursa mucosa subscapularis*. Hier liegt der nächste Teil der Kapsel. Die *Bursa subscapularis* breitet sich häufig bis unter die

Fig. 365. Modell des Schultergelenkes mit den Schleimbeuteln. Die beiden mit der Gelenkhöhle zusammenhängenden Schleimbeutel sind, wie das Gelenk selbst, blau gehalten. Die nicht kommunizierende B. subdeltoidea ist rot dargestellt. Nach einem Berliner Modell.

Fig. 366. Querschnitt der Mitte des Oberarms. (Formalinhärtung.)

Wurzel des Proc. coracoides aus. Dieser Teil der Bursa kann auch als selbständige Bursa subcoracoidea auftreten. Eine zweite schwache Stelle findet sich an dem tiefsten Punkt des Gelenkes zwischen den Rändern der Mm. subscapularis und teres minor (s. Fig. 7). Hier ist die sonst fast ganz von Muskelansätzen bedeckte und durch diese Ansätze verstärkte Kapsel eine kleine Strecke weit *nicht* von Muskeln bedeckt.

Ein großer, selbständiger Schleimbeutel, der aber nicht mit dem Gelenk kommuniziert, liegt noch unter dem M. deltoideus auf den Insertionssehnen der M. supra- und infraspinatus. B. subdeltoidea; er dehnt sich oft nach oben zwischen das Akromion und das Lig. coracacromiale aus, und bildet dann eine besondere Bursa subacromialis. Auf dem Akromion liegt gelegentlich eine Bursa subcutanea acromialis. Die Kapsel besitzt nur ein Verstärkungsband das Lig. coracohumerale, das vom lateralen Rand des Proc. coracoides ausgeht und in die Kapsel in der Richtung nach dem Tuberculum majus hin ausstrahlt. Bedeutende Verstärkungen erfährt die Kapsel durch die in sie ausstrahlenden, zum Tuberculum majus und minus verlaufenden Endsehnen der Mm. supra- und infraspinatus, teres minor und subscapularis. Einen starken Schutz nach oben erhält das Gelenk noch durch das kräftige Lig. coracacromiale, vom Akromion zur hinteren Fläche des Processus coracoides. Es verhindert ein Ausgleiten des Kopfes nach oben, das nur unter gleichzeitigem Bruch des das Gelenk überdeckenden Akromion möglich ist. Die Epiphysenlinie des Humeruskopfes liegt lateral außerhalb medial, vorn und hinten dagegen innerhalb des Cavum articulare.

### Anwendungen.

Hinsichtlich der äußeren Form der Schultergegend ist an die *Abflachung* zu erinnern, die die Schulterrundung erfährt, wenn der Kopf des Oberarms bei Luxatio subcoracoidea die Pfanne verlassen hat, die M. deltoideus also die Ecke des Akromions hervortreten läßt.

Die Figur 362 zeigt den Gefäßnervenstrang der Achselhöhle in der typischen Lage, in der er bei der Unterbindung der A. axillaris gefunden wird. Sichtbar ist zumeist nur die Vena axillaris neben dem N. medianus; zieht man die Vene nach abwärts, so erscheint der N. ulnaris. Zwischen beiden Nerven in der Tiefe liegt dann die A. axillaris. Gewöhnlich kommen mehrere Venae axillares als Begleitgefäße der A. axillaris in Betracht, die dann zur einfachen V. subclavia zusammentreten. Die unter der Schlüsselbein breit nebeneinander und frei zugänglichen Gefäße, ziehen sich je weiter zum Arm des mehr zu ihrem drehrunden Stränge zusammen.

Die Nachbarschaft des Gefäßnervenstranges und der Clavicula erklärt, daß bei Frakturen der Clavicula durch Herabbrücken des akromialen Bruchstückes Gefäße und Nervenstämme in verschiedenen Grade gequetscht oder komprimiert werden können. Der Plexus wird hierbei häufiger verletzt, als die Gefäße. Da ferner die Nervenstämme dem Schultergelenk am nächsten liegen, drängt bei der Luxatio subcoracoidea, der Humeruskopf, der medialwärts ausweicht, in erster Linie den Nervenstrang medialwärts gegen die Rippen. Auch der das Collum chirurgicum humeri umgreifende N. axillaris (s. S. 75 und Fig. 76) kann bei dieser Luxation komprimiert oder verletzt werden. Eine Kompression des Gefäßnervenstranges macht sich fühlbar, wenn bei der Humerusfraktur im Collum chirurgicum die so häufige Einwärtsverschiebung des Schaftendes bei gleichzeitiger Abduktionsstellung des Armes eintritt. Die Gefäße werden aber, als die von dem Humeruskopf entfernteren Teile, immer geringer in Mitleidenschaft gezogen werden, als der Nervenstrang.

Die oben (S. 283) beschriebene Anastomose zwischen der Arteria circumflexa scapulae und der Arteria transversa scapulae, die als Ast der Arteria subclavia dem Gebiet des Halses angehört (S. 117) auf der lateralen Fläche der Scapula kann bei Behinderung des Blutstromes in der A. axillaris (z. B. durch Druck

Fig. 365.

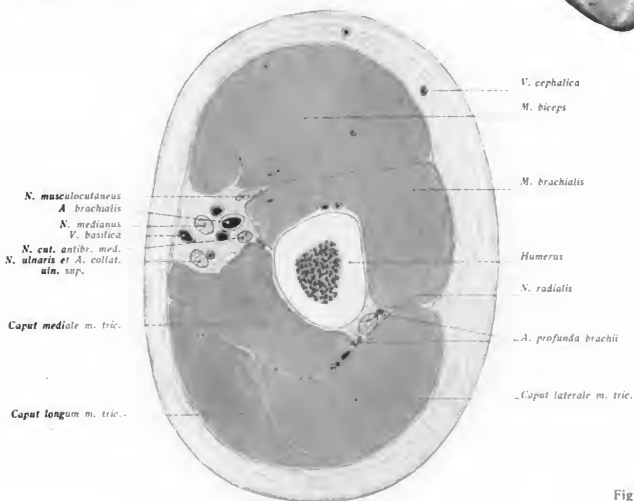
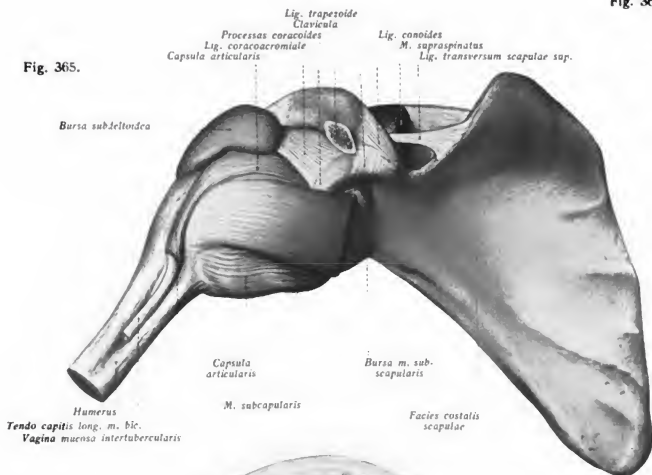


Fig. 366.

Fig. 367.

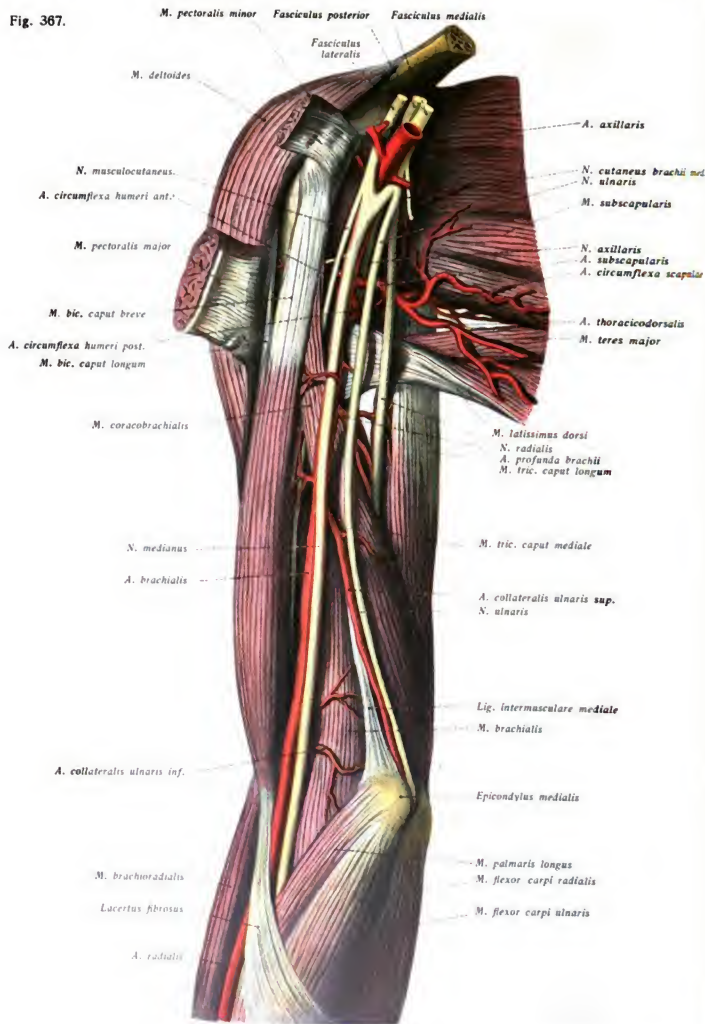


Fig. 367. Muskeln, Arterien und Nerven an der Beugeseite des Oberarms.

als Tumors) zu einer *Hauptbahn* für die Blutzufuhr zum Arm werden. Das gilt vor allem für die Verbindung der A. axillaris. Völlig sicher ist indes der Collateralkreislauf nicht. Gangrän des Arms ist in 3% der Fälle beobachtet worden. Die Lage der starken A. circumflexa humeri posterior am Halse des Humerus führt zu der Forderung, die Arterie bei Resektionen am Humeruskopf zu beachten, besser, zur Verwendung der Arterie subperiostal vorzugehen.

Die anatomischen Verhältnisse der *Schultergelenkscapsel* erklären die Wege, die der Humeruskopf bei der Entstehung der beiden Hauptgruppen von *Luxationen* nimmt. Die Capsel bietet zwei schwache Stellen, die eine liegt zwischen unterem Pfannenrande (Ursprung des langen Trizepses) und oberem Rande des M. subscapularis die andere am unteren Rande des M. subscapularis zwischen ihm und dem M. teres minor. (Fig. 365.) An der letztgenannten Stelle verläßt der Kopf die Kapsel um die Capsel zu sprengen. Tritt er dann nach vorn, so entsteht die *Luxatio subcoracoea*, bleibt er unterhalb der Pfanne auf der verbreiterten lateralen Fläche der Scapula stehen, so steht die *Luxatio axillaris*. Außer dem Lig. coracohumerale besitzt das Schultergelenk in den Lig. glenohumeralia zwei, in den anatomischen Beschreibungen meist weniger betonte Bänder, die den Kopf fixieren. Das Lig. gleno-humerale sup. zieht vom Tub. supraglenoidale zum Tub. minus humeri, das Lig. gleno-humerale inferius vom Tub. infraglenoidale und vorderen Pfannenrand zum Collum anatomicum, chirurgicum und Tub. minus humeri; jenes ist bei der *Luxatio subcoracoea*, dieses bei der *Luxatio axillaris* wirksam.

Für *Funktionen* und *Drainage* des Schultergelenkes kommt die erwähnte schwächste Stelle zwischen M. subscapularis und M. teres minor ebenfalls in Betracht. — Über die Lymphknoten der Achselhöhle vergl. das S. 149 Gesagte und Fig. 191. In Betreff der *Leitungsanästhesie* die für den N. musculospiral. oberhalb des Schlüsselbeins vorgenommen wird, vergl. S. 139.

Eine entzündliche Schwellung der *Bursa subdeltoidea* kann zu Verwechslungen mit einem Erguß ins Gelenk Anlaß geben, wenn man die in den anatomischen Verhältnissen begründeten Bewegungsstörungen nicht berücksichtigt. Bei Schleimbeutelentzündung ist (bei fixierter Scapula) nur die Abduktion behindert, während bei einer Gelenkentzündung jede Bewegung gestört sein wird.

## 2. Der Oberarm.

An der *Vorder- oder Beugeseite des Oberarms* gelingt es am Lebenden (Fig. 360) leicht, den „Bizepswulst“ zu umgreifen und den sogenannten *Sulcus bicipitalis lateralis* und *medialis* zu fühlen. An dem medialen Rand des Muskels ist die *Pulsation der A. brachialis* palpierbar. Nach der Achselhöhle läuft der Muskelwulst, indem er unter dem Rand des M. pectoralis major — der sogenannten *vorderen Achselfalte* — verschwindet, zugespitzt aus. Dieser Teil entspricht dem kurzen Bizepskopf und dem M. coracobrachialis. An seinem medialen Rand sieht — oder fühlt man wenigstens — die A. axillaris deutlich pulsieren. In der Arterie laufen in dem Sulcus bicipitalis medialis oben die Hauptnervenzweige des Plexus brachialis, welche man durch Palpation verschieden weit nach abwärts verfolgen kann. Die Arteria brachialis läßt sich in ihrer Pulsation im Sulcus bicipitalis medialis von der Achselhöhle bis zur Ellenbogengegend fühlen.

Die relativ schwache *Faszie* sendet an der lateralen und an der medialen Seite die *Ligam. intermuscularia laterale und mediale* bezeichneten Septa oberhalb der Ellenbogengegend zu den Cristae humeri bis zu den Epikondylen nach abwärts. Sie trennen durch diese Faszienblätter (Fig. 366) die vorn gelegene *Beugemuskulatur* des M. biceps, M. brachialis und M. coracobrachialis von der dorsalen *Streckmuskulatur* des M. triceps. Der M. triceps entspringt mit seinem Caput longum an der Tuberositas supraglenoidalis scapulae in dem Schultergelenk (s. S. 283), mit dem kurzen Kopf von der Spitze des Proc. coracoideus und inseriert an der Tuberositas radii. Der M. brachialis, unter dem Bizeps gelegen, entspringt von der Vorderfläche des Humerus unterhalb des Ansatzes des M. deltoideus und an den Lig.

Fig. 368. Gemeinsamer Stamm für alle Oberarmarterien (A. brachialis posterior). N. medianus unter einer brachialis anterior. Häufige Varietät. (Vgl. Seite 287.)

intermuscularia und setzt an dem Proc. coronoideus und der Tuberositas ulnae an. Der Ursprung des *M. coracobrachialis* erfolgt gemeinsam mit dem Caput breve des *M. biceps* am Proc. coracoideus, der Ansatz liegt am medialen Rand des Humerus, ungefähr in der Mitte des Knochens. Der *M. triceps*: Caput longum entspringt von der Tuberositas infraglenoidalis scapulae; Caput mediale entspringt von der hinteren Humerusfläche unterhalb des Sulcus radialis; Caput laterale beginnt oberhalb des Sulc. radialis, den es überbrückt, und entspringt an der lateralen Fläche des Knochens und dem Lig. intermuscul. laterale. Der gemeinsame Ansatz liegt am Olekranon. Der N. musculocutaneus versorgt die *Flexoren* (*M. biceps* und *brachialis* C<sub>5</sub>, C<sub>6</sub>, *coracobrachialis* C<sub>5</sub>, C<sub>6</sub>, C<sub>7</sub>). Der N. radialis mit Bezügen aus den Segmenten C<sub>6</sub>—C<sub>8</sub> versorgt die *Streckmuskeln*.

Die *Faszie* besitzt an der Beugeseite im Sulcus bicipitalis medialis ungefähr an der Grenze von unterem und mittlerem Drittel des Oberarms den als *Hiatus basilicus* bezeichneten Schlitz für den Durchtritt der *Vena basilica* und des *N. cutaneus antibrachii medialis* (direkter Ast des Plexus brachialis). Auf der Faszie verläuft im Sulcus bicipitalis lateralis die *Vena cephalica* (s. S. 288). Neben ihr tritt der *N. cutaneus antibrachii lateralis* (Fortsetzung des N. musculocutaneus aus dem Plexus brachialis) in der Ellenbeuge durch die Faszie. Der dritte N. cutaneus antibrachii ist der *dorsalis* oder *posterior*. Von dem N. radialis stammend tritt er dorsal zwischen dem Ursprung des *M. brachioradialis* und dem Caput laterale des *M. triceps* an die Oberfläche. Wie wir *drei Nn. cutanei antibrachii* unterscheiden, so auch *drei* (schwächere) *Nn. cutanei brachii*: N. cut. brachii medialis (direkt aus dem Pl. brach.), N. cut. brachii lateralis (vom N. axillaris), N. cut. brachii dorsalis oder posterior (vom N. radialis).

Im Sulcus bicipitalis medialis finden wir unter der Faszie die *Art. brachialis* von doppelten, gleichnamigen, vielfach miteinander anastomosierenden Venen begleitet und umspannen, von denen die mediale die *V. basilica* aufnimmt. An Ästen der Arterien kommen abgesehen von Muskelkästen, unter denen einer als A. bicipitalis besonders stark ist, in Betracht (s. Fig. 367)

1. *A. profunda brachii*, läuft mit dem N. radialis um die hintere Fläche des Humerus in dessen Sulcus radialis zwischen den Ursprüngen des Caput laterale und mediale des *M. triceps*. Sie endigt mit zwei in ihrer Stärke variablen Ästen, die auf beiden Seiten vom *M. brachioradialis* zum Ellbogengelenk hinablaufen. Die rückwärtige Arterie wird vom N. cutaneus antibrachii dorsalis aus dem N. radialis begleitet. Sie ist es, die gewöhnlich als A. collateralis radialis bezeichnet wird. Sie anastomosiert *nicht* mit der A. recurr. rad. die *entwärt*s vom *M. brachioradialis* aufsteigt. Der ihr entgegenlaufende Endast der A. profunda brachii ist meist so schwach, daß eine ausgiebige Anastomosenbildung nicht zustande kommt. Ein stärkerer Ast der A. profunda brachii, A. collateralis media, läuft auf der hinteren Seite des Oberarms in dem Caput mediale des *M. triceps* nach abwärts.

2. *A. collateralis ulnaris superior*, ein meist langes Gefäß, das den N. ulnaris bis zum Olekranon begleitet, wo es in das Rete cubiti einmündet (anastomosierend mit der A. recurrens ulnaris).

3. *A. collateralis ulnaris inferior*, entsteht nahe der Teilung der A. brachialis in der Ellenbogengegend, läuft auf dem *M. brachialis* quer medialwärts und nach hinten zum Rete cubiti.

Fig. 368.

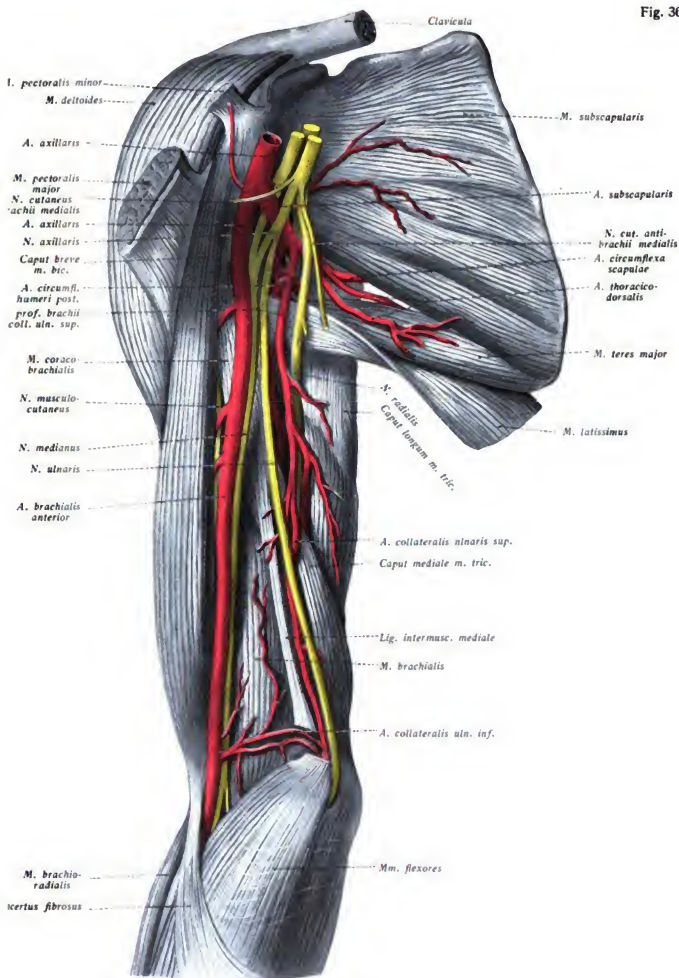


Fig. 369.

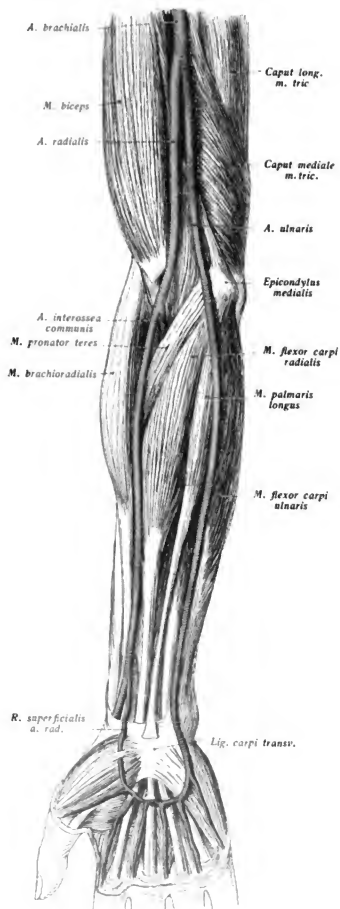


Fig. 370.

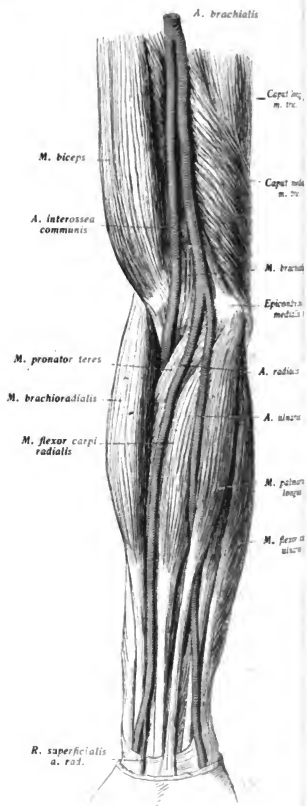




Fig. 369. Sogenannte „Hohe Teilung“ (A. brach. anterior in A. interossea und A. radialis, A. brach. in die A. ulnaris setzt).

Fig. 370. Anderer Fall von „hoher Teilung“. (A. brachialis anterior in A. radialis und A. ulnaris, A. brachialis in A. interossea, wie bei Säugetieren die Norm, fortgesetzt. Das in beiden Figuren als A. ulnaris bezeichnete Gefäß ist in m proximalen, oberflächlich liegenden Teil nicht echte Ulnaris, sondern eine oberflächliche Anastomose, die zu starker Entfaltung gelangt ist.

Der *N. medianus* hat am Oberarm die oberflächlichste Lage von den drei Hauptnervstämmen (s. Fig. 79). Er liegt anfangs lateral von der Arterie, dann auf (vor) ihr und noch oberhalb der Ellenbeuge an die mediale Seite der Arterie. *Er kreuzt also die Arterie*, indem er ihr aufliegt, und ist auf der Arterie bei mäßigem Panniculus adiposus zu fühlen. Als A. brachialis darf nur das Gefäß gelten, das in der angegebenen Weise *vor* dem *N. medianus* liegt. Sehr häufig kommt aber als Rest der Anlage (s. oben S. 275) die A. brachialis anterior vor. Sie kann in allen Stärken von einem zarten Gefäßchen bis zu einem kräftigen Aste ausgebildet sein und steht zu der eigentlichen A. brachialis in unregelmäßigem Verhältnis. Oft sind beide Gefäße gleich stark, meist ist aber bei sehr starker A. brachialis anterior die eigentliche A. brachialis ganz zurückgebildet. Das ist die Fälle, in denen die A. brachialis *scheinbar über* dem *N. medianus* liegt. Besteht die A. brachialis anterior, so setzt sie sich gewöhnlich in eine der Vorderarmarterien oder die A. interossea (s. oben S. 275), fort. Die eigentliche A. brachialis ist dann durch schwache anastomotische Äste mit den Vorderarmarterien verbunden. Fehlen auch diese Anastomosen, so scheint sich bei gleich starken doppelten Brachiales des Oberarms in gewissen Fällen jede von ihnen in eine der Vorderarmarterien fortzusetzen, ein Verhalten, das man dann als „hohe Teilung“ bezeichnet hat, nicht zutreffenderweise, da ja die Gefäße am Oberarm nicht etwa A. radialis und A. ulnaris sind, sondern zwei Artt. brachiales.

Der *N. medianus* gibt am Oberarm noch keine Äste ab.

Dasselbe gilt von dem zweiten Hauptstamm am Arm, von dem *N. ulnaris*. Er liegt anfangs medial an der Arterie, entfernt sich aber (von der Mitte des Oberarms an) unter einem Winkel langsam von der Arterie und gelangt unter Durchbohrung des Lig. interosculare mediale in Begleitung der A. collateralis ulnaris superior im unteren Drittel des Oberarms auf die Streckseite zum Sulcus ulnaris humeri.

Der *N. radialis*, der *motorische Nerv der Streckmuskulatur*, liegt oben hinter der Arterie, tritt dann zwischen Caput longum und Caput mediale, begleitet von der A. profunda humeri, auf die dorsale Seite und liegt hier in dem Sulcus radialis humeri, läuft also, *dem Humerus aufgelagert*, um den Humerus auf die laterale Seite (s. Fig. 371) zwischen Caput laterale und Caput mediale des M. triceps und tritt, in dem unteren Teil des Oberarms zwischen M. brachioradialis und M. brachialis gelagert, in die Ellenbogengegend. Schon oberhalb des Ellenbogengelenks zerfällt er in seine beiden *Endäste*, den *motorischen R. profundus* und den *sensiblen R. superficialis* (s. Fig. 372).

## Anwendungen.

Die oberflächliche Lage der A. brachialis erlaubt ihre *Kompression gegen den M. biceps, den M. brachialis und den Humerus* in der ganzen Länge des Sulcus bicipitalis medialis. In der Mitte des Oberarms trifft man beim Freilegen der Arterie auf den die Arterie deckenden *N. medianus*. Wird medial, der M. biceps lateral verschoben, wenn man auf die Arterie gelangen will. Zu schonen der mit der Arterie medial von ihr laufende, gewöhnlich unterhalb der Mitte des Oberarms durch Faszie tretende *N. cut. antibr. medialis* (cutaneus medius). Am weitesten medial trifft man auf

den N. ulnaris. Da bei bestehender A. brachialis anterior der N. medianus gewöhnlich unter der zuerst freigelegten Arterie liegt, so ist bei der Lage des Nerven unter dieser Arterie, besonders wenn sie nicht stark ist, nach einer zweiten Arterie zu suchen.

Verletzungen der A. brachialis sind leicht mit solchen des N. medianus verbunden. Der N. radialis ist wegen seines Verlaufes am Oberarm von besonderem praktischem Belange. Seine Lage unmittelbar auf dem Knochen bringt ihn bei Frakturen des Humerus in Gefahr; auch wurde er bei heftigen Frakturen schon mit in den Callus einbezogen. Über Lähmungen s. unten. Um ihn am Oberarm aufzusuchen, geht man senkrecht über dem Epicondylus radialis in die Höhe, bis 1 cm unterhalb des Ansatzes des M. deltoideus. Das Caput mediale des M. triceps muß dabei durchschnitten werden (Fig. 371).

Für die Ausbildung eines Kollateralkreislaufes nach Unterbindung der A. brachialis kommen in erster Linie die Aa. collaterales ulnares sup. und inf. in Betracht. Nach Möglichkeit soll Ligatur oder Naht unterhalb des Abganges dieser Arterien vorgenommen werden.

Oberhalb des Abganges der A. profunda brachii liegen die Dinge wegen der sehr inkonstanten Anastomosen dieser Arterie nach aufwärts sehr viel ungünstiger. Gangrän ist hierbei nicht selten.

### 3. Die Ellenbogengegend.

In der Ellenbogengegend fühlt man am Lebenden bei gebeugtem Arm an der Beugeseite die kräftige Sehne des M. biceps, von welcher ulnarwärts der proximalwärts scharf gerandig fühlbare Lacertus fibrosus (s. Fig. 372) ausstrahlt. Ferner sind zu palpieren: Epicondylus lateralis und medialis humeri und von diesen ausgehend nach oben beiderseits die Cristae humeri und hinten das Olekranon; zu dessen beiden Seiten sieht man verschiedene ausgeprägte Grübchen bei gestrecktem Arm. Bei gestrecktem Arm liegt das Olekranon mit seinem oberen Ende in der Verbindungslinie der beiden Epikondylen, bei Beugung ca. 1 cm tiefer. Zwischen Olekranon und Haut liegt die Bursa subcutanea olecrani (siehe Fig. 373). Etwas höher oben, innerhalb der Sehne des M. triceps, findet sich die B. intratendinea olecrani. Unter dem Condylus lateralis ist dorsal bei geringer Beugung die Palpation des Gelenkspaltes zwischen Radiusköpfchen und Capitulum humeri sowie die des Radiusköpfchens selbst, dessen Bewegungen durch Pronation und Supination des Armes festzustellen sind, von Bedeutung. Medial von dem Olekranon ist der in dem Sulcus ulnaris humeri verlaufende N. ulnaris leicht zu fühlen. Man kann ihn am eigenen Arm unter kräftigem Fingerdruck hin und her gleiten lassen, bis man die Wirkung des Druckes bis in die Hand hinein verspürt. Mehr oder weniger deutlich sieht man an der Beugeseite die Hautvenen: V. cephalica an der Radialseite, V. basilica an der Ulnarseite und die V. mediana cubiti, die Aderlaß- und Transfusionsvene, beide in schiefer Richtung (von der V. cephalica aufwärts zur V. basilica) verbindend. Teilt sich die einfache, auf der Beugeseite des Unterarmes aufwärts laufende V. mediana antibrachii nach oben gabelförmig, so spricht man von einer V. mediana cephalica und einer V. mediana basilica. Die bei der Beugung des Unterarmes sichtbar werdende Querfurchung liegt in der Höhe der Epikondylen um 2 cm höher als das Gelenk. Auf der Faszie findet man vor dem oder oberhalb des Epicondylus medialis ein bis zwei, nur bei gelegentlicher Schwellung fühlbare Lymphoglandulae cubitales (superficiales).

Unter der dünnen Haut der Beugeseite finden sich auf der durch den Lacertus fibrosus verstärkten, kräftigen Faszie zwei Hautnerven: An der ulnaren Seite der N. cutaneus antibrachii medialis, der, meist in zwei Äste geteilt, am Hiatus basilicus (s. S. 286) die Faszie durchbohrt. Der Ramus ulnaris gelangt am Epicondylus medialis auf die Streck-

seite, der *R. volaris* verläuft meist unter der *V. mediana cubiti* (oder der *V. mediana asilica*) hindurch an der Beugeseite bis zum Handgelenk. Der *N. cutaneus antirachii lateralis*, der Endast des *N. musculocutaneus*, tritt in der Ellenbeuge im *Sulcus bicipitalis lateralis*, ulnarwärts von der *V. cephalica*, durch die Faszie, geht teils unter, teils über der *V. mediana cubiti* bis zur Handwurzel. In der Ellenbeuge geht die *V. mediana cubiti* eine konstante starke Anastomose mit den tiefen Venen ein.

Nach Entfernung der Faszie unter Schonung des *Lacertus fibrosus* gewinnen wir einen Einblick in die untere Grenze der Gegend, die ulnarwärts durch den Rand des *M. pronator teres* und radialwärts durch den Innenrand des *M. brachioradialis* gegeben ist. Ohne Mühe gelangen wir zu der *A. brachialis*: am unteren Ende des *Sulcus bicipitalis medialis* gelangt sie unter den *Lacertus fibrosus*, liegt dann ulnarwärts von der in die Tiefe zur *Tuberositas radii* strebenden Bizepssehne und zerfällt vor der Endsehne des *M. brachialis* in ihre Endäste: *A. radialis* und *A. ulnaris*. Die Arterie ist von doppelten Venen begleitet. Sie liegt hier nur durch die Faszie, zumal den *Lacertus fibrosus*, von der *V. mediana cubiti* getrennt. Sie entsendet in dieser Gegend keine besonderen Äste, wohl aber gehen solche gleich am Ursprung aus ihren Teilästen hervor, über deren gegenseitige Lage ein sagittaler Gefrierschnitt (s. Fig. 373) am besten Aufschluß gibt. Aus diesem geht hervor, daß schon gleich bei Beginn die *A. radialis* oberflächlicher liegt als die *A. ulnaris*. Die *A. radialis* tritt dann über der Endsehne des *M. pronator teres* in der Furche zwischen dieser und dem *M. brachioradialis* zum Unterarm, während die tiefer gelegene *A. ulnaris* unter dem *M. pronator teres* hindurchzieht (s. Fig. 367). Aus der *A. radialis* entspringt in der Ellenbeuge die *A. recurrens radialis*, die auf dem *M. supinator* aufwärts dem *N. radialis* zustrebt und auch das *Rete articulare cubiti* versorgt (s. S. 286). Die *A. ulnaris* beteiligt sich gleichfalls an der Versorgung dieses Gelenknetzes, indem sie zwei oft gemeinsam entspringende rückläufige Äste entsendet; einen vorderen zur Anastomose mit der *A. collateralis ulnaris inferior* (aus der *A. brachialis*) und einem hinteren zur Anastomose mit der *A. collateralis ulnaris superior* aus der *A. brachialis*. Dieser wichtige Ast begleitet den *N. ulnaris* in seinem Verlauf durch den *Sulcus ulnaris* hinter dem *Epicondylus ulnaris humeri* und kann dort leicht aufgefunden werden.

Alle drei großen Nervenstämme treten in der Ellenbeuge zutage. Der *N. medianus* liegt unter dem *Lacertus fibrosus* zwischen *A. brachialis* und *Epicondylus ulnaris* und tritt durch den *M. pronator teres* zum Unterarm, gibt aber schon vor dem Eintritt in diesen Muskel die Äste für die oberflächliche Schicht der Beugemuskeln (*Mm. pronator teres, flexor carpi radialis, palmaris longus* und *flexor digitorum sublimis* ( $C_6-C_8$ )) ab. Der *N. ulnaris* ( $C_8, Th_1$ ) liegt im Bereich der Streckseite neben dem Olekranon in dem *Sulcus ulnaris* (s. oben). Er tritt dann zwischen die vom Olekranon und von dem *Epicondylus medialis* kommenden Ursprünge des *M. flexor carpi ulnaris*, gelangt unter diesen Muskel, indem er ihn und den anliegenden Teil des *M. flexor digitorum profundus* versorgt und somit wieder auf die Beugeseite. Der *N. radialis* liegt in der Ellbogengegend lateral noch sehr tief, kann aber in der Furche zwischen *M. brachialis* und *M. brachioradialis* leicht freigelegt werden. Hier zerfällt er (nach Versorgung des *M. brachioradialis* ( $C_5, C_6$ )) und der *Mm. extensores carpi radiales longus et brevis* ( $C_6, C_7$ )) oberhalb des *Epicondylus lateralis* in seinen sensiblen *Ramus superficialis* und in seinen *R. profundus*. Dieser durchsetzt den *M. supinator* und gelangt zur Muskulatur der Streckseite des Unterarmes ( $C_6-C_8$ ).

Fig. 371. Lage des N. radialis im Sulcus radialis humeri.

Fig. 373. Längsschnitt der Ellbogengegend durch das Humero-ulnargelenk (Gefrierschnitt).

Im *Ellbogengelenk* entstehen anatomisch drei Gelenke, indem dreimal zwei Gelenkflächen in Berührung treten.

1. Die Trochlea humeri mit der Incisura semilunaris ulnae.

2. Das Capitulum humeri mit der Fossa capituli radii.

3. Die Fossa radialis ulnae mit der Circumferentia articularis radii. Diese drei Gelenke bilden aber funktionell nur zwei Gelenke, indem die Articulatio humeroradialis sowohl bei Beugung und Streckung als auch bei Pronation und Supination beteiligt ist.

Alle drei Verbindungen sind von *einer gemeinsamen Gelenkkapsel* umschlossen, die vorn und hinten schlaff, außen und innen straff und durch Kollateralbänder verstärkt ist. Die Kapsel befestigt sich am Humerus, vorn oberhalb der beiden Fossae radialis et coronoidae und schließt die Epikondylen aus, hinten oberhalb der Fossa olecrani, die also in dem Gelenke liegt; zu *beiden Seiten des Olekranon bildet die Kapsel kleine Ausstülpungen* unter den beiden am Lebenden sichtbaren Hautgruben (s. S. 283). An den Unterarmknochen erfolgt die Fixation der Kapsel derart, daß an der Ulna die Spitzen von Processus coronoides und Olekranon mit in das Cavum articulare einbezogen werden und die Kapsel im übrigen am Rande der überknorpelten Incisura semilunaris und Fossa radialis fixiert ist. Am Radius ist das Köpfchen ganz in das Gelenk miteinbezogen, so daß die Kapsel am Halse des Radius ansetzt.

Die Kapsel besitzt drei Verstärkungsbänder:

1. *Lig. collaterale ulnare* geht vom Epicondylus medialis zum Rande der Incisura semilunaris ulnae in fächerförmiger Ausstrahlung.

2. *Lig. collaterale radiale* geht vom Epicondylus lateralis nach abwärts in Faserzüge über, die das Collum radii nach vorn und hinten umgreifen und sich an dem vorderen und hinteren Umfang der Incisura radialis ulnae ansetzen. Diese zirkuläre Verstärkung der Kapsel stellt das

3. *Lig. annulare radii* dar. 2. und 3. bilden also einen einheitlichen Bandapparat.

Außer der oben genannten Bursa subcutanea olecrani finden wir im Bereiche des Ellbogengelenkes noch zwei beachtenswerte Schleimbeutel, welche nicht mit dem Gelenk kommunizieren: 1. Die Bursa m. tricipitis supraanconae unter oder in der Trizepssehne oberhalb des Olekranon und 2. die Bursa m. bicipitis unter dem Ansatz der Bizepssehne am Capitulum radii.

Die *Epiphysengrenze* liegt bei Humerus und Radius innerhalb des Gelenkes; auch bei der Ulna läuft die Epiphysengrenze zwischen Diaphyse und Olekranon in dem Cavum articulare aus.

Bei gestrecktem Arm liegen beide Epikondylen und das Olekranon in einer Linie. Bei Beugung bilden die drei Punkte ein gleichschenkeliges Dreieck, dessen Spitze im Olekranon liegt. Diese Kenntnis der normalen Stellung des Olekranons zu den Epikondylen des Humerus ermöglicht auch die Feststellung abnormer Stellungen, wie sie vor allem bei der Luxation beider Unterarmknochen nach hinten eintritt.

Der *Gelenkspalt* liegt nicht in der Höhe der Epikondylen, sondern 2 cm unterhalb der Verbindungslinie beider Epikondylen.

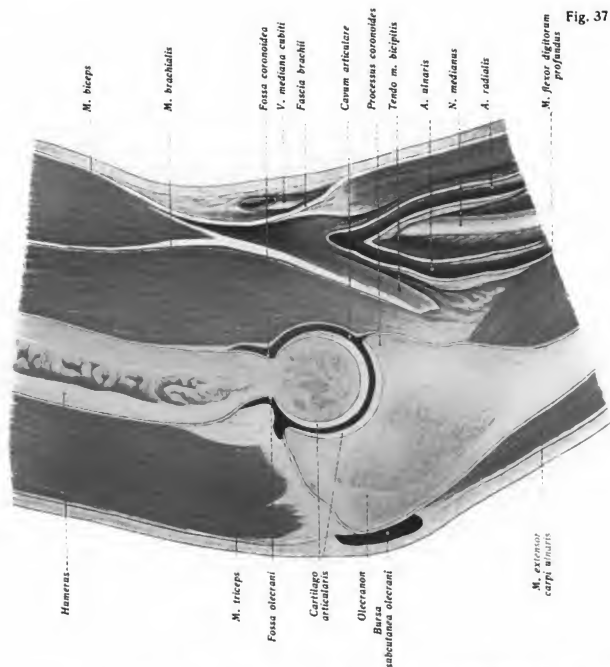
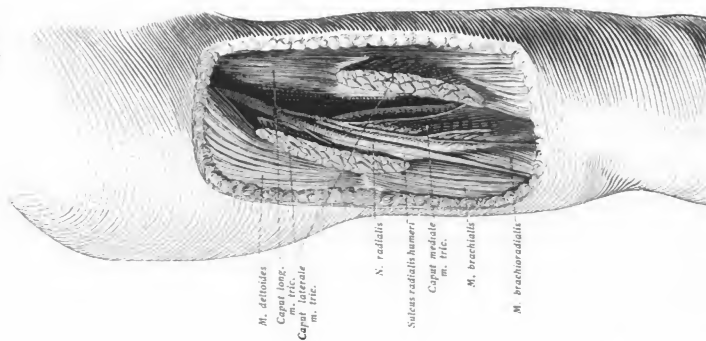


Fig. 372.

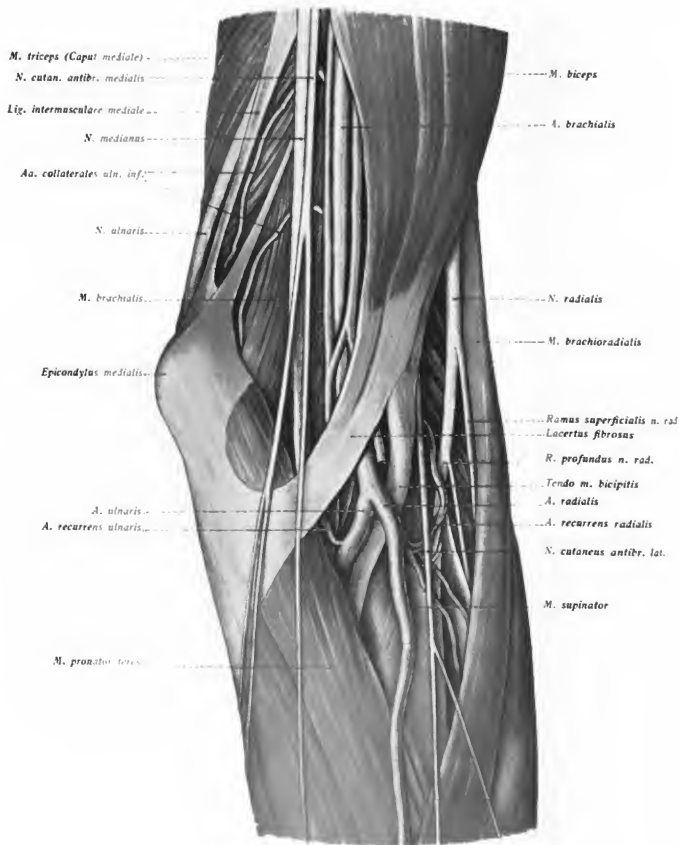


Fig. 372. Ellenbogengegend. (Der N. radialis ist aus der Tiefe herausgehoben.)

## Anwendungen.

Die Grübchen (Fig. 359) zu beiden Seiten des Olekranon bezeichnen die Stellen, an denen man von hinten unmittelbar und am leichtesten in die Gelenkhöhle (z. B. durch Punktion) gelangen kann. Diese Grübchen werden bei *Ergüssen im Gelenk abgeflacht* oder *auch nach außen vorgewölbt*. Bei völliger Füllung des Gelenkes durch einen Erguß nehmen Ober- und Unterarm eine winklige Stellung zueinander ein, die nämlich, bei der die Gelenkhöhle am geräumigsten ist. In der *Bursa subcutanea olecrani* (s. Fig. 373), kommt es gelegentlich, besonders bei Leuten, die lange auf die Ellbogen gestützt arbeiten, zur *Hygrombildung*.

Der Ansatz der Gelenkkapsel am Ellbogengelenk bringt es mit sich, daß jede Epiphysenlösung mit einer Gelenkverletzung verbunden sein muß.

Bei der Unterbindung der Arterie am ulnaren Rand der Bicipsehne hüte man sich, die Vena mediana cubiti unnötig zu verletzen; man schiebt sie zur Seite. Ist der Schnitt zu weit ulnarwärts geführt, so trifft man den N. medianus; man suche dann also die Arterie radialwärts vom Nerven. Von den Nerven der Kubitalgegend liegt der N. ulnaris dem Gelenk am nächsten. Er ist infolge seiner dichten Anlagerung an den Knochen bei Resektion des Gelenkes sorgfältig zu vermeiden.

Da die starken oberflächlichen und tiefen Gefäße in der Ellbogengegend vor, d. h. *volarwärts* vom Gelenke liegen, so können stärkere subkutane oder aus den tiefen Gefäßen stammende *Blutergüsse* vor allem bei der durch „Oberstreckung“ entstehenden *Luxation des Ellbogengelenks nach hinten* zustande kommen. Bei der Luxation ist ferner eine *Zerrung des vorn gelegenen N. medianus* unvermeidlich.

## 4. Der Unterarm.

Die Muskulatur des Unterarms umhüllt die durch die Membrana interossea verbundenen Ulna und Radius derart, daß beide Knochen durch die Haut hindurch palpabel sind, die Ulna ihrer ganzen Länge nach, der Radius dagegen nur in den unteren beiden Dritteln. An der Beugeseite sieht man je nach der Entwicklung des Fettes verschieden deutlich in der Mittellinie oberhalb der Handwurzel (s. Fig. 359 und 374), die (allerdings oft fehlende) *Sehne des M. palmaris longus*; radialwärts von ihr sieht man die Sehne des *M. flexor carpi radialis*. Unmittelbar an ihrem radialen Rand wird in der Regel der Puls der A. radialis gefühlt. Die Pulsation der A. ulnaris ist nicht oder kaum fühlbar, da diese Arterie von dem Rande des *M. flexor carpi ulnaris* zugedeckt wird (s. Fig. 375 und 376). Die Sehne dieses Muskels ist zu fühlen und sonach auch die Stelle der Incision zur Freilegung der Arterie unter der Sehne von ihrem radialen Rande aus am Lebenden leicht festzustellen.

Die *Faszie des Unterarms* ist an den Epicondylus humeri, am Oberarm und der ganzen inneren Kante der Ulna befestigt und dient im oberen Drittel des Unterarms zugleich als Ursprungssehne für die oberflächlichen Beuge- und Streckmuskeln. Von der Faszie gehen Scheidewände zum Knochen, durch die die drei Hauptgruppen der Muskeln getrennt werden, die als Beugemuskeln, radiale und ulnare Gruppe der Strecker unterschieden werden. Auf der Faszie liegen die oben genannten Venen (V. cephalica, basilica et mediana antibrachii) sowie die Nervi cutanei antibrachii lateralis, medialis et posterior.

Die *Muskulatur* des Unterarms zerfällt in die Beuge- und Streckmuskulatur. Letztere tritt mit ihrer radialen Gruppe (Mm. brachio-radialis, extensor carpi radialis longus und brevis) auch auf der Beugeseite zutage, indem sie die Ellenbeuge mit begrenzt (s. oben). An den „Beugemuskeln“ ist zu unterscheiden eine oberflächliche und eine tiefe Lage. *Oberflächliche Beuger*: Entspringen alle am Epicondylus medialis. 1. M. pronator teres zur lateralen Fläche der Mitte des Radius. 2. M. flexor carpi radialis zur Basis ossis meta-

carpalis II. 3. *M. palmaris longus* zur Aponeurosis palmaris. 4. *M. flexor carpi ulnaris*, dessen Ursprung an der Ulna bis zu deren unterem Drittel reicht, setzt sich, unter Aufnahme des Os pisiforme in die Endsehne, am Haken des Os hamatum und der Basis ossis metacarpalis V an. Sie bilden eine obere Lage der oberflächlichen Schicht. Unter ihr liegt eine tiefere Lage, bestehend aus dem *M. flexor digitorum sublimis*. Alle genannten Muskeln werden von Ästen des *N. medianus* versorgt, die in der Ellenbeuge entspringen. Bemerkenswert ist für die Sehnen des *M. flexor digitorum sublimis*, daß die Sehnen zum 3. und 4. Finger oberflächlicher liegen als die zum 2. und 5. Finger. Die tiefe Schicht besteht gleichfalls aus zwei Lagen und ist durch ein tiefes Fasziablatt von der oberflächlichen getrennt. Die obere Lage wird gebildet vom *M. flexor digitorum profundus*. Er entspringt an der vorderen Ulnarfläche bis zum unteren Drittel und vom *Ligamentum interosseum*; setzt an mit vier Sehnen an den Endphalangen außer Daumen. 3. *M. flexor pollicis longus*. Er entspringt an der vorderen Fläche des Radius und *Ligamentum interosseum*, auch mit dünnem Bündel von *Epicondylus medialis humeri* und setzt an der Endphalanx des Daumens an. Der tiefen Lage gehört an der *M. pronator quadratus*; oberhalb der Handwurzel gelegen, entspringt er von vorderer Ulnarfläche und setzt an vorderer und lateraler Fläche des Radius an. Diese Muskeln der tiefen Schicht erhalten ihre Nerven von Ästen des *N. medianus* unterhalb dessen Durchtritt durch den *M. pronator teres* (mit Ausnahme ulnarer Teile des tiefen Flexor).

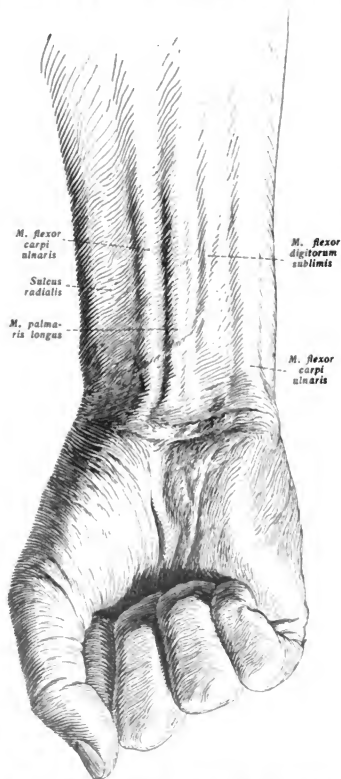


Fig. 374. Topographie der Beugeseite des Unterarmes oberhalb der Handwurzel am Lebenden.

Die *Streckmuskulatur* zerfällt ebenfalls in eine oberflächliche und tiefe Schicht. In dem diese tiefe Schicht zwischen den Muskeln der oberflächlichen Schicht hindurch dringt, teil sie diese in eine radiale und ulnare Gruppe. Beide Gruppen hängen proximal zusammen und entspringen am *Epicondylus radialis humeri* und an der radialen Kante des *Humerus*.

Die *radiale* Gruppe besteht aus: 1. dem *M. brachioradialis*, setzt an am *Processus styloides radii*. 2. dem *M. extensor carpi radialis longus*, setzt an der dorsalen Fläche



der Basis ossis metacarpalis II an. 3. Dem M. extensor carpi radialis brevis geht zur Dorsalfläche der Basis ossis metacarpalis III.

Die *ulnare* Gruppe der Streckmuskulatur umfaßt zwei Muskeln: 1. M. extensor carpi ulnaris von dem Epicondylus lateralis, der Unterarmfaszie und der hinteren Ulnakante zur Basis ossis metac. V. 2. M. extensor digitorum communis vom Epicondylus lateralis und der Unterarmfaszie mit vier Sehnen zur Dorsalaponeurose des 2.—5. Fingers. Eine 5. Sehne ersetzt einen mehr isolierten Muskelbauch (Extensor digitorum minimi proprius) und geht als 2. Sehne zum 5. Finger.

Die *tiefe Schicht der Streckmuskeln* geht aus von der dorsalen Fläche der Ulna, des Radius und des Lig. interosseum, besteht 1. aus dem proximalen M. supinator, der mit seinem Ursprung auf die Crista m. supinatoris der Ulna übergeht und an der Fascia volaris radii oberhalb und unterhalb der Tuberositas radii ansetzt, und 2. aus vier distalen Muskeln und zwar: 1. M. abduct. poll. long. zur Basis ossis metac. I. 2. M. extensor pollicis brevis zur Basis der Endphalanx des Daumens. Osis metac.: 3. M. extensor pollicis longus zur Endphalanx des Daumens. 4. M. extensor indicis proprius zum Endglied des Zeigefingers (Zeigefinger und kleiner Finger bekommen also je zwei Strecksehnen).

Die *A. radialis* (s. Fig. 375), die oberflächliche der beiden Hauptarterien des Unterarms, entspricht ihrem Verlaufe nach einer Linie, die man von der Mitte der Ellenbeuge zu einer Stelle zieht, an der man lateral von der Sehne des M. flexor carpi radialis über der Handwurzel die Pulsation der Arterie fühlt. Sie läuft über die Insertionssehne des M. pronator teres und wird zunächst von dem M. brachioradialis bedeckt. Radialwärts, doch etwas entfernt von ihr, läuft, gedeckt vom M. brachioradialis, der R. superficialis des N. radialis (s. S. 289). Weiter abwärts liegt sie zwischen M. flexor carpi radialis auf dem M. extor pollicis longus, später auf dem M. pronator quadratus. Oberhalb des Handgelenks liegt die Arterie so oberflächlich, daß sie häufig bei den Unterbindungen zu tief gesucht wird. Unter der Mitte des Unterarms tritt sie frei hervor und geht oberhalb der Handwurzel distal von der Endsehne des M. brachioradialis auf die *dorsale Seite der Hand* (s. Fig. 378 und 383). Außer der gelegentlich sehr starken A. recurrens radialis (aufwärts in Anastomose mit der A. collateralis radialis [s. S. 286]) besitzt sie am Unterarm keine weiteren Äste.

Die *A. ulnaris*, gleich vom Ursprung an in die Tiefe gerichtet, entspricht einer von dem Epicondylus medialis zum Os pisiforme gezogenen Linie. Sie gelangt unter den M. pronator teres und verläuft auf dem M. flexor digitorum profundus, bedeckt vom M. flexor digitorum sublimis und ulnarwärts zugedeckt vom M. flexor carpi ulnaris. Oberhalb der Handwurzel liegt sie unter dem Rand des M. flexor carpi ulnaris. Sie ist hier, außer von dem oberflächlichen Fascienblatt, noch von einem *tiefen* Blatt bedeckt. Der N. ulnaris (genau genommen nur der R. volaris nervi ulnaris) [s. unten] liegt von der Mitte des Unterarms an *ulnarwärts* unmittelbar neben ihr. Sie bleibt im Gegensatz zur A. radialis *immer* auf der Beugeseite und gelangt an der *Radialseite des Os pisiforme in den Bereich der Hand*. Ihr Hauptast ist die *A. interossea communis*, die gleich nach dem Ursprung in die *A. interossea volaris* und die *A. interossea dorsalis* zerfällt. Die erstere zieht, begleitet von dem N. interosseus anterior, vorn auf der Membr. interossea nach abwärts bis zum oberen Rand des M. pronator quadratus; hier geht sie auf die Streckseite und in die *Rete carpi dorsale*. Die A. interossea dorsalis tritt durch die Membrana interossea auf

Fig. 375. Muskeln, Arterien und Nerven an der Beugeseite des Unterarms.

die Streckseite, ist schwächer als die vordere, versorgt die Streckmuskeln und endet in Rete carpi dorsale. Außerdem entsendet sie neben vielen kleinen Muskelästen die doppelte (oder in zwei Äste geteilte) A. recurrens ulnaris zur Ellbogengegend aufwärts zur Anastomose mit den beiden Aa. collaterales ulnares aus der A. brachialis.

Unter den tiefen Nerven haben wir die Lage der drei Hauptstämme des Arms auch hier zu berücksichtigen (s. Fig. 375). Der N. medianus verläuft nach Durchbohrung des M. pronator teres zwischen M. flexor digitorum sublimis et profundus unter Abgabe von Ästen zur Handwurzel und tritt oberhalb des Handgelenks unter dem M. flexor dig. sublimis hervor (s. Fig. 376), wo er radialwärts von der Sehne des M. palmaris longus zwischen dieser und der Sehne des M. flexor carpi radialis leicht freigelegt werden kann. Fehlt ein M. palmaris longus zur Orientierung, so wird er in der Mitte zwischen der zum dritten Finger ziehenden Sehne des M. flexor digitorum sublimis und der Sehne des M. flexor carpi radialis gefunden. Der die tiefen Beuger versorgende Ast endet in dem auf der Membrana interossea mit der A. interossea volaris zum M. pronator quadratus verlaufenden N. interosseus volaris. Ein kleiner Ramus palmaris tritt neben der Sehne des M. flexor carpi radialis zur Haut der Vola manus. Der N. ulnaris nähert sich, nachdem er unter den M. flexor carpi ulnaris gelangt, allmählich der Art. ulnaris, deren ulnaren Rand er ungefähr in der Mitte des Unterarmes erreicht. Er liegt zwischen dem M. flexor digitorum profundus und dem M. flexor carpi ulnaris und teilt sich unterhalb der Mitte des Unterarmes in den starken Ramus volaris, welcher der A. ulnaris folgt (s. oben), und den schwächeren Ramus dorsalis, der unter dem M. flexor carpi ulnaris hindurch zum Handrücken gelangt. Der N. radialis teilt sich noch im Bereich der Ellenbogengegend in den motorischen Ramus profundus und den sensiblen R. superficialis. Dieser ist anfangs bedeckt von dem M. brachioradialis und tritt dann eine Hand breit über dem Handgelenk unter der Sehne des M. brachioradialis hindurch auf die Streckseite und zur Dorsalfläche der Hand (s. dort). Der Ramus profundus verläßt hier die Beugeseite. Für die Streckseite ist es wichtig zu beachten, daß man auf den N. radialis und die A. interossea dorsalis gelangt, wenn man in dem Spalt zwischen radialer und ulnarer Gruppe in die Tiefe dringt. Man findet die genannten Gebilde dann dicht auf der Oberfläche des M. supinator. Von den Ästen des M. radialis kommen hier nur noch die zur ulnaren Gruppe und zu den tiefen Extensoren in Betracht. Ein längerer, schwacher Ast läuft auf der Membrana interossea bis zum Handgelenk herab: N. interosseus dorsalis.

### Anwendungen.

Zur blutigen Aufsuchung (Sequestrotomie) liegt die Ulna in ganzer Ausdehnung ihrer ulnaren Kante frei, während der Radius nur in den unteren  $\frac{2}{3}$  zugänglich ist. Auf seine radiale Kante gelangt man hier zwischen den Mm. brachioradialis und extensores carpi radialis, die sich bei geeigneter Haltung der Hand leicht am eigenen Arme feststellen lassen. Von ebenda aus gelangt man am leichtesten auf die Membrana interossea. Die Arteria radialis kann im oberen Drittel medial von dem durch den M. brachioradialis erzeugten Muskelwulst, den man nach lateral schieben muß, auf der Sehne des M. pronator teres unterbunden werden. Auch weiter unten dient der M. brachioradialis als Anhaltspunkt zum Auffinden der Arterie. Oberhalb des Handgelenks, wo die Arterie meistens unterbunden und pulsierend gefühlt wird, ist sie lateral von der Sehne des M. flexor carpi radialis leicht aufzufinden.

Die A. ulnaris wird am ganzen Vorderarm von dem Rande des M. flexor carpi ulnaris aus freige-

Fig. 375.

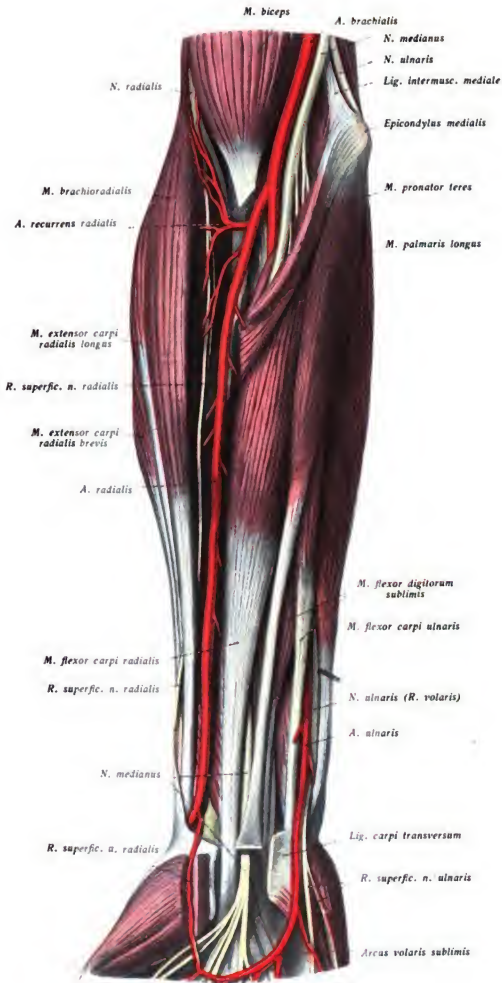


Fig. 376.

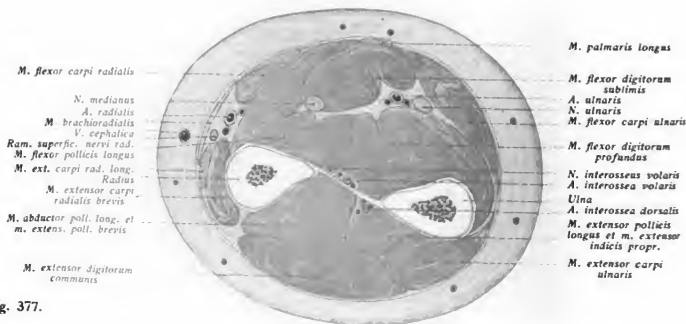
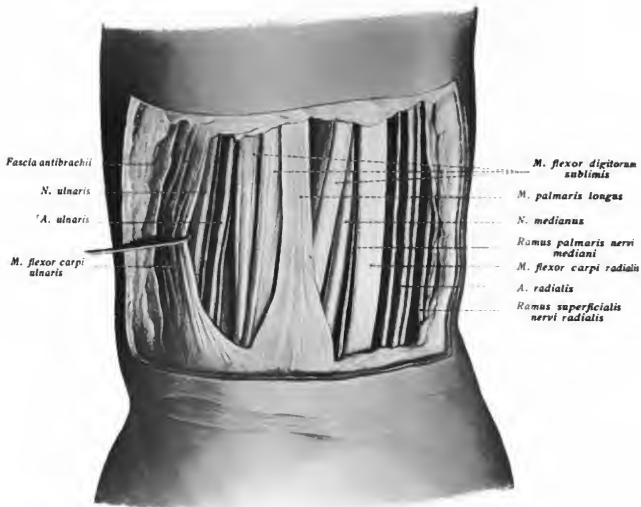


Fig. 377.

Fig. 376. Volarseite des Unterarms oberhalb der Handwurzel. Die A. und der N. ulnaris sind durch seitliche Verbiegung des M. flexor carpi ulnaris deutlich geworden.

Fig. 377. Querschnitt der Mitte des Unterarms.

gelegt, wobei der Muskel ulnarwärts verschoben wird. Oben liegt der N. ulnaris ulnarwärts weiter entfernt von der Arterie, als weiter unten. An der gewöhnlichen Unterbindungsstelle oberhalb des Handelenks liegt der Nerv *ulnarwärts dicht an der Arterie*. An der Handwurzel trifft man medial vom Os isiforme leicht die Arterie an.

Die Lage des N. medianus über dem Handgelenk ist wegen der Schwankungen in der Ausbildung und Lage des M. palmaris longus nicht mit Sicherheit in der oben angegebenen Lage zu finden. Bei vorhandenem Muskel liegt der Nerv entweder radial von ihm, zwischen ihm und der Sehne des M. flexor carpi ulnaris; oder er liegt ulnarwärts von ihm, zwischen ihm und der Sehne des M. flexor digitorum sublimis, die zum 3. Finger zieht, auch kann der Nerv von der Sehne gedeckt werden. Es kann eben der M. palmaris longus selbst eine mehr radiale oder mehr ulnare Lage besitzen. In 12 Prozent fehlt er. Dann liegt der Nerv zwischen der zum 3. Finger ziehenden Sehne des M. flexor digitorum sublimis und dem M. flexor carpi radialis. Der nun von Haut und Faszie bedeckte Nerv springt bei Dorsalflexion der Hand stark hervor und kann hier durch leichte, subkutane Verletzungen, wenn sie im Zustand der Dorsalflexion erfolgen, getroffen werden. (Tandler.) — Aus denselben Gründen ist er auch bei Selbstorderversuchen gefährdet; ebenso die Flexorensehnen zum 3. und 4. Finger, weil sie oberflächlicher liegen als die zum 2. und 5. Finger.

## 5. Die Hand.

Die Grenze von Unterarm und Hand ist am Lebenden durch die fühlbaren *Proc. styloides radii et ulnae* leicht festzustellen. Die Verbindungslinie beider entspricht dem Handgelenk.

An der volaren Seite der Handwurzel fühlt oder sieht man die durch die *Eminentiae carpi radialis* und *ulnaris* hervorgerufenen harten Prominenzen. Die Em. carpi rad. wird gebildet durch die Tuberositates oss. navicularis und multanguli majoris, die Em. carpi uln. durch das Os pisiforme und den Haken des Hakenbeines. Beide begrenzen am Skelett den tiefen *Sulcus carpi*, welcher durch das starke die Eminentiae verbindende *Lig. carpi transversum* zu dem für die Topographie wichtigen *Canalis carpi* (s. unten) überbrückt wird. Am radialen Rand der Handwurzel springt bei Abduktion des Daumens ein kräftiger Sehnenwulst hervor, der durch die dicht beieinander liegenden Sehnen der *Mm. extensor pol. brevis et abductor poll. longus* entsteht (s. Fig. 380). Zwei Zentimeter dorsal von diesen Sehnen sieht und fühlt man leicht die zum Daumen verlaufende Sehne des *M. extensor pollicis longus*. Sie wird durch eine für den Verlauf der A. radialis (S. 297 und Fig. 383) wichtige Grube, die sogenannte *Tabatière*, von dem erstgenannten Sehnenwulst geschieden. Auf der Dorsalfläche der Hand bemerkt man weiterhin das *Netz der Sehnen subcutaneae* und die bei Fingerbewegungen deutlicher werdenden Strecksehnen, die im Bereich der Handwurzel nicht mehr hervortreten, da sie hier in eigene Scheiden (s. S. 297) eingebettet sind.

Unter dem subkutanen Fett der Volarfläche gelangt man auf die *Aponeurosis palmaris*, die Ausstrahlung des M. palmaris longus. Sie strahlt in 4 Zipfel aus, die an der Basis der 4 ulnaren Finger mit der Haut verwachsen sind. Zwischen ihnen drängt, den terdigitalfalten entsprechend, bei nicht zu mageren Händen das subkutane Fett in Form einer Wülstchen die Haut heraus. Zwischen den zum zweiten bis fünften Finger verlaufenden Zipfeln sind quere Faserzüge, fasciculi transversi, ausgespannt. Auf dem Daumen- und Kleinfingerballen ist die Fascie bedeutend schwächer.



Fig. 378. Topographie der Dorsalfäche der Hand  
am Lebenden.

Über dem Handgelenk bildet die Unterarmfaszie zwei aus queren Fasern bestehende Verstärkungen, das *Lig. carpi volare* und *dorsale*. Das *Lig. carpi dorsale* (Fig. 383) vom Proc. styloides radii quer hinüber zu dem Proc. styloides ulnae gespannt, bildet, indem blattartige Fortsätze an das Periost von Ulna und Radius, sowie an die Gelenkspalten der Karpalknochen schickt, die *sechs Sehnenfächer*, in denen die Muskelsehnen in Schleimbeutel gehüllt, gleiten. Es sind, von der radialen Seite zur ulnaren Seite gehend, die Fächer: 1. für den *M. abductor pollicis longus* und den *M. extensor pollicis longus*; 2. für den *M. extensor carpi radialis longus et brevis*; 3. für den *M. extensor pollicis longus*; 4. für den *M. extensor digitorum communis* und den *M. extensor indicis proprius*; 5. für den *M. extensor digiti V*; 6. für den *M. extensor carpi ulnaris*. Die Fächer 2 und 3 stehen häufig in Zusammenhang.

Das *Lig. carpi volare* verbindet die beiden Eminentiae carpi volares. Dadurch kommt unter dem Bande zur Bildung des *Canalis carpi*. Durch diesen laufen die *Beugesehnen der Finger* (*Mm. flexor digit. sublimis und profundus* und *M. flexor pollicis longus*) *gemeinsam mit dem Nervus medianus*, der unmittelbar unter dem Bande liegt, zur Hohlhand. Die Sehne des *M. flexor carpi radialis* läuft radialwärts unter den Ursprüngen der Muskeln des Daumenballens am *Lig. carpi transversum* in eigener Scheide und in einer Furche des Os multangulum majus (nicht im *Canalis carpi*) zur Basis des zweiten Os metacarpale. Der *M. ulnaris* (*R. volaris*) dagegen zieht mit der gleichnamigen Arterie radialwärts von dem Os pisiforme über das *Lig. transversum* zur Hand. Die *A. radialis* wendet sich am unteren Ende zwischen Proc. styloides radii und Os naviculare, also distal von dem Ansatz des *M. brachioradialis*, von der Beugeseite auf die Streckseite. Sie gelangt unter den miteinander laufenden Sehnen des *M. abductor pollicis longus* und *M. extensor pollicis brevis* (s. S. 295), tritt dann unter der Sehne des *M. extensor pollicis longus* hindurch zwischen die beiden Köpfe des *M. interosseus primus dorsalis* und die beiden ersten Metakarpalknochen, verläßt dann den Handrücken, um wieder in die Hohlhand zu gelangen. Während dieser Verlaufstrecke entsendet sie außer Ästchen zum Rete carpi dorsale und volare (*Rami carpei dorsales et volares*) zwei an Stärke wechselnde Äste:

1. *Ramus volaris superficialis*, oft fehlend, nicht selten fast so stark wie die fortgesetzte *A. radialis* selbst (s. Fig. 381), geht am Proc. styloides radii über die Ursprungsgegend der Daumenballenmuskeln zur Vereinigung mit der *A. ulnaris* und zur Bildung des *Arcus volaris superficialis*. Dieser Ast ist nur von Haut und der dünnen Faszie bedeckt, der auch noch von einigen Bündeln der Ballenmuskulatur) und ist durch seine exponierte Lage bei starker Ausbildung bei manchen Menschen durch die Haut hindurch palpierend zu sehen.

2. *A. princeps pollicis*, gelangt zwischen den Muskeln des Daumenballens auf die Volarseite und versorgt mit drei *Aa. digitales volares propriae* die beiden Seiten des Daumens und die Radialseite des Zeigefingers.

Das Ende der *A. radialis* bildet den auf den Basen der Metakarpalia gelegenen *Arcus volaris profundus* durch Anastomose mit dem *Ramus volaris profundus* der *A. ulnaris*. In diesem Bogen verlaufen die tiefen und meist schwachen *Aa. metacarpeae volares* distalwärts, um zwischen den Basen der Grundphalangen in die *Aa. digitales communes* aus dem *Arcus volaris superficialis* einzumünden. Sind gleichzeitig mit dem *Arcus superficialis* die *Aa. digitales communes* aus diesem Bogen alle oder teilweise gering entwickelt, so werden die alsdann stärkeren *Aa. metacarpeae volares* zu den volaren Fingerarterien.

Fig. 379. Hohlhand. Muskeln, Nerven, Gefäße und Sehnenscheiden; die letzteren blau. Der Canalis carpi ist durch Spaltung des Lig. carpi transversum eröffnet.

Fig. 380. Schematische Darstellung der Handgelenke.

Die *A. ulnaris* bleibt im Gegensatz zu der *A. radialis* immer auf der Beugeseite; sie tritt nach Abgabe der *Rami carpei volaris* und *dorsalis* rückwärts vom *Os pisiforme* über das *Lig. carpi transversum* und bildet in der Hohlhand nach Abgabe des *R. volaris profundus* den dicht unter der *Aponeurosis palmaris* liegenden oberflächlichen Hohlhandbogen durch Vereinigung mit dem *Ramus volaris superficialis* aus der *A. radialis*. Aus diesem ent-

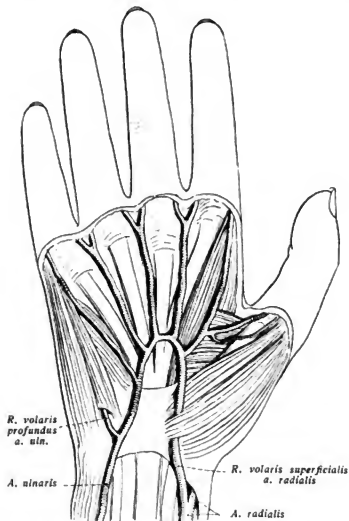


Fig. 381. Abnorm starker *Ramus volaris superficialis* aus der *A. radialis*, die sich infolgedessen in gleicher Masse wie die *A. ulnaris* an der Bildung des *Arcus volaris superficialis* beteiligt. Neben der Abgangsstelle des *R. volaris superficialis* wendet sich die *A. radialis* auf den Handrücken.

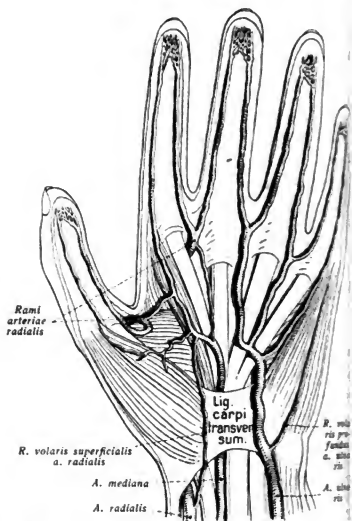


Fig. 382. Abnormer Ursprung der Fingerarterien bei lebendem *Arcus superficialis*, starker Entwicklung einer *A. mediana* und ausgiebiger Beteiligung der *A. radialis*.

stehen sämtliche volare Fingerarterien außer den drei von der *A. princeps pollicis* kommenden. Es kommen jedoch hier zahlreiche Varietäten vor. In Fig. 382 z. B. ist die Beteiligung der *A. ulnaris* an der Versorgung der Finger geringer als gewöhnlich. Die *A. radialis* ist stärker beteiligt und mit ihr eine abnorm starke, aus der *A. interossea communis* stammende *A. mediana* (s. oben S. 287). Was die Lage beider Handbögen anbelangt, so findet man den oberflächlichen innerhalb der M-förmigen Figur, die die Linien der Hohlhand bildet.



Fig. 379.

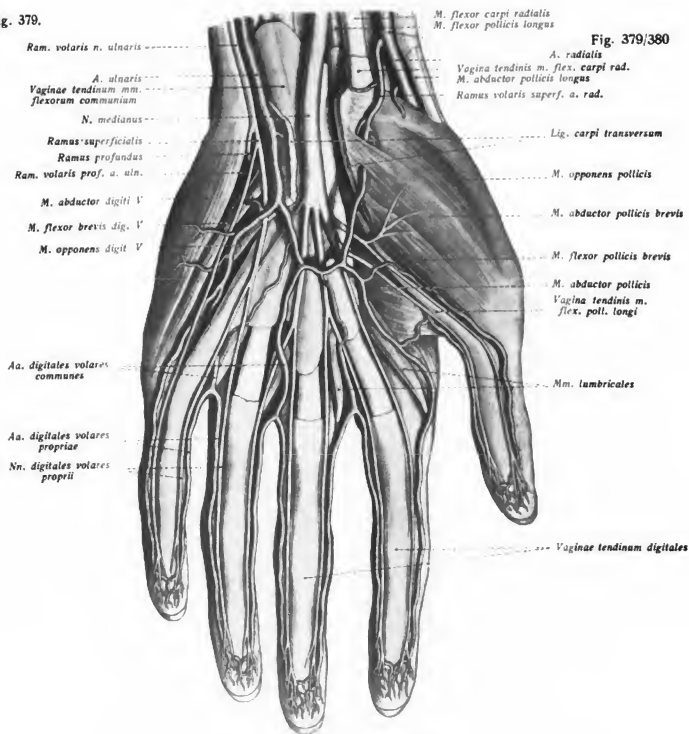


Fig. 380.

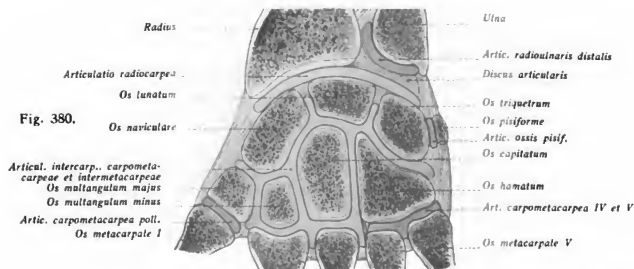


Fig. 383.

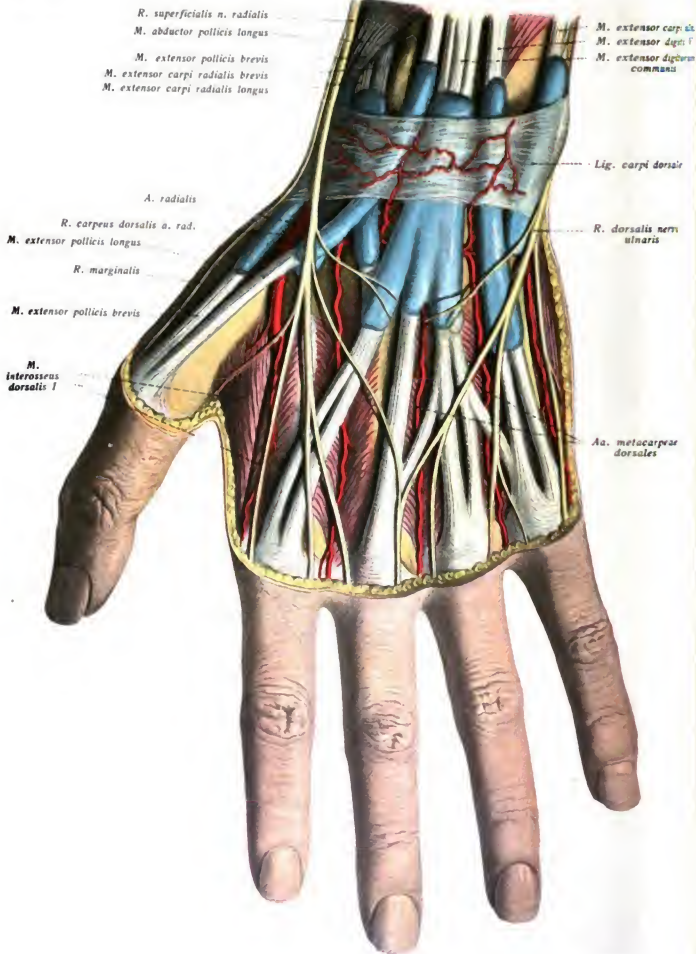


Fig. 383. Sehnen, Sehnenscheiden, Arterien und Nerven der dorsalen Seite der Hand. Die Sehnenscheiden sind mit einer Masse gefüllt zu denken.

und zwar ulnarwärts von der den Daumenballen abgrenzenden Linie. Der tiefe Handbogen beträgt 2 cm weiter proximal in der Höhe der *Articulationes carpo-metacarpeae*.

Der *N. medianus* tritt mit den Beugeschnen der Finger, der gemeinsamen Sehnenscheide aufgelagert, also dicht unter dem *Lig. carpi transversum*, durch den *Canalis carpi* (S. 295) und teilt sich unter Anastomose mit dem *Ramus volaris ulnaris* in sechs Äste. Der erste ist der kleine Muskelast zu den Muskeln des Daumenballens. Dann folgen drei Äste zur Radialseite des Daumens, zur Ulnarseite des Daumens und zur Radialseite des Zeigefingers; dann zwei starke Äste, die zu den Zwischenräumen zwischen 2. und 3. und

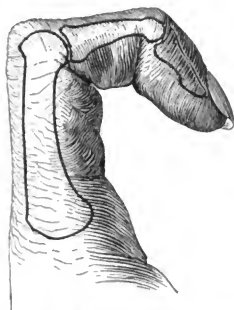


Fig. 384. Finger mit Beugestellung der Phalangen und angezeichneten Knochen zur Demonstration der Lage der Gelenkspalten zur Dorsalseite der Fingerglieder und den an der Volarseite gelegenen Hautfurchen.

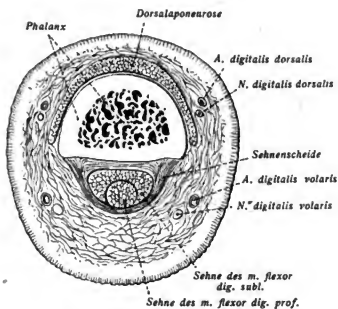


Fig. 385. Fingerquerschnitt in der Höhe des ersten Gliedes.

3. und 4. Finger ziehen und sich in Äste teilen für die einander zugekehrten Flächen dieser Finger. Gelegentlich ist der *N. medianus* von einer starken *A. mediana* begleitet, die sich an der Blutversorgung der ersten Finger beteiligen kann, entweder direkt oder nach Übergang in den *Arcus volaris superficialis* (s. Fig. 382).

Der *Ramus volaris n. ulnaris* zieht, wie am Unterarm, lateral von der *A. ulnaris* gelegen, am *Os pisiforme* vorbei zur Hohlhand und teilt sich gleich in einen *R. superficialis* für den ulnaren Rand des Ringfingers und die beiden Seiten des kleinen-Fingers und einen *R. profundus*, der mit dem tiefen Ast der *A. ulnaris* längs des tiefen Hohlhandbogens verläuft, die Muskeln des Kleinfingerballens und sämtliche *Mm. interossei* versorgt und im *A. adductor pollicis* endigt. An der Dorsalseite der Hand liegen keine motorischen Nerven. Der *R. dorsalis n. ulnaris* endigt auf dem Handrücken mit sensiblen Ästen, die die ulnare Hälfte des Handrückens in Anspruch nehmen. Hier findet Anastomose mit dem *R. superficialis n. radialis* statt, der die radiale Hälfte des Handrückens mit sensiblen Ästen versieht (s. S. 294).

In der Hohlhand sind, abgesehen von einer kleinen Sehnenscheide an dem Endteil

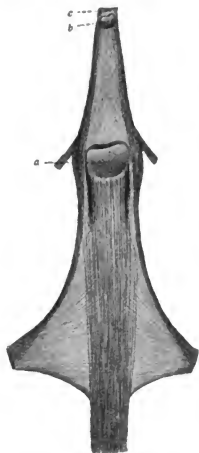


Fig. 386. Dorsalaponeurose des 2. Fingers, abgelöst, durchsichtig gemacht und von unten her betrachtet. Nach O. Seifert, Arch. f. orthop. Chirurgie, 1919, a) Gelenkkapsel des 1. Interphalangealgelenkes von innen, b) Gelenkkapsel des 2. Interphalangealgelenkes von innen, c) Ansatz am Nagelglied.

der Sehne des *M. flexor carpi radialis*, der keine besondere Bedeutung zukommt, *dreierlei Sehnenscheiden* zu merken (Fig. 378).

1. Die gemeinsame große Synovialscheide für die Sehnen des *M. flexor sublimis* und *profundus*. Sie geht ca. 2 cm über das *Lig. transversum* (nach dem Unterarm hin) hinaus.

2. Die Scheide für die Sehne des *M. flexor pollicis longus*; sie beginnt ebenfalls proximal von dem *Lig. carpi transversum* und hüllt die Sehne bis dicht hinter ihrer Insertion an der Endphalanx des Daumens ein. Sie hängt unter dem *Lig. transversum* mit der gemeinsamen Sehnenscheide der Fingerbeuger in der Regel nicht zusammen.

3. Die eigenen Sehnenscheiden des 2.—5. Fingers, von denen jede eine Sehne des oberflächlichen und eine des tiefen Fingerbeugers umschließt. Die Sehnenscheiden des 2., 3. und 4. Fingers finden in der *Vola manus* etwa 2 cm proximalwärts von der Basis der Finger ihr Ende. Die Scheide des kleinen Fingers geht in der Regel proximalwärts ohne weiteres in die gemeinsame Sehnenscheide der Fingerbeuger über.

An der Handwurzel unterscheiden wir folgende *Gelenkverbindungen* (Fig. 379):

1. *Articulatio radio-ulnaris distalis*, zwischen *Incisura ulnae* radii und der *Circumferentia articularis capituli ulnae* anderseits. Diese Verbindung ist von der folgenden völlig getrennt.

2. *Articulatio radio-carpea*, das Karpalgelenk, zwischen Radius und distaler Fläche des zwischen Ulna und *Os triquetrum* eingeschalteten *Discus articularis* einerseits und den drei Knochen der ersten Handwurzelknochenreihe, *Os naviculare*, *lunatum* und *triquetrum*, andererseits.

3. *Articulatio intercarpalis*, zwischen der ersten und zweiten Reihe der Handwurzelknochen.

4. *Articulatio carpometacarpea*, zwischen der zweiten Reihe der Handwurzelknochen und den *Ossa metacarpalia*.

5. *Articulatio intermetacarpea*, zwischen den seitlichen Gelenkflächen der Basen der *Ossa metacarpalia*. Diese drei letztgenannten Verbindungen besitzen in der Regel ein gemeinsames großes *Cavum articulare* (Fig. 379 blau), indem zwischen den Handwurzelknochen kurze, straffe *Ligamenta interossea* ausgespannt sind. Das Gelenk zwischen *Os hamatum* und 4. und 5. *Os metacarpale* ist aber von dem großen Kavum getrennt (Fig. 379 rot).

6. *Articulatio piso-triquetra*, das eigene Gelenk zwischen *Os triquetrum* und *Os pisiforme*.

7. *Articulatio carpometacarpea pollicis*, zwischen *Os multangulum majus* und *Metacarpus 1* (Sattelgelenk).

Von Verstärkungsbändern seien genannt.

1. *Lig. collaterale carpi radiale*, vom *Proc. styloides radii* zum *Os naviculare*.

2. Lig. collaterale ulnare, vom Proc. styl. ulnae zum Os triquetrum.

3. Lig. radiocarpeum volare, an der Volarseite, von dem unteren Ende des Radius den Ossa naviculare, lunatum, triquetrum und capitatum.

4. Lig. radiocarpeum dorsale, an der Dorsalseite, von dem unteren Ende des Radius den Ossa naviculare, lunatum und triquetrum.

5. Lig. carpi radiatum, an der Volarfläche, von dem Os capitatum in radiärer Faserichtung nach den angrenzenden Knochen.

An dem Querschnitt des *Fingers* (Fig. 385) erinnere man sich, daß an der *volaren* Seite die Sehnen des oberflächlichen und des tiefen Fingerbeugers in einer *gemeinsamen* Hülle liegen, während eine solche auf der Streckseite *fehlt*. Hier gehen die Sehnen die kompliziert gebaute Dorsalaponeurose über. Sie setzt sich zusammen aus den Sehnen des M. extensor digitorum und den fächerförmigen Endsehnen der Mm. lumbricales und interossei. Dabei ist wichtig für die Funktion dieser Muskeln, daß die Sehnen der Extensoren nur bis zur Basis der Mittelphalanx reichen, also nur auf das *Grundgelenk* wirken, während die Sehnen der Mm. lumbricales und interossei bis zur Endphalanx reichen, also *Mittel- und Endphalanx strecken* (Fig. 386). An der Volarseite gehen die *stärkeren* Nerven und Arterien, im Gegensatz zu den *schwächeren* der Dorsalseite. Die volaren Nerven sind der Fingerlängsachse *näher* gelagert, als die an der Dorsalseite reichlich anastomosierenden dorsalen Arterien. Die volaren Nerven versorgen nicht nur noch die *Dorsalseite der Endphalangen*, die von den schwachen dorsalen Nerven nicht mehr erreicht wird. Dasselbe gilt von den volaren (aus dem Arcus sublimis kommenden) und den dorsalen (dem Rete carpi dorsale entstammenden) Arterien. Von den zehn volaren Fingernerven kommen *sieben* vom N. medianus (für den Daumen, Zeigefinger, Mittelfinger und die radiale Seite des vierten Fingers), während die *drei übrigen Nerven Äste des R. superficialis n. ulnaris* sind. Die volaren Fingerarterien entstammen dem Arcus sublimis mit Ausnahme der drei ersten, die aus der A. princeps pollicis der A. radialis kommen. Die dorsalen Fingernerven kommen zur Hälfte (5) aus dem R. superficialis n. radialis zur Hälfte aus dem r. dorsalis n. ulnaris. Die dorsalen Arterien werden von dem Rete carpi dorsale geliefert.

## Anwendungen.

Das Vorhandensein der starken Fascia palmaris und deren feste Vereinigung mit der Haut der Hand erklärt es, daß Abszesse der Hohlhand nicht nach der Volarseite durchbrechen können. Dagegen können sie ein stärkeres Oedem des Handrücken erzeugen (Bei Oedem des Handrücken, sogenanntes „kollaterales Oedem“ liegt also der Herd der Erkrankung meist in der Hohlhand). Diese nach dem Handrücken hin durchbrechenden Abszesse können das Interkarpalgelenk und seine Verbindungen (z. B.) eröffnen. Wucherungen und narbige Schrumpfung der Palmaraponeurose sind die Grundlage der Dupuytren'schen Fingerkontraktur, die gewöhnlich an dem zur Sehnnenscheide des 4. Fingers ziehenden Band beginnt und den Zeigefinger meist freiläßt.

Aus dem Verhalten der volaren Sehnnenscheiden ergibt sich, daß die an Verletzungen, Entzündungen usw. der Finger sich anschließenden *Sehnnenscheidenentzündungen besonders an dem Daumen und am kleinen Finger nach dem Unterarm hin eine günstige Bahn zur Ausbreitung finden*. Indem gelegentlich nicht allein die Fingersehnnenscheide des kleinen Fingers, sondern auch die des Daumens mit der gemeinsamen Sehnnenscheide in der Handwurzelgegend zusammenhängen, erklären sich die Fälle, in denen der Entzündungsvorgang auf dem Wege der Hohlhand sich von dem ersten zum fünften Finger herumgekehrt fortpflanzt (gewöhnlich als V-Phlegmone bezeichnet; besser Y, wobei der unipare Gelenkel proximal vom Lig. carpi transversum am Unterarm liegt). Übrigens lehrt die klinische Beob-

achtung, daß gelegentlich auch Verbindungen der eigenen Sehnnscheiden des zweiten bis vierten Fingers mit der gemeinsamen großen Synovialscheide vorkommen. Indem aber gewöhnlich die Sehnnscheiden der Finger distalwärts nur bis zur Basis der Endphalanx reichen, besteht bei Entzündungen (Panaritien) nur der *vorderen* Teile der Endphalanx keine Gefahr des Überganges auf die karpale Schleimbeutel.

Da die gemeinsamen, unterhalb des straffen Lig. carpi transversum gelegenen Sehnnscheiden distal und proximal über das Band hinausreichen, so erklärt es sich, daß bei starken, durch entzündliche Vorgänge verursachten Schwellungen der Scheiden, die das Band überragenden Teile der Scheiden gegen die Haut hervorwölben.

Da an der *Dorsalseite der Finger* die Sehnnscheiden fehlen, demnach also die im Bereich der *Handwurzel* gelegenen Sehnnscheiden auch keine Fortsetzungen auf die Finger besitzen, von denen aus die Entzündung sich proximalwärts fortpflanzen könnte, so tritt überhaupt die Tendovaginitis an der Dorsalseite viel seltener auf, als an der *Volarseite*.

Auf der Dorsalseite der Hand sind die *Metakarpalknochen*, ebenso die *Phalangen*, leicht fühlbar, die auf der *Volarfläche* jedoch von reichlicheren Weichteilen bedeckt sind. An der Wurzel des Fingers fühlt man mit Daumen und Zeigefinger der anderen Hand bei geringer Beugung in dem Metacarpophalangealgelenk von der Dorsalseite aus ohne Mühe die verdickten *Basen der Grundphalangen* und die Gelenkfurche zwischen Metakarpalknochen und erster Phalanx. Sie liegt bei *geballter Faust* auf der Dorsalseite des Fingers einen Zentimeter *unterhalb, d. h. nagelwärts, von der höchsten Kuppe des Gelenkes*. Auch das Gelenk zwischen Os multangulum majus und Os metac. I (Sattelgelenk) ist an der Basis des Daumenballens, wenn man dem Os metac. durch Palpation folgt, fühlbar, sobald die Hand nicht zu fett ist. Bei der Exartikulation in diesem Gelenk ist die Eröffnung der benachbarten Verbindung zwischen Os multangulum majus und dem 2. Os metacarpale zu vermeiden, da man hierdurch zugleich die *große Gelenkhöhle*, die mit dem Interkarpalgelenk in Verbindung steht, eröffnen würde. Das proximale Interphalangealgelenk liegt bei geballter Faust grade auf der Höhe der Biegung, während das distale Interphalangealgelenk nicht auf die Höhe der Biegung, sondern weiter nagelwärts, entsprechend der distalen, hier verlaufenden Hautrinne liegt, was für das Eindringen bei Exartikulationen wichtig ist. Läßt man an der Dorsalseite der auf dem Tisch ruhenden Hand in der fühlbaren Furche zwischen zweitem und drittem Os metacarpale den Finger nach dem Handgelenk gleiten, so gerät man in eine Grube, die für operative Eingriffe (Dorsoradialschnitt nach Langenbeck bei Resektion im Handgelenk) wichtige „*Dorsoradialgrube*“ (Rotter) [s. Fig. 92], welche bei Dorsalflexion der Hand durch die nun hervortretenden Sehnen des Mm. *extensores carpi radiales* ausgefüllt wird.

Bei der *Unterbindung der A. radialis in der Tabatière* sind die V. cephalica und der sensible R. superficialis n. radialis zu schonen. Die Arterie kann auch ulnarwärts von der Sehne des M. extensor pollicis longus, bevor sie in die Vola tritt, auf dem Handrücken leicht gefunden werden. Die A. ulnaris wird nach innen vom Os pisiforme auf dem Lig. carpi transversum ohne Mühe freigelegt. Ebenso der N. ulnaris.

Für das Aufsuchen der Artt. digitales communes ist die Richtung nicht in der Achse der Finger, sondern *zwischen den Fingern* auf die Interdigitalräume zu innezuhalten. Will man von der Seite her auf die Sehnnscheiden der Finger eindringen, so darf im Bereich der Grund- und Mittelfalangen der Schnitt nicht an der radialen und ulnaren Kante gelegt werden, sondern etwas volarwärts davon, um die hier verlaufenden Artt. digitales volares propriae zu vermeiden. Dagegen ist an der Endphalanx die laterale Kante von Gefäßen frei, die hier medialwärts abbiegen.

Die *Symptomatologie* der nicht radikulären (s. o. S. 276) Lähmungen setzt eine genaue Kenntnis der Innervation und der Muskelwirkungen voraus.

1. *N. medianus*. Sein Hautgebiet ist die Vola manus und die Volarseite der Finger bis zu einer durch die Mitte des 4. Fingers gelegten Linie. In diesem Gebiet greift er auch auf die Endphalangen der Dorsalseite hinüber. Sein Muskelgebiet umfaßt alle Beugemuskel des Unterarms mit Ausnahme des M. flexor carpi ulnaris und ulnarer Teile des M. flexor digitorum profundus. An der Hand versorgt er die Muskeln des Daumenballens mit Ausnahme des M. adductor pollicis und 2 Mm. lumbricales. Bei seiner Lähmung ist aufgehoben die Pronation und beschränkt die Beugung der Hand, die ulnarwärts erfolgen kann (M. flexor carpi uln.). Beugung der Mittel- und Endphalangen des 2. Fingers

ts aufgehoben, die des 4. und 5. Fingers immer möglich, weil der *M. flexor profundus* wirkt (*N. ulnaris*); am 3. Finger ist die Lähmung vorhanden oder nicht, je nach dem Ausbreitungsgebiet des *N. ulnaris*. Beugung der Grundphalangen immer möglich (*Mm. interossei*, *N. ulnaris*). — Der Daumen kann leicht gespreizt, gebeugt, opponiert werden. Die antagonistische Wirkung der Extensoren zieht ihn dorswärts, die Wirkung des *Adductor pollicis* (*N. ulnaris*) zieht ihn gleichzeitig an die Hand heran. Da die arren Finger leicht gebeugt stehen, befindet sich die ganze Hand in charakteristischer „Pfötchenstellung“.

2. *N. ulnaris*. Sein Hautgebiet ist die *Vola manus* und die Volarseite der Finger ulnarwärts durch die Mitte des 4. Fingers gelegenen Linie. Ferner die Dorsalseite der Hand und der 4. Finger ulnarwärts von der durch die Mitte des 3. Fingers gezogenen Linie. Am Mittelfinger reicht seine Zone aber nur bis zur 2. Phalanx (s. o.). Sein Muskelgebiet umfaßt den *Mm. flexor carpi ulnaris* 1, die ulnaren Teile des *M. flexor digitorum profundus*. In der Hand versorgt er die Muskeln des 4. und 5. Fingers, den *M. adductor pollicis*, 2 *Mm. lumbricales* und sämtliche *Mm. interossei*. — Bei einer Lähmung ist die Beugung der ulnaren Finger unvollständig, die Beugung der Hand nach der arren Seite, die Adduktion des Daumens und alle Bewegungen des kleinen Fingers sind unmöglich. Bei einer Lähmung der *Mm. interossei*, die die Grundphalangen beugen und die Mittel- und Endphalanx strecken, die Gegenwirkung der Antagonisten hervor: Streckung der Grundphalangen (*N. medianus*), Beugung der Mittel- und Endphalanx (*N. medianus*). Die Hand gerät in *Klauenstellung*.

3. *N. radialis*. Sein Hautgebiet ist die radiale Hälfte des Handrückens und der Finger ausschließlich des Nagelgliedes (*N. medianus*), sein Muskelgebiet, die gesamte Streckmuskulatur und der *M. abductor pollicis*. Periphere Radialislähmungen lähmen je nach dem Sitz der Läsion sämtliche Muskeln; isolierte Lähmungen verschonen einzelne Muskeln (*M. triceps*, *m. brachioradialis*). Die Lähmung der Extensoren macht nur die Streckung im Grundgelenk unmöglich. Fixiert man dieses Gelenk durch Umwickeln mit der eigenen Hand, so kann der Kranke Mittel- und Endphalangen strecken (*Mm. interossei*). Die Pronation der Hand ist unmöglich (*Extensores carpi radialis* und *ulnaris*). Die Supination ist aufgehoben, kann aber bei gebeugtem Arm durch den *M. biceps brachii* ausgeführt werden.

## Topographische und angewandte Anatomie der unteren Extremität.

Zur Erläuterung des durch *Inspektion* und *Palpation* des Beines am Lebenden Feststellbaren dienen die Figuren 387—389.

### 1. Die Hüftgegend und Regio subinguinalis.

Die Grenzen der unteren Extremität gegen den Rumpf sind durch die von der Spina il. ant. sup. des Hüftbeins zur Symphysengegend verlaufende Leistenbeuge, die in ihrer Fortsetzung dem Lig. inguinale entspricht, gegeben. Nach hinten fällt die Grenze mit der Spina iliaca zusammen, da die Glutaealgegend zur unteren Extremität gerechnet wird. Sie liegt äußerlich nach unten mit der sehr starken *Gesäßfurche* (*Sulcus gluteus*) ab. In der Mitte ist medial das *Tuber ischiadicum* fühlbar. Vorn ist die Leistenbeuge die Grenze zwischen der Leisten- und Subinguinalgegend. In der Mitte zwischen Symphyse und Spina il. ant. sup. fühlt man die *Pulsation* der unter dem Poupart'schen Bande hindurchgehenden *A. femoralis*, die man bei mageren Individuen auch pulsieren sieht. Die in der Regio subinguinalis gelegenen *Lymphknoten* (s. Fig. 390) sind nur zu fühlen, wenn sie vergrößert sind. Lateral ist der unter der Haut gelegene *Trochanter major* palpabel; von dort nach abwärts wird das Femur völlig von Muskulatur eingehüllt. Die Spitze des Trochanters liegt bei rechtwinklig gebeugtem Bein in einer (über die Gesäßgegend verlaufenden) Verbindungslinie der Spina il. ant. sup. und des *Tuber ischiadicum* — *Rosenkrantz'sche Linie*.

Das Hüftgelenk, in der Beweglichkeit viel weniger frei als das Schultergelenk, ist in seiner Lage am Lebenden mit Hilfe einer von der Spina il. ant. sup. zur Sym-

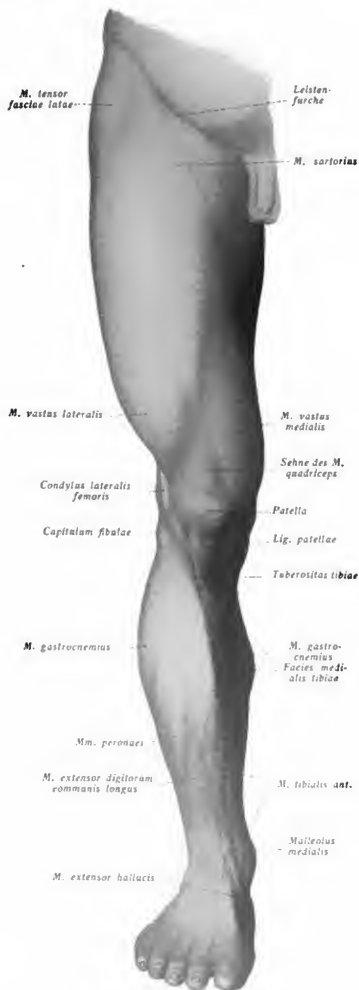


Fig. 387. Ansicht des Beines von vorne.



Fig. 388. Ansicht des Beines von hinten.



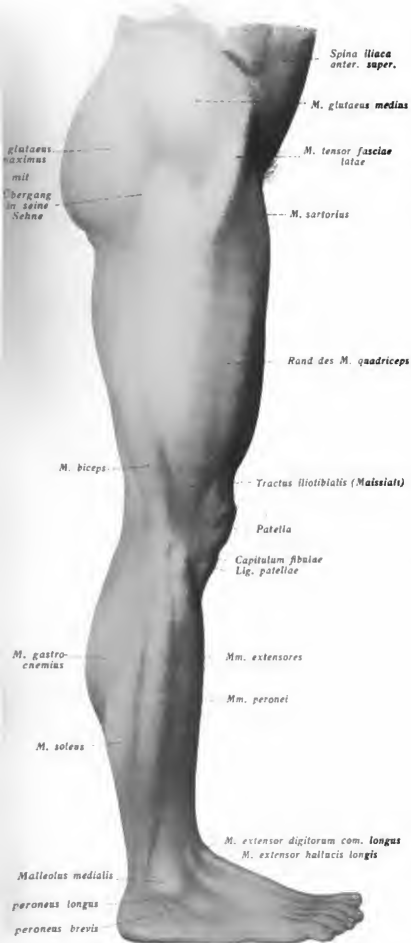


Fig. 389. Ansicht des Beines von der Seite.

physis gezogenen Linie bestimmt. Eine auf der Mitte dieser Linie errichtete Vertikale trifft die Mitte der Pfanne. Das Gelenk kommt zustande durch die Einlagerung des *Caput femoris* in das *Acetabulum* des Hüftbeins, dessen nicht überknorpelte *Fossa acetabuli* von der überknorpelten *Facies lunata* umgeben ist. Auf dem überknorpelten Kopf des Femur liegt die des Knorpelüberzuges entbehrende *Fovea capitis*, in welcher das *Lig. teres* haftet. Dieses führt Gefäße aus dem Ramus acetabuli der A. obturatoria in den Kopf des Femur und entspringt breit aus der Fossa acetabuli. Die *Epiphysenlinie*, die mit der Grenze zwischen Epi- und Diaphyse zusammenfällt, liegt ganz innerhalb der Kapsel. Die Pfanne wird am Rande durch das *Labium glenoidale* noch vertieft, das als *Lig. transversum* auch die *Incisura acetabuli* überbrückt. Die *Gelenkkapsel* entspringt am Hüftbein außerhalb des *Labium glenoidale*, so daß dieses mit dem freien Rand in dem Gelenk liegt. Am Femur setzt sie vorn an der Linea intertrochanterica, hinten aber höher, und zwar in der Mitte des Halses an. Die Trochanteren liegen außerhalb des Gelenks. Es ist von besonderer Bedeutung, daß die *vordere Fläche des Halses ganz in dem Gelenke, die hintere aber nur mit ihrem oberen Teil darin gelegen ist*. Allerdings kommen Variationen vor. Die Kapsel besitzt drei Verstärkungsbänder:

1. Vorn das sehr kräftige *Lig. iliofemorale*, von der Stelle unterhalb und neben der Spina iliaca anterior inferior zur Linea intertrochanterica;

Fig. 390. Regio subinguinalis mit den auf der Faszie gelegenen Gefäßen und Lymphknoten.

2. *Lig. pubocapsulare*, vom Corpus ossis pubis zur Gegend des Trochanter minor.

3. *Lig. ischiocapsulare*, vom Corpus ossis ischii zur vorderen Fläche des Trochanter major. Zwischen diesen stärkeren Teilen der Kapsel liegen drei (für eine von ihnen vgl. Figur 333) schwache Stellen, welche bei den verschiedenen Formen der Luxationen dem luxierenden Femurkopf präformierte Austrittsstellen gleichsam vorzeichnen. Auf der vorderen zwischen *Lig. iliofemorale* und *pubocapsulare* gelegenen schwachen Stelle liegt unter dem *M. iliopsoas* ein großer Schleimbeutel, die *Bursa iliopectinea*, die häufig (unter 10 Fällen einmal) mit dem Gelenk kommuniziert.

*Regio subinguinalis*. Ein Teil der hier in Betracht kommenden Gebilde ist bereits bei der Schilderung der Bruchpforten für die Schenkelhernien berücksichtigt worden. (*Lacuna vasorum und musculorum, Fossa iliopectinea*, S. 243.)

Die lateral von dem *Margo falciformis* (s. Fig. 390) begrenzte, als *Fossa ovalis* bezeichnete Lücke des von dem *Lig. inguinale* nach abwärts ziehenden oberflächlichen Blattes der Oberschenkelfaszie, *Fascia lata*, wird von einem schwachen Teil der Faszie, die *Fascia cribrosa* benannt ist, verschlossen. Durch diese gelangt die von der medialen Seite des Oberschenkels etwas nach hinten von dem Rand des *M. sartorius* aufsteigende, oft an ihrem Ende einen starken, mehr lateral gelegenen Ast aufnehmende oder doppelt vorhandene *V. saphena magna* in die *V. femoralis*. Die *Fascia cribrosa* oder auch die angrenzenden Teile der *Fascia lata* werden durchbohrt von der *A. epigastrica superficialis*, der *A. circumflexa ilium superficialis* und kleineren zu den zahlreichen *Lymphoglandulae* verlaufenden Arterienästchen, sowie den dazu gehörigen Venen. Medialwärts verlaufen meist zwei Arterien, *Aa. pudendae externae* (eine tiefere und eine oberflächlichere) mit den begleitenden Venen. Die hier gelegenen (10 bis 15) Lymphknoten liegen meist auf der Faszie, zum kleineren Teil darunter, und sammeln nicht nur die Lymphe von der unteren Extremität, sondern auch von der Haut der unteren vorderen Bauchgegend, des Dammes, des Anus und von den äußeren Genitalien (auch vom Cervix uteri S. 262). Die nahe am *Lig. inguinale* gelegenen Lymphknoten werden als *Lymphoglandulae inguinales* von den mehr abwärts gelegenen *Lphgl. subinguinales* unterschieden. Eine scharfe Grenze zwischen diesen beiden Gruppen besteht nicht.

Die von der starken *Fascia glutea* bedeckten Muskeln der Hüfte gruppieren sich um die äußere und innere Fläche des Beckens und gehen zur Trochanterengegend des Oberschenkels. Der *M. iliopsoas* besteht aus dem *M. psoas major* (von der Seitenfläche des zwölften Brustwirbelkörpers und den vier oberen Lendenwirbeln), dem *M. iliacus* (von der Innenfläche des Os ilei) und dem inkonstanten kleinen *M. psoas minor* und inseriert am Trochanter minor. Funktionell steht ihm die große zum Trochanter major verlaufende Muskulatur des Gesäßes gegenüber, sowie die von dem kleinen Becken kommende Muskulatur der Auswärtsroller. Gesäßmuskeln sind (s. Fig. 191): *M. gluteus maximus*, entspringt von der hinteren Fläche des Os ilei hinter der *Linea glutea posterior*, der Außenfläche von Kreuz- und Steißbein und dem *Lig. sacrotuberosum* und geht zur *Fascia lata* und zur *Tuberositas glutea femoris*. Zwischen der Sehne und dem Trochanter major liegt die große *Bursa trochanterica*. Der *M. gluteus medius* entspringt zwischen *Linea glutea post.* und *L. glut. ant.* und zieht zur Außenfläche des Trochanter major. Der *M. gluteus minimus* entspringt zwischen *Linea glut. ant.* und *L. glut.*

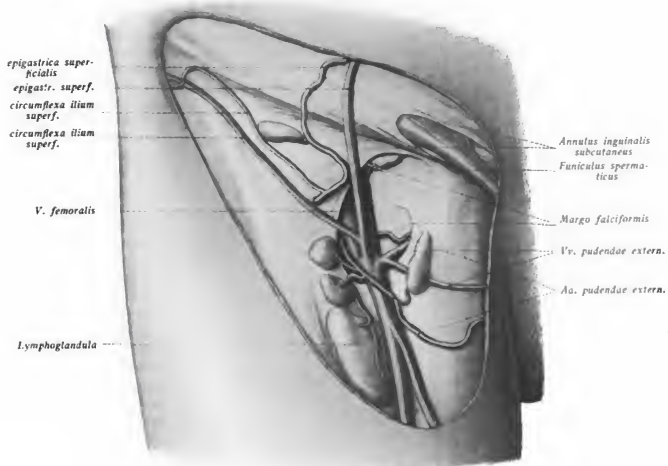


Fig. 391.

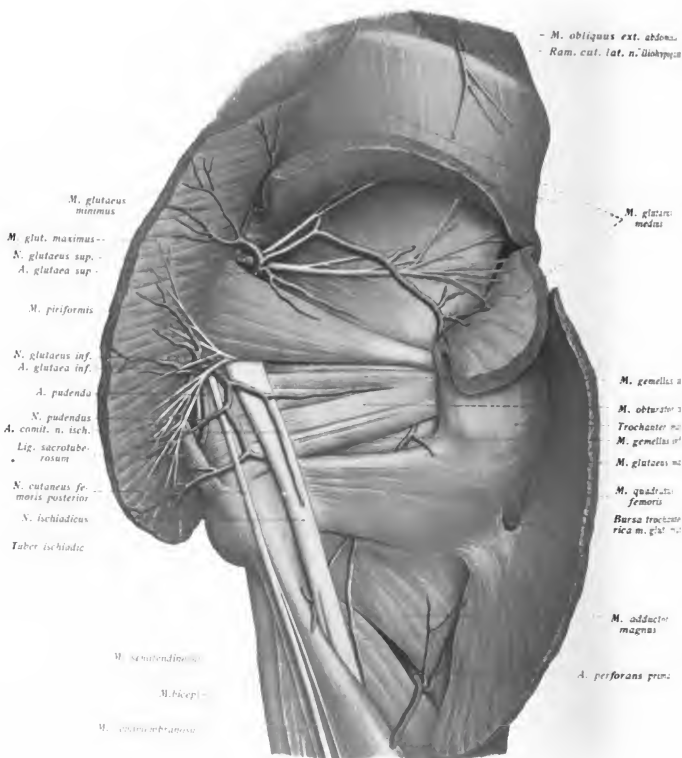


Fig. 391. Topographie der tiefen Gesäßgegend.

f. und zieht zur vorderen Fläche des Troch. maj. Die Auswärtsroller sind: *M. piriformis*, dem unteren Rand des *M. gluteus medius* angeschlossen, von der vorderen Fläche des Os crur. durch das For. ischiad. majus zur Spitze des Trochanter major (Foramen supra- infrapiriforme s. S. 241); der *M. obturator internus* von der Innenfläche der embr. obturatoria und dem umgebenden Knochen durch das For. ischiadicum minus aus dem Becken heraus zur Fossa trochanterica, begleitet vom *M. gemellus sup. et inf.* (von der Spina und dem Tuber ossis ischii); der *M. obturator externus* von der Außenfläche der *M. obturatoria* und dem Rand des Foramen obturatum zur Fossa trochanterica und der *M. quadratus femoris* vom Tuber ischiadicum zur Crista intertrochanterica.

Nach Durchschneidung des *M. gluteus maximus* (s. Fig. 391) quer zum Verlauf seiner groben Muskelbündel, sehen wir am Foramen infrapiriforme (s. Fig. 319) aus dem Becken austreten zunächst den von der Innenfläche in den durchschnittenen Muskel ausstrahlenden *N. gluteus inferior*. Außer ihm verlassen das Becken noch durch das Foramen infrapiriforme der zur Haut der hinteren Fläche des Oberschenkels gehende *N. gluteus femoris posterior*, der *N. ischiadicus* (am meisten lateral und in der Mitte zwischen Tuber ischiadicum und Trochanter major), dessen weiter unten zum *N. peroneus* gehender Teil oft den *M. piriformis* durchbohrt (s. o. S. 275), und der *N. pudendus*, der aber sofort durch das Foramen ischiadicum minus wieder in das Becken hinein gelangt. Die unterhalb des *M. piriformis* austretenden Arterienäste der *A. hypogastrica* sind die *A. glutea inferior*, vornehmlich zum *M. gluteus maximus* (entsendet auch *A. comitans nervi ischiadici*) und die mit dem gleichnamigen Nerven verlaufende *A. pudenda communis* zum Endteil des Mastdarms, zum Damm und zu den äußeren Genitalien. Wird ferner der *M. gluteus medius* durchschnitten (s. Fig. 191), so übersieht man auch das Foramen supra- piriforme. Aus ihm tritt die *A. glutea superior* und sendet einen Ast (*R. superior*) zwischen *M. gluteus maximus* und *medius*, einen zweiten (*R. inferior*) unterhalb des *M. glutei medius*. Mit diesem verläuft der gleichfalls am oberen Rand des *M. piriformis* aus- tretende *N. gluteus superior* zum *M. gluteus medius*, *M. glut. minimus* und *M. tensor sciae latae*. Am oberen Rand des *M. piriformis* treten also eine Arterie und ein Nerv, an unteren Rande zwei Arterien und vier Nerven aus dem Becken.

### Anwendungen.

In Übereinstimmung mit der Tatsache, daß die untere Extremität die obere bedeutend an Masse übertrifft, sind auch die Gefäße und Nerven des Beines viel stärker, als die des Armes, wodurch die Amputationen und Resektionen an der unteren Extremität gemeinhin viel größere Eingriffe, als an der oberen, darstellen, auch die Verwundungen der unteren Extremität im allgemeinen gefährlicher sind, als die der oberen. Die größere Entfernung der unteren Extremität von dem Zentralorgan des Kreislaufs steht in deutlichem Zusammenhang mit der Tatsache, daß hier im Vergleich mit dem Arm größere Neigung zur Bildung von Geschwüren, chronischen Hautleiden, Venenerweiterungen und Ödemen besteht. Die im Vergleich zur oberen Extremität beschränkere Beweglichkeit in den Gelenken setzt dagegen die untere Extremität dem Auftreten von Luxationen weniger aus.

Die oben erwähnte Roser-Nélatonsche Linie hat ihre praktische Bedeutung darin, daß sie gestattet, aus der Lage des Trochanter festzustellen, ob das Bein als solches verkürzt ist (z. B. Luxationen, Zerstörungen im Hüftgelenk) oder ob eine vorhandene Verkürzung durch Hochstellung der ganzen Beckenhälfte nur vorgetäuscht wird.

Das verschiedene Verhalten des Kapselansatzes an der vorderen und hinteren Fläche des Halses klärt, daß die Schenkelhalsbrüche teils ganz intrakapsulär, teils vorn intra-, hinten dagegen extrakapsulär liegen, also sogenannte gemischte Brüche und nur selten ganz extrakapsulär sind.

Fig. 392. Vordere Oberschenkelgegend

Während bei extrakapsulären Frakturen knöcherne Heilung die Regel ist, ist bei intrakapsulären Fraktur die Heilung durch Pseudarthrosenbildung die Regel, oder es wird der Kopf überhaupt in der Pfanne resorbiert. Der anatomische Grund hierfür ist die schlechte Ernährung der Fragmente. Da innerhalb der Kapsel kein Periost da ist, so wird der Hals nur von unbedeutenden Gefäßen der Synovialhaut ernährt. Die A. nutritia capitis im Lig. teres ist an sich schwach, fehlt oft und ist bei älteren Leuten fast regelmäßig zurückgebildet. Immerhin kann ihr Blut genügen, um das Kopffragment zu erhalten.

Die *Luxationen* nach hinten (Lux. iliaca und Lux. ischiadica) treten an der hinteren schwachen Stelle aus, diejenigen nach vorn (L. obturatoria, infra- und suprapubica) finden in dem vorn und medial gelegenen dünneren Teile der Kapsel einen vorgebildeten Weg. Auch sind die dünneren Stellen der Kapsel wichtig für die Bahnen, auf denen sich *Ergüsse* vom Gelenk nach außen weitere Wege suchen (Fig. 333). Da, wo zwischen M. iliopsoas und vorderer Kapselwand die Bursa iliopectinea liegt, bahnt sich gelegentlich Eiter aus dem Gelenk einen Weg nach außen und tritt unter den M. psoas. Er gelangt durch die Lacuna musculorum bis zum Trochanter minor. Andererseits kann auch ein sich von der Fossa iliaca aus unter dem Poupartschen Bande *hinabsenkender Abszeß in das Gelenk eindringen*, natürlich dann leichter, wenn eine Kommunikation des Schleimbeutels mit dem Gelenk besteht.

Die gelegentlich doppelte *Vena saphena magna* zu kennen ist von Wichtigkeit wegen der nicht seltenen Unterbindung der Vene bei Varicenbildung. Der Abfluß der Lymphe der äußeren Genitalien aus der Lymphoglandulae inguinales erklärt, warum sie bei venerischen Infektionen erkranken. Über die am Foramen ischiadicum majus gelegentlich vorkommenden Hernien s. S. 245.

## 2. Der Oberschenkel.

Die Muskeln des Oberschenkels (Fig. 396) umhüllen das Femur derart, daß oben nur der Trochanter major und unten die Kondylen unter der Haut fühlbar sind. Man unterscheidet vorn gelegene *Streckmuskeln* (N. femoralis), hinten gelegene *Beugemuskeln* (N. ischiadicus) und medial gelegene *Adduktoren* (N. obturatorius) (s. Fig. 392 und 395). Dazu kommt die *oberflächliche Gruppe*: M. tensor fasciae latae (N. glut. superior) von der Spina il. ant. sup. zum Tractus iliotibialis der Fascia lata und der M. sartorius (N. femoralis) von der Spina il. ant. sup. zur Tibia unterhalb des Condylus medialis bis zur Tuberositas.

Die *Streckmuskulatur*: Der M. quadriceps femoris besteht aus vier Teilen: M. rectus, Min. vastus lateralis, medialis und intermedius. Der M. rectus entspringt an der Spina il. ant. inf. und neben dem Acetabulum mit zwei kurzen Sehnen; der M. vastus lateralis vom Trochanter major, von dem Labium laterale der Linea aspera femoris und dem Septum intermuscul. laterale; der M. vastus medialis vom Labium mediale der Linea aspera und dem Septum intermuscul. mediale; der M. vastus intermedius von der Linea intertrochanterica und der vorderen Fläche des Corpus femoris, bedeckt vom M. rectus; er ist mit den Vasti lat. et med. in verschiedener Weise verwachsen. Die Vasti umhüllen (Fig. 396) den Femurschaft bis auf die Linea aspera und das Planum popliteum. Alle vier Teile gehen oberhalb des Kniegelenks in die gemeinsame Endsehne über, die nach Einschluß der Patella als Ligamentum patellae an der Tuberositas tibiae inseriert.

Die hinten gelegenen *drei Beugemuskeln* kommen vom *Tuber ischiadicum*. Der M. biceps femoris entspringt hier mit seinem Caput longum; sein Caput breve (N. peroneus) geht von dem Labium laterale der Linea aspera femoris aus; die Insertion beider liegt am Capitulum fibulae. Der M. semitendinosus geht in eine lange Sehne über, die sich von hinten in eine breite Furche des M. semimembranosus hineinlegt, und zieht hinter dem M. gracilis und M. sartorius wie diese mit breiter Sehne zur Tibia bis zur Crista anterior. Der

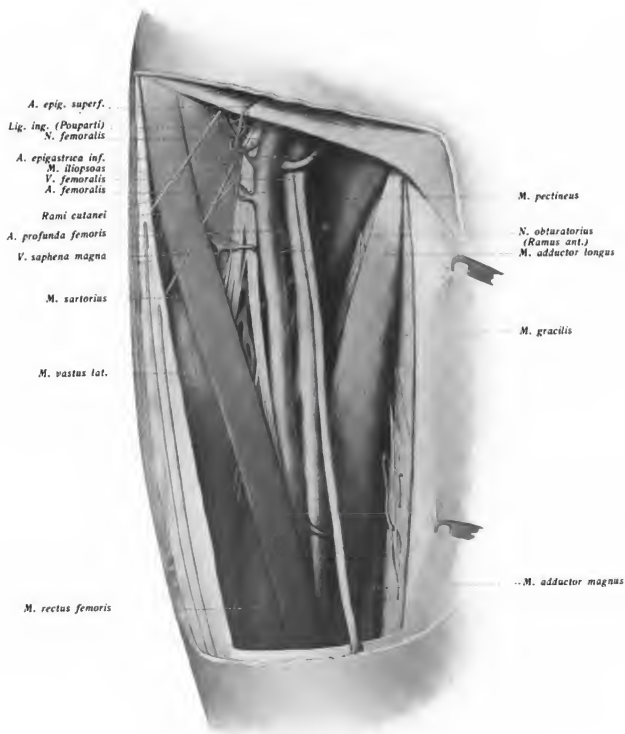


Fig. 393.

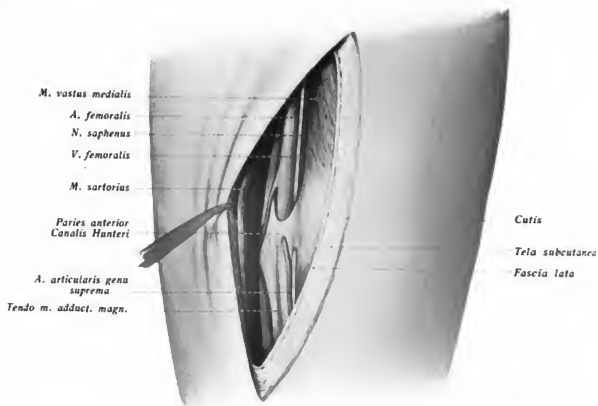


Fig. 394.

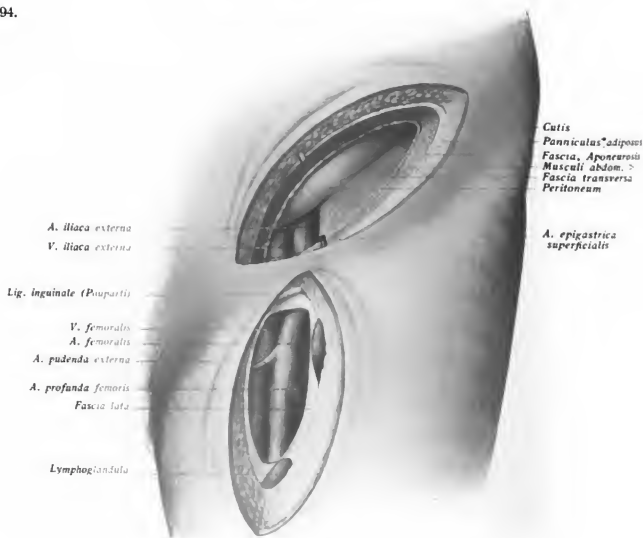




Fig. 393. Freilegung der A. femoralis vor dem Eintritt in den Hinterschenkelkanal.

Fig. 394. Subperitoneale Freilegung der A. iliaca externa. Unterhalb des Lig. inguinale sind die Vasa femoralia pariert.

*semimembranosus* entsteht am *Tuber ischiadicum* mit langer platter Sehne und inseriert unter dem *Condylus medialis tibiae*. Ein Sehnenzipfel geht als *Lig. popliteum obliquum* in die Kapsel des Kniegelenks ein.

Die *Adduktoren* (Fig. 333) sind medial am Oberschenkel zwischen Extensoren und Flexoren eingeschaltet, entspringen vom Becken und gehen im allgemeinen zum Labium mediale der Linea aspera sowie zum Epicondylus medialis femoris. Die gemeinsame Endsehne enthält mehrere kleine Lücken für die von der vorderen Seite zur hinteren verlaufenden, perforierenden Arterien und ferner den großen *Adduktorenschlitz* — *Hiatus adductorius* — für den Übergang der Vasa femoralia von der vorderen Seite in die Kniekehle. Der *M. pectineus* verläuft vom Pecten ossis pubis konvergierend mit dem *M. iliopsoas* und schließlich nach hinten zur Linea pectinea femoris. Indem er mit dem *M. iliopsoas* nach hinten verläuft, wird unterhalb des Lig. inguinale eine von der Fascia lata bedeckte, nach dem Trochanter minor abfallende Grube, die *Fossa iliopectinea*, erzeugt, auf der die großen Arterien- und Venenstämme liegen (s. Fig. 392 und S. 243). Sie bildet den tiefsten Teil des *Trigonum femorale* (*Scarpae*), dessen medialer Rand von dem medialen Rande des *M. adductor longus* (Ursprung: vom Schambein unterhalb des Tuberculum pubicum; Ansatz: mediale Lippe der Linea aspera femoralis) und dessen lateraler Rand durch den Innenrand des *M. sartorius* gebildet wird. Die Spitze dieses Dreiecks liegt ungefähr am Eingang in den Canalis adductorius. Der *M. adductor brevis* zieht vom unteren Schambeinast zum oberen Drittel des Labium mediale der Linea aspera; der *M. gracilis* vom unteren Schambeinast zur Tuberositas tibiae unterhalb des Condylus medialis bis zur Tuberositas tibiae und der *M. adductor magnus*, der weitesten nach hinten gelegen, vom unteren Scham- und Sitzbeinast sowie vom *Tuber ischiadicum* zur ganzen Länge des Labium mediale der Linea aspera und außerdem mit einem starken Sehnenstrang zum Epicondylus medialis femoris (Fig. 333). Zwischen dieser Sehne und der medialen Femurfläche liegt der *Hiatus adductorius* (Adduktorenschlitz). In der Sehne des *M. adductor magnus* spannt sich an der Grenze von mittlerem und unterem Drittel des Oberschenkels ein schnelles Blatt herüber zum *M. vastus medialis*; es bildet die vordere und mediale Wand (s. Fig. 393) eines am *Hiatus adductorius* endigenden Kanals — *Canalis adductorius* (*Hunteri*) —, dessen hintere Wand von den vereinigten Sehnen des *Mm. adductor longus* und *magnus* gebildet ist, während lateral der Kanal von dem *vastus medialis* und dem Femur begrenzt wird. Durch diesen Kanal laufen A. und V. femoralis zur Fossa poplitea.

Die A. femoralis (s. Fig. 392—395) tritt in der Mitte zwischen Symphysis und Spina iliaca anterior superior unter dem Lig. inguinale hindurch in die Fossa iliopectinea (s. oben). Sie liegt mit der ihr zunächst medial angelagerten Vene zwischen dem oberflächlichen und dem tiefen Blatt der Fascia lata (F. iliopectinea). Man unterscheidet drei Strecken an der Arterie. Die erste Strecke der Arterie reicht vom Lig. inguinale bis zum *M. sartorius*, liegt also im Trigonum subinguinale. Außer den genannten oberflächlichen Arterien (s. S. 306) entspringt die A. femoralis unterhalb des Leistenbandes den starken Stamm der A. profunda femoris (s. Fig. 392 und 394); er entsteht im allgemeinen 3—5 cm unterhalb des Bandes, kann aber auch höher oben nahe dem Leistenbande entspringen. Hier entstehen auch die starken Aa. circumflexae femoris, von denen die laterale mit der A. glutea superior

Fig. 395. Muskeln, Nerven und Gefäße der Beugeseite des Oberschenkels.

rior, die mediale mit der A. obturatoria anastomosiert, entweder aus der A. profunda oder selbständig aus A. femoralis sowie die drei *Aa. perforantes* der A. profunda für die Beugeseite (s. Fig. 395). Die A. femoralis gelangt aus der Fossa iliopectinea in die Furche zwischen dem M. vastus medialis und den Adduktoren, nur von der Faszie bedeckt, und tritt dann unter den M. sartorius. Sie verläßt so das Trigonum femorale und geht in ihre zweite unter dem M. sartorius gelegene Strecke über. Dann tritt sie in den *Canalis adductorius* (s. oben). In ihm liegt die dritte Strecke ihres Verlaufes; vor dem Eintritt in den Kanal oder im Kanal selbst gibt sie die zum Kniegelenk verlaufende, wie der N. saphenus durch die vordere Wand des Canalis adductorius hindurchtretende A. genu suprema ab. Der Verlauf der A. femoralis kann bei dem Lebenden durch eine Linie bestimmt werden, die man von der Mitte der Leistenbeuge (Lig. inguinale) nach dem Epicondylus medialis femoris zieht (Linea inguino-condylica).

Die V. femoralis (s. Fig. 392) liegt in der Lacuna vasorum (S. 243) und im oberen Teil der Fossa iliopectinea medial von der Arterie, tritt dann allmählich hinter die Arterie, von der sie vor dem Eintritt in den Adduktorenkanal von vorn fast ganz verdeckt wird (s. Fig. 396). Je weiter nach unten, um so tiefer ist das zwischen Arterie und Vene gelagerte Bindegewebe.

Der N. femoralis (Fig. 259, 320, 321, 392, 396), entspringend aus  $L_1-L_4$ , der motorische Nerv für den M. extensor quadriceps und den M. sartorius, gelangt durch die Lacuna musculorum zum Oberschenkel, also lateral von der A. femoralis, aber von dieser durch die Fascia iliopectinea getrennt. Er zerfällt schon bald unter dem Lig. inguinale in seine Haut- und Muskeläste. Der längste Ast ist der als N. saphenus (s. Fig. 393 und 396) bezeichnete Hautnerv, der die A. femoralis bis zum Canalis adductorius lateral begleitet, dann aber, durch die vordere Wand des Kanals hindurchtretend, unter dem M. sartorius hindurchzieht, um hinter der Endsche des M. sartorius durch die Faszie zu treten und in Begleitung der V. saphena magna bis zum Malleolus medialis zu verlaufen. Er versorgt auch (N. infrapatellaris) die Haut unterhalb des Knies.

Der N. ischiadicus (Fig. 391, 395, 396, 397), entspringend aus  $L_5$  und  $S_1-S_3$ , der Nerv der Flexoren, liegt nach seinem Austritt aus dem Foramen infrapiriforme (s. S. 307) unter dem M. gluteus maximus auf dem M. obturator internus und den beiden Mm. gemelli, dann auf dem M. quadratus femoris zwischen Trochanter major und Tuber ischiadicum. Am unteren Rande des M. gluteus maximus wird er oberflächlicher und ist hier eine kurze Strecke nur von Haut, Fett und Faszie bedeckt. Im weiteren Verlauf tritt der N. ischiadicus unter die von dem Tuber ischiadicum entspringende Muskulatur, zunächst unter den M. biceps femoris, zieht in der Mitte der Hinterfläche des Oberschenkels, bedeckt von dem Caput longum des M. biceps, zur Kniekehle. Vorn von ihm liegt der M. adductor magnus. Er ist von sehr lockerem Bindegewebe umgeben. Der Nerv kann sich schon hoch oben in seinen beiden Endäste, N. tibialis und N. peroneus, teilen; gewöhnlich liegt die Teilung oberhalb des Eintrittes in die Fossa poplitea (Fig. 397). Der Nerv versorgt (mit dem Tibialisanteil) den langen Kopf des M. biceps, den M. semitendinosus und M. semimembranosus und (mit dem Peroneusanteil) den kurzen Kopf des M. biceps. Auch gibt er Ästchen an den M. adductor magnus. (Unter den Adduktoren werden also zwei doppelt innerviert, der M. adductor magnus vom N. obturatorius und dem N. ischiadicus, der M. pectineus vom N. obturatorius und dem femoralis).

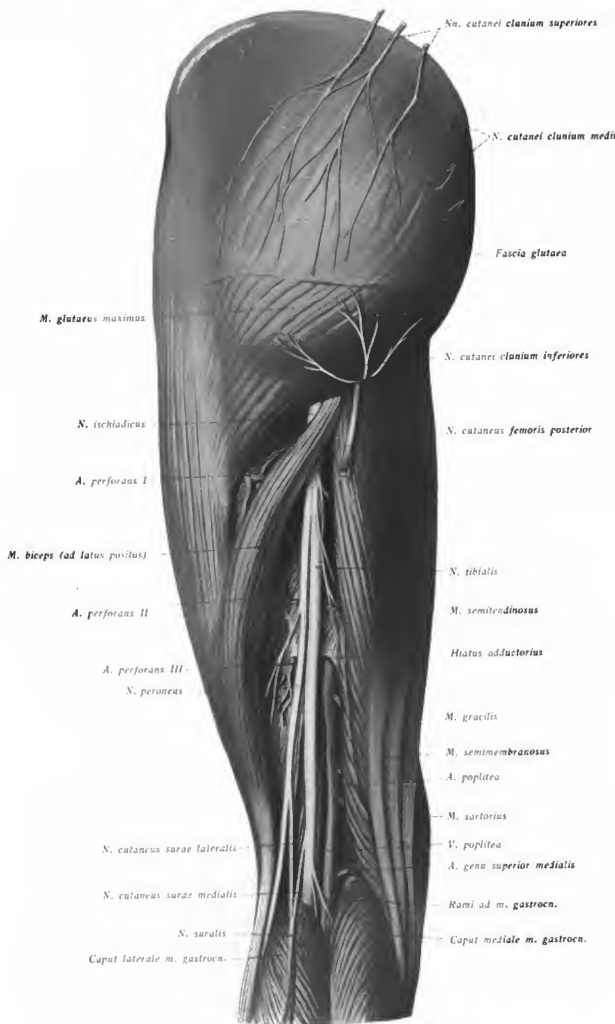


Fig. 396.

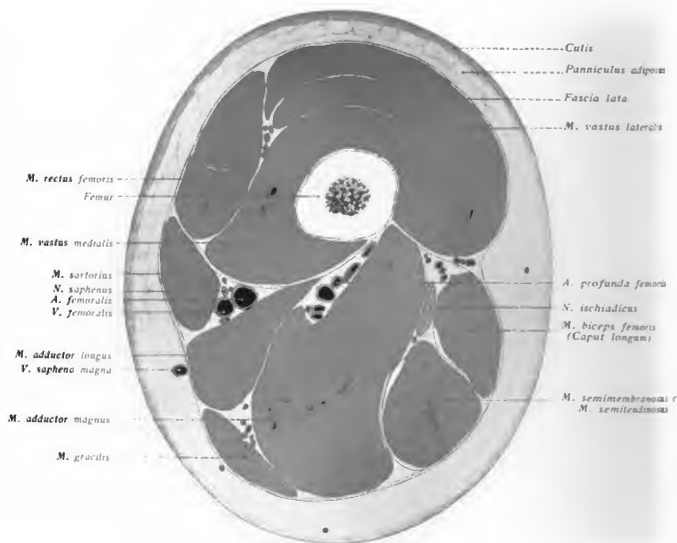


Fig. 306. Querschnitt des Oberschenkels, oberhalb der Mitte.

Der *N. obturatorius* (s. Figg. 320, 322, 327, 328, 333, 343, 392), entspringend aus  $-L_4$ , der *Nerv der Adduktoren*, läuft im kleinen Becken, medial von dem *M. psoas* und leitet von der *A. obturatoria*, zum *Canalis obturatorius* und teilt sich nach dem Austritt aus dem Kanal in einen *vorderen* und einen *hinteren* Ast. Der *vordere* (Fig. 333) liegt dem *M. adductor brevis*, von dem *Mm. pectineus* und *adductor longus* bedeckt, versorgt diese Muskeln und den *M. gracilis* und endigt mit einem unbedeutenden Hautast (Fig. 392) der medialen Seite des Oberschenkels (s. Fig. 392). Der *hintere* Ast liegt unter dem *M. adductor brevis* und auf dem *M. adductor magnus*, den er versorgt.

### Anwendungen.

Die *A. iliaca externa* kann kurz vor ihrem Übergang in die *A. femoralis* in ähnlicher Weise, die *A. iliaca communis* und der Ureter (s. S. 205) *retroperitoneal* freigelegt werden. Der dicht über dem *Lig. inguinale* in der Mitte des Bandes und diesem parallel geführte Schnitt durchtrennt Haut, subcutaneum mit der *A. epigastrica superficialis*, die Aponeurose des *M. obliquus externus*, auf die unteren Ränder des *M. obliquus internus* und *transversus* nach oben gedrängt werden, die *A. transversa* durchtrennt wird und das Peritoneum da, wo es sich von der *Fossa iliaca* auf die Fläche der vorderen Bauchwand hinter dem *Lig. inguinale* umschlägt, von den *Vasa iliaca* nach oben abgedrängt wird. In entsprechender Weise kann die hier vor dem Peritoneum aufwärts laufende *epigastrica inferior* an ihrem Ursprung unterbunden werden. Zum Aufsuchen der *A. femoralis* betritt man sich der *Linea inguino-condylarica* (s. S. 309). In der Mitte des Leistenbandes kann die Arterie zu schneller Stillung einer Blutung gegen die harte Knochenunterlage der *Eminentia iliopectinea* comprimiert werden. Wird die Arterie unterhalb des Ligaments unterbunden, so muß man sich erinnern, die *A. profunda* schon sehr nahe am Ligament abgehen kann. Soll die Arterie in ihrer zweiten Strecke freigelegt werden, so ist der *M. sartorius lateralis*, soll in ihrer dritten Strecke unterbunden werden, so ist *medialis* zu verschieben.

Von großer Bedeutung ist die Stelle des Abganges der *A. profunda femoris* für die Unterbindung der *A. femoralis*. Durch die oben erwähnten Anastomosen — typischen Abgang der *Aa. circumflexae* ausgesetzt — kann in den unterbrochenen Stamm der *A. femoralis* Blut nur durch die *A. profunda* fließen. Indiziert ist also stets die Anlage der Ligatur oberhalb des Abganges der *A. profunda*. Hierfür muß, da die *A. profunda* eine *Endarterie* ist, das gesamte distale Gebiet der *A. femoralis* unterbunden werden. Die Varietäten im Abgang der *Aa. circumflexae* sind allerdings zahlreich (z. B. Abgang der lateralen Äste der *A. circumflexa lateralis* selbständig, des absteigenden Astes tiefer abwärts aus der *A. femoralis*), aber sie sind für die Unterbindung als ungewiß anzusehen.

Der *Nervus ischiadicus* ist da, wo er unter dem Rande des *M. glutaeus maximus* austritt, um gleich unter dem *M. biceps* zu verschwinden, der Untersuchung (Ischias) und elektrischer oder chirurgischer Behandlung am leichtesten zugänglich. Der Schnitt wird in der Längsrichtung quer zur Gefäßbahn nach abwärts geführt von der Mitte der Verbindungslinie zwischen *Tuber ischiadicum* und dem inneren Rand des *Trochanter major*. Ist der *M. glutaeus maximus*, dessen Rand hier einige Zentimeter abwärts von der *Glutaealfalte* liegt, erreicht, so wird sein unterer Rand nach oben gedrängt. Leicht findet man den lateralen Rand des *M. biceps*, nach dessen medialer Verlagerung der Nerv gefunden wird. Unter Umständen kann der *N. cutaneus femoris posterior* hierbei verletzt werden. Er liegt mehr medial als der *N. ischiadicus* auf dem *M. biceps*.

### 3. Die Kniegegend.

In der Kniegegend sieht und fühlt man leicht die in die Endsehne des *M. quadriceps* eingeschaltete bewegliche *Patella*, die nur von der Haut und von Schleimbeuteln (s. S. 314) bedeckt ist, ebenso das von deren Spitze zur *Tuberositas tibiae* ziehende *Lig. patellae*. Beiderseits sind die *Condylus femoris* und auf diesen die *Epikondyli* ohne Mühe zu

fühlen. Bei gestrecktem Knie treten neben dem unteren Ende (Apex) der Patella zwei Fettwülste in verschiedener Ausbildung hervor, welche den im Innern des Gelenks gelegenen Ligamenta alaria entsprechen. Bei gebeugtem Knie „wandert“ die Patella nach unten, so daß nun die *Facies patellaris* der Fossa intercondylea femoris frei wird und abgetastet werden kann. Lateral läuft von dem Epicondylus lateralis ein bei gestrecktem Bein deutlich fühlbarer, starker Strang aufwärts, das ist das untere Ende des *Tractus iliobtibialis* (s. S. 201 und Fig. 389) der Fascia lata. Man fühlt ferner: Beiderseits vom Lig. patellae den *Gelenkspalt* zwischen Femur und Tibia, lateral das *Köpfchen der Fibula* und den von oben zu ihm laufenden starken Strang der *Bizepssehne*. Sie bildet die bei gebeugtem Knie an der Hinterseite aufwärts zu verfolgende laterale Begrenzung der *Kniekehle*, deren mediale Grenzsehnern der *M. semitendinosus* und *M. semimembranosus* bilden. Die bei Beugung in der Kniekehle sichtbar werdende quere Hautfurche entspricht ungefähr dem Gelenkspalt. Nach dem Unterschenkel hin geschieht die Begrenzung der rautenförmigen Fossa poplitea durch die medialen Ränder der beiden Ursprungsköpfe des *M. gastrocnemius*.

*Oberflächliche Teile* der Regio poplitea (s. Fig. 397) sind: Die auf der Fascie liegende *V. saphena parva*. Sie entsteht hinter dem lateralen Malleolus und läuft auf der Wadenmuskulatur nach aufwärts in der Furcha zwischen den beiden Köpfen des *M. gastrocnemius*, durchbohrt die Faszia in der Kniekehle und mündet in die *Vena poplitea*. Gelegentlich entsendet sie noch einen höher oben (in die *V. profunda femoris*) einmündenden Venenast. Gelegentlich wendet sie sich medial- und aufwärts, um in die *Vena saphena magna* einzumünden. Lateral von der Vene verläuft der *N. suralis* bis zum lateralen Fußrand. Er entsteht in der Fossa poplitea oder weiter unten unten auf oder unter der Fascia aus der Vereinigung der vom *N. peroneus* kommenden *N. cutaneus surae lateralis* und des vom *N. tibialis* stammenden *N. cutaneus surae medialis*. Medial finden wir die *Vena saphena magna* und etwas hinter ihr den unter der Sehne des *M. sartorius* durchtretenden *N. saphenus* (s. S. 203).

*Tiefere Teile* sind: In der Mittellinie der durch die Haut fühlbare, bei mageren Individuen sogar in Streckstellung des Knies sichtbar werdende *N. tibialis*, der motorische Nerv der Beugeseite, der hier seine Äste zu den Köpfen des *M. gastrocnemius*, zum *M. soleus* und *M. popliteus* sendet. Er tritt in dem oberen Winkel der Fossa poplitea in diese ein. Etwas tiefer und dem Nerv dicht angelagert, zugleich mehr medial, liegt die *Vena poplitea* und noch tiefer und noch weiter medial die *A. poplitea*. Sie tritt am Adduktorenschlitz hervor, liegt erst auf der hinteren Seite des *M. vastus medialis*, dann auf dem *Planum popliteum femoris*, doch von dem Knochen noch durch Fett getrennt; weiter unten legt sie sich dicht auf die Gelenkkapsel des Kniegelenks. Schließlich findet sich die Arterie auf dem *M. popliteus*, an dessen unterem Rand sie ihre Endäste, *Aa. tibialis anterior und posterior* verzählt (s. Fig. 400). Abgesehen von reichlichen Muskelästen zu den Muskeln dieser Gegend, unter denen besonders die starken *Aa. surales* zu den Gastrocnemiusköpfen hervorzuhoben sind, kommen die allerdings in ihrer Stärke variierenden, fünf *Aa. articulares genu* für das Rete articulare in Betracht: Zwei obere und zwei untere (je eine laterale und eine mediale), sowie eine von hinten in die Gelenkkapsel und die Ligamenta cruciata eindringende *A. art. genu media*.

Der *N. peroneus* (s. Fig. 195 und 197) folgt dem medialen Rand des *M. biceps*

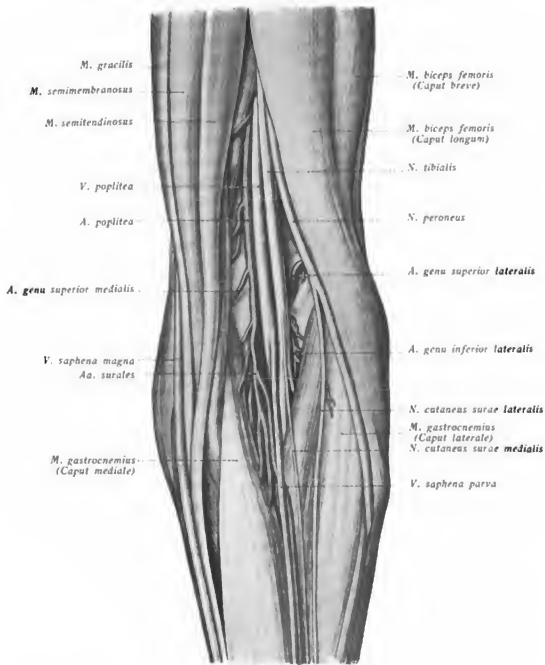


Fig. 398.

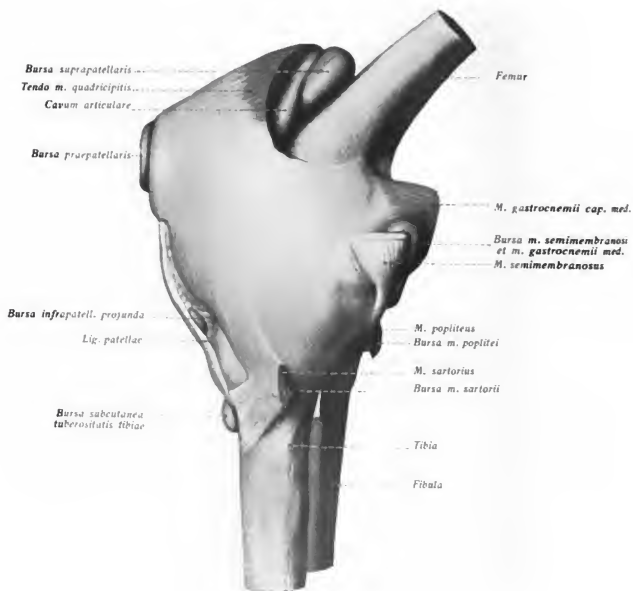




Fig. 398. Kniegelenk nach Injektion von blauer Masse in die Gelenkhöhle, sodaß auch die mit dem Gelenk zusammenhängenden Schleimbeutel blau gefüllt sind. Die nicht mit dem Cavum articulare kommunizierenden Bursae mucosae sind mit roter Masse gefüllt dargestellt. Nach einem Modell.

cd entfernt sich dadurch immer mehr von dem N. tibialis, liegt zwischen der Bizepssehne und der Sehne des lateralen Gastrocnemiuskopfes und tritt am Capitulum fibulae zwischen die beiden Ursprungsportionen des M. peroneus longus ein, indem er zugleich seine beiden Hauptäste, *N. peroneus superficialis* und *profundus*, zerfällt.

Im Kniegelenk (s. Fig. 199) artikuliert das untere Ende des Femur mit der Tibia. Die Fibula ist am Kapitulum durch ein selbständiges, vom Kniegelenk unabhängiges Gelenk mit der Tibia verbunden. Die Patella begrenzt mit ihrer hinteren, überknorpelten Gelenkfläche direkt das Cavum articulare und gleitet bei Beugung und Streckung auf der Fossa patellaris femoris auf und ab. Die Inkongruenz der Gelenkflächen von Tibia und Femur wird zum Teil ausgeglichen durch die Einschaltung der *Menisci lateralis* und *medialis*. Der *Meniscus lateralis* ist stärker gekrümmt und unmittelbar vor und hinter der Fossa intercondylea tibiae befestigt. Der *Meniscus medialis* ist mehr halbmondförmig und beginnt vorn am Rande der Gelenkfläche der Tibia und endet hinten in der Fossa intercondylea posterior.

Die Gelenkkapsel steht in sehr inniger Beziehung zu Muskelansätzen, die zu ihrer Verstärkung beitragen. Vorn ist es die Sehne des M. quadriceps, die die Patella einschließt und in dem zur Tuberositas tibiae gehenden *Lig. patellae* ihr Ende findet. Seitlich gehen an den Rändern der Patella Ausstrahlungen der Quadrizepssehne zum oberen Tibiaende und den Epicondylus femoris: *Ligg. patellaria laterale et mediale*. Sie tragen wesentlich zur Fixierung der Patella in ihrer Lage bei. Hinten liegen M. popliteus, die Ursprünge des M. gastrocnemius und die Ansätze des M. semimembranosus (*Lig. popliteum obliquum*) lateral der zum Capitulum fibulae verlaufende M. biceps, medial die drei den „Pes anserinus“ bildenden Sehnen des M. sartorius, M. semitendinosus und M. gracilis. Die Kapsel geht von der Rückfläche der Quadrizepssehne auf die vordere Fläche des Femures etwas oberhalb der überknorpelten Fläche über und schließt die Epikondylen nicht mit ein. Hinten geht sie über die *Linea intercondyloidea* über. An der Tibia erfolgt der Kapselansatz an dem Rande der überknorpelten Fläche und geht von da zum Außenrand der Menisci und zum unteren Ende der Patella. Am oberen vorderen Ende der Gelenkhöhle findet sich zwischen Quadrizepssehne und Femur die große, mit dem Gelenk in weiter Kommunikation stehende *Bursa prepatellaris* (s. Fig. 198). Sie ist verschieden weit nach oben ausgedehnt (4—8 cm über den oberen Rand der in Streckstellung stehenden Patella).

Der Bandapparat besteht aus inneren, seitlichen und hinteren Hilfsbändern. Die inneren sind die *Ligg. cruciata*, die Hemmungsbänder der Rotationsbewegung (s.u.) Das *Lig. cruciatum anterius* geht von der medialen Fläche des Condylus lateralis femoris zur Fossa intercondylea anterior tibiae; das *Lig. cruciatum posterius* kommt von der lateralen Fläche des medialen Kondylus und zieht zur Fossa intercondylea posterior. Beide Bänder sind miteinander durch Bindegewebe verbunden, springen von der hinteren Kapselwand aus in das Innere des Gelenks vor und sind vorn von der Membrana synovialis bedeckt, liegen also nicht im Innern des Gelenkspaltes. Die seitlichen Bänder sind das *Lig. collaterale fibulare*, das von der Kapsel getrennt, vom Condylus lateralis femoris zum Capitulum fibulae verläuft, und das *Lig. collaterale tibiale*, ein breiter, in die Kapsel eingewebter Faserzug vom Condylus medialis femoris zum Rand der überknorpelten Fläche der Tibia. Hinten kann man zwei

Fig. 399. Nerven und Gefäße der Dorsalseite des Unterschenkels und Fußes.

Verstärkungsbänder zählen: 1. *Lig. popliteum obliquum*, die Endsehne des *M. semimembranosus*; 2. *Lig. popliteum arcuatum*, einen bogenförmigen Faserzug, der vom *Condylus lateralis femoris* nach oben medialwärts in die Kapsel ausstrahlt.

Von den Schleimbeuteln in der Nähe des Kniegelenkes steht ein Teil mit dem Gelenk in Verbindung, ein Teil nicht.

Mit dem *Cavum articulare* kommunizierende Schleimbeutel (im Bild 398 blau) sind: 1. *Bursa suprapatellaris* (s. oben); 2. *Bursa m. semimembranosi et capitis medialis m. gastrocnemii*; 3. *Bursa m. poplitei*, kann sich lateral bis zur Kommunikation mit dem Tibiofibulargelenk ausdehnen.

Von den nichtkommunizierenden Schleimbeuteln (im Bild 398 rot) seien genannt: genannt: 1. *Bursae praepatellares*; manchmal sind drei deutlich zu unterscheiden (*B. subcutanea*, *subfacialis*, *subtendinea*), in der Regel nicht; sie hängen mehr oder weniger unter sich zusammen; 2. *Bursa infrapatellaris profunda* zwischen *Lig. patellae* und *Tibia*; 3. *Bursa subcutanea tuberositatis tibiae* auf der *Tuberositas tibiae*; 4. *Bursa anserina* zwischen den Sehnen der *Mm. sartorius*, *semitendinosus*, *gracilis* und der *Tibia*. Häufig ist eine eigene *Bursa sartorii* von der letzteren abgegrenzt.

Die Bewegungen im Kniegelenk — von allen feineren Besonderheiten seiner sehr komplizierten Mechanik abgesehen — lassen sich in Kürze so beschreiben, daß die Hauptbewegung *Beugung* und *Streckung* ist. Die Kniescheibe schmiegt sich dabei den Gelenkflächen des Oberschenkels an und tritt bei Beugung mit ihrer Spitze unterhalb des Femur hinab. Bei *gestrecktem* Knie ist durch die Spannung der Seitenbänder, besonders des *lateralen*, keinerlei weitere Bewegung möglich, Ober- und Unterschenkel bilden dann eine feste Säule. Bei *gebeugtem* Knie, wo der seitliche Bandapparat erschlafft, sind zweitens *Rotationen* der *Tibia* um ihre Längsachse möglich. Bei diesen Rotationen bleibt, wie man am eigenen Knie feststellen kann, die *Patella* unbewegt, da sich nur die *Tibia* dreht. Im Gegensatz dazu wird natürlich bei den im Hüftgelenk erfolgenden Rotationen des *gestreckten* Beines die *Patella* mitgenommen. Die Beuge- und Streckbewegung erfolgt im *Meniscofemoralgelenk*, die Rotation im *Meniscotibialgelenk*.

### Anwendungen.

Ergüsse ins Kniegelenk führen zu sehr bezeichnender Form der Schwellung. Da die *Bursa suprapatellaris* mit dem Gelenk kommuniziert, so zeigt die Schwellung eine Birnenform mit nach unten gewendeter Spitze. Ist die Kommunikation eng, so kann die Schwellung Sanduhrform zeigen. Da der Erguß die vordere Gelenkwand, der die *Patella* eingefügt ist, abhebt, so erklärt sich das Symptom des *Tanzens der Patella*, im Gegensatz zu Ergüssen in die präpatellaren Schleimbeutel, bei denen die *Patella* auf dem Oberschenkel fest aufruhet.

Die oberen seitlichen Teile der Schwellung sind bei Ergüssen auch die Stellen, von wo aus die Punktion des Gelenkes am bequemsten erfolgen kann.

Bei maximaler Füllung des Gelenkes nehmen die Skeletteile eine Mittelstellung zwischen *Beugung* und *Streckung* ein. Es ist dies zugleich die Stellung, die Kranke mit Kniegelenksergüssen reflektorisch ihrer Extremität geben, weil sich bei ihr, ähnlich wie beim Ellbogengelenk, der Inhalt am besten verteilen kann und daher die geringsten Schmerzen verursacht. Von den Entzündungen der Schleimbeutel und Ergüssen in sie werden besonders die prognostisch vorsichtig zu beurteilen sein, die mit der Gelenkhöhle kommunizieren (vgl. Fig. 398 blau und oben S. 314). Bei der *Bursa suprapatellaris* ist die Kommunikation die Regel, wenigstens seltene Ausnahmen zu beobachten sind. Die *Bursa poplitea* kommuniziert in etwa 10 Prozent der Fälle mit dem Gelenk.

Fig. 399.

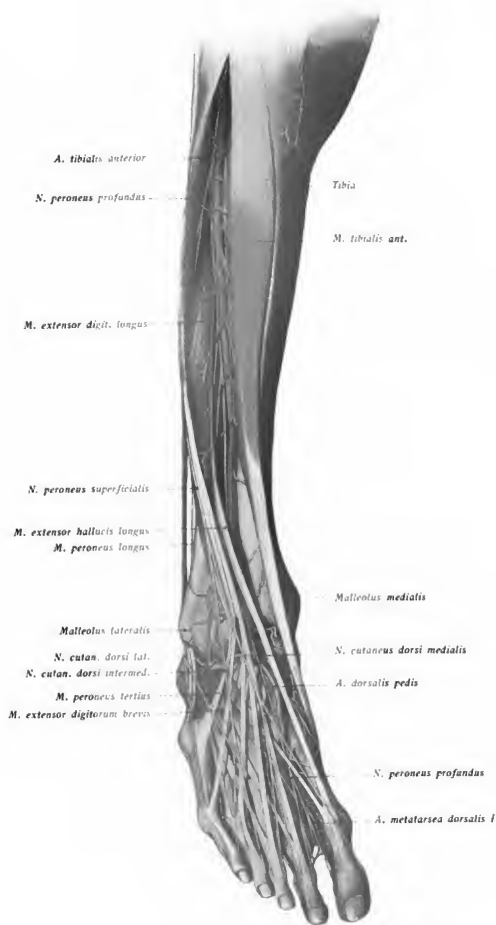


Fig. 400.

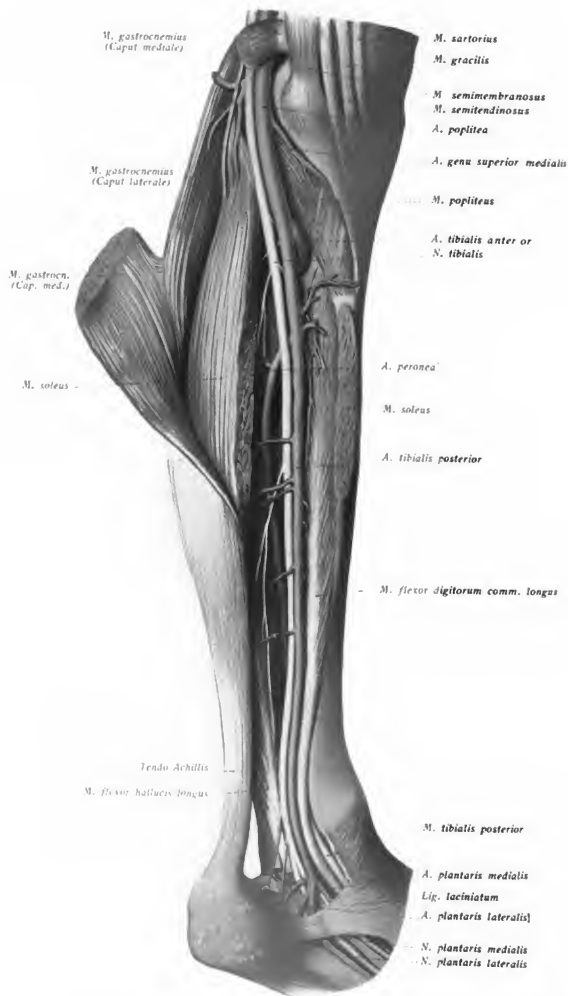


Fig. 400. Gefäße und Nerven der Beugeseite des Unterschenkels.

Daß beim Knien die Patella und die vor ihr gelegenen Schleimbeutel den Boden nicht berühren, an sich richtig, kann aber als Grund gegen die traumatische Entstehung von Patellarbrüchen und Arthritiden deswegen nicht geltend gemacht werden, weil die Verletzung beim Fall auf das Knie oder chronische Reizung beim Knien den *nach vorn überbeugten* Körper trifft. Nur wenn der Fall auf das Knie bei dorsalflektiertem Fuß erfolgt, kann der Stoß durch die Tuberositas tibiae aufgefangen werden.

Hinsichtlich des unteren Femurendes ist zu betonen, daß die Gelenkkapsel hier die untere Epiphyse umfaßt; Epiphysenlösungen werden also hier, *nicht* bei der Tibia, stets Blutergüsse ins Gelenk zur Folge haben, und es wird auch Einklemmung der abgesprengten Epiphyse zwischen den Femurschaft und die Patella innerhalb des Gelenkes stattfinden können.

Hinsichtlich der Verletzungen des Gelenkes ist die Lage der Hauptgefäße und Nerven zu berücksichtigen. Es ist leicht verständlich, daß die Arterie und die begleitende Vene *bei Luxation im Kniegelenk nach hinten eine Quetschung* erfahren müssen, und daß diese Lage bei Resektionen im Gelenk sehr zu beachten ist. Auch ist klar, daß bei Fraktur des unteren Femurendes (Fr. supracondylea), bei welcher das untere Bruchstück durch die Wadenmuskulatur (*M. gastrocnemius*) in Beugestellung *nach hinten* disloziert wird, *Zerrungen der Vasa poplitea und des N. tibialis unangenehme Nebenerscheinungen verursachen*.

Abgesehen von der von der Fossa poplitea aus vorzunehmenden Unterbindung der Arterie kann diese am Übergang in die A. femoralis von der *medialen* Seite zwischen der nach vorn von ihr gelegenen Adduktorensehne und dem nach hinten gelegenen *M. sartorius in tiefer Lage* gefunden werden.

Bei den *Querbrüchen der Patella* pflegen die Lig. patellaria laterale et mediale mit einzureißen, wodurch sich bei fortdauerndem Zug der Quadricepssehne die schlechte Heilung dieser Brüche ergibt im Gegensatz zu der guten Heilung der Sternbrüche, bei welchen die Zerreissung der Seitenbänder ausbleibt.

#### 4. Der Unterschenkel.

Durch die Anordnung der *Muskulatur des Unterschenkels* (vergl. Fig. 400 und 401) ist es bedingt, daß man von der Tibia die *mediale Fläche* und die *vordere scharfe Kante*, sowie den *Malleolus medialis*, von der Fibula dagegen nur das *Köpfchen* und den *Alleolus lateralis* deutlich fühlen kann. Lateral von der vorderen Tibiakante, vorn zwischen Tibia und Fibula, liegt die Muskulatur der Extensoren. Hinten wird die Wölbung der Wade vom *M. triceps surae* hervorgerufen, dessen *Sehne* (Achillessehne) im unteren Teil frei und leicht fühlbar wird (s. Fig. 388). Die gesamte Muskulatur kann in drei *Muskelgruppen* eingeteilt werden: *Vorn* auf der Membrana interossea zwischen Tibia und Fibula liegen die *Streckmuskeln*; *lateral*, die Fibula umhüllend, die *fibuläre Gruppe*, *hinten* die *Beugemuskeln*, an denen eine oberflächliche und eine tiefe Schicht unterschieden werden. Ein von der Faszie zur Fibula verlaufendes *Septum intermusculare anterius* trennt die *Recker* von der fibulären Gruppe der *Mm. peronei*, die wieder durch das gleichfalls von der Faszie zur Fibula ziehende *Lig. intermusculare posterius* von den Beugern geschieden werden. An der hinteren Seite schiebt sich das *tiefe Blatt der Fascia cruris* zwischen die oberflächlichen Beuger oder Wadenmuskeln und die tiefen Beugemuskeln.

1. *Streckmuskeln* (innerviert vom N. peroneus profundus, L<sub>4</sub> L<sub>5</sub> S<sub>1</sub>): *M. tibialis anterior* von der lateralen Fläche der Tibia, der Membrana interossea und der Fascia cruris im medialen Fußrand, wo an der Plantarseite der Insertion am ersten Keilbein und der Basis ossis metatarsalis I erfolgt; 2. *M. extensor digitorum longus* vom Condylus lateralis tibiae, der Membrana interossea, der Fibula und der Faszie mit 4 Sehnen zu den 4 drei-

Fig. 401. Querschnitt der oberen Hälfte des Unterschenkels.

gliederigen Zehen und einer Sehne zum os metatarsale V an den lateralen Fußrand (*M. peroneus tertius*); 3. *M. extensor hallucis longus* entspringt weiter abwärts zwischen den beiden ersten von der Membrana interossea und geht zur zweiten Phalanx der großen Zehe.

Jeder der drei Muskeln besitzt eine eigene, von dem Lig. cruciatum überbrückte *Sehnenscheide* an der Fußwurzel (s. S. 319).

II. *Fibulare Muskeln* (innerviert vom N. peroneus superficialis  $L_5-S_1$ ): 1. *M. peroneus longus*, entspringt mit einer vorderen Portion vom lateralen Condylus der Tibia, dem Capitulum fibulae, dem Lig. intermusculare ant. und vom oberen Drittel der oberen Fibulakante; mit einer hinteren Portion von der Fibula unterhalb des Capitulum bis zum unteren Drittel. Die Endsehne läuft hinter dem Malleolus lateralis, dann im Sulcus des Os cuboides schief in der Planta pedis zur Basis ossis metatarsalis I.; 2. *M. peroneus brevis* bedeckt vom vorigen, entspringt vom mittleren Drittel der Fibula an bis zum Malleolus lateralis. Die Sehne kreuzt die des vorigen Muskels und setzt an der Tuberositas ossis metatarsalis V. an.

Die Sehnen der beiden Mm. peronei liegen in einer *gemeinsamen Sehnenscheide* hinter dem Malleolus lateralis (s. Fig. 404); hier werden sie durch zwei als Retinakula bezeichnete Teile der Fascia cruris festgehalten.

III a. *Oberflächliche Beuger (Wadenmuskeln)* (innerviert vom N. tibialis  $L_4-S_2$ ): 1. *M. gastrocnemius*, entspringt mit zwei Köpfen oberhalb der Condylus femoris, die in der Mitte des Unterschenkels in die gemeinsame am Tuber calcanei ansetzende Tendo calcaneus (Achillis) übergehen; 2. *M. soleus*, unter dem vorigen, entspringt vom Cap. fibulae, dem oberen Drittel der Fibula und der Linea poplitea tibiae und nach abwärts von dieser; 3. *M. plantaris*, inkonstant wie der M. palmaris longus des Unterarms, entspringt oberhalb des lateralen Gastrocnemiuskopfes am Cond. femoris. lat. Seine Sehne geht gewöhnlich in die Achillessehne über.

III b. *Tiefe Gruppe der Beuger* (innerviert vom N. tibialis,  $L_5-S_3$ ): 1. *M. popliteus* ( $L_4, L_5$ ) vom Condylus lateralis femoris und der Kapsel des Kniegelenks zur hinteren Tibiafläche bis zur Linea poplitea; 2. *M. flexor digitorum longus* liegt am Unterschenkel innen; er entspringt von der hinteren Fläche der Tibia. Seine Sehne *kreuzt die des M. tibialis posterior*, indem sie an seine laterale Seite gelangt, tritt in die Planta, kreuzt sich hier mit der Sehne des M. flexor hallucis, mit der sie teilweise verwächst, und zerfällt in vier Endsehnen für die vier dreigliedrigen Zehen. Sie verhalten sich wie die Sehnen des M. flexor digitorum profundus der Hand (perforantes); 3. *M. tibialis posterior* liegt in der Mitte, entspringt von der Membrana interossea und den angrenzenden Teilen der Tibia und Fibula, oben in der Mitte zwischen M. flexor digitorum und M. flexor hallucis. Seine Sehne liegt am medialen Malleolus nach Kreuzung mit der Sehne des M. flexor digitorum *unmittelbar* am Knochen; dicht lateral von ihm folgt die Sehne des M. flexor digitorum, sodann *unmittelbar* lateral die A. tibialis posterior und der N. tibialis. Überbrückt werden die genannten Gebilde durch das Lig. laciniatum (s. u.). Die Sehne des M. tibialis posterior zieht mit der des M. flexor digitorum hinter dem Malleolus medialis zum medialen Fußrand in die Planta, wo am Os naviculare und Os cuneiforme I die Insertion erfolgt; 4. *M. flexor hallucis longus* von der hinteren Fläche der unteren zwei Drittel der Fibula und dem Septum intermusculare posterius. Seine Sehne läuft in dem hinteren Sulcus

Fig. 401.

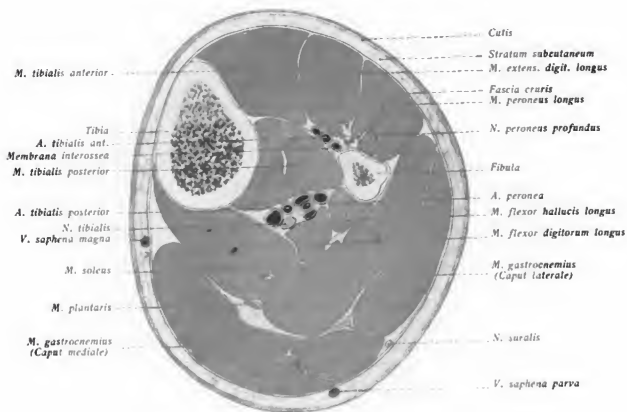


Fig. 402.

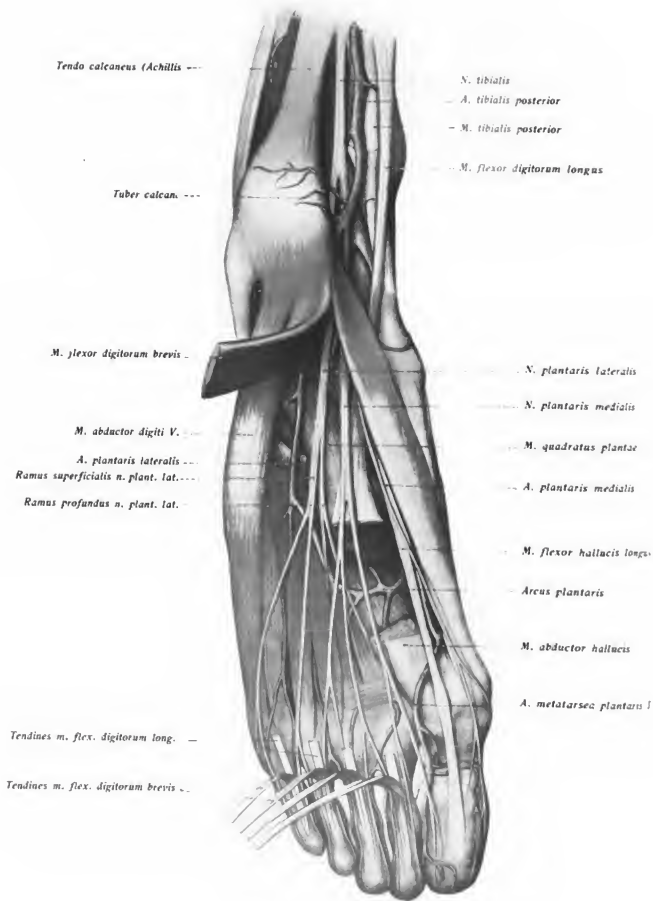




Fig. 402. Plantarseite des Fußes. Der *M. flexor digitorum brevis* ist durchschnitten, aus dem *M. flexor digitorum longus* und den *Mm. abductor und flexor brevis hallucis* sind Teile herausgeschnitten.

Talus unmittelbar lateral vom *N. tibialis* und unter dem *Sustentaculum tali* des Kalkaneus zur Planta, kreuzt hier die Sehne des *M. flexor digitorum* und setzt an der zweiten Phalanx der großen Zehe an. Zwischen dem Malleolus medialis und dem Tuber calcanei kreuzt jede der Sehnen der *Mm. flexor digitorum*, *tibialis posterior* und *flexor hallucis longus* eine eigene, von dem *Lig. laciniatum* der *Fascia cruris* (vom Malleolus medialis zum Kalkaneus) überbrückte *Sehnenscheide*.

Auf der Faszie des Unterschenkels verläuft von der lateralen Seite des Fußrückens nach Wade aufsteigend die *V. saphena parva*. Sie durchbohrt die Faszie in der Furche zwischen den Gastrocnemiusköpfen, um in die *V. poplitea* einzumünden (vgl. S. 312).

Nach Teilung der *A. poplitea* in ihre beiden Endäste am oberen Rande des *M. soleus* tritt die *A. tibialis anterior* (s. Fig. 399) über den oberen Rand der *Membrana interossea* nach vorn, nachdem sie noch eine kleine *A. recurrens tibialis posterior* entsendet hat. Sie verläuft nun auf der vorderen Fläche der *Membr. interossea* anfangs zwischen *M. tibialis anterior* und *M. extensor digitorum longus*, dann zwischen *M. tibialis anterior* und *M. extensor hallucis longus* nach unten. Oberhalb der Malleolaregion liegt sie der lateralen Fläche der Tibia dicht an, kreuzt die Sehne des *M. extensor hallucis*, gelangt unter dem *Lig. crurii* hindurch zum Fußrücken und heißt nun *A. dorsalis pedis*. Der Verlauf der Arterie am Lebenden durch eine Linie bestimmbar, die oben in der Mitte zwischen *Tuberositas tibiae* und *Capitulum fibulae* beginnt und unten vorn in der Mitte zwischen den beiden Malleolen endet. Außer Muskelästen gibt sie ab: Oben die *A. recurrens tibialis anterior* aufsteigend zum *Rete articulare genu*, unten *Aa. malleolares lateralis et medialis*. Mit der Arterie verläuft der *N. peroneus profundus* (s. Fig. 199). Dieser durchbohrt den Ursprung des *extensor digitorum longus* und läuft erst lateral von der *A. tibialis anterior*, dann in der Mitte des oberen Sprunggelenkes über sie hinweg und mit ihr zum Fußrücken. Er ist der motorische Nerv für die Streckmuskeln auch des Fußrückens. Der *N. peroneus superficialis* verläuft zwischen den *Mm. peroneus longus* und *brevis*, beide versorgend, oberflächlicher verläuft er der vorige und durchbohrt die *Fascia cruris* an der Grenze von unterem und mittlerem Drittel des Unterschenkels, wo er *Hautnerv* wird und sich noch, bevor er zum Fuß gelangt, den *N. cutaneus dorsi pedis medialis und intermedius* teilt.

Die *A. tibialis posterior* (s. Fig. 400, 401) tritt mit dem *N. tibialis* unter den von der Tibia zur Fibula ziehenden Sehnenbogen des *M. soleus* (*Arcus popliteus*) sowie unter dem tiefen Blatt der *Fascia cruris*. Sie liegt zunächst auf dem *M. tibialis posterior*, dann zwischen *M. tibialis posterior* und *M. flexor digitorum longus* und tritt im unteren Drittel des Unterschenkels an der medialen Seite unter den Wadenmuskeln hervor, indem sie oberflächlich und zwischen der Achillessehne und dem Malleolus medialis leicht zugänglich wird. Hier liegt sie mit dem Nerven (s. oben) zwischen *M. flexor digitorum longus* und *M. flexor hallucis longus* und kann, dem *N. tibialis* medialwärts angelagert, leicht unterbunden werden. Noch hinter dem Malleolus medialis zerfällt sie in ihre Endäste: *Aa. plantaris lateralis et medialis*. Sie verläuft in einer Linie, die man von dem *Condylus medialis tibiae* in der Mitte zwischen Malleolus medialis und Achillessehne zieht (Fig. 400). Ihr Hauptast, in der Richtung des Stammes weitergehende *A. peronea* (s. Fig. 400), entsteht hoch oben aus dem Stamm, läuft an der Hinterseite der Fibula, bedeckt von dem *M. flexor hal-*

Fig. 403. Frontalschnitt der Sprunggelenke.

Fig. 404. Schematische Darstellung der Fußgelenke.

lucis longus, und endigt lateral am Kalkaneus mit Ästen zum Rete calcanei und einem die Membrana interossea durchbohrenden Aste, der mit der A. tibialis anterior anastomosiert (s. oben). Der N. tibialis verläuft lateral von der A. tibialis posterior unter dem tiefen Blatt der Fascia cruris. Am Malleolus (s. Fig. 200 und 202) liegt der Nerv tiefer als die Arterie zwischen ihr und der Sehne des M. flexor hallucis longus und teilt sich noch vor dem Eintritt in die Planta pedis in den N. plantaris medialis et lateralis.

Die Vena saphena magna beginnt vor dem medialen Malleolus des Unterschenkels aus den Venennetzen des medialen Fußrandes, nimmt die Venen des Fußrückens und der Vorderseite des Unterschenkels auf und zieht an der medialen Fläche der Tibia, stets auf der Fascia cruris liegend, zum Oberschenkel empor, hierbei die Kondylen der Tibia und des Femur hinten umgreifend. Die Vena saphena parva entsteht hinter dem lateralen Malleolus aus den Venen des seitlichen Fußrandes und der Ferse, auch aus tiefen Venen der Fußsohle und zieht an der Beugefläche des Unterschenkels neben dem N. suralis zur Kniekehle empor.

### Anwendungen.

A. tibialis anterior und posterior werden in der Richtung der oben angegebenen Linien gesucht. Hierbei kann die A. tibialis ant. vor dem lateralen Rande des M. tibialis anterior in den genannten Muskelinterstitien in verschiedener Höhe des Unterschenkels unterbunden werden. Die A. tibialis posterior kann man im oberen Drittel des Unterschenkels von der medialen Seite aus hinter der Tibia aufsuchen, indem man den M. gastrocnemius nach hinten abdrängt und den tibialen Ursprung des M. soleus durchschneidet. Man gelangt so auf das tiefe Blatt der Fascia cruris, das zu durchschneiden ist. Die Arterie liegt dann auf dem M. tibialis posterior, der N. tibialis dicht an ihrer lateralen Seite. Hinter dem Malleolus medialis wird die Arterie besonders leicht gefunden. Nach Durchschneidung des Lig. laciniatum trifft man sie hier nahe am Malleolus hinter den Sehnscheiden des M. tibialis posterior und des M. flexor dig. longus. Der N. tibialis liegt der Achillessehne näher, als die Arterie, beide sind durch Fett von der Sehne getrennt.

Insuffizienz der Klappen der Vena saphena magna ist oft die Ursache variköser Erweiterungen dieser Vene am Unterschenkel. Für den Fall, daß die Ligatur dieser Vene am Oberschenkel vorgenommen wird, um die Verödung der varikösen Gebiete herbeizuführen, muß die anatomische Besonderheit der Vene beachtet werden, daß sie keineswegs stets als einfacher Stamm am Oberschenkel liegt, sondern oft erst kurz vor der Einmündung in die Vena femoralis ein fast gleich starkes, vom lateral heraufkommendes Gefäß aufnimmt. Unterbindet man dies allein, so kann der Erfolg natürlich nicht eintreten.

Die unter der Haut breit vorliegende mediale Fläche der Tibia nebst der die Haut straff spannenden Crista tibiae — wie sie häufig Veranlassungen zu Hautverletzungen gibt — macht auch die Heilung von Wunden und Festigung von Narben schwieriger als sonst am Körper. Die große Neigung der Haut am Unterschenkel, einmal vorhandene, weniger widerstandsfähige Stellen zum Ausgang für Ulcera cruris werden zu lassen, beruht vor allem hierauf, aber auch auf den ungünstigen Ernährungsverhältnissen überhaupt, da das venöse Blut der Schwere entgegen nach aufwärts fließen muß.

### 5. Der Fuß.

Auf der Dorsalseite des Fußes sieht man durch die dünne Haut das subkutane Venennetz, aus dem hinter dem Malleolus lateralis die V. saphena parva (begleitet von dem N. suralis) und vor dem Malleolus medialis (neben der Endausstrahlung des N. saphenus) die V. saphena magna hervorgehen. Die Teile liegen in lockerem subkutanem Bindegewebe. Wird der Fuß stark dorsal flektiert, so tritt auch die zur großen Zehe ver-

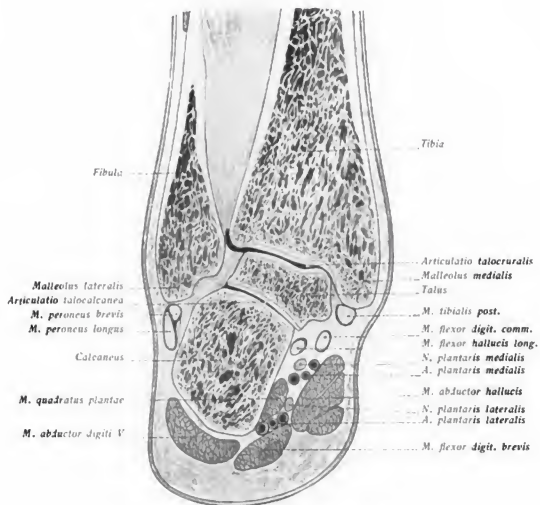


Fig. 404.



Fig. 405.

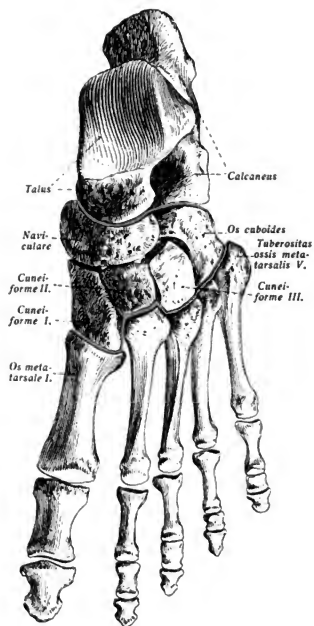


Fig. 405. Fußskelett mit Chopartscher (rot) und Lisfrancescher (blau) Gelenklinie.

findende Sehne des *M. extensor hallucis longus* hervor. Medial von ihr fühlt man die sehr fette, zum medialen Fußrand verlaufende Sehne des *M. tibialis anterior*, sowie die Sehne des *M. ext. digit. long.* lateral von ihm (Fig. 399). Die Sehnen der 3 Muskeln haben je eine Sehnnenscheide, die von der als *Lig. cruciatum* bezeichneten Faszienverstärkung überlagert werden. Auch ist bei Dorsalflexion der gespannte *M. extensor digitorum brevis* fühlbar. Lateral von der Sehne des *M. extensor hallucis* ist auf der Mitte des Fußrückens die *Pulsation* der oberflächlich liegenden *A. dorsalis pedis* zu fühlen. Auch die Sehnen der *Mm. peronei* lassen sich, wenn auch weniger deutlich, unter und hinter dem Malleolus lateralis bei Dorsalflexion palpieren. Setzt man in sitzender Stellung den Fuß flach dem Boden auf, kann man in der Verbindungslinie der unteren Malleolenenden, auf der Dorsalseite, die Fingerkuppen in eine Vertiefung eindrücken, in der man die Sehnen der genannten Muskeln unter den Fingern hin- und hergleiten lassen kann. Man fühlt nach oben von dieser Vertiefung das *untere Tibiaende*, nach unten den angrenzenden *Talus*, ist also in der Höhe des *lokralgelenks*. An dem medialen Fußrand fühlt man ohne Mühe 2—3 cm nach unten und vorn von dem unteren Ende des medialen Malleolus die *Tuberositas ossis navicularis*. Auf dem lateralen Fußrand ist gegenüber der oben genannten Tuberosität, doch etwas weiter nach vorn, die *Tuberositas ossis metatarsalis V* zu fühlen. Weiter nach vorn lassen sich an beiden Fußrändern die Metatarsalia und Phalangen abtasten, wobei die *Capitula metatarsalia* über die Lage der Metatarsophalangealgelenke unterrichten. An der Dorsalseite der Zehen lassen sich bei Plantarflexion die Köpfchen der Phalangen fühlen und die Interphalangealgelenke bestimmen. Über die hinter den Malleolen gelegenen Sehnenenden der Flexoren und Peronei (s. S. 316/317).

Die *A. dorsalis pedis* (s. Fig. 399) tritt oberhalb der Malleolargegend als Fortsetzung der *A. tibialis anterior* von der medialen Seite her unter der Sehne des *M. extensor hallucis* hindurch und gelangt unter dem *Lig. cruciatum* verlaufend zum Fußrücken in den ersten Intermetatarsalraum. Sie verläuft in einer von da bis zur Mitte zwischen beiden Malleolen gezogenen Linie und teilt sich an der Basis des 1. und 2. Os metatarsale in den stärkeren *Ramus plantaris profundus*, der zwischen 1. und 2. Os metatarsale hindurch zum *Arkus plantaris* verläuft und die *A. metatarsea dorsalis I* bis in den 1. Zwischenknochenraum. Lateralswärts entsendet sie eine (mit dem Muskelast des *N. peroneus profundus* für den *M. extensor brevis* verlaufende) *A. tarsea lateralis* unter den *M. extensor digitorum brevis* zur Anastomose mit der folgenden, und eine *A. arcuata* auf den Basen der Metatarsalknochen, aus der die *Aa. metatarsae dorsales* für den 2.—4. Zwischenraum und die ihnen entsprechenden Zehenseiten kommen. Medialwärts gehen aus der *A. dorsalis pedis* zwei bis drei bedeutende *Aa. tarseae mediales* hervor.

Die *Nerven des Fußrückens* (s. Fig. 399) sind: 1. *N. peroneus superficialis*, der sich weiter oberhalb in zwei Äste teilt (s. S. 313): *N. cutaneus dorsi pedis medialis et intermedius*. Sie liefern alle Zehennerven außer denen für den lateralen Fuß- und Kleinzehennerv und denen für die beiden einander zugekehrten Seiten der großen und der 2. Zehe. Diese beiden Flächen werden vom Endast des *N. peroneus profundus*, der laterale Fußnerv vom *N. suralis* versorgt, der hier *N. cutaneus dorsi pedis lateralis* benannt ist. Alle drei stehen in Anastomose.

In der *Planta* liegt unter der derben Haut und dem besonders nach hinten dicken

Fettpolster die starke *Fascia plantaris*, die mit fünf Zipfeln, nach vorn in die Sehnenscheiden aller fünf Zehenbeuger (— darin abweichend von der *Fascia palmaris*, die den Daumen freiläßt und nur vier Zipfel hat —) und in die Haut ausstrahlt, auch quere Fasern besitzt. Zwischen den Zipfeln gelangen, den Interdigitalfalten entsprechend, die Zehennerven (sieben vom N. plantaris medialis, drei vom N. plantaris lateralis), mit den plantaren Zehenarterien in reichliches Fett eingebettet, nach vorn zu den einander zugekehrten Zehenseiten. Auf dem Klein- und Großzehenballen ist die Faszie bedeutend dünner nach der Mitte hin. Hier deckt die Faszie den vom Tuber calcanei entspringenden *M. flexor digitorum brevis* (N. plantaris medialis  $L_5-S_2$ ), der sie zum Teil zum Ursprung benützt. Die *A. plantaris lateralis* (s. S. 317 und Fig. 402) tritt unter dem *M. abductor hallucis* in die Planta und verläuft zwischen *M. flexor digitorum brevis* und *M. quadratus plantae* lateralwärts, dann unter Bildung des *Arcus plantaris* medialwärts bis zur Annahme des *Ramus plantaris profundus* aus der *A. tibialis anterior*. Der *Arcus plantaris* liegt dicht an den Basen des 2.—4. Os metatarsale und an den Mm. interossei. Er entspringt nach vorn vier *Aa. metatarsae plantares* für die Spatia interossea und die ihnen entsprechenden Zehenseiten, während der laterale Rand der Planta eigene Äste von dem *Arcus* erhalten. Die schwächere *A. plantaris medialis* läuft medial vom *M. abductor hallucis* nach vorn zur großen Zehe, wo sie in der Regel mit der *A. metatarsa plantaris* I anastomosiert.

Der N. tibialis zerfällt schon, bevor er zur Planta tritt, in die *Nn. plantares lateralis* und *medialis*. Der N. plant. lateralis ( $S_1-S_3$ ) läuft in Begleitung der *A. plantaris lateralis* und teilt sich in einen *Ramus superficialis* und einen *R. profundus* (s. Fig. 402). Jener versorgt die Ballenmuskulatur der kleinen Zehe und mit drei Zehennerven die Haut der kleinen Zehe und die laterale Seite der vierten Zehe. Der tiefe Ast geht mit dem *Arcus plantaris* in die Tiefe und versorgt die Mm. interossei und den *M. adductor hallucis*. Der N. plantaris medialis ( $L_5-S_2$ ) verläuft medial vom *M. flexor digitorum brevis*, versorgt die Ballenmuskulatur der großen Zehe und den *M. flexor digitorum brevis* und endigt mit sieben Zehennerven für die beiden Seiten der ersten bis dritten Zehe und die mediale Seite der vierten Zehe.

Für die Bewegung des Fußes kommen vor allem zwei Gelenke in Betracht (Fig. 403, 404 und 405):

1. Das obere Sprunggelenk (*Articulatio talo-cruralis*). Es artikuliert der Körper des Talus mit den Gelenkenden der Tibia und Fibula. Die Kapsel heftet sich am Talus vorn und hinten in geringem Abstand von der Gelenkfläche an und geht zu den Rändern der Knöchel und der Gelenkfläche der Tibia. Die Gelenkhöhle hängt durch einen Spalt mit dem distalen Tibiofibulargelenk zusammen. Es ist ein *einachsiges* Gelenk. Die Achse verläuft quer durch den Taluskörper; die Bewegung ist eine Scharnierbewegung (Dorsalflexion und Plantarflexion, besser: verstärkte und verminderte Dorsalflexion, da der Fuß „plantar“ nicht flektiert werden kann (s. a. S. 276). Bei stärkster Dorsalflexion (z. B. bei vorübermäßigem Körper, z. B. bei der militärischen Haltung) steht der Talus fest in der Malleolengabel. Bei schwacher Dorsalflexion steht der Talus nicht fest und gestattet Wackelbewegungen um den lateralen Malleolus. Es rührt das davon her, daß die Gelenkfläche des Talus vorne breiter als hinten ist.

2. Das untere Sprunggelenk (*Articulatio talo-calcaneo-navicularis*) besteht aus

räumlich durch den Sinus tarsi geschiedenen, funktionell nicht trennbaren Abschnitten: der *Artic. talocalcanea*, zwischen der unteren Gelenkfläche des Taluskörpers und der oberen Gelenkfläche des Kalkaneus. b) *Artic. talo-calcaneo-navicularis*, zwischen den Gelenkflächen des Taluskopfes, des Sustentaculum tali des Kalkaneus und des Os naviculare. Die Kapsel geht vom Rande der überknorpelten Flächen ab und wird verstärkt durch das Lig. talonaviculare dorsale. Es ist ebenfalls ein *einachsiges* Gelenk. Die Achse geht vom Taluskopf zur lateralen Fläche des Kalkaneus. Die Bewegungen drehen das Naviculare um diese, also annähernd durch die Längsachse des Talus verlaufende Achse herum. (*Drehgelenk*). Am Fuß äußern sich diese Bewegungen als 1. Hebung des vorderen Fußrandes (Pronation) stets verbunden mit Abduktion (Haltung beim Tanzschritt), 2. Hebung des inneren Fußrandes (Supination), stets verbunden mit Adduktion (Haltung beim Klettern an Stangen). — Weiter kommen in Betracht:

3. *Art. calcaneocuboidea*, zwischen der distalen Gelenkfläche des Kalkaneus und der proximalen Gelenkfläche des Os cuboides. Da sich der Kalkaneus im unteren Sprunggelenk befindet, so muß jede Bewegung im unteren Sprunggelenk auch mit einer Bewegung im Calcaneocuboidgelenk verbunden sein. Dabei übt die Calcaneocuboidverbindung einen beschränkenden Einfluß auf die Exkursionen im unteren Sprunggelenk aus. Wegen dieser funktionellen Einheit der beiden anatomisch getrennten Gelenke kann man die *Artic. calcaneo-cuboidea* nebst dem vorderen Abschnitt des unteren Sprunggelenks auch *Artic. tarsi transversa* (Chopart) nennen. Ein Chopartsches „*Gelenk*“ gibt es natürlich nicht, wohl aber eine Chopartsche „*Gelenklinie*“, nämlich die Flucht der nebeneinander gelegenen Spalten zwischen Kalkaneus und Os cuboides und Talus und Os naviculare. Weitere Gelenke sind (Fig. 404 und 405).

4. *Articulationes intertarsae*, zwischen den übrigen Fußwurzelknochen.

5. *Artt. tarsometatarsae*. Es besteht gewöhnlich aus den drei (aus der Fig. 405 ersichtlich) getrennten Cava, von denen das mittlere mit den *Artt. intertarsae* und dem Sprunggelenk zwischen Os naviculare und den Cuneiformia kommuniziert.

6. *Artt. metatarsophalangeae* und die *Artt. interphalangeae*.

Von Verstärkungsbändern seien genannt: Laterale: Lig. talofibulare anterius vom Malleolus lateralis zur lateralen Talusfläche; Lig. talofibulare posterius hinten vom Malleolus lateralis zum Processus posterior tali, Lig. calcaneofibulare von der Spitze des Malleolus lateralis zur Außenseite des Kalkaneus.

Das *mediale Seitenband* geht vom Malleolus medialis aus und strahlt fächerförmig zwischen Naviculare, Talus und Kalkaneus aus: Lig. deltoideum.

Zwischen Talus und Kalkaneus liegen die Lig. talocalcanea; vor allem das Lig. talocalcaneum interosseum, vereinigt das vordere Ende des Fersenbeines mit der unteren Fläche des Collum tali. Das Lig. bifurcatum liegt an der Dorsalseite und verbindet das hintere Ende der Dorsalfläche des Kalkaneus gabelförmig geteilt mit dem Os cuboides und dem Os naviculare.

An der Plantarseite liegt der starke vom Fersenbein ausgehende Bandapparat, der zwischen Os naviculare, Os cuboides und den Basen der Metatarsalknochen verläuft. Der Hauptteil ist das Lig. calcaneo-cuboideum plantare longum von der Unterfläche des Kalkaneus zum Os cuboides und den Metatarsalia; das Lig. calcaneo-naviculare plantare zweigt von ihm nach medial ab und bildet einen Teil der Gelenkpfanne für den Taluskopf. Man

kann diesen *nur von dem Ligament bedeckten Teil des Taluskopfes* an jedem skelettierten Fuß leicht finden. Er ragt an solchem Präparat gegen die Fußsohle frei zwischen Kalkaneus und Os naviculare hervor.

## Anwendungen.

Der Beginn der *Chopartschen* Gelenklinie wird am Lebenden am medialen Fußrand hinter der fühlbaren Tuberositas ossis navicularis gefunden (s. Fig. 405). Am lateralen Fußrand endet die Linie daumenbreit hinter der Tuberositas ossis metatarsalis V. Die *Lisfrancsche* Gelenklinie (d. i. die Linie in der der Mittelfuß an die Fußwurzel grenzt), beginnt an der Tuberositas ossis metatarsalis V. an dem lateralen Fußrand und endet an dem medialen Fußrand daumenbreit vor der Tuberositas ossis navicularis. Wichtig ist an dieser Linie, daß das Os metatarsale II proximal gegen die Fußwurzel vorspringt. Die *A. dorsalis pedis* wird auf der Mitte des Fußrückens in der Richtung der oben angegebenen Linie leicht gefunden. Wird hierbei der N. cut. dorsi pedis medialis angetroffen, so wird er verlagert. Nach Durchtrennung der Fascie findet man die Sehne des M. extensor hallucis longus medial von der Arterie, die des M. extensor hallucis brevis lateral von ihr. Mit der Arterie verläuft der Endast des N. peroneus profundus.

Die beiden wichtigsten Deformitäten des Fußes (Klumpfuß, Plattfuß) erfordern zu ihrem Verständnis und zu ihrer sachgemäßen Behandlung genaue Kenntnis des normalen Fußgewölbes und seiner Hauptbewegungen. Wie sich jeder an eigenen Fußabdrücken (feuchter, nackter Fuß z. B. nach dem Bad auf Holzplanken auftretend) überzeugen kann, berührt der normale Fuß den Boden nur am Kalkaneus am lateralen Fußrand, an der vorderen Grenze des Mittelfußes und mit den Endphalangen der Zehen. Der innere Fußrand berührt den Boden nicht. Steigert sich dies Verhalten, so daß in extremen Zuständen der Fuß auf der lateralen Kante aufruhet, so entsteht der Klumpfuß (pes varus). Berührt der innere Fußrand den Boden, so entsteht der Plattfuß (pes planus, pes calcaneo-valgus).

Das normale Fußgewölbe (man studiere dies und das Folgende an skelettierten Füßen) hat zwei Spannungen: Die eine von hinten nach vorn, die andere von innen nach außen. Jene ist am weitesten gespannt vom Kalkaneushöcker zum Köpfchen des III. Os metatarsale. Auf diesen beiden Punkten ruht die Wölbung. Weitere Unterstützungspunkte sind vorn die Köpfchen der beiden inneren äußeren Metatarsalien. Die quere Wölbung ist am höchsten am Os cuneiforme II; proximal bildet Talus, Naviculare und Os cuboides die Schlußsteine des Gewölbes, durch die die Belastung, die auf den Talus einwirkt, auf alle Teile des Kalkaneus und — durch das Naviculare — auf das Os metatarsale III weitergeleitet wird.

Das Doppelgewölbe des Fußes stützt sich in der Hauptsache durch sich selbst d. h. durch die in einander gekeilten Skelettelemente. Aber auch die Weichteile sind wichtig, vor allem die Muskeln und Sehnen, die durch ihr Nachgeben und hinwiederum ihre Spannung die notwendigen Verschiebungen ermöglichen und ausgleichen. Auch dem Bandapparat als federndem Bestandteil kommt eine Aufgabe bei der Erhaltung des Gewölbes zu. Besonders wichtig ist das Lig. calcaneo-naviculare plantare, das eine Teil der Gelenkpfanne des Taluskopfes bildet und seinerseits durch die Sehne des M. tibialis posterior getragen wird. Grade die Nachgiebigkeit dieses Bandes, durch wechselnde Spannung des M. tibialis posterior gewährleistet, ermöglicht das federnde Ausweichen des Talus nach abwärts bei Belastung. (Brauer)

Die *Klumpfußstellung*, die entweder angeboren oder erworben sein kann, zeichnet sich dadurch aus, daß das Fußgewölbe nicht mehr zur Ausnutzung kommt, um die Last des Körpers zu tragen. Gewöhnlich ist der Talus aus der Gabel der Malleolen nach außen herausgetreten und seine laterale Fläche ist zur Standfläche geworden, die durch das Os cuboides und das Os metatarsale V nach vorn hin verbreitert werden kann, so daß der Fuß dann vollständig auf der äußeren Kante ruht. Die Unterschenkelknochen verhalten sich meist so, daß die Tibia statt innen hinten, die Fibula statt außen vorn steht, doch kommt auch das Umgekehrte vor. Zwischen Talus und Kalkaneus entsteht ein nach innen offener Winkel und weitgehende Umgestaltungen der Knochen verbinden sich mit abnormen Gelenkbildungen.

Der Fuß steht in äußerster Supination und Adduktion. Hinsichtlich ihrer Entstehung sind die angeborenen von den erworbenen Klumpfüßen zu unterscheiden. Jene bilden sich entweder — einfach erblich — aus abnormer Keimesanlage, der zufolge die Fußwurzelknochen, vor allem der Talus



und die Unterschenkelknochen, abnorme, an die der Anthropoiden erinnernde Formen annehmen; oder sie entstehen durch intrauterinen Druck. Unter den erworbenen Klumpfüßen bilden die durch Muskellähmungen entstandenen (paralytischen) die häufigsten Fälle. Nicht immer ist der Klumpfuß die Folge einer Kontraktur der *Supinatoren* (*M. tibialis posterior*) und *Flexoren* (Wadenmuskeln, *Am. flexor digitorum* und *hallucis longus*); selbst dann, wenn sämtliche den Fuß bewegenden Muskeln gelähmt sind, fällt der Fuß der Schwere nach in die adduzierte und supinierte Stellung. Vorzüglich aber führt Lähmung des *N. peroneus* zur Varusstellung, weil jetzt die antagonistische Kontraktur die Wirkung der Schwere unterstützt und steigert.

Bei dieser Lähmung des *N. peroneus* fehlt die Wirkung des *M. peroneus longus* (hebt den seitlichen Fußrand, abduziert und senkt die Fußspitze) des *M. peroneus brevis* (hebt den seitlichen Fußrand, abduziert und hebt die Fußspitze) und der Extensoren der Zehen; demzufolge treten die Antagonisten in Wirksamkeit. Der *M. tibialis posterior* supiniert, adduziert und senkt die Fußspitze; die Flexoren der Zehen beugen sie bis ins Endglied hinein: der Kranke stolpert über seine eigenen Zehen. — Der *M. tibialis anterior* ist je nach der Lage, die seine Sehne bei den mannigfachen Stellungen des Fußes einnehmen kann, als Pronator, wie als Supinator wirksam. Den Fuß aus der Pronations- in Supinationsstellung überzuführen, vermag er jedenfalls nicht. (*R. Fick.*)

Beim *Plattfuß* lastet der Fuß auch mit dem medialen Teil des Gewölbes auf dem Boden. Der äußerst komplizierte Mechanismus der Entstehung dieser Deformität läßt sich im Hauptpunkte dahin klären, daß sich im unteren Sprunggelenk der Kalkaneus unter dem Talus nach lateral emporschiebt, wodurch der Talus am medialen Fußrande neben die Fußwurzel zu stehen kommt, und zwar mit dem Kopf nach innen unten, mit dem Körper nach außen oben. Hieraus ergibt sich dann weiter: 1. die quere Achse des oberen Sprunggelenkes senkt sich lateral nach unten; kompensatorisch tritt Pronationsstellung im unteren Sprunggelenk ein (*Valgusstellung*); 2. der Malleolus fibularis rotiert mit dem Talus nach vorn, dadurch (*Lig. calcaneo-fibulare!*) Hebung des hinteren Endes des Kalkaneus und Senkung des Processus anterior calcanei, kompensiert durch Dorsalflexion im oberen Sprunggelenk. Die Senkung des vorderen Kalkaneusabschnittes führt zur Abplattung des Fußes (*pes planus*). Je nachdem die einen oder anderen Verschiebungen vorherrschen, stellt sich der einzelne Fall mehr als *pes valgus* oder *pes planus* dar.

## Autoren-Verzeichnis.

Seite		Seite		Seite	
Aschoff . . . . .	214	Häckel . . . . .	2	Maurer . . . . .	107
Bardeen . . . . .	16, 17	Harras . . . . .	146	Merkel . . . . .	26, 42
Bolk . . . . .	152	Hart . . . . .	146	Mollier . . . . .	107
Bonnet . . . . .	12, 16	Hasse . . . . .	3, 219, 220	Müller, Fr. W. . . . .	51, 52
Brandt . . . . .	216	Hasselwander . . . . .	163, 212	Mysberg . . . . .	152
Braun . . . . .	153	Heiß . . . . .	159, 163, 251	Onodi, A. . . . .	2
Braus . . . . .	322	Hermann . . . . .	130	Pirogoff . . . . .	112
Broman . . . . .	6, 10, 22, 23, 24	Hertwig, O. . . . .	16	Rabl . . . . .	24
Corning . . . . .	116, 135	His . . . . .	7, 13	Ruge, E. . . . .	222
v. Eggeling . . . . .	106	Hotz . . . . .	126	Seifert, E. . . . .	300
Elze . . . . .	124	Jäger . . . . .	151, 152	Spemann . . . . .	1
Enderlen . . . . .	126, 194, 197	Keibel 6, 10, 11, 13, 16, 17, 20, 21, 24		Stöhr, Ph. . . . .	107
Felix, W. . . . .	11	Killian . . . . .	91	Stöhr, Ph., jun. . . . .	145
Fick, R. . . . .	113, 146, 323	Köhler . . . . .	278	Tandler . . . . .	295
Forster . . . . .	152, 277	Kollmann 7, 16, 17, 21, 22, 23		Toldt, Karl . . . . .	17
Freund . . . . .	139, 146	v. Krempelhuber . . . . .	216	Villiger . . . . .	8
Froriep . . . . .	53	Lexer . . . . .	27	Virchow, L. . . . .	38
Gasser . . . . .	194, 197	Lubosch . . . . .	145	Vogt, W. . . . .	203, 229
Gaupp . . . . .	2, 41, 155, 172	Mall 6, 10, 11, 13, 16, 17, 20, 21, 23, 24		Voit . . . . .	45
Gegenbaur . . . . .	152	Martius . . . . .	1	Waldeyer 32, 115, 233, 237, 252	
Goldscheider . . . . .	138			Weber, M. J. . . . .	3
Gräper . . . . .	178			Welcker . . . . .	1
Greving . . . . .	127				

## Schlagwörter-Verzeichnis.

A.			Ursprunges	seiner
Abduzensbrücke . . . . .	45	Annulus inguinalis sub-	Aste . . . . .	109
Acetabulum . . . . .	305	cutaneus . . . . .	Aortenbögen, primitive und	
Achillessehne . . . . .	315	— tendineus Zinnii . . . . .	ihre Umbildungen . . . . .	109
Achselfalte, vordere u. hintere	141	Ansa hypoglossi . . . . .	Aponeurosis palmaris . . . . .	26
Achselgrube . . . . .	280	— Vieusseni . . . . .	Aquaeductus cochleae . . . . .	60
Achselhöhle . . . . .	13, 280	Anteflectio . . . . .	Arachnoidalraum . . . . .	50
Achselhöhlen . . . . .	283	Anteversio . . . . .	Arachnoides . . . . .	46, 268
Achselhöhle, mediale . . . . .	150	Antimeren . . . . .	Arcus aortae . . . . .	135, 177
Aditus laryngis . . . . .	101, 115, 122	Antlitzteil des Schädels . . . . .	— cruralis . . . . .	213
Akromioklavikulargelenk . . . . .	278	Antrum mastoideum . . . . .	— plantaris . . . . .	330
Akromion . . . . .	278	Anus . . . . .	— popliteus . . . . .	317
Ambosfortsatz, langer . . . . .	59	Aorta . . . . .	— pubis . . . . .	235
Ampulle des Ductus deferens	251	— abdominalis . . . . .	— tendineus m. levatoris	
Ampullen der Samenleiter	250	— aufsteigende . . . . .	ani . . . . .	238
Angulus pubis . . . . .	235	— descendens 153, 165, 177, 179	— venosus juguli . . . . .	130
— sternalis (Ludovici) . . . . .	141	— Semilunarklappe der . . . . .	— volaris profundus . . . . .	297
Annulus femoralis . . . . .	244	— thoracica . . . . .	Arteria(e) alveolaris inferior	67
— inguinalis abdominalis 190, 195		Aortenbogen . . . . .		
		Aortenbogen, Anomalie des		

Seite	Seite	Seite
teria(e) alveolares supe-	der A. transversa sca-	Arteria(e) lingualis . . . <u>95, 131</u>
riores anteriores . . . 72	pulae . . . . . <u>282</u>	— lumbales . . . . . <u>190</u>
— — — posteriores . . . 72	Arteria(e) coeliaca . . . 193, <u>225</u>	— mammaria interna . . . 11, <u>135,</u>
— angularis . . . . . 66	— colica media . . . . . <u>227</u>	<u>147, 151, 165</u>
— anonyma . . . <u>133, 176, 177</u>	— collateralis ulnaris in-	— maxillaris externa . . . 66, <u>115,</u>
— articularis genu . . . <u>312</u>	ferior . . . . . <u>286, 289</u>	<u>129, 131</u>
— auditiva interna . . . <u>57</u>	— — — superior . . . . . <u>286</u>	— — — interna . . . . . 66, 70, 71
— auricularis posterior . . . <u>39</u>	— communicans anterior . . . <u>57</u>	— meningea anterior . . . <u>42, 79</u>
— — profunda . . . . . 71	— — posterior . . . . . <u>57</u>	— — media . . . . . <u>28, 42, 71</u>
— axillaris . . . . . <u>280, 281</u>	— coronaria cordis dextra . . . 166	— — posterior . . . . . <u>42</u>
— — und Äste . . . . . <u>149</u>	— — — sinistra . . . . . 167	— mentalis . . . . . 67
— basilaris . . . . . <u>21, 33</u>	— cricothyroidea . . . . . <u>121</u>	— mesenterica inferior <u>210, 231</u>
— brachialis anterior . . . <u>275, 287</u>	— dorsalis linguae . . . . . <u>95</u>	— — superior 199, <u>225, 227, 231</u>
— buccinatoria . . . . . 66	— — nasi . . . . . 66, 79	— obturatoria . . . . . <u>236, 237</u>
— bulbi urethrae . . . . . <u>264</u>	— — pedis . . . . . <u>275, 317, 319</u>	— — abnorme . . . . . <u>244</u>
— carotis, Gebiet und Äste <u>116</u>	— — penis . . . . . <u>263, 264</u>	— — abnormer Ursprung <u>243</u>
— — communis <u>115, 130, 135</u>	— epigastrica inferior <u>11, 189,</u>	— occipitalis <u>39, 130, 131, 267</u>
— — externa <u>39, 70, 100, 115,</u>	<u>190, 236</u>	— ophthalmica . . . <u>21, 42, 66, 78</u>
<u>130</u>	— — — Projektion . . . . . 190	— — Abgang von der A.
— — interna <u>21, 39, 57, 70, 100,</u>	— — — superficialis . . . . . 186, <u>306</u>	carotis int. . . . . <u>45</u>
<u>115, 130</u>	— — — superior . . . . . <u>148, 153</u>	— ovarica . . . . . <u>237, 259</u>
— — — Krümmungen der <u>45</u>	— — — ethmoidalis . . . . . <u>42, 75, 85</u>	— palatina ascendens . . . <u>97</u>
— — — sympathisches Ge-	— — — anterior . . . . . 79	— — major . . . . . <u>96</u>
flecht der . . . . . 80	— — — posterior . . . . . 75, 79	— palpebrales laterales . . . 79
— — — Verlauf durch	— femoralis . . . . . <u>215, 303, 309</u>	— — mediales superior
und über den Schädel-	— frontalis . . . . . <u>39, 79</u>	und inferior . . . . . 67
grund . . . . . <u>45</u>	— genu suprema . . . . . <u>310</u>	— pancreaticoduodenalis
— — sinistra . . . . . 177	— glutea inferior <u>236, 238, 307</u>	inferior . . . . . <u>227</u>
— centralis retinae, Ver-	— — superior <u>236, 238, 307</u>	— penis . . . . . <u>264</u>
lauf in der Achse des	— hämorrhoidalis media . . . <u>236</u>	— perforantes . . . . . <u>310</u>
Schnerven . . . . . 79	— hepatica . . . . . <u>207</u>	— pericardiophrenica . . . <u>148</u>
— cerebelli inferior ante-	— hypogastrica . . . . . <u>237</u>	— peronea . . . . . <u>275, 317</u>
rior . . . . . <u>57</u>	— ileocolica . . . . . <u>227</u>	— pharyngea ascendens <u>42, 100,</u>
— — — posterior . . . . . <u>57</u>	— ileo-lumbal.s . . . . . <u>236</u>	<u>131</u>
— — — superior . . . . . <u>57</u>	— iliacae communes . . . 199, <u>237</u>	— phrenicae inferiores . . . 11
— cerebri anterior . . . <u>21, 57</u>	— iliaca communis, Unter-	— plantaris lateralis . . . <u>320</u>
— — media . . . . . <u>21, 57</u>	bindungen der . . . . . <u>200</u>	— poplitea . . . . . <u>276, 312, 317</u>
— — posterior . . . . . <u>21, 57</u>	— — externa . . . 190, <u>236, 237</u>	— princeps pollicis . . . . . <u>297</u>
— cervicalis ascendens . . . <u>136</u>	— — interna . . . . . <u>236, 237</u>	— profunda brachii . . . . . <u>286</u>
— — superficialis . . . . . <u>135</u>	— — infraorbitalis . . . 66, 67, 72	— — femoris . . . . . <u>309</u>
— chorioidea . . . . . <u>58</u>	— — intercostales . . . . . <u>11</u>	— — linguae . . . . . <u>93, 95</u>
— ciliares anteriores . . . 79	— — intercostalis suprema . . . 11	— — penis . . . . . <u>264</u>
— — — posteriores breves	— — interossea . . . . . <u>275</u>	— pudenda . . . . . <u>236, 238</u>
et longae . . . . . 79	— — dorsalis auf der	— — communis . . . . . <u>307</u>
— circumflexae femoris . . . <u>309</u>	Streckseite . . . . . <u>294</u>	— pudendae externae . . . <u>306</u>
— circumflexa ilium inter-	— — intestinales . . . . . <u>227</u>	— pudenda interna . . . . . <u>263</u>
na . . . . . <u>236</u>	— — ischiadica . . . . . <u>275</u>	— pulmonalis <u>13, 164, 176, 177</u>
— — — prof. . . . . 190	— — labialis inferior . . . . . 66	— — Äste der . . . . . 178
— — — superficialis . . . 186, <u>306</u>	— — — superior . . . . . 66	— — dextra . . . . . 177
— — — scapulae . . . . . <u>150</u>	— — lacrymalis . . . . . 79	— — Semilmarklappe der 169
— — — Anastomose mit	— laryngea inferior . . . <u>123</u>	— radialis . . . . . <u>275, 289, 293</u>
	— — — superior . . . . . <u>123, 131</u>	

	Seite
Arteria(c) radialis an der Hand . . . . .	297
— recurrens radialis . . . . .	286, 289
— renales . . . . .	11
— sacralis lateralis . . . . .	236
— — media . . . . .	14
— spermaticae internae . . . . .	11, 199
— sphenopalatina . . . . .	72, 84, 85
— subclavia . . . . .	10, 135, 148, 275, 280
— — und Äste . . . . .	116
— — Gruppierung ihrer Äste . . . . .	109
— — sinistra . . . . .	165, 177
— sublingualis . . . . .	93, 95
— submental . . . . .	129
— supraorbitalis . . . . .	39, 79
— suprarenales . . . . .	11
— surales . . . . .	312
— temporalis superficialis . . . . .	39, 66, 70
— thoracic-acromialis . . . . .	278
— thyroidea ima . . . . .	126
— — inferior . . . . .	116, 132, 133, 136
— — superior . . . . .	131
— tibialis anterior . . . . .	275, 312, 317
— — posterior . . . . .	312, 317
— tonsillaris . . . . .	96, 97
— transversa colli . . . . .	116, 135
— — faciei . . . . .	66, 70
— — scapulae . . . . .	135, 282
— tympanica . . . . .	71
— ulnaris . . . . .	275, 289, 293
— — an der Hand . . . . .	298
— umbilicalis . . . . .	236, 237
— uterina . . . . .	236, 237, 254, 255, 257, 259
— vertebralis . . . . .	11, 21, 57, 116, 136, 267
— vesicalis inferior . . . . .	236
— zygomatico-orbitalis . . . . .	67
Articulatio calcaneocuboidea . . . . .	321
— sternoclavicularis . . . . .	115, 135, 141
— tarsi transversa (Chopart) . . . . .	321
Aryepiglottische Falten . . . . .	122
Asymmetrie . . . . .	3
Atembewegungen . . . . .	113
Atmung, Verschiebung der Lage der Lunge mit der . . . . .	161
Augenhöhle . . . . .	74
— Arterien der . . . . .	79

Augenhöhle Muskeln der . . . . .	78
— Nerven, Eintritt in die . . . . .	79
— Venen der . . . . .	79
Augenlider . . . . .	76
Augenmuskeln . . . . .	21, 78
Axillarlinie . . . . .	140

## B.

Bauch . . . . .	182
— Grenzen . . . . .	182
— regionale Einteilung . . . . .	184
Bauchorta, Äste der . . . . .	199
Bauchfell . . . . .	186, 205
— Beziehungen des Rektums zum . . . . .	218
— parietales . . . . .	185
— — Blatt . . . . .	205
— Plattenepithel des . . . . .	259
— viszerale Blatt . . . . .	206
Bauchfellbänder . . . . .	206
Bauchhöhle . . . . .	13, 156
Bauchmuskeln . . . . .	187
Bauchteil des sympathischen Nervensystems . . . . .	200
Bauchwand, Binnenschichten . . . . .	185
Bauchwand, kutane Schichten . . . . .	185
— Muskelschichten . . . . .	185
— Nerven der . . . . .	186
Becken . . . . .	234
Beckenapertur, obere und untere . . . . .	234
Beckenausgang . . . . .	238
— Ebenen des . . . . .	262
Beckenbindegewebe . . . . .	260
Beckenboden . . . . .	261
— Spannung des . . . . .	255
Beckeneingang und -ausgang . . . . .	234
Beckenkanal . . . . .	235
Beckenraum, extraviszeraler Teil . . . . .	239
— viszeraler Teil . . . . .	239
Beckenteil des Ureters . . . . .	237
Beckenwand . . . . .	234
— Durchlässe der . . . . .	241
— Gefäße und Nerven der . . . . .	236
Beugemuskeln . . . . .	274
— des Unterarms . . . . .	289
Beugesehnen der Finger . . . . .	297
Bilaterale Symmetrie . . . . .	2

Binnenschichten . . . . .	186, 196, 236
Bizepswulst . . . . .	265
Blase . . . . .	207
Blasenwinkel . . . . .	254
Bronchus, linker . . . . .	177, 178
— rechter . . . . .	178
Brücke . . . . .	5
Brust . . . . .	140
Brustdrüse, Arterien der . . . . .	145
— Venen der . . . . .	145
— des Weibes . . . . .	148
Brustkorb . . . . .	10
— Elastizität des . . . . .	144
Brustraum, untere Wand . . . . .	153
Brustumfang . . . . .	3
Brustwand . . . . .	147
— Nerven der . . . . .	151
— Venen der . . . . .	151
Brustwarze . . . . .	141
Bulbus . . . . .	77
— olfactorius . . . . .	49
— der V. jugularis . . . . .	60
Bursa intratendinea olecrani . . . . .	288
— M. sternohyoidei . . . . .	120
— mucosa subscapularis . . . . .	285
— omentalis . . . . .	206, 208, 219
— — Zugänge . . . . .	206
— subacromialis . . . . .	284
— subcoracoidea . . . . .	284
— subcutanea olecrani . . . . .	288
— subdeltoidea . . . . .	284
— trochanterica . . . . .	306

## C.

Canalis(es) caroticus, Knie des . . . . .	59
— carpi . . . . .	295
— diploici . . . . .	10
— facialis . . . . .	15
— infraorbitalis . . . . .	67
— Hunteri . . . . .	300
— naso-lacrymalis . . . . .	25, 75
— obturatorius . . . . .	235, 236, 241
— — (durchtretende Teile) . . . . .	241
— pyloricus . . . . .	213
Capitulum humeri . . . . .	285
Caput femoris . . . . .	305
Cartilago quadrangularis . . . . .	55
Carunculae salivales . . . . .	94
Caruncula sublingualis . . . . .	124
Cauda equina . . . . .	29

	Seite	D.	Seite		Seite
vum laryngis . . . . .	122	Damm . . . . .	262	Duodenum . . . . .	210, 223
- oris . . . . .	92	— Faszien des . . . . .	236	— schematische Einteilung	
- pelvis peritoneale . . . . .	239	— Grenzen des . . . . .	262	— in fünf Stücke . . . . .	224
- tympani . . . . .	59	Darm, sekundäre Befesti-		Duralsack . . . . .	268
allulae ethmoidales . . . . .	75, 89	gung des . . . . .	229, 230	Dura mater . . . . .	19, 41
- mastoideae . . . . .	59, 60, 61	Darmbeinschaukeln . . . . .	235	— — Sinus der . . . . .	22
entrum tendineum . . . . .	153	Descensus . . . . .	12	— — spinalis . . . . .	268
ervix uteri . . . . .	254	— coeci . . . . .	230		
iasma nervorum optico- rum . . . . .	49, 90	Diaphragma . . . . .	153	E.	
ioanen . . . . .	100	— pelvis . . . . .	238, 255	Eierstöcke . . . . .	258
orda dorsalis . . . . .	16	— sellae . . . . .	43	Eingeweide, Verlagerungen	
- tympani . . . . .	18, 19, 61	— urogenitale . . . . .	234, 238, 247, 251, 255	und Drehungen . . . . .	4
culus arteriosus Willisii . . . . .	21, 57	Dickdarm . . . . .	227	Ellbogengegend . . . . .	288
ivus . . . . .	16, 33, 50	— Befestigung des . . . . .	229	Ellbogengelenk . . . . .	290
ecum . . . . .	208, 227	— Lageanomalien des . . . . .	229	Eminentia ileo-pectinea . . . . .	243
— Hochstand des . . . . .	230	Diplöe . . . . .	30	Emissarien . . . . .	34, 46
elom . . . . .	154	Discus articularis . . . . .	70	Emissarium condyloideum . . . . .	35
ollum anatomicum . . . . .	283	Dorsalaponeurose der Finger . . . . .	301	— mastoideum . . . . .	34
olon ascendens . . . . .	208, 228	Dorsale Stammesmuskulatur . . . . .	6	— occipitale . . . . .	35
— — abnorme Beweglich-		Dottersack . . . . .	13, 188	— parietale . . . . .	34
keit . . . . .	231	Douglassche Falten . . . . .	253	Epicondylus femoris . . . . .	311
— — — Kürze . . . . .	230	Ductus arteriosus Botalli . . . . .	12, 109, 178.	Epicondylus lateralis . . . . .	288
— descendens . . . . .	208, 228	— branchiales . . . . .	105	— medialis humeri . . . . .	288
— sigmoides . . . . .	208, 228	— choledochus . . . . .	207, 221	Epiduralraum . . . . .	268
— transversum . . . . .	207, 210, 228	— cysticus . . . . .	221	Epiduralspalt . . . . .	268
— — abnorme langes . . . . .	231	— deferens 195, . . . . .	237, 244, 251, 252, 257	Epiduralspatium . . . . .	41
olumnae rectales . . . . .	247	— — Ampulle des . . . . .	251	Epigastrium . . . . .	184
ondyli femoris . . . . .	311	— excretorii . . . . .	250	Epiglottis . . . . .	101, 115, 122
onfluentis sinuum . . . . .	22, 35	— hepaticus . . . . .	221	Epipharynx . . . . .	100
onjunctiva bulbi . . . . .	76	— nasolacrimalis . . . . .	77, 90	Epiphysengrenze des Hu-	
onjunctiva palpebrarum . . . . .	76	— omphalo-entericus . . . . .	188	merus und Radius . . . . .	290
onus terminalis . . . . .	268	— parotideus . . . . .	70	Epiphysenlinie des Hume-	
ornu minus des Zungen-		— pharyngo-branchiales . . . . .	106	ruskopfes . . . . .	284
beins . . . . .	16	— subling. minores . . . . .	95	— — Oberschenkelkopfes . . . . .	305
ornua majora des Zungen-		— submaxillaris . . . . .	93, 95, 129	Epithelkörperchen 13, 107, 125, 126	
beins . . . . .	16	— thoracicus 119, 136, 153, 164, 179, 180		Epoophoron . . . . .	12
orpora cavernosa des Pen-		— thy-mo-pharygeus . . . . .	107	Erector trunci . . . . .	267
nis . . . . .	238, 263	— thyreo-pharygeus . . . . .	107	Excavatio recto - uterina	
- quadrigemina . . . . .	49	Dünndarm . . . . .	226	(Douglasi) . . . . .	253, 258
orpus adiposum malleae . . . . .	68, 69	— Befestigung . . . . .	227	— rectovesicalis . . . . .	250
— — orbitae . . . . .	75	Dünn- und Dickdarm, Auf-		— vesico-uterina . . . . .	253, 254
- cavernosum urethrae . . . . .	262, 263	hängeapparat des . . . . .	229	Extremitas tubaria . . . . .	258
ena ani . . . . .	266	Dünndarmschlingen, Lage der . . . . .	211	— uterina . . . . .	258
ista galli . . . . .	33	Dünn- und Dickdarmschlin-		Extremitäten, Gefäße der . . . . .	275
istae iliacae . . . . .	182, 266	gen, Unterscheidung . . . . .	211	— serielle Anordnung . . . . .	270
ista occipitalis interna . . . . .	33	zwischen . . . . .	211	— Vergleichung miteinander . . . . .	276
irrvatura postpubica . . . . .	252			Extremitätengefäße, Em-	
- subpubica . . . . .	252			bryologie der . . . . .	275
isternae subarachnoideales . . . . .	46				

F.	Seite
Facies costalis der Lungen	159
— diaphragmatica der Lungen	159
— des Herzens	169
— lunata	305
— mediastinalis der Lungen	159
Falx cerebelli	43
— cerebri	17, 42
— inguinalis	193
Farresche Linie am Ovarium	259
Fascia bulbi	75
— colli media	113
— — praevertebralis	114
— — profunda	114
— — retrooesophagea	114
— — retropharyngea	114
— — superficialis	113
— coracoclaviculäris	112, 278
— cremasterica	193, 196
— cribrosa	244, 306
— cruris	317
— diaphragmatis pelvis	236
— — inferior	238
— — superior	238
— endopelvina	236, 238, 252
— endothoracica	144
— iliaca	236, 243
— lata	243
— lumbodorsalis	199, 266, 267
— obturatoria	236, 238, 262, 261
— parotide-masseterica	68, 69, 130
— pectinea	243
— perinei profunda, oberes und unteres Blatt	238
— pharyngobasilaris	99
— piriformis	236
— plantaris	320
— praevertebralis	100, 135
— temporalis	39, 68
— transversalis	185, 186, 189, 193, 236, 244
Faszien des Damms	263
Faszie des Unterarms	291
Faszienspalt am Damm	263
Fazialis-Gruppe	18
Fazialiskanal	61
Fazialis-muskulatur	20
Fenestra cochleae	59
— vestibuli	59

	Seite
Fettkörper im Canalis ob-turatorius	242
Fila olfactoria	49
Filum terminale	268
Fimbria ovarica	259
Finger, Arterien der	298, 301
— Beugesehnen der	297
— Dorsalaponeurose	301
— Nerven der	301
Fingerbeuger	301
Fissura orbitalis superior	74
— parieto-occipitalis	53
Flexura coli sinistra	208
— duodenojejunalis	227
— ileocolica	227
— perinealis	247
— — des Rectums	253
— sacralis	247
Fontanellen	31
Foramen coecum	107
— — der Schädelbasis	33, 85
— — der Zunge	92
— epiploicum	206
— infraorbitale	74
— infrapiriforme	236, 307
— — (durchtretende Teile)	241
— ischiadicum minus	236, 264, 307
— jugulare	31
— lacerum	62, 99
— obturatum	242
— occipitale magnum	33
— opticum	74, 78
— sphenopalatinum	84
— spinosum	42
— stylo-mastoideum	45, 68
— supraorbitale	74
— suprapiriforme	236, 307
— — (durchtretende Teile)	241
— transversarium des Atlas	267
— venae cavae	153, 200
— Winslowii	209
Foramina ethmoidalia	75
— obturata	234/5
Fornix des Magens	213
Fossa acetabuli	305
— ductus venosi	220
— cerebri lateralis	49
— glandulae lacrymalis	74
— hypophyseos	49
— iliaca dextra	227
— ileo-pectinea	243, 244

	Seite
Fossa infraclaviculäris	141, 73
— jugularis	99
— obturatoria	237, 259
— olfactoria	31
— ovalis	241
— ovarica	298
— poplitea	241
— retromandibularis	46
— sacci lacrymalis	74
— supraclaviculäris	13
— Sylvii	51
— — Teilung	51
Fossulae lumbales	24
Fovea capitis	302
Fovea femoralis	24
— — inguinalis lateralis	19
— — medialis	195, 24
— trochlearis	74
Foveolae granulares	25
Frenulum linguae	91
Führungslinie	253
Fundus der Harnblase	25
— uteri	25
— vesicae	25
Fuß	31
Fußbänder	32
Fußgelenke	27
Fußrücken, Nerven des	31

## G.

Galea aponeurotica	20, 3
Gallenblase	23
Ganglion cervicale medium	13
— — supremum	10
— ciliare	3
— geniculi	1
— jugulare	1
— nodosum	1
— oticum	40, 7
— petrosum	1
— semilunare	18, 44, 46, 29
— solare	21
— sphenopalatinum	86, 6
— sympathisches	
Gaumen	2
— harter	2
— — Schleimdrüsen des	4
— weicher	4
Gaumenfortsätze des Oberkiefers	11
Gaumenmandel	4



	Seite
iaumenmuskeln . . . . .	12, 62
iefäße der Beckenwand . . . . .	236
— der Extremitäten, Varietäten der . . . . .	275
— der Kiemenbögen . . . . .	109
iefäßnervenstrang am Halse . . . . .	115
iefäßsegment . . . . .	6
iehm, Beziehungen zur Oberfläche des Schädels . . . . .	52
— frontopetaler Typus . . . . .	53
— occipitopetaler Typus . . . . .	53
— Projektion auf das Schädeldach . . . . .	52
— schwebend im Liquor des Arachnoidalraumes . . . . .	50
— untere Grenze auf die Außenwand des Schädels projiziert . . . . .	50
— Windungsrelief des . . . . .	52
iehirnnerven . . . . .	12
— primäre und sekundäre Austrittsstellen . . . . .	19
iehirnschädel . . . . .	3
iehirnteil des Schädels . . . . .	15
iehörgang, knöcherner . . . . .	59
— knorpeliger . . . . .	58
iehörknöchelchen . . . . .	12, 61
iehörorgan . . . . .	58
elenkkapsel . . . . .	283, 313
— des Hüftgelenks . . . . .	305
elenkverbindungen der Hand . . . . .	300
enitalfalten . . . . .	262
enitalwülste . . . . .	262
esäßfurchen . . . . .	303
eschlechtsapparat, Segmente des . . . . .	6
esicht . . . . .	66
esichtsgegend, oberflächliche . . . . .	68
— tiefe . . . . .	71
ewebe, subepikraniales . . . . .	38
landula(e) buccales . . . . .	22
— bulbo-urethrales (Cowperi) . . . . .	263, 264
— labiales . . . . .	22
— linguales anteriores . . . . .	96
— palatinae . . . . .	22
— parotis 23, 40, 58, 69, 68, 69, 130 . . . . .	
— — accessoria . . . . .	70
— — am Halse . . . . .	70

	Seite
Glandula(e) sublingualis . . . . .	95
— — major . . . . .	23
— — minores . . . . .	23
— — submaxillaris . . . . .	23, 95, 129
— — tarsales . . . . .	76
— thymus . . . . .	165
Granulationes arachnoideales (Pacchioni), Lage der . . . . .	47
Grenzstrang . . . . .	116
— sympathischer . . . . .	150
Großhirn, Frontallappen des . . . . .	49
Gyri orbitales . . . . .	49
Gyrus frontalis III . . . . .	52
— supramarginalis . . . . .	52
— temporalis I und II . . . . .	52, 53
<b>H.</b>	
Hals . . . . .	13
— Bindegewebeegerüst des . . . . .	113
— Gefäßstrang am . . . . .	132
— Lage der Lungenspitze am . . . . .	136
— Lage der Pleurakuppel am . . . . .	136
— Lymphknoten des . . . . .	119
— Regionen des . . . . .	114
— Strömungsrichtungen d. Lymphe am . . . . .	119
— weiße Linie am . . . . .	120
Halsbucht . . . . .	105
Halseingeweide . . . . .	13, 111
Halsfaszien . . . . .	113
— oberflächliche . . . . .	129
Hals, Gefäßnervenstrang III, . . . . .	115
Halsmuskeln, eigentliche . . . . .	111
— laterale . . . . .	112
— mediale . . . . .	112
— prävertebrale . . . . .	112
— tiefe . . . . .	111, 112
— topograph. Einteilung . . . . .	111
— vordere . . . . .	111
Halsnerven . . . . .	118
Halsrippen . . . . .	10, 110
— — — Projektion . . . . .	190
Halsteil des Sympathikus . . . . .	119
Halsumfang . . . . .	3
Halsvenen . . . . .	117
Hammer . . . . .	16
— Ambosgelenk . . . . .	59
Hammergriff . . . . .	59
Hamulus des Flügelfortsatzes . . . . .	69, 99

	Seite
Hand . . . . .	295
— A radialis an der . . . . .	297
— A ulnaris an der . . . . .	298
— Gelenkverbindungen der . . . . .	300
— N. medianus an der . . . . .	299
— N. ulnaris an der . . . . .	299
Handbögen . . . . .	275
Handwurzel . . . . .	295
Harnapparat, Segmente des . . . . .	6
Harnblase . . . . .	236, 254
— bei starker Füllung . . . . .	250
— leer . . . . .	250
— männliche . . . . .	248, 252
— Fundus der . . . . .	251
Harnröhre . . . . .	254
— beim Weibe . . . . .	238
Haut, seröse . . . . .	155
Hautast des N. iliohypo-gastricus . . . . .	193
Hautmuskeln des Kopfes . . . . .	12
Hautnerven, segmentale Anordnung . . . . .	271
Hautsegment . . . . .	6
Hautsegmente, Überschiebung der . . . . .	274
Herz . . . . .	161, 166
— Einlagerung in seine seröse Höhle . . . . .	172
— Facies diaphragmatica des . . . . .	169
— Kranzarterien des . . . . .	177
— Projektion auf die vordere Brustwand . . . . .	168
— Venen des . . . . .	167
Herzachse . . . . .	167
Herzbeutel . . . . .	164, 166, 171
— parietales Blatt des . . . . .	172
— viszerales Blatt des . . . . .	172
Herzboden . . . . .	153
Herzgrube . . . . .	141
Herzklappen . . . . .	169
Herzspitze . . . . .	166
Hiatus adductorius . . . . .	309
— aorticus . . . . .	153, 198
— canalis facialis . . . . .	45, 62
— maxillaris . . . . .	84
— oesophageus . . . . .	153
— — des Zwerchfells . . . . .	179
Hilus . . . . .	201
— ovarii . . . . .	258
Hinterhauptfontanelle . . . . .	31

	Seite
Hirnhäute . . . . .	17, 41
— weiche . . . . .	46
Hirnnerven, Durchtrittsstellen für die zwölf . . . . .	34
— extraduraler Verlauf . . . . .	43
— Lage innerhalb des Duralsackes . . . . .	43
— primäre Austrittsstellen . . . . .	43
— sekundäre Austrittsstellen . . . . .	43
Hirnschädel des Neugeborenen . . . . .	32
Hirnstamm . . . . .	33
Hirnstiele . . . . .	49
Hoden . . . . .	196
Hohlhandbogen, oberflächlicher . . . . .	298
Hüftgegend . . . . .	303
Hüftgelenk . . . . .	303
— Gelenkkapsel des . . . . .	305
Hüftmuskeln . . . . .	306
Hüftregion . . . . .	13
Humerus, Epiphysengrenze . . . . .	290
Humeruskopf, Epiphysenlinie des . . . . .	284
Hypochondrien . . . . .	184, 210
Hypopharynx . . . . .	101
Hypophysis . . . . .	17, 43, 49, 90

## L

Impressio colica . . . . .	219
— duodenalis . . . . .	219
— gastrica . . . . .	219
— pylorica . . . . .	219
— renalis . . . . .	219
Impressiones digitatae . . . . .	49
Incisura acetabuli . . . . .	305
— cardiaca . . . . .	160
— interarytaenoidea . . . . .	101
— interlobaris . . . . .	160
— supraorbitalis . . . . .	74
— thyreoidea . . . . .	121
Inscriptiones tendineae . . . . .	182
— des M. rectus abdominis . . . . .	12
Interkostalarterien . . . . .	10, 150
Interkostalnerven . . . . .	267
Interskapularlinie . . . . .	178
Intervertebralscheiben . . . . .	7
Intumescencia cervicalis . . . . .	7
— lumbalis . . . . .	7

Isthmus cerebri . . . . .	49
— faucium . . . . .	92
J.	
Jejunum- u. Ileumschlingen, Unterscheid. zwischen . . . . .	211
Jochbein . . . . .	3, 25
Juga cerebraia . . . . .	49
Jugum sphenoidale . . . . .	33

## K.

Kapsel der Prostata . . . . .	252
— der Samenblasen . . . . .	252
Kardia . . . . .	209
Kaumuskeln . . . . .	12
Kehlkopf . . . . .	13
— Lage zum Skelett . . . . .	121
— Nachbarorgane . . . . .	121
— Nerven . . . . .	124
— Venen . . . . .	123
Kehlkopfengang . . . . .	122
Kehlkopfmuskeln . . . . .	20
Kehlkopfskelett . . . . .	12
Keilbeinhöhle . . . . .	90
— beim Neugeborenen . . . . .	87
Kieferbogen . . . . .	23
Kiefergelenk . . . . .	23, 58, 70
— Bewegungen im . . . . .	71
Kieferhöhle . . . . .	87
— Mündung der . . . . .	88
— beim Neugeborenen . . . . .	87
Kieferregion . . . . .	15
Kiemenbogen . . . . .	12, 105
Kiemenbögen, Gefäße der . . . . .	109
Kiemenfurchen . . . . .	12, 105
Kiemenspalten . . . . .	12
Kinn-Scheitellinie . . . . .	67
Klavikula . . . . .	278
Kleinhirn . . . . .	50
Kleinhirnhemisphären . . . . .	43
Klivus . . . . .	50
Kniegegend . . . . .	311
Kniegelenk . . . . .	313
— Bewegungen im . . . . .	314
— Schleimbeutel des . . . . .	314
Kniekehle . . . . .	312
Knochengerüst der Nasenhöhle . . . . .	82
Knorpel, Meckelscher . . . . .	16
Konjunktivalsack . . . . .	76
Konstriktor des Pharynx . . . . .	20

Kopf, Arterien . . . . .	21
— Hautmuskeln . . . . .	12
— Wirbel . . . . .	12
— Venen . . . . .	21
Kopfschwarte . . . . .	38
— Nerven der . . . . .	49
Kopfumfang . . . . .	3
Koronarnaht . . . . .	24
Korpus des Magens . . . . .	213
Kranium . . . . .	15
Kremaster . . . . .	126
Kreuzbeindreieck . . . . .	26

## L

Labium glenoidale . . . . .	263
Labia majora . . . . .	3, 262
— minora . . . . .	262
Lacertus fibrosus . . . . .	258
Lacuna(e) laterales des Sinus sagittalis . . . . .	47
— musculorum . . . . .	243
— vasorum . . . . .	236, 243, 244
— (durchtretende Teile) . . . . .	241
Lambdanaht . . . . .	1
Lamina cribrosa . . . . .	84
— perpendicularis d. Siebbeins . . . . .	87
Larresche Spalte . . . . .	153
Leber . . . . .	216
— Befestigungen . . . . .	220
— Flächen der . . . . .	218
— Lage zu Nachbarorganen . . . . .	220
— Lage zum Skelett . . . . .	220
— Projektionsfigur . . . . .	220
Leistenband . . . . .	226
Leistenbeuge . . . . .	182
Leistendrüsens . . . . .	186
Leistengrube, laterale . . . . .	186
— mediale . . . . .	186
Leistenhernien . . . . .	182
Leistenkanal . . . . .	186
Lendenraute . . . . .	266
Levator ani . . . . .	217
Lidkante . . . . .	28
Ligamentum (a) cardinale uteri . . . . .	256
— carpi dorsale . . . . .	257
— carpi volare . . . . .	257
— coracoacromiale . . . . .	284
— coracohumemale . . . . .	284
— coronarium . . . . .	221



	Seite
amentum (a) coronari- um (extrabursaler Teil)	209
— (intrabursaler Teil)	209
— dextrum	207
— hepatis	206
cricothyroideum	121
cruciatum	319
falciforme hepatis	206, 220
gastrolienale	208, 209, 226
glandulae thyroideae	126
hepatoduodenale	206, 207
—	209, 220, 221
hepatogastricum	207, 220
hepato-renal	208, 209, 221
ileo-femorale	305
ileo-pectineum	243
inguinale	182, 237
interfoveolare (Hessel- bach)	193
intermusculare laterale	285
— mediale	285
ischio-capsulare	306
lacunare (Gimbernat)	243
latum	253, 258, 259
ovariorum	260
— proprium	258
palpebrale mediale	75
patellae	311
phrenicolienale	208, 209, 226
pubocapsulare	306
recto-uterina	256
sacrospinosum	235, 236
sacro-tuberosum	235, 236, 261
stylo-hyoideum	16
suspensorium ovariorum	237, 258
teres	305
— hepatis	188, 206
thyreo-hyoideum laterale	120
— mediale	120
transversum	305
triangulare dextrum	221
— sinistrum	221
umbilicalia lateralia	188, 194, 195, 237
umbilicale medium	188, 195
uteri teres	237, 256, 260
vocalia	122
ea(e) alba	182, 187
axillaris	140
costoclavicularis	140
mammillaris	140
parasternalis	140

	Seite
Linea(e) semicircularis (Douglasii)	189
— sternalis	140
— terminalis	182
— temporalis	39
Lippenfurch	25
Liquor des Arachnoidal- raumes	50
— cerebrospinalis	47
Lobus caudatus	207, 208, 209, 219
Lufttröhre	164
Lumbalarterien	10
Lungen	159
— Beziehungen zu den Organen der Nachbar- schaft	161
Lungengrenzen bei Ex- spirationsstellung	161
— — Inspirationsstellung	161
Lungenhilus, Lage der Ge- fäße am	160
Lungenpforte	160
Lungenspitze	10, 116, 148, 159
— Lage am Halse	136
Lungenvenen, rechte	173
Lymphen, Strömungsrichtun- gen am Halse	119
Lymphknoten des Halses	119
— der Parotisgegend	70
Lymphoepitheliale Organe	107
Lymphoglandula(e) bron- chotracheales	178
— inguinales	306
— Rosenmülleri	244
— subinguinales	306
— submaxillares	129
— supraclaviculares	119

## M.

Magen	213
— Arterien des	215
— Befestigungen des	215
— Lage zu Nachbarorga- nen	214
— Lage zum Skelett	214
— Nerven des	216
— Venen des	216
Magengrube	141
Malleolus medialis	317
Mandibula	16
Manubrium sterni	177

	Seite
Margo falciformis	244, 306
— liber	258
— des Ovariorum	254
— mesovaricus	258
— supraorbitalis	39, 74
— tubarius	259
Mastdarm	247
Meckelscher Knorpel	16
Medianebe	2
Medianfurch, hintere	141
Mediastinum	13, 155, 156, 163
Mediastinum, Inhalt des	164
— präperikardialer Teil	166
Medulla	18
— oblongata	50
Membrana atlanto-occi- pitis posterior	267
— obturatoria	235, 242
— thyreo-hyoidea	120, 131
Meniscus lateralis	313
— medialis	313
Mesenteriolum	228
Mesenterium	206
Mesoatrium	173
Mesocolon transversum	207
Mesogastrium, dorsales	209
Mesokardium	173
Mesokolon	206
Mesometrium	259
Mesopharynx	101
Mesosalpinx	258, 259
Mesosigmoideum	208
Metameren	2, 6
Metamerie	6
Milz	208, 225
Mittelohr	59
Mohrenheimsche Grube	141, 278
Mons pubis	182
Mundboden	93, 120
Mundhöhle	92
Mundspalte, primäre	23
— sekundäre	23
Musculus(i) ano-coccygeus	262
— auricularis anterior	20
— — posterior	20
— — superior	20
— biceps	285
— biventer	20, 68
— — Zwischensehne	130
— brachialis	285
— brachioradialis	289
— buccinator	20, 23, 66, 68, 93

	Seite
Musculus(i) buccinator, Ursprung . . . . .	68
— bulbocavernosus . . . . .	262
— caninus . . . . .	66
— cleidohyoideus . . . . .	114
— coccygeus . . . . .	14, 238, 262
— compressor urethrae . . . . .	238, 252
— constrictor pharyngis inferior . . . . .	99
— — medius . . . . .	99
— — superior . . . . .	99
— coracobrachialis . . . . .	285
— cremaster . . . . .	193
— crico-thyroideus . . . . .	20
— deltoideus . . . . .	278
— epicranius . . . . .	38, 113
— extensores carpi radiales longus und brevis . . . . .	289
— extensor digitorum brevis . . . . .	319
— — longus . . . . .	319
— — hallucis longus . . . . .	319
— flexor digitorum brevis . . . . .	320
— frontalis . . . . .	20, 38
— genioglossus . . . . .	93
— geniohyoideus . . . . .	93, 120
— glutaeus maximus . . . . .	264
— hyoglossus . . . . .	129, 131
— iliacus . . . . .	236
— iliopsoas . . . . .	243
— infrapinatus . . . . .	283
— intercostales externi und interni . . . . .	144
— ischio-coccygeus . . . . .	238
— latissimus dorsi . . . . .	267, 278
— levator ani . . . . .	238, 251, 262
— — palpebrae, Endsehne des . . . . .	76
— — scapulae . . . . .	134, 267
— — veli palatini . . . . .	20, 96
— longus capitis . . . . .	112, 119, 133
— — colli . . . . .	112, 133
— lumbricales, Wirkung der . . . . .	301
— masseter . . . . .	66, 68
— mylohyoideus . . . . .	92, 93, 120
— obliq. abd. internus . . . . .	193
— — capitis inferior . . . . .	267
— — — superior . . . . .	267
— obliq. abd. internus . . . . .	193
— — internus . . . . .	236, 262, 264

	Seite
Musculus(i) occipitalis . . . . .	20, 38
— omohyoidei . . . . .	113
— omohyoideus, oberer Bauch des . . . . .	133
— — Zwischenseline des . . . . .	132
— orbicularis . . . . .	20
— — oculi . . . . .	76
— palato-pharyngeus . . . . .	20
— pectineus . . . . .	243
— pectoralis major . . . . .	147, 278
— peronei . . . . .	319
— piriformis . . . . .	236, 238, 264
— procerus nasi . . . . .	20
— pronator teres . . . . .	289
— psoas . . . . .	10, 198, 237, 143
— pterygoideus externus . . . . .	71
— — internus . . . . .	71, 100
— pubo-coccygeus . . . . .	238
— quadratus labii inferioris . . . . .	20
— — superioris . . . . .	20
— — lumborum . . . . .	199
— recti . . . . .	189
— rectus abdominis . . . . .	12
— — capitis major . . . . .	267
— rhomboideus . . . . .	267
— risorius . . . . .	20
— scaleni . . . . .	112, 133, 134
— scalenus anterior . . . . .	116, 119, 134
— — medius . . . . .	119, 134
— — posterior . . . . .	134
— serrati posteriores . . . . .	267
— sphincter oris . . . . .	20
— splenius capitis et cervicis . . . . .	134
— sternocleidomastoideus . . . . .	3, 21, 100
— styloglossus . . . . .	100
— stylohyoideus . . . . .	20, 68, 100, 131
— stylopharyngeus . . . . .	20, 100
— subclavius . . . . .	280
— subcutaneus colli . . . . .	113
— subscapularis . . . . .	280
— supinator . . . . .	289
— supraspinatus . . . . .	283
— temporalis . . . . .	52
— tensor veli palatini . . . . .	96
— tibialis anterior . . . . .	319
— transversus abdominis . . . . .	186, 193

Musculus(i) transversus perinei . . . . .	2
— — — profundus . . . . .	238, 26
— — — superficialis . . . . .	28
— teres minor . . . . .	28
— teres major . . . . .	280, 28
— trapezius . . . . .	3, 21, 2
— triangularis . . . . .	2
— triceps . . . . .	28
— — langer Kopf des . . . . .	28
— trigoni urethralis . . . . .	28
— uvulae . . . . .	9
— zygomaticus . . . . .	2
Muskecke . . . . .	18
Muskeln der Augenhöhle . . . . .	1
— der Extremitäten . . . . .	27
— der Hüfte . . . . .	20
— des Oberschenkels . . . . .	20
— des Ohres . . . . .	2
— der Regio mastoidea . . . . .	6
— der Vagusgruppe . . . . .	2
— der Zunge . . . . .	9
Muskelschichten, Bauch . . . . .	18
Muskulatur des Rückens . . . . .	24
— des Unterarms . . . . .	21
— des Unterschenkels . . . . .	21
Myotom . . . . .	2
Myotome der Extremitäten . . . . .	7

## N.

Nabel . . . . .	12, 18
— Schichtung am . . . . .	18
Nabelbläschen . . . . .	18
Nabelbruch, physiologischer . . . . .	18
Nabelgrube . . . . .	18
Nabelkreislauf . . . . .	18
Nabelplatte . . . . .	18
Nabelring . . . . .	18
Nabelschlinge . . . . .	2
— Gefäßversorgung . . . . .	2
Nacken . . . . .	2
Nackendreieck, tiefgelegenes . . . . .	2
Nackenmuskulatur . . . . .	266
Nähte . . . . .	2
Nase, Haut der äußeren . . . . .	2
— knöcherner . . . . .	2
— Nebenhöhle der . . . . .	2
Nasenbein . . . . .	2
Nasenfortsatz, innerer und äußerer . . . . .	2
Nasengänge . . . . .	2
Nasenhöhle . . . . .	2

	Seite		Seite		Seite
senkhöhle, Gefäße und		Nervus(i) cutaneus surae		Nervus(i) perinei . . .	<u>264</u>
Nerven der . . .	<u>85</u>	medialis . . . . .	<u>312</u>	— peroneus . . . <u>307, 310, 312</u>	
Kommunikationen . . .	<u>83</u>	— dorsalis scapulae . . .	<u>119</u>	— — profundus <u>313, 315, 317</u>	
Venen der . . .	<u>85</u>	— ethmoidalis . . . . .	<u>75</u>	— — superficialis . . . <u>313, 316</u>	
senkapsel . . . . .	<u>16</u>	— — anterior . . . . .	<u>85</u>	— petrosus superficialis	
senregion . . . . .	<u>15</u>	— — posterior . . . . .	<u>75</u>	major . . . . .	<u>19, 45, 62</u>
senhoden . . . . .	<u>12</u>	— ethmoidalis anterior,		— — minor . . . . .	<u>40, 70</u>
Kopf des . . . . .	<u>196</u>	Verlauf durch die		— phrenicus . . . . .	<u>4, 119,</u>
benennen . . . . .	<u>201, 202</u>	Schädelhöhle . . . . .	<u>41</u>	<u>132, 133, 135, 148, 165,</u>	
benthymus . . . . .	<u>176</u>	— facialis <u>18, 20, 68, 70, 111</u>		<u>166</u>	
venen der Augenhöhle . . .	<u>79</u>	— femoralis . . . <u>200, 243, 310</u>		— — dexter . . . . .	<u>176</u>
der Bauchwand . . . . .	<u>186</u>	— frontalis . . . . .	<u>40</u>	— — sinister . . . . .	<u>165</u>
der Beckenwand . . . . .	<u>236</u>	— glossopharyngeus <u>18, 94, 100</u>		— plantaris lateralis . . .	<u>320</u>
der Brustwand . . . . .	<u>151</u>	<u>115, 130</u>		— — medialis . . . . .	<u>320</u>
der Finger . . . . .	<u>301</u>	— glutacus inferior <u>236, 307</u>		— pudendus . . . <u>236, 263, 307</u>	
des Fußrückens . . . . .	<u>319</u>	— — superior . . . . .	<u>236, 307</u>	— radialis . . . . .	<u>274, 282,</u>
des Halses . . . . .	<u>118</u>	— hypoglossus <u>18, 93, 95, 100,</u>		<u>286, 289, 294</u>	
des Kehlkopfes . . . . .	<u>124</u>	<u>115, 129, 131</u>		— — auf der Streckseite . . .	<u>294</u>
der Kopfschwarte . . . . .	<u>40</u>	— — Lage am Hals zu		— recurrens . . . . .	<u>4, 13, 116,</u>
des Magens . . . . .	<u>216</u>	den Arterien . . . . .	<u>118</u>	<u>118, 135</u>	
Ursprungskerne der		— iliohypogastricus . . . <u>186, 200</u>		— — Vagi . . . . .	<u>20</u>
motorischen . . . . .	<u>7</u>	— — Hautast des . . . . .	<u>193</u>	— spermaticus externus	<u>201</u>
viszeromotorische . . . . .	<u>18</u>	— ilioinguinalis . . . . .	<u>200</u>	— splanchnici . . . . .	<u>153, 165</u>
des Zwerchfells . . . . .	<u>153</u>	— infraorbitalis . . . . .	<u>67</u>	— splanchnici major und	
venensegment . . . . .	<u>6</u>	— intercostales . . . . .	<u>274</u>	minor . . . . .	<u>180</u>
vensystem, sympathi-		— interossea volaris . . .	<u>294</u>	— subscapularis . . . . .	<u>282</u>
sches, Bauteil des . . . . .	<u>200</u>	— ischiadicus . . . <u>136, 307, 310</u>		— supraclaviculares . . .	<u>274, 278</u>
vus(i) abducens <u>18, 45, 79</u>		— laryngeus inferior <u>124, 127,</u>		— — ant. . . . .	<u>131</u>
accessorius <u>18, 100, 116,</u>		<u>133, 177</u>		— — med. . . . .	<u>134</u>
<u>134, 267</u>		— — superior <u>20, 95, 115, 124</u>		— — post. . . . .	<u>134</u>
— äußerer Ast des . . . . .	<u>118</u>	— lingualis <u>72, 93, 95, 115,</u>		— supraorbitalis . . . . .	<u>40</u>
acusticus . . . . .	<u>45</u>	<u>118, 129</u>		— suprascapularis . . . . .	<u>119, 135</u>
alveolaris inferior . . . . .	<u>67, 72</u>	— medianus <u>274, 275, 282,</u>		<u>283</u>	
auricularis magnus <u>67, 132</u>		<u>287, 294</u>		— sympatheticus, Brustteil	
auriculo-temporalis <u>40, 67, 70</u>		— — an der Hand . . . . .	<u>299</u>	des Grenzstranges . . .	<u>180</u>
axillaris . . . . .	<u>282</u>	— musculocutaneus . . .	<u>274</u>	— — Grenzstrang des . . .	<u>100,</u>
buccinatorius <u>69, 72, 93</u>		<u>282, 286, 289</u>		<u>132, 135, 136, 153, 165</u>	
cervicalis descendens . . .	<u>132</u>	— mylohyoideus . . . . .	<u>118, 129</u>	— thoracalis lateralis . . .	<u>119,</u>
ciliares breves . . . . .	<u>80</u>	— nasales posteriores . . .	<u>84</u>	<u>152, 282</u>	
cutaneus antibrachii		— — inferiores . . . . .	<u>86</u>	— thoracodorsalis . . . . .	<u>152</u>
dorsalis . . . . .	<u>286</u>	— — — superiores . . . . .	<u>86</u>	— tibialis . . . . .	<u>310, 312,</u>
— lateralis . . . . .	<u>286, 289</u>	— nasociliaris . . . . .	<u>85</u>	<u>316, 317, 318</u>	
— — medialis . . . . .	<u>282, 286</u>	— nasopalatinus . . . . .	<u>96</u>	— trigeminus . . . . .	<u>67</u>
<u>288</u>		— obturatorius <u>237, 242, 311</u>		— trochlearis . . . . .	<u>19, 79</u>
— brachii dorsalis . . . . .	<u>286</u>	— occipitalis major . . .	<u>40</u>	— ulnaris . . . . .	<u>282, 287,</u>
— — lateralis . . . . .	<u>286</u>	— — minor . . . . .	<u>40, 132</u>	<u>288, 294</u>	
— — medialis . . . . .	<u>282, 286</u>	— oculomotorius . . . . .	<u>18, 79</u>	— — an der Hand . . . . .	<u>299</u>
— colli . . . . .	<u>132</u>	— olfactorius . . . . .	<u>19</u>	— vagus (i) . . . . .	<u>1, 13, 18, 95,</u>
— femoris posterior <u>236,</u>		— ophthalmicus <u>40, 67, 79, 85</u>		<u>100, 131, 135, 153, 165,</u>	
<u>307</u>		— opticus . . . . .	<u>19, 45, 78</u>	<u>177, 179</u>	
— surae lateralis . . . . .	<u>312</u>	— palatinus anterior . . .	<u>96</u>	— vagus, Lage und Äste <u>118</u>	
		medius . . . . .	<u>96</u>	Netzbeutel . . . . .	<u>206</u>

	Seite
Neugeborener, Hirnschädel	32
— Keilbeinhöhle	87
— Kieferhöhle	87
Neuromeren	7
Niere, linke	202
— rechte	202
Nieren	201, 208
— und Bauchfell	202
— Lage zur Bauchwand	201
— Lage zu Nachbarorganen	201
Nierenschnitt	10
Nucleus ambiguus	18
Nuhnische Drüse	96
Nystagmus	65

## O.

Oberarm	285
Oberbauchgegend	210
Oberkiefer	25
— Gaumenfortsätze	16
Oberkieferfortsätze	23
Oberschenkel, Muskeln des	308
Oberschenkelkopf, Epiphyse	305
Oesophagus	132, 150, 153, 164, 165, 178
— enge Stellen	179
— Halsteil	127
Ohr, inneres	62
— Muskeln des	20
Ohrfontanellen	32
Ohrkapsel	16
Okzipitallappen	49
Olekranon, Grübchen neben dem	288
Olive	18
Omentum majus	207, 230
— minus	207, 208, 209, 220
Orbita	3
— Grenzen	74
Orbitalvenen	22
Orificium externum urethrae	252
Os coccygis	14
— coxae	235
— dentale	16
— ethmoidale	15
— frontale	15, 16
— intermaxillare	16, 25
— ischii	238

	Seite
Os lacrymale	16
— maxillare	16
— nasale	16
— occipitale	15, 16
— palatinum	16
— parietale	15, 16
— sphenoides	15
— temporale	15, 16
— turbinale	15
— tympanicum	16
— zygomaticum	16
Ossa maxillaria	15
— palatina	15
— zygomatica	15
Ostium abdominale	259
Ovarianische	258
Ovarialtasche	260
Ovarien	253
Ovarium, Befestigung des	258
— Keimepithel	259

## P.

Pachionische Granulationen	46
— Gruben	28
Pankreas	208, 209
— Beziehungen zu Gefäßen	225
— Freilegung	224
Papierschädel	28
Papilla incisiva	96
— palatina	25
Paradidymis	12
Parametrium	253, 260
Paraproktium	260
Parasympathicus	20
Parazystium	260
Parietalorgan	19
Parophoron	12
Parotis, sekretorischer Nerv der	70
Parotisgegend, Lymphknoten der	70
Pars ampullaris recti	247
— analis recti	247
— cavernosa urethrae	252
— lacrymalis des M. orbicularis	76
— laryngea des Pharynx	101
— membranacea urethrae	238, 252, 263

Pars nasalis pharyngis	100
— oralis des Pharynx	11
— pelvina des Ureters	23
— prostatica urethrae	23
— pylorica	21
— tympanica des Schläfenbeins	21
Patella	21
Paukenhöhle	5
Pedunculus cerebri	1
Penis, corpora cavernosa des	26
Perikardialhöhle	154, 17
Pericranium	4
Perimetrium	25
Periorbita	7
Peritonealflüssigkeit	20
Pfortader	18
Pfortaderäste, akzessorische	18
Pharynx	13, 99, 11
— Konstriktor	2
— Venengeflechte des	12
Pharynxwand, Befestigung an der Schädelbasis	1
Philtrum	1
Pia mater	1
Planum popliteum femoris	21
Platysma	12, 111, 11
Pleura	12
— costalis	12
— diaphragmatica	12
— mediastinalis	156, 12
— Verhalten der rechten zur Speiseröhre	12
— parietalis	12
— pericardiaca	12
— pulmonalis	12
— Umschlagstellen	12
Pleuragrenzen	12
— Variabilität der	12
Pleurakuppel	148, 12
— Lage am Halse	12
Pleurasäcke	12
Pleuroperitonealhöhle	12
Plexus	12
— aorticus	12
— brachialis	10, 116, 118, 274, 280, 282
— vordere u. hintere faszikuli	12
— cervicalis	118, 133, 12
— haemorrhoidalis inferior	12

Seite	R.	Seite	Seite	
lexus hypogastricus	Rachenenge . . . . .	92	Regio olfactoria . . . . .	84
— superior . . . . .	Radius, Epiphysengrenze . . . . .	290	— parapharyngea . . . . .	70, 130
— lumbalis . . . . .	Radiusköpfchen . . . . .	288	— perinealis . . . . .	263
— parotideus . . . . .	Radix mesenterii . . . . .	207, 210, 229	— pubica . . . . .	185
— pudendus . . . . .	Ramus(s) cervicovaginalis		— respiratoria . . . . .	81
— sacralis . . . . .	aus der A. uterina . . . . .	254	— retromandibularis . . . . .	130
— venosus mammillae . . . . .	— colli des N. facialis . . . . .	70	— sternocleidomastoidea . . . . .	115
— thyroideus impar . . . . .	— communicans posterior . . . . .	21	— subhyoidea . . . . .	115
— venosi vertebrales ex-	— descendens . . . . .	115	— sublingualis . . . . .	303, 306
terni . . . . .	— hypoglossi . . . . .	94, 132, 133	— submaxillaris . . . . .	69
— venosus vesicoprostat-	— dorsalis der Rumpfnerven . . . . .	7	— trachealis . . . . .	115, 126
icus . . . . .	— externus . . . . .	116	— umbilicalis . . . . .	185
— vertebralis posterior . . . . .	— frontalis der Art. temp.		Regionen des Halses . . . . .	114
lica(e) aryepiglotticae . . . . .	— superficialis . . . . .	66	Rektum . . . . .	247, 251, 253
— epigastrica . . . . .	— intercostales . . . . .	151	— Beziehungen z. Bauch-	
— gastropancreatica . . . . .	— intestinales . . . . .	7	fell . . . . .	248
— nervi laryngei . . . . .	— mandibulae . . . . .	93	Rektuslinien . . . . .	182
— pharyngoepiglottica . . . . .	— marginalis . . . . .	70	Rektusscheide . . . . .	189
— recto-uterinae . . . . .	— masticatorius . . . . .	72	Rete articulare cubiti . . . . .	289, 312
— salpingopharyngea . . . . .	— ovaricus . . . . .	259	— calcanei . . . . .	318
— sublingualis . . . . .	— parietalis der Art.		Retroflexio . . . . .	255
— umbilicales laterales . . . . .	— superficialis . . . . .	66	Retroversio . . . . .	255
— umbilicalis media . . . . .	— plantaris profundus . . . . .	319	Rima glottidis . . . . .	122
— ventriculares . . . . .	— ventralis . . . . .	7	Ringknorpelenge . . . . .	127
ons . . . . .	Raphe palpebralis lateralis . . . . .	75	Rippen . . . . .	10
orta arteriosa pericardii . . . . .	— pterygo-mandibularis . . . . .	69, 99, 100	Roser-Nélatonsche Linie . . . . .	303
— hepatis . . . . .			Rücken . . . . .	266
— venosa pericardii . . . . .	Recessus epitympanicus . . . . .	60, 61	Rückengebiet, regionale	
ortio minor des Trigemi-	— hepatic. der Bursa		Einteilung . . . . .	266
nus . . . . .	— omentalis . . . . .	219	Rückenmark . . . . .	267
— vaginalis . . . . .	— infundibuliformis . . . . .	90	Rückenmuskeln, lange . . . . .	7
rävesikaler Spalt . . . . .	— piriformis . . . . .	101		
rimordialkranium . . . . .	— spheenoethmoidalis . . . . .	90		
roccus brevis des Hammers . . . . .	— subarcuatus . . . . .	62		
— coracoides . . . . .	Rechtshändigkeit . . . . .	3		
— globularis . . . . .	Regio(nes) abdominales la-			
— mastoides . . . . .	terales . . . . .	185		
— styloides . . . . .	— epigastrica . . . . .	184		
— vaginalis peritonei . . . . .	— hyoidea . . . . .	115		
— vermiformis . . . . .	— hypochondriacae . . . . .	184		
— xiphoides . . . . .	— hypogastrica . . . . .	185		
— zygomaticus . . . . .	— inguinales . . . . .	185		
rominentia laryngea . . . . .	— laryngea . . . . .	115		
romontorium . . . . .	— lateralis colli . . . . .	115		
rostata . . . . .	— laterales der Schädel-			
— Beziehung zum Rektum . . . . .	basis . . . . .	32		
— Kapsel der . . . . .	— lingualis . . . . .	115		
rotuberantia occipitalis ex-	— lumbales . . . . .	185		
terna . . . . .	— mastoidea . . . . .	65		
apille, Erweiterung der . . . . .	— mediana colli . . . . .	115		
pyramide (Felsenbein) . . . . .	— der Schädelbasis . . . . .	32		
	— mesogastrica . . . . .	184		

## S.

Sakralkrümmung . . . . .	247
Sakralraute . . . . .	266
Samenblasen . . . . .	251
— Kapsel der . . . . .	252
Samenleiter, Ampullen der . . . . .	250
Samenstrang . . . . .	192
Sanduhrmagen, funktioneller . . . . .	214
Scala tympani . . . . .	59
Scalenuslücke . . . . .	116
Scapula . . . . .	266
Scarpasches Dreieck . . . . .	96
Schädel . . . . .	3
— Antlitzteil . . . . .	15
— Gehirnteil . . . . .	15
Schädelbasis . . . . .	28, 32
Schädeldach . . . . .	28
Schädelgewölbe . . . . .	28
Schädelgrube, hintere . . . . .	33, 50
— mittlere . . . . .	33, 49





	Seite
torium . . . . .	17
- cerebelli . . . . .	42, 49
torax . . . . .	13
toraxapertur, obere und untere . . . . .	144, 182
trismus 13, 107, 127, 164, 165	
- Reste der . . . . .	176
- strangartige Fortsetzung zum Halse . . . . .	176
- . . . . .	315
nsilla palatina . . . . .	96, 107
- pharyngea . . . . .	101
rus tubarius . . . . .	101
achea . . . . .	177
- Brustteil . . . . .	178
- Halsteil . . . . .	127
- Teilungsstelle . . . . .	178
actus iliotalialis . . . . .	312
änenbein . . . . .	25
änenrüse . . . . .	76
- Bahn für die sekretorischen Reize . . . . .	80
änenpunkt, oberer und unterer . . . . .	76
änenröhrchen . . . . .	76
änenstrecke . . . . .	75, 76
änensee . . . . .	76
igeminus-Gruppe . . . . .	18
igeminusmuskulatur . . . . .	19
igonum caroticum . . . . .	113, 130
- deltoideopectorale . . . . .	278
- femorale (Scarpae) . . . . .	309
- inguinale . . . . .	192
- lumbale (Petiti) . . . . .	189
- omotracheoideum . . . . .	116
- praesellare . . . . .	90
- scalenovertbrale . . . . .	116, 135
- subclaviae . . . . .	116, 134
- submaxillare . . . . .	115, 118, 129
- thyreoideum . . . . .	115, 133
- urogenitale . . . . .	234, 238
- beim weibl. Damm . . . . .	263
ochanter major . . . . .	236, 303
omfemell . . . . .	59
- Deklination . . . . .	59
- Inklination . . . . .	59
- Rahmen des . . . . .	16
ancus thyrocervicalis . . . . .	136
ba auditiva . . . . .	60, 62, 90, 101
- uterina . . . . .	259
ben . . . . .	253, 258

	Seite
Tube, knöcherne u. knorpelige . . . . .	62
Tubenmündung . . . . .	101
Tubenwulst . . . . .	90, 101
Tubera frontalia . . . . .	32
Tuber ischiadicum . . . . .	303
Tubera parietalia . . . . .	32, 52
Tuberculum caroticum . . . . .	130
- epiglotticum, Entstehung . . . . .	121
- jugulare . . . . .	33
- labii superioris . . . . .	25
- majus . . . . .	278
- minus . . . . .	278
- pharyngeum . . . . .	99
- pubicum . . . . .	243
Tuberositas ossis metatarsalis V . . . . .	319
- - navicularis . . . . .	319
Tunica dartos . . . . .	196
- vaginalis communis 194, 196	
- - propria . . . . .	196
Türkensattel . . . . .	12, 16

## U.

Umbilikalarterien . . . . .	188
Umbo . . . . .	59
Unterarm, Beugemuskeln des . . . . .	289
- Faszie des . . . . .	291
- Muskulatur . . . . .	291
Unterbauchgegend . . . . .	210
Unterkiefer . . . . .	12
Unterschenkel, Muskulatur des . . . . .	315
Urachus . . . . .	188
Ureter 200, 205, 237, 251, 255	
- Beckenteil des . . . . .	237
- - des Weibes . . . . .	254
Urnierenfalte . . . . .	260
Ursprungskerne der motorischen Nerven . . . . .	7
Urwirbel am Kopf . . . . .	12
Uterus . . . . .	253, 254
- Befestigung des . . . . .	255
- Normallage des . . . . .	255
Uteruswinkel . . . . .	254

## V.

Vagina . . . . .	253, 257
- mucosa intertubercularis . . . . .	283
Vaginalwand, hintere . . . . .	258

	Seite
Vagus . . . . .	4
Vagus-Gruppe . . . . .	18
- Muskeln der . . . . .	20
Valleculae linguae . . . . .	95
Valvula tricuspidalis . . . . .	169
Vas aberrans . . . . .	12
Vasa epigastrica . . . . .	195
- - inferiores . . . . .	194
- iliaca interna . . . . .	261
- lienalia . . . . .	225
- mesenterica superiora . . . . .	210
- obturatoria . . . . .	237
- ovarica . . . . .	258
- pericardiophrenica . . . . .	165
- spermatica . . . . .	237
Velum medullare anterius . . . . .	19
Vena(e) angularis . . . . .	67
- anonymae . . . . .	135, 136
- anonyma dextra . . . . .	135, 176
- - sinistra . . . . .	135, 165, 176
- auricularis posterior . . . . .	40
- axillaris . . . . .	278, 282
- azygos 150, 153, 165, 176, 179	
- basilica . . . . .	286, 288
- capitis lateralis . . . . .	22, 45
- cava inferior 153, 173, 200, 207	
- cava superior 135, 165, 173, 176	
- cephalica . . . . .	278, 288
- cerebralis anterior . . . . .	22
- cerebri magna . . . . .	58
- chorioidea . . . . .	58
- circumflexae ilium profundae . . . . .	190
- circumflexa ilium superficialis . . . . .	186
- diploicae . . . . .	28, 46
- diploica frontalis . . . . .	30
- - occipitalis . . . . .	30
- - temporalis anterior . . . . .	30
- - - posterior . . . . .	30
- epigastricae profundae . . . . .	190
- - superficialis . . . . .	186
- facialis anterior . . . . .	67, 129
- - communis . . . . .	67, 129
- - posterior . . . . .	67, 70
- femoralis . . . . .	310
- frontalis . . . . .	40, 67
- hemiazygos 153, 165, 179, 180	
- hepaticae . . . . .	200, 227

	Seite
Vena(e) iliaca communes . . .	200
— iliaca externa . . .	236
— jugularis, Blutabfluß in der . . .	114
— — Bulbus der . . .	60
— — anterior . . .	120, 132
— — communis . . .	130, 177
— — externa . . .	40
— — interna . . .	22, 67, 70, 100, 130, 136
— lienalis . . .	227
— lingualis . . .	129
— lumbales . . .	190
— mediana antibrachii . . .	288
— — basilica . . .	288
— — cephalica . . .	288
— — colli . . .	120
— — cubiti . . .	288
— mesenterica inferior . . .	227
— — superior . . .	227
— occipitalis . . .	40
— ophthalmicae . . .	22
— ophthalmica inferior . . .	79
— parumbilicales . . .	186
— poplitea . . .	312
— portae . . .	208, 227
— profundae penis . . .	238
— pulmonales . . .	164, 178
— pulmonales sinistralae . . .	173
— saphena magna . . .	306, 312, 318
— — parva . . .	312, 318
— spermatica . . .	200

	Seite
Venae subclavia . . .	134
— supraorbitalis . . .	67
— temporalis . . .	40, 70
— terminalis . . .	58
— thoracicoepigastrica . . .	186
— thyroidea inferior . . .	126
— thyroidea superiores . . .	131
— umbilicalis . . .	188
— vertebralis . . .	267
Venen der Augenhöhle . . .	79
— der Brustdrüse . . .	148
— der Brustwand . . .	151
— des Herzens . . .	167
— des Kehlkopfes . . .	123
— der Kopfschwarte . . .	39
— des Magens . . .	216
— der Schilddrüse . . .	126
Venengeflechte des Pharynx . . .	124
Venenwinkel . . .	119
Ventrale Stammesmuskulatur . . .	6
Ventriculus laryngis . . .	122/23
Verdauungsrohr . . .	4
Verschlußplatten . . .	106
Verstreichen der Nähte . . .	32
Vertebra prominens . . .	140, 266
Vesiculae seminales . . .	250
Vestibulum des Magens . . .	213
— oris . . .	23, 92
Viszeralskelett . . .	15
Vomer . . .	25, 82

Vorderdarm . . .	1
<b>W.</b>	
Wangen . . .	68, 92
Warzenfortsatz . . .	41
— lufthaltige Räume des . . .	68
Warzenfortsatzzellen . . .	68
Weichteile des Beckenausganges . . .	236
Wirbel, Abzählen der . . .	296
Wurmfortsatz . . .	36

<b>Z.</b>	
Zahnfleisch . . .	95
Zornesader . . .	40
Zunge . . .	91
Zungenbein . . .	12, 13
— cornua majora . . .	16
— cornu minus . . .	16
— Lage des . . .	130
Zungenbeinmuskeln, obere . . .	111
— untere . . .	112, 130
Zungenmuskeln . . .	21
Zungenrücken . . .	91
Zungenwurzel . . .	91
Zwerchfell . . .	11
— Arterien . . .	151
— Hiatus oesophagus . . .	178
— Nerven . . .	151
Zwerchfellkuppel . . .	185
Zwerchfellpfeiler . . .	198, 200
Zwischenkiefer . . .	5



and IV. **Lehmanns medizinische Handatanten.**  
**Kurzgefaßtes Lehrbuch und Atlas der**  
**Krankheiten der Mundhöhle, des Rachens und der Nase**  
von Dr. L. Grünwald in München.

Neu, vollständig umgearbeitete und erweiterte Auflage

Teil I: Kurzgefaßtes Lehrbuch. 756 Seiten Text mit  
10 farbigen und 220 schwarzen Abbildungen.

Teil II: Atlas. 57 vielfarbige Tafeln, enthaltend 104 makro-  
skopische und 37 histolog. Abbild. mit erklärendem Text.

Preis in 2 Bänden gebunden M. 66.—  
(I. Lehrbuch M. 36.—, II. Atlas M. 30.—)

Das prachtvoll ausgestattete Buch, in dem die sämtlichen  
Krankheiten der Mundhöhle, des Rachens und der  
Nase in guten naturgetreuen Bildern veranschaulicht  
sind in klarer Beschreibung klinisch erläutert werden,  
würde nicht nur den engen Kreis der Stomatologen,  
Otorhinologen, Rhinologen, sondern auch jeden prak-  
tischen Arzt interessieren. . . Von ähnlichen Werken  
kann das Aroet Grünwalds zu den besten. . . Die  
Ausstattung des Buches, die Reinheit der Reprodu-  
ktionen loben den rühmlichst bekannten Verleger.

(*Pester med. chirurg. Presse, Desider von Navratil*).



Fig. 178.

Totaler Defekt des linken vorderen Gaumenbogens.

and XIV. **Grundriß der Kehlkopfkrankheiten**  
**und Atlas der Laryngoskopie.**

Von Dr. L. Grünwald in München. Zweite, vermehrte und verbesserte Auflage.

Mit 112 farbigen Abbild. auf 47 Tafeln und 26 schwarzen Abbild. im Text. Preis gut geb. M. 30.—.

Inhaltsverzeichnis (Hauptabschnitte):

Leitende Bemerkungen zur Anatomie und Physiologie des Kehlkopfes. — Untersuchungsmethoden — Praktische Winke für die  
Untersuchung. — Allgemeines über Ursachen und Behandlung von Kehlkopfkrankheiten. — Stimm-Diätetik. — Pathologie und  
Therapie. I. Akute Entzündungen. — II. Chronische Entzündungen. — III. Neubildungen. — IV. Motilitätsstörungen. — V. Sensi-  
bilitätsstörungen. — VI. Kombinierte (funktionelle) Störungen im motorischen und sensiblen Gebiet. — VII. Zirkulationsstörungen. —  
VIII. Blutungen. — VIII. Verletzungen. — IX. Fremdkörper. — X. Mißbildungen. — Schlußwort-Register.

„Deutsche mediz. Wochenschrift“. . . Der Student wird sich bald davon überzeugen, daß er sich wohl nirgendwo so schnell  
so gründlich wie in diesem Buch Aufklärung verschaffen kann. Für den Fachmann ist es geradezu ein Genuß, den knappen  
deutlichen Darstellungen Grünwalds zu folgen.

**Die Therapie der Kehlkopf-Tuberkulose**  
mit besonderer Rücksicht auf den galvanokausti-  
schen Tiefenstich und äußere Eingriffe.

Von Dr. L. Grünwald, München.

16 Seiten gr. 8<sup>o</sup> mit 9 farbigen Abbildungen auf 4 Tafeln und  
schwarze Figuren im Text. Preis gebunden M. 12.—, geb. M. 14.—

INHALTSVERZEICHNIS:

Allgemeine Gesichtspunkte für die Behandlung. — Kritik der  
Therapie. — I. Mannigfaltige Gestaltung der Kehlkopf-Tuberkulose. —  
Individuelle Resistenz. — II. Komplikation mit Lungentuber-  
kulose. — Postulate der Therapie. — Methoden und Indikationen  
der Therapie. — Äußere Operationen. Verzeichnis der bisher be-  
schriebenen äußeren Eingriffe. — Allgemeine Indikationen. —  
Schnelle Folgen äußerer Eingriffe. — Tabellarische Darstellung  
der Operationsergebnisse. — Abhängigkeit der Operationsergeb-  
nisse. — Operationsergebnisse. — Vorbedingungen äußerer Opera-  
tionen. — Spezielle Indikationen. — Die Technik äußerer Eingriffe.

**Phantom der normalen Nase des Menschen**

von Dr. Hans Busch

Stabsarzt a. D., Hals-, Nasen- u. Ohrenarzt in Spandau

3 farbige Tafeln mit 6 Deckbildern und 134 Seiten  
erklär. Text. Preis kart. M. 8.—, in Leinen geb. M. 10.—

Zeitschrift für Ohrenheilkunde:

Dieses kleine Kunstwerk, welches auf Anregung Brühls ent-  
standen und vom Kunstmalers Kotzian mit ausgezelebten  
farbigen Tafeln nach Präparaten des Autors versehen ist, gestaltet  
infolge seiner äußerst sinnreichen Anordnung mit den Deck-  
blättern eine schnelle Orientierung und wird deshalb besonders  
auch dem Spezialisten sehr willkommen sein.

# Lehmanns medizinische Handatlanten. Band V. Atlas und Grundriß der Hautkrankheiten.



Fig. 45. Lupus vulgaris.

Von  
Hofrat Professor Dr. Franz Mracek in Wien.

Nach des Verfassers Tod bearbeitet von  
Professor Dr. Albert Jesionek in Giessen.

Vierte, unveränderte Auflage.

Mit 109 farbigen Tafeln und 96 schwarzen Abbildungen.

Preis gut gebunden M. 60.—

Die 3. Auflage der bei Studierenden und Aerzten so beliebten Atlas, der ein würdiges Glied in der langen Kette der bekannten Lehmannschen Atlanten darstellt, ist in ganz erheblich erweiterter Form von Jesionek bearbeitet worden; auch inhaltlich illustrativer Hinsicht ist das Höchste geleistet worden, was die Technik nur zu bieten vermag. Den 77 farbigen, lithographischen Tafeln der 2. Auflage sind 32 Dreifarbedrucke hinzugefügt worden, die mit den Bildern des bekannten Jesionek'schen Atlas der Hautkrankheiten durchaus konkurrieren können. Es sind größtenteils Reproduktionen von Ölgemälden und Aquarellen aus der Sammlung der Münchener dermatologischen Klinik, die in ihrer Weichheit, in ihrer Farbhäufigkeit und in ihrer Plastik das Vollendetste darstellen, was bildlich sich erzielen läßt. Auch die schwarzen Abbildungen sind rund um eine Doppelte vermehrt.

Möge dem Werk in seinem neuen Gewande die Anerkennung zuteil werden, die es seinem Werte nach voll und ganz verdient. „Zentralblatt für innere Medizin“

## Die Geschlechtskrankheiten.

Ein Fachbuch und Atlas für Studierende, Aerzte und Spezialärzte der anderen Fächer.

Verfaßt von Dr. Robert Otto Stein,

Dozent für Haut- und Geschlechtskrankheiten an der Universität Wien, Assistent der Wiener Univ.-Klinik.

Mit 32 Vierfarbdrucktafeln, Reproduktionen von 80 Moulagen, angefertigt von Dr. K. Henning u. Th. Henning sowie mit 15 schwarzen, teils mikroskopischen, teils schematischen Textabbildungen.

Behandelt sind alle Krankheiten, deren Symptome besonders häufig an der Haut oder Schleimhaut der Genitalorgane auftreten und deren Gesehe mit dem Geschlechtsverkehr in sicherem oder doch wahrscheinlichem Zusammenhang steht, und zwar: 1. Beaulieu und entzündliche Phimosis. 2. Paraphimosis. 3. Phthirialis pubis und Mania oserulea. 4. Condyloma acuminatum. 5. Herpes genitalis. 6. Molluscum contagiosum. 7. Ulcus cecum vulvae. 8. Ulcus molle. 9. Syphilis. 10. Gonorrhoe.

Preis geheftet etwa M. 50.—. Erscheint Ende 1921.

## Untersuchungsmethoden und Diagnostik der Erreger der Geschlechtskrankheiten.

Von Dr. med. et phil. F. W. Oelze

Mit 29 Abbildungen im Text und 4 Tafeln — Preis geh. M. 24.—, geb. M. 30.—

Der Verfasser will dem Praktiker die eigenliche Beurteilung des mikroskopischen Bildes möglichst erleichtern. Dies geschieht in eingeheudster Weise, da er sich nur bei Einhaltung aller, auch der kleineren Vorschriften gute und gleichmäßig sichere Resultate erwartet. Außer vielen technischen Kunstgriffen sind auch bedeutsame neue Fortschritte der mikroskopischen Technik erstmalig eingehend für den Praktiker dargestellt.

## Abhandlungen über Salvarsan (Ehrlich-Hata-Präparat) 606 gegen Syphilis.

Gesammelt und mit einem Vorwort und Schlußbemerkungen herausgegeben von

Dr. Paul Ehrlich, Wirkl. Geh. Rat, Direktor des Instituts für experiment. Therapie, Frankfurt a. M.

Bd. I: 402 S. gr. 8° / Preis geh. M. 15.—, geb. M. 18.— | Bd. III: 584 S. gr. 8° / Preis geh. M. 25.—, geb. M. 30.—  
Bd. II: 617 S. gr. 8° / Preis geh. M. 25.—, geb. M. 30.— | Bd. IV: 440 S. gr. 8° / Preis geh. M. 22.—, geb. M. 26.—

Die vier Bände bieten eine außerordentlich übersichtliche Orientierung über die Salvarsantherapie. Ihren besonderen Wert erhalten sie durch die umfangreichen Schlußbemerkungen aus der Feder Paul Ehrlichs selbst.

# Die Fadenpilz-Erkrankungen d. Menschen

(Lehmanns medizinische Atlanten Bd. XII)

VON

Dr. R. O. Stein, Assistent der Wiener Universitätsklinik für Geschlechts- und Hautkrankheiten.

Mit 78 Abbildungen auf 3 schwarzen, 18 Drei- und 11 Vierfarbdrucktafeln. Preis gebunden M. 30.—

Inhaltsverzeichnis: (Hauptabschnitte) Allgemeiner Teil. a) Morphologie, b) Mikroskopische Untersuchungstechnik, c) Züchtungsverfahren, d) Technik der Tierexperimente, e) Immunisierungsreaktionen, f) Darstellung des Trichophytins. Spezieller Teil. 1. Saprophyten. a) der Haut, b) des Haares. — 2. Dermatomykosen. a) Mikrosporie, b) Trichophytie, c) Favus oder Erdrind. — 3. Blastomykosen. a) Endemische (Sacroaromykose), b) Amerikanische (Gleichrichtische Krankheit). — 4. Strahlenpilzaffektionen. a) Actinomykosen, b) Madura-Pilzerkrankungen — 5. Sporotrichosen. — 6. Seitige Mykosen. — 7. Soor. — 8. Schimmelpilzaffektionen. — Literaturverzeichnis. — Sachregister.

... Der neue Atlas, der ausserhalb über die Biologie und Klinik der Pilzaffektionen informiert und durch angelegentlichste Abbildungen, die zum Teil Reproduktionen der berühmten Ausgaben des Wiener Allgem. Krankb. Atlas sind, illustriert ist, wird in den Kreisen der Chirurgen und Kliniker großes Interesse finden.

„Klinisch-therapeutische Wochenschrift“, Berlin.  
... Für den Spezialisten zur Auffrischung seiner Erinnerung, für den allgemeinen Praktiker zur schnellen Orientierung und Belehrung dürfte es zuzunehmen kein bequemer und zweckmäßigeres Buch geben als diesen Atlas, der eine wertvolle Ergänzung der gangbaren Lehrbücher bildet.

„Deutsche medizinische Wochenschrift“.



Pilzelemente der Pityriasis versicolor.

## Atlas und Grundriß der Bakteriologie und Lehrbuch der speziellen bakteriologischen Diagnostik.

(Lehmanns medizinische Handatlanten Bd. X)

von Professor Dr. K. B. Lehmann in Würzburg und Professor Dr. med. et phil. R. O. Neumann in Bonn. Band I: Atlas mit etwa 700 farbigen Abbildungen auf 79 Tafeln. — Band II: Text etwa 800 Seit. mit 30 Bildern. Sechste, durch einen Anhang vermehrte Auflage. Preis der 2 Bände gebunden M. 70.—

In dem Neudruck sind alle wesentlichen Fortschritte der letzten Jahre auf dem Gebiete der bakteriologischen Diagnostik gebührend berücksichtigt. Das Wiedererschienen dieses ausgezeichneten Werkes, das seit mehreren Jahren vergriffen war und das für den Fachmann geradezu unentbehrlich geworden ist, ist mit Freude zu begrüßen.

E. Gildemeister, Berlin im „Zentralblatt für Bakteriologie“.

## ÜBER NEUROREZIDIVE nach Salvarsan und nach Quecksilberbehandlung.

Ein Beitrag zur Lehre von der Frühsyphilis des Gehirns. Von Dr. J. Benario.

Mit einem Vorwort des Wirkl. Geh. Rat P. Ehrlich. Mit einer Tafel und 5 Figuren im Text.

195 Seiten gr. 8°. Preis geheftet M. 15.— gebunden M. 18.—

## Empfindliche, einfache u. rasch ausführbare Untersuchungsmethoden

für Laboratorien u. prakt. Aerzte, zusammengestellt u. bearbeitet v. Hans Lipp, Assistent in Hohenheim.

2. Auflage. Mit 3 farbigen Tafeln. Preis gebunden M. 7.—

„Die Übersichtliche und kritische Zusammenstellung wird auch über die Bedürfnisse des Krieges hinaus dem Praktiker und Arzt, ein willkommenes Leitfadens für die neueren chemisch-bakteriologischen Untersuchungsmethoden sein.“ (Archiv für Orthopädie)

## Diagnostik innerer Krankheiten in Tabellenform

Dritte vermehrte und verbesserte Auflage der

„Differential-diagnostischen Tabellen.“

Von Dr. med. A. J. Cemach in Wien.

7 Tabellen mit 31 farbigen und schwarzen Abbildungen sowie 8 Fiebertypen. — Preis kart. M. 18.—

In der großen Fülle der Krankheitsbilder ist es für den angehenden Arzt, aber auch für den erfahrenen Praktiker manchmal sehr schwierig, gleich das Richtige zu treffen. Die vorliegenden differential-diagnostischen Tabellen ermöglichen eine rasche Orientierung und präzise Diagnosestellung und sind deshalb jedem, besonders aber dem vielbeschäftigten Arzte, der mit dem besten Willen oft die nötige Zeit findet, größere Werke zu rekapitulieren, zur Anschaffung dringend zu empfehlen. (Bayer. Arztl. Korresp.-Blatt)

J. F. LEHMANN'S Verlag in MÜNCHEN.

## Lehmanns medizinische Handatlanten in 8<sup>o</sup>.

Band XVIII.

### Atlas der äußerlich sichtbaren Erkrankungen des Auges nebst Grundriß ihrer Pathologie und Therapie.

Von Prof. Dr. O. Haab, Zürich.

Vierte, vermehrte und verbesserte Auflage.

Mit 86 farbigen Abbildungen auf 46 Tafeln nach Aquarellen von Maler Johann Fink und  
21 schwarzen Abbildungen im Text. — Preis gebunden M. 30.—

„Prager medizinische Wochenschrift“: Das Buch ist wegen der glücklichen Veranlagung von vorzüglicher bildlicher Ausstattung und Beschreibung aller wichtigen Augenerkrankungen dem praktischen Arzte sowie auch den Studierenden aufs wärmste zu empfehlen.

Band XXXI.

Atlas und Grundriß der

### Lehre von den Augenoperationen

Von Prof. Dr. O. Haab, Zürich.

Mit 30 farb. Taf. u. zahlreich. schwarz. Abbild. Zweite, unveränderte Auflage. Preis geb. M. 40.—

„Zentralblatt für innere Medizin“: Dieses Werk des bekannten klinischen Lehrers und Ophthalmologen steht unter der Leitung des württembergischen Augenoperationalehrers zweifellos an erster Stelle. . .

Band XXIV.

### Lehrbuch und Atlas der Ohrenheilkunde

unter Mitwirkung von Hofrat Professor Dr. A. Politzer in Wien, herausgegeben von  
Professor Dr. Gustav Brühl in Berlin.

Dritte, völlig umgearbeitete und verbesserte Auflage. Mit 270 farbigen Abb. auf 56 Tafeln und 187 Textabb.  
Preis gebunden M. 42.—

Archiv für Ohrenheilkunde: In der vorliegenden Auflage ist das bekannte Buch fast durchaus neu eingeteilt und in fast sämtlichen Kapiteln umgearbeitet, ergänzt und erweitert worden. . . Die Tafel- und Textabbildungen sind durchaus gut gelungen. . . Die Ausstattung des Buches ist eine vorzügliche. . . gibt dem Studierenden eine rasche Orientierung über den gegenwärtigen Stand der Ohrenheilkunde. Der praktische Arzt wird sich mit Hilfe des Brühl-Politzerschen Buches in vielen Fällen Rat holen können. Der Otologe findet in der dritten Auflage ein im besten Sinne modernes Werk.

## Die Ohrenheilkunde des praktischen Arztes

von Dr. Wilhelm Haßlauer, Oberstabsarzt, Dozent für Ohrenheilkunde an der bayer. militärärztlichen Akademie in München.

419 Seiten gr. 8<sup>o</sup> mit 124 Abbildungen. — Preis broschiert M. 20.—, gebunden M. 25.—.

Zeitschrift für Medizinbeamte: Die beste Kritik des vorliegenden stattlichen Werkes gibt Verfasser selbst, wenn er es weiter nichts schreibt als: „Aus der Praxis für die Praxis.“ Für wahr ein Buch, das jedem praktischen Arzt, zumal dem Landarzt dringend und wärmstens zu empfehlen ist.

## Der Fürsorgearzt

Ein Hilfsbuch für Aerzte, Behörden und Fürsorgestellen von Obermedizinalrat Dr. Franz Spaet in München.  
Umfang 23 Bogen Grossoktav-Format / Preis geheftet M. 40.—, gebunden M. 46.—

Aus dem Inhalt: Rassenhygiene, Sozialhygiene, Fürsorgedienst, Jugendfürsorge, Säuglingssterblichkeit, Säuglingsnahrung, Schulpflicht, Tätigkeit, Fürsorge für Tuberkulose, Geschlechtskranke, Trinker, Geisteskranke, Gebrechliche und Krüppel.

## Ueber vereinfachte Handhabung der Kalorienwerte bei praktischen Ernährungsfragen.

Von Prof. Dr. F. Moritz, Geh. Medizinalrat. Preis geheftet M. 3.—.

Zum steten Gebrauche für Aerzte, besonders auch in Krankheitsanstalten und Sanatorien, für private, kommunale und Verwaltungsorgane sowie für gebildete Laien.



## Lehmanns medizinische Handatlasanten.

Band VIII.

### Atlas und Grundriß der traumatischen Frakturen u. Luxationen

Von Professor Dr. H. Helferich

Mit 64 farbigen und 15 schwarzen Tafeln und 392 Textabbildungen nach Original-Zeichnungen von Maler Bruno Keilitz.

Zehnte vermehrte und verbesserte Auflage erscheint Herbst 1921

INHALT (Hauptinhalte): I. Allgemeines über Frakturen und Luxationen. II. Frakturen des Schädels. III. Verletzungen der Gesichtsknochen. IV. Frakturen und Luxationen der Wirbelsäule. V. Frakturen am Brustkorb. VI. Frakturen u. Luxationen der oberen Extremität. VII. Frakturen u. Luxationen der unteren Extremität. Die normalen Gelenke im Röntgenbilde nach Erklärungsgründen.

Wapprechnung der 9. Auflage: „Es erübrigt sich über die Vorzüge des weltbekannten Werkes ausführlicher zu sagen. Hervorgehoben sei nur, daß auch diese Auflage wiederum zahlreiche Erweiterungen und Verbesserungen aufweist. Besser als durch den Helferichschen Atlas können wir für die Praxis so wichtigen Frakturen und Luxationen nicht gelehrt werden. So ist die Darstellung der Reposition der Luxationen von Schulter und Ellbogengelenk unübertrefflich, auch die vielfachen Röntgenbilder, besonders auch diejenigen von normalen Gelenken mit der Anleitung zu ihrer Deutung sind vorzüglich gestaltet.“

Krecks, „Münchener medizinische Wochenschrift“.



Fig. 152. Frische suprakondyläre Extensionsfraktur des Humerus.

### Vollständiger Untersuchungs- und Behandlungsatlas bei Kriegsverletzten

Von Prof. Dr. Rudolf Grashey,

Assistenzarzt an der chirurgischen Klinik München.

Mit 184 Abbildungen. Preis gebunden M. 10.—

„Der Verfasser nennt sein Buch ‚Kriegsersatz‘ an Stelle der gewöhnlichen schen vergriffenen Chir.-path. Röntgenatlases. Wir können ihm das Zeugnis ausstellen, daß der Ersatz vorzüglich gelungen ist und auch während des Friedens eine Lücke auszufüllen berufen ist. Er wird insbesondere dazu beitragen, daß die zahlreichen Erfahrungen des Krieges nicht verloren gehen.“ (Deutsche medizinische Wochenschrift.)

### Für chirurgischen und orthopädischen Nachbehandlung der Verwundeten

Von Hofrat Dr. Krecke und Geheimr. Prof. Dr. Lange (beide in München).

Mit 6 Abbildungen. Preis gebunden M. 4.—

„Der Ruf der beiden Verfasser bürgt für die Güte des Buches. Sie wollen dazu beitragen, die Ergebnisse der Kriegschirurgie noch weiter zu verbessern und insbesondere die Dauer der Lazarettbehandlung möglichst abzukürzen. Heute im Zeitalter der Nachbehandlung ein durchaus zeitgemäßes Buch.“

### Band XIII. Atlas und Grundriß der Verbandlehre für Studierende und Aerzte

Von Professor Dr. Albert Hoffa, Berlin

Nach des Verfassers Tod bearbeitet von Professor Dr. Rudolf Grashey, München.

Sechste, wesentlich vermehrte Auflage mit 167 Tafeln und 209 Textabbildungen.

Preis gut gebunden M. 36.—

### Kriegs-Orthopädie

Von Geh. Hofrat Prof. Dr. Fr. Lange und Pro. Dr. J. Trumpp.

Mit 114 Abbildungen. Preis gebunden M. 8.—

„Das kompensierte gebundene Buch bringt mit seiner klaren Sprache und den zahlreichen anschaulichen Abbildungen so viel Anregung und Anleitung, daß es in die Hand jedes Arztes gehört, der sich mit Kriegsverletzten abgibt.“

Prof. Dr. Biesalski in der „Zeitschrift f. orthop. Chirurgie.“

## Chirurgische Diagnostik in Tabellenform

für Studierende und Aerzte. Von Dr. med. A. J. Cemach. Zweite verm. u. verbess. Aufl

108 Tabellen und 487 schwarze und farbige Abbildungen auf 114 Tafeln

Preis kartoniert M. 76.— gebunden M. 84.—

INTEILUNG: I. Chirurgie des Schädels und seines Inhalts. II. Chirurgie des Gesichtes. III. Chirurgie der Mundhöhle, des Rachens, des Kiefer und der Speicheldrüsen. IV. Chirurgie des Halses. V. Chirurgie der Wirbelsäule. VI. Chirurgie des Thorax und der Brustdrüse. VII. Chirurgie des Abdomens. VIII. Chirurgie der Harn- und Geschlechtsorgane. IX. Chirurgie des Beckens und der Extremitäten. X. Anhang: Einige Kapitel aus der allgemeinen Chirurgie.

„Es ist staunenswert, was alles in das Buch hineingearbeitet wurde, und der Verlag verdient alle Anerkennung für die außerordentliche Zahl von vorzüglichen ein- und mehrfarbigen Abbildungen. . . . Das Buch wird . . . ein oft willkommenes Nothelfer sein.“

Berliner klinische Wochenschrift



Abb. 112. Kataleptische Stellung bei einem Hebephrenen.

## Erkennung der Geistesstörungen

von Dr. phil. et med. Wilhelm Weygandt

o. ö. Professor der Psychiatrie an der Universität Hamburg  
Direktor der Staatskrankenanstalt Friedrichsberg.

Mit einem serologisch-diagnostischen Teil  
von Privatdozent Dr. med. Viktor Kafka.

VIII und 250 Seiten Lex.-Oktav mit 18 farbigen Tafeln und  
318 Textabbildungen. Preis geh. M. 34.— geb. M. 42.—

In der vorliegenden Diagnostik hat Weygandt in individueller Weise das Wesentliche mit kurzer Begründung dargelegt und dabei besonders die Symptome, Methoden und Apparate veranschaulicht. In erfreulicher Weise ist es ihm gelungen, durch klare Darstellung in Wort und Bild ein Werk zu schaffen, das nicht nur dem Studenten und dem allseitig Praktiker von Wert sein wird. Das Buch ist warm zu empfehlen.

Aerztl. Sachverständigen-Zeitung, Berlin

Es liegt hier ein Lehrbuch von bisher nicht erreichter Güte und Haltbarkeit bildlicher Veranschaulichung vor. Studierender und Arzt werden durch diese Abbildungen mit bestem Erfolg die Erlernung an der Hand erfahren, was sie in der Klinik gesehen haben.

Psych.-neurologische Wochenschrift, Berlin

## Atlas und Grundriß der patholog. Anatomie.

(Lehmanns medizinische Handatanten in 8° Band XI/XII.)

Von Obermedizinalrat Professor Dr. O. v. Bollinger.

Mit 135 farbigen Tafeln nach Originalen von Maler A. Schmitson und 68 Textabbildungen.

I. BAND. Zirkulations-, Respirations- und Digestionsapparat, sowie Leber, Gallenblase und Pankreas.

Dritte, unveränderte Auflage. — Preis gebunden M. 36.—

II. BAND. Harnapparat, Geschlechtsorgane, Nervensystem, Knochen, Gelenke.

Dritte, unveränderte Auflage — Preis gebunden M. 36.—

Zentralblatt für innere Medizin: . . . Auch wer weit in seiner Kunst vorgeschritten ist, wird das Buch gern zur Hand nehmen und an der lebendigen Wiedergabe der anatomischen Bilder, sowie an der durchsichtigen Klarheit des begleitenden Textes seine Freude haben.

## Zur Neuordnung des medizin. Studiums und Prüfungswesens

Von Professor Dr. Bernhard Fischer, Frankfurt a. M. / Preis geh. M. 3.50.

Alle diese Reformvorschläge sind eingehend begründet, das ganze Reformsystem gründlich durchdacht und das Ergebnis reicher Erfahrungen. Die Arbeit wird zur Förderung und Klärung aller Fragen wesentlich beitragen.

Prof. Dr. Kerschekleier in der Münch. medicin. Wochenschrift

## Kurze Anleitung zur Herstellung patholog.-histolog. Präparate und Zusammenstellung der gebräuch- lichsten Färbemethoden.

Von Hans Geith,

Präparator am Pathologischen Institut München.

Preis M. 4.50

## Sektionstechnik

Von Prof. Dr. Siegfried Oberndorfer-München.  
Mit 22 Abbildungen. — Preis gebunden M. 6.—

„Feldarzt — man könnte sagen Landarzt. Der muß überall sein, wo man ihn braucht, der bedarf möglichst konzentrierter, auszugrüttelbarer Werke, nicht um zu lernen, sondern sich zu erinnern. Diesen Zweck dienen die Taschenbücher. Sie geben das Wesentliche und das möglichst deutliche.“

Aerztliche Rundschau, München

Lehmann's medicin. Handatlas in 8<sup>o</sup>  
und XVI. Atlas und Grundriß der  
**Chirurgischen  
Operationslehre.**

Von Professor Dr. Otto Zuckerkandl, Wien.

Fünfte, vermehrte und verbesserte Auflage.

Mit 45 farbigen Tafeln und 403 Abbild. im Texte  
Preis gebunden M. 42.—.

Die deutsche medizinische Wochenschrift, Berlin: In fünfter Auflage be-  
trachtet, in Wort und Bild wiederum vermehrt und verbessert, liegt der  
bekannte Zuckerkandl'sche Atlas vor uns; zu seinem Lobe braucht  
nicht Neues hinzugefügt zu werden. Daß der Verfasser sein Werk  
in der Höhe der Wissenschaft hält, versteht sich von selbst. Eine  
Reihe älterer Bilder ist durch bessere Darstellungen ersetzt worden;  
hinzugekommen sind Abbildungen über die Gefäßnaht, Bloßlegung  
des Nerven an den Extremitäten, Operation der Appendicitis u. a.  
Auch sämtliche neue Abbildungen sind von dem Maler Hejek ange-  
fertigt worden, und zwar meist nach Skizzen im Operationssaal.



Fig. 154. Exarthritis der Hand.

und XVII. Atlas und Grundriß der Gerichtlichen Medizin  
unter Benützung von E. v. Hofmann's Atlas der Gerichtlichen Medizin.

Herausgegeben von Dr. Georg Puppe, Professor der Gerichtl. Medizin in Königsberg i. Pr.  
Bogen Text mit 70 vielfarb. Tafeln nach Originalen von Maler A. Schmitson und 204 schwarzen Abb.

Preis in 2 Bänden gebunden M. 50.—.

Inhalt (Hauptabschnitte): Gerichtsärztliche Technik — Körperverletzungen — Der gewaltsame Tod  
(allgemeiner und spezieller Teil) — Geschlechtliche Verhältnisse — Die Untersuchung des Gesundheits-  
zustandes und der Körperbeschaffenheit ohne vorhergegangene Körperverletzung (Anhang: gerichtliche  
Untersuchung von Wohnungen) — Zurechnungsfähigkeit.

Puppe hat sehr viel Eigenes in dieses Werk hereingebracht. Vor allen Dingen berücksichtigt er die soziale (versicherungsgesetzliche) Medizin auf das Beste. Besonders behandelt der Verfasser die Abschätzung der Erwerbsfähigkeit und den ursächlichen Zusammenhang zwischen Unfall und Tod. Die neueren gerichtsarztlichen Methoden (Uhlenbusch) sind natürlich sorgfältig behandelt.

Das ganze Werk ist ein ganz ausgezeichnetes Hilfsmittel für alle künftigen Sachverständigen. 70 farbige Tafeln und 204 Abbildungen tragen wesentlich zur Erleichterung des Verständnisses bei. Der Puppesche Atlas sei deshalb allen Medizinalbeamten empfohlen.  
Soziale mediz. Hygiene, Hamburg.

## Urologie des praktischen Arztes.

Von Hofrat Dr. Felix Schlagintweit, Chirurg für Harnkrankheiten in München.

Mit 38 Abbildungen — Preis geh. M. 15.— geb. M. 21.—

Aus dem Inhalt: Anamnese — Untersuchung — Diagnostik — Urologische Technik — Krankheiten des  
Harnapparates (Harnstauungen, Infektionen, Steinbildung, Neubildungen, Nervöse Störungen, Mißbildungen,  
Fremdkörper, Verletzungen) — Schlußwort — Grundsätzliches über die urologische Forschung und Lehre.

## Chirurgie der Nierentuberkulose.

Technik der Diagnose, Operation und Harnleiterbehandlung.

Von Hofrat Dr. Felix Schlagintweit-München.

Preis geh. M. 10.—, geb. M. 15.—

Neben dem Stoffe, der dem Titel dieses Werkes entspricht, trägt der Verfasser auch die übrige Lehre der Urogenitaltuberkulose  
dar. Dieser legte er ein Krankheitsmaterial von 108 Fällen zu Grunde, von denen er selbst als erster 80—90 Fälle als Urogenitaltuber-  
kulose erkannte, 55—60 davon längere Zeit genau beobachtete, 32 selbst operierte und oft längere vor und nach der Operation studierte.

## Lehrbuch und Atlas der Zahnheilkunde

Mit Einschluß der  
Mundkrankheiten

von Dr. med. u. phil. Gust. Preiswerk, Gew. Lektor an der Universität Basel.

Dritte, verbesserte u. vermehrte Auflage. Mit 58 vielfarbigen Tafeln u. 141 Textabb. Preis gut geb. M. 60.—  
(Lehmans medizinische Handatlanten Band XXX).

Mit dem Neuerscheinen dieses Buches ist eine empfindliche Lücke, die während des Krieges in der zahnärztlichen Literatur entstanden war, wieder ausgefüllt. Das Buch bietet in der bekannten, glänzenden Ausstattung von „Lehmans medizinischen Handatlanten“ eine umfassende Übersicht über das ganze Gebiet der Zahn- und Mundkrankheiten. Dr. Treitel in der Zahnärztl.-Rundschau-Berlin.

## Lehrbuch und Atlas der zahnärztlichen Technik

(Lehmans medizinische Handatlanten Band XXXIII.)

von Dr. med. u. phil. Gust. Preiswerk, vorm. Dozent für Zahn- und Mundkrankheiten (jetzt Ifferten, Schweiz).  
Mit einem Anhang von Dr. med. Paul Preiswerk, Privatdozent an der Universität Basel.

Vierte, verbesserte und vermehrte Auflage.

Mit 28 Dreifarbendrucktafeln und 367 schwarzen und farbigen Abbildungen. Preis gut gebunden M. 70.—

Die 4. Auflage wurde gründlich durchgesehen. Überall ist der modernen Goldguß-Technik Rechnung getragen und neue farbige Tafeln sowie schwarze isten zu den alten, so daß in Bild, Wort und Ausstattung hervorragendes geleistet wurde.

Man ist gewöhnt, daß der Verlag Lehmann-München auf medizinischem Gebiete nur hervorragendes bringt und unser dieses Werkes kennt man die anerkannte Gründlichkeit. In seiner klaren, einfachen Sprache und Deutlichkeit ist das Werk als ein Muster dieser Art zu betrachten. Zeitschrift für Zahnärztl. Orthopädie.

Im Laufe des Jahres 1921 erscheinen in Neuauflage:

## Lehrbuch und Atlas der konservierenden Zahnheilkunde

von Dr. med. u. phil. Gustav Preiswerk.

(Lehmans medizinische Handatlanten Band XXXVIII.)

Mit 32 vielfarbigen Tafeln und etwa 330 Textabbildungen. Preis gut gebunden etwa M. 50.—

Den größten Wert des Buches bedingen — wie immer — die Illustrationen, von denen das vorliegende 32 vielfarbige Tafeln mit 323 Textabbildungen aufweist. Speziell die crateren selten rühmend hervorgehoben — als Bilder von einer Anschaulichkeit, wie dem Lernenden sehr wohl den Lehrer ersetzen können. Solche Bücher empfehlen sich von selbst. Prager Medizin. Wochenschrift.

## Atlas und Lehrbuch der zahnärztlich-stomatologischen Chirurgie

von Privatdozent Dr. Paul Preiswerk in Basel.

(Lehmans medizinische Handatlanten Band XXXIX.)

Mit 35 farbigen Tafeln und etwa 250 schwarzen Abbildungen. Preis gut gebunden etwa M. 50.—

Dem äußerst sachlich geschriebenen Text sind zahlreiche instruktive Abbildungen beigegeben. Das Buch ist von einem erfahrenen Praktiker für die Praxis geschrieben und dürfte sich bald einen großen Leserkreis erfreuen. Deutsche Medizinische Wochenschrift.

## Atlas und Grundriß der zahnärztlichen Orthopädie

von Privatdozent Emil Herbst, D. D. S. in Bremen-München.

Mit 3 vielfarbigen lithographischen Tafeln und etwa 250 Textabbildungen.

Preis gut gebunden etwa M. 50.— (Lehmans medizinische Handatlanten Band XXVI.)

Die zahlreichen Abbildungen erleichtern das Verständnis der beschriebenen Fälle, so daß dieses Buch wertvolle Anregungen für den Praktiker enthält. Deutsche Medizinische Wochenschrift.

## Allgemeine Biologie

als Grundlage für Weltanschauung,  
Lebensführung und Politik

von Professor Dr. G. Holle.

Preis geheftet M. 13.—, gebunden M. 18.—

... Die Ausführungen sind außerordentlich klar, fesselnd und anregend zugleich. Alle Erörterungen des Verfassers sind auf reichem Wissen, scharfer Beobachtungsgabe und anschaulicher Darstellungsweise aufgebaut und sind beleuchtet von einem Standpunkt, der unparteiisch alle Licht- und Schattenseiten unseres Volkes ausmalt. Das Buch wird daher den Wert behalten, weil es uns einen wesentlichen Schritt weiter bringt und uns Wege weist, auf denen der Wiederaufbau unseres Vaterlandes geschehen kann. (Hygienische Rundschau, Berlin.)

## Moderne Mediumforschung

Kritische Betrachtung zu Dr. von Schrenck-Notzing

„Materialisationsphänomene“

von

Dr. med. Mathilde von Kemnitz

Mit einem Nachtrag von

Dr. med. Walter von Gulat-Wellenburg

und zwei Tafeln.

Preis M. 4.—



**Lehmanns medizinische Atlanten. Neue Folge in Quartformat.**

**Band I. Atlas und kurzgefaßtes Lehrbuch der topographischen und angewandten Anatomie**

von Dr. med. Oskar Schultze, o. ö. Professor der Anatomie in Würzburg.

Dritte umgearbeitete Auflage. Herausgegeben von

Dr. med. Wilhelm Lubosch, Professor der Anatomie in Würzburg.

Mit 419 meist farbigen, zum großen Teil auf Tafeln gedruckten Abbildungen nach Originalen der Maler A. Schmitson, R. Hajek und Fr. Kotzian.

Preis gut gebunden etwa M. 150.—.

Deutsche Medizinisch-Zeitung, Berlin: . . . Was die plastische belehrende Form der anatomischen Abbildung auch für die komplizierten Gestaltungen nur Irgend zu leisten vermag, und was die heutige Reproduktionstechnik davon zum Ausdruck zu bringen versteht, das zeigt das Schultze'sche Werk. Und das ist außerordentlich, ja bewundernswert viel. L. Pick, Berlin.

**Band XI. Atlas und Lehrbuch wichtiger tierischer Parasiten und ihrer Ueberträger mit besonderer Berücksichtigung der Tropenpathologie.**

Von Dr. med. et phil. R. O. Neumann  
o. ö. Professor der Hygiene und Direktor des Hygienischen Instituts der Universität Bonn.

und Dr. med. Martin Mayer  
Abteilungsvorsteher am Institut für Schiffs- u. Tropenkrankheiten in Hamburg.

Mit 1300 farb. Abbild. auf 45 lithograph. Tafeln u. 237 schwarz. Textfig. — Preis in Leinwand geb. M. 160.—

Kurzes Inhaltsverzeichnis: Vorwort — Zur Einführung — Allgemeines über Protozoen — Parasitische Amöben — Trichomonaden — *Lambia intestinalis* — *Prowazekia* — *Balantidium coli* — Trypanosomen mit Stechfliegen (Glossinen, Tabaniden, Hippobosciden) — Flagellaten bei Arthropoden — Trypanoplasmen — Leishmanien — Rhynchota — Leukocytozoen — Halteridium und Haemoproteus der Vögel — Coccidien — Hämogregariniden (inkl. Toxoplasma) — Sarkosporidien — Rhinosporidium — Blut. Technik der Blut- und Organuntersuchungen auf Parasiten — Plasmodidae. Menschliche und tierische Malaria — Anopheles und Culex — Einige andere Dipteren — Fang und Zucht der Stechmücken und ihrer Larven und Puppen — Babesien s. Piroplasmen — Achromaticus vesperuginis — Spirochäten — Zecken — Chlamydozoen — Würmer — Nematoden — Cestoden — Trematoden — Zungenwürmer (Linguatuliden) — Parasitierende Fliegenlarven — Flöhe — Läuse.

Das Buch behandelt in Wort und Bild die Morphologie und Biologie der wichtigsten tierischen Parasiten und ihrer Ueberträger und gibt eine genaue Darstellung des durch den Parasiten hervorgerufenen Krankheitsbildes. Es gliedert sich in zwei Abschnitte, deren erster und größerer den Protozoen — inkl. Chlamydozoen — nebst Ueberträgern und deren zweiter den Metazoen, im wesentlichen den Würmern gewidmet ist.

Die Abbildungen sind zum Teil in den Text eingefügt, zum Teil sind sie am Ende des Buches in 45 Tafeln vereinigt. Diese Tafeln, die aus 1300 Originalabbildungen in lithographischem Farbendruck bestehen, stellen ein Anschauungsmaterial dar, wie es sich besser und vollständiger kaum wünschen läßt. Ein besonderer Vorzug dieser Abbildungen liegt darin, daß sie sämtlich von einem der beiden Autoren selbst (R. O. Neumann), also von sachkundigster Hand geschaffen sind.

Frei (Göttingen), Therapeut. Monatshefte 1914, Heft 8.

**Band XIII. Operationsübungen an der menschlichen Leiche und am Hund**  
Von Professor Dr. G. Axhausen

Oberarzt der Chirurgischen Klinik der Charité und Leiter der Poliklinik in Berlin.

Mit einem Geleitwort von Geh. Med.-Rat Professor Dr. O. Hildebrand.

XII und 308 Seiten Text mit 317 farbigen Abbildungen auf 132 Tafeln, sowie 132 zum Teil farbigen Textabbildungen nach Originalen von Maler Franz Kotzian. Preis gut gebunden M. 125.—.

. . . Nichts von dem trockenen und vielfach ermüdenden Stil der üblichen Lehrbücher, eine außerordentlich klare, frische, lebhafte und schlicht genaue Beschreibung der gefürchtlichsten Operationsmethoden, wie sie nur an der Hand von reichen Erfahrungen aus einer langjährigen Lehrthätigkeit wiedergegeben werden kann. Ueber alles Lob erhaben sind die farbigen Tafeln, die frei von jeglichem Schematismus außerordentlich plastisch und naturgetreu sind und der Wirklichkeit fast gleichkommen. Das Buch wird Aerzten und Studierenden ein guter und unentbehrlicher Lehrmeister werden. Berliner Klinische Wochenschrift.

**Lehmanns medizinische Atlanten.** *Neue Folge in Quartformat. Band VII*

Für Amtsärzte, Krankenhäuser und Sanatorien nahezu unentbehrlich:

# Atlas und Lehrbuch der Hygiene

mit besonderer Berücksichtigung der Städte-Hygiene

in Verbindung mit hervorragenden Fachmännern herausgegeben

von Prof. Dr. W. Prausnitz

Vorstand des hygienischen Instituts der Universität Graz.

## Inhaltsverzeichnis:

Vorwort, Einleitung. — Aufgabe der Bauordnungen, Professor Dr. W. Prausnitz, Graz. Öffentliche Straßen, Plätze und Anlagen, Ingenieur H. Stillknecht, München. Planliche Darstellung von Hochbauten, Oberingenieur R. Kloss, Graz. Baustoffe und Bauelemente, Professor E. von Moeckse, München. Entwurf, Ausführung und Benützung von Hochbauten, Professor Dr. H. Hammerl und Oberingenieur R. Kloss, Graz. Familienhäuser-Kolonien, Gartensiedle, Architekt C. Ebert, München. Arbeitswohnungen (Kleinwohnungen), Professor Dr. W. Prausnitz, Graz. Wasserversorgung, Professor Dr. Ph. Forchheimer, Graz. Lüftung und Heizung, Bade-Einrichtungen, Dampf-Wascherel, Dipl.-Ingenieur H. Recknagel, München. Beleuchtung, Stadt H. Metzger, Bromberg. Abfallstoffe und ihre Beseitigung, Oberingenieur A. Kleinschroth, München. Müll-Beseitigung und -Verwertung, Stadtrat H. Metzger, Bromberg. Entstaubungsapparate, Stadtrat H. Metzger, Bromberg. Die Hygiene des Schulgebäudes I. Stadthaupmeister Heesig, Dresden. Schulbänke, Privatdozent Dr. A. Wittek, Graz. Krankenhäuser, Baurat A. G. Stradal, Wien. Tuberkuloseheilstätten und Erholungsstätten, Professor Dr. Th. Pfeiffer, Graz. Baracken, Professor Dr. Th. Pfeiffer, Graz. Rettungswesen und Krankentransport, Seesanktionsrat Dr. M. Kaiser, Trieste. Desinfektion, Professor Dr. P. Th. Müller, Graz. Bestattungsanlagen, Professor Dr. A. Lode, Innsbruck. Schlachthöfe und Viehhöfe, Obermedizinalrat Prof. Dr. R. Edelmann, Dresden. Markthallen, Stadthaupmeister Dr. Ing. H. Käster, Breslau.

700 S. Text in 4<sup>o</sup>. Mit 818 Abb., darunter 4 farb. Tafeln. — Preis in Leinw. geb. Mk. 100.—

Zentralblatt für innere Medizin: . . . . . 818 ausgezeichnete, zum Teil hervorragend schöne und durchweg lehrreiche Abbildungen schmücken das ziemlich umfangreiche, im Quartformat hergestellte Buch. Es liegt hier eine wirkliche Bereicherung unserer medizinischen Literatur vor, welche das Nachschlagen in anderen Büchern und Zeitschriften mit einem Schlage unnötig macht. Das Buch wendet sich auch keineswegs an den Hygieniker allein, sondern erscheint gerade deshalb so wertvoll, weil es jedem Arzt, in dem medizinischen Laie, die Grundforderungen der Hygiene in äußerst leichtfälliger, interessanter Form einprägt. Wir können dem Buche nur die wärmste Empfehlung auf den Weg geben.

## Grundzüge der Hygiene unter Berücksichtigung der Gesetzgebung des Deutschen Reiches und Oesterreichs

Von Dr. W. Prausnitz, Professor der Hygiene an der Universität Graz.

Für Studierende an Universitäten und techn. Hochschulen, Aerzte, Architekten, Ingenieure und Verwaltungsbeamte.

Elfte, verbesserte und vermehrte Auflage. Gr. 8<sup>o</sup>, 761 Seiten Text mit 284 Abbildungen.

Preis geh. M. 50.—, geb. M. 70.—.

## Grundriss der menschlichen Erblchkeitslehre und Rassenhygiene

Band I: **Menschliche Erblchkeitslehre** / Preis geh. M. 50.—

1. Abschnitt: Abriß der allgemeinen Variations- und Erblchkeitslehre. Von Prof. Dr. Erwin Baur, Vorst. d. Instituts f. Vererbungsforschung an d. landw. Hochschule Berlin. Grundbegriffe — Die Variationserscheinungen — Einfluß auf die Zusammensetzung eines Volkes — Wirkung von Auslesevorgängen — Wirkung von Inzucht.
2. Abschnitt: Die Rassenunterschiede des Menschen. Von Dr. Eugen Fischer, o. ö. Prof. der Anatomie, Freiburg i. B. Die variierenden Merkmale des Menschen — Rassenentstehung und Rassenbiologie — Rassenbeschreibung.
3. Abschnitt: Die krankhaften Erbanlagen. Von Privatdozent Dr. Fritz Lenz, München. Zum Begriff der Krankheit — Die Bedeutung krankhafter Erbanlagen für die Krankheiten der verschiedenen Organe — Zur Feststellung des Erbgangs krankhafter Erbanlagen — Die Neuentstehung krankhafter Erbanlagen.
4. Abschnitt: Die Erblchkeit der geistigen Begabung. Von Privatdozent Dr. Fritz Lenz.

Band II: **Menschliche Auslese und Rassenhygiene**

Von Privatdozent Dr. Fritz Lenz. / Preis geheftet M. 38.—

1. Abschnitt: Die Auslese beim Menschen. 2. Abschnitt: Praktische Rassenhygiene.
3. Abschnitt: Private Rassenhygiene. — Erklärung gebräuchl. Fachausdrücke. — Literatur.

Beide Bände in 1 Band gebunden M. 108.—.

6935



*The* KALMBACHER  
BOOKBINDING CO.  
CERTIFIED  
LIBRARY COPY  
TOLEDO, OHIO

